

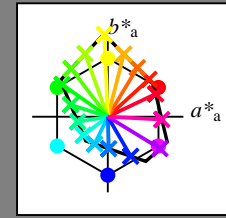
Ein und Ausgabe:
 Farbmimetrisches Drucker-Reflektiv-System FRS09_92a

Daten für jede Farbe:
 u^*_e und Nummer *Nr.* = 00 .. 15

Elementar-Bunttextext:
 $u^*_e = 16$ Bunttoene *r00j, r25j, ..., b75r*

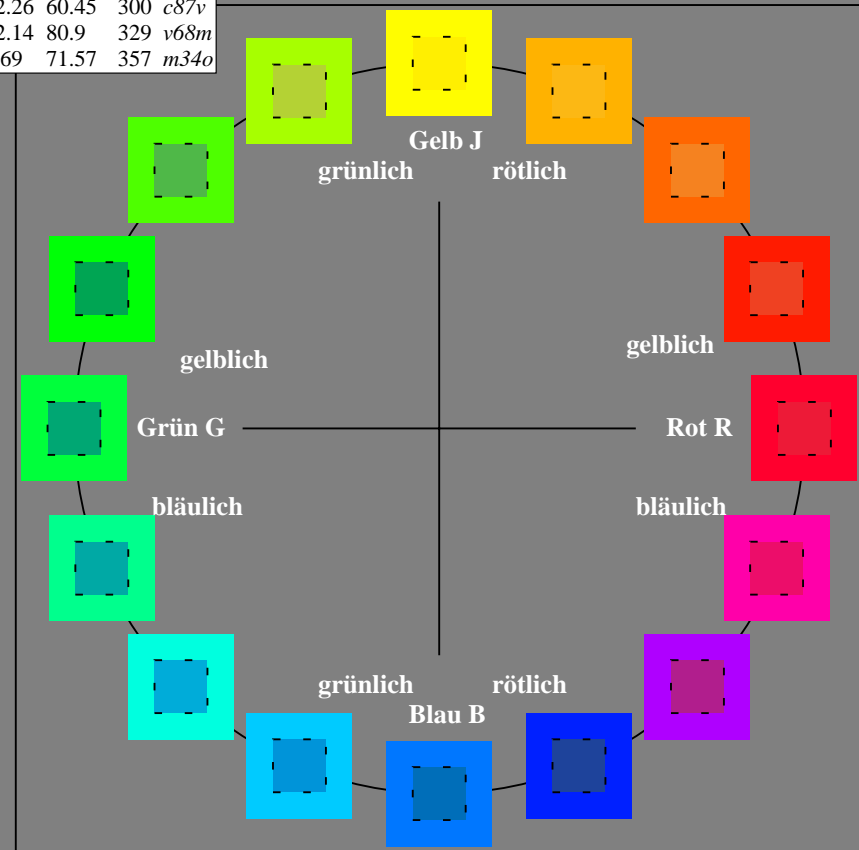
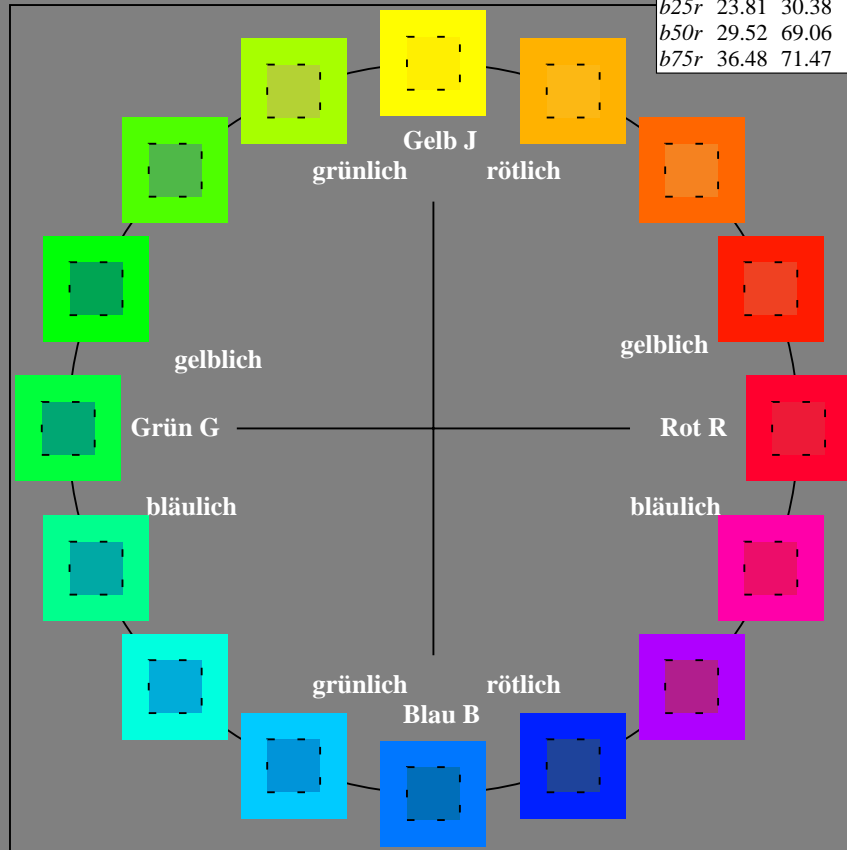
Kontrastreduzierungsfaktor:
 $c_R = 1.0$

FRS09_92a; adaptierte CIELAB-Daten						
u^*_e	$L^*=L^*_a$	a^*_a	b^*_a	$C^*_{ab,a}$	$h^*_{ab,a}$	u^*_d
r00j	35.47	63.32	30.17	70.15	25	m81o
r25j	39.12	54.56	49.45	73.64	42	o10y
r50j	50.64	39.15	64.89	75.79	59	o40y
r75j	64.01	21.26	82.83	85.52	76	o69y
j00g	83.18	-4.38	108.53	108.62	92	o98y
j25g	66.73	-29.89	83.06	88.28	110	y34l
j50g	54.03	-48.31	63.49	79.78	127	y69l
j75g	44.73	-60.33	42.64	73.88	145	l03c
g00b	47.59	-49.08	15.74	51.54	162	l23c
g25b	49.97	-39.7	-6.72	40.27	190	l55c
g50b	51.85	-32.33	-24.35	40.48	217	l87c
g75b	46.92	-17.29	-36.02	39.96	244	c20v
b00r	37.91	1.28	-42.35	42.37	272	c53v
b25r	23.81	30.38	-52.26	60.45	300	c87v
b50r	29.52	69.06	-42.14	80.9	329	v68m
b75r	36.48	71.47	-3.69	71.57	357	m34o



%Umfang
 $u^*_{rel} = 109$
 %Regularität
 $g^*_{H,rel} = 31$
 $g^*_{C,rel} = 40$

FRS09_92a; adaptierte CIELAB-Daten					
Name	$L^*=L^*_a$	a^*_a	b^*_a	$C^*_{ab,a}$	$h^*_{ab,a}$
O _{Ma}	35.06	60.0	44.0	74.4	36
Y _{Ma}	83.77	-5.17	109.32	109.44	93
L _{Ma}	44.13	-62.67	48.24	79.09	142
C _{Ma}	52.66	-29.14	-31.99	43.27	228
V _{Ma}	14.15	50.3	-59.04	77.57	310
M _{Ma}	37.37	78.64	-33.5	85.48	337
N _{Ma}	8.58	0.0	0.0	0.0	0
W _{Ma}	92.02	0.0	0.0	0.0	0
R _{CIE}	39.92	58.74	27.99	65.07	25
J _{CIE}	81.26	-2.89	71.56	71.62	92
G _{CIE}	52.23	-42.42	13.6	44.55	162
B _{CIE}	30.57	1.41	-46.47	46.49	272



Ein und Ausgabe: Farbmatisches Drucker-Reflektiv-System FRS09_92a für relativen CIELAB-Bunton $h^* = lab^*h^* = h_{ab}^*/360 = 0.071$

$u^*_e = r00j$

Daten für jede Farbe:

lab^*tch^* und lab^*icu^*

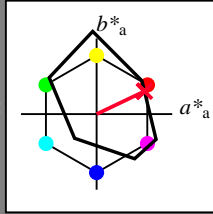
Buntontexte:

$u^*_e = r00j$ $u^*_d = m81o$

Kontrastreduzierungsfaktor:

$c_R = 1.0$

Dreiecks-Helligkeit t^*



FRS09_92a; adaptierte CIELAB-Daten

u^*_e	$L^*=L^*_a$	a^*_a	b^*_a	$C^*_{ab,a}$	$h^*_{ab,a}$
O _{Ma}	35.06	60.0	44.0	74.4	36
Y _{Ma}	83.77	-5.17	109.32	109.44	93
L _{Ma}	44.13	-62.67	48.24	79.09	142
C _{Ma}	52.66	-29.14	-31.99	43.27	228
V _{Ma}	14.15	50.3	-59.04	77.57	310
M _{Ma}	37.37	78.64	-33.5	85.48	337
N _{Ma}	8.58	0.0	0.0	0.0	0
W _{Ma}	92.02	0.0	0.0	0.0	0
R _{Ma}	39.92	58.74	27.99	65.07	25
J _{Ma}	81.26	-2.89	71.56	71.62	92
G _{Ma}	52.23	-42.42	13.6	44.55	162
B _{Ma}	30.57	1.41	-46.47	46.49	272

Daten für Maximalfarbe (Ma):

$LAB^*LAB^*_{Ma}$: 35 63 30

$LAB^*LCH^*_{Ma}$: 35 70 25

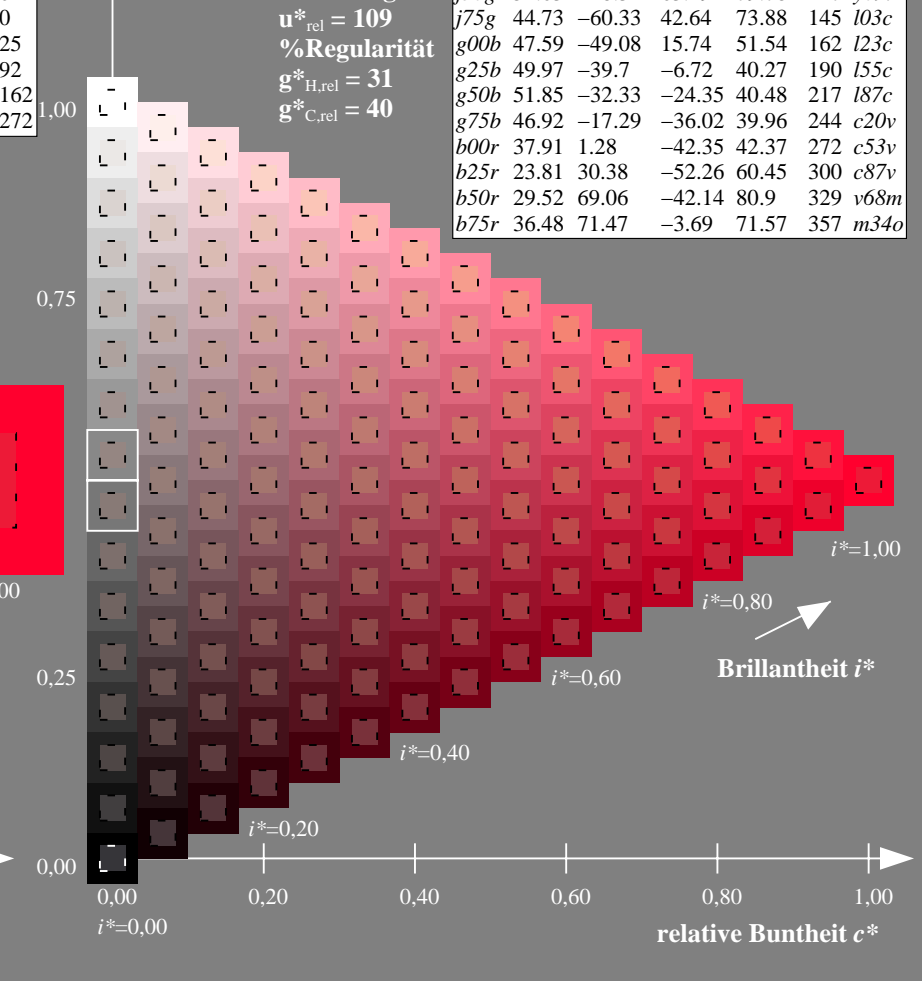
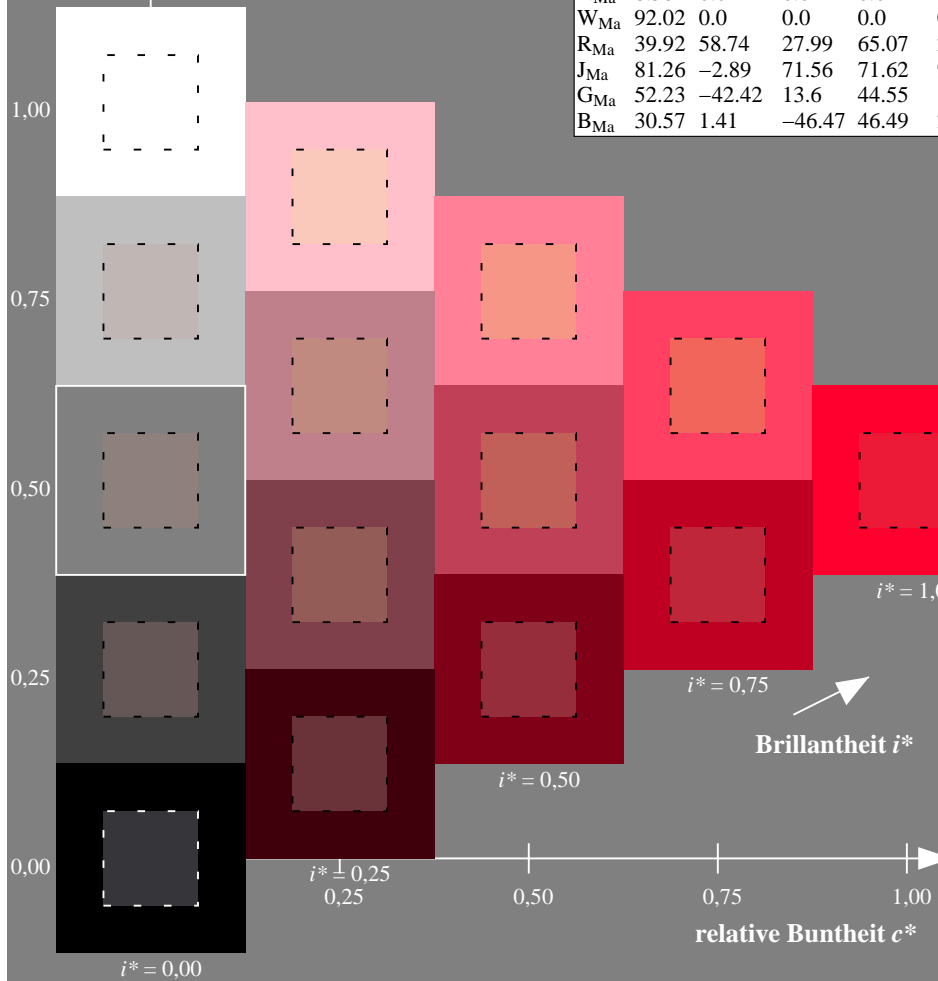
$lab^*rgb^*_{Ma}$: 1.0 0.0 0.0

$lab^*olv^*_{Ma}$: 1.0 0.0 0.18

Dreiecks-Helligkeit t^*

FRS09_92a; adaptierte CIELAB-Daten

u^*_e	$L^*=L^*_a$	a^*_a	b^*_a	$C^*_{ab,a}$	$h^*_{ab,a}$	u^*_d
r00j	35.47	63.32	30.17	70.15	25	m81o
r25j	39.12	54.56	49.45	73.64	42	o10y
r50j	50.64	39.15	64.89	75.79	59	o40y
r75j	64.01	21.26	82.83	85.52	76	o69y
j00g	83.18	-4.38	108.53	108.62	92	o98y
j25g	66.73	-29.89	83.06	88.28	110	y34l
j50g	54.03	-48.31	63.49	79.78	127	y69l
j75g	44.73	-60.33	42.64	73.88	145	l03c
g00b	47.59	-49.08	15.74	51.54	162	l23c
g25b	49.97	-39.7	-6.72	40.27	190	l55c
g50b	51.85	-32.33	-24.35	40.48	217	l87c
g75b	46.92	-17.29	-36.02	39.96	244	c20v
b00r	37.91	1.28	-42.35	42.37	272	c53v
b25r	23.81	30.38	-52.26	60.45	300	c87v
b50r	29.52	69.06	-42.14	80.9	329	v68m
b75r	36.48	71.47	-3.69	71.57	357	m34o



Ein und Ausgabe: Farbmatisches Drucker-Reflektiv-System FRS09_92a für relativen CIELAB-Bunton $h^* = lab^*h^* = h_{ab}/360 = 0.117$

$u^*_e = r25j$

Daten für jede Farbe:

lab^*tch^* und lab^*icu^*

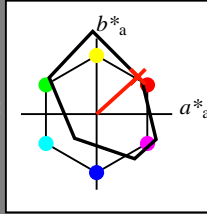
Buntontexte:

$u^*_e = r25j$ $u^*_d = o10y$

Kontrastreduzierungsfaktor:

$c_R = 1.0$

Dreiecks-Helligkeit t^*



FRS09_92a; adaptierte CIELAB-Daten						
u^*_e	$L^*=L^*_a$	a^*_a	b^*_a	$C^*_{ab,a}$	$h^*_{ab,a}$	
O _{Ma}	35.06	60.0	44.0	74.4	36	
Y _{Ma}	83.77	-5.17	109.32	109.44	93	
L _{Ma}	44.13	-62.67	48.24	79.09	142	
C _{Ma}	52.66	-29.14	-31.99	43.27	228	
V _{Ma}	14.15	50.3	-59.04	77.57	310	
M _{Ma}	37.37	78.64	-33.5	85.48	337	
N _{Ma}	8.58	0.0	0.0	0.0	0	
W _{Ma}	92.02	0.0	0.0	0.0	0	
R _{Ma}	39.92	58.74	27.99	65.07	25	
J _{Ma}	81.26	-2.89	71.56	71.62	92	
G _{Ma}	52.23	-42.42	13.6	44.55	162	
B _{Ma}	30.57	1.41	-46.47	46.49	272	

Daten für Maximalfarbe (Ma):

$LAB^*LAB^*_{Ma}$: 39 55 49

$LAB^*LCH^*_{Ma}$: 39 74 42

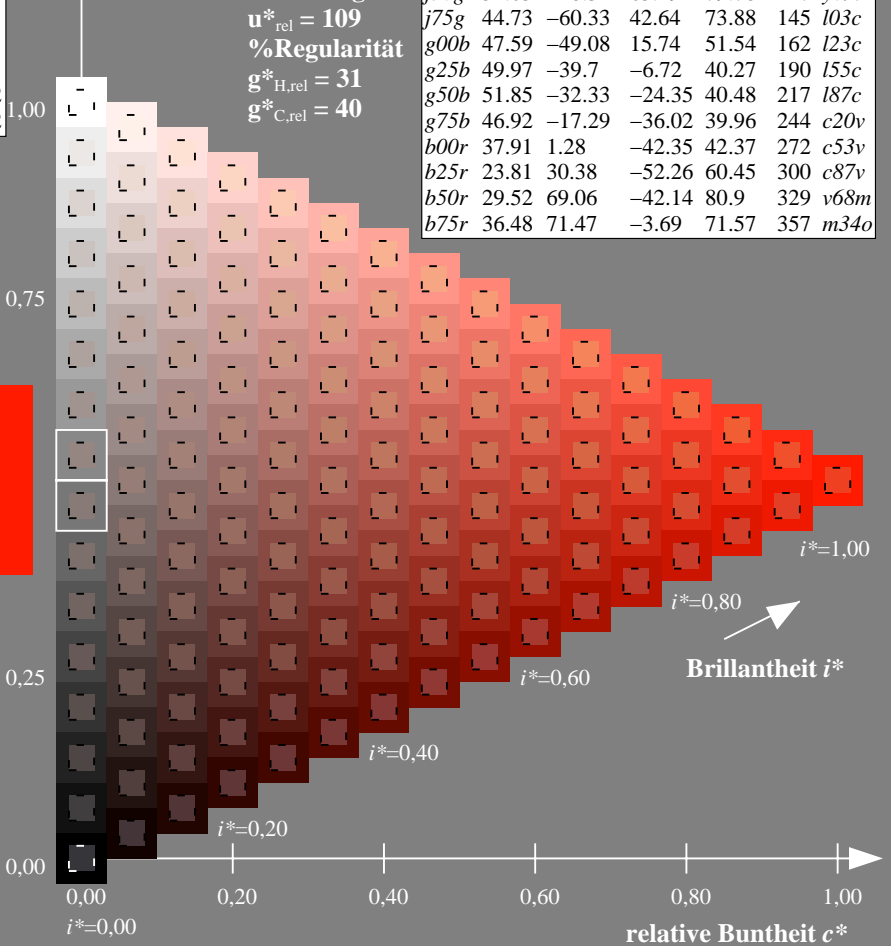
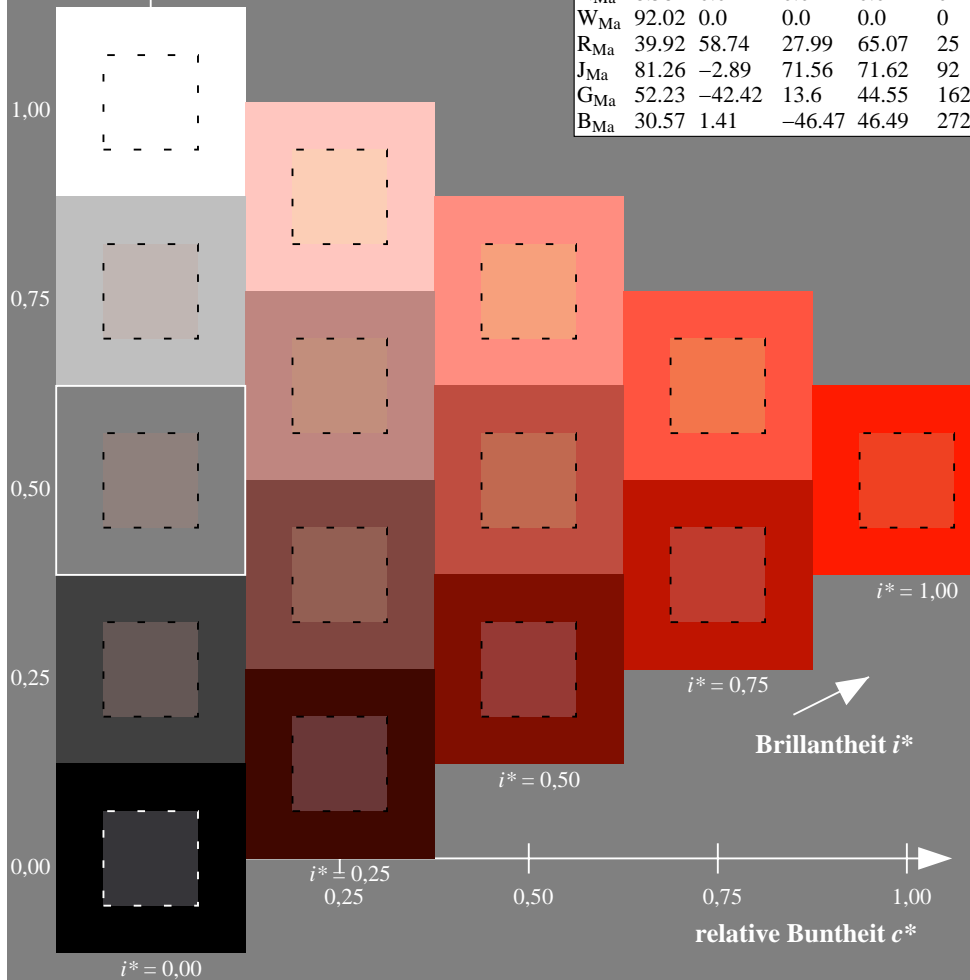
$lab^*rgb^*_{Ma}$: 1.0 0.25 0.0

$lab^*olv^*_{Ma}$: 1.0 0.11 0.0

Dreiecks-Helligkeit t^*

FRS09_92a; adaptierte CIELAB-Daten

u^*_e	$L^*=L^*_a$	a^*_a	b^*_a	$C^*_{ab,a}$	$h^*_{ab,a}$	u^*_d
r00j	35.47	63.32	30.17	70.15	25	m81o
r25j	39.12	54.56	49.45	73.64	42	o10y
r50j	50.64	39.15	64.89	75.79	59	o40y
r75j	64.01	21.26	82.83	85.52	76	o69y
j00g	83.18	-4.38	108.53	108.62	92	o98y
j25g	66.73	-29.89	83.06	88.28	110	y34l
j50g	54.03	-48.31	63.49	79.78	127	y69l
j75g	44.73	-60.33	42.64	73.88	145	l03c
g00b	47.59	-49.08	15.74	51.54	162	l23c
g25b	49.97	-39.7	-6.72	40.27	190	l55c
g50b	51.85	-32.33	-24.35	40.48	217	l87c
g75b	46.92	-17.29	-36.02	39.96	244	c20v
b00r	37.91	1.28	-42.35	42.37	272	c53v
b25r	23.81	30.38	-52.26	60.45	300	c87v
b50r	29.52	69.06	-42.14	80.9	329	v68m
b75r	36.48	71.47	-3.69	71.57	357	m34o



Ein und Ausgabe: Farbmatisches Drucker-Reflektiv-System FRS09_92a für relativen CIELAB-Bunton $h^* = lab^*h^* = h_{ab}/360 = 0.164$

$u^*_e = r50j$

Daten für jede Farbe:

lab^*tch^* und lab^*icu^*

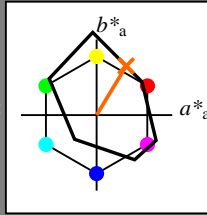
Buntontexte:

$u^*_e = r50j$ $u^*_d = o40y$

Kontrastreduzierungsfaktor:

$c_R = 1.0$

Dreiecks-Helligkeit t^*



FRS09_92a; adaptierte CIELAB-Daten						
u^*_e	$L^*=L^*_a$	a^*_a	b^*_a	$C^*_{ab,a}$	$h^*_{ab,a}$	
O _{Ma}	35.06	60.0	44.0	74.4	36	
Y _{Ma}	83.77	-5.17	109.32	109.44	93	
L _{Ma}	44.13	-62.67	48.24	79.09	142	
C _{Ma}	52.66	-29.14	-31.99	43.27	228	
V _{Ma}	14.15	50.3	-59.04	77.57	310	
M _{Ma}	37.37	78.64	-33.5	85.48	337	
N _{Ma}	8.58	0.0	0.0	0.0	0	
W _{Ma}	92.02	0.0	0.0	0.0	0	
R _{Ma}	39.92	58.74	27.99	65.07	25	
J _{Ma}	81.26	-2.89	71.56	71.62	92	
G _{Ma}	52.23	-42.42	13.6	44.55	162	
B _{Ma}	30.57	1.41	-46.47	46.49	272	

Daten für Maximalfarbe (Ma):

$LAB^*LAB^*_{Ma}$: 51 39 65

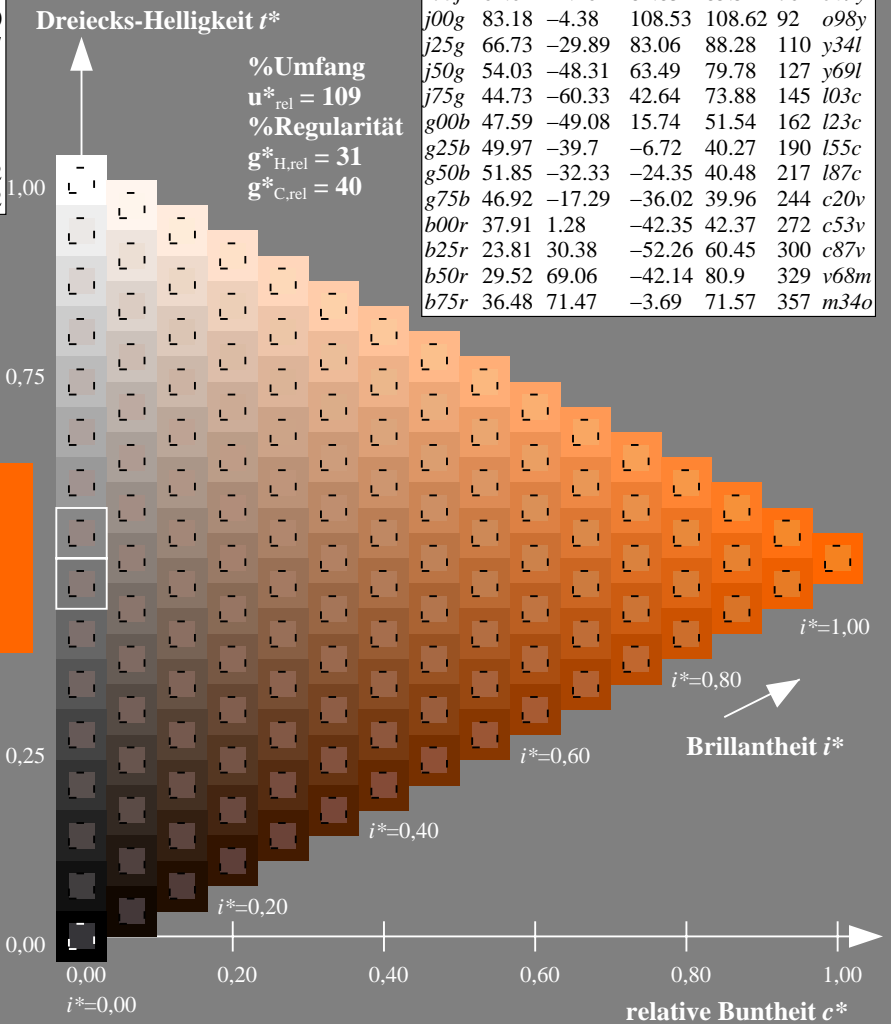
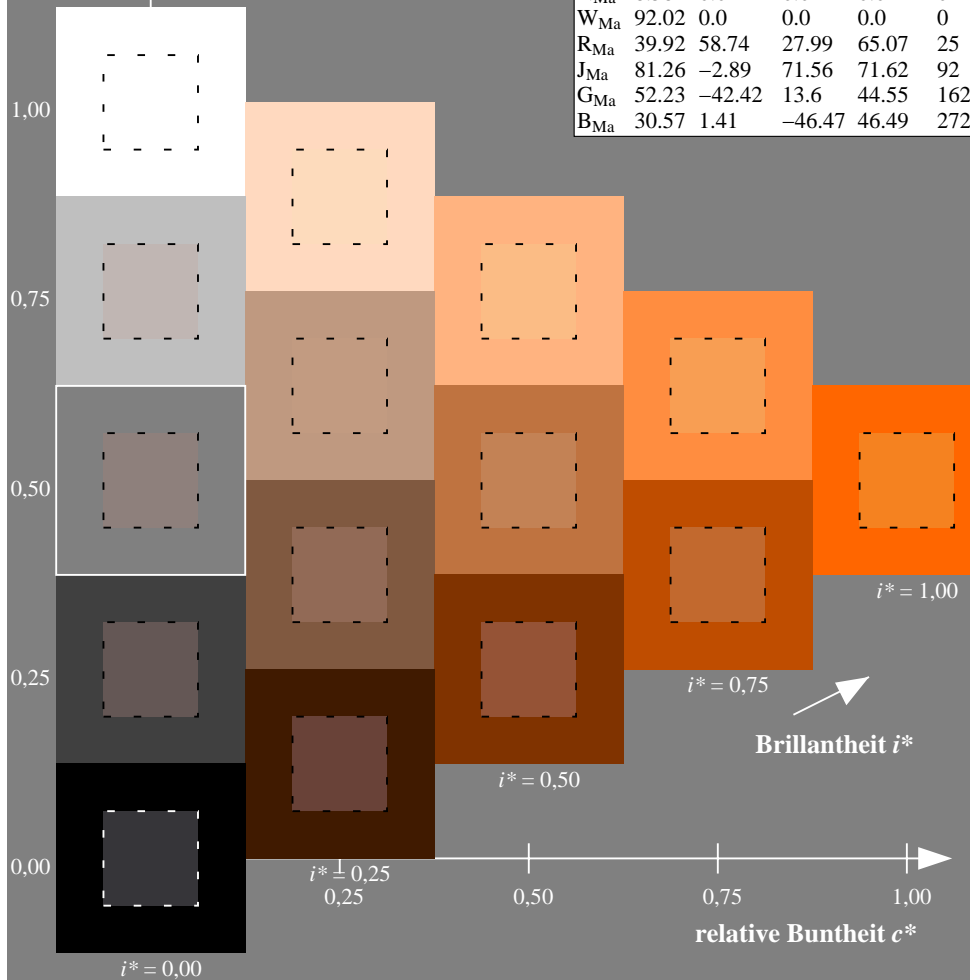
$LAB^*LCH^*_{Ma}$: 51 76 58

$lab^*rgb^*_{Ma}$: 1.0 0.5 0.0

$lab^*olv^*_{Ma}$: 1.0 0.4 0.0

FRS09_92a; adaptierte CIELAB-Daten

u^*_e	$L^*=L^*_a$	a^*_a	b^*_a	$C^*_{ab,a}$	$h^*_{ab,a}$	u^*_d
r00j	35.47	63.32	30.17	70.15	25	m81o
r25j	39.12	54.56	49.45	73.64	42	o10y
r50j	50.64	39.15	64.89	75.79	59	o40y
r75j	64.01	21.26	82.83	85.52	76	o69y
j00g	83.18	-4.38	108.53	108.62	92	o98y
j25g	66.73	-29.89	83.06	88.28	110	y34l
j50g	54.03	-48.31	63.49	79.78	127	y69l
j75g	44.73	-60.33	42.64	73.88	145	l03c
g00b	47.59	-49.08	15.74	51.54	162	l23c
g25b	49.97	-39.7	-6.72	40.27	190	l55c
g50b	51.85	-32.33	-24.35	40.48	217	l87c
g75b	46.92	-17.29	-36.02	39.96	244	c20v
b00r	37.91	1.28	-42.35	42.37	272	c53v
b25r	23.81	30.38	-52.26	60.45	300	c87v
b50r	29.52	69.06	-42.14	80.9	329	v68m
b75r	36.48	71.47	-3.69	71.57	357	m34o



Ein und Ausgabe: Farbmatisches Drucker-Reflektiv-System FRS09_92a für relativen CIELAB-Bunton $h^* = lab^*h^* = h_{ab}^*/360 = 0.21$

$u^*_e = r75j$

Daten für jede Farbe:

lab^*tch^* und lab^*icu^*

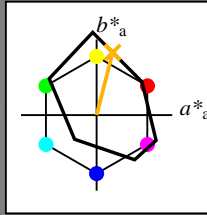
Buntontexte:

$u^*_e = r75j$ $u^*_d = o69y$

Kontrastreduzierungsfaktor:

$c_R = 1.0$

Dreiecks-Helligkeit t^*



FRS09_92a; adaptierte CIELAB-Daten

u^*_e	$L^*=L^*_a$	a^*_a	b^*_a	$C^*_{ab,a}$	$h^*_{ab,a}$
O _{Ma}	35.06	60.0	44.0	74.4	36
Y _{Ma}	83.77	-5.17	109.32	109.44	93
L _{Ma}	44.13	-62.67	48.24	79.09	142
C _{Ma}	52.66	-29.14	-31.99	43.27	228
V _{Ma}	14.15	50.3	-59.04	77.57	310
M _{Ma}	37.37	78.64	-33.5	85.48	337
N _{Ma}	8.58	0.0	0.0	0.0	0
W _{Ma}	92.02	0.0	0.0	0.0	0
R _{Ma}	39.92	58.74	27.99	65.07	25
J _{Ma}	81.26	-2.89	71.56	71.62	92
G _{Ma}	52.23	-42.42	13.6	44.55	162
B _{Ma}	30.57	1.41	-46.47	46.49	272

Daten für Maximalfarbe (Ma):

$LAB^*LAB^*_{Ma}$: 64 21 83

$LAB^*LCH^*_{Ma}$: 64 86 75

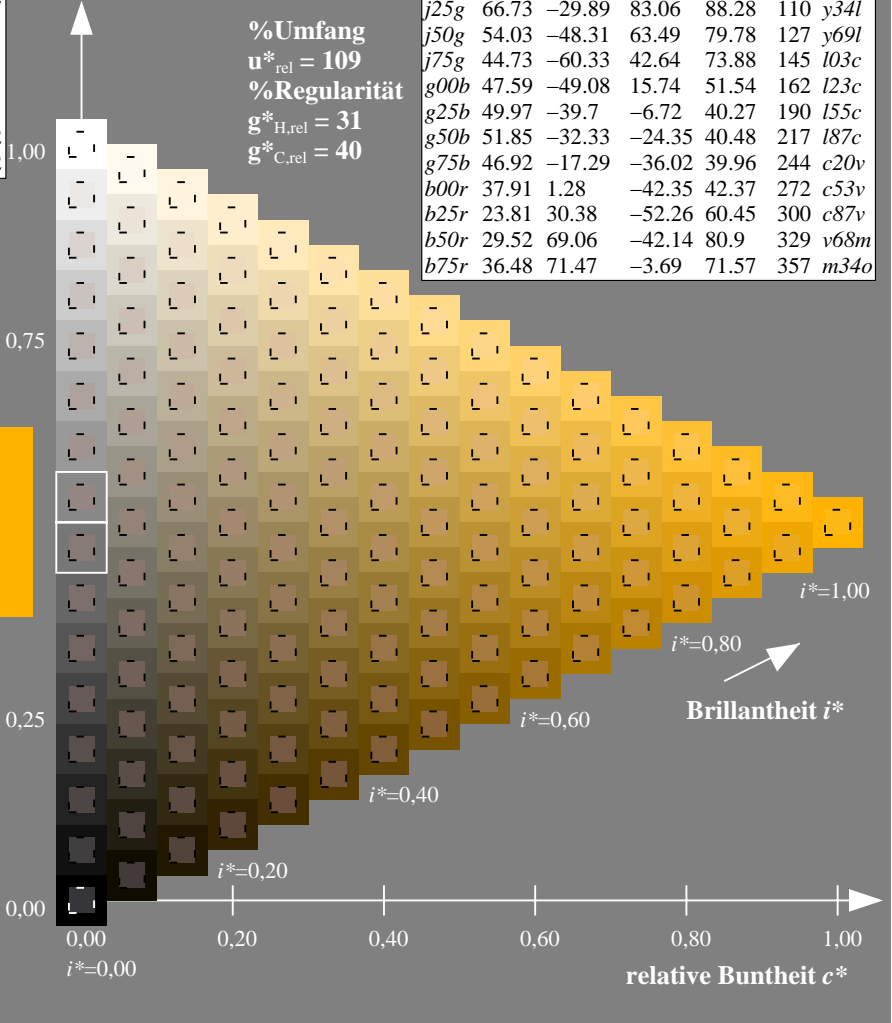
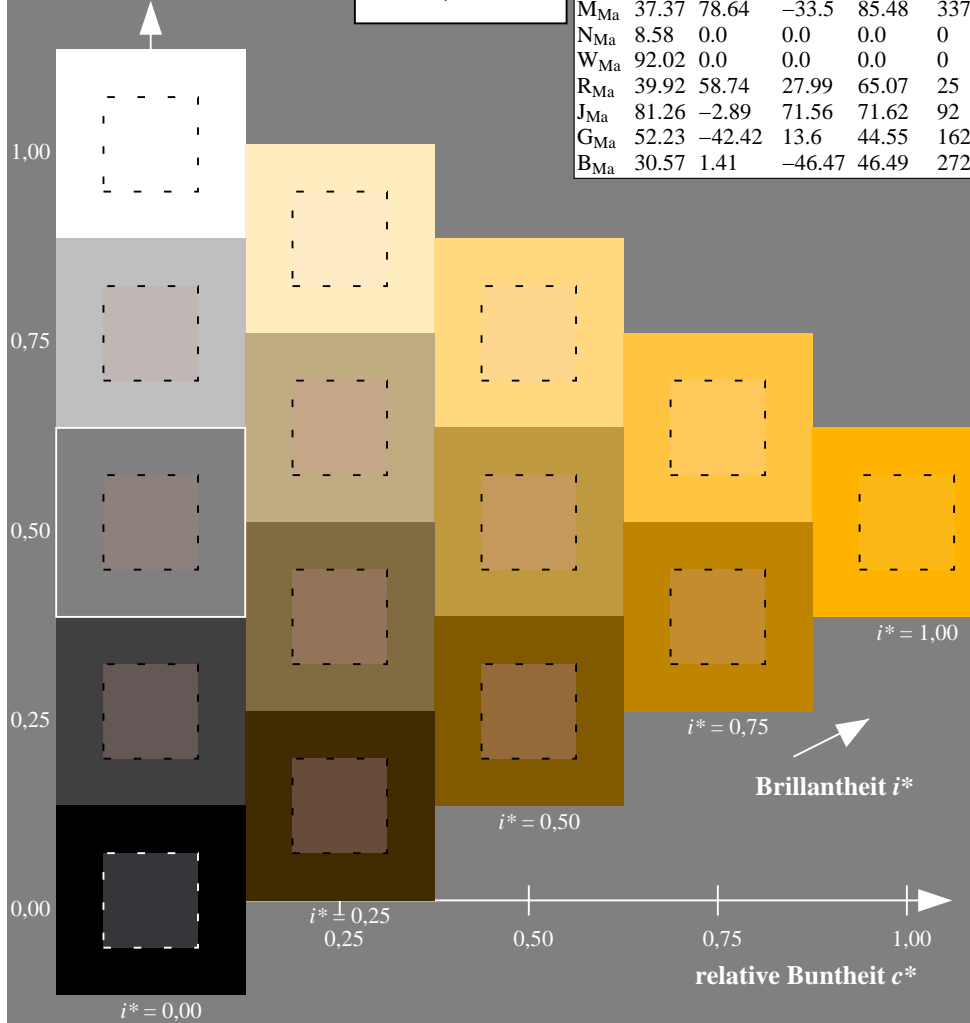
$lab^*rgb^*_{Ma}$: 1.0 0.75 0.0

$lab^*olv^*_{Ma}$: 1.0 0.7 0.0

Dreiecks-Helligkeit t^*

FRS09_92a; adaptierte CIELAB-Daten

u^*_e	$L^*=L^*_a$	a^*_a	b^*_a	$C^*_{ab,a}$	$h^*_{ab,a}$	u^*_d
r00j	35.47	63.32	30.17	70.15	25	m81o
r25j	39.12	54.56	49.45	73.64	42	o10y
r50j	50.64	39.15	64.89	75.79	59	o40y
r75j	64.01	21.26	82.83	85.52	76	o69y
j00g	83.18	-4.38	108.53	108.62	92	o98y
j25g	66.73	-29.89	83.06	88.28	110	y34l
j50g	54.03	-48.31	63.49	79.78	127	y69l
j75g	44.73	-60.33	42.64	73.88	145	l03c
g00b	47.59	-49.08	15.74	51.54	162	l23c
g25b	49.97	-39.7	-6.72	40.27	190	l55c
g50b	51.85	-32.33	-24.35	40.48	217	l87c
g75b	46.92	-17.29	-36.02	39.96	244	c20v
b00r	37.91	1.28	-42.35	42.37	272	c53v
b25r	23.81	30.38	-52.26	60.45	300	c87v
b50r	29.52	69.06	-42.14	80.9	329	v68m
b75r	36.48	71.47	-3.69	71.57	357	m34o



Ein und Ausgabe: Farbmatisches Drucker-Reflektiv-System FRS09_92a für relativen CIELAB-Bunton $h^* = lab^*h^* = h_{ab}/360 = 0.256$

$u^*_e = j00g$

Daten für jede Farbe:

lab^*tch^* und lab^*icu^*

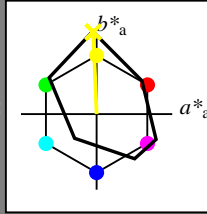
Buntontexte:

$u^*_e = j00g$ $u^*_d = o98y$

Kontrastreduzierungsfaktor:

$c_R = 1.0$

Dreiecks-Helligkeit t^*



FRS09_92a; adaptierte CIELAB-Daten						
u^*_e	$L^*=L^*_a$	a^*_a	b^*_a	$C^*_{ab,a}$	$h^*_{ab,a}$	
O _{Ma}	35.06	60.0	44.0	74.4	36	
Y _{Ma}	83.77	-5.17	109.32	109.44	93	
L _{Ma}	44.13	-62.67	48.24	79.09	142	
C _{Ma}	52.66	-29.14	-31.99	43.27	228	
V _{Ma}	14.15	50.3	-59.04	77.57	310	
M _{Ma}	37.37	78.64	-33.5	85.48	337	
N _{Ma}	8.58	0.0	0.0	0.0	0	
W _{Ma}	92.02	0.0	0.0	0.0	0	
R _{Ma}	39.92	58.74	27.99	65.07	25	
J _{Ma}	81.26	-2.89	71.56	71.62	92	
G _{Ma}	52.23	-42.42	13.6	44.55	162	
B _{Ma}	30.57	1.41	-46.47	46.49	272	

Daten für Maximalfarbe (Ma):

$LAB^*LAB^*_{Ma}$: 83 -4 109

$LAB^*LCH^*_{Ma}$: 83 109 92

$lab^*rgb^*_{Ma}$: 1.0 1.0 0.0

$lab^*olv^*_{Ma}$: 1.0 0.99 0.0

Dreiecks-Helligkeit t^*

%Umfang

$u^*_{rel} = 109$

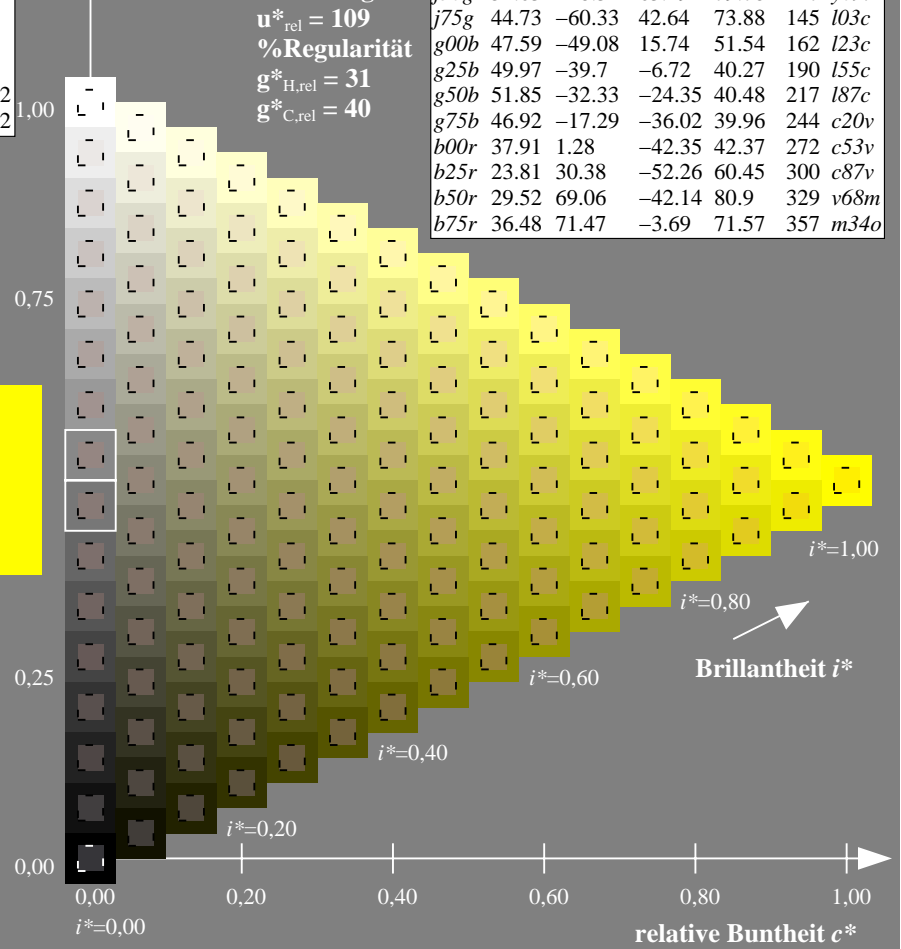
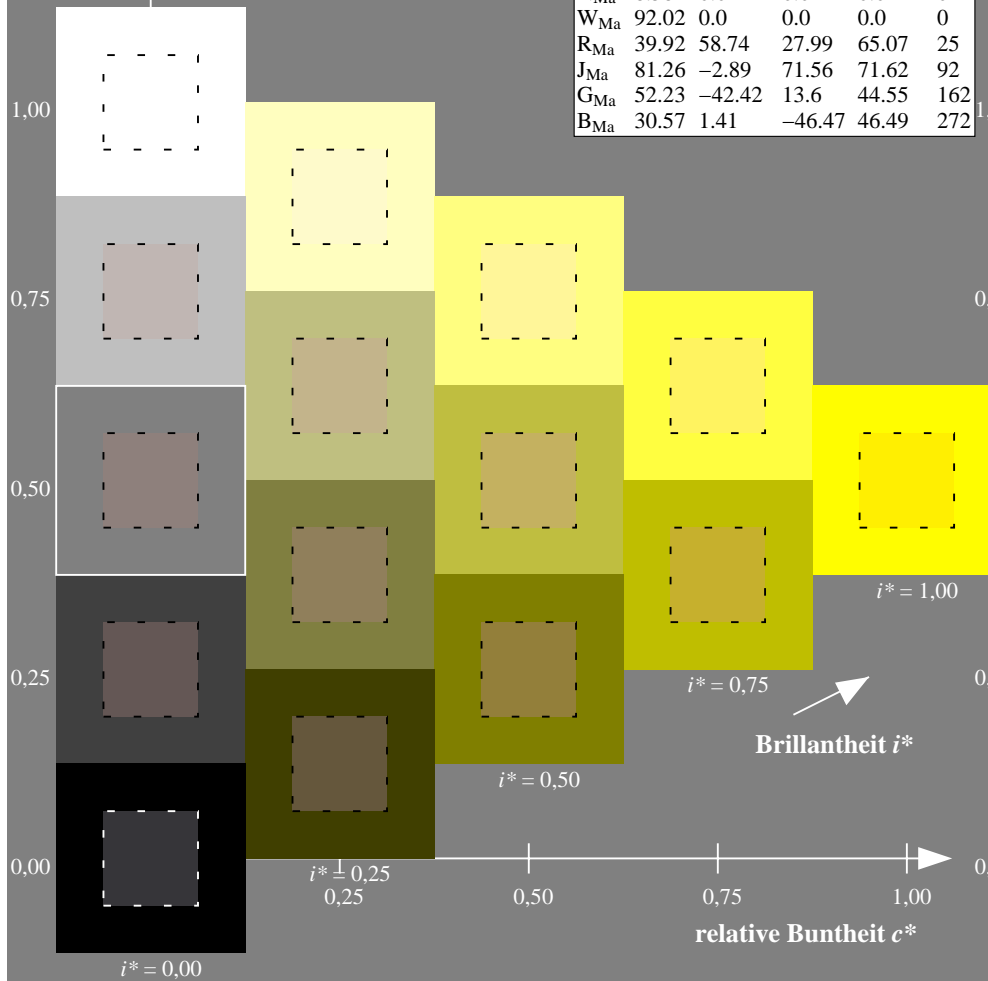
%Regularität

$g^*_{H,rel} = 31$

$g^*_{C,rel} = 40$

FRS09_92a; adaptierte CIELAB-Daten

u^*_e	$L^*=L^*_a$	a^*_a	b^*_a	$C^*_{ab,a}$	$h^*_{ab,a}$	u^*_d
r00j	35.47	63.32	30.17	70.15	25	m81o
r25j	39.12	54.56	49.45	73.64	42	o10y
r50j	50.64	39.15	64.89	75.79	59	o40y
r75j	64.01	21.26	82.83	85.52	76	o69y
j00g	83.18	-4.38	108.53	108.62	92	o98y
j25g	66.73	-29.89	83.06	88.28	110	y34l
j50g	54.03	-48.31	63.49	79.78	127	y69l
j75g	44.73	-60.33	42.64	73.88	145	l03c
g00b	47.59	-49.08	15.74	51.54	162	l23c
g25b	49.97	-39.7	-6.72	40.27	190	l55c
g50b	51.85	-32.33	-24.35	40.48	217	l87c
g75b	46.92	-17.29	-36.02	39.96	244	c20v
b00r	37.91	1.28	-42.35	42.37	272	c53v
b25r	23.81	30.38	-52.26	60.45	300	c87v
b50r	29.52	69.06	-42.14	80.9	329	v68m
b75r	36.48	71.47	-3.69	71.57	357	m34o



Ein und Ausgabe: Farbmatisches Drucker-Reflektiv-System FRS09_92a für relativen CIELAB-Bunton $h^* = lab^*h^* = h_{ab}/360 = 0.305$

$u^*_e = j25g$

Daten für jede Farbe:

lab^*tch^* und lab^*icu^*

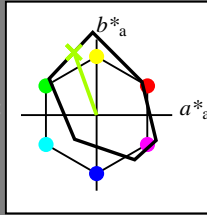
Buntontexte:

$u^*_e = j25g$ $u^*_d = y34l$

Kontrastreduzierungsfaktor:

$c_R = 1.0$

Dreiecks-Helligkeit t^*



FRS09_92a; adaptierte CIELAB-Daten						
u^*_e	$L^*=L^*_a$	a^*_a	b^*_a	$C^*_{ab,a}$	$h^*_{ab,a}$	
O _{Ma}	35.06	60.0	44.0	74.4	36	
Y _{Ma}	83.77	-5.17	109.32	109.44	93	
L _{Ma}	44.13	-62.67	48.24	79.09	142	
C _{Ma}	52.66	-29.14	-31.99	43.27	228	
V _{Ma}	14.15	50.3	-59.04	77.57	310	
M _{Ma}	37.37	78.64	-33.5	85.48	337	
N _{Ma}	8.58	0.0	0.0	0.0	0	
W _{Ma}	92.02	0.0	0.0	0.0	0	
R _{Ma}	39.92	58.74	27.99	65.07	25	
J _{Ma}	81.26	-2.89	71.56	71.62	92	
G _{Ma}	52.23	-42.42	13.6	44.55	162	
B _{Ma}	30.57	1.41	-46.47	46.49	272	

Daten für Maximalfarbe (Ma):

$LAB^*LAB^*_{Ma}: 67 -30 83$

$LAB^*LCH^*_{Ma}: 67 88 109$

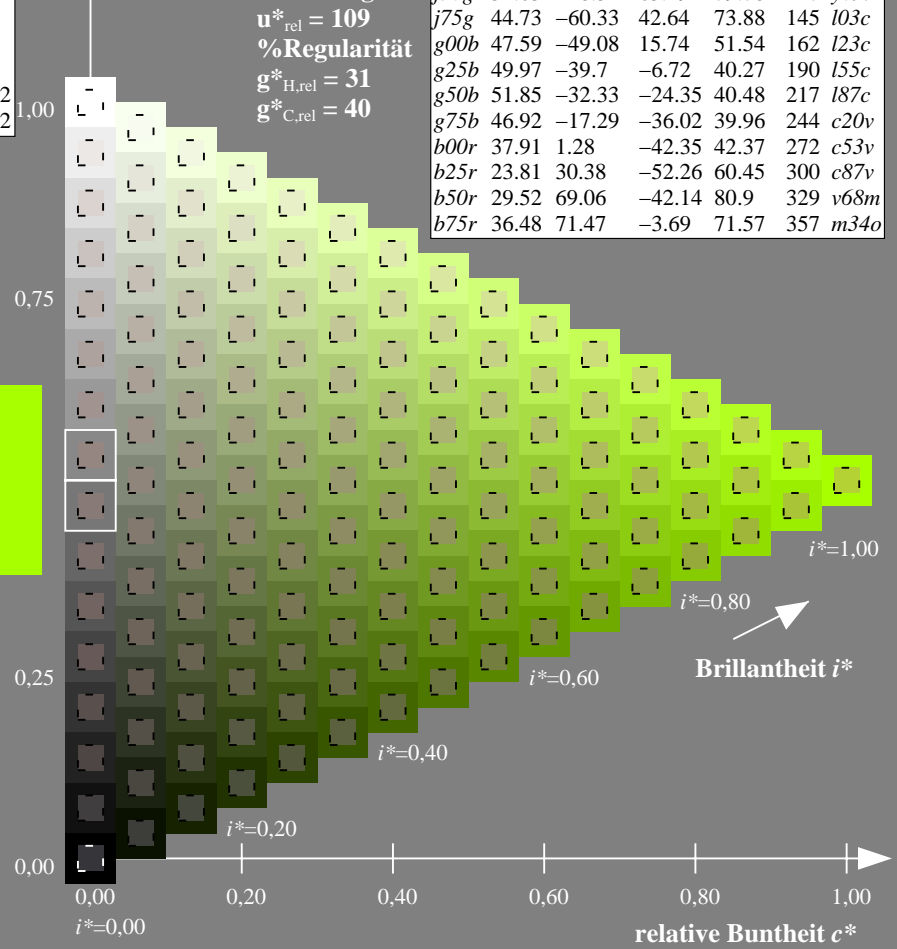
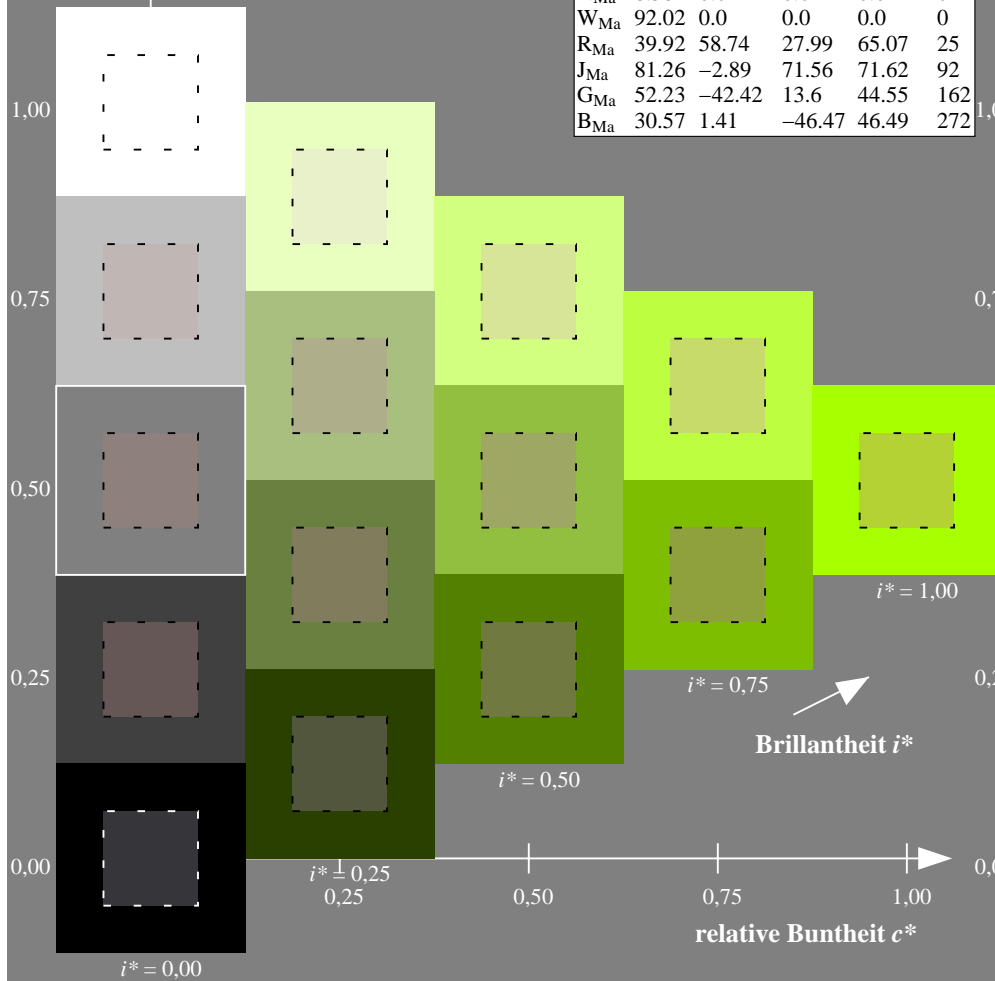
$lab^*rgb^*_{Ma}: 0.75 1.0 0.0$

$lab^*olv^*_{Ma}: 0.66 1.0 0.0$

Dreiecks-Helligkeit t^*

FRS09_92a; adaptierte CIELAB-Daten

u^*_e	$L^*=L^*_a$	a^*_a	b^*_a	$C^*_{ab,a}$	$h^*_{ab,a}$	u^*_d
r00j	35.47	63.32	30.17	70.15	25	m81o
r25j	39.12	54.56	49.45	73.64	42	o10y
r50j	50.64	39.15	64.89	75.79	59	o40y
r75j	64.01	21.26	82.83	85.52	76	o69y
j00g	83.18	-4.38	108.53	108.62	92	o98y
j25g	66.73	-29.89	83.06	88.28	110	y34l
j50g	54.03	-48.31	63.49	79.78	127	y69l
j75g	44.73	-60.33	42.64	73.88	145	l03c
g00b	47.59	-49.08	15.74	51.54	162	l23c
g25b	49.97	-39.7	-6.72	40.27	190	l55c
g50b	51.85	-32.33	-24.35	40.48	217	l87c
g75b	46.92	-17.29	-36.02	39.96	244	c20v
b00r	37.91	1.28	-42.35	42.37	272	c53v
b25r	23.81	30.38	-52.26	60.45	300	c87v
b50r	29.52	69.06	-42.14	80.9	329	v68m
b75r	36.48	71.47	-3.69	71.57	357	m34o



Ein und Ausgabe: Farbmetrisches Drucker-Reflektiv-System FRS09_92a für relativen CIELAB-Bunton $h^* = lab^*h^* = h_{ab}/360 = 0.354$

$u^*_e = j50g$

Daten für jede Farbe:

lab^*tch^* und lab^*icu^*

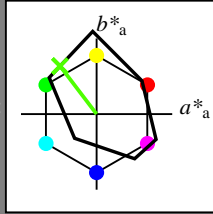
Buntontexte:

$u^*_e = j50g$ $u^*_d = y69l$

Kontrastreduzierungsfaktor:

$c_R = 1.0$

Dreiecks-Helligkeit t^*



FRS09_92a; adaptierte CIELAB-Daten

u^*_e	$L^*=L^*_a$	a^*_a	b^*_a	$C^*_{ab,a}$	$h^*_{ab,a}$
O _{Ma}	35.06	60.0	44.0	74.4	36
Y _{Ma}	83.77	-5.17	109.32	109.44	93
L _{Ma}	44.13	-62.67	48.24	79.09	142
C _{Ma}	52.66	-29.14	-31.99	43.27	228
V _{Ma}	14.15	50.3	-59.04	77.57	310
M _{Ma}	37.37	78.64	-33.5	85.48	337
N _{Ma}	8.58	0.0	0.0	0.0	0
W _{Ma}	92.02	0.0	0.0	0.0	0
R _{Ma}	39.92	58.74	27.99	65.07	25
J _{Ma}	81.26	-2.89	71.56	71.62	92
G _{Ma}	52.23	-42.42	13.6	44.55	162
B _{Ma}	30.57	1.41	-46.47	46.49	272

Daten für Maximalfarbe (Ma):

$LAB^*LAB^*_{Ma}$: 54 -48 63

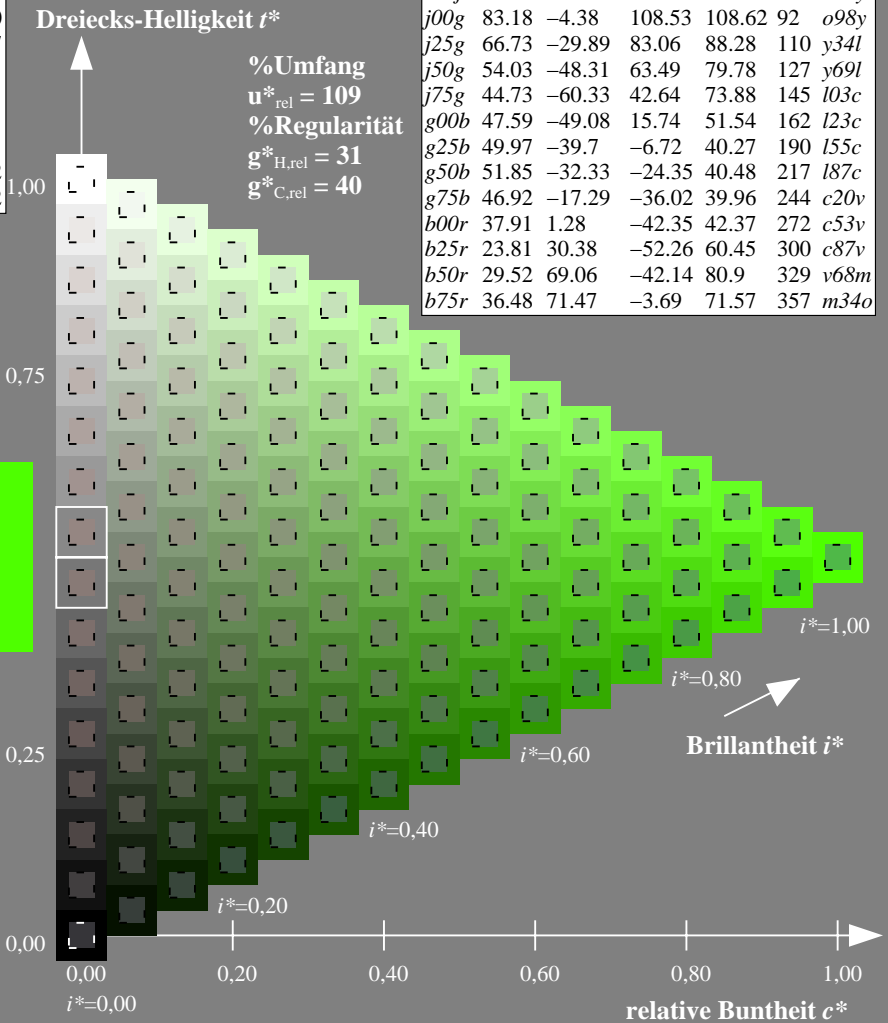
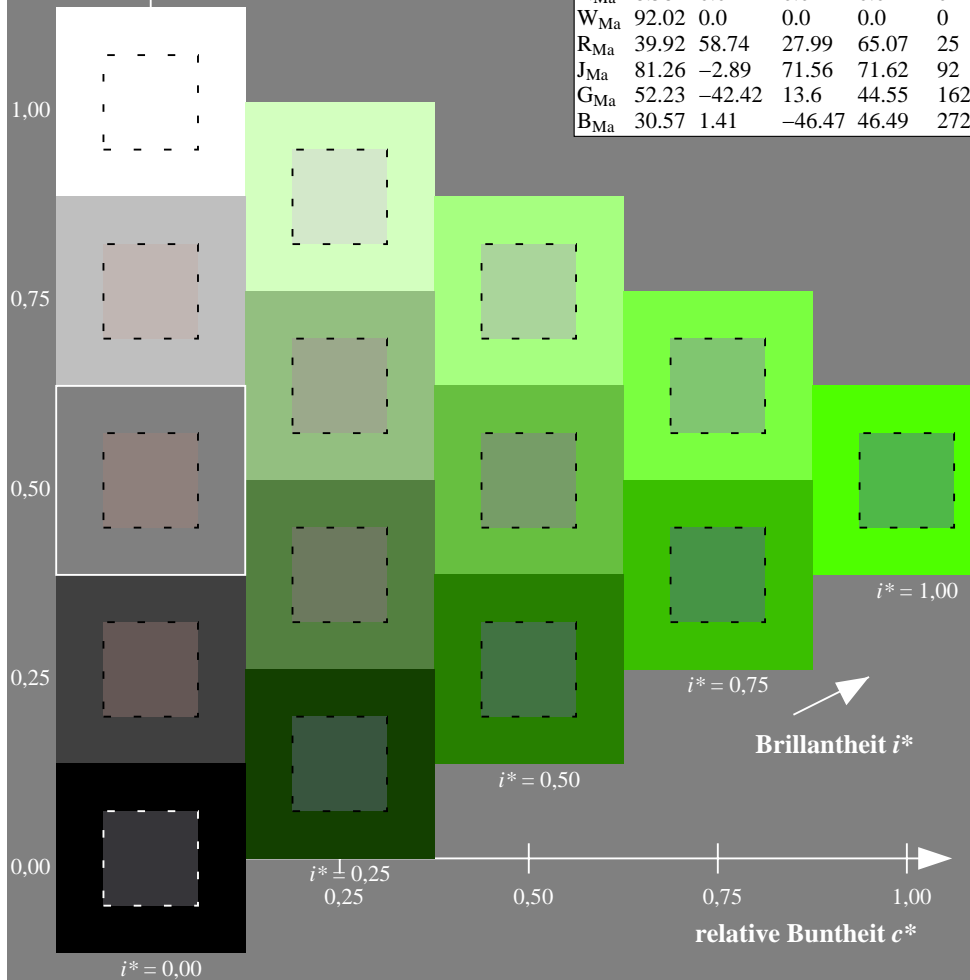
$LAB^*LCH^*_{Ma}$: 54 80 127

$lab^*rgb^*_{Ma}$: 0.5 1.0 0.0

$lab^*olv^*_{Ma}$: 0.3 1.0 0.0

FRS09_92a; adaptierte CIELAB-Daten

u^*_e	$L^*=L^*_a$	a^*_a	b^*_a	$C^*_{ab,a}$	$h^*_{ab,a}$	u^*_d
r00j	35.47	63.32	30.17	70.15	25	m81o
r25j	39.12	54.56	49.45	73.64	42	o10y
r50j	50.64	39.15	64.89	75.79	59	o40y
r75j	64.01	21.26	82.83	85.52	76	o69y
j00g	83.18	-4.38	108.53	108.62	92	o98y
j25g	66.73	-29.89	83.06	88.28	110	y34l
j50g	54.03	-48.31	63.49	79.78	127	y69l
j75g	44.73	-60.33	42.64	73.88	145	l03c
g00b	47.59	-49.08	15.74	51.54	162	l23c
g25b	49.97	-39.7	-6.72	40.27	190	l55c
g50b	51.85	-32.33	-24.35	40.48	217	l87c
g75b	46.92	-17.29	-36.02	39.96	244	c20v
b00r	37.91	1.28	-42.35	42.37	272	c53v
b25r	23.81	30.38	-52.26	60.45	300	c87v
b50r	29.52	69.06	-42.14	80.9	329	v68m
b75r	36.48	71.47	-3.69	71.57	357	m34o



Ein und Ausgabe: Farbmatisches Drucker-Reflektiv-System FRS09_92a für relativen CIELAB-Bunton $h^* = lab^*h^* = h_{ab}/360 = 0.527$

$u^*_e = g25b$

Daten für jede Farbe:

lab^*tch^* und lab^*icu^*

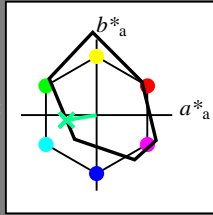
Buntontexte:

$u^*_e = g25b$ $u^*_d = l55c$

Kontrastreduzierungsfaktor:

$c_R = 1.0$

Dreiecks-Helligkeit t^*



FRS09_92a; adaptierte CIELAB-Daten

u^*_e	$L^*=L^*_a$	a^*_a	b^*_a	$C^*_{ab,a}$	$h^*_{ab,a}$
O _{Ma}	35.06	60.0	44.0	74.4	36
Y _{Ma}	83.77	-5.17	109.32	109.44	93
L _{Ma}	44.13	-62.67	48.24	79.09	142
C _{Ma}	52.66	-29.14	-31.99	43.27	228
V _{Ma}	14.15	50.3	-59.04	77.57	310
M _{Ma}	37.37	78.64	-33.5	85.48	337
N _{Ma}	8.58	0.0	0.0	0.0	0
W _{Ma}	92.02	0.0	0.0	0.0	0
R _{Ma}	39.92	58.74	27.99	65.07	25
J _{Ma}	81.26	-2.89	71.56	71.62	92
G _{Ma}	52.23	-42.42	13.6	44.55	162
B _{Ma}	30.57	1.41	-46.47	46.49	272

Daten für Maximalfarbe (Ma):

$LAB^*LAB^*_{Ma}: 50 -40 -7$

$LAB^*LCH^*_{Ma}: 50 40 189$

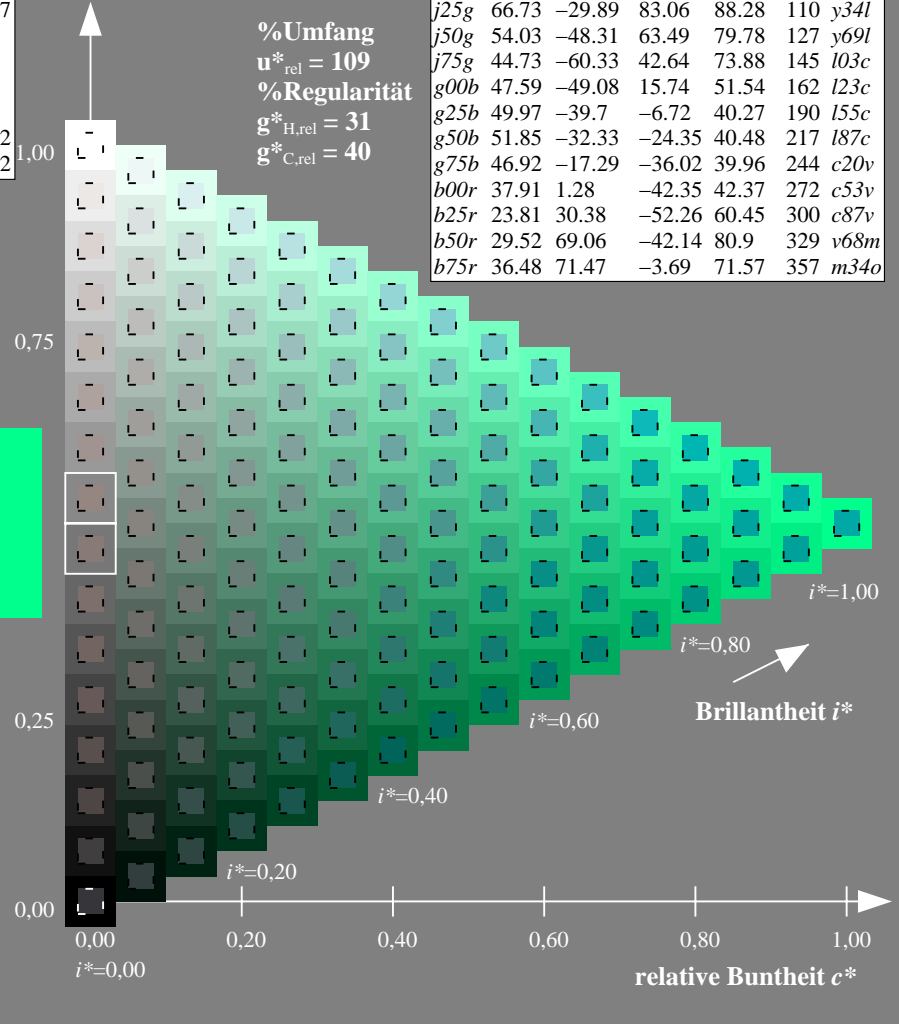
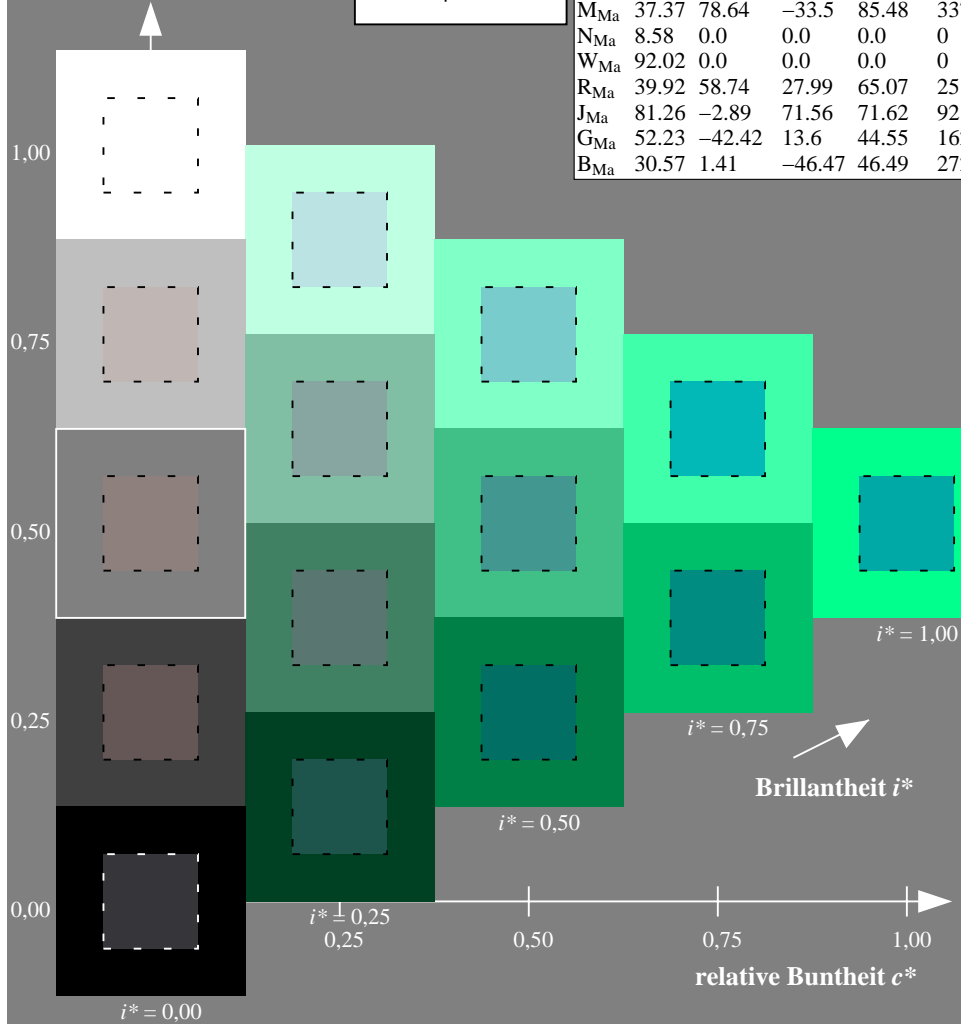
$lab^*rgb^*_{Ma}: 0.0 1.0 0.5$

$lab^*olv^*_{Ma}: 0.0 1.0 0.55$

Dreiecks-Helligkeit t^*

FRS09_92a; adaptierte CIELAB-Daten

u^*_e	$L^*=L^*_a$	a^*_a	b^*_a	$C^*_{ab,a}$	$h^*_{ab,a}$	u^*_d
r00j	35.47	63.32	30.17	70.15	25	m81o
r25j	39.12	54.56	49.45	73.64	42	o10y
r50j	50.64	39.15	64.89	75.79	59	o40y
r75j	64.01	21.26	82.83	85.52	76	o69y
j00g	83.18	-4.38	108.53	108.62	92	o98y
j25g	66.73	-29.89	83.06	88.28	110	y34l
j50g	54.03	-48.31	63.49	79.78	127	y69l
j75g	44.73	-60.33	42.64	73.88	145	l03c
g00b	47.59	-49.08	15.74	51.54	162	l23c
g25b	49.97	-39.7	-6.72	40.27	190	l55c
g50b	51.85	-32.33	-24.35	40.48	217	l87c
g75b	46.92	-17.29	-36.02	39.96	244	c20v
b00r	37.91	1.28	-42.35	42.37	272	c53v
b25r	23.81	30.38	-52.26	60.45	300	c87v
b50r	29.52	69.06	-42.14	80.9	329	v68m
b75r	36.48	71.47	-3.69	71.57	357	m34o



Ein und Ausgabe: Farbmatisches Drucker-Reflektiv-System FRS09_92a für relativen CIELAB-Bunton $h^* = lab^*h^* = h_{ab}/360 = 0.603$

$u^*_e = g50b$

Daten für jede Farbe:

lab^*tch^* und lab^*icu^*

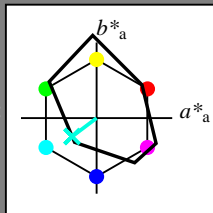
Buntontexte:

$u^*_e = g50b$ $u^*_d = l87c$

Kontrastreduzierungsfaktor:

$c_R = 1.0$

Dreiecks-Helligkeit t^*



FRS09_92a; adaptierte CIELAB-Daten

u^*_e	$L^*=L^*_a$	a^*_a	b^*_a	$C^*_{ab,a}$	$h^*_{ab,a}$
O _{Ma}	35.06	60.0	44.0	74.4	36
Y _{Ma}	83.77	-5.17	109.32	109.44	93
L _{Ma}	44.13	-62.67	48.24	79.09	142
C _{Ma}	52.66	-29.14	-31.99	43.27	228
V _{Ma}	14.15	50.3	-59.04	77.57	310
M _{Ma}	37.37	78.64	-33.5	85.48	337
N _{Ma}	8.58	0.0	0.0	0.0	0
W _{Ma}	92.02	0.0	0.0	0.0	0
R _{Ma}	39.92	58.74	27.99	65.07	25
J _{Ma}	81.26	-2.89	71.56	71.62	92
G _{Ma}	52.23	-42.42	13.6	44.55	162
B _{Ma}	30.57	1.41	-46.47	46.49	272

Daten für Maximalfarbe (Ma):

$LAB^*LAB^*_{Ma}: 52 -32 -24$

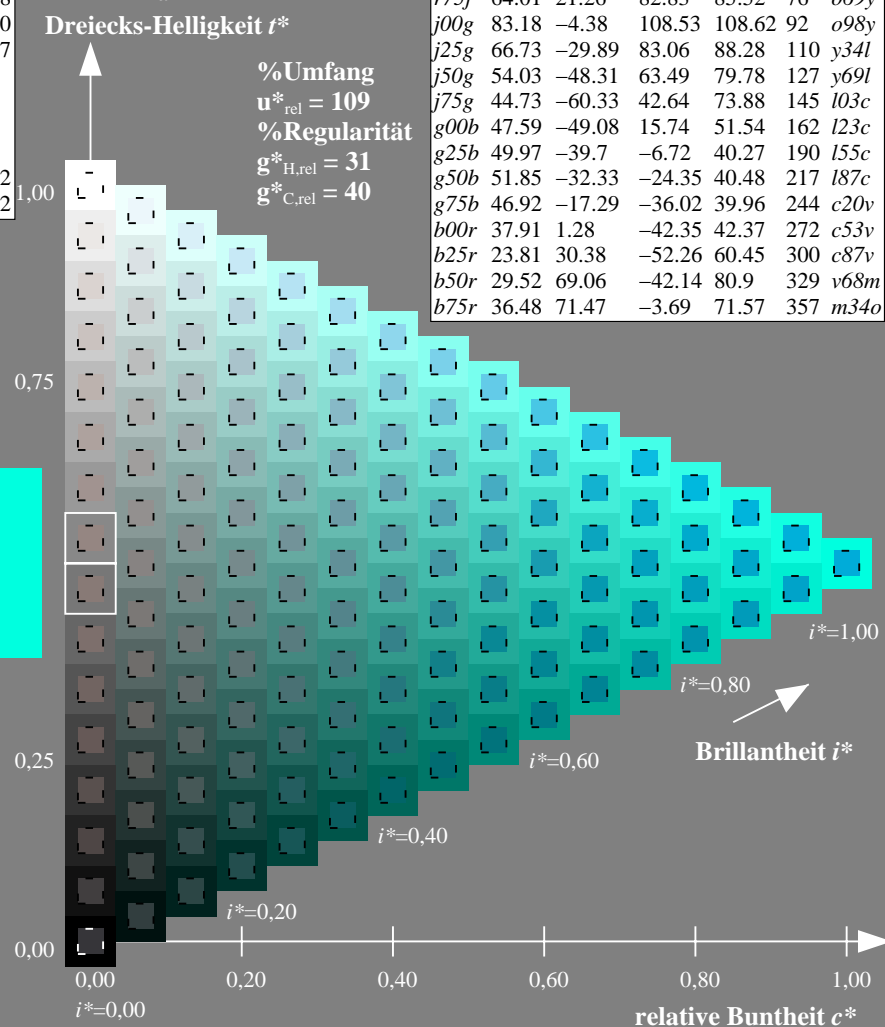
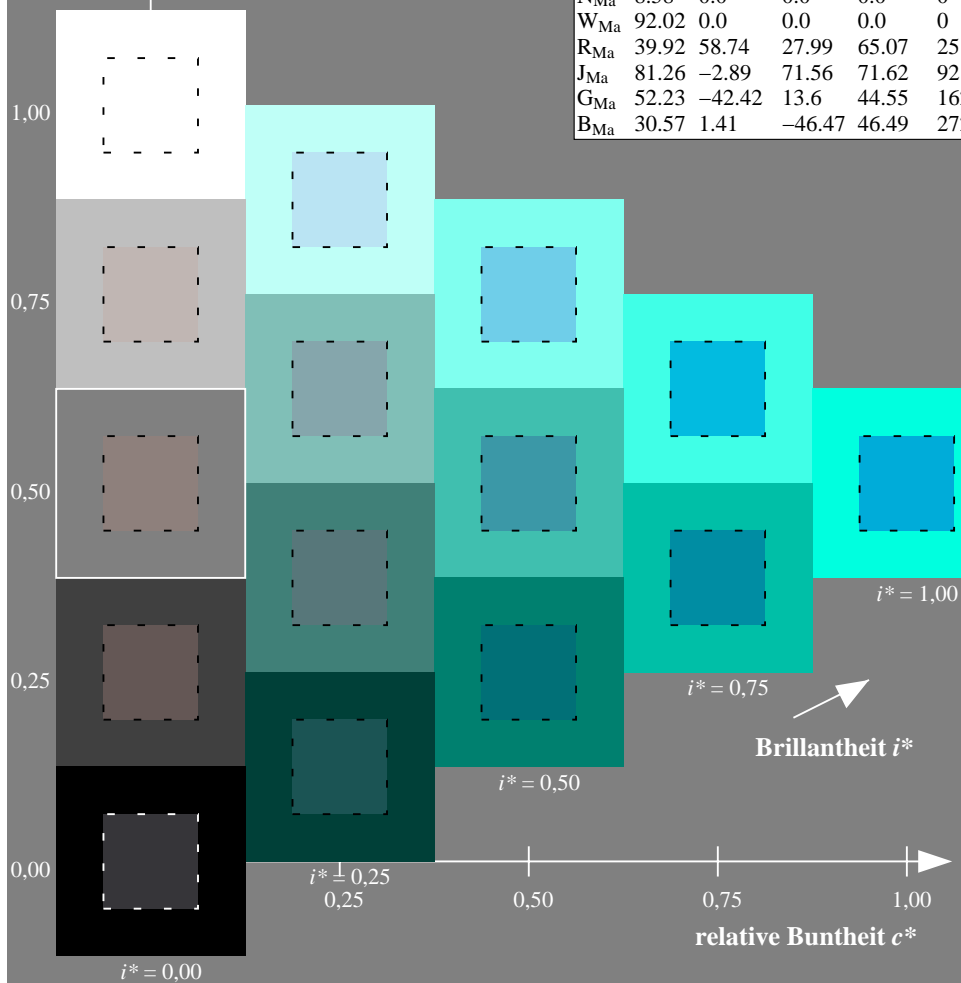
$LAB^*LCH^*_{Ma}: 52 40 216$

$lab^*rgb^*_{Ma}: 0.0 1.0 1.0$

$lab^*olv^*_{Ma}: 0.0 1.0 0.87$

FRS09_92a; adaptierte CIELAB-Daten

u^*_e	$L^*=L^*_a$	a^*_a	b^*_a	$C^*_{ab,a}$	$h^*_{ab,a}$	u^*_d
r00j	35.47	63.32	30.17	70.15	25	m81o
r25j	39.12	54.56	49.45	73.64	42	o10y
r50j	50.64	39.15	64.89	75.79	59	o40y
r75j	64.01	21.26	82.83	85.52	76	o69y
j00g	83.18	-4.38	108.53	108.62	92	o98y
j25g	66.73	-29.89	83.06	88.28	110	y34l
j50g	54.03	-48.31	63.49	79.78	127	y69l
j75g	44.73	-60.33	42.64	73.88	145	l03c
g00b	47.59	-49.08	15.74	51.54	162	l23c
g25b	49.97	-39.7	-6.72	40.27	190	l55c
g50b	51.85	-32.33	-24.35	40.48	217	l87c
g75b	46.92	-17.29	-36.02	39.96	244	c20v
b00r	37.91	1.28	-42.35	42.37	272	c53v
b25r	23.81	30.38	-52.26	60.45	300	c87v
b50r	29.52	69.06	-42.14	80.9	329	v68m
b75r	36.48	71.47	-3.69	71.57	357	m34o



Ein und Ausgabe: Farbmatisches Drucker-Reflektiv-System FRS09_92a für relativen CIELAB-Bunton $h^* = lab^*h^* = h_{ab}/360 = 0.679$

$u^*_e = g75b$

Daten für jede Farbe:

lab^*tch^* und lab^*icu^*

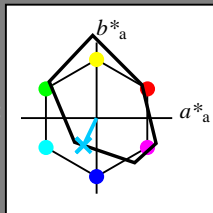
Buntontexte:

$u^*_e = g75b$ $u^*_d = c20v$

Kontrastreduzierungsfaktor:

$c_R = 1.0$

Dreiecks-Helligkeit t^*



FRS09_92a; adaptierte CIELAB-Daten

u^*_e	$L^*=L^*_a$	a^*_a	b^*_a	$C^*_{ab,a}$	$h^*_{ab,a}$
O _{Ma}	35.06	60.0	44.0	74.4	36
Y _{Ma}	83.77	-5.17	109.32	109.44	93
L _{Ma}	44.13	-62.67	48.24	79.09	142
C _{Ma}	52.66	-29.14	-31.99	43.27	228
V _{Ma}	14.15	50.3	-59.04	77.57	310
M _{Ma}	37.37	78.64	-33.5	85.48	337
N _{Ma}	8.58	0.0	0.0	0.0	0
W _{Ma}	92.02	0.0	0.0	0.0	0
R _{Ma}	39.92	58.74	27.99	65.07	25
J _{Ma}	81.26	-2.89	71.56	71.62	92
G _{Ma}	52.23	-42.42	13.6	44.55	162
B _{Ma}	30.57	1.41	-46.47	46.49	272

Daten für Maximalfarbe (Ma):

$LAB^*LAB^*_{Ma}$: 47 -17 -36

$LAB^*LCH^*_{Ma}$: 47 40 244

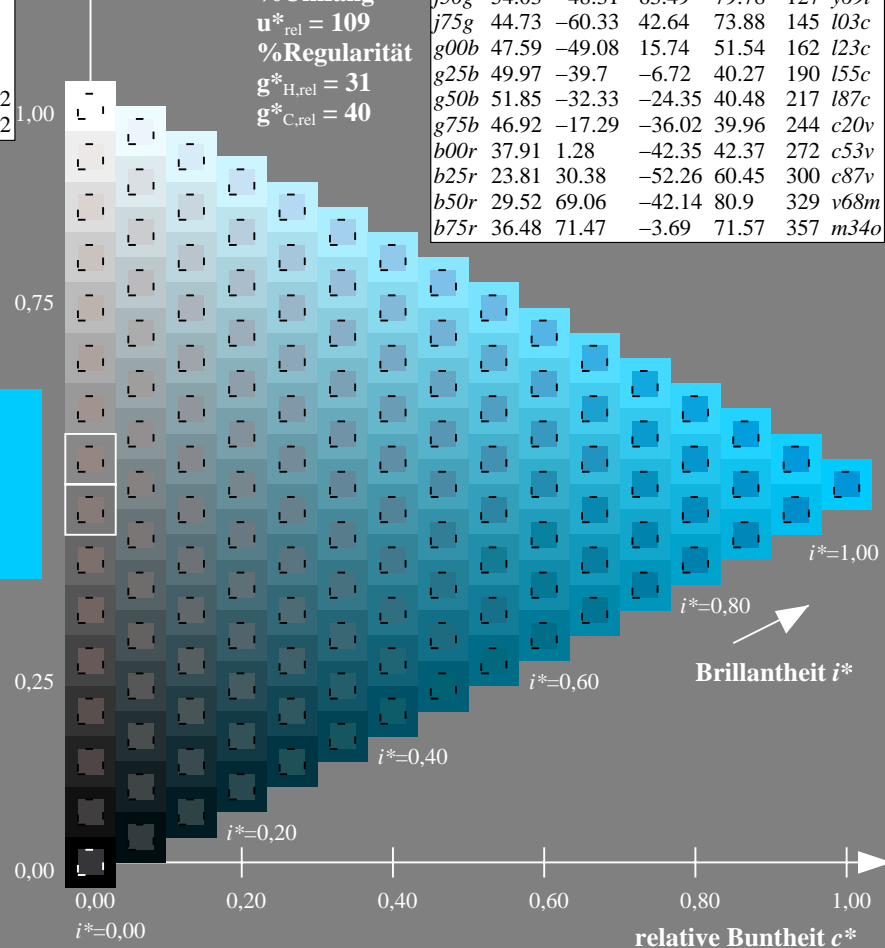
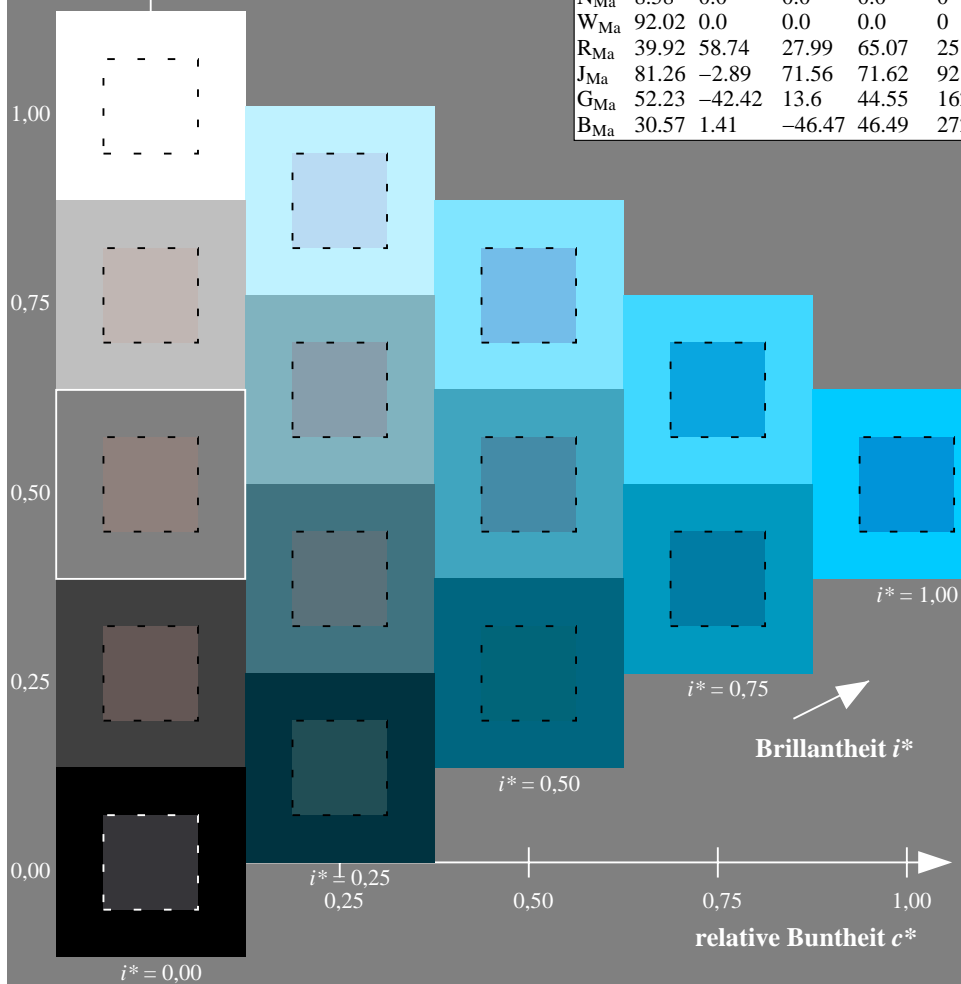
$lab^*rgb^*_{Ma}$: 0.0 0.5 1.0

$lab^*olv^*_{Ma}$: 0.0 0.8 1.0

Dreiecks-Helligkeit t^*

FRS09_92a; adaptierte CIELAB-Daten

u^*_e	$L^*=L^*_a$	a^*_a	b^*_a	$C^*_{ab,a}$	$h^*_{ab,a}$	u^*_d
r00j	35.47	63.32	30.17	70.15	25	m81o
r25j	39.12	54.56	49.45	73.64	42	o10y
r50j	50.64	39.15	64.89	75.79	59	o40y
r75j	64.01	21.26	82.83	85.52	76	o69y
j00g	83.18	-4.38	108.53	108.62	92	o98y
j25g	66.73	-29.89	83.06	88.28	110	y34l
j50g	54.03	-48.31	63.49	79.78	127	y69l
j75g	44.73	-60.33	42.64	73.88	145	l03c
g00b	47.59	-49.08	15.74	51.54	162	l23c
g25b	49.97	-39.7	-6.72	40.27	190	l55c
g50b	51.85	-32.33	-24.35	40.48	217	l87c
g75b	46.92	-17.29	-36.02	39.96	244	c20v
b00r	37.91	1.28	-42.35	42.37	272	c53v
b25r	23.81	30.38	-52.26	60.45	300	c87v
b50r	29.52	69.06	-42.14	80.9	329	v68m
b75r	36.48	71.47	-3.69	71.57	357	m34o



Ein und Ausgabe: Farbmatisches Drucker-Reflektiv-System FRS09_92a für relativen CIELAB-Bunton $h^* = lab^*h^* = h_{ab}/360 = 0.755$

$u^*_e = b00r$

Daten für jede Farbe:

lab^*tch^* und lab^*icu^*

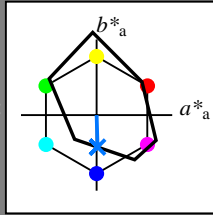
Buntontexte:

$u^*_e = b00r$ $u^*_d = c53v$

Kontrastreduzierungsfaktor:

$c_R = 1.0$

Dreiecks-Helligkeit t^*



FRS09_92a; adaptierte CIELAB-Daten

u^*_e	$L^*=L^*_a$	a^*_a	b^*_a	$C^*_{ab,a}$	$h^*_{ab,a}$
O _{Ma}	35.06	60.0	44.0	74.4	36
Y _{Ma}	83.77	-5.17	109.32	109.44	93
L _{Ma}	44.13	-62.67	48.24	79.09	142
C _{Ma}	52.66	-29.14	-31.99	43.27	228
V _{Ma}	14.15	50.3	-59.04	77.57	310
M _{Ma}	37.37	78.64	-33.5	85.48	337
N _{Ma}	8.58	0.0	0.0	0.0	0
W _{Ma}	92.02	0.0	0.0	0.0	0
R _{Ma}	39.92	58.74	27.99	65.07	25
J _{Ma}	81.26	-2.89	71.56	71.62	92
G _{Ma}	52.23	-42.42	13.6	44.55	162
B _{Ma}	30.57	1.41	-46.47	46.49	272

Daten für Maximalfarbe (Ma):

$LAB^*LAB^*_{Ma}$: 38 1 -42

$LAB^*LCH^*_{Ma}$: 38 42 271

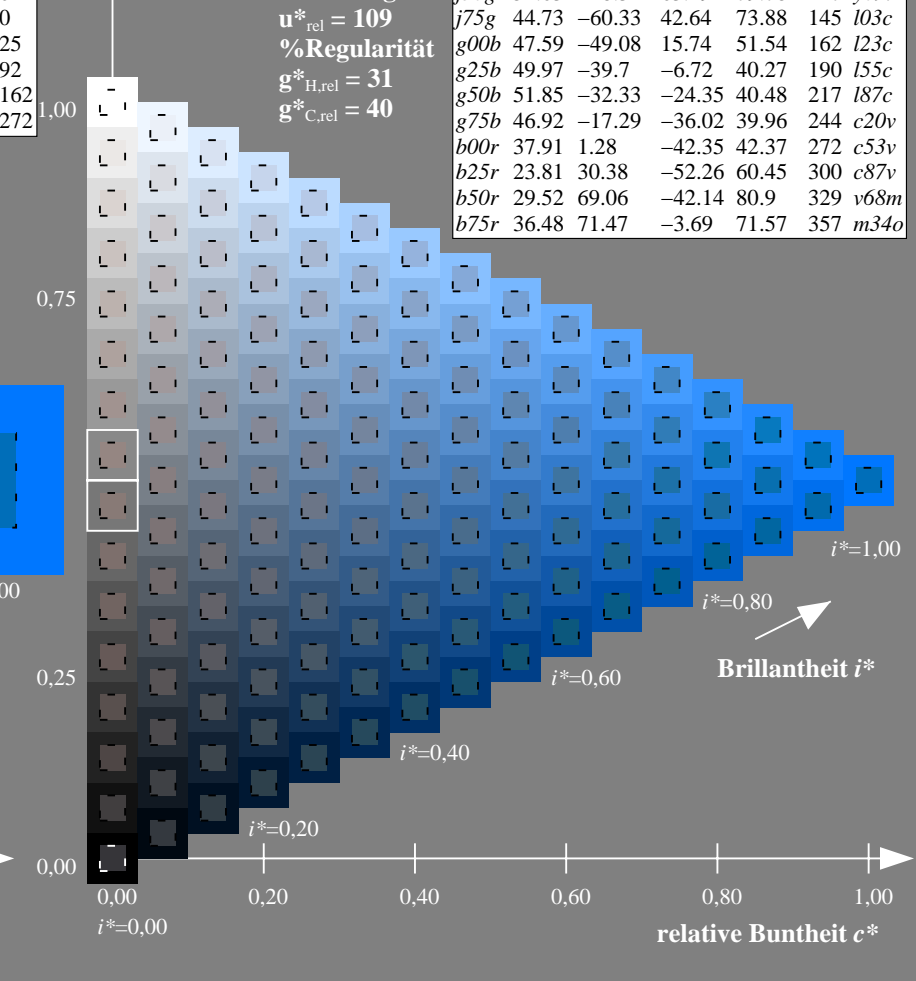
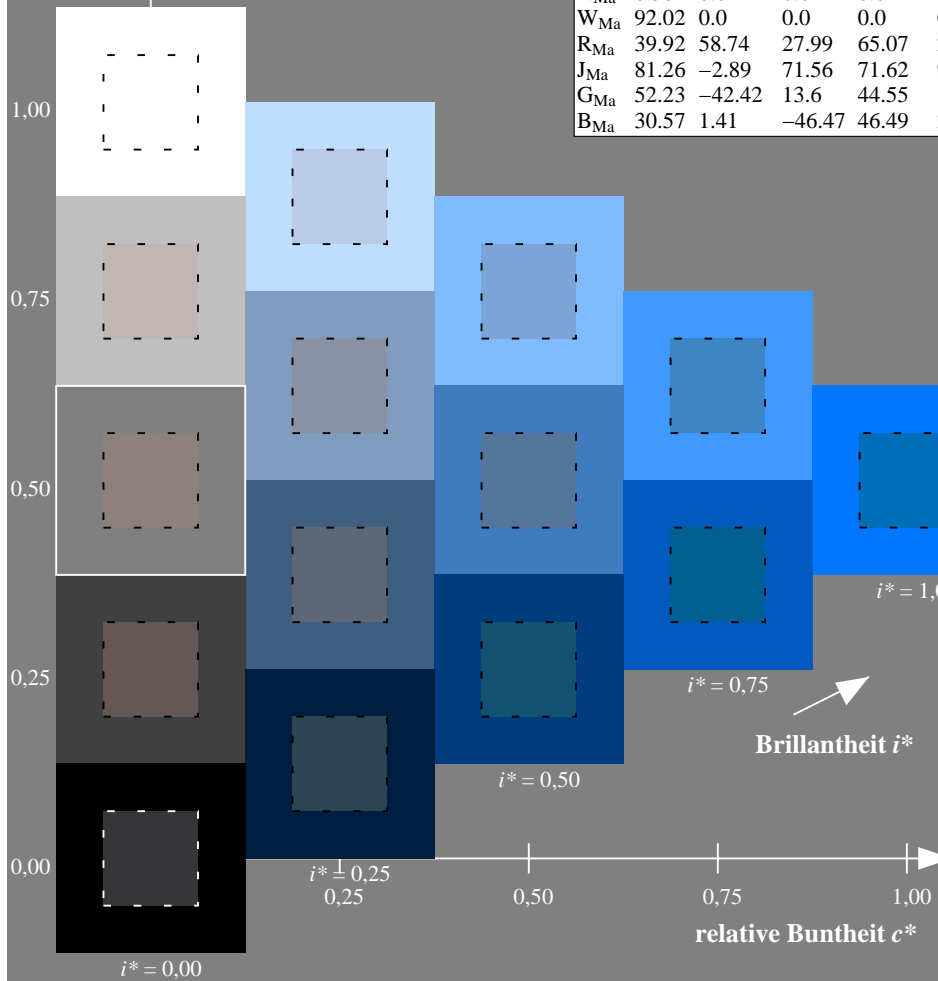
$lab^*rgb^*_{Ma}$: 0.0 0.0 1.0

$lab^*olv^*_{Ma}$: 0.0 0.47 1.0

Dreiecks-Helligkeit t^*

FRS09_92a; adaptierte CIELAB-Daten

u^*_e	$L^*=L^*_a$	a^*_a	b^*_a	$C^*_{ab,a}$	$h^*_{ab,a}$	u^*_d
r00j	35.47	63.32	30.17	70.15	25	m81o
r25j	39.12	54.56	49.45	73.64	42	o10y
r50j	50.64	39.15	64.89	75.79	59	o40y
r75j	64.01	21.26	82.83	85.52	76	o69y
j00g	83.18	-4.38	108.53	108.62	92	o98y
j25g	66.73	-29.89	83.06	88.28	110	y34l
j50g	54.03	-48.31	63.49	79.78	127	y69l
j75g	44.73	-60.33	42.64	73.88	145	l03c
g00b	47.59	-49.08	15.74	51.54	162	l23c
g25b	49.97	-39.7	-6.72	40.27	190	l55c
g50b	51.85	-32.33	-24.35	40.48	217	l87c
g75b	46.92	-17.29	-36.02	39.96	244	c20v
b00r	37.91	1.28	-42.35	42.37	272	c53v
b25r	23.81	30.38	-52.26	60.45	300	c87v
b50r	29.52	69.06	-42.14	80.9	329	v68m
b75r	36.48	71.47	-3.69	71.57	357	m34o



Ein und Ausgabe: Farbmatisches Drucker-Reflektiv-System FRS09_92a für relativen CIELAB-Bunton $h^* = lab^*h^* = h_{ab}/360 = 0.913$

$u^*_e = b50r$

Daten für jede Farbe:

lab^*tch^* und lab^*icu^*

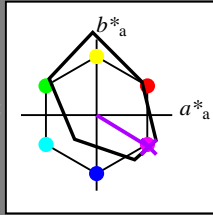
Buntontexte:

$u^*_e = b50r$ $u^*_d = v68m$

Kontrastreduzierungsfaktor:

$c_R = 1.0$

Dreiecks-Helligkeit t^*



FRS09_92a; adaptierte CIELAB-Daten

u^*_e	$L^*=L^*_a$	a^*_a	b^*_a	$C^*_{ab,a}$	$h^*_{ab,a}$
O _{Ma}	35.06	60.0	44.0	74.4	36
Y _{Ma}	83.77	-5.17	109.32	109.44	93
L _{Ma}	44.13	-62.67	48.24	79.09	142
C _{Ma}	52.66	-29.14	-31.99	43.27	228
V _{Ma}	14.15	50.3	-59.04	77.57	310
M _{Ma}	37.37	78.64	-33.5	85.48	337
N _{Ma}	8.58	0.0	0.0	0.0	0
W _{Ma}	92.02	0.0	0.0	0.0	0
R _{Ma}	39.92	58.74	27.99	65.07	25
J _{Ma}	81.26	-2.89	71.56	71.62	92
G _{Ma}	52.23	-42.42	13.6	44.55	162
B _{Ma}	30.57	1.41	-46.47	46.49	272

Daten für Maximalfarbe (Ma):

$LAB^*LAB^*_{Ma}$: 30 69 -42

$LAB^*LCH^*_{Ma}$: 30 81 328

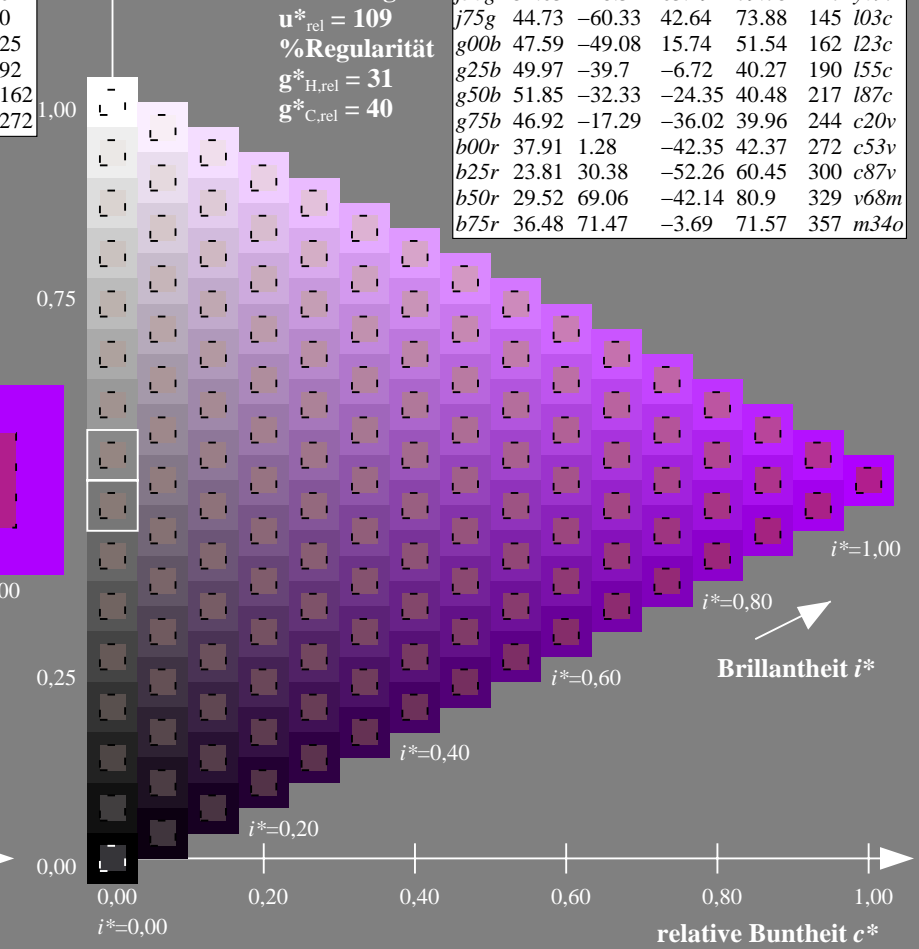
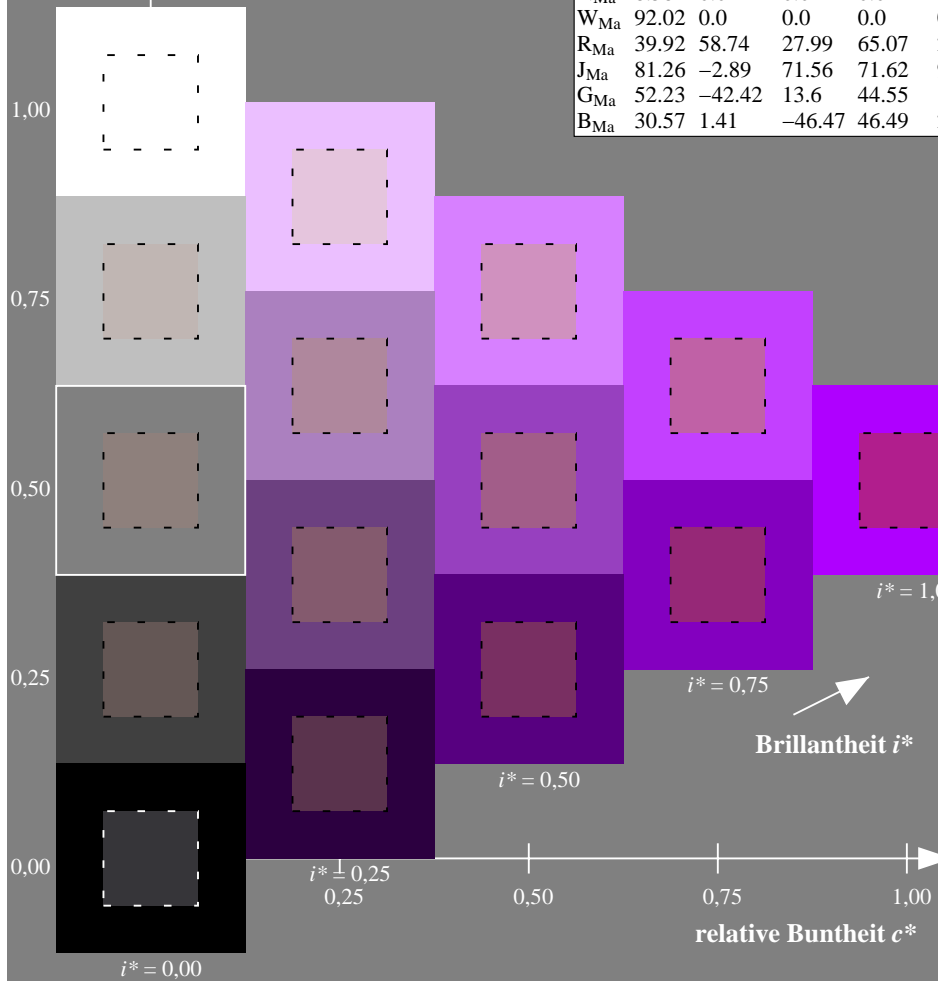
$lab^*rgb^*_{Ma}$: 1.0 0.0 1.0

$lab^*olv^*_{Ma}$: 0.69 0.0 1.0

Dreiecks-Helligkeit t^*

FRS09_92a; adaptierte CIELAB-Daten

u^*_e	$L^*=L^*_a$	a^*_a	b^*_a	$C^*_{ab,a}$	$h^*_{ab,a}$	u^*_d
r00j	35.47	63.32	30.17	70.15	25	m81o
r25j	39.12	54.56	49.45	73.64	42	o10y
r50j	50.64	39.15	64.89	75.79	59	o40y
r75j	64.01	21.26	82.83	85.52	76	o69y
j00g	83.18	-4.38	108.53	108.62	92	o98y
j25g	66.73	-29.89	83.06	88.28	110	y34l
j50g	54.03	-48.31	63.49	79.78	127	y69l
j75g	44.73	-60.33	42.64	73.88	145	l03c
g00b	47.59	-49.08	15.74	51.54	162	l23c
g25b	49.97	-39.7	-6.72	40.27	190	l55c
g50b	51.85	-32.33	-24.35	40.48	217	l87c
g75b	46.92	-17.29	-36.02	39.96	244	c20v
b00r	37.91	1.28	-42.35	42.37	272	c53v
b25r	23.81	30.38	-52.26	60.45	300	c87v
b50r	29.52	69.06	-42.14	80.9	329	v68m
b75r	36.48	71.47	-3.69	71.57	357	m34o



Ein und Ausgabe: Farbmatisches Drucker-Reflektiv-System FRS09_92a für relativen CIELAB-Bunton $h^* = lab^*h^* = h_{ab}^*/360 = 0.992$

$u^*_e = b75r$

Daten für jede Farbe:

lab^*tch^* und lab^*icu^*

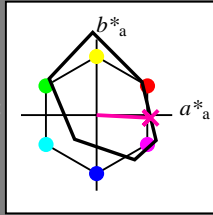
Buntontexte:

$u^*_e = b75r$ $u^*_d = m34o$

Kontrastreduzierungsfaktor:

$c_R = 1.0$

Dreiecks-Helligkeit t^*



FRS09_92a; adaptierte CIELAB-Daten

u^*_e	$L^*=L^*_a$	a^*_a	b^*_a	$C^*_{ab,a}$	$h^*_{ab,a}$
O _{Ma}	35.06	60.0	44.0	74.4	36
Y _{Ma}	83.77	-5.17	109.32	109.44	93
L _{Ma}	44.13	-62.67	48.24	79.09	142
C _{Ma}	52.66	-29.14	-31.99	43.27	228
V _{Ma}	14.15	50.3	-59.04	77.57	310
M _{Ma}	37.37	78.64	-33.5	85.48	337
N _{Ma}	8.58	0.0	0.0	0.0	0
W _{Ma}	92.02	0.0	0.0	0.0	0
R _{Ma}	39.92	58.74	27.99	65.07	25
J _{Ma}	81.26	-2.89	71.56	71.62	92
G _{Ma}	52.23	-42.42	13.6	44.55	162
B _{Ma}	30.57	1.41	-46.47	46.49	272

Daten für Maximalfarbe (Ma):

$LAB^*LAB^*_{Ma}$: 36 71 -4

$LAB^*LCH^*_{Ma}$: 36 72 357

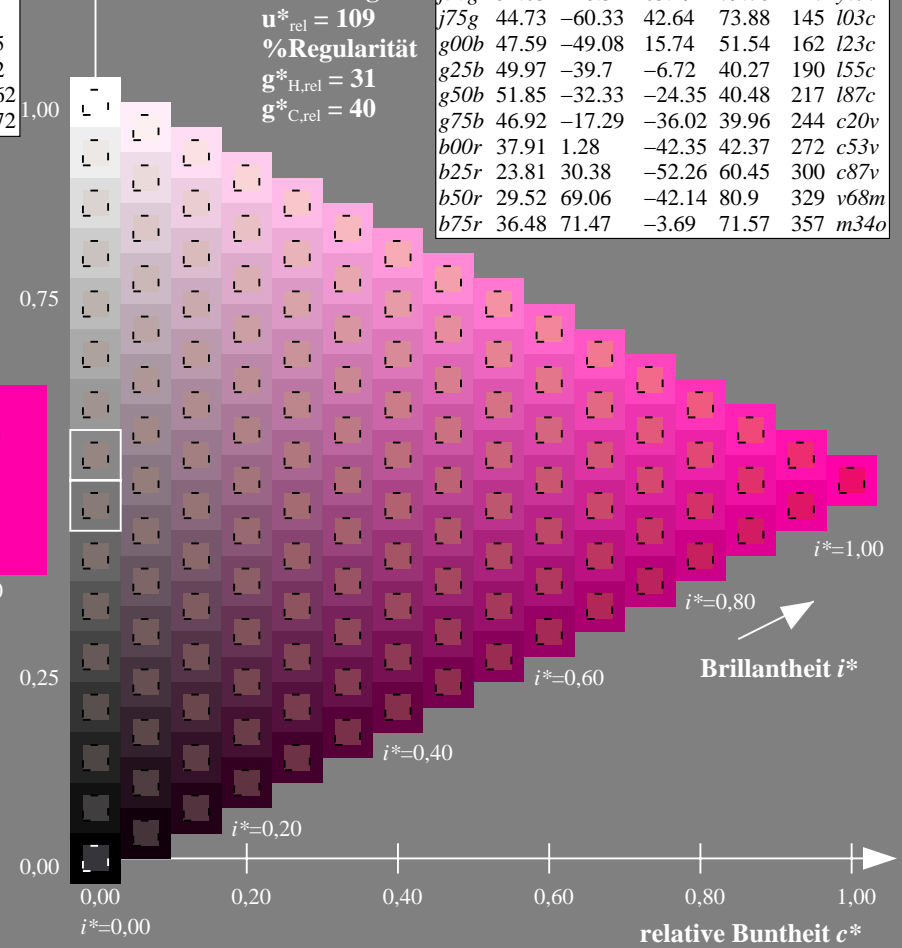
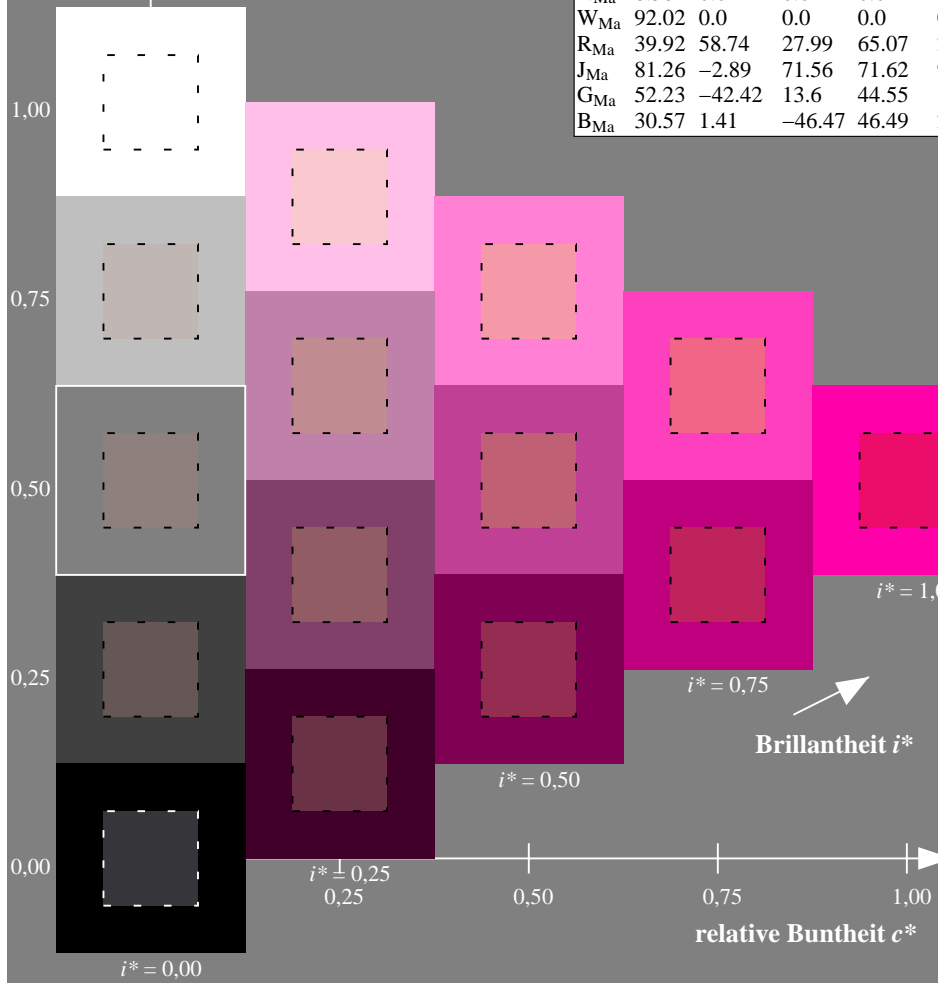
$lab^*rgb^*_{Ma}$: 1.0 0.0 0.5

$lab^*olv^*_{Ma}$: 1.0 0.0 0.66

Dreiecks-Helligkeit t^*

FRS09_92a; adaptierte CIELAB-Daten

u^*_e	$L^*=L^*_a$	a^*_a	b^*_a	$C^*_{ab,a}$	$h^*_{ab,a}$	u^*_d
r00j	35.47	63.32	30.17	70.15	25	m81o
r25j	39.12	54.56	49.45	73.64	42	o10y
r50j	50.64	39.15	64.89	75.79	59	o40y
r75j	64.01	21.26	82.83	85.52	76	o69y
j00g	83.18	-4.38	108.53	108.62	92	o98y
j25g	66.73	-29.89	83.06	88.28	110	y34l
j50g	54.03	-48.31	63.49	79.78	127	y69l
j75g	44.73	-60.33	42.64	73.88	145	l03c
g00b	47.59	-49.08	15.74	51.54	162	l23c
g25b	49.97	-39.7	-6.72	40.27	190	l55c
g50b	51.85	-32.33	-24.35	40.48	217	l87c
g75b	46.92	-17.29	-36.02	39.96	244	c20v
b00r	37.91	1.28	-42.35	42.37	272	c53v
b25r	23.81	30.38	-52.26	60.45	300	c87v
b50r	29.52	69.06	-42.14	80.9	329	v68m
b75r	36.48	71.47	-3.69	71.57	357	m34o



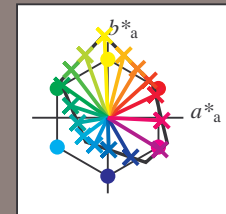
Ein und Ausgabe:
 Farbmimetrisches Drucker-Reflektiv-System FRS09_92a

Daten für jede Farbe:
 u^*_e und Nummer *Nr.* = 00 .. 15

Elementar-Bunttextext:
 $u^*_e = 16$ Bunttoene *r00j, r25j, ..., b75r*

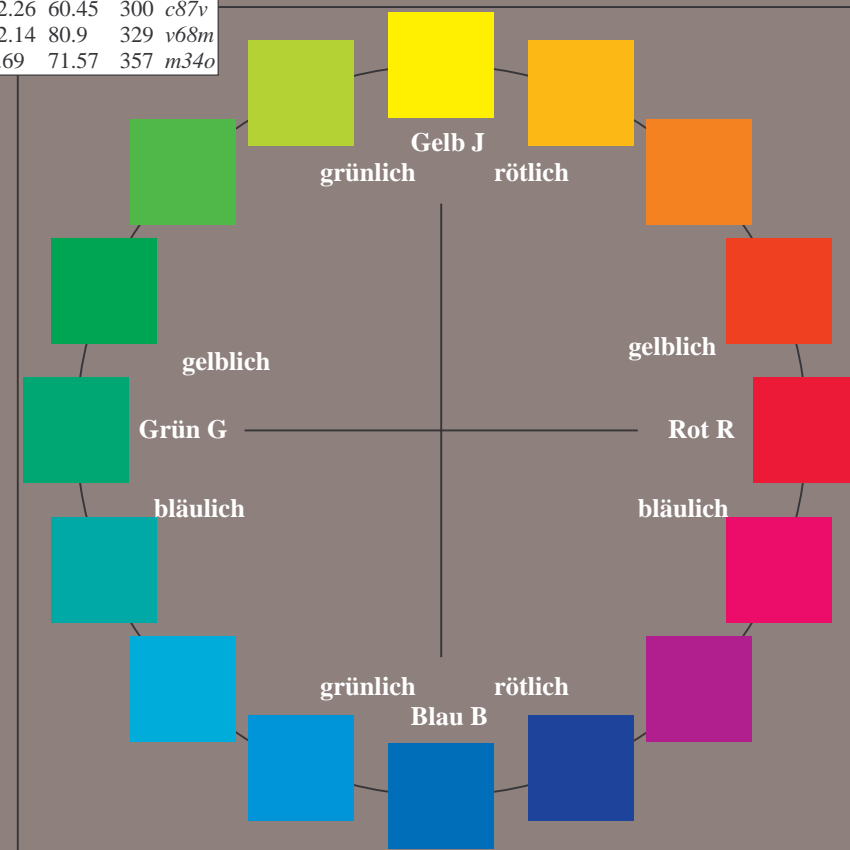
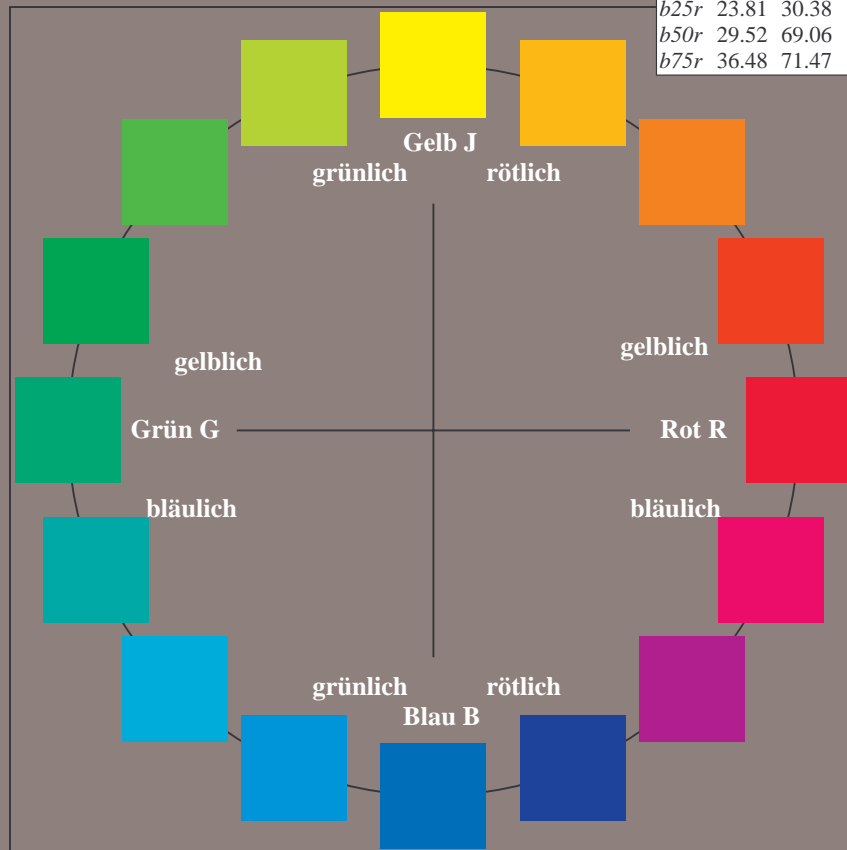
Kontrastreduzierungsfaktor:
 $c_R = 1.0$

FRS09_92a; adaptierte CIELAB-Daten						
u^*_e	$L^*=L^*_a$	a^*_a	b^*_a	$C^*_{ab,a}$	$h^*_{ab,a}$	u^*_d
<i>r00j</i>	35.47	63.32	30.17	70.15	25	<i>m81o</i>
<i>r25j</i>	39.12	54.56	49.45	73.64	42	<i>o10y</i>
<i>r50j</i>	50.64	39.15	64.89	75.79	59	<i>o40y</i>
<i>r75j</i>	64.01	21.26	82.83	85.52	76	<i>o69y</i>
<i>j00g</i>	83.18	-4.38	108.53	108.62	92	<i>o98y</i>
<i>j25g</i>	66.73	-29.89	83.06	88.28	110	<i>y34l</i>
<i>j50g</i>	54.03	-48.31	63.49	79.78	127	<i>y69l</i>
<i>j75g</i>	44.73	-60.33	42.64	73.88	145	<i>l03c</i>
<i>g00b</i>	47.59	-49.08	15.74	51.54	162	<i>l23c</i>
<i>g25b</i>	49.97	-39.7	-6.72	40.27	190	<i>l55c</i>
<i>g50b</i>	51.85	-32.33	-24.35	40.48	217	<i>l87c</i>
<i>g75b</i>	46.92	-17.29	-36.02	39.96	244	<i>c20v</i>
<i>b00r</i>	37.91	1.28	-42.35	42.37	272	<i>c53v</i>
<i>b25r</i>	23.81	30.38	-52.26	60.45	300	<i>c87v</i>
<i>b50r</i>	29.52	69.06	-42.14	80.9	329	<i>v68m</i>
<i>b75r</i>	36.48	71.47	-3.69	71.57	357	<i>m34o</i>



%Umfang
 $u^*_{rel} = 109$
 %Regularität
 $g^*_{H,rel} = 31$
 $g^*_{C,rel} = 40$

FRS09_92a; adaptierte CIELAB-Daten					
Name	$L^*=L^*_a$	a^*_a	b^*_a	$C^*_{ab,a}$	$h^*_{ab,a}$
O _{Ma}	35.06	60.0	44.0	74.4	36
Y _{Ma}	83.77	-5.17	109.32	109.44	93
L _{Ma}	44.13	-62.67	48.24	79.09	142
C _{Ma}	52.66	-29.14	-31.99	43.27	228
V _{Ma}	14.15	50.3	-59.04	77.57	310
M _{Ma}	37.37	78.64	-33.5	85.48	337
N _{Ma}	8.58	0.0	0.0	0.0	0
W _{Ma}	92.02	0.0	0.0	0.0	0
R _{CIE}	39.92	58.74	27.99	65.07	25
J _{CIE}	81.26	-2.89	71.56	71.62	92
G _{CIE}	52.23	-42.42	13.6	44.55	162
B _{CIE}	30.57	1.41	-46.47	46.49	272



Ein und Ausgabe: Farbmatisches Drucker-Reflektiv-System FRS09_92a für relativen CIELAB-Bunton $h^* = lab^*h^* = h_{ab}/360 = 0.071$

$u^*_e = r00j$

Daten für jede Farbe:

lab^*tch^* und lab^*icu^*

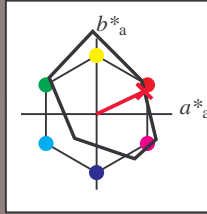
Buntontexte:

$u^*_e = r00j$ $u^*_d = m81o$

Kontrastreduzierungsfaktor:

$c_R = 1.0$

Dreiecks-Helligkeit t^*



FRS09_92a; adaptierte CIELAB-Daten						
u^*_e	$L^*=L^*_a$	a^*_a	b^*_a	$C^*_{ab,a}$	$h^*_{ab,a}$	
O _{Ma}	35.06	60.0	44.0	74.4	36	
Y _{Ma}	83.77	-5.17	109.32	109.44	93	
L _{Ma}	44.13	-62.67	48.24	79.09	142	
C _{Ma}	52.66	-29.14	-31.99	43.27	228	
V _{Ma}	14.15	50.3	-59.04	77.57	310	
M _{Ma}	37.37	78.64	-33.5	85.48	337	
N _{Ma}	8.58	0.0	0.0	0.0	0	
W _{Ma}	92.02	0.0	0.0	0.0	0	
R _{Ma}	39.92	58.74	27.99	65.07	25	
J _{Ma}	81.26	-2.89	71.56	71.62	92	
G _{Ma}	52.23	-42.42	13.6	44.55	162	
B _{Ma}	30.57	1.41	-46.47	46.49	272	

Daten für Maximalfarbe (Ma):

$LAB^*LAB^*_{Ma}$: 35 63 30

$LAB^*LCH^*_{Ma}$: 35 70 25

$lab^*rgb^*_{Ma}$: 1.0 0.0 0.0

$lab^*olv^*_{Ma}$: 1.0 0.0 0.18

Dreiecks-Helligkeit t^*

%Umfang

$u^*_{rel} = 109$

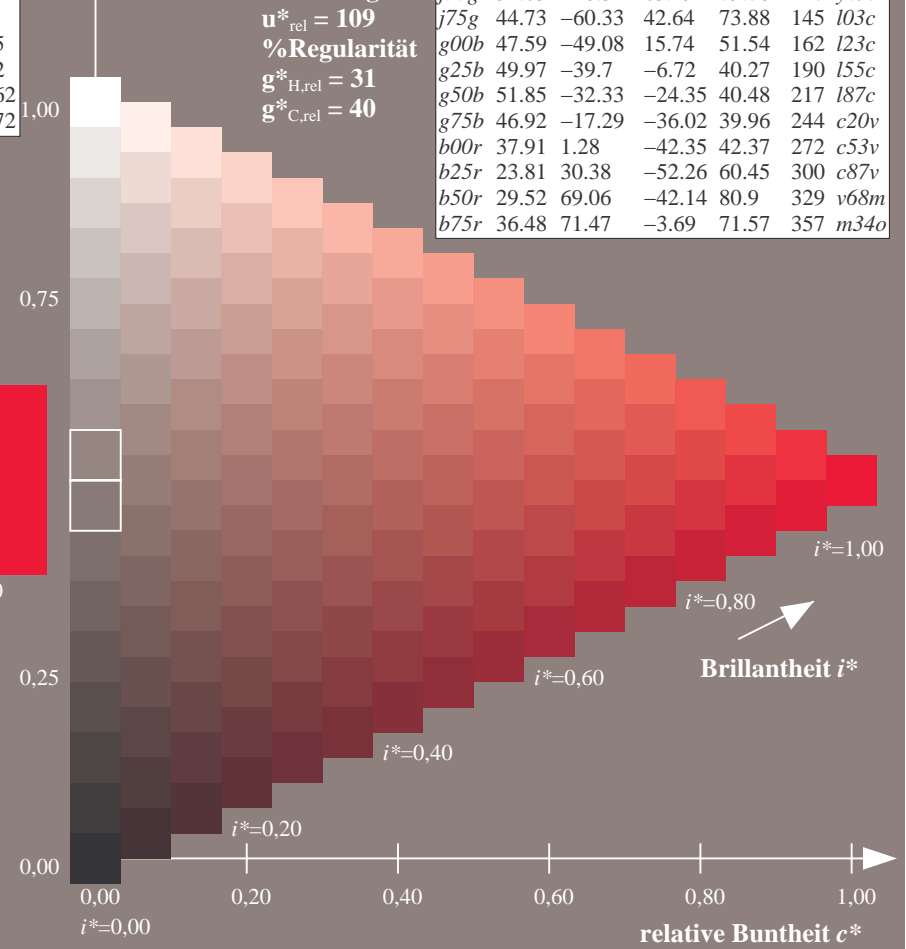
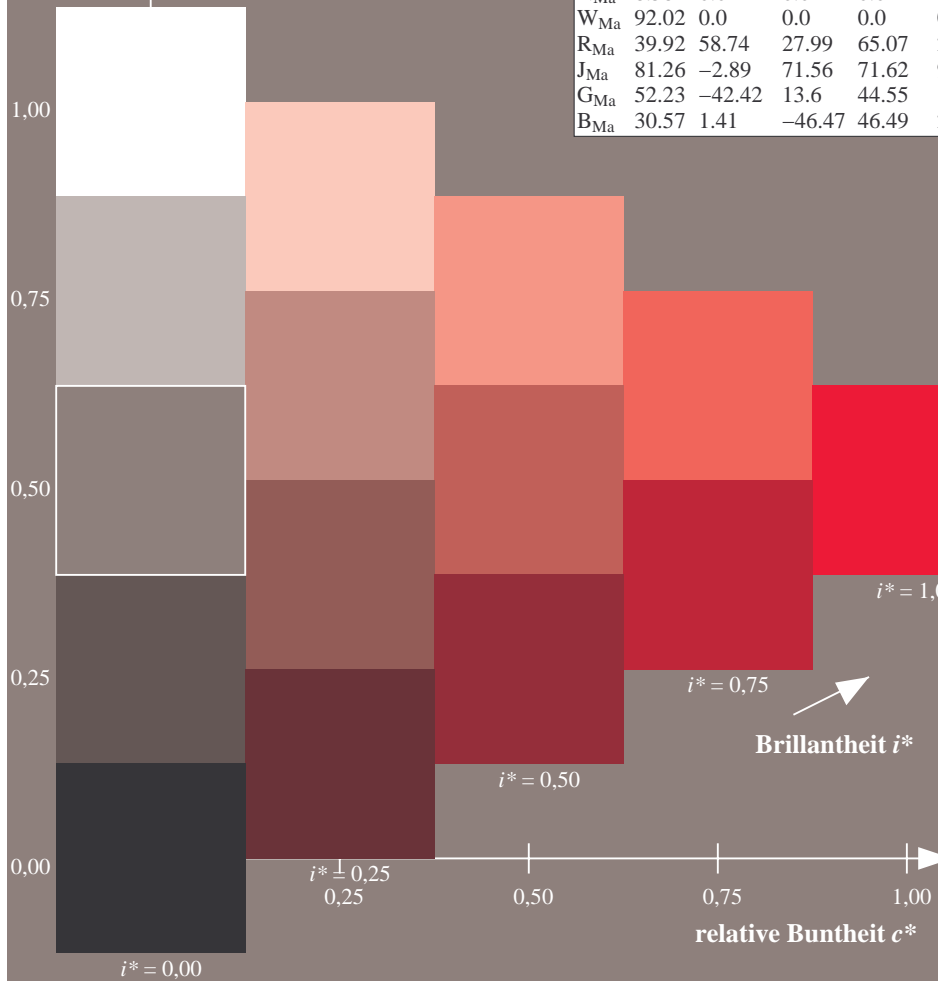
%Regularität

$g^*_{H,rel} = 31$

$g^*_{C,rel} = 40$

FRS09_92a; adaptierte CIELAB-Daten

u^*_e	$L^*=L^*_a$	a^*_a	b^*_a	$C^*_{ab,a}$	$h^*_{ab,a}$	u^*_d
r00j	35.47	63.32	30.17	70.15	25	m81o
r25j	39.12	54.56	49.45	73.64	42	o10y
r50j	50.64	39.15	64.89	75.79	59	o40y
r75j	64.01	21.26	82.83	85.52	76	o69y
j00g	83.18	-4.38	108.53	108.62	92	o98y
j25g	66.73	-29.89	83.06	88.28	110	y34l
j50g	54.03	-48.31	63.49	79.78	127	y69l
j75g	44.73	-60.33	42.64	73.88	145	l03c
g00b	47.59	-49.08	15.74	51.54	162	l23c
g25b	49.97	-39.7	-6.72	40.27	190	l55c
g50b	51.85	-32.33	-24.35	40.48	217	l87c
g75b	46.92	-17.29	-36.02	39.96	244	c20v
b00r	37.91	1.28	-42.35	42.37	272	c53v
b25r	23.81	30.38	-52.26	60.45	300	c87v
b50r	29.52	69.06	-42.14	80.9	329	v68m
b75r	36.48	71.47	-3.69	71.57	357	m34o



Daten für jede Farbe:

lab^*tch^* und lab^*icu^*

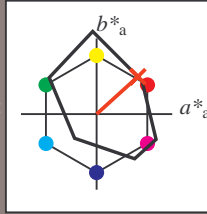
Buntontexte:

$u^*_e = r25j$ $u^*_d = o10y$

Kontrastreduzierungsfaktor:

$c_R = 1.0$

Dreiecks-Helligkeit t^*



FRS09_92a; adaptierte CIELAB-Daten						
u^*_e	$L^*=L^*_a$	a^*_a	b^*_a	$C^*_{ab,a}$	$h^*_{ab,a}$	
O _{Ma}	35.06	60.0	44.0	74.4	36	
Y _{Ma}	83.77	-5.17	109.32	109.44	93	
L _{Ma}	44.13	-62.67	48.24	79.09	142	
C _{Ma}	52.66	-29.14	-31.99	43.27	228	
V _{Ma}	14.15	50.3	-59.04	77.57	310	
M _{Ma}	37.37	78.64	-33.5	85.48	337	
N _{Ma}	8.58	0.0	0.0	0.0	0	
W _{Ma}	92.02	0.0	0.0	0.0	0	
R _{Ma}	39.92	58.74	27.99	65.07	25	
J _{Ma}	81.26	-2.89	71.56	71.62	92	
G _{Ma}	52.23	-42.42	13.6	44.55	162	
B _{Ma}	30.57	1.41	-46.47	46.49	272	

Daten für Maximalfarbe (Ma):

$LAB^*LAB^*_{Ma}$: 39 55 49

$LAB^*LCH^*_{Ma}$: 39 74 42

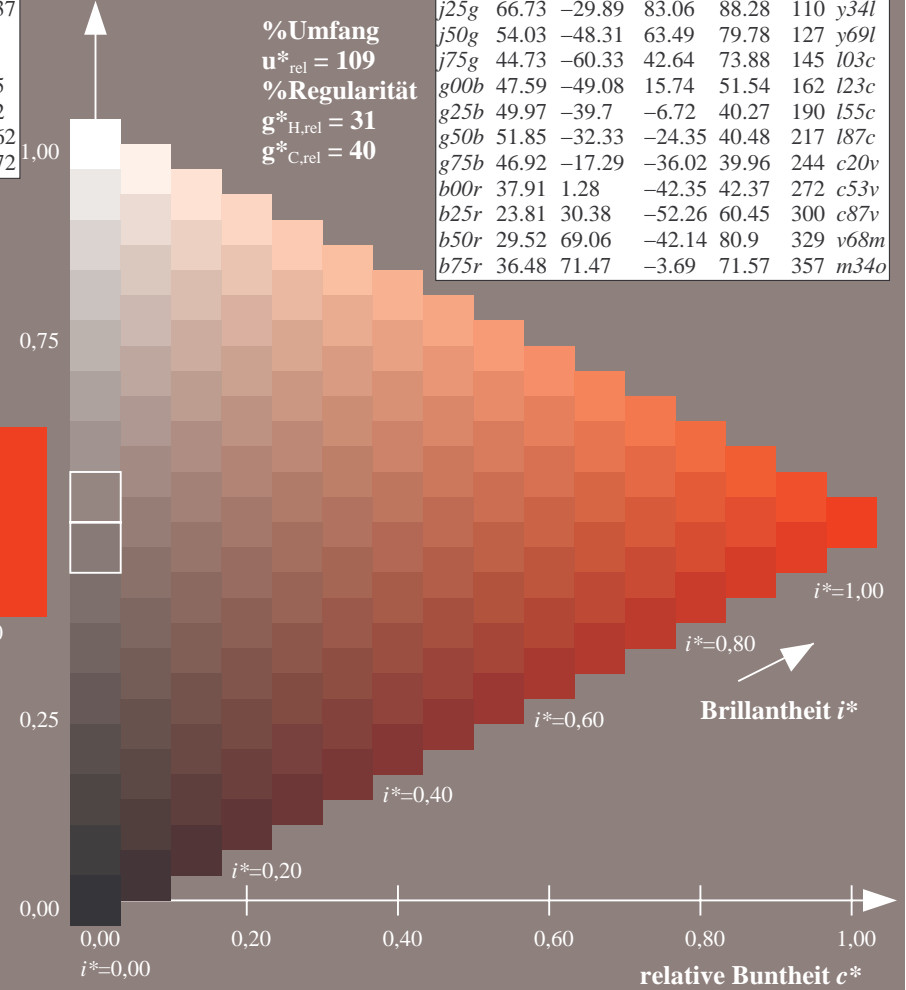
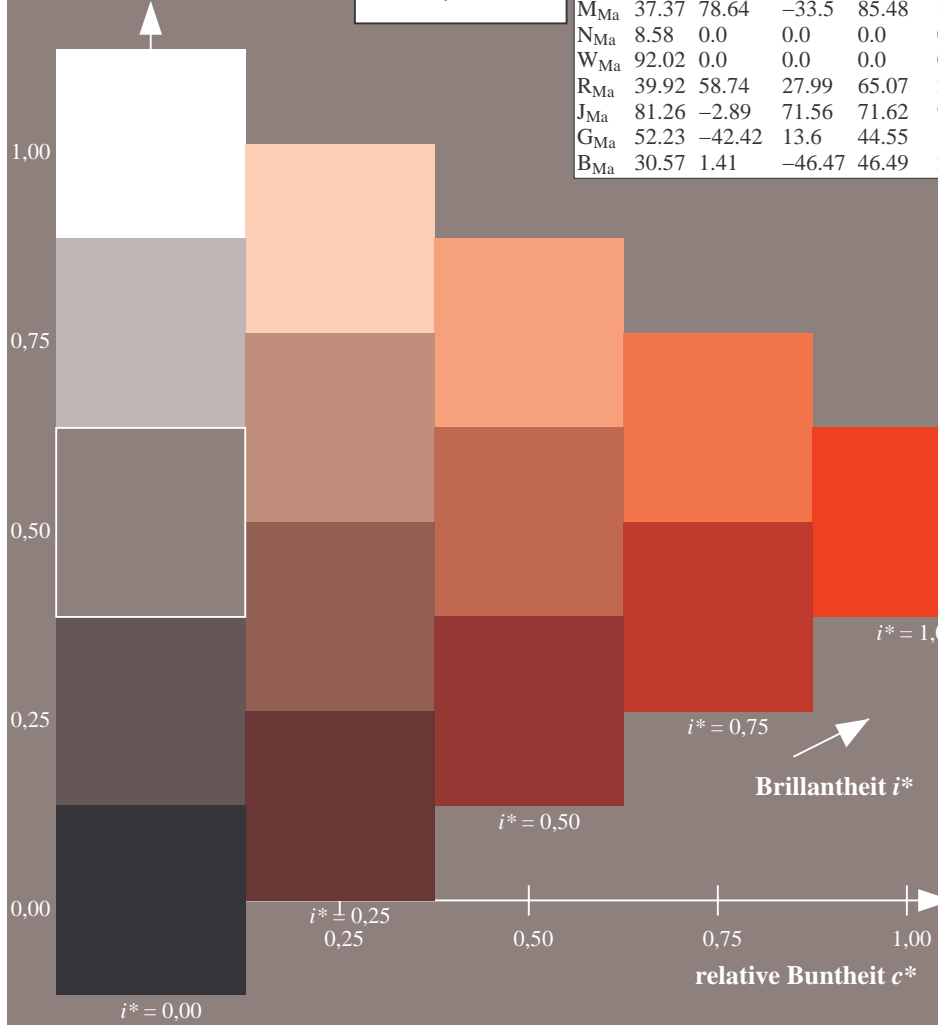
$lab^*rgb^*_{Ma}$: 1.0 0.25 0.0

$lab^*olv^*_{Ma}$: 1.0 0.11 0.0

Dreiecks-Helligkeit t^*

FRS09_92a; adaptierte CIELAB-Daten

u^*_e	$L^*=L^*_a$	a^*_a	b^*_a	$C^*_{ab,a}$	$h^*_{ab,a}$	u^*_d
r00j	35.47	63.32	30.17	70.15	25	m81o
r25j	39.12	54.56	49.45	73.64	42	o10y
r50j	50.64	39.15	64.89	75.79	59	o40y
r75j	64.01	21.26	82.83	85.52	76	o69y
j00g	83.18	-4.38	108.53	108.62	92	o98y
j25g	66.73	-29.89	83.06	88.28	110	y34l
j50g	54.03	-48.31	63.49	79.78	127	y69l
j75g	44.73	-60.33	42.64	73.88	145	l03c
g00b	47.59	-49.08	15.74	51.54	162	l23c
g25b	49.97	-39.7	-6.72	40.27	190	l55c
g50b	51.85	-32.33	-24.35	40.48	217	l87c
g75b	46.92	-17.29	-36.02	39.96	244	c20v
b00r	37.91	1.28	-42.35	42.37	272	c53v
b25r	23.81	30.38	-52.26	60.45	300	c87v
b50r	29.52	69.06	-42.14	80.9	329	v68m
b75r	36.48	71.47	-3.69	71.57	357	m34o



%Umfang
 $u^*_{rel} = 109$
 %Regularität
 $g^*_{H,rel} = 31$
 $g^*_{C,rel} = 40$

Ein und Ausgabe: Farbmetrisches Drucker-Reflektiv-System FRS09_92a für relativen CIELAB-Bunton $h^* = lab^*h^* = h_{ab}/360 = 0.164$

$u^*_e = r50j$

Daten für jede Farbe:

lab^*tch^* und lab^*icu^*

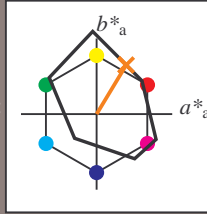
Buntontexte:

$u^*_e = r50j$ $u^*_d = o40y$

Kontrastreduzierungsfaktor:

$c_R = 1.0$

Dreiecks-Helligkeit t^*



FRS09_92a; adaptierte CIELAB-Daten						
u^*_e	$L^*=L^*_a$	a^*_a	b^*_a	$C^*_{ab,a}$	$h^*_{ab,a}$	
O _{Ma}	35.06	60.0	44.0	74.4	36	
Y _{Ma}	83.77	-5.17	109.32	109.44	93	
L _{Ma}	44.13	-62.67	48.24	79.09	142	
C _{Ma}	52.66	-29.14	-31.99	43.27	228	
V _{Ma}	14.15	50.3	-59.04	77.57	310	
M _{Ma}	37.37	78.64	-33.5	85.48	337	
N _{Ma}	8.58	0.0	0.0	0.0	0	
W _{Ma}	92.02	0.0	0.0	0.0	0	
R _{Ma}	39.92	58.74	27.99	65.07	25	
J _{Ma}	81.26	-2.89	71.56	71.62	92	
G _{Ma}	52.23	-42.42	13.6	44.55	162	
B _{Ma}	30.57	1.41	-46.47	46.49	272	

Daten für Maximalfarbe (Ma):

$LAB^*LAB^*_{Ma}$: 51 39 65

$LAB^*LCH^*_{Ma}$: 51 76 58

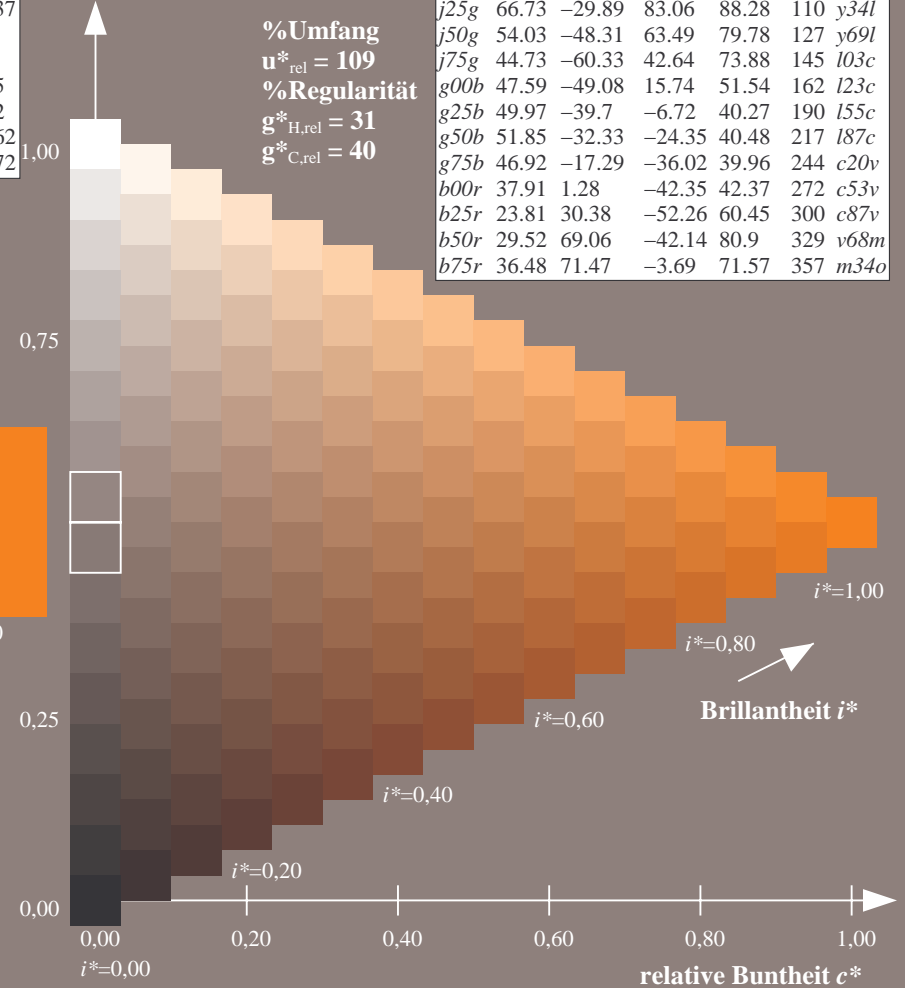
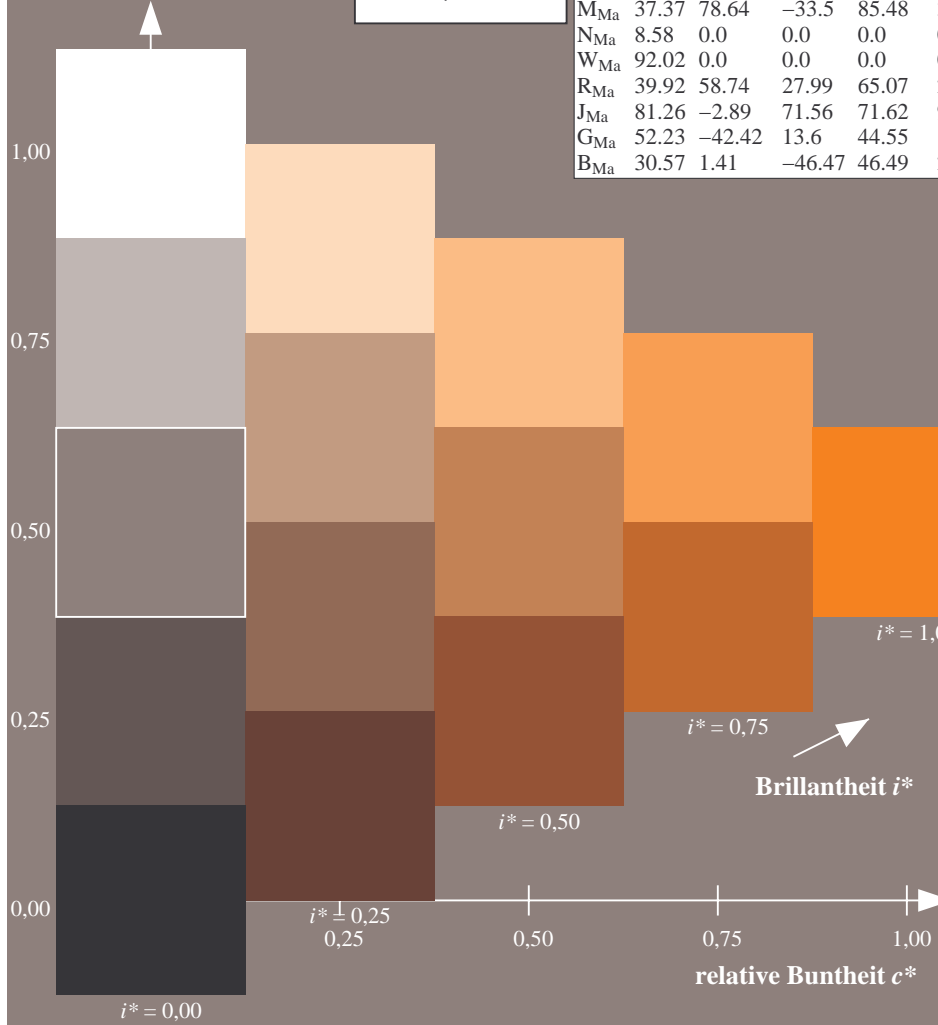
$lab^*rgb^*_{Ma}$: 1.0 0.5 0.0

$lab^*olv^*_{Ma}$: 1.0 0.4 0.0

Dreiecks-Helligkeit t^*

FRS09_92a; adaptierte CIELAB-Daten

u^*_e	$L^*=L^*_a$	a^*_a	b^*_a	$C^*_{ab,a}$	$h^*_{ab,a}$	u^*_d
r00j	35.47	63.32	30.17	70.15	25	m81o
r25j	39.12	54.56	49.45	73.64	42	o10y
r50j	50.64	39.15	64.89	75.79	59	o40y
r75j	64.01	21.26	82.83	85.52	76	o69y
j00g	83.18	-4.38	108.53	108.62	92	o98y
j25g	66.73	-29.89	83.06	88.28	110	y34l
j50g	54.03	-48.31	63.49	79.78	127	y69l
j75g	44.73	-60.33	42.64	73.88	145	l03c
g00b	47.59	-49.08	15.74	51.54	162	l23c
g25b	49.97	-39.7	-6.72	40.27	190	l55c
g50b	51.85	-32.33	-24.35	40.48	217	l87c
g75b	46.92	-17.29	-36.02	39.96	244	c20v
b00r	37.91	1.28	-42.35	42.37	272	c53v
b25r	23.81	30.38	-52.26	60.45	300	c87v
b50r	29.52	69.06	-42.14	80.9	329	v68m
b75r	36.48	71.47	-3.69	71.57	357	m34o



Ein und Ausgabe: Farbmatisches Drucker-Reflektiv-System FRS09_92a für relativen CIELAB-Bunton $h^* = lab^*h^* = h_{ab}/360 = 0.21$

$u^*_e = r75j$

Daten für jede Farbe:

lab^*tch^* und lab^*icu^*

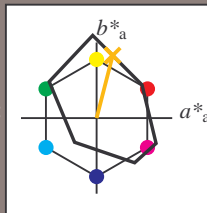
Buntontexte:

$u^*_e = r75j$ $u^*_d = o69y$

Kontrastreduzierungsfaktor:

$c_R = 1.0$

Dreiecks-Helligkeit t^*



FRS09_92a; adaptierte CIELAB-Daten						
u^*_e	$L^*=L^*_a$	a^*_a	b^*_a	$C^*_{ab,a}$	$h^*_{ab,a}$	
O _{Ma}	35.06	60.0	44.0	74.4	36	
Y _{Ma}	83.77	-5.17	109.32	109.44	93	
L _{Ma}	44.13	-62.67	48.24	79.09	142	
C _{Ma}	52.66	-29.14	-31.99	43.27	228	
V _{Ma}	14.15	50.3	-59.04	77.57	310	
M _{Ma}	37.37	78.64	-33.5	85.48	337	
N _{Ma}	8.58	0.0	0.0	0.0	0	
W _{Ma}	92.02	0.0	0.0	0.0	0	
R _{Ma}	39.92	58.74	27.99	65.07	25	
J _{Ma}	81.26	-2.89	71.56	71.62	92	
G _{Ma}	52.23	-42.42	13.6	44.55	162	
B _{Ma}	30.57	1.41	-46.47	46.49	272	

Daten für Maximalfarbe (Ma):

$LAB^*LAB^*_{Ma}$: 64 21 83

$LAB^*LCH^*_{Ma}$: 64 86 75

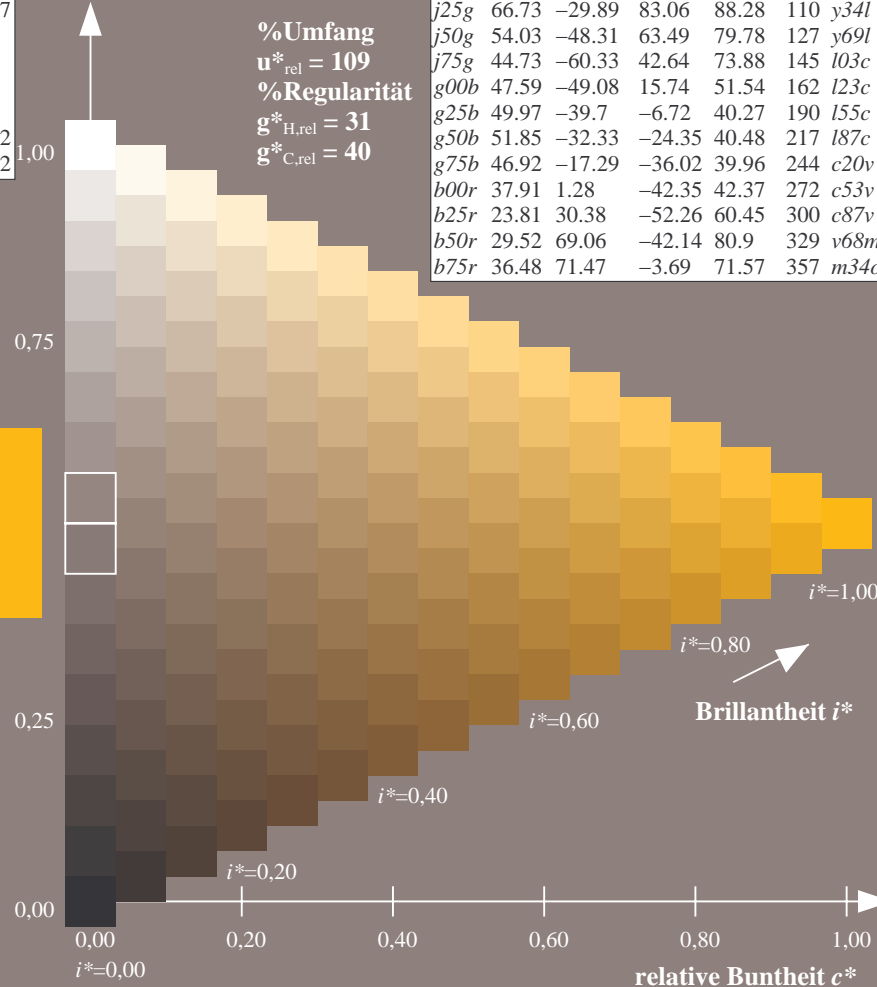
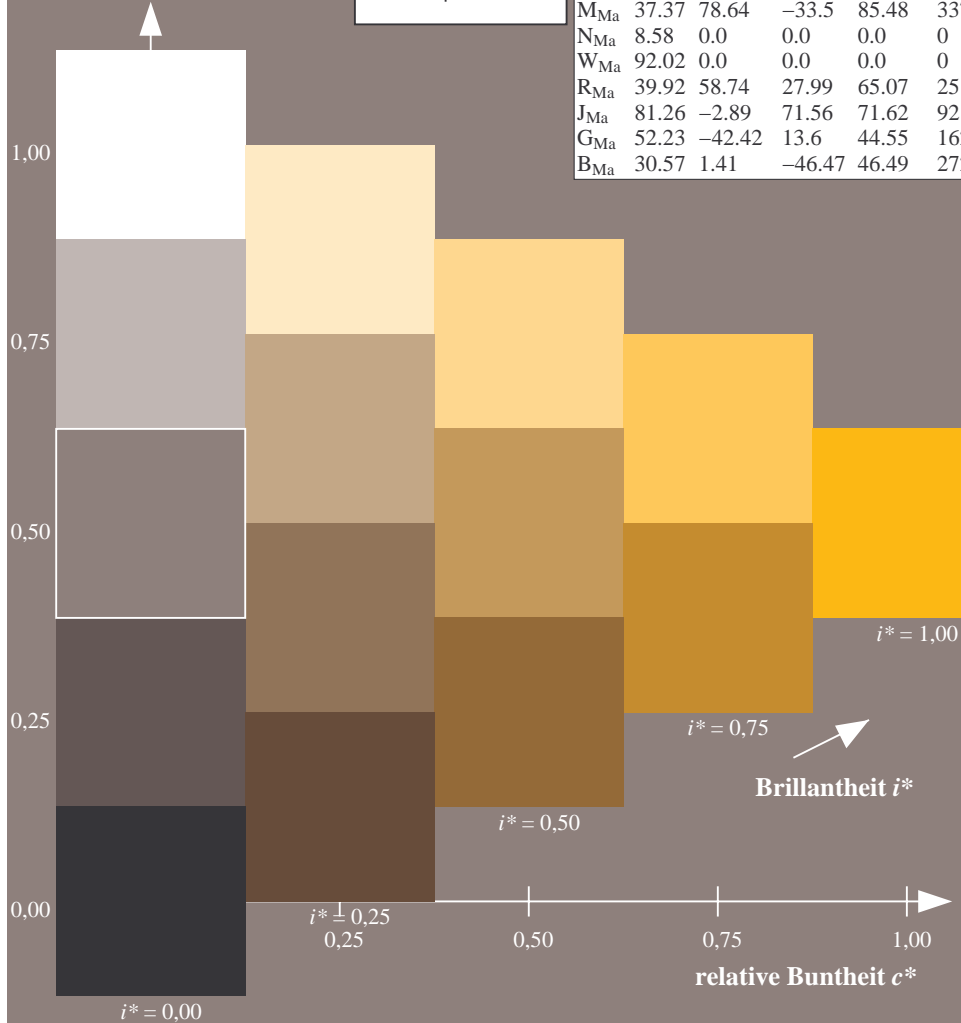
$lab^*rgb^*_{Ma}$: 1.0 0.75 0.0

$lab^*olv^*_{Ma}$: 1.0 0.7 0.0

Dreiecks-Helligkeit t^*

FRS09_92a; adaptierte CIELAB-Daten

u^*_e	$L^*=L^*_a$	a^*_a	b^*_a	$C^*_{ab,a}$	$h^*_{ab,a}$	u^*_d
r00j	35.47	63.32	30.17	70.15	25	m81o
r25j	39.12	54.56	49.45	73.64	42	o10y
r50j	50.64	39.15	64.89	75.79	59	o40y
r75j	64.01	21.26	82.83	85.52	76	o69y
j00g	83.18	-4.38	108.53	108.62	92	o98y
j25g	66.73	-29.89	83.06	88.28	110	y34l
j50g	54.03	-48.31	63.49	79.78	127	y69l
j75g	44.73	-60.33	42.64	73.88	145	l03c
g00b	47.59	-49.08	15.74	51.54	162	l23c
g25b	49.97	-39.7	-6.72	40.27	190	l55c
g50b	51.85	-32.33	-24.35	40.48	217	l87c
g75b	46.92	-17.29	-36.02	39.96	244	c20v
b00r	37.91	1.28	-42.35	42.37	272	c53v
b25r	23.81	30.38	-52.26	60.45	300	c87v
b50r	29.52	69.06	-42.14	80.9	329	v68m
b75r	36.48	71.47	-3.69	71.57	357	m34o



Ein und Ausgabe: Farbmatisches Drucker-Reflektiv-System FRS09_92a für relativen CIELAB-Bunton $h^* = lab^*h^* = h_{ab}/360 = 0.256$

$u^*_e = j00g$

Daten für jede Farbe:

lab^*tch^* und lab^*icu^*

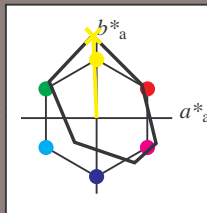
Buntontexte:

$u^*_e = j00g$ $u^*_d = o98y$

Kontrastreduzierungsfaktor:

$c_R = 1.0$

Dreiecks-Helligkeit t^*



FRS09_92a; adaptierte CIELAB-Daten

u^*_e	$L^*=L^*_a$	a^*_a	b^*_a	$C^*_{ab,a}$	$h^*_{ab,a}$
O _{Ma}	35.06	60.0	44.0	74.4	36
Y _{Ma}	83.77	-5.17	109.32	109.44	93
L _{Ma}	44.13	-62.67	48.24	79.09	142
C _{Ma}	52.66	-29.14	-31.99	43.27	228
V _{Ma}	14.15	50.3	-59.04	77.57	310
M _{Ma}	37.37	78.64	-33.5	85.48	337
N _{Ma}	8.58	0.0	0.0	0.0	0
W _{Ma}	92.02	0.0	0.0	0.0	0
R _{Ma}	39.92	58.74	27.99	65.07	25
J _{Ma}	81.26	-2.89	71.56	71.62	92
G _{Ma}	52.23	-42.42	13.6	44.55	162
B _{Ma}	30.57	1.41	-46.47	46.49	272

Daten für Maximalfarbe (Ma):

$LAB^*LAB^*_{Ma}$: 83 -4 109

$LAB^*LCH^*_{Ma}$: 83 109 92

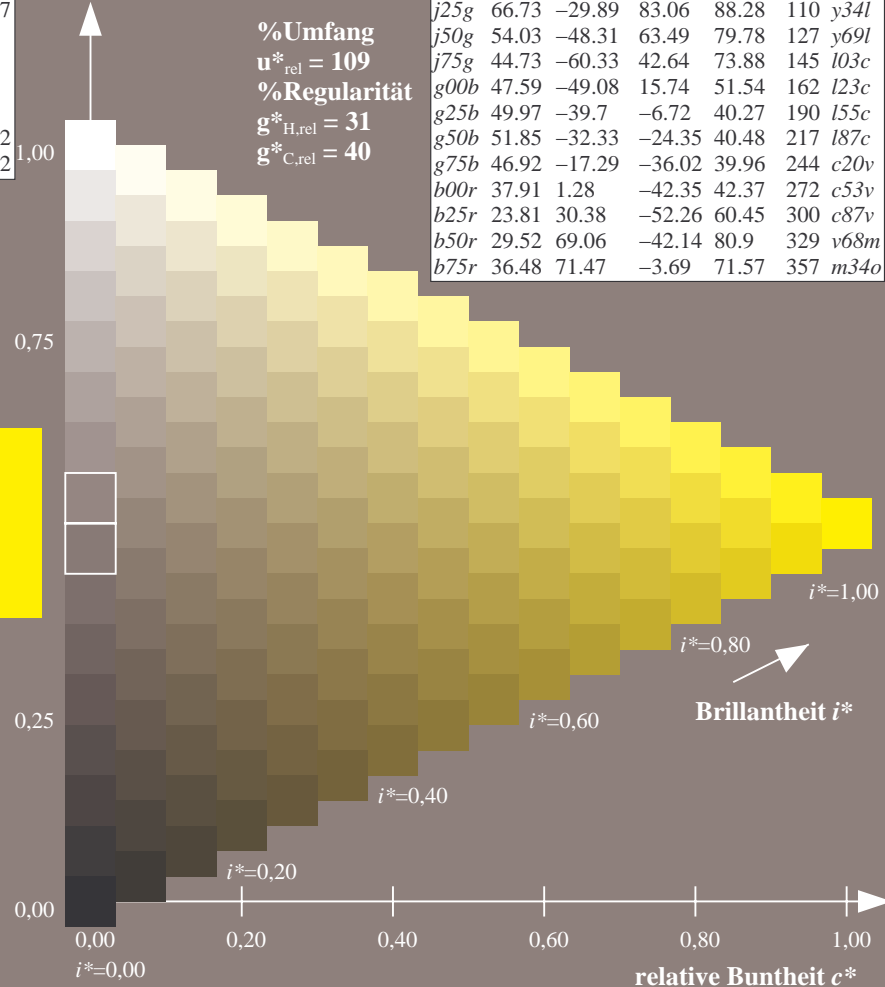
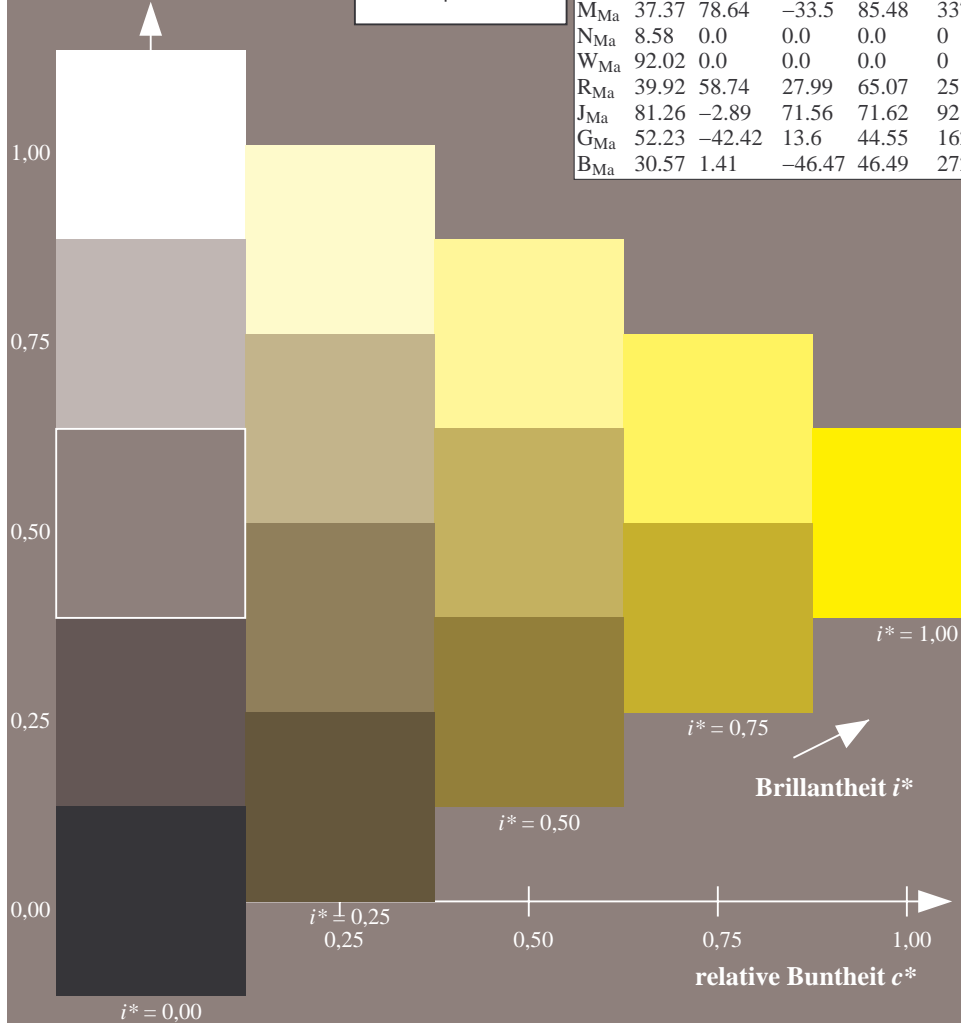
$lab^*rgb^*_{Ma}$: 1.0 1.0 0.0

$lab^*olv^*_{Ma}$: 1.0 0.99 0.0

Dreiecks-Helligkeit t^*

FRS09_92a; adaptierte CIELAB-Daten

u^*_e	$L^*=L^*_a$	a^*_a	b^*_a	$C^*_{ab,a}$	$h^*_{ab,a}$	u^*_d
r00j	35.47	63.32	30.17	70.15	25	m81o
r25j	39.12	54.56	49.45	73.64	42	o10y
r50j	50.64	39.15	64.89	75.79	59	o40y
r75j	64.01	21.26	82.83	85.52	76	o69y
j00g	83.18	-4.38	108.53	108.62	92	o98y
j25g	66.73	-29.89	83.06	88.28	110	y34l
j50g	54.03	-48.31	63.49	79.78	127	y69l
j75g	44.73	-60.33	42.64	73.88	145	l03c
g00b	47.59	-49.08	15.74	51.54	162	l23c
g25b	49.97	-39.7	-6.72	40.27	190	l55c
g50b	51.85	-32.33	-24.35	40.48	217	l87c
g75b	46.92	-17.29	-36.02	39.96	244	c20v
b00r	37.91	1.28	-42.35	42.37	272	c53v
b25r	23.81	30.38	-52.26	60.45	300	c87v
b50r	29.52	69.06	-42.14	80.9	329	v68m
b75r	36.48	71.47	-3.69	71.57	357	m34o



Ein und Ausgabe: Farbmatisches Drucker-Reflektiv-System FRS09_92a für relativen CIELAB-Bunton $h^* = lab^*h^* = h_{ab}/360 = 0.305$

$u^*_e = j25g$

Daten für jede Farbe:

lab^*tch^* und lab^*icu^*

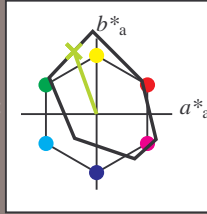
Buntontexte:

$u^*_e = j25g$ $u^*_d = y34l$

Kontrastreduzierungsfaktor:

$c_R = 1.0$

Dreiecks-Helligkeit t^*



FRS09_92a; adaptierte CIELAB-Daten						
u^*_e	$L^*=L^*_a$	a^*_a	b^*_a	$C^*_{ab,a}$	$h^*_{ab,a}$	
O _{Ma}	35.06	60.0	44.0	74.4	36	
Y _{Ma}	83.77	-5.17	109.32	109.44	93	
L _{Ma}	44.13	-62.67	48.24	79.09	142	
C _{Ma}	52.66	-29.14	-31.99	43.27	228	
V _{Ma}	14.15	50.3	-59.04	77.57	310	
M _{Ma}	37.37	78.64	-33.5	85.48	337	
N _{Ma}	8.58	0.0	0.0	0.0	0	
W _{Ma}	92.02	0.0	0.0	0.0	0	
R _{Ma}	39.92	58.74	27.99	65.07	25	
J _{Ma}	81.26	-2.89	71.56	71.62	92	
G _{Ma}	52.23	-42.42	13.6	44.55	162	
B _{Ma}	30.57	1.41	-46.47	46.49	272	

Daten für Maximalfarbe (Ma):

$LAB^*LAB^*_{Ma}$: 67 -30 83

$LAB^*LCH^*_{Ma}$: 67 88 109

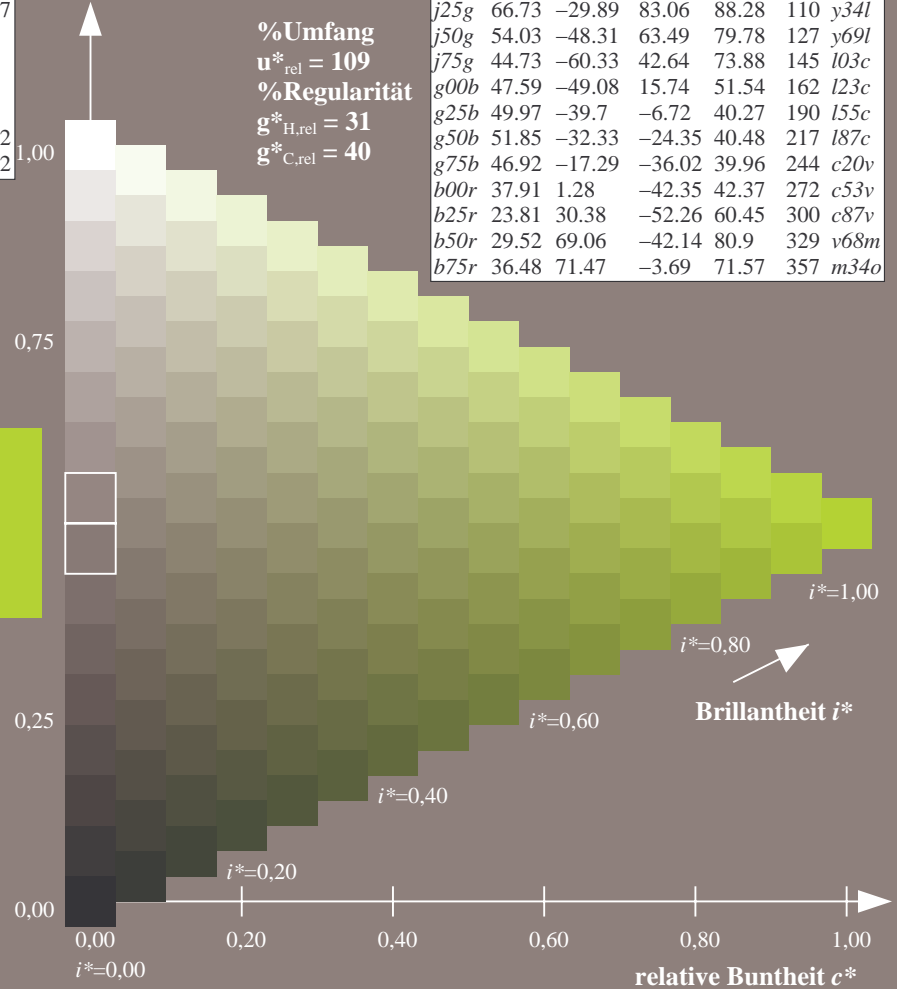
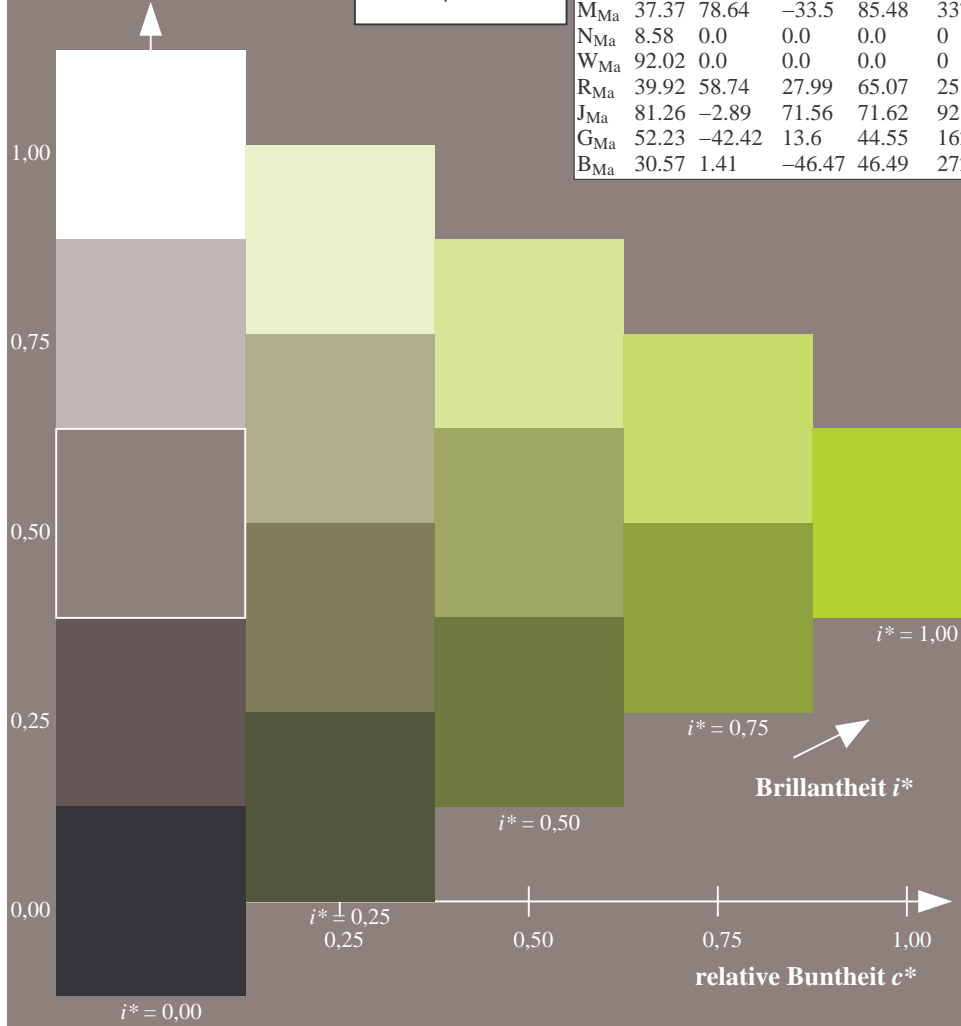
$lab^*rgb^*_{Ma}$: 0.75 1.0 0.0

$lab^*olv^*_{Ma}$: 0.66 1.0 0.0

Dreiecks-Helligkeit t^*

FRS09_92a; adaptierte CIELAB-Daten

u^*_e	$L^*=L^*_a$	a^*_a	b^*_a	$C^*_{ab,a}$	$h^*_{ab,a}$	u^*_d
r00j	35.47	63.32	30.17	70.15	25	m81o
r25j	39.12	54.56	49.45	73.64	42	o10y
r50j	50.64	39.15	64.89	75.79	59	o40y
r75j	64.01	21.26	82.83	85.52	76	o69y
j00g	83.18	-4.38	108.53	108.62	92	o98y
j25g	66.73	-29.89	83.06	88.28	110	y34l
j50g	54.03	-48.31	63.49	79.78	127	y69l
j75g	44.73	-60.33	42.64	73.88	145	l03c
g00b	47.59	-49.08	15.74	51.54	162	l23c
g25b	49.97	-39.7	-6.72	40.27	190	l55c
g50b	51.85	-32.33	-24.35	40.48	217	l87c
g75b	46.92	-17.29	-36.02	39.96	244	c20v
b00r	37.91	1.28	-42.35	42.37	272	c53v
b25r	23.81	30.38	-52.26	60.45	300	c87v
b50r	29.52	69.06	-42.14	80.9	329	v68m
b75r	36.48	71.47	-3.69	71.57	357	m34o



Ein und Ausgabe: Farbmatisches Drucker-Reflektiv-System FRS09_92a für relativen CIELAB-Bunton $h^* = lab^*h^* = h_{ab}/360 = 0.354$

$u^*_e = j50g$

Daten für jede Farbe:

lab^*tch^* und lab^*icu^*

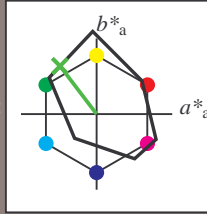
Buntontexte:

$u^*_e = j50g$ $u^*_d = y69l$

Kontrastreduzierungsfaktor:

$c_R = 1.0$

Dreiecks-Helligkeit t^*



FRS09_92a; adaptierte CIELAB-Daten						
u^*_e	$L^*=L^*_a$	a^*_a	b^*_a	$C^*_{ab,a}$	$h^*_{ab,a}$	
O _{Ma}	35.06	60.0	44.0	74.4	36	
Y _{Ma}	83.77	-5.17	109.32	109.44	93	
L _{Ma}	44.13	-62.67	48.24	79.09	142	
C _{Ma}	52.66	-29.14	-31.99	43.27	228	
V _{Ma}	14.15	50.3	-59.04	77.57	310	
M _{Ma}	37.37	78.64	-33.5	85.48	337	
N _{Ma}	8.58	0.0	0.0	0.0	0	
W _{Ma}	92.02	0.0	0.0	0.0	0	
R _{Ma}	39.92	58.74	27.99	65.07	25	
J _{Ma}	81.26	-2.89	71.56	71.62	92	
G _{Ma}	52.23	-42.42	13.6	44.55	162	
B _{Ma}	30.57	1.41	-46.47	46.49	272	

Daten für Maximalfarbe (Ma):

$LAB^*LAB^*_{Ma}$: 54 -48 63

$LAB^*LCH^*_{Ma}$: 54 80 127

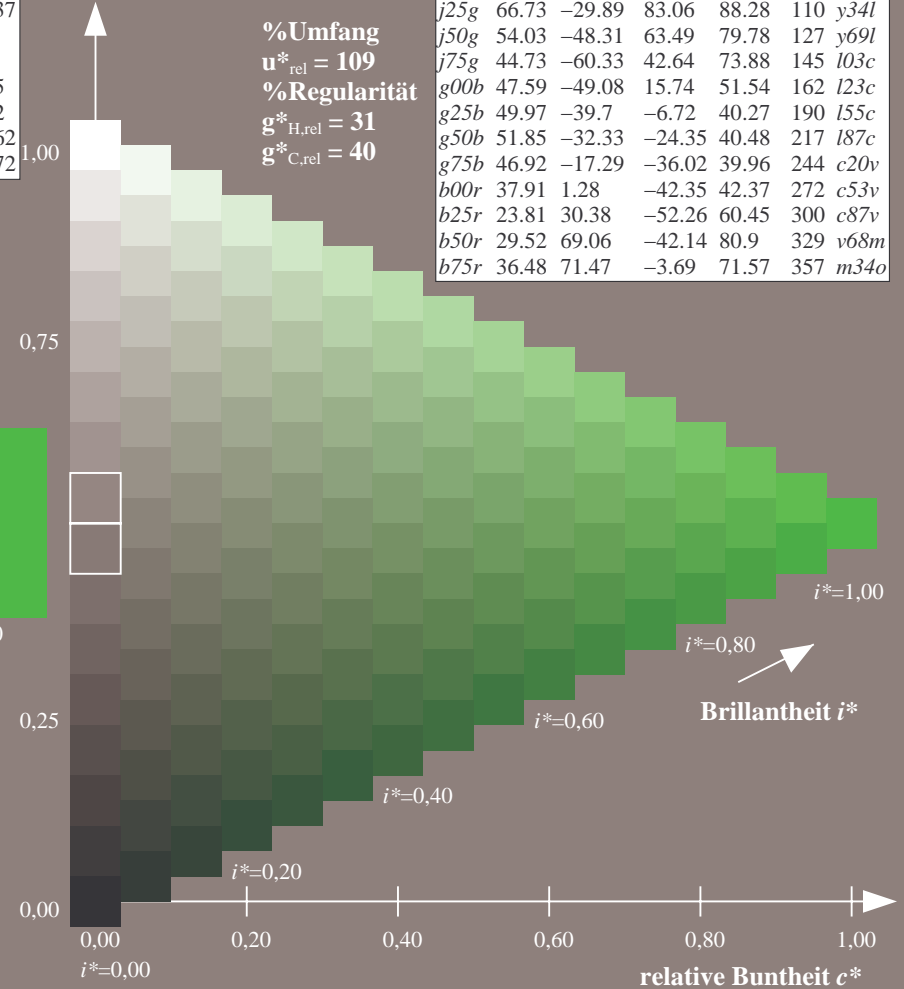
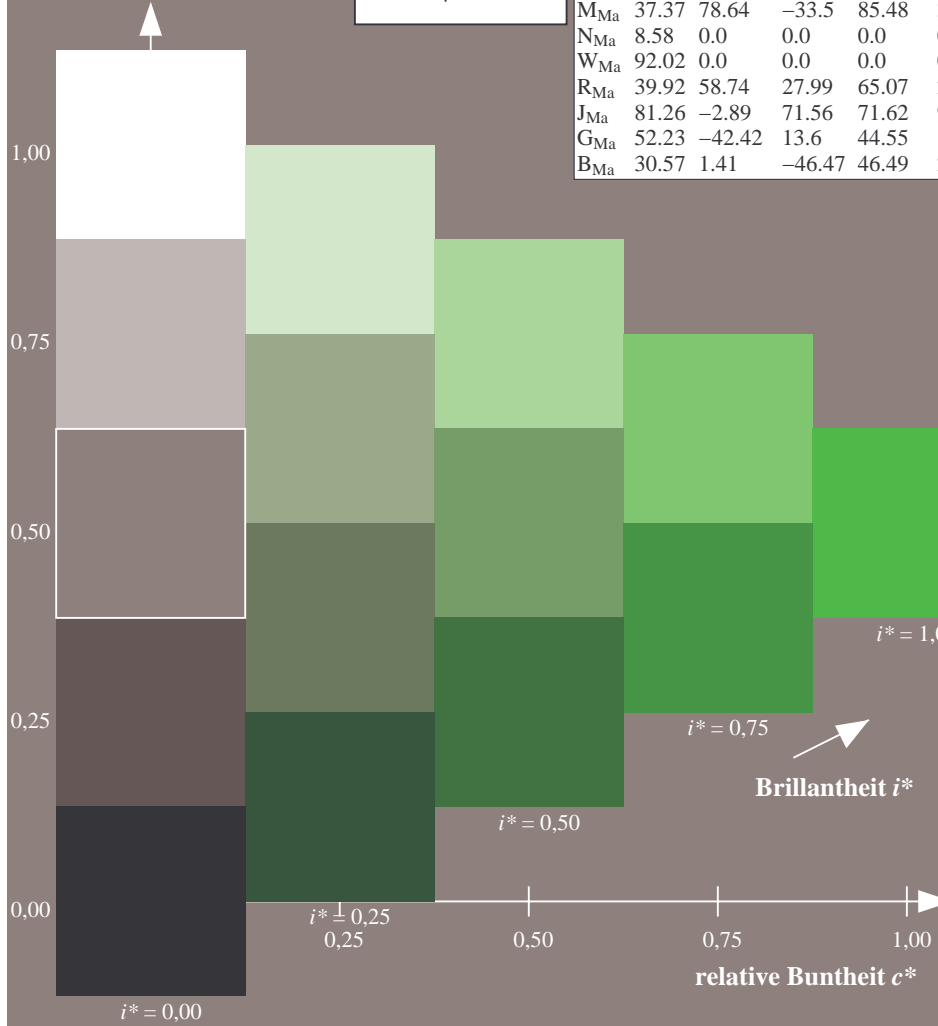
$lab^*rgb^*_{Ma}$: 0.5 1.0 0.0

$lab^*olv^*_{Ma}$: 0.3 1.0 0.0

Dreiecks-Helligkeit t^*

FRS09_92a; adaptierte CIELAB-Daten

u^*_e	$L^*=L^*_a$	a^*_a	b^*_a	$C^*_{ab,a}$	$h^*_{ab,a}$	u^*_d
r00j	35.47	63.32	30.17	70.15	25	m81o
r25j	39.12	54.56	49.45	73.64	42	o10y
r50j	50.64	39.15	64.89	75.79	59	o40y
r75j	64.01	21.26	82.83	85.52	76	o69y
j00g	83.18	-4.38	108.53	108.62	92	o98y
j25g	66.73	-29.89	83.06	88.28	110	y34l
j50g	54.03	-48.31	63.49	79.78	127	y69l
j75g	44.73	-60.33	42.64	73.88	145	l03c
g00b	47.59	-49.08	15.74	51.54	162	l23c
g25b	49.97	-39.7	-6.72	40.27	190	l55c
g50b	51.85	-32.33	-24.35	40.48	217	l87c
g75b	46.92	-17.29	-36.02	39.96	244	c20v
b00r	37.91	1.28	-42.35	42.37	272	c53v
b25r	23.81	30.38	-52.26	60.45	300	c87v
b50r	29.52	69.06	-42.14	80.9	329	v68m
b75r	36.48	71.47	-3.69	71.57	357	m34o



Ein und Ausgabe: Farbmatisches Drucker-Reflektiv-System FRS09_92a für relativen CIELAB-Bunton $h^* = lab^*h^* = h_{ab}/360 = 0.402$

$u^*_e = j75g$

Daten für jede Farbe:

lab^*tch^* und lab^*icu^*

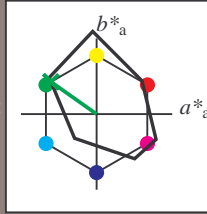
Buntontexte:

$u^*_e = j75g$ $u^*_d = l03c$

Kontrastreduzierungsfaktor:

$c_R = 1.0$

Dreiecks-Helligkeit t^*



FRS09_92a; adaptierte CIELAB-Daten						
u^*_e	$L^*=L^*_a$	a^*_a	b^*_a	$C^*_{ab,a}$	$h^*_{ab,a}$	
O _{Ma}	35.06	60.0	44.0	74.4	36	
Y _{Ma}	83.77	-5.17	109.32	109.44	93	
L _{Ma}	44.13	-62.67	48.24	79.09	142	
C _{Ma}	52.66	-29.14	-31.99	43.27	228	
V _{Ma}	14.15	50.3	-59.04	77.57	310	
M _{Ma}	37.37	78.64	-33.5	85.48	337	
N _{Ma}	8.58	0.0	0.0	0.0	0	
W _{Ma}	92.02	0.0	0.0	0.0	0	
R _{Ma}	39.92	58.74	27.99	65.07	25	
J _{Ma}	81.26	-2.89	71.56	71.62	92	
G _{Ma}	52.23	-42.42	13.6	44.55	162	
B _{Ma}	30.57	1.41	-46.47	46.49	272	

Daten für Maximalfarbe (Ma):

$LAB^*LAB^*_{Ma}$: 45 -60 43

$LAB^*LCH^*_{Ma}$: 45 74 144

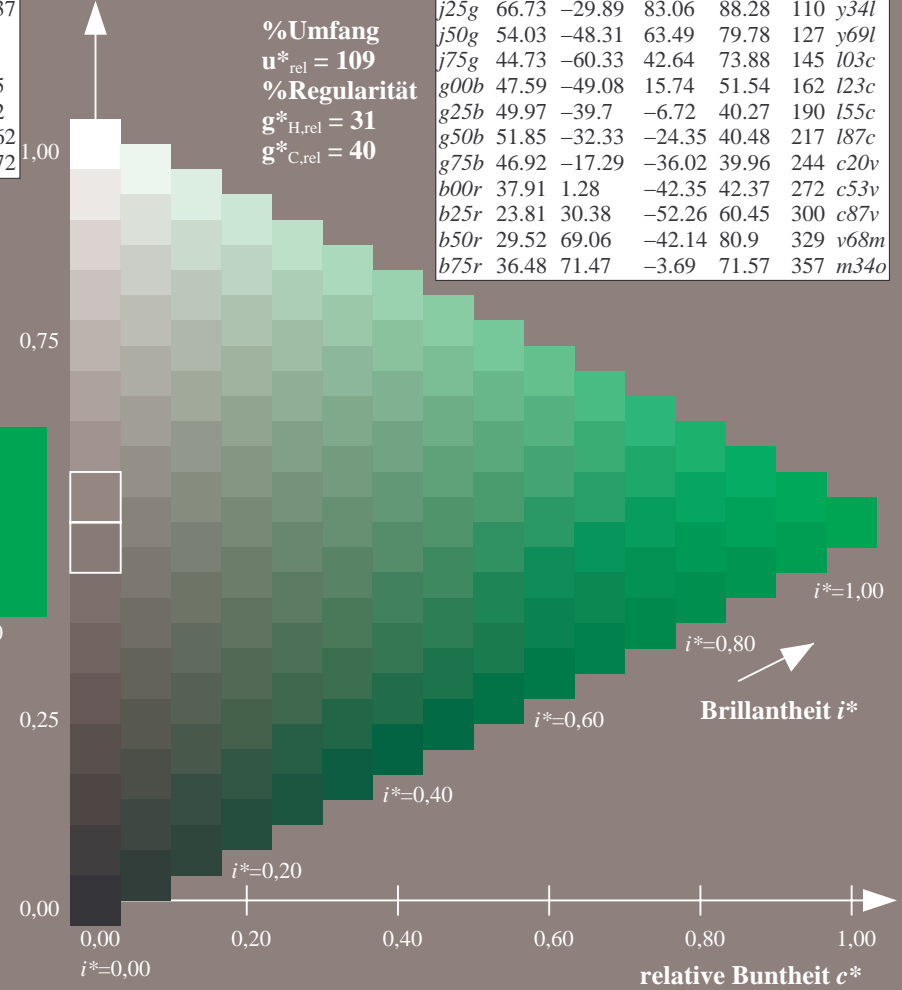
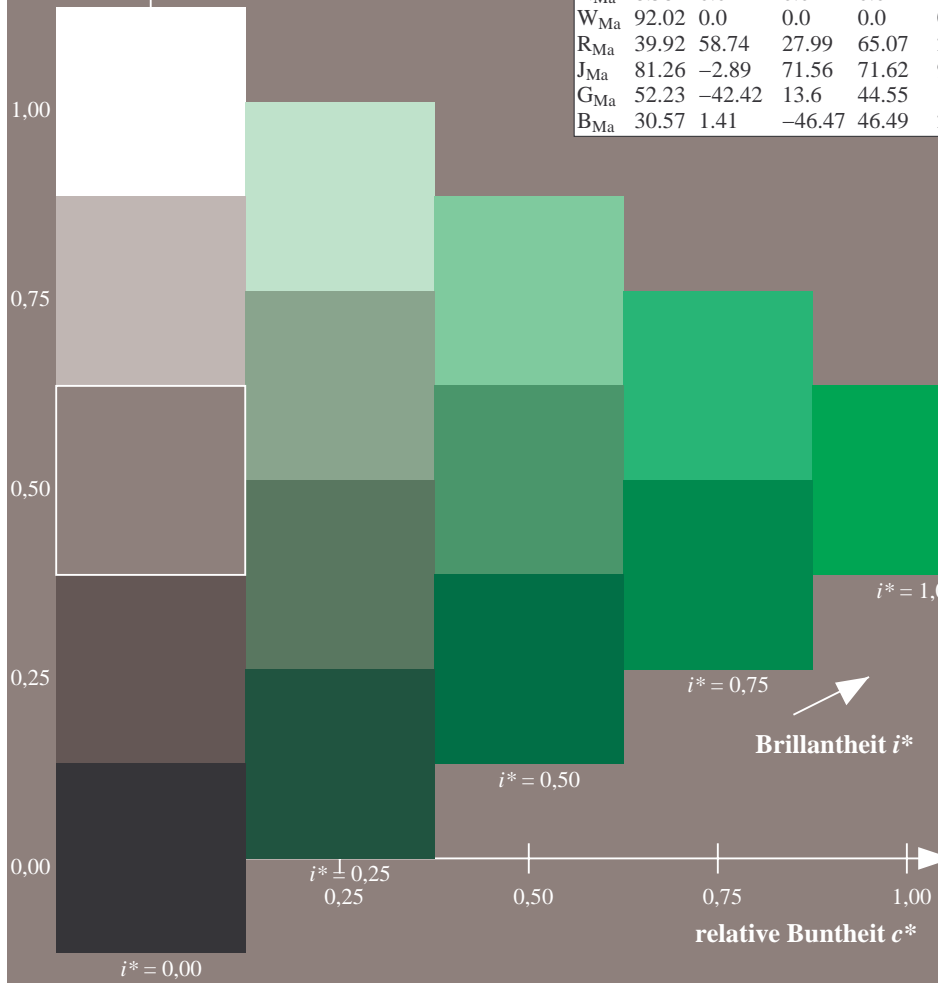
$lab^*rgb^*_{Ma}$: 0.25 1.0 0.0

$lab^*olv^*_{Ma}$: 0.0 1.0 0.03

Dreiecks-Helligkeit t^*

FRS09_92a; adaptierte CIELAB-Daten

u^*_e	$L^*=L^*_a$	a^*_a	b^*_a	$C^*_{ab,a}$	$h^*_{ab,a}$	u^*_d
r00j	35.47	63.32	30.17	70.15	25	m81o
r25j	39.12	54.56	49.45	73.64	42	o10y
r50j	50.64	39.15	64.89	75.79	59	o40y
r75j	64.01	21.26	82.83	85.52	76	o69y
j00g	83.18	-4.38	108.53	108.62	92	o98y
j25g	66.73	-29.89	83.06	88.28	110	y34l
j50g	54.03	-48.31	63.49	79.78	127	y69l
j75g	44.73	-60.33	42.64	73.88	145	l03c
g00b	47.59	-49.08	15.74	51.54	162	l23c
g25b	49.97	-39.7	-6.72	40.27	190	l55c
g50b	51.85	-32.33	-24.35	40.48	217	l87c
g75b	46.92	-17.29	-36.02	39.96	244	c20v
b00r	37.91	1.28	-42.35	42.37	272	c53v
b25r	23.81	30.38	-52.26	60.45	300	c87v
b50r	29.52	69.06	-42.14	80.9	329	v68m
b75r	36.48	71.47	-3.69	71.57	357	m34o



Ein und Ausgabe: Farbmatisches Drucker-Reflektiv-System FRS09_92a für relativen CIELAB-Bunton $h^* = lab^*h^* = h_{ab}/360 = 0.451$

$u^*_e = g00b$

Daten für jede Farbe:

lab^*tch^* und lab^*icu^*

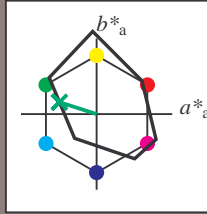
Buntontexte:

$u^*_e = g00b$ $u^*_d = l23c$

Kontrastreduzierungsfaktor:

$c_R = 1.0$

Dreiecks-Helligkeit t^*



FRS09_92a; adaptierte CIELAB-Daten						
u^*_e	$L^*=L^*_a$	a^*_a	b^*_a	$C^*_{ab,a}$	$h^*_{ab,a}$	
O _{Ma}	35.06	60.0	44.0	74.4	36	
Y _{Ma}	83.77	-5.17	109.32	109.44	93	
L _{Ma}	44.13	-62.67	48.24	79.09	142	
C _{Ma}	52.66	-29.14	-31.99	43.27	228	
V _{Ma}	14.15	50.3	-59.04	77.57	310	
M _{Ma}	37.37	78.64	-33.5	85.48	337	
N _{Ma}	8.58	0.0	0.0	0.0	0	
W _{Ma}	92.02	0.0	0.0	0.0	0	
R _{Ma}	39.92	58.74	27.99	65.07	25	
J _{Ma}	81.26	-2.89	71.56	71.62	92	
G _{Ma}	52.23	-42.42	13.6	44.55	162	
B _{Ma}	30.57	1.41	-46.47	46.49	272	

Daten für Maximalfarbe (Ma):

$LAB^*LAB^*_{Ma}$: 48 -49 16

$LAB^*LCH^*_{Ma}$: 48 52 162

$lab^*rgb^*_{Ma}$: 0.0 1.0 0.0

$lab^*olv^*_{Ma}$: 0.0 1.0 0.23

Dreiecks-Helligkeit t^*

%Umfang

$u^*_{rel} = 109$

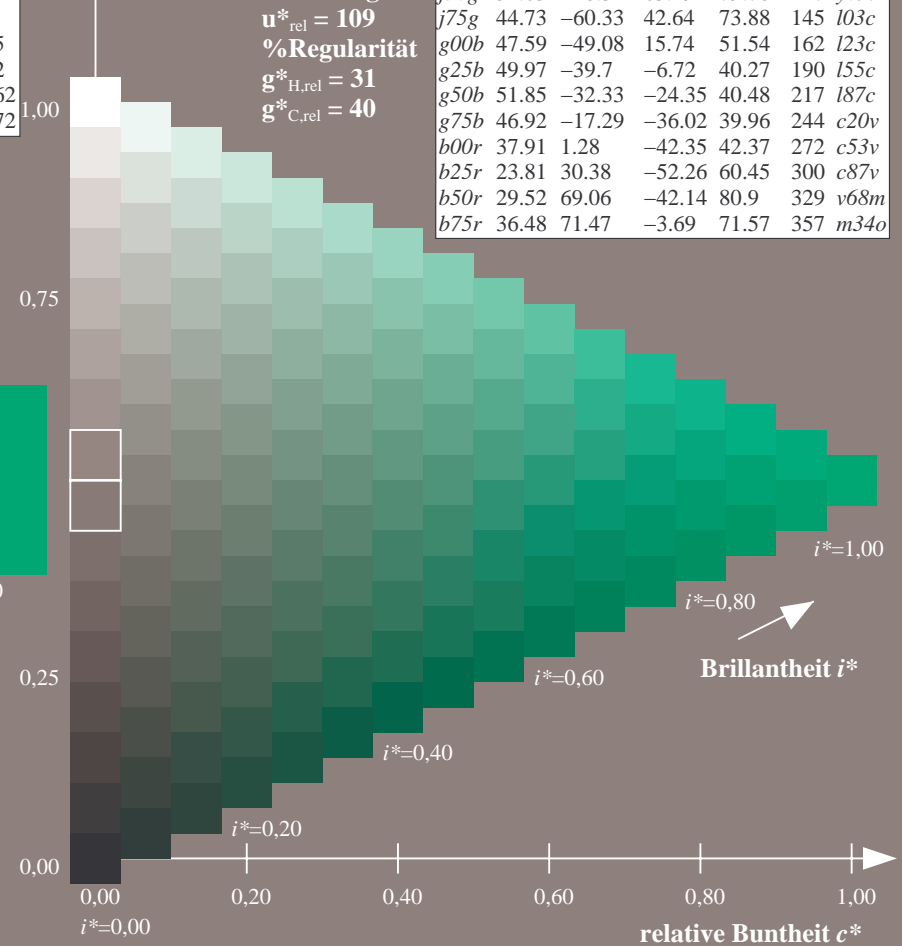
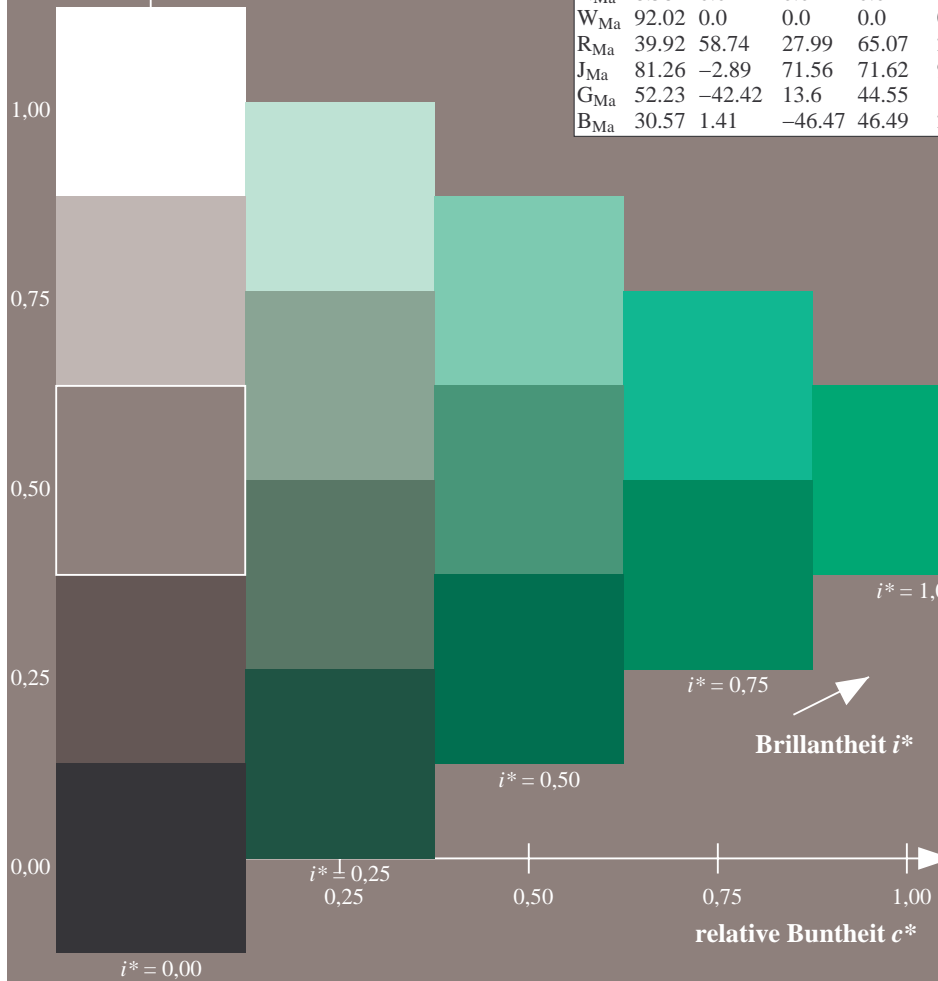
%Regularität

$g^*_{H,rel} = 31$

$g^*_{C,rel} = 40$

FRS09_92a; adaptierte CIELAB-Daten

u^*_e	$L^*=L^*_a$	a^*_a	b^*_a	$C^*_{ab,a}$	$h^*_{ab,a}$	u^*_d
r00j	35.47	63.32	30.17	70.15	25	m81o
r25j	39.12	54.56	49.45	73.64	42	o10y
r50j	50.64	39.15	64.89	75.79	59	o40y
r75j	64.01	21.26	82.83	85.52	76	o69y
j00g	83.18	-4.38	108.53	108.62	92	o98y
j25g	66.73	-29.89	83.06	88.28	110	y34l
j50g	54.03	-48.31	63.49	79.78	127	y69l
j75g	44.73	-60.33	42.64	73.88	145	l03c
g00b	47.59	-49.08	15.74	51.54	162	l23c
g25b	49.97	-39.7	-6.72	40.27	190	l55c
g50b	51.85	-32.33	-24.35	40.48	217	l87c
g75b	46.92	-17.29	-36.02	39.96	244	c20v
b00r	37.91	1.28	-42.35	42.37	272	c53v
b25r	23.81	30.38	-52.26	60.45	300	c87v
b50r	29.52	69.06	-42.14	80.9	329	v68m
b75r	36.48	71.47	-3.69	71.57	357	m34o



Ein und Ausgabe: Farbmatisches Drucker-Reflektiv-System FRS09_92a für relativen CIELAB-Bunton $h^* = lab^*h^* = h_{ab}/360 = 0.527$

$u^*_e = g25b$

Daten für jede Farbe:

lab^*tch^* und lab^*icu^*

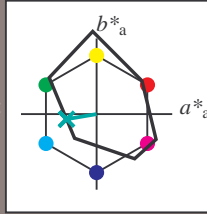
Buntontexte:

$u^*_e = g25b$ $u^*_d = l55c$

Kontrastreduzierungsfaktor:

$c_R = 1.0$

Dreiecks-Helligkeit t^*



FRS09_92a; adaptierte CIELAB-Daten						
u^*_e	$L^*=L^*_a$	a^*_a	b^*_a	$C^*_{ab,a}$	$h^*_{ab,a}$	
O _{Ma}	35.06	60.0	44.0	74.4	36	
Y _{Ma}	83.77	-5.17	109.32	109.44	93	
L _{Ma}	44.13	-62.67	48.24	79.09	142	
C _{Ma}	52.66	-29.14	-31.99	43.27	228	
V _{Ma}	14.15	50.3	-59.04	77.57	310	
M _{Ma}	37.37	78.64	-33.5	85.48	337	
N _{Ma}	8.58	0.0	0.0	0.0	0	
W _{Ma}	92.02	0.0	0.0	0.0	0	
R _{Ma}	39.92	58.74	27.99	65.07	25	
J _{Ma}	81.26	-2.89	71.56	71.62	92	
G _{Ma}	52.23	-42.42	13.6	44.55	162	
B _{Ma}	30.57	1.41	-46.47	46.49	272	

Daten für Maximalfarbe (Ma):

$LAB^*LAB^*_{Ma}: 50 -40 -7$

$LAB^*LCH^*_{Ma}: 50 40 189$

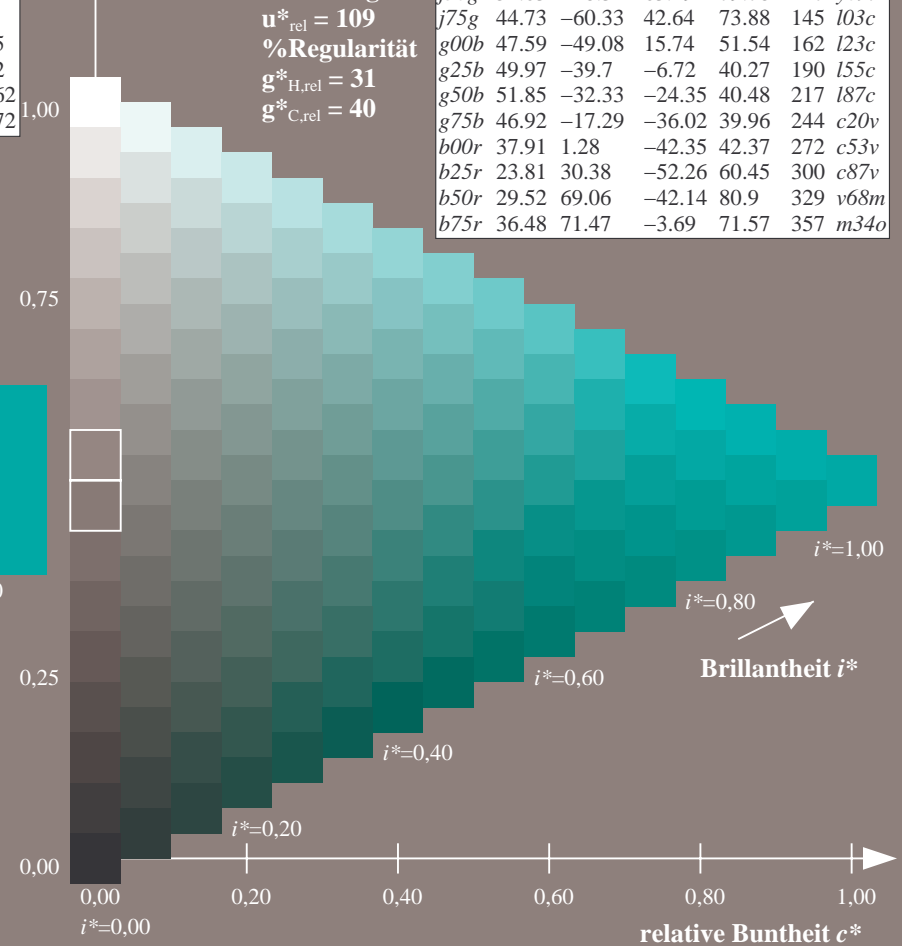
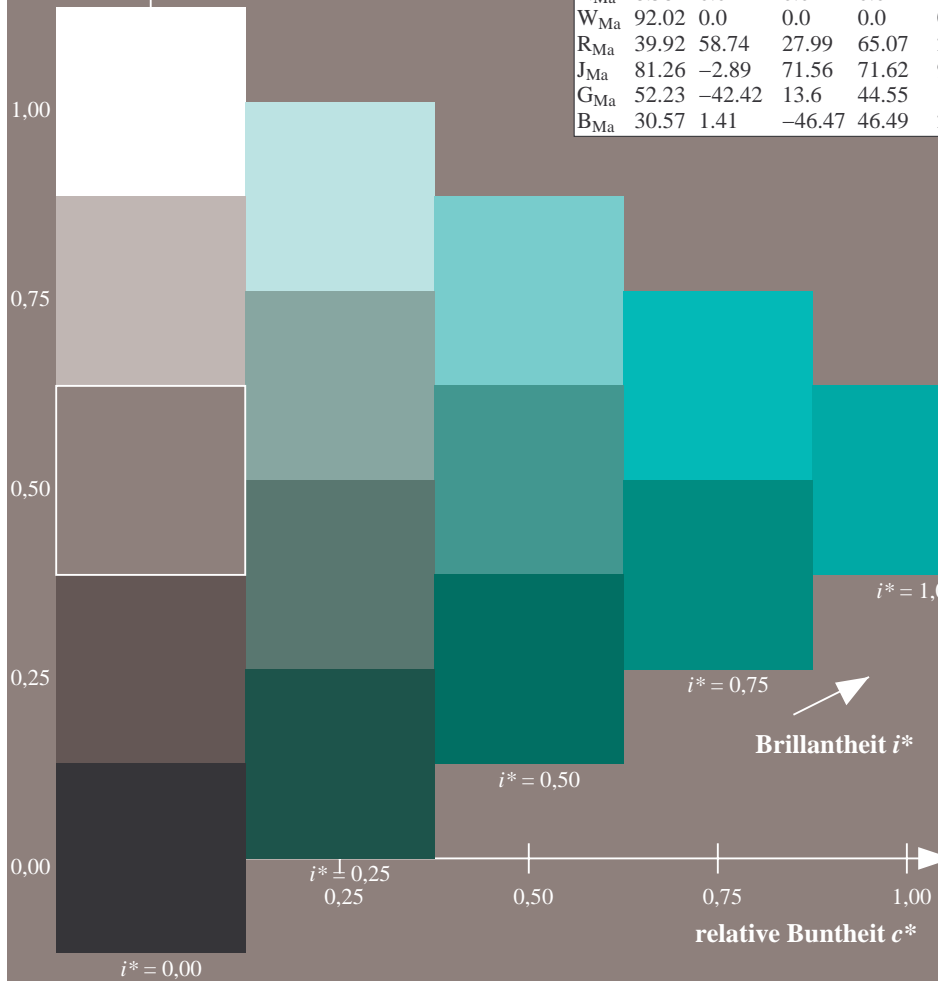
$lab^*rgb^*_{Ma}: 0.0 1.0 0.5$

$lab^*olv^*_{Ma}: 0.0 1.0 0.55$

Dreiecks-Helligkeit t^*

FRS09_92a; adaptierte CIELAB-Daten

u^*_e	$L^*=L^*_a$	a^*_a	b^*_a	$C^*_{ab,a}$	$h^*_{ab,a}$	u^*_d
r00j	35.47	63.32	30.17	70.15	25	m81o
r25j	39.12	54.56	49.45	73.64	42	o10y
r50j	50.64	39.15	64.89	75.79	59	o40y
r75j	64.01	21.26	82.83	85.52	76	o69y
j00g	83.18	-4.38	108.53	108.62	92	o98y
j25g	66.73	-29.89	83.06	88.28	110	y34l
j50g	54.03	-48.31	63.49	79.78	127	y69l
j75g	44.73	-60.33	42.64	73.88	145	l03c
g00b	47.59	-49.08	15.74	51.54	162	l23c
g25b	49.97	-39.7	-6.72	40.27	190	l55c
g50b	51.85	-32.33	-24.35	40.48	217	l87c
g75b	46.92	-17.29	-36.02	39.96	244	c20v
b00r	37.91	1.28	-42.35	42.37	272	c53v
b25r	23.81	30.38	-52.26	60.45	300	c87v
b50r	29.52	69.06	-42.14	80.9	329	v68m
b75r	36.48	71.47	-3.69	71.57	357	m34o



Ein und Ausgabe: Farbmatisches Drucker-Reflektiv-System FRS09_92a für relativen CIELAB-Bunton $h^* = lab^*h^* = h_{ab}/360 = 0.603$

$u^*_e = g50b$

Daten für jede Farbe:

lab^*tch^* und lab^*icu^*

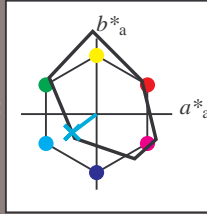
Buntontexte:

$u^*_e = g50b$ $u^*_d = l87c$

Kontrastreduzierungsfaktor:

$c_R = 1.0$

Dreiecks-Helligkeit t^*



FRS09_92a; adaptierte CIELAB-Daten						
u^*_e	$L^*=L^*_a$	a^*_a	b^*_a	$C^*_{ab,a}$	$h^*_{ab,a}$	
O _{Ma}	35.06	60.0	44.0	74.4	36	
Y _{Ma}	83.77	-5.17	109.32	109.44	93	
L _{Ma}	44.13	-62.67	48.24	79.09	142	
C _{Ma}	52.66	-29.14	-31.99	43.27	228	
V _{Ma}	14.15	50.3	-59.04	77.57	310	
M _{Ma}	37.37	78.64	-33.5	85.48	337	
N _{Ma}	8.58	0.0	0.0	0.0	0	
W _{Ma}	92.02	0.0	0.0	0.0	0	
R _{Ma}	39.92	58.74	27.99	65.07	25	
J _{Ma}	81.26	-2.89	71.56	71.62	92	
G _{Ma}	52.23	-42.42	13.6	44.55	162	
B _{Ma}	30.57	1.41	-46.47	46.49	272	

Daten für Maximalfarbe (Ma):

$LAB^*LAB^*_{Ma}: 52 -32 -24$

$LAB^*LCH^*_{Ma}: 52 40 216$

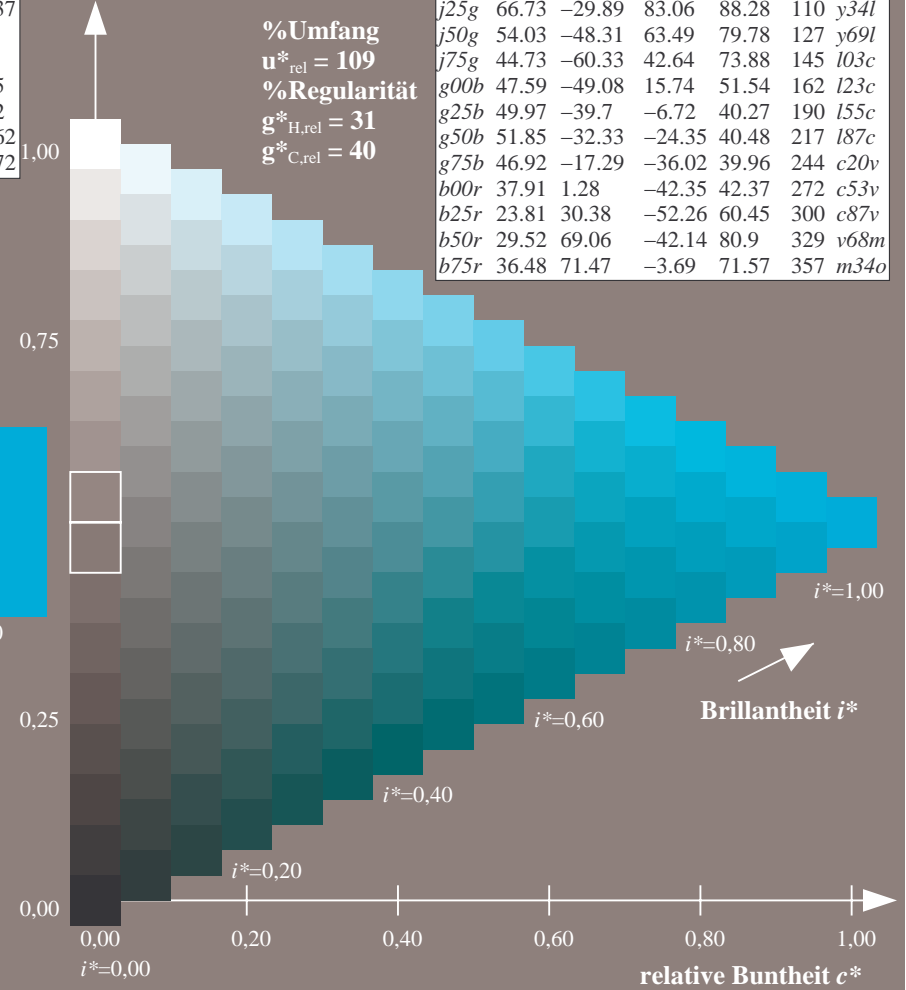
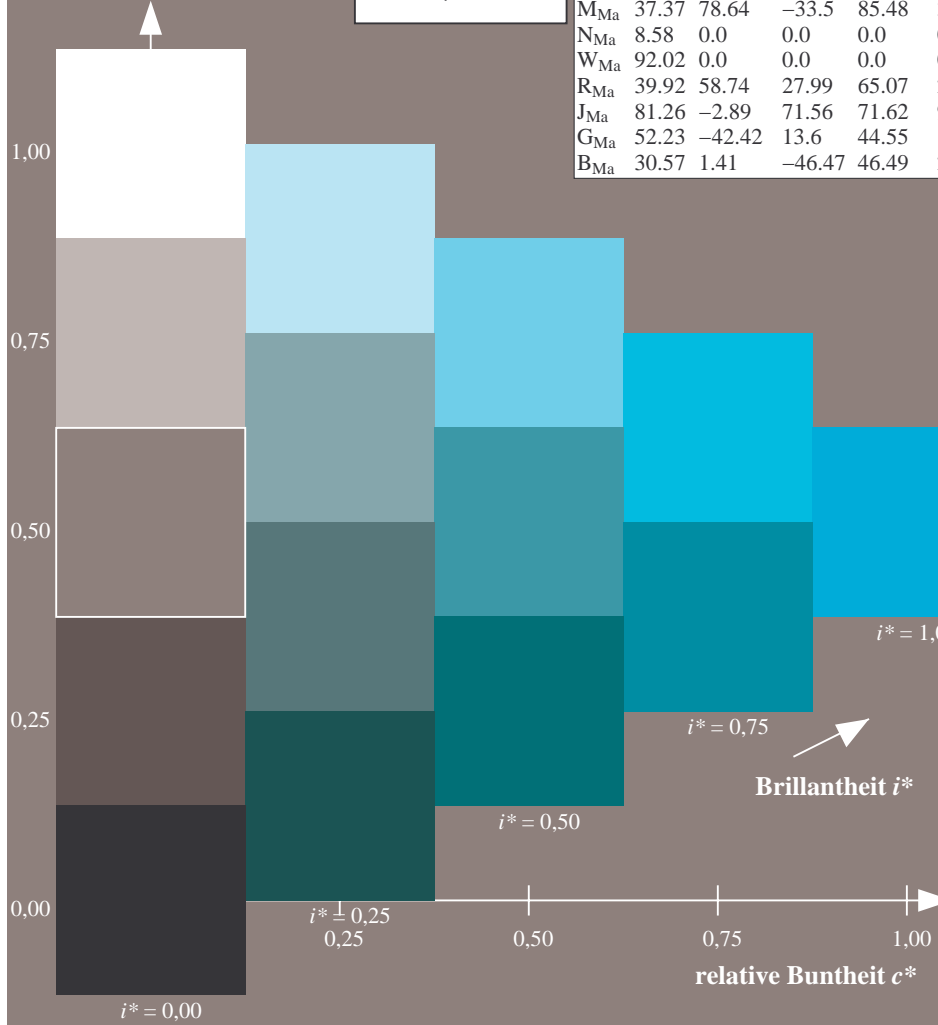
$lab^*rgb^*_{Ma}: 0.0 1.0 1.0$

$lab^*olv^*_{Ma}: 0.0 1.0 0.87$

Dreiecks-Helligkeit t^*

FRS09_92a; adaptierte CIELAB-Daten

u^*_e	$L^*=L^*_a$	a^*_a	b^*_a	$C^*_{ab,a}$	$h^*_{ab,a}$	u^*_d
r00j	35.47	63.32	30.17	70.15	25	m81o
r25j	39.12	54.56	49.45	73.64	42	o10y
r50j	50.64	39.15	64.89	75.79	59	o40y
r75j	64.01	21.26	82.83	85.52	76	o69y
j00g	83.18	-4.38	108.53	108.62	92	o98y
j25g	66.73	-29.89	83.06	88.28	110	y34l
j50g	54.03	-48.31	63.49	79.78	127	y69l
j75g	44.73	-60.33	42.64	73.88	145	l03c
g00b	47.59	-49.08	15.74	51.54	162	l23c
g25b	49.97	-39.7	-6.72	40.27	190	l55c
g50b	51.85	-32.33	-24.35	40.48	217	l87c
g75b	46.92	-17.29	-36.02	39.96	244	c20v
b00r	37.91	1.28	-42.35	42.37	272	c53v
b25r	23.81	30.38	-52.26	60.45	300	c87v
b50r	29.52	69.06	-42.14	80.9	329	v68m
b75r	36.48	71.47	-3.69	71.57	357	m34o



Daten für jede Farbe:

lab^*tch^* und lab^*icu^*

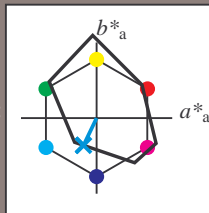
Buntontexte:

$u^*_e = g75b$ $u^*_d = c20v$

Kontrastreduzierungsfaktor:

$c_R = 1.0$

Dreiecks-Helligkeit t^*



FRS09_92a; adaptierte CIELAB-Daten						
u^*_e	$L^*=L^*_a$	a^*_a	b^*_a	$C^*_{ab,a}$	$h^*_{ab,a}$	
O _{Ma}	35.06	60.0	44.0	74.4	36	
Y _{Ma}	83.77	-5.17	109.32	109.44	93	
L _{Ma}	44.13	-62.67	48.24	79.09	142	
C _{Ma}	52.66	-29.14	-31.99	43.27	228	
V _{Ma}	14.15	50.3	-59.04	77.57	310	
M _{Ma}	37.37	78.64	-33.5	85.48	337	
N _{Ma}	8.58	0.0	0.0	0.0	0	
W _{Ma}	92.02	0.0	0.0	0.0	0	
R _{Ma}	39.92	58.74	27.99	65.07	25	
J _{Ma}	81.26	-2.89	71.56	71.62	92	
G _{Ma}	52.23	-42.42	13.6	44.55	162	
B _{Ma}	30.57	1.41	-46.47	46.49	272	

Daten für Maximalfarbe (Ma):

$LAB^*LAB^*_{Ma}$: 47 -17 -36

$LAB^*LCH^*_{Ma}$: 47 40 244

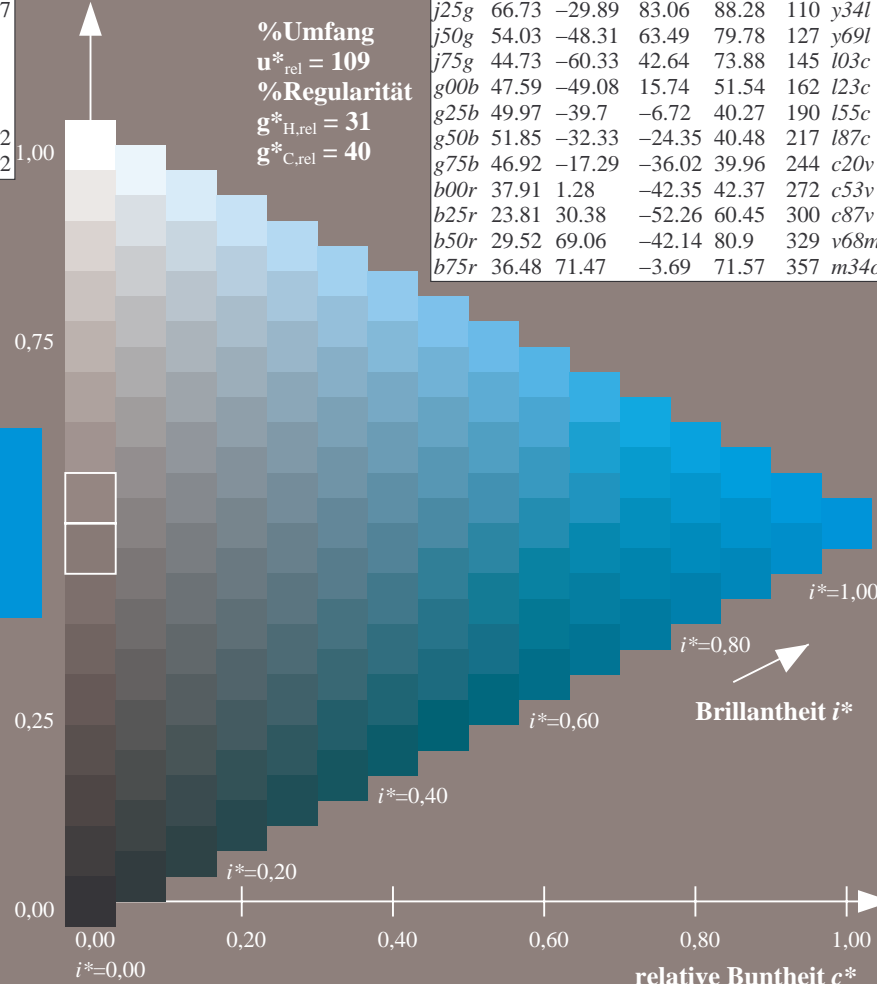
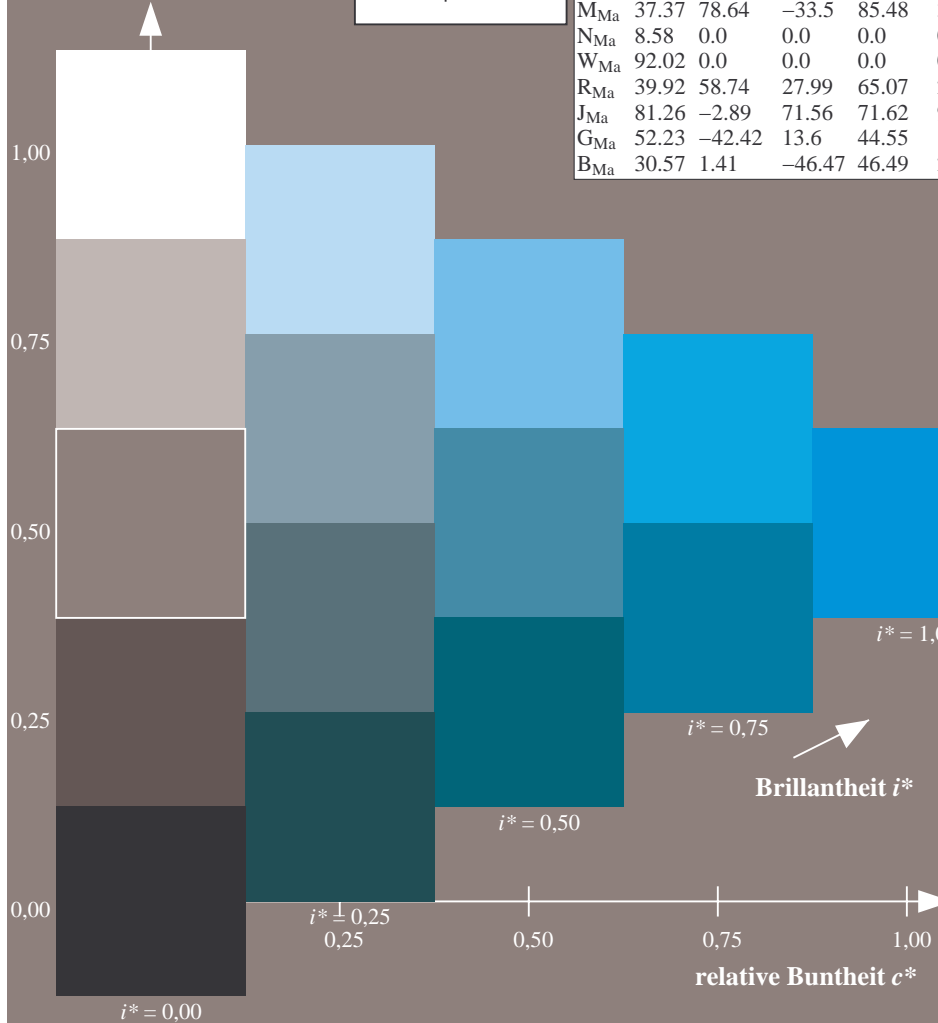
$lab^*rgb^*_{Ma}$: 0.0 0.5 1.0

$lab^*olv^*_{Ma}$: 0.0 0.8 1.0

Dreiecks-Helligkeit t^*

FRS09_92a; adaptierte CIELAB-Daten

u^*_e	$L^*=L^*_a$	a^*_a	b^*_a	$C^*_{ab,a}$	$h^*_{ab,a}$	u^*_d
r00j	35.47	63.32	30.17	70.15	25	m81o
r25j	39.12	54.56	49.45	73.64	42	o10y
r50j	50.64	39.15	64.89	75.79	59	o40y
r75j	64.01	21.26	82.83	85.52	76	o69y
j00g	83.18	-4.38	108.53	108.62	92	o98y
j25g	66.73	-29.89	83.06	88.28	110	y34l
j50g	54.03	-48.31	63.49	79.78	127	y69l
j75g	44.73	-60.33	42.64	73.88	145	l03c
g00b	47.59	-49.08	15.74	51.54	162	l23c
g25b	49.97	-39.7	-6.72	40.27	190	l55c
g50b	51.85	-32.33	-24.35	40.48	217	l87c
g75b	46.92	-17.29	-36.02	39.96	244	c20v
b00r	37.91	1.28	-42.35	42.37	272	c53v
b25r	23.81	30.38	-52.26	60.45	300	c87v
b50r	29.52	69.06	-42.14	80.9	329	v68m
b75r	36.48	71.47	-3.69	71.57	357	m34o



Ein und Ausgabe: Farbmatisches Drucker-Reflektiv-System FRS09_92a für relativen CIELAB-Bunton $h^* = lab^*h^* = h_{ab}/360 = 0.755$

$u^*_e = b00r$

Daten für jede Farbe:

lab^*tch^* und lab^*icu^*

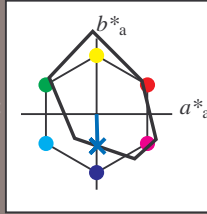
Buntontexte:

$u^*_e = b00r$ $u^*_d = c53v$

Kontrastreduzierungsfaktor:

$c_R = 1.0$

Dreiecks-Helligkeit t^*



FRS09_92a; adaptierte CIELAB-Daten

u^*_e	$L^*=L^*_a$	a^*_a	b^*_a	$C^*_{ab,a}$	$h^*_{ab,a}$
O _{Ma}	35.06	60.0	44.0	74.4	36
Y _{Ma}	83.77	-5.17	109.32	109.44	93
L _{Ma}	44.13	-62.67	48.24	79.09	142
C _{Ma}	52.66	-29.14	-31.99	43.27	228
V _{Ma}	14.15	50.3	-59.04	77.57	310
M _{Ma}	37.37	78.64	-33.5	85.48	337
N _{Ma}	8.58	0.0	0.0	0.0	0
W _{Ma}	92.02	0.0	0.0	0.0	0
R _{Ma}	39.92	58.74	27.99	65.07	25
J _{Ma}	81.26	-2.89	71.56	71.62	92
G _{Ma}	52.23	-42.42	13.6	44.55	162
B _{Ma}	30.57	1.41	-46.47	46.49	272

Daten für Maximalfarbe (Ma):

$LAB^*LAB^*_{Ma}$: 38 1 -42

$LAB^*LCH^*_{Ma}$: 38 42 271

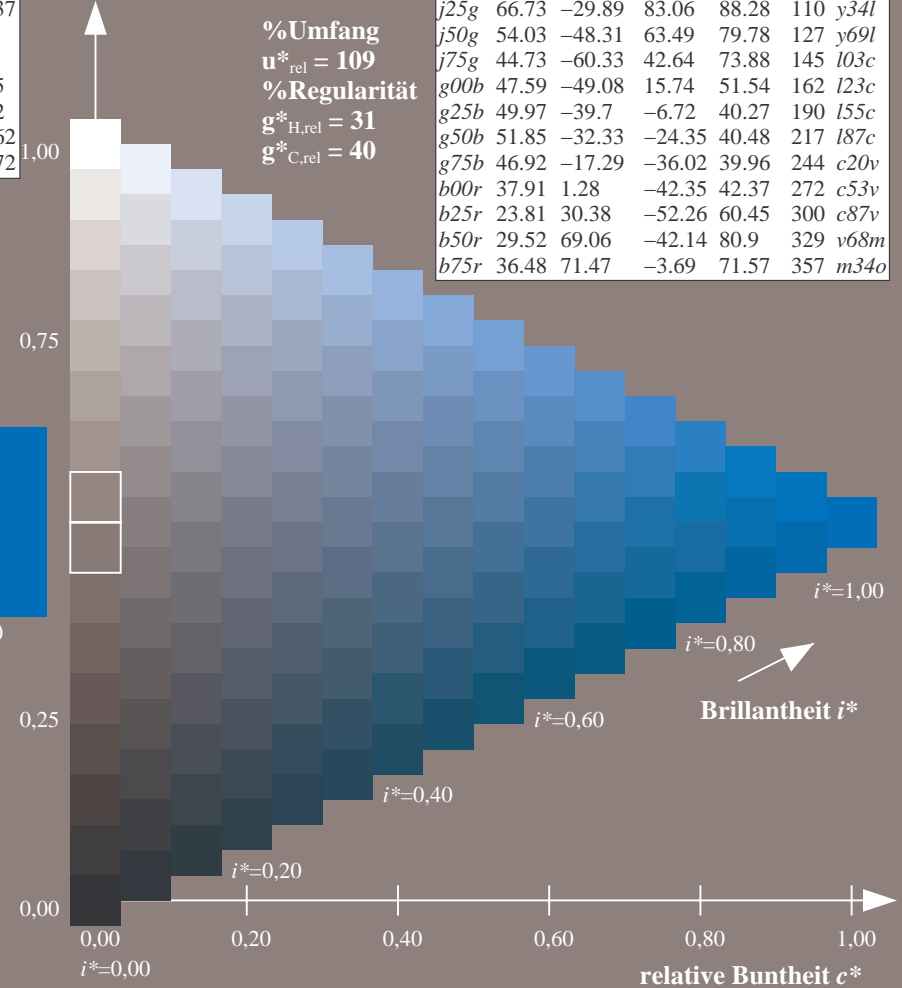
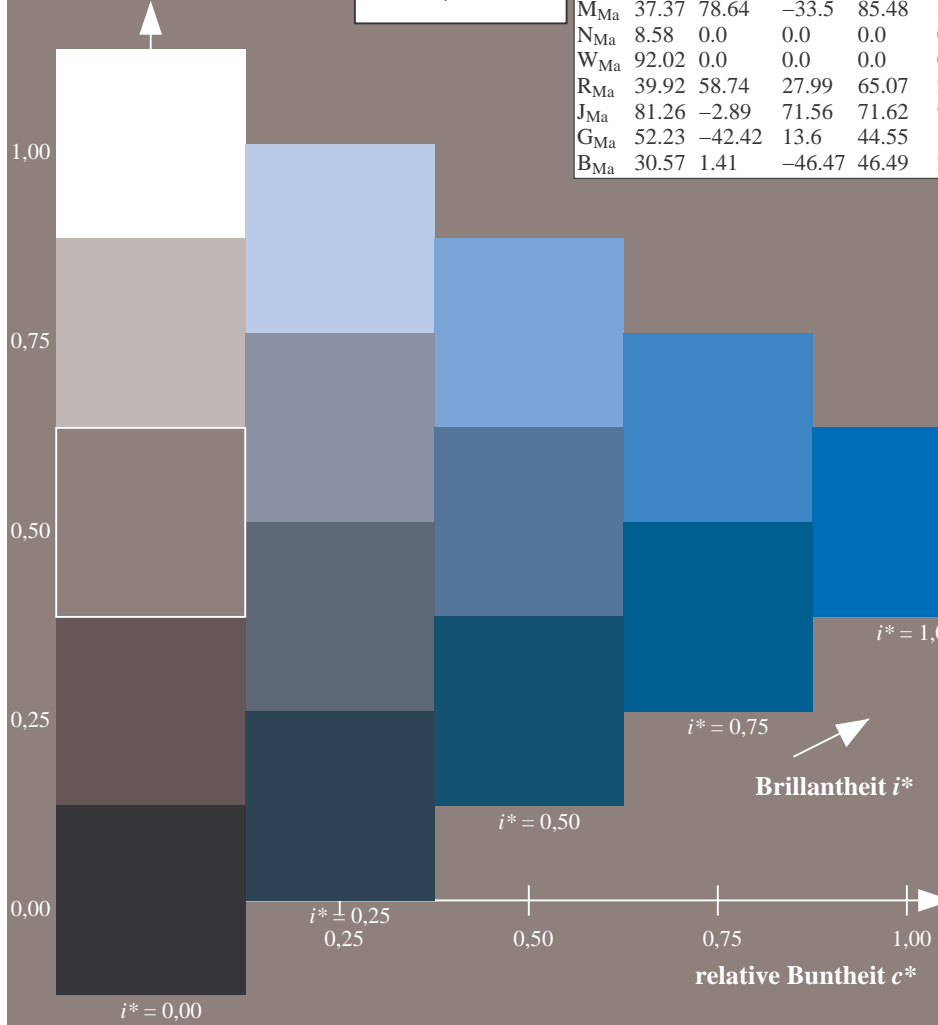
$lab^*rgb^*_{Ma}$: 0.0 0.0 1.0

$lab^*olv^*_{Ma}$: 0.0 0.47 1.0

Dreiecks-Helligkeit t^*

FRS09_92a; adaptierte CIELAB-Daten

u^*_e	$L^*=L^*_a$	a^*_a	b^*_a	$C^*_{ab,a}$	$h^*_{ab,a}$	u^*_d
r00j	35.47	63.32	30.17	70.15	25	m81o
r25j	39.12	54.56	49.45	73.64	42	o10y
r50j	50.64	39.15	64.89	75.79	59	o40y
r75j	64.01	21.26	82.83	85.52	76	o69y
j00g	83.18	-4.38	108.53	108.62	92	o98y
j25g	66.73	-29.89	83.06	88.28	110	y34l
j50g	54.03	-48.31	63.49	79.78	127	y69l
j75g	44.73	-60.33	42.64	73.88	145	l03c
g00b	47.59	-49.08	15.74	51.54	162	l23c
g25b	49.97	-39.7	-6.72	40.27	190	l55c
g50b	51.85	-32.33	-24.35	40.48	217	l87c
g75b	46.92	-17.29	-36.02	39.96	244	c20v
b00r	37.91	1.28	-42.35	42.37	272	c53v
b25r	23.81	30.38	-52.26	60.45	300	c87v
b50r	29.52	69.06	-42.14	80.9	329	v68m
b75r	36.48	71.47	-3.69	71.57	357	m34o



Ein und Ausgabe: Farbmatisches Drucker-Reflektiv-System FRS09_92a für relativen CIELAB-Bunton $h^* = lab^*h^* = h_{ab}/360 = 0.834$

$u^*_e = b25r$

Daten für jede Farbe:

lab^*tch^* und lab^*icu^*

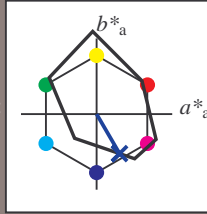
Buntontexte:

$u^*_e = b25r$ $u^*_d = c87v$

Kontrastreduzierungsfaktor:

$c_R = 1.0$

Dreiecks-Helligkeit t^*



FRS09_92a; adaptierte CIELAB-Daten						
u^*_e	$L^*=L^*_a$	a^*_a	b^*_a	$C^*_{ab,a}$	$h^*_{ab,a}$	
O _{Ma}	35.06	60.0	44.0	74.4	36	
Y _{Ma}	83.77	-5.17	109.32	109.44	93	
L _{Ma}	44.13	-62.67	48.24	79.09	142	
C _{Ma}	52.66	-29.14	-31.99	43.27	228	
V _{Ma}	14.15	50.3	-59.04	77.57	310	
M _{Ma}	37.37	78.64	-33.5	85.48	337	
N _{Ma}	8.58	0.0	0.0	0.0	0	
W _{Ma}	92.02	0.0	0.0	0.0	0	
R _{Ma}	39.92	58.74	27.99	65.07	25	
J _{Ma}	81.26	-2.89	71.56	71.62	92	
G _{Ma}	52.23	-42.42	13.6	44.55	162	
B _{Ma}	30.57	1.41	-46.47	46.49	272	

Daten für Maximalfarbe (Ma):

$LAB^*LAB^*_{Ma}$: 24 30 -52

$LAB^*LCH^*_{Ma}$: 24 60 300

$lab^*rgb^*_{Ma}$: 0.5 0.0 1.0

$lab^*olv^*_{Ma}$: 0.0 0.12 1.0

Dreiecks-Helligkeit t^*

%Umfang

$u^*_{rel} = 109$

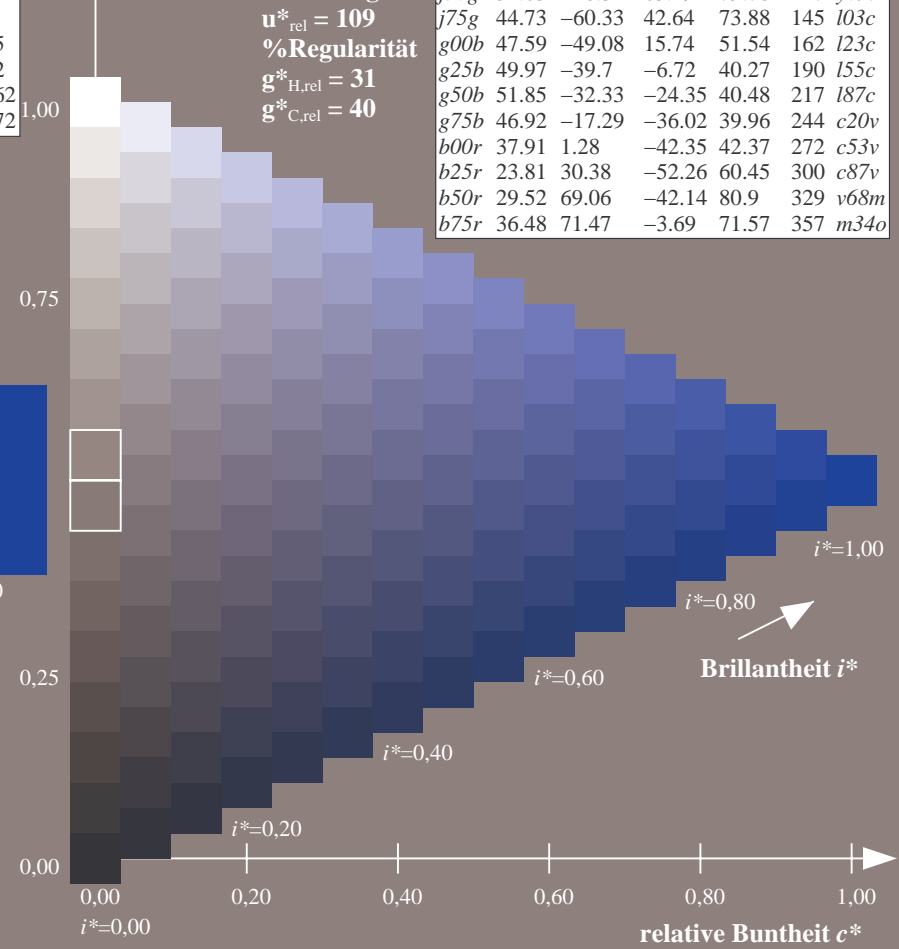
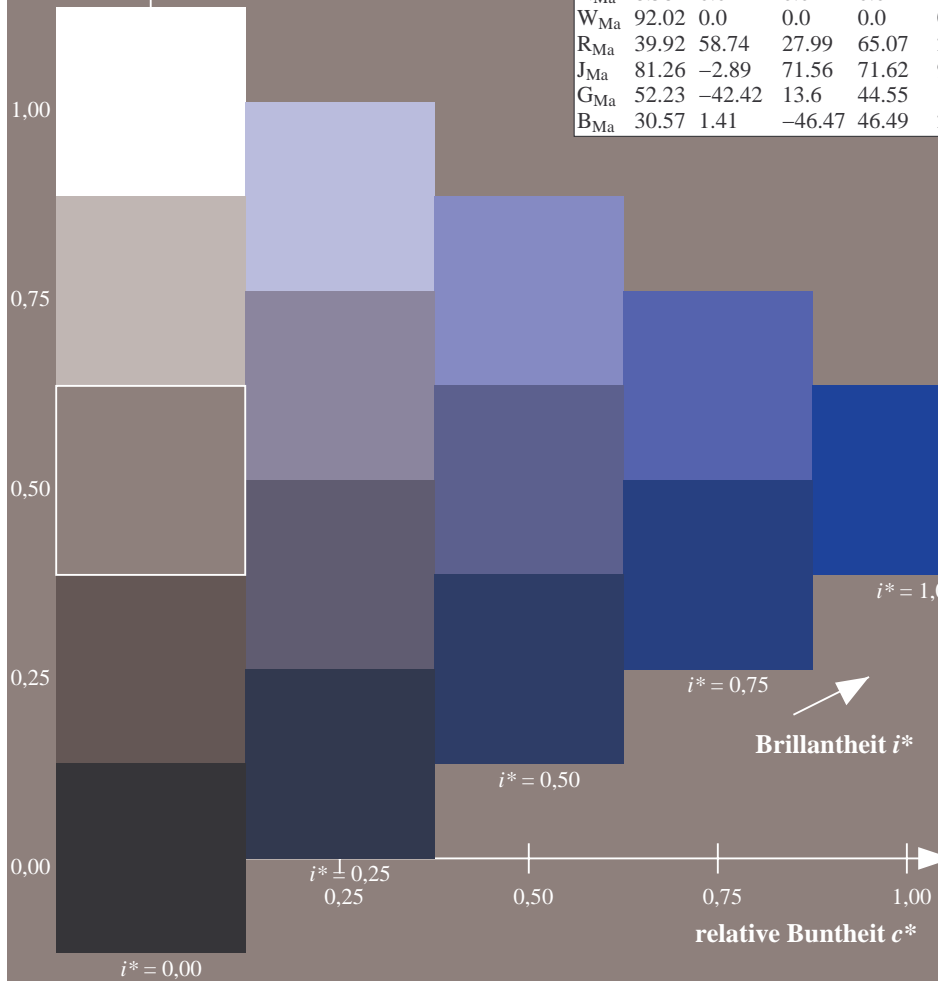
%Regularität

$g^*_{H,rel} = 31$

$g^*_{C,rel} = 40$

FRS09_92a; adaptierte CIELAB-Daten

u^*_e	$L^*=L^*_a$	a^*_a	b^*_a	$C^*_{ab,a}$	$h^*_{ab,a}$	u^*_d
r00j	35.47	63.32	30.17	70.15	25	m81o
r25j	39.12	54.56	49.45	73.64	42	o10y
r50j	50.64	39.15	64.89	75.79	59	o40y
r75j	64.01	21.26	82.83	85.52	76	o69y
j00g	83.18	-4.38	108.53	108.62	92	o98y
j25g	66.73	-29.89	83.06	88.28	110	y34l
j50g	54.03	-48.31	63.49	79.78	127	y69l
j75g	44.73	-60.33	42.64	73.88	145	l03c
g00b	47.59	-49.08	15.74	51.54	162	l23c
g25b	49.97	-39.7	-6.72	40.27	190	l55c
g50b	51.85	-32.33	-24.35	40.48	217	l87c
g75b	46.92	-17.29	-36.02	39.96	244	c20v
b00r	37.91	1.28	-42.35	42.37	272	c53v
b25r	23.81	30.38	-52.26	60.45	300	c87v
b50r	29.52	69.06	-42.14	80.9	329	v68m
b75r	36.48	71.47	-3.69	71.57	357	m34o



Ein und Ausgabe: Farbmatisches Drucker-Reflektiv-System FRS09_92a für relativen CIELAB-Bunton $h^* = lab^*h^* = h_{ab}/360 = 0.913$

$u^*_e = b50r$

Daten für jede Farbe:

lab^*tch^* und lab^*icu^*

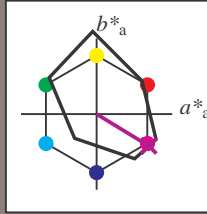
Buntontexte:

$u^*_e = b50r$ $u^*_d = v68m$

Kontrastreduzierungsfaktor:

$c_R = 1.0$

Dreiecks-Helligkeit t^*



FRS09_92a; adaptierte CIELAB-Daten						
u^*_e	$L^*=L^*_a$	a^*_a	b^*_a	$C^*_{ab,a}$	$h^*_{ab,a}$	
O _{Ma}	35.06	60.0	44.0	74.4	36	
Y _{Ma}	83.77	-5.17	109.32	109.44	93	
L _{Ma}	44.13	-62.67	48.24	79.09	142	
C _{Ma}	52.66	-29.14	-31.99	43.27	228	
V _{Ma}	14.15	50.3	-59.04	77.57	310	
M _{Ma}	37.37	78.64	-33.5	85.48	337	
N _{Ma}	8.58	0.0	0.0	0.0	0	
W _{Ma}	92.02	0.0	0.0	0.0	0	
R _{Ma}	39.92	58.74	27.99	65.07	25	
J _{Ma}	81.26	-2.89	71.56	71.62	92	
G _{Ma}	52.23	-42.42	13.6	44.55	162	
B _{Ma}	30.57	1.41	-46.47	46.49	272	

Daten für Maximalfarbe (Ma):

$LAB^*LAB^*_{Ma}$: 30 69 -42

$LAB^*LCH^*_{Ma}$: 30 81 328

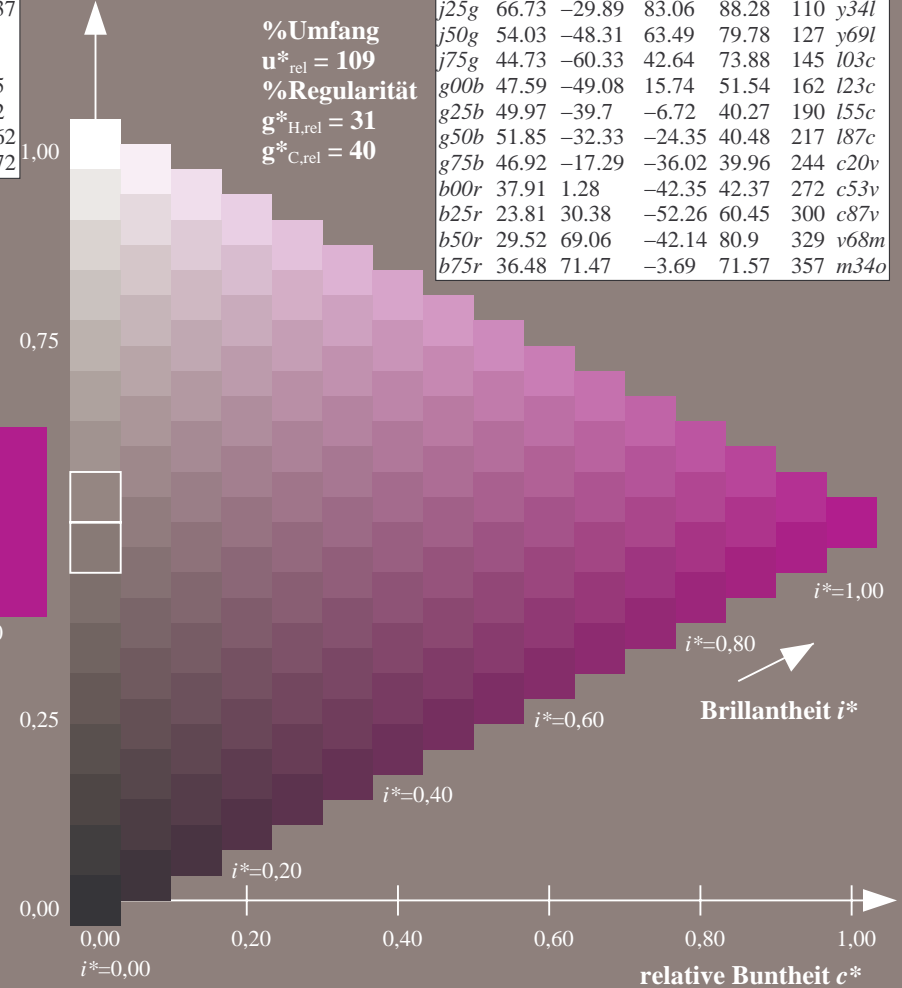
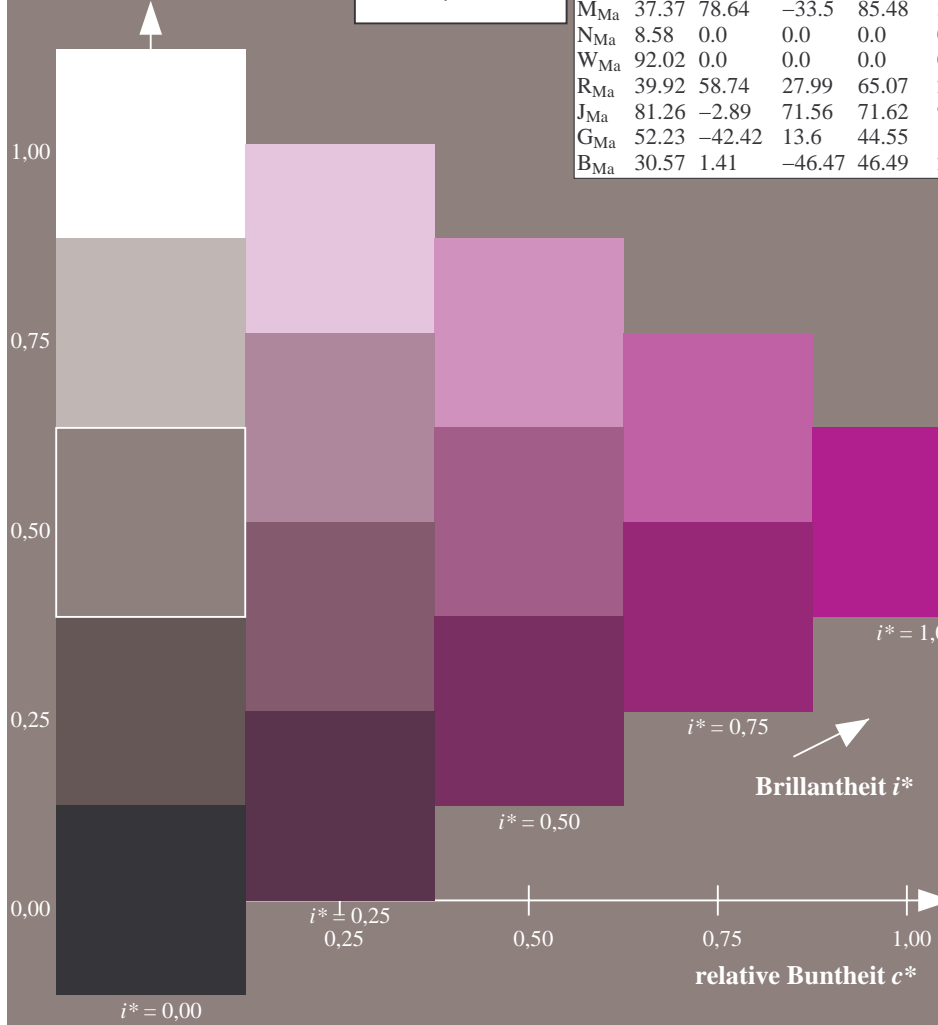
$lab^*rgb^*_{Ma}$: 1.0 0.0 1.0

$lab^*olv^*_{Ma}$: 0.69 0.0 1.0

Dreiecks-Helligkeit t^*

FRS09_92a; adaptierte CIELAB-Daten

u^*_e	$L^*=L^*_a$	a^*_a	b^*_a	$C^*_{ab,a}$	$h^*_{ab,a}$	u^*_d
r00j	35.47	63.32	30.17	70.15	25	m81o
r25j	39.12	54.56	49.45	73.64	42	o10y
r50j	50.64	39.15	64.89	75.79	59	o40y
r75j	64.01	21.26	82.83	85.52	76	o69y
j00g	83.18	-4.38	108.53	108.62	92	o98y
j25g	66.73	-29.89	83.06	88.28	110	y34l
j50g	54.03	-48.31	63.49	79.78	127	y69l
j75g	44.73	-60.33	42.64	73.88	145	l03c
g00b	47.59	-49.08	15.74	51.54	162	l23c
g25b	49.97	-39.7	-6.72	40.27	190	l55c
g50b	51.85	-32.33	-24.35	40.48	217	l87c
g75b	46.92	-17.29	-36.02	39.96	244	c20v
b00r	37.91	1.28	-42.35	42.37	272	c53v
b25r	23.81	30.38	-52.26	60.45	300	c87v
b50r	29.52	69.06	-42.14	80.9	329	v68m
b75r	36.48	71.47	-3.69	71.57	357	m34o



Daten für jede Farbe:

lab^*tch^* und lab^*icu^*

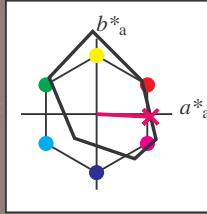
Buntontexte:

$u^*_e = b75r$ $u^*_d = m34o$

Kontrastreduzierungsfaktor:

$c_R = 1.0$

Dreiecks-Helligkeit t^*



FRS09_92a; adaptierte CIELAB-Daten

u^*_e	$L^*=L^*_a$	a^*_a	b^*_a	$C^*_{ab,a}$	$h^*_{ab,a}$
O _{Ma}	35.06	60.0	44.0	74.4	36
Y _{Ma}	83.77	-5.17	109.32	109.44	93
L _{Ma}	44.13	-62.67	48.24	79.09	142
C _{Ma}	52.66	-29.14	-31.99	43.27	228
V _{Ma}	14.15	50.3	-59.04	77.57	310
M _{Ma}	37.37	78.64	-33.5	85.48	337
N _{Ma}	8.58	0.0	0.0	0.0	0
W _{Ma}	92.02	0.0	0.0	0.0	0
R _{Ma}	39.92	58.74	27.99	65.07	25
J _{Ma}	81.26	-2.89	71.56	71.62	92
G _{Ma}	52.23	-42.42	13.6	44.55	162
B _{Ma}	30.57	1.41	-46.47	46.49	272

Daten für Maximalfarbe (Ma):

$LAB^*LAB^*_{Ma}$: 36 71 -4

$LAB^*LCH^*_{Ma}$: 36 72 357

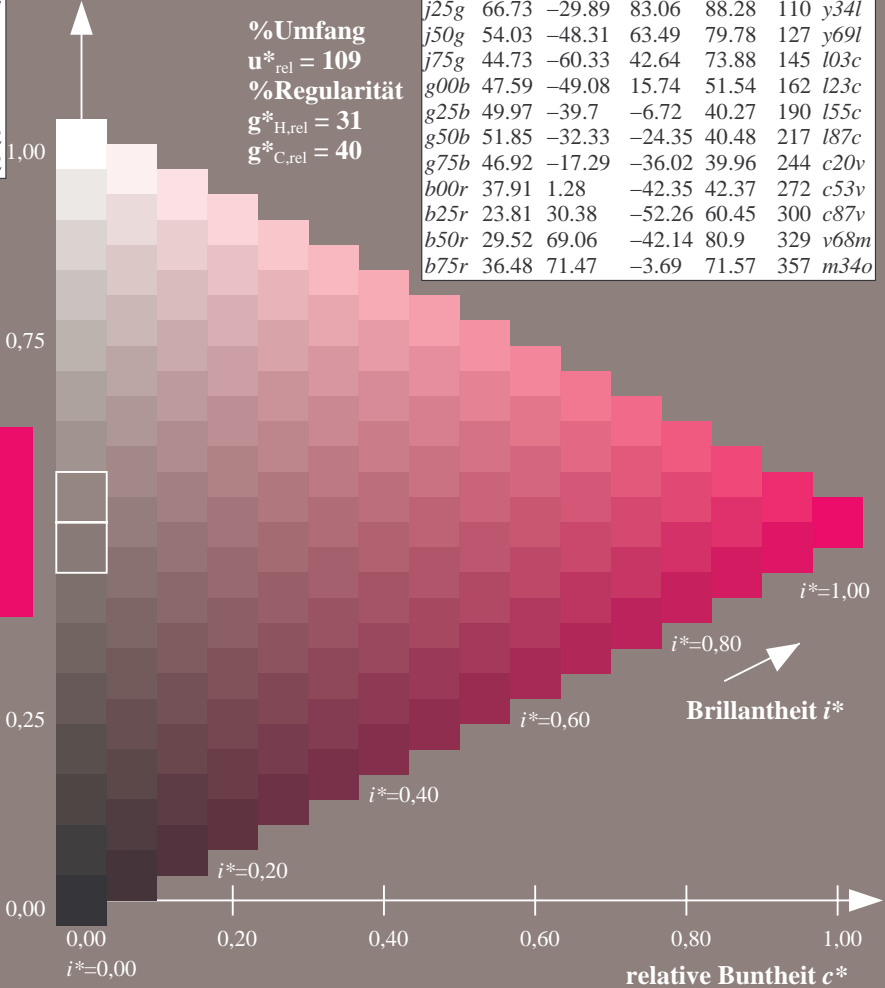
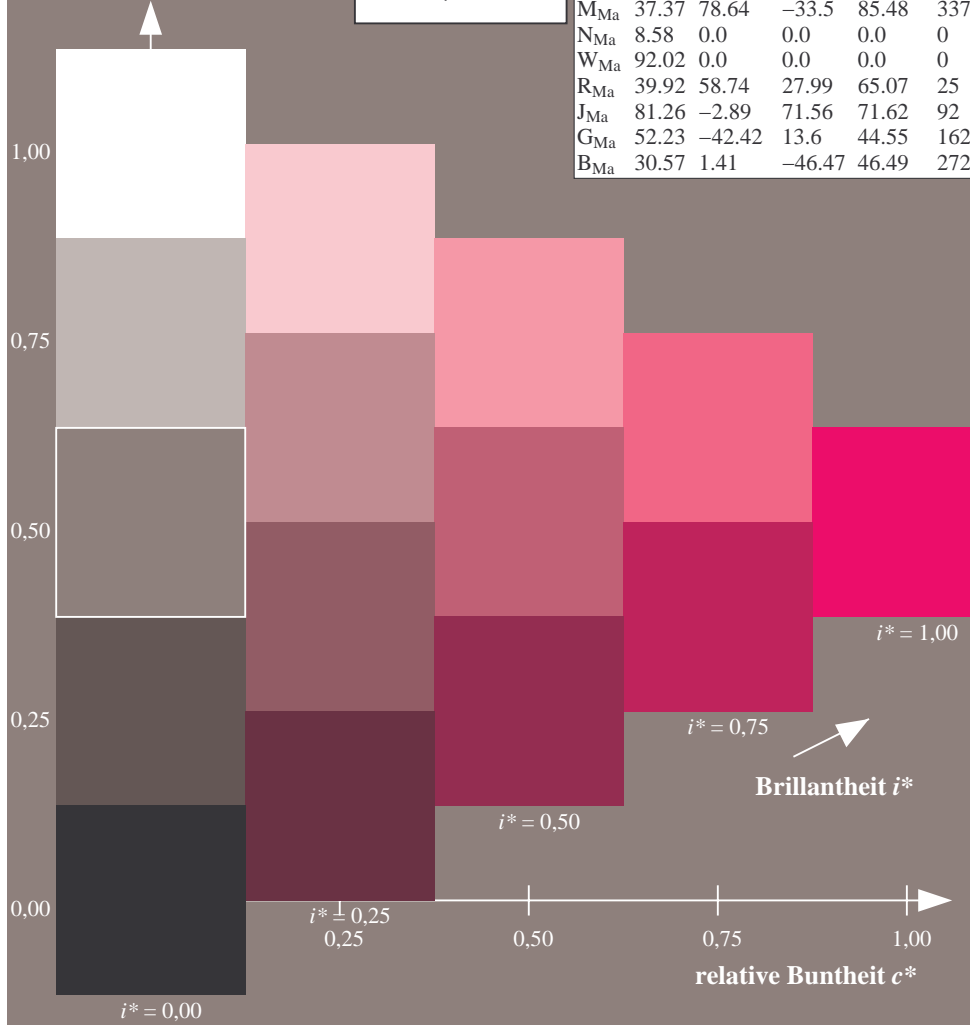
$lab^*rgb^*_{Ma}$: 1.0 0.0 0.5

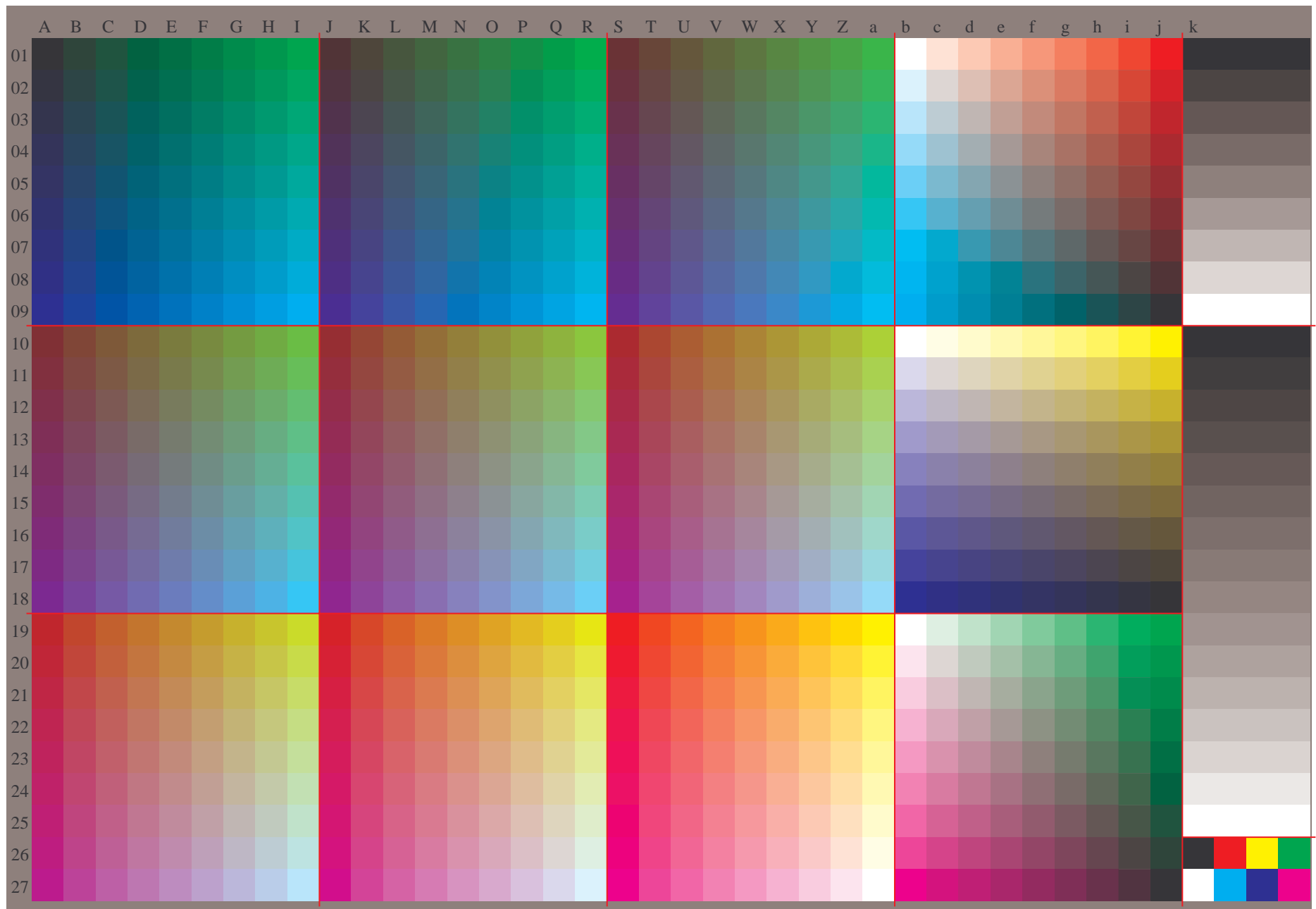
$lab^*olv^*_{Ma}$: 1.0 0.0 0.66

Dreiecks-Helligkeit t^*

FRS09_92a; adaptierte CIELAB-Daten

u^*_e	$L^*=L^*_a$	a^*_a	b^*_a	$C^*_{ab,a}$	$h^*_{ab,a}$	u^*_d
r00j	35.47	63.32	30.17	70.15	25	m81o
r25j	39.12	54.56	49.45	73.64	42	o10y
r50j	50.64	39.15	64.89	75.79	59	o40y
r75j	64.01	21.26	82.83	85.52	76	o69y
j00g	83.18	-4.38	108.53	108.62	92	o98y
j25g	66.73	-29.89	83.06	88.28	110	y34l
j50g	54.03	-48.31	63.49	79.78	127	y69l
j75g	44.73	-60.33	42.64	73.88	145	l03c
g00b	47.59	-49.08	15.74	51.54	162	l23c
g25b	49.97	-39.7	-6.72	40.27	190	l55c
g50b	51.85	-32.33	-24.35	40.48	217	l87c
g75b	46.92	-17.29	-36.02	39.96	244	c20v
b00r	37.91	1.28	-42.35	42.37	272	c53v
b25r	23.81	30.38	-52.26	60.45	300	c87v
b50r	29.52	69.06	-42.14	80.9	329	v68m
b75r	36.48	71.47	-3.69	71.57	357	m34o





Ein und Ausgabe:
 Farbmimetrisches Drucker-Reflektiv-System FRS09_92a

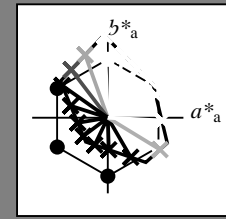
Daten für jede Farbe:
 u^*_e und Nummer *Nr.* = 00 .. 15

Elementar-Bunttextext:
 $u^*_e = 16$ Bunttoene *r00j, r25j, ..., b75r*

Kontrastreduzierungsfaktor:
 $c_R = 1.0$

FRS09_92a; adaptierte CIELAB-Daten

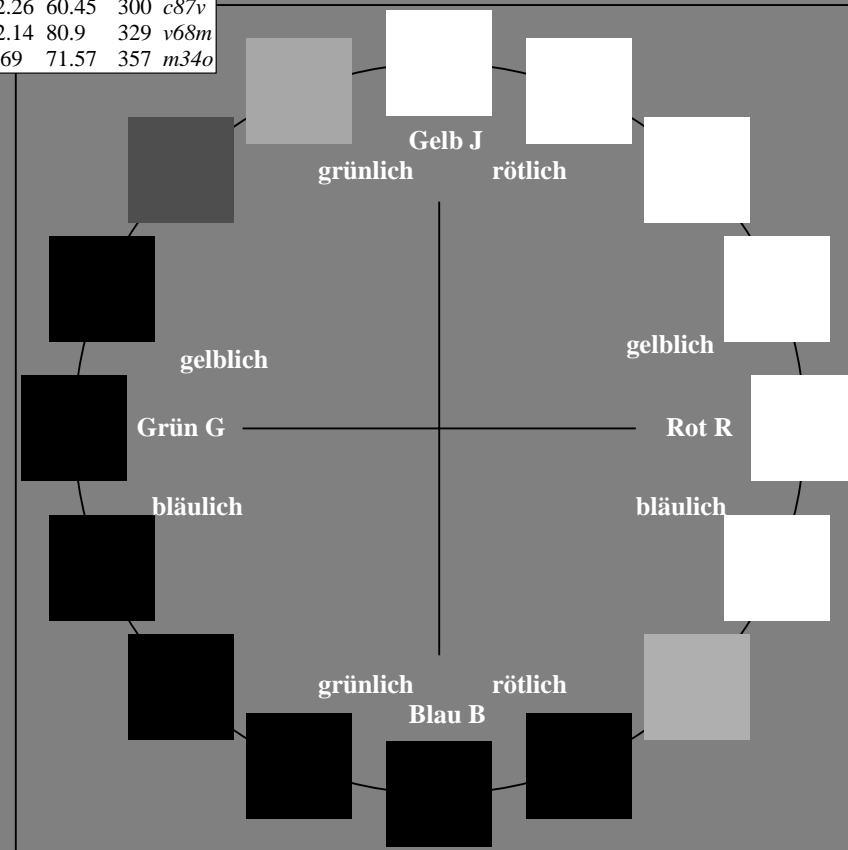
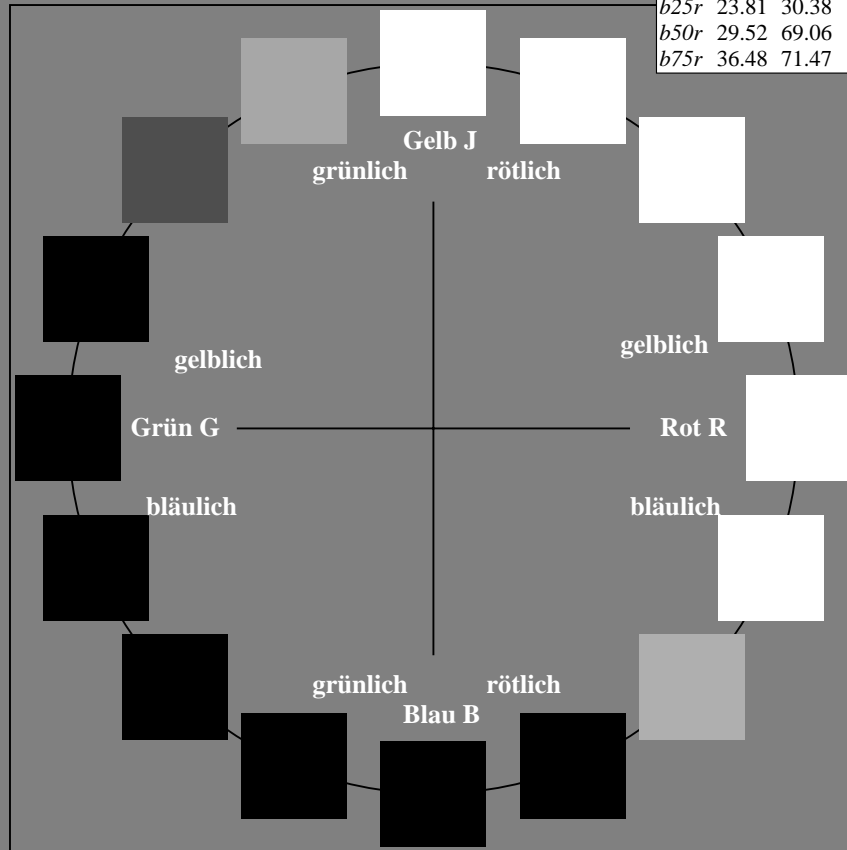
u^*_e	$L^*=L^*_a$	a^*_a	b^*_a	$C^*_{ab,a}$	$h^*_{ab,a}$	u^*_d
r00j	35.47	63.32	30.17	70.15	25	m81o
r25j	39.12	54.56	49.45	73.64	42	o10y
r50j	50.64	39.15	64.89	75.79	59	o40y
r75j	64.01	21.26	82.83	85.52	76	o69y
j00g	83.18	-4.38	108.53	108.62	92	o98y
j25g	66.73	-29.89	83.06	88.28	110	y34l
j50g	54.03	-48.31	63.49	79.78	127	y69l
j75g	44.73	-60.33	42.64	73.88	145	l03c
g00b	47.59	-49.08	15.74	51.54	162	l23c
g25b	49.97	-39.7	-6.72	40.27	190	l55c
g50b	51.85	-32.33	-24.35	40.48	217	l87c
g75b	46.92	-17.29	-36.02	39.96	244	c20v
b00r	37.91	1.28	-42.35	42.37	272	c53v
b25r	23.81	30.38	-52.26	60.45	300	c87v
b50r	29.52	69.06	-42.14	80.9	329	v68m
b75r	36.48	71.47	-3.69	71.57	357	m34o



%Umfang
 $u^*_{rel} = 109$
 %Regularität
 $g^*_{H,rel} = 31$
 $g^*_{C,rel} = 40$

FRS09_92a; adaptierte CIELAB-Daten

Name	$L^*=L^*_a$	a^*_a	b^*_a	$C^*_{ab,a}$	$h^*_{ab,a}$
O _{Ma}	35.06	60.0	44.0	74.4	36
Y _{Ma}	83.77	-5.17	109.32	109.44	93
L _{Ma}	44.13	-62.67	48.24	79.09	142
C _{Ma}	52.66	-29.14	-31.99	43.27	228
V _{Ma}	14.15	50.3	-59.04	77.57	310
M _{Ma}	37.37	78.64	-33.5	85.48	337
N _{Ma}	8.58	0.0	0.0	0.0	0
W _{Ma}	92.02	0.0	0.0	0.0	0
R _{CIE}	39.92	58.74	27.99	65.07	25
J _{CIE}	81.26	-2.89	71.56	71.62	92
G _{CIE}	52.23	-42.42	13.6	44.55	162
B _{CIE}	30.57	1.41	-46.47	46.49	272



Ein und Ausgabe: Farbmatisches Drucker-Reflektiv-System FRS09_92a für relativen CIELAB-Bunton $h^* = lab^*h^* = h_{ab}/360 = 0.071$

$u^*_e = r00j$

Daten für jede Farbe:

lab^*tch^* und lab^*icu^*

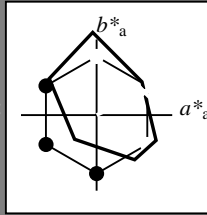
Buntontexte:

$u^*_e = r00j$ $u^*_d = m81o$

Kontrastreduzierungsfaktor:

$c_R = 1.0$

Dreiecks-Helligkeit t^*



FRS09_92a; adaptierte CIELAB-Daten						
u^*_e	$L^*=L^*_a$	a^*_a	b^*_a	$C^*_{ab,a}$	$h^*_{ab,a}$	
O _{Ma}	35.06	60.0	44.0	74.4	36	
Y _{Ma}	83.77	-5.17	109.32	109.44	93	
L _{Ma}	44.13	-62.67	48.24	79.09	142	
C _{Ma}	52.66	-29.14	-31.99	43.27	228	
V _{Ma}	14.15	50.3	-59.04	77.57	310	
M _{Ma}	37.37	78.64	-33.5	85.48	337	
N _{Ma}	8.58	0.0	0.0	0.0	0	
W _{Ma}	92.02	0.0	0.0	0.0	0	
R _{Ma}	39.92	58.74	27.99	65.07	25	
J _{Ma}	81.26	-2.89	71.56	71.62	92	
G _{Ma}	52.23	-42.42	13.6	44.55	162	
B _{Ma}	30.57	1.41	-46.47	46.49	272	

Daten für Maximalfarbe (Ma):

$LAB^*LAB^*_{Ma}$: 35 63 30

$LAB^*LCH^*_{Ma}$: 35 70 25

$lab^*rgb^*_{Ma}$: 1.0 0.0 0.0

$lab^*olv^*_{Ma}$: 1.0 0.0 0.18

Dreiecks-Helligkeit t^*

%Umfang

$u^*_{rel} = 109$

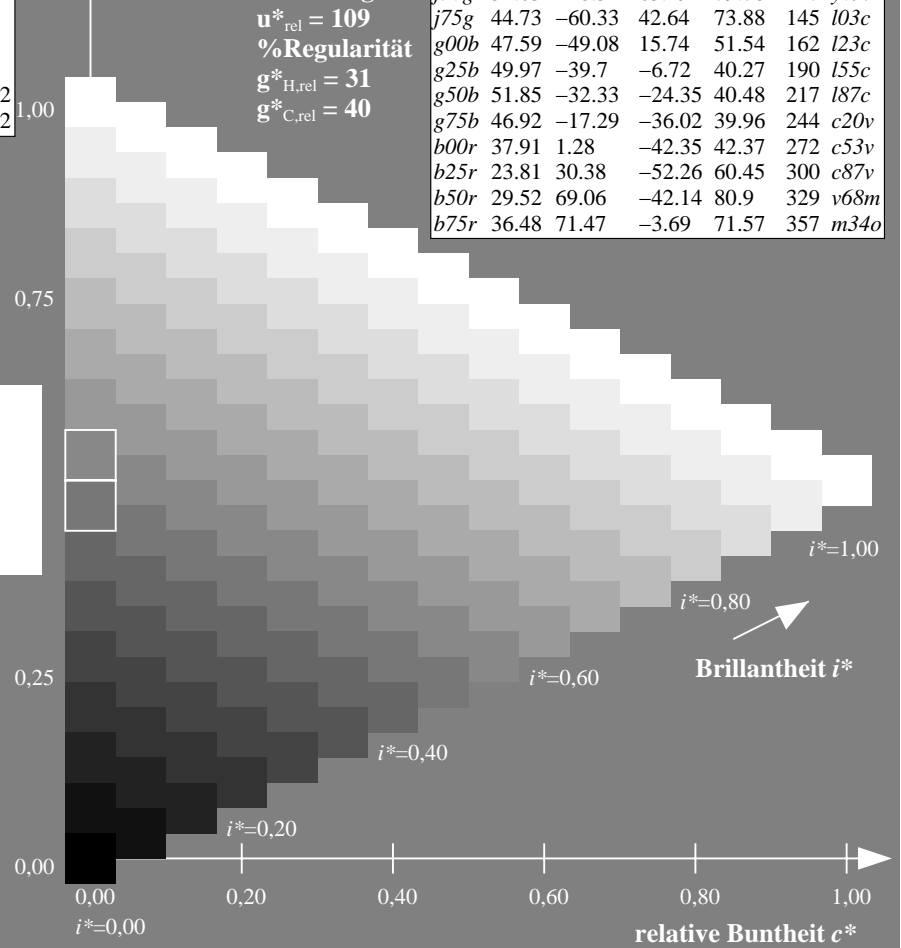
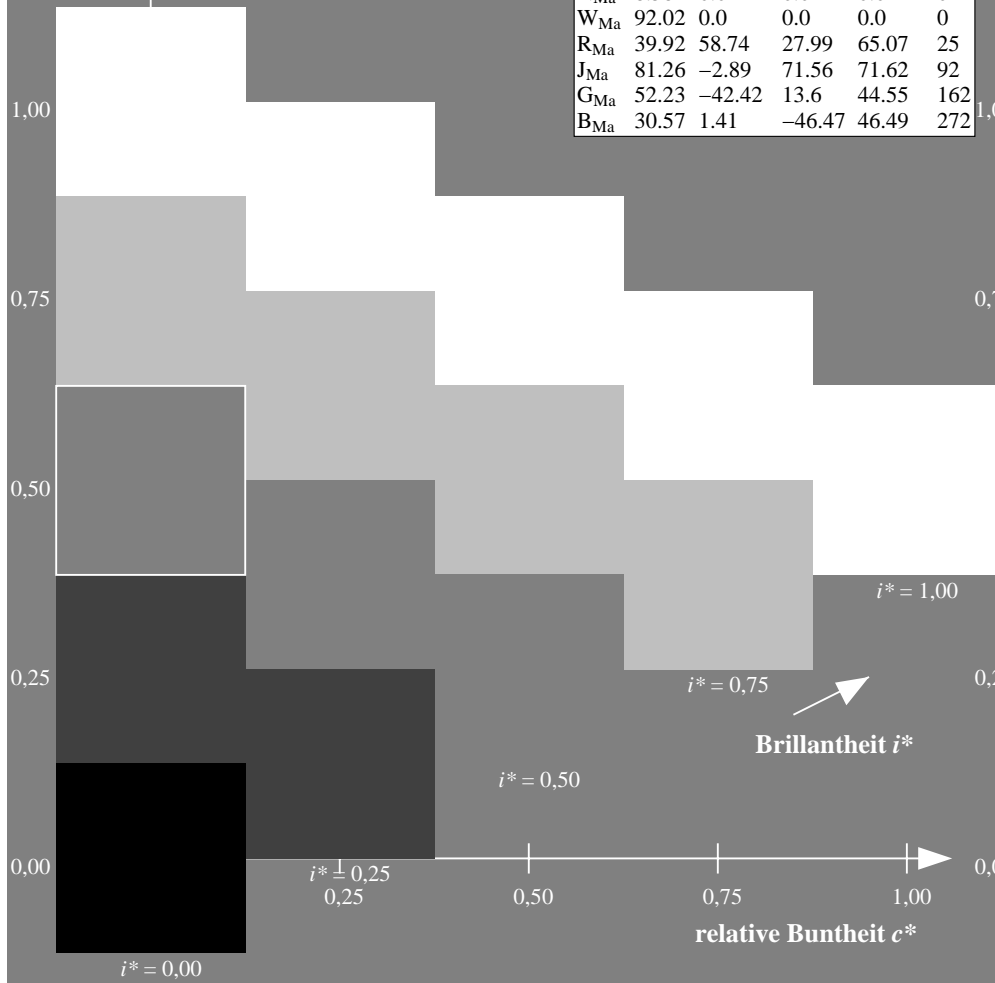
%Regularität

$g^*_{H,rel} = 31$

$g^*_{C,rel} = 40$

FRS09_92a; adaptierte CIELAB-Daten

u^*_e	$L^*=L^*_a$	a^*_a	b^*_a	$C^*_{ab,a}$	$h^*_{ab,a}$	u^*_d
r00j	35.47	63.32	30.17	70.15	25	m81o
r25j	39.12	54.56	49.45	73.64	42	o10y
r50j	50.64	39.15	64.89	75.79	59	o40y
r75j	64.01	21.26	82.83	85.52	76	o69y
j00g	83.18	-4.38	108.53	108.62	92	o98y
j25g	66.73	-29.89	83.06	88.28	110	y34l
j50g	54.03	-48.31	63.49	79.78	127	y69l
j75g	44.73	-60.33	42.64	73.88	145	l03c
g00b	47.59	-49.08	15.74	51.54	162	l23c
g25b	49.97	-39.7	-6.72	40.27	190	l55c
g50b	51.85	-32.33	-24.35	40.48	217	l87c
g75b	46.92	-17.29	-36.02	39.96	244	c20v
b00r	37.91	1.28	-42.35	42.37	272	c53v
b25r	23.81	30.38	-52.26	60.45	300	c87v
b50r	29.52	69.06	-42.14	80.9	329	v68m
b75r	36.48	71.47	-3.69	71.57	357	m34o



Daten für jede Farbe:

lab^*tch^* und lab^*icu^*

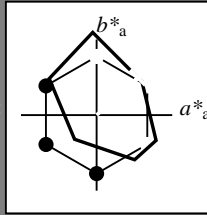
Buntontexte:

$u^*_e = r25j$ $u^*_d = o10y$

Kontrastreduzierungsfaktor:

$c_R = 1.0$

Dreiecks-Helligkeit t^*



FRS09_92a; adaptierte CIELAB-Daten						
u^*_e	$L^*=L^*_a$	a^*_a	b^*_a	$C^*_{ab,a}$	$h^*_{ab,a}$	
O _{Ma}	35.06	60.0	44.0	74.4	36	
Y _{Ma}	83.77	-5.17	109.32	109.44	93	
L _{Ma}	44.13	-62.67	48.24	79.09	142	
C _{Ma}	52.66	-29.14	-31.99	43.27	228	
V _{Ma}	14.15	50.3	-59.04	77.57	310	
M _{Ma}	37.37	78.64	-33.5	85.48	337	
N _{Ma}	8.58	0.0	0.0	0.0	0	
W _{Ma}	92.02	0.0	0.0	0.0	0	
R _{Ma}	39.92	58.74	27.99	65.07	25	
J _{Ma}	81.26	-2.89	71.56	71.62	92	
G _{Ma}	52.23	-42.42	13.6	44.55	162	
B _{Ma}	30.57	1.41	-46.47	46.49	272	

Daten für Maximalfarbe (Ma):

$LAB^*LAB^*_{Ma}$: 39 55 49

$LAB^*LCH^*_{Ma}$: 39 74 42

$lab^*rgb^*_{Ma}$: 1.0 0.25 0.0

$lab^*olv^*_{Ma}$: 1.0 0.11 0.0

Dreiecks-Helligkeit t^*

%Umfang

$u^*_{rel} = 109$

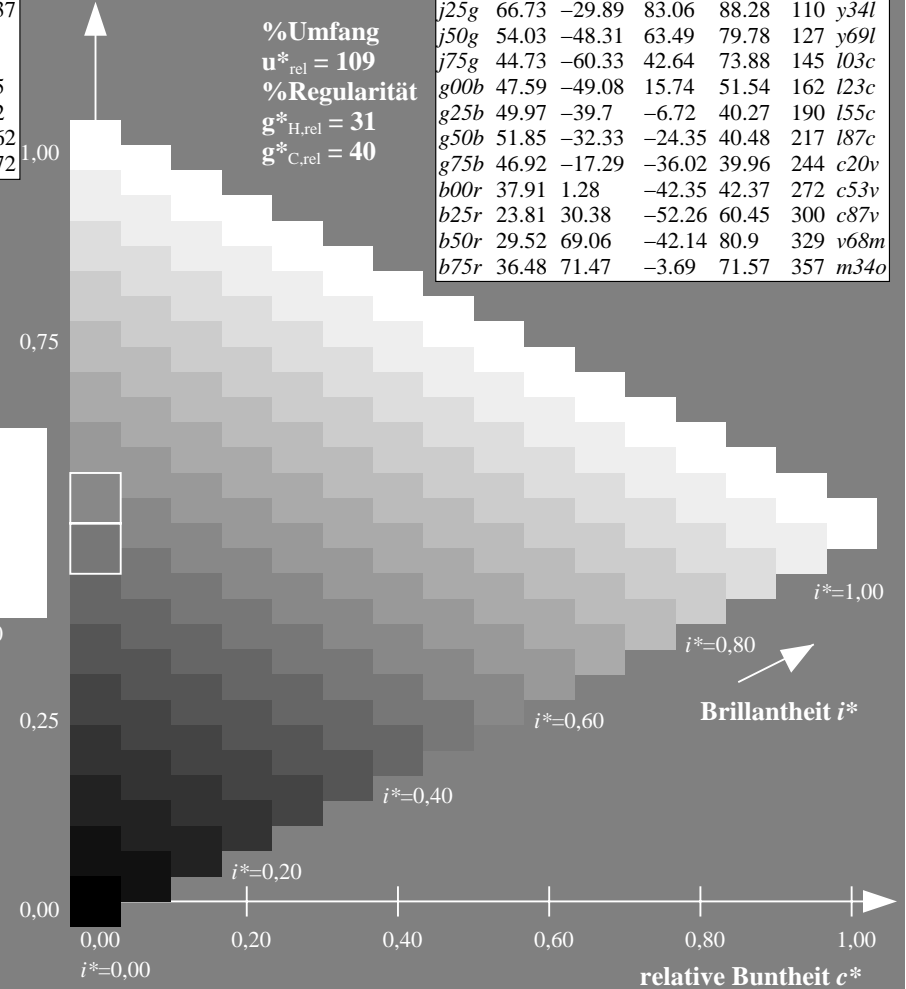
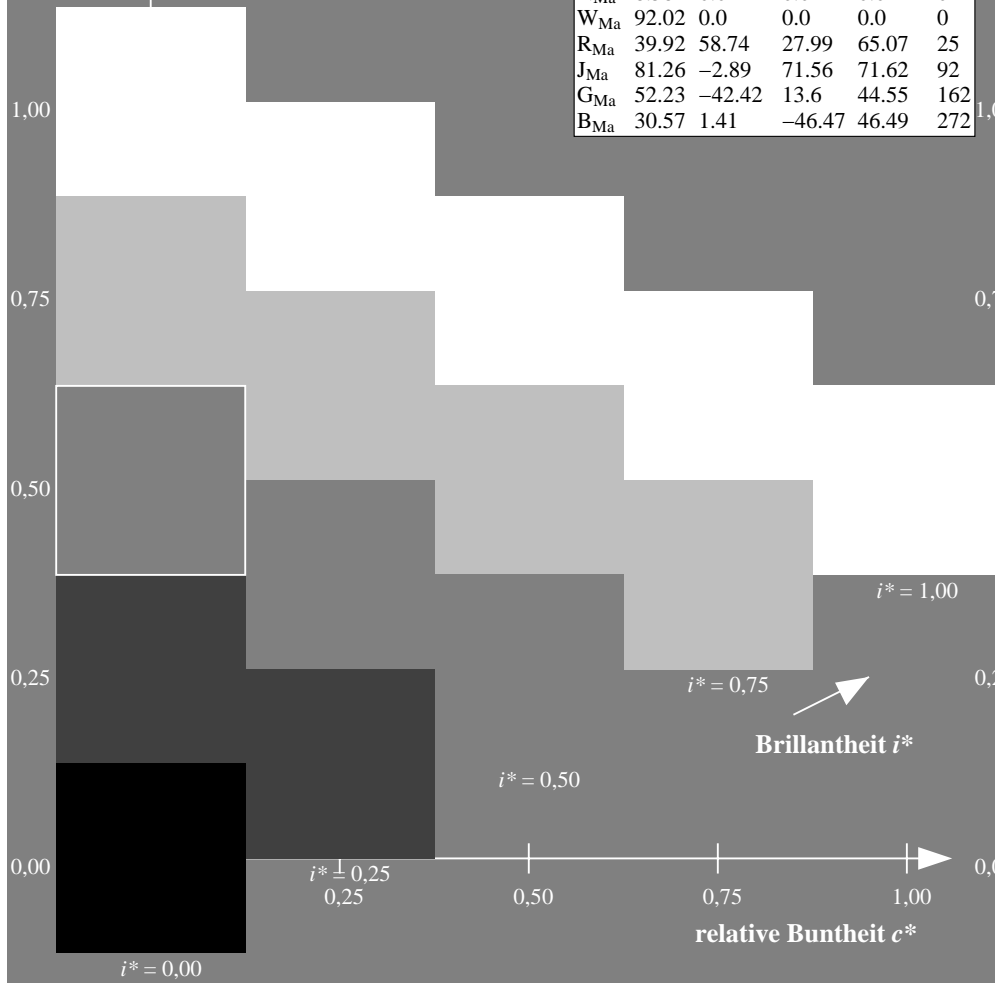
%Regularität

$g^*_{H,rel} = 31$

$g^*_{C,rel} = 40$

FRS09_92a; adaptierte CIELAB-Daten

u^*_e	$L^*=L^*_a$	a^*_a	b^*_a	$C^*_{ab,a}$	$h^*_{ab,a}$	u^*_d
r00j	35.47	63.32	30.17	70.15	25	m81o
r25j	39.12	54.56	49.45	73.64	42	o10y
r50j	50.64	39.15	64.89	75.79	59	o40y
r75j	64.01	21.26	82.83	85.52	76	o69y
j00g	83.18	-4.38	108.53	108.62	92	o98y
j25g	66.73	-29.89	83.06	88.28	110	y34l
j50g	54.03	-48.31	63.49	79.78	127	y69l
j75g	44.73	-60.33	42.64	73.88	145	l03c
g00b	47.59	-49.08	15.74	51.54	162	l23c
g25b	49.97	-39.7	-6.72	40.27	190	l55c
g50b	51.85	-32.33	-24.35	40.48	217	l87c
g75b	46.92	-17.29	-36.02	39.96	244	c20v
b00r	37.91	1.28	-42.35	42.37	272	c53v
b25r	23.81	30.38	-52.26	60.45	300	c87v
b50r	29.52	69.06	-42.14	80.9	329	v68m
b75r	36.48	71.47	-3.69	71.57	357	m34o



Ein und Ausgabe: Farbmatisches Drucker-Reflektiv-System FRS09_92a für relativen CIELAB-Bunton $h^* = lab^*h^* = h_{ab}/360 = 0.164$

$u^*_e = r50j$

Daten für jede Farbe:

lab^*tch^* und lab^*icu^*

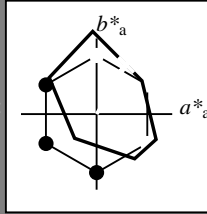
Buntontexte:

$u^*_e = r50j$ $u^*_d = o40y$

Kontrastreduzierungsfaktor:

$c_R = 1.0$

Dreiecks-Helligkeit t^*



FRS09_92a; adaptierte CIELAB-Daten						
u^*_e	$L^*=L^*_a$	a^*_a	b^*_a	$C^*_{ab,a}$	$h^*_{ab,a}$	
O _{Ma}	35.06	60.0	44.0	74.4	36	
Y _{Ma}	83.77	-5.17	109.32	109.44	93	
L _{Ma}	44.13	-62.67	48.24	79.09	142	
C _{Ma}	52.66	-29.14	-31.99	43.27	228	
V _{Ma}	14.15	50.3	-59.04	77.57	310	
M _{Ma}	37.37	78.64	-33.5	85.48	337	
N _{Ma}	8.58	0.0	0.0	0.0	0	
W _{Ma}	92.02	0.0	0.0	0.0	0	
R _{Ma}	39.92	58.74	27.99	65.07	25	
J _{Ma}	81.26	-2.89	71.56	71.62	92	
G _{Ma}	52.23	-42.42	13.6	44.55	162	
B _{Ma}	30.57	1.41	-46.47	46.49	272	

Daten für Maximalfarbe (Ma):

$LAB^*LAB^*_{Ma}$: 51 39 65

$LAB^*LCH^*_{Ma}$: 51 76 58

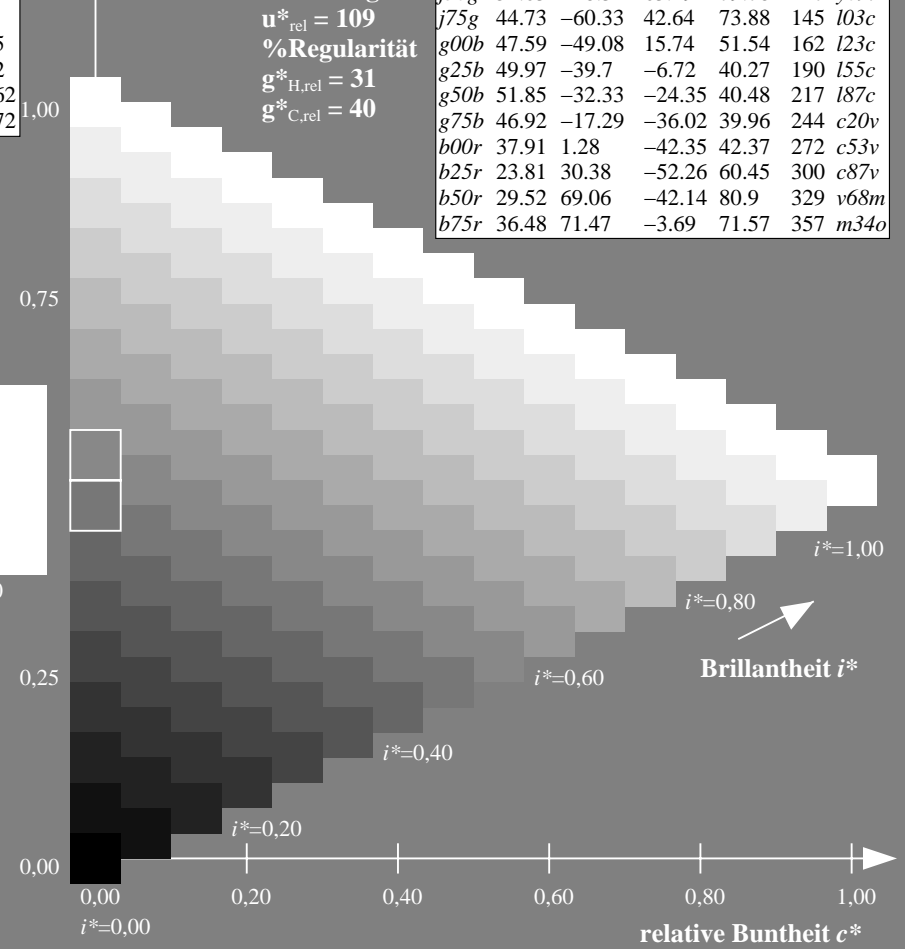
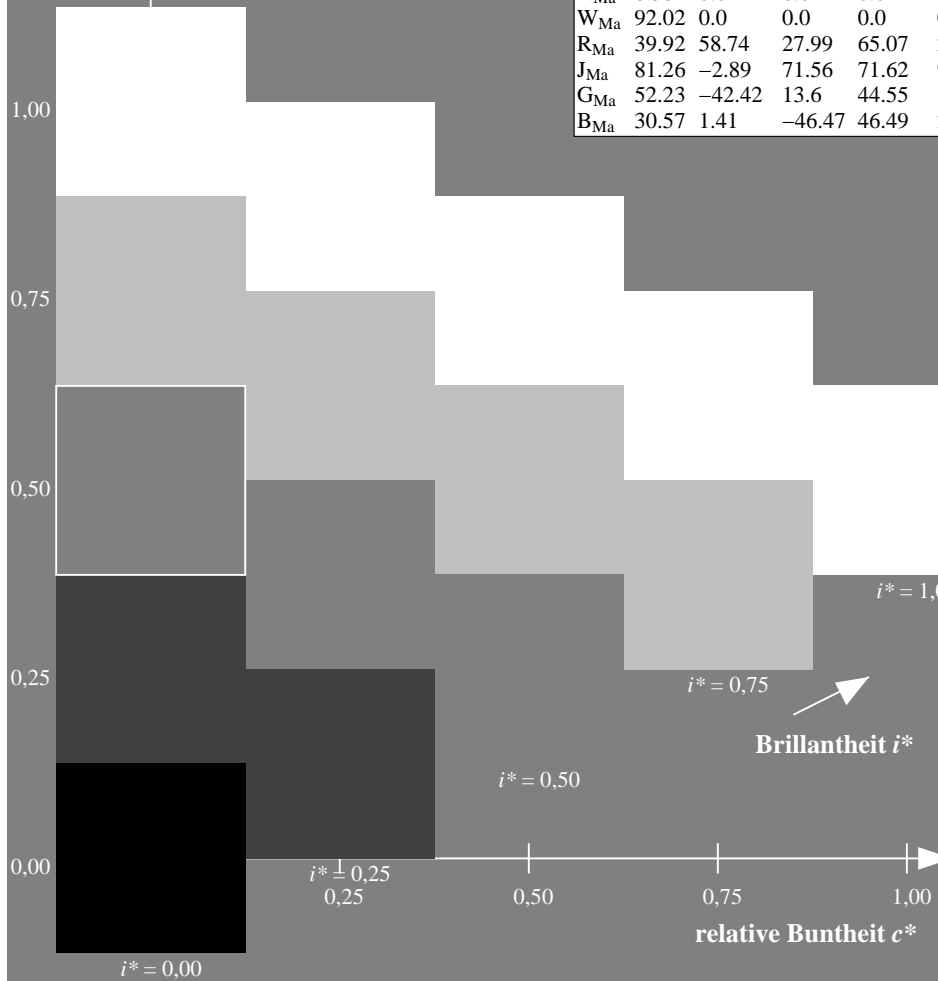
$lab^*rgb^*_{Ma}$: 1.0 0.5 0.0

$lab^*olv^*_{Ma}$: 1.0 0.4 0.0

Dreiecks-Helligkeit t^*

FRS09_92a; adaptierte CIELAB-Daten

u^*_e	$L^*=L^*_a$	a^*_a	b^*_a	$C^*_{ab,a}$	$h^*_{ab,a}$	u^*_d
r00j	35.47	63.32	30.17	70.15	25	m81o
r25j	39.12	54.56	49.45	73.64	42	o10y
r50j	50.64	39.15	64.89	75.79	59	o40y
r75j	64.01	21.26	82.83	85.52	76	o69y
j00g	83.18	-4.38	108.53	108.62	92	o98y
j25g	66.73	-29.89	83.06	88.28	110	y34l
j50g	54.03	-48.31	63.49	79.78	127	y69l
j75g	44.73	-60.33	42.64	73.88	145	l03c
g00b	47.59	-49.08	15.74	51.54	162	l23c
g25b	49.97	-39.7	-6.72	40.27	190	l55c
g50b	51.85	-32.33	-24.35	40.48	217	l87c
g75b	46.92	-17.29	-36.02	39.96	244	c20v
b00r	37.91	1.28	-42.35	42.37	272	c53v
b25r	23.81	30.38	-52.26	60.45	300	c87v
b50r	29.52	69.06	-42.14	80.9	329	v68m
b75r	36.48	71.47	-3.69	71.57	357	m34o



Ein und Ausgabe: Farbmatisches Drucker-Reflektiv-System FRS09_92a für relativen CIELAB-Bunton $h^* = lab^*h^* = h_{ab}/360 = 0.21$

$u^*_e = r75j$

Daten für jede Farbe:

lab^*tch^* und lab^*icu^*

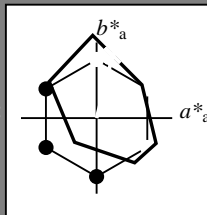
Buntontexte:

$u^*_e = r75j$ $u^*_d = o69y$

Kontrastreduzierungsfaktor:

$c_R = 1.0$

Dreiecks-Helligkeit t^*



FRS09_92a; adaptierte CIELAB-Daten						
u^*_e	$L^*=L^*_a$	a^*_a	b^*_a	$C^*_{ab,a}$	$h^*_{ab,a}$	
O _{Ma}	35.06	60.0	44.0	74.4	36	
Y _{Ma}	83.77	-5.17	109.32	109.44	93	
L _{Ma}	44.13	-62.67	48.24	79.09	142	
C _{Ma}	52.66	-29.14	-31.99	43.27	228	
V _{Ma}	14.15	50.3	-59.04	77.57	310	
M _{Ma}	37.37	78.64	-33.5	85.48	337	
N _{Ma}	8.58	0.0	0.0	0.0	0	
W _{Ma}	92.02	0.0	0.0	0.0	0	
R _{Ma}	39.92	58.74	27.99	65.07	25	
J _{Ma}	81.26	-2.89	71.56	71.62	92	
G _{Ma}	52.23	-42.42	13.6	44.55	162	
B _{Ma}	30.57	1.41	-46.47	46.49	272	

Daten für Maximalfarbe (Ma):

$LAB^*LAB^*_{Ma}$: 64 21 83

$LAB^*LCH^*_{Ma}$: 64 86 75

$lab^*rgb^*_{Ma}$: 1.0 0.75 0.0

$lab^*olv^*_{Ma}$: 1.0 0.7 0.0

Dreiecks-Helligkeit t^*

%Umfang

$u^*_{rel} = 109$

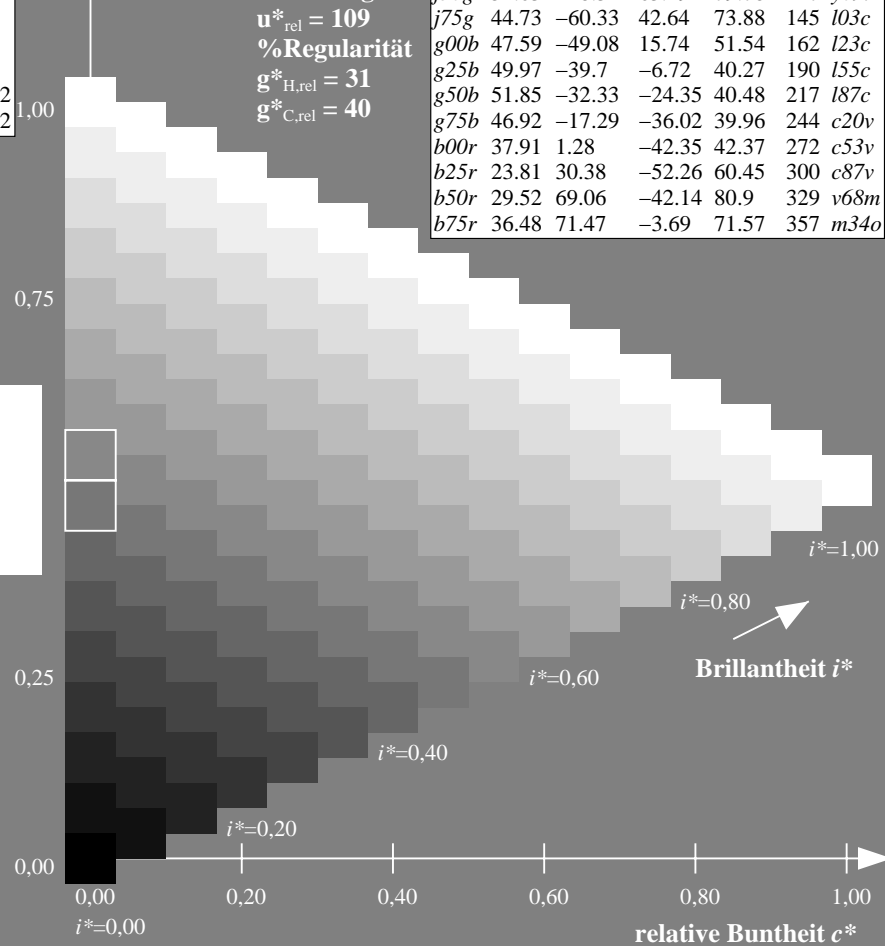
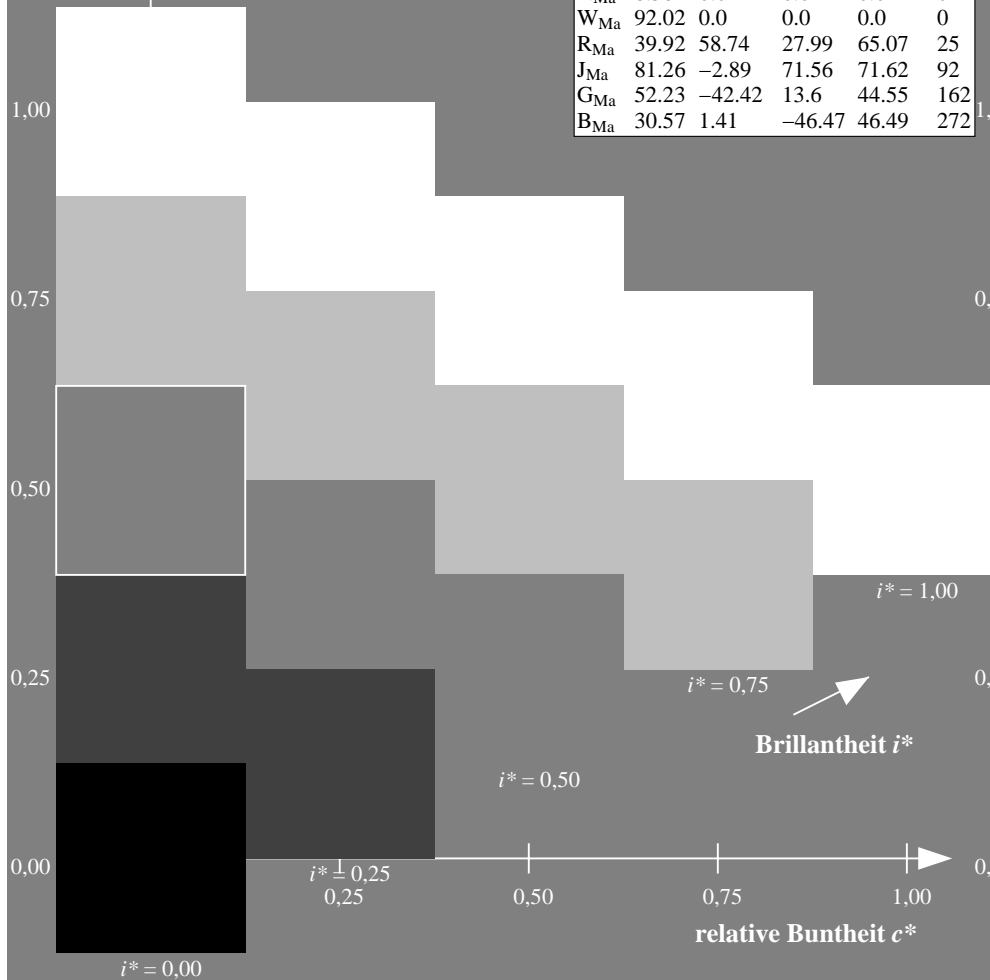
%Regularität

$g^*_{H,rel} = 31$

$g^*_{C,rel} = 40$

FRS09_92a; adaptierte CIELAB-Daten

u^*_e	$L^*=L^*_a$	a^*_a	b^*_a	$C^*_{ab,a}$	$h^*_{ab,a}$	u^*_d
r00j	35.47	63.32	30.17	70.15	25	m81o
r25j	39.12	54.56	49.45	73.64	42	o10y
r50j	50.64	39.15	64.89	75.79	59	o40y
r75j	64.01	21.26	82.83	85.52	76	o69y
j00g	83.18	-4.38	108.53	108.62	92	o98y
j25g	66.73	-29.89	83.06	88.28	110	y34l
j50g	54.03	-48.31	63.49	79.78	127	y69l
j75g	44.73	-60.33	42.64	73.88	145	l03c
g00b	47.59	-49.08	15.74	51.54	162	l23c
g25b	49.97	-39.7	-6.72	40.27	190	l55c
g50b	51.85	-32.33	-24.35	40.48	217	l87c
g75b	46.92	-17.29	-36.02	39.96	244	c20v
b00r	37.91	1.28	-42.35	42.37	272	c53v
b25r	23.81	30.38	-52.26	60.45	300	c87v
b50r	29.52	69.06	-42.14	80.9	329	v68m
b75r	36.48	71.47	-3.69	71.57	357	m34o



Ein und Ausgabe: Farbmatisches Drucker-Reflektiv-System FRS09_92a für relativen CIELAB-Bunton $h^* = lab^*h^* = h_{ab}/360 = 0.256$

$u^*_e = j00g$

Daten für jede Farbe:

lab^*tch^* und lab^*icu^*

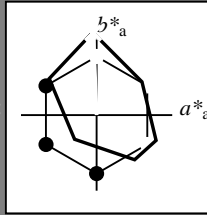
Buntontexte:

$u^*_e = j00g$ $u^*_d = o98y$

Kontrastreduzierungsfaktor:

$c_R = 1.0$

Dreiecks-Helligkeit t^*



FRS09_92a; adaptierte CIELAB-Daten						
u^*_e	$L^*=L^*_a$	a^*_a	b^*_a	$C^*_{ab,a}$	$h^*_{ab,a}$	
O _{Ma}	35.06	60.0	44.0	74.4	36	
Y _{Ma}	83.77	-5.17	109.32	109.44	93	
L _{Ma}	44.13	-62.67	48.24	79.09	142	
C _{Ma}	52.66	-29.14	-31.99	43.27	228	
V _{Ma}	14.15	50.3	-59.04	77.57	310	
M _{Ma}	37.37	78.64	-33.5	85.48	337	
N _{Ma}	8.58	0.0	0.0	0.0	0	
W _{Ma}	92.02	0.0	0.0	0.0	0	
R _{Ma}	39.92	58.74	27.99	65.07	25	
J _{Ma}	81.26	-2.89	71.56	71.62	92	
G _{Ma}	52.23	-42.42	13.6	44.55	162	
B _{Ma}	30.57	1.41	-46.47	46.49	272	

Daten für Maximalfarbe (Ma):

$LAB^*LAB^*_{Ma}$: 83 -4 109

$LAB^*LCH^*_{Ma}$: 83 109 92

$lab^*rgb^*_{Ma}$: 1.0 1.0 0.0

$lab^*olv^*_{Ma}$: 1.0 0.99 0.0

Dreiecks-Helligkeit t^*

%Umfang

$u^*_{rel} = 109$

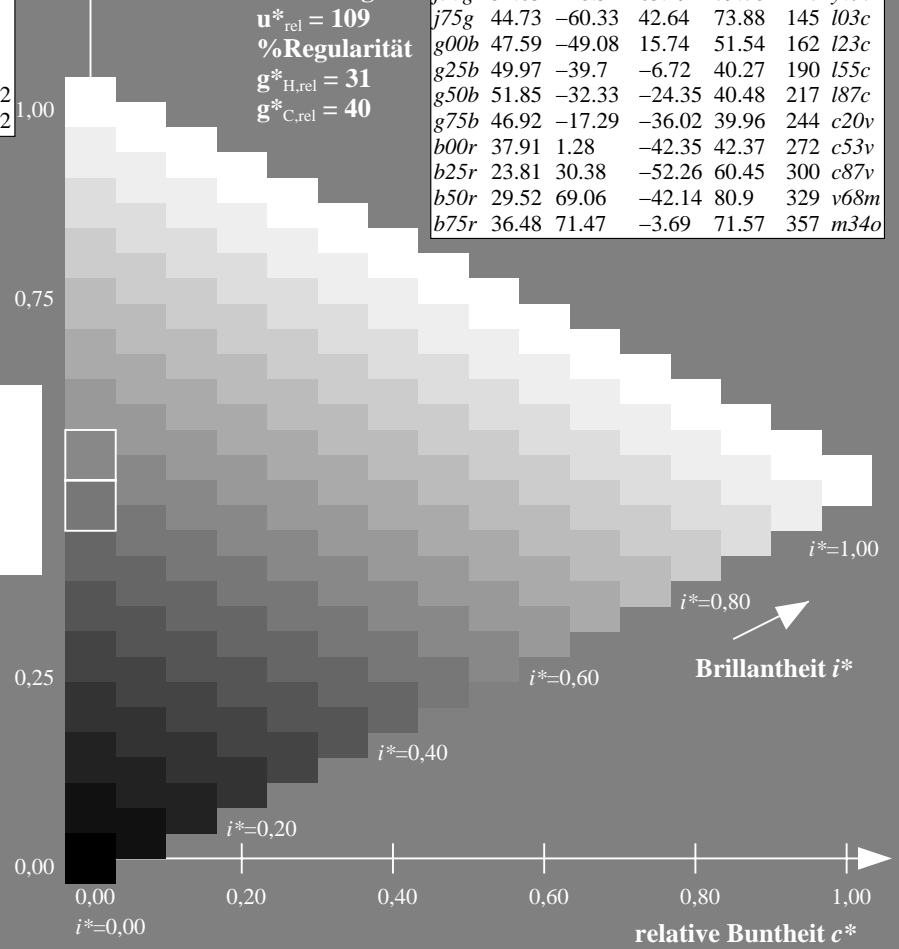
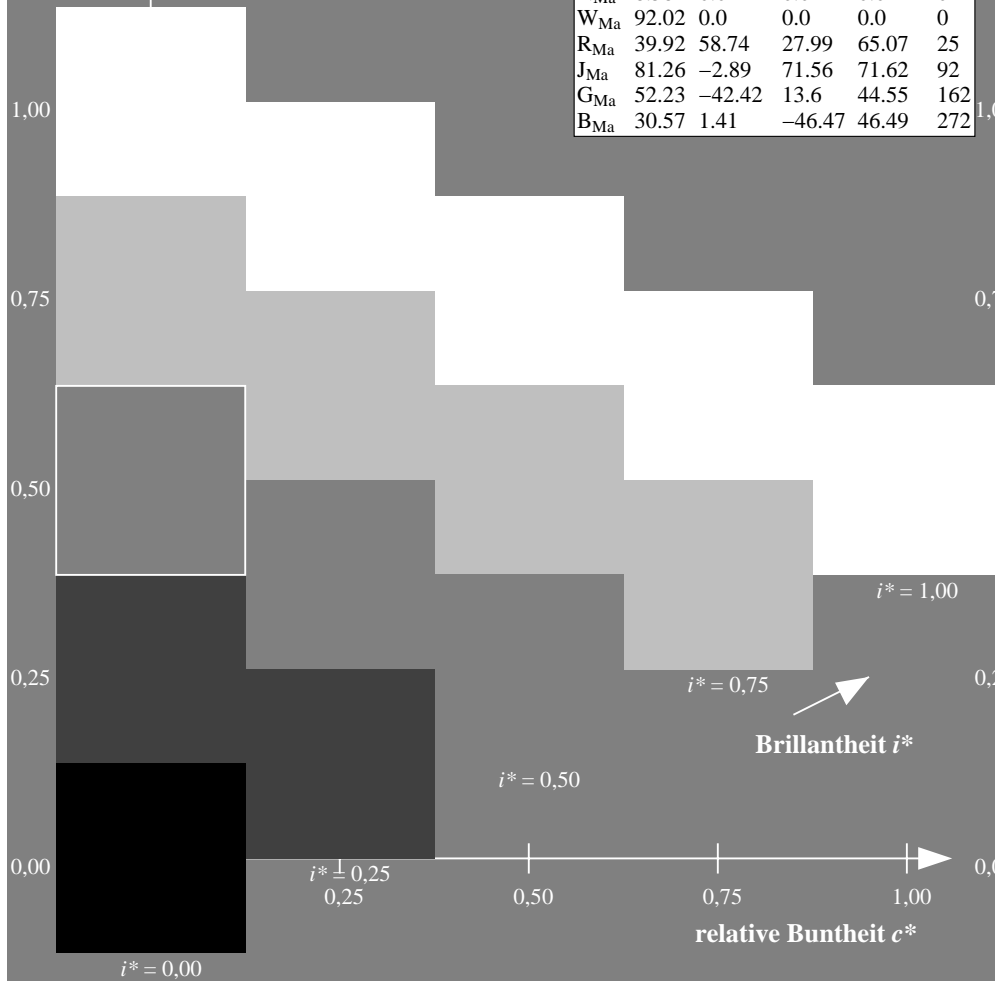
%Regularität

$g^*_{H,rel} = 31$

$g^*_{C,rel} = 40$

FRS09_92a; adaptierte CIELAB-Daten

u^*_e	$L^*=L^*_a$	a^*_a	b^*_a	$C^*_{ab,a}$	$h^*_{ab,a}$	u^*_d
r00j	35.47	63.32	30.17	70.15	25	m81o
r25j	39.12	54.56	49.45	73.64	42	o10y
r50j	50.64	39.15	64.89	75.79	59	o40y
r75j	64.01	21.26	82.83	85.52	76	o69y
j00g	83.18	-4.38	108.53	108.62	92	o98y
j25g	66.73	-29.89	83.06	88.28	110	y34l
j50g	54.03	-48.31	63.49	79.78	127	y69l
j75g	44.73	-60.33	42.64	73.88	145	l03c
g00b	47.59	-49.08	15.74	51.54	162	l23c
g25b	49.97	-39.7	-6.72	40.27	190	l55c
g50b	51.85	-32.33	-24.35	40.48	217	l87c
g75b	46.92	-17.29	-36.02	39.96	244	c20v
b00r	37.91	1.28	-42.35	42.37	272	c53v
b25r	23.81	30.38	-52.26	60.45	300	c87v
b50r	29.52	69.06	-42.14	80.9	329	v68m
b75r	36.48	71.47	-3.69	71.57	357	m34o



Ein und Ausgabe: Farbmatisches Drucker-Reflektiv-System FRS09_92a für relativen CIELAB-Bunton $h^* = lab^*h^* = h_{ab}/360 = 0.305$

$u^*_e = j25g$

Daten für jede Farbe:

lab^*tch^* und lab^*icu^*

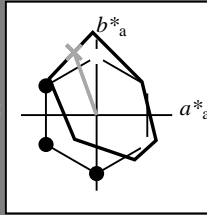
Buntontexte:

$u^*_e = j25g$ $u^*_d = y34l$

Kontrastreduzierungsfaktor:

$c_R = 1.0$

Dreiecks-Helligkeit t^*



FRS09_92a; adaptierte CIELAB-Daten						
u^*_e	$L^*=L^*_a$	a^*_a	b^*_a	$C^*_{ab,a}$	$h^*_{ab,a}$	
O _{Ma}	35.06	60.0	44.0	74.4	36	
Y _{Ma}	83.77	-5.17	109.32	109.44	93	
L _{Ma}	44.13	-62.67	48.24	79.09	142	
C _{Ma}	52.66	-29.14	-31.99	43.27	228	
V _{Ma}	14.15	50.3	-59.04	77.57	310	
M _{Ma}	37.37	78.64	-33.5	85.48	337	
N _{Ma}	8.58	0.0	0.0	0.0	0	
W _{Ma}	92.02	0.0	0.0	0.0	0	
R _{Ma}	39.92	58.74	27.99	65.07	25	
J _{Ma}	81.26	-2.89	71.56	71.62	92	
G _{Ma}	52.23	-42.42	13.6	44.55	162	
B _{Ma}	30.57	1.41	-46.47	46.49	272	

Daten für Maximalfarbe (Ma):

$LAB^*LAB^*_{Ma}$: 67 -30 83

$LAB^*LCH^*_{Ma}$: 67 88 109

$lab^*rgb^*_{Ma}$: 0.75 1.0 0.0

$lab^*olv^*_{Ma}$: 0.66 1.0 0.0

Dreiecks-Helligkeit t^*

%Umfang

$u^*_{rel} = 109$

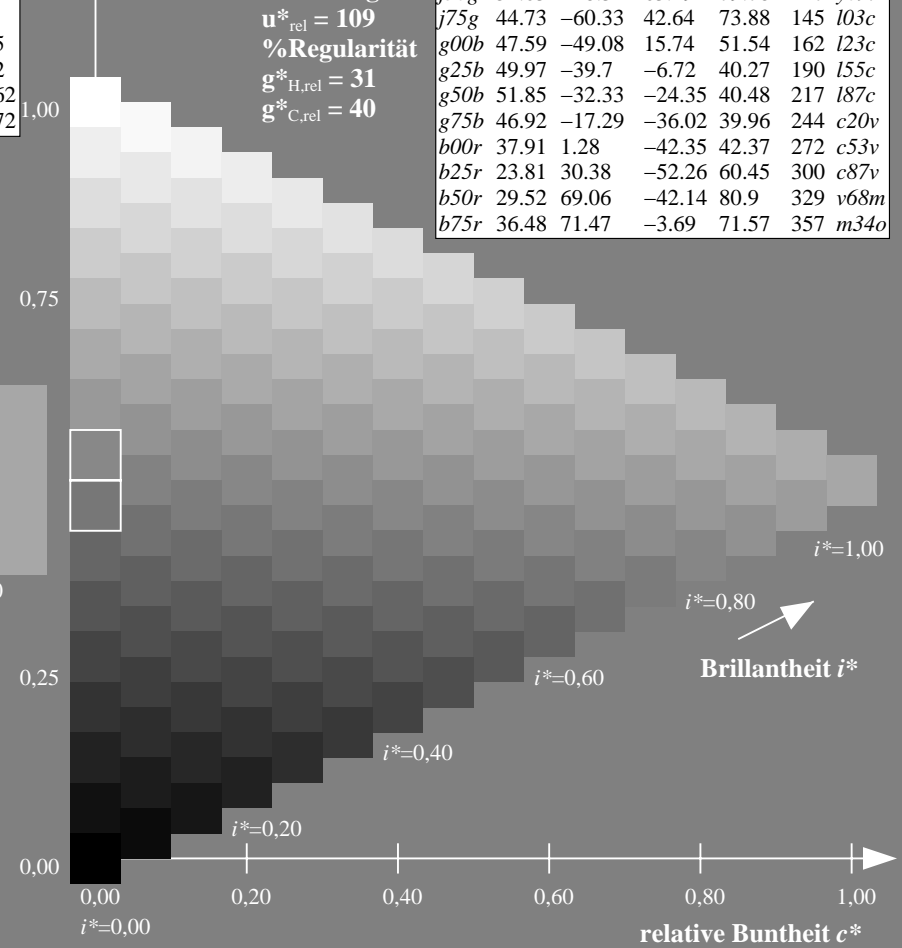
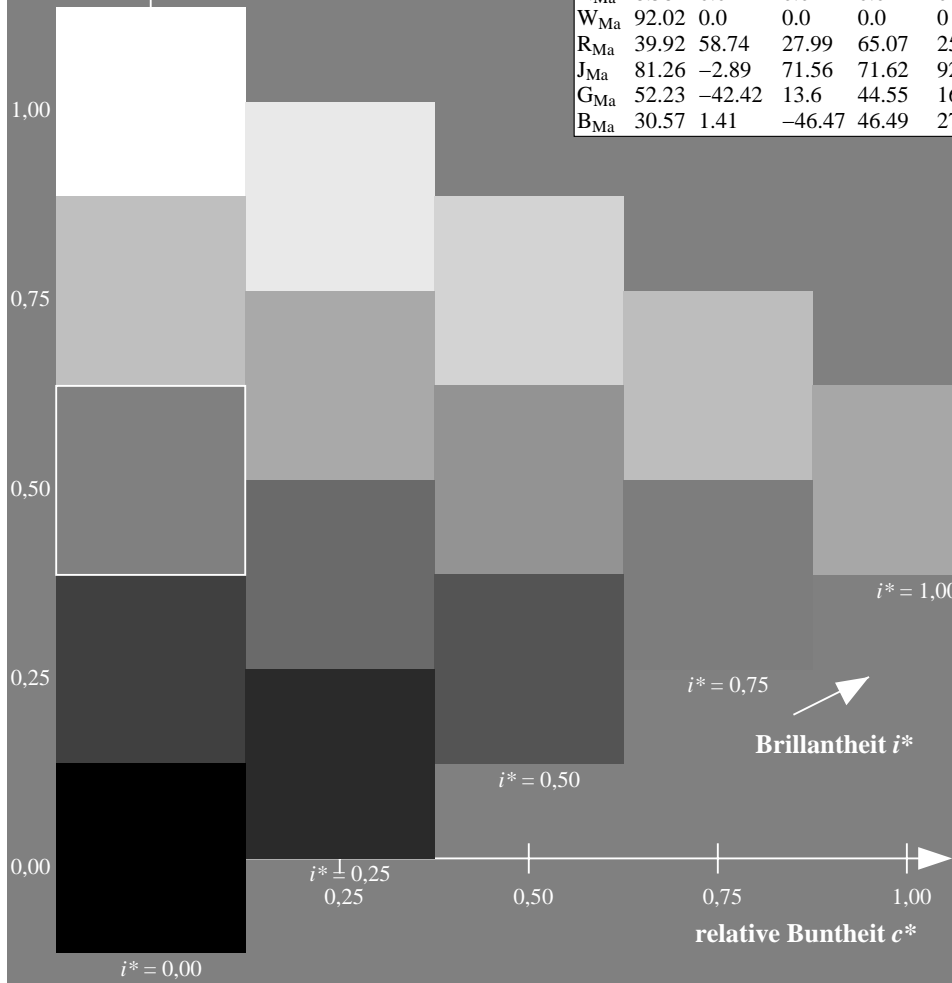
%Regularität

$g^*_{H,rel} = 31$

$g^*_{C,rel} = 40$

FRS09_92a; adaptierte CIELAB-Daten

u^*_e	$L^*=L^*_a$	a^*_a	b^*_a	$C^*_{ab,a}$	$h^*_{ab,a}$	u^*_d
r00j	35.47	63.32	30.17	70.15	25	m81o
r25j	39.12	54.56	49.45	73.64	42	o10y
r50j	50.64	39.15	64.89	75.79	59	o40y
r75j	64.01	21.26	82.83	85.52	76	o69y
j00g	83.18	-4.38	108.53	108.62	92	o98y
j25g	66.73	-29.89	83.06	88.28	110	y34l
j50g	54.03	-48.31	63.49	79.78	127	y69l
j75g	44.73	-60.33	42.64	73.88	145	l03c
g00b	47.59	-49.08	15.74	51.54	162	l23c
g25b	49.97	-39.7	-6.72	40.27	190	l55c
g50b	51.85	-32.33	-24.35	40.48	217	l87c
g75b	46.92	-17.29	-36.02	39.96	244	c20v
b00r	37.91	1.28	-42.35	42.37	272	c53v
b25r	23.81	30.38	-52.26	60.45	300	c87v
b50r	29.52	69.06	-42.14	80.9	329	v68m
b75r	36.48	71.47	-3.69	71.57	357	m34o



Ein und Ausgabe: Farbmatisches Drucker-Reflektiv-System FRS09_92a für relativen CIELAB-Bunton $h^* = lab^*h^* = h_{ab}/360 = 0.354$

$u^*_e = j50g$

Daten für jede Farbe:

lab^*tch^* und lab^*icu^*

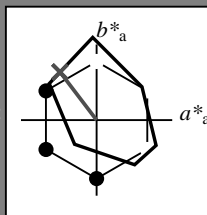
Buntontexte:

$u^*_e = j50g$ $u^*_d = y69l$

Kontrastreduzierungsfaktor:

$c_R = 1.0$

Dreiecks-Helligkeit t^*



FRS09_92a; adaptierte CIELAB-Daten						
u^*_e	$L^*=L^*_a$	a^*_a	b^*_a	$C^*_{ab,a}$	$h^*_{ab,a}$	
O _{Ma}	35.06	60.0	44.0	74.4	36	
Y _{Ma}	83.77	-5.17	109.32	109.44	93	
L _{Ma}	44.13	-62.67	48.24	79.09	142	
C _{Ma}	52.66	-29.14	-31.99	43.27	228	
V _{Ma}	14.15	50.3	-59.04	77.57	310	
M _{Ma}	37.37	78.64	-33.5	85.48	337	
N _{Ma}	8.58	0.0	0.0	0.0	0	
W _{Ma}	92.02	0.0	0.0	0.0	0	
R _{Ma}	39.92	58.74	27.99	65.07	25	
J _{Ma}	81.26	-2.89	71.56	71.62	92	
G _{Ma}	52.23	-42.42	13.6	44.55	162	
B _{Ma}	30.57	1.41	-46.47	46.49	272	

Daten für Maximalfarbe (Ma):

$LAB^*LAB^*_{Ma}$: 54 -48 63

$LAB^*LCH^*_{Ma}$: 54 80 127

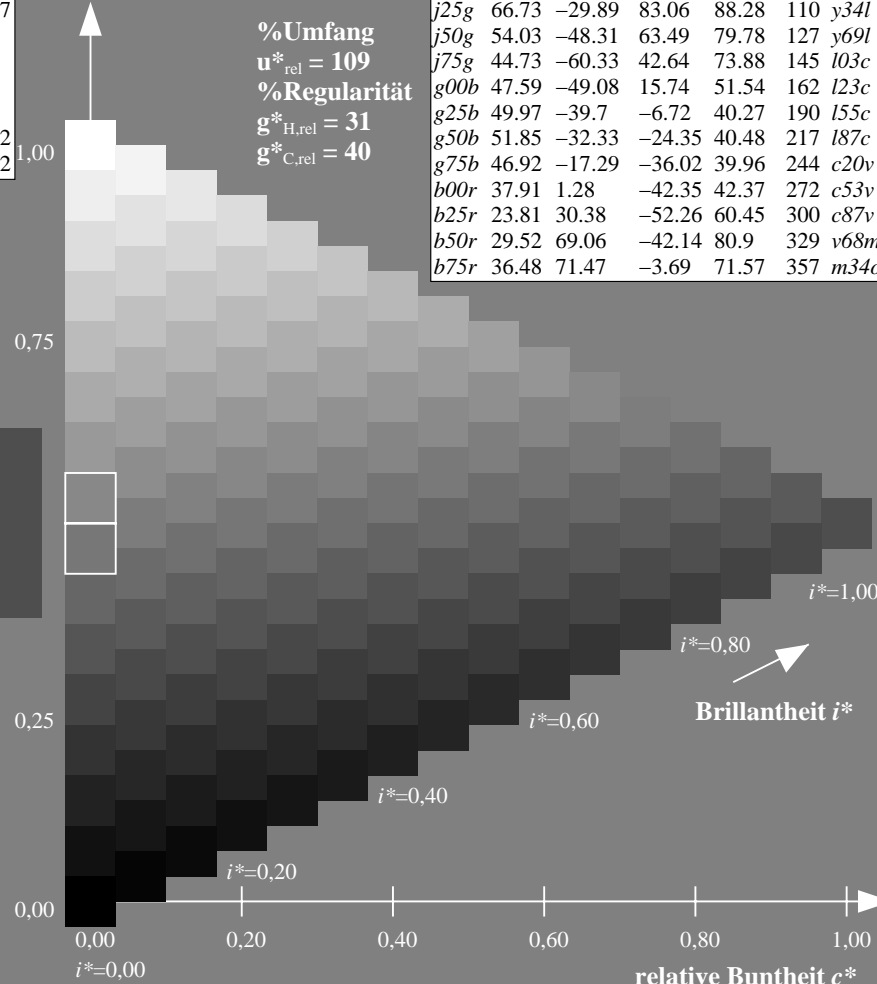
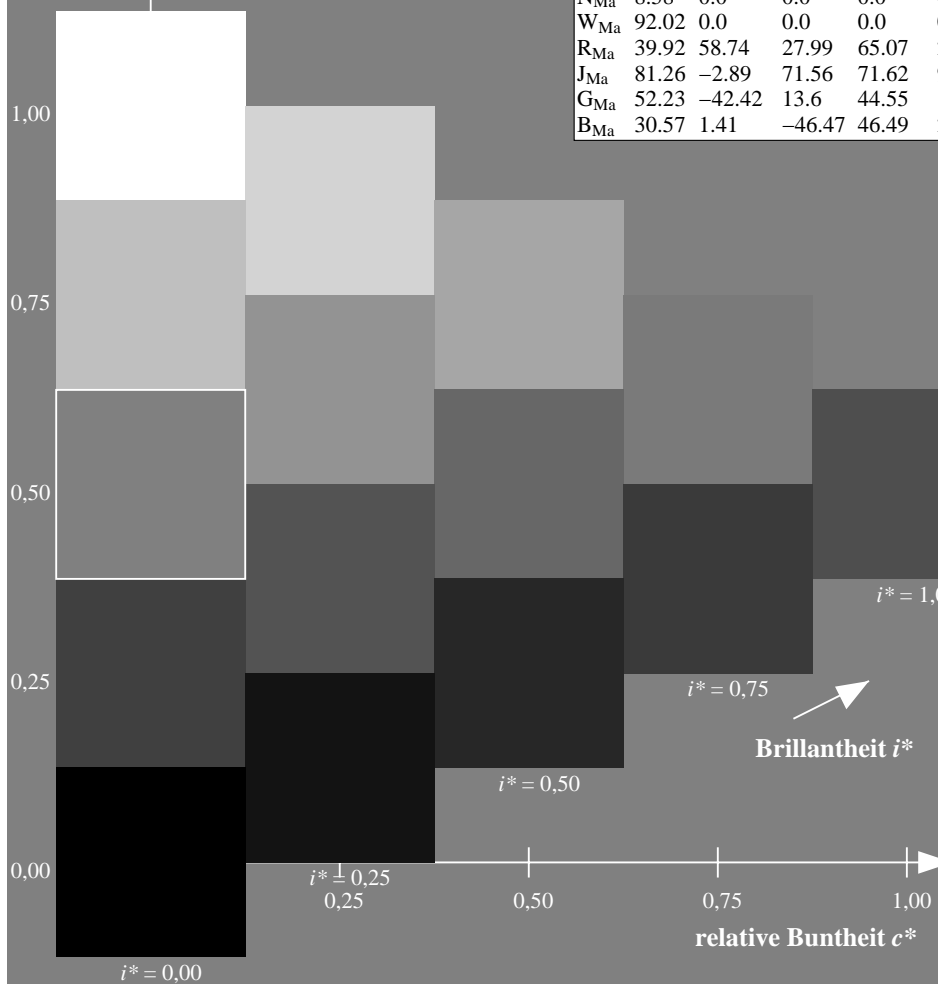
$lab^*rgb^*_{Ma}$: 0.5 1.0 0.0

$lab^*olv^*_{Ma}$: 0.3 1.0 0.0

Dreiecks-Helligkeit t^*

FRS09_92a; adaptierte CIELAB-Daten

u^*_e	$L^*=L^*_a$	a^*_a	b^*_a	$C^*_{ab,a}$	$h^*_{ab,a}$	u^*_d
r00j	35.47	63.32	30.17	70.15	25	m81o
r25j	39.12	54.56	49.45	73.64	42	o10y
r50j	50.64	39.15	64.89	75.79	59	o40y
r75j	64.01	21.26	82.83	85.52	76	o69y
j00g	83.18	-4.38	108.53	108.62	92	o98y
j25g	66.73	-29.89	83.06	88.28	110	y34l
j50g	54.03	-48.31	63.49	79.78	127	y69l
j75g	44.73	-60.33	42.64	73.88	145	l03c
g00b	47.59	-49.08	15.74	51.54	162	l23c
g25b	49.97	-39.7	-6.72	40.27	190	l55c
g50b	51.85	-32.33	-24.35	40.48	217	l87c
g75b	46.92	-17.29	-36.02	39.96	244	c20v
b00r	37.91	1.28	-42.35	42.37	272	c53v
b25r	23.81	30.38	-52.26	60.45	300	c87v
b50r	29.52	69.06	-42.14	80.9	329	v68m
b75r	36.48	71.47	-3.69	71.57	357	m34o



%Umfang
 $u^*_{rel} = 109$
 %Regularität
 $g^*_{H,rel} = 31$
 $g^*_{C,rel} = 40$

Daten für jede Farbe:

lab^*tch^* und lab^*icu^*

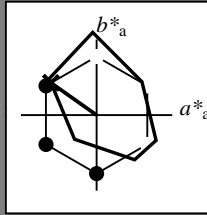
Buntontexte:

$u^*_e = j75g$ $u^*_d = l03c$

Kontrastreduzierungsfaktor:

$c_R = 1.0$

Dreiecks-Helligkeit t^*



FRS09_92a; adaptierte CIELAB-Daten						
u^*_e	$L^*=L^*_a$	a^*_a	b^*_a	$C^*_{ab,a}$	$h^*_{ab,a}$	
O _{Ma}	35.06	60.0	44.0	74.4	36	
Y _{Ma}	83.77	-5.17	109.32	109.44	93	
L _{Ma}	44.13	-62.67	48.24	79.09	142	
C _{Ma}	52.66	-29.14	-31.99	43.27	228	
V _{Ma}	14.15	50.3	-59.04	77.57	310	
M _{Ma}	37.37	78.64	-33.5	85.48	337	
N _{Ma}	8.58	0.0	0.0	0.0	0	
W _{Ma}	92.02	0.0	0.0	0.0	0	
R _{Ma}	39.92	58.74	27.99	65.07	25	
J _{Ma}	81.26	-2.89	71.56	71.62	92	
G _{Ma}	52.23	-42.42	13.6	44.55	162	
B _{Ma}	30.57	1.41	-46.47	46.49	272	

Daten für Maximalfarbe (Ma):

$LAB^*LAB^*_{Ma}$: 45 -60 43

$LAB^*LCH^*_{Ma}$: 45 74 144

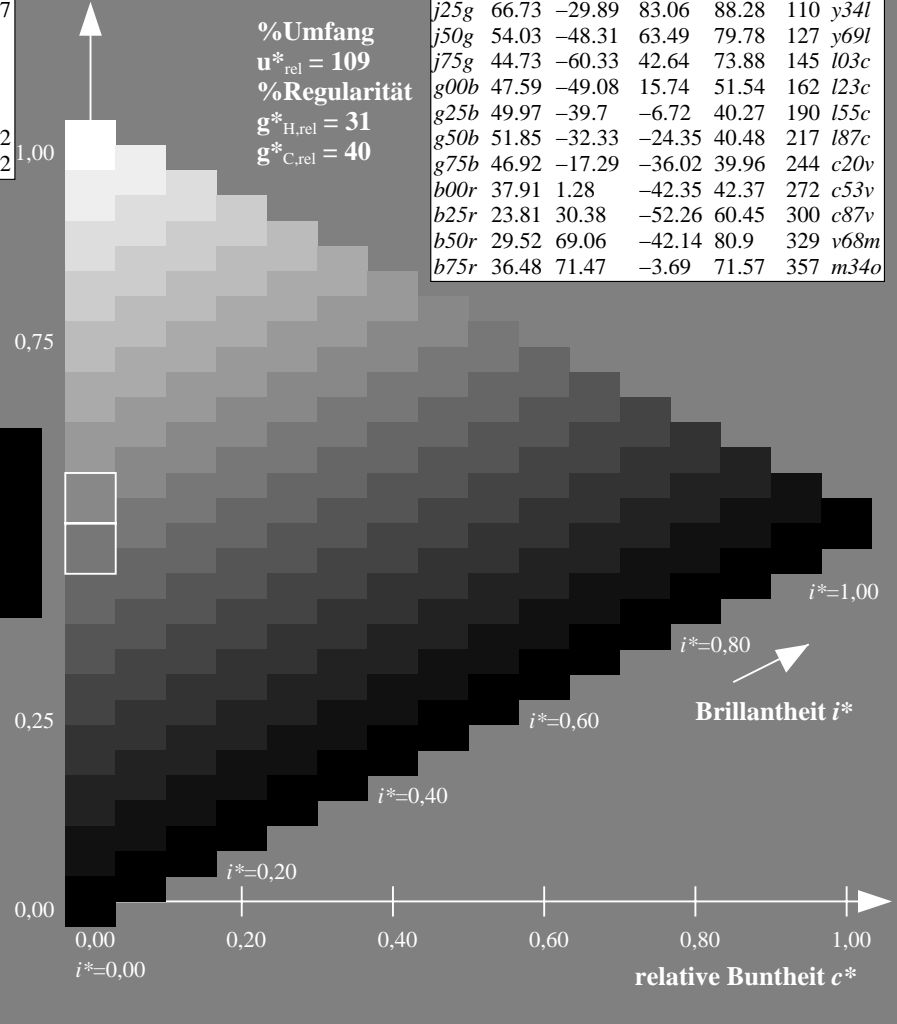
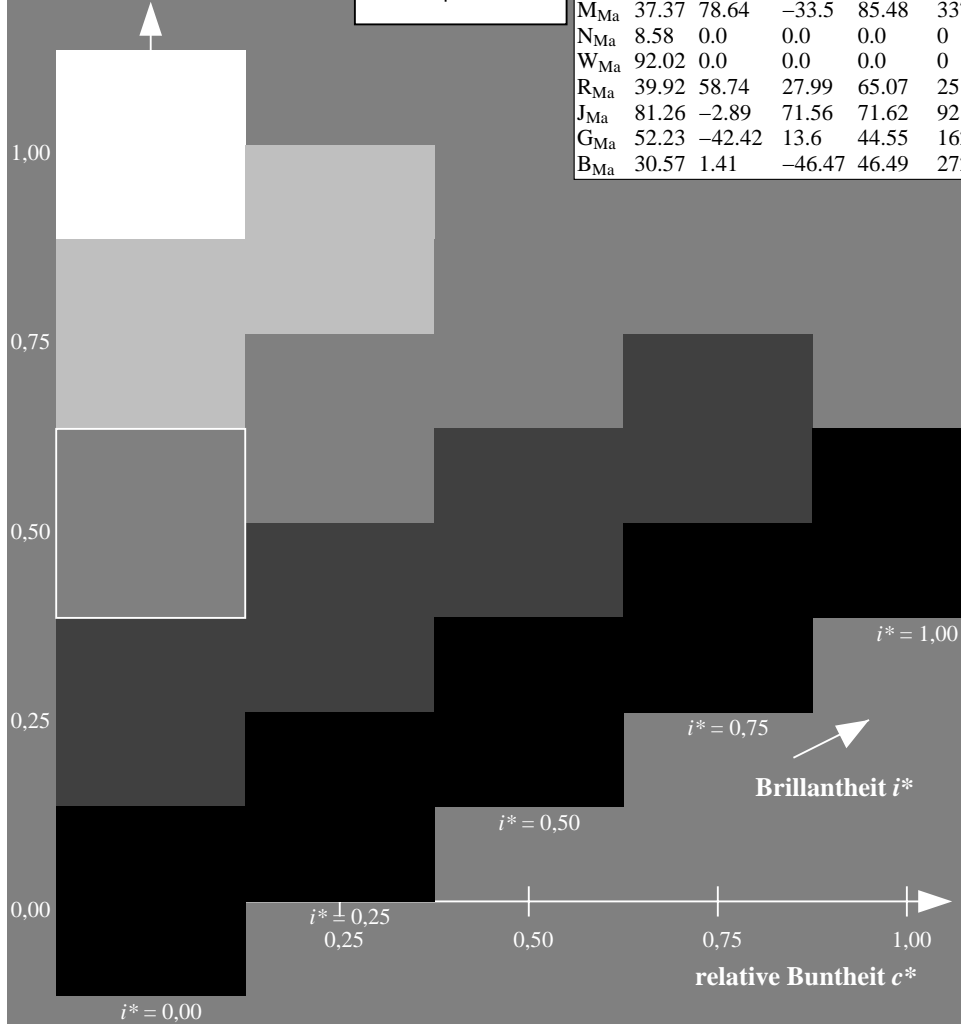
$lab^*rgb^*_{Ma}$: 0.25 1.0 0.0

$lab^*olv^*_{Ma}$: 0.0 1.0 0.03

Dreiecks-Helligkeit t^*

FRS09_92a; adaptierte CIELAB-Daten

u^*_e	$L^*=L^*_a$	a^*_a	b^*_a	$C^*_{ab,a}$	$h^*_{ab,a}$	u^*_d
r00j	35.47	63.32	30.17	70.15	25	m81o
r25j	39.12	54.56	49.45	73.64	42	o10y
r50j	50.64	39.15	64.89	75.79	59	o40y
r75j	64.01	21.26	82.83	85.52	76	o69y
j00g	83.18	-4.38	108.53	108.62	92	o98y
j25g	66.73	-29.89	83.06	88.28	110	y34l
j50g	54.03	-48.31	63.49	79.78	127	y69l
j75g	44.73	-60.33	42.64	73.88	145	l03c
g00b	47.59	-49.08	15.74	51.54	162	l23c
g25b	49.97	-39.7	-6.72	40.27	190	l55c
g50b	51.85	-32.33	-24.35	40.48	217	l87c
g75b	46.92	-17.29	-36.02	39.96	244	c20v
b00r	37.91	1.28	-42.35	42.37	272	c53v
b25r	23.81	30.38	-52.26	60.45	300	c87v
b50r	29.52	69.06	-42.14	80.9	329	v68m
b75r	36.48	71.47	-3.69	71.57	357	m34o



%Umfang
 $u^*_{rel} = 109$
 %Regularität
 $g^*_{H,rel} = 31$
 $g^*_{C,rel} = 40$

Brillantheit i^*

Ein und Ausgabe: Farbmatisches Drucker-Reflektiv-System FRS09_92a für relativen CIELAB-Bunton $h^* = lab^*h^* = h_{ab}/360 = 0.451$

$u^*_e = g00b$

Daten für jede Farbe:

lab^*tch^* und lab^*icu^*

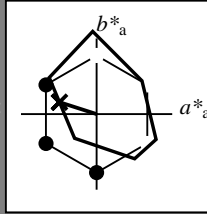
Buntontexte:

$u^*_e = g00b$ $u^*_d = l23c$

Kontrastreduzierungsfaktor:

$c_R = 1.0$

Dreiecks-Helligkeit t^*



FRS09_92a; adaptierte CIELAB-Daten						
u^*_e	$L^*=L^*_a$	a^*_a	b^*_a	$C^*_{ab,a}$	$h^*_{ab,a}$	
O _{Ma}	35.06	60.0	44.0	74.4	36	
Y _{Ma}	83.77	-5.17	109.32	109.44	93	
L _{Ma}	44.13	-62.67	48.24	79.09	142	
C _{Ma}	52.66	-29.14	-31.99	43.27	228	
V _{Ma}	14.15	50.3	-59.04	77.57	310	
M _{Ma}	37.37	78.64	-33.5	85.48	337	
N _{Ma}	8.58	0.0	0.0	0.0	0	
W _{Ma}	92.02	0.0	0.0	0.0	0	
R _{Ma}	39.92	58.74	27.99	65.07	25	
J _{Ma}	81.26	-2.89	71.56	71.62	92	
G _{Ma}	52.23	-42.42	13.6	44.55	162	
B _{Ma}	30.57	1.41	-46.47	46.49	272	

Daten für Maximalfarbe (Ma):

$LAB^*LAB^*_{Ma}$: 48 -49 16

$LAB^*LCH^*_{Ma}$: 48 52 162

$lab^*rgb^*_{Ma}$: 0.0 1.0 0.0

$lab^*olv^*_{Ma}$: 0.0 1.0 0.23

Dreiecks-Helligkeit t^*

%Umfang

$u^*_{rel} = 109$

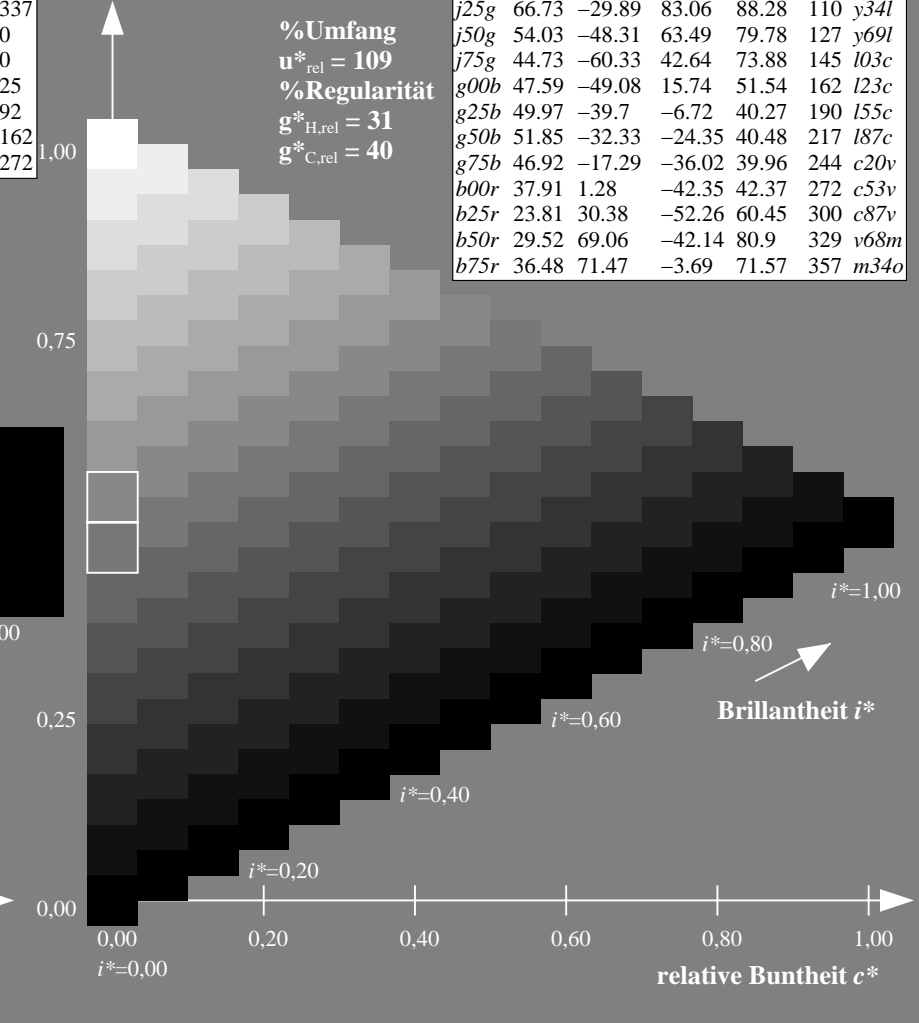
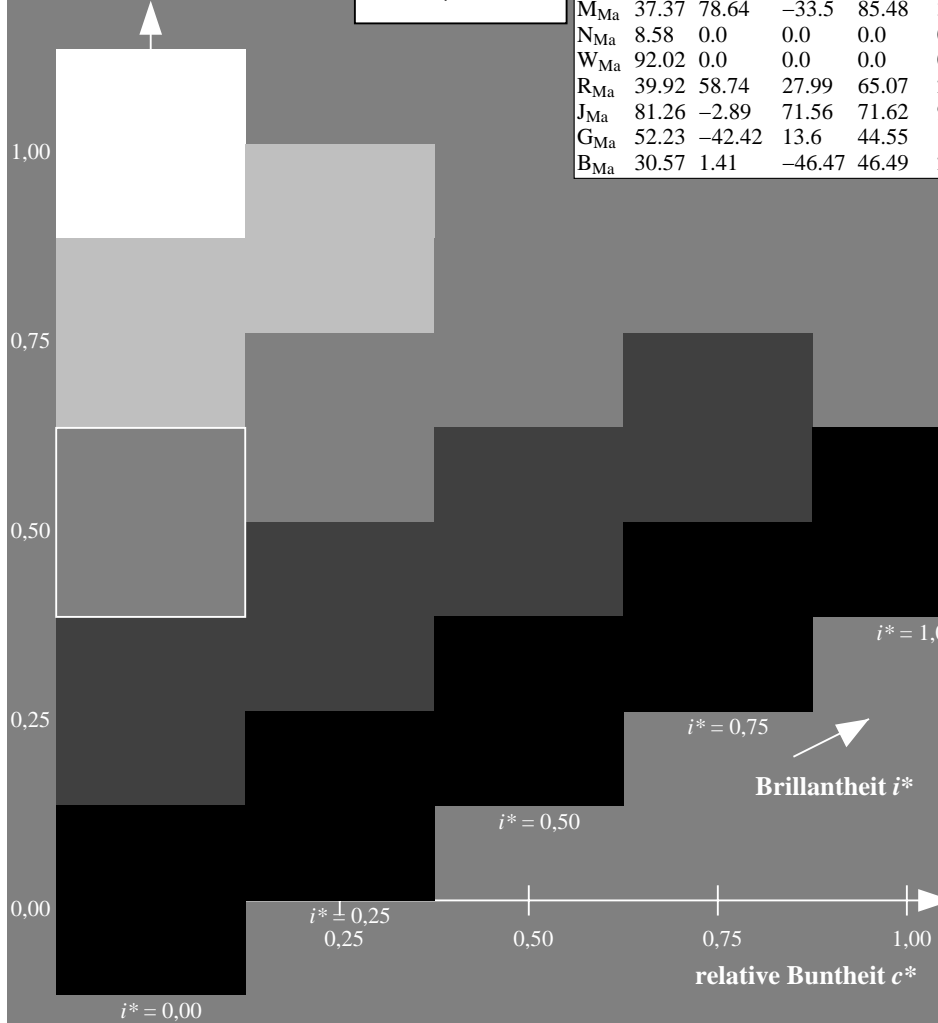
%Regularität

$g^*_{H,rel} = 31$

$g^*_{C,rel} = 40$

FRS09_92a; adaptierte CIELAB-Daten

u^*_e	$L^*=L^*_a$	a^*_a	b^*_a	$C^*_{ab,a}$	$h^*_{ab,a}$	u^*_d
r00j	35.47	63.32	30.17	70.15	25	m81o
r25j	39.12	54.56	49.45	73.64	42	o10y
r50j	50.64	39.15	64.89	75.79	59	o40y
r75j	64.01	21.26	82.83	85.52	76	o69y
j00g	83.18	-4.38	108.53	108.62	92	o98y
j25g	66.73	-29.89	83.06	88.28	110	y34l
j50g	54.03	-48.31	63.49	79.78	127	y69l
j75g	44.73	-60.33	42.64	73.88	145	l03c
g00b	47.59	-49.08	15.74	51.54	162	l23c
g25b	49.97	-39.7	-6.72	40.27	190	l55c
g50b	51.85	-32.33	-24.35	40.48	217	l87c
g75b	46.92	-17.29	-36.02	39.96	244	c20v
b00r	37.91	1.28	-42.35	42.37	272	c53v
b25r	23.81	30.38	-52.26	60.45	300	c87v
b50r	29.52	69.06	-42.14	80.9	329	v68m
b75r	36.48	71.47	-3.69	71.57	357	m34o



Daten für jede Farbe:

lab^*tch^* und lab^*icu^*

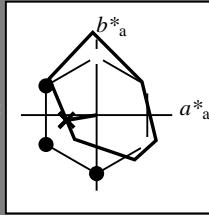
Buntontexte:

$u^*_e = g25b$ $u^*_d = l55c$

Kontrastreduzierungsfaktor:

$c_R = 1.0$

Dreiecks-Helligkeit t^*



FRS09_92a; adaptierte CIELAB-Daten

u^*_e	$L^*=L^*_a$	a^*_a	b^*_a	$C^*_{ab,a}$	$h^*_{ab,a}$
O _{Ma}	35.06	60.0	44.0	74.4	36
Y _{Ma}	83.77	-5.17	109.32	109.44	93
L _{Ma}	44.13	-62.67	48.24	79.09	142
C _{Ma}	52.66	-29.14	-31.99	43.27	228
V _{Ma}	14.15	50.3	-59.04	77.57	310
M _{Ma}	37.37	78.64	-33.5	85.48	337
N _{Ma}	8.58	0.0	0.0	0.0	0
W _{Ma}	92.02	0.0	0.0	0.0	0
R _{Ma}	39.92	58.74	27.99	65.07	25
J _{Ma}	81.26	-2.89	71.56	71.62	92
G _{Ma}	52.23	-42.42	13.6	44.55	162
B _{Ma}	30.57	1.41	-46.47	46.49	272

Daten für Maximalfarbe (Ma):

$LAB^*LAB^*_{Ma}: 50 -40 -7$

$LAB^*LCH^*_{Ma}: 50 40 189$

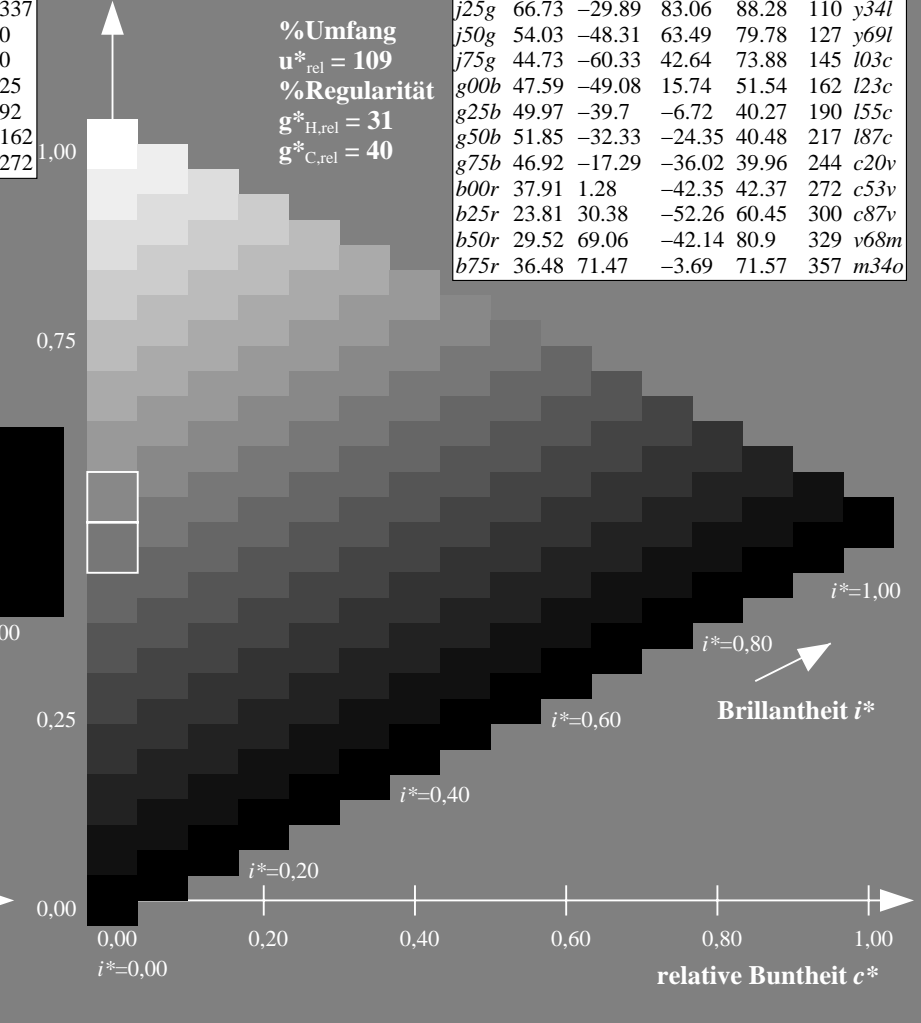
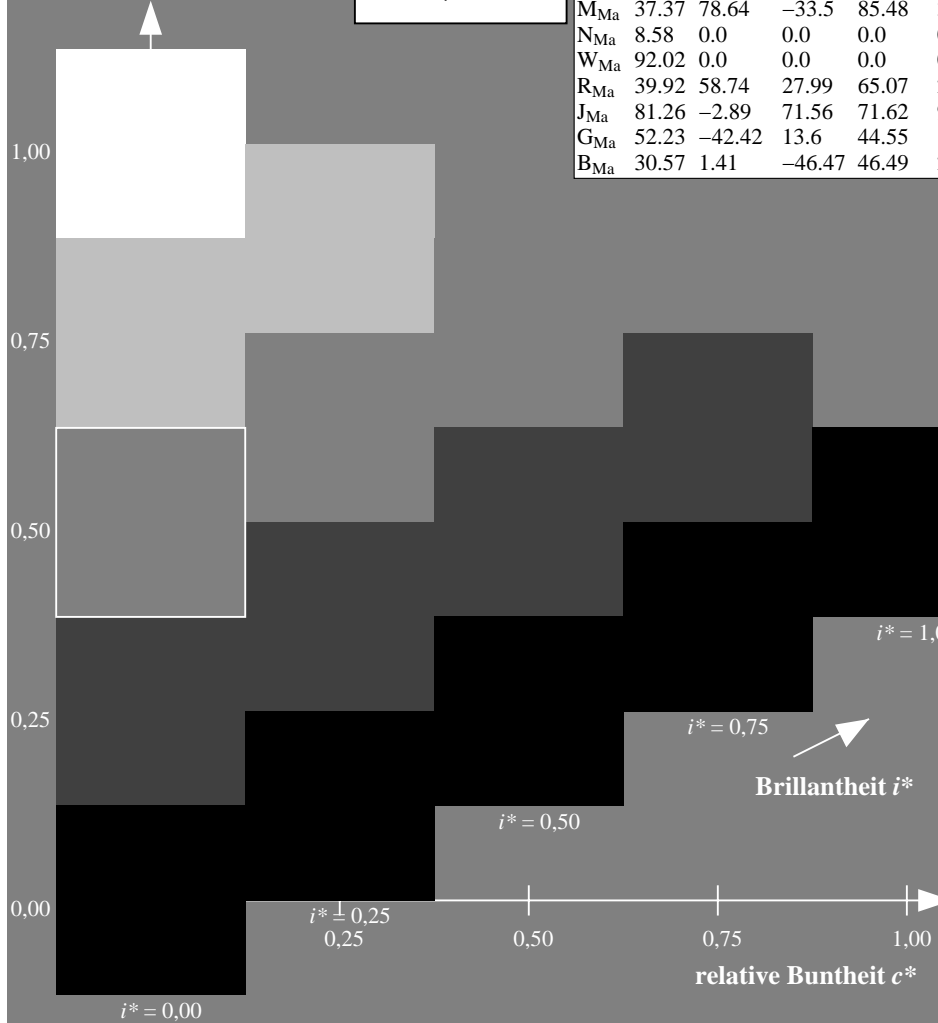
$lab^*rgb^*_{Ma}: 0.0 1.0 0.5$

$lab^*olv^*_{Ma}: 0.0 1.0 0.55$

Dreiecks-Helligkeit t^*

FRS09_92a; adaptierte CIELAB-Daten

u^*_e	$L^*=L^*_a$	a^*_a	b^*_a	$C^*_{ab,a}$	$h^*_{ab,a}$	u^*_d
r00j	35.47	63.32	30.17	70.15	25	m81o
r25j	39.12	54.56	49.45	73.64	42	o10y
r50j	50.64	39.15	64.89	75.79	59	o40y
r75j	64.01	21.26	82.83	85.52	76	o69y
j00g	83.18	-4.38	108.53	108.62	92	o98y
j25g	66.73	-29.89	83.06	88.28	110	y34l
j50g	54.03	-48.31	63.49	79.78	127	y69l
j75g	44.73	-60.33	42.64	73.88	145	l03c
g00b	47.59	-49.08	15.74	51.54	162	l23c
g25b	49.97	-39.7	-6.72	40.27	190	l55c
g50b	51.85	-32.33	-24.35	40.48	217	l87c
g75b	46.92	-17.29	-36.02	39.96	244	c20v
b00r	37.91	1.28	-42.35	42.37	272	c53v
b25r	23.81	30.38	-52.26	60.45	300	c87v
b50r	29.52	69.06	-42.14	80.9	329	v68m
b75r	36.48	71.47	-3.69	71.57	357	m34o



Daten für jede Farbe:

lab^*tch^* und lab^*icu^*

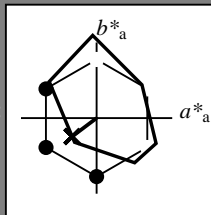
Buntontexte:

$u^*_e = g50b$ $u^*_d = l87c$

Kontrastreduzierungsfaktor:

$c_R = 1.0$

Dreiecks-Helligkeit t^*



FRS09_92a; adaptierte CIELAB-Daten						
u^*_e	$L^*=L^*_a$	a^*_a	b^*_a	$C^*_{ab,a}$	$h^*_{ab,a}$	
O _{Ma}	35.06	60.0	44.0	74.4	36	
Y _{Ma}	83.77	-5.17	109.32	109.44	93	
L _{Ma}	44.13	-62.67	48.24	79.09	142	
C _{Ma}	52.66	-29.14	-31.99	43.27	228	
V _{Ma}	14.15	50.3	-59.04	77.57	310	
M _{Ma}	37.37	78.64	-33.5	85.48	337	
N _{Ma}	8.58	0.0	0.0	0.0	0	
W _{Ma}	92.02	0.0	0.0	0.0	0	
R _{Ma}	39.92	58.74	27.99	65.07	25	
J _{Ma}	81.26	-2.89	71.56	71.62	92	
G _{Ma}	52.23	-42.42	13.6	44.55	162	
B _{Ma}	30.57	1.41	-46.47	46.49	272	

Daten für Maximalfarbe (Ma):

$LAB^*LAB^*_{Ma}: 52 -32 -24$

$LAB^*LCH^*_{Ma}: 52 40 216$

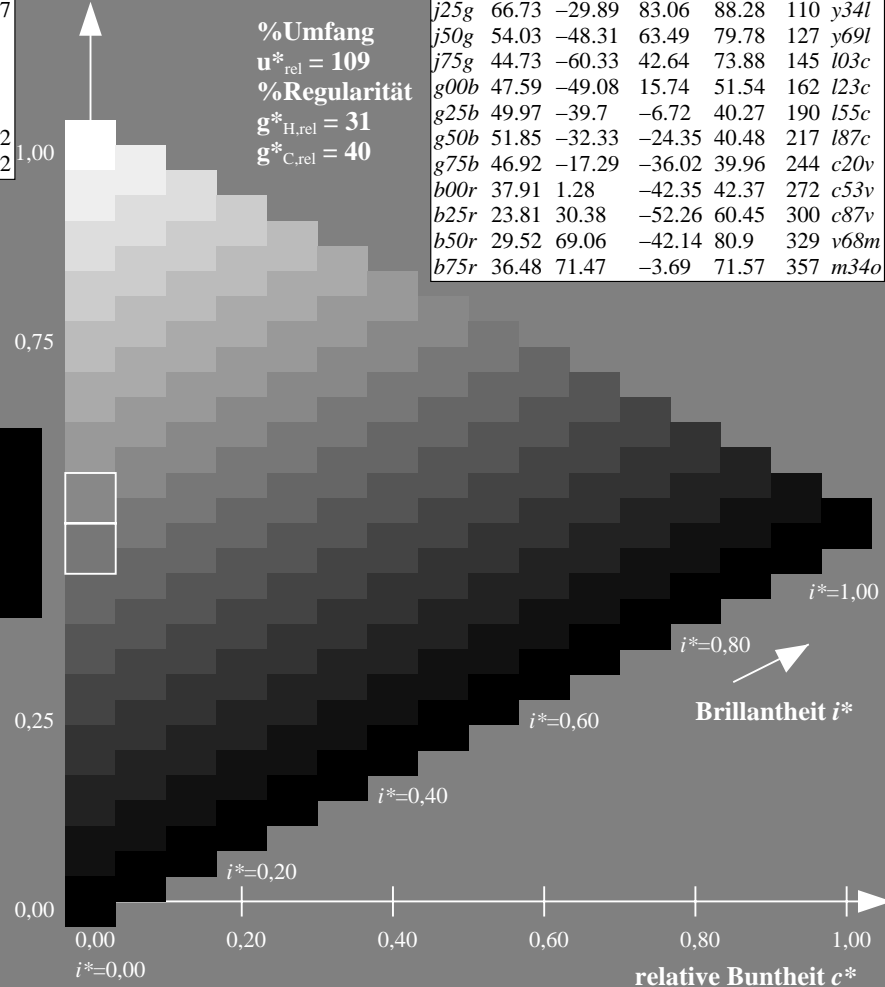
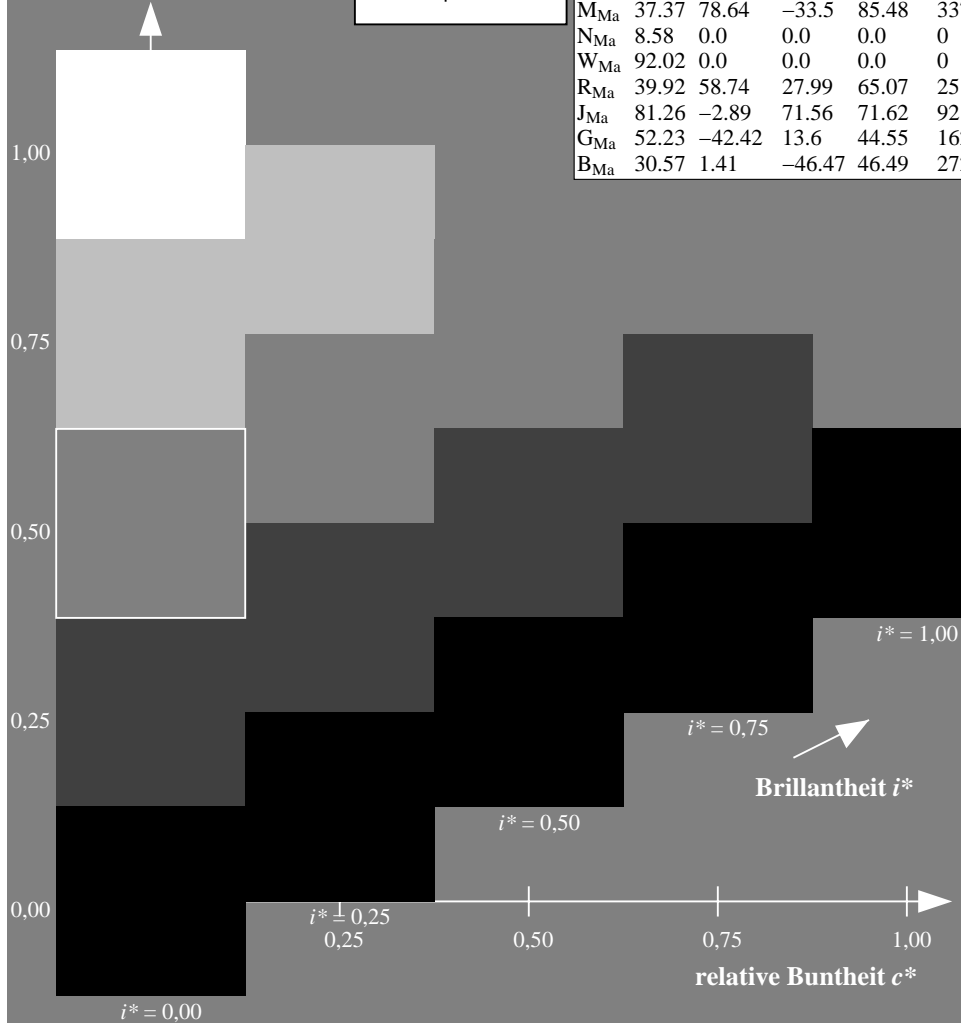
$lab^*rgb^*_{Ma}: 0.0 1.0 1.0$

$lab^*olv^*_{Ma}: 0.0 1.0 0.87$

Dreiecks-Helligkeit t^*

FRS09_92a; adaptierte CIELAB-Daten

u^*_e	$L^*=L^*_a$	a^*_a	b^*_a	$C^*_{ab,a}$	$h^*_{ab,a}$	u^*_d
r00j	35.47	63.32	30.17	70.15	25	m81o
r25j	39.12	54.56	49.45	73.64	42	o10y
r50j	50.64	39.15	64.89	75.79	59	o40y
r75j	64.01	21.26	82.83	85.52	76	o69y
j00g	83.18	-4.38	108.53	108.62	92	o98y
j25g	66.73	-29.89	83.06	88.28	110	y34l
j50g	54.03	-48.31	63.49	79.78	127	y69l
j75g	44.73	-60.33	42.64	73.88	145	l03c
g00b	47.59	-49.08	15.74	51.54	162	l23c
g25b	49.97	-39.7	-6.72	40.27	190	l55c
g50b	51.85	-32.33	-24.35	40.48	217	l87c
g75b	46.92	-17.29	-36.02	39.96	244	c20v
b00r	37.91	1.28	-42.35	42.37	272	c53v
b25r	23.81	30.38	-52.26	60.45	300	c87v
b50r	29.52	69.06	-42.14	80.9	329	v68m
b75r	36.48	71.47	-3.69	71.57	357	m34o



Ein und Ausgabe: Farbmatisches Drucker-Reflektiv-System FRS09_92a für relativen CIELAB-Bunton $h^* = lab^*h^* = h_{ab}/360 = 0.679$

$u^*_e = g75b$

Daten für jede Farbe:

lab^*tch^* und lab^*icu^*

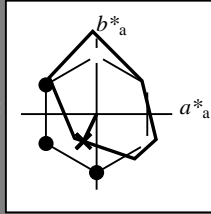
Buntontexte:

$u^*_e = g75b$ $u^*_d = c20v$

Kontrastreduzierungsfaktor:

$c_R = 1.0$

Dreiecks-Helligkeit t^*



FRS09_92a; adaptierte CIELAB-Daten

u^*_e	$L^*=L^*_a$	a^*_a	b^*_a	$C^*_{ab,a}$	$h^*_{ab,a}$
O _{Ma}	35.06	60.0	44.0	74.4	36
Y _{Ma}	83.77	-5.17	109.32	109.44	93
L _{Ma}	44.13	-62.67	48.24	79.09	142
C _{Ma}	52.66	-29.14	-31.99	43.27	228
V _{Ma}	14.15	50.3	-59.04	77.57	310
M _{Ma}	37.37	78.64	-33.5	85.48	337
N _{Ma}	8.58	0.0	0.0	0.0	0
W _{Ma}	92.02	0.0	0.0	0.0	0
R _{Ma}	39.92	58.74	27.99	65.07	25
J _{Ma}	81.26	-2.89	71.56	71.62	92
G _{Ma}	52.23	-42.42	13.6	44.55	162
B _{Ma}	30.57	1.41	-46.47	46.49	272

Daten für Maximalfarbe (Ma):

$LAB^*LAB^*_{Ma}: 47 -17 -36$

$LAB^*LCH^*_{Ma}: 47 40 244$

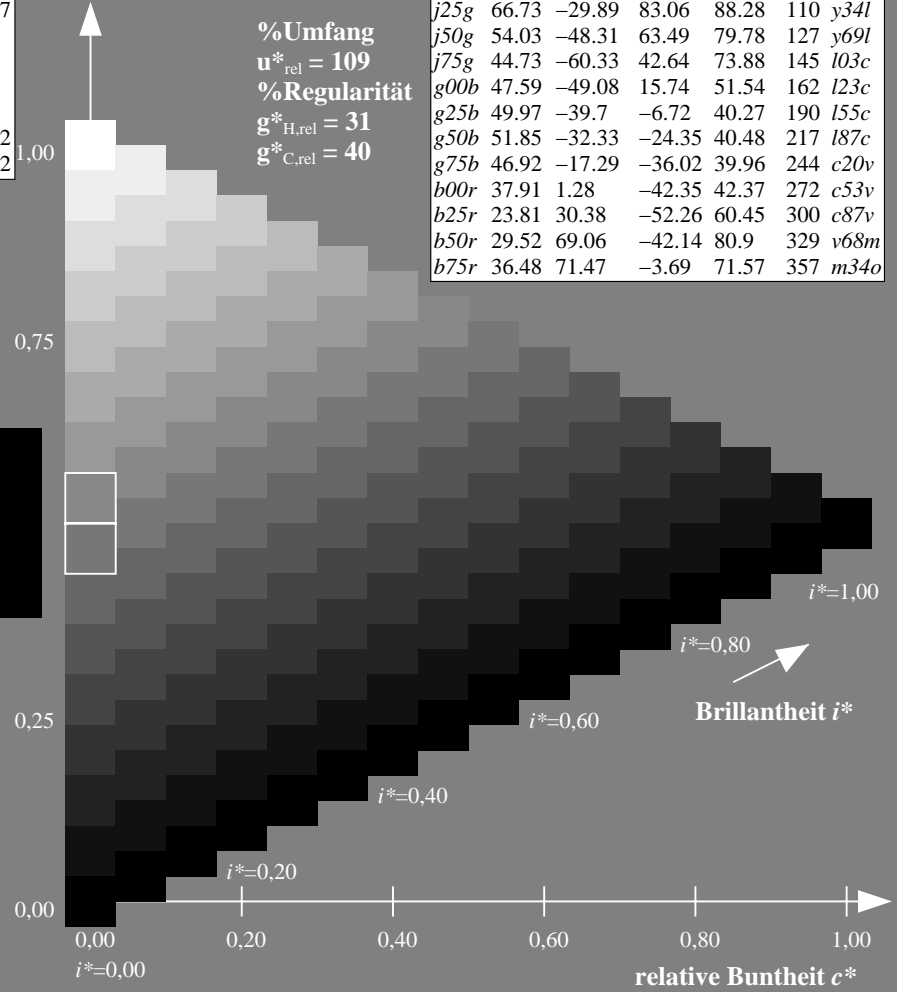
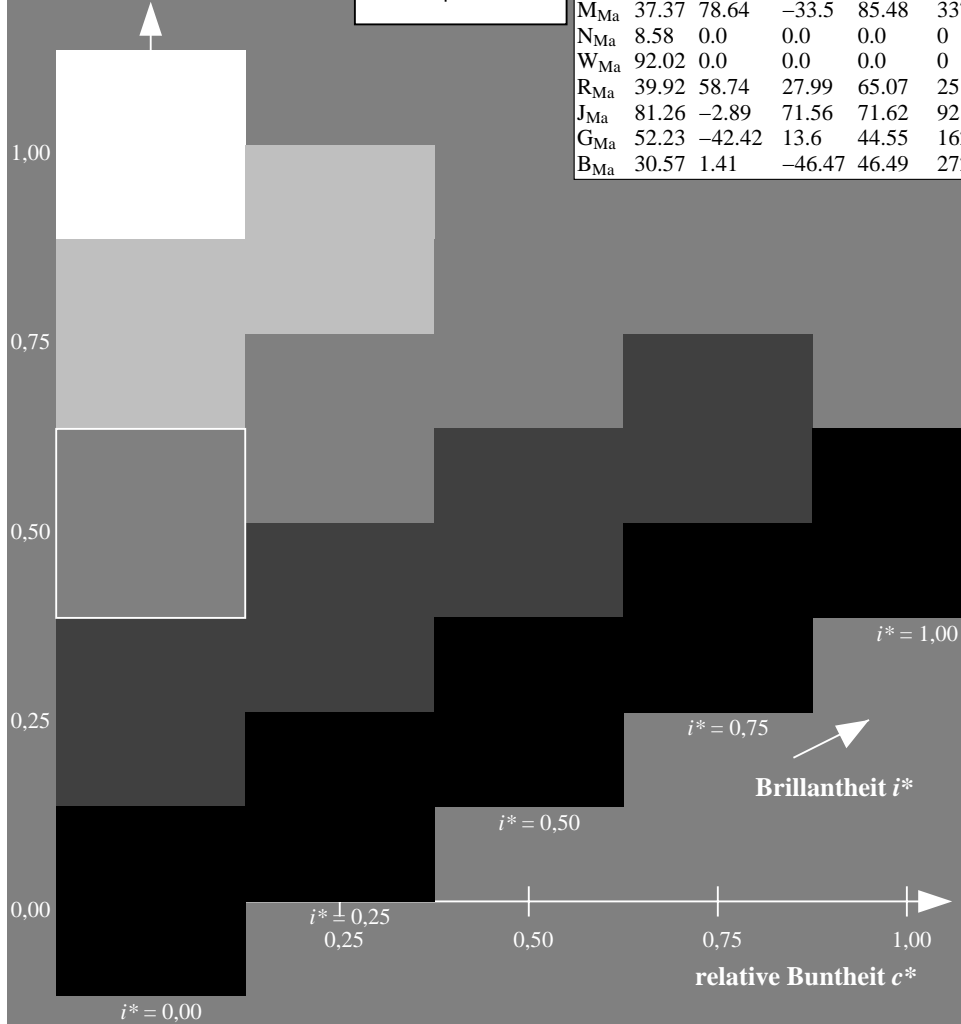
$lab^*rgb^*_{Ma}: 0.0 0.5 1.0$

$lab^*olv^*_{Ma}: 0.0 0.8 1.0$

Dreiecks-Helligkeit t^*

FRS09_92a; adaptierte CIELAB-Daten

u^*_e	$L^*=L^*_a$	a^*_a	b^*_a	$C^*_{ab,a}$	$h^*_{ab,a}$	u^*_d
r00j	35.47	63.32	30.17	70.15	25	m81o
r25j	39.12	54.56	49.45	73.64	42	o10y
r50j	50.64	39.15	64.89	75.79	59	o40y
r75j	64.01	21.26	82.83	85.52	76	o69y
j00g	83.18	-4.38	108.53	108.62	92	o98y
j25g	66.73	-29.89	83.06	88.28	110	y34l
j50g	54.03	-48.31	63.49	79.78	127	y69l
j75g	44.73	-60.33	42.64	73.88	145	l03c
g00b	47.59	-49.08	15.74	51.54	162	l23c
g25b	49.97	-39.7	-6.72	40.27	190	l55c
g50b	51.85	-32.33	-24.35	40.48	217	l87c
g75b	46.92	-17.29	-36.02	39.96	244	c20v
b00r	37.91	1.28	-42.35	42.37	272	c53v
b25r	23.81	30.38	-52.26	60.45	300	c87v
b50r	29.52	69.06	-42.14	80.9	329	v68m
b75r	36.48	71.47	-3.69	71.57	357	m34o



%Umfang
 $u^*_{rel} = 109$
 %Regularität
 $g^*_{H,rel} = 31$
 $g^*_{C,rel} = 40$

Ein und Ausgabe: Farbmatisches Drucker-Reflektiv-System FRS09_92a für relativen CIELAB-Bunton $h^* = lab^*h^* = h_{ab}/360 = 0.755$

$u^*_e = b00r$

Daten für jede Farbe:

lab^*tch^* und lab^*icu^*

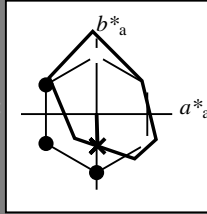
Buntontexte:

$u^*_e = b00r$ $u^*_d = c53v$

Kontrastreduzierungsfaktor:

$c_R = 1.0$

Dreiecks-Helligkeit t^*



FRS09_92a; adaptierte CIELAB-Daten						
u^*_e	$L^*=L^*_a$	a^*_a	b^*_a	$C^*_{ab,a}$	$h^*_{ab,a}$	
O _{Ma}	35.06	60.0	44.0	74.4	36	
Y _{Ma}	83.77	-5.17	109.32	109.44	93	
L _{Ma}	44.13	-62.67	48.24	79.09	142	
C _{Ma}	52.66	-29.14	-31.99	43.27	228	
V _{Ma}	14.15	50.3	-59.04	77.57	310	
M _{Ma}	37.37	78.64	-33.5	85.48	337	
N _{Ma}	8.58	0.0	0.0	0.0	0	
W _{Ma}	92.02	0.0	0.0	0.0	0	
R _{Ma}	39.92	58.74	27.99	65.07	25	
J _{Ma}	81.26	-2.89	71.56	71.62	92	
G _{Ma}	52.23	-42.42	13.6	44.55	162	
B _{Ma}	30.57	1.41	-46.47	46.49	272	

Daten für Maximalfarbe (Ma):

$LAB^*LAB^*_{Ma}$: 38 1 -42

$LAB^*LCH^*_{Ma}$: 38 42 271

$lab^*rgb^*_{Ma}$: 0.0 0.0 1.0

$lab^*olv^*_{Ma}$: 0.0 0.47 1.0

Dreiecks-Helligkeit t^*

%Umfang

$u^*_{rel} = 109$

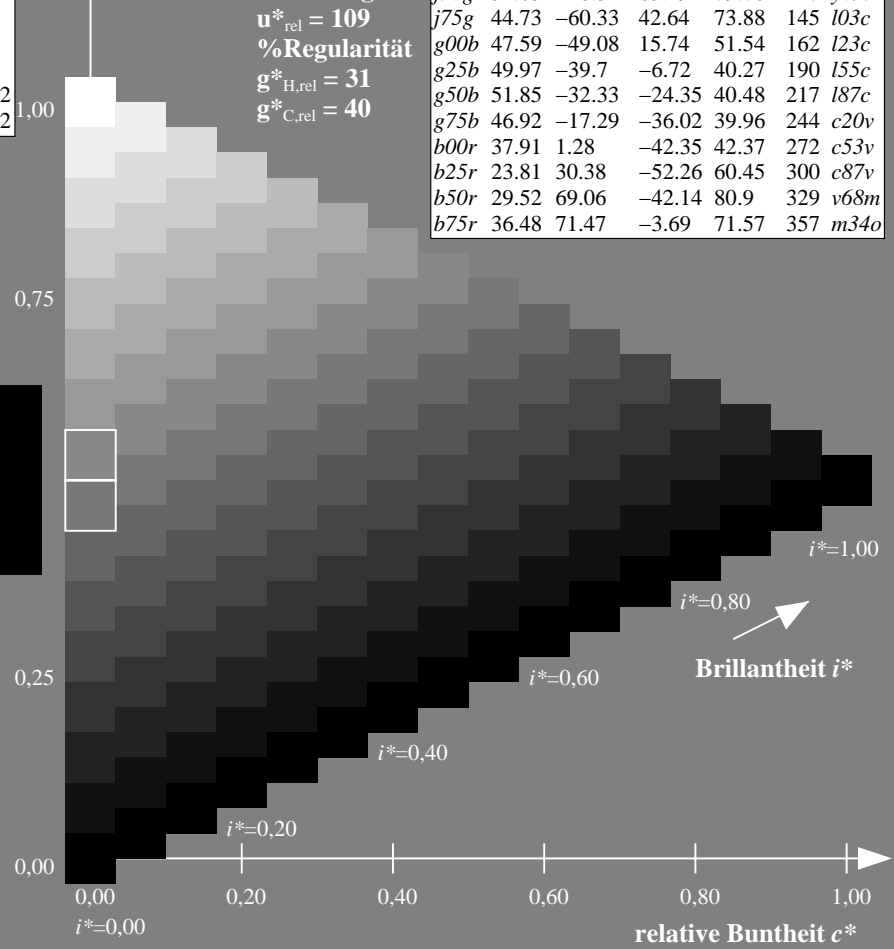
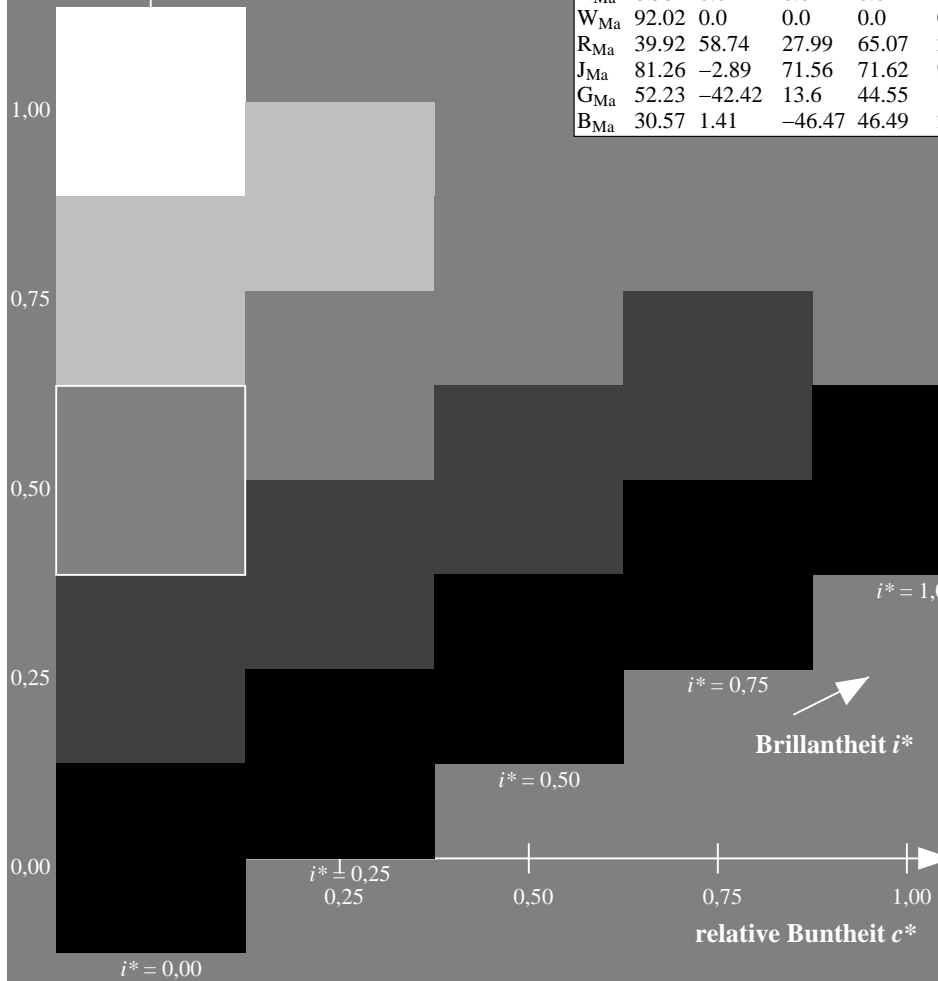
%Regularität

$g^*_{H,rel} = 31$

$g^*_{C,rel} = 40$

FRS09_92a; adaptierte CIELAB-Daten

u^*_e	$L^*=L^*_a$	a^*_a	b^*_a	$C^*_{ab,a}$	$h^*_{ab,a}$	u^*_d
r00j	35.47	63.32	30.17	70.15	25	m81o
r25j	39.12	54.56	49.45	73.64	42	o10y
r50j	50.64	39.15	64.89	75.79	59	o40y
r75j	64.01	21.26	82.83	85.52	76	o69y
j00g	83.18	-4.38	108.53	108.62	92	o98y
j25g	66.73	-29.89	83.06	88.28	110	y34l
j50g	54.03	-48.31	63.49	79.78	127	y69l
j75g	44.73	-60.33	42.64	73.88	145	l03c
g00b	47.59	-49.08	15.74	51.54	162	l23c
g25b	49.97	-39.7	-6.72	40.27	190	l55c
g50b	51.85	-32.33	-24.35	40.48	217	l87c
g75b	46.92	-17.29	-36.02	39.96	244	c20v
b00r	37.91	1.28	-42.35	42.37	272	c53v
b25r	23.81	30.38	-52.26	60.45	300	c87v
b50r	29.52	69.06	-42.14	80.9	329	v68m
b75r	36.48	71.47	-3.69	71.57	357	m34o



Ein und Ausgabe: Farbmatisches Drucker-Reflektiv-System FRS09_92a für relativen CIELAB-Bunton $h^* = lab^*h^* = h_{ab}/360 = 0.834$

$u^*_e = b25r$

Daten für jede Farbe:

lab^*tch^* und lab^*icu^*

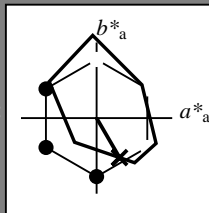
Buntontexte:

$u^*_e = b25r$ $u^*_d = c87v$

Kontrastreduzierungsfaktor:

$c_R = 1.0$

Dreiecks-Helligkeit t^*



FRS09_92a; adaptierte CIELAB-Daten						
u^*_e	$L^*=L^*_a$	a^*_a	b^*_a	$C^*_{ab,a}$	$h^*_{ab,a}$	
O _{Ma}	35.06	60.0	44.0	74.4	36	
Y _{Ma}	83.77	-5.17	109.32	109.44	93	
L _{Ma}	44.13	-62.67	48.24	79.09	142	
C _{Ma}	52.66	-29.14	-31.99	43.27	228	
V _{Ma}	14.15	50.3	-59.04	77.57	310	
M _{Ma}	37.37	78.64	-33.5	85.48	337	
N _{Ma}	8.58	0.0	0.0	0.0	0	
W _{Ma}	92.02	0.0	0.0	0.0	0	
R _{Ma}	39.92	58.74	27.99	65.07	25	
J _{Ma}	81.26	-2.89	71.56	71.62	92	
G _{Ma}	52.23	-42.42	13.6	44.55	162	
B _{Ma}	30.57	1.41	-46.47	46.49	272	

Daten für Maximalfarbe (Ma):

$LAB^*LAB^*_{Ma}$: 24 30 -52

$LAB^*LCH^*_{Ma}$: 24 60 300

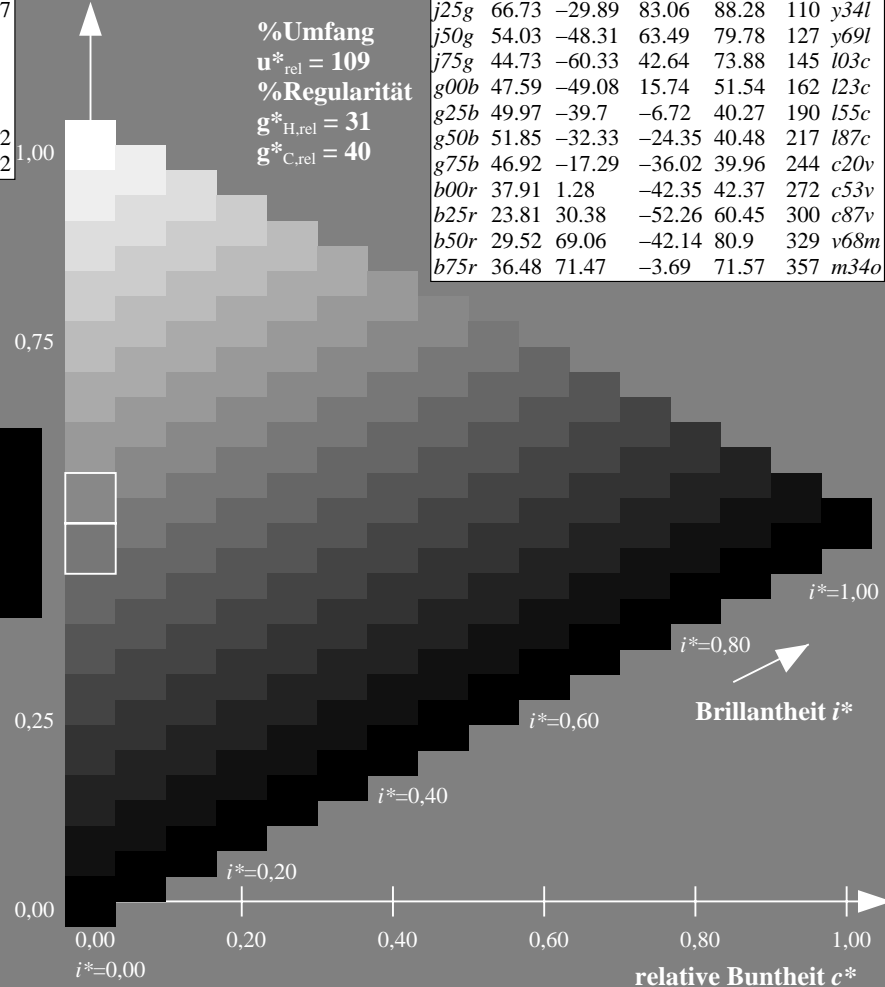
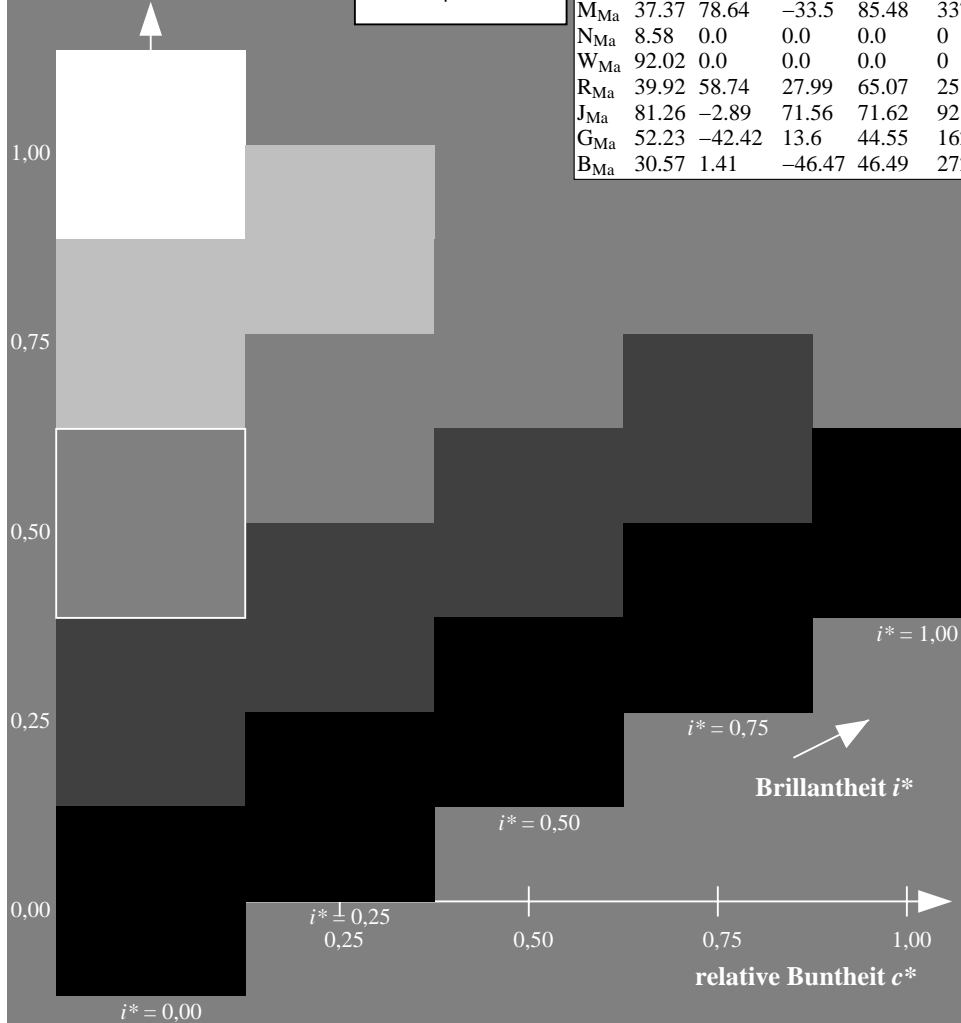
$lab^*rgb^*_{Ma}$: 0.5 0.0 1.0

$lab^*olv^*_{Ma}$: 0.0 0.12 1.0

Dreiecks-Helligkeit t^*

FRS09_92a; adaptierte CIELAB-Daten

u^*_e	$L^*=L^*_a$	a^*_a	b^*_a	$C^*_{ab,a}$	$h^*_{ab,a}$	u^*_d
r00j	35.47	63.32	30.17	70.15	25	m81o
r25j	39.12	54.56	49.45	73.64	42	o10y
r50j	50.64	39.15	64.89	75.79	59	o40y
r75j	64.01	21.26	82.83	85.52	76	o69y
j00g	83.18	-4.38	108.53	108.62	92	o98y
j25g	66.73	-29.89	83.06	88.28	110	y34l
j50g	54.03	-48.31	63.49	79.78	127	y69l
j75g	44.73	-60.33	42.64	73.88	145	l03c
g00b	47.59	-49.08	15.74	51.54	162	l23c
g25b	49.97	-39.7	-6.72	40.27	190	l55c
g50b	51.85	-32.33	-24.35	40.48	217	l87c
g75b	46.92	-17.29	-36.02	39.96	244	c20v
b00r	37.91	1.28	-42.35	42.37	272	c53v
b25r	23.81	30.38	-52.26	60.45	300	c87v
b50r	29.52	69.06	-42.14	80.9	329	v68m
b75r	36.48	71.47	-3.69	71.57	357	m34o



Ein und Ausgabe: Farbmatisches Drucker-Reflektiv-System FRS09_92a für relativen CIELAB-Bunton $h^* = lab^*h^* = h_{ab}/360 = 0.913$

$u^*_e = b50r$

Daten für jede Farbe:

lab^*tch^* und lab^*icu^*

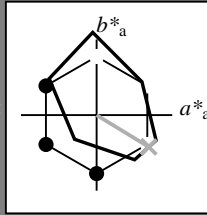
Buntontexte:

$u^*_e = b50r$ $u^*_d = v68m$

Kontrastreduzierungsfaktor:

$c_R = 1.0$

Dreiecks-Helligkeit t^*



FRS09_92a; adaptierte CIELAB-Daten						
u^*_e	$L^*=L^*_a$	a^*_a	b^*_a	$C^*_{ab,a}$	$h^*_{ab,a}$	
O_{Ma}	35.06	60.0	44.0	74.4	36	
Y_{Ma}	83.77	-5.17	109.32	109.44	93	
L_{Ma}	44.13	-62.67	48.24	79.09	142	
C_{Ma}	52.66	-29.14	-31.99	43.27	228	
V_{Ma}	14.15	50.3	-59.04	77.57	310	
M_{Ma}	37.37	78.64	-33.5	85.48	337	
N_{Ma}	8.58	0.0	0.0	0.0	0	
W_{Ma}	92.02	0.0	0.0	0.0	0	
R_{Ma}	39.92	58.74	27.99	65.07	25	
J_{Ma}	81.26	-2.89	71.56	71.62	92	
G_{Ma}	52.23	-42.42	13.6	44.55	162	
B_{Ma}	30.57	1.41	-46.47	46.49	272	

Daten für Maximalfarbe (Ma):

$LAB^*LAB^*_{Ma}$: 30 69 -42

$LAB^*LCH^*_{Ma}$: 30 81 328

$lab^*rgb^*_{Ma}$: 1.0 0.0 1.0

$lab^*olv^*_{Ma}$: 0.69 0.0 1.0

Dreiecks-Helligkeit t^*

%Umfang

$u^*_{rel} = 109$

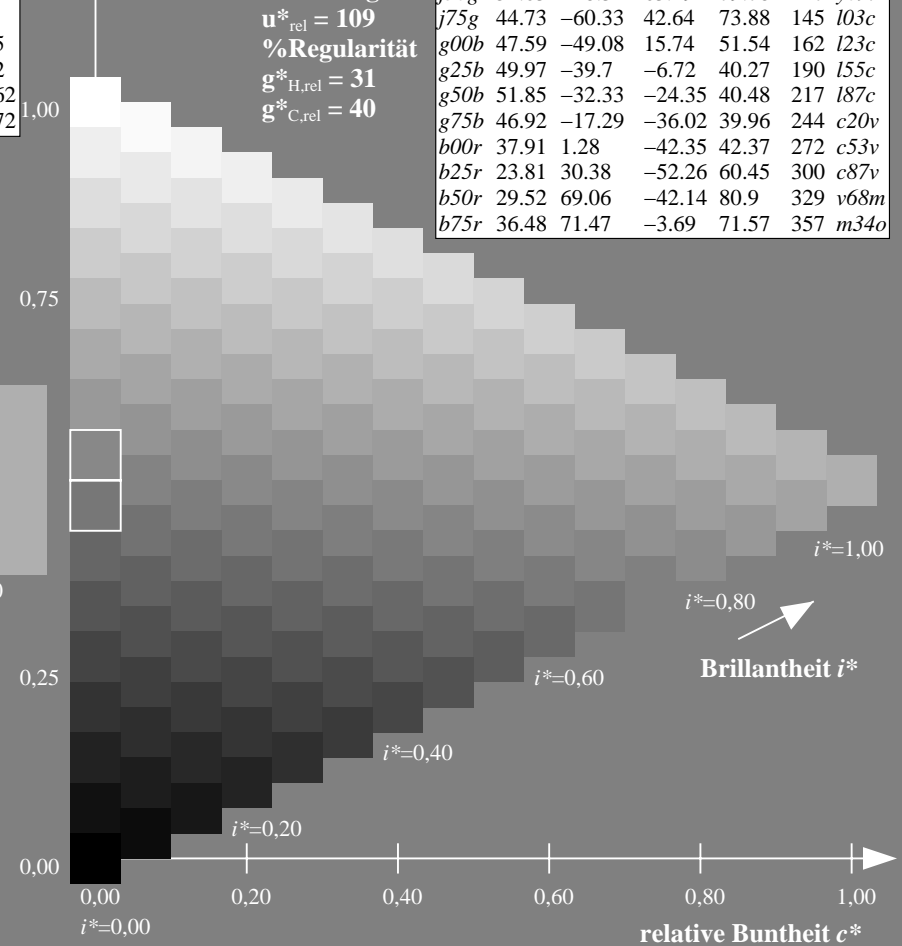
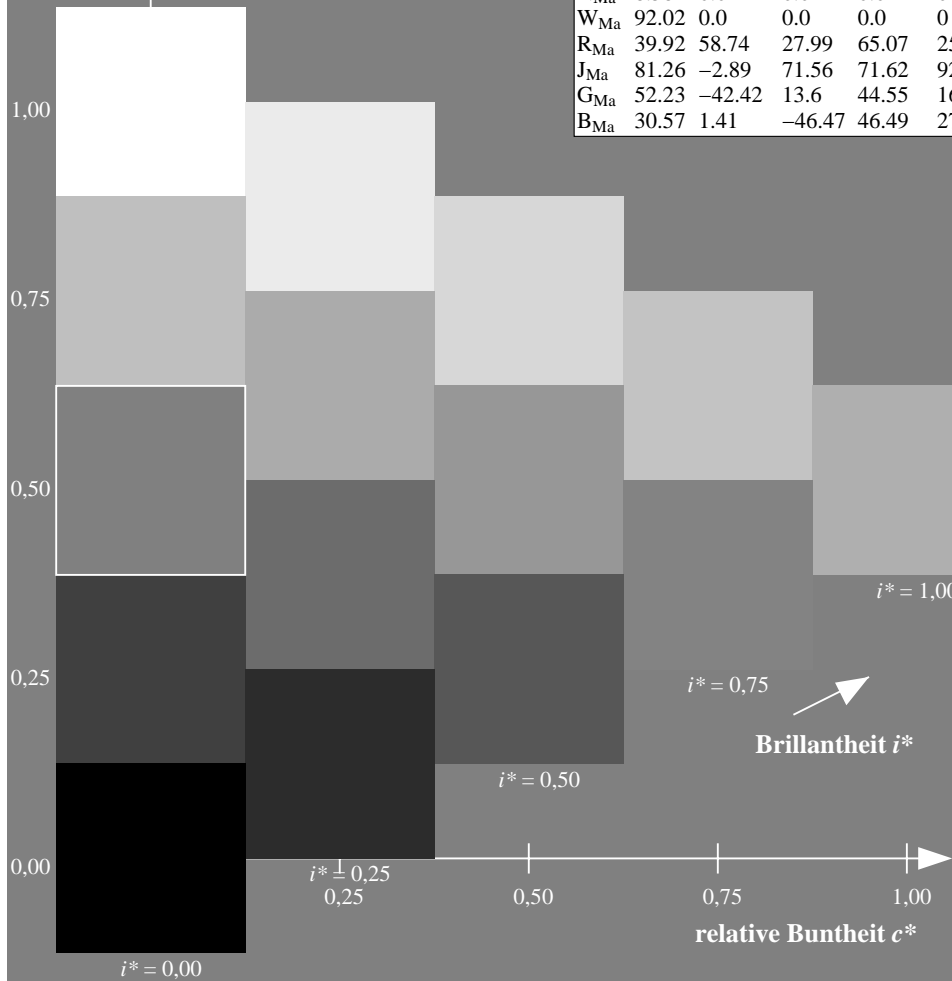
%Regularität

$g^*_{H,rel} = 31$

$g^*_{C,rel} = 40$

FRS09_92a; adaptierte CIELAB-Daten

u^*_e	$L^*=L^*_a$	a^*_a	b^*_a	$C^*_{ab,a}$	$h^*_{ab,a}$	u^*_d
$r00j$	35.47	63.32	30.17	70.15	25	$m81o$
$r25j$	39.12	54.56	49.45	73.64	42	$o10y$
$r50j$	50.64	39.15	64.89	75.79	59	$o40y$
$r75j$	64.01	21.26	82.83	85.52	76	$o69y$
$j00g$	83.18	-4.38	108.53	108.62	92	$o98y$
$j25g$	66.73	-29.89	83.06	88.28	110	$y34l$
$j50g$	54.03	-48.31	63.49	79.78	127	$y69l$
$j75g$	44.73	-60.33	42.64	73.88	145	$l03c$
$g00b$	47.59	-49.08	15.74	51.54	162	$l23c$
$g25b$	49.97	-39.7	-6.72	40.27	190	$l55c$
$g50b$	51.85	-32.33	-24.35	40.48	217	$l87c$
$g75b$	46.92	-17.29	-36.02	39.96	244	$c20v$
$b00r$	37.91	1.28	-42.35	42.37	272	$c53v$
$b25r$	23.81	30.38	-52.26	60.45	300	$c87v$
$b50r$	29.52	69.06	-42.14	80.9	329	$v68m$
$b75r$	36.48	71.47	-3.69	71.57	357	$m34o$



Ein und Ausgabe: Farbmetrisches Drucker-Reflektiv-System FRS09_92a für relativen CIELAB-Bunton $h^* = lab^*h^* = h_{ab}/360 = 0.992$

$u^*_e = b75r$

Daten für jede Farbe:

lab^*tch^* und lab^*icu^*

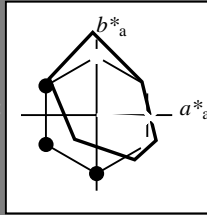
Buntontexte:

$u^*_e = b75r$ $u^*_d = m34o$

Kontrastreduzierungsfaktor:

$c_R = 1.0$

Dreiecks-Helligkeit t^*



FRS09_92a; adaptierte CIELAB-Daten						
u^*_e	$L^*=L^*_a$	a^*_a	b^*_a	$C^*_{ab,a}$	$h^*_{ab,a}$	
O _{Ma}	35.06	60.0	44.0	74.4	36	
Y _{Ma}	83.77	-5.17	109.32	109.44	93	
L _{Ma}	44.13	-62.67	48.24	79.09	142	
C _{Ma}	52.66	-29.14	-31.99	43.27	228	
V _{Ma}	14.15	50.3	-59.04	77.57	310	
M _{Ma}	37.37	78.64	-33.5	85.48	337	
N _{Ma}	8.58	0.0	0.0	0.0	0	
W _{Ma}	92.02	0.0	0.0	0.0	0	
R _{Ma}	39.92	58.74	27.99	65.07	25	
J _{Ma}	81.26	-2.89	71.56	71.62	92	
G _{Ma}	52.23	-42.42	13.6	44.55	162	
B _{Ma}	30.57	1.41	-46.47	46.49	272	

Daten für Maximalfarbe (Ma):

$LAB^*LAB^*_{Ma}$: 36 71 -4

$LAB^*LCH^*_{Ma}$: 36 72 357

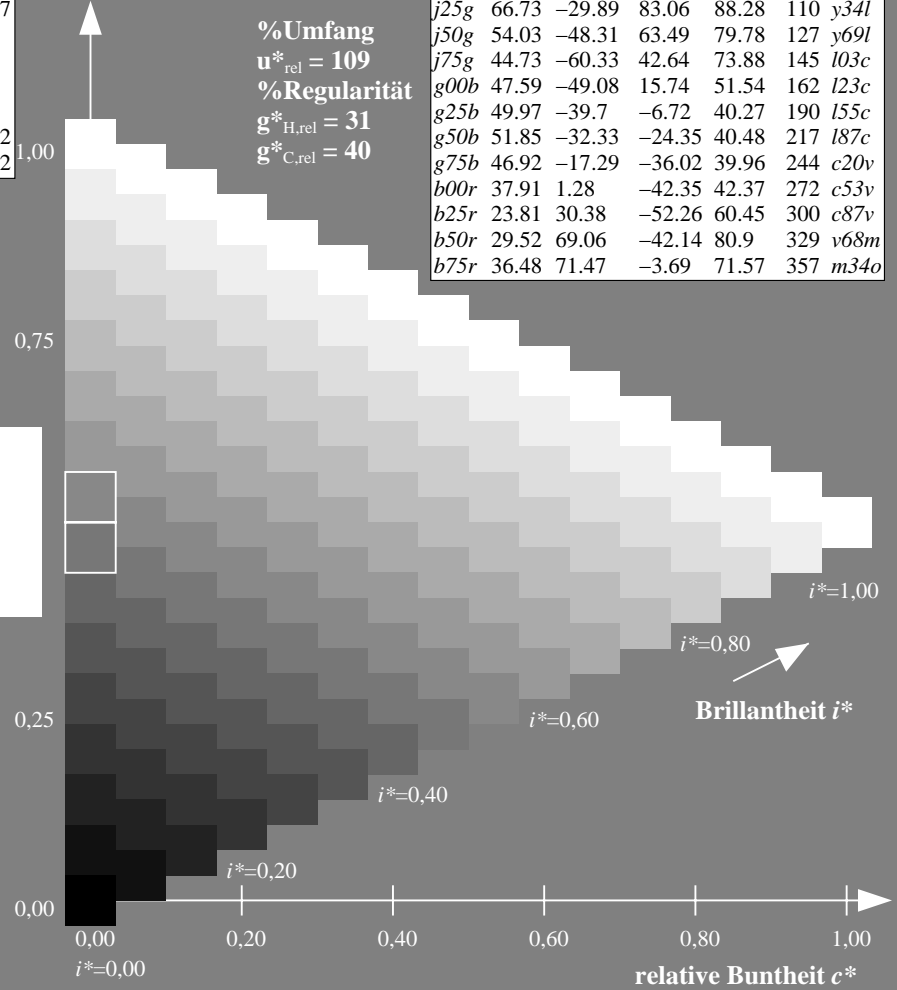
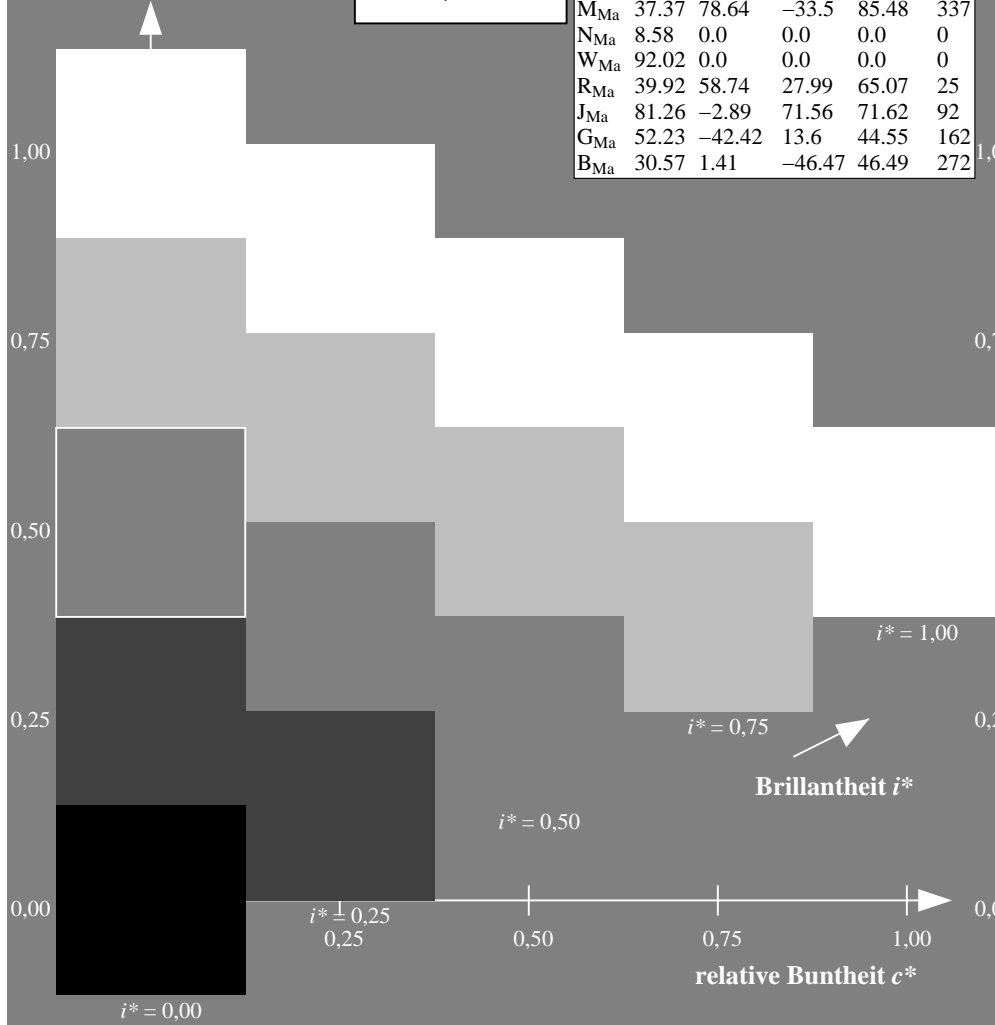
$lab^*rgb^*_{Ma}$: 1.0 0.0 0.5

$lab^*olv^*_{Ma}$: 1.0 0.0 0.66

Dreiecks-Helligkeit t^*

FRS09_92a; adaptierte CIELAB-Daten

u^*_e	$L^*=L^*_a$	a^*_a	b^*_a	$C^*_{ab,a}$	$h^*_{ab,a}$	u^*_d
r00j	35.47	63.32	30.17	70.15	25	m81o
r25j	39.12	54.56	49.45	73.64	42	o10y
r50j	50.64	39.15	64.89	75.79	59	o40y
r75j	64.01	21.26	82.83	85.52	76	o69y
j00g	83.18	-4.38	108.53	108.62	92	o98y
j25g	66.73	-29.89	83.06	88.28	110	y34l
j50g	54.03	-48.31	63.49	79.78	127	y69l
j75g	44.73	-60.33	42.64	73.88	145	l03c
g00b	47.59	-49.08	15.74	51.54	162	l23c
g25b	49.97	-39.7	-6.72	40.27	190	l55c
g50b	51.85	-32.33	-24.35	40.48	217	l87c
g75b	46.92	-17.29	-36.02	39.96	244	c20v
b00r	37.91	1.28	-42.35	42.37	272	c53v
b25r	23.81	30.38	-52.26	60.45	300	c87v
b50r	29.52	69.06	-42.14	80.9	329	v68m
b75r	36.48	71.47	-3.69	71.57	357	m34o



%Umfang
 $u^*_{rel} = 109$
 %Regularität
 $g^*_{H,rel} = 31$
 $g^*_{C,rel} = 40$

	A	B	C	D	E	F	G	H	I	J	K	L	M	N	O	P	Q	R	S	T	U	V	W	X	Y	Z	a	b	c	d	e	f	g	h	i	j	k								
01	[Solid Black]									[Solid Black]									[Solid Black]									[White]									[Solid Black]								
02	[Solid Black]									[Solid Black]									[Solid Black]									[Light Gray]									[Dark Gray]								
03	[Solid Black]									[Solid Black]									[Solid Black]									[Medium Gray]									[Medium-Dark Gray]								
04	[Solid Black]									[Solid Black]									[Solid Black]									[Dark Gray]									[Medium-Dark Gray]								
05	[Solid Black]									[Solid Black]									[Solid Black]									[Medium-Dark Gray]									[Dark Gray]								
06	[Solid Black]									[Solid Black]									[Solid Black]									[Dark Gray]									[Medium-Dark Gray]								
07	[Solid Black]									[Solid Black]									[Solid Black]									[Medium-Dark Gray]									[Dark Gray]								
08	[Solid Black]									[Solid Black]									[Solid Black]									[Dark Gray]									[Medium-Dark Gray]								
09	[Solid Black]									[Solid Black]									[Solid Black]									[Medium-Dark Gray]									[Dark Gray]								
10	[Dark Gray]									[Dark Gray]									[Dark Gray]									[White]									[Solid Black]								
11	[Dark Gray]									[Dark Gray]									[Dark Gray]									[Light Gray]									[Dark Gray]								
12	[Dark Gray]									[Dark Gray]									[Dark Gray]									[Medium Gray]									[Dark Gray]								
13	[Dark Gray]									[Dark Gray]									[Dark Gray]									[Dark Gray]									[Dark Gray]								
14	[Dark Gray]									[Dark Gray]									[Dark Gray]									[Medium-Dark Gray]									[Dark Gray]								
15	[Dark Gray]									[Dark Gray]									[Dark Gray]									[Dark Gray]									[Dark Gray]								
16	[Dark Gray]									[Dark Gray]									[Dark Gray]									[Dark Gray]									[Dark Gray]								
17	[Dark Gray]									[Dark Gray]									[Dark Gray]									[Dark Gray]									[Dark Gray]								
18	[Dark Gray]									[Dark Gray]									[Dark Gray]									[Dark Gray]									[Dark Gray]								
19	[Dark Gray]									[Dark Gray]									[Dark Gray]									[Vertical Gradient]									[Dark Gray]								
20	[Dark Gray]									[Dark Gray]									[Dark Gray]									[Vertical Gradient]									[Dark Gray]								
21	[Dark Gray]									[Dark Gray]									[Dark Gray]									[Vertical Gradient]									[Dark Gray]								
22	[Dark Gray]									[Dark Gray]									[Dark Gray]									[Vertical Gradient]									[Dark Gray]								
23	[Dark Gray]									[Dark Gray]									[Dark Gray]									[Vertical Gradient]									[Dark Gray]								
24	[Dark Gray]									[Dark Gray]									[Dark Gray]									[Vertical Gradient]									[Dark Gray]								
25	[Dark Gray]									[Dark Gray]									[Dark Gray]									[Vertical Gradient]									[Dark Gray]								
26	[Dark Gray]									[Dark Gray]									[Dark Gray]									[Vertical Gradient]									[Dark Gray]								
27	[Dark Gray]									[Dark Gray]									[Dark Gray]									[Vertical Gradient]									[Dark Gray]								

Ein und Ausgabe:
 Farbmimetrisches Drucker-Reflektiv-System FRS09_92a

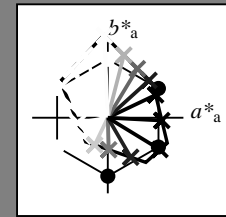
Daten für jede Farbe:
 u^*_e und Nummer *Nr.* = 00 .. 15

Elementar-Bunttextext:
 $u^*_e = 16$ Bunttoene *r00j, r25j, ..., b75r*

Kontrastreduzierungsfaktor:
 $c_R = 1.0$

FRS09_92a; adaptierte CIELAB-Daten

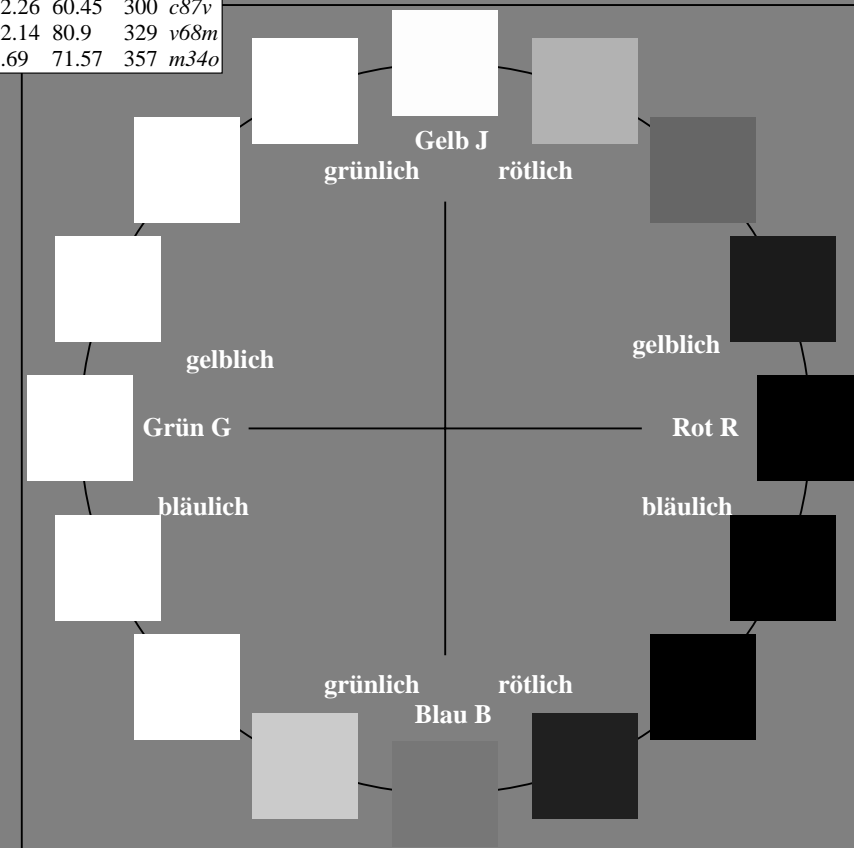
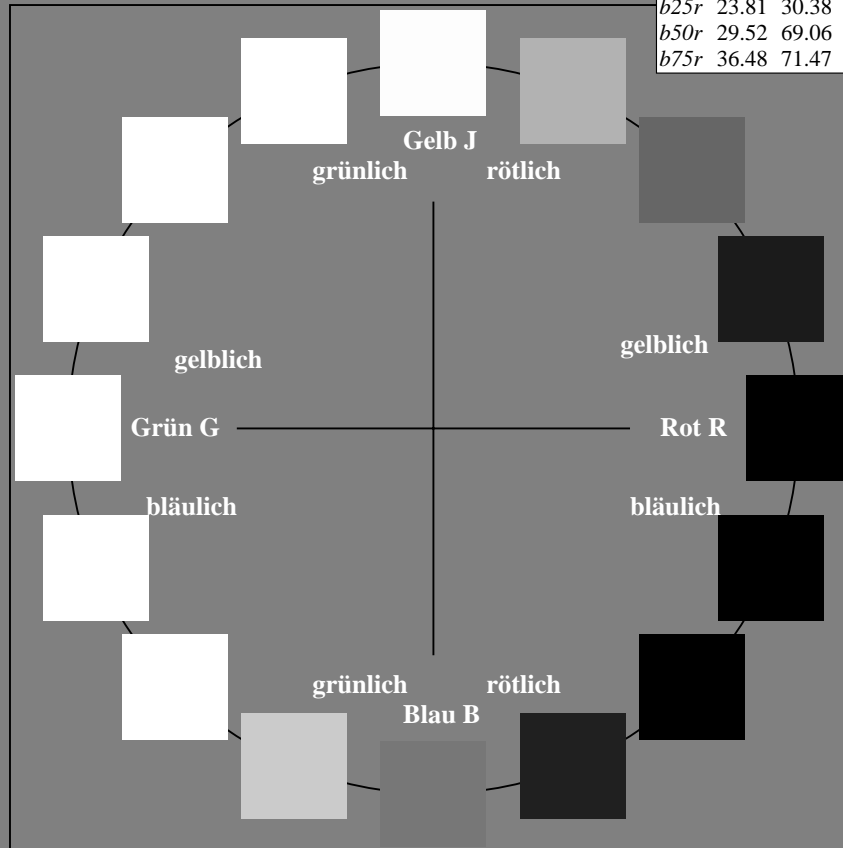
u^*_e	$L^*=L^*_a$	a^*_a	b^*_a	$C^*_{ab,a}$	$h^*_{ab,a}$	u^*_d
r00j	35.47	63.32	30.17	70.15	25	m81o
r25j	39.12	54.56	49.45	73.64	42	o10y
r50j	50.64	39.15	64.89	75.79	59	o40y
r75j	64.01	21.26	82.83	85.52	76	o69y
j00g	83.18	-4.38	108.53	108.62	92	o98y
j25g	66.73	-29.89	83.06	88.28	110	y34l
j50g	54.03	-48.31	63.49	79.78	127	y69l
j75g	44.73	-60.33	42.64	73.88	145	l03c
g00b	47.59	-49.08	15.74	51.54	162	l23c
g25b	49.97	-39.7	-6.72	40.27	190	l55c
g50b	51.85	-32.33	-24.35	40.48	217	l87c
g75b	46.92	-17.29	-36.02	39.96	244	c20v
b00r	37.91	1.28	-42.35	42.37	272	c53v
b25r	23.81	30.38	-52.26	60.45	300	c87v
b50r	29.52	69.06	-42.14	80.9	329	v68m
b75r	36.48	71.47	-3.69	71.57	357	m34o



%Umfang
 $u^*_{rel} = 109$
 %Regularität
 $g^*_{H,rel} = 31$
 $g^*_{C,rel} = 40$

FRS09_92a; adaptierte CIELAB-Daten

Name	$L^*=L^*_a$	a^*_a	b^*_a	$C^*_{ab,a}$	$h^*_{ab,a}$
O _{Ma}	35.06	60.0	44.0	74.4	36
Y _{Ma}	83.77	-5.17	109.32	109.44	93
L _{Ma}	44.13	-62.67	48.24	79.09	142
C _{Ma}	52.66	-29.14	-31.99	43.27	228
V _{Ma}	14.15	50.3	-59.04	77.57	310
M _{Ma}	37.37	78.64	-33.5	85.48	337
N _{Ma}	8.58	0.0	0.0	0.0	0
W _{Ma}	92.02	0.0	0.0	0.0	0
R _{CIE}	39.92	58.74	27.99	65.07	25
J _{CIE}	81.26	-2.89	71.56	71.62	92
G _{CIE}	52.23	-42.42	13.6	44.55	162
B _{CIE}	30.57	1.41	-46.47	46.49	272



Daten für jede Farbe:

lab^*tch^* und lab^*icu^*

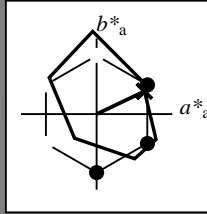
Buntontexte:

$u^*_e = r00j$ $u^*_d = m81o$

Kontrastreduzierungsfaktor:

$c_R = 1.0$

Dreiecks-Helligkeit t^*



FRS09_92a; adaptierte CIELAB-Daten						
u^*_e	$L^*=L^*_a$	a^*_a	b^*_a	$C^*_{ab,a}$	$h^*_{ab,a}$	
O _{Ma}	35.06	60.0	44.0	74.4	36	
Y _{Ma}	83.77	-5.17	109.32	109.44	93	
L _{Ma}	44.13	-62.67	48.24	79.09	142	
C _{Ma}	52.66	-29.14	-31.99	43.27	228	
V _{Ma}	14.15	50.3	-59.04	77.57	310	
M _{Ma}	37.37	78.64	-33.5	85.48	337	
N _{Ma}	8.58	0.0	0.0	0.0	0	
W _{Ma}	92.02	0.0	0.0	0.0	0	
R _{Ma}	39.92	58.74	27.99	65.07	25	
J _{Ma}	81.26	-2.89	71.56	71.62	92	
G _{Ma}	52.23	-42.42	13.6	44.55	162	
B _{Ma}	30.57	1.41	-46.47	46.49	272	

Daten für Maximalfarbe (Ma):

$LAB^*LAB^*_{Ma}$: 35 63 30

$LAB^*LCH^*_{Ma}$: 35 70 25

$lab^*rgb^*_{Ma}$: 1.0 0.0 0.0

$lab^*olv^*_{Ma}$: 1.0 0.0 0.18

Dreiecks-Helligkeit t^*

%Umfang

$u^*_{rel} = 109$

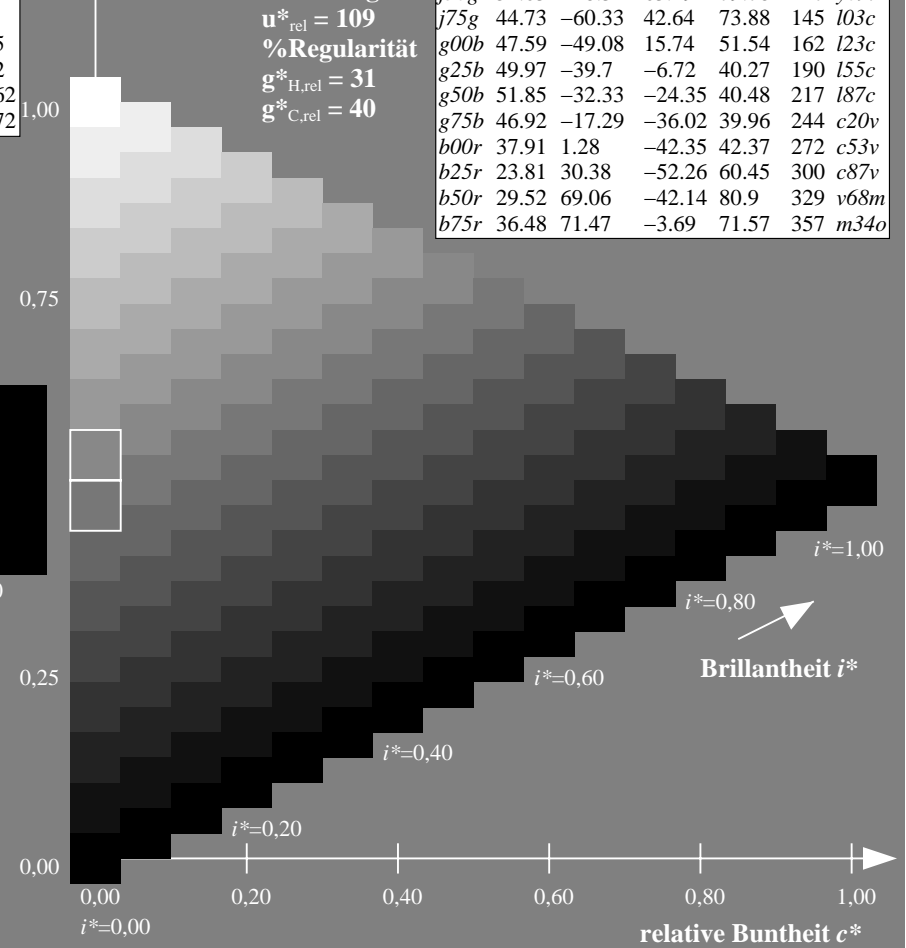
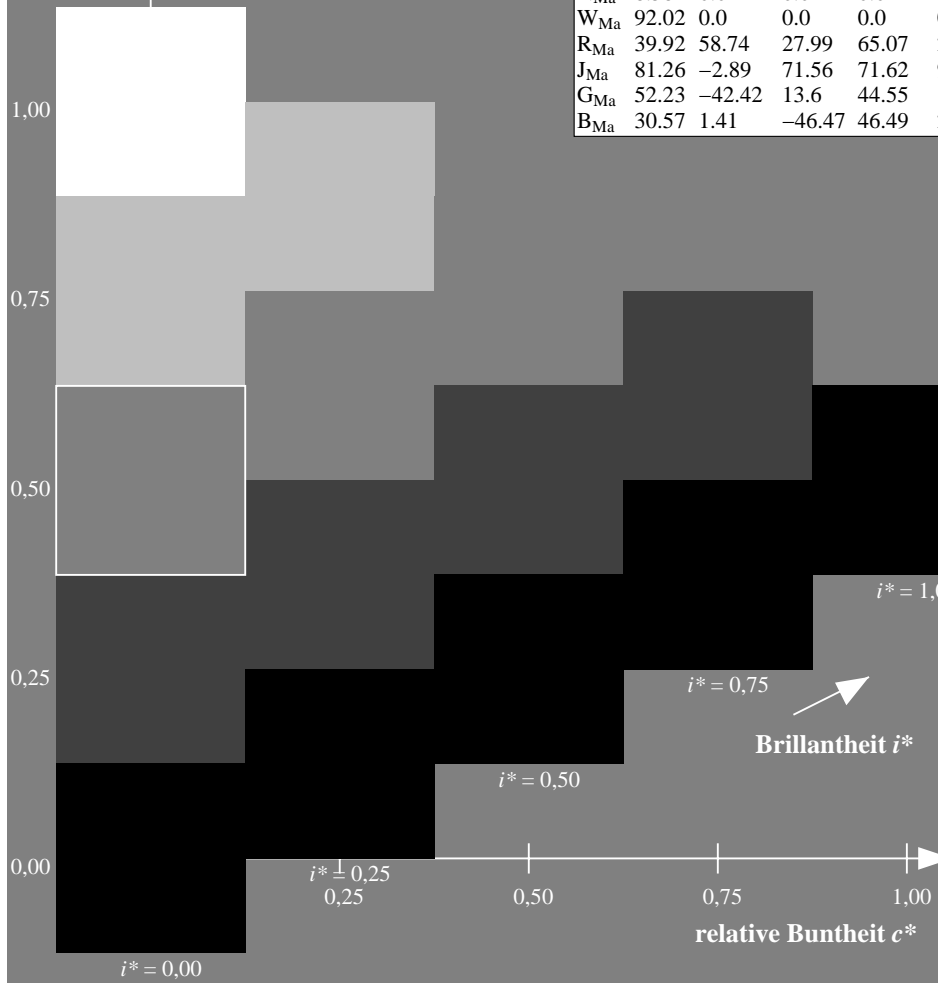
%Regularität

$g^*_{H,rel} = 31$

$g^*_{C,rel} = 40$

FRS09_92a; adaptierte CIELAB-Daten

u^*_e	$L^*=L^*_a$	a^*_a	b^*_a	$C^*_{ab,a}$	$h^*_{ab,a}$	u^*_d
r00j	35.47	63.32	30.17	70.15	25	m81o
r25j	39.12	54.56	49.45	73.64	42	o10y
r50j	50.64	39.15	64.89	75.79	59	o40y
r75j	64.01	21.26	82.83	85.52	76	o69y
j00g	83.18	-4.38	108.53	108.62	92	o98y
j25g	66.73	-29.89	83.06	88.28	110	y34l
j50g	54.03	-48.31	63.49	79.78	127	y69l
j75g	44.73	-60.33	42.64	73.88	145	l03c
g00b	47.59	-49.08	15.74	51.54	162	l23c
g25b	49.97	-39.7	-6.72	40.27	190	l55c
g50b	51.85	-32.33	-24.35	40.48	217	l87c
g75b	46.92	-17.29	-36.02	39.96	244	c20v
b00r	37.91	1.28	-42.35	42.37	272	c53v
b25r	23.81	30.38	-52.26	60.45	300	c87v
b50r	29.52	69.06	-42.14	80.9	329	v68m
b75r	36.48	71.47	-3.69	71.57	357	m34o



Daten für jede Farbe:

lab^*tch^* und lab^*icu^*

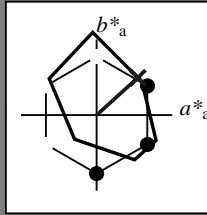
Buntontexte:

$u^*_e = r25j$ $u^*_d = o10y$

Kontrastreduzierungsfaktor:

$c_R = 1.0$

Dreiecks-Helligkeit t^*



FRS09_92a; adaptierte CIELAB-Daten

u^*_e	$L^*=L^*_a$	a^*_a	b^*_a	$C^*_{ab,a}$	$h^*_{ab,a}$
O _{Ma}	35.06	60.0	44.0	74.4	36
Y _{Ma}	83.77	-5.17	109.32	109.44	93
L _{Ma}	44.13	-62.67	48.24	79.09	142
C _{Ma}	52.66	-29.14	-31.99	43.27	228
V _{Ma}	14.15	50.3	-59.04	77.57	310
M _{Ma}	37.37	78.64	-33.5	85.48	337
N _{Ma}	8.58	0.0	0.0	0.0	0
W _{Ma}	92.02	0.0	0.0	0.0	0
R _{Ma}	39.92	58.74	27.99	65.07	25
J _{Ma}	81.26	-2.89	71.56	71.62	92
G _{Ma}	52.23	-42.42	13.6	44.55	162
B _{Ma}	30.57	1.41	-46.47	46.49	272

Daten für Maximalfarbe (Ma):

$LAB^*LAB^*_{Ma}$: 39 55 49

$LAB^*LCH^*_{Ma}$: 39 74 42

$lab^*rgb^*_{Ma}$: 1.0 0.25 0.0

$lab^*olv^*_{Ma}$: 1.0 0.11 0.0

Dreiecks-Helligkeit t^*

%Umfang

$u^*_{rel} = 109$

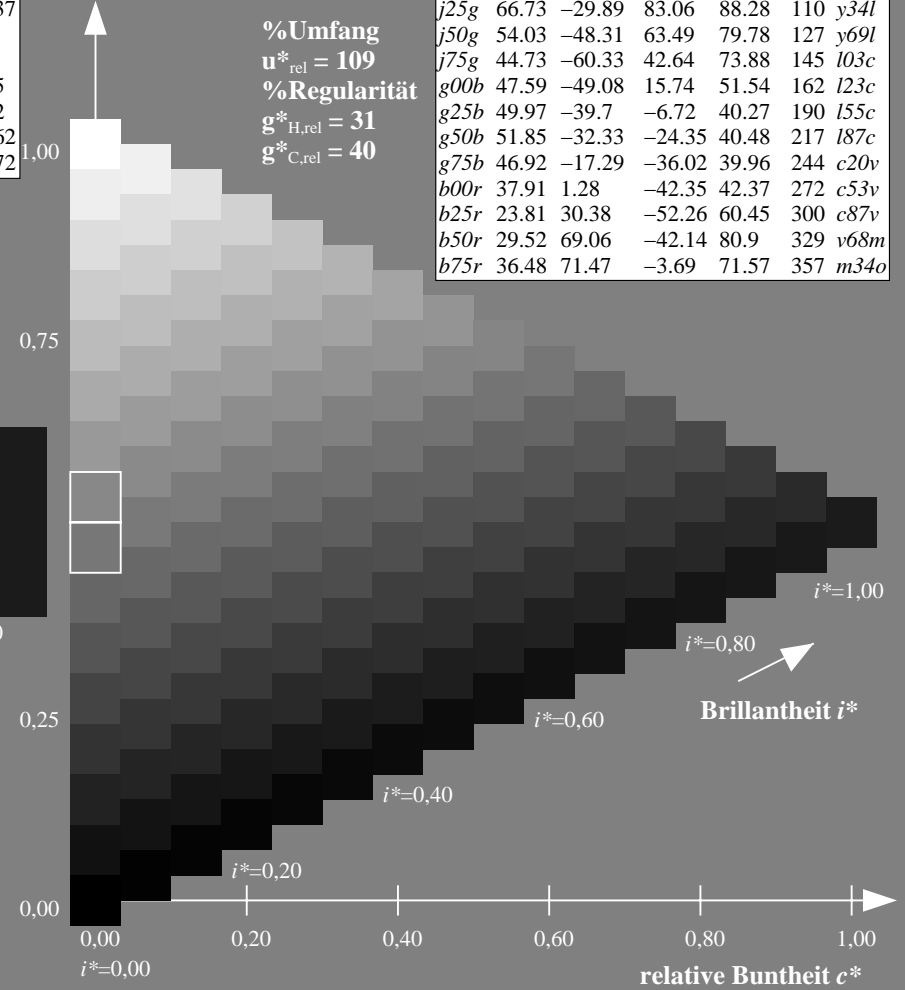
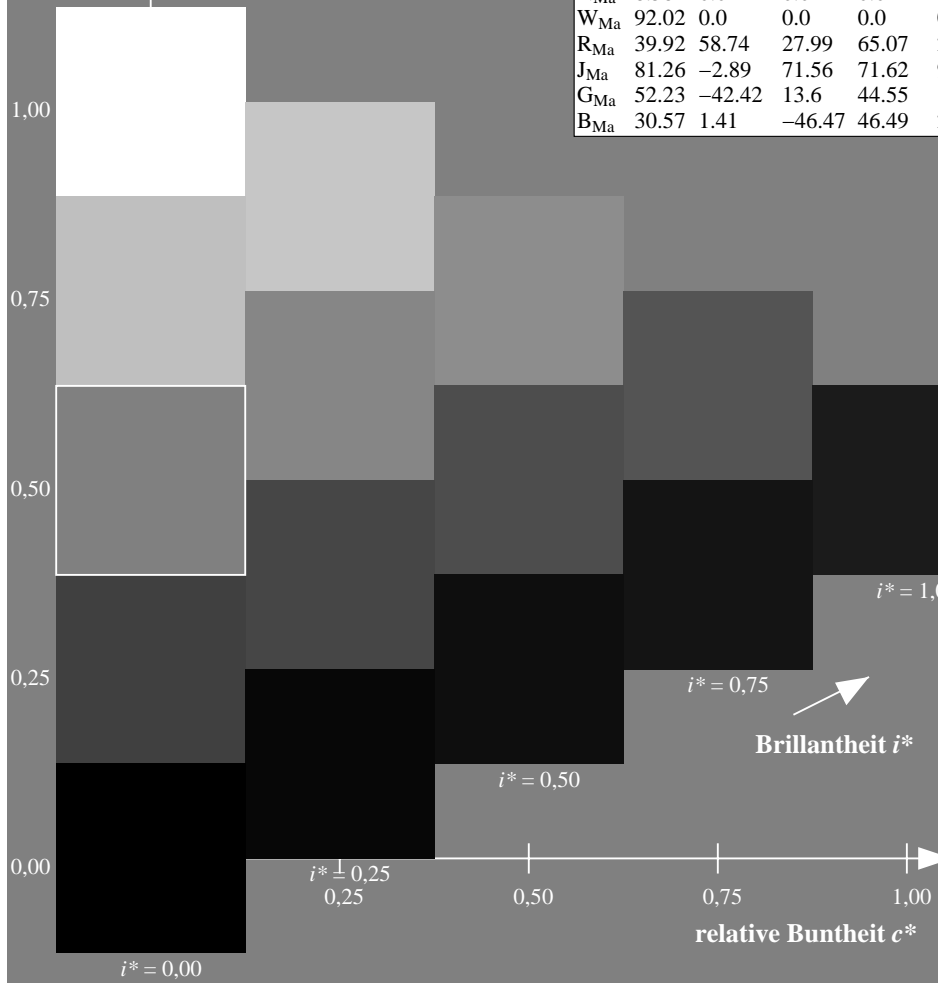
%Regularität

$g^*_{H,rel} = 31$

$g^*_{C,rel} = 40$

FRS09_92a; adaptierte CIELAB-Daten

u^*_e	$L^*=L^*_a$	a^*_a	b^*_a	$C^*_{ab,a}$	$h^*_{ab,a}$	u^*_d
r00j	35.47	63.32	30.17	70.15	25	m81o
r25j	39.12	54.56	49.45	73.64	42	o10y
r50j	50.64	39.15	64.89	75.79	59	o40y
r75j	64.01	21.26	82.83	85.52	76	o69y
j00g	83.18	-4.38	108.53	108.62	92	o98y
j25g	66.73	-29.89	83.06	88.28	110	y34l
j50g	54.03	-48.31	63.49	79.78	127	y69l
j75g	44.73	-60.33	42.64	73.88	145	l03c
g00b	47.59	-49.08	15.74	51.54	162	l23c
g25b	49.97	-39.7	-6.72	40.27	190	l55c
g50b	51.85	-32.33	-24.35	40.48	217	l87c
g75b	46.92	-17.29	-36.02	39.96	244	c20v
b00r	37.91	1.28	-42.35	42.37	272	c53v
b25r	23.81	30.38	-52.26	60.45	300	c87v
b50r	29.52	69.06	-42.14	80.9	329	v68m
b75r	36.48	71.47	-3.69	71.57	357	m34o



Ein und Ausgabe: Farbmatisches Drucker-Reflektiv-System FRS09_92a für relativen CIELAB-Bunton $h^* = lab^*h^* = h_{ab}/360 = 0.164$

$u^*_e = r50j$

Daten für jede Farbe:

lab^*tch^* und lab^*icu^*

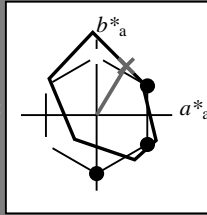
Buntontexte:

$u^*_e = r50j$ $u^*_d = o40y$

Kontrastreduzierungsfaktor:

$c_R = 1.0$

Dreiecks-Helligkeit t^*



FRS09_92a; adaptierte CIELAB-Daten						
u^*_e	$L^*=L^*_a$	a^*_a	b^*_a	$C^*_{ab,a}$	$h^*_{ab,a}$	
O _{Ma}	35.06	60.0	44.0	74.4	36	
Y _{Ma}	83.77	-5.17	109.32	109.44	93	
L _{Ma}	44.13	-62.67	48.24	79.09	142	
C _{Ma}	52.66	-29.14	-31.99	43.27	228	
V _{Ma}	14.15	50.3	-59.04	77.57	310	
M _{Ma}	37.37	78.64	-33.5	85.48	337	
N _{Ma}	8.58	0.0	0.0	0.0	0	
W _{Ma}	92.02	0.0	0.0	0.0	0	
R _{Ma}	39.92	58.74	27.99	65.07	25	
J _{Ma}	81.26	-2.89	71.56	71.62	92	
G _{Ma}	52.23	-42.42	13.6	44.55	162	
B _{Ma}	30.57	1.41	-46.47	46.49	272	

Daten für Maximalfarbe (Ma):

$LAB^*LAB^*_{Ma}$: 51 39 65

$LAB^*LCH^*_{Ma}$: 51 76 58

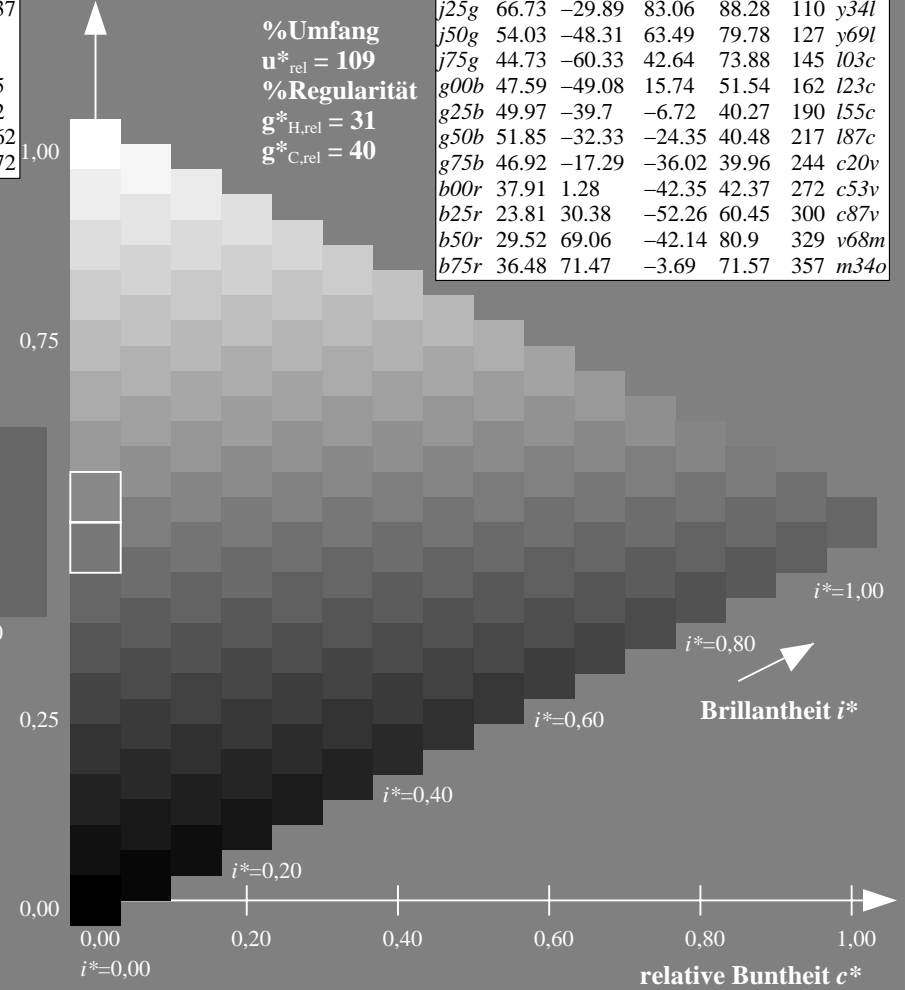
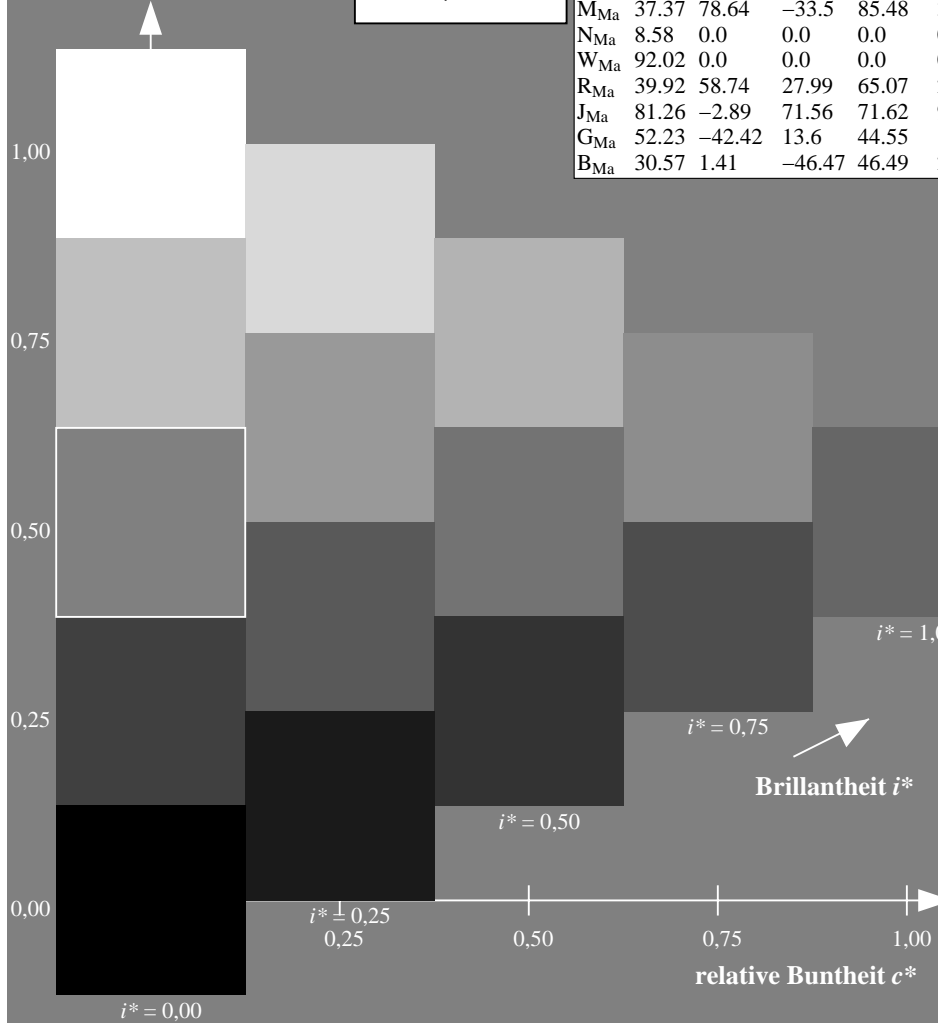
$lab^*rgb^*_{Ma}$: 1.0 0.5 0.0

$lab^*olv^*_{Ma}$: 1.0 0.4 0.0

Dreiecks-Helligkeit t^*

FRS09_92a; adaptierte CIELAB-Daten

u^*_e	$L^*=L^*_a$	a^*_a	b^*_a	$C^*_{ab,a}$	$h^*_{ab,a}$	u^*_d
r00j	35.47	63.32	30.17	70.15	25	m81o
r25j	39.12	54.56	49.45	73.64	42	o10y
r50j	50.64	39.15	64.89	75.79	59	o40y
r75j	64.01	21.26	82.83	85.52	76	o69y
j00g	83.18	-4.38	108.53	108.62	92	o98y
j25g	66.73	-29.89	83.06	88.28	110	y34l
j50g	54.03	-48.31	63.49	79.78	127	y69l
j75g	44.73	-60.33	42.64	73.88	145	l03c
g00b	47.59	-49.08	15.74	51.54	162	l23c
g25b	49.97	-39.7	-6.72	40.27	190	l55c
g50b	51.85	-32.33	-24.35	40.48	217	l87c
g75b	46.92	-17.29	-36.02	39.96	244	c20v
b00r	37.91	1.28	-42.35	42.37	272	c53v
b25r	23.81	30.38	-52.26	60.45	300	c87v
b50r	29.52	69.06	-42.14	80.9	329	v68m
b75r	36.48	71.47	-3.69	71.57	357	m34o



Ein und Ausgabe: Farbmatisches Drucker-Reflektiv-System FRS09_92a für relativen CIELAB-Bunton $h^* = lab^*h^* = h_{ab}^*/360 = 0.21$

$u^*_e = r75j$

Daten für jede Farbe:

lab^*tch^* und lab^*icu^*

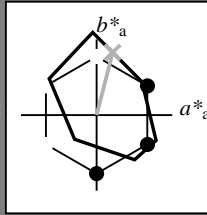
Buntontexte:

$u^*_e = r75j$ $u^*_d = o69y$

Kontrastreduzierungsfaktor:

$c_R = 1.0$

Dreiecks-Helligkeit t^*



FRS09_92a; adaptierte CIELAB-Daten						
u^*_e	$L^*=L^*_a$	a^*_a	b^*_a	$C^*_{ab,a}$	$h^*_{ab,a}$	
O _{Ma}	35.06	60.0	44.0	74.4	36	
Y _{Ma}	83.77	-5.17	109.32	109.44	93	
L _{Ma}	44.13	-62.67	48.24	79.09	142	
C _{Ma}	52.66	-29.14	-31.99	43.27	228	
V _{Ma}	14.15	50.3	-59.04	77.57	310	
M _{Ma}	37.37	78.64	-33.5	85.48	337	
N _{Ma}	8.58	0.0	0.0	0.0	0	
W _{Ma}	92.02	0.0	0.0	0.0	0	
R _{Ma}	39.92	58.74	27.99	65.07	25	
J _{Ma}	81.26	-2.89	71.56	71.62	92	
G _{Ma}	52.23	-42.42	13.6	44.55	162	
B _{Ma}	30.57	1.41	-46.47	46.49	272	

Daten für Maximalfarbe (Ma):

$LAB^*LAB^*_{Ma}$: 64 21 83

$LAB^*LCH^*_{Ma}$: 64 86 75

$lab^*rgb^*_{Ma}$: 1.0 0.75 0.0

$lab^*olv^*_{Ma}$: 1.0 0.7 0.0

Dreiecks-Helligkeit t^*

%Umfang

$u^*_{rel} = 109$

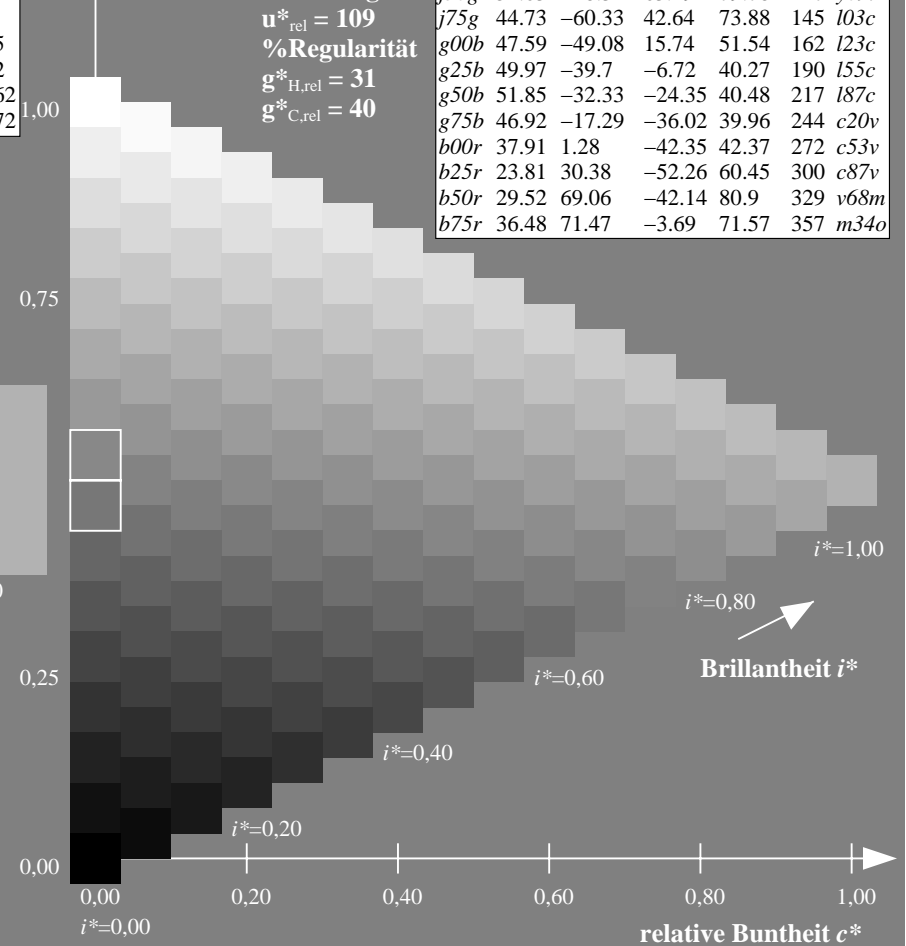
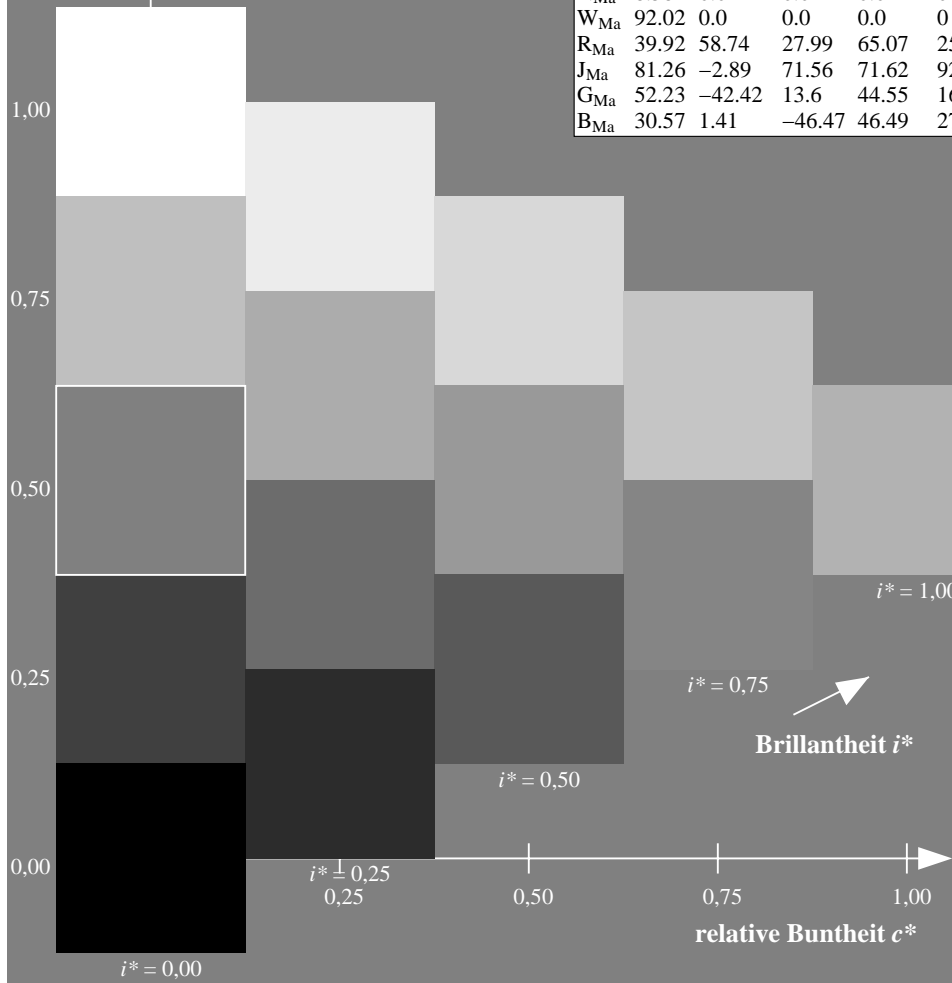
%Regularität

$g^*_{H,rel} = 31$

$g^*_{C,rel} = 40$

FRS09_92a; adaptierte CIELAB-Daten

u^*_e	$L^*=L^*_a$	a^*_a	b^*_a	$C^*_{ab,a}$	$h^*_{ab,a}$	u^*_d
r00j	35.47	63.32	30.17	70.15	25	m81o
r25j	39.12	54.56	49.45	73.64	42	o10y
r50j	50.64	39.15	64.89	75.79	59	o40y
r75j	64.01	21.26	82.83	85.52	76	o69y
j00g	83.18	-4.38	108.53	108.62	92	o98y
j25g	66.73	-29.89	83.06	88.28	110	y34l
j50g	54.03	-48.31	63.49	79.78	127	y69l
j75g	44.73	-60.33	42.64	73.88	145	l03c
g00b	47.59	-49.08	15.74	51.54	162	l23c
g25b	49.97	-39.7	-6.72	40.27	190	l55c
g50b	51.85	-32.33	-24.35	40.48	217	l87c
g75b	46.92	-17.29	-36.02	39.96	244	c20v
b00r	37.91	1.28	-42.35	42.37	272	c53v
b25r	23.81	30.38	-52.26	60.45	300	c87v
b50r	29.52	69.06	-42.14	80.9	329	v68m
b75r	36.48	71.47	-3.69	71.57	357	m34o



Ein und Ausgabe: Farbmatisches Drucker-Reflektiv-System FRS09_92a für relativen CIELAB-Bunton $h^* = lab^*h^* = h_{ab}/360 = 0.256$

$u^*_e = j00g$

Daten für jede Farbe:

lab^*tch^* und lab^*icu^*

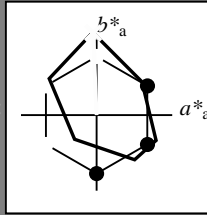
Buntontexte:

$u^*_e = j00g$ $u^*_d = o98y$

Kontrastreduzierungsfaktor:

$c_R = 1.0$

Dreiecks-Helligkeit t^*



FRS09_92a; adaptierte CIELAB-Daten						
u^*_e	$L^*=L^*_a$	a^*_a	b^*_a	$C^*_{ab,a}$	$h^*_{ab,a}$	
O _{Ma}	35.06	60.0	44.0	74.4	36	
Y _{Ma}	83.77	-5.17	109.32	109.44	93	
L _{Ma}	44.13	-62.67	48.24	79.09	142	
C _{Ma}	52.66	-29.14	-31.99	43.27	228	
V _{Ma}	14.15	50.3	-59.04	77.57	310	
M _{Ma}	37.37	78.64	-33.5	85.48	337	
N _{Ma}	8.58	0.0	0.0	0.0	0	
W _{Ma}	92.02	0.0	0.0	0.0	0	
R _{Ma}	39.92	58.74	27.99	65.07	25	
J _{Ma}	81.26	-2.89	71.56	71.62	92	
G _{Ma}	52.23	-42.42	13.6	44.55	162	
B _{Ma}	30.57	1.41	-46.47	46.49	272	

Daten für Maximalfarbe (Ma):

$LAB^*LAB^*_{Ma}$: 83 -4 109

$LAB^*LCH^*_{Ma}$: 83 109 92

$lab^*rgb^*_{Ma}$: 1.0 1.0 0.0

$lab^*olv^*_{Ma}$: 1.0 0.99 0.0

Dreiecks-Helligkeit t^*

%Umfang

$u^*_{rel} = 109$

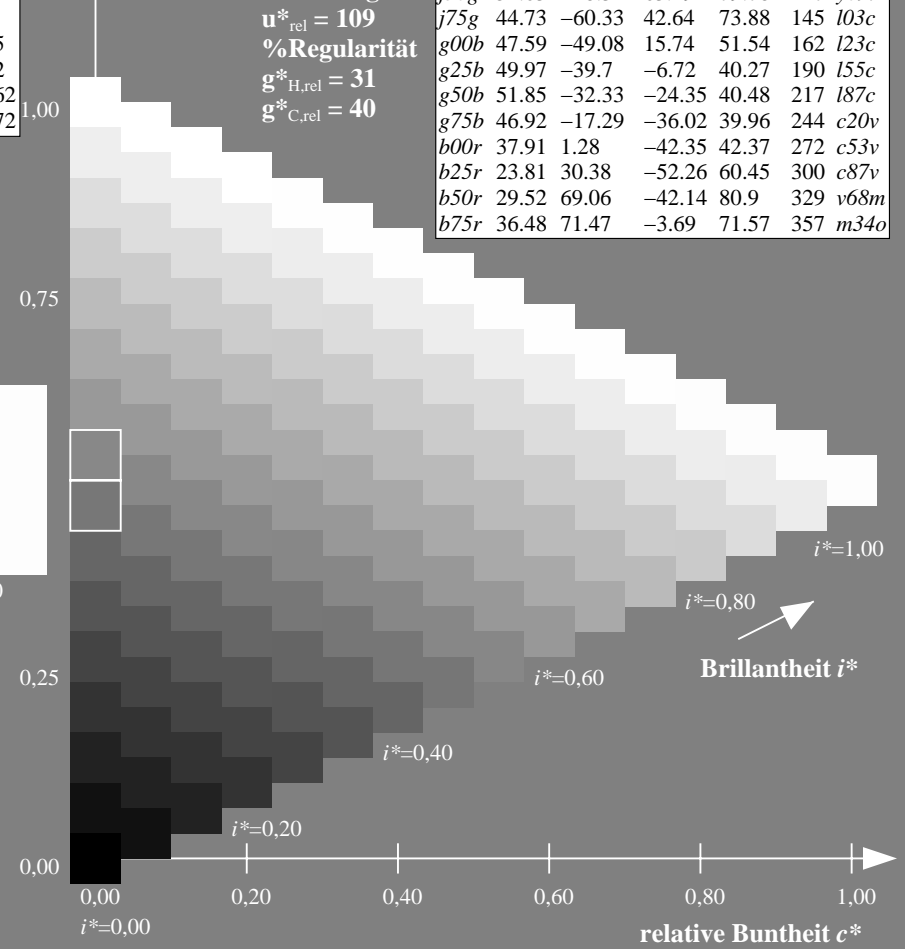
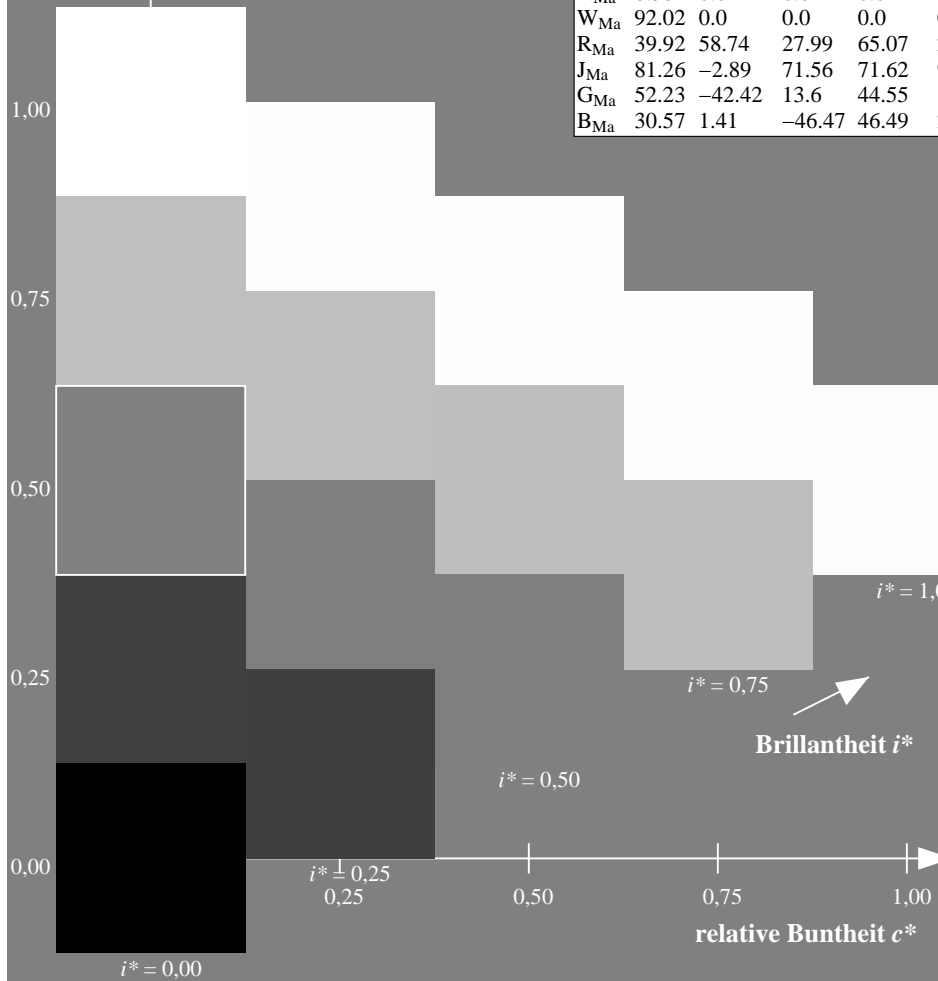
%Regularität

$g^*_{H,rel} = 31$

$g^*_{C,rel} = 40$

FRS09_92a; adaptierte CIELAB-Daten

u^*_e	$L^*=L^*_a$	a^*_a	b^*_a	$C^*_{ab,a}$	$h^*_{ab,a}$	u^*_d
r00j	35.47	63.32	30.17	70.15	25	m81o
r25j	39.12	54.56	49.45	73.64	42	o10y
r50j	50.64	39.15	64.89	75.79	59	o40y
r75j	64.01	21.26	82.83	85.52	76	o69y
j00g	83.18	-4.38	108.53	108.62	92	o98y
j25g	66.73	-29.89	83.06	88.28	110	y34l
j50g	54.03	-48.31	63.49	79.78	127	y69l
j75g	44.73	-60.33	42.64	73.88	145	l03c
g00b	47.59	-49.08	15.74	51.54	162	l23c
g25b	49.97	-39.7	-6.72	40.27	190	l55c
g50b	51.85	-32.33	-24.35	40.48	217	l87c
g75b	46.92	-17.29	-36.02	39.96	244	c20v
b00r	37.91	1.28	-42.35	42.37	272	c53v
b25r	23.81	30.38	-52.26	60.45	300	c87v
b50r	29.52	69.06	-42.14	80.9	329	v68m
b75r	36.48	71.47	-3.69	71.57	357	m34o



Ein und Ausgabe: Farbmatisches Drucker-Reflektiv-System FRS09_92a für relativen CIELAB-Bunton $h^* = lab^*h^* = h_{ab}/360 = 0.305$

$u^*_e = j25g$

Daten für jede Farbe:

lab^*tch^* und lab^*icu^*

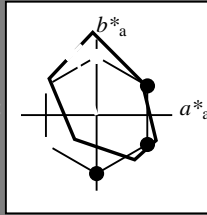
Buntontexte:

$u^*_e = j25g$ $u^*_d = y34l$

Kontrastreduzierungsfaktor:

$c_R = 1.0$

Dreiecks-Helligkeit t^*



FRS09_92a; adaptierte CIELAB-Daten						
u^*_e	$L^*=L^*_a$	a^*_a	b^*_a	$C^*_{ab,a}$	$h^*_{ab,a}$	
O _{Ma}	35.06	60.0	44.0	74.4	36	
Y _{Ma}	83.77	-5.17	109.32	109.44	93	
L _{Ma}	44.13	-62.67	48.24	79.09	142	
C _{Ma}	52.66	-29.14	-31.99	43.27	228	
V _{Ma}	14.15	50.3	-59.04	77.57	310	
M _{Ma}	37.37	78.64	-33.5	85.48	337	
N _{Ma}	8.58	0.0	0.0	0.0	0	
W _{Ma}	92.02	0.0	0.0	0.0	0	
R _{Ma}	39.92	58.74	27.99	65.07	25	
J _{Ma}	81.26	-2.89	71.56	71.62	92	
G _{Ma}	52.23	-42.42	13.6	44.55	162	
B _{Ma}	30.57	1.41	-46.47	46.49	272	

Daten für Maximalfarbe (Ma):

$LAB^*LAB^*_{Ma}: 67 -30 83$

$LAB^*LCH^*_{Ma}: 67 88 109$

$lab^*rgb^*_{Ma}: 0.75 1.0 0.0$

$lab^*olv^*_{Ma}: 0.66 1.0 0.0$

Dreiecks-Helligkeit t^*

%Umfang

$u^*_{rel} = 109$

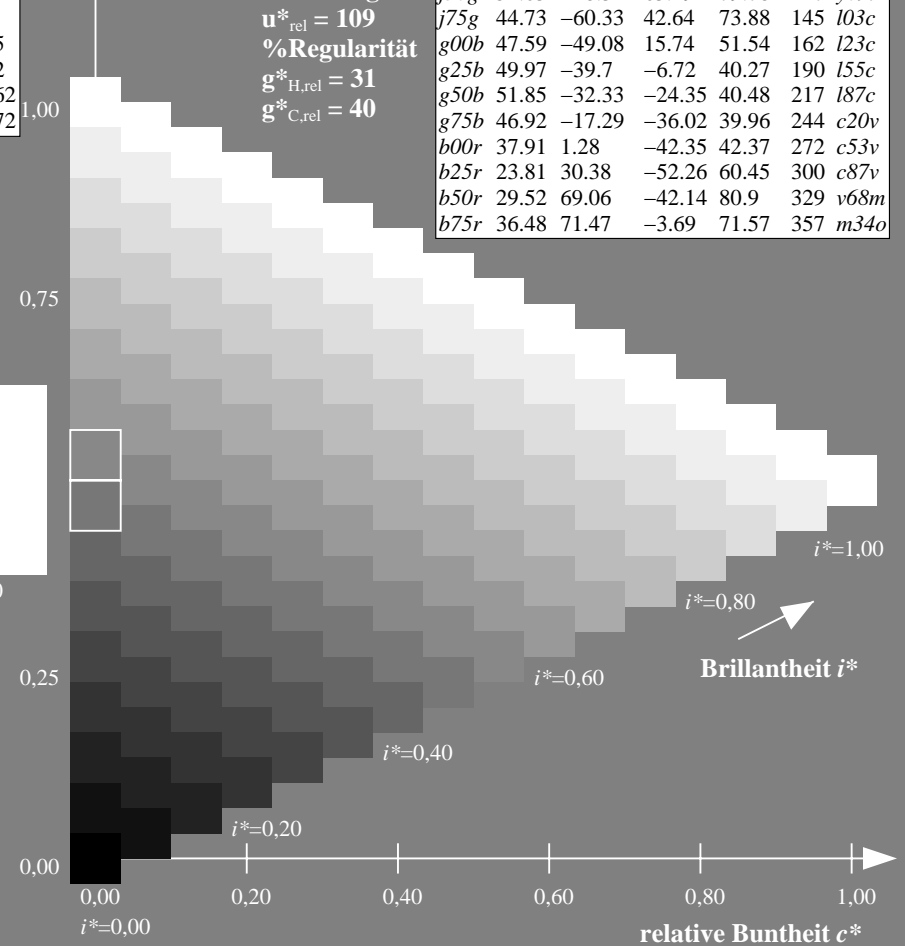
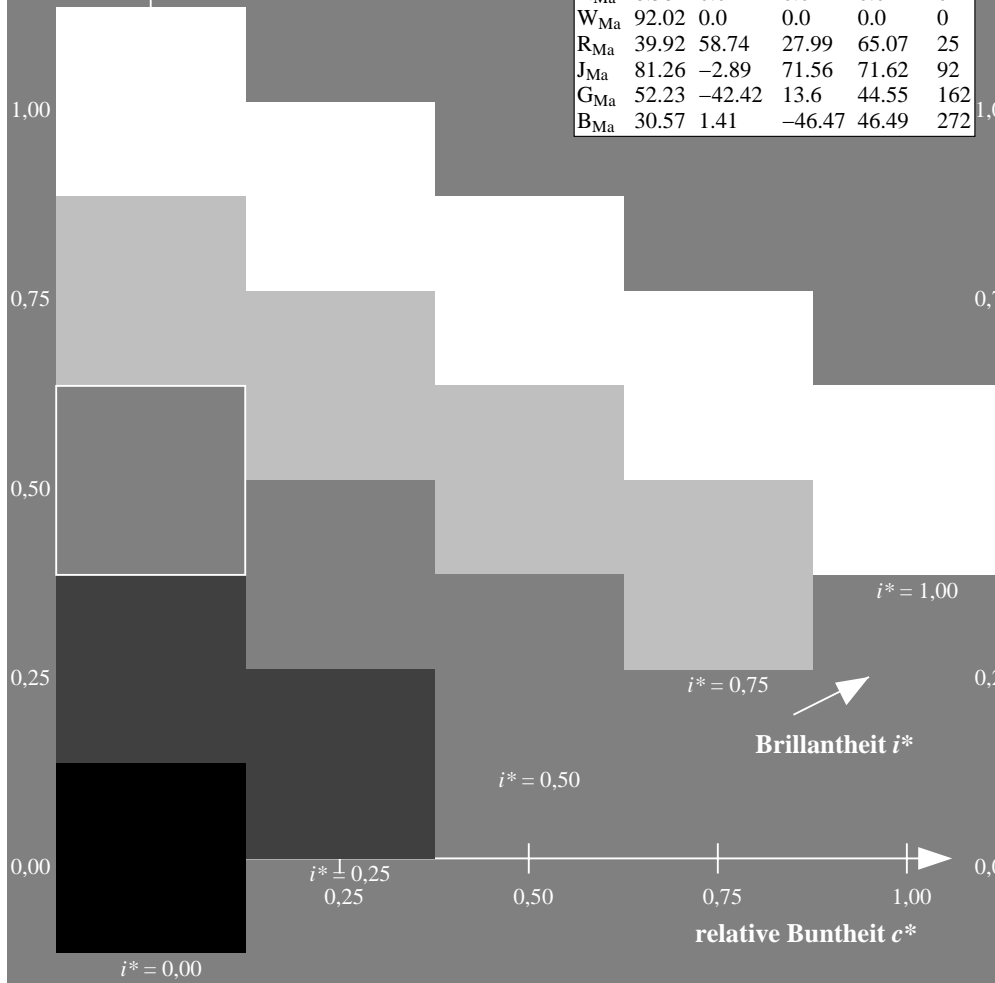
%Regularität

$g^*_{H,rel} = 31$

$g^*_{C,rel} = 40$

FRS09_92a; adaptierte CIELAB-Daten

u^*_e	$L^*=L^*_a$	a^*_a	b^*_a	$C^*_{ab,a}$	$h^*_{ab,a}$	u^*_d
r00j	35.47	63.32	30.17	70.15	25	m81o
r25j	39.12	54.56	49.45	73.64	42	o10y
r50j	50.64	39.15	64.89	75.79	59	o40y
r75j	64.01	21.26	82.83	85.52	76	o69y
j00g	83.18	-4.38	108.53	108.62	92	o98y
j25g	66.73	-29.89	83.06	88.28	110	y34l
j50g	54.03	-48.31	63.49	79.78	127	y69l
j75g	44.73	-60.33	42.64	73.88	145	l03c
g00b	47.59	-49.08	15.74	51.54	162	l23c
g25b	49.97	-39.7	-6.72	40.27	190	l55c
g50b	51.85	-32.33	-24.35	40.48	217	l87c
g75b	46.92	-17.29	-36.02	39.96	244	c20v
b00r	37.91	1.28	-42.35	42.37	272	c53v
b25r	23.81	30.38	-52.26	60.45	300	c87v
b50r	29.52	69.06	-42.14	80.9	329	v68m
b75r	36.48	71.47	-3.69	71.57	357	m34o



Ein und Ausgabe: Farbmatisches Drucker-Reflektiv-System FRS09_92a für relativen CIELAB-Bunton $h^* = lab^*h^* = h_{ab}/360 = 0.354$

$u^*_e = j50g$

Daten für jede Farbe:

lab^*tch^* und lab^*icu^*

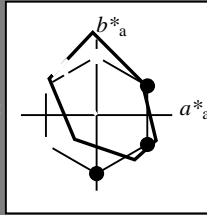
Buntontexte:

$u^*_e = j50g$ $u^*_d = y69l$

Kontrastreduzierungsfaktor:

$c_R = 1.0$

Dreiecks-Helligkeit t^*



FRS09_92a; adaptierte CIELAB-Daten						
u^*_e	$L^*=L^*_a$	a^*_a	b^*_a	$C^*_{ab,a}$	$h^*_{ab,a}$	
O _{Ma}	35.06	60.0	44.0	74.4	36	
Y _{Ma}	83.77	-5.17	109.32	109.44	93	
L _{Ma}	44.13	-62.67	48.24	79.09	142	
C _{Ma}	52.66	-29.14	-31.99	43.27	228	
V _{Ma}	14.15	50.3	-59.04	77.57	310	
M _{Ma}	37.37	78.64	-33.5	85.48	337	
N _{Ma}	8.58	0.0	0.0	0.0	0	
W _{Ma}	92.02	0.0	0.0	0.0	0	
R _{Ma}	39.92	58.74	27.99	65.07	25	
J _{Ma}	81.26	-2.89	71.56	71.62	92	
G _{Ma}	52.23	-42.42	13.6	44.55	162	
B _{Ma}	30.57	1.41	-46.47	46.49	272	

Daten für Maximalfarbe (Ma):

$LAB^*LAB^*_{Ma}$: 54 -48 63

$LAB^*LCH^*_{Ma}$: 54 80 127

$lab^*rgb^*_{Ma}$: 0.5 1.0 0.0

$lab^*olv^*_{Ma}$: 0.3 1.0 0.0

Dreiecks-Helligkeit t^*

%Umfang

$u^*_{rel} = 109$

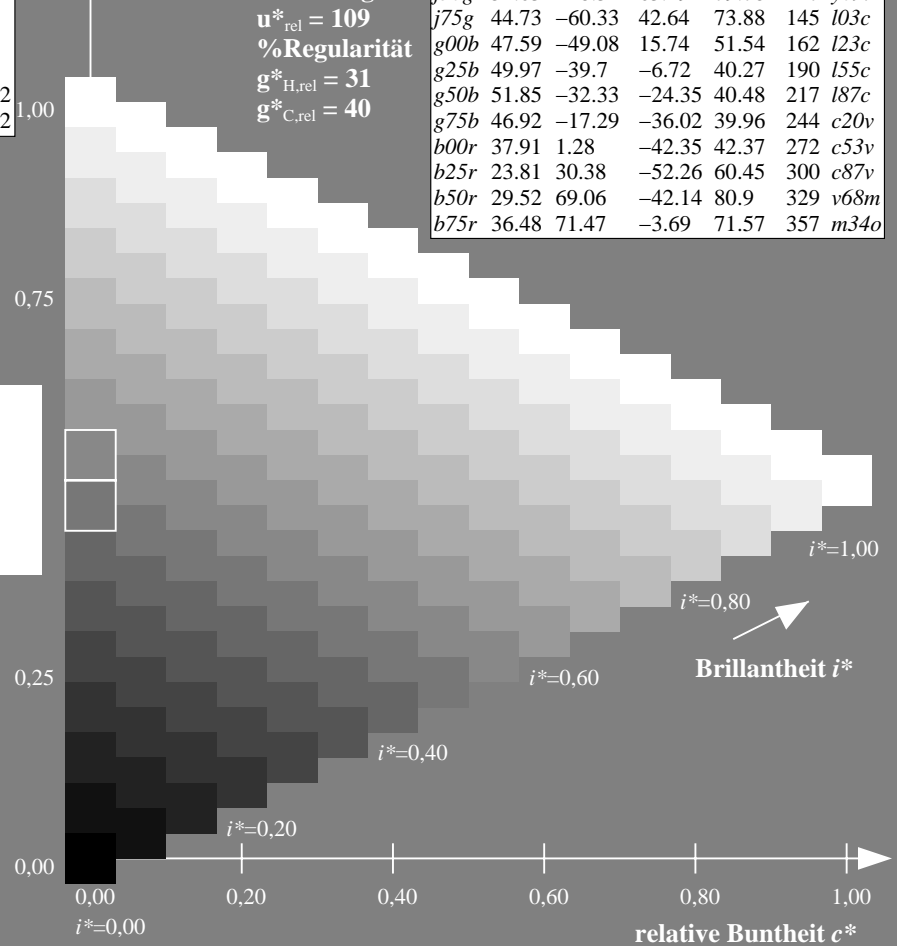
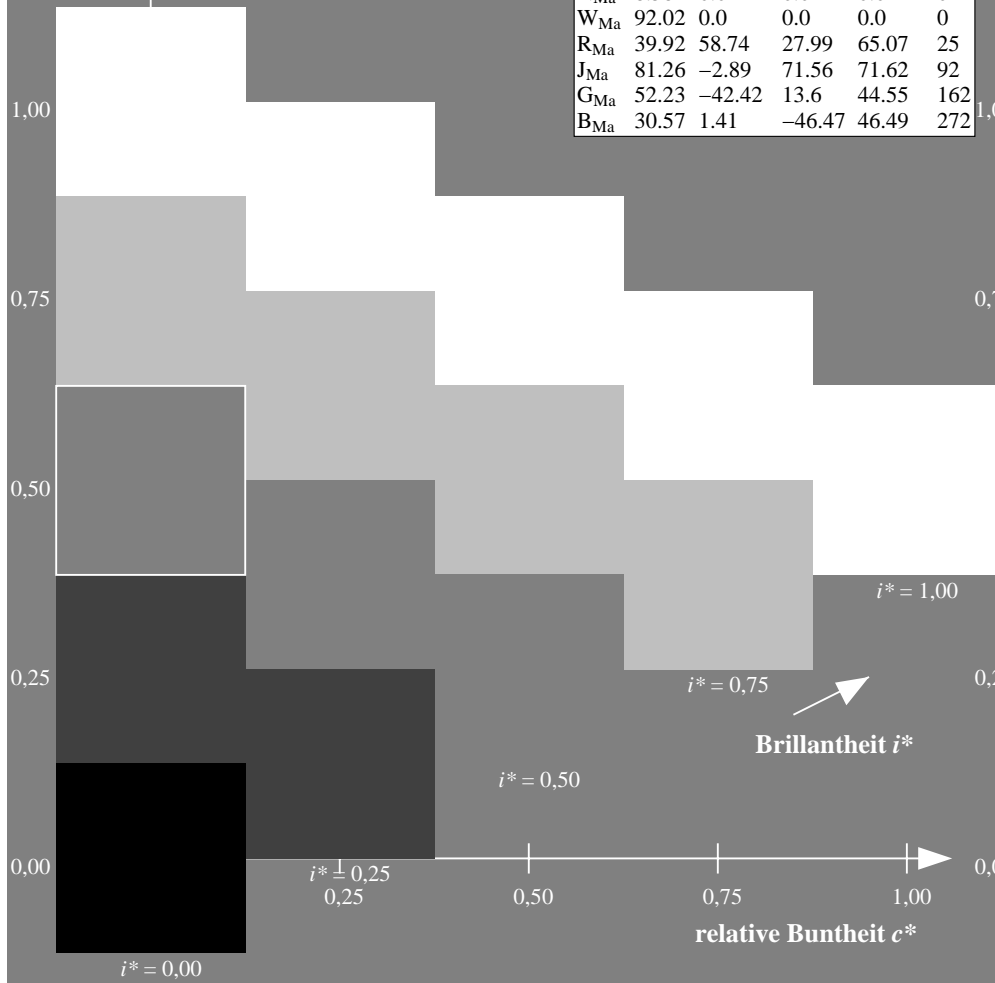
%Regularität

$g^*_{H,rel} = 31$

$g^*_{C,rel} = 40$

FRS09_92a; adaptierte CIELAB-Daten

u^*_e	$L^*=L^*_a$	a^*_a	b^*_a	$C^*_{ab,a}$	$h^*_{ab,a}$	u^*_d
r00j	35.47	63.32	30.17	70.15	25	m81o
r25j	39.12	54.56	49.45	73.64	42	o10y
r50j	50.64	39.15	64.89	75.79	59	o40y
r75j	64.01	21.26	82.83	85.52	76	o69y
j00g	83.18	-4.38	108.53	108.62	92	o98y
j25g	66.73	-29.89	83.06	88.28	110	y34l
j50g	54.03	-48.31	63.49	79.78	127	y69l
j75g	44.73	-60.33	42.64	73.88	145	l03c
g00b	47.59	-49.08	15.74	51.54	162	l23c
g25b	49.97	-39.7	-6.72	40.27	190	l55c
g50b	51.85	-32.33	-24.35	40.48	217	l87c
g75b	46.92	-17.29	-36.02	39.96	244	c20v
b00r	37.91	1.28	-42.35	42.37	272	c53v
b25r	23.81	30.38	-52.26	60.45	300	c87v
b50r	29.52	69.06	-42.14	80.9	329	v68m
b75r	36.48	71.47	-3.69	71.57	357	m34o



Ein und Ausgabe: Farbmatisches Drucker-Reflektiv-System FRS09_92a für relativen CIELAB-Bunton $h^* = lab^*h^* = h_{ab}/360 = 0.402$

$u^*_e = j75g$

Daten für jede Farbe:

lab^*tch^* und lab^*icu^*

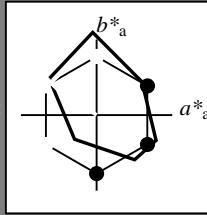
Buntontexte:

$u^*_e = j75g$ $u^*_d = l03c$

Kontrastreduzierungsfaktor:

$c_R = 1.0$

Dreiecks-Helligkeit t^*



FRS09_92a; adaptierte CIELAB-Daten						
u^*_e	$L^*=L^*_a$	a^*_a	b^*_a	$C^*_{ab,a}$	$h^*_{ab,a}$	
O _{Ma}	35.06	60.0	44.0	74.4	36	
Y _{Ma}	83.77	-5.17	109.32	109.44	93	
L _{Ma}	44.13	-62.67	48.24	79.09	142	
C _{Ma}	52.66	-29.14	-31.99	43.27	228	
V _{Ma}	14.15	50.3	-59.04	77.57	310	
M _{Ma}	37.37	78.64	-33.5	85.48	337	
N _{Ma}	8.58	0.0	0.0	0.0	0	
W _{Ma}	92.02	0.0	0.0	0.0	0	
R _{Ma}	39.92	58.74	27.99	65.07	25	
J _{Ma}	81.26	-2.89	71.56	71.62	92	
G _{Ma}	52.23	-42.42	13.6	44.55	162	
B _{Ma}	30.57	1.41	-46.47	46.49	272	

Daten für Maximalfarbe (Ma):

$LAB^*LAB^*_{Ma}: 45 -60 43$

$LAB^*LCH^*_{Ma}: 45 74 144$

$lab^*rgb^*_{Ma}: 0.25 1.0 0.0$

$lab^*olv^*_{Ma}: 0.0 1.0 0.03$

Dreiecks-Helligkeit t^*

%Umfang

$u^*_{rel} = 109$

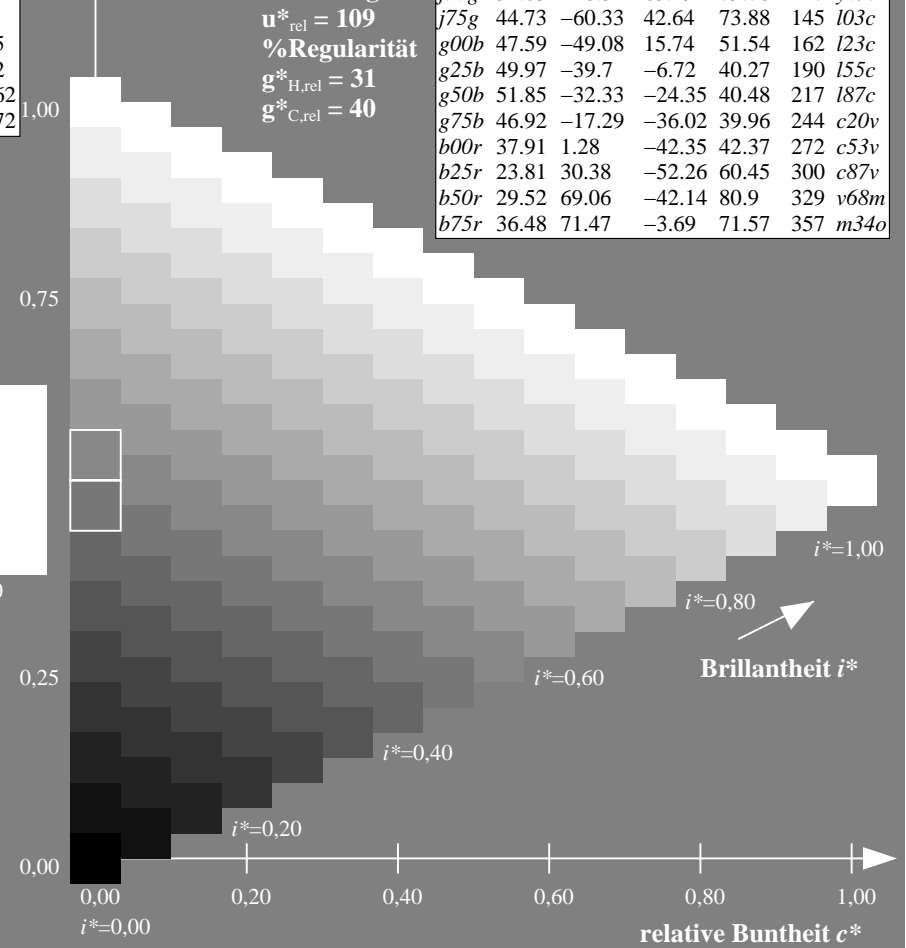
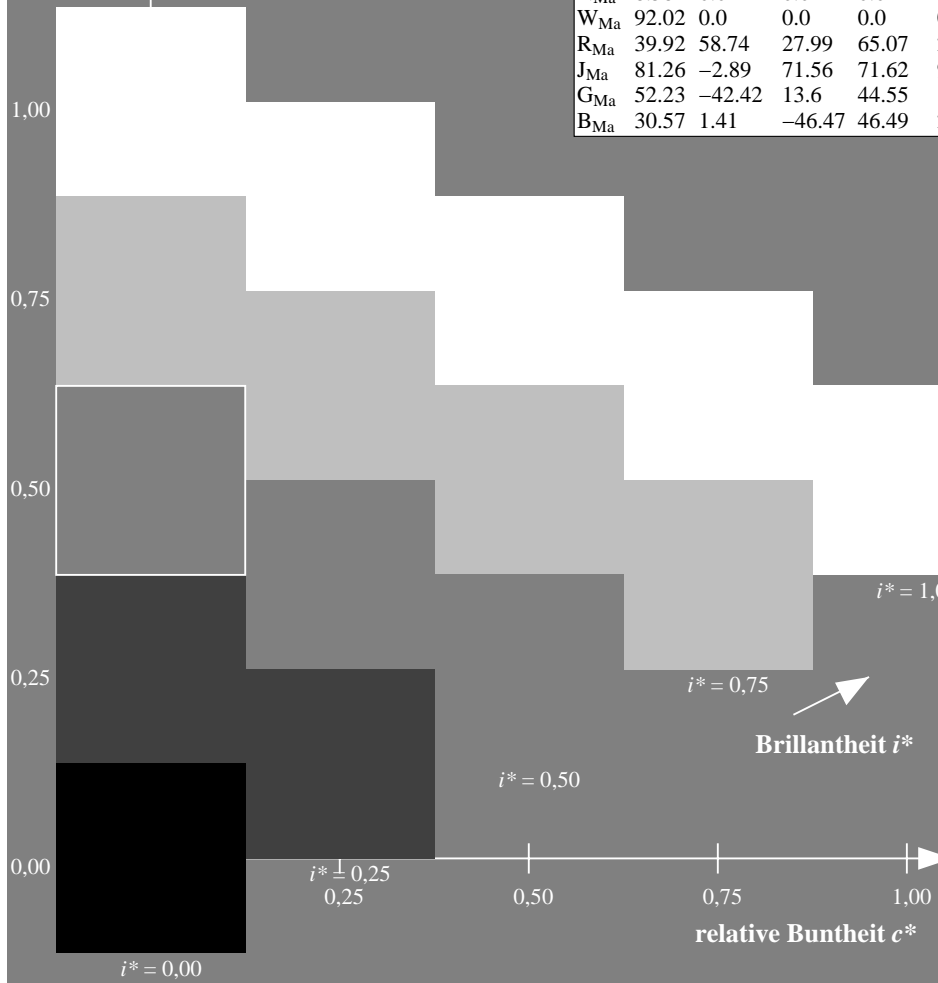
%Regularität

$g^*_{H,rel} = 31$

$g^*_{C,rel} = 40$

FRS09_92a; adaptierte CIELAB-Daten

u^*_e	$L^*=L^*_a$	a^*_a	b^*_a	$C^*_{ab,a}$	$h^*_{ab,a}$	u^*_d
r00j	35.47	63.32	30.17	70.15	25	m81o
r25j	39.12	54.56	49.45	73.64	42	o10y
r50j	50.64	39.15	64.89	75.79	59	o40y
r75j	64.01	21.26	82.83	85.52	76	o69y
j00g	83.18	-4.38	108.53	108.62	92	o98y
j25g	66.73	-29.89	83.06	88.28	110	y34l
j50g	54.03	-48.31	63.49	79.78	127	y69l
j75g	44.73	-60.33	42.64	73.88	145	l03c
g00b	47.59	-49.08	15.74	51.54	162	l23c
g25b	49.97	-39.7	-6.72	40.27	190	l55c
g50b	51.85	-32.33	-24.35	40.48	217	l87c
g75b	46.92	-17.29	-36.02	39.96	244	c20v
b00r	37.91	1.28	-42.35	42.37	272	c53v
b25r	23.81	30.38	-52.26	60.45	300	c87v
b50r	29.52	69.06	-42.14	80.9	329	v68m
b75r	36.48	71.47	-3.69	71.57	357	m34o



Ein und Ausgabe: Farbmatisches Drucker-Reflektiv-System FRS09_92a für relativen CIELAB-Bunton $h^* = lab^*h^* = h_{ab}/360 = 0.451$

$u^*_e = g00b$

Daten für jede Farbe:

lab^*tch^* und lab^*icu^*

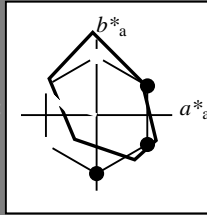
Buntontexte:

$u^*_e = g00b$ $u^*_d = l23c$

Kontrastreduzierungsfaktor:

$c_R = 1.0$

Dreiecks-Helligkeit t^*



FRS09_92a; adaptierte CIELAB-Daten						
u^*_e	$L^*=L^*_a$	a^*_a	b^*_a	$C^*_{ab,a}$	$h^*_{ab,a}$	
O _{Ma}	35.06	60.0	44.0	74.4	36	
Y _{Ma}	83.77	-5.17	109.32	109.44	93	
L _{Ma}	44.13	-62.67	48.24	79.09	142	
C _{Ma}	52.66	-29.14	-31.99	43.27	228	
V _{Ma}	14.15	50.3	-59.04	77.57	310	
M _{Ma}	37.37	78.64	-33.5	85.48	337	
N _{Ma}	8.58	0.0	0.0	0.0	0	
W _{Ma}	92.02	0.0	0.0	0.0	0	
R _{Ma}	39.92	58.74	27.99	65.07	25	
J _{Ma}	81.26	-2.89	71.56	71.62	92	
G _{Ma}	52.23	-42.42	13.6	44.55	162	
B _{Ma}	30.57	1.41	-46.47	46.49	272	

Daten für Maximalfarbe (Ma):

$LAB^*LAB^*_{Ma}$: 48 -49 16

$LAB^*LCH^*_{Ma}$: 48 52 162

$lab^*rgb^*_{Ma}$: 0.0 1.0 0.0

$lab^*olv^*_{Ma}$: 0.0 1.0 0.23

Dreiecks-Helligkeit t^*

%Umfang

$u^*_{rel} = 109$

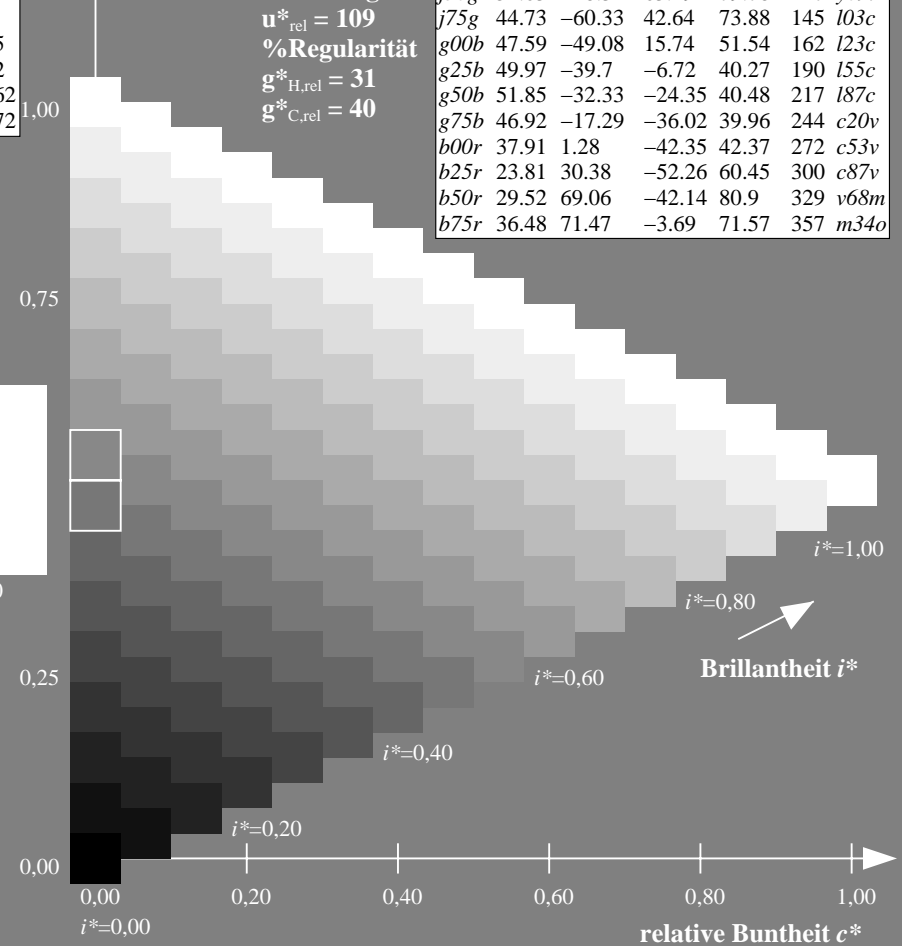
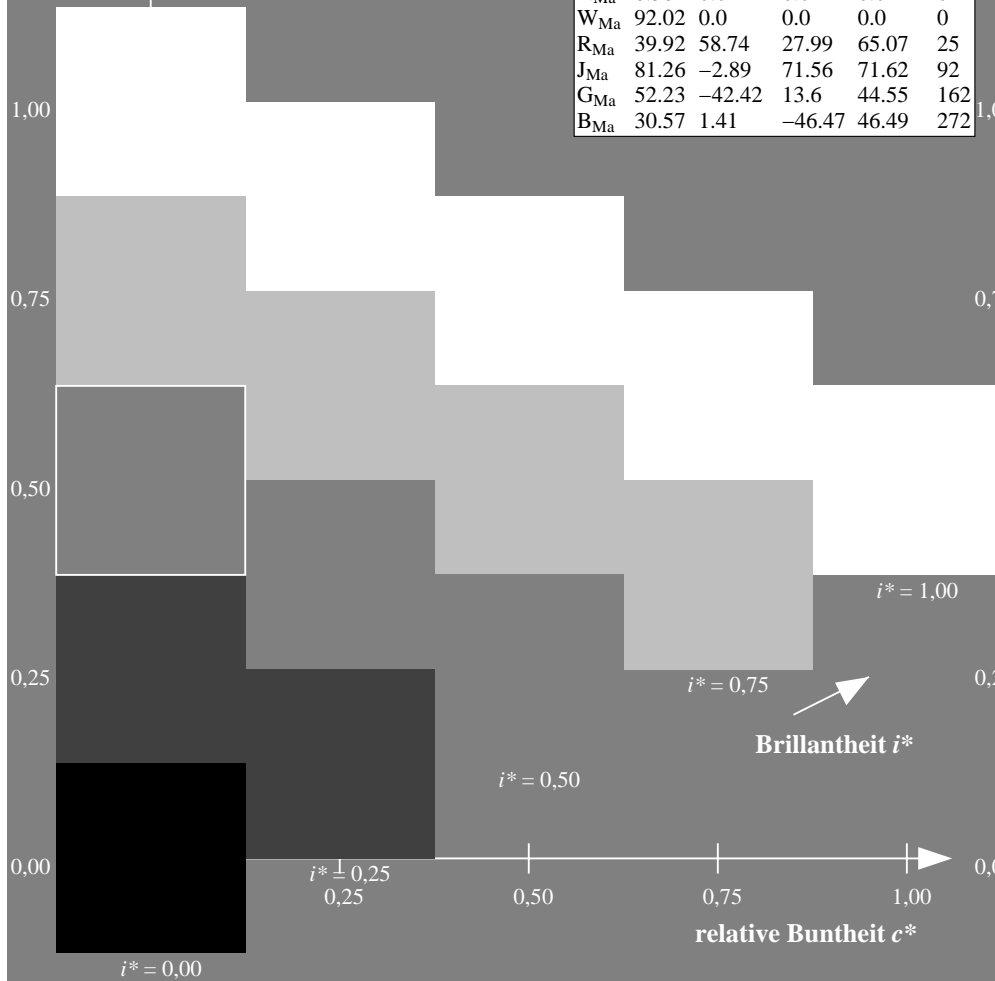
%Regularität

$g^*_{H,rel} = 31$

$g^*_{C,rel} = 40$

FRS09_92a; adaptierte CIELAB-Daten

u^*_e	$L^*=L^*_a$	a^*_a	b^*_a	$C^*_{ab,a}$	$h^*_{ab,a}$	u^*_d
r00j	35.47	63.32	30.17	70.15	25	m81o
r25j	39.12	54.56	49.45	73.64	42	o10y
r50j	50.64	39.15	64.89	75.79	59	o40y
r75j	64.01	21.26	82.83	85.52	76	o69y
j00g	83.18	-4.38	108.53	108.62	92	o98y
j25g	66.73	-29.89	83.06	88.28	110	y34l
j50g	54.03	-48.31	63.49	79.78	127	y69l
j75g	44.73	-60.33	42.64	73.88	145	l03c
g00b	47.59	-49.08	15.74	51.54	162	l23c
g25b	49.97	-39.7	-6.72	40.27	190	l55c
g50b	51.85	-32.33	-24.35	40.48	217	l87c
g75b	46.92	-17.29	-36.02	39.96	244	c20v
b00r	37.91	1.28	-42.35	42.37	272	c53v
b25r	23.81	30.38	-52.26	60.45	300	c87v
b50r	29.52	69.06	-42.14	80.9	329	v68m
b75r	36.48	71.47	-3.69	71.57	357	m34o



Daten für jede Farbe:

lab^*tch^* und lab^*icu^*

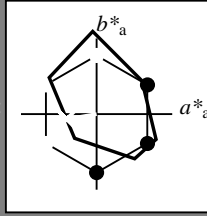
Buntontexte:

$u^*_e = g25b$ $u^*_d = l55c$

Kontrastreduzierungsfaktor:

$c_R = 1.0$

Dreiecks-Helligkeit t^*



FRS09_92a; adaptierte CIELAB-Daten						
u^*_e	$L^*=L^*_a$	a^*_a	b^*_a	$C^*_{ab,a}$	$h^*_{ab,a}$	
O _{Ma}	35.06	60.0	44.0	74.4	36	
Y _{Ma}	83.77	-5.17	109.32	109.44	93	
L _{Ma}	44.13	-62.67	48.24	79.09	142	
C _{Ma}	52.66	-29.14	-31.99	43.27	228	
V _{Ma}	14.15	50.3	-59.04	77.57	310	
M _{Ma}	37.37	78.64	-33.5	85.48	337	
N _{Ma}	8.58	0.0	0.0	0.0	0	
W _{Ma}	92.02	0.0	0.0	0.0	0	
R _{Ma}	39.92	58.74	27.99	65.07	25	
J _{Ma}	81.26	-2.89	71.56	71.62	92	
G _{Ma}	52.23	-42.42	13.6	44.55	162	
B _{Ma}	30.57	1.41	-46.47	46.49	272	

Daten für Maximalfarbe (Ma):

$LAB^*LAB^*_{Ma}: 50 -40 -7$

$LAB^*LCH^*_{Ma}: 50 40 189$

$lab^*rgb^*_{Ma}: 0.0 1.0 0.5$

$lab^*olv^*_{Ma}: 0.0 1.0 0.55$

Dreiecks-Helligkeit t^*

%Umfang

$u^*_{rel} = 109$

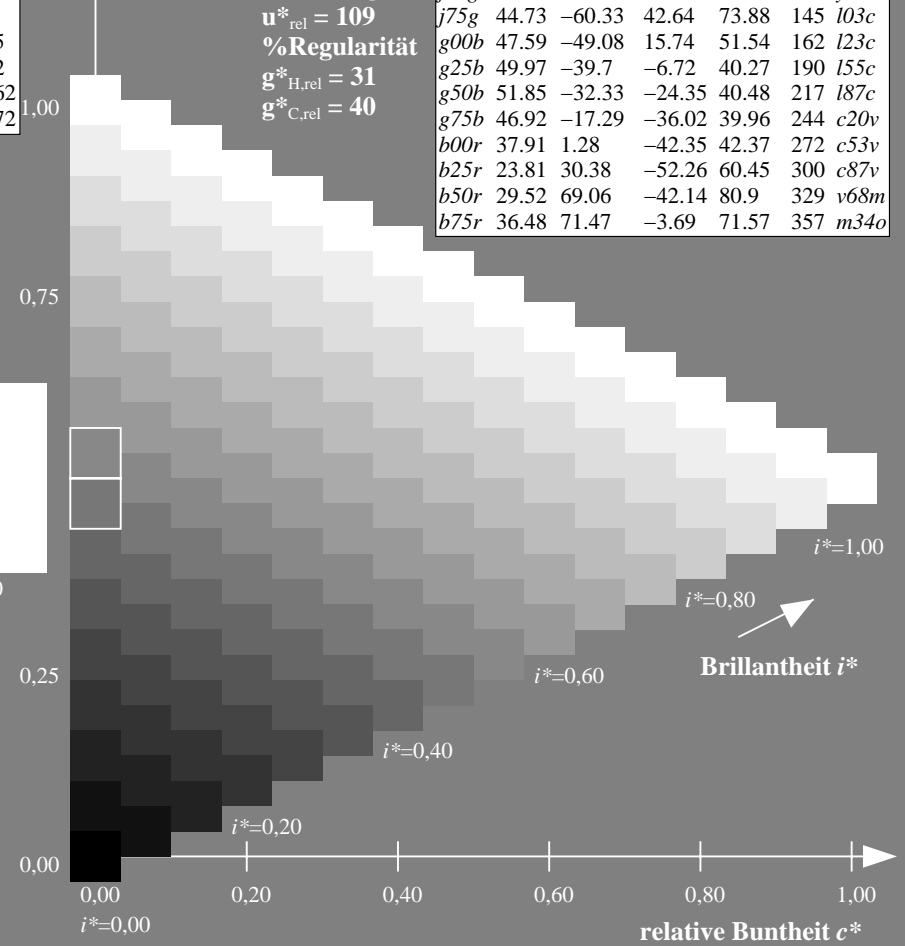
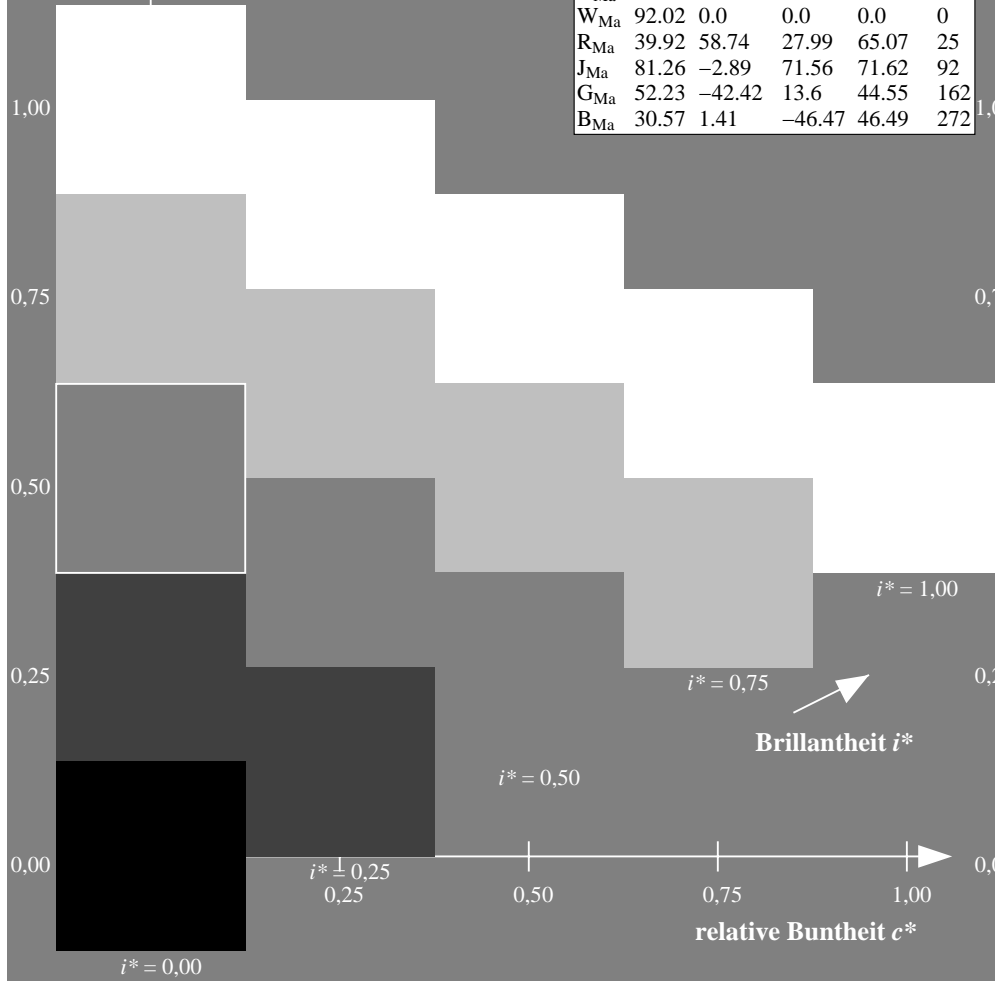
%Regularität

$g^*_{H,rel} = 31$

$g^*_{C,rel} = 40$

FRS09_92a; adaptierte CIELAB-Daten

u^*_e	$L^*=L^*_a$	a^*_a	b^*_a	$C^*_{ab,a}$	$h^*_{ab,a}$	u^*_d
r00j	35.47	63.32	30.17	70.15	25	m81o
r25j	39.12	54.56	49.45	73.64	42	o10y
r50j	50.64	39.15	64.89	75.79	59	o40y
r75j	64.01	21.26	82.83	85.52	76	o69y
j00g	83.18	-4.38	108.53	108.62	92	o98y
j25g	66.73	-29.89	83.06	88.28	110	y34l
j50g	54.03	-48.31	63.49	79.78	127	y69l
j75g	44.73	-60.33	42.64	73.88	145	l03c
g00b	47.59	-49.08	15.74	51.54	162	l23c
g25b	49.97	-39.7	-6.72	40.27	190	l55c
g50b	51.85	-32.33	-24.35	40.48	217	l87c
g75b	46.92	-17.29	-36.02	39.96	244	c20v
b00r	37.91	1.28	-42.35	42.37	272	c53v
b25r	23.81	30.38	-52.26	60.45	300	c87v
b50r	29.52	69.06	-42.14	80.9	329	v68m
b75r	36.48	71.47	-3.69	71.57	357	m34o



Ein und Ausgabe: Farbmatisches Drucker-Reflektiv-System FRS09_92a für relativen CIELAB-Bunton $h^* = lab^*h^* = h_{ab}/360 = 0.603$

$u^*_e = g50b$

Daten für jede Farbe:

lab^*tch^* und lab^*icu^*

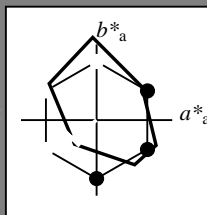
Buntontexte:

$u^*_e = g50b$ $u^*_d = l87c$

Kontrastreduzierungsfaktor:

$c_R = 1.0$

Dreiecks-Helligkeit t^*



FRS09_92a; adaptierte CIELAB-Daten						
u^*_e	$L^*=L^*_a$	a^*_a	b^*_a	$C^*_{ab,a}$	$h^*_{ab,a}$	
O _{Ma}	35.06	60.0	44.0	74.4	36	
Y _{Ma}	83.77	-5.17	109.32	109.44	93	
L _{Ma}	44.13	-62.67	48.24	79.09	142	
C _{Ma}	52.66	-29.14	-31.99	43.27	228	
V _{Ma}	14.15	50.3	-59.04	77.57	310	
M _{Ma}	37.37	78.64	-33.5	85.48	337	
N _{Ma}	8.58	0.0	0.0	0.0	0	
W _{Ma}	92.02	0.0	0.0	0.0	0	
R _{Ma}	39.92	58.74	27.99	65.07	25	
J _{Ma}	81.26	-2.89	71.56	71.62	92	
G _{Ma}	52.23	-42.42	13.6	44.55	162	
B _{Ma}	30.57	1.41	-46.47	46.49	272	

Daten für Maximalfarbe (Ma):

$LAB^*LAB^*_{Ma}$: 52 -32 -24

$LAB^*LCH^*_{Ma}$: 52 40 216

$lab^*rgb^*_{Ma}$: 0.0 1.0 1.0

$lab^*olv^*_{Ma}$: 0.0 1.0 0.87

Dreiecks-Helligkeit t^*

%Umfang

$u^*_{rel} = 109$

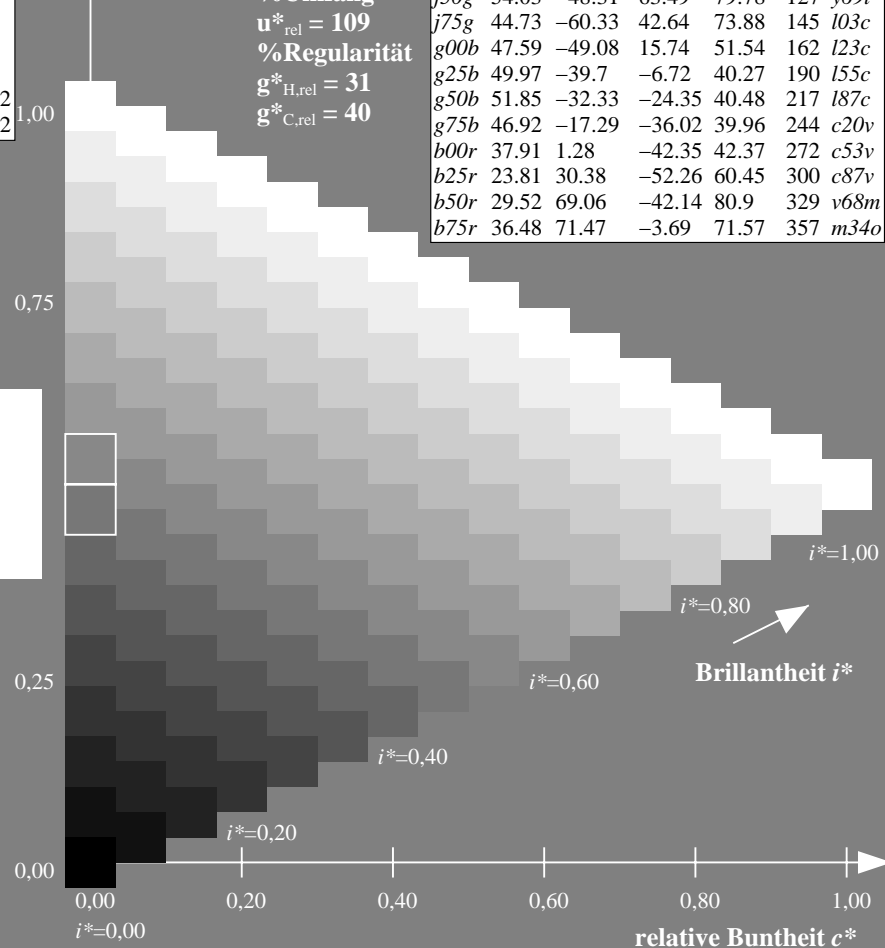
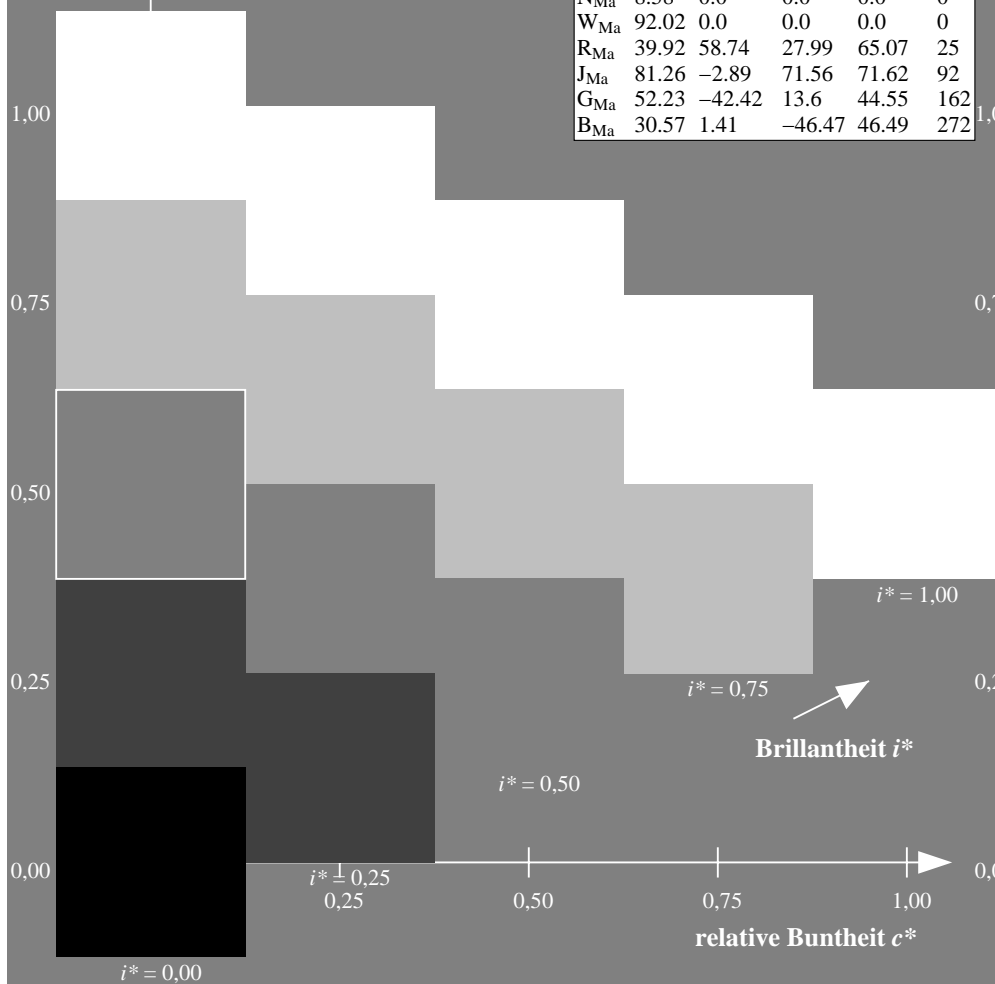
%Regularität

$g^*_{H,rel} = 31$

$g^*_{C,rel} = 40$

FRS09_92a; adaptierte CIELAB-Daten

u^*_e	$L^*=L^*_a$	a^*_a	b^*_a	$C^*_{ab,a}$	$h^*_{ab,a}$	u^*_d
r00j	35.47	63.32	30.17	70.15	25	m81o
r25j	39.12	54.56	49.45	73.64	42	o10y
r50j	50.64	39.15	64.89	75.79	59	o40y
r75j	64.01	21.26	82.83	85.52	76	o69y
j00g	83.18	-4.38	108.53	108.62	92	o98y
j25g	66.73	-29.89	83.06	88.28	110	y34l
j50g	54.03	-48.31	63.49	79.78	127	y69l
j75g	44.73	-60.33	42.64	73.88	145	l03c
g00b	47.59	-49.08	15.74	51.54	162	l23c
g25b	49.97	-39.7	-6.72	40.27	190	l55c
g50b	51.85	-32.33	-24.35	40.48	217	l87c
g75b	46.92	-17.29	-36.02	39.96	244	c20v
b00r	37.91	1.28	-42.35	42.37	272	c53v
b25r	23.81	30.38	-52.26	60.45	300	c87v
b50r	29.52	69.06	-42.14	80.9	329	v68m
b75r	36.48	71.47	-3.69	71.57	357	m34o



Ein und Ausgabe: Farbmatisches Drucker-Reflektiv-System FRS09_92a für relativen CIELAB-Bunton $h^* = lab^*h^* = h_{ab}/360 = 0.679$

$u^*_e = g75b$

Daten für jede Farbe:

lab^*tch^* und lab^*icu^*

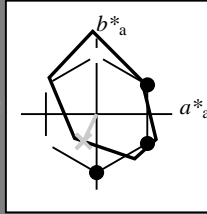
Buntontexte:

$u^*_e = g75b$ $u^*_d = c20v$

Kontrastreduzierungsfaktor:

$c_R = 1.0$

Dreiecks-Helligkeit t^*



FRS09_92a; adaptierte CIELAB-Daten						
u^*_e	$L^*=L^*_a$	a^*_a	b^*_a	$C^*_{ab,a}$	$h^*_{ab,a}$	
O _{Ma}	35.06	60.0	44.0	74.4	36	
Y _{Ma}	83.77	-5.17	109.32	109.44	93	
L _{Ma}	44.13	-62.67	48.24	79.09	142	
C _{Ma}	52.66	-29.14	-31.99	43.27	228	
V _{Ma}	14.15	50.3	-59.04	77.57	310	
M _{Ma}	37.37	78.64	-33.5	85.48	337	
N _{Ma}	8.58	0.0	0.0	0.0	0	
W _{Ma}	92.02	0.0	0.0	0.0	0	
R _{Ma}	39.92	58.74	27.99	65.07	25	
J _{Ma}	81.26	-2.89	71.56	71.62	92	
G _{Ma}	52.23	-42.42	13.6	44.55	162	
B _{Ma}	30.57	1.41	-46.47	46.49	272	

Daten für Maximalfarbe (Ma):

$LAB^*LAB^*_{Ma}$: 47 -17 -36

$LAB^*LCH^*_{Ma}$: 47 40 244

$lab^*rgb^*_{Ma}$: 0.0 0.5 1.0

$lab^*olv^*_{Ma}$: 0.0 0.8 1.0

Dreiecks-Helligkeit t^*

%Umfang

$u^*_{rel} = 109$

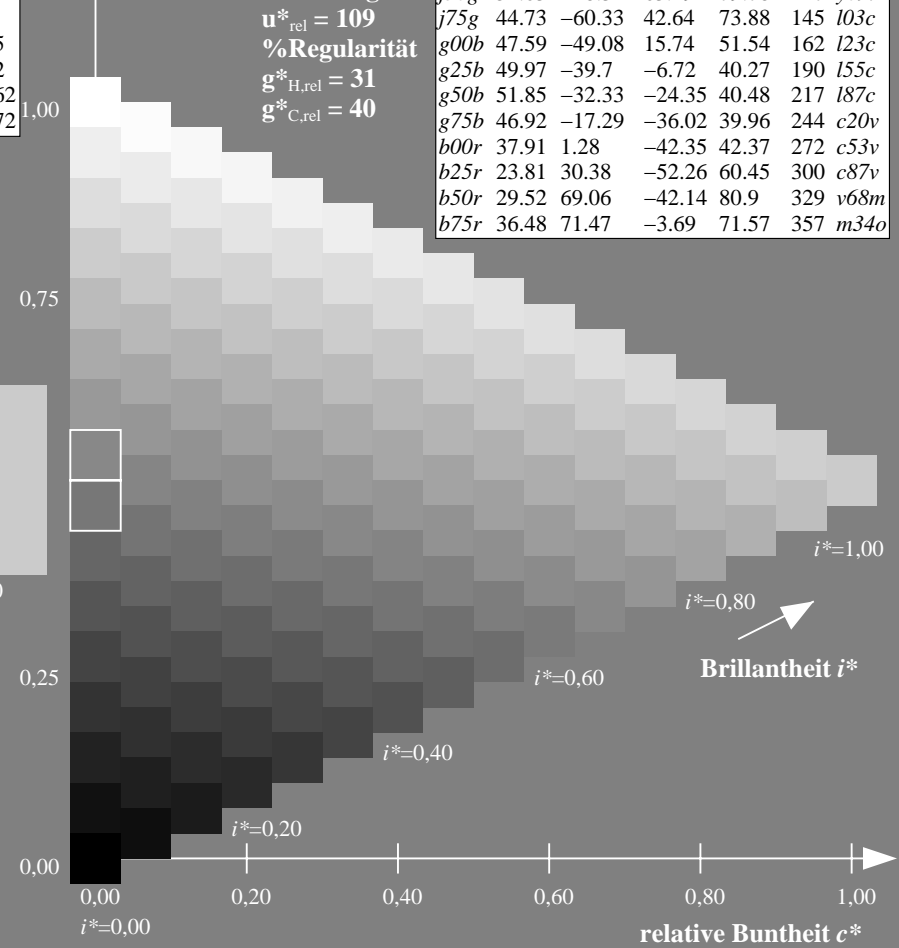
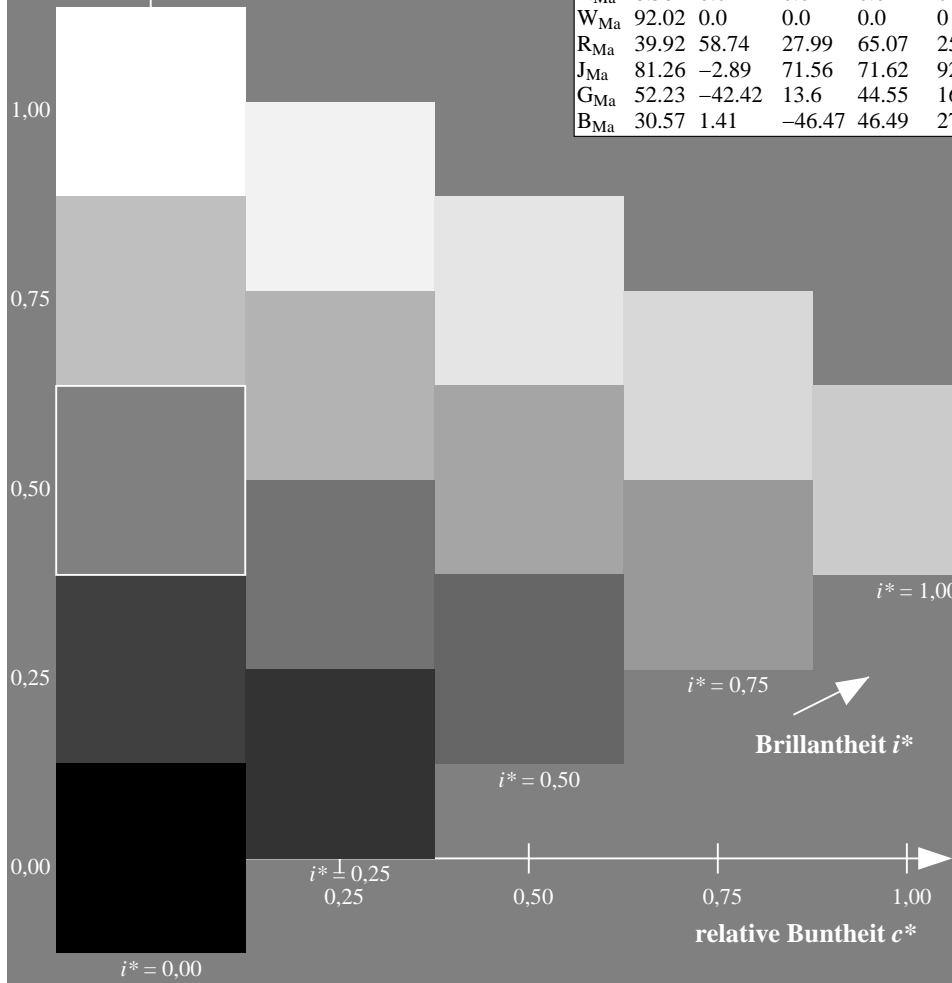
%Regularität

$g^*_{H,rel} = 31$

$g^*_{C,rel} = 40$

FRS09_92a; adaptierte CIELAB-Daten

u^*_e	$L^*=L^*_a$	a^*_a	b^*_a	$C^*_{ab,a}$	$h^*_{ab,a}$	u^*_d
r00j	35.47	63.32	30.17	70.15	25	m81o
r25j	39.12	54.56	49.45	73.64	42	o10y
r50j	50.64	39.15	64.89	75.79	59	o40y
r75j	64.01	21.26	82.83	85.52	76	o69y
j00g	83.18	-4.38	108.53	108.62	92	o98y
j25g	66.73	-29.89	83.06	88.28	110	y34l
j50g	54.03	-48.31	63.49	79.78	127	y69l
j75g	44.73	-60.33	42.64	73.88	145	l03c
g00b	47.59	-49.08	15.74	51.54	162	l23c
g25b	49.97	-39.7	-6.72	40.27	190	l55c
g50b	51.85	-32.33	-24.35	40.48	217	l87c
g75b	46.92	-17.29	-36.02	39.96	244	c20v
b00r	37.91	1.28	-42.35	42.37	272	c53v
b25r	23.81	30.38	-52.26	60.45	300	c87v
b50r	29.52	69.06	-42.14	80.9	329	v68m
b75r	36.48	71.47	-3.69	71.57	357	m34o



Ein und Ausgabe: Farbmetrisches Drucker-Reflektiv-System FRS09_92a für relativen CIELAB-Bunton $h^* = lab^*h^* = h_{ab}/360 = 0.755$

$u^*_e = b00r$

Daten für jede Farbe:

lab^*tch^* und lab^*icu^*

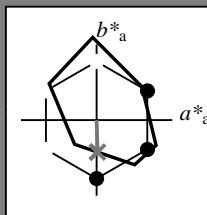
Buntontexte:

$u^*_e = b00r$ $u^*_d = c53v$

Kontrastreduzierungsfaktor:

$c_R = 1.0$

Dreiecks-Helligkeit t^*



FRS09_92a; adaptierte CIELAB-Daten						
u^*_e	$L^*=L^*_a$	a^*_a	b^*_a	$C^*_{ab,a}$	$h^*_{ab,a}$	
O _{Ma}	35.06	60.0	44.0	74.4	36	
Y _{Ma}	83.77	-5.17	109.32	109.44	93	
L _{Ma}	44.13	-62.67	48.24	79.09	142	
C _{Ma}	52.66	-29.14	-31.99	43.27	228	
V _{Ma}	14.15	50.3	-59.04	77.57	310	
M _{Ma}	37.37	78.64	-33.5	85.48	337	
N _{Ma}	8.58	0.0	0.0	0.0	0	
W _{Ma}	92.02	0.0	0.0	0.0	0	
R _{Ma}	39.92	58.74	27.99	65.07	25	
J _{Ma}	81.26	-2.89	71.56	71.62	92	
G _{Ma}	52.23	-42.42	13.6	44.55	162	
B _{Ma}	30.57	1.41	-46.47	46.49	272	

Daten für Maximalfarbe (Ma):

$LAB^*LAB^*_{Ma}$: 38 1 -42

$LAB^*LCH^*_{Ma}$: 38 42 271

$lab^*rgb^*_{Ma}$: 0.0 0.0 1.0

$lab^*olv^*_{Ma}$: 0.0 0.47 1.0

Dreiecks-Helligkeit t^*

%Umfang

$u^*_{rel} = 109$

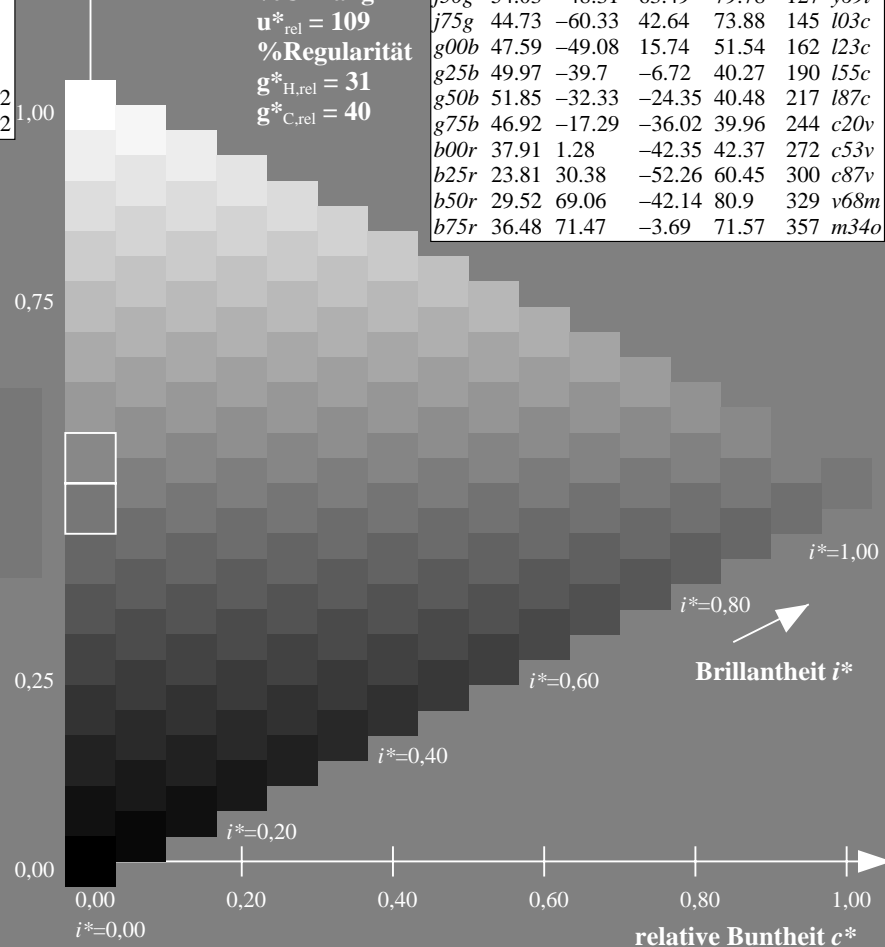
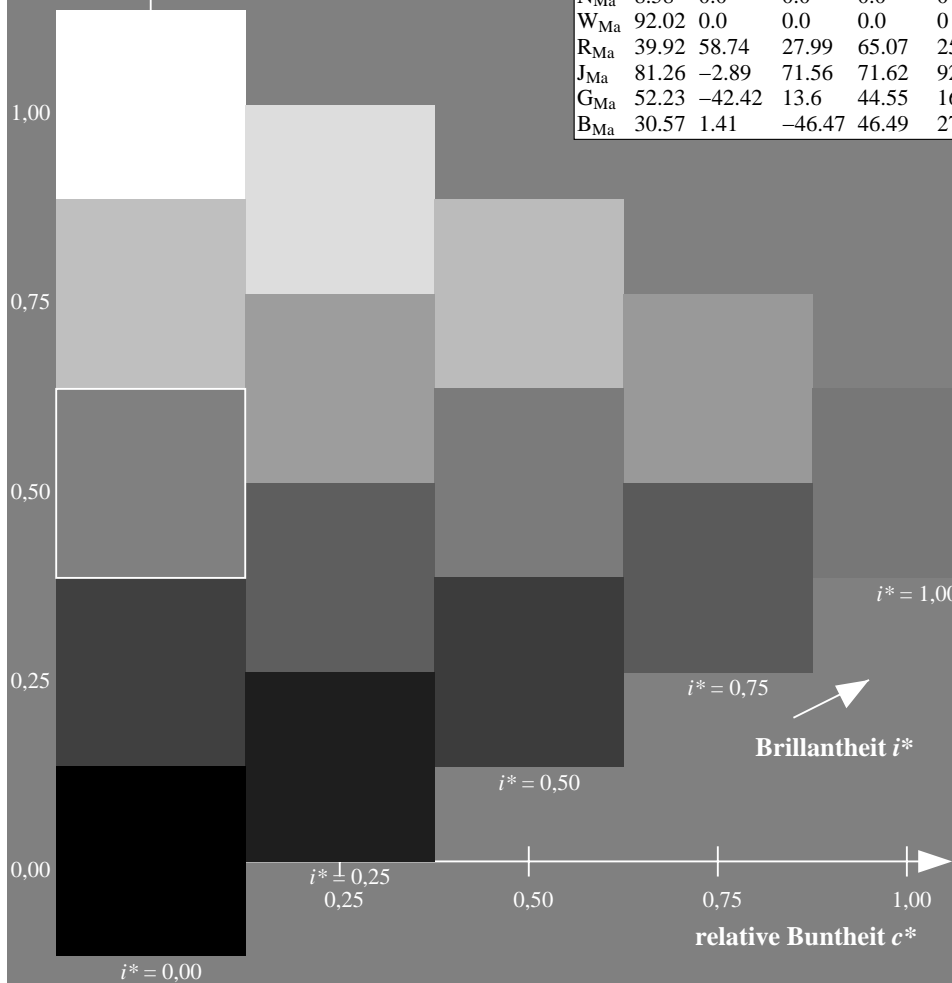
%Regularität

$g^*_{H,rel} = 31$

$g^*_{C,rel} = 40$

FRS09_92a; adaptierte CIELAB-Daten

u^*_e	$L^*=L^*_a$	a^*_a	b^*_a	$C^*_{ab,a}$	$h^*_{ab,a}$	u^*_d
r00j	35.47	63.32	30.17	70.15	25	m81o
r25j	39.12	54.56	49.45	73.64	42	o10y
r50j	50.64	39.15	64.89	75.79	59	o40y
r75j	64.01	21.26	82.83	85.52	76	o69y
j00g	83.18	-4.38	108.53	108.62	92	o98y
j25g	66.73	-29.89	83.06	88.28	110	y34l
j50g	54.03	-48.31	63.49	79.78	127	y69l
j75g	44.73	-60.33	42.64	73.88	145	l03c
g00b	47.59	-49.08	15.74	51.54	162	l23c
g25b	49.97	-39.7	-6.72	40.27	190	l55c
g50b	51.85	-32.33	-24.35	40.48	217	l87c
g75b	46.92	-17.29	-36.02	39.96	244	c20v
b00r	37.91	1.28	-42.35	42.37	272	c53v
b25r	23.81	30.38	-52.26	60.45	300	c87v
b50r	29.52	69.06	-42.14	80.9	329	v68m
b75r	36.48	71.47	-3.69	71.57	357	m34o



Ein und Ausgabe: Farbmatisches Drucker-Reflektiv-System FRS09_92a für relativen CIELAB-Bunton $h^* = lab^*h^* = h_{ab}/360 = 0.834$

$u^*_e = b25r$

Daten für jede Farbe:

lab^*tch^* und lab^*icu^*

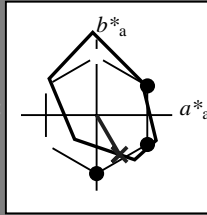
Buntontexte:

$u^*_e = b25r$ $u^*_d = c87v$

Kontrastreduzierungsfaktor:

$c_R = 1.0$

Dreiecks-Helligkeit t^*



FRS09_92a; adaptierte CIELAB-Daten						
u^*_e	$L^*=L^*_a$	a^*_a	b^*_a	$C^*_{ab,a}$	$h^*_{ab,a}$	
O _{Ma}	35.06	60.0	44.0	74.4	36	
Y _{Ma}	83.77	-5.17	109.32	109.44	93	
L _{Ma}	44.13	-62.67	48.24	79.09	142	
C _{Ma}	52.66	-29.14	-31.99	43.27	228	
V _{Ma}	14.15	50.3	-59.04	77.57	310	
M _{Ma}	37.37	78.64	-33.5	85.48	337	
N _{Ma}	8.58	0.0	0.0	0.0	0	
W _{Ma}	92.02	0.0	0.0	0.0	0	
R _{Ma}	39.92	58.74	27.99	65.07	25	
J _{Ma}	81.26	-2.89	71.56	71.62	92	
G _{Ma}	52.23	-42.42	13.6	44.55	162	
B _{Ma}	30.57	1.41	-46.47	46.49	272	

Daten für Maximalfarbe (Ma):

$LAB^*LAB^*_{Ma}$: 24 30 -52

$LAB^*LCH^*_{Ma}$: 24 60 300

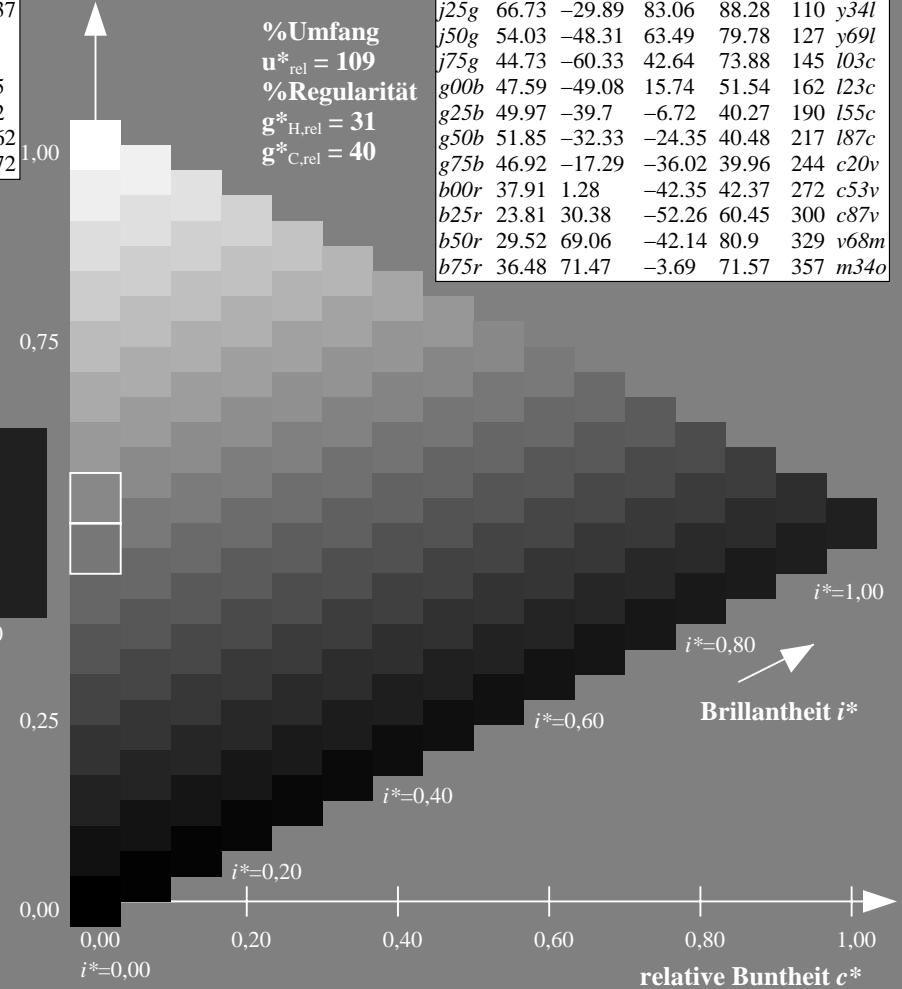
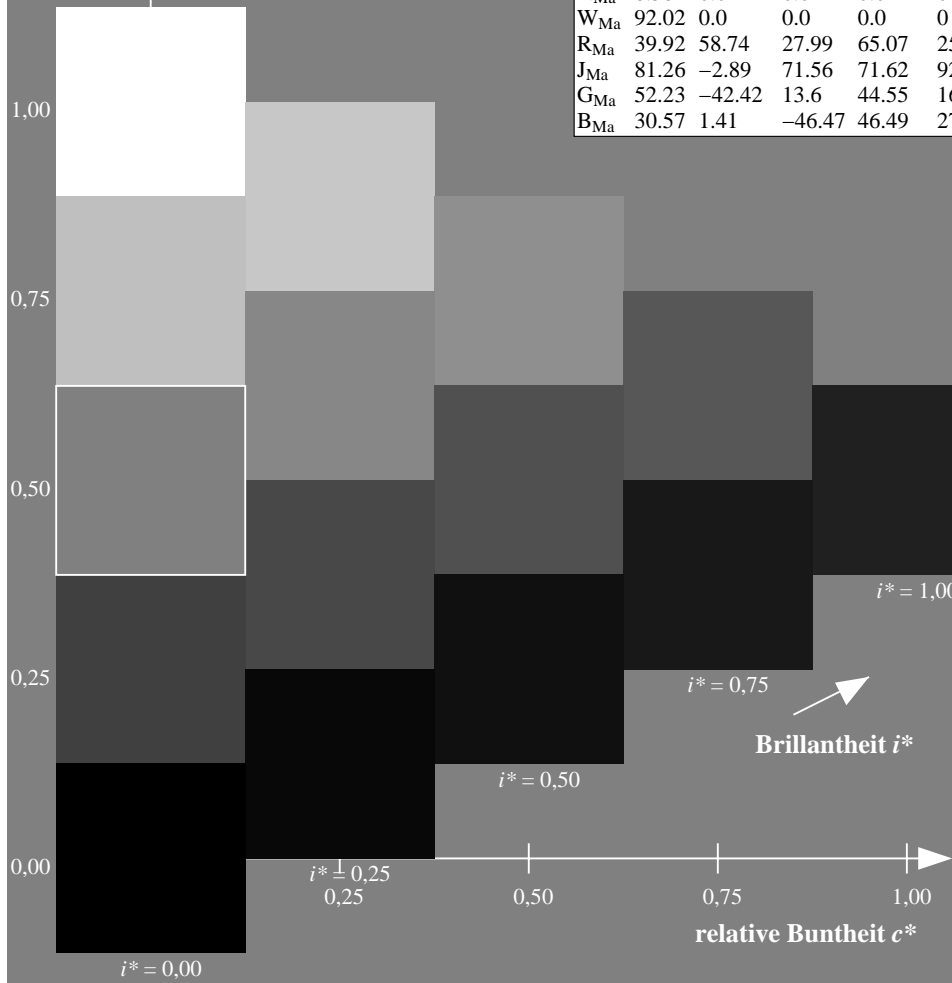
$lab^*rgb^*_{Ma}$: 0.5 0.0 1.0

$lab^*olv^*_{Ma}$: 0.0 0.12 1.0

Dreiecks-Helligkeit t^*

FRS09_92a; adaptierte CIELAB-Daten

u^*_e	$L^*=L^*_a$	a^*_a	b^*_a	$C^*_{ab,a}$	$h^*_{ab,a}$	u^*_d
r00j	35.47	63.32	30.17	70.15	25	m81o
r25j	39.12	54.56	49.45	73.64	42	o10y
r50j	50.64	39.15	64.89	75.79	59	o40y
r75j	64.01	21.26	82.83	85.52	76	o69y
j00g	83.18	-4.38	108.53	108.62	92	o98y
j25g	66.73	-29.89	83.06	88.28	110	y34l
j50g	54.03	-48.31	63.49	79.78	127	y69l
j75g	44.73	-60.33	42.64	73.88	145	l03c
g00b	47.59	-49.08	15.74	51.54	162	l23c
g25b	49.97	-39.7	-6.72	40.27	190	l55c
g50b	51.85	-32.33	-24.35	40.48	217	l87c
g75b	46.92	-17.29	-36.02	39.96	244	c20v
b00r	37.91	1.28	-42.35	42.37	272	c53v
b25r	23.81	30.38	-52.26	60.45	300	c87v
b50r	29.52	69.06	-42.14	80.9	329	v68m
b75r	36.48	71.47	-3.69	71.57	357	m34o



Daten für jede Farbe:

lab^*tch^* und lab^*icu^*

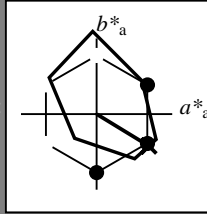
Buntontexte:

$u^*_e = b50r$ $u^*_d = v68m$

Kontrastreduzierungsfaktor:

$c_R = 1.0$

Dreiecks-Helligkeit t^*



FRS09_92a; adaptierte CIELAB-Daten						
u^*_e	$L^*=L^*_a$	a^*_a	b^*_a	$C^*_{ab,a}$	$h^*_{ab,a}$	
O _{Ma}	35.06	60.0	44.0	74.4	36	
Y _{Ma}	83.77	-5.17	109.32	109.44	93	
L _{Ma}	44.13	-62.67	48.24	79.09	142	
C _{Ma}	52.66	-29.14	-31.99	43.27	228	
V _{Ma}	14.15	50.3	-59.04	77.57	310	
M _{Ma}	37.37	78.64	-33.5	85.48	337	
N _{Ma}	8.58	0.0	0.0	0.0	0	
W _{Ma}	92.02	0.0	0.0	0.0	0	
R _{Ma}	39.92	58.74	27.99	65.07	25	
J _{Ma}	81.26	-2.89	71.56	71.62	92	
G _{Ma}	52.23	-42.42	13.6	44.55	162	
B _{Ma}	30.57	1.41	-46.47	46.49	272	

Daten für Maximalfarbe (Ma):

$LAB^*LAB^*_{Ma}$: 30 69 -42

$LAB^*LCH^*_{Ma}$: 30 81 328

$lab^*rgb^*_{Ma}$: 1.0 0.0 1.0

$lab^*olv^*_{Ma}$: 0.69 0.0 1.0

Dreiecks-Helligkeit t^*

%Umfang

$u^*_{rel} = 109$

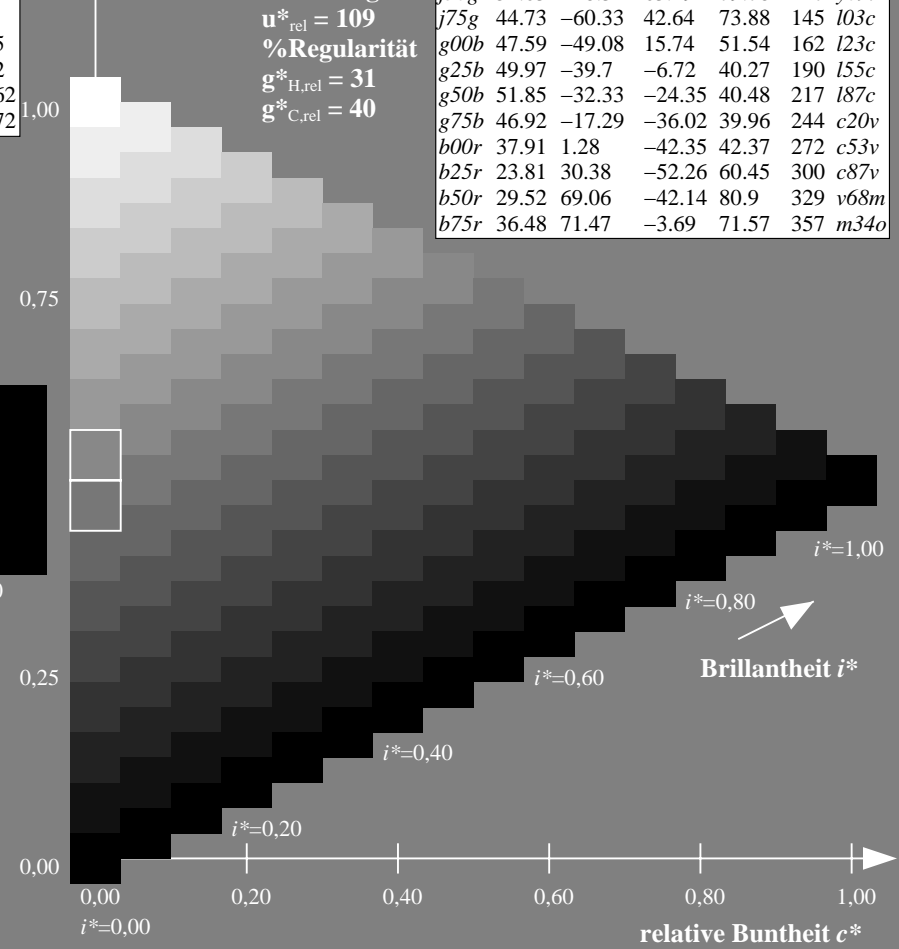
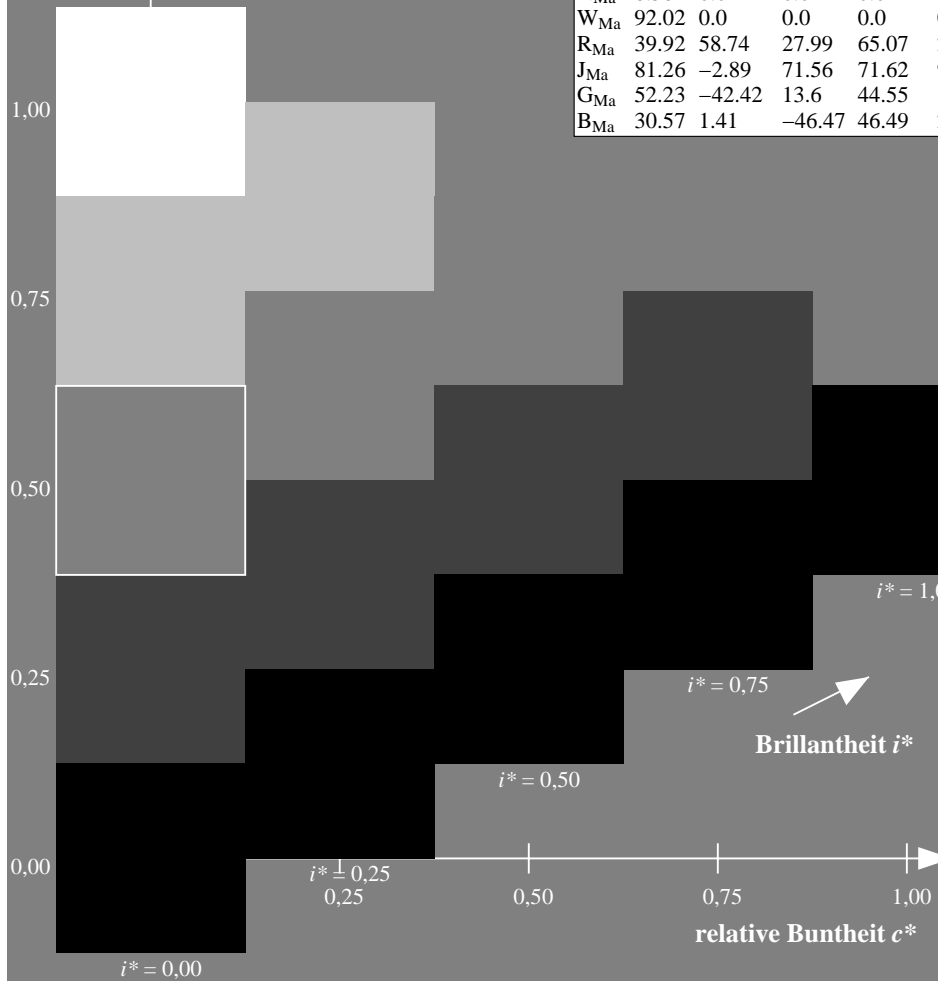
%Regularität

$g^*_{H,rel} = 31$

$g^*_{C,rel} = 40$

FRS09_92a; adaptierte CIELAB-Daten

u^*_e	$L^*=L^*_a$	a^*_a	b^*_a	$C^*_{ab,a}$	$h^*_{ab,a}$	u^*_d
r00j	35.47	63.32	30.17	70.15	25	m81o
r25j	39.12	54.56	49.45	73.64	42	o10y
r50j	50.64	39.15	64.89	75.79	59	o40y
r75j	64.01	21.26	82.83	85.52	76	o69y
j00g	83.18	-4.38	108.53	108.62	92	o98y
j25g	66.73	-29.89	83.06	88.28	110	y34l
j50g	54.03	-48.31	63.49	79.78	127	y69l
j75g	44.73	-60.33	42.64	73.88	145	l03c
g00b	47.59	-49.08	15.74	51.54	162	l23c
g25b	49.97	-39.7	-6.72	40.27	190	l55c
g50b	51.85	-32.33	-24.35	40.48	217	l87c
g75b	46.92	-17.29	-36.02	39.96	244	c20v
b00r	37.91	1.28	-42.35	42.37	272	c53v
b25r	23.81	30.38	-52.26	60.45	300	c87v
b50r	29.52	69.06	-42.14	80.9	329	v68m
b75r	36.48	71.47	-3.69	71.57	357	m34o



Daten für jede Farbe:

lab^*tch^* und lab^*icu^*

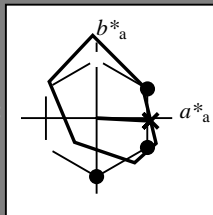
Buntontexte:

$u^*_e = b75r$ $u^*_d = m34o$

Kontrastreduzierungsfaktor:

$c_R = 1.0$

Dreiecks-Helligkeit t^*



FRS09_92a; adaptierte CIELAB-Daten

u^*_e	$L^*=L^*_a$	a^*_a	b^*_a	$C^*_{ab,a}$	$h^*_{ab,a}$
O _{Ma}	35.06	60.0	44.0	74.4	36
Y _{Ma}	83.77	-5.17	109.32	109.44	93
L _{Ma}	44.13	-62.67	48.24	79.09	142
C _{Ma}	52.66	-29.14	-31.99	43.27	228
V _{Ma}	14.15	50.3	-59.04	77.57	310
M _{Ma}	37.37	78.64	-33.5	85.48	337
N _{Ma}	8.58	0.0	0.0	0.0	0
W _{Ma}	92.02	0.0	0.0	0.0	0
R _{Ma}	39.92	58.74	27.99	65.07	25
J _{Ma}	81.26	-2.89	71.56	71.62	92
G _{Ma}	52.23	-42.42	13.6	44.55	162
B _{Ma}	30.57	1.41	-46.47	46.49	272

Daten für Maximalfarbe (Ma):

$LAB^*LAB^*_{Ma}$: 36 71 -4

$LAB^*LCH^*_{Ma}$: 36 72 357

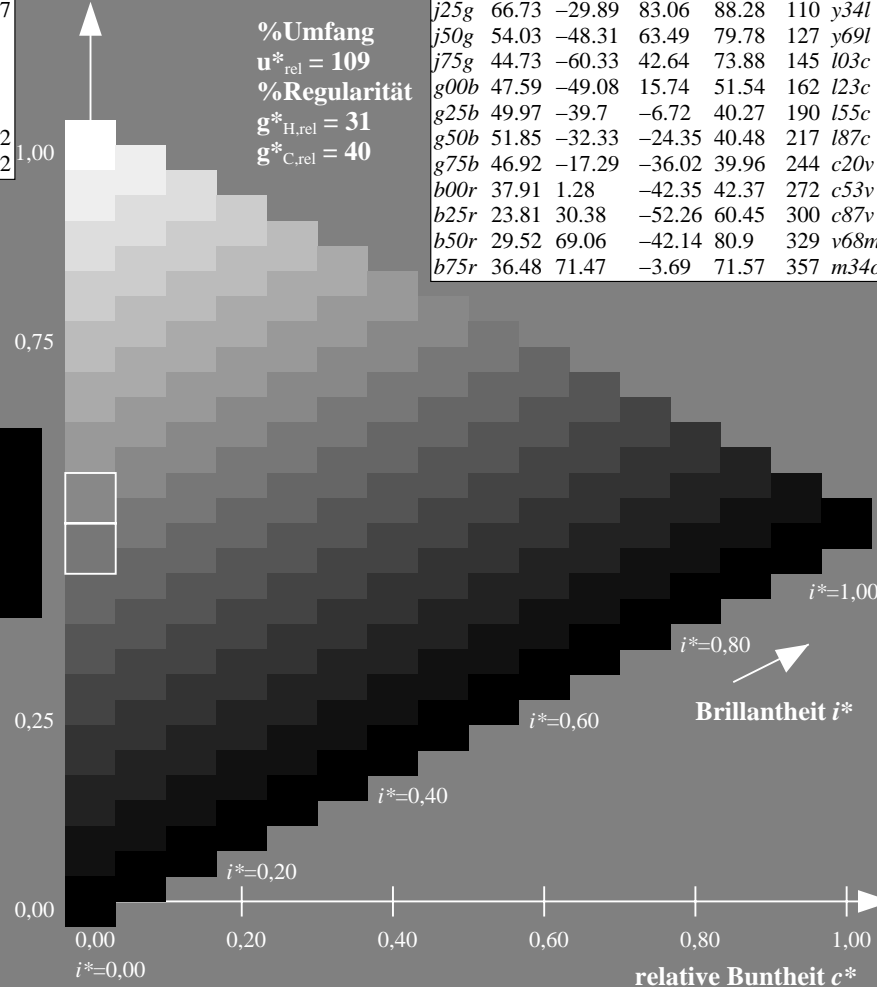
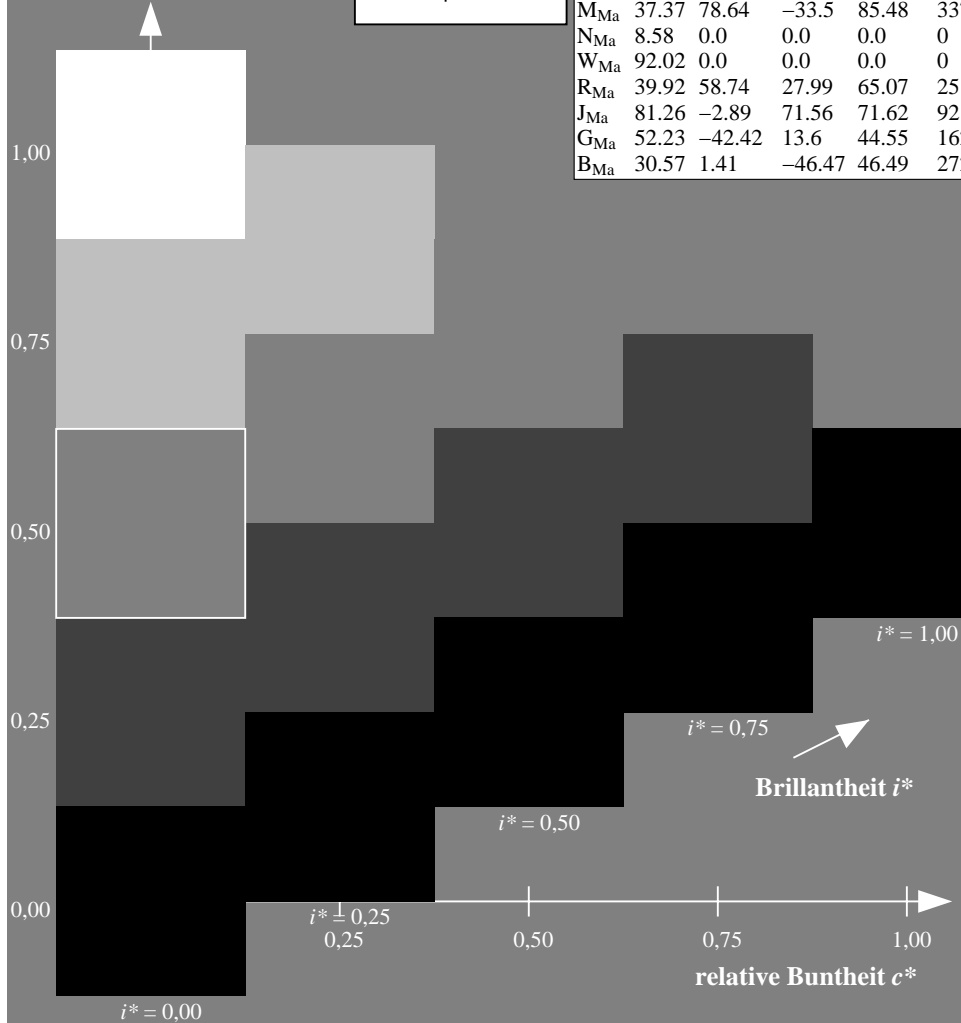
$lab^*rgb^*_{Ma}$: 1.0 0.0 0.5

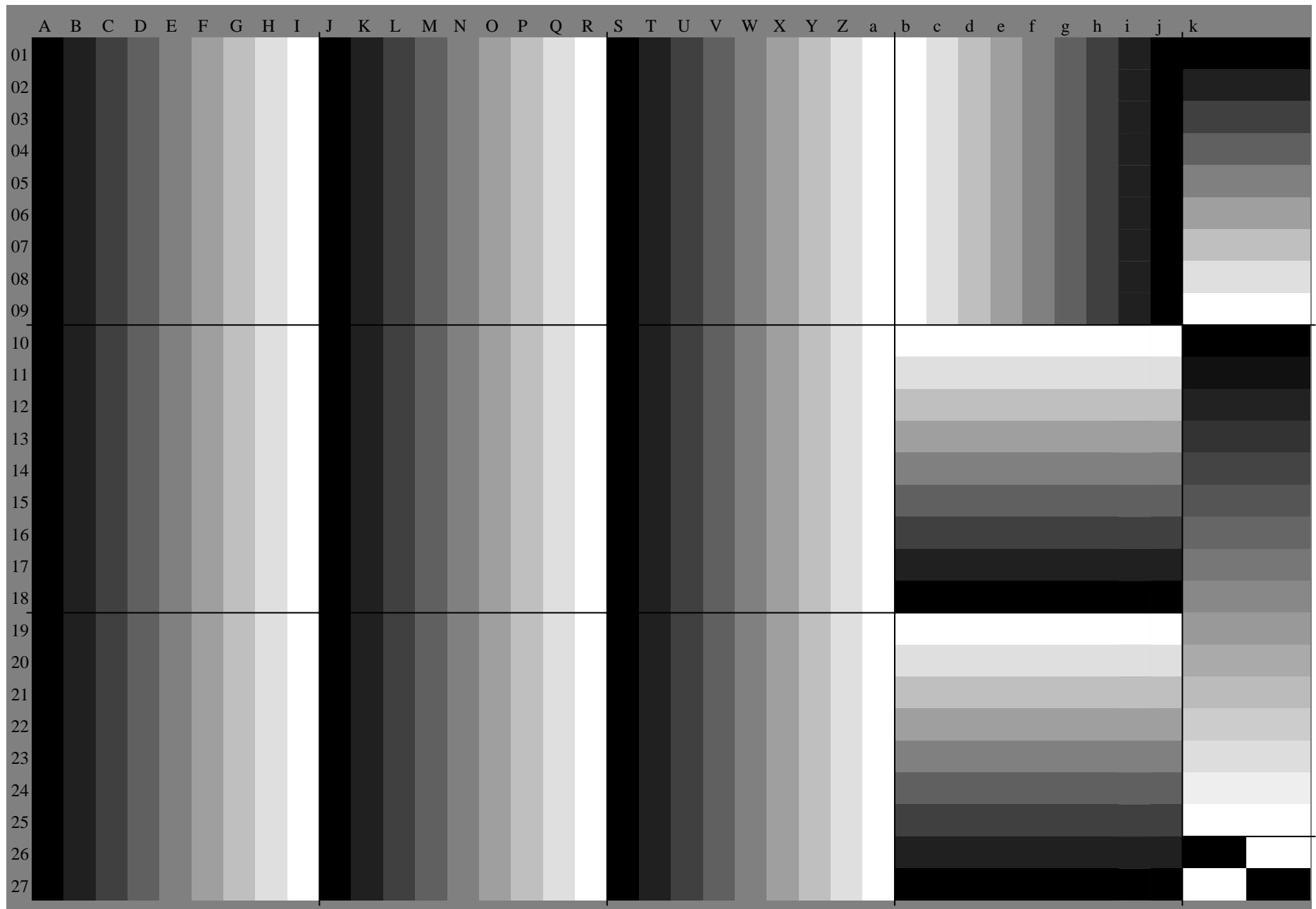
$lab^*olv^*_{Ma}$: 1.0 0.0 0.66

Dreiecks-Helligkeit t^*

FRS09_92a; adaptierte CIELAB-Daten

u^*_e	$L^*=L^*_a$	a^*_a	b^*_a	$C^*_{ab,a}$	$h^*_{ab,a}$	u^*_d
r00j	35.47	63.32	30.17	70.15	25	m81o
r25j	39.12	54.56	49.45	73.64	42	o10y
r50j	50.64	39.15	64.89	75.79	59	o40y
r75j	64.01	21.26	82.83	85.52	76	o69y
j00g	83.18	-4.38	108.53	108.62	92	o98y
j25g	66.73	-29.89	83.06	88.28	110	y34l
j50g	54.03	-48.31	63.49	79.78	127	y69l
j75g	44.73	-60.33	42.64	73.88	145	l03c
g00b	47.59	-49.08	15.74	51.54	162	l23c
g25b	49.97	-39.7	-6.72	40.27	190	l55c
g50b	51.85	-32.33	-24.35	40.48	217	l87c
g75b	46.92	-17.29	-36.02	39.96	244	c20v
b00r	37.91	1.28	-42.35	42.37	272	c53v
b25r	23.81	30.38	-52.26	60.45	300	c87v
b50r	29.52	69.06	-42.14	80.9	329	v68m
b75r	36.48	71.47	-3.69	71.57	357	m34o





Ein und Ausgabe:
 Farbmétrisches Drucker-Reflektiv-System FRS09_92a

Daten für jede Farbe:

u^*_e und Nummer *Nr.* = 00 .. 15

Elementar-Bunttextext:

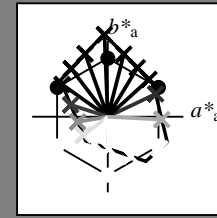
$u^*_e = 16$ Bunttoene *r00j, r25j, ..., b75r*

Kontrastreduzierungsfaktor:

$c_R = 1.0$

FRS09_92a; adaptierte CIELAB-Daten

u^*_e	$L^*=L^*_a$	a^*_a	b^*_a	$C^*_{ab,a}$	$h^*_{ab,a}$	u^*_d
r00j	35.47	63.32	30.17	70.15	25	m81o
r25j	39.12	54.56	49.45	73.64	42	o10y
r50j	50.64	39.15	64.89	75.79	59	o40y
r75j	64.01	21.26	82.83	85.52	76	o69y
j00g	83.18	-4.38	108.53	108.62	92	o98y
j25g	66.73	-29.89	83.06	88.28	110	y34l
j50g	54.03	-48.31	63.49	79.78	127	y69l
j75g	44.73	-60.33	42.64	73.88	145	l03c
g00b	47.59	-49.08	15.74	51.54	162	l23c
g25b	49.97	-39.7	-6.72	40.27	190	l55c
g50b	51.85	-32.33	-24.35	40.48	217	l87c
g75b	46.92	-17.29	-36.02	39.96	244	c20v
b00r	37.91	1.28	-42.35	42.37	272	c53v
b25r	23.81	30.38	-52.26	60.45	300	c87v
b50r	29.52	69.06	-42.14	80.9	329	v68m
b75r	36.48	71.47	-3.69	71.57	357	m34o



%Umfang

$u^*_{rel} = 109$

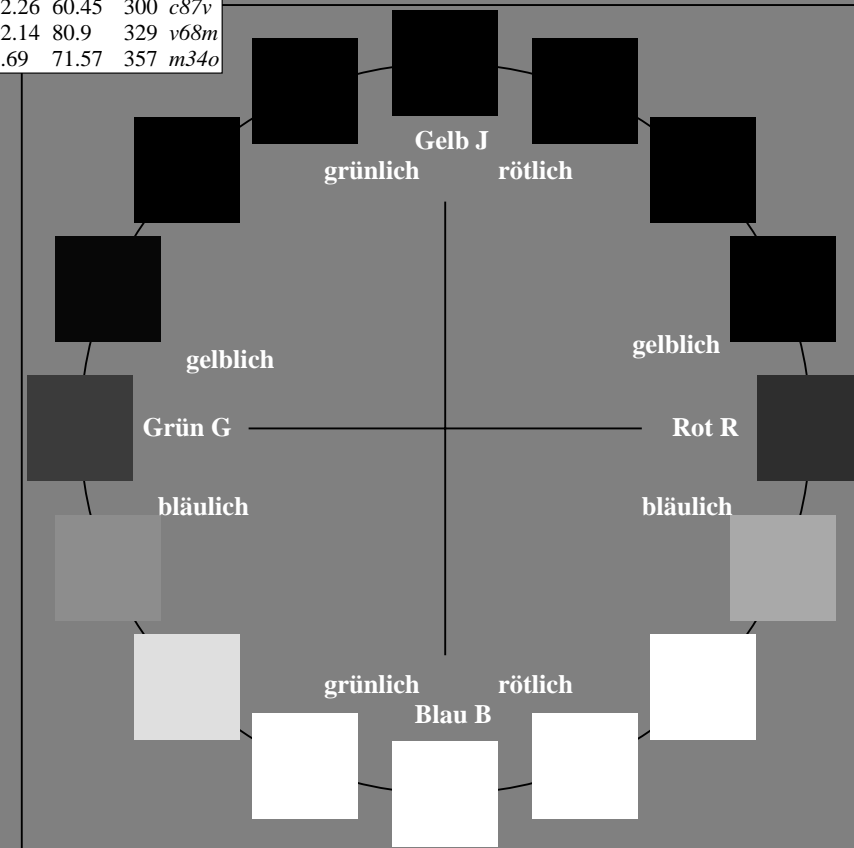
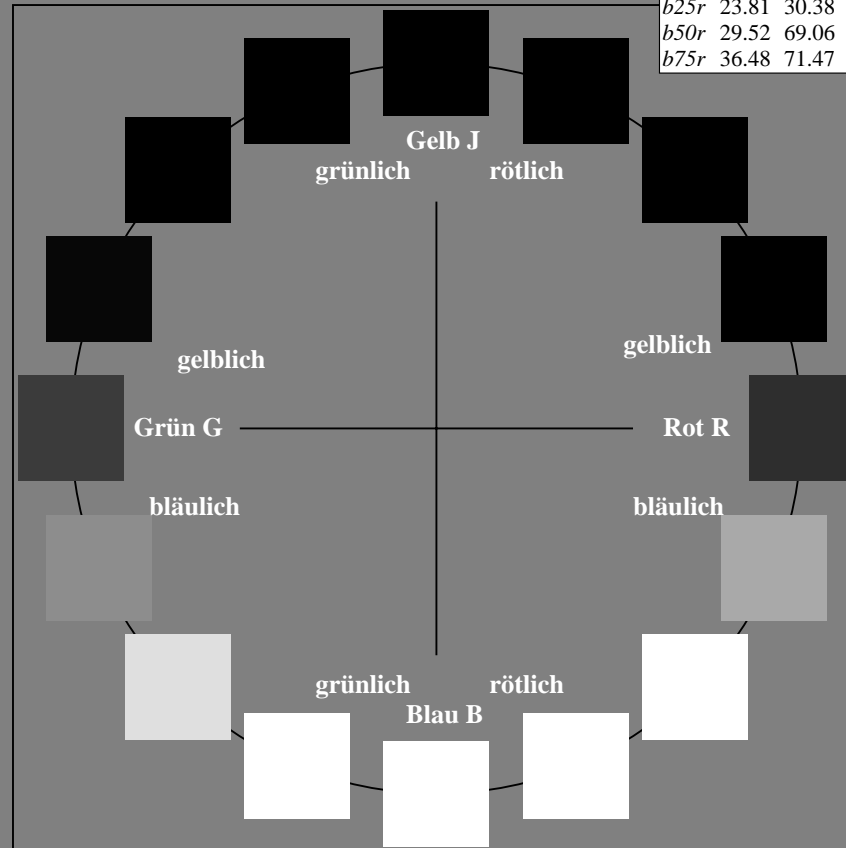
%Regularität

$g^*_{H,rel} = 31$

$g^*_{C,rel} = 40$

FRS09_92a; adaptierte CIELAB-Daten

Name	$L^*=L^*_a$	a^*_a	b^*_a	$C^*_{ab,a}$	$h^*_{ab,a}$
O _{Ma}	35.06	60.0	44.0	74.4	36
Y _{Ma}	83.77	-5.17	109.32	109.44	93
L _{Ma}	44.13	-62.67	48.24	79.09	142
C _{Ma}	52.66	-29.14	-31.99	43.27	228
V _{Ma}	14.15	50.3	-59.04	77.57	310
M _{Ma}	37.37	78.64	-33.5	85.48	337
N _{Ma}	8.58	0.0	0.0	0.0	0
W _{Ma}	92.02	0.0	0.0	0.0	0
R _{CIE}	39.92	58.74	27.99	65.07	25
J _{CIE}	81.26	-2.89	71.56	71.62	92
G _{CIE}	52.23	-42.42	13.6	44.55	162
B _{CIE}	30.57	1.41	-46.47	46.49	272



Ein und Ausgabe: Farbmatisches Drucker-Reflektiv-System FRS09_92a für relativen CIELAB-Bunton $h^* = lab^*h^* = h_{ab}/360 = 0.071$

$u^*_e = r00j$

Daten für jede Farbe:

lab^*tch^* und lab^*icu^*

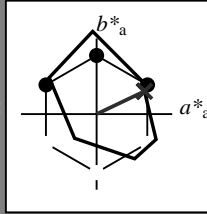
Buntontexte:

$u^*_e = r00j$ $u^*_d = m81o$

Kontrastreduzierungsfaktor:

$c_R = 1.0$

Dreiecks-Helligkeit t^*



FRS09_92a; adaptierte CIELAB-Daten

u^*_e	$L^*=L^*_a$	a^*_a	b^*_a	$C^*_{ab,a}$	$h^*_{ab,a}$
O _{Ma}	35.06	60.0	44.0	74.4	36
Y _{Ma}	83.77	-5.17	109.32	109.44	93
L _{Ma}	44.13	-62.67	48.24	79.09	142
C _{Ma}	52.66	-29.14	-31.99	43.27	228
V _{Ma}	14.15	50.3	-59.04	77.57	310
M _{Ma}	37.37	78.64	-33.5	85.48	337
N _{Ma}	8.58	0.0	0.0	0.0	0
W _{Ma}	92.02	0.0	0.0	0.0	0
R _{Ma}	39.92	58.74	27.99	65.07	25
J _{Ma}	81.26	-2.89	71.56	71.62	92
G _{Ma}	52.23	-42.42	13.6	44.55	162
B _{Ma}	30.57	1.41	-46.47	46.49	272

Daten für Maximalfarbe (Ma):

$LAB^*LAB^*_{Ma}$: 35 63 30

$LAB^*LCH^*_{Ma}$: 35 70 25

$lab^*rgb^*_{Ma}$: 1.0 0.0 0.0

$lab^*olv^*_{Ma}$: 1.0 0.0 0.18

Dreiecks-Helligkeit t^*

%Umfang

$u^*_{rel} = 109$

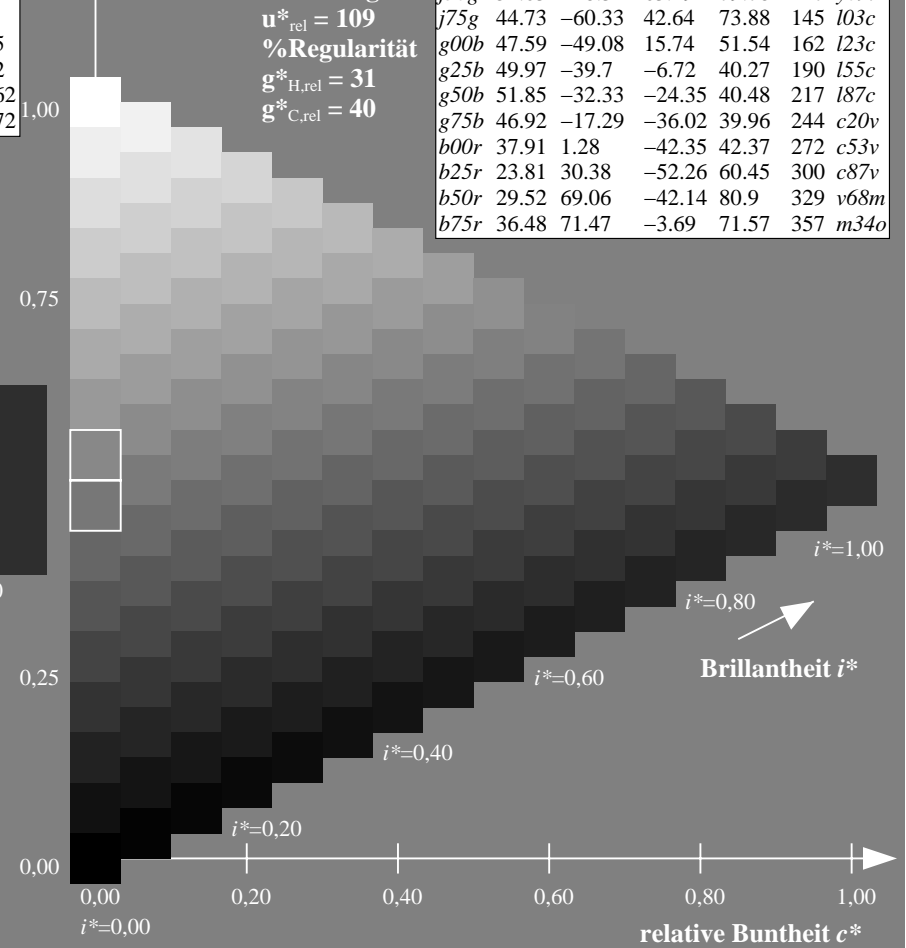
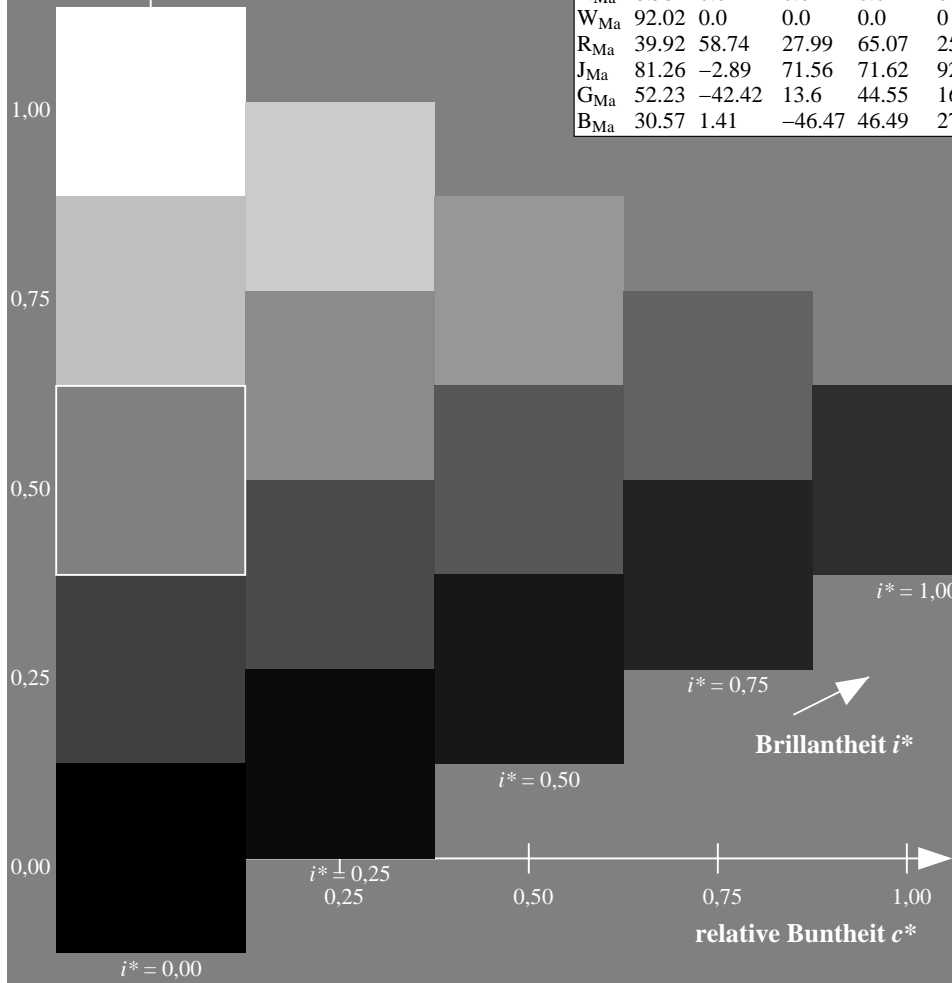
%Regularität

$g^*_{H,rel} = 31$

$g^*_{C,rel} = 40$

FRS09_92a; adaptierte CIELAB-Daten

u^*_e	$L^*=L^*_a$	a^*_a	b^*_a	$C^*_{ab,a}$	$h^*_{ab,a}$	u^*_d
r00j	35.47	63.32	30.17	70.15	25	m81o
r25j	39.12	54.56	49.45	73.64	42	o10y
r50j	50.64	39.15	64.89	75.79	59	o40y
r75j	64.01	21.26	82.83	85.52	76	o69y
j00g	83.18	-4.38	108.53	108.62	92	o98y
j25g	66.73	-29.89	83.06	88.28	110	y34l
j50g	54.03	-48.31	63.49	79.78	127	y69l
j75g	44.73	-60.33	42.64	73.88	145	l03c
g00b	47.59	-49.08	15.74	51.54	162	l23c
g25b	49.97	-39.7	-6.72	40.27	190	l55c
g50b	51.85	-32.33	-24.35	40.48	217	l87c
g75b	46.92	-17.29	-36.02	39.96	244	c20v
b00r	37.91	1.28	-42.35	42.37	272	c53v
b25r	23.81	30.38	-52.26	60.45	300	c87v
b50r	29.52	69.06	-42.14	80.9	329	v68m
b75r	36.48	71.47	-3.69	71.57	357	m34o



Daten für jede Farbe:

lab^*tch^* und lab^*icu^*

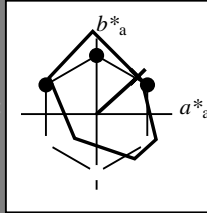
Buntontexte:

$u^*_e = r25j$ $u^*_d = o10y$

Kontrastreduzierungsfaktor:

$c_R = 1.0$

Dreiecks-Helligkeit t^*



FRS09_92a; adaptierte CIELAB-Daten						
u^*_e	$L^*=L^*_a$	a^*_a	b^*_a	$C^*_{ab,a}$	$h^*_{ab,a}$	
O _{Ma}	35.06	60.0	44.0	74.4	36	
Y _{Ma}	83.77	-5.17	109.32	109.44	93	
L _{Ma}	44.13	-62.67	48.24	79.09	142	
C _{Ma}	52.66	-29.14	-31.99	43.27	228	
V _{Ma}	14.15	50.3	-59.04	77.57	310	
M _{Ma}	37.37	78.64	-33.5	85.48	337	
N _{Ma}	8.58	0.0	0.0	0.0	0	
W _{Ma}	92.02	0.0	0.0	0.0	0	
R _{Ma}	39.92	58.74	27.99	65.07	25	
J _{Ma}	81.26	-2.89	71.56	71.62	92	
G _{Ma}	52.23	-42.42	13.6	44.55	162	
B _{Ma}	30.57	1.41	-46.47	46.49	272	

Daten für Maximalfarbe (Ma):

$LAB^*LAB^*_{Ma}$: 39 55 49

$LAB^*LCH^*_{Ma}$: 39 74 42

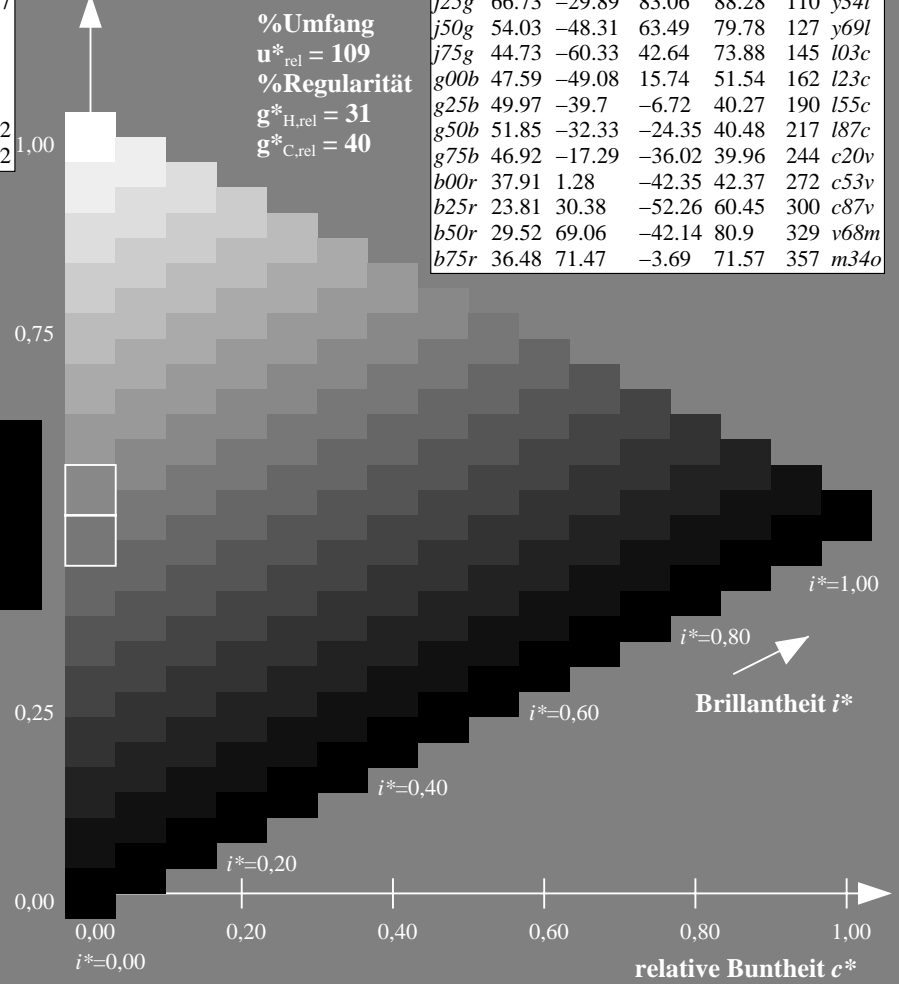
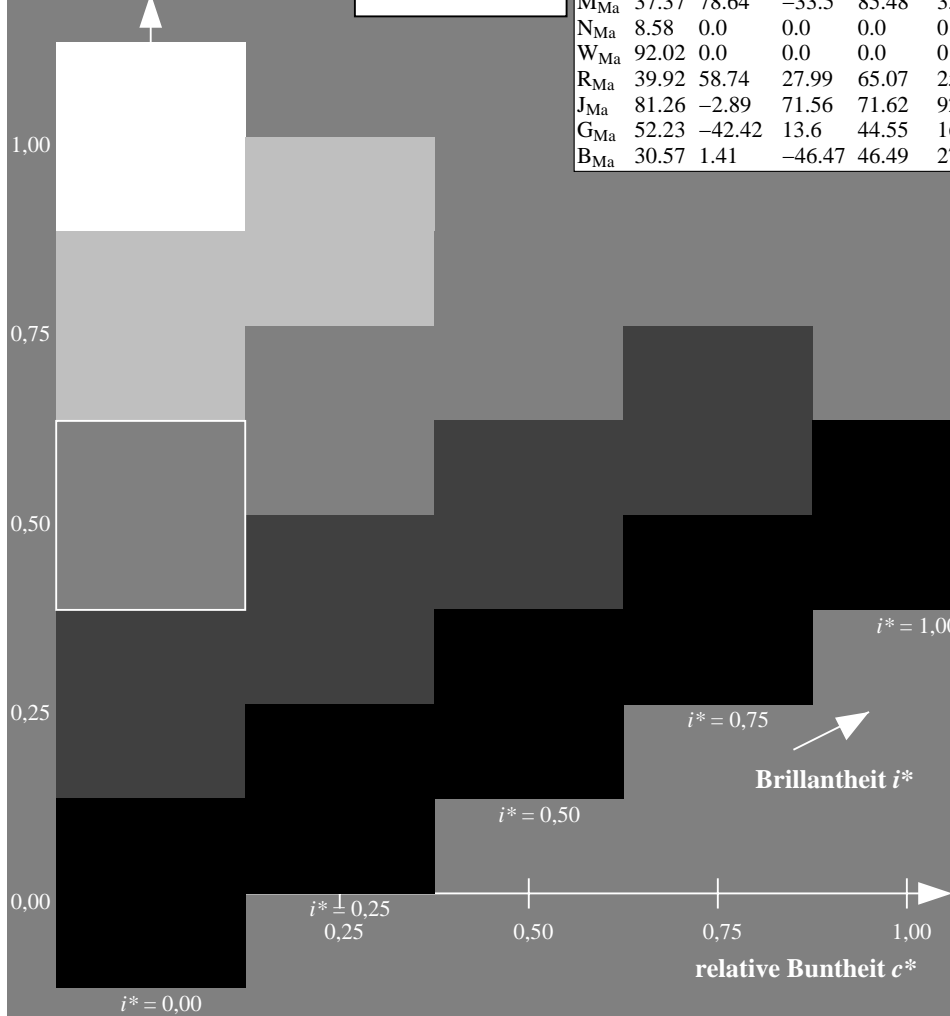
$lab^*rgb^*_{Ma}$: 1.0 0.25 0.0

$lab^*olv^*_{Ma}$: 1.0 0.11 0.0

Dreiecks-Helligkeit t^*

FRS09_92a; adaptierte CIELAB-Daten

u^*_e	$L^*=L^*_a$	a^*_a	b^*_a	$C^*_{ab,a}$	$h^*_{ab,a}$	u^*_d
r00j	35.47	63.32	30.17	70.15	25	m81o
r25j	39.12	54.56	49.45	73.64	42	o10y
r50j	50.64	39.15	64.89	75.79	59	o40y
r75j	64.01	21.26	82.83	85.52	76	o69y
j00g	83.18	-4.38	108.53	108.62	92	o98y
j25g	66.73	-29.89	83.06	88.28	110	y34l
j50g	54.03	-48.31	63.49	79.78	127	y69l
j75g	44.73	-60.33	42.64	73.88	145	l03c
g00b	47.59	-49.08	15.74	51.54	162	l23c
g25b	49.97	-39.7	-6.72	40.27	190	l55c
g50b	51.85	-32.33	-24.35	40.48	217	l87c
g75b	46.92	-17.29	-36.02	39.96	244	c20v
b00r	37.91	1.28	-42.35	42.37	272	c53v
b25r	23.81	30.38	-52.26	60.45	300	c87v
b50r	29.52	69.06	-42.14	80.9	329	v68m
b75r	36.48	71.47	-3.69	71.57	357	m34o



%Umfang
 $u^*_{rel} = 109$
 %Regularität
 $g^*_{H,rel} = 31$
 $g^*_{C,rel} = 40$

Daten für jede Farbe:

lab^*tch^* und lab^*icu^*

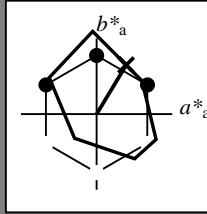
Buntontexte:

$u^*_e = r50j$ $u^*_d = o40y$

Kontrastreduzierungsfaktor:

$c_R = 1.0$

Dreiecks-Helligkeit t^*



FRS09_92a; adaptierte CIELAB-Daten						
u^*_e	$L^*=L^*_a$	a^*_a	b^*_a	$C^*_{ab,a}$	$h^*_{ab,a}$	
O _{Ma}	35.06	60.0	44.0	74.4	36	
Y _{Ma}	83.77	-5.17	109.32	109.44	93	
L _{Ma}	44.13	-62.67	48.24	79.09	142	
C _{Ma}	52.66	-29.14	-31.99	43.27	228	
V _{Ma}	14.15	50.3	-59.04	77.57	310	
M _{Ma}	37.37	78.64	-33.5	85.48	337	
N _{Ma}	8.58	0.0	0.0	0.0	0	
W _{Ma}	92.02	0.0	0.0	0.0	0	
R _{Ma}	39.92	58.74	27.99	65.07	25	
J _{Ma}	81.26	-2.89	71.56	71.62	92	
G _{Ma}	52.23	-42.42	13.6	44.55	162	
B _{Ma}	30.57	1.41	-46.47	46.49	272	

Daten für Maximalfarbe (Ma):

$LAB^*LAB^*_{Ma}$: 51 39 65

$LAB^*LCH^*_{Ma}$: 51 76 58

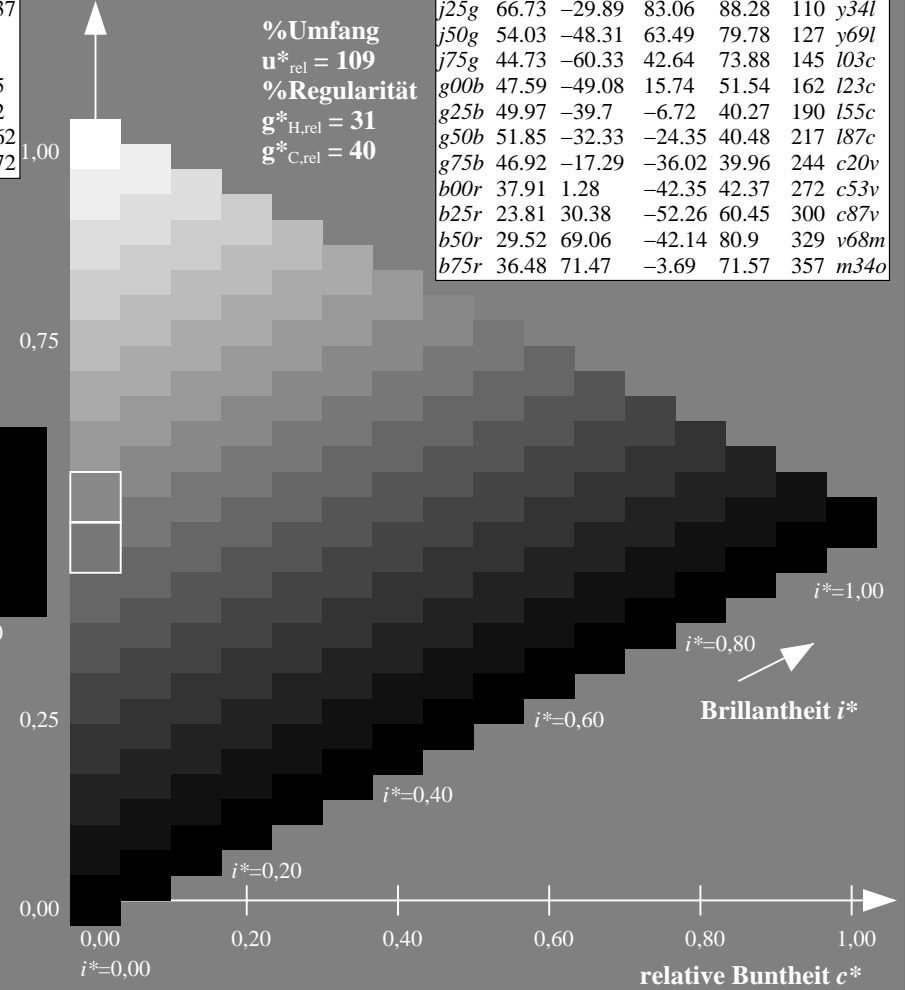
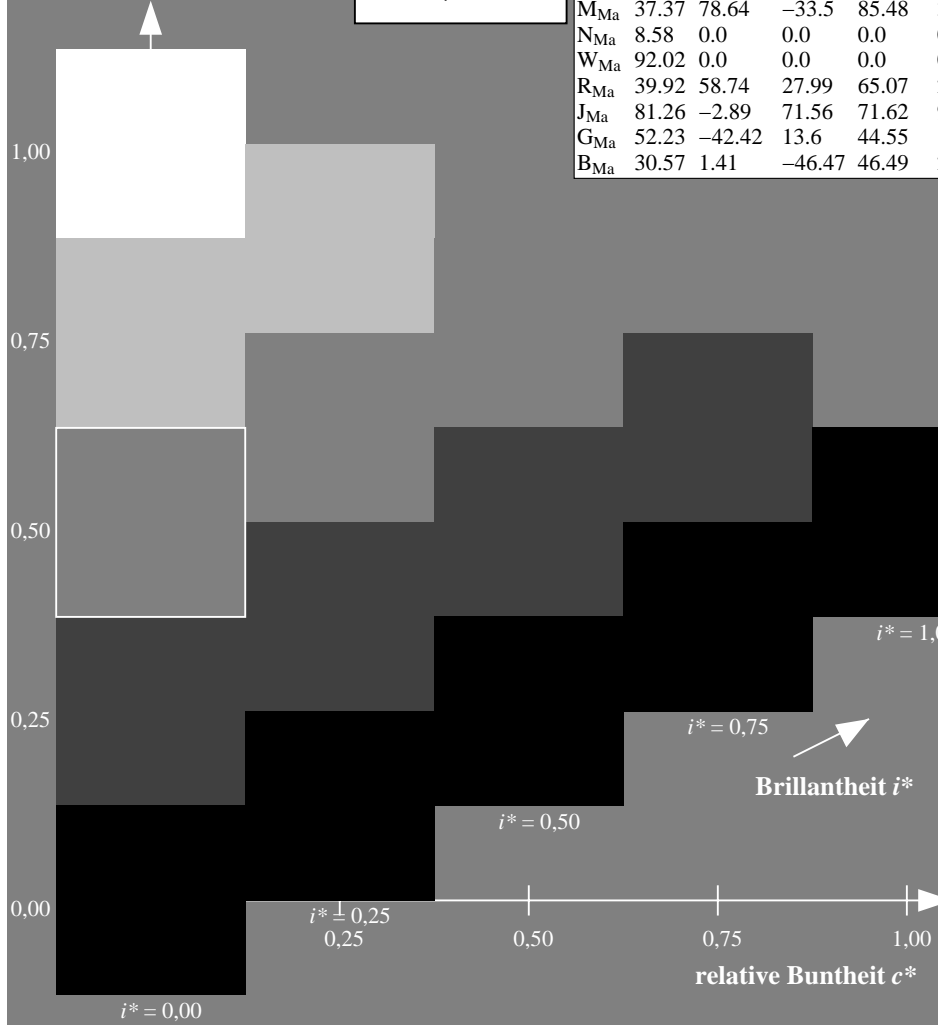
$lab^*rgb^*_{Ma}$: 1.0 0.5 0.0

$lab^*olv^*_{Ma}$: 1.0 0.4 0.0

Dreiecks-Helligkeit t^*

FRS09_92a; adaptierte CIELAB-Daten

u^*_e	$L^*=L^*_a$	a^*_a	b^*_a	$C^*_{ab,a}$	$h^*_{ab,a}$	u^*_d
r00j	35.47	63.32	30.17	70.15	25	m81o
r25j	39.12	54.56	49.45	73.64	42	o10y
r50j	50.64	39.15	64.89	75.79	59	o40y
r75j	64.01	21.26	82.83	85.52	76	o69y
j00g	83.18	-4.38	108.53	108.62	92	o98y
j25g	66.73	-29.89	83.06	88.28	110	y34l
j50g	54.03	-48.31	63.49	79.78	127	y69l
j75g	44.73	-60.33	42.64	73.88	145	l03c
g00b	47.59	-49.08	15.74	51.54	162	l23c
g25b	49.97	-39.7	-6.72	40.27	190	l55c
g50b	51.85	-32.33	-24.35	40.48	217	l87c
g75b	46.92	-17.29	-36.02	39.96	244	c20v
b00r	37.91	1.28	-42.35	42.37	272	c53v
b25r	23.81	30.38	-52.26	60.45	300	c87v
b50r	29.52	69.06	-42.14	80.9	329	v68m
b75r	36.48	71.47	-3.69	71.57	357	m34o



%Umfang
 $u^*_{rel} = 109$
 %Regularität
 $g^*_{H,rel} = 31$
 $g^*_{C,rel} = 40$

Ein und Ausgabe: Farbmatisches Drucker-Reflektiv-System FRS09_92a für relativen CIELAB-Bunton $h^* = lab^*h^* = h_{ab}/360 = 0.21$

$u^*_e = r75j$

Daten für jede Farbe:

lab^*tch^* und lab^*icu^*

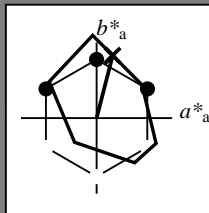
Buntontexte:

$u^*_e = r75j$ $u^*_d = o69y$

Kontrastreduzierungsfaktor:

$c_R = 1.0$

Dreiecks-Helligkeit t^*



FRS09_92a; adaptierte CIELAB-Daten

u^*_e	$L^*=L^*_a$	a^*_a	b^*_a	$C^*_{ab,a}$	$h^*_{ab,a}$
O _{Ma}	35.06	60.0	44.0	74.4	36
Y _{Ma}	83.77	-5.17	109.32	109.44	93
L _{Ma}	44.13	-62.67	48.24	79.09	142
C _{Ma}	52.66	-29.14	-31.99	43.27	228
V _{Ma}	14.15	50.3	-59.04	77.57	310
M _{Ma}	37.37	78.64	-33.5	85.48	337
N _{Ma}	8.58	0.0	0.0	0.0	0
W _{Ma}	92.02	0.0	0.0	0.0	0
R _{Ma}	39.92	58.74	27.99	65.07	25
J _{Ma}	81.26	-2.89	71.56	71.62	92
G _{Ma}	52.23	-42.42	13.6	44.55	162
B _{Ma}	30.57	1.41	-46.47	46.49	272

Daten für Maximalfarbe (Ma):

$LAB^*LAB^*_{Ma}$: 64 21 83

$LAB^*LCH^*_{Ma}$: 64 86 75

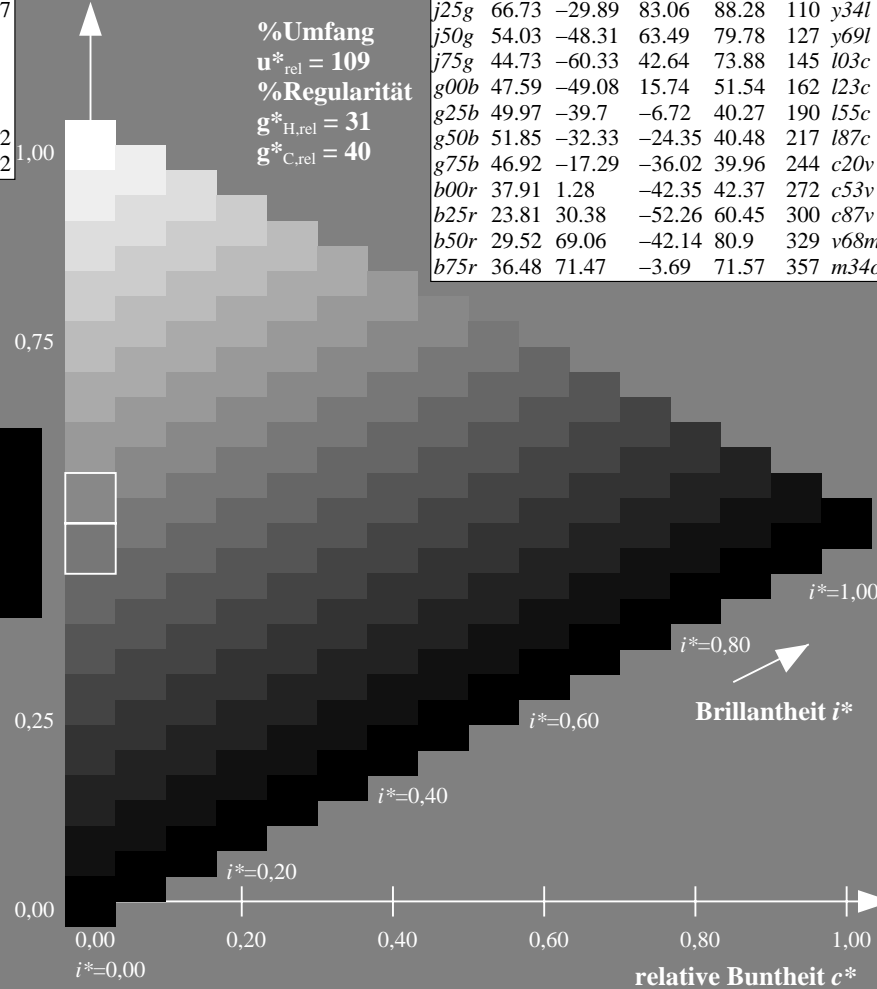
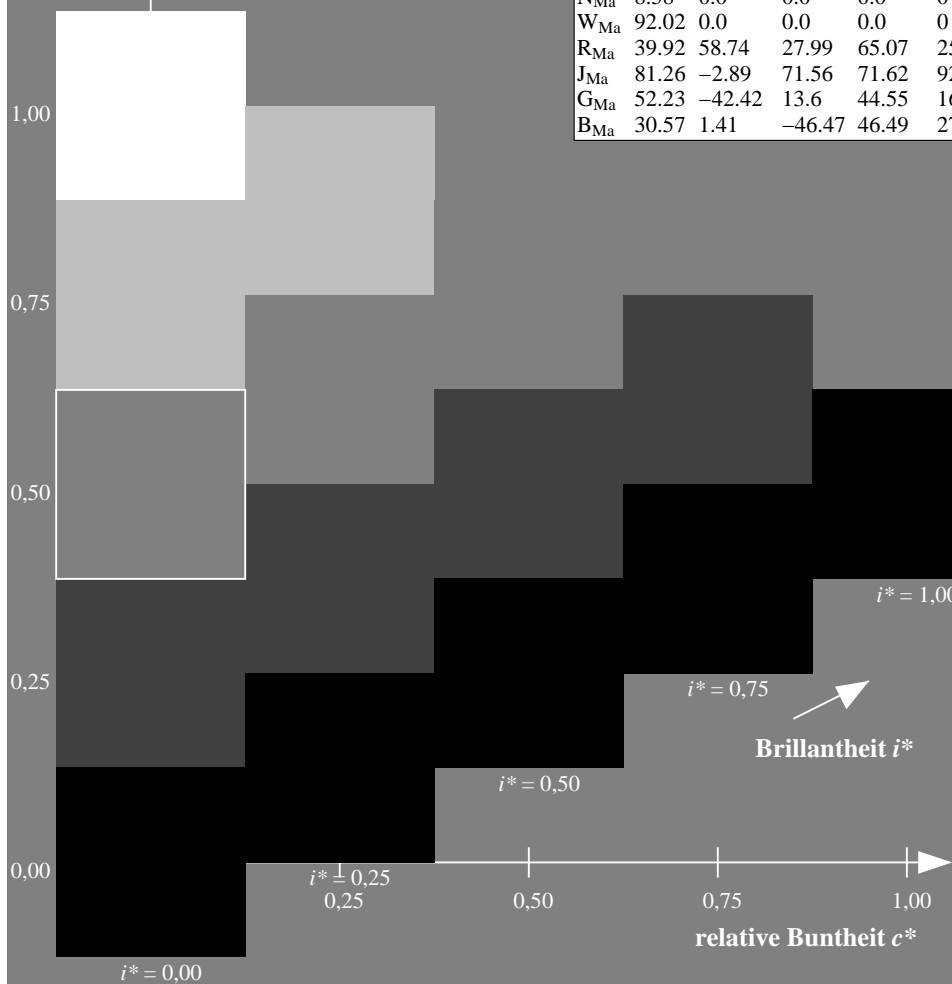
$lab^*rgb^*_{Ma}$: 1.0 0.75 0.0

$lab^*olv^*_{Ma}$: 1.0 0.7 0.0

Dreiecks-Helligkeit t^*

FRS09_92a; adaptierte CIELAB-Daten

u^*_e	$L^*=L^*_a$	a^*_a	b^*_a	$C^*_{ab,a}$	$h^*_{ab,a}$	u^*_d
r00j	35.47	63.32	30.17	70.15	25	m81o
r25j	39.12	54.56	49.45	73.64	42	o10y
r50j	50.64	39.15	64.89	75.79	59	o40y
r75j	64.01	21.26	82.83	85.52	76	o69y
j00g	83.18	-4.38	108.53	108.62	92	o98y
j25g	66.73	-29.89	83.06	88.28	110	y34l
j50g	54.03	-48.31	63.49	79.78	127	y69l
j75g	44.73	-60.33	42.64	73.88	145	l03c
g00b	47.59	-49.08	15.74	51.54	162	l23c
g25b	49.97	-39.7	-6.72	40.27	190	l55c
g50b	51.85	-32.33	-24.35	40.48	217	l87c
g75b	46.92	-17.29	-36.02	39.96	244	c20v
b00r	37.91	1.28	-42.35	42.37	272	c53v
b25r	23.81	30.38	-52.26	60.45	300	c87v
b50r	29.52	69.06	-42.14	80.9	329	v68m
b75r	36.48	71.47	-3.69	71.57	357	m34o



%Umfang
 $u^*_{rel} = 109$
 %Regularität
 $g^*_{H,rel} = 31$
 $g^*_{C,rel} = 40$

Ein und Ausgabe: Farbmatisches Drucker-Reflektiv-System FRS09_92a für relativen CIELAB-Bunton $h^* = lab^*h^* = h_{ab}/360 = 0.256$

$u^*_e = j00g$

Daten für jede Farbe:

lab^*tch^* und lab^*icu^*

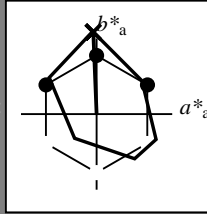
Buntontexte:

$u^*_e = j00g$ $u^*_d = o98y$

Kontrastreduzierungsfaktor:

$c_R = 1.0$

Dreiecks-Helligkeit t^*



FRS09_92a; adaptierte CIELAB-Daten						
u^*_e	$L^*=L^*_a$	a^*_a	b^*_a	$C^*_{ab,a}$	$h^*_{ab,a}$	
O _{Ma}	35.06	60.0	44.0	74.4	36	
Y _{Ma}	83.77	-5.17	109.32	109.44	93	
L _{Ma}	44.13	-62.67	48.24	79.09	142	
C _{Ma}	52.66	-29.14	-31.99	43.27	228	
V _{Ma}	14.15	50.3	-59.04	77.57	310	
M _{Ma}	37.37	78.64	-33.5	85.48	337	
N _{Ma}	8.58	0.0	0.0	0.0	0	
W _{Ma}	92.02	0.0	0.0	0.0	0	
R _{Ma}	39.92	58.74	27.99	65.07	25	
J _{Ma}	81.26	-2.89	71.56	71.62	92	
G _{Ma}	52.23	-42.42	13.6	44.55	162	
B _{Ma}	30.57	1.41	-46.47	46.49	272	

Daten für Maximalfarbe (Ma):

$LAB^*LAB^*_{Ma}$: 83 -4 109

$LAB^*LCH^*_{Ma}$: 83 109 92

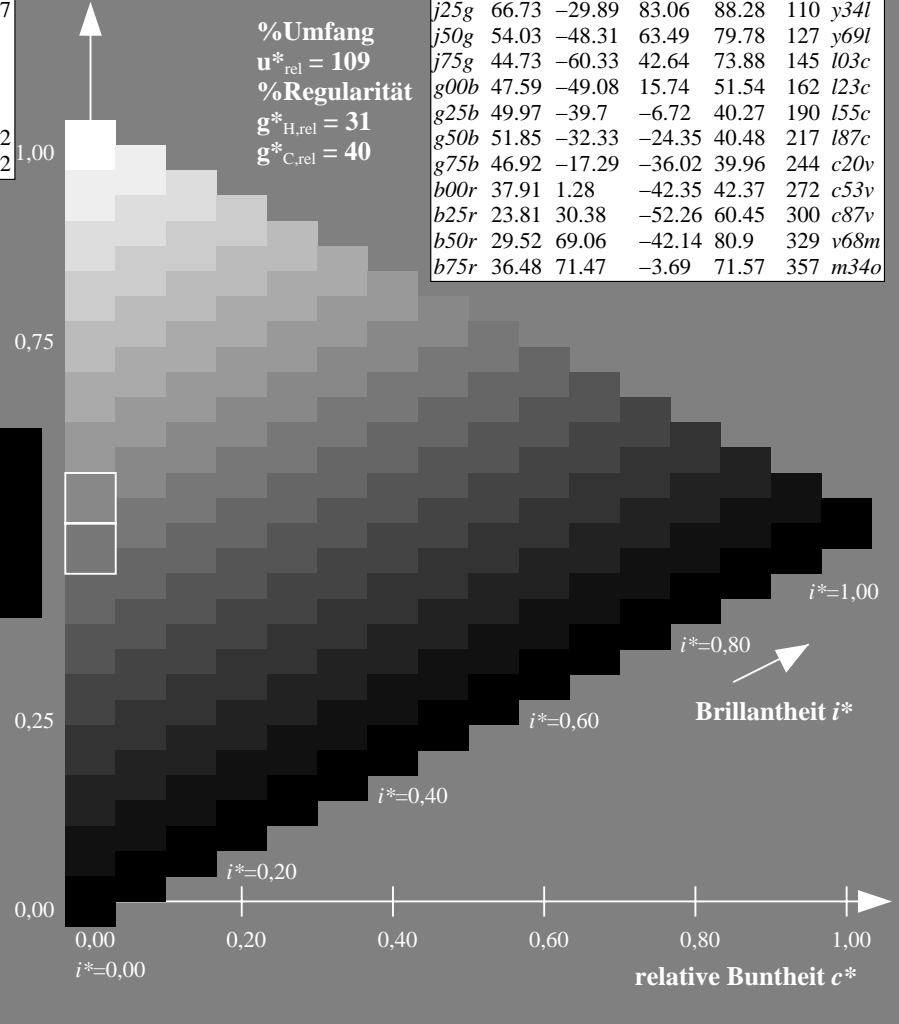
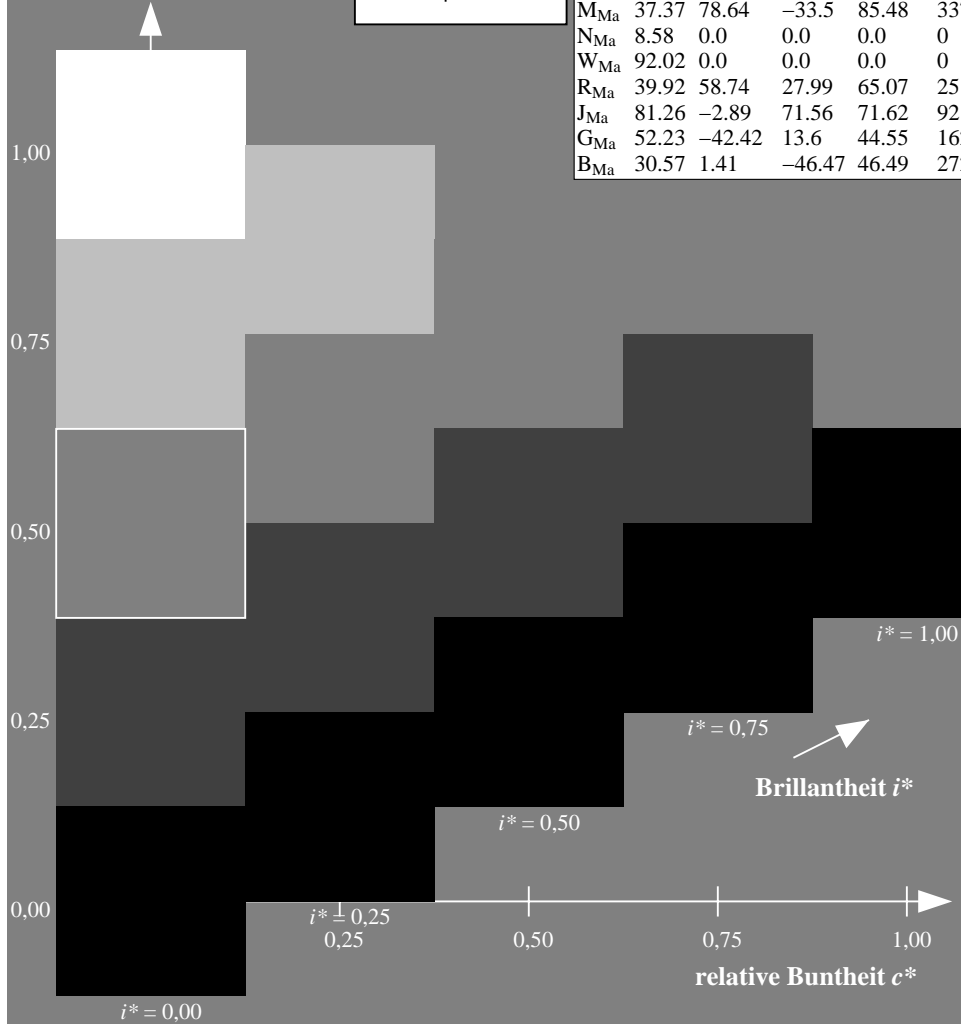
$lab^*rgb^*_{Ma}$: 1.0 1.0 0.0

$lab^*olv^*_{Ma}$: 1.0 0.99 0.0

Dreiecks-Helligkeit t^*

FRS09_92a; adaptierte CIELAB-Daten

u^*_e	$L^*=L^*_a$	a^*_a	b^*_a	$C^*_{ab,a}$	$h^*_{ab,a}$	u^*_d
r00j	35.47	63.32	30.17	70.15	25	m81o
r25j	39.12	54.56	49.45	73.64	42	o10y
r50j	50.64	39.15	64.89	75.79	59	o40y
r75j	64.01	21.26	82.83	85.52	76	o69y
j00g	83.18	-4.38	108.53	108.62	92	o98y
j25g	66.73	-29.89	83.06	88.28	110	y34l
j50g	54.03	-48.31	63.49	79.78	127	y69l
j75g	44.73	-60.33	42.64	73.88	145	l03c
g00b	47.59	-49.08	15.74	51.54	162	l23c
g25b	49.97	-39.7	-6.72	40.27	190	l55c
g50b	51.85	-32.33	-24.35	40.48	217	l87c
g75b	46.92	-17.29	-36.02	39.96	244	c20v
b00r	37.91	1.28	-42.35	42.37	272	c53v
b25r	23.81	30.38	-52.26	60.45	300	c87v
b50r	29.52	69.06	-42.14	80.9	329	v68m
b75r	36.48	71.47	-3.69	71.57	357	m34o



%Umfang
 $u^*_{rel} = 109$
 %Regularität
 $g^*_{H,rel} = 31$
 $g^*_{C,rel} = 40$

Ein und Ausgabe: Farbmatisches Drucker-Reflektiv-System FRS09_92a für relativen CIELAB-Bunton $h^* = lab^*h^* = h_{ab}/360 = 0.305$

$u^*_e = j25g$

Daten für jede Farbe:

lab^*tch^* und lab^*icu^*

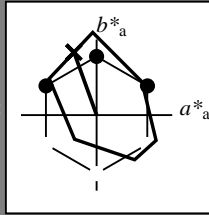
Buntontexte:

$u^*_e = j25g$ $u^*_d = y34l$

Kontrastreduzierungsfaktor:

$c_R = 1.0$

Dreiecks-Helligkeit t^*



FRS09_92a; adaptierte CIELAB-Daten						
u^*_e	$L^*=L^*_a$	a^*_a	b^*_a	$C^*_{ab,a}$	$h^*_{ab,a}$	
O _{Ma}	35.06	60.0	44.0	74.4	36	
Y _{Ma}	83.77	-5.17	109.32	109.44	93	
L _{Ma}	44.13	-62.67	48.24	79.09	142	
C _{Ma}	52.66	-29.14	-31.99	43.27	228	
V _{Ma}	14.15	50.3	-59.04	77.57	310	
M _{Ma}	37.37	78.64	-33.5	85.48	337	
N _{Ma}	8.58	0.0	0.0	0.0	0	
W _{Ma}	92.02	0.0	0.0	0.0	0	
R _{Ma}	39.92	58.74	27.99	65.07	25	
J _{Ma}	81.26	-2.89	71.56	71.62	92	
G _{Ma}	52.23	-42.42	13.6	44.55	162	
B _{Ma}	30.57	1.41	-46.47	46.49	272	

Daten für Maximalfarbe (Ma):

$LAB^*LAB^*_{Ma}: 67 -30 83$

$LAB^*LCH^*_{Ma}: 67 88 109$

$lab^*rgb^*_{Ma}: 0.75 1.0 0.0$

$lab^*olv^*_{Ma}: 0.66 1.0 0.0$

Dreiecks-Helligkeit t^*

%Umfang

$u^*_{rel} = 109$

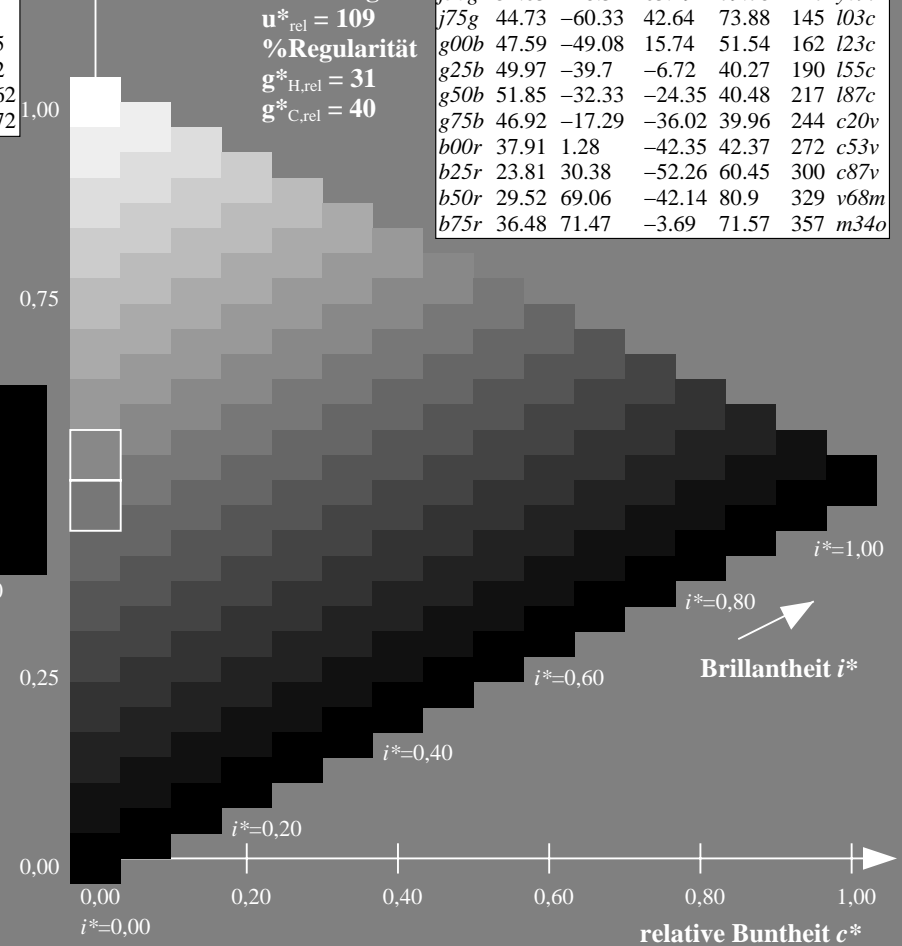
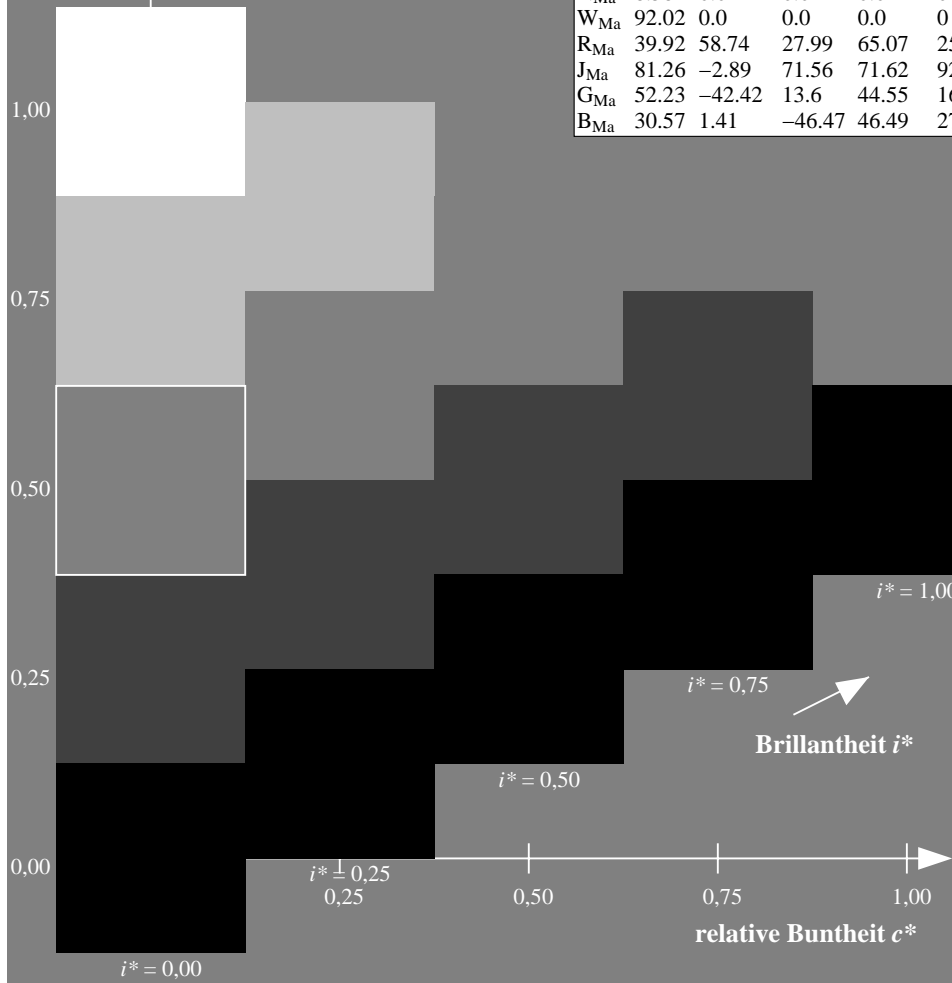
%Regularität

$g^*_{H,rel} = 31$

$g^*_{C,rel} = 40$

FRS09_92a; adaptierte CIELAB-Daten

u^*_e	$L^*=L^*_a$	a^*_a	b^*_a	$C^*_{ab,a}$	$h^*_{ab,a}$	u^*_d
r00j	35.47	63.32	30.17	70.15	25	m81o
r25j	39.12	54.56	49.45	73.64	42	o10y
r50j	50.64	39.15	64.89	75.79	59	o40y
r75j	64.01	21.26	82.83	85.52	76	o69y
j00g	83.18	-4.38	108.53	108.62	92	o98y
j25g	66.73	-29.89	83.06	88.28	110	y34l
j50g	54.03	-48.31	63.49	79.78	127	y69l
j75g	44.73	-60.33	42.64	73.88	145	l03c
g00b	47.59	-49.08	15.74	51.54	162	l23c
g25b	49.97	-39.7	-6.72	40.27	190	l55c
g50b	51.85	-32.33	-24.35	40.48	217	l87c
g75b	46.92	-17.29	-36.02	39.96	244	c20v
b00r	37.91	1.28	-42.35	42.37	272	c53v
b25r	23.81	30.38	-52.26	60.45	300	c87v
b50r	29.52	69.06	-42.14	80.9	329	v68m
b75r	36.48	71.47	-3.69	71.57	357	m34o



Daten für jede Farbe:

lab^*tch^* und lab^*icu^*

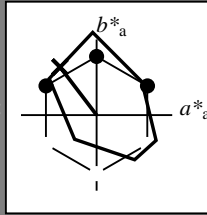
Buntontexte:

$u^*_e = j50g$ $u^*_d = y69l$

Kontrastreduzierungsfaktor:

$c_R = 1.0$

Dreiecks-Helligkeit t^*



FRS09_92a; adaptierte CIELAB-Daten						
u^*_e	$L^*=L^*_a$	a^*_a	b^*_a	$C^*_{ab,a}$	$h^*_{ab,a}$	
O _{Ma}	35.06	60.0	44.0	74.4	36	
Y _{Ma}	83.77	-5.17	109.32	109.44	93	
L _{Ma}	44.13	-62.67	48.24	79.09	142	
C _{Ma}	52.66	-29.14	-31.99	43.27	228	
V _{Ma}	14.15	50.3	-59.04	77.57	310	
M _{Ma}	37.37	78.64	-33.5	85.48	337	
N _{Ma}	8.58	0.0	0.0	0.0	0	
W _{Ma}	92.02	0.0	0.0	0.0	0	
R _{Ma}	39.92	58.74	27.99	65.07	25	
J _{Ma}	81.26	-2.89	71.56	71.62	92	
G _{Ma}	52.23	-42.42	13.6	44.55	162	
B _{Ma}	30.57	1.41	-46.47	46.49	272	

Daten für Maximalfarbe (Ma):

$LAB^*LAB^*_{Ma}$: 54 -48 63

$LAB^*LCH^*_{Ma}$: 54 80 127

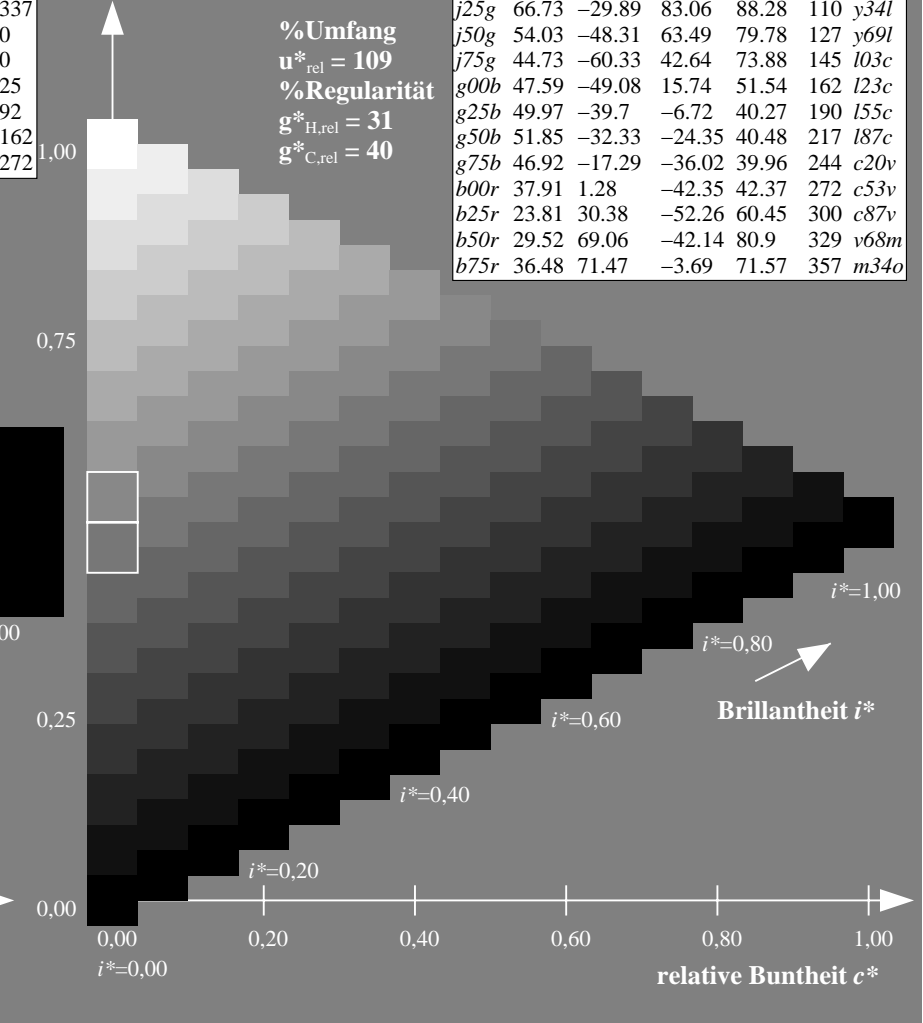
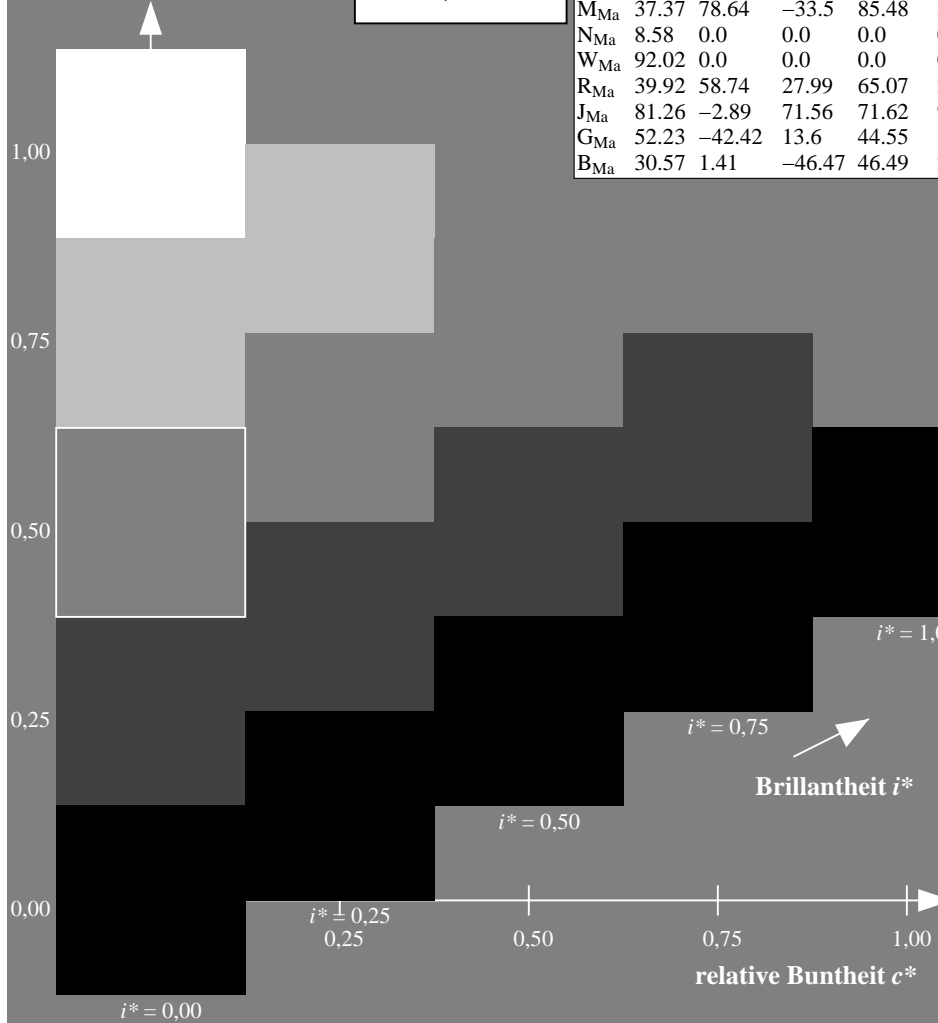
$lab^*rgb^*_{Ma}$: 0.5 1.0 0.0

$lab^*olv^*_{Ma}$: 0.3 1.0 0.0

Dreiecks-Helligkeit t^*

FRS09_92a; adaptierte CIELAB-Daten

u^*_e	$L^*=L^*_a$	a^*_a	b^*_a	$C^*_{ab,a}$	$h^*_{ab,a}$	u^*_d
r00j	35.47	63.32	30.17	70.15	25	m81o
r25j	39.12	54.56	49.45	73.64	42	o10y
r50j	50.64	39.15	64.89	75.79	59	o40y
r75j	64.01	21.26	82.83	85.52	76	o69y
j00g	83.18	-4.38	108.53	108.62	92	o98y
j25g	66.73	-29.89	83.06	88.28	110	y34l
j50g	54.03	-48.31	63.49	79.78	127	y69l
j75g	44.73	-60.33	42.64	73.88	145	l03c
g00b	47.59	-49.08	15.74	51.54	162	l23c
g25b	49.97	-39.7	-6.72	40.27	190	l55c
g50b	51.85	-32.33	-24.35	40.48	217	l87c
g75b	46.92	-17.29	-36.02	39.96	244	c20v
b00r	37.91	1.28	-42.35	42.37	272	c53v
b25r	23.81	30.38	-52.26	60.45	300	c87v
b50r	29.52	69.06	-42.14	80.9	329	v68m
b75r	36.48	71.47	-3.69	71.57	357	m34o



Daten für jede Farbe:

lab^*tch^* und lab^*icu^*

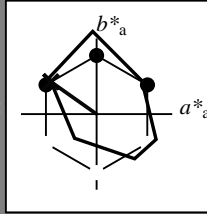
Buntontexte:

$u^*_e = j75g$ $u^*_d = l03c$

Kontrastreduzierungsfaktor:

$c_R = 1.0$

Dreiecks-Helligkeit t^*



FRS09_92a; adaptierte CIELAB-Daten

u^*_e	$L^*=L^*_a$	a^*_a	b^*_a	$C^*_{ab,a}$	$h^*_{ab,a}$
O _{Ma}	35.06	60.0	44.0	74.4	36
Y _{Ma}	83.77	-5.17	109.32	109.44	93
L _{Ma}	44.13	-62.67	48.24	79.09	142
C _{Ma}	52.66	-29.14	-31.99	43.27	228
V _{Ma}	14.15	50.3	-59.04	77.57	310
M _{Ma}	37.37	78.64	-33.5	85.48	337
N _{Ma}	8.58	0.0	0.0	0.0	0
W _{Ma}	92.02	0.0	0.0	0.0	0
R _{Ma}	39.92	58.74	27.99	65.07	25
J _{Ma}	81.26	-2.89	71.56	71.62	92
G _{Ma}	52.23	-42.42	13.6	44.55	162
B _{Ma}	30.57	1.41	-46.47	46.49	272

Daten für Maximalfarbe (Ma):

$LAB^*LAB^*_{Ma}$: 45 -60 43

$LAB^*LCH^*_{Ma}$: 45 74 144

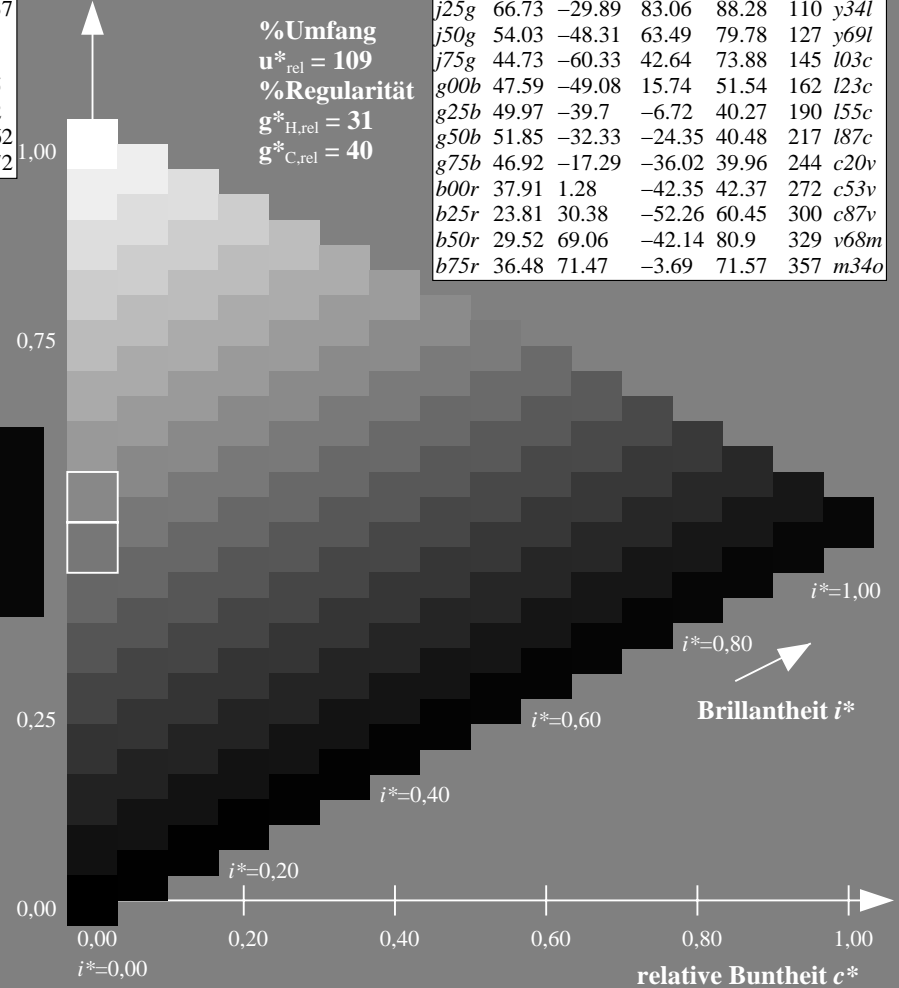
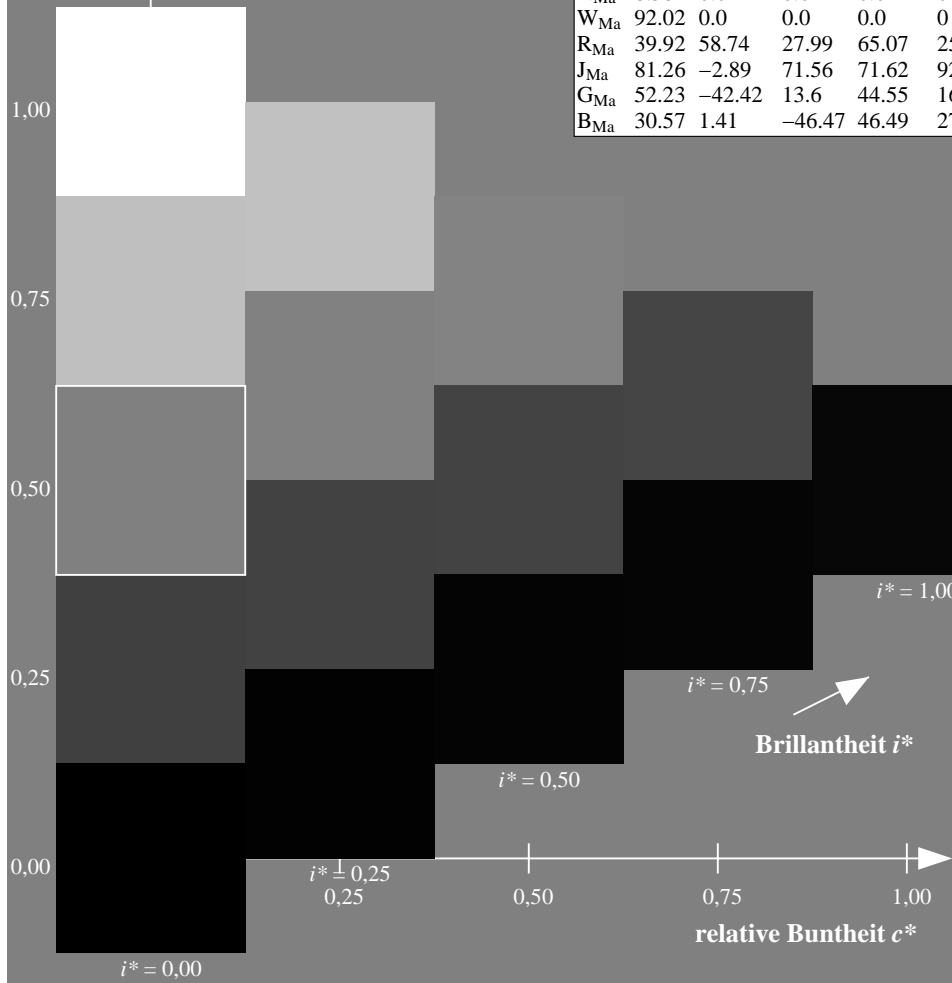
$lab^*rgb^*_{Ma}$: 0.25 1.0 0.0

$lab^*olv^*_{Ma}$: 0.0 1.0 0.03

Dreiecks-Helligkeit t^*

FRS09_92a; adaptierte CIELAB-Daten

u^*_e	$L^*=L^*_a$	a^*_a	b^*_a	$C^*_{ab,a}$	$h^*_{ab,a}$	u^*_d
r00j	35.47	63.32	30.17	70.15	25	m81o
r25j	39.12	54.56	49.45	73.64	42	o10y
r50j	50.64	39.15	64.89	75.79	59	o40y
r75j	64.01	21.26	82.83	85.52	76	o69y
j00g	83.18	-4.38	108.53	108.62	92	o98y
j25g	66.73	-29.89	83.06	88.28	110	y34l
j50g	54.03	-48.31	63.49	79.78	127	y69l
j75g	44.73	-60.33	42.64	73.88	145	l03c
g00b	47.59	-49.08	15.74	51.54	162	l23c
g25b	49.97	-39.7	-6.72	40.27	190	l55c
g50b	51.85	-32.33	-24.35	40.48	217	l87c
g75b	46.92	-17.29	-36.02	39.96	244	c20v
b00r	37.91	1.28	-42.35	42.37	272	c53v
b25r	23.81	30.38	-52.26	60.45	300	c87v
b50r	29.52	69.06	-42.14	80.9	329	v68m
b75r	36.48	71.47	-3.69	71.57	357	m34o



%Umfang

$u^*_{rel} = 109$

%Regularität

$g^*_{H,rel} = 31$

$g^*_{C,rel} = 40$

Ein und Ausgabe: Farbmatisches Drucker-Reflektiv-System FRS09_92a für relativen CIELAB-Bunton $h^* = lab^*h^* = h_{ab}/360 = 0.451$

$u^*_e = g00b$

Daten für jede Farbe:

lab^*tch^* und lab^*icu^*

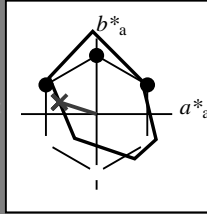
Buntontexte:

$u^*_e = g00b$ $u^*_d = l23c$

Kontrastreduzierungsfaktor:

$c_R = 1.0$

Dreiecks-Helligkeit t^*



FRS09_92a; adaptierte CIELAB-Daten						
u^*_e	$L^*=L^*_a$	a^*_a	b^*_a	$C^*_{ab,a}$	$h^*_{ab,a}$	
O _{Ma}	35.06	60.0	44.0	74.4	36	
Y _{Ma}	83.77	-5.17	109.32	109.44	93	
L _{Ma}	44.13	-62.67	48.24	79.09	142	
C _{Ma}	52.66	-29.14	-31.99	43.27	228	
V _{Ma}	14.15	50.3	-59.04	77.57	310	
M _{Ma}	37.37	78.64	-33.5	85.48	337	
N _{Ma}	8.58	0.0	0.0	0.0	0	
W _{Ma}	92.02	0.0	0.0	0.0	0	
R _{Ma}	39.92	58.74	27.99	65.07	25	
J _{Ma}	81.26	-2.89	71.56	71.62	92	
G _{Ma}	52.23	-42.42	13.6	44.55	162	
B _{Ma}	30.57	1.41	-46.47	46.49	272	

Daten für Maximalfarbe (Ma):

$LAB^*LAB^*_{Ma}$: 48 -49 16

$LAB^*LCH^*_{Ma}$: 48 52 162

$lab^*rgb^*_{Ma}$: 0.0 1.0 0.0

$lab^*olv^*_{Ma}$: 0.0 1.0 0.23

Dreiecks-Helligkeit t^*

%Umfang

$u^*_{rel} = 109$

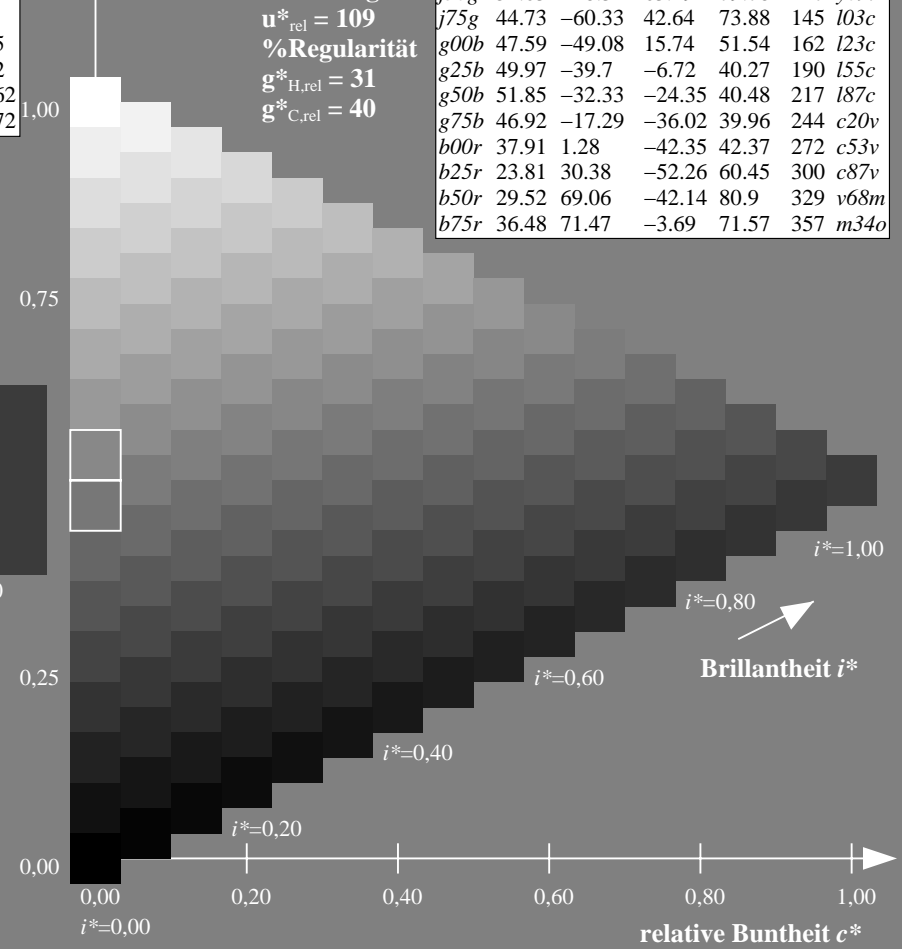
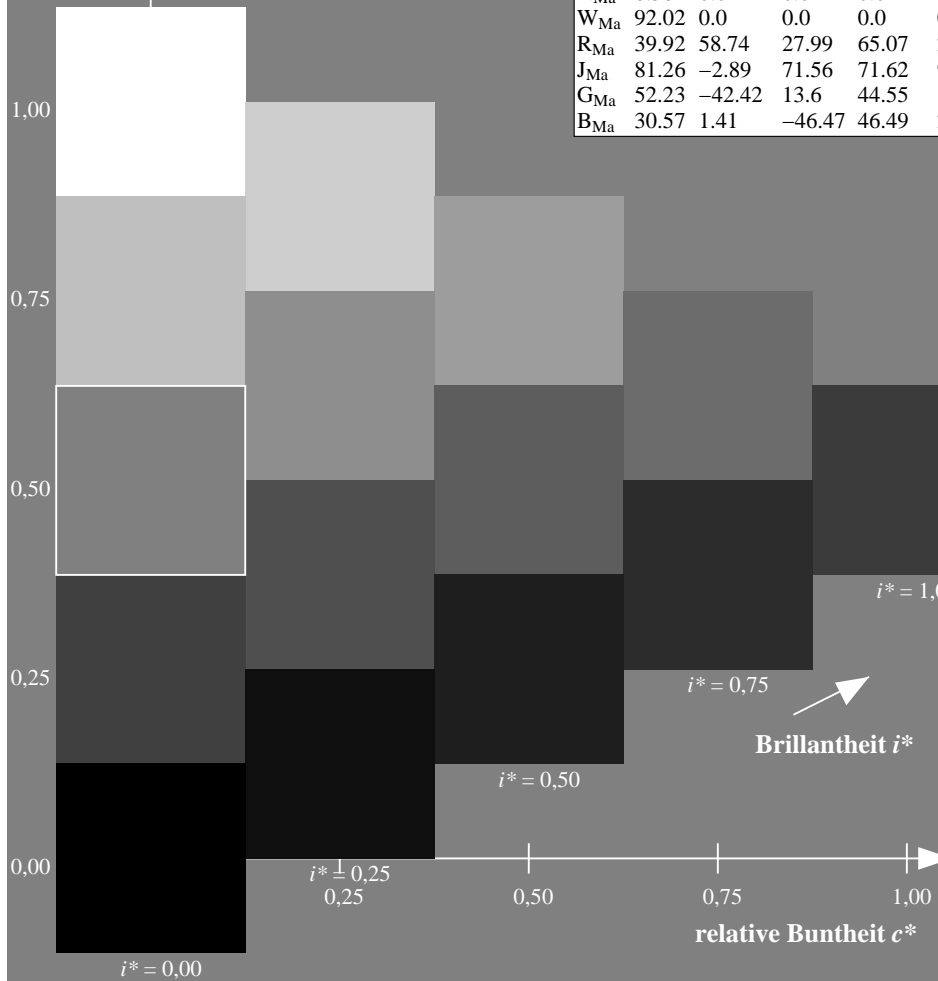
%Regularität

$g^*_{H,rel} = 31$

$g^*_{C,rel} = 40$

FRS09_92a; adaptierte CIELAB-Daten

u^*_e	$L^*=L^*_a$	a^*_a	b^*_a	$C^*_{ab,a}$	$h^*_{ab,a}$	u^*_d
r00j	35.47	63.32	30.17	70.15	25	m81o
r25j	39.12	54.56	49.45	73.64	42	o10y
r50j	50.64	39.15	64.89	75.79	59	o40y
r75j	64.01	21.26	82.83	85.52	76	o69y
j00g	83.18	-4.38	108.53	108.62	92	o98y
j25g	66.73	-29.89	83.06	88.28	110	y34l
j50g	54.03	-48.31	63.49	79.78	127	y69l
j75g	44.73	-60.33	42.64	73.88	145	l03c
g00b	47.59	-49.08	15.74	51.54	162	l23c
g25b	49.97	-39.7	-6.72	40.27	190	l55c
g50b	51.85	-32.33	-24.35	40.48	217	l87c
g75b	46.92	-17.29	-36.02	39.96	244	c20v
b00r	37.91	1.28	-42.35	42.37	272	c53v
b25r	23.81	30.38	-52.26	60.45	300	c87v
b50r	29.52	69.06	-42.14	80.9	329	v68m
b75r	36.48	71.47	-3.69	71.57	357	m34o



Daten für jede Farbe:

lab^*tch^* und lab^*icu^*

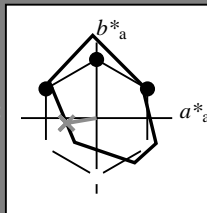
Buntontexte:

$u^*_e = g25b$ $u^*_d = l55c$

Kontrastreduzierungsfaktor:

$c_R = 1.0$

Dreiecks-Helligkeit t^*



FRS09_92a; adaptierte CIELAB-Daten

u^*_e	$L^*=L^*_a$	a^*_a	b^*_a	$C^*_{ab,a}$	$h^*_{ab,a}$
O _{Ma}	35.06	60.0	44.0	74.4	36
Y _{Ma}	83.77	-5.17	109.32	109.44	93
L _{Ma}	44.13	-62.67	48.24	79.09	142
C _{Ma}	52.66	-29.14	-31.99	43.27	228
V _{Ma}	14.15	50.3	-59.04	77.57	310
M _{Ma}	37.37	78.64	-33.5	85.48	337
N _{Ma}	8.58	0.0	0.0	0.0	0
W _{Ma}	92.02	0.0	0.0	0.0	0
R _{Ma}	39.92	58.74	27.99	65.07	25
J _{Ma}	81.26	-2.89	71.56	71.62	92
G _{Ma}	52.23	-42.42	13.6	44.55	162
B _{Ma}	30.57	1.41	-46.47	46.49	272

Daten für Maximalfarbe (Ma):

$LAB^*LAB^*_{Ma}: 50 -40 -7$

$LAB^*LCH^*_{Ma}: 50 40 189$

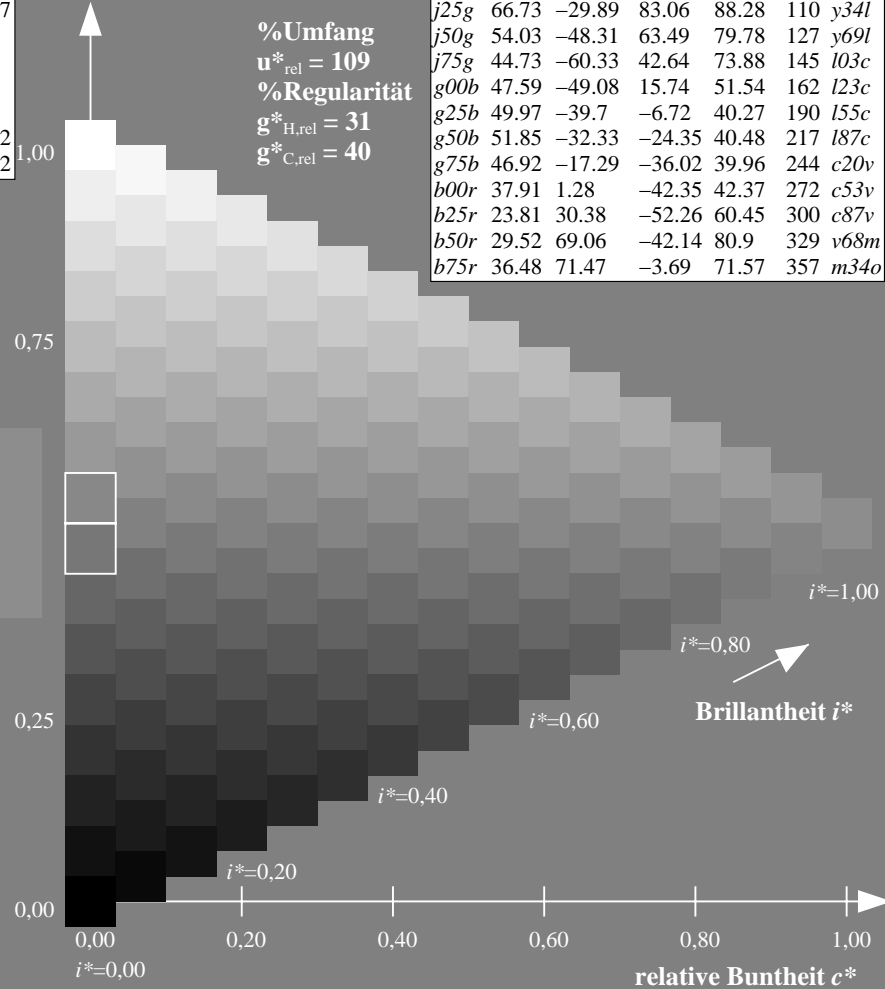
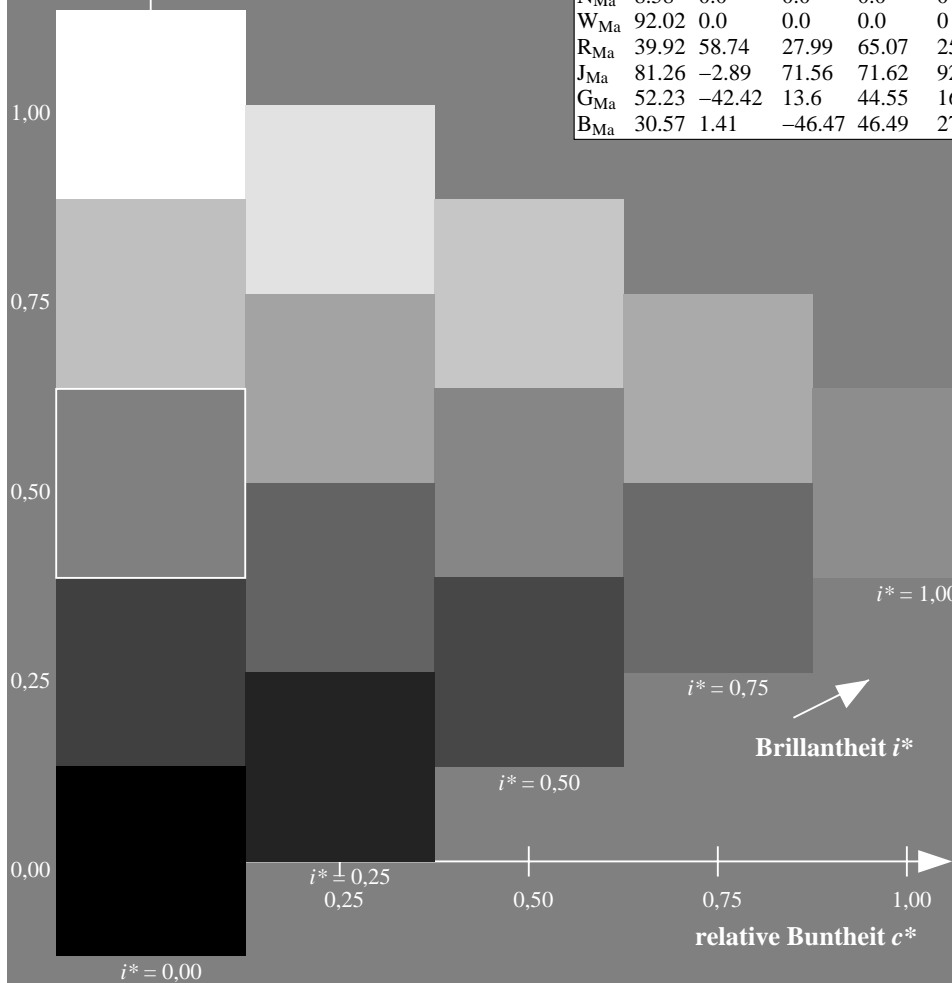
$lab^*rgb^*_{Ma}: 0.0 1.0 0.5$

$lab^*olv^*_{Ma}: 0.0 1.0 0.55$

Dreiecks-Helligkeit t^*

FRS09_92a; adaptierte CIELAB-Daten

u^*_e	$L^*=L^*_a$	a^*_a	b^*_a	$C^*_{ab,a}$	$h^*_{ab,a}$	u^*_d
r00j	35.47	63.32	30.17	70.15	25	m81o
r25j	39.12	54.56	49.45	73.64	42	o10y
r50j	50.64	39.15	64.89	75.79	59	o40y
r75j	64.01	21.26	82.83	85.52	76	o69y
j00g	83.18	-4.38	108.53	108.62	92	o98y
j25g	66.73	-29.89	83.06	88.28	110	y34l
j50g	54.03	-48.31	63.49	79.78	127	y69l
j75g	44.73	-60.33	42.64	73.88	145	l03c
g00b	47.59	-49.08	15.74	51.54	162	l23c
g25b	49.97	-39.7	-6.72	40.27	190	l55c
g50b	51.85	-32.33	-24.35	40.48	217	l87c
g75b	46.92	-17.29	-36.02	39.96	244	c20v
b00r	37.91	1.28	-42.35	42.37	272	c53v
b25r	23.81	30.38	-52.26	60.45	300	c87v
b50r	29.52	69.06	-42.14	80.9	329	v68m
b75r	36.48	71.47	-3.69	71.57	357	m34o



Ein und Ausgabe: Farbmatisches Drucker-Reflektiv-System FRS09_92a für relativen CIELAB-Bunton $h^* = lab^*h^* = h_{ab}/360 = 0.603$

$u^*_e = g50b$

Daten für jede Farbe:

lab^*tch^* und lab^*icu^*

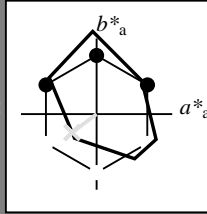
Buntontexte:

$u^*_e = g50b$ $u^*_d = l87c$

Kontrastreduzierungsfaktor:

$c_R = 1.0$

Dreiecks-Helligkeit t^*



FRS09_92a; adaptierte CIELAB-Daten						
u^*_e	$L^*=L^*_a$	a^*_a	b^*_a	$C^*_{ab,a}$	$h^*_{ab,a}$	
O _{Ma}	35.06	60.0	44.0	74.4	36	
Y _{Ma}	83.77	-5.17	109.32	109.44	93	
L _{Ma}	44.13	-62.67	48.24	79.09	142	
C _{Ma}	52.66	-29.14	-31.99	43.27	228	
V _{Ma}	14.15	50.3	-59.04	77.57	310	
M _{Ma}	37.37	78.64	-33.5	85.48	337	
N _{Ma}	8.58	0.0	0.0	0.0	0	
W _{Ma}	92.02	0.0	0.0	0.0	0	
R _{Ma}	39.92	58.74	27.99	65.07	25	
J _{Ma}	81.26	-2.89	71.56	71.62	92	
G _{Ma}	52.23	-42.42	13.6	44.55	162	
B _{Ma}	30.57	1.41	-46.47	46.49	272	

Daten für Maximalfarbe (Ma):

$LAB^*LAB^*_{Ma}$: 52 -32 -24

$LAB^*LCH^*_{Ma}$: 52 40 216

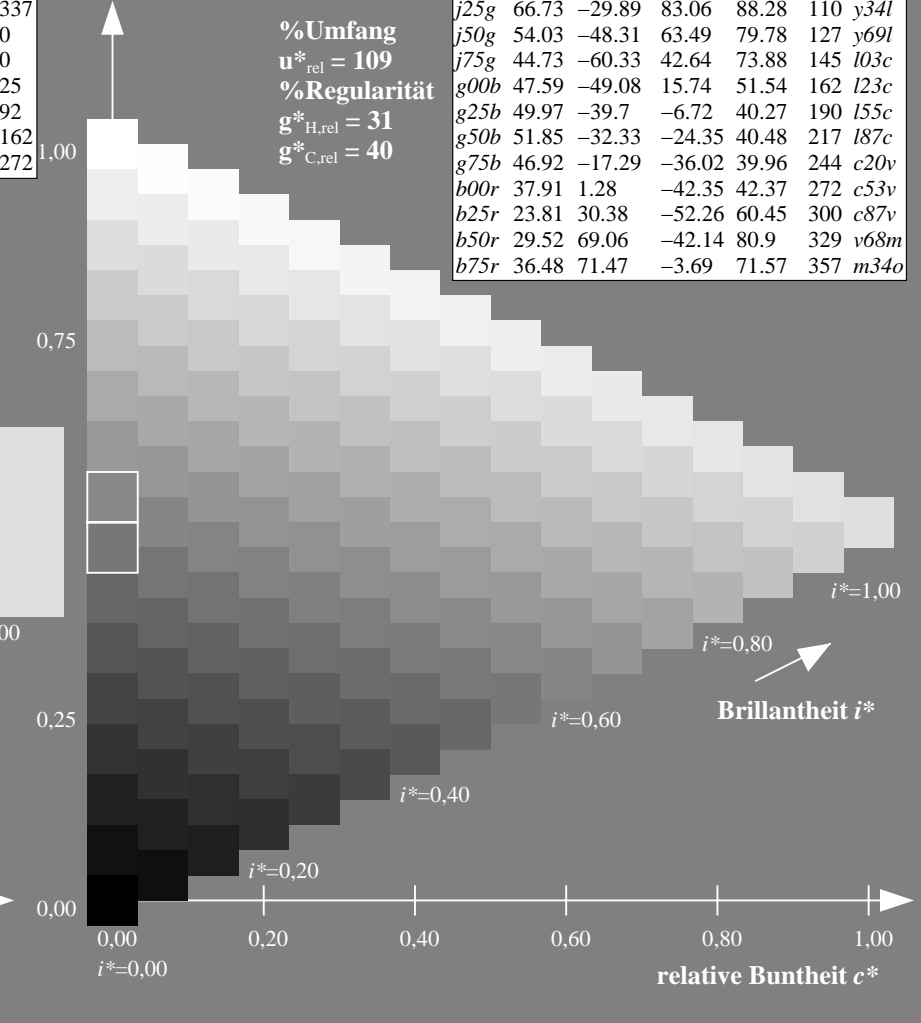
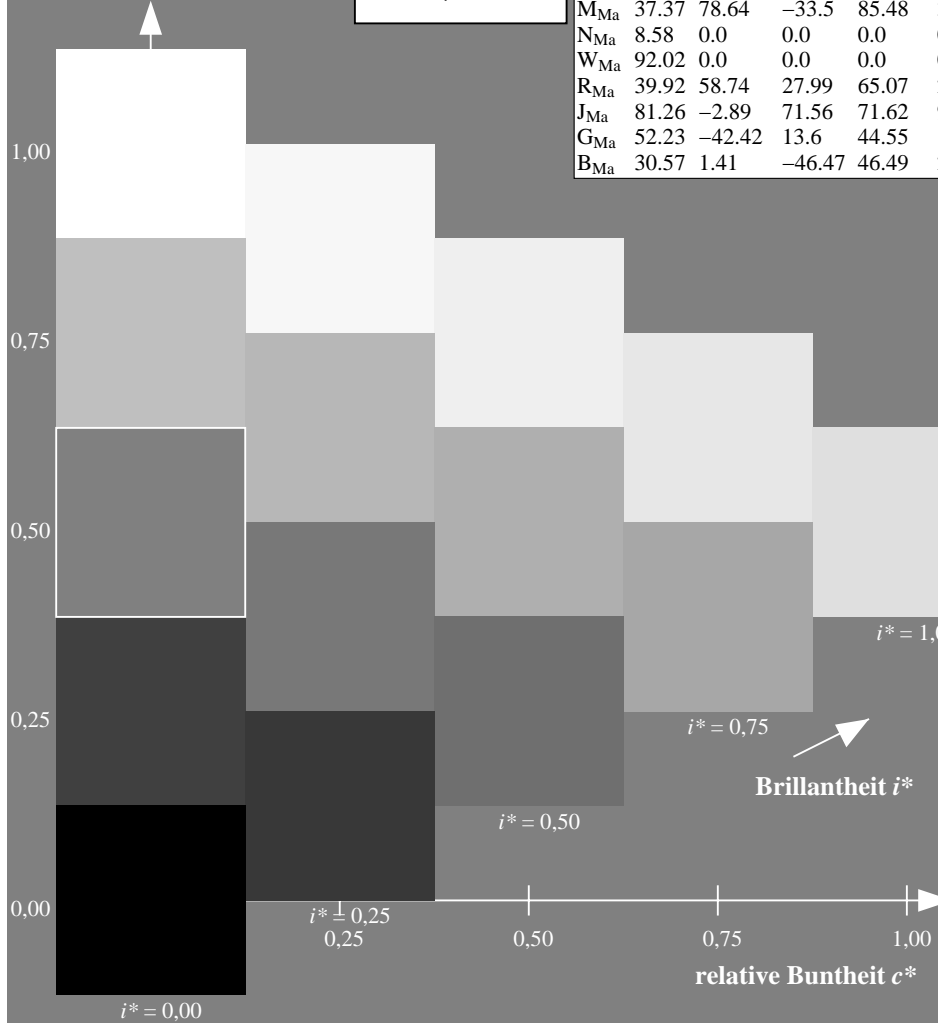
$lab^*rgb^*_{Ma}$: 0.0 1.0 1.0

$lab^*olv^*_{Ma}$: 0.0 1.0 0.87

Dreiecks-Helligkeit t^*

FRS09_92a; adaptierte CIELAB-Daten

u^*_e	$L^*=L^*_a$	a^*_a	b^*_a	$C^*_{ab,a}$	$h^*_{ab,a}$	u^*_d
r00j	35.47	63.32	30.17	70.15	25	m81o
r25j	39.12	54.56	49.45	73.64	42	o10y
r50j	50.64	39.15	64.89	75.79	59	o40y
r75j	64.01	21.26	82.83	85.52	76	o69y
j00g	83.18	-4.38	108.53	108.62	92	o98y
j25g	66.73	-29.89	83.06	88.28	110	y34l
j50g	54.03	-48.31	63.49	79.78	127	y69l
j75g	44.73	-60.33	42.64	73.88	145	l03c
g00b	47.59	-49.08	15.74	51.54	162	l23c
g25b	49.97	-39.7	-6.72	40.27	190	l55c
g50b	51.85	-32.33	-24.35	40.48	217	l87c
g75b	46.92	-17.29	-36.02	39.96	244	c20v
b00r	37.91	1.28	-42.35	42.37	272	c53v
b25r	23.81	30.38	-52.26	60.45	300	c87v
b50r	29.52	69.06	-42.14	80.9	329	v68m
b75r	36.48	71.47	-3.69	71.57	357	m34o



Ein und Ausgabe: Farbmatisches Drucker-Reflektiv-System FRS09_92a für relativen CIELAB-Bunton $h^* = lab^*h^* = h_{ab}/360 = 0.679$

$u^*_e = g75b$

Daten für jede Farbe:

lab^*tch^* und lab^*icu^*

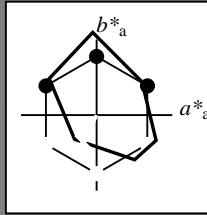
Buntontexte:

$u^*_e = g75b$ $u^*_d = c20v$

Kontrastreduzierungsfaktor:

$c_R = 1.0$

Dreiecks-Helligkeit t^*



FRS09_92a; adaptierte CIELAB-Daten

u^*_e	$L^*=L^*_a$	a^*_a	b^*_a	$C^*_{ab,a}$	$h^*_{ab,a}$
O _{Ma}	35.06	60.0	44.0	74.4	36
Y _{Ma}	83.77	-5.17	109.32	109.44	93
L _{Ma}	44.13	-62.67	48.24	79.09	142
C _{Ma}	52.66	-29.14	-31.99	43.27	228
V _{Ma}	14.15	50.3	-59.04	77.57	310
M _{Ma}	37.37	78.64	-33.5	85.48	337
N _{Ma}	8.58	0.0	0.0	0.0	0
W _{Ma}	92.02	0.0	0.0	0.0	0
R _{Ma}	39.92	58.74	27.99	65.07	25
J _{Ma}	81.26	-2.89	71.56	71.62	92
G _{Ma}	52.23	-42.42	13.6	44.55	162
B _{Ma}	30.57	1.41	-46.47	46.49	272

Daten für Maximalfarbe (Ma):

$LAB^*LAB^*_{Ma}: 47 -17 -36$

$LAB^*LCH^*_{Ma}: 47 40 244$

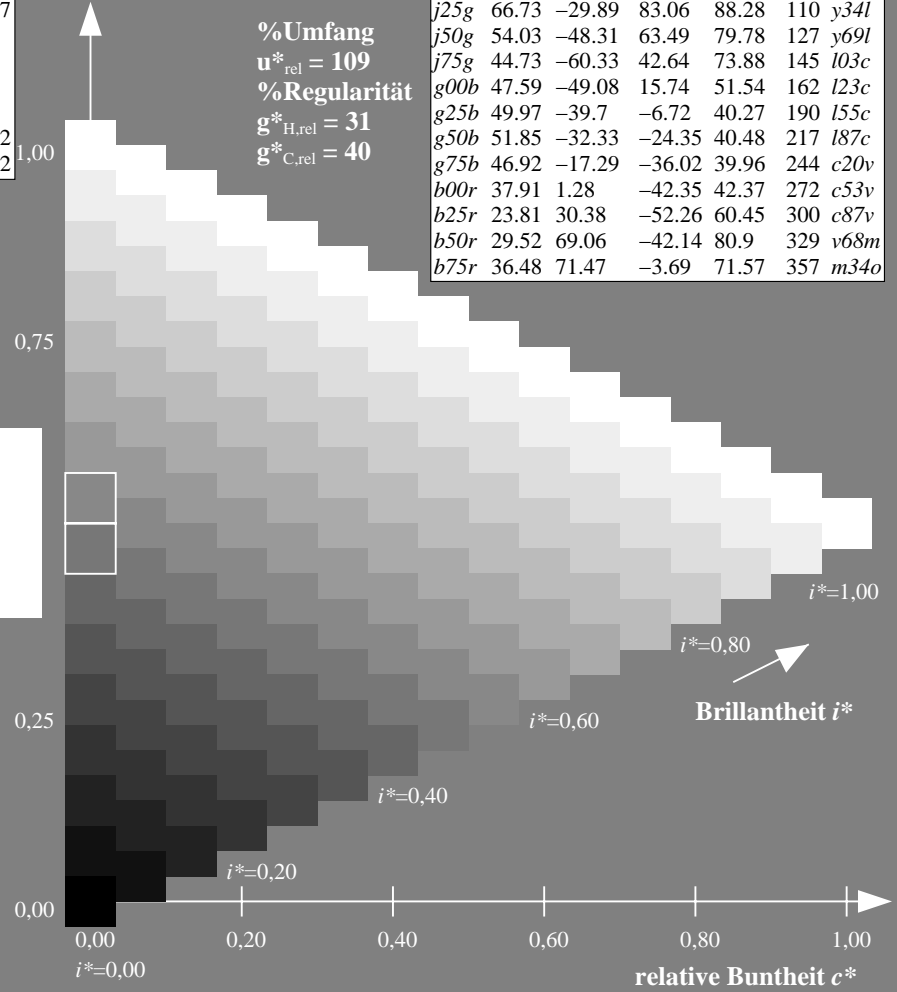
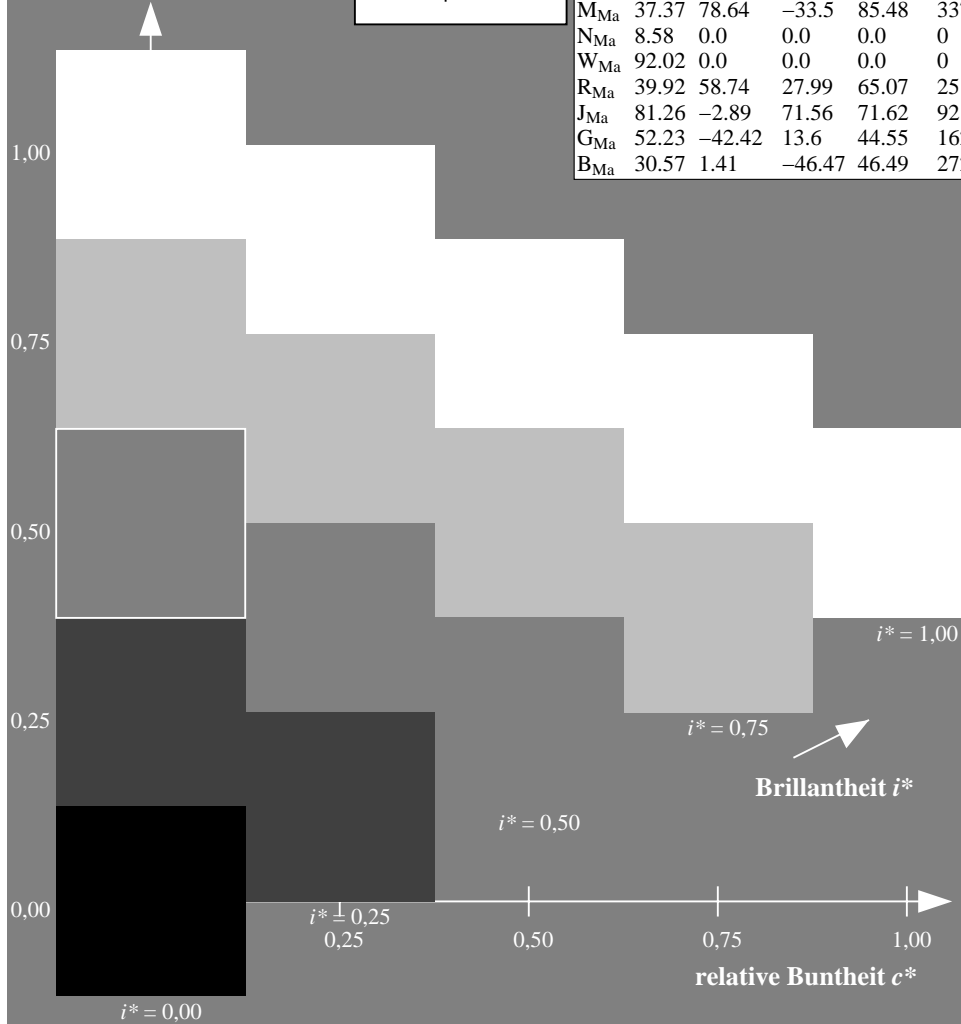
$lab^*rgb^*_{Ma}: 0.0 0.5 1.0$

$lab^*olv^*_{Ma}: 0.0 0.8 1.0$

Dreiecks-Helligkeit t^*

FRS09_92a; adaptierte CIELAB-Daten

u^*_e	$L^*=L^*_a$	a^*_a	b^*_a	$C^*_{ab,a}$	$h^*_{ab,a}$	u^*_d
r00j	35.47	63.32	30.17	70.15	25	m81o
r25j	39.12	54.56	49.45	73.64	42	o10y
r50j	50.64	39.15	64.89	75.79	59	o40y
r75j	64.01	21.26	82.83	85.52	76	o69y
j00g	83.18	-4.38	108.53	108.62	92	o98y
j25g	66.73	-29.89	83.06	88.28	110	y34l
j50g	54.03	-48.31	63.49	79.78	127	y69l
j75g	44.73	-60.33	42.64	73.88	145	l03c
g00b	47.59	-49.08	15.74	51.54	162	l23c
g25b	49.97	-39.7	-6.72	40.27	190	l55c
g50b	51.85	-32.33	-24.35	40.48	217	l87c
g75b	46.92	-17.29	-36.02	39.96	244	c20v
b00r	37.91	1.28	-42.35	42.37	272	c53v
b25r	23.81	30.38	-52.26	60.45	300	c87v
b50r	29.52	69.06	-42.14	80.9	329	v68m
b75r	36.48	71.47	-3.69	71.57	357	m34o



Daten für jede Farbe:

lab^*tch^* und lab^*icu^*

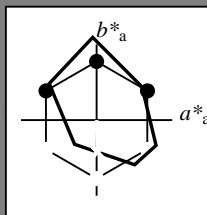
Buntontexte:

$u^*_e = b00r$ $u^*_d = c53v$

Kontrastreduzierungsfaktor:

$c_R = 1.0$

Dreiecks-Helligkeit t^*



FRS09_92a; adaptierte CIELAB-Daten						
u^*_e	$L^*=L^*_a$	a^*_a	b^*_a	$C^*_{ab,a}$	$h^*_{ab,a}$	
O_{Ma}	35.06	60.0	44.0	74.4	36	
Y_{Ma}	83.77	-5.17	109.32	109.44	93	
L_{Ma}	44.13	-62.67	48.24	79.09	142	
C_{Ma}	52.66	-29.14	-31.99	43.27	228	
V_{Ma}	14.15	50.3	-59.04	77.57	310	
M_{Ma}	37.37	78.64	-33.5	85.48	337	
N_{Ma}	8.58	0.0	0.0	0.0	0	
W_{Ma}	92.02	0.0	0.0	0.0	0	
R_{Ma}	39.92	58.74	27.99	65.07	25	
J_{Ma}	81.26	-2.89	71.56	71.62	92	
G_{Ma}	52.23	-42.42	13.6	44.55	162	
B_{Ma}	30.57	1.41	-46.47	46.49	272	

Daten für Maximalfarbe (Ma):

$LAB^*LAB^*_{Ma}$: 38 1 -42

$LAB^*LCH^*_{Ma}$: 38 42 271

$lab^*rgb^*_{Ma}$: 0.0 0.0 1.0

$lab^*olv^*_{Ma}$: 0.0 0.47 1.0

Dreiecks-Helligkeit t^*

%Umfang

$u^*_{rel} = 109$

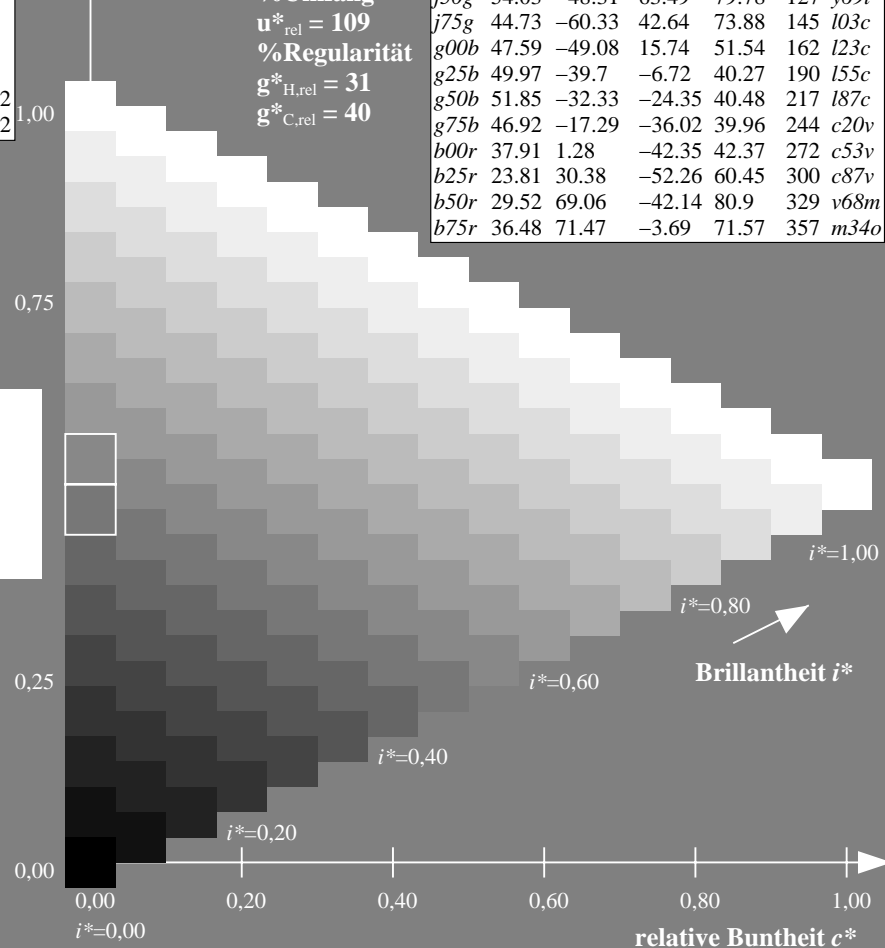
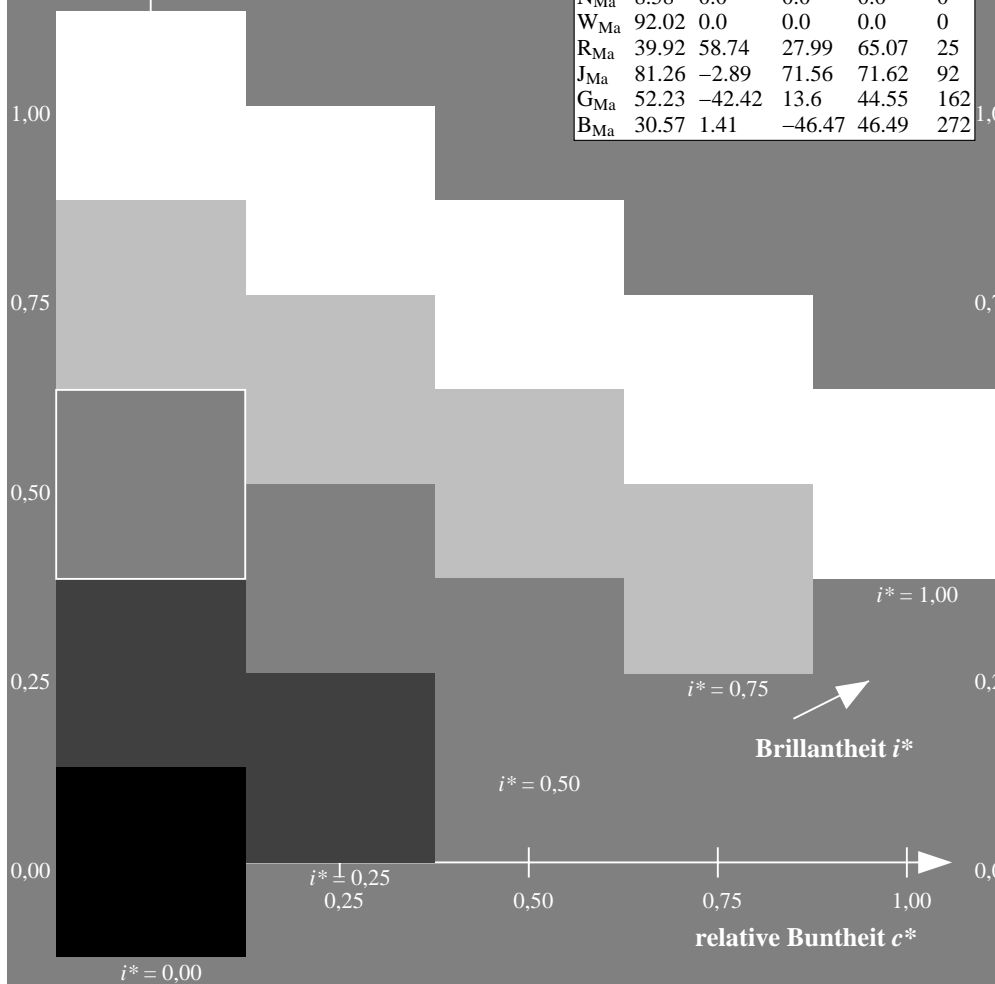
%Regularität

$g^*_{H,rel} = 31$

$g^*_{C,rel} = 40$

FRS09_92a; adaptierte CIELAB-Daten

u^*_e	$L^*=L^*_a$	a^*_a	b^*_a	$C^*_{ab,a}$	$h^*_{ab,a}$	u^*_d
$r00j$	35.47	63.32	30.17	70.15	25	$m81o$
$r25j$	39.12	54.56	49.45	73.64	42	$o10y$
$r50j$	50.64	39.15	64.89	75.79	59	$o40y$
$r75j$	64.01	21.26	82.83	85.52	76	$o69y$
$j00g$	83.18	-4.38	108.53	108.62	92	$o98y$
$j25g$	66.73	-29.89	83.06	88.28	110	$y34l$
$j50g$	54.03	-48.31	63.49	79.78	127	$y69l$
$j75g$	44.73	-60.33	42.64	73.88	145	$l03c$
$g00b$	47.59	-49.08	15.74	51.54	162	$l23c$
$g25b$	49.97	-39.7	-6.72	40.27	190	$l55c$
$g50b$	51.85	-32.33	-24.35	40.48	217	$l87c$
$g75b$	46.92	-17.29	-36.02	39.96	244	$c20v$
$b00r$	37.91	1.28	-42.35	42.37	272	$c53v$
$b25r$	23.81	30.38	-52.26	60.45	300	$c87v$
$b50r$	29.52	69.06	-42.14	80.9	329	$v68m$
$b75r$	36.48	71.47	-3.69	71.57	357	$m34o$



Daten für jede Farbe:

lab^*tch^* und lab^*icu^*

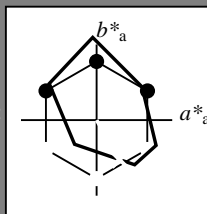
Buntontexte:

$u^*_e = b25r$ $u^*_d = c87v$

Kontrastreduzierungsfaktor:

$c_R = 1.0$

Dreiecks-Helligkeit t^*



FRS09_92a; adaptierte CIELAB-Daten

u^*_e	$L^*=L^*_a$	a^*_a	b^*_a	$C^*_{ab,a}$	$h^*_{ab,a}$
O _{Ma}	35.06	60.0	44.0	74.4	36
Y _{Ma}	83.77	-5.17	109.32	109.44	93
L _{Ma}	44.13	-62.67	48.24	79.09	142
C _{Ma}	52.66	-29.14	-31.99	43.27	228
V _{Ma}	14.15	50.3	-59.04	77.57	310
M _{Ma}	37.37	78.64	-33.5	85.48	337
N _{Ma}	8.58	0.0	0.0	0.0	0
W _{Ma}	92.02	0.0	0.0	0.0	0
R _{Ma}	39.92	58.74	27.99	65.07	25
J _{Ma}	81.26	-2.89	71.56	71.62	92
G _{Ma}	52.23	-42.42	13.6	44.55	162
B _{Ma}	30.57	1.41	-46.47	46.49	272

Daten für Maximalfarbe (Ma):

$LAB^*LAB^*_{Ma}$: 24 30 -52

$LAB^*LCH^*_{Ma}$: 24 60 300

$lab^*rgb^*_{Ma}$: 0.5 0.0 1.0

$lab^*olv^*_{Ma}$: 0.0 0.12 1.0

Dreiecks-Helligkeit t^*

%Umfang

$u^*_{rel} = 109$

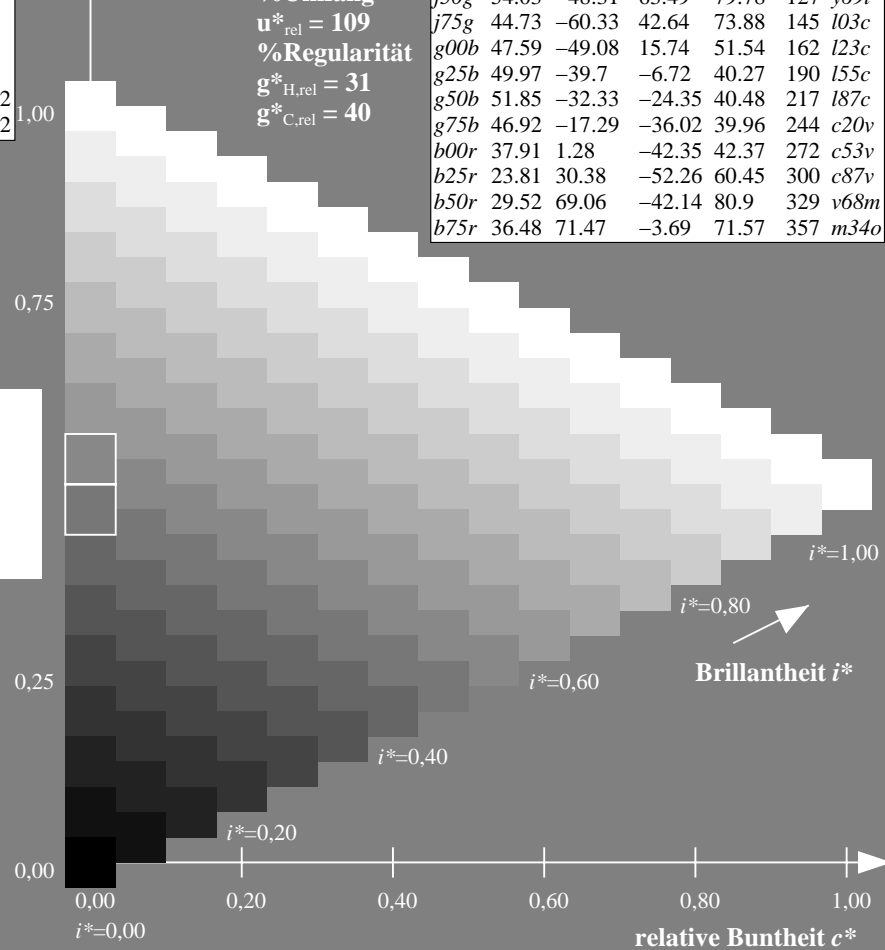
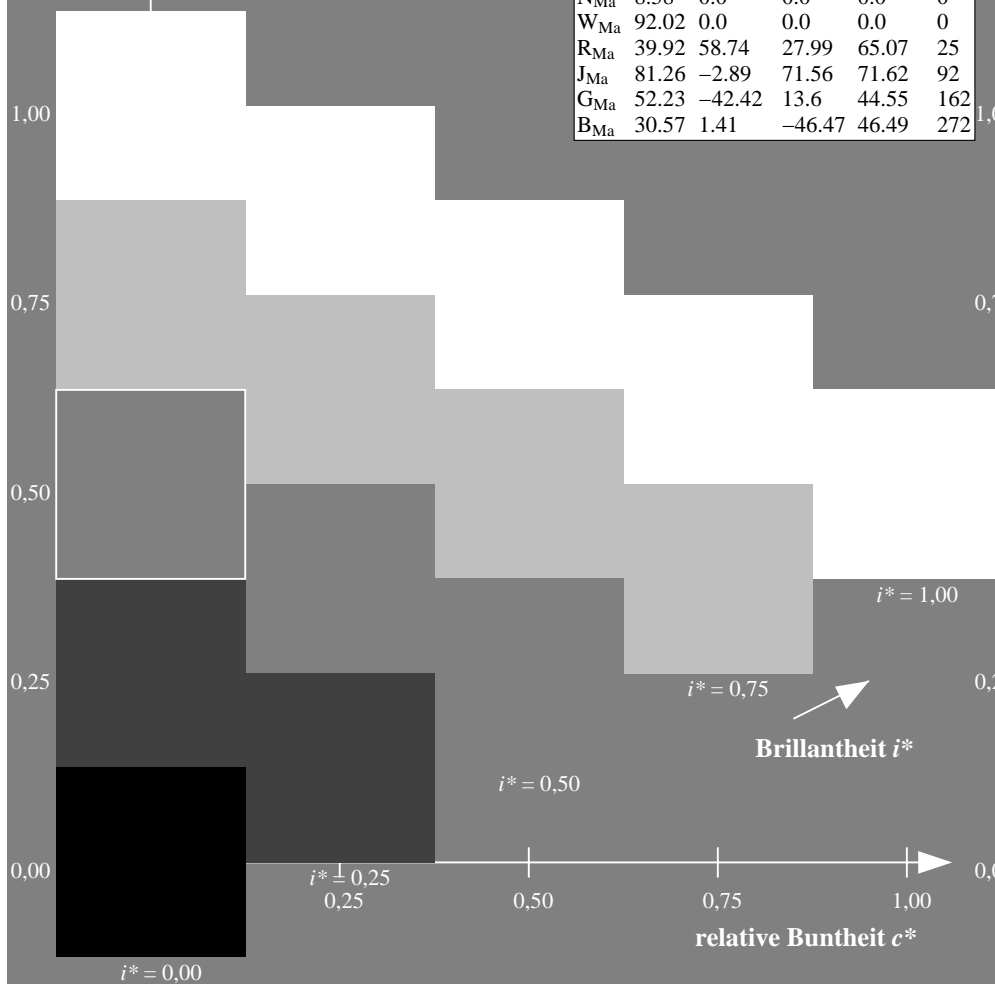
%Regularität

$g^*_{H,rel} = 31$

$g^*_{C,rel} = 40$

FRS09_92a; adaptierte CIELAB-Daten

u^*_e	$L^*=L^*_a$	a^*_a	b^*_a	$C^*_{ab,a}$	$h^*_{ab,a}$	u^*_d
r00j	35.47	63.32	30.17	70.15	25	m81o
r25j	39.12	54.56	49.45	73.64	42	o10y
r50j	50.64	39.15	64.89	75.79	59	o40y
r75j	64.01	21.26	82.83	85.52	76	o69y
j00g	83.18	-4.38	108.53	108.62	92	o98y
j25g	66.73	-29.89	83.06	88.28	110	y34l
j50g	54.03	-48.31	63.49	79.78	127	y69l
j75g	44.73	-60.33	42.64	73.88	145	l03c
g00b	47.59	-49.08	15.74	51.54	162	l23c
g25b	49.97	-39.7	-6.72	40.27	190	l55c
g50b	51.85	-32.33	-24.35	40.48	217	l87c
g75b	46.92	-17.29	-36.02	39.96	244	c20v
b00r	37.91	1.28	-42.35	42.37	272	c53v
b25r	23.81	30.38	-52.26	60.45	300	c87v
b50r	29.52	69.06	-42.14	80.9	329	v68m
b75r	36.48	71.47	-3.69	71.57	357	m34o



Ein und Ausgabe: Farbmatisches Drucker-Reflektiv-System FRS09_92a für relativen CIELAB-Bunton $h^* = lab^*h^* = h_{ab}/360 = 0.913$

$u^*_e = b50r$

Daten für jede Farbe:

lab^*tch^* und lab^*icu^*

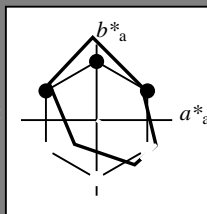
Buntontexte:

$u^*_e = b50r$ $u^*_d = v68m$

Kontrastreduzierungsfaktor:

$c_R = 1.0$

Dreiecks-Helligkeit t^*



FRS09_92a; adaptierte CIELAB-Daten						
u^*_e	$L^*=L^*_a$	a^*_a	b^*_a	$C^*_{ab,a}$	$h^*_{ab,a}$	
O _{Ma}	35.06	60.0	44.0	74.4	36	
Y _{Ma}	83.77	-5.17	109.32	109.44	93	
L _{Ma}	44.13	-62.67	48.24	79.09	142	
C _{Ma}	52.66	-29.14	-31.99	43.27	228	
V _{Ma}	14.15	50.3	-59.04	77.57	310	
M _{Ma}	37.37	78.64	-33.5	85.48	337	
N _{Ma}	8.58	0.0	0.0	0.0	0	
W _{Ma}	92.02	0.0	0.0	0.0	0	
R _{Ma}	39.92	58.74	27.99	65.07	25	
J _{Ma}	81.26	-2.89	71.56	71.62	92	
G _{Ma}	52.23	-42.42	13.6	44.55	162	
B _{Ma}	30.57	1.41	-46.47	46.49	272	

Daten für Maximalfarbe (Ma):

$LAB^*LAB^*_{Ma}$: 30 69 -42

$LAB^*LCH^*_{Ma}$: 30 81 328

$lab^*rgb^*_{Ma}$: 1.0 0.0 1.0

$lab^*olv^*_{Ma}$: 0.69 0.0 1.0

Dreiecks-Helligkeit t^*

%Umfang

$u^*_{rel} = 109$

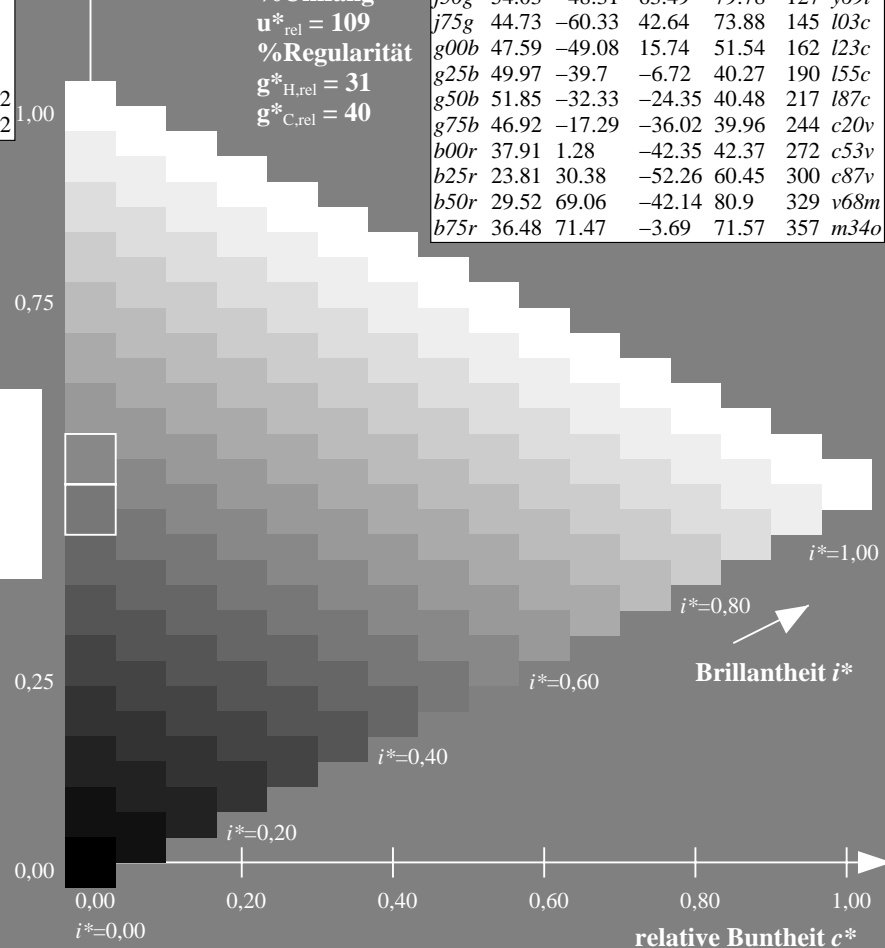
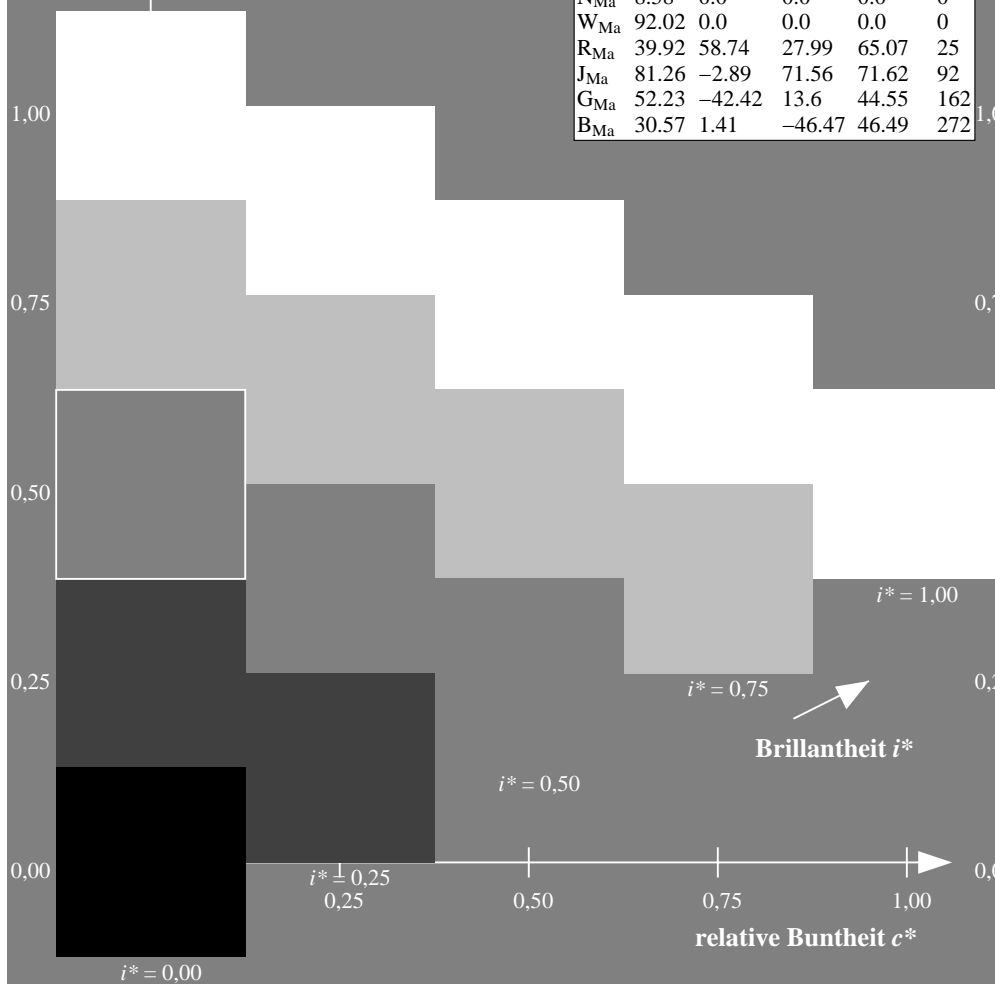
%Regularität

$g^*_{H,rel} = 31$

$g^*_{C,rel} = 40$

FRS09_92a; adaptierte CIELAB-Daten

u^*_e	$L^*=L^*_a$	a^*_a	b^*_a	$C^*_{ab,a}$	$h^*_{ab,a}$	u^*_d
r00j	35.47	63.32	30.17	70.15	25	m81o
r25j	39.12	54.56	49.45	73.64	42	o10y
r50j	50.64	39.15	64.89	75.79	59	o40y
r75j	64.01	21.26	82.83	85.52	76	o69y
j00g	83.18	-4.38	108.53	108.62	92	o98y
j25g	66.73	-29.89	83.06	88.28	110	y34l
j50g	54.03	-48.31	63.49	79.78	127	y69l
j75g	44.73	-60.33	42.64	73.88	145	l03c
g00b	47.59	-49.08	15.74	51.54	162	l23c
g25b	49.97	-39.7	-6.72	40.27	190	l55c
g50b	51.85	-32.33	-24.35	40.48	217	l87c
g75b	46.92	-17.29	-36.02	39.96	244	c20v
b00r	37.91	1.28	-42.35	42.37	272	c53v
b25r	23.81	30.38	-52.26	60.45	300	c87v
b50r	29.52	69.06	-42.14	80.9	329	v68m
b75r	36.48	71.47	-3.69	71.57	357	m34o



Daten für jede Farbe:

lab^*tch^* und lab^*icu^*

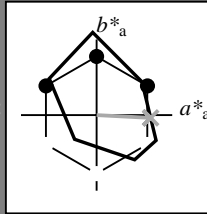
Buntontexte:

$u^*_e = b75r$ $u^*_d = m34o$

Kontrastreduzierungsfaktor:

$c_R = 1.0$

Dreiecks-Helligkeit t^*



FRS09_92a; adaptierte CIELAB-Daten						
u^*_e	$L^*=L^*_a$	a^*_a	b^*_a	$C^*_{ab,a}$	$h^*_{ab,a}$	
O _{Ma}	35.06	60.0	44.0	74.4	36	
Y _{Ma}	83.77	-5.17	109.32	109.44	93	
L _{Ma}	44.13	-62.67	48.24	79.09	142	
C _{Ma}	52.66	-29.14	-31.99	43.27	228	
V _{Ma}	14.15	50.3	-59.04	77.57	310	
M _{Ma}	37.37	78.64	-33.5	85.48	337	
N _{Ma}	8.58	0.0	0.0	0.0	0	
W _{Ma}	92.02	0.0	0.0	0.0	0	
R _{Ma}	39.92	58.74	27.99	65.07	25	
J _{Ma}	81.26	-2.89	71.56	71.62	92	
G _{Ma}	52.23	-42.42	13.6	44.55	162	
B _{Ma}	30.57	1.41	-46.47	46.49	272	

Daten für Maximalfarbe (Ma):

$LAB^*LAB^*_{Ma}$: 36 71 -4

$LAB^*LCH^*_{Ma}$: 36 72 357

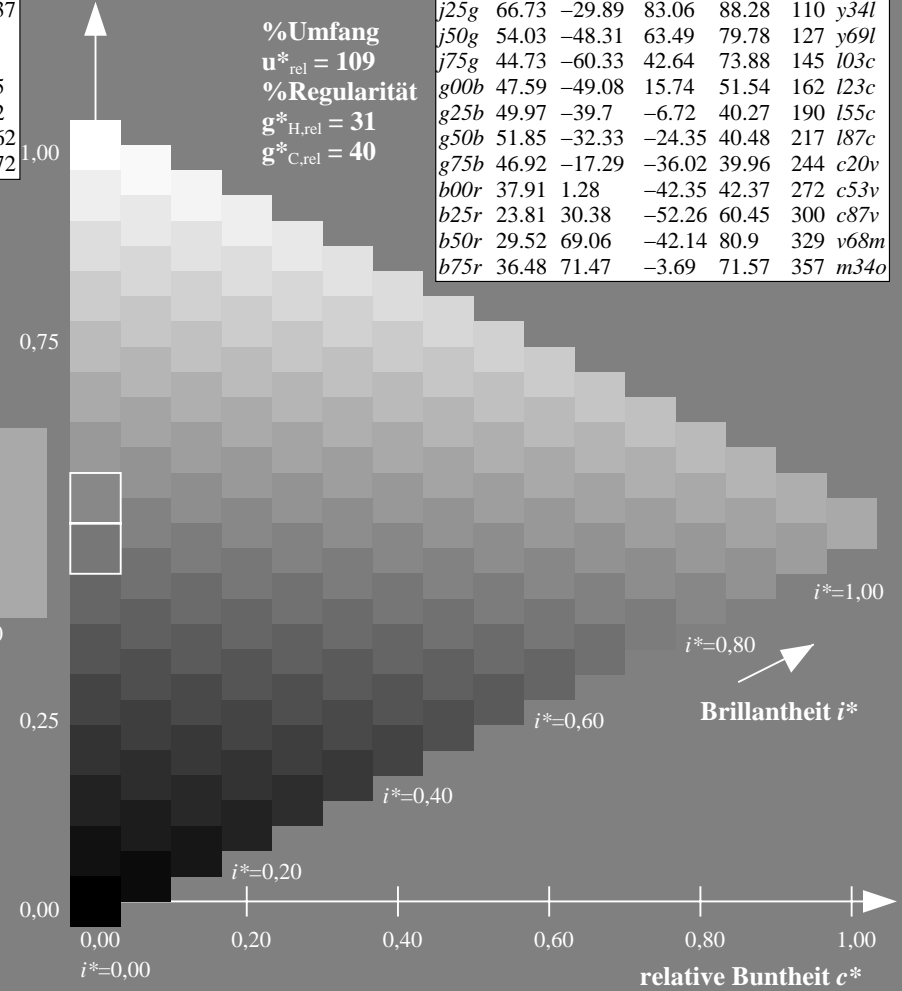
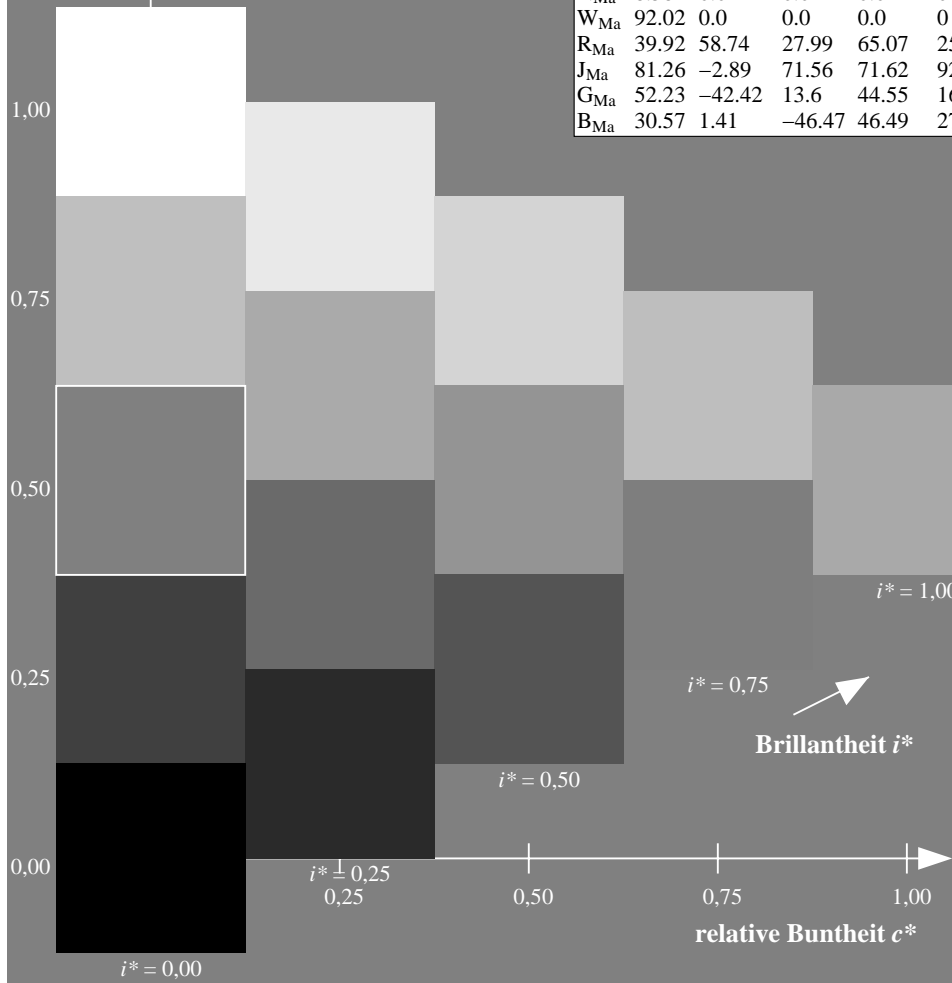
$lab^*rgb^*_{Ma}$: 1.0 0.0 0.5

$lab^*olv^*_{Ma}$: 1.0 0.0 0.66

Dreiecks-Helligkeit t^*

FRS09_92a; adaptierte CIELAB-Daten

u^*_e	$L^*=L^*_a$	a^*_a	b^*_a	$C^*_{ab,a}$	$h^*_{ab,a}$	u^*_d
r00j	35.47	63.32	30.17	70.15	25	m81o
r25j	39.12	54.56	49.45	73.64	42	o10y
r50j	50.64	39.15	64.89	75.79	59	o40y
r75j	64.01	21.26	82.83	85.52	76	o69y
j00g	83.18	-4.38	108.53	108.62	92	o98y
j25g	66.73	-29.89	83.06	88.28	110	y34l
j50g	54.03	-48.31	63.49	79.78	127	y69l
j75g	44.73	-60.33	42.64	73.88	145	l03c
g00b	47.59	-49.08	15.74	51.54	162	l23c
g25b	49.97	-39.7	-6.72	40.27	190	l55c
g50b	51.85	-32.33	-24.35	40.48	217	l87c
g75b	46.92	-17.29	-36.02	39.96	244	c20v
b00r	37.91	1.28	-42.35	42.37	272	c53v
b25r	23.81	30.38	-52.26	60.45	300	c87v
b50r	29.52	69.06	-42.14	80.9	329	v68m
b75r	36.48	71.47	-3.69	71.57	357	m34o



	A	B	C	D	E	F	G	H	I	J	K	L	M	N	O	P	Q	R	S	T	U	V	W	X	Y	Z	a	b	c	d	e	f	g	h	i	j	k				
01																																									
02																																									
03																																									
04																																									
05																																									
06																																									
07																																									
08																																									
09																																									
10																																									
11																																									
12																																									
13																																									
14																																									
15																																									
16																																									
17																																									
18																																									
19																																									
20																																									
21																																									
22																																									
23																																									
24																																									
25																																									
26																																									
27																																									

Schwarz-Separation leer

Schwarz-Separation leer

Schwarz-Separation leer

Schwarz-Separation leer

Schwarz-Separation leer

Schwarz-Separation leer

Schwarz-Separation leer

Schwarz-Separation leer

Schwarz-Separation leer

Schwarz-Separation leer

Schwarz-Separation leer

Schwarz-Separation leer

Schwarz-Separation leer

Schwarz-Separation leer

Schwarz-Separation leer

Schwarz-Separation leer

Schwarz-Separation leer

Schwarz-Separation leer

Ein und Ausgabe:
 Farbmatisches Drucker-Reflektiv-System FRS09_92a

Daten für jede Farbe:

u^*_e und Nummer $Nr. = 00 \dots 15$

Elementar-Bunttextext:

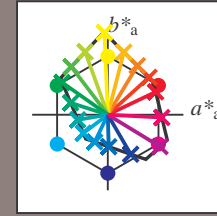
$u^*_e = 16$ Bunttoene $r00j, r25j, \dots, b75r$

Kontrastreduzierungsfaktor:

$c_R = 1.0$

FRS09_92a; adaptierte CIELAB-Daten

u^*_e	$L^*=L^*_a$	a^*_a	b^*_a	$C^*_{ab,a}$	$h^*_{ab,a}$	u^*_d
r00j	35.47	63.32	30.17	70.15	25	m81o
r25j	39.12	54.56	49.45	73.64	42	o10y
r50j	50.64	39.15	64.89	75.79	59	o40y
r75j	64.01	21.26	82.83	85.52	76	o69y
j00g	83.18	-4.38	108.53	108.62	92	o98y
j25g	66.73	-29.89	83.06	88.28	110	y34l
j50g	54.03	-48.31	63.49	79.78	127	y69l
j75g	44.73	-60.33	42.64	73.88	145	l03c
g00b	47.59	-49.08	15.74	51.54	162	l23c
g25b	49.97	-39.7	-6.72	40.27	190	l55c
g50b	51.85	-32.33	-24.35	40.48	217	l87c
g75b	46.92	-17.29	-36.02	39.96	244	c20v
b00r	37.91	1.28	-42.35	42.37	272	c53v
b25r	23.81	30.38	-52.26	60.45	300	c87v
b50r	29.52	69.06	-42.14	80.9	329	v68m
b75r	36.48	71.47	-3.69	71.57	357	m34o



%Umfang

$u^*_{rel} = 109$

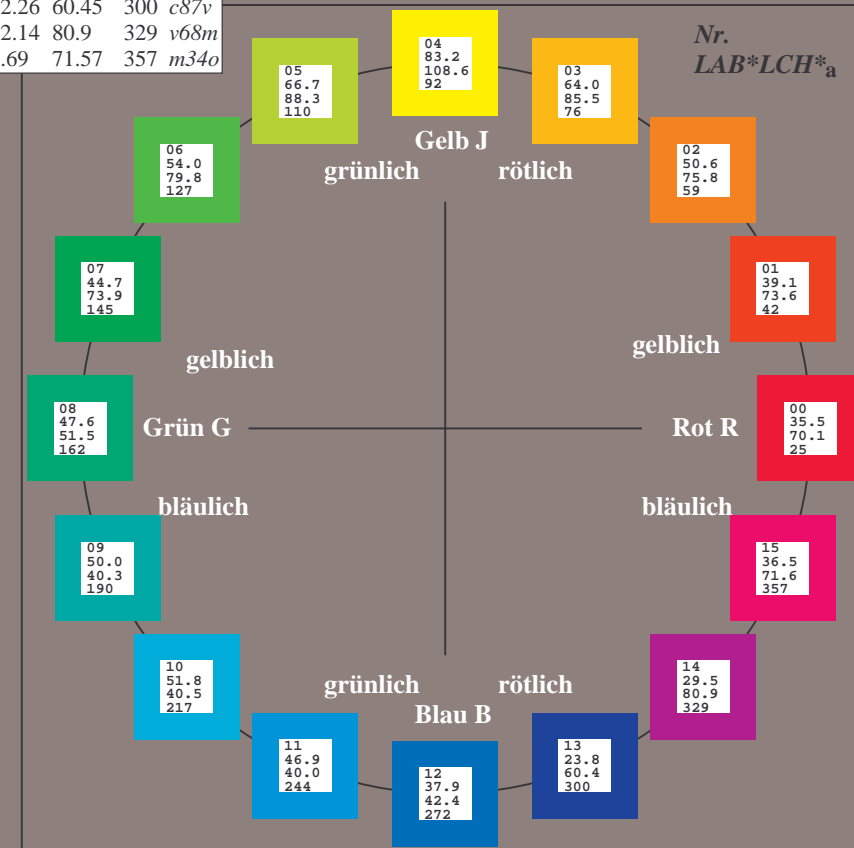
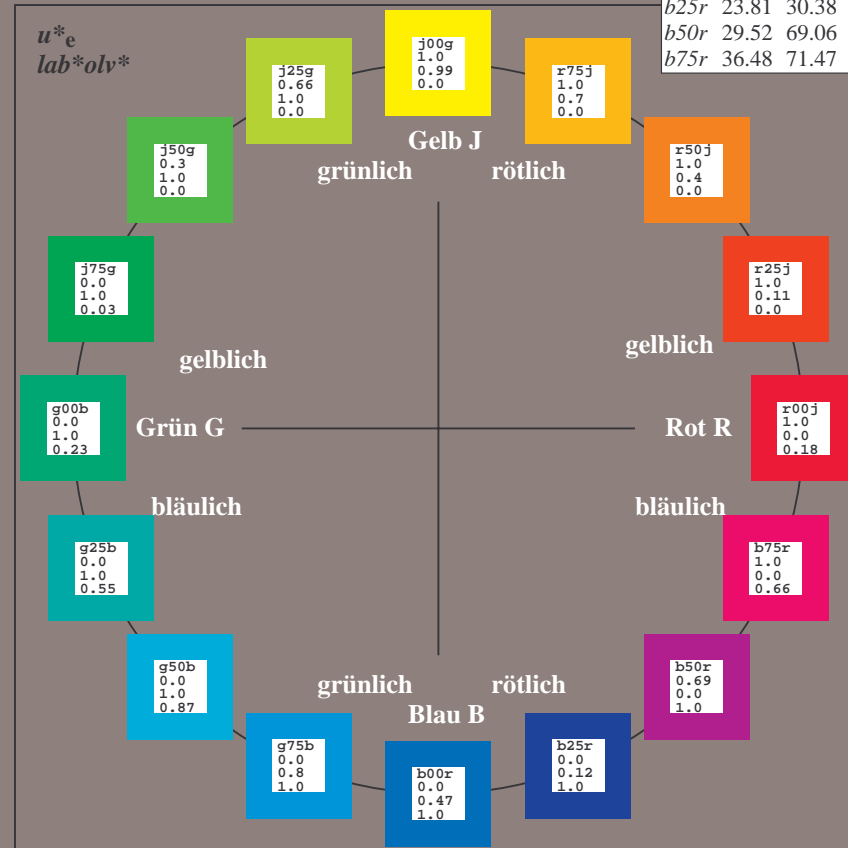
%Regularität

$g^*_{H,rel} = 31$

$g^*_{C,rel} = 40$

FRS09_92a; adaptierte CIELAB-Daten

Name	$L^*=L^*_a$	a^*_a	b^*_a	$C^*_{ab,a}$	$h^*_{ab,a}$
OMa	35.06	60.0	44.0	74.4	36
YMa	83.77	-5.17	109.32	109.44	93
LMa	44.13	-62.67	48.24	79.09	142
CMa	52.66	-29.14	-31.99	43.27	228
VMa	14.15	50.3	-59.04	77.57	310
MMa	37.37	78.64	-33.5	85.48	337
NMa	8.58	0.0	0.0	0.0	0
WMa	92.02	0.0	0.0	0.0	0
RCIE	39.92	58.74	27.99	65.07	25
JCIE	81.26	-2.89	71.56	71.62	92
GCIE	52.23	-42.42	13.6	44.55	162
BCIE	30.57	1.41	-46.47	46.49	272



Ein und Ausgabe: Farbmatisches Drucker-Reflektiv-System FRS09_92a für relativen CIELAB-Bunton $h^* = lab^*h^* = h_{ab}/360 = 0.071$

$u^*_e = r00j$
 lab^*olv^*

Daten für jede Farbe:

lab^*tch^* und lab^*icu^*

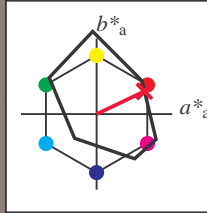
Buntontexte:

$u^*_e = r00j$ $u^*_d = m81o$

Kontrastreduzierungsfaktor:

$c_R = 1.0$

Dreiecks-Helligkeit t^*



FRS09_92a; adaptierte CIELAB-Daten

u^*_e	$L^*=L^*_a$	a^*_a	b^*_a	$C^*_{ab,a}$	$h^*_{ab,a}$
O _{Ma}	35.06	60.0	44.0	74.4	36
Y _{Ma}	83.77	-5.17	109.32	109.44	93
L _{Ma}	44.13	-62.67	48.24	79.09	142
C _{Ma}	52.66	-29.14	-31.99	43.27	228
V _{Ma}	14.15	50.3	-59.04	77.57	310
M _{Ma}	37.37	78.64	-33.5	85.48	337
N _{Ma}	8.58	0.0	0.0	0.0	0
W _{Ma}	92.02	0.0	0.0	0.0	0
R _{Ma}	39.92	58.74	27.99	65.07	25
J _{Ma}	81.26	-2.89	71.56	71.62	92
G _{Ma}	52.23	-42.42	13.6	44.55	162
B _{Ma}	30.57	1.41	-46.47	46.49	272

Daten für Maximalfarbe (Ma):

$LAB^*LAB^*_{Ma}$: 35 63 30

$LAB^*LCH^*_{Ma}$: 35 70 25

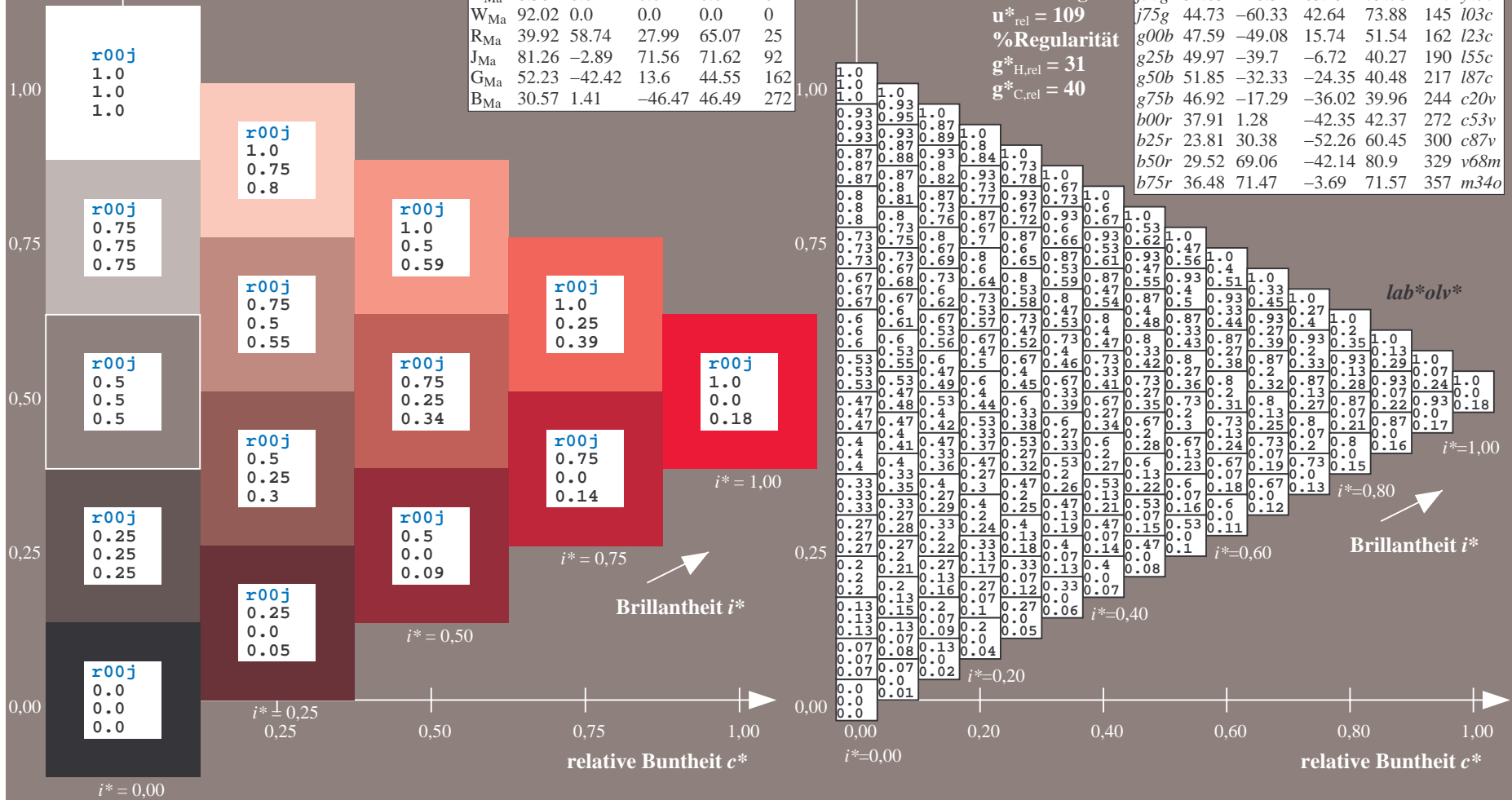
$lab^*rgb^*_{Ma}$: 1.0 0.0 0.0

$lab^*olv^*_{Ma}$: 1.0 0.0 0.18

Dreiecks-Helligkeit t^*

FRS09_92a; adaptierte CIELAB-Daten

u^*_e	$L^*=L^*_a$	a^*_a	b^*_a	$C^*_{ab,a}$	$h^*_{ab,a}$	u^*_d
r00j	35.47	63.32	30.17	70.15	25	m81o
r25j	39.12	54.56	49.45	73.64	42	o10y
r50j	50.64	39.15	64.89	75.79	59	o40y
r75j	64.01	21.26	82.83	85.52	76	o69y
j00g	83.18	-4.38	108.53	108.62	92	o98y
j25g	66.73	-29.89	83.06	88.28	110	y34l
j50g	54.03	-48.31	63.49	79.78	127	y69l
j75g	44.73	-60.33	42.64	73.88	145	l03c
g00b	47.59	-49.08	15.74	51.54	162	i23c
g25b	49.97	-39.7	-6.72	40.27	190	i55c
g50b	51.85	-32.33	-24.35	40.48	217	i87c
g75b	46.92	-17.29	-36.02	39.96	244	c20v
b00r	37.91	1.28	-42.35	42.37	272	c53v
b25r	23.81	30.38	-52.26	60.45	300	c87v
b50r	29.52	69.06	-42.14	80.9	329	v68m
b75r	36.48	71.47	-3.69	71.57	357	m34o



Ein und Ausgabe: Farbmatisches Drucker-Reflektiv-System FRS09_92a für relativen CIELAB-Bunton $h^* = lab^*h^* = h_{ab}/360 = 0.117$

$u^*_e = r25j$
 lab^*olv^*

Daten für jede Farbe:

lab^*tch^* und lab^*icu^*

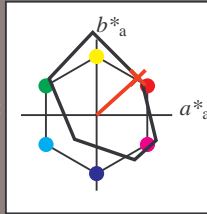
Buntontexte:

$u^*_e = r25j$ $u^*_d = o10y$

Kontrastreduzierungsfaktor:

$c_R = 1.0$

Dreiecks-Helligkeit t^*



FRS09_92a; adaptierte CIELAB-Daten

u^*_e	$L^*=L^*_a$	a^*_a	b^*_a	$C^*_{ab,a}$	$h^*_{ab,a}$
O _{Ma}	35.06	60.0	44.0	74.4	36
Y _{Ma}	83.77	-5.17	109.32	109.44	93
L _{Ma}	44.13	-62.67	48.24	79.09	142
C _{Ma}	52.66	-29.14	-31.99	43.27	228
V _{Ma}	14.15	50.3	-59.04	77.57	310
M _{Ma}	37.37	78.64	-33.5	85.48	337
N _{Ma}	8.58	0.0	0.0	0.0	0
W _{Ma}	92.02	0.0	0.0	0.0	0
R _{Ma}	39.92	58.74	27.99	65.07	25
J _{Ma}	81.26	-2.89	71.56	71.62	92
G _{Ma}	52.23	-42.42	13.6	44.55	162
B _{Ma}	30.57	1.41	-46.47	46.49	272

Daten für Maximalfarbe (Ma):

$LAB^*LAB^*_{Ma}$: 39 55 49

$LAB^*LCH^*_{Ma}$: 39 74 42

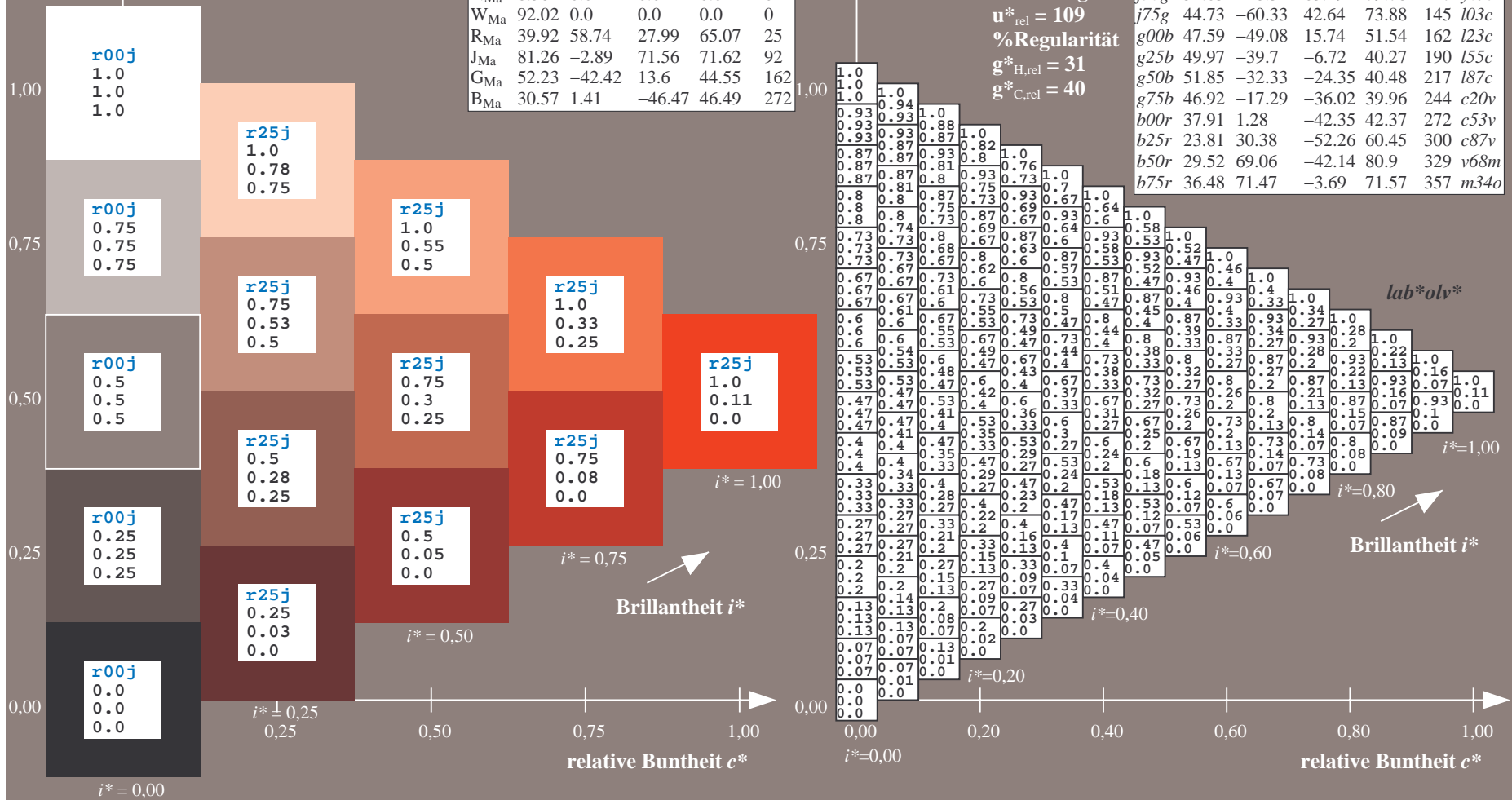
$lab^*rgb^*_{Ma}$: 1.0 0.25 0.0

$lab^*olv^*_{Ma}$: 1.0 0.11 0.0

Dreiecks-Helligkeit t^*

FRS09_92a; adaptierte CIELAB-Daten

u^*_e	$L^*=L^*_a$	a^*_a	b^*_a	$C^*_{ab,a}$	$h^*_{ab,a}$	u^*_d
r00j	35.47	63.32	30.17	70.15	25	m81o
r25j	39.12	54.56	49.45	73.64	42	o10y
r50j	50.64	39.15	64.89	75.79	59	o40y
r75j	64.01	21.26	82.83	85.52	76	o69y
j00g	83.18	-4.38	108.53	108.62	92	o98y
j25g	66.73	-29.89	83.06	88.28	110	y34l
j50g	54.03	-48.31	63.49	79.78	127	y69l
j75g	44.73	-60.33	42.64	73.88	145	103c
g00b	47.59	-49.08	15.74	51.54	162	l23c
g25b	49.97	-39.7	-6.72	40.27	190	l55c
g50b	51.85	-32.33	-24.35	40.48	217	l87c
g75b	46.92	-17.29	-36.02	39.96	244	c20v
b00r	37.91	1.28	-42.35	42.37	272	c53v
b25r	23.81	30.38	-52.26	60.45	300	c87v
b50r	29.52	69.06	-42.14	80.9	329	v68m
b75r	36.48	71.47	-3.69	71.57	357	m34o



Ein und Ausgabe: Farbmatisches Drucker-Reflektiv-System FRS09_92a für relativen CIELAB-Bunton $h^* = lab^*h^* = h_{ab}/360 = 0.164$

$u^*_e = r50j$

Daten für jede Farbe:

lab^*ch^* und lab^*icu^*

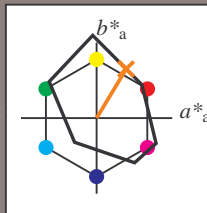
Buntontexte:

$u^*_e = r50j$ $u^*_d = o40y$

Kontrastreduzierungsfaktor:

$c_R = 1.0$

Dreiecks-Helligkeit t^*



FRS09_92a; adaptierte CIELAB-Daten

u^*_e	$L^*=L^*_a$	a^*_a	b^*_a	$C^*_{ab,a}$	$h^*_{ab,a}$
O _{Ma}	35.06	60.0	44.0	74.4	36
Y _{Ma}	83.77	-5.17	109.32	109.44	93
L _{Ma}	44.13	-62.67	48.24	79.09	142
C _{Ma}	52.66	-29.14	-31.99	43.27	228
V _{Ma}	14.15	50.3	-59.04	77.57	310
M _{Ma}	37.37	78.64	-33.5	85.48	337
N _{Ma}	8.58	0.0	0.0	0.0	0
W _{Ma}	92.02	0.0	0.0	0.0	0
R _{Ma}	39.92	58.74	27.99	65.07	25
J _{Ma}	81.26	-2.89	71.56	71.62	92
G _{Ma}	52.23	-42.42	13.6	44.55	162
B _{Ma}	30.57	1.41	-46.47	46.49	272

Daten für Maximalfarbe (Ma):

$LAB^*LAB^*_{Ma}: 51\ 39\ 65$

$LAB^*LCH^*_{Ma}: 51\ 76\ 58$

$lab^*rgb^*_{Ma}: 1.0\ 0.5\ 0.0$

$lab^*olv^*_{Ma}: 1.0\ 0.4\ 0.0$

Dreiecks-Helligkeit t^*

%Umfang

$u^*_{rel} = 109$

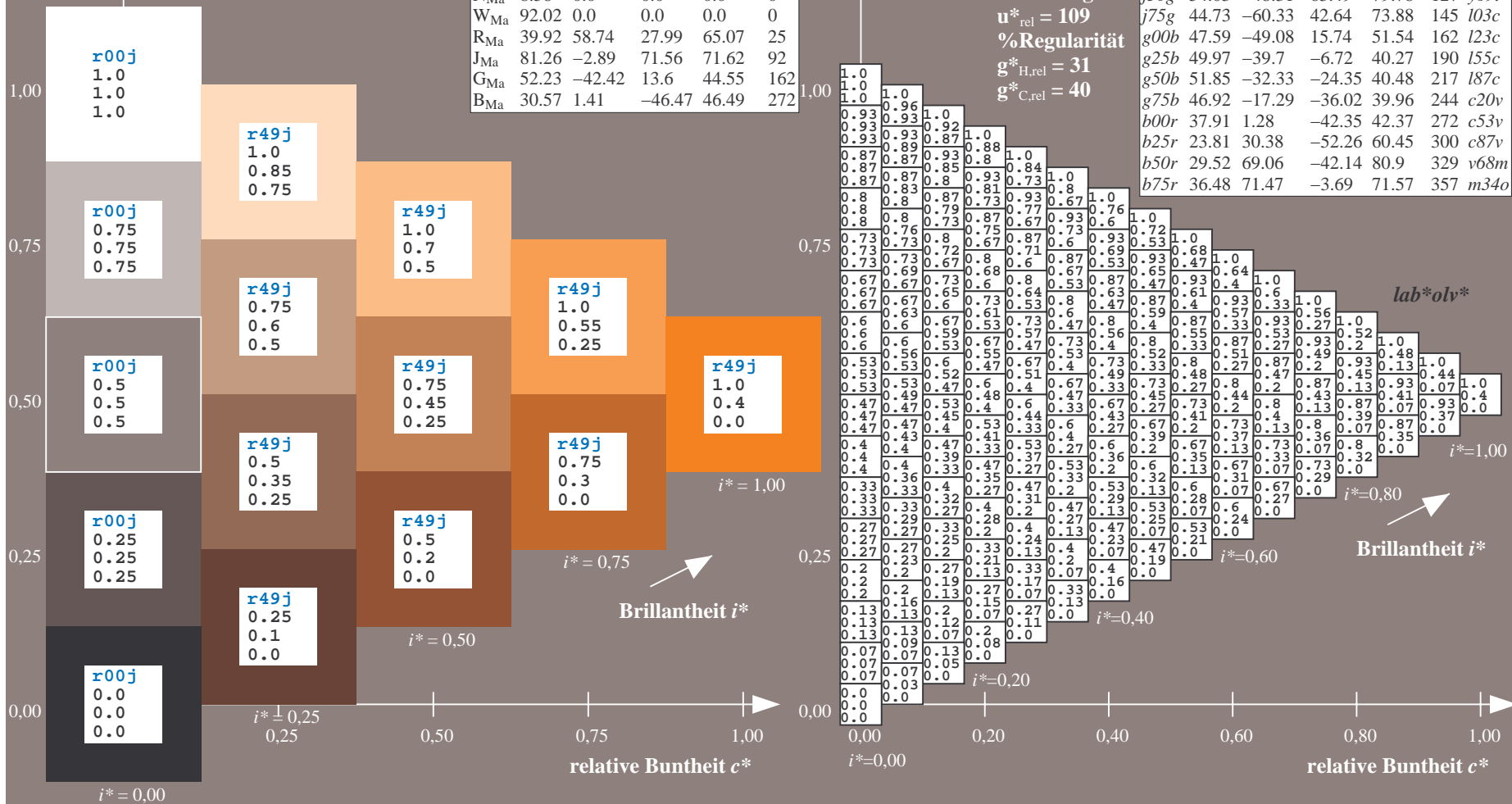
%Regularität

$g^*_{H,rel} = 31$

$g^*_{C,rel} = 40$

FRS09_92a; adaptierte CIELAB-Daten

u^*_e	$L^*=L^*_a$	a^*_a	b^*_a	$C^*_{ab,a}$	$h^*_{ab,a}$	u^*_d
r00j	35.47	63.32	30.17	70.15	25	m81o
r25j	39.12	54.56	49.45	73.64	42	o10y
r50j	50.64	39.15	64.89	75.79	59	o40y
r75j	64.01	21.26	82.83	85.52	76	o69y
j00g	83.18	-4.38	108.53	108.62	92	o98y
j25g	66.73	-29.89	83.06	88.28	110	y34l
j50g	54.03	-48.31	63.49	79.78	127	y69l
j75g	44.73	-60.33	42.64	73.88	145	123c
g00b	47.59	-49.08	15.74	51.54	162	l23c
g25b	49.97	-39.7	-6.72	40.27	190	l55c
g50b	51.85	-32.33	-24.35	40.48	217	l87c
g75b	46.92	-17.29	-36.02	39.96	244	c20v
b00r	37.91	1.28	-42.35	42.37	272	c53v
b25r	23.81	30.38	-52.26	60.45	300	c87v
b50r	29.52	69.06	-42.14	80.9	329	v68m
b75r	36.48	71.47	-3.69	71.57	357	m34o



Ein und Ausgabe: Farbmatisches Drucker-Reflektiv-System FRS09_92a für relativen CIELAB-Bunton $h^* = lab^*h^* = h_{ab}/360 = 0.21$

$u^*_e = r75j$
 lab^*olv^*

Daten für jede Farbe:

lab^*tch^* und lab^*icu^*

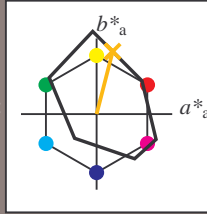
Buntontexte:

$u^*_e = r75j$ $u^*_d = o69y$

Kontrastreduzierungsfaktor:

$c_R = 1.0$

Dreiecks-Helligkeit t^*



FRS09_92a; adaptierte CIELAB-Daten

u^*_e	$L^*=L^*_a$	a^*_a	b^*_a	$C^*_{ab,a}$	$h^*_{ab,a}$
O _{Ma}	35.06	60.0	44.0	74.4	36
Y _{Ma}	83.77	-5.17	109.32	109.44	93
L _{Ma}	44.13	-62.67	48.24	79.09	142
C _{Ma}	52.66	-29.14	-31.99	43.27	228
V _{Ma}	14.15	50.3	-59.04	77.57	310
M _{Ma}	37.37	78.64	-33.5	85.48	337
N _{Ma}	8.58	0.0	0.0	0.0	0
W _{Ma}	92.02	0.0	0.0	0.0	0
R _{Ma}	39.92	58.74	27.99	65.07	25
J _{Ma}	81.26	-2.89	71.56	71.62	92
G _{Ma}	52.23	-42.42	13.6	44.55	162
B _{Ma}	30.57	1.41	-46.47	46.49	272

Daten für Maximalfarbe (Ma):

$LAB^*LAB^*_{Ma}$: 64 21 83

$LAB^*LCH^*_{Ma}$: 64 86 75

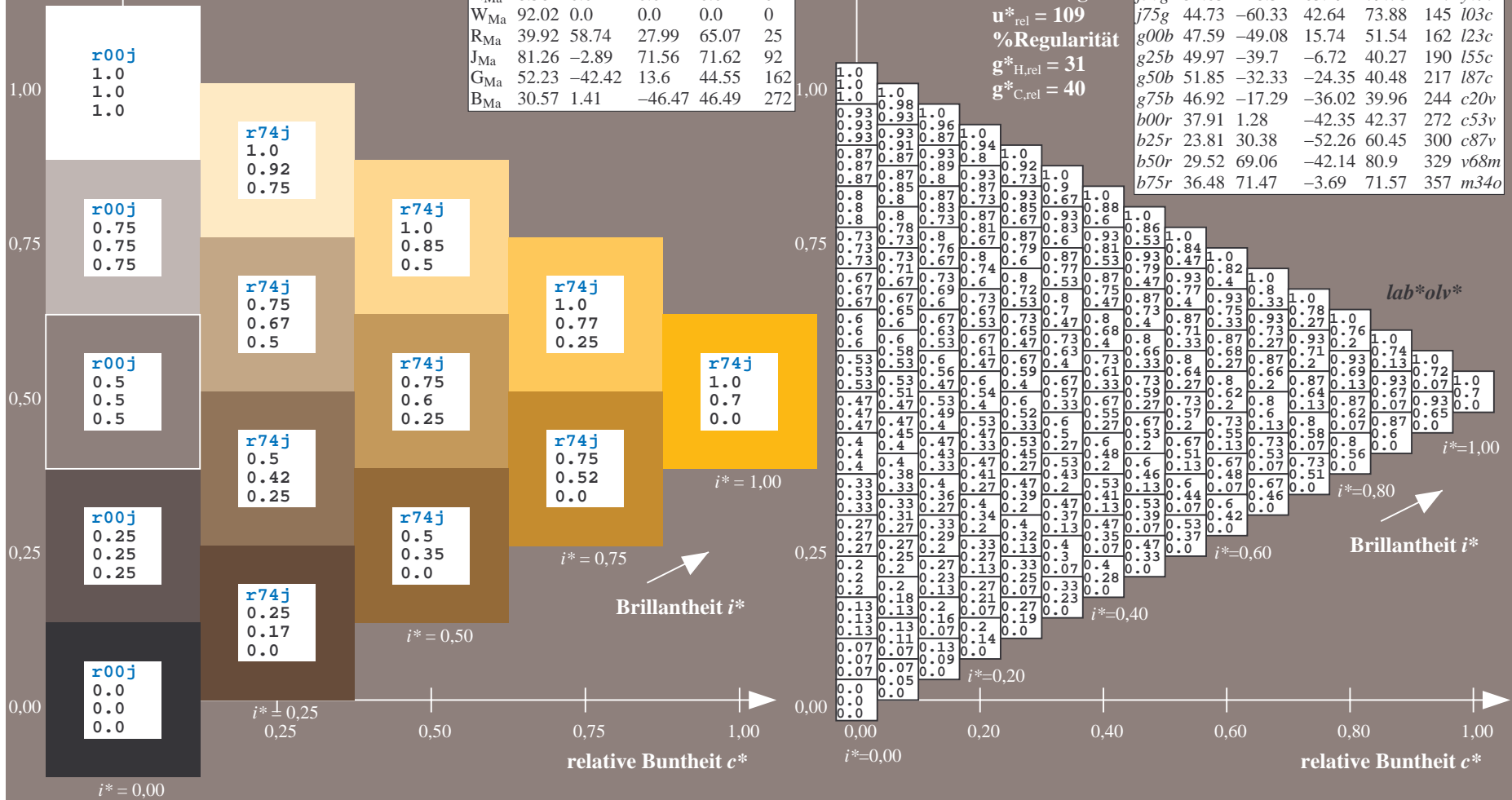
$lab^*rgb^*_{Ma}$: 1.0 0.75 0.0

$lab^*olv^*_{Ma}$: 1.0 0.7 0.0

Dreiecks-Helligkeit t^*

FRS09_92a; adaptierte CIELAB-Daten

u^*_e	$L^*=L^*_a$	a^*_a	b^*_a	$C^*_{ab,a}$	$h^*_{ab,a}$	u^*_d
r00j	35.47	63.32	30.17	70.15	25	m81o
r25j	39.12	54.56	49.45	73.64	42	o10y
r50j	50.64	39.15	64.89	75.79	59	o40y
r75j	64.01	21.26	82.83	85.52	76	o69y
j00g	83.18	-4.38	108.53	108.62	92	o98y
j25g	66.73	-29.89	83.06	88.28	110	y34l
j50g	54.03	-48.31	63.49	79.78	127	y69l
j75g	44.73	-60.33	42.64	73.88	145	103c
g00b	47.59	-49.08	15.74	51.54	162	l23c
g25b	49.97	-39.7	-6.72	40.27	190	l55c
g50b	51.85	-32.33	-24.35	40.48	217	l87c
g75b	46.92	-17.29	-36.02	39.96	244	c20v
b00r	37.91	1.28	-42.35	42.37	272	c53v
b25r	23.81	30.38	-52.26	60.45	300	c87v
b50r	29.52	69.06	-42.14	80.9	329	v68m
b75r	36.48	71.47	-3.69	71.57	357	m34o



Ein und Ausgabe: Farbmatisches Drucker-Reflektiv-System FRS09_92a für relativen CIELAB-Bunton $h^* = lab^*h^* = h_{ab}/360 = 0.256$

$u^*_e = j00g$

Daten für jede Farbe:

lab^*ch^* und lab^*icu^*

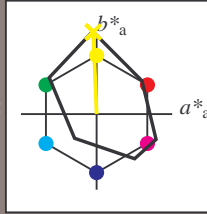
Buntontexte:

$u^*_e = j00g$ $u^*_d = o98y$

Kontrastreduzierungsfaktor:

$c_R = 1.0$

Dreiecks-Helligkeit t^*



FRS09_92a; adaptierte CIELAB-Daten

u^*_e	$L^*=L^*_a$	a^*_a	b^*_a	$C^*_{ab,a}$	$h^*_{ab,a}$
O _{Ma}	35.06	60.0	44.0	74.4	36
Y _{Ma}	83.77	-5.17	109.32	109.44	93
L _{Ma}	44.13	-62.67	48.24	79.09	142
C _{Ma}	52.66	-29.14	-31.99	43.27	228
V _{Ma}	14.15	50.3	-59.04	77.57	310
M _{Ma}	37.37	78.64	-33.5	85.48	337
N _{Ma}	8.58	0.0	0.0	0.0	0
W _{Ma}	92.02	0.0	0.0	0.0	0
R _{Ma}	39.92	58.74	27.99	65.07	25
J _{Ma}	81.26	-2.89	71.56	71.62	92
G _{Ma}	52.23	-42.42	13.6	44.55	162
B _{Ma}	30.57	1.41	-46.47	46.49	272

Daten für Maximalfarbe (Ma):

$LAB^*LAB^*_{Ma}$: 83 -4 109

$LAB^*LCH^*_{Ma}$: 83 109 92

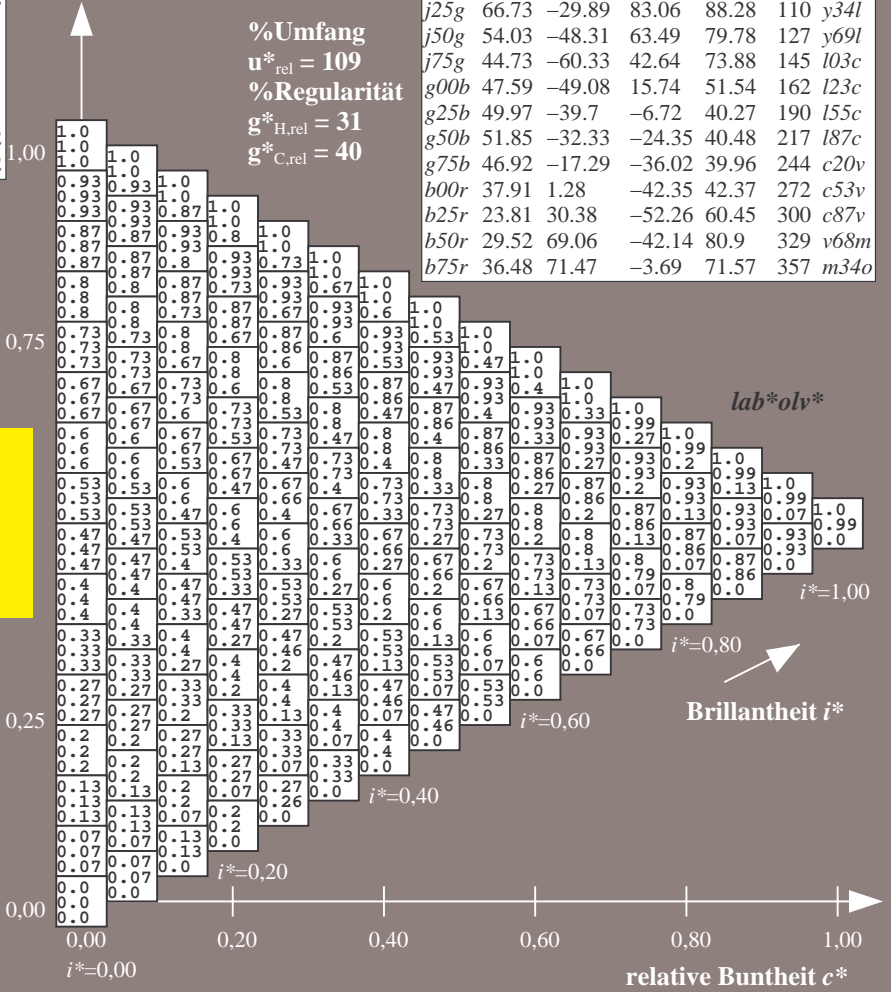
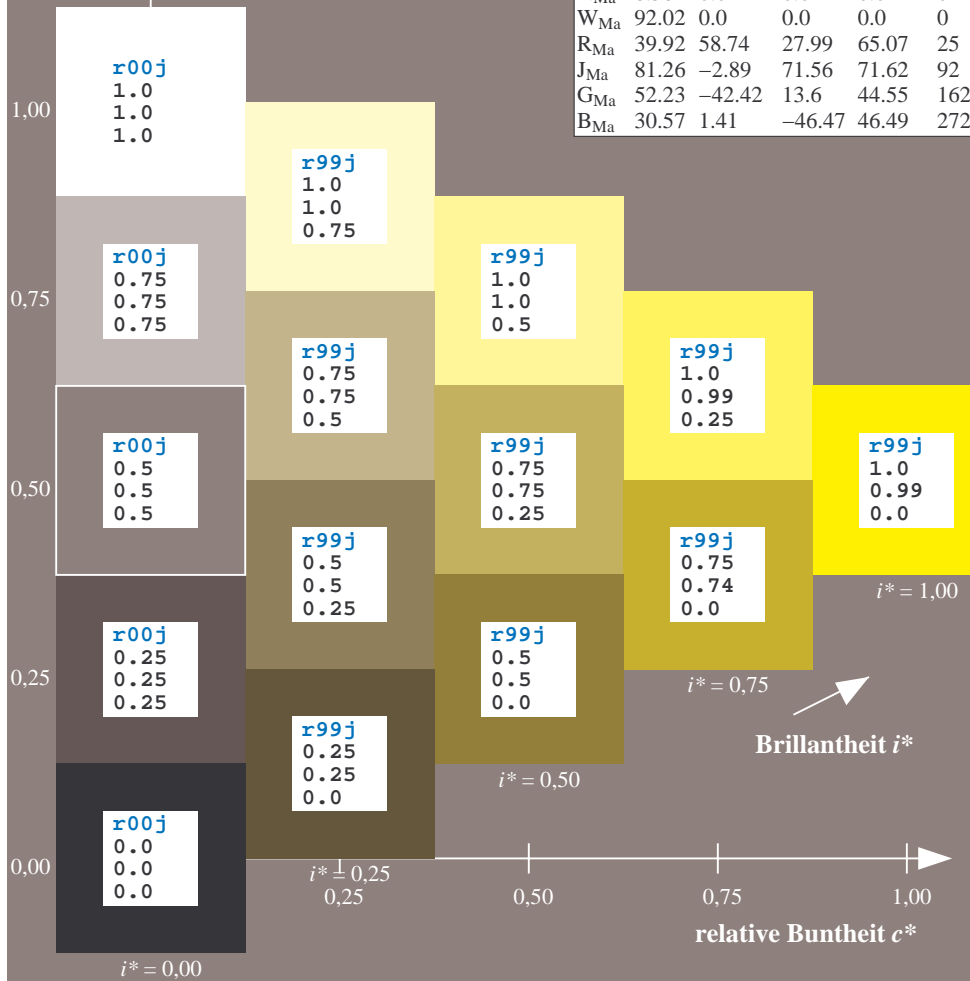
$lab^*rgb^*_{Ma}$: 1.0 1.0 0.0

$lab^*olv^*_{Ma}$: 1.0 0.99 0.0

Dreiecks-Helligkeit t^*

FRS09_92a; adaptierte CIELAB-Daten

u^*_e	$L^*=L^*_a$	a^*_a	b^*_a	$C^*_{ab,a}$	$h^*_{ab,a}$	u^*_d
r00j	35.47	63.32	30.17	70.15	25	m81o
r25j	39.12	54.56	49.45	73.64	42	o10y
r50j	50.64	39.15	64.89	75.79	59	o40y
r75j	64.01	21.26	82.83	85.52	76	o69y
j00g	83.18	-4.38	108.53	108.62	92	o98y
j25g	66.73	-29.89	83.06	88.28	110	y34l
j50g	54.03	-48.31	63.49	79.78	127	y69l
j75g	44.73	-60.33	42.64	73.88	145	l03c
g00b	47.59	-49.08	15.74	51.54	162	i23c
g25b	49.97	-39.7	-6.72	40.27	190	i55c
g50b	51.85	-32.33	-24.35	40.48	217	i87c
g75b	46.92	-17.29	-36.02	39.96	244	c20v
b00r	37.91	1.28	-42.35	42.37	272	c53v
b25r	23.81	30.38	-52.26	60.45	300	c87v
b50r	29.52	69.06	-42.14	80.9	329	v68m
b75r	36.48	71.47	-3.69	71.57	357	m34o



Ein und Ausgabe: Farbmatisches Drucker-Reflektiv-System FRS09_92a für relativen CIELAB-Bunton $h^* = lab^*h^* = h_{ab}/360 = 0.305$

$u^*_e = j25g$
 lab^*olv^*

Daten für jede Farbe:

lab^*tch^* und lab^*icu^*

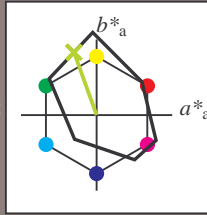
Buntontexte:

$u^*_e = j25g$ $u^*_d = y34l$

Kontrastreduzierungsfaktor:

$c_R = 1.0$

Dreiecks-Helligkeit t^*



FRS09_92a; adaptierte CIELAB-Daten

u^*_e	$L^*=L^*_a$	a^*_a	b^*_a	$C^*_{ab,a}$	$h^*_{ab,a}$
O _{Ma}	35.06	60.0	44.0	74.4	36
Y _{Ma}	83.77	-5.17	109.32	109.44	93
L _{Ma}	44.13	-62.67	48.24	79.09	142
C _{Ma}	52.66	-29.14	-31.99	43.27	228
V _{Ma}	14.15	50.3	-59.04	77.57	310
M _{Ma}	37.37	78.64	-33.5	85.48	337
N _{Ma}	8.58	0.0	0.0	0.0	0
W _{Ma}	92.02	0.0	0.0	0.0	0
R _{Ma}	39.92	58.74	27.99	65.07	25
J _{Ma}	81.26	-2.89	71.56	71.62	92
G _{Ma}	52.23	-42.42	13.6	44.55	162
B _{Ma}	30.57	1.41	-46.47	46.49	272

Daten für Maximalfarbe (Ma):

$LAB^*LAB^*_{Ma}$: 67 -30 83

$LAB^*LCH^*_{Ma}$: 67 88 109

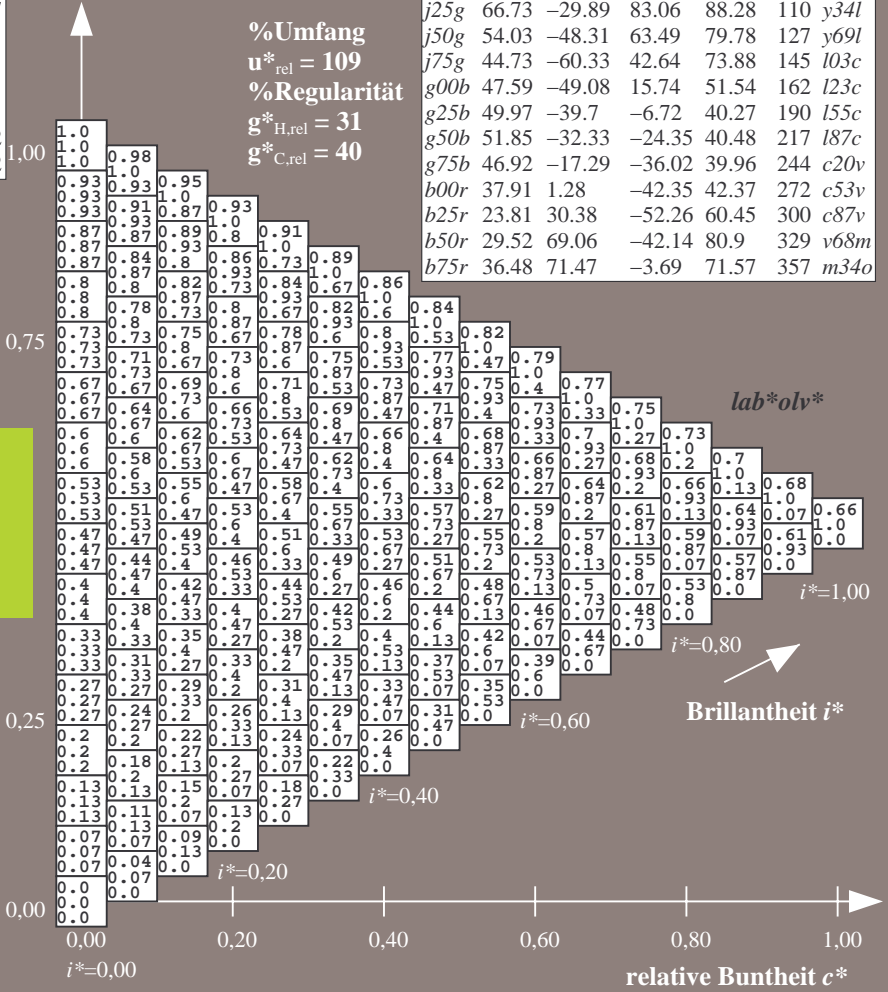
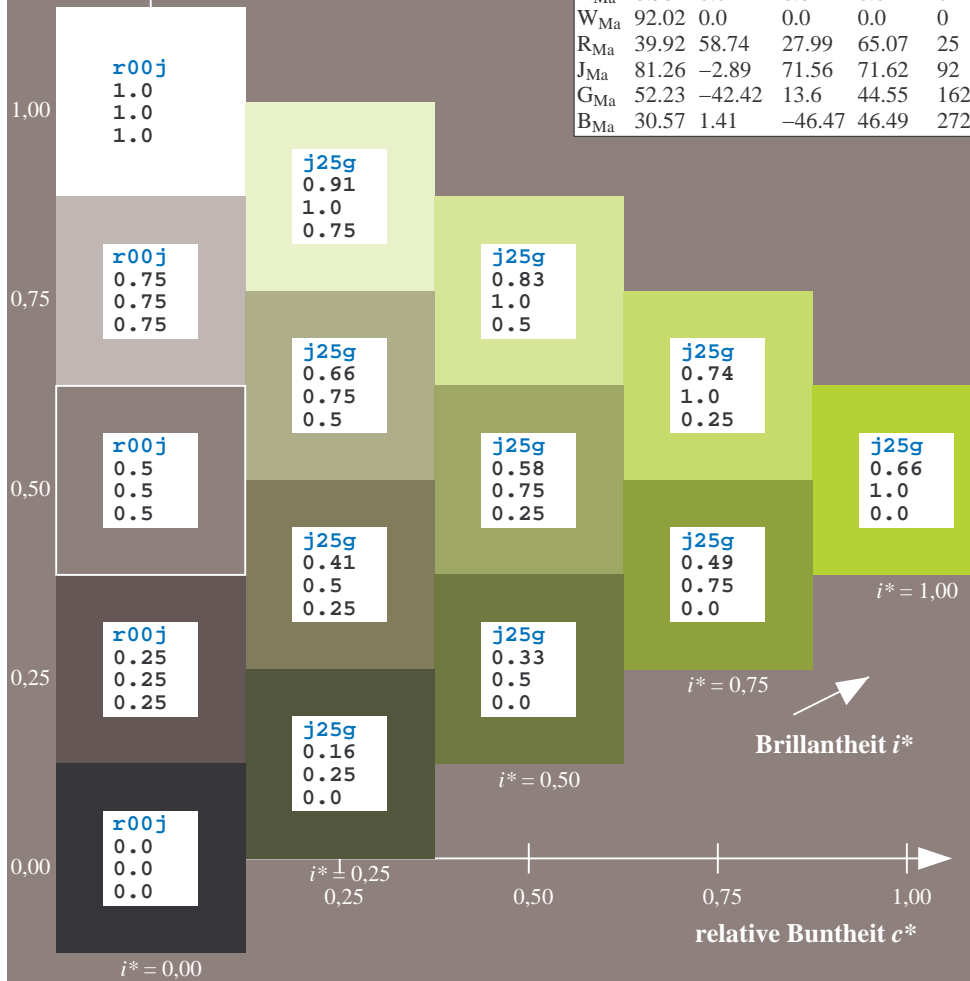
$lab^*rgb^*_{Ma}$: 0.75 1.0 0.0

$lab^*olv^*_{Ma}$: 0.66 1.0 0.0

Dreiecks-Helligkeit t^*

FRS09_92a; adaptierte CIELAB-Daten

u^*_e	$L^*=L^*_a$	a^*_a	b^*_a	$C^*_{ab,a}$	$h^*_{ab,a}$	u^*_d
r00j	35.47	63.32	30.17	70.15	25	m81o
r25j	39.12	54.56	49.45	73.64	42	o10y
r50j	50.64	39.15	64.89	75.79	59	o40y
r75j	64.01	21.26	82.83	85.52	76	o69y
j00g	83.18	-4.38	108.53	108.62	92	o98y
j25g	66.73	-29.89	83.06	88.28	110	y34l
j50g	54.03	-48.31	63.49	79.78	127	y69l
j75g	44.73	-60.33	42.64	73.88	145	103c
g00b	47.59	-49.08	15.74	51.54	162	i23c
g25b	49.97	-39.7	-6.72	40.27	190	i55c
g50b	51.85	-32.33	-24.35	40.48	217	i87c
g75b	46.92	-17.29	-36.02	39.96	244	c20v
b00r	37.91	1.28	-42.35	42.37	272	c53v
b25r	23.81	30.38	-52.26	60.45	300	c87v
b50r	29.52	69.06	-42.14	80.9	329	v68m
b75r	36.48	71.47	-3.69	71.57	357	m34o



%Umfang
 $u^*_{rel} = 109$
%Regularität
 $g^*_{H,rel} = 31$
 $g^*_{C,rel} = 40$

lab^*olv^*

$i^* = 1.00$

$i^* = 0.80$

Brillantheit i^*

$i^* = 0.60$

$i^* = 0.40$

$i^* = 0.20$

$i^* = 0.00$

Ein und Ausgabe: Farbmatisches Drucker-Reflektiv-System FRS09_92a für relativen CIELAB-Bunton $h^* = lab^*h^* = h_{ab}/360 = 0.354$

$u^*_e = j50g$
 lab^*olv^*

Daten für jede Farbe:

lab^*tch^* und lab^*icu^*

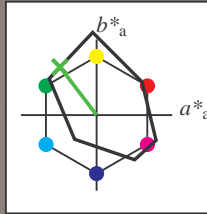
Buntontexte:

$u^*_e = j50g$ $u^*_d = y69l$

Kontrastreduzierungsfaktor:

$c_R = 1.0$

Dreiecks-Helligkeit t^*



FRS09_92a; adaptierte CIELAB-Daten

u^*_e	$L^*=L^*_a$	a^*_a	b^*_a	$C^*_{ab,a}$	$h^*_{ab,a}$
O _{Ma}	35.06	60.0	44.0	74.4	36
Y _{Ma}	83.77	-5.17	109.32	109.44	93
L _{Ma}	44.13	-62.67	48.24	79.09	142
C _{Ma}	52.66	-29.14	-31.99	43.27	228
V _{Ma}	14.15	50.3	-59.04	77.57	310
M _{Ma}	37.37	78.64	-33.5	85.48	337
N _{Ma}	8.58	0.0	0.0	0.0	0
W _{Ma}	92.02	0.0	0.0	0.0	0
R _{Ma}	39.92	58.74	27.99	65.07	25
J _{Ma}	81.26	-2.89	71.56	71.62	92
G _{Ma}	52.23	-42.42	13.6	44.55	162
B _{Ma}	30.57	1.41	-46.47	46.49	272

Daten für Maximalfarbe (Ma):

$LAB^*LAB^*_{Ma}$: 54 -48 63

$LAB^*LCH^*_{Ma}$: 54 80 127

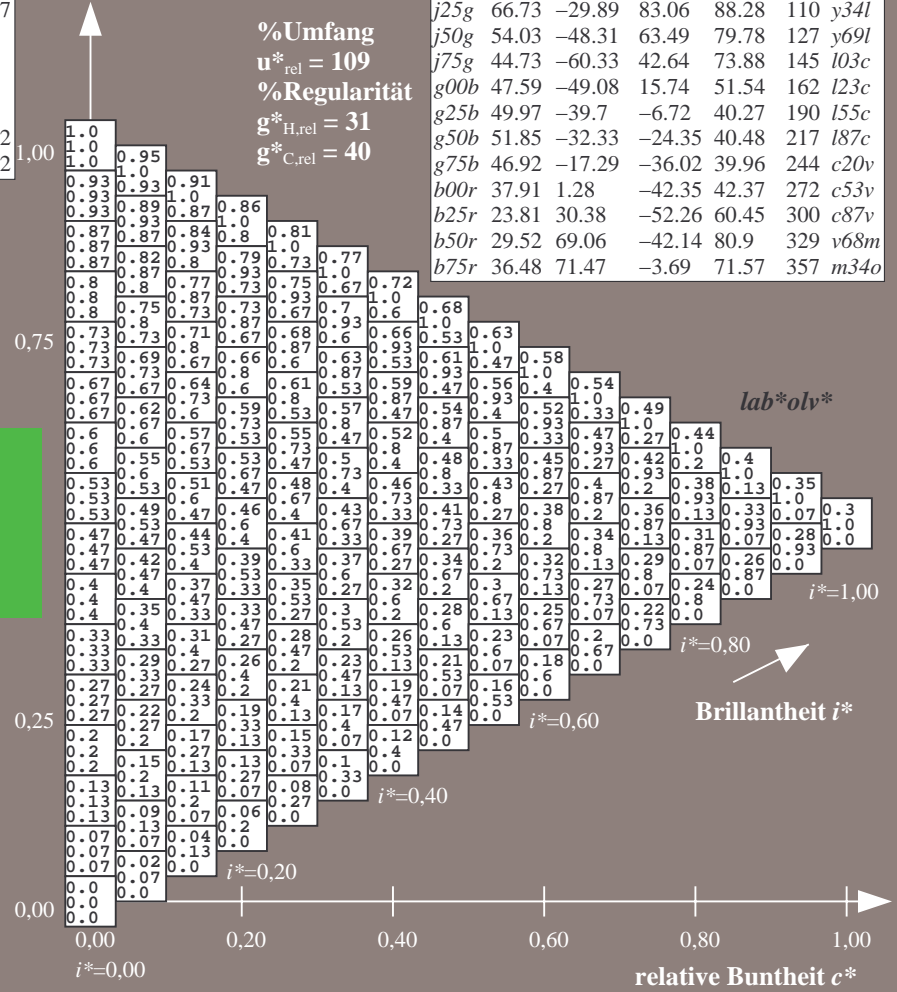
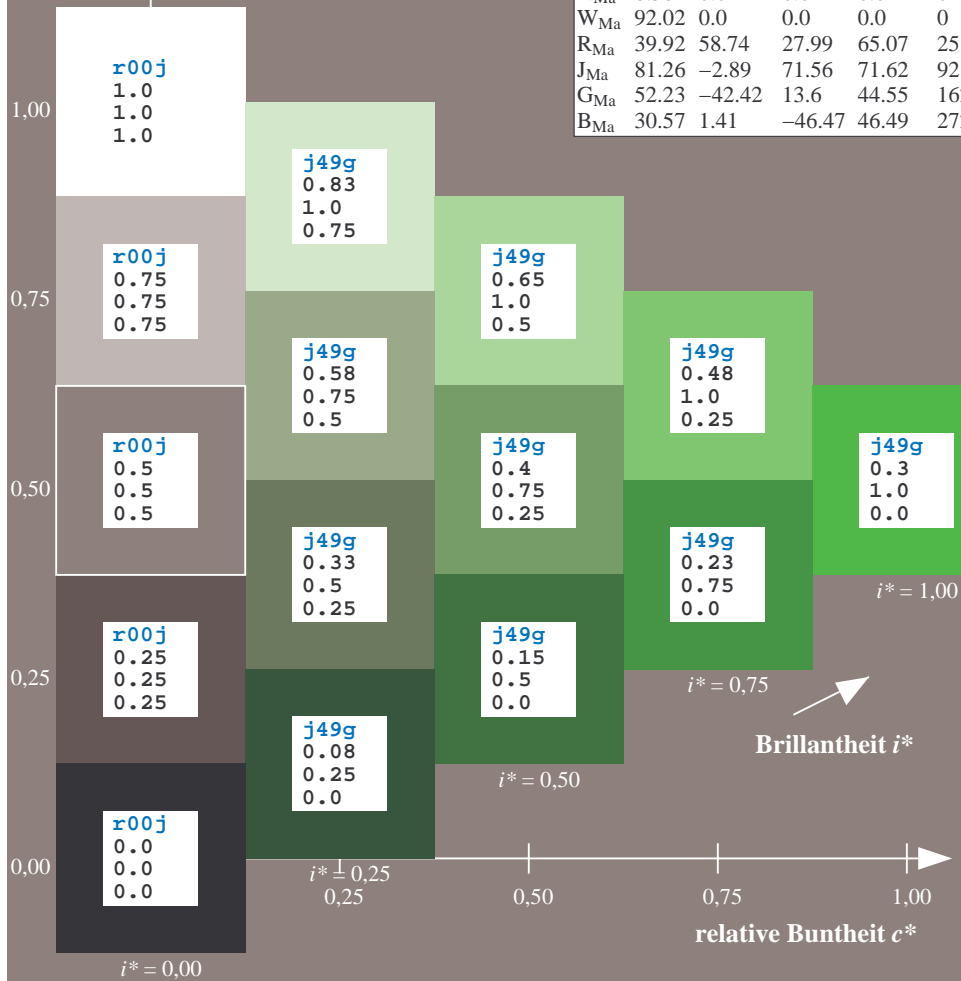
$lab^*rgb^*_{Ma}$: 0.5 1.0 0.0

$lab^*olv^*_{Ma}$: 0.3 1.0 0.0

Dreiecks-Helligkeit t^*

FRS09_92a; adaptierte CIELAB-Daten

u^*_e	$L^*=L^*_a$	a^*_a	b^*_a	$C^*_{ab,a}$	$h^*_{ab,a}$	u^*_d
r00j	35.47	63.32	30.17	70.15	25	m81o
r25j	39.12	54.56	49.45	73.64	42	o10y
r50j	50.64	39.15	64.89	75.79	59	o40y
r75j	64.01	21.26	82.83	85.52	76	o69y
j00g	83.18	-4.38	108.53	108.62	92	o98y
j25g	66.73	-29.89	83.06	88.28	110	y34l
j50g	54.03	-48.31	63.49	79.78	127	y69l
j75g	44.73	-60.33	42.64	73.88	145	103c
g00b	47.59	-49.08	15.74	51.54	162	i23c
g25b	49.97	-39.7	-6.72	40.27	190	i55c
g50b	51.85	-32.33	-24.35	40.48	217	i87c
g75b	46.92	-17.29	-36.02	39.96	244	c20v
b00r	37.91	1.28	-42.35	42.37	272	c53v
b25r	23.81	30.38	-52.26	60.45	300	c87v
b50r	29.52	69.06	-42.14	80.9	329	v68m
b75r	36.48	71.47	-3.69	71.57	357	m34o



Ein und Ausgabe: Farbmatisches Drucker-Reflektiv-System FRS09_92a für relativen CIELAB-Bunton $h^* = lab^*h^* = h_{ab}/360 = 0.402$

$u^*_e = j75g$
 lab^*olv^*

Daten für jede Farbe:

lab^*tch^* und lab^*icu^*

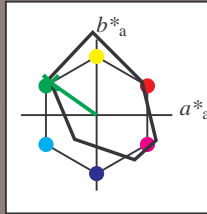
Buntontexte:

$u^*_e = j75g$ $u^*_d = l03c$

Kontrastreduzierungsfaktor:

$c_R = 1.0$

Dreiecks-Helligkeit t^*



FRS09_92a; adaptierte CIELAB-Daten

u^*_e	$L^*=L^*_a$	a^*_a	b^*_a	$C^*_{ab,a}$	$h^*_{ab,a}$
O _{Ma}	35.06	60.0	44.0	74.4	36
Y _{Ma}	83.77	-5.17	109.32	109.44	93
L _{Ma}	44.13	-62.67	48.24	79.09	142
C _{Ma}	52.66	-29.14	-31.99	43.27	228
V _{Ma}	14.15	50.3	-59.04	77.57	310
M _{Ma}	37.37	78.64	-33.5	85.48	337
N _{Ma}	8.58	0.0	0.0	0.0	0
W _{Ma}	92.02	0.0	0.0	0.0	0
R _{Ma}	39.92	58.74	27.99	65.07	25
J _{Ma}	81.26	-2.89	71.56	71.62	92
G _{Ma}	52.23	-42.42	13.6	44.55	162
B _{Ma}	30.57	1.41	-46.47	46.49	272

Daten für Maximalfarbe (Ma):

$LAB^*LAB^*_{Ma}$: 45 -60 43

$LAB^*LCH^*_{Ma}$: 45 74 144

$lab^*rgb^*_{Ma}$: 0.25 1.0 0.0

$lab^*olv^*_{Ma}$: 0.0 1.0 0.03

Dreiecks-Helligkeit t^*

%Umfang

$u^*_{rel} = 109$

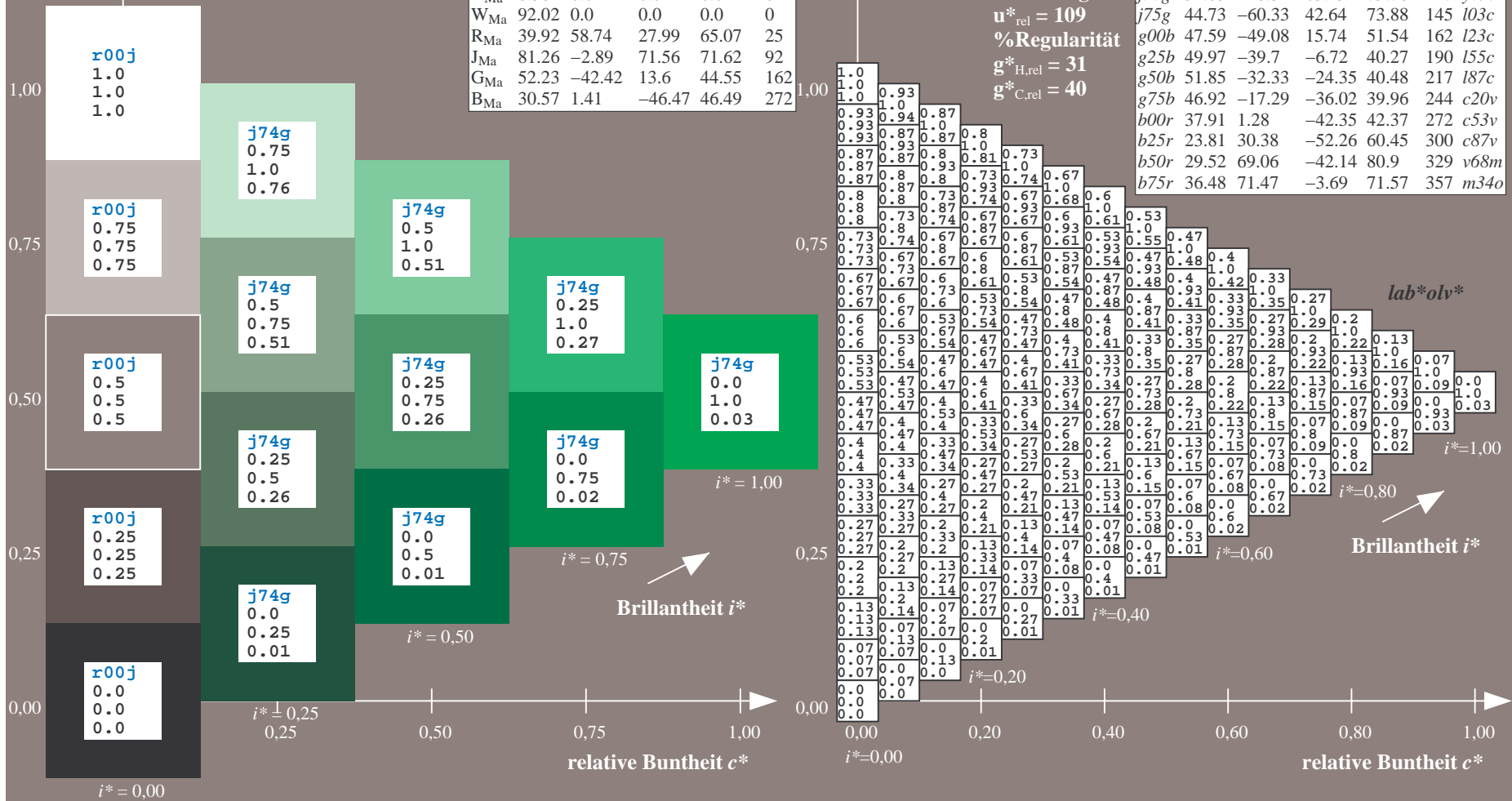
%Regularität

$g^*_{H,rel} = 31$

$g^*_{C,rel} = 40$

FRS09_92a; adaptierte CIELAB-Daten

u^*_e	$L^*=L^*_a$	a^*_a	b^*_a	$C^*_{ab,a}$	$h^*_{ab,a}$	u^*_d
r00j	35.47	63.32	30.17	70.15	25	m81o
r25j	39.12	54.56	49.45	73.64	42	o10y
r50j	50.64	39.15	64.89	75.79	59	o40y
r75j	64.01	21.26	82.83	85.52	76	o69y
j00g	83.18	-4.38	108.53	108.62	92	o98y
j25g	66.73	-29.89	83.06	88.28	110	y34l
j50g	54.03	-48.31	63.49	79.78	127	y69l
j75g	44.73	-60.33	42.64	73.88	145	l03c
g00b	47.59	-49.08	15.74	51.54	162	l23c
g25b	49.97	-39.7	-6.72	40.27	190	l55c
g50b	51.85	-32.33	-24.35	40.48	217	l87c
g75b	46.92	-17.29	-36.02	39.96	244	c20v
b00r	37.91	1.28	-42.35	42.47	272	c53v
b25r	23.81	30.38	-52.26	60.45	300	c87v
b50r	29.52	69.06	-42.14	80.9	329	v68m
b75r	36.48	71.47	-3.69	71.57	357	m34o



Ein und Ausgabe: Farbmatisches Drucker-Reflektiv-System FRS09_92a für relativen CIELAB-Bunton $h^* = lab^*h^* = h_{ab}/360 = 0.451$

$u^*_e = g00b$
 lab^*olv^*

Daten für jede Farbe:

lab^*tch^* und lab^*icu^*

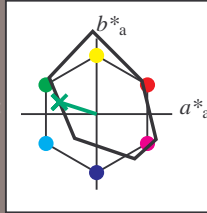
Buntontexte:

$u^*_e = g00b$ $u^*_d = l23c$

Kontrastreduzierungsfaktor:

$c_R = 1.0$

Dreiecks-Helligkeit t^*



FRS09_92a; adaptierte CIELAB-Daten

u^*_e	$L^*=L^*_a$	a^*_a	b^*_a	$C^*_{ab,a}$	$h^*_{ab,a}$
O _{Ma}	35.06	60.0	44.0	74.4	36
Y _{Ma}	83.77	-5.17	109.32	109.44	93
L _{Ma}	44.13	-62.67	48.24	79.09	142
C _{Ma}	52.66	-29.14	-31.99	43.27	228
V _{Ma}	14.15	50.3	-59.04	77.57	310
M _{Ma}	37.37	78.64	-33.5	85.48	337
N _{Ma}	8.58	0.0	0.0	0.0	0
W _{Ma}	92.02	0.0	0.0	0.0	0
R _{Ma}	39.92	58.74	27.99	65.07	25
J _{Ma}	81.26	-2.89	71.56	71.62	92
G _{Ma}	52.23	-42.42	13.6	44.55	162
B _{Ma}	30.57	1.41	-46.47	46.49	272

Daten für Maximalfarbe (Ma):

$LAB^*LAB^*_{Ma}$: 48 -49 16

$LAB^*LCH^*_{Ma}$: 48 52 162

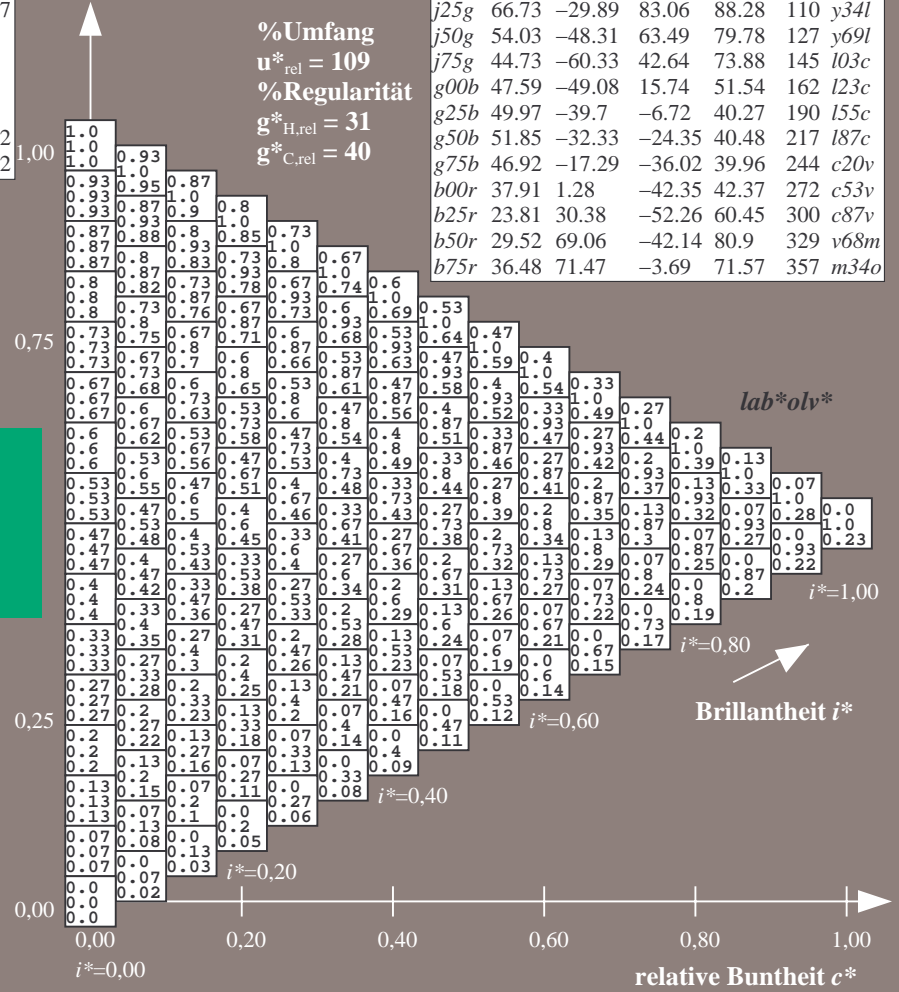
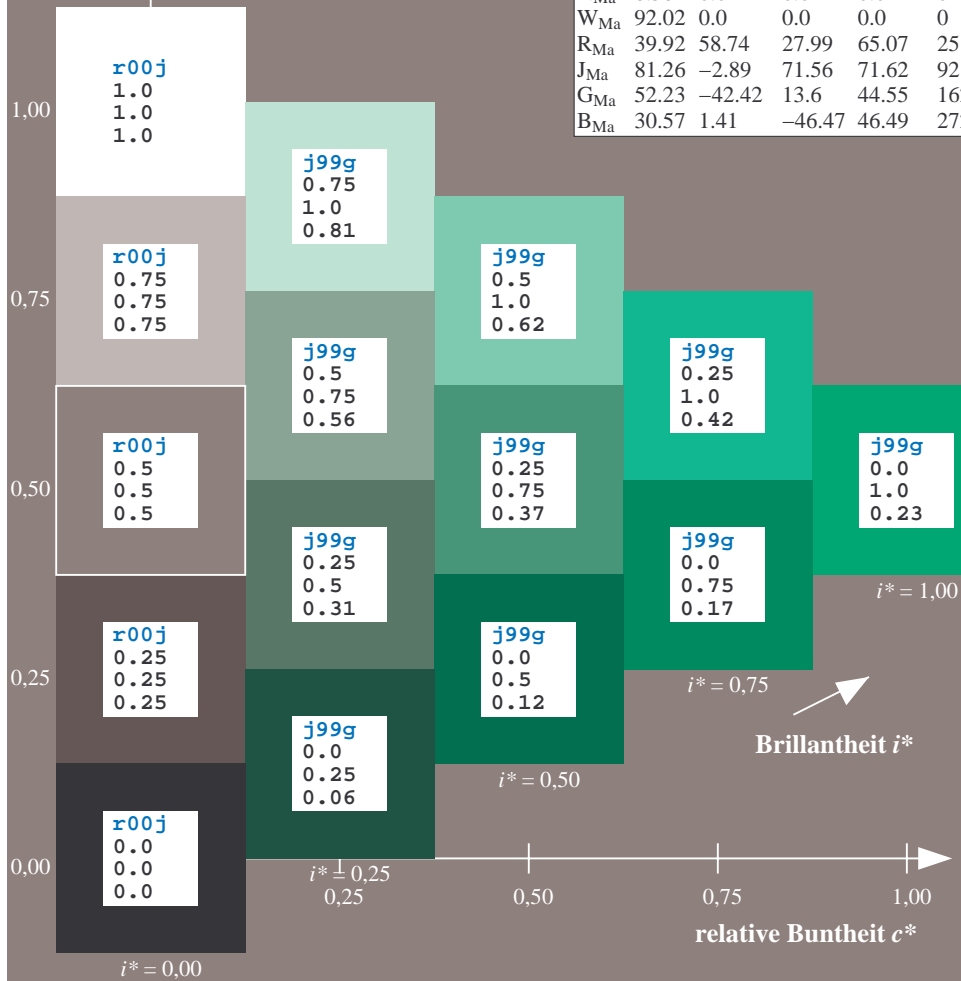
$lab^*rgb^*_{Ma}$: 0.0 1.0 0.0

$lab^*olv^*_{Ma}$: 0.0 1.0 0.23

Dreiecks-Helligkeit t^*

FRS09_92a; adaptierte CIELAB-Daten

u^*_e	$L^*=L^*_a$	a^*_a	b^*_a	$C^*_{ab,a}$	$h^*_{ab,a}$	u^*_d
r00j	35.47	63.32	30.17	70.15	25	m81o
r25j	39.12	54.56	49.45	73.64	42	o10y
r50j	50.64	39.15	64.89	75.79	59	o40y
r75j	64.01	21.26	82.83	85.52	76	o69y
j00g	83.18	-4.38	108.53	108.62	92	o98y
j25g	66.73	-29.89	83.06	88.28	110	y34l
j50g	54.03	-48.31	63.49	79.78	127	y69l
j75g	44.73	-60.33	42.64	73.88	145	103c
g00b	47.59	-49.08	15.74	51.54	162	l23c
g25b	49.97	-39.7	-6.72	40.27	190	l55c
g50b	51.85	-32.33	-24.35	40.48	217	l87c
g75b	46.92	-17.29	-36.02	39.96	244	c20v
b00r	37.91	1.28	-42.35	42.37	272	c53v
b25r	23.81	30.38	-52.26	60.45	300	c87v
b50r	29.52	69.06	-42.14	80.9	329	v68m
b75r	36.48	71.47	-3.69	71.57	357	m34o



Ein und Ausgabe: Farbmatisches Drucker-Reflektiv-System FRS09_92a für relativen CIELAB-Bunton $h^* = lab^*h^* = h_{ab}/360 = 0.527$

$u^*_e = g25b$
 lab^*olv^*

Daten für jede Farbe:

lab^*tch^* und lab^*icu^*

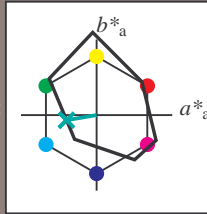
Buntontexte:

$u^*_e = g25b$ $u^*_d = l55c$

Kontrastreduzierungsfaktor:

$c_R = 1.0$

Dreiecks-Helligkeit t^*



FRS09_92a; adaptierte CIELAB-Daten

u^*_e	$L^*=L^*_a$	a^*_a	b^*_a	$C^*_{ab,a}$	$h^*_{ab,a}$
O _{Ma}	35.06	60.0	44.0	74.4	36
Y _{Ma}	83.77	-5.17	109.32	109.44	93
L _{Ma}	44.13	-62.67	48.24	79.09	142
C _{Ma}	52.66	-29.14	-31.99	43.27	228
V _{Ma}	14.15	50.3	-59.04	77.57	310
M _{Ma}	37.37	78.64	-33.5	85.48	337
N _{Ma}	8.58	0.0	0.0	0.0	0
W _{Ma}	92.02	0.0	0.0	0.0	0
R _{Ma}	39.92	58.74	27.99	65.07	25
J _{Ma}	81.26	-2.89	71.56	71.62	92
G _{Ma}	52.23	-42.42	13.6	44.55	162
B _{Ma}	30.57	1.41	-46.47	46.49	272

Daten für Maximalfarbe (Ma):

$LAB^*LAB^*_{Ma}$: 50 -40 -7

$LAB^*LCH^*_{Ma}$: 50 40 189

$lab^*rgb^*_{Ma}$: 0.0 1.0 0.5

$lab^*olv^*_{Ma}$: 0.0 1.0 0.55

Dreiecks-Helligkeit t^*

%Umfang

$u^*_{rel} = 109$

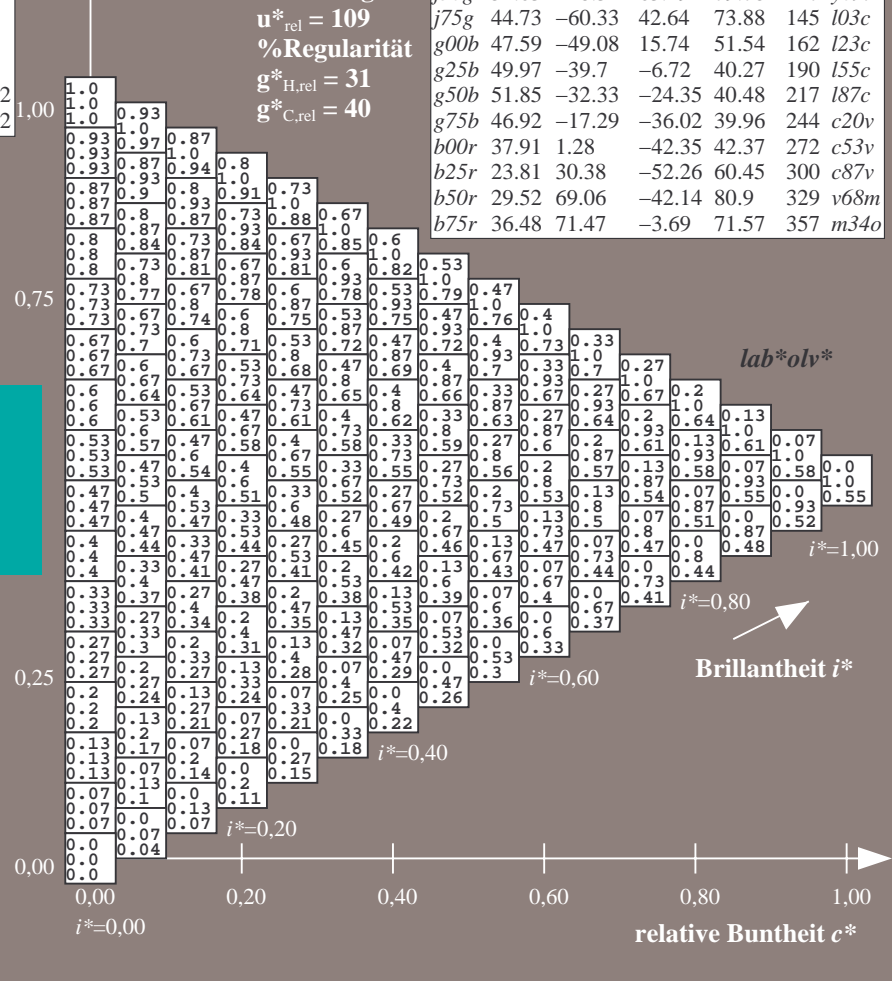
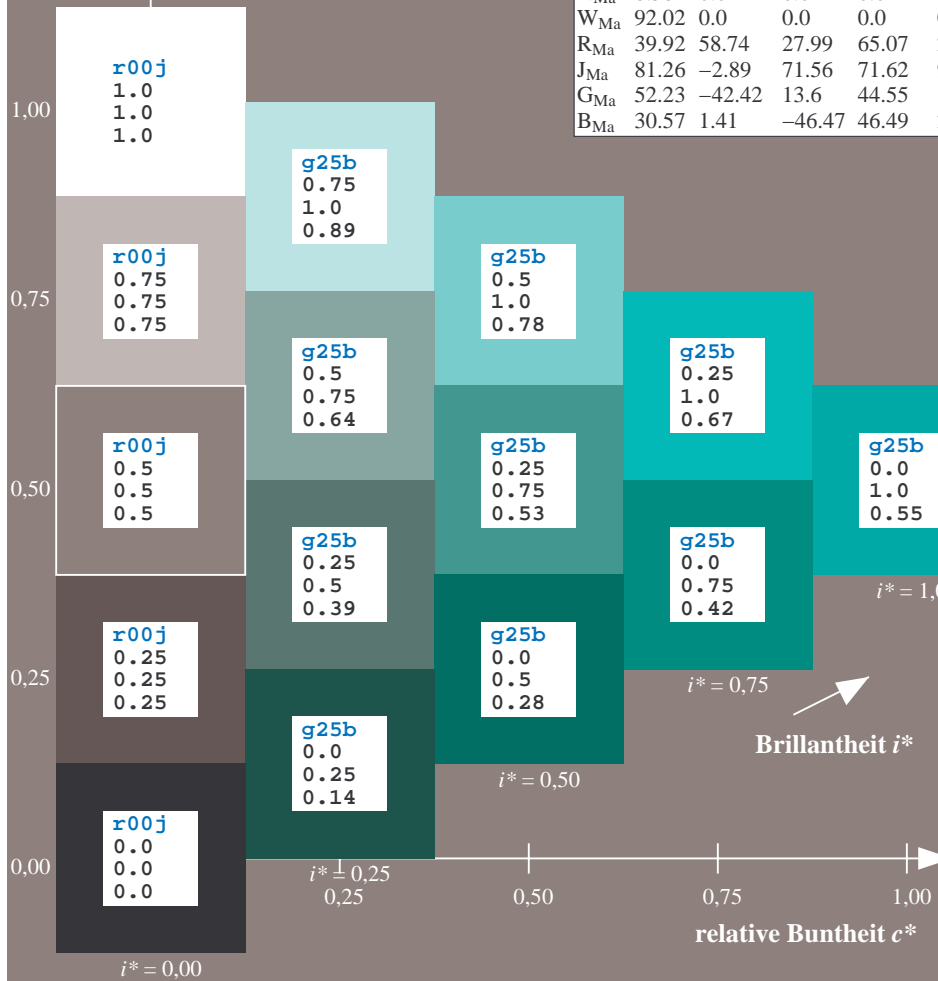
%Regularität

$g^*_{H,rel} = 31$

$g^*_{C,rel} = 40$

FRS09_92a; adaptierte CIELAB-Daten

u^*_e	$L^*=L^*_a$	a^*_a	b^*_a	$C^*_{ab,a}$	$h^*_{ab,a}$	u^*_d
r00j	35.47	63.32	30.17	70.15	25	m81o
r25j	39.12	54.56	49.45	73.64	42	o10y
r50j	50.64	39.15	64.89	75.79	59	o40y
r75j	64.01	21.26	82.83	85.52	76	o69y
j00g	83.18	-4.38	108.53	108.62	92	o98y
j25g	66.73	-29.89	83.06	88.28	110	y34l
j50g	54.03	-48.31	63.49	79.78	127	y69l
j75g	44.73	-60.33	42.64	73.88	145	l03c
g00b	47.59	-49.08	15.74	51.54	162	i23c
g25b	49.97	-39.7	-6.72	40.27	190	l55c
g50b	51.85	-32.33	-24.35	40.48	217	l87c
g75b	46.92	-17.29	-36.02	39.96	244	c20v
b00r	37.91	1.28	-42.35	42.37	272	c53v
b25r	23.81	30.38	-52.26	60.45	300	c87v
b50r	29.52	69.06	-42.14	80.9	329	v68m
b75r	36.48	71.47	-3.69	71.57	357	m34o



Ein und Ausgabe: Farbmatisches Drucker-Reflektiv-System FRS09_92a für relativen CIELAB-Bunton $h^* = lab^*h^* = h_{ab}/360 = 0.603$

$u^*_e = g50b$
 lab^*olv^*

Daten für jede Farbe:

lab^*tch^* und lab^*icu^*

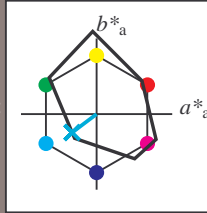
Buntontexte:

$u^*_e = g50b$ $u^*_d = l87c$

Kontrastreduzierungsfaktor:

$c_R = 1.0$

Dreiecks-Helligkeit t^*



FRS09_92a; adaptierte CIELAB-Daten

u^*_e	$L^*=L^*_a$	a^*_a	b^*_a	$C^*_{ab,a}$	$h^*_{ab,a}$
O _{Ma}	35.06	60.0	44.0	74.4	36
Y _{Ma}	83.77	-5.17	109.32	109.44	93
L _{Ma}	44.13	-62.67	48.24	79.09	142
C _{Ma}	52.66	-29.14	-31.99	43.27	228
V _{Ma}	14.15	50.3	-59.04	77.57	310
M _{Ma}	37.37	78.64	-33.5	85.48	337
N _{Ma}	8.58	0.0	0.0	0.0	0
W _{Ma}	92.02	0.0	0.0	0.0	0
R _{Ma}	39.92	58.74	27.99	65.07	25
J _{Ma}	81.26	-2.89	71.56	71.62	92
G _{Ma}	52.23	-42.42	13.6	44.55	162
B _{Ma}	30.57	1.41	-46.47	46.49	272

Daten für Maximalfarbe (Ma):

$LAB^*LAB^*_{Ma}$: 52 -32 -24

$LAB^*LCH^*_{Ma}$: 52 40 216

$lab^*rgb^*_{Ma}$: 0.0 1.0 1.0

$lab^*olv^*_{Ma}$: 0.0 1.0 0.87

Dreiecks-Helligkeit t^*

%Umfang

$u^*_{rel} = 109$

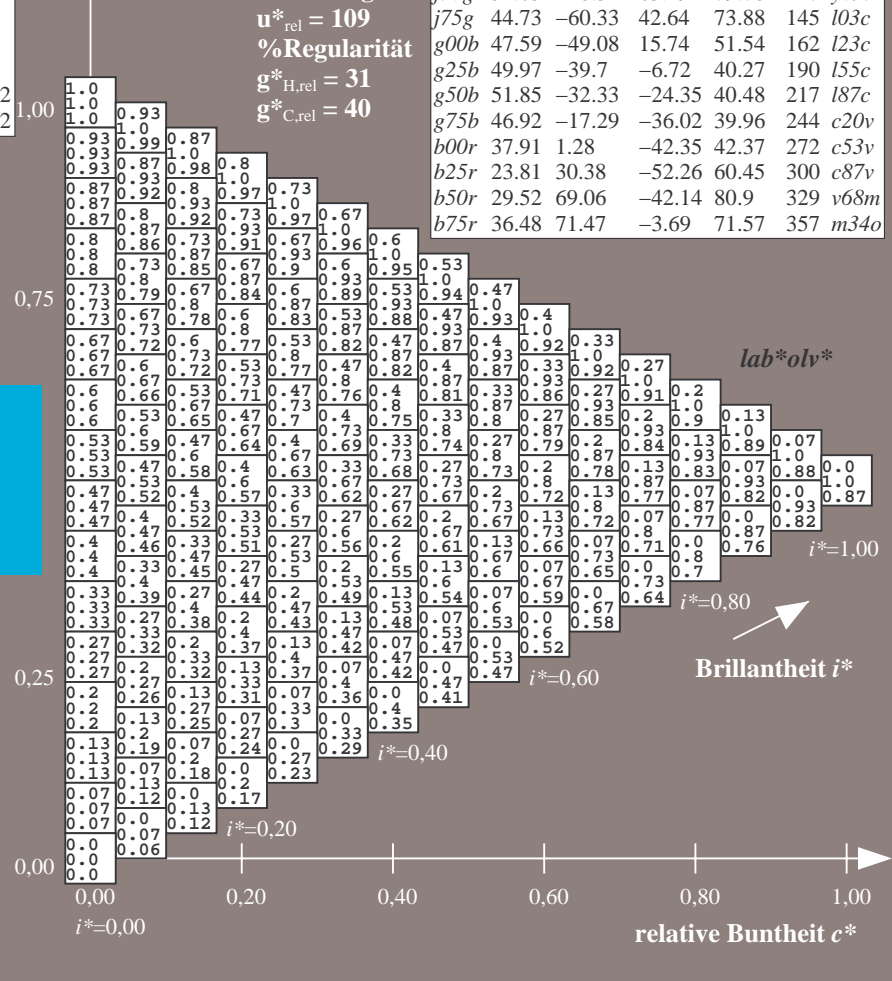
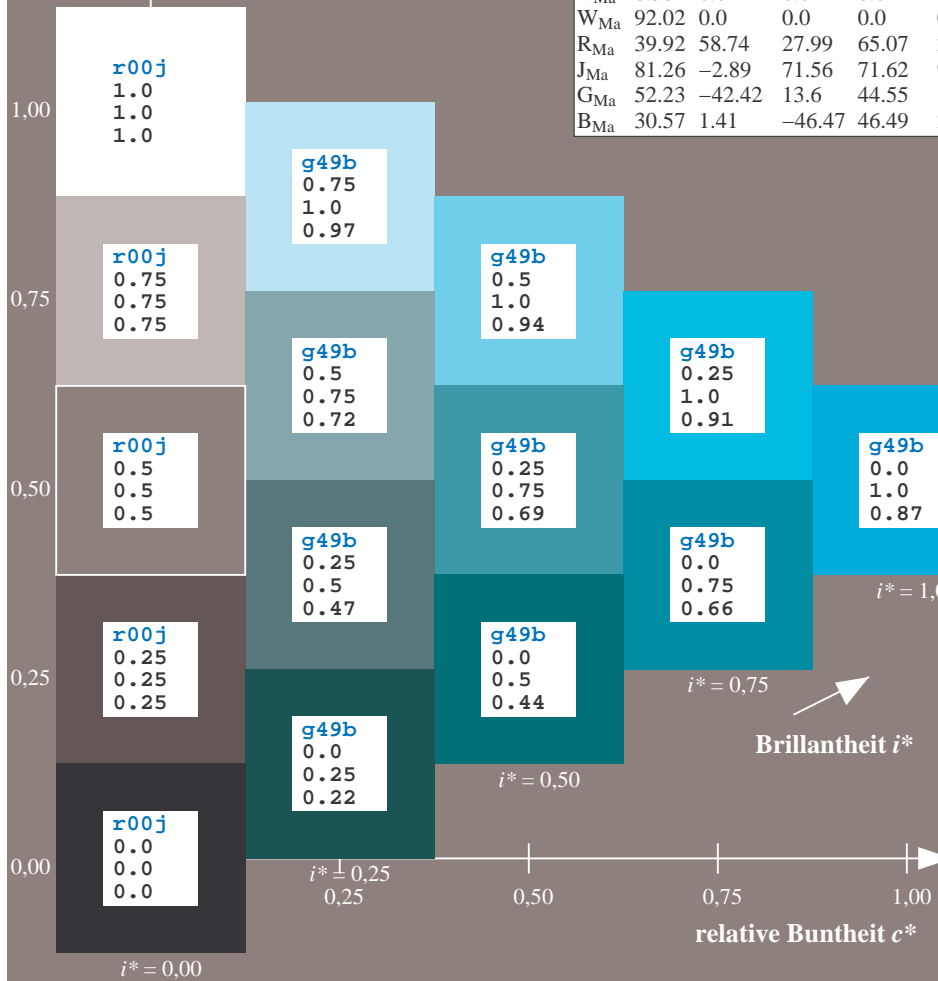
%Regularität

$g^*_{H,rel} = 31$

$g^*_{C,rel} = 40$

FRS09_92a; adaptierte CIELAB-Daten

u^*_e	$L^*=L^*_a$	a^*_a	b^*_a	$C^*_{ab,a}$	$h^*_{ab,a}$	u^*_d
r00j	35.47	63.32	30.17	70.15	25	m81o
r25j	39.12	54.56	49.45	73.64	42	o10y
r50j	50.64	39.15	64.89	75.79	59	o40y
r75j	64.01	21.26	82.83	85.52	76	o69y
j00g	83.18	-4.38	108.53	108.62	92	o98y
j25g	66.73	-29.89	83.06	88.28	110	y34l
j50g	54.03	-48.31	63.49	79.78	127	y69l
j75g	44.73	-60.33	42.64	73.88	145	i03c
g00b	47.59	-49.08	15.74	51.54	162	l23c
g25b	49.97	-39.7	-6.72	40.27	190	i55c
g50b	51.85	-32.33	-24.35	40.48	217	l87c
g75b	46.92	-17.29	-36.02	39.96	244	c20v
b00r	37.91	1.28	-42.35	42.37	272	c53v
b25r	23.81	30.38	-52.26	60.45	300	c87v
b50r	29.52	69.06	-42.14	80.9	329	v68m
b75r	36.48	71.47	-3.69	71.57	357	m34o



Ein und Ausgabe: Farbmatisches Drucker-Reflektiv-System FRS09_92a für relativen CIELAB-Bunton $h^* = lab^*h^* = h_{ab}/360 = 0.679$

$u^*_e = g75b$
 lab^*olv^*

Daten für jede Farbe:

lab^*tch^* und lab^*icu^*

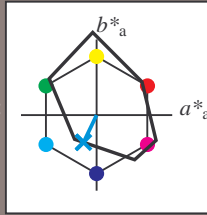
Buntontexte:

$u^*_e = g75b$ $u^*_d = c20v$

Kontrastreduzierungsfaktor:

$c_R = 1.0$

Dreiecks-Helligkeit t^*



FRS09_92a; adaptierte CIELAB-Daten

u^*_e	$L^*=L^*_a$	a^*_a	b^*_a	$C^*_{ab,a}$	$h^*_{ab,a}$
O _{Ma}	35.06	60.0	44.0	74.4	36
Y _{Ma}	83.77	-5.17	109.32	109.44	93
L _{Ma}	44.13	-62.67	48.24	79.09	142
C _{Ma}	52.66	-29.14	-31.99	43.27	228
V _{Ma}	14.15	50.3	-59.04	77.57	310
M _{Ma}	37.37	78.64	-33.5	85.48	337
N _{Ma}	8.58	0.0	0.0	0.0	0
W _{Ma}	92.02	0.0	0.0	0.0	0
R _{Ma}	39.92	58.74	27.99	65.07	25
J _{Ma}	81.26	-2.89	71.56	71.62	92
G _{Ma}	52.23	-42.42	13.6	44.55	162
B _{Ma}	30.57	1.41	-46.47	46.49	272

Daten für Maximalfarbe (Ma):

$LAB^*LAB^*_{Ma}$: 47 -17 -36

$LAB^*LCH^*_{Ma}$: 47 40 244

$lab^*rgb^*_{Ma}$: 0.0 0.5 1.0

$lab^*olv^*_{Ma}$: 0.0 0.8 1.0

Dreiecks-Helligkeit t^*

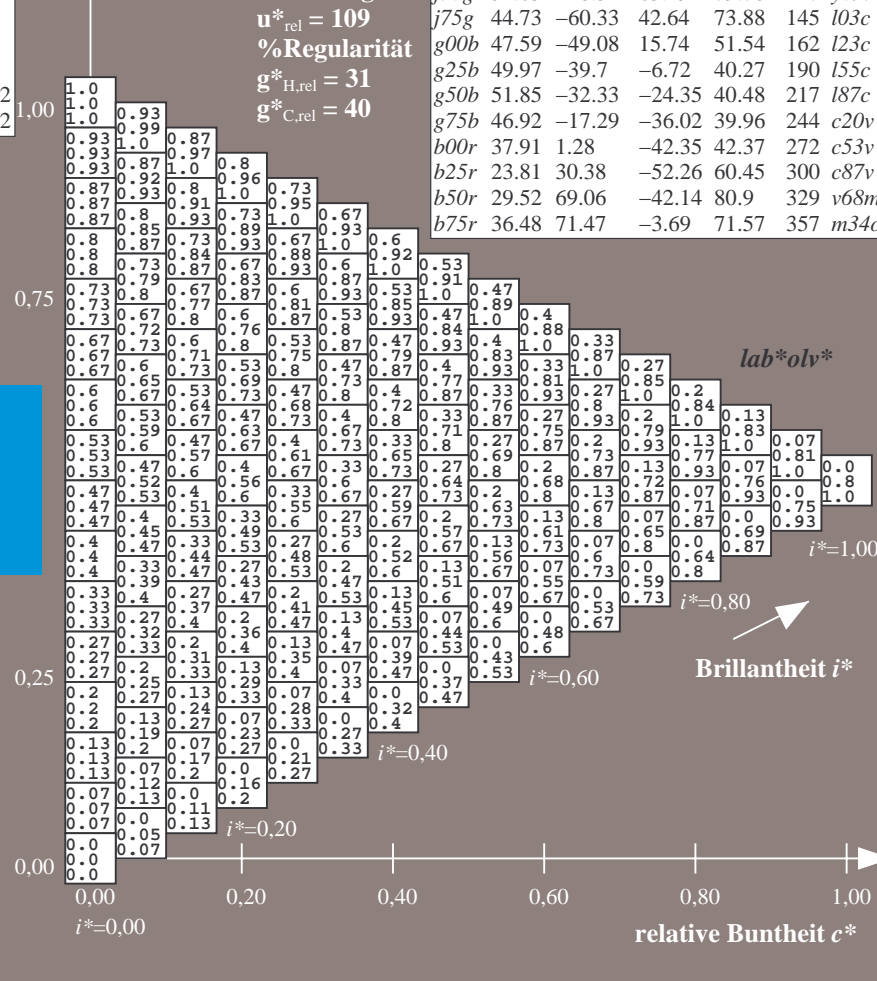
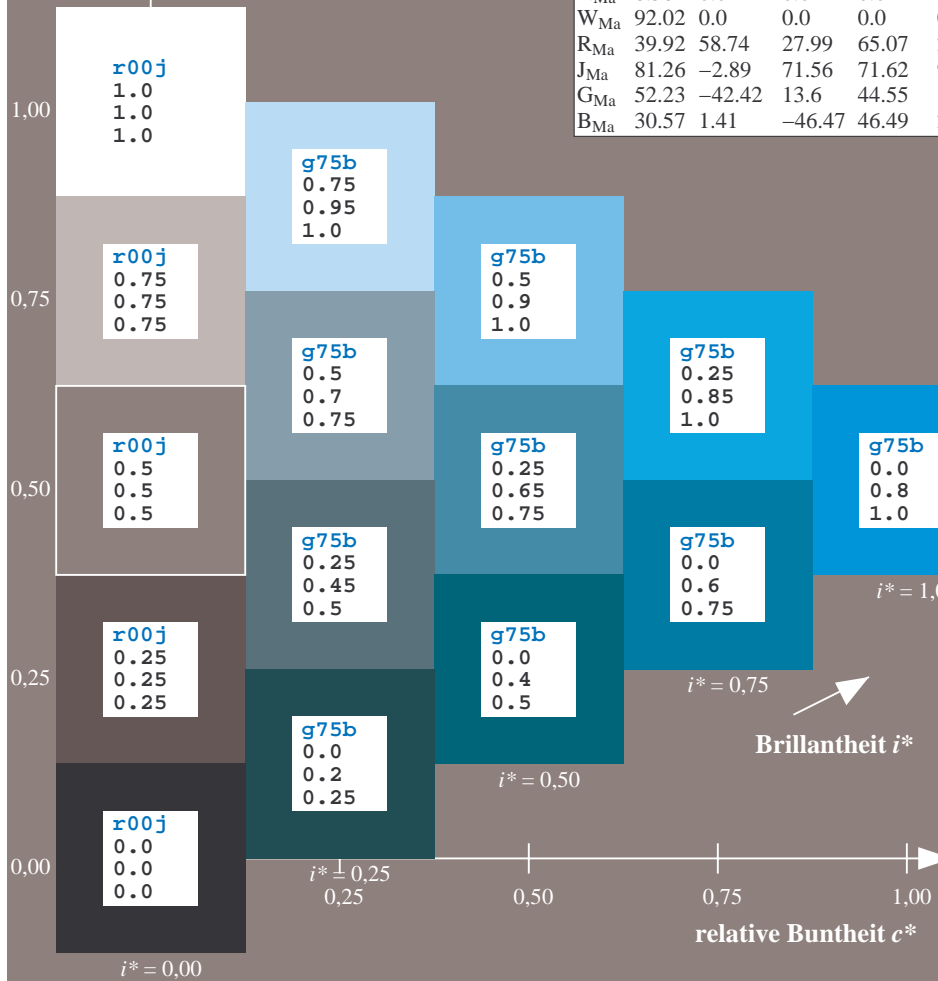
%Umfang

$u^*_{rel} = 109$

%Regularität

$g^*_{H,rel} = 31$

$g^*_{C,rel} = 40$



Ein und Ausgabe: Farbmatisches Drucker-Reflektiv-System FRS09_92a für relativen CIELAB-Bunton $h^* = lab^*h^* = h_{ab}/360 = 0.755$

$u^*_e = b00r$

Daten für jede Farbe:

lab^*ch^* und lab^*icu^*

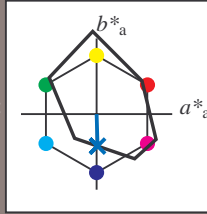
Buntontexte:

$u^*_e = b00r$ $u^*_d = c53v$

Kontrastreduzierungsfaktor:

$c_R = 1.0$

Dreiecks-Helligkeit t^*



FRS09_92a; adaptierte CIELAB-Daten

u^*_e	$L^*=L^*_a$	a^*_a	b^*_a	$C^*_{ab,a}$	$h^*_{ab,a}$
O _{Ma}	35.06	60.0	44.0	74.4	36
Y _{Ma}	83.77	-5.17	109.32	109.44	93
L _{Ma}	44.13	-62.67	48.24	79.09	142
C _{Ma}	52.66	-29.14	-31.99	43.27	228
V _{Ma}	14.15	50.3	-59.04	77.57	310
M _{Ma}	37.37	78.64	-33.5	85.48	337
N _{Ma}	8.58	0.0	0.0	0.0	0
W _{Ma}	92.02	0.0	0.0	0.0	0
R _{Ma}	39.92	58.74	27.99	65.07	25
J _{Ma}	81.26	-2.89	71.56	71.62	92
G _{Ma}	52.23	-42.42	13.6	44.55	162
B _{Ma}	30.57	1.41	-46.47	46.49	272

Daten für Maximalfarbe (Ma):

$LAB^*LAB^*_{Ma}$: 38 1 -42

$LAB^*LCH^*_{Ma}$: 38 42 271

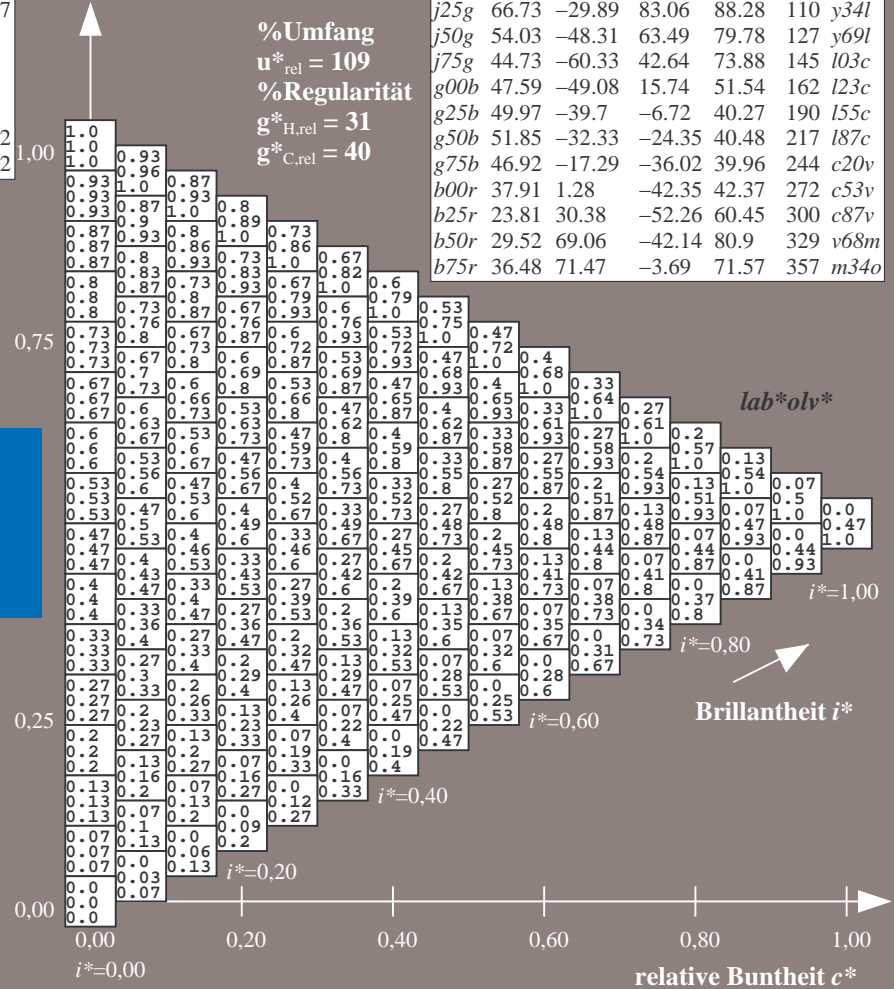
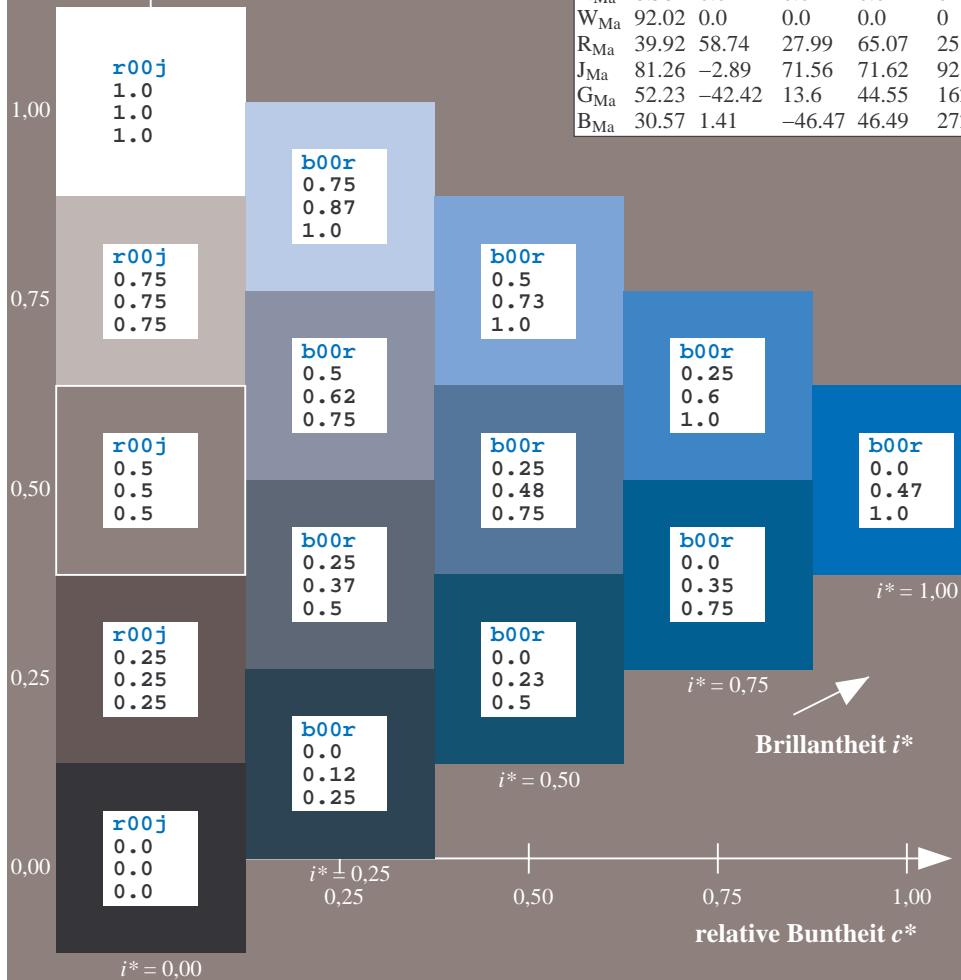
$lab^*rgb^*_{Ma}$: 0.0 0.0 1.0

$lab^*olv^*_{Ma}$: 0.0 0.47 1.0

Dreiecks-Helligkeit t^*

FRS09_92a; adaptierte CIELAB-Daten

u^*_e	$L^*=L^*_a$	a^*_a	b^*_a	$C^*_{ab,a}$	$h^*_{ab,a}$	u^*_d
r00j	35.47	63.32	30.17	70.15	25	m81o
r25j	39.12	54.56	49.45	73.64	42	o10y
r50j	50.64	39.15	64.89	75.79	59	o40y
r75j	64.01	21.26	82.83	85.52	76	o69y
j00g	83.18	-4.38	108.53	108.62	92	o98y
j25g	66.73	-29.89	83.06	88.28	110	y34l
j50g	54.03	-48.31	63.49	79.78	127	y69l
j75g	44.73	-60.33	42.64	73.88	145	103c
g00b	47.59	-49.08	15.74	51.54	162	i23c
g25b	49.97	-39.7	-6.72	40.27	190	i55c
g50b	51.85	-32.33	-24.35	40.48	217	i87c
g75b	46.92	-17.29	-36.02	39.96	244	c20v
b00r	37.91	1.28	-42.35	42.37	272	c53v
b25r	23.81	30.38	-52.26	60.45	300	c87v
b50r	29.52	69.06	-42.14	80.9	329	v68m
b75r	36.48	71.47	-3.69	71.57	357	m34o



%Umfang
 $u^*_{rel} = 109$
%Regularität
 $g^*_{H,rel} = 31$
 $g^*_{C,rel} = 40$

Brillantheit i^*

lab^*olv^*

Ein und Ausgabe: Farbmatisches Drucker-Reflektiv-System FRS09_92a für relativen CIELAB-Bunton $h^* = lab^*h^* = h_{ab}/360 = 0.834$

$u^*_e = b25r$

Daten für jede Farbe:

lab^*ch^* und lab^*icu^*

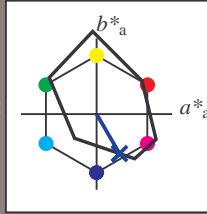
Buntontexte:

$u^*_e = b25r$ $u^*_d = c87v$

Kontrastreduzierungsfaktor:

$c_R = 1.0$

Dreiecks-Helligkeit t^*



FRS09_92a; adaptierte CIELAB-Daten

u^*_e	$L^*=L^*_a$	a^*_a	b^*_a	$C^*_{ab,a}$	$h^*_{ab,a}$
O _{Ma}	35.06	60.0	44.0	74.4	36
Y _{Ma}	83.77	-5.17	109.32	109.44	93
L _{Ma}	44.13	-62.67	48.24	79.09	142
C _{Ma}	52.66	-29.14	-31.99	43.27	228
V _{Ma}	14.15	50.3	-59.04	77.57	310
M _{Ma}	37.37	78.64	-33.5	85.48	337
N _{Ma}	8.58	0.0	0.0	0.0	0
W _{Ma}	92.02	0.0	0.0	0.0	0
R _{Ma}	39.92	58.74	27.99	65.07	25
J _{Ma}	81.26	-2.89	71.56	71.62	92
G _{Ma}	52.23	-42.42	13.6	44.55	162
B _{Ma}	30.57	1.41	-46.47	46.49	272

Daten für Maximalfarbe (Ma):

$LAB^*LAB^*_{Ma}$: 24 30 -52

$LAB^*LCH^*_{Ma}$: 24 60 300

$lab^*rgb^*_{Ma}$: 0.5 0.0 1.0

$lab^*olv^*_{Ma}$: 0.0 0.12 1.0

Dreiecks-Helligkeit t^*

%Umfang

$u^*_{rel} = 109$

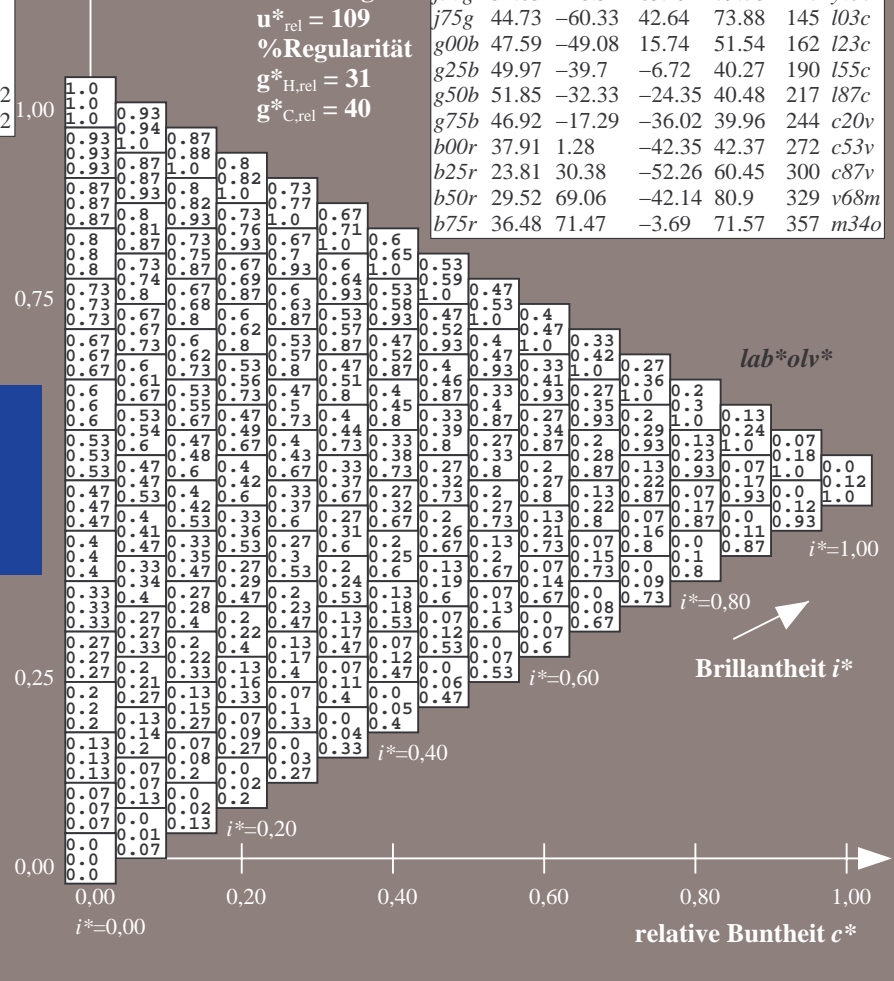
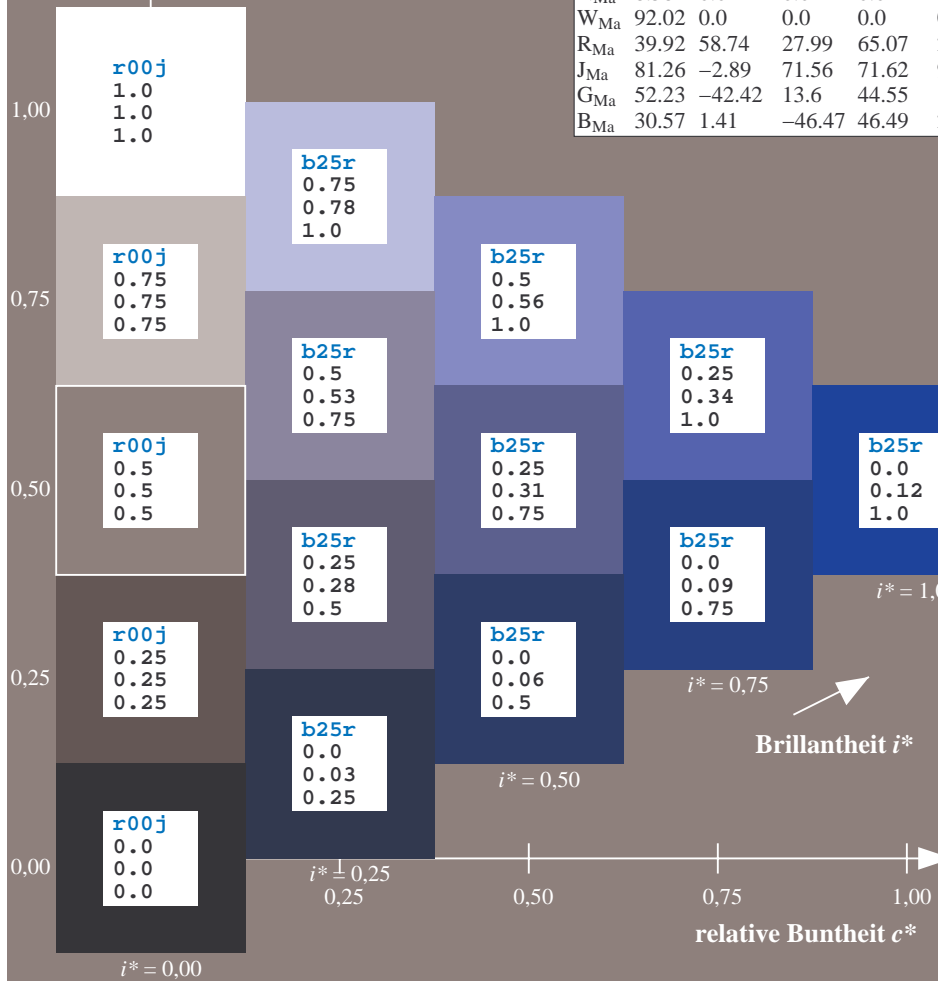
%Regularität

$g^*_{H,rel} = 31$

$g^*_{C,rel} = 40$

FRS09_92a; adaptierte CIELAB-Daten

u^*_e	$L^*=L^*_a$	a^*_a	b^*_a	$C^*_{ab,a}$	$h^*_{ab,a}$	u^*_d
r00j	35.47	63.32	30.17	70.15	25	m81o
r25j	39.12	54.56	49.45	73.64	42	o10y
r50j	50.64	39.15	64.89	75.79	59	o40y
r75j	64.01	21.26	82.83	85.52	76	o69y
j00g	83.18	-4.38	108.53	108.62	92	o98y
j25g	66.73	-29.89	83.06	88.28	110	y34l
j50g	54.03	-48.31	63.49	79.78	127	y69l
j75g	44.73	-60.33	42.64	73.88	145	103c
g00b	47.59	-49.08	15.74	51.54	162	l23c
g25b	49.97	-39.7	-6.72	40.27	190	l55c
g50b	51.85	-32.33	-24.35	40.48	217	l87c
g75b	46.92	-17.29	-36.02	39.96	244	c20v
b00r	37.91	1.28	-42.35	42.37	272	c53v
b25r	23.81	30.38	-52.26	60.45	300	c87v
b50r	29.52	69.06	-42.14	80.9	329	v68m
b75r	36.48	71.47	-3.69	71.57	357	m34o



Ein und Ausgabe: Farbmatisches Drucker-Reflektiv-System FRS09_92a für relativen CIELAB-Bunton $h^* = lab^*h^* = h_{ab}/360 = 0.913$

$u^*_e = b50r$

Daten für jede Farbe:

lab^*ch^* und lab^*icu^*

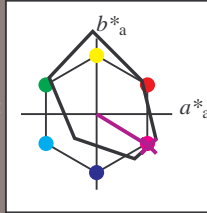
Buntontexte:

$u^*_e = b50r$ $u^*_d = v68m$

Kontrastreduzierungsfaktor:

$c_R = 1.0$

Dreiecks-Helligkeit t^*



FRS09_92a; adaptierte CIELAB-Daten

u^*_e	$L^*=L^*_a$	a^*_a	b^*_a	$C^*_{ab,a}$	$h^*_{ab,a}$
O _{Ma}	35.06	60.0	44.0	74.4	36
Y _{Ma}	83.77	-5.17	109.32	109.44	93
L _{Ma}	44.13	-62.67	48.24	79.09	142
C _{Ma}	52.66	-29.14	-31.99	43.27	228
V _{Ma}	14.15	50.3	-59.04	77.57	310
M _{Ma}	37.37	78.64	-33.5	85.48	337
N _{Ma}	8.58	0.0	0.0	0.0	0
W _{Ma}	92.02	0.0	0.0	0.0	0
R _{Ma}	39.92	58.74	27.99	65.07	25
J _{Ma}	81.26	-2.89	71.56	71.62	92
G _{Ma}	52.23	-42.42	13.6	44.55	162
B _{Ma}	30.57	1.41	-46.47	46.49	272

Daten für Maximalfarbe (Ma):

$LAB^*LAB^*_{Ma}$: 30 69 -42

$LAB^*LCH^*_{Ma}$: 30 81 328

$lab^*rgb^*_{Ma}$: 1.0 0.0 1.0

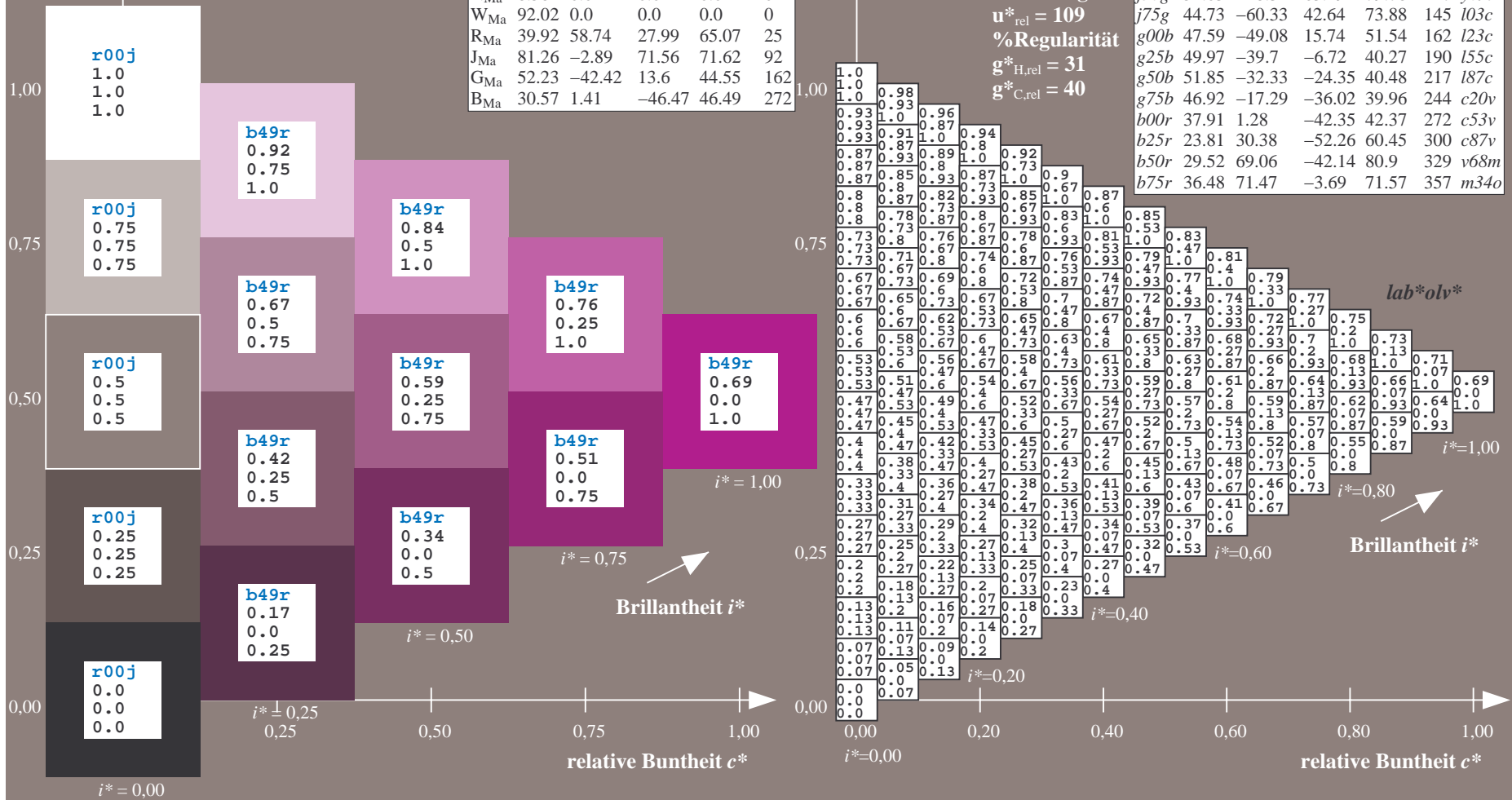
$lab^*olv^*_{Ma}$: 0.69 0.0 1.0

Dreiecks-Helligkeit t^*

FRS09_92a; adaptierte CIELAB-Daten

u^*_e	$L^*=L^*_a$	a^*_a	b^*_a	$C^*_{ab,a}$	$h^*_{ab,a}$	u^*_d
r00j	35.47	63.32	30.17	70.15	25	m81o
r25j	39.12	54.56	49.45	73.64	42	o10y
r50j	50.64	39.15	64.89	75.79	59	o40y
r75j	64.01	21.26	82.83	85.52	76	o69y
j00g	83.18	-4.38	108.53	108.62	92	o98y
j25g	66.73	-29.89	83.06	88.28	110	y34l
j50g	54.03	-48.31	63.49	79.78	127	y69l
j75g	44.73	-60.33	42.64	73.88	145	l03c
g00b	47.59	-49.08	15.74	51.54	162	l23c
g25b	49.97	-39.7	-6.72	40.27	190	l55c
g50b	51.85	-32.33	-24.35	40.48	217	l87c
g75b	46.92	-17.29	-36.02	39.96	244	c20v
b00r	37.91	1.28	-42.35	42.37	272	c53v
b25r	23.81	30.38	-52.26	60.45	300	c87v
b50r	29.52	69.06	-42.14	80.9	329	v68m
b75r	36.48	71.47	-3.69	71.57	357	m34o

lab^*olv^*



%Umfang
 $u^*_{rel} = 109$
%Regularität
 $g^*_{H,rel} = 31$
 $g^*_{C,rel} = 40$

Brillanz i^*

Brillanz i^*

Brillanz i^*

Brillanz i^*

Ein und Ausgabe: Farbmatisches Drucker-Reflektiv-System FRS09_92a für relativen CIELAB-Bunton $h^* = lab^*h^* = h_{ab}/360 = 0.992$

$u^*_e = b75r$

Daten für jede Farbe:

lab^*ch^* und lab^*icu^*

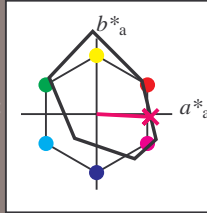
Buntontexte:

$u^*_e = b75r$ $u^*_d = m34o$

Kontrastreduzierungsfaktor:

$c_R = 1.0$

Dreiecks-Helligkeit t^*



FRS09_92a; adaptierte CIELAB-Daten

u^*_e	$L^*=L^*_a$	a^*_a	b^*_a	$C^*_{ab,a}$	$h^*_{ab,a}$
O _{Ma}	35.06	60.0	44.0	74.4	36
Y _{Ma}	83.77	-5.17	109.32	109.44	93
L _{Ma}	44.13	-62.67	48.24	79.09	142
C _{Ma}	52.66	-29.14	-31.99	43.27	228
V _{Ma}	14.15	50.3	-59.04	77.57	310
M _{Ma}	37.37	78.64	-33.5	85.48	337
N _{Ma}	8.58	0.0	0.0	0.0	0
W _{Ma}	92.02	0.0	0.0	0.0	0
R _{Ma}	39.92	58.74	27.99	65.07	25
J _{Ma}	81.26	-2.89	71.56	71.62	92
G _{Ma}	52.23	-42.42	13.6	44.55	162
B _{Ma}	30.57	1.41	-46.47	46.49	272

Daten für Maximalfarbe (Ma):

$LAB^*LAB^*_{Ma}$: 36 71 -4

$LAB^*LCH^*_{Ma}$: 36 72 357

$lab^*rgb^*_{Ma}$: 1.0 0.0 0.5

$lab^*olv^*_{Ma}$: 1.0 0.0 0.66

Dreiecks-Helligkeit t^*

%Umfang

$u^*_{rel} = 109$

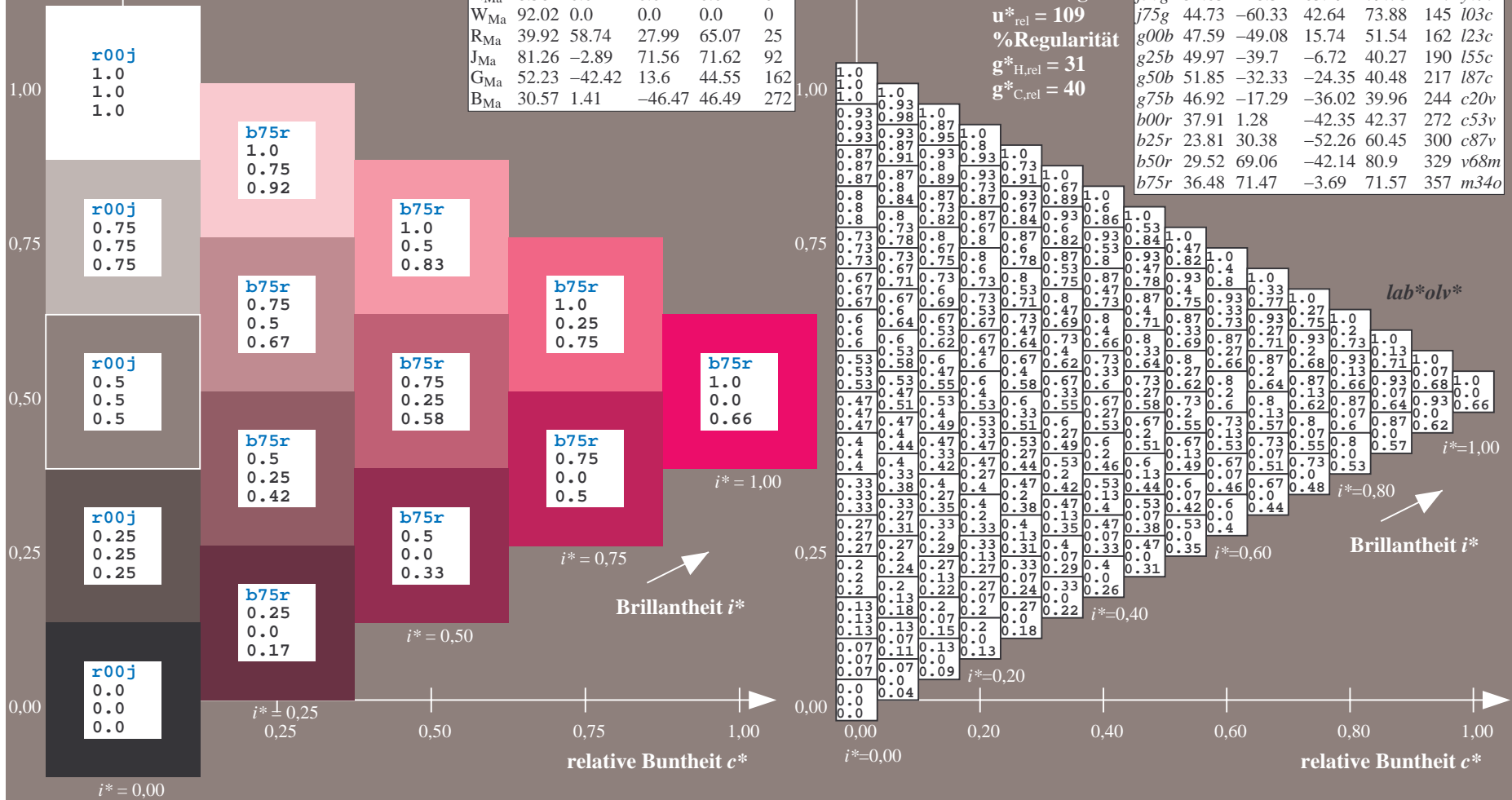
%Regularität

$g^*_{H,rel} = 31$

$g^*_{C,rel} = 40$

FRS09_92a; adaptierte CIELAB-Daten

u^*_e	$L^*=L^*_a$	a^*_a	b^*_a	$C^*_{ab,a}$	$h^*_{ab,a}$	u^*_d
r00j	35.47	63.32	30.17	70.15	25	m81o
r25j	39.12	54.56	49.45	73.64	42	o10y
r50j	50.64	39.15	64.89	75.79	59	o40y
r75j	64.01	21.26	82.83	85.52	76	o69y
j00g	83.18	-4.38	108.53	108.62	92	o98y
j25g	66.73	-29.89	83.06	88.28	110	y34l
j50g	54.03	-48.31	63.49	79.78	127	y69l
j75g	44.73	-60.33	42.64	73.88	145	103c
g00b	47.59	-49.08	15.74	51.54	162	i23c
g25b	49.97	-39.7	-6.72	40.27	190	i55c
g50b	51.85	-32.33	-24.35	40.48	217	i87c
g75b	46.92	-17.29	-36.02	39.96	244	c20v
b00r	37.91	1.28	-42.35	42.37	272	c53v
b25r	23.81	30.38	-52.26	60.45	300	c87v
b50r	29.52	69.06	-42.14	80.9	329	v68m
b75r	36.48	71.47	-3.69	71.57	357	m34o



Ein und Ausgabe:
 Farbmetrisches Drucker-Reflektiv-System FRS09_92a

Daten für jede Farbe:

u^*_e und Nummer $Nr. = 00 \dots 15$

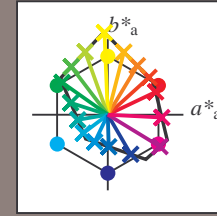
Elementar-Bunttextext:

$u^*_e = 16$ Bunttoene $r00j, r25j, \dots, b75r$

Kontrastreduzierungsfaktor:

$c_R = 1.0$

FRS09_92a; adaptierte CIELAB-Daten							
u^*_e	$L^*=L^*_a$	a^*_a	b^*_a	$C^*_{ab,a}$	$h^*_{ab,a}$	u^*_d	
r00j	35.47	63.32	30.17	70.15	25	m81o	
r25j	39.12	54.56	49.45	73.64	42	o10y	
r50j	50.64	39.15	64.89	75.79	59	o40y	
r75j	64.01	21.26	82.83	85.52	76	o69y	
j00g	83.18	-4.38	108.53	108.62	92	o98y	
j25g	66.73	-29.89	83.06	88.28	110	y34l	
j50g	54.03	-48.31	63.49	79.78	127	y69l	
j75g	44.73	-60.33	42.64	73.88	145	l03c	
g00b	47.59	-49.08	15.74	51.54	162	l23c	
g25b	49.97	-39.7	-6.72	40.27	190	l55c	
g50b	51.85	-32.33	-24.35	40.48	217	l87c	
g75b	46.92	-17.29	-36.02	39.96	244	c20v	
b00r	37.91	1.28	-42.35	42.37	272	c53v	
b25r	23.81	30.38	-52.26	60.45	300	c87v	
b50r	29.52	69.06	-42.14	80.9	329	v68m	
b75r	36.48	71.47	-3.69	71.57	357	m34o	



%Umfang

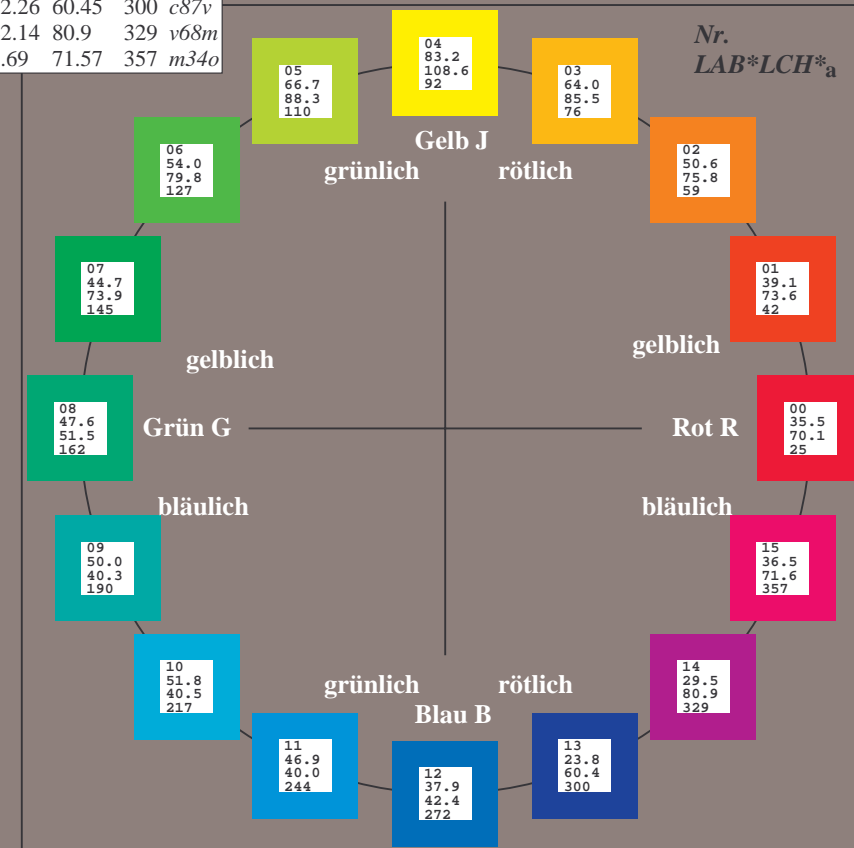
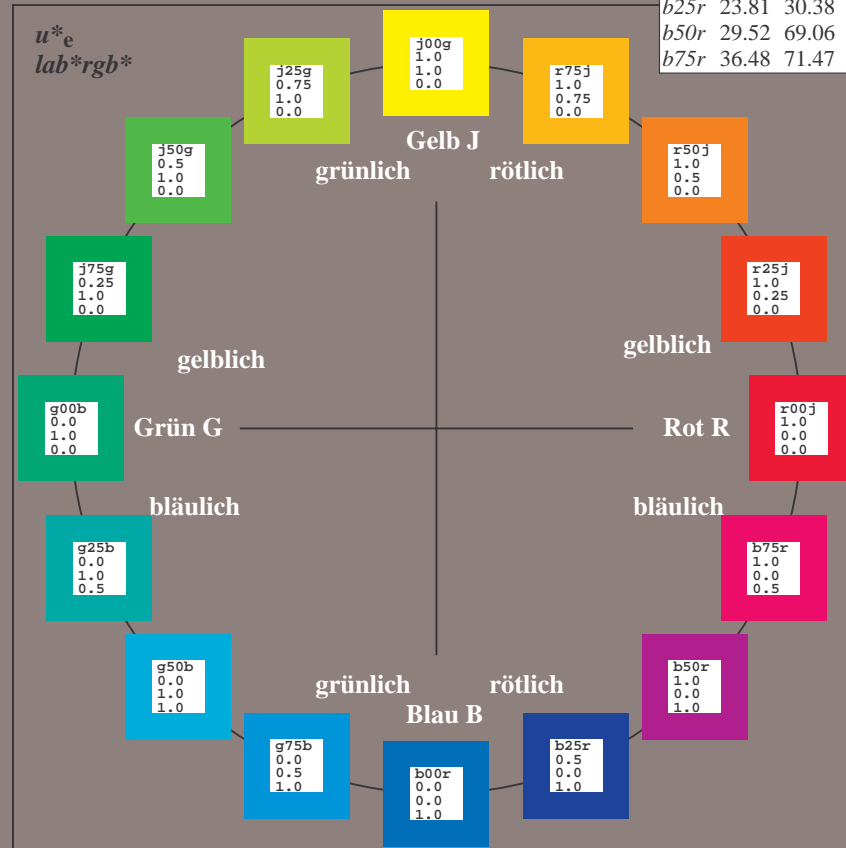
$u^*_{rel} = 109$

%Regularität

$g^*_{H,rel} = 31$

$g^*_{C,rel} = 40$

FRS09_92a; adaptierte CIELAB-Daten					
Name	$L^*=L^*_a$	a^*_a	b^*_a	$C^*_{ab,a}$	$h^*_{ab,a}$
OMa	35.06	60.0	44.0	74.4	36
YMa	83.77	-5.17	109.32	109.44	93
LMa	44.13	-62.67	48.24	79.09	142
CMa	52.66	-29.14	-31.99	43.27	228
VMa	14.15	50.3	-59.04	77.57	310
MMa	37.37	78.64	-33.5	85.48	337
NMa	8.58	0.0	0.0	0.0	0
WMa	92.02	0.0	0.0	0.0	0
RCIE	39.92	58.74	27.99	65.07	25
JCIE	81.26	-2.89	71.56	71.62	92
GCIE	52.23	-42.42	13.6	44.55	162
BCIE	30.57	1.41	-46.47	46.49	272



Ein und Ausgabe: Farbmatisches Drucker-Reflektiv-System FRS09_92a für relativen CIELAB-Bunton $h^* = lab^*h^* = h_{ab}/360 = 0.071$

$u^*_e = r00j$
 lab^*rgb^*

Daten für jede Farbe:

lab^*tch^* und lab^*icu^*

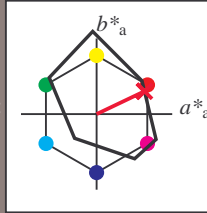
Buntontexte:

$u^*_e = r00j$ $u^*_d = m81o$

Kontrastreduzierungsfaktor:

$c_R = 1.0$

Dreiecks-Helligkeit t^*



FRS09_92a; adaptierte CIELAB-Daten

u^*_e	$L^*=L^*_a$	a^*_a	b^*_a	$C^*_{ab,a}$	$h^*_{ab,a}$
O _{Ma}	35.06	60.0	44.0	74.4	36
Y _{Ma}	83.77	-5.17	109.32	109.44	93
L _{Ma}	44.13	-62.67	48.24	79.09	142
C _{Ma}	52.66	-29.14	-31.99	43.27	228
V _{Ma}	14.15	50.3	-59.04	77.57	310
M _{Ma}	37.37	78.64	-33.5	85.48	337
N _{Ma}	8.58	0.0	0.0	0.0	0
W _{Ma}	92.02	0.0	0.0	0.0	0
R _{Ma}	39.92	58.74	27.99	65.07	25
J _{Ma}	81.26	-2.89	71.56	71.62	92
G _{Ma}	52.23	-42.42	13.6	44.55	162
B _{Ma}	30.57	1.41	-46.47	46.49	272

Daten für Maximalfarbe (Ma):

$LAB^*LAB^*_{Ma}$: 35 63 30

$LAB^*LCH^*_{Ma}$: 35 70 25

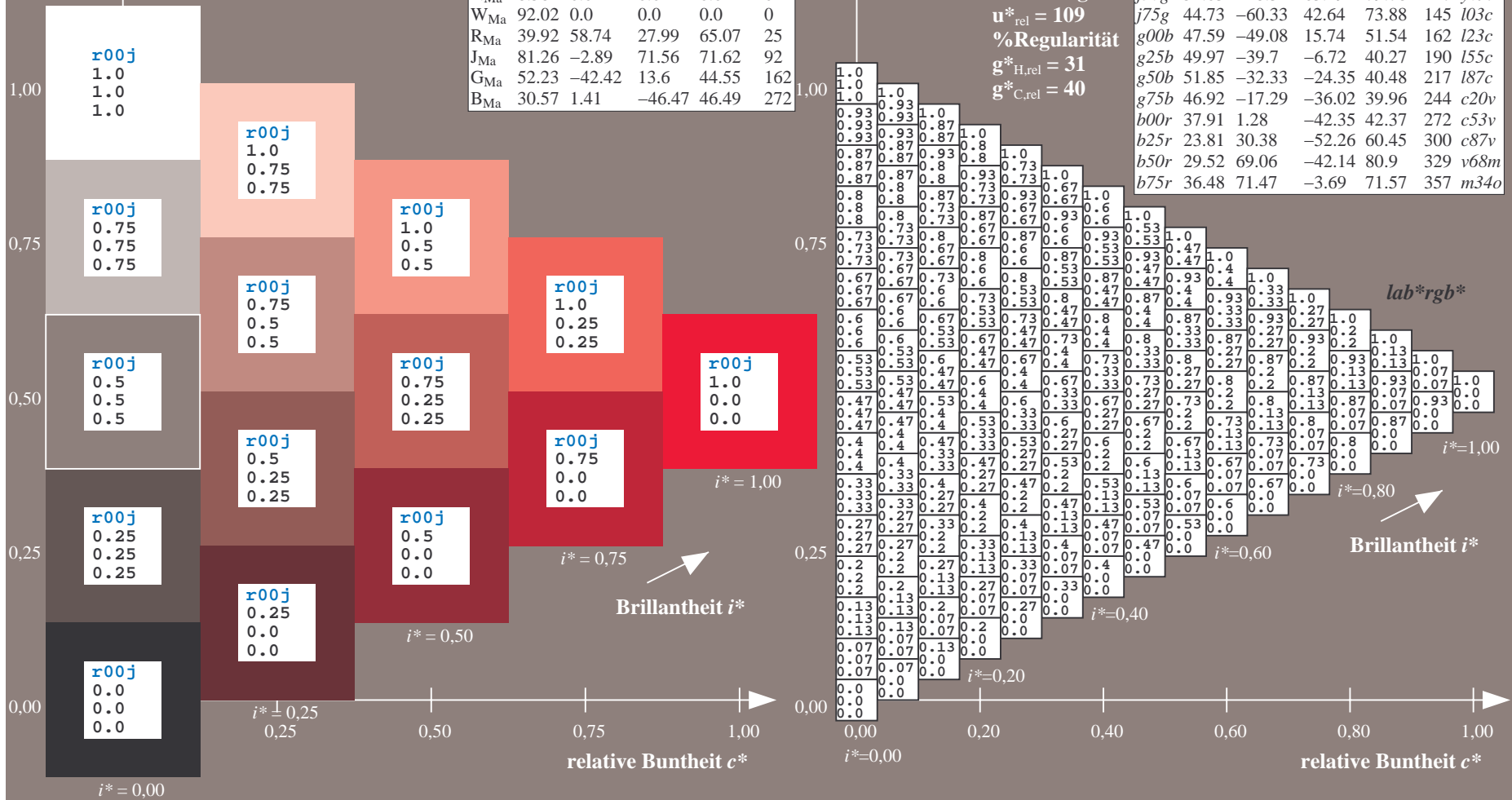
$lab^*rgb^*_{Ma}$: 1.0 0.0 0.0

$lab^*olv^*_{Ma}$: 1.0 0.0 0.18

Dreiecks-Helligkeit t^*

FRS09_92a; adaptierte CIELAB-Daten

u^*_e	$L^*=L^*_a$	a^*_a	b^*_a	$C^*_{ab,a}$	$h^*_{ab,a}$	u^*_d
r00j	35.47	63.32	30.17	70.15	25	m81o
r25j	39.12	54.56	49.45	73.64	42	o10y
r50j	50.64	39.15	64.89	75.79	59	o40y
r75j	64.01	21.26	82.83	85.52	76	o69y
j00g	83.18	-4.38	108.53	108.62	92	o98y
j25g	66.73	-29.89	83.06	88.28	110	y34l
j50g	54.03	-48.31	63.49	79.78	127	y69l
j75g	44.73	-60.33	42.64	73.88	145	103c
g00b	47.59	-49.08	15.74	51.54	162	l23c
g25b	49.97	-39.7	-6.72	40.27	190	l55c
g50b	51.85	-32.33	-24.35	40.48	217	l87c
g75b	46.92	-17.29	-36.02	39.96	244	c20v
b00r	37.91	1.28	-42.35	42.37	272	c53v
b25r	23.81	30.38	-52.26	60.45	300	c87v
b50r	29.52	69.06	-42.14	80.9	329	v68m
b75r	36.48	71.47	-3.69	71.57	357	m34o



Ein und Ausgabe: Farbmatisches Drucker-Reflektiv-System FRS09_92a für relativen CIELAB-Bunton $h^* = lab^*h^* = h_{ab}/360 = 0.117$

$$u^*_e = r25j$$

$$lab^*rgb^*$$

Daten für jede Farbe:

lab^*ch^* und lab^*icu^*

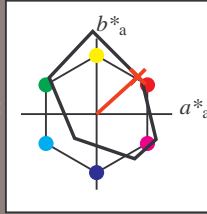
Buntontexte:

$$u^*_e = r25j \quad u^*_d = o10y$$

Kontrastreduzierungsfaktor:

$$c_R = 1.0$$

Dreiecks-Helligkeit t^*



FRS09_92a; adaptierte CIELAB-Daten

u^*_e	$L^*=L^*_a$	a^*_a	b^*_a	$C^*_{ab,a}$	$h^*_{ab,a}$
O _{Ma}	35.06	60.0	44.0	74.4	36
Y _{Ma}	83.77	-5.17	109.32	109.44	93
L _{Ma}	44.13	-62.67	48.24	79.09	142
C _{Ma}	52.66	-29.14	-31.99	43.27	228
V _{Ma}	14.15	50.3	-59.04	77.57	310
M _{Ma}	37.37	78.64	-33.5	85.48	337
N _{Ma}	8.58	0.0	0.0	0.0	0
W _{Ma}	92.02	0.0	0.0	0.0	0
R _{Ma}	39.92	58.74	27.99	65.07	25
J _{Ma}	81.26	-2.89	71.56	71.62	92
G _{Ma}	52.23	-42.42	13.6	44.55	162
B _{Ma}	30.57	1.41	-46.47	46.49	272

Daten für Maximalfarbe (Ma):

$LAB^*LAB^*_{Ma}$: 39 55 49

$LAB^*LCH^*_{Ma}$: 39 74 42

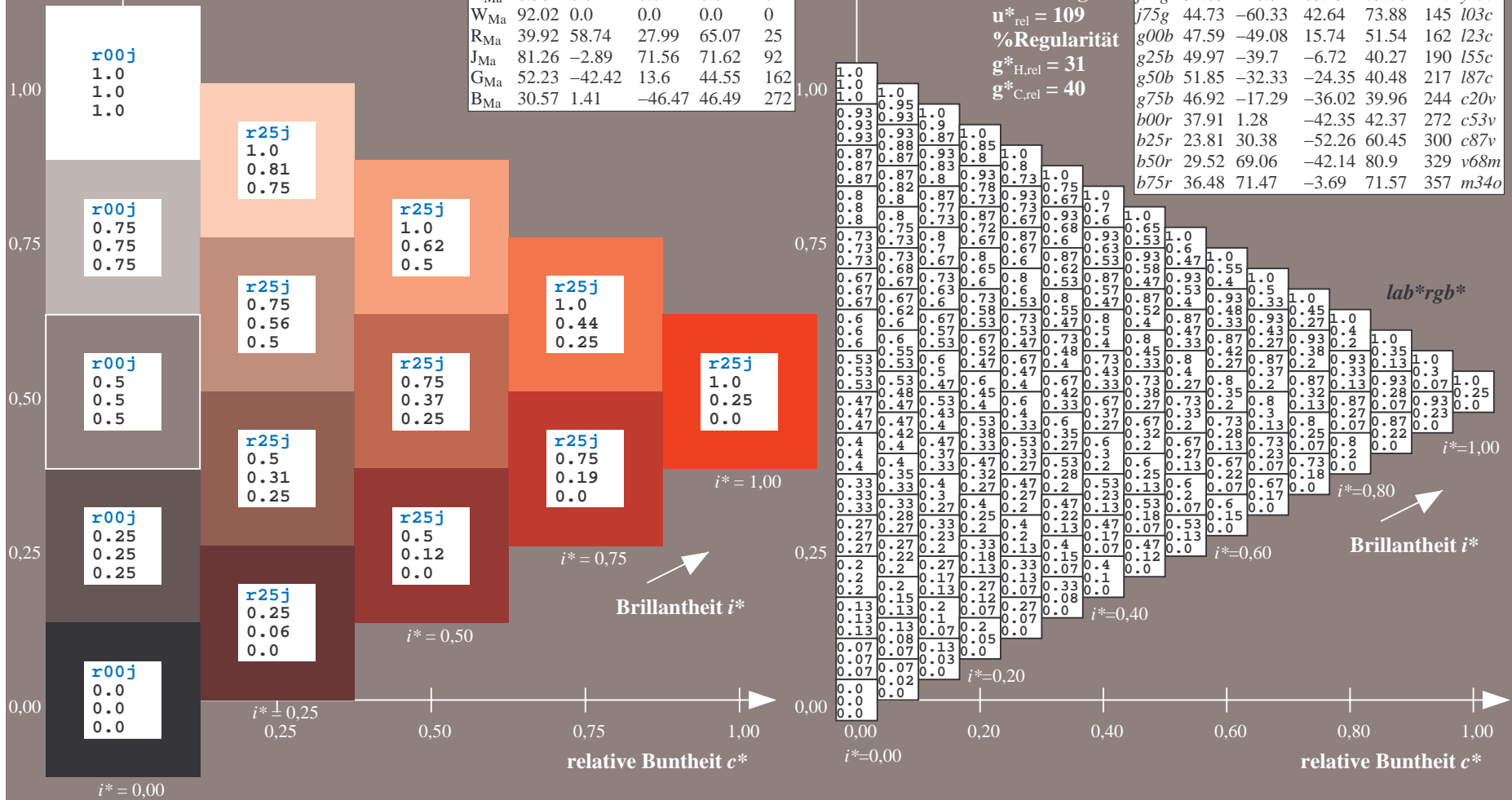
$lab^*rgb^*_{Ma}$: 1.0 0.25 0.0

$lab^*olv^*_{Ma}$: 1.0 0.11 0.0

Dreiecks-Helligkeit t^*

FRS09_92a; adaptierte CIELAB-Daten

u^*_e	$L^*=L^*_a$	a^*_a	b^*_a	$C^*_{ab,a}$	$h^*_{ab,a}$	u^*_d
r00j	35.47	63.32	30.17	70.15	25	m81o
r25j	39.12	54.56	49.45	73.64	42	o10y
r50j	50.64	39.15	64.89	75.79	59	o40y
r75j	64.01	21.26	82.83	85.52	76	o69y
j00g	83.18	-4.38	108.53	108.62	92	o98y
j25g	66.73	-29.89	83.06	88.28	110	y34l
j50g	54.03	-48.31	63.49	79.78	127	y69l
j75g	44.73	-60.33	42.64	73.88	145	103c
g00b	47.59	-49.08	15.74	51.54	162	l23c
g25b	49.97	-39.7	-6.72	40.27	190	l55c
g50b	51.85	-32.33	-24.35	40.48	217	l87c
g75b	46.92	-17.29	-36.02	39.96	244	c20v
b00r	37.91	1.28	-42.35	42.37	272	c53v
b25r	23.81	30.38	-52.26	60.45	300	c87v
b50r	29.52	69.06	-42.14	80.9	329	v68m
b75r	36.48	71.47	-3.69	71.57	357	m34o



Ein und Ausgabe: Farbmatisches Drucker-Reflektiv-System FRS09_92a für relativen CIELAB-Bunton $h^* = lab^*h^* = h_{ab}/360 = 0.164$

$u^*_e = r50j$
 lab^*rgb^*

Daten für jede Farbe:

lab^*tch^* und lab^*icu^*

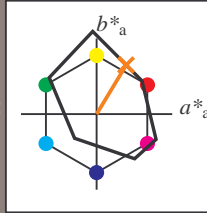
Buntontexte:

$u^*_e = r50j$ $u^*_d = o40y$

Kontrastreduzierungsfaktor:

$c_R = 1.0$

Dreiecks-Helligkeit t^*



FRS09_92a; adaptierte CIELAB-Daten

u^*_e	$L^*=L^*_a$	a^*_a	b^*_a	$C^*_{ab,a}$	$h^*_{ab,a}$
O _{Ma}	35.06	60.0	44.0	74.4	36
Y _{Ma}	83.77	-5.17	109.32	109.44	93
L _{Ma}	44.13	-62.67	48.24	79.09	142
C _{Ma}	52.66	-29.14	-31.99	43.27	228
V _{Ma}	14.15	50.3	-59.04	77.57	310
M _{Ma}	37.37	78.64	-33.5	85.48	337
N _{Ma}	8.58	0.0	0.0	0.0	0
W _{Ma}	92.02	0.0	0.0	0.0	0
R _{Ma}	39.92	58.74	27.99	65.07	25
J _{Ma}	81.26	-2.89	71.56	71.62	92
G _{Ma}	52.23	-42.42	13.6	44.55	162
B _{Ma}	30.57	1.41	-46.47	46.49	272

Daten für Maximalfarbe (Ma):

$LAB^*LAB^*_{Ma}$: 51 39 65

$LAB^*LCH^*_{Ma}$: 51 76 58

$lab^*rgb^*_{Ma}$: 1.0 0.5 0.0

$lab^*olv^*_{Ma}$: 1.0 0.4 0.0

Dreiecks-Helligkeit t^*

%Umfang

$u^*_{rel} = 109$

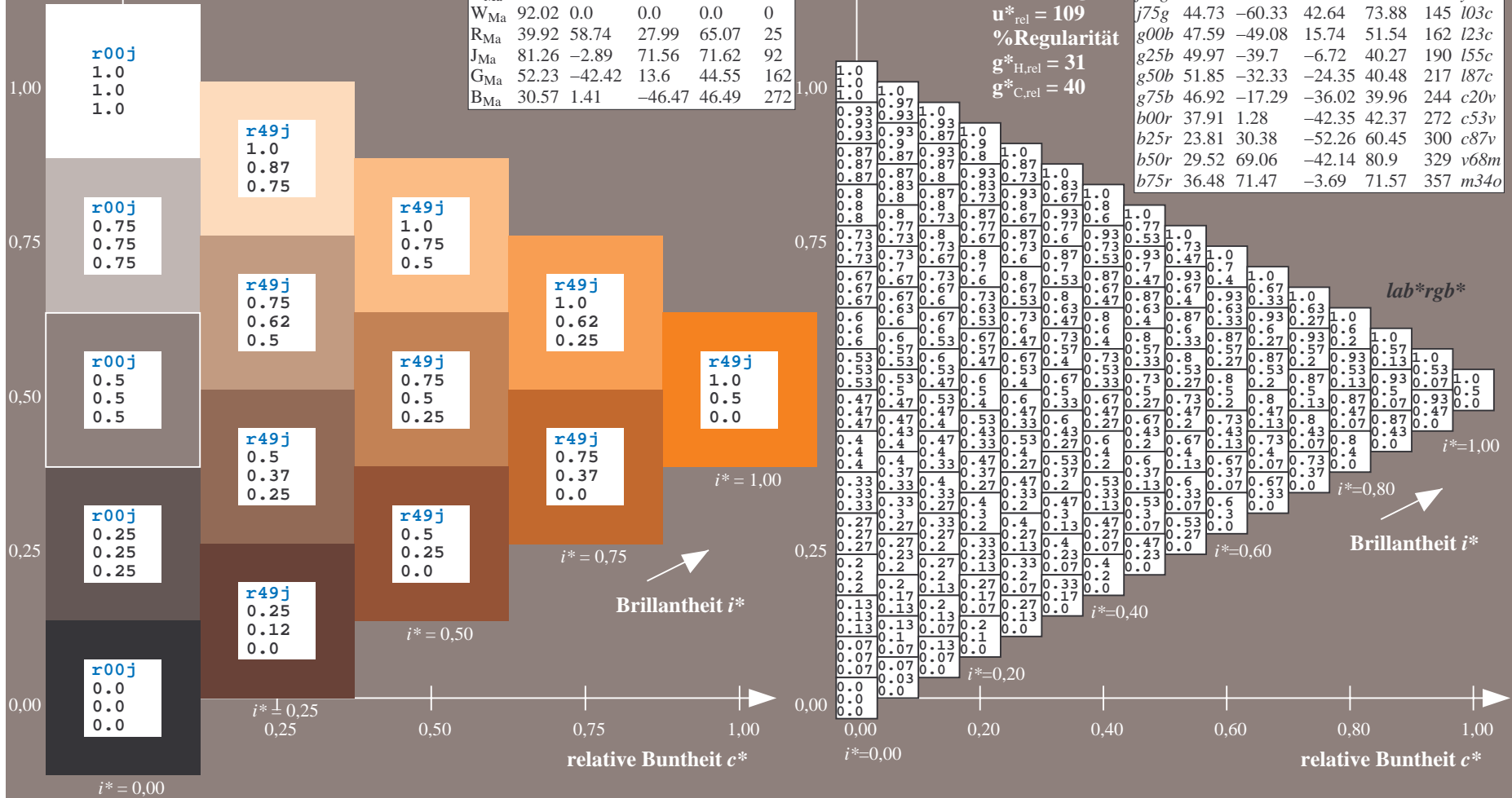
%Regularität

$g^*_{H,rel} = 31$

$g^*_{C,rel} = 40$

FRS09_92a; adaptierte CIELAB-Daten

u^*_e	$L^*=L^*_a$	a^*_a	b^*_a	$C^*_{ab,a}$	$h^*_{ab,a}$	u^*_d
r00j	35.47	63.32	30.17	70.15	25	m81o
r25j	39.12	54.56	49.45	73.64	42	o10y
r50j	50.64	39.15	64.89	75.79	59	o40y
r75j	64.01	21.26	82.83	85.52	76	o69y
j00g	83.18	-4.38	108.53	108.62	92	o98y
j25g	66.73	-29.89	83.06	88.28	110	y34l
j50g	54.03	-48.31	63.49	79.78	127	y69l
j75g	44.73	-60.33	42.64	73.88	145	103c
g00b	47.59	-49.08	15.74	51.54	162	i23c
g25b	49.97	-39.7	-6.72	40.27	190	i55c
g50b	51.85	-32.33	-24.35	40.48	217	i87c
g75b	46.92	-17.29	-36.02	39.96	244	c20v
b00r	37.91	1.28	-42.35	42.37	272	c53v
b25r	23.81	30.38	-52.26	60.45	300	c87v
b50r	29.52	69.06	-42.14	80.9	329	v68m
b75r	36.48	71.47	-3.69	71.57	357	m34o



Ein und Ausgabe: Farbmatisches Drucker-Reflektiv-System FRS09_92a für relativen CIELAB-Bunton $h^* = lab^*h^* = h_{ab}/360 = 0.21$

$u^*_e = r75j$
 lab^*rgb^*

Daten für jede Farbe:

lab^*tch^* und lab^*icu^*

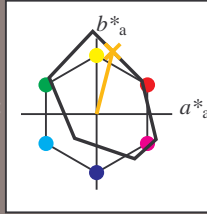
Buntontexte:

$u^*_e = r75j$ $u^*_d = o69y$

Kontrastreduzierungsfaktor:

$c_R = 1.0$

Dreiecks-Helligkeit t^*



FRS09_92a; adaptierte CIELAB-Daten

u^*_e	$L^*=L^*_a$	a^*_a	b^*_a	$C^*_{ab,a}$	$h^*_{ab,a}$
O _{Ma}	35.06	60.0	44.0	74.4	36
Y _{Ma}	83.77	-5.17	109.32	109.44	93
L _{Ma}	44.13	-62.67	48.24	79.09	142
C _{Ma}	52.66	-29.14	-31.99	43.27	228
V _{Ma}	14.15	50.3	-59.04	77.57	310
M _{Ma}	37.37	78.64	-33.5	85.48	337
N _{Ma}	8.58	0.0	0.0	0.0	0
W _{Ma}	92.02	0.0	0.0	0.0	0
R _{Ma}	39.92	58.74	27.99	65.07	25
J _{Ma}	81.26	-2.89	71.56	71.62	92
G _{Ma}	52.23	-42.42	13.6	44.55	162
B _{Ma}	30.57	1.41	-46.47	46.49	272

Daten für Maximalfarbe (Ma):

$LAB^*LAB^*_{Ma}$: 64 21 83

$LAB^*LCH^*_{Ma}$: 64 86 75

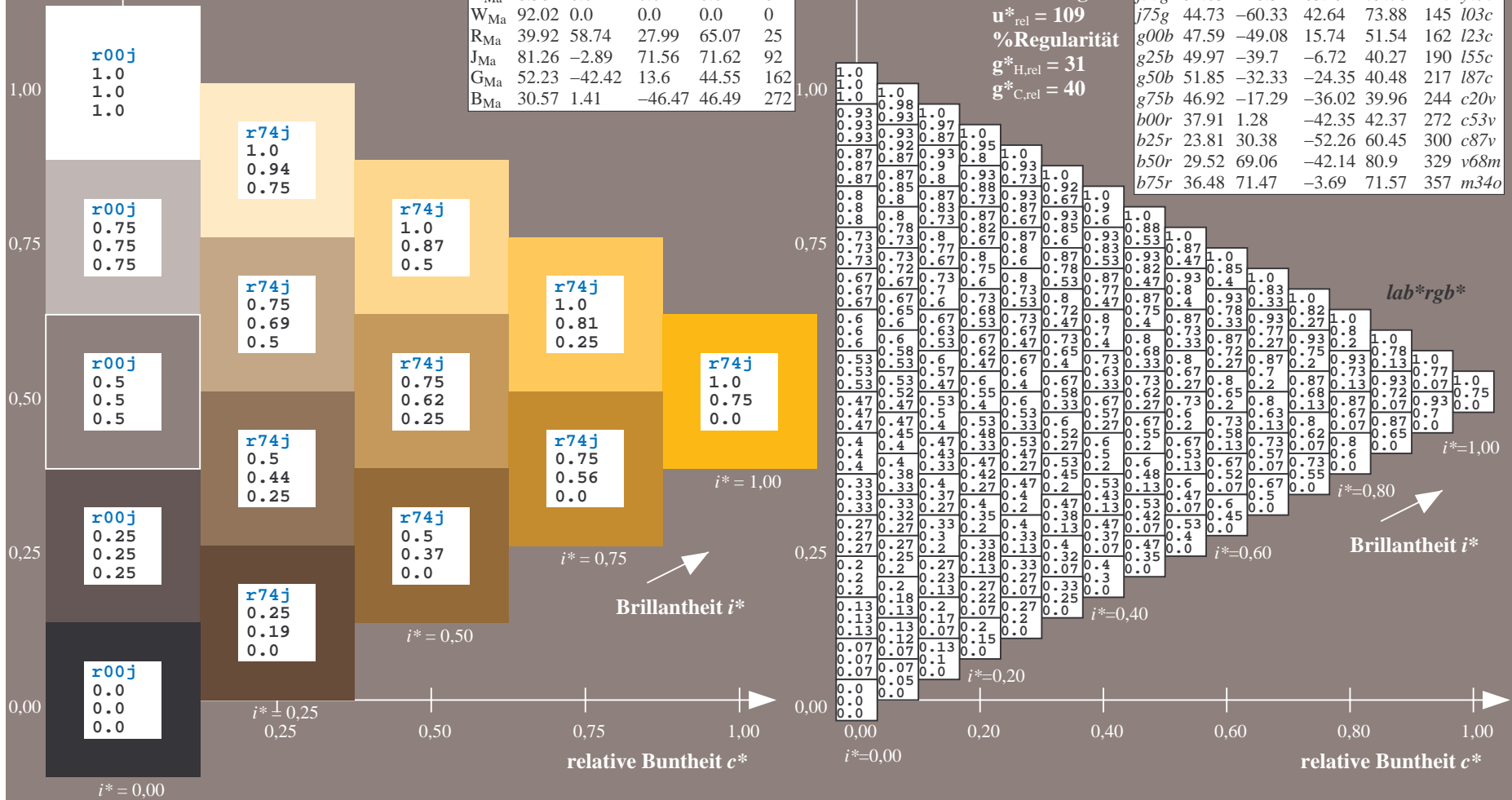
$lab^*rgb^*_{Ma}$: 1.0 0.75 0.0

$lab^*olv^*_{Ma}$: 1.0 0.7 0.0

Dreiecks-Helligkeit t^*

FRS09_92a; adaptierte CIELAB-Daten

u^*_e	$L^*=L^*_a$	a^*_a	b^*_a	$C^*_{ab,a}$	$h^*_{ab,a}$	u^*_d
r00j	35.47	63.32	30.17	70.15	25	m81o
r25j	39.12	54.56	49.45	73.64	42	o10y
r50j	50.64	39.15	64.89	75.79	59	o40y
r75j	64.01	21.26	82.83	85.52	76	o69y
j00g	83.18	-4.38	108.53	108.62	92	o98y
j25g	66.73	-29.89	83.06	88.28	110	y34l
j50g	54.03	-48.31	63.49	79.78	127	y69l
j75g	44.73	-60.33	42.64	73.88	145	103c
g00b	47.59	-49.08	15.74	51.54	162	i23c
g25b	49.97	-39.7	-6.72	40.27	190	i55c
g50b	51.85	-32.33	-24.35	40.48	217	i87c
g75b	46.92	-17.29	-36.02	39.96	244	c20v
b00r	37.91	1.28	-42.35	42.47	272	c53v
b25r	23.81	30.38	-52.26	60.35	300	c87v
b50r	29.52	69.06	-42.14	80.9	329	v68m
b75r	36.48	71.47	-3.69	71.57	357	m34o



Ein und Ausgabe: Farbmatisches Drucker-Reflektiv-System FRS09_92a für relativen CIELAB-Bunton $h^* = lab^*h^* = h_{ab}/360 = 0.256$

$u^*_e = j00g$
 lab^*rgb^*

Daten für jede Farbe:

lab^*tch^* und lab^*icu^*

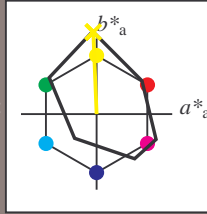
Buntontexte:

$u^*_e = j00g$ $u^*_d = o98y$

Kontrastreduzierungsfaktor:

$c_R = 1.0$

Dreiecks-Helligkeit t^*



FRS09_92a; adaptierte CIELAB-Daten

u^*_e	$L^*=L^*_a$	a^*_a	b^*_a	$C^*_{ab,a}$	$h^*_{ab,a}$
O _{Ma}	35.06	60.0	44.0	74.4	36
Y _{Ma}	83.77	-5.17	109.32	109.44	93
L _{Ma}	44.13	-62.67	48.24	79.09	142
C _{Ma}	52.66	-29.14	-31.99	43.27	228
V _{Ma}	14.15	50.3	-59.04	77.57	310
M _{Ma}	37.37	78.64	-33.5	85.48	337
N _{Ma}	8.58	0.0	0.0	0.0	0
W _{Ma}	92.02	0.0	0.0	0.0	0
R _{Ma}	39.92	58.74	27.99	65.07	25
J _{Ma}	81.26	-2.89	71.56	71.62	92
G _{Ma}	52.23	-42.42	13.6	44.55	162
B _{Ma}	30.57	1.41	-46.47	46.49	272

Daten für Maximalfarbe (Ma):

$LAB^*LAB^*_{Ma}$: 83 -4 109

$LAB^*LCH^*_{Ma}$: 83 109 92

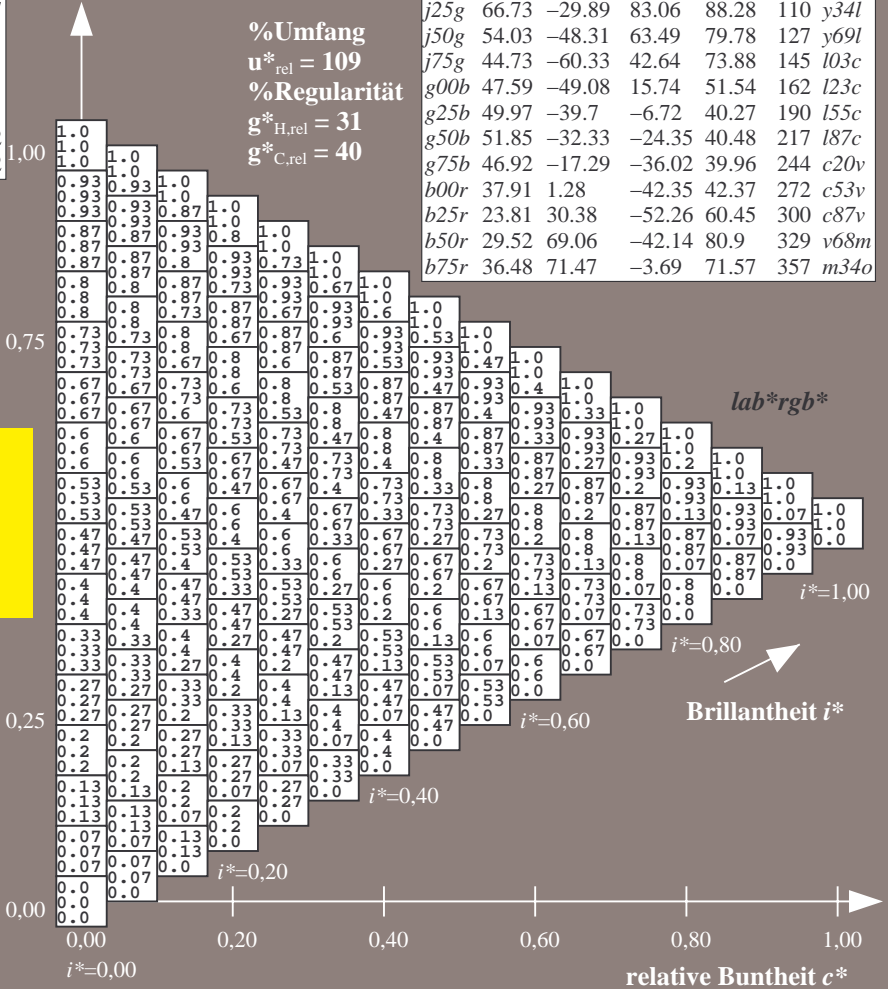
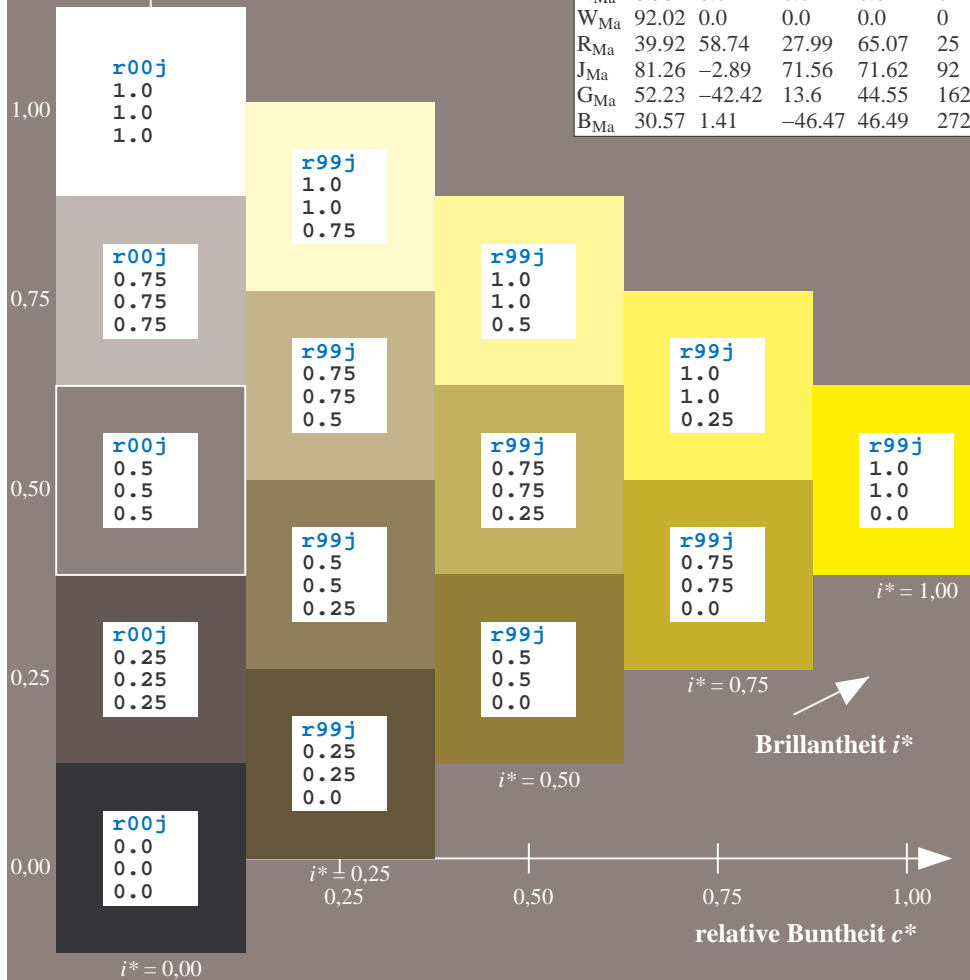
$lab^*rgb^*_{Ma}$: 1.0 1.0 0.0

$lab^*olv^*_{Ma}$: 1.0 0.99 0.0

Dreiecks-Helligkeit t^*

FRS09_92a; adaptierte CIELAB-Daten

u^*_e	$L^*=L^*_a$	a^*_a	b^*_a	$C^*_{ab,a}$	$h^*_{ab,a}$	u^*_d
r00j	35.47	63.32	30.17	70.15	25	m81o
r25j	39.12	54.56	49.45	73.64	42	o10y
r50j	50.64	39.15	64.89	75.79	59	o40y
r75j	64.01	21.26	82.83	85.52	76	o69y
j00g	83.18	-4.38	108.53	108.62	92	o98y
j25g	66.73	-29.89	83.06	88.28	110	y34l
j50g	54.03	-48.31	63.49	79.78	127	y69l
j75g	44.73	-60.33	42.64	73.88	145	l03c
g00b	47.59	-49.08	15.74	51.54	162	i23c
g25b	49.97	-39.7	-6.72	40.27	190	i55c
g50b	51.85	-32.33	-24.35	40.48	217	i87c
g75b	46.92	-17.29	-36.02	39.96	244	c20v
b00r	37.91	1.28	-42.35	42.37	272	c53v
b25r	23.81	30.38	-52.26	60.45	300	c87v
b50r	29.52	69.06	-42.14	80.9	329	v68m
b75r	36.48	71.47	-3.69	71.57	357	m34o



Ein und Ausgabe: Farbmatisches Drucker-Reflektiv-System FRS09_92a für relativen CIELAB-Bunton $h^* = lab^*h^* = h_{ab}/360 = 0.305$

$u^*_e = j25g$
 lab^*rgb^*

Daten für jede Farbe:

lab^*tch^* und lab^*icu^*

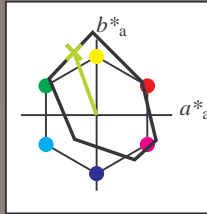
Buntontexte:

$u^*_e = j25g$ $u^*_d = y34l$

Kontrastreduzierungsfaktor:

$c_R = 1.0$

Dreiecks-Helligkeit t^*



FRS09_92a; adaptierte CIELAB-Daten

u^*_e	$L^*=L^*_a$	a^*_a	b^*_a	$C^*_{ab,a}$	$h^*_{ab,a}$
O _{Ma}	35.06	60.0	44.0	74.4	36
Y _{Ma}	83.77	-5.17	109.32	109.44	93
L _{Ma}	44.13	-62.67	48.24	79.09	142
C _{Ma}	52.66	-29.14	-31.99	43.27	228
V _{Ma}	14.15	50.3	-59.04	77.57	310
M _{Ma}	37.37	78.64	-33.5	85.48	337
N _{Ma}	8.58	0.0	0.0	0.0	0
W _{Ma}	92.02	0.0	0.0	0.0	0
R _{Ma}	39.92	58.74	27.99	65.07	25
J _{Ma}	81.26	-2.89	71.56	71.62	92
G _{Ma}	52.23	-42.42	13.6	44.55	162
B _{Ma}	30.57	1.41	-46.47	46.49	272

Daten für Maximalfarbe (Ma):

$LAB^*LAB^*_{Ma}$: 67 -30 83

$LAB^*LCH^*_{Ma}$: 67 88 109

$lab^*rgb^*_{Ma}$: 0.75 1.0 0.0

$lab^*olv^*_{Ma}$: 0.66 1.0 0.0

Dreiecks-Helligkeit t^*

%Umfang

$u^*_{rel} = 109$

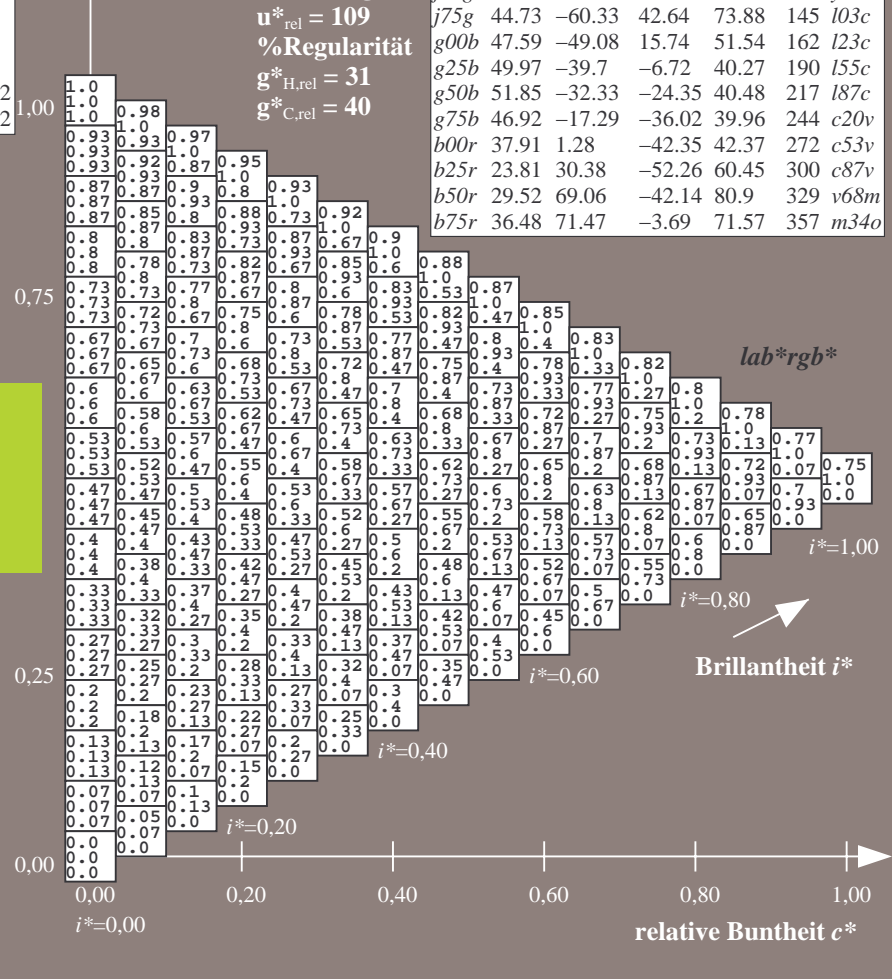
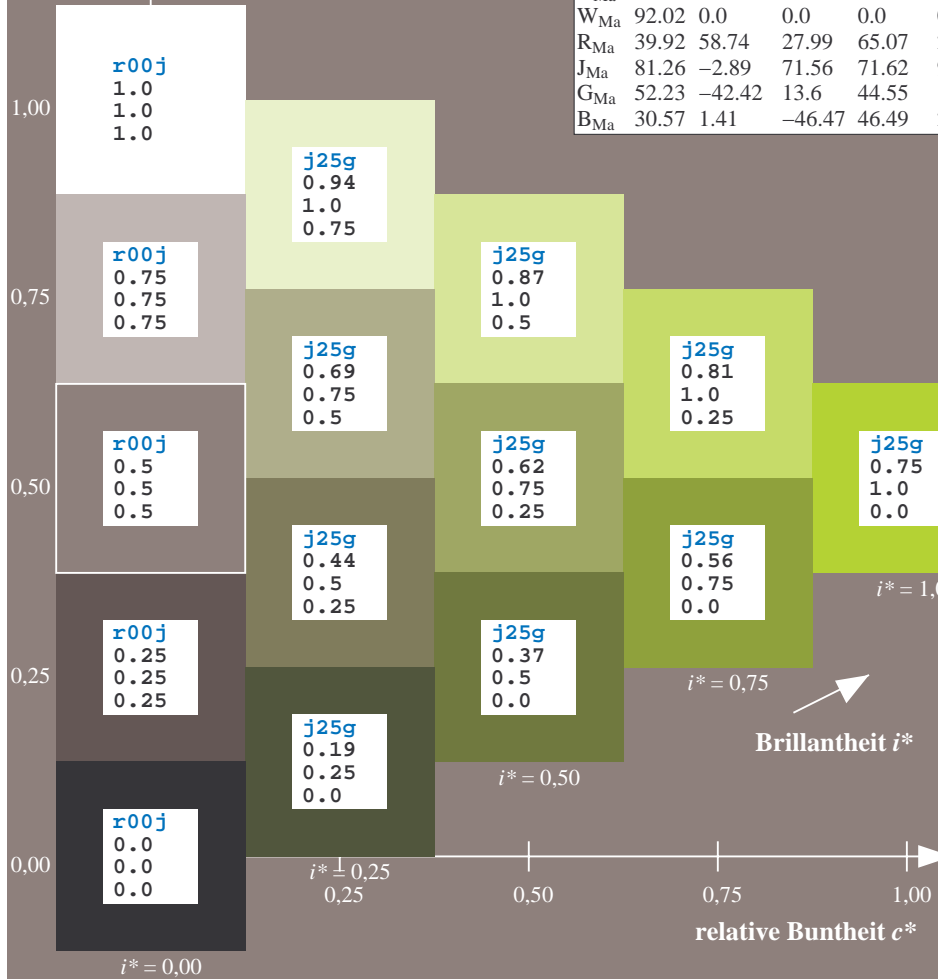
%Regularität

$g^*_{H,rel} = 31$

$g^*_{C,rel} = 40$

FRS09_92a; adaptierte CIELAB-Daten

u^*_e	$L^*=L^*_a$	a^*_a	b^*_a	$C^*_{ab,a}$	$h^*_{ab,a}$	u^*_d
r00j	35.47	63.32	30.17	70.15	25	m81o
r25j	39.12	54.56	49.45	73.64	42	o10y
r50j	50.64	39.15	64.89	75.79	59	o40y
r75j	64.01	21.26	82.83	85.52	76	o69y
j00g	83.18	-4.38	108.53	108.62	92	o98y
j25g	66.73	-29.89	83.06	88.28	110	y34l
j50g	54.03	-48.31	63.49	79.78	127	y69l
j75g	44.73	-60.33	42.64	73.88	145	103c
g00b	47.59	-49.08	15.74	51.54	162	i23c
g25b	49.97	-39.7	-6.72	40.27	190	i55c
g50b	51.85	-32.33	-24.35	40.48	217	i87c
g75b	46.92	-17.29	-36.02	39.96	244	c20v
b00r	37.91	1.28	-42.35	42.37	272	c53v
b25r	23.81	30.38	-52.26	60.45	300	c87v
b50r	29.52	69.06	-42.14	80.9	329	v68m
b75r	36.48	71.47	-3.69	71.57	357	m34o



Ein und Ausgabe: Farbmatisches Drucker-Reflektiv-System FRS09_92a für relativen CIELAB-Bunton $h^* = lab^*h^* = h_{ab}/360 = 0.354$

$u^*_e = j50g$
 lab^*rgb^*

Daten für jede Farbe:

lab^*ch^* und lab^*icu^*

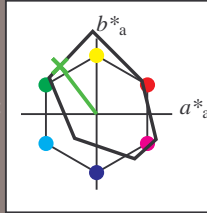
Buntontexte:

$u^*_e = j50g$ $u^*_d = y69l$

Kontrastreduzierungsfaktor:

$c_R = 1.0$

Dreiecks-Helligkeit t^*



FRS09_92a; adaptierte CIELAB-Daten

u^*_e	$L^*=L^*_a$	a^*_a	b^*_a	$C^*_{ab,a}$	$h^*_{ab,a}$
O _{Ma}	35.06	60.0	44.0	74.4	36
Y _{Ma}	83.77	-5.17	109.32	109.44	93
L _{Ma}	44.13	-62.67	48.24	79.09	142
C _{Ma}	52.66	-29.14	-31.99	43.27	228
V _{Ma}	14.15	50.3	-59.04	77.57	310
M _{Ma}	37.37	78.64	-33.5	85.48	337
N _{Ma}	8.58	0.0	0.0	0.0	0
W _{Ma}	92.02	0.0	0.0	0.0	0
R _{Ma}	39.92	58.74	27.99	65.07	25
J _{Ma}	81.26	-2.89	71.56	71.62	92
G _{Ma}	52.23	-42.42	13.6	44.55	162
B _{Ma}	30.57	1.41	-46.47	46.49	272

Daten für Maximalfarbe (Ma):

$LAB^*LAB^*_{Ma}$: 54 -48 63

$LAB^*LCH^*_{Ma}$: 54 80 127

$lab^*rgb^*_{Ma}$: 0.5 1.0 0.0

$lab^*olv^*_{Ma}$: 0.3 1.0 0.0

Dreiecks-Helligkeit t^*

%Umfang

$u^*_{rel} = 109$

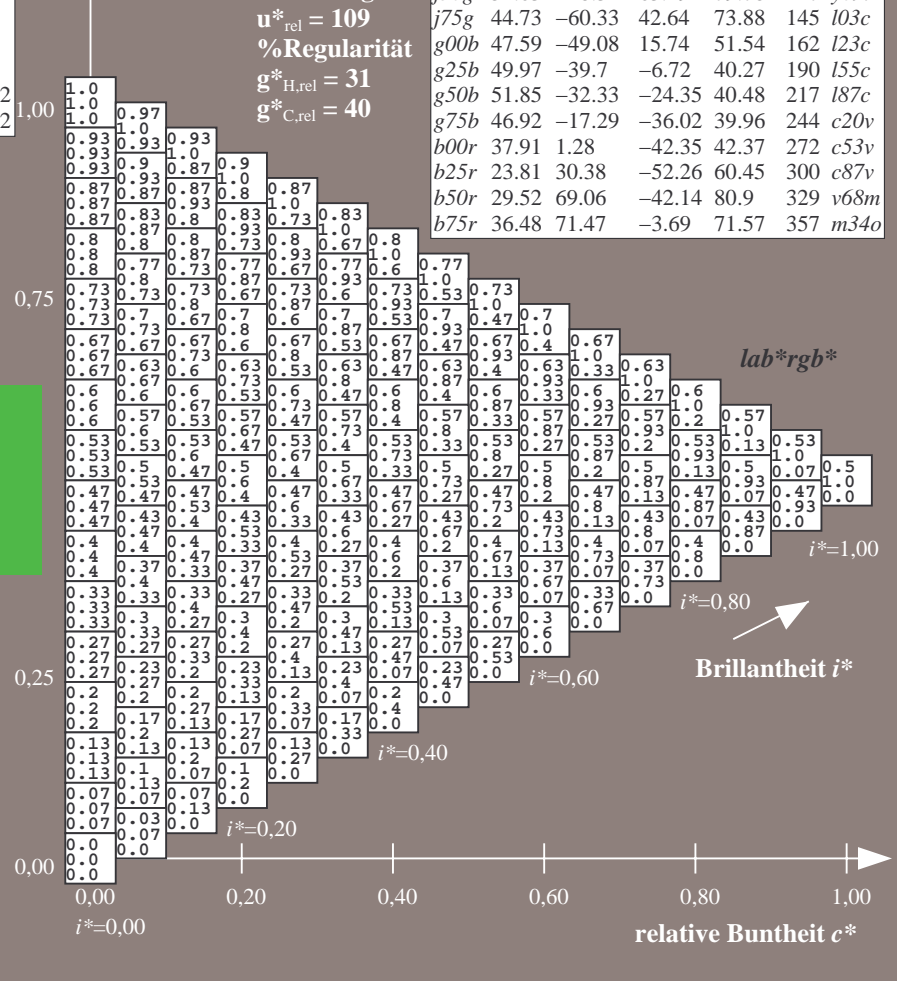
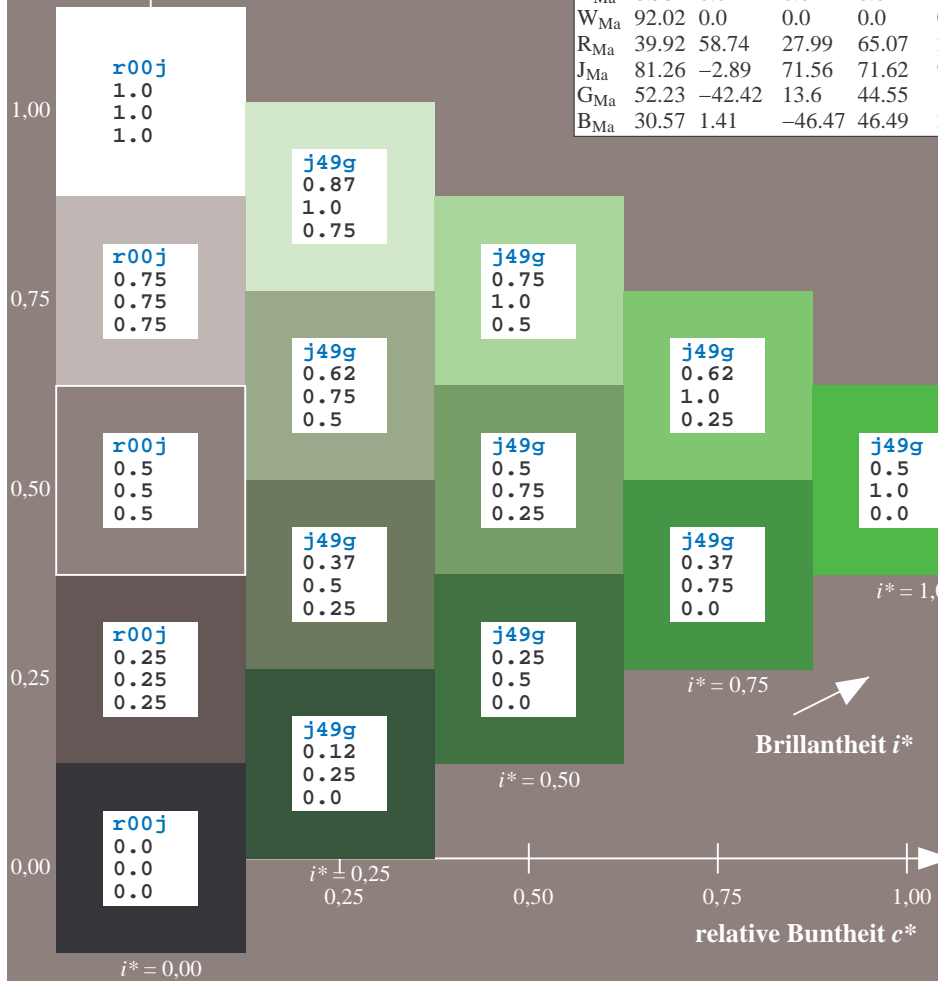
%Regularität

$g^*_{H,rel} = 31$

$g^*_{C,rel} = 40$

FRS09_92a; adaptierte CIELAB-Daten

u^*_e	$L^*=L^*_a$	a^*_a	b^*_a	$C^*_{ab,a}$	$h^*_{ab,a}$	u^*_d
r00j	35.47	63.32	30.17	70.15	25	m81o
r25j	39.12	54.56	49.45	73.64	42	o10y
r50j	50.64	39.15	64.89	75.79	59	o40y
r75j	64.01	21.26	82.83	85.52	76	o69y
j00g	83.18	-4.38	108.53	108.62	92	o98y
j25g	66.73	-29.89	83.06	88.28	110	y34l
j50g	54.03	-48.31	63.49	79.78	127	y69l
j75g	44.73	-60.33	42.64	73.88	145	103c
g00b	47.59	-49.08	15.74	51.54	162	i23c
g25b	49.97	-39.7	-6.72	40.27	190	i55c
g50b	51.85	-32.33	-24.35	40.48	217	i87c
g75b	46.92	-17.29	-36.02	39.96	244	c20v
b00r	37.91	1.28	-42.35	42.37	272	c53v
b25r	23.81	30.38	-52.26	60.45	300	c87v
b50r	29.52	69.06	-42.14	80.9	329	v68m
b75r	36.48	71.47	-3.69	71.57	357	m34o



Ein und Ausgabe: Farbmatisches Drucker-Reflektiv-System FRS09_92a für relativen CIELAB-Bunton $h^* = lab^*h^* = h_{ab}/360 = 0.402$

$u^*_e = j75g$
 lab^*rgb^*

Daten für jede Farbe:

lab^*tch^* und lab^*icu^*

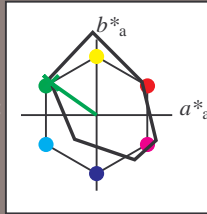
Buntontexte:

$u^*_e = j75g$ $u^*_d = l03c$

Kontrastreduzierungsfaktor:

$c_R = 1.0$

Dreiecks-Helligkeit t^*



FRS09_92a; adaptierte CIELAB-Daten

u^*_e	$L^*=L^*_a$	a^*_a	b^*_a	$C^*_{ab,a}$	$h^*_{ab,a}$
O _{Ma}	35.06	60.0	44.0	74.4	36
Y _{Ma}	83.77	-5.17	109.32	109.44	93
L _{Ma}	44.13	-62.67	48.24	79.09	142
C _{Ma}	52.66	-29.14	-31.99	43.27	228
V _{Ma}	14.15	50.3	-59.04	77.57	310
M _{Ma}	37.37	78.64	-33.5	85.48	337
N _{Ma}	8.58	0.0	0.0	0.0	0
W _{Ma}	92.02	0.0	0.0	0.0	0
R _{Ma}	39.92	58.74	27.99	65.07	25
J _{Ma}	81.26	-2.89	71.56	71.62	92
G _{Ma}	52.23	-42.42	13.6	44.55	162
B _{Ma}	30.57	1.41	-46.47	46.49	272

Daten für Maximalfarbe (Ma):

$LAB^*LAB^*_{Ma}$: 45 -60 43

$LAB^*LCH^*_{Ma}$: 45 74 144

$lab^*rgb^*_{Ma}$: 0.25 1.0 0.0

$lab^*olv^*_{Ma}$: 0.0 1.0 0.03

Dreiecks-Helligkeit t^*

%Umfang

$u^*_{rel} = 109$

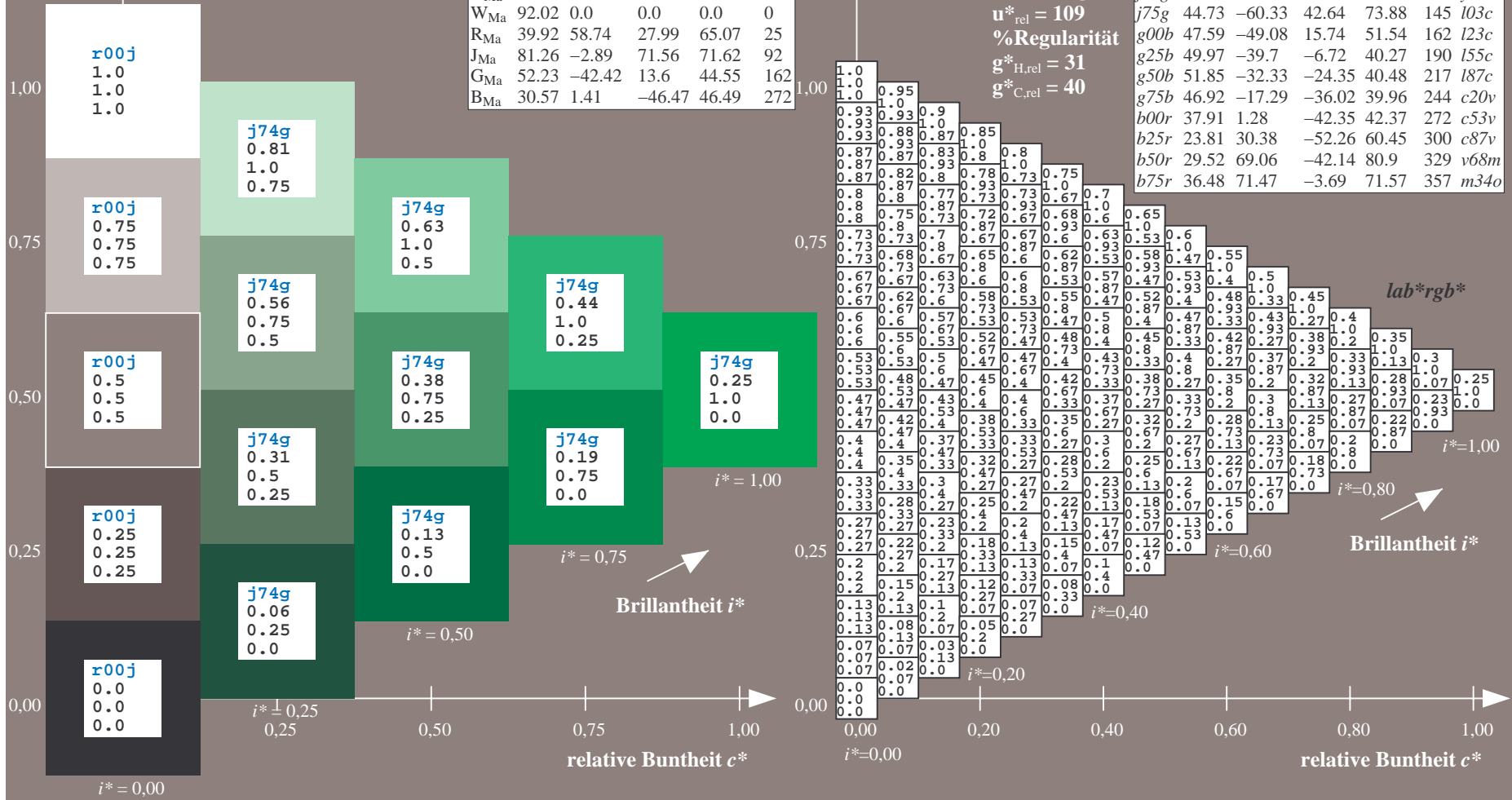
%Regularität

$g^*_{H,rel} = 31$

$g^*_{C,rel} = 40$

FRS09_92a; adaptierte CIELAB-Daten

u^*_e	$L^*=L^*_a$	a^*_a	b^*_a	$C^*_{ab,a}$	$h^*_{ab,a}$	u^*_d
r00j	35.47	63.32	30.17	70.15	25	m81o
r25j	39.12	54.56	49.45	73.64	42	o10y
r50j	50.64	39.15	64.89	75.79	59	o40y
r75j	64.01	21.26	82.83	85.52	76	o69y
j00g	83.18	-4.38	108.53	108.62	92	o98y
j25g	66.73	-29.89	83.06	88.28	110	y34l
j50g	54.03	-48.31	63.49	79.78	127	y69l
j75g	44.73	-60.33	42.64	73.88	145	l03c
g00b	47.59	-49.08	15.74	51.54	162	i23c
g25b	49.97	-39.7	-6.72	40.27	190	i55c
g50b	51.85	-32.33	-24.35	40.48	217	i87c
g75b	46.92	-17.29	-36.02	39.96	244	c20v
b00r	37.91	1.28	-42.35	42.37	272	c53v
b25r	23.81	30.38	-52.26	60.45	300	c87v
b50r	29.52	69.06	-42.14	80.9	329	v68m
b75r	36.48	71.47	-3.69	71.57	357	m34o



Ein und Ausgabe: Farbmatisches Drucker-Reflektiv-System FRS09_92a für relativen CIELAB-Bunton $h^* = lab^*h^* = h_{ab}/360 = 0.451$

$u^*_e = g00b$
 lab^*rgb^*

Daten für jede Farbe:

lab^*tch^* und lab^*icu^*

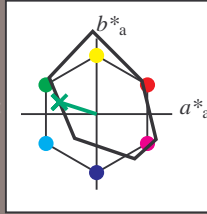
Buntontexte:

$u^*_e = g00b$ $u^*_d = l23c$

Kontrastreduzierungsfaktor:

$c_R = 1.0$

Dreiecks-Helligkeit t^*



FRS09_92a; adaptierte CIELAB-Daten

u^*_e	$L^*=L^*_a$	a^*_a	b^*_a	$C^*_{ab,a}$	$h^*_{ab,a}$
O _{Ma}	35.06	60.0	44.0	74.4	36
Y _{Ma}	83.77	-5.17	109.32	109.44	93
L _{Ma}	44.13	-62.67	48.24	79.09	142
C _{Ma}	52.66	-29.14	-31.99	43.27	228
V _{Ma}	14.15	50.3	-59.04	77.57	310
M _{Ma}	37.37	78.64	-33.5	85.48	337
N _{Ma}	8.58	0.0	0.0	0.0	0
W _{Ma}	92.02	0.0	0.0	0.0	0
R _{Ma}	39.92	58.74	27.99	65.07	25
J _{Ma}	81.26	-2.89	71.56	71.62	92
G _{Ma}	52.23	-42.42	13.6	44.55	162
B _{Ma}	30.57	1.41	-46.47	46.49	272

Daten für Maximalfarbe (Ma):

$LAB^*LAB^*_{Ma}$: 48 -49 16

$LAB^*LCH^*_{Ma}$: 48 52 162

$lab^*rgb^*_{Ma}$: 0.0 1.0 0.0

$lab^*olv^*_{Ma}$: 0.0 1.0 0.23

Dreiecks-Helligkeit t^*

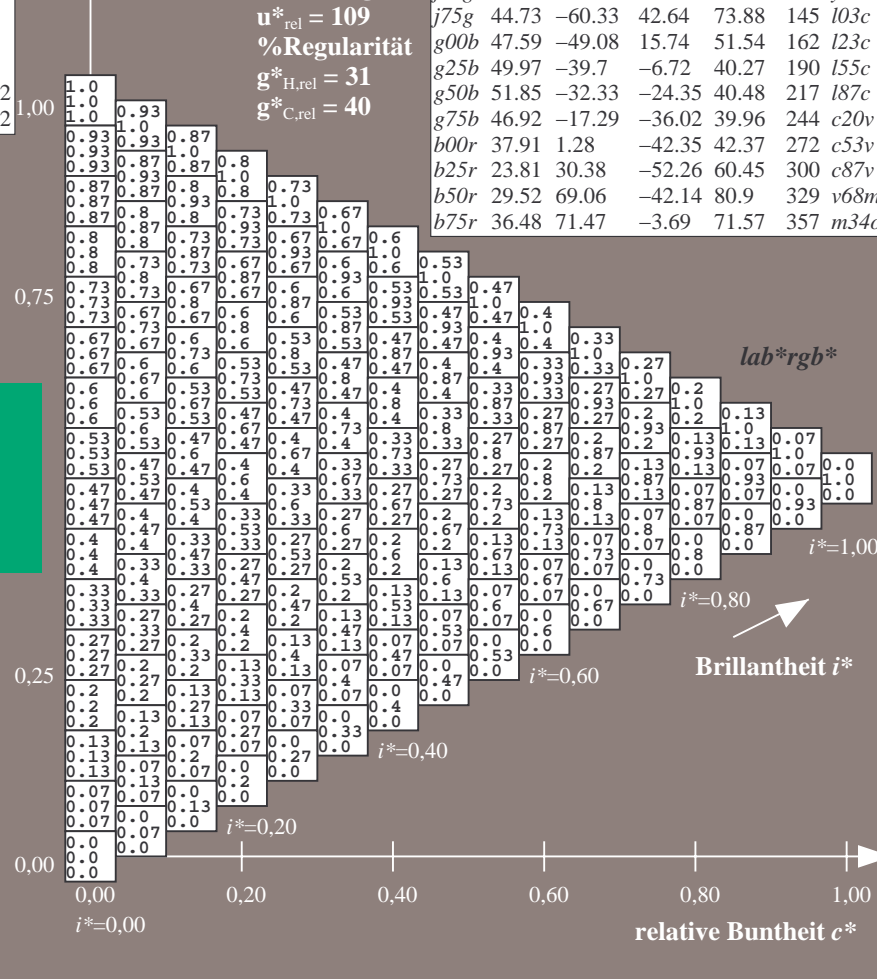
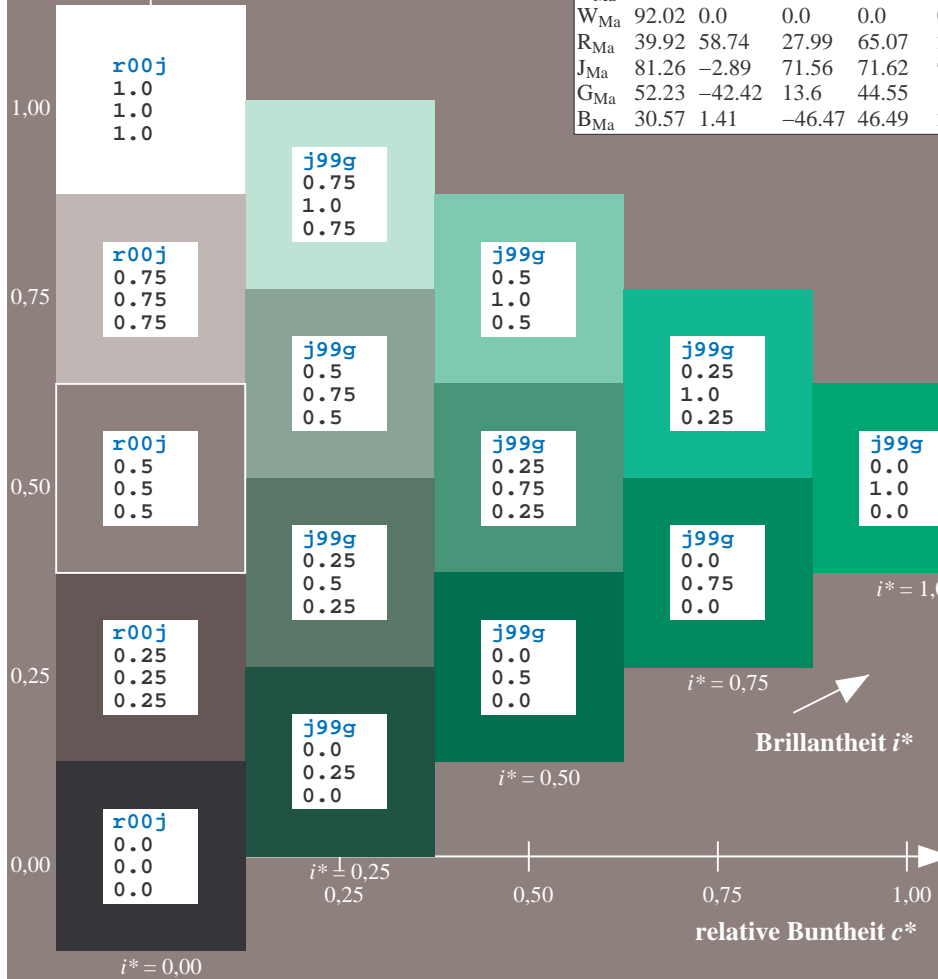
%Umfang

$u^*_{rel} = 109$

%Regularität

$g^*_{H,rel} = 31$

$g^*_{C,rel} = 40$



FRS09_92a; adaptierte CIELAB-Daten

u^*_e	$L^*=L^*_a$	a^*_a	b^*_a	$C^*_{ab,a}$	$h^*_{ab,a}$	u^*_d
r00j	35.47	63.32	30.17	70.15	25	m81o
r25j	39.12	54.56	49.45	73.64	42	o10y
r50j	50.64	39.15	64.89	75.79	59	o40y
r75j	64.01	21.26	82.83	85.52	76	o69y
j00g	83.18	-4.38	108.53	108.62	92	o98y
j25g	66.73	-29.89	83.06	88.28	110	y34l
j50g	54.03	-48.31	63.49	79.78	127	y69l
j75g	44.73	-60.33	42.64	73.88	145	l23c
g00b	47.59	-49.08	15.74	51.54	162	l23c
g25b	49.97	-39.7	-6.72	40.27	190	l55c
g50b	51.85	-32.33	-24.35	40.48	217	l87c
g75b	46.92	-17.29	-36.02	39.96	244	c20v
b00r	37.91	1.28	-42.35	42.37	272	c53v
b25r	23.81	30.38	-52.26	60.45	300	c87v
b50r	29.52	69.06	-42.14	80.9	329	v68m
b75r	36.48	71.47	-3.69	71.57	357	m34o

Ein und Ausgabe: Farbmatisches Drucker-Reflektiv-System FRS09_92a für relativen CIELAB-Bunton $h^* = lab^*h^* = h_{ab}/360 = 0.527$

$u^*_e = g25b$
 lab^*rgb^*

Daten für jede Farbe:

lab^*tch^* und lab^*icu^*

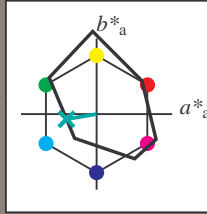
Buntontexte:

$u^*_e = g25b$ $u^*_d = l55c$

Kontrastreduzierungsfaktor:

$c_R = 1.0$

Dreiecks-Helligkeit t^*



FRS09_92a; adaptierte CIELAB-Daten

u^*_e	$L^*=L^*_a$	a^*_a	b^*_a	$C^*_{ab,a}$	$h^*_{ab,a}$
O _{Ma}	35.06	60.0	44.0	74.4	36
Y _{Ma}	83.77	-5.17	109.32	109.44	93
L _{Ma}	44.13	-62.67	48.24	79.09	142
C _{Ma}	52.66	-29.14	-31.99	43.27	228
V _{Ma}	14.15	50.3	-59.04	77.57	310
M _{Ma}	37.37	78.64	-33.5	85.48	337
N _{Ma}	8.58	0.0	0.0	0.0	0
W _{Ma}	92.02	0.0	0.0	0.0	0
R _{Ma}	39.92	58.74	27.99	65.07	25
J _{Ma}	81.26	-2.89	71.56	71.62	92
G _{Ma}	52.23	-42.42	13.6	44.55	162
B _{Ma}	30.57	1.41	-46.47	46.49	272

Daten für Maximalfarbe (Ma):

$LAB^*LAB^*_{Ma}: 50 -40 -7$

$LAB^*LCH^*_{Ma}: 50 40 189$

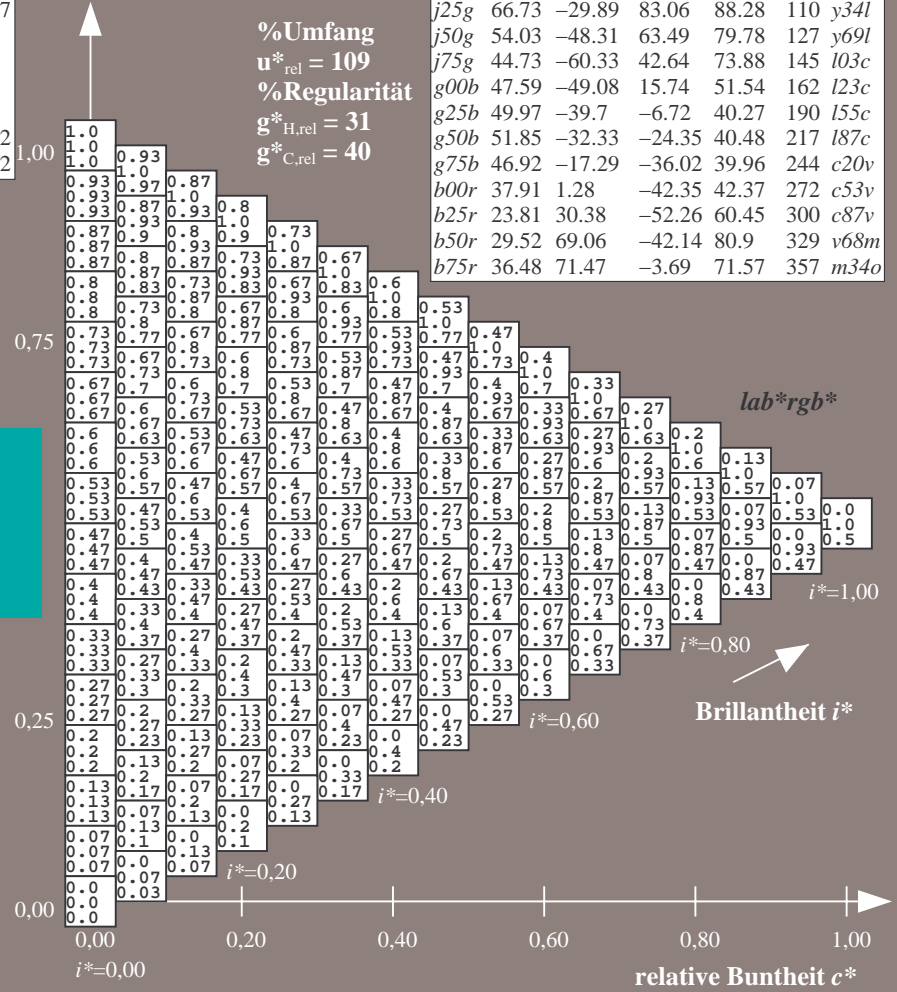
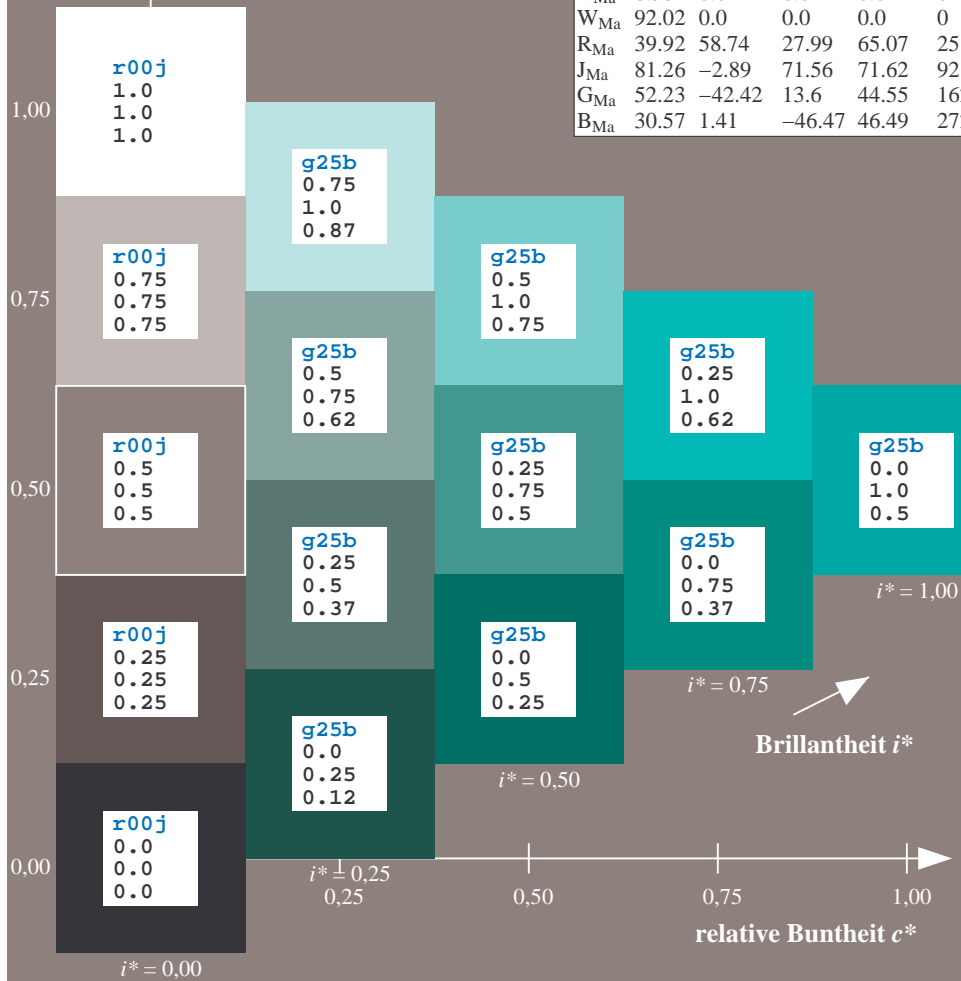
$lab^*rgb^*_{Ma}: 0.0 1.0 0.5$

$lab^*olv^*_{Ma}: 0.0 1.0 0.55$

Dreiecks-Helligkeit t^*

FRS09_92a; adaptierte CIELAB-Daten

u^*_e	$L^*=L^*_a$	a^*_a	b^*_a	$C^*_{ab,a}$	$h^*_{ab,a}$	u^*_d
r00j	35.47	63.32	30.17	70.15	25	m81o
r25j	39.12	54.56	49.45	73.64	42	o10y
r50j	50.64	39.15	64.89	75.79	59	o40y
r75j	64.01	21.26	82.83	85.52	76	o69y
j00g	83.18	-4.38	108.53	108.62	92	o98y
j25g	66.73	-29.89	83.06	88.28	110	y34l
j50g	54.03	-48.31	63.49	79.78	127	y69l
j75g	44.73	-60.33	42.64	73.88	145	l03c
g00b	47.59	-49.08	15.74	51.54	162	i23c
g25b	49.97	-39.7	-6.72	40.27	190	i55c
g50b	51.85	-32.33	-24.35	40.48	217	i87c
g75b	46.92	-17.29	-36.02	39.96	244	c20v
b00r	37.91	1.28	-42.35	42.37	272	c53v
b25r	23.81	30.38	-52.26	60.45	300	c87v
b50r	29.52	69.06	-42.14	80.9	329	v68m
b75r	36.48	71.47	-3.69	71.57	357	m34o



Ein und Ausgabe: Farbmatisches Drucker-Reflektiv-System FRS09_92a für relativen CIELAB-Bunton $h^* = lab^*h^* = h_{ab}/360 = 0.603$

$u^*_e = g50b$
 lab^*rgb^*

Daten für jede Farbe:

lab^*tch^* und lab^*icu^*

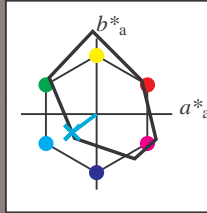
Buntontexte:

$u^*_e = g50b$ $u^*_d = l87c$

Kontrastreduzierungsfaktor:

$c_R = 1.0$

Dreiecks-Helligkeit t^*



FRS09_92a; adaptierte CIELAB-Daten

u^*_e	$L^*=L^*_a$	a^*_a	b^*_a	$C^*_{ab,a}$	$h^*_{ab,a}$
O _{Ma}	35.06	60.0	44.0	74.4	36
Y _{Ma}	83.77	-5.17	109.32	109.44	93
L _{Ma}	44.13	-62.67	48.24	79.09	142
C _{Ma}	52.66	-29.14	-31.99	43.27	228
V _{Ma}	14.15	50.3	-59.04	77.57	310
M _{Ma}	37.37	78.64	-33.5	85.48	337
N _{Ma}	8.58	0.0	0.0	0.0	0
W _{Ma}	92.02	0.0	0.0	0.0	0
R _{Ma}	39.92	58.74	27.99	65.07	25
J _{Ma}	81.26	-2.89	71.56	71.62	92
G _{Ma}	52.23	-42.42	13.6	44.55	162
B _{Ma}	30.57	1.41	-46.47	46.49	272

Daten für Maximalfarbe (Ma):

$LAB^*LAB^*_{Ma}$: 52 -32 -24

$LAB^*LCH^*_{Ma}$: 52 40 216

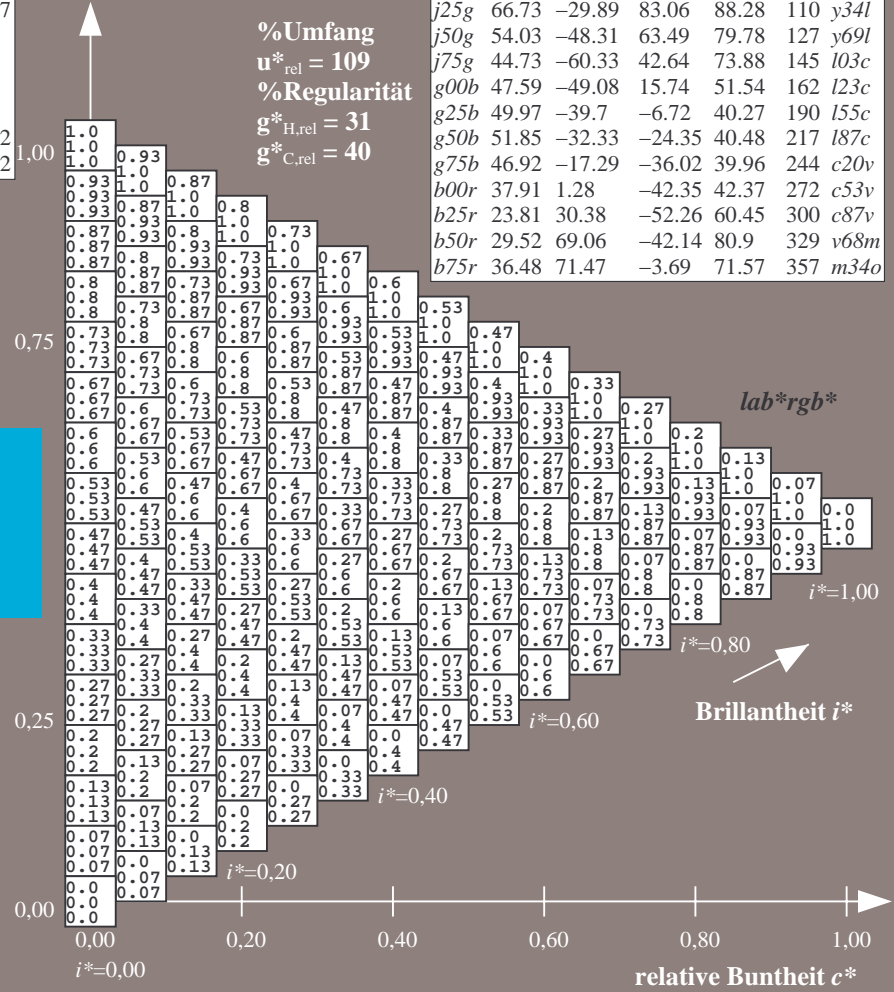
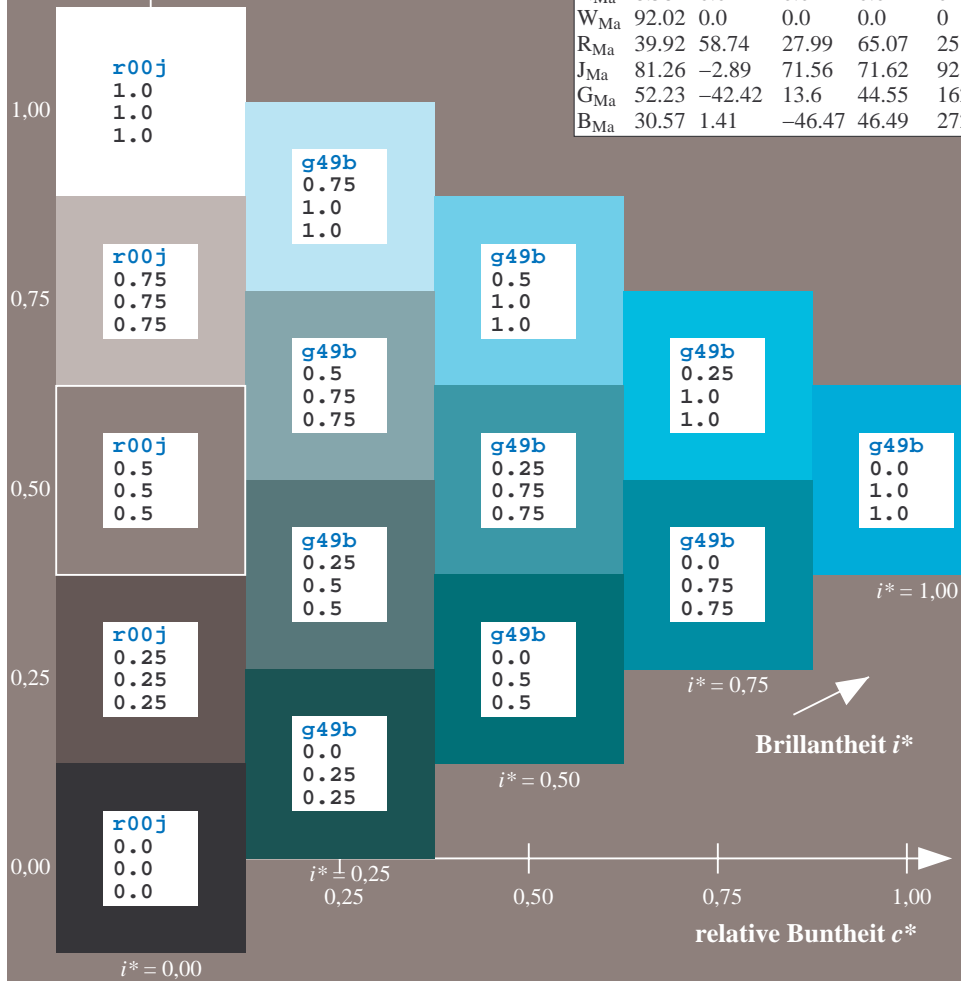
$lab^*rgb^*_{Ma}$: 0.0 1.0 1.0

$lab^*olv^*_{Ma}$: 0.0 1.0 0.87

Dreiecks-Helligkeit t^*

FRS09_92a; adaptierte CIELAB-Daten

u^*_e	$L^*=L^*_a$	a^*_a	b^*_a	$C^*_{ab,a}$	$h^*_{ab,a}$	u^*_d
r00j	35.47	63.32	30.17	70.15	25	m81o
r25j	39.12	54.56	49.45	73.64	42	o10y
r50j	50.64	39.15	64.89	75.79	59	o40y
r75j	64.01	21.26	82.83	85.52	76	o69y
j00g	83.18	-4.38	108.53	108.62	92	o98y
j25g	66.73	-29.89	83.06	88.28	110	y34l
j50g	54.03	-48.31	63.49	79.78	127	y69l
j75g	44.73	-60.33	42.64	73.88	145	103c
g00b	47.59	-49.08	15.74	51.54	162	l23c
g25b	49.97	-39.7	-6.72	40.27	190	l55c
g50b	51.85	-32.33	-24.35	40.48	217	l87c
g75b	46.92	-17.29	-36.02	39.96	244	c20v
b00r	37.91	1.28	-42.35	42.37	272	c53v
b25r	23.81	30.38	-52.26	60.45	300	c87v
b50r	29.52	69.06	-42.14	80.9	329	v68m
b75r	36.48	71.47	-3.69	71.57	357	m34o



%Umfang
 $u^*_{rel} = 109$
%Regularität
 $g^*_{H,rel} = 31$
 $g^*_{C,rel} = 40$

Ein und Ausgabe: Farbmatisches Drucker-Reflektiv-System FRS09_92a für relativen CIELAB-Bunton $h^* = lab^*h^* = h_{ab}/360 = 0.679$

$u^*_e = g75b$
 lab^*rgb^*

Daten für jede Farbe:

lab^*tch^* und lab^*icu^*

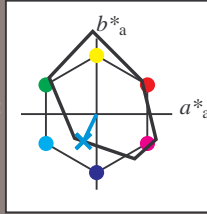
Buntontexte:

$u^*_e = g75b$ $u^*_d = c20v$

Kontrastreduzierungsfaktor:

$c_R = 1.0$

Dreiecks-Helligkeit t^*



FRS09_92a; adaptierte CIELAB-Daten

u^*_e	$L^*=L^*_a$	a^*_a	b^*_a	$C^*_{ab,a}$	$h^*_{ab,a}$
O _{Ma}	35.06	60.0	44.0	74.4	36
Y _{Ma}	83.77	-5.17	109.32	109.44	93
L _{Ma}	44.13	-62.67	48.24	79.09	142
C _{Ma}	52.66	-29.14	-31.99	43.27	228
V _{Ma}	14.15	50.3	-59.04	77.57	310
M _{Ma}	37.37	78.64	-33.5	85.48	337
N _{Ma}	8.58	0.0	0.0	0.0	0
W _{Ma}	92.02	0.0	0.0	0.0	0
R _{Ma}	39.92	58.74	27.99	65.07	25
J _{Ma}	81.26	-2.89	71.56	71.62	92
G _{Ma}	52.23	-42.42	13.6	44.55	162
B _{Ma}	30.57	1.41	-46.47	46.49	272

Daten für Maximalfarbe (Ma):

$LAB^*LAB^*_{Ma}$: 47 -17 -36

$LAB^*LCH^*_{Ma}$: 47 40 244

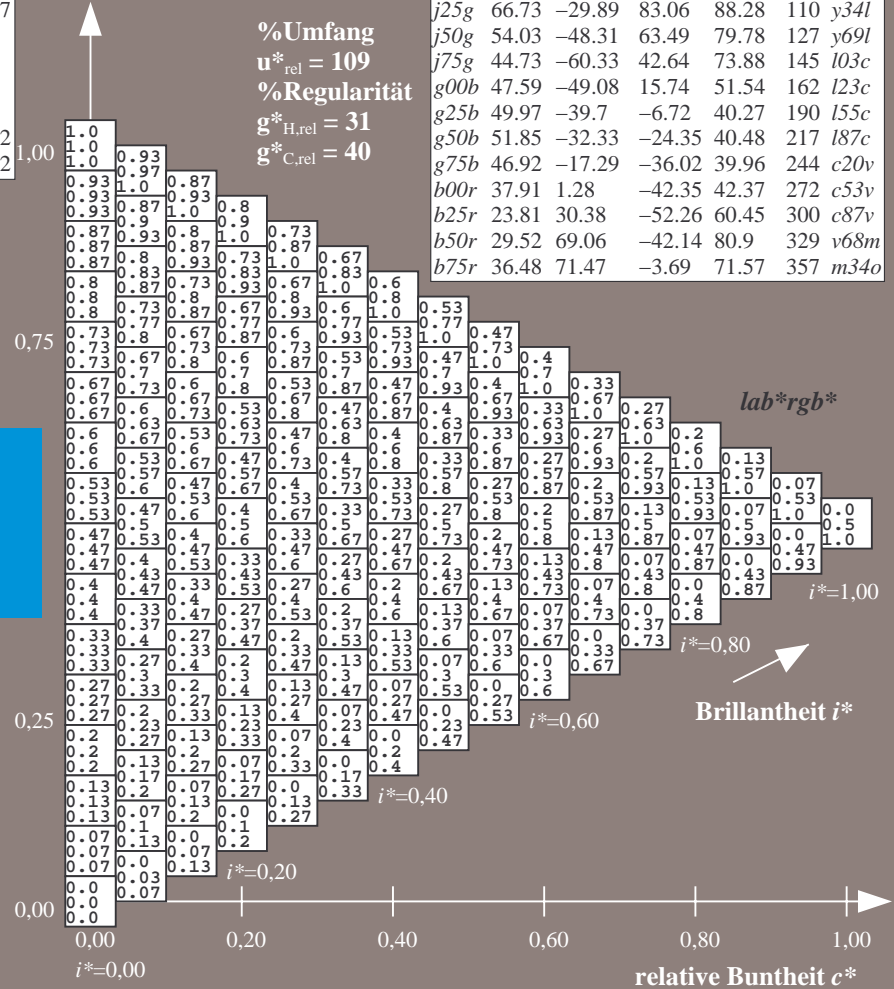
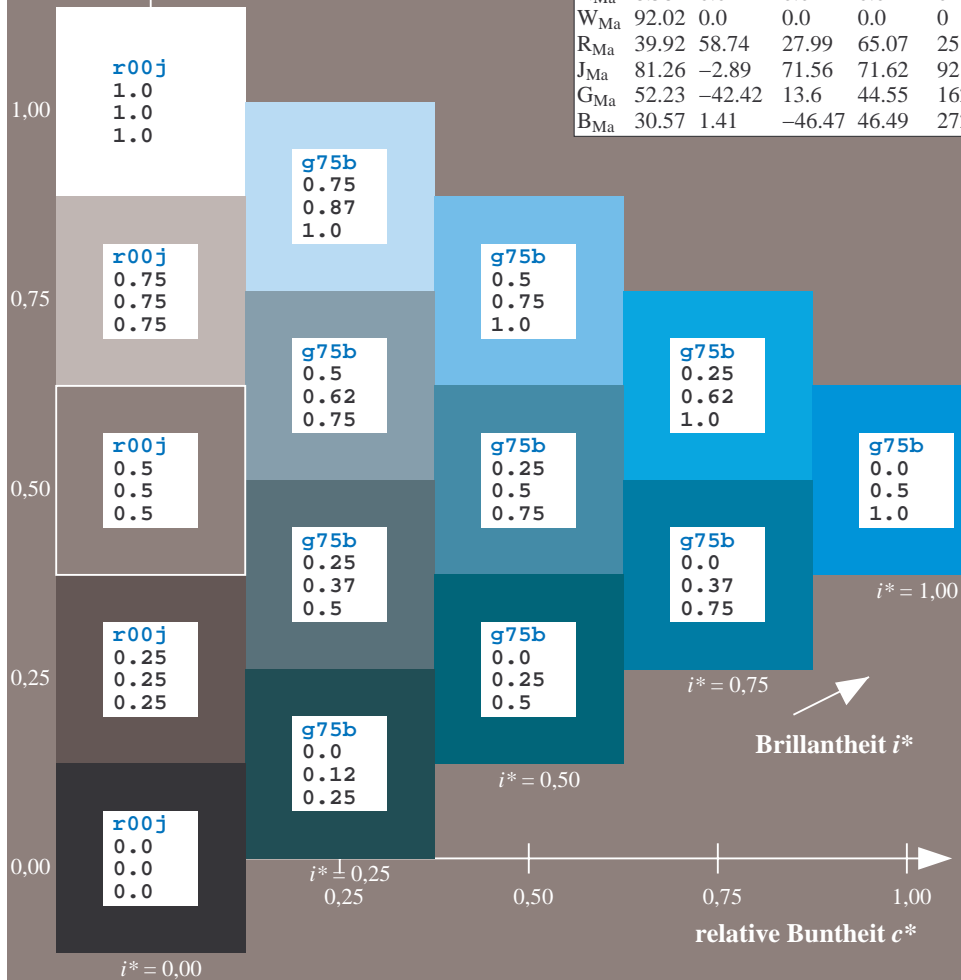
$lab^*rgb^*_{Ma}$: 0.0 0.5 1.0

$lab^*olv^*_{Ma}$: 0.0 0.8 1.0

Dreiecks-Helligkeit t^*

FRS09_92a; adaptierte CIELAB-Daten

u^*_e	$L^*=L^*_a$	a^*_a	b^*_a	$C^*_{ab,a}$	$h^*_{ab,a}$	u^*_d
r00j	35.47	63.32	30.17	70.15	25	m81o
r25j	39.12	54.56	49.45	73.64	42	o10y
r50j	50.64	39.15	64.89	75.79	59	o40y
r75j	64.01	21.26	82.83	85.52	76	o69y
j00g	83.18	-4.38	108.53	108.62	92	o98y
j25g	66.73	-29.89	83.06	88.28	110	y34l
j50g	54.03	-48.31	63.49	79.78	127	y69l
j75g	44.73	-60.33	42.64	73.88	145	103c
g00b	47.59	-49.08	15.74	51.54	162	i23c
g25b	49.97	-39.7	-6.72	40.27	190	i55c
g50b	51.85	-32.33	-24.35	40.48	217	i87c
g75b	46.92	-17.29	-36.02	39.96	244	c20v
b00r	37.91	1.28	-42.35	42.37	272	c53v
b25r	23.81	30.38	-52.26	60.45	300	c87v
b50r	29.52	69.06	-42.14	80.9	329	v68m
b75r	36.48	71.47	-3.69	71.57	357	m34o



%Umfang
 $u^*_{rel} = 109$
%Regularität
 $g^*_{H,rel} = 31$
 $g^*_{C,rel} = 40$

Brillantheit i^*

$i^* = 1.00$

$i^* = 0.80$

$i^* = 0.60$

$i^* = 0.40$

$i^* = 0.20$

$i^* = 0.00$

Ein und Ausgabe: Farbmatisches Drucker-Reflektiv-System FRS09_92a für relativen CIELAB-Bunton $h^* = lab^*h^* = h_{ab}^*/360 = 0.755$

$u^*_e = b00r$

Daten für jede Farbe:

lab^*ch^* und lab^*icu^*

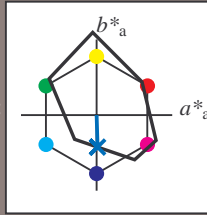
Buntontexte:

$u^*_e = b00r$ $u^*_d = c53v$

Kontrastreduzierungsfaktor:

$c_R = 1.0$

Dreiecks-Helligkeit t^*



FRS09_92a; adaptierte CIELAB-Daten

u^*_e	$L^*=L^*_a$	a^*_a	b^*_a	$C^*_{ab,a}$	$h^*_{ab,a}$
O _{Ma}	35.06	60.0	44.0	74.4	36
Y _{Ma}	83.77	-5.17	109.32	109.44	93
L _{Ma}	44.13	-62.67	48.24	79.09	142
C _{Ma}	52.66	-29.14	-31.99	43.27	228
V _{Ma}	14.15	50.3	-59.04	77.57	310
M _{Ma}	37.37	78.64	-33.5	85.48	337
N _{Ma}	8.58	0.0	0.0	0.0	0
W _{Ma}	92.02	0.0	0.0	0.0	0
R _{Ma}	39.92	58.74	27.99	65.07	25
J _{Ma}	81.26	-2.89	71.56	71.62	92
G _{Ma}	52.23	-42.42	13.6	44.55	162
B _{Ma}	30.57	1.41	-46.47	46.49	272

Daten für Maximalfarbe (Ma):

$LAB^*LAB^*_{Ma}$: 38 1 -42

$LAB^*LCH^*_{Ma}$: 38 42 271

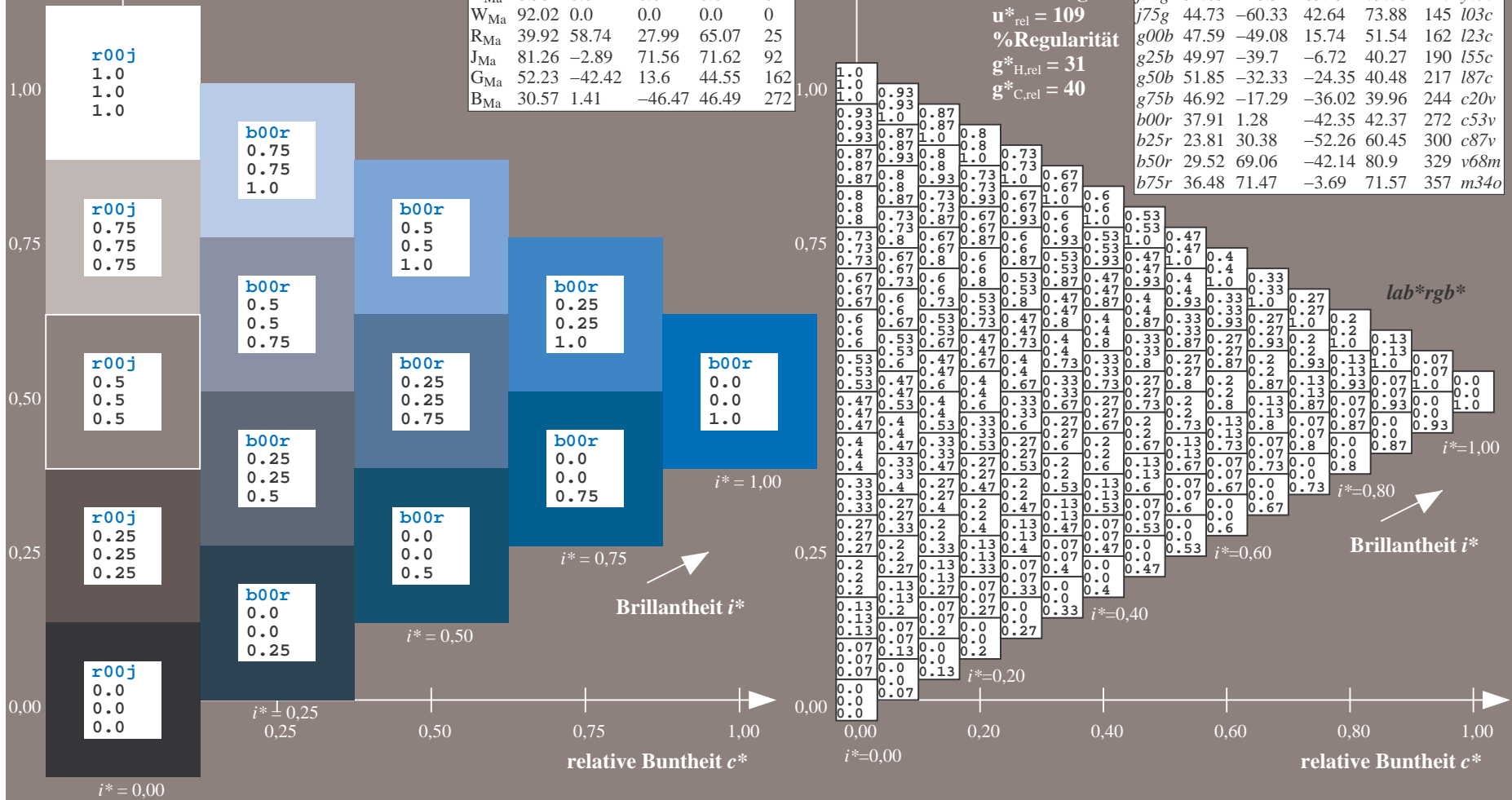
$lab^*rgb^*_{Ma}$: 0.0 0.0 1.0

$lab^*olv^*_{Ma}$: 0.0 0.47 1.0

Dreiecks-Helligkeit t^*

FRS09_92a; adaptierte CIELAB-Daten

u^*_e	$L^*=L^*_a$	a^*_a	b^*_a	$C^*_{ab,a}$	$h^*_{ab,a}$	u^*_d
r00j	35.47	63.32	30.17	70.15	25	m81o
r25j	39.12	54.56	49.45	73.64	42	o10y
r50j	50.64	39.15	64.89	75.79	59	o40y
r75j	64.01	21.26	82.83	85.52	76	o69y
j00g	83.18	-4.38	108.53	108.62	92	o98y
j25g	66.73	-29.89	83.06	88.28	110	y34l
j50g	54.03	-48.31	63.49	79.78	127	y69l
j75g	44.73	-60.33	42.64	73.88	145	103c
g00b	47.59	-49.08	15.74	51.54	162	l23c
g25b	49.97	-39.7	-6.72	40.27	190	l55c
g50b	51.85	-32.33	-24.35	40.48	217	l87c
g75b	46.92	-17.29	-36.02	39.96	244	c20v
b00r	37.91	1.28	-42.35	42.37	272	c53v
b25r	23.81	30.38	-52.26	60.45	300	c87v
b50r	29.52	69.06	-42.14	80.9	329	v68m
b75r	36.48	71.47	-3.69	71.57	357	m34o



Ein und Ausgabe: Farbmatisches Drucker-Reflektiv-System FRS09_92a für relativen CIELAB-Bunton $h^* = lab^*h^* = h_{ab}/360 = 0.834$

$u^*_e = b25r$

Daten für jede Farbe:

lab^*ch^* und lab^*icu^*

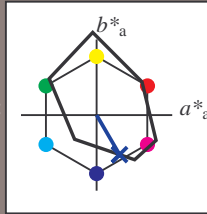
Buntontexte:

$u^*_e = b25r$ $u^*_d = c87v$

Kontrastreduzierungsfaktor:

$c_R = 1.0$

Dreiecks-Helligkeit t^*



FRS09_92a; adaptierte CIELAB-Daten

u^*_e	$L^*=L^*_a$	a^*_a	b^*_a	$C^*_{ab,a}$	$h^*_{ab,a}$
O _{Ma}	35.06	60.0	44.0	74.4	36
Y _{Ma}	83.77	-5.17	109.32	109.44	93
L _{Ma}	44.13	-62.67	48.24	79.09	142
C _{Ma}	52.66	-29.14	-31.99	43.27	228
V _{Ma}	14.15	50.3	-59.04	77.57	310
M _{Ma}	37.37	78.64	-33.5	85.48	337
N _{Ma}	8.58	0.0	0.0	0.0	0
W _{Ma}	92.02	0.0	0.0	0.0	0
R _{Ma}	39.92	58.74	27.99	65.07	25
J _{Ma}	81.26	-2.89	71.56	71.62	92
G _{Ma}	52.23	-42.42	13.6	44.55	162
B _{Ma}	30.57	1.41	-46.47	46.49	272

Daten für Maximalfarbe (Ma):

$LAB^*LAB^*_{Ma}$: 24 30 -52

$LAB^*LCH^*_{Ma}$: 24 60 300

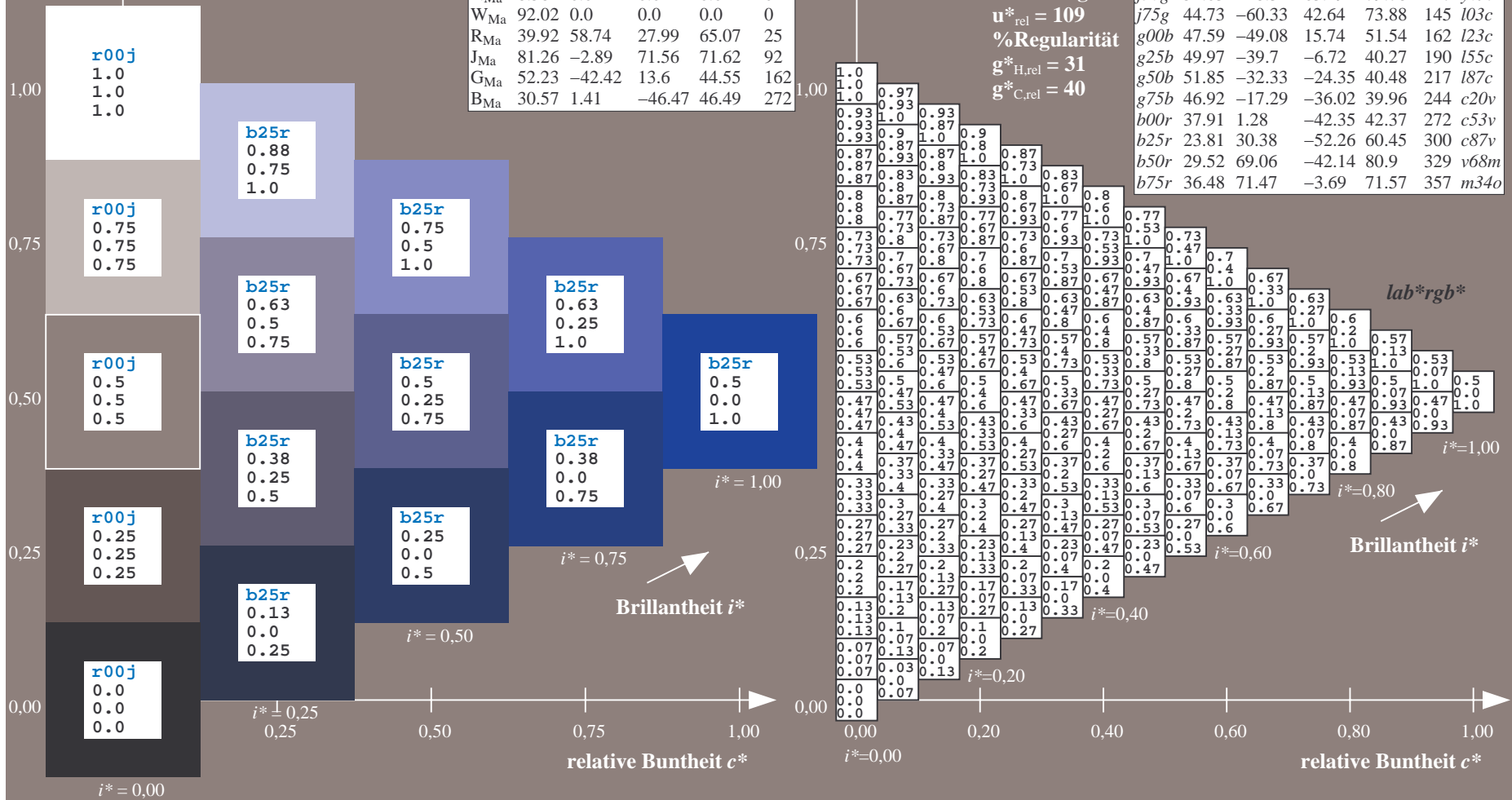
$lab^*rgb^*_{Ma}$: 0.5 0.0 1.0

$lab^*olv^*_{Ma}$: 0.0 0.12 1.0

Dreiecks-Helligkeit t^*

FRS09_92a; adaptierte CIELAB-Daten

u^*_e	$L^*=L^*_a$	a^*_a	b^*_a	$C^*_{ab,a}$	$h^*_{ab,a}$	u^*_d
r00j	35.47	63.32	30.17	70.15	25	m81o
r25j	39.12	54.56	49.45	73.64	42	o10y
r50j	50.64	39.15	64.89	75.79	59	o40y
r75j	64.01	21.26	82.83	85.52	76	o69y
j00g	83.18	-4.38	108.53	108.62	92	o98y
j25g	66.73	-29.89	83.06	88.28	110	y34l
j50g	54.03	-48.31	63.49	79.78	127	y69l
j75g	44.73	-60.33	42.64	73.88	145	103c
g00b	47.59	-49.08	15.74	51.54	162	l23c
g25b	49.97	-39.7	-6.72	40.27	190	l55c
g50b	51.85	-32.33	-24.35	40.48	217	l87c
g75b	46.92	-17.29	-36.02	39.96	244	c20v
b00r	37.91	1.28	-42.35	42.37	272	c53v
b25r	23.81	30.38	-52.26	60.45	300	c87v
b50r	29.52	69.06	-42.14	80.9	329	v68m
b75r	36.48	71.47	-3.69	71.57	357	m34o



%Umfang
 $u^*_{rel} = 109$
 %Regularität
 $g^*_{H,rel} = 31$
 $g^*_{C,rel} = 40$

Brillantheit i^*

Brillantheit i^*

Brillantheit i^*

Brillantheit i^*

Ein und Ausgabe: Farbmetrisches Drucker-Reflektiv-System FRS09_92a für relativen CIELAB-Bunton $h^* = lab^*h^* = h_{ab}/360 = 0.913$

$u^*_e = b50r$

Daten für jede Farbe:

lab^*ch^* und lab^*icu^*

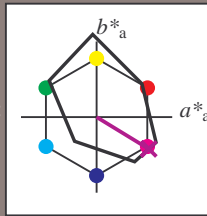
Buntontexte:

$u^*_e = b50r$ $u^*_d = v68m$

Kontrastreduzierungsfaktor:

$c_R = 1.0$

Dreiecks-Helligkeit t^*



FRS09_92a; adaptierte CIELAB-Daten

u^*_e	$L^*=L^*_a$	a^*_a	b^*_a	$C^*_{ab,a}$	$h^*_{ab,a}$
O _{Ma}	35.06	60.0	44.0	74.4	36
Y _{Ma}	83.77	-5.17	109.32	109.44	93
L _{Ma}	44.13	-62.67	48.24	79.09	142
C _{Ma}	52.66	-29.14	-31.99	43.27	228
V _{Ma}	14.15	50.3	-59.04	77.57	310
M _{Ma}	37.37	78.64	-33.5	85.48	337
N _{Ma}	8.58	0.0	0.0	0.0	0
W _{Ma}	92.02	0.0	0.0	0.0	0
R _{Ma}	39.92	58.74	27.99	65.07	25
J _{Ma}	81.26	-2.89	71.56	71.62	92
G _{Ma}	52.23	-42.42	13.6	44.55	162
B _{Ma}	30.57	1.41	-46.47	46.49	272

Daten für Maximalfarbe (Ma):

$LAB^*LAB^*_{Ma}$: 30 69 -42

$LAB^*LCH^*_{Ma}$: 30 81 328

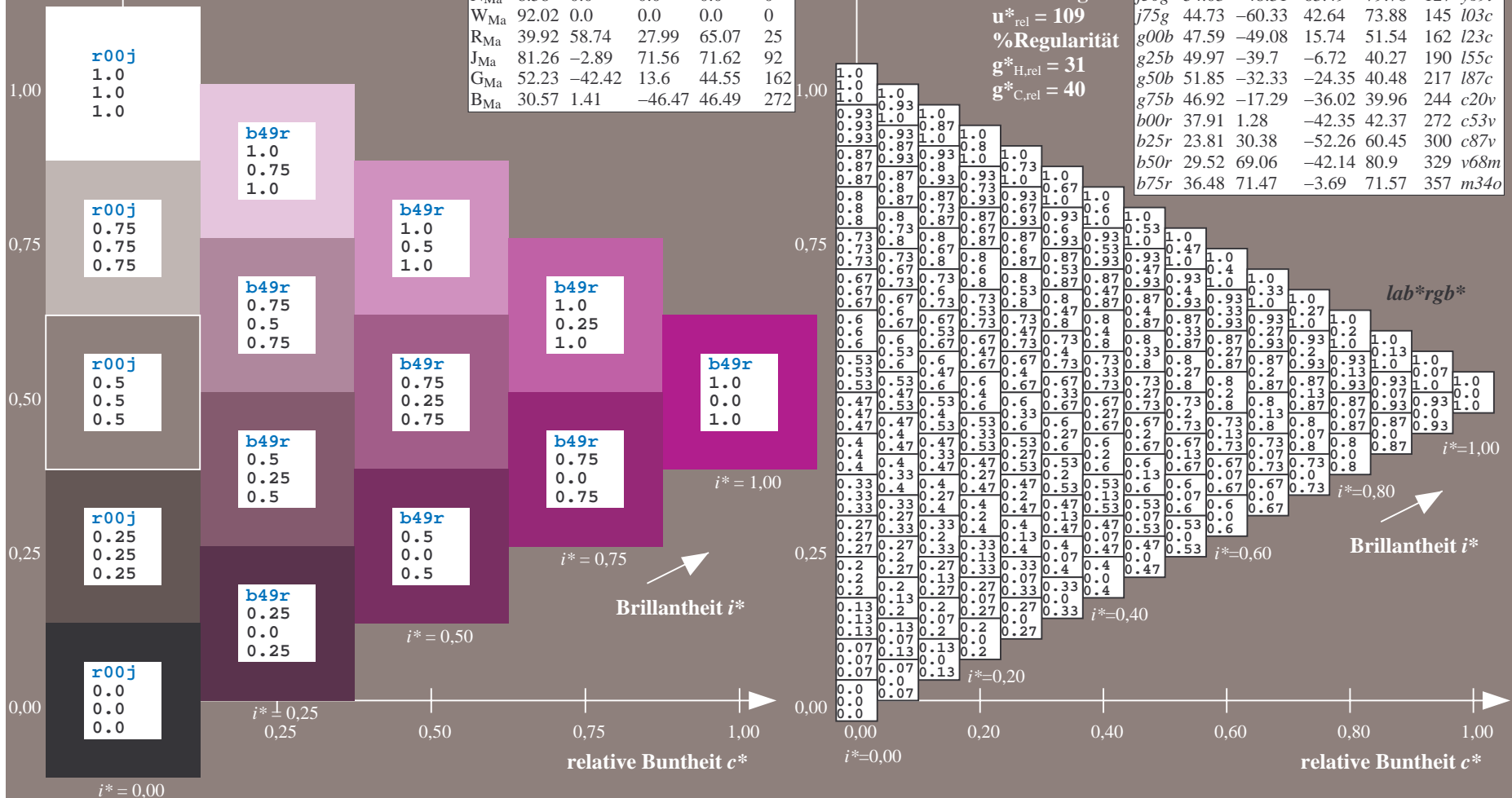
$lab^*rgb^*_{Ma}$: 1.0 0.0 1.0

$lab^*olv^*_{Ma}$: 0.69 0.0 1.0

Dreiecks-Helligkeit t^*

FRS09_92a; adaptierte CIELAB-Daten

u^*_e	$L^*=L^*_a$	a^*_a	b^*_a	$C^*_{ab,a}$	$h^*_{ab,a}$	u^*_d
r00j	35.47	63.32	30.17	70.15	25	m81o
r25j	39.12	54.56	49.45	73.64	42	o10y
r50j	50.64	39.15	64.89	75.79	59	o40y
r75j	64.01	21.26	82.83	85.52	76	o69y
j00g	83.18	-4.38	108.53	108.62	92	o98y
j25g	66.73	-29.89	83.06	88.28	110	y34l
j50g	54.03	-48.31	63.49	79.78	127	y69l
j75g	44.73	-60.33	42.64	73.88	145	l03c
g00b	47.59	-49.08	15.74	51.54	162	l23c
g25b	49.97	-39.7	-6.72	40.27	190	l55c
g50b	51.85	-32.33	-24.35	40.48	217	l87c
g75b	46.92	-17.29	-36.02	39.96	244	c20v
b00r	37.91	1.28	-42.35	42.37	272	c53v
b25r	23.81	30.38	-52.26	60.45	300	c87v
b50r	29.52	69.06	-42.14	80.9	329	v68m
b75r	36.48	71.47	-3.69	71.57	357	m34o



Ein und Ausgabe: Farbmatisches Drucker-Reflektiv-System FRS09_92a für relativen CIELAB-Bunton $h^* = lab^*h^* = h_{ab}/360 = 0.992$

$u^*_e = b75r$

Daten für jede Farbe:

lab^*ch^* und lab^*icu^*

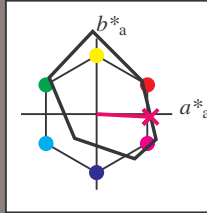
Buntontexte:

$u^*_e = b75r$ $u^*_d = m34o$

Kontrastreduzierungsfaktor:

$c_R = 1.0$

Dreiecks-Helligkeit t^*



FRS09_92a; adaptierte CIELAB-Daten

u^*_e	$L^*=L^*_a$	a^*_a	b^*_a	$C^*_{ab,a}$	$h^*_{ab,a}$
O _{Ma}	35.06	60.0	44.0	74.4	36
Y _{Ma}	83.77	-5.17	109.32	109.44	93
L _{Ma}	44.13	-62.67	48.24	79.09	142
C _{Ma}	52.66	-29.14	-31.99	43.27	228
V _{Ma}	14.15	50.3	-59.04	77.57	310
M _{Ma}	37.37	78.64	-33.5	85.48	337
N _{Ma}	8.58	0.0	0.0	0.0	0
W _{Ma}	92.02	0.0	0.0	0.0	0
R _{Ma}	39.92	58.74	27.99	65.07	25
J _{Ma}	81.26	-2.89	71.56	71.62	92
G _{Ma}	52.23	-42.42	13.6	44.55	162
B _{Ma}	30.57	1.41	-46.47	46.49	272

Daten für Maximalfarbe (Ma):

$LAB^*LAB^*_{Ma}$: 36 71 -4

$LAB^*LCH^*_{Ma}$: 36 72 357

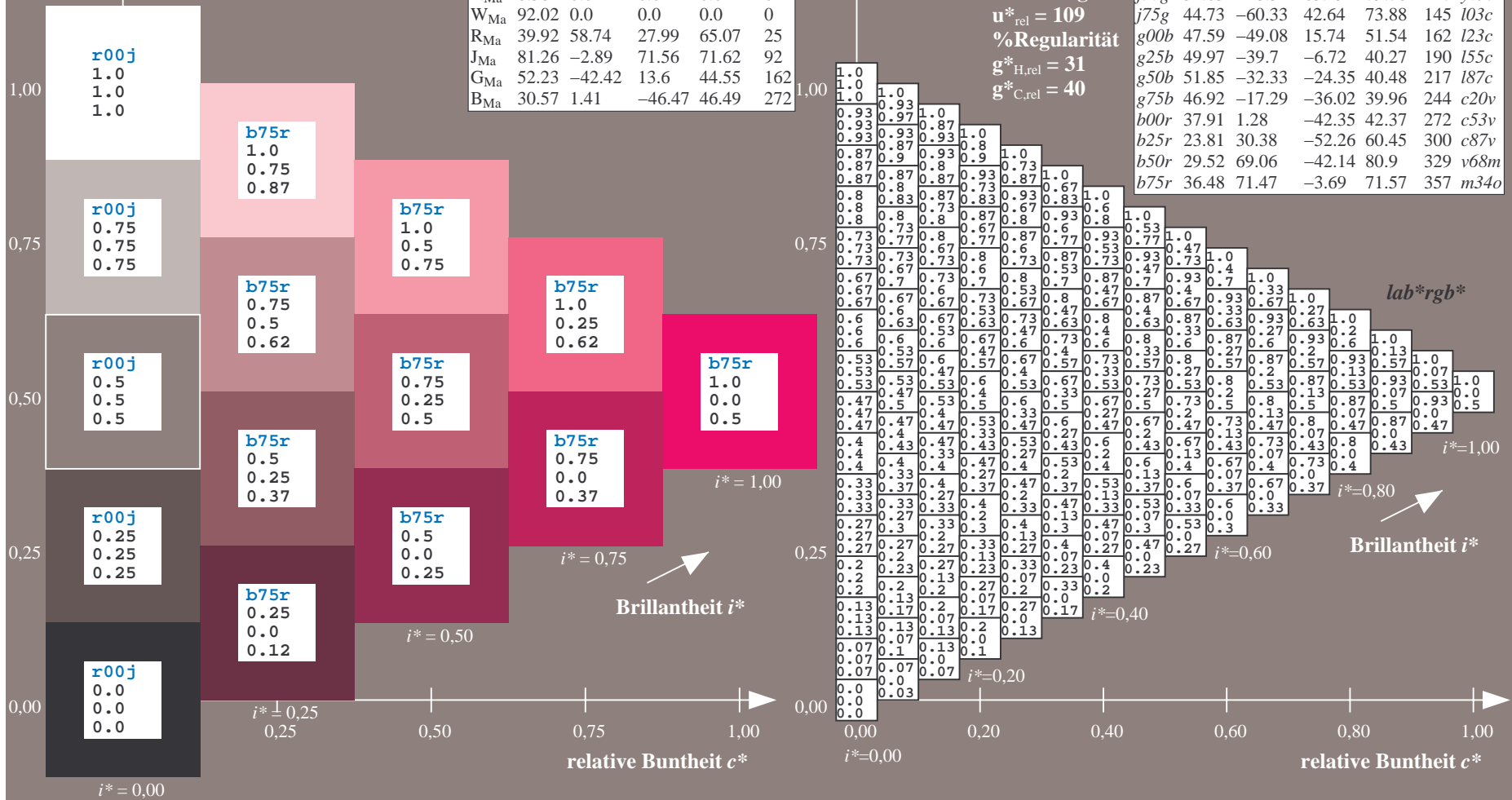
$lab^*rgb^*_{Ma}$: 1.0 0.0 0.5

$lab^*olv^*_{Ma}$: 1.0 0.0 0.66

Dreiecks-Helligkeit t^*

FRS09_92a; adaptierte CIELAB-Daten

u^*_e	$L^*=L^*_a$	a^*_a	b^*_a	$C^*_{ab,a}$	$h^*_{ab,a}$	u^*_d
r00j	35.47	63.32	30.17	70.15	25	m81o
r25j	39.12	54.56	49.45	73.64	42	o10y
r50j	50.64	39.15	64.89	75.79	59	o40y
r75j	64.01	21.26	82.83	85.52	76	o69y
j00g	83.18	-4.38	108.53	108.62	92	o98y
j25g	66.73	-29.89	83.06	88.28	110	y34l
j50g	54.03	-48.31	63.49	79.78	127	y69l
j75g	44.73	-60.33	42.64	73.88	145	103c
g00b	47.59	-49.08	15.74	51.54	162	i23c
g25b	49.97	-39.7	-6.72	40.27	190	i55c
g50b	51.85	-32.33	-24.35	40.48	217	i87c
g75b	46.92	-17.29	-36.02	39.96	244	c20v
b00r	37.91	1.28	-42.35	42.37	272	c53v
b25r	23.81	30.38	-52.26	60.45	300	c87v
b50r	29.52	69.06	-42.14	80.9	329	v68m
b75r	36.48	71.47	-3.69	71.57	357	m34o



%Umfang
 $u^*_{rel} = 109$
 %Regularität
 $g^*_{H,rel} = 31$
 $g^*_{C,rel} = 40$

Ein und Ausgabe:
 Farbmetrisches Drucker-Reflektiv-System FRS09_92a

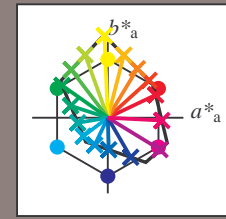
Daten für jede Farbe:
 u^*_e und Nummer $Nr. = 00 \dots 15$

Elementar-Bunttextext:
 $u^*_e = 16$ Bunttoene $r00j, r25j, \dots, b75r$

Kontrastreduzierungsfaktor:
 $c_R = 1.0$

FRS09_92a; adaptierte CIELAB-Daten

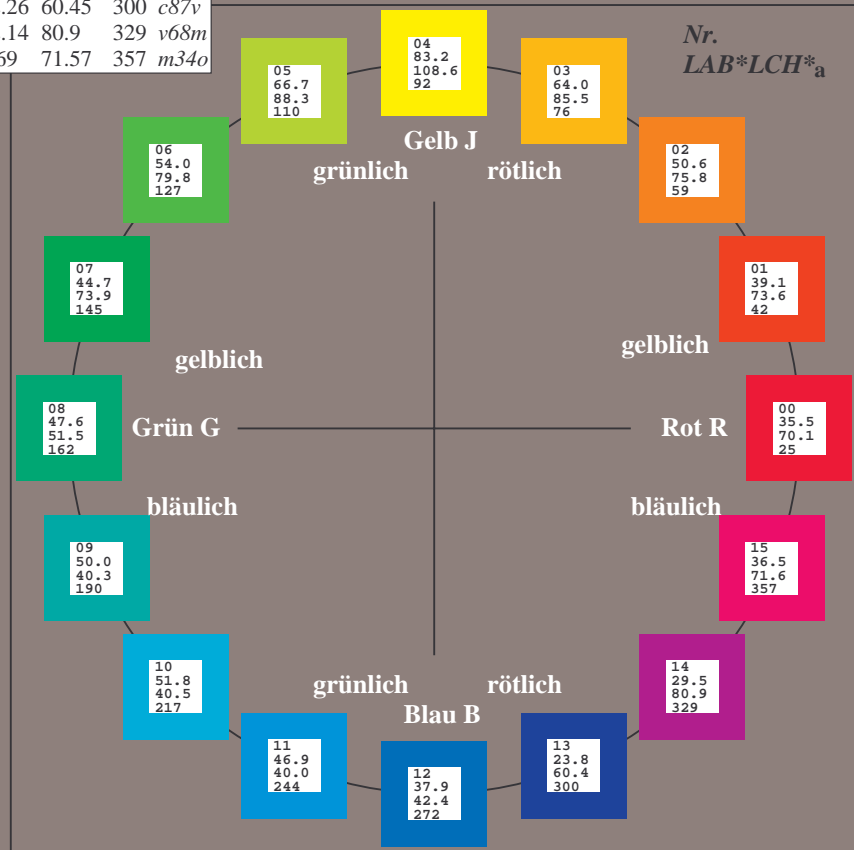
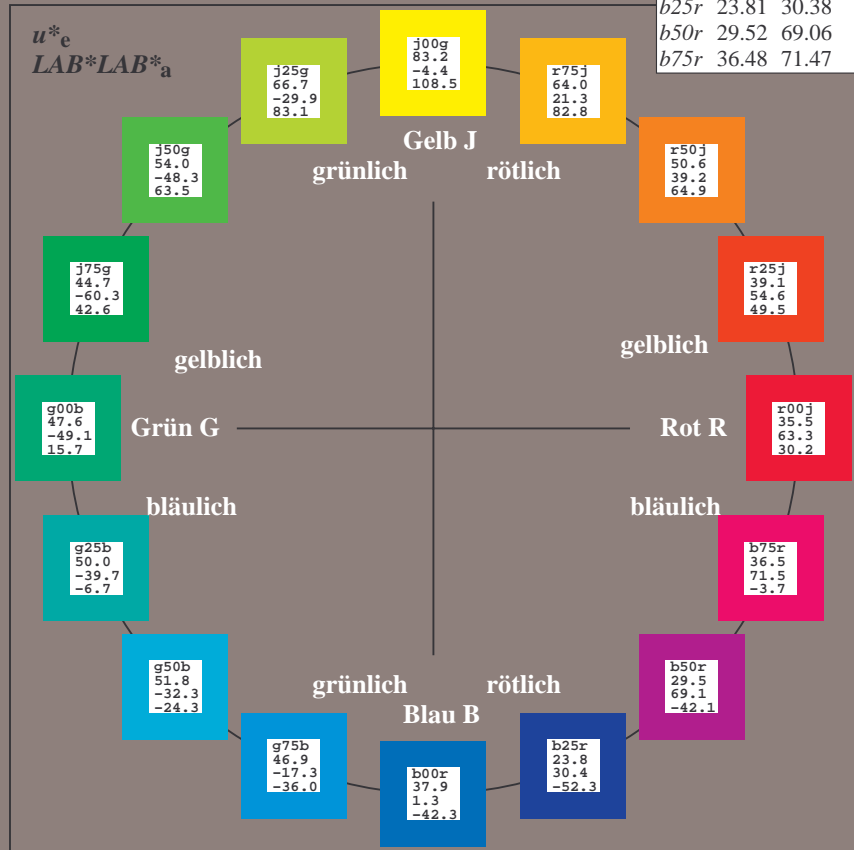
u^*_e	$L^*=L^*_a$	a^*_a	b^*_a	$C^*_{ab,a}$	$h^*_{ab,a}$	u^*_d
r00j	35.47	63.32	30.17	70.15	25	m81o
r25j	39.12	54.56	49.45	73.64	42	o10y
r50j	50.64	39.15	64.89	75.79	59	o40y
r75j	64.01	21.26	82.83	85.52	76	o69y
j00g	83.18	-4.38	108.53	108.62	92	o98y
j25g	66.73	-29.89	83.06	88.28	110	y34l
j50g	54.03	-48.31	63.49	79.78	127	y69l
j75g	44.73	-60.33	42.64	73.88	145	l03c
g00b	47.59	-49.08	15.74	51.54	162	l23c
g25b	49.97	-39.7	-6.72	40.27	190	l55c
g50b	51.85	-32.33	-24.35	40.48	217	l87c
g75b	46.92	-17.29	-36.02	39.96	244	c20v
b00r	37.91	1.28	-42.35	42.37	272	c53v
b25r	23.81	30.38	-52.26	60.45	300	c87v
b50r	29.52	69.06	-42.14	80.9	329	v68m
b75r	36.48	71.47	-3.69	71.57	357	m34o



%Umfang
 $u^*_{rel} = 109$
 %Regularität
 $g^*_{H,rel} = 31$
 $g^*_{C,rel} = 40$

FRS09_92a; adaptierte CIELAB-Daten

Name	$L^*=L^*_a$	a^*_a	b^*_a	$C^*_{ab,a}$	$h^*_{ab,a}$
OMa	35.06	60.0	44.0	74.4	36
YMa	83.77	-5.17	109.32	109.44	93
LMa	44.13	-62.67	48.24	79.09	142
CMa	52.66	-29.14	-31.99	43.27	228
VMa	14.15	50.3	-59.04	77.57	310
MMa	37.37	78.64	-33.5	85.48	337
NMa	8.58	0.0	0.0	0.0	0
WMa	92.02	0.0	0.0	0.0	0
RCIE	39.92	58.74	27.99	65.07	25
JCIE	81.26	-2.89	71.56	71.62	92
GCIE	52.23	-42.42	13.6	44.55	162
BCIE	30.57	1.41	-46.47	46.49	272



Ein und Ausgabe: Farbmatisches Drucker-Reflektiv-System FRS09_92a für relativen CIELAB-Bunton $h^* = lab^*h^* = h_{ab}/360 = 0.071$

Daten für jede Farbe:

lab^*ch^* und lab^*icu^*

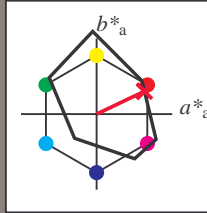
Buntontexte:

$u^*_e = r00j$ $u^*_d = m8l0$

Kontrastreduzierungsfaktor:

$c_R = 1.0$

Dreiecks-Helligkeit t^*



FRS09_92a; adaptierte CIELAB-Daten

	u^*_e	$L^*=L^*_a$	a^*_a	b^*_a	$C^*_{ab,a}$	$h^*_{ab,a}$
O _{Ma}	35.06	60.0	44.0	74.4	36	
Y _{Ma}	83.77	-5.17	109.32	109.44	93	
L _{Ma}	44.13	-62.67	48.24	79.09	142	
C _{Ma}	52.66	-29.14	-31.99	43.27	228	
V _{Ma}	14.15	50.3	-59.04	77.57	310	
M _{Ma}	37.37	78.64	-33.5	85.48	337	
N _{Ma}	8.58	0.0	0.0	0.0	0	
W _{Ma}	92.02	0.0	0.0	0.0	0	
R _{Ma}	39.92	58.74	27.99	65.07	25	
J _{Ma}	81.26	-2.89	71.56	71.62	92	
G _{Ma}	52.23	-42.42	13.6	44.55	162	
B _{Ma}	30.57	1.41	-46.47	46.49	272	

$u^*_e = r00j$
 $LAB^*LAB^*_a$

Daten für Maximalfarbe (Ma):

$LAB^*LAB^*_Ma: 35\ 63\ 30$

$LAB^*LCH^*_Ma: 35\ 70\ 25$

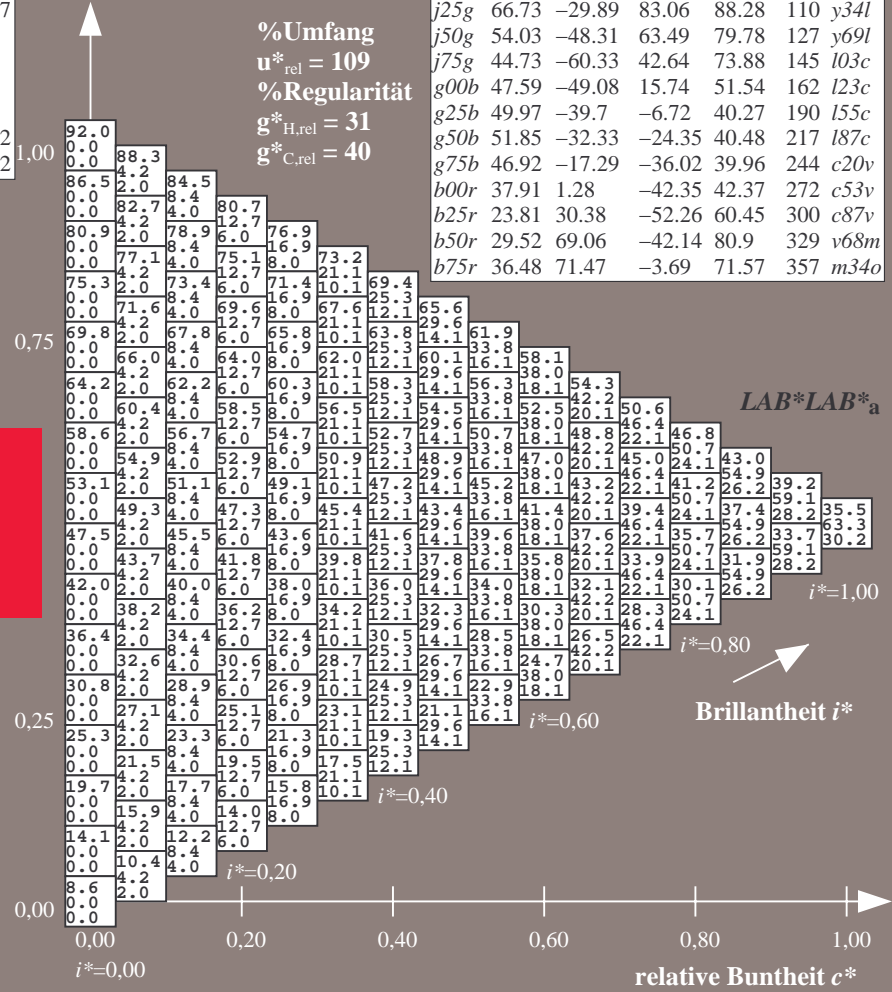
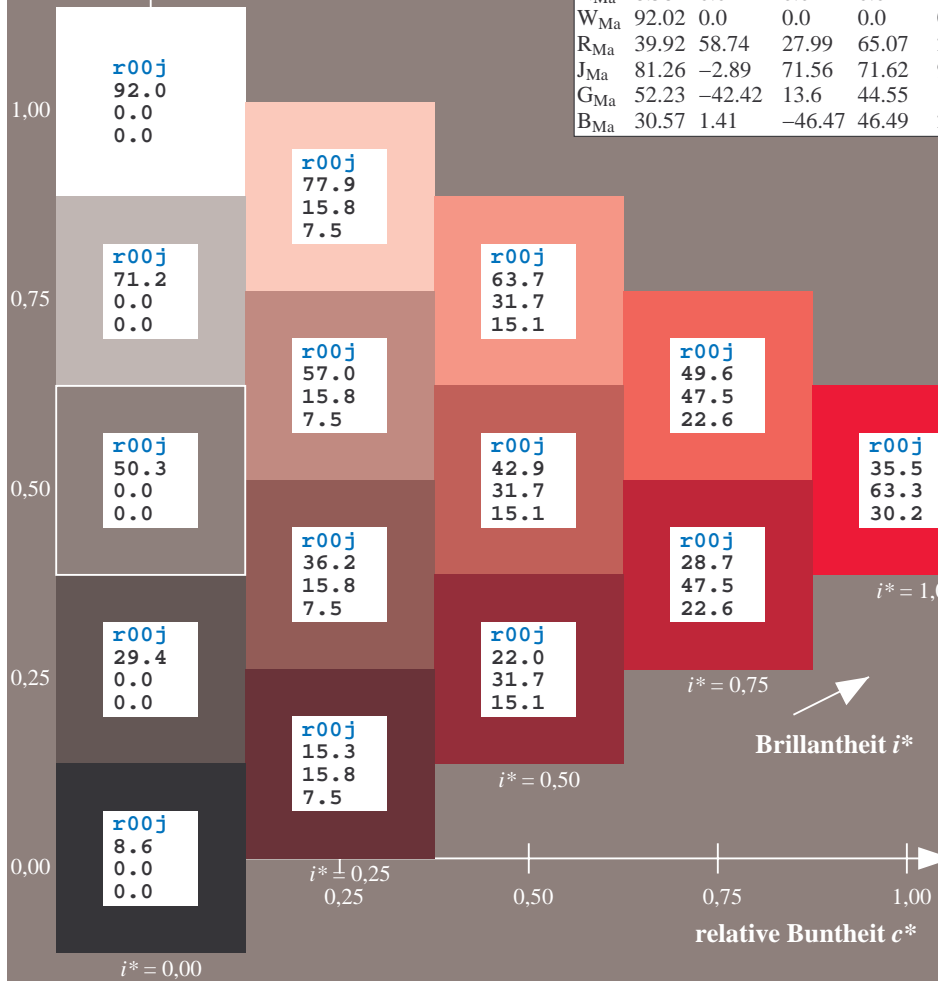
$lab^*rgb^*_Ma: 1.0\ 0.0\ 0.0$

$lab^*olv^*_Ma: 1.0\ 0.0\ 0.18$

Dreiecks-Helligkeit t^*

FRS09_92a; adaptierte CIELAB-Daten

	u^*_e	$L^*=L^*_a$	a^*_a	b^*_a	$C^*_{ab,a}$	$h^*_{ab,a}$	u^*_d
r00j	35.47	63.32	30.17	70.15	25	m8l0	
r25j	39.12	54.56	49.45	73.64	42	o10y	
r50j	50.64	39.15	64.89	75.79	59	o40y	
r75j	64.01	21.26	82.83	85.52	76	o69y	
j00g	83.18	-4.38	108.53	108.62	92	o98y	
j25g	66.73	-29.89	83.06	88.28	110	y34l	
j50g	54.03	-48.31	63.49	79.78	127	y69l	
j75g	44.73	-60.33	42.64	73.88	145	i03c	
g00b	47.59	-49.08	15.74	51.54	162	i23c	
g25b	49.97	-39.7	-6.72	40.27	190	i55c	
g50b	51.85	-32.33	-24.35	40.48	217	i87c	
g75b	46.92	-17.29	-36.02	39.96	244	c20v	
b00r	37.91	1.28	-42.35	42.37	272	c53v	
b25r	23.81	30.38	-52.26	60.45	300	c87v	
b50r	29.52	69.06	-42.14	80.9	329	v68m	
b75r	36.48	71.47	-3.69	71.57	357	m34o	



%Umfang
 $u^*_{rel} = 109$
%Regularität
 $g^*_{H,rel} = 31$
 $g^*_{C,rel} = 40$

Ein und Ausgabe: Farbmatisches Drucker-Reflektiv-System FRS09_92a für relativen CIELAB-Bunton $h^* = lab^*h^* = h_{ab}/360 = 0.117$

$u^*_e = r25j$
 $LAB^*LAB^*_a$

Daten für jede Farbe:

lab^*ch^* und lab^*icu^*

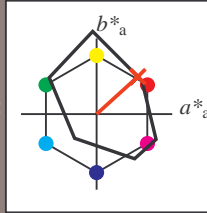
Buntontexte:

$u^*_e = r25j$ $u^*_d = o10y$

Kontrastreduzierungsfaktor:

$c_R = 1.0$

Dreiecks-Helligkeit t^*



FRS09_92a; adaptierte CIELAB-Daten

u^*_e	$L^*=L^*_a$	a^*_a	b^*_a	$C^*_{ab,a}$	$h^*_{ab,a}$
O _{Ma}	35.06	60.0	44.0	74.4	36
Y _{Ma}	83.77	-5.17	109.32	109.44	93
L _{Ma}	44.13	-62.67	48.24	79.09	142
C _{Ma}	52.66	-29.14	-31.99	43.27	228
V _{Ma}	14.15	50.3	-59.04	77.57	310
M _{Ma}	37.37	78.64	-33.5	85.48	337
N _{Ma}	8.58	0.0	0.0	0.0	0
W _{Ma}	92.02	0.0	0.0	0.0	0
R _{Ma}	39.92	58.74	27.99	65.07	25
J _{Ma}	81.26	-2.89	71.56	71.62	92
G _{Ma}	52.23	-42.42	13.6	44.55	162
B _{Ma}	30.57	1.41	-46.47	46.49	272

Daten für Maximalfarbe (Ma):

$LAB^*LAB^*_Ma: 39 55 49$

$LAB^*LCH^*_Ma: 39 74 42$

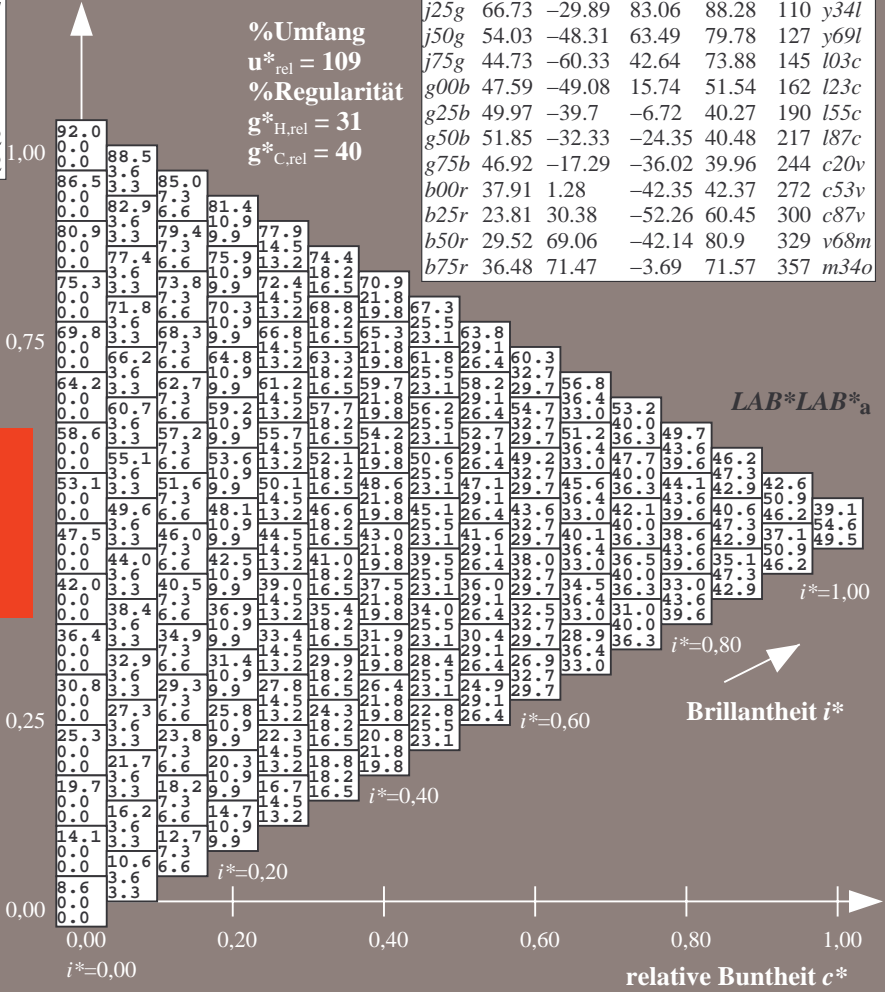
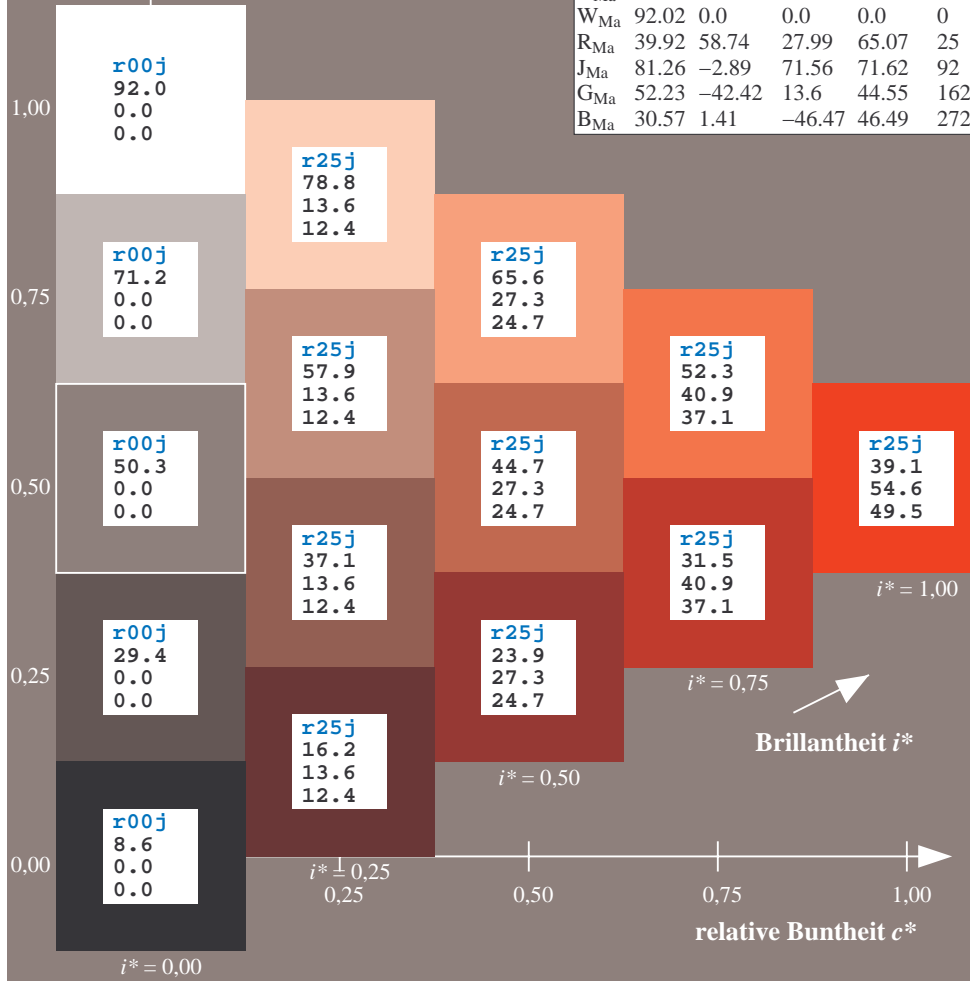
$lab^*rgb^*_Ma: 1.0 0.25 0.0$

$lab^*olv^*_Ma: 1.0 0.11 0.0$

Dreiecks-Helligkeit t^*

FRS09_92a; adaptierte CIELAB-Daten

u^*_e	$L^*=L^*_a$	a^*_a	b^*_a	$C^*_{ab,a}$	$h^*_{ab,a}$	u^*_d
r00j	35.47	63.32	30.17	70.15	25	m81o
r25j	39.12	54.56	49.45	73.64	42	o10y
r50j	50.64	39.15	64.89	75.79	59	o40y
r75j	64.01	21.26	82.83	85.52	76	o69y
j00g	83.18	-4.38	108.53	108.62	92	o98y
j25g	66.73	-29.89	83.06	88.28	110	y34l
j50g	54.03	-48.31	63.49	79.78	127	y69l
j75g	44.73	-60.33	42.64	73.88	145	l03c
g00b	47.59	-49.08	15.74	51.54	162	i23c
g25b	49.97	-39.7	-6.72	40.27	190	i55c
g50b	51.85	-32.33	-24.35	40.48	217	i87c
g75b	46.92	-17.29	-36.02	39.96	244	c20v
b00r	37.91	1.28	-42.35	42.37	272	c53v
b25r	23.81	30.38	-52.26	60.45	300	c87v
b50r	29.52	69.06	-42.14	80.9	329	v68m
b75r	36.48	71.47	-3.69	71.57	357	m34o



Ein und Ausgabe: Farbmatisches Drucker-Reflektiv-System FRS09_92a für relativen CIELAB-Bunton $h^* = lab^*h^* = h_{ab}/360 = 0.164$

$u^*_e = r50j$
LAB*LAB*a

Daten für jede Farbe:

lab^*ch^* und lab^*icu^*

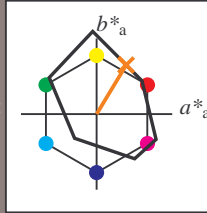
Buntontexte:

$u^*_e = r50j$ $u^*_d = o40y$

Kontrastreduzierungsfaktor:

$c_R = 1.0$

Dreiecks-Helligkeit t^*



FRS09_92a; adaptierte CIELAB-Daten

u^*_e	$L^*=L^*_a$	a^*_a	b^*_a	$C^*_{ab,a}$	$h^*_{ab,a}$
O _{Ma}	35.06	60.0	44.0	74.4	36
Y _{Ma}	83.77	-5.17	109.32	109.44	93
L _{Ma}	44.13	-62.67	48.24	79.09	142
C _{Ma}	52.66	-29.14	-31.99	43.27	228
V _{Ma}	14.15	50.3	-59.04	77.57	310
M _{Ma}	37.37	78.64	-33.5	85.48	337
N _{Ma}	8.58	0.0	0.0	0.0	0
W _{Ma}	92.02	0.0	0.0	0.0	0
R _{Ma}	39.92	58.74	27.99	65.07	25
J _{Ma}	81.26	-2.89	71.56	71.62	92
G _{Ma}	52.23	-42.42	13.6	44.55	162
B _{Ma}	30.57	1.41	-46.47	46.49	272

Daten für Maximalfarbe (Ma):

LAB*LAB*_{Ma}: 51 39 65

LAB*LCH*_{Ma}: 51 76 58

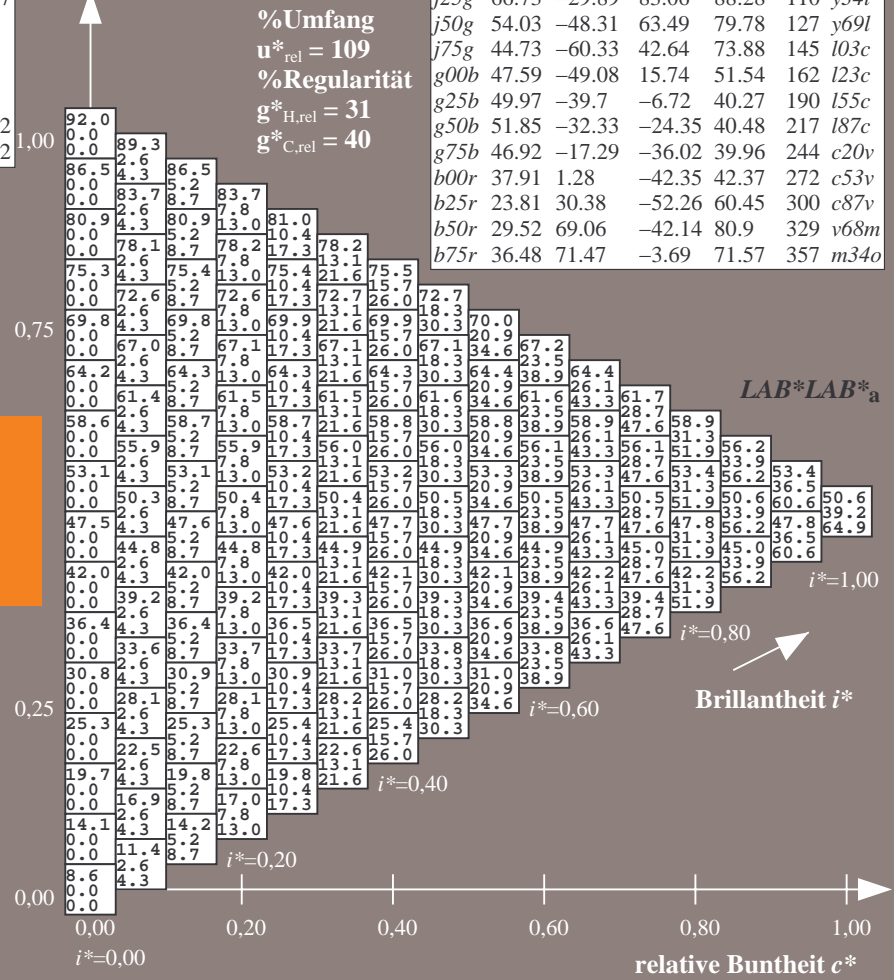
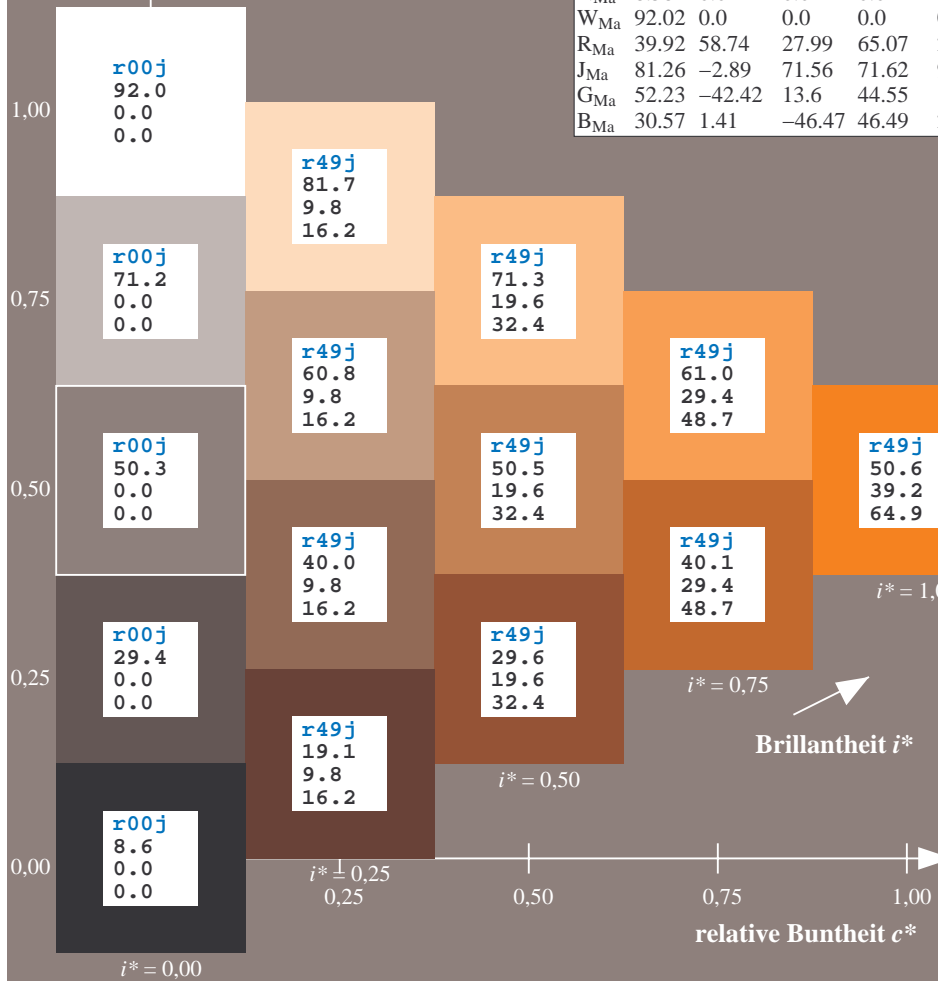
lab*rgb*_{Ma}: 1.0 0.5 0.0

lab*olv*_{Ma}: 1.0 0.4 0.0

Dreiecks-Helligkeit t^*

FRS09_92a; adaptierte CIELAB-Daten

u^*_e	$L^*=L^*_a$	a^*_a	b^*_a	$C^*_{ab,a}$	$h^*_{ab,a}$	u^*_d
r00j	35.47	63.32	30.17	70.15	25	m81o
r25j	39.12	54.56	49.45	73.64	42	o10y
r50j	50.64	39.15	64.89	75.79	59	o40y
r75j	64.01	21.26	82.83	85.52	76	o69y
j00g	83.18	-4.38	108.53	108.62	92	o98y
j25g	66.73	-29.89	83.06	88.28	110	y34l
j50g	54.03	-48.31	63.49	79.78	127	y69l
j75g	44.73	-60.33	42.64	73.88	145	i03c
g00b	47.59	-49.08	15.74	51.54	162	i23c
g25b	49.97	-39.7	-6.72	40.27	190	i55c
g50b	51.85	-32.33	-24.35	40.48	217	i87c
g75b	46.92	-17.29	-36.02	39.96	244	c20v
b00r	37.91	1.28	-42.35	42.37	272	c53v
b25r	23.81	30.38	-52.26	60.45	300	c87v
b50r	29.52	69.06	-42.14	80.9	329	v68m
b75r	36.48	71.47	-3.69	71.57	357	m34o



%Umfang
 $u^*_{rel} = 109$
%Regularität
 $g^*_{H,rel} = 31$
 $g^*_{C,rel} = 40$

LAB*LAB*a

Brillantheit i^*

$i^* = 1.00$

$i^* = 0.80$

$i^* = 0.60$

$i^* = 0.40$

$i^* = 0.20$

Ein und Ausgabe: Farbmatisches Drucker-Reflektiv-System FRS09_92a für relativen CIELAB-Bunton $h^* = lab^*h^* = h_{ab}/360 = 0.21$

Daten für jede Farbe:

lab^*ch^* und lab^*icu^*

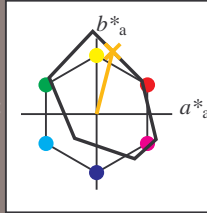
Buntontexte:

$u^*_e = r75j$ $u^*_d = o69y$

Kontrastreduzierungsfaktor:

$c_R = 1.0$

Dreiecks-Helligkeit t^*



FRS09_92a; adaptierte CIELAB-Daten

	u^*_e	$L^*=L^*_a$	a^*_a	b^*_a	$C^*_{ab,a}$	$h^*_{ab,a}$
O _{Ma}	35.06	60.0	44.0	74.4	36	
Y _{Ma}	83.77	-5.17	109.32	109.44	93	
L _{Ma}	44.13	-62.67	48.24	79.09	142	
C _{Ma}	52.66	-29.14	-31.99	43.27	228	
V _{Ma}	14.15	50.3	-59.04	77.57	310	
M _{Ma}	37.37	78.64	-33.5	85.48	337	
N _{Ma}	8.58	0.0	0.0	0.0	0	
W _{Ma}	92.02	0.0	0.0	0.0	0	
R _{Ma}	39.92	58.74	27.99	65.07	25	
J _{Ma}	81.26	-2.89	71.56	71.62	92	
G _{Ma}	52.23	-42.42	13.6	44.55	162	
B _{Ma}	30.57	1.41	-46.47	46.49	272	

$u^*_e = r75j$
 $LAB^*LAB^*_a$

Daten für Maximalfarbe (Ma):

$LAB^*LAB^*_Ma: 64\ 21\ 83$

$LAB^*LCH^*_Ma: 64\ 86\ 75$

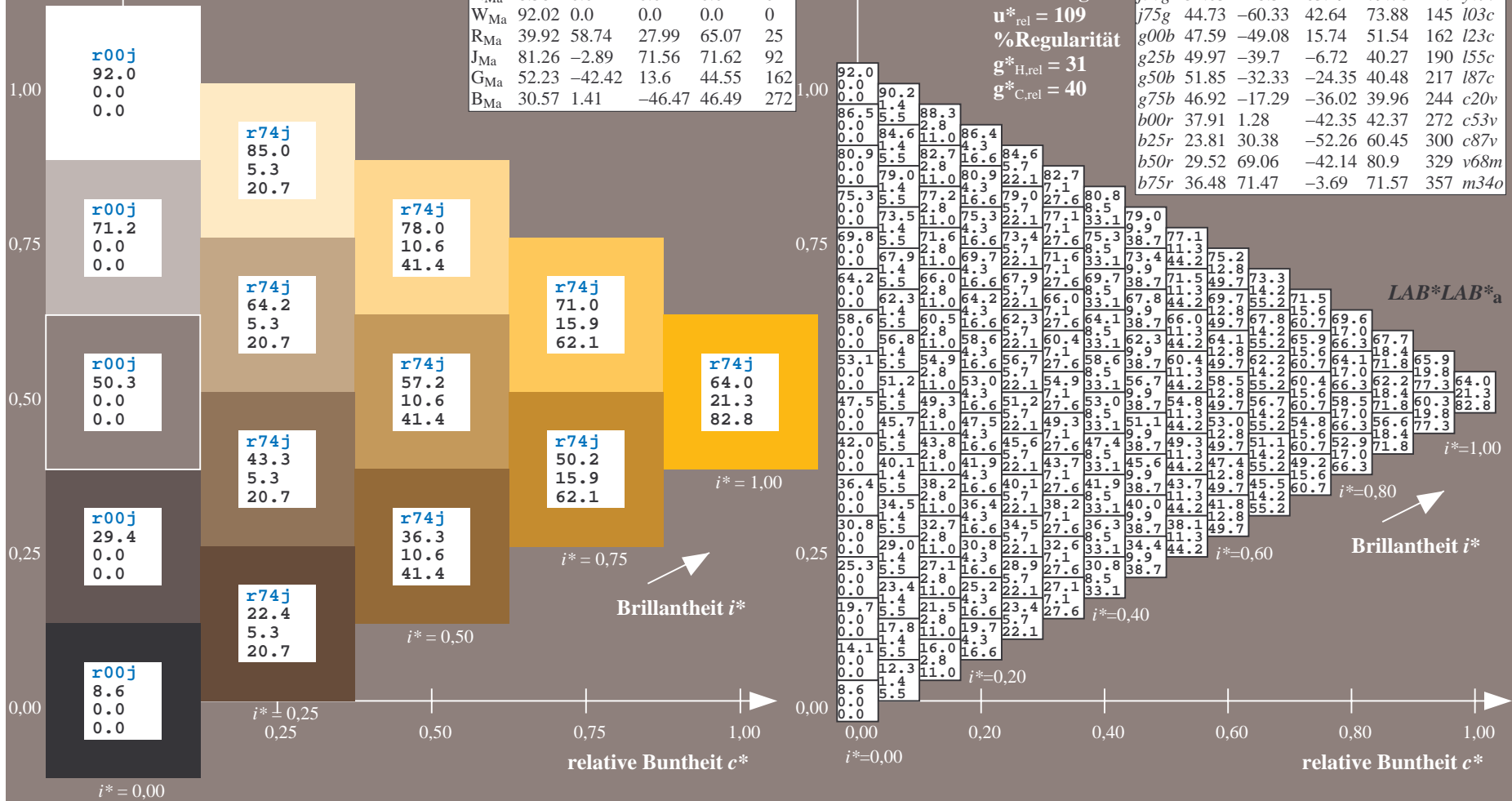
$lab^*rgb^*_Ma: 1.0\ 0.75\ 0.0$

$lab^*olv^*_Ma: 1.0\ 0.7\ 0.0$

Dreiecks-Helligkeit t^*

FRS09_92a; adaptierte CIELAB-Daten

	u^*_e	$L^*=L^*_a$	a^*_a	b^*_a	$C^*_{ab,a}$	$h^*_{ab,a}$	u^*_d
r00j	35.47	63.32	30.17	70.15	25	m81o	
r25j	39.12	54.56	49.45	73.64	42	o10y	
r50j	50.64	39.15	64.89	75.79	59	o40y	
r75j	64.01	21.26	82.83	85.52	76	o69y	
j00g	83.18	-4.38	108.53	108.62	92	o98y	
j25g	66.73	-29.89	83.06	88.28	110	y34l	
j50g	54.03	-48.31	63.49	79.78	127	y69l	
j75g	44.73	-60.33	42.64	73.88	145	i03c	
g00b	47.59	-49.08	15.74	51.54	162	i23c	
g25b	49.97	-39.7	-6.72	40.27	190	i55c	
g50b	51.85	-32.33	-24.35	40.48	217	i87c	
g75b	46.92	-17.29	-36.02	39.96	244	c20v	
b00r	37.91	1.28	-42.35	42.37	272	c53v	
b25r	23.81	30.38	-52.26	60.45	300	c87v	
b50r	29.52	69.06	-42.14	80.9	329	v68m	
b75r	36.48	71.47	-3.69	71.57	357	m34o	



Ein und Ausgabe: Farbmatisches Drucker-Reflektiv-System FRS09_92a für relativen CIELAB-Bunton $h^* = lab^*h^* = h_{ab}/360 = 0.256$

$u^*_e = j00g$
 $LAB^*LAB^*_a$

Daten für jede Farbe:

lab^*ch^* und lab^*icu^*

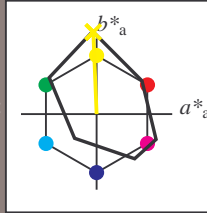
Buntontexte:

$u^*_e = j00g$ $u^*_d = o98y$

Kontrastreduzierungsfaktor:

$c_R = 1.0$

Dreiecks-Helligkeit t^*



FRS09_92a; adaptierte CIELAB-Daten

u^*_e	$L^*=L^*_a$	a^*_a	b^*_a	$C^*_{ab,a}$	$h^*_{ab,a}$
O _{Ma}	35.06	60.0	44.0	74.4	36
Y _{Ma}	83.77	-5.17	109.32	109.44	93
L _{Ma}	44.13	-62.67	48.24	79.09	142
C _{Ma}	52.66	-29.14	-31.99	43.27	228
V _{Ma}	14.15	50.3	-59.04	77.57	310
M _{Ma}	37.37	78.64	-33.5	85.48	337
N _{Ma}	8.58	0.0	0.0	0.0	0
W _{Ma}	92.02	0.0	0.0	0.0	0
R _{Ma}	39.92	58.74	27.99	65.07	25
J _{Ma}	81.26	-2.89	71.56	71.62	92
G _{Ma}	52.23	-42.42	13.6	44.55	162
B _{Ma}	30.57	1.41	-46.47	46.49	272

Daten für Maximalfarbe (Ma):

$LAB^*LAB^*_Ma$: 83 -4 109

$LAB^*LCH^*_Ma$: 83 109 92

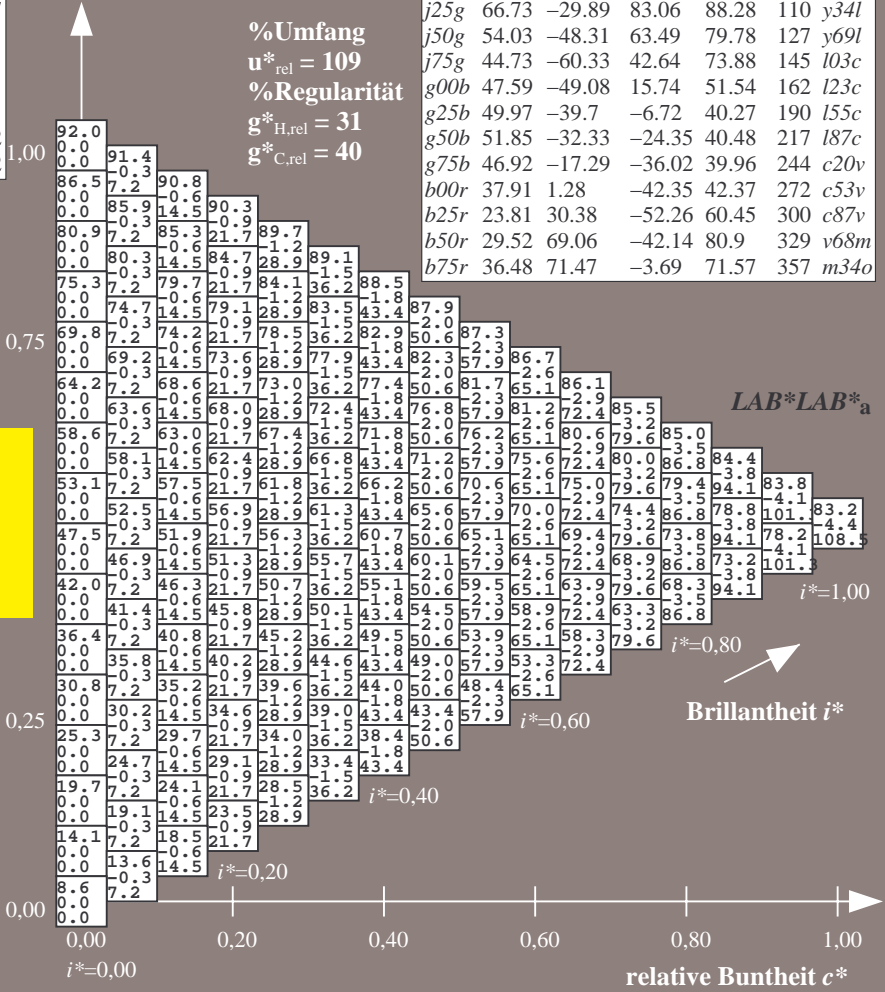
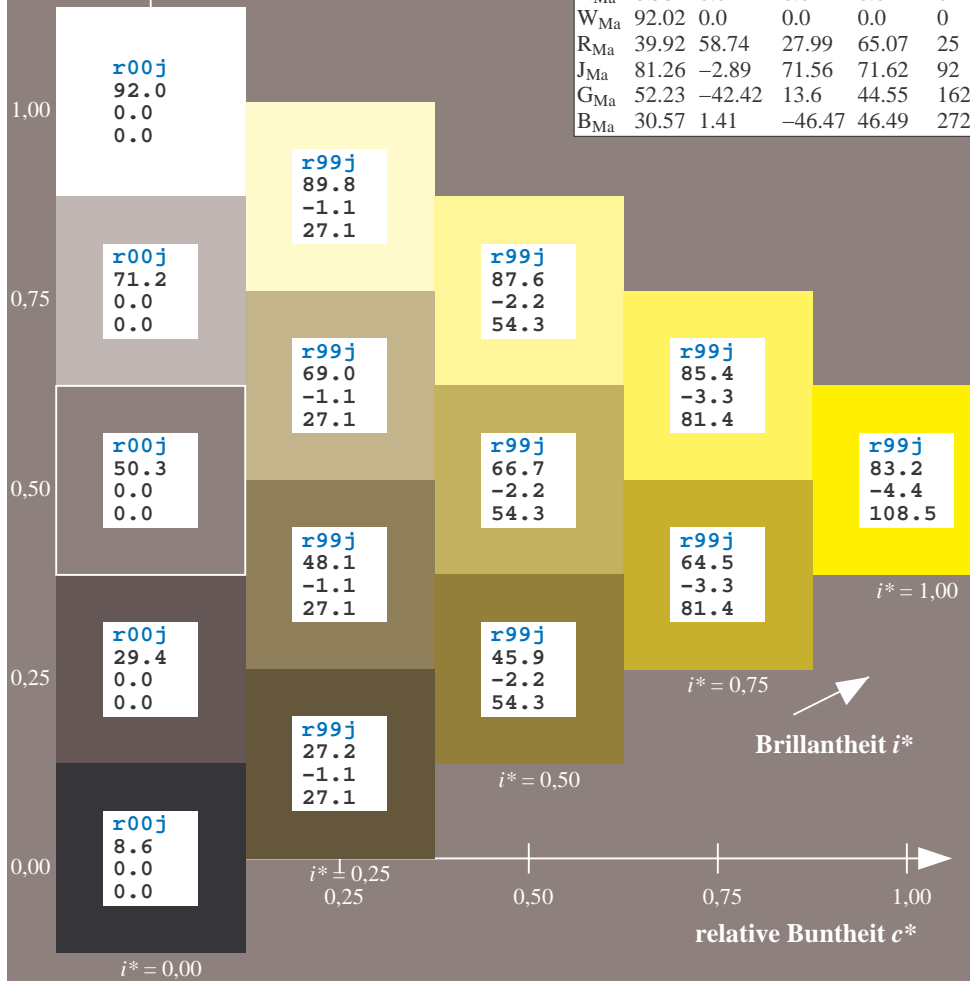
$lab^*rgb^*_Ma$: 1.0 1.0 0.0

$lab^*olv^*_Ma$: 1.0 0.99 0.0

Dreiecks-Helligkeit t^*

FRS09_92a; adaptierte CIELAB-Daten

u^*_e	$L^*=L^*_a$	a^*_a	b^*_a	$C^*_{ab,a}$	$h^*_{ab,a}$	u^*_d
r00j	35.47	63.32	30.17	70.15	25	m81o
r25j	39.12	54.56	49.45	73.64	42	o10y
r50j	50.64	39.15	64.89	75.79	59	o40y
r75j	64.01	21.26	82.83	85.52	76	o69y
j00g	83.18	-4.38	108.53	108.62	92	o98y
j25g	66.73	-29.89	83.06	88.28	110	y34l
j50g	54.03	-48.31	63.49	79.78	127	y69l
j75g	44.73	-60.33	42.64	73.88	145	l03c
g00b	47.59	-49.08	15.74	51.54	162	l23c
g25b	49.97	-39.7	-6.72	40.27	190	l55c
g50b	51.85	-32.33	-24.35	40.48	217	l87c
g75b	46.92	-17.29	-36.02	39.96	244	c20v
b00r	37.91	1.28	-42.35	42.37	272	c53v
b25r	23.81	30.38	-52.26	60.45	300	c87v
b50r	29.52	69.06	-42.14	80.9	329	v68m
b75r	36.48	71.47	-3.69	71.57	357	m34o



%Umfang
 $u^*_{rel} = 109$
%Regularität
 $g^*_{H,rel} = 31$
 $g^*_{C,rel} = 40$

$LAB^*LAB^*_a$

Brillanz i^*

relative Buntheit c^*

Ein und Ausgabe: Farbmatisches Drucker-Reflektiv-System FRS09_92a für relativen CIELAB-Bunton $h^* = lab \cdot h^* = h_{ab}/360 = 0.305$

Daten für jede Farbe:

$lab \cdot tch^*$ und $lab \cdot icu^*$

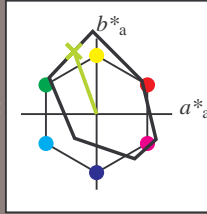
Buntontexte:

$u^*_e = j25g$ $u^*_d = y34l$

Kontrastreduzierungsfaktor:

$c_R = 1.0$

Dreiecks-Helligkeit t^*



FRS09_92a; adaptierte CIELAB-Daten

u^*_e	$L^*=L^*_a$	a^*_a	b^*_a	$C^*_{ab,a}$	$h^*_{ab,a}$
O _{Ma}	35.06	60.0	44.0	74.4	36
Y _{Ma}	83.77	-5.17	109.32	109.44	93
L _{Ma}	44.13	-62.67	48.24	79.09	142
C _{Ma}	52.66	-29.14	-31.99	43.27	228
V _{Ma}	14.15	50.3	-59.04	77.57	310
M _{Ma}	37.37	78.64	-33.5	85.48	337
N _{Ma}	8.58	0.0	0.0	0.0	0
W _{Ma}	92.02	0.0	0.0	0.0	0
R _{Ma}	39.92	58.74	27.99	65.07	25
J _{Ma}	81.26	-2.89	71.56	71.62	92
G _{Ma}	52.23	-42.42	13.6	44.55	162
B _{Ma}	30.57	1.41	-46.47	46.49	272

$u^*_e = j25g$
 $LAB^*LAB^*_a$

Daten für Maximalfarbe (Ma):

$LAB^*LAB^*_Ma: 67 -30 83$

$LAB^*LCH^*_Ma: 67 88 109$

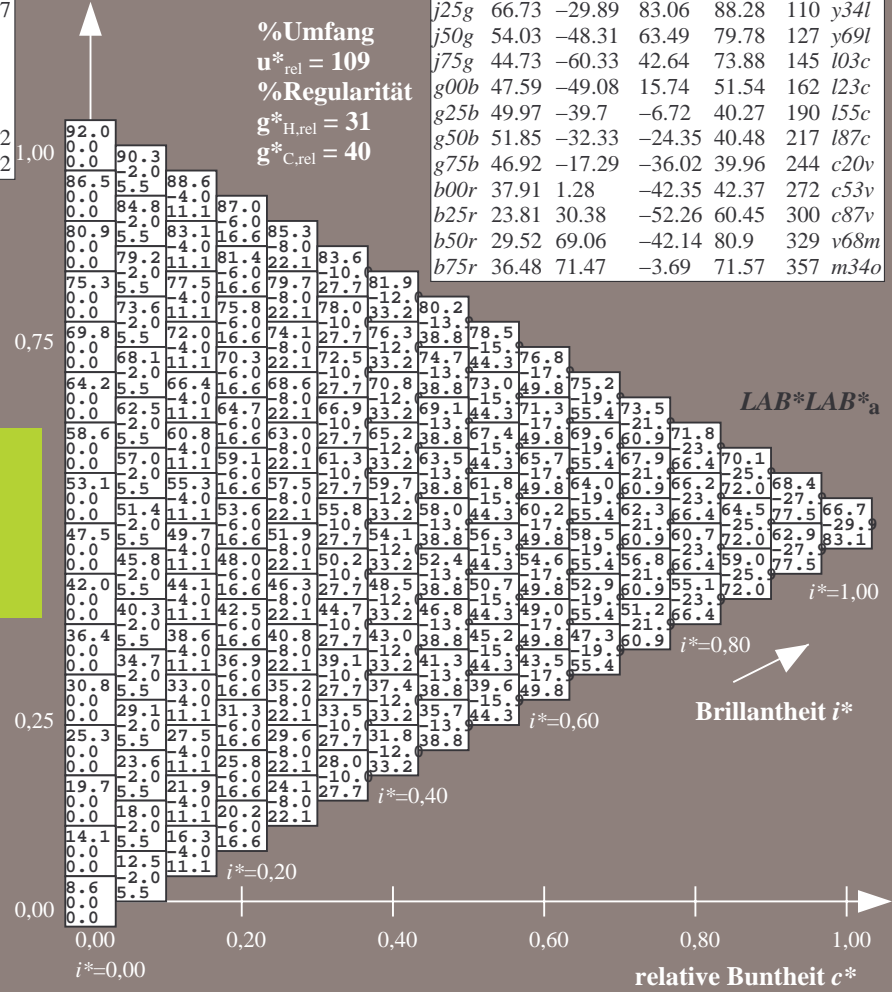
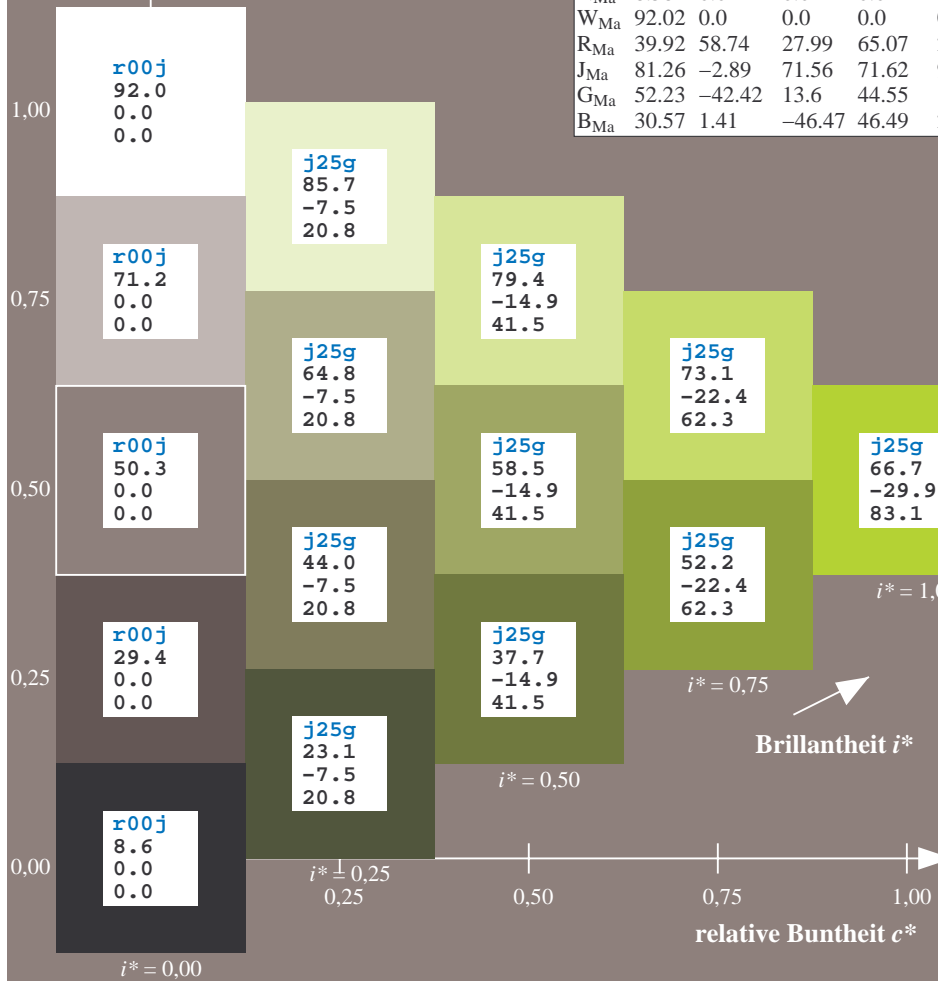
$lab^*rgb^*_Ma: 0.75 1.0 0.0$

$lab^*olv^*_Ma: 0.66 1.0 0.0$

Dreiecks-Helligkeit t^*

FRS09_92a; adaptierte CIELAB-Daten

u^*_e	$L^*=L^*_a$	a^*_a	b^*_a	$C^*_{ab,a}$	$h^*_{ab,a}$	u^*_d
r00j	35.47	63.32	30.17	70.15	25	m81o
r25j	39.12	54.56	49.45	73.64	42	o10y
r50j	50.64	39.15	64.89	75.79	59	o40y
r75j	64.01	21.26	82.83	85.52	76	o69y
j00g	83.18	-4.38	108.53	108.62	92	o98y
j25g	66.73	-29.89	83.06	88.28	110	y34l
j50g	54.03	-48.31	63.49	79.78	127	y69l
j75g	44.73	-60.33	42.64	73.88	145	l03c
g00b	47.59	-49.08	15.74	51.54	162	l23c
g25b	49.97	-39.7	-6.72	40.27	190	l55c
g50b	51.85	-32.33	-24.35	40.48	217	l87c
g75b	46.92	-17.29	-36.02	39.96	244	c20v
b00r	37.91	1.28	-42.35	42.37	272	c53v
b25r	23.81	30.38	-52.26	60.45	300	c87v
b50r	29.52	69.06	-42.14	80.9	329	v68m
b75r	36.48	71.47	-3.69	71.57	357	m34o



%Umfang
 $u^*_{rel} = 109$
%Regularität
 $g^*_{H,rel} = 31$
 $g^*_{C,rel} = 40$

Ein und Ausgabe: Farbmatisches Drucker-Reflektiv-System FRS09_92a für relativen CIELAB-Bunton $h^* = lab \cdot h^* = h_{ab}/360 = 0.354$

$u^*_e = j50g$
 $LAB^*LAB^*_a$

Daten für jede Farbe:

lab^*tch^* und lab^*icu^*

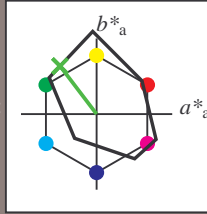
Buntontexte:

$u^*_e = j50g$ $u^*_d = y69l$

Kontrastreduzierungsfaktor:

$c_R = 1.0$

Dreiecks-Helligkeit t^*



FRS09_92a; adaptierte CIELAB-Daten

u^*_e	$L^*=L^*_a$	a^*_a	b^*_a	$C^*_{ab,a}$	$h^*_{ab,a}$
O _{Ma}	35.06	60.0	44.0	74.4	36
Y _{Ma}	83.77	-5.17	109.32	109.44	93
L _{Ma}	44.13	-62.67	48.24	79.09	142
C _{Ma}	52.66	-29.14	-31.99	43.27	228
V _{Ma}	14.15	50.3	-59.04	77.57	310
M _{Ma}	37.37	78.64	-33.5	85.48	337
N _{Ma}	8.58	0.0	0.0	0.0	0
W _{Ma}	92.02	0.0	0.0	0.0	0
R _{Ma}	39.92	58.74	27.99	65.07	25
J _{Ma}	81.26	-2.89	71.56	71.62	92
G _{Ma}	52.23	-42.42	13.6	44.55	162
B _{Ma}	30.57	1.41	-46.47	46.49	272

Daten für Maximalfarbe (Ma):

$LAB^*LAB^*_Ma: 54 -48 63$

$LAB^*LCH^*_Ma: 54 80 127$

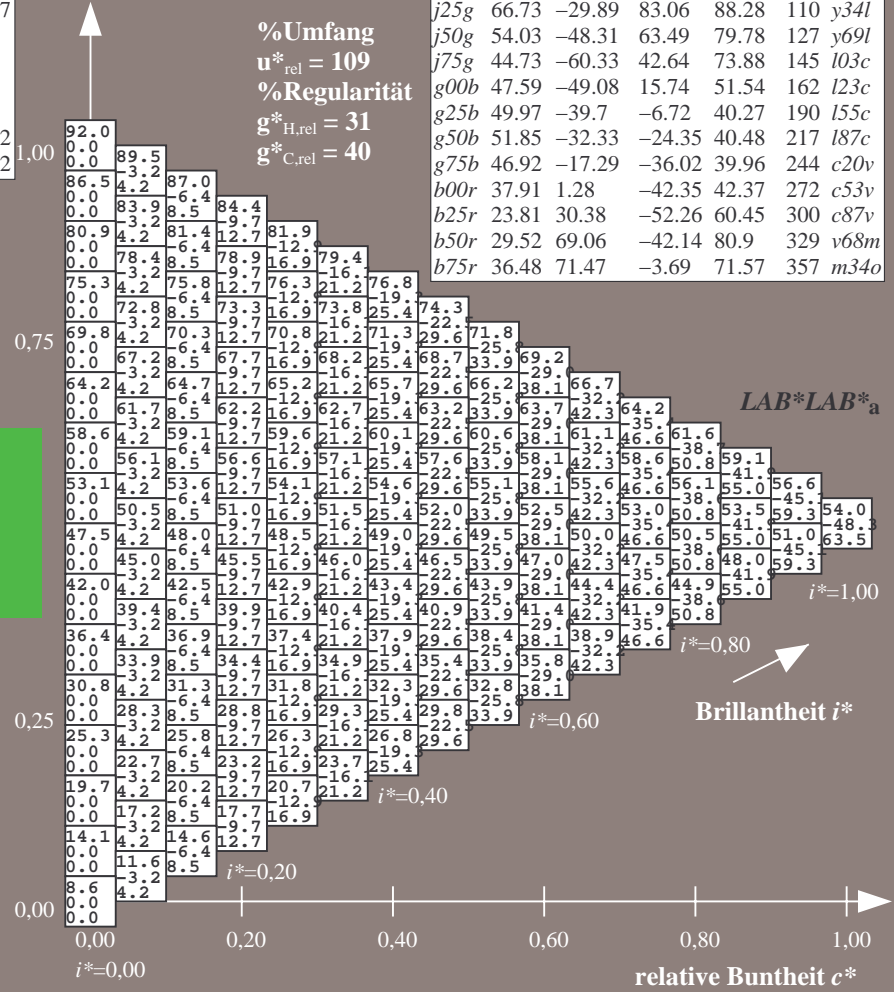
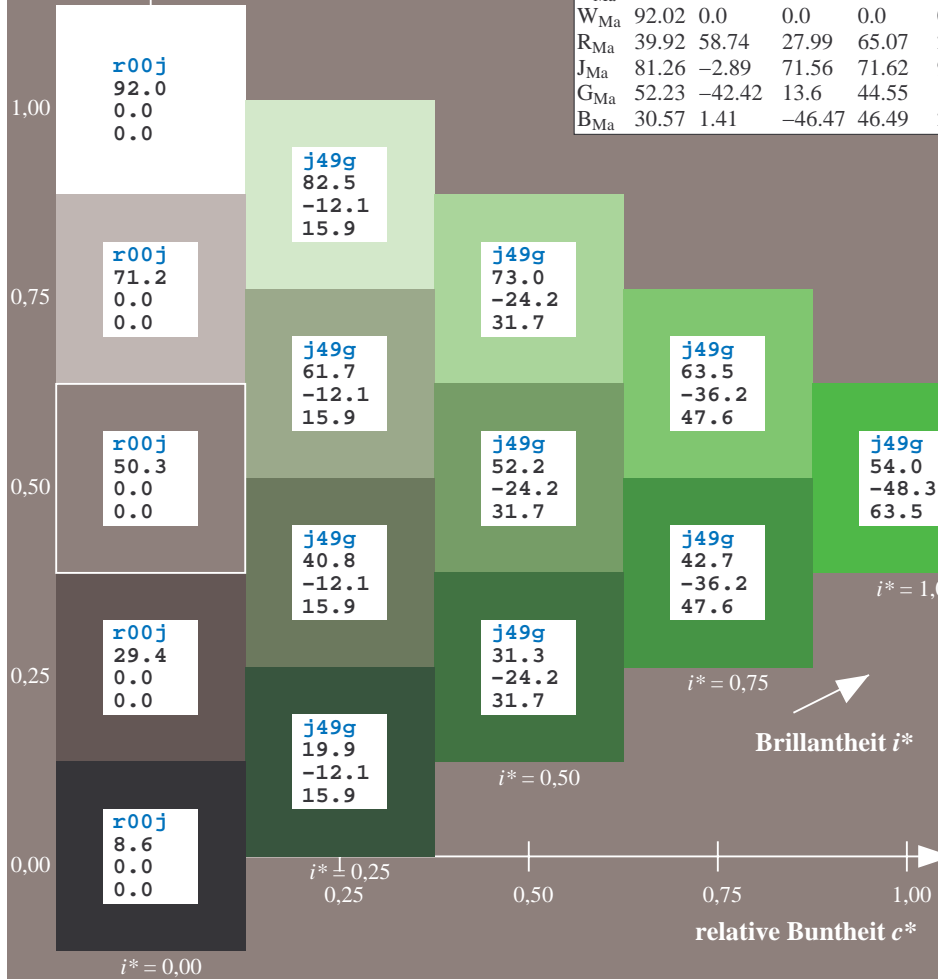
$lab^*rgb^*_Ma: 0.5 1.0 0.0$

$lab^*olv^*_Ma: 0.3 1.0 0.0$

Dreiecks-Helligkeit t^*

FRS09_92a; adaptierte CIELAB-Daten

u^*_e	$L^*=L^*_a$	a^*_a	b^*_a	$C^*_{ab,a}$	$h^*_{ab,a}$	u^*_d
r00j	35.47	63.32	30.17	70.15	25	m81o
r25j	39.12	54.56	49.45	73.64	42	o10y
r50j	50.64	39.15	64.89	75.79	59	o40y
r75j	64.01	21.26	82.83	85.52	76	o69y
j00g	83.18	-4.38	108.53	108.62	92	o98y
j25g	66.73	-29.89	83.06	88.28	110	y34l
j50g	54.03	-48.31	63.49	79.78	127	y69l
j75g	44.73	-60.33	42.64	73.88	145	l03c
g00b	47.59	-49.08	15.74	51.54	162	l23c
g25b	49.97	-39.7	-6.72	40.27	190	l55c
g50b	51.85	-32.33	-24.35	40.48	217	l87c
g75b	46.92	-17.29	-36.02	39.96	244	c20v
b00r	37.91	1.28	-42.35	42.37	272	c53v
b25r	23.81	30.38	-52.26	60.45	300	c87v
b50r	29.52	69.06	-42.14	80.9	329	v68m
b75r	36.48	71.47	-3.69	71.57	357	m34o



%Umfang
 $u^*_{rel} = 109$
%Regularität
 $g^*_{H,rel} = 31$
 $g^*_{C,rel} = 40$

$LAB^*LAB^*_a$

Brillantheit i^*

$i^* = 1.00$

$i^* = 0.80$

$i^* = 0.60$

$i^* = 0.40$

$i^* = 0.20$

$i^* = 0.00$

Ein und Ausgabe: Farbmatisches Drucker-Reflektiv-System FRS09_92a für relativen CIELAB-Bunton $h^* = lab \cdot h^* = h_{ab}/360 = 0.402$

Daten für jede Farbe:

$lab \cdot tch^*$ und $lab \cdot icu^*$

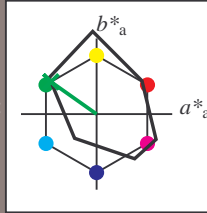
Buntontexte:

$u^*_e = j75g$ $u^*_d = l03c$

Kontrastreduzierungsfaktor:

$c_R = 1.0$

Dreiecks-Helligkeit t^*



FRS09_92a; adaptierte CIELAB-Daten

u^*_e	$L^*=L^*_a$	a^*_a	b^*_a	$C^*_{ab,a}$	$h^*_{ab,a}$
O _{Ma}	35.06	60.0	44.0	74.4	36
Y _{Ma}	83.77	-5.17	109.32	109.44	93
L _{Ma}	44.13	-62.67	48.24	79.09	142
C _{Ma}	52.66	-29.14	-31.99	43.27	228
V _{Ma}	14.15	50.3	-59.04	77.57	310
M _{Ma}	37.37	78.64	-33.5	85.48	337
N _{Ma}	8.58	0.0	0.0	0.0	0
W _{Ma}	92.02	0.0	0.0	0.0	0
R _{Ma}	39.92	58.74	27.99	65.07	25
J _{Ma}	81.26	-2.89	71.56	71.62	92
G _{Ma}	52.23	-42.42	13.6	44.55	162
B _{Ma}	30.57	1.41	-46.47	46.49	272

Daten für Maximalfarbe (Ma):

$LAB \cdot LAB^*_{Ma}$: 45 -60 43

$LAB \cdot LCH^*_{Ma}$: 45 74 144

$lab \cdot rgb^*_{Ma}$: 0.25 1.0 0.0

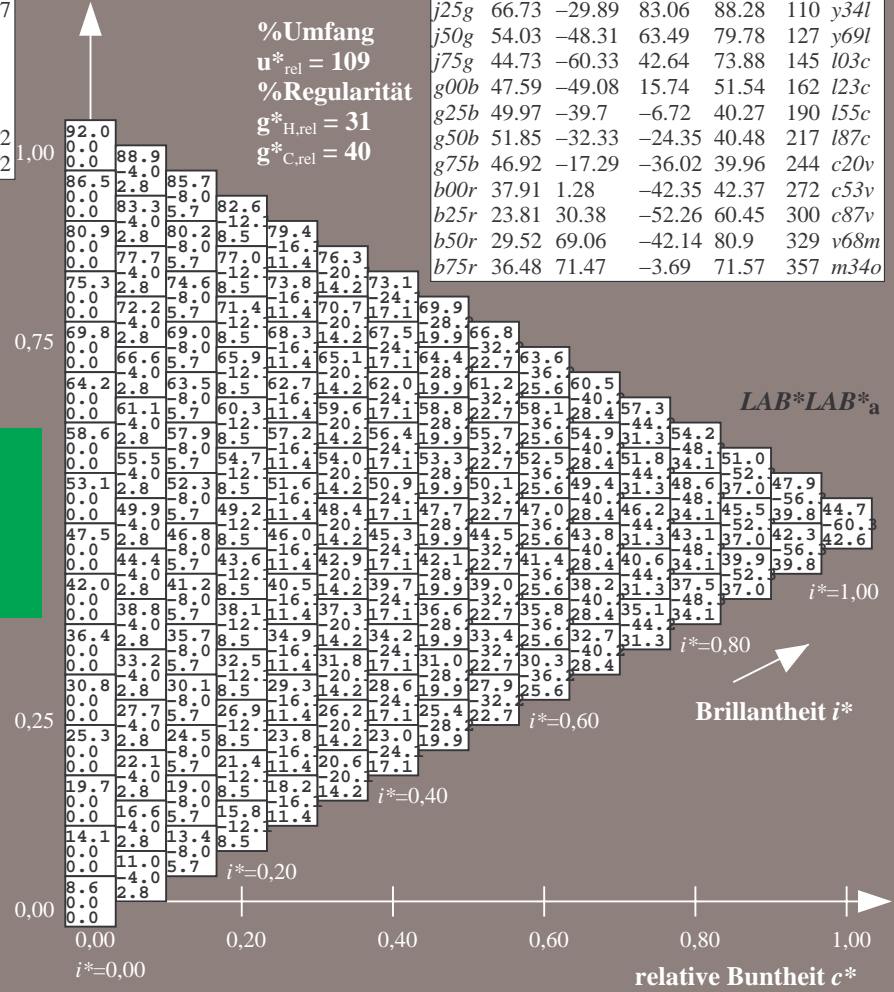
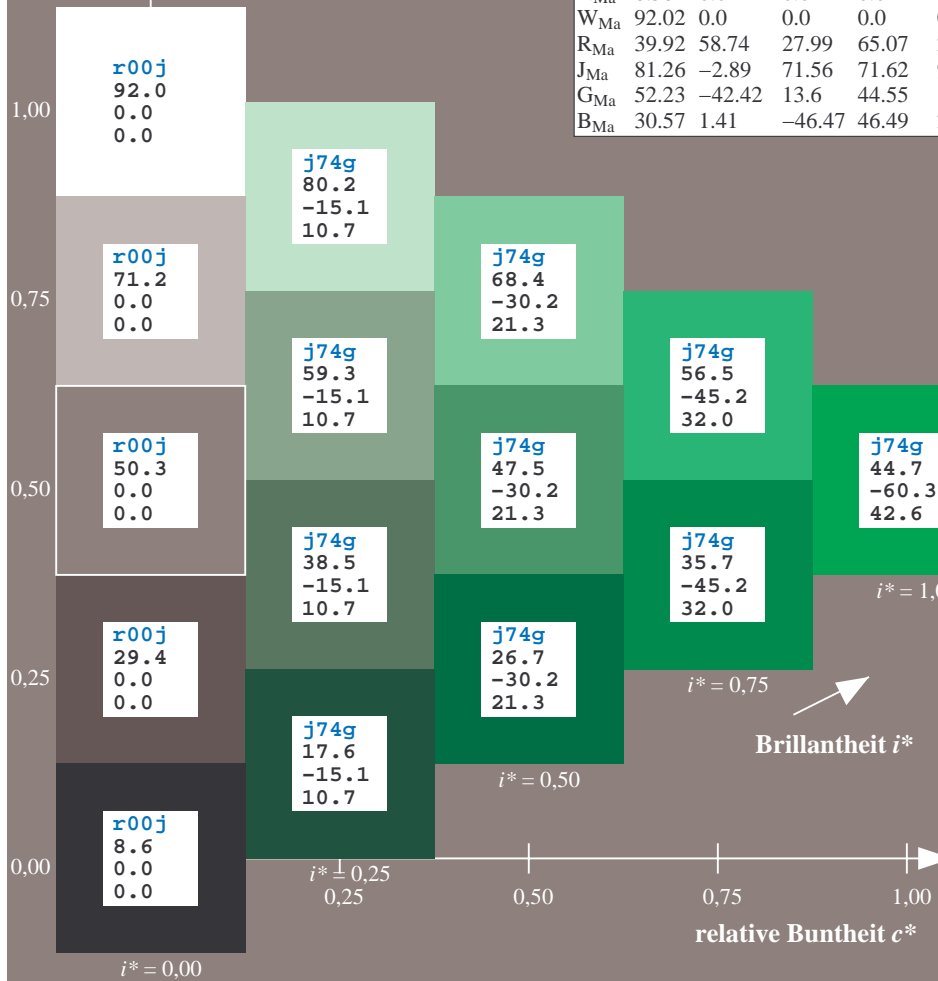
$lab \cdot olv^*_{Ma}$: 0.0 1.0 0.03

Dreiecks-Helligkeit t^*

FRS09_92a; adaptierte CIELAB-Daten

u^*_e	$L^*=L^*_a$	a^*_a	b^*_a	$C^*_{ab,a}$	$h^*_{ab,a}$	u^*_d
r00j	35.47	63.32	30.17	70.15	25	m81o
r25j	39.12	54.56	49.45	73.64	42	o10y
r50j	50.64	39.15	64.89	75.79	59	o40y
r75j	64.01	21.26	82.83	85.52	76	o69y
j00g	83.18	-4.38	108.53	108.62	92	o98y
j25g	66.73	-29.89	83.06	88.28	110	y34l
j50g	54.03	-48.31	63.49	79.78	127	y69l
j75g	44.73	-60.33	42.64	73.88	145	l03c
g00b	47.59	-49.08	15.74	51.54	162	i23c
g25b	49.97	-39.7	-6.72	40.27	190	i55c
g50b	51.85	-32.33	-24.35	40.48	217	i87c
g75b	46.92	-17.29	-36.02	39.96	244	c20v
b00r	37.91	1.28	-42.35	42.37	272	c53v
b25r	23.81	30.38	-52.26	60.45	300	c87v
b50r	29.52	69.06	-42.14	80.9	329	v68m
b75r	36.48	71.47	-3.69	71.57	357	m34o

$u^*_e = j75g$
 $LAB \cdot LAB^*_a$



Ein und Ausgabe: Farbmatisches Drucker-Reflektiv-System FRS09_92a für relativen CIELAB-Bunton $h^* = lab^*h^* = h_{ab}/360 = 0.451$

$u^*_e = g00b$
 $LAB^*LAB^*_a$

Daten für jede Farbe:

lab^*tch^* und lab^*icu^*

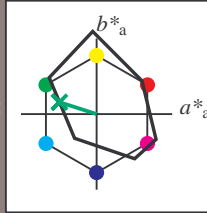
Buntontexte:

$u^*_e = g00b$ $u^*_d = l23c$

Kontrastreduzierungsfaktor:

$c_R = 1.0$

Dreiecks-Helligkeit t^*



FRS09_92a; adaptierte CIELAB-Daten

u^*_e	$L^*=L^*_a$	a^*_a	b^*_a	$C^*_{ab,a}$	$h^*_{ab,a}$
O _{Ma}	35.06	60.0	44.0	74.4	36
Y _{Ma}	83.77	-5.17	109.32	109.44	93
L _{Ma}	44.13	-62.67	48.24	79.09	142
C _{Ma}	52.66	-29.14	-31.99	43.27	228
V _{Ma}	14.15	50.3	-59.04	77.57	310
M _{Ma}	37.37	78.64	-33.5	85.48	337
N _{Ma}	8.58	0.0	0.0	0.0	0
W _{Ma}	92.02	0.0	0.0	0.0	0
R _{Ma}	39.92	58.74	27.99	65.07	25
J _{Ma}	81.26	-2.89	71.56	71.62	92
G _{Ma}	52.23	-42.42	13.6	44.55	162
B _{Ma}	30.57	1.41	-46.47	46.49	272

Daten für Maximalfarbe (Ma):

$LAB^*LAB^*_Ma$: 48 -49 16

$LAB^*LCH^*_Ma$: 48 52 162

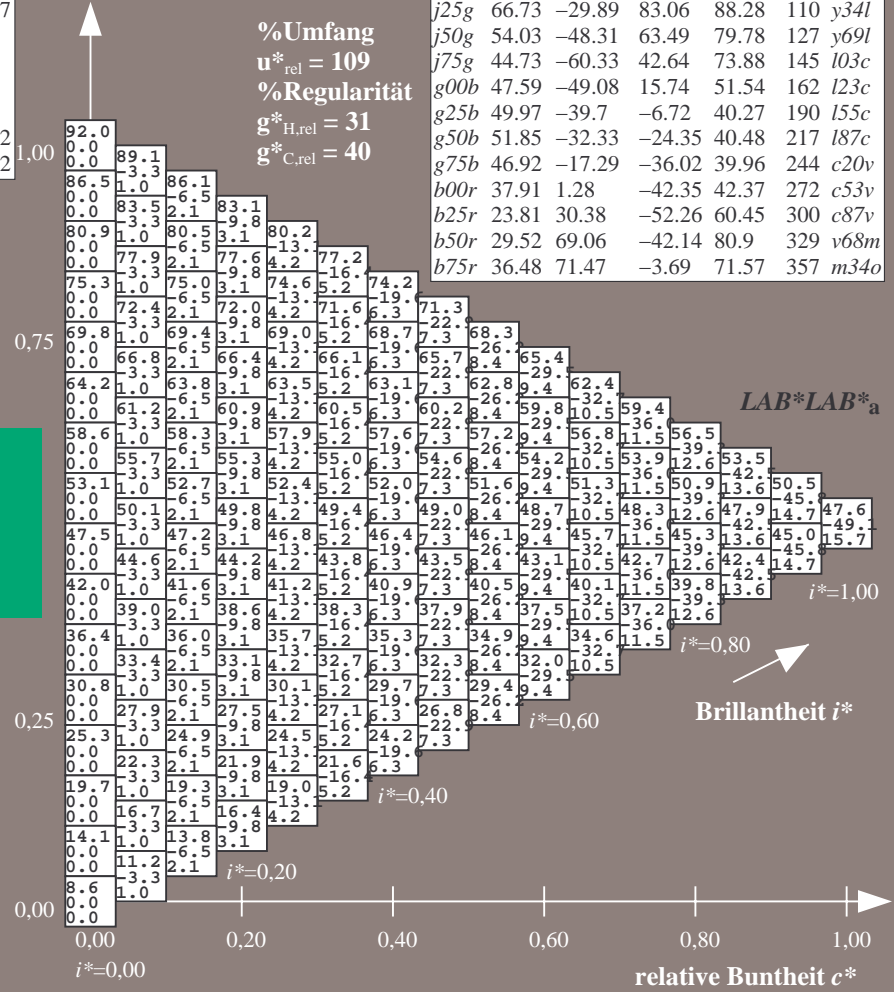
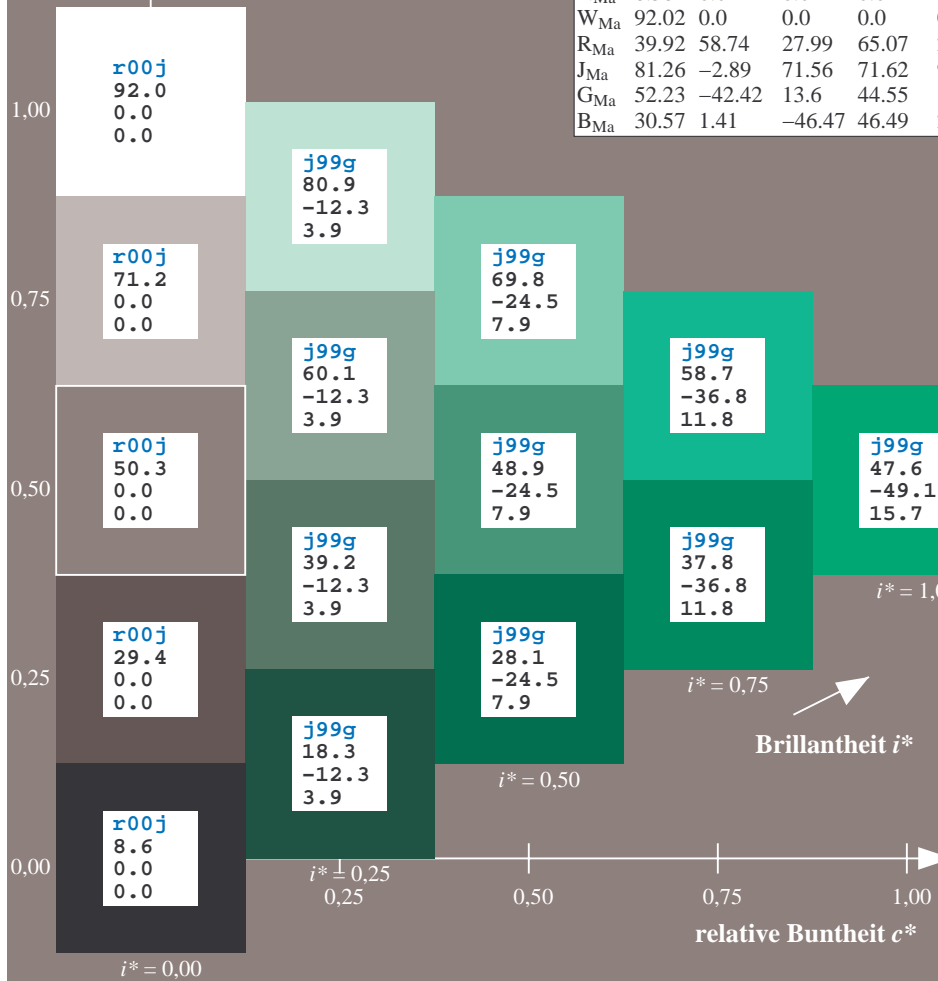
$lab^*rgb^*_Ma$: 0.0 1.0 0.0

$lab^*olv^*_Ma$: 0.0 1.0 0.23

Dreiecks-Helligkeit t^*

FRS09_92a; adaptierte CIELAB-Daten

u^*_e	$L^*=L^*_a$	a^*_a	b^*_a	$C^*_{ab,a}$	$h^*_{ab,a}$	u^*_d
r00j	35.47	63.32	30.17	70.15	25	m81o
r25j	39.12	54.56	49.45	73.64	42	o10y
r50j	50.64	39.15	64.89	75.79	59	o40y
r75j	64.01	21.26	82.83	85.52	76	o69y
j00g	83.18	-4.38	108.53	108.62	92	o98y
j25g	66.73	-29.89	83.06	88.28	110	y34l
j50g	54.03	-48.31	63.49	79.78	127	y69l
j75g	44.73	-60.33	42.64	73.88	145	l03c
g00b	47.59	-49.08	15.74	51.54	162	l23c
g25b	49.97	-39.7	-6.72	40.27	190	l55c
g50b	51.85	-32.33	-24.35	40.48	217	l87c
g75b	46.92	-17.29	-36.02	39.96	244	c20v
b00r	37.91	1.28	-42.35	42.37	272	c53v
b25r	23.81	30.38	-52.26	60.45	300	c87v
b50r	29.52	69.06	-42.14	80.9	329	v68m
b75r	36.48	71.47	-3.69	71.57	357	m34o



%Umfang
 $u^*_{rel} = 109$
%Regularität
 $g^*_{H,rel} = 31$
 $g^*_{C,rel} = 40$

$LAB^*LAB^*_a$

Brillantheit i^*

Ein und Ausgabe: Farbmatisches Drucker-Reflektiv-System FRS09_92a für relativen CIELAB-Bunton $h^* = lab^*h^* = h_{ab}/360 = 0.527$

$u^*_e = g25b$
LAB*LAB*a

Daten für jede Farbe:

lab^*tch^* und lab^*icu^*

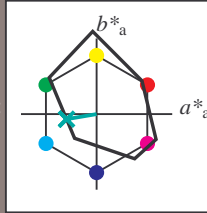
Buntontexte:

$u^*_e = g25b$ $u^*_d = l55c$

Kontrastreduzierungsfaktor:

$c_R = 1.0$

Dreiecks-Helligkeit t^*



FRS09_92a; adaptierte CIELAB-Daten

u^*_e	$L^*=L^*_a$	a^*_a	b^*_a	$C^*_{ab,a}$	$h^*_{ab,a}$
O _{Ma}	35.06	60.0	44.0	74.4	36
Y _{Ma}	83.77	-5.17	109.32	109.44	93
L _{Ma}	44.13	-62.67	48.24	79.09	142
C _{Ma}	52.66	-29.14	-31.99	43.27	228
V _{Ma}	14.15	50.3	-59.04	77.57	310
M _{Ma}	37.37	78.64	-33.5	85.48	337
N _{Ma}	8.58	0.0	0.0	0.0	0
W _{Ma}	92.02	0.0	0.0	0.0	0
R _{Ma}	39.92	58.74	27.99	65.07	25
J _{Ma}	81.26	-2.89	71.56	71.62	92
G _{Ma}	52.23	-42.42	13.6	44.55	162
B _{Ma}	30.57	1.41	-46.47	46.49	272

Daten für Maximalfarbe (Ma):

LAB*LAB*_{Ma}: 50 -40 -7

LAB*LCH*_{Ma}: 50 40 189

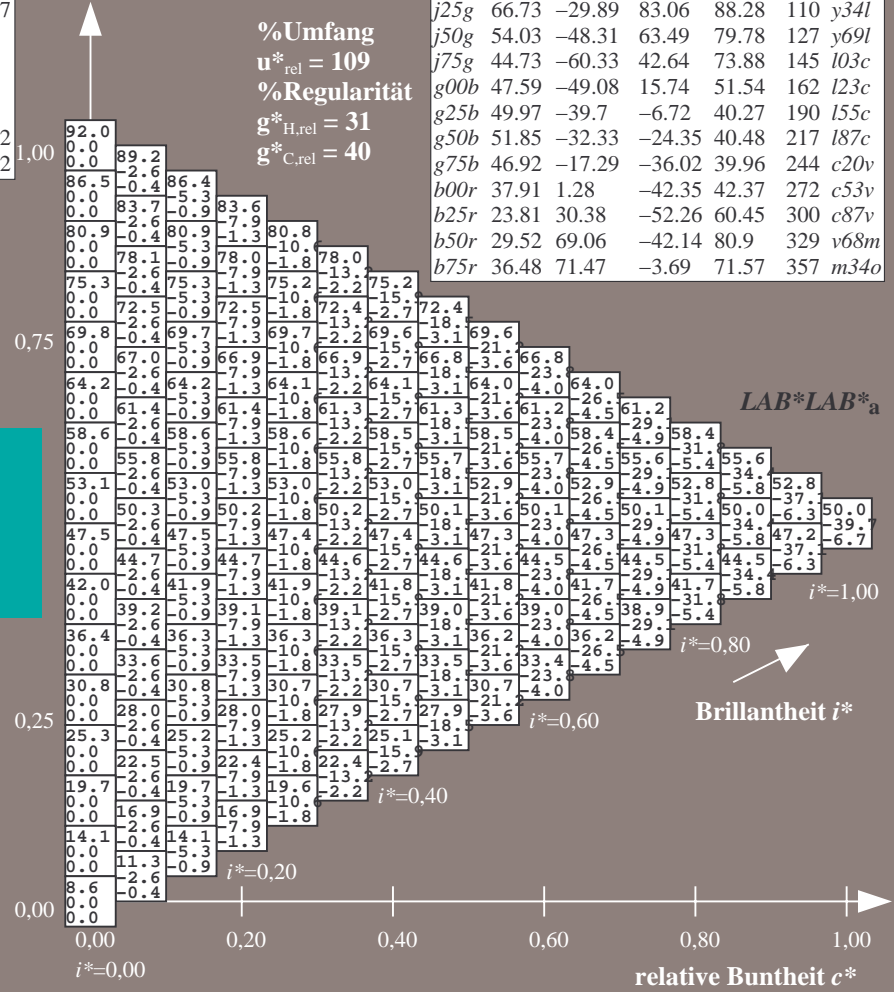
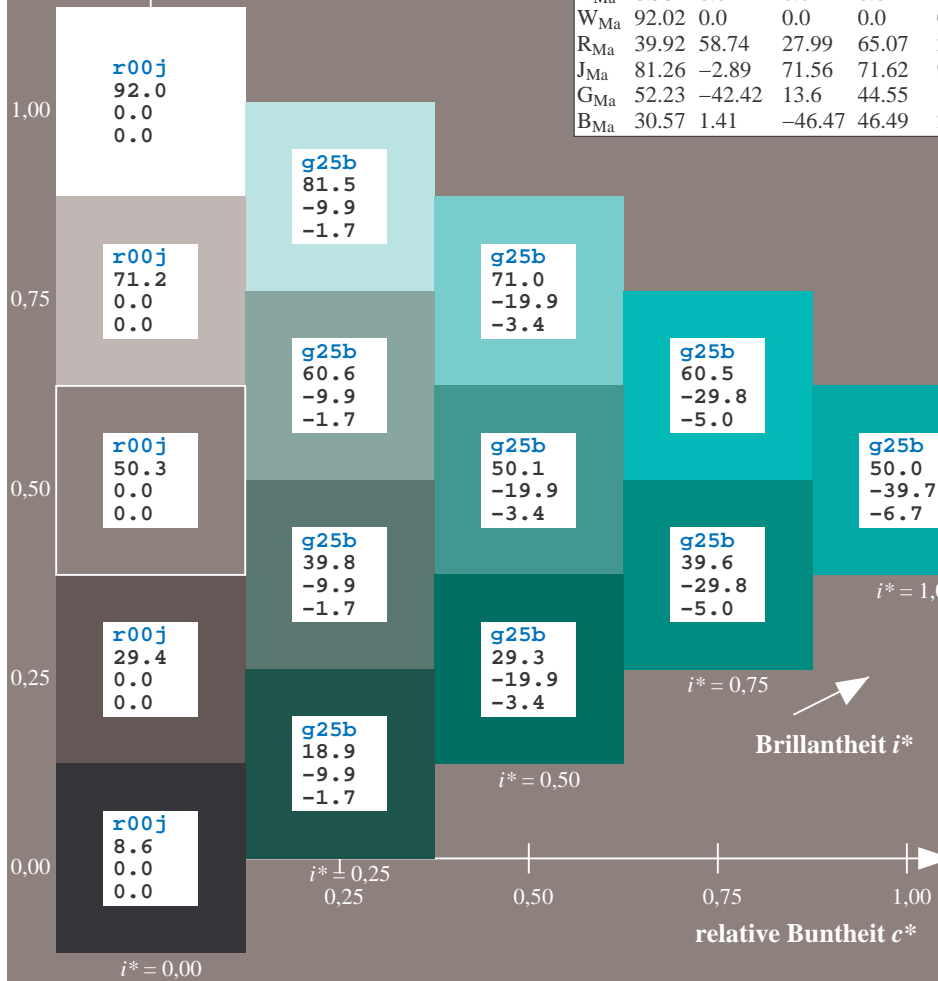
lab*rgb*_{Ma}: 0.0 1.0 0.5

lab*olv*_{Ma}: 0.0 1.0 0.55

Dreiecks-Helligkeit t^*

FRS09_92a; adaptierte CIELAB-Daten

u^*_e	$L^*=L^*_a$	a^*_a	b^*_a	$C^*_{ab,a}$	$h^*_{ab,a}$	u^*_d
r00j	35.47	63.32	30.17	70.15	25	m81o
r25j	39.12	54.56	49.45	73.64	42	o10y
r50j	50.64	39.15	64.89	75.79	59	o40y
r75j	64.01	21.26	82.83	85.52	76	o69y
j00g	83.18	-4.38	108.53	108.62	92	o98y
j25g	66.73	-29.89	83.06	88.28	110	y34l
j50g	54.03	-48.31	63.49	79.78	127	y69l
j75g	44.73	-60.33	42.64	73.88	145	l03c
g00b	47.59	-49.08	15.74	51.54	162	i23c
g25b	49.97	-39.7	-6.72	40.27	190	i55c
g50b	51.85	-32.33	-24.35	40.48	217	i87c
g75b	46.92	-17.29	-36.02	39.96	244	c20v
b00r	37.91	1.28	-42.35	42.37	272	c53v
b25r	23.81	30.38	-52.26	60.45	300	c87v
b50r	29.52	69.06	-42.14	80.9	329	v68m
b75r	36.48	71.47	-3.69	71.57	357	m34o



%Umfang
 $u^*_{rel} = 109$
%Regularität
 $g^*_{H,rel} = 31$
 $g^*_{C,rel} = 40$

Brillantheit i^*

Ein und Ausgabe: Farbmatisches Drucker-Reflektiv-System FRS09_92a für relativen CIELAB-Bunton $h^* = lab \cdot h^* = h_{ab}/360 = 0.603$

Daten für jede Farbe:

$lab \cdot tch^*$ und $lab \cdot icu^*$

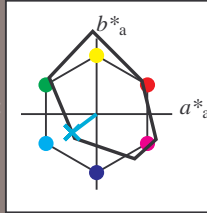
Buntontexte:

$u^*_e = g50b$ $u^*_d = l87c$

Kontrastreduzierungsfaktor:

$c_R = 1.0$

Dreiecks-Helligkeit t^*



FRS09_92a; adaptierte CIELAB-Daten

u^*_e	$L^*=L^*_a$	a^*_a	b^*_a	$C^*_{ab,a}$	$h^*_{ab,a}$
O _{Ma}	35.06	60.0	44.0	74.4	36
Y _{Ma}	83.77	-5.17	109.32	109.44	93
L _{Ma}	44.13	-62.67	48.24	79.09	142
C _{Ma}	52.66	-29.14	-31.99	43.27	228
V _{Ma}	14.15	50.3	-59.04	77.57	310
M _{Ma}	37.37	78.64	-33.5	85.48	337
N _{Ma}	8.58	0.0	0.0	0.0	0
W _{Ma}	92.02	0.0	0.0	0.0	0
R _{Ma}	39.92	58.74	27.99	65.07	25
J _{Ma}	81.26	-2.89	71.56	71.62	92
G _{Ma}	52.23	-42.42	13.6	44.55	162
B _{Ma}	30.57	1.41	-46.47	46.49	272

$u^*_e = g50b$
 $LAB^*LAB^*_a$

Daten für Maximalfarbe (Ma):

$LAB^*LAB^*_Ma: 52 -32 -24$

$LAB^*LCH^*_Ma: 52 40 216$

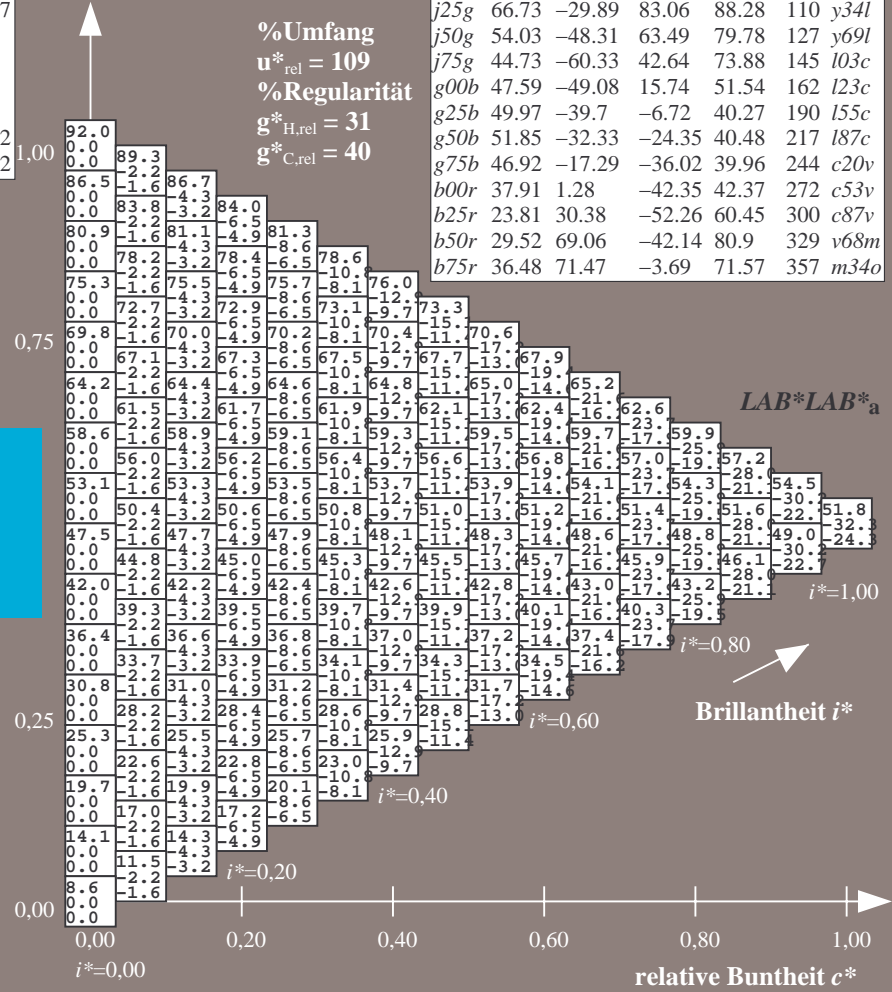
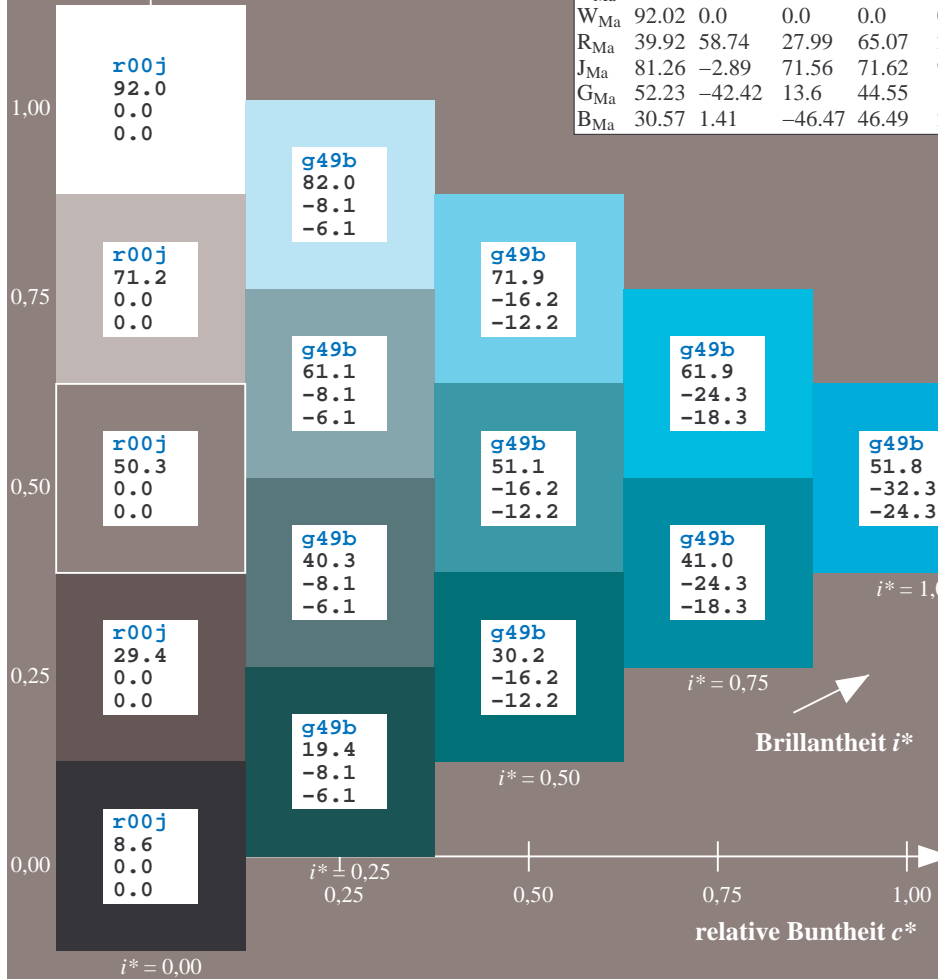
$lab^*rgb^*_Ma: 0.0 1.0 1.0$

$lab^*olv^*_Ma: 0.0 1.0 0.87$

Dreiecks-Helligkeit t^*

FRS09_92a; adaptierte CIELAB-Daten

u^*_e	$L^*=L^*_a$	a^*_a	b^*_a	$C^*_{ab,a}$	$h^*_{ab,a}$	u^*_d
r00j	35.47	63.32	30.17	70.15	25	m81o
r25j	39.12	54.56	49.45	73.64	42	o10y
r50j	50.64	39.15	64.89	75.79	59	o40y
r75j	64.01	21.26	82.83	85.52	76	o69y
j00g	83.18	-4.38	108.53	108.62	92	o98y
j25g	66.73	-29.89	83.06	88.28	110	y34l
j50g	54.03	-48.31	63.49	79.78	127	y69l
j75g	44.73	-60.33	42.64	73.88	145	l03c
g00b	47.59	-49.08	15.74	51.54	162	l23c
g25b	49.97	-39.7	-6.72	40.27	190	l55c
g50b	51.85	-32.33	-24.35	40.48	217	l87c
g75b	46.92	-17.29	-36.02	39.96	244	c20v
b00r	37.91	1.28	-42.35	42.37	272	c53v
b25r	23.81	30.38	-52.26	60.45	300	c87v
b50r	29.52	69.06	-42.14	80.9	329	v68m
b75r	36.48	71.47	-3.69	71.57	357	m34o



Ein und Ausgabe: Farbmatisches Drucker-Reflektiv-System FRS09_92a für relativen CIELAB-Bunton $h^* = lab^*h^* = h_{ab}/360 = 0.679$

$u^*_e = g75b$
LAB*LAB*a

Daten für jede Farbe:

lab^*ch^* und lab^*icu^*

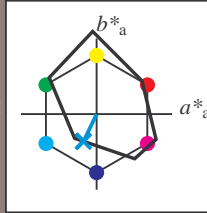
Buntontexte:

$u^*_e = g75b$ $u^*_d = c20v$

Kontrastreduzierungsfaktor:

$c_R = 1.0$

Dreiecks-Helligkeit t^*



FRS09_92a; adaptierte CIELAB-Daten

	u^*_e	$L^*=L^*_a$	a^*_a	b^*_a	$C^*_{ab,a}$	$h^*_{ab,a}$
O _{Ma}	35.06	60.0	44.0	74.4	36	
Y _{Ma}	83.77	-5.17	109.32	109.44	93	
L _{Ma}	44.13	-62.67	48.24	79.09	142	
C _{Ma}	52.66	-29.14	-31.99	43.27	228	
V _{Ma}	14.15	50.3	-59.04	77.57	310	
M _{Ma}	37.37	78.64	-33.5	85.48	337	
N _{Ma}	8.58	0.0	0.0	0.0	0	
W _{Ma}	92.02	0.0	0.0	0.0	0	
R _{Ma}	39.92	58.74	27.99	65.07	25	
J _{Ma}	81.26	-2.89	71.56	71.62	92	
G _{Ma}	52.23	-42.42	13.6	44.55	162	
B _{Ma}	30.57	1.41	-46.47	46.49	272	

Daten für Maximalfarbe (Ma):

LAB*LAB*_{Ma}: 47 -17 -36

LAB*LCH*_{Ma}: 47 40 244

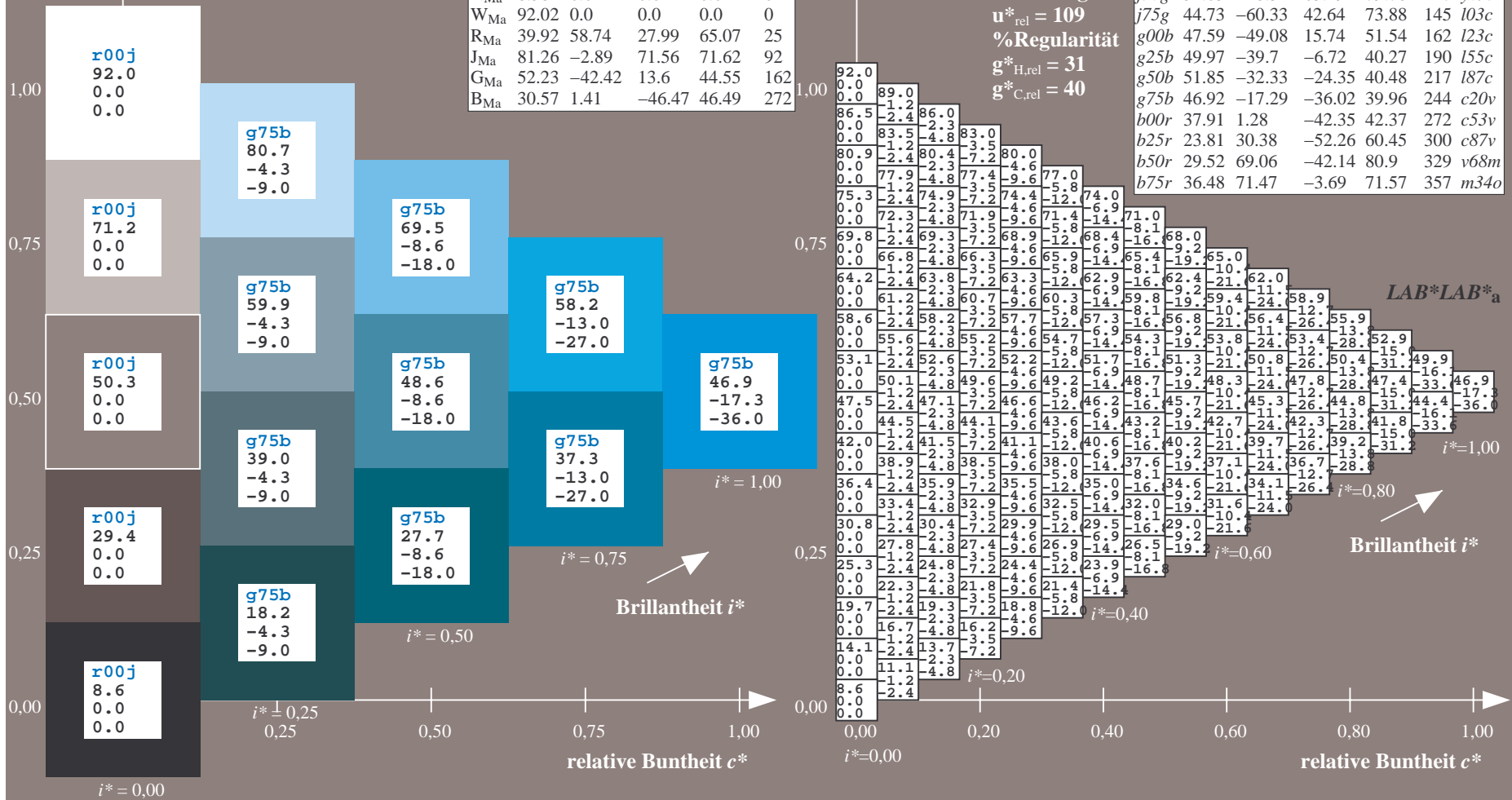
lab*rgb*_{Ma}: 0.0 0.5 1.0

lab*olv*_{Ma}: 0.0 0.8 1.0

Dreiecks-Helligkeit t^*

FRS09_92a; adaptierte CIELAB-Daten

	u^*_e	$L^*=L^*_a$	a^*_a	b^*_a	$C^*_{ab,a}$	$h^*_{ab,a}$	u^*_d
r00j	35.47	63.32	30.17	70.15	25	m81o	
r25j	39.12	54.56	49.45	73.64	42	o10y	
r50j	50.64	39.15	64.89	75.79	59	o40y	
r75j	64.01	21.26	82.83	85.52	76	o69y	
j00g	83.18	-4.38	108.53	108.62	92	o98y	
j25g	66.73	-29.89	83.06	88.28	110	y34l	
j50g	54.03	-48.31	63.49	79.78	127	y69l	
j75g	44.73	-60.33	42.64	73.88	145	i03c	
g00b	47.59	-49.08	15.74	51.54	162	i23c	
g25b	49.97	-39.7	-6.72	40.27	190	i55c	
g50b	51.85	-32.33	-24.35	40.48	217	i87c	
g75b	46.92	-17.29	-36.02	39.96	244	c20v	
b00r	37.91	1.28	-42.35	42.37	272	c53v	
b25r	23.81	30.38	-52.26	60.45	300	c87v	
b50r	29.52	69.06	-42.14	80.9	329	v68m	
b75r	36.48	71.47	-3.69	71.57	357	m34o	



Ein und Ausgabe: Farbmatisches Drucker-Reflektiv-System FRS09_92a für relativen CIELAB-Bunton $h^* = lab^*h^* = h_{ab}/360 = 0.755$

$u^*_e = b00r$
 $LAB^*LAB^*_a$

Daten für jede Farbe:

lab^*ch^* und lab^*icu^*

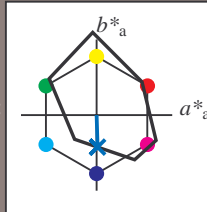
Buntontexte:

$u^*_e = b00r$ $u^*_d = c53v$

Kontrastreduzierungsfaktor:

$c_R = 1.0$

Dreiecks-Helligkeit t^*



FRS09_92a; adaptierte CIELAB-Daten

	u^*_e	$L^*=L^*_a$	a^*_a	b^*_a	$C^*_{ab,a}$	$h^*_{ab,a}$
O _{Ma}	35.06	60.0	44.0	74.4	36	
Y _{Ma}	83.77	-5.17	109.32	109.44	93	
L _{Ma}	44.13	-62.67	48.24	79.09	142	
C _{Ma}	52.66	-29.14	-31.99	43.27	228	
V _{Ma}	14.15	50.3	-59.04	77.57	310	
M _{Ma}	37.37	78.64	-33.5	85.48	337	
N _{Ma}	8.58	0.0	0.0	0.0	0	
W _{Ma}	92.02	0.0	0.0	0.0	0	
R _{Ma}	39.92	58.74	27.99	65.07	25	
J _{Ma}	81.26	-2.89	71.56	71.62	92	
G _{Ma}	52.23	-42.42	13.6	44.55	162	
B _{Ma}	30.57	1.41	-46.47	46.49	272	

Daten für Maximalfarbe (Ma):

$LAB^*LAB^*_Ma$: 38 1 -42

$LAB^*LCH^*_Ma$: 38 42 271

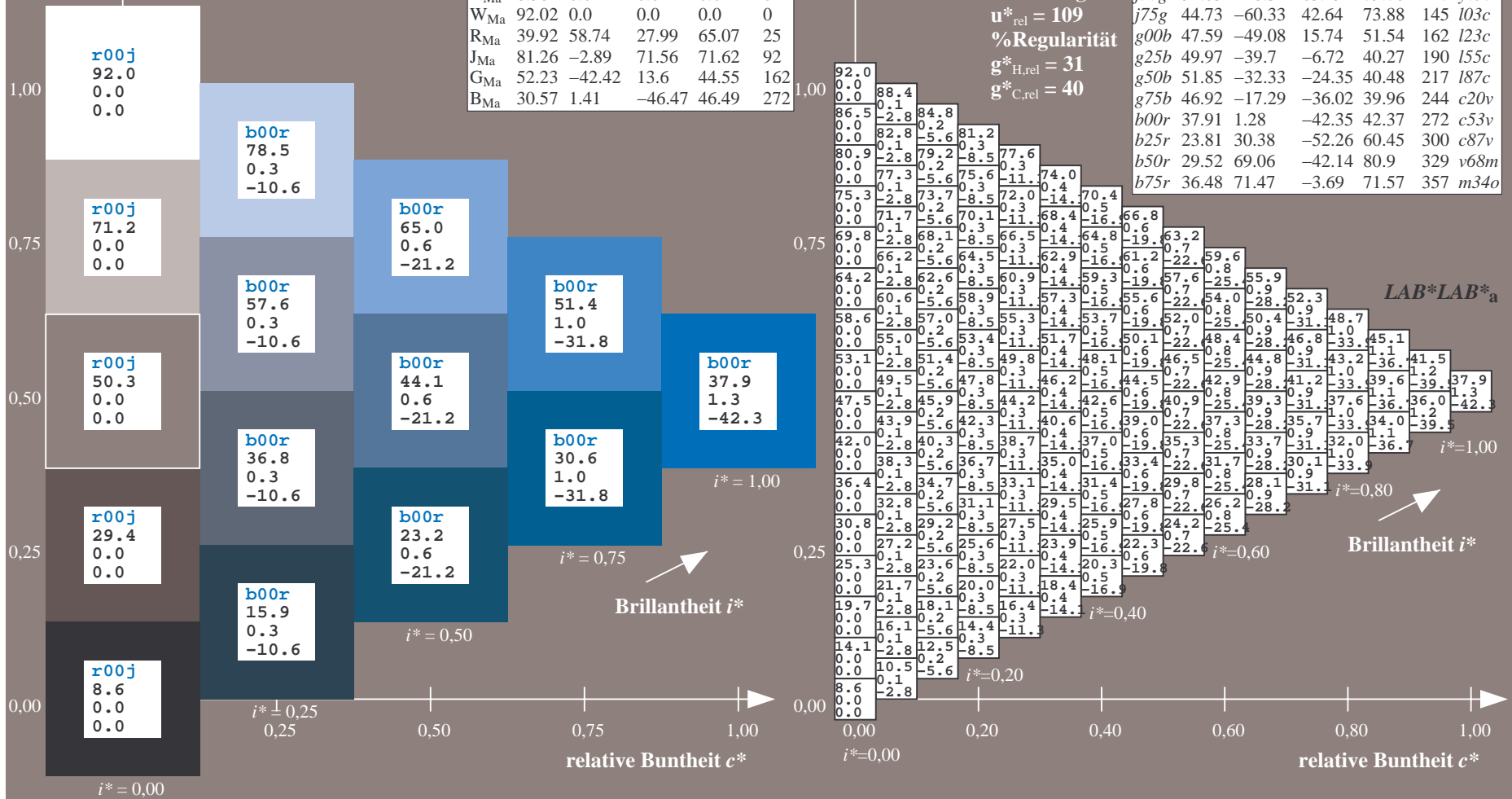
$lab^*rgb^*_Ma$: 0.0 0.0 1.0

$lab^*olv^*_Ma$: 0.0 0.47 1.0

Dreiecks-Helligkeit t^*

FRS09_92a; adaptierte CIELAB-Daten

	u^*_e	$L^*=L^*_a$	a^*_a	b^*_a	$C^*_{ab,a}$	$h^*_{ab,a}$	u^*_d
r00j	35.47	63.32	30.17	70.15	25	m81o	
r25j	39.12	54.56	49.45	73.64	42	o10y	
r50j	50.64	39.15	64.89	75.79	59	o40y	
r75j	64.01	21.26	82.83	85.52	76	o69y	
j00g	83.18	-4.38	108.53	108.62	92	o98y	
j25g	66.73	-29.89	83.06	88.28	110	y34l	
j50g	54.03	-48.31	63.49	79.78	127	y69l	
j75g	44.73	-60.33	42.64	73.88	145	103c	
g00b	47.59	-49.08	15.74	51.54	162	i23c	
g25b	49.97	-39.7	-6.72	40.27	190	i55c	
g50b	51.85	-32.33	-24.35	40.48	217	i87c	
g75b	46.92	-17.29	-36.02	39.96	244	c20v	
b00r	37.91	1.28	-42.35	42.37	272	c53v	
b25r	23.81	30.38	-52.26	60.45	300	c87v	
b50r	29.52	69.06	-42.14	80.9	329	v68m	
b75r	36.48	71.47	-3.69	71.57	357	m34o	



Ein und Ausgabe: Farbmatisches Drucker-Reflektiv-System FRS09_92a für relativen CIELAB-Bunton $h^* = lab \cdot h^* = h_{ab}/360 = 0.834$

$u^*_e = b25r$
 $LAB^*LAB^*_a$

Daten für jede Farbe:

lab^*ch^* und lab^*icu^*

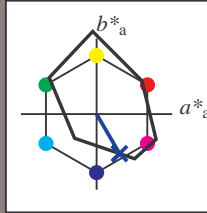
Buntontexte:

$u^*_e = b25r$ $u^*_d = c87v$

Kontrastreduzierungsfaktor:

$c_R = 1.0$

Dreiecks-Helligkeit t^*



FRS09_92a; adaptierte CIELAB-Daten

u^*_e	$L^*=L^*_a$	a^*_a	b^*_a	$C^*_{ab,a}$	$h^*_{ab,a}$
O _{Ma}	35.06	60.0	44.0	74.4	36
Y _{Ma}	83.77	-5.17	109.32	109.44	93
L _{Ma}	44.13	-62.67	48.24	79.09	142
C _{Ma}	52.66	-29.14	-31.99	43.27	228
V _{Ma}	14.15	50.3	-59.04	77.57	310
M _{Ma}	37.37	78.64	-33.5	85.48	337
N _{Ma}	8.58	0.0	0.0	0.0	0
W _{Ma}	92.02	0.0	0.0	0.0	0
R _{Ma}	39.92	58.74	27.99	65.07	25
J _{Ma}	81.26	-2.89	71.56	71.62	92
G _{Ma}	52.23	-42.42	13.6	44.55	162
B _{Ma}	30.57	1.41	-46.47	46.49	272

Daten für Maximalfarbe (Ma):

$LAB^*LAB^*_Ma$: 24 30 -52

$LAB^*LCH^*_Ma$: 24 60 300

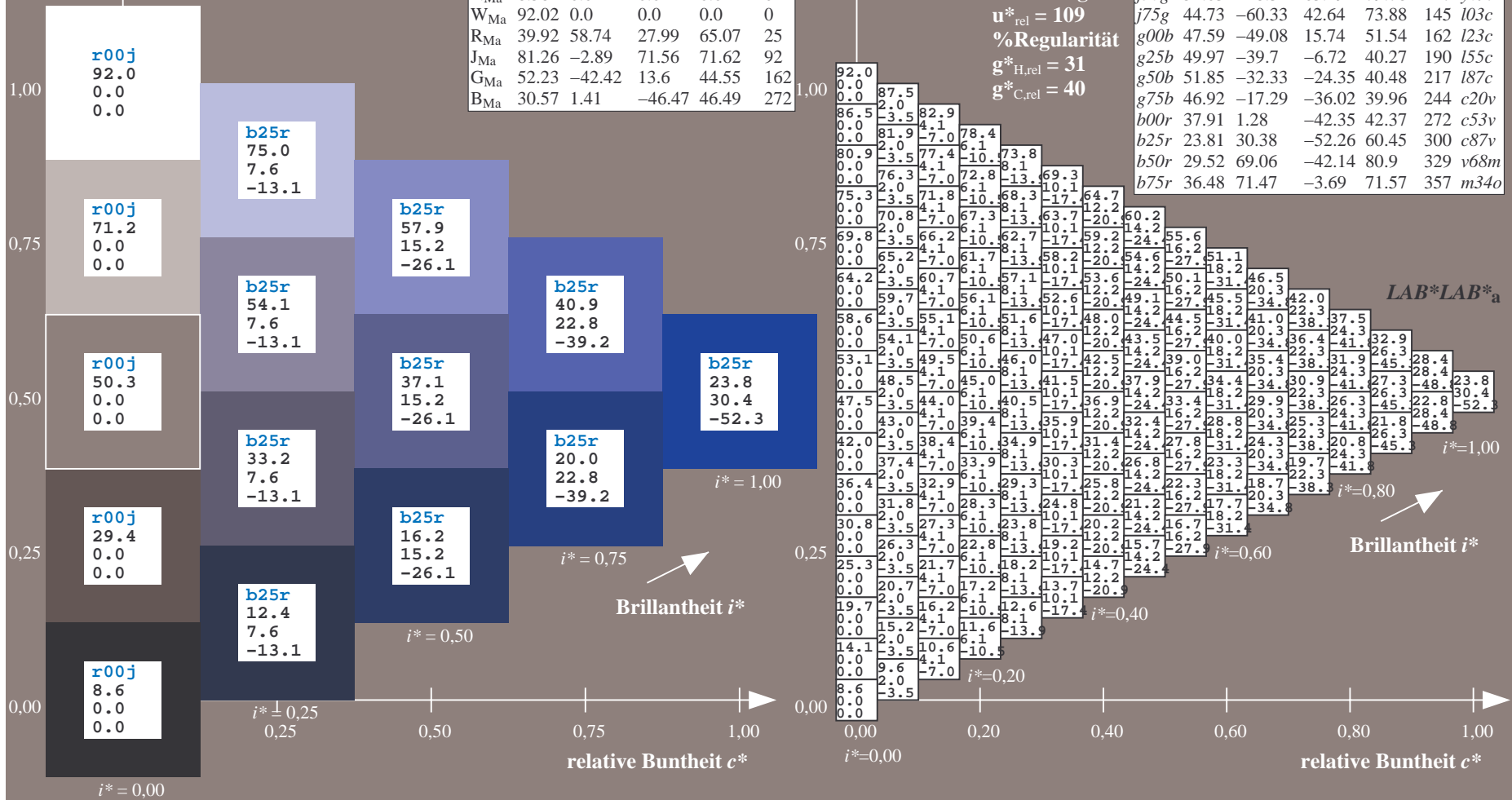
$lab^*rgb^*_Ma$: 0.5 0.0 1.0

$lab^*olv^*_Ma$: 0.0 0.12 1.0

Dreiecks-Helligkeit t^*

FRS09_92a; adaptierte CIELAB-Daten

u^*_e	$L^*=L^*_a$	a^*_a	b^*_a	$C^*_{ab,a}$	$h^*_{ab,a}$	u^*_d
r00j	35.47	63.32	30.17	70.15	25	m81o
r25j	39.12	54.56	49.45	73.64	42	o10y
r50j	50.64	39.15	64.89	75.79	59	o40y
r75j	64.01	21.26	82.83	85.52	76	o69y
j00g	83.18	-4.38	108.53	108.62	92	o98y
j25g	66.73	-29.89	83.06	88.28	110	y34l
j50g	54.03	-48.31	63.49	79.78	127	y69l
j75g	44.73	-60.33	42.64	73.88	145	l03c
g00b	47.59	-49.08	15.74	51.54	162	i23c
g25b	49.97	-39.7	-6.72	40.27	190	i55c
g50b	51.85	-32.33	-24.35	40.48	217	i87c
g75b	46.92	-17.29	-36.02	39.96	244	c20v
b00r	37.91	1.28	-42.35	42.37	272	c53v
b25r	23.81	30.38	-52.26	60.45	300	c87v
b50r	29.52	69.06	-42.14	80.9	329	v68m
b75r	36.48	71.47	-3.69	71.57	357	m34o



Ein und Ausgabe: Farbmatisches Drucker-Reflektiv-System FRS09_92a für relativen CIELAB-Bunton $h^* = lab \cdot h^* = h_{ab}/360 = 0.913$

Daten für jede Farbe:

$lab \cdot tch^*$ und $lab \cdot icu^*$

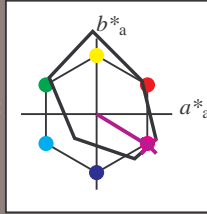
Buntontexte:

$u^*_e = b50r$ $u^*_d = v68m$

Kontrastreduzierungsfaktor:

$c_R = 1.0$

Dreiecks-Helligkeit t^*



FRS09_92a; adaptierte CIELAB-Daten						
u^*_e	$L^*=L^*_a$	a^*_a	b^*_a	$C^*_{ab,a}$	$h^*_{ab,a}$	
O _{Ma}	35.06	60.0	44.0	74.4	36	
Y _{Ma}	83.77	-5.17	109.32	109.44	93	
L _{Ma}	44.13	-62.67	48.24	79.09	142	
C _{Ma}	52.66	-29.14	-31.99	43.27	228	
V _{Ma}	14.15	50.3	-59.04	77.57	310	
M _{Ma}	37.37	78.64	-33.5	85.48	337	
N _{Ma}	8.58	0.0	0.0	0.0	0	
W _{Ma}	92.02	0.0	0.0	0.0	0	
R _{Ma}	39.92	58.74	27.99	65.07	25	
J _{Ma}	81.26	-2.89	71.56	71.62	92	
G _{Ma}	52.23	-42.42	13.6	44.55	162	
B _{Ma}	30.57	1.41	-46.47	46.49	272	

Daten für Maximalfarbe (Ma):

$LAB \cdot LAB^*_{Ma}$: 30 69 -42

$LAB \cdot LCH^*_{Ma}$: 30 81 328

$lab \cdot rgb^*_{Ma}$: 1.0 0.0 1.0

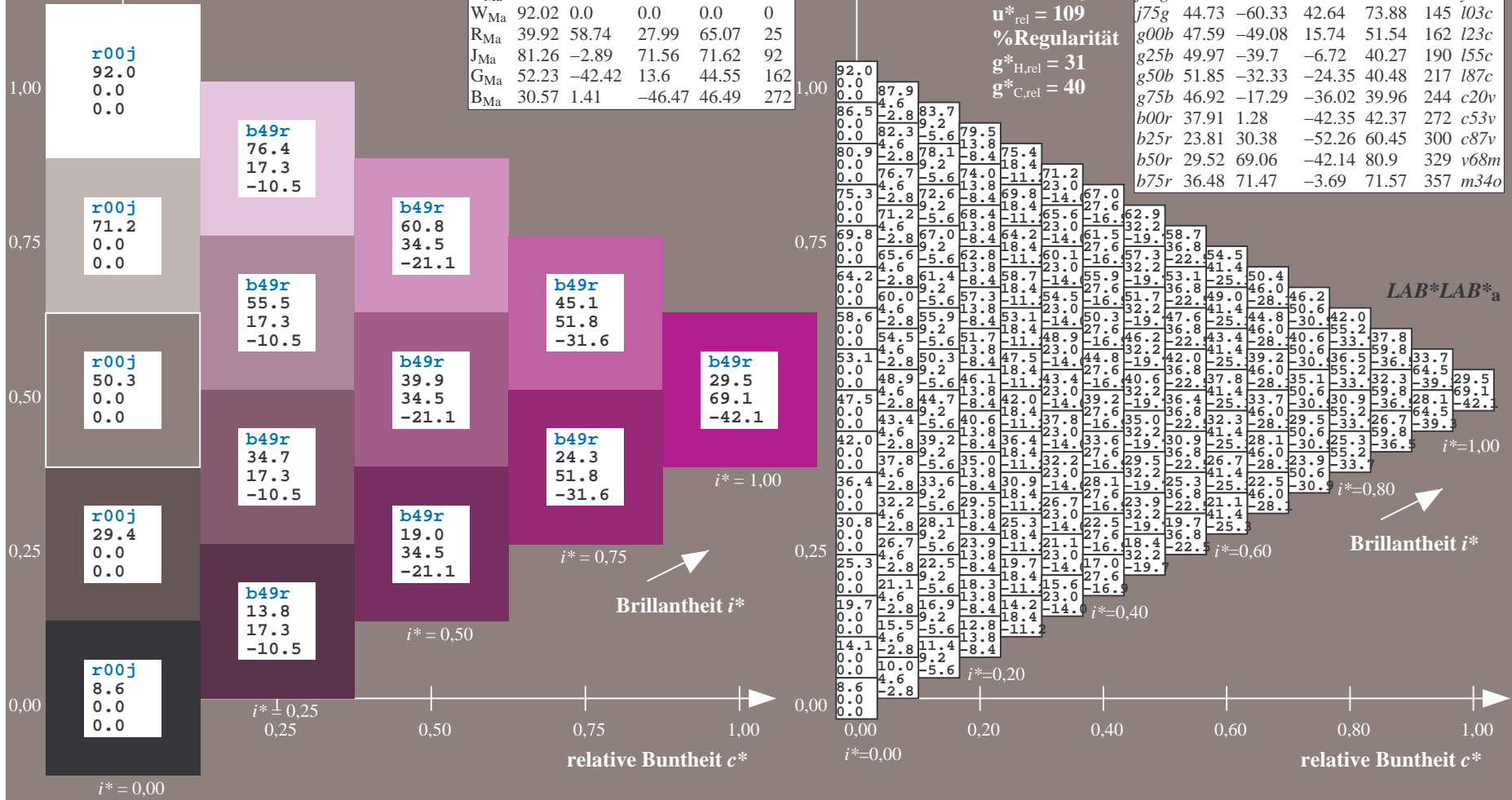
$lab \cdot olv^*_{Ma}$: 0.69 0.0 1.0

Dreiecks-Helligkeit t^*

FRS09_92a; adaptierte CIELAB-Daten

u^*_e	$L^*=L^*_a$	a^*_a	b^*_a	$C^*_{ab,a}$	$h^*_{ab,a}$	u^*_d
r00j	35.47	63.32	30.17	70.15	25	m81o
r25j	39.12	54.56	49.45	73.64	42	o10y
r50j	50.64	39.15	64.89	75.79	59	o40y
r75j	64.01	21.26	82.83	85.52	76	o69y
j00g	83.18	-4.38	108.53	108.62	92	o98y
j25g	66.73	-29.89	83.06	88.28	110	y34l
j50g	54.03	-48.31	63.49	79.78	127	y69l
j75g	44.73	-60.33	42.64	73.88	145	l03c
g00b	47.59	-49.08	15.74	51.54	162	l23c
g25b	49.97	-39.7	-6.72	40.27	190	l55c
g50b	51.85	-32.33	-24.35	40.48	217	l87c
g75b	46.92	-17.29	-36.02	39.96	244	c20v
b00r	37.91	1.28	-42.35	42.37	272	c53v
b25r	23.81	30.38	-52.26	60.45	300	c87v
b50r	29.52	69.06	-42.14	80.9	329	v68m
b75r	36.48	71.47	-3.69	71.57	357	m34o

$u^*_e = b50r$
 $LAB \cdot LAB^*_a$



Ein und Ausgabe: Farbmatisches Drucker-Reflektiv-System FRS09_92a für relativen CIELAB-Bunton $h^* = lab^*h^* = h_{ab}/360 = 0.992$

$u^*_e = b75r$
LAB*LAB*_a

Daten für jede Farbe:

lab^*ch^* und lab^*icu^*

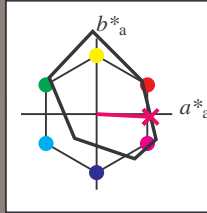
Buntontexte:

$u^*_e = b75r$ $u^*_d = m34o$

Kontrastreduzierungsfaktor:

$c_R = 1.0$

Dreiecks-Helligkeit t^*



FRS09_92a; adaptierte CIELAB-Daten

u^*_e	$L^*=L^*_a$	a^*_a	b^*_a	$C^*_{ab,a}$	$h^*_{ab,a}$
O _{Ma}	35.06	60.0	44.0	74.4	36
Y _{Ma}	83.77	-5.17	109.32	109.44	93
L _{Ma}	44.13	-62.67	48.24	79.09	142
C _{Ma}	52.66	-29.14	-31.99	43.27	228
V _{Ma}	14.15	50.3	-59.04	77.57	310
M _{Ma}	37.37	78.64	-33.5	85.48	337
N _{Ma}	8.58	0.0	0.0	0.0	0
W _{Ma}	92.02	0.0	0.0	0.0	0
R _{Ma}	39.92	58.74	27.99	65.07	25
J _{Ma}	81.26	-2.89	71.56	71.62	92
G _{Ma}	52.23	-42.42	13.6	44.55	162
B _{Ma}	30.57	1.41	-46.47	46.49	272

Daten für Maximalfarbe (Ma):

LAB*LAB*_Ma: 36 71 -4

LAB*LCH*_Ma: 36 72 357

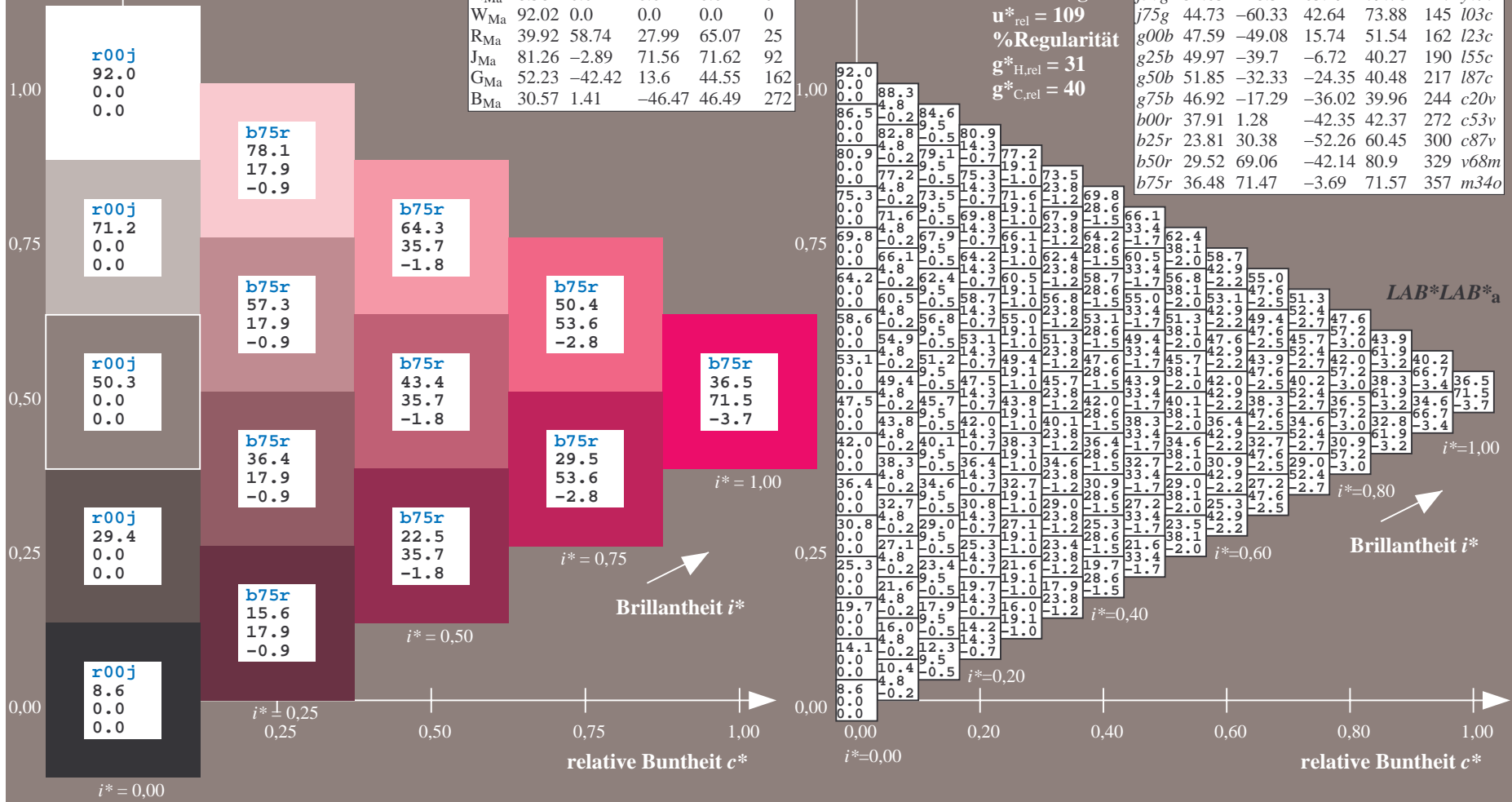
lab*rgb*_Ma: 1.0 0.0 0.5

lab*olv*_Ma: 1.0 0.0 0.66

Dreiecks-Helligkeit t^*

FRS09_92a; adaptierte CIELAB-Daten

u^*_e	$L^*=L^*_a$	a^*_a	b^*_a	$C^*_{ab,a}$	$h^*_{ab,a}$	u^*_d
r00j	35.47	63.32	30.17	70.15	25	m81o
r25j	39.12	54.56	49.45	73.64	42	o10y
r50j	50.64	39.15	64.89	75.79	59	o40y
r75j	64.01	21.26	82.83	85.52	76	o69y
j00g	83.18	-4.38	108.53	108.62	92	o98y
j25g	66.73	-29.89	83.06	88.28	110	y34l
j50g	54.03	-48.31	63.49	79.78	127	y69l
j75g	44.73	-60.33	42.64	73.88	145	l03c
g00b	47.59	-49.08	15.74	51.54	162	l23c
g25b	49.97	-39.7	-6.72	40.27	190	l55c
g50b	51.85	-32.33	-24.35	40.48	217	l87c
g75b	46.92	-17.29	-36.02	39.96	244	c20v
b00r	37.91	1.28	-42.35	42.37	272	c53v
b25r	23.81	30.38	-52.26	60.45	300	c87v
b50r	29.52	69.06	-42.14	80.9	329	v68m
b75r	36.48	71.47	-3.69	71.57	357	m34o



	A	B	C	D	E	F	G	H	I	J	K	L	M	N	O	P	Q	R	S	T	U	V	W	X	Y	Z	a	b	c	d	e	f	g	h	i	j	k	LAB*LAB*a		
01	8.6	13.0	17.5	21.9	26.4	30.8	35.2	39.7	44.1	11.9	18.0	21.6	26.0	30.4	34.8	39.3	43.7	48.2	15.2	20.1	27.4	30.5	34.7	39.0	43.4	47.8	52.2	92.0	84.9	77.8	70.7	63.5	56.4	49.3	42.2	35.1	8.6	8.6	8.6	8.6
02	9.3	14.1	18.8	23.5	28.2	32.7	37.3	41.8	46.3	12.2	19.0	23.5	27.9	32.3	36.8	41.2	45.7	50.1	15.5	22.3	28.4	32.1	36.4	40.8	45.3	49.7	54.2	87.1	81.6	74.5	67.4	60.2	53.1	46.0	38.9	31.7	9.3	9.3	9.3	9.3
03	10.0	14.8	19.6	24.4	29.1	33.8	38.5	43.1	47.8	12.7	19.7	24.5	29.3	34.0	38.6	43.2	47.7	52.3	15.8	22.6	29.4	33.9	38.3	42.8	47.3	51.7	56.1	82.2	76.7	71.2	64.0	56.9	49.8	42.7	35.6	28.4	10.0	10.0	10.0	10.0
04	10.7	17.9	21.7	25.1	29.8	34.6	39.4	44.1	48.8	13.4	20.4	26.6	30.9	34.8	39.5	44.3	48.9	53.6	16.3	23.2	30.1	34.9	39.7	44.4	49.1	53.6	58.2	77.3	71.7	66.2	60.7	53.6	46.5	39.4	32.3	25.1	10.7	10.7	10.7	10.7
05	11.4	19.4	23.7	27.1	30.6	35.3	40.1	44.9	49.6	14.1	21.1	28.4	32.1	35.5	40.3	45.1	49.8	54.5	16.9	23.8	30.8	37.0	40.5	45.2	50.0	54.7	59.4	72.3	66.8	61.3	55.8	50.3	43.2	36.1	28.9	21.8	11.4	11.4	11.4	11.4
06	12.1	20.9	25.2	28.3	31.8	36.0	40.2	44.4	48.6	14.8	21.8	29.8	32.9	37.5	41.0	45.8	50.6	55.3	17.6	24.5	31.5	38.8	42.5	46.5	50.7	55.5	60.2	67.4	61.9	56.4	50.9	45.4	39.9	32.8	25.6	18.5	12.1	12.1	12.1	12.1
07	12.8	21.8	27.3	31.3	34.7	38.0	41.6	46.3	51.1	15.5	22.5	31.1	36.0	39.7	43.0	46.6	51.3	56.0	18.2	25.2	32.2	40.3	44.6	48.0	51.5	56.2	61.0	62.5	57.0	51.5	46.0	40.5	34.9	29.4	22.3	15.2	12.8	12.8	12.8	12.8
08	13.5	22.9	28.4	33.2	36.8	40.2	43.5	47.1	51.8	16.2	23.2	32.3	37.1	41.7	45.2	48.5	52.1	56.8	18.9	25.9	32.9	41.5	46.5	50.1	53.4	57.0	61.7	57.6	52.1	46.6	41.0	35.5	30.0	24.5	19.0	11.9	13.5	13.5	13.5	13.5
09	14.2	23.9	30.2	35.0	39.9	42.3	45.6	49.0	52.7	16.9	23.9	33.3	38.2	42.8	46.3	50.6	53.9	57.6	19.6	26.6	33.6	42.7	47.7	51.2	54.6	58.9	62.5	62.7	57.1	51.6	46.1	40.6	35.1	30.6	25.1	14.1	14.2	14.2	14.2	
10	15.0	25.2	31.7	36.5	40.7	43.9	47.1	50.4	54.0	17.6	24.6	34.0	38.9	43.5	47.0	51.3	54.6	58.3	20.3	27.3	34.3	43.4	48.4	51.9	55.2	59.5	63.1	63.4	57.8	52.3	46.8	41.3	35.8	31.3	25.8	20.3	15.0	15.0	15.0	15.0
11	15.8	26.3	32.9	37.7	41.9	45.1	48.3	51.6	55.1	18.3	25.3	34.7	39.6	44.2	47.7	51.9	55.2	58.9	21.0	28.0	35.0	44.1	49.1	52.6	55.9	59.2	62.8	63.1	57.5	52.0	46.5	41.0	35.5	31.0	25.5	20.0	15.8	15.8	15.8	15.8
12	16.5	27.3	34.0	38.8	43.0	46.2	49.4	52.7	56.1	19.0	26.0	35.4	40.3	44.9	48.4	52.6	55.9	59.6	21.4	28.4	35.4	44.5	49.5	53.0	56.3	59.6	63.2	63.5	57.9	52.4	46.9	41.4	35.9	31.4	25.9	20.4	16.5	16.5	16.5	16.5
13	17.2	28.0	34.7	39.5	43.7	46.9	50.1	53.4	56.8	19.4	26.4	35.8	40.7	45.3	48.8	52.9	56.2	59.9	21.8	28.8	35.8	44.9	49.9	53.4	56.7	59.9	63.5	63.8	58.2	52.7	47.2	41.7	36.2	31.7	26.2	20.7	17.2	17.2	17.2	17.2
14	18.0	28.9	35.6	40.4	44.6	47.8	51.0	54.3	57.7	20.0	27.0	36.4	41.3	45.9	49.4	53.5	56.8	60.5	22.2	29.2	36.2	45.3	50.3	53.8	57.1	60.3	63.9	64.2	58.6	53.1	47.6	42.1	36.6	32.1	26.6	21.1	18.0	18.0	18.0	18.0
15	18.8	29.8	36.5	41.3	45.5	48.7	51.9	55.2	58.6	20.4	27.4	36.8	41.7	46.3	49.8	53.9	57.2	60.9	22.6	29.6	36.6	45.7	50.7	54.2	57.5	60.7	64.3	64.6	59.0	53.5	48.0	42.5	37.0	32.5	27.0	21.5	18.8	18.8	18.8	18.8
16	19.4	30.6	37.3	42.1	46.3	49.5	52.7	56.0	59.4	20.8	27.8	37.2	42.1	46.7	50.2	54.3	57.6	61.3	23.0	30.0	37.0	46.1	51.1	54.6	57.9	61.1	64.7	65.0	59.4	53.9	48.4	42.9	37.4	32.9	27.4	21.9	19.4	19.4	19.4	19.4
17	20.2	31.6	38.3	43.1	47.3	50.5	53.7	57.0	60.4	21.2	28.2	37.6	42.5	47.1	50.6	54.7	58.0	61.7	23.4	30.4	37.4	46.5	51.5	55.0	58.3	61.5	65.1	65.4	59.8	54.3	48.8	43.3	37.8	33.3	27.8	22.3	20.2	20.2	20.2	20.2
18	21.0	32.4	39.1	43.9	48.1	51.3	54.5	57.8	61.2	21.6	28.6	38.0	42.9	47.5	51.0	55.1	58.4	62.1	23.8	30.8	37.8	46.9	51.9	55.4	58.7	61.9	65.5	65.8	60.2	54.7	49.2	43.7	38.2	33.7	28.2	22.7	21.0	21.0	21.0	21.0
19	21.8	33.2	39.9	44.7	48.9	52.1	55.3	58.6	62.0	22.0	29.0	38.4	43.3	47.9	51.4	55.5	58.8	62.5	24.2	31.2	38.2	47.3	52.3	55.8	59.1	62.3	65.9	66.2	60.6	55.1	49.6	44.1	38.6	34.1	28.6	23.1	21.8	21.8	21.8	21.8
20	22.6	34.0	40.7	45.5	49.7	52.9	56.1	59.4	62.8	22.4	29.4	38.8	43.7	48.3	51.8	55.9	59.2	62.9	24.6	31.6	38.6	47.7	52.7	56.2	59.5	62.7	66.3	66.6	61.0	55.5	50.0	44.5	39.0	34.5	29.0	23.5	22.6	22.6	22.6	22.6
21	23.4	34.8	41.5	46.3	50.5	53.7	56.9	60.2	63.6	22.8	29.8	39.2	44.1	48.7	52.2	56.3	59.6	63.3	25.0	32.0	39.0	48.1	53.1	56.6	59.9	63.1	66.7	67.0	61.4	55.9	50.4	44.9	39.4	34.9	29.4	23.9	23.4	23.4	23.4	23.4
22	24.2	35.6	42.3	47.1	51.3	54.5	57.7	61.0	64.4	23.2	30.2	39.6	44.5	49.1	52.6	56.7	60.0	63.7	25.4	32.4	39.4	48.5	53.5	57.0	60.3	63.5	67.1	67.4	61.8	56.3	50.8	45.3	39.8	35.3	29.8	24.3	24.2	24.2	24.2	24.2
23	25.0	36.4	43.1	47.9	52.1	55.3	58.5	61.8	65.2	23.6	30.6	40.0	44.9	49.5	53.0	57.1	60.4	64.1	25.8	32.8	39.8	48.9	53.9	57.4	60.7	63.9	67.5	67.8	62.2	56.7	51.2	45.7	40.2	34.7	29.2	24.7	25.0	25.0	25.0	25.0
24	25.8	37.2	43.9	48.7	52.9	56.1	59.3	62.6	66.0	24.0	31.0	40.4	45.3	49.9	53.4	57.5	60.8	64.5	26.2	33.2	40.2	49.3	54.3	57.8	61.1	64.3	67.9	68.2	62.6	57.1	51.6	46.1	40.6	35.1	29.6	25.1	25.8	25.8	25.8	25.8
25	26.6	38.0	44.7	49.5	53.7	56.9	60.1	63.4	66.8	24.4	31.4	40.8	45.7	50.3	53.8	57.9	61.2	64.9	26.6	33.6	40.6	49.7	54.7	58.2	61.5	64.7	68.3	68.6	63.0	57.5	52.0	46.5	41.0	35.5	30.0	25.5	26.6	26.6	26.6	26.6
26	27.4	38.8	45.5	50.3	54.5	57.7	60.9	64.2	67.6	24.8	31.8	41.2	46.1	50.7	54.2	58.3	61.6	65.3	27.0	34.0	41.0	50.1	55.1	58.6	61.9	65.1	68.7	69.0	63.4	57.9	52.4	46.9	41.4	35.9	30.4	25.9	27.4	27.4	27.4	27.4
27	28.2	39.6	46.3	51.1	55.3	58.5	61.7	65.0	68.4	25.2	32.2	41.6	46.5	51.1	54.6	58.7	62.0	65.7	27.4	34.4	41.4	50.5	55.5	59.0	62.3	65.5	69.1	69.4	63.8	58.3	52.8	47.3	41.8	36.3	30.8	26.3	28.2	28.2	28.2	28.2

Ein und Ausgabe:
 Farbmetrisches Drucker-Reflektiv-System FRS09_92a

Daten für jede Farbe:

u^*_e und Nummer $Nr.$ = 00 .. 15

Elementar-Bunttextext:

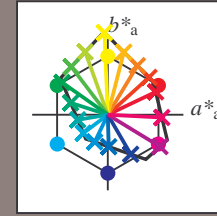
$u^*_e = 16$ Bunttoene $r00j, r25j, \dots, b75r$

Kontrastreduzierungsfaktor:

$c_R = 1.0$

FRS09_92a; adaptierte CIELAB-Daten

u^*_e	$L^*=L^*_a$	a^*_a	b^*_a	$C^*_{ab,a}$	$h^*_{ab,a}$	u^*_d
r00j	35.47	63.32	30.17	70.15	25	m81o
r25j	39.12	54.56	49.45	73.64	42	o10y
r50j	50.64	39.15	64.89	75.79	59	o40y
r75j	64.01	21.26	82.83	85.52	76	o69y
j00g	83.18	-4.38	108.53	108.62	92	o98y
j25g	66.73	-29.89	83.06	88.28	110	y34l
j50g	54.03	-48.31	63.49	79.78	127	y69l
j75g	44.73	-60.33	42.64	73.88	145	l03c
g00b	47.59	-49.08	15.74	51.54	162	l23c
g25b	49.97	-39.7	-6.72	40.27	190	l55c
g50b	51.85	-32.33	-24.35	40.48	217	l87c
g75b	46.92	-17.29	-36.02	39.96	244	c20v
b00r	37.91	1.28	-42.35	42.37	272	c53v
b25r	23.81	30.38	-52.26	60.45	300	c87v
b50r	29.52	69.06	-42.14	80.9	329	v68m
b75r	36.48	71.47	-3.69	71.57	357	m34o



%Umfang

$u^*_{rel} = 109$

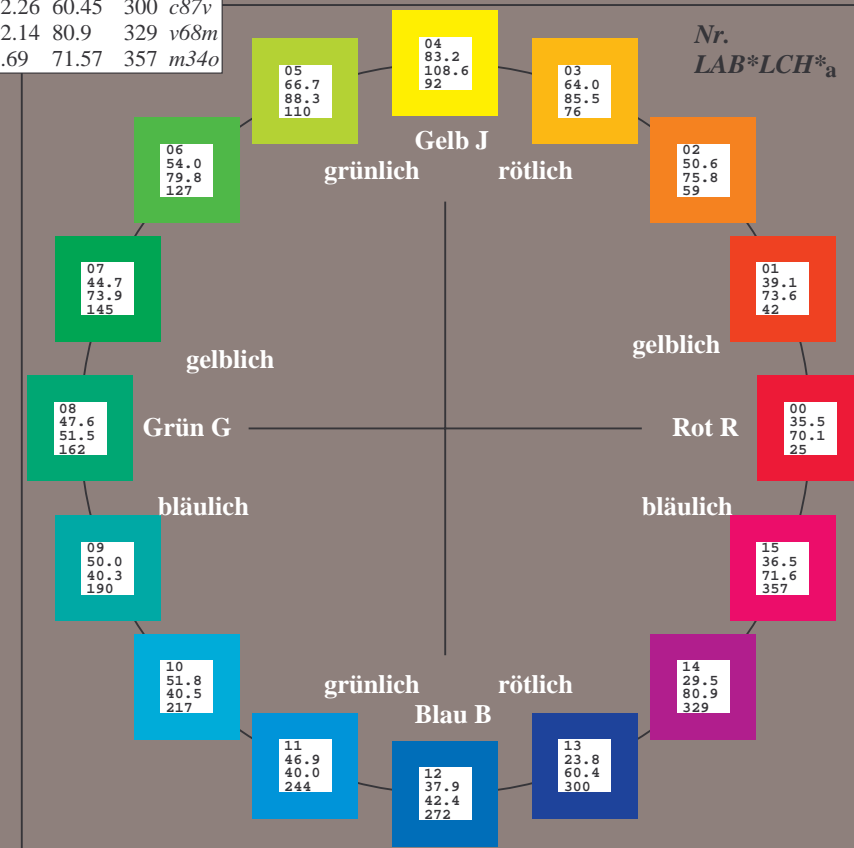
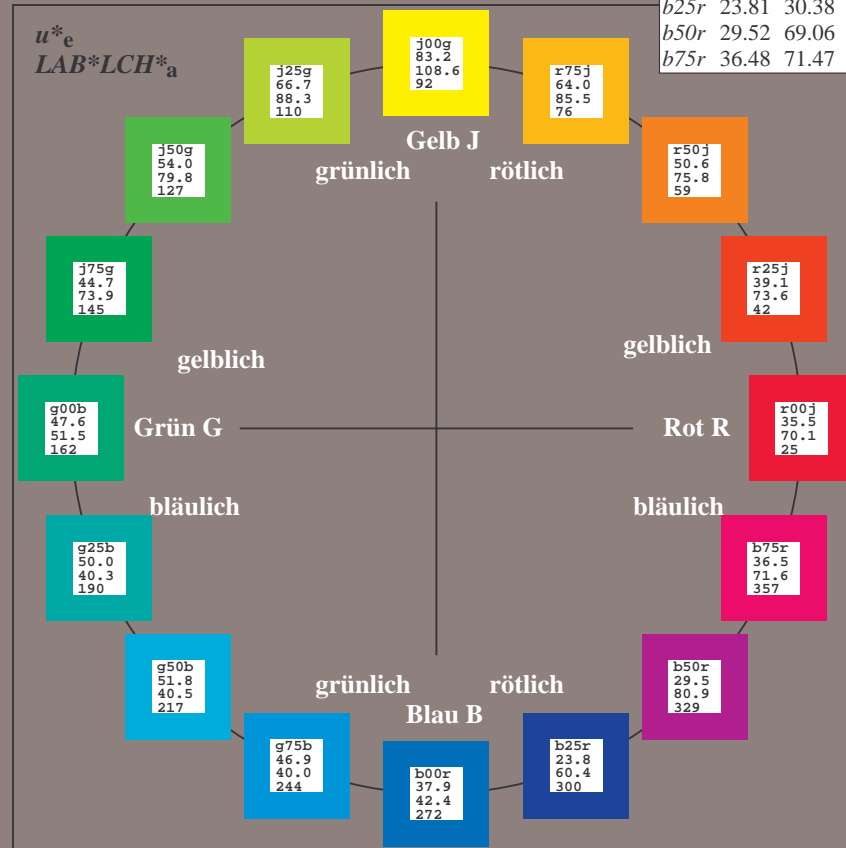
%Regularität

$g^*_{H,rel} = 31$

$g^*_{C,rel} = 40$

FRS09_92a; adaptierte CIELAB-Daten

Name	$L^*=L^*_a$	a^*_a	b^*_a	$C^*_{ab,a}$	$h^*_{ab,a}$
OMa	35.06	60.0	44.0	74.4	36
YMa	83.77	-5.17	109.32	109.44	93
LMa	44.13	-62.67	48.24	79.09	142
CMa	52.66	-29.14	-31.99	43.27	228
VMa	14.15	50.3	-59.04	77.57	310
MMa	37.37	78.64	-33.5	85.48	337
NMa	8.58	0.0	0.0	0.0	0
WMa	92.02	0.0	0.0	0.0	0
RCIE	39.92	58.74	27.99	65.07	25
JCIE	81.26	-2.89	71.56	71.62	92
GCIE	52.23	-42.42	13.6	44.55	162
BCIE	30.57	1.41	-46.47	46.49	272



Ein und Ausgabe: Farbmatisches Drucker-Reflektiv-System FRS09_92a für relativen CIELAB-Bunton $h^* = lab \cdot h^* = h_{ab}/360 = 0.071$

Daten für jede Farbe:

$lab \cdot tch^*$ und $lab \cdot icu^*$

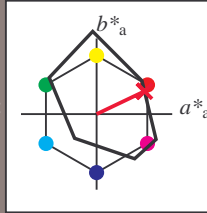
Buntontexte:

$u^*_e = r00j$ $u^*_d = m81o$

Kontrastreduzierungsfaktor:

$c_R = 1.0$

Dreiecks-Helligkeit t^*



FRS09_92a; adaptierte CIELAB-Daten

	u^*_e	$L^*=L^*_a$	a^*_a	b^*_a	$C^*_{ab,a}$	$h^*_{ab,a}$
O _{Ma}	35.06	60.0	44.0	74.4	36	
Y _{Ma}	83.77	-5.17	109.32	109.44	93	
L _{Ma}	44.13	-62.67	48.24	79.09	142	
C _{Ma}	52.66	-29.14	-31.99	43.27	228	
V _{Ma}	14.15	50.3	-59.04	77.57	310	
M _{Ma}	37.37	78.64	-33.5	85.48	337	
N _{Ma}	8.58	0.0	0.0	0.0	0	
W _{Ma}	92.02	0.0	0.0	0.0	0	
R _{Ma}	39.92	58.74	27.99	65.07	25	
J _{Ma}	81.26	-2.89	71.56	71.62	92	
G _{Ma}	52.23	-42.42	13.6	44.55	162	
B _{Ma}	30.57	1.41	-46.47	46.49	272	

$u^*_e = r00j$
 $LAB \cdot LCH^*_a$

Daten für Maximalfarbe (Ma):

$LAB \cdot LAB^*_Ma: 35 \ 63 \ 30$

$LAB \cdot LCH^*_Ma: 35 \ 70 \ 25$

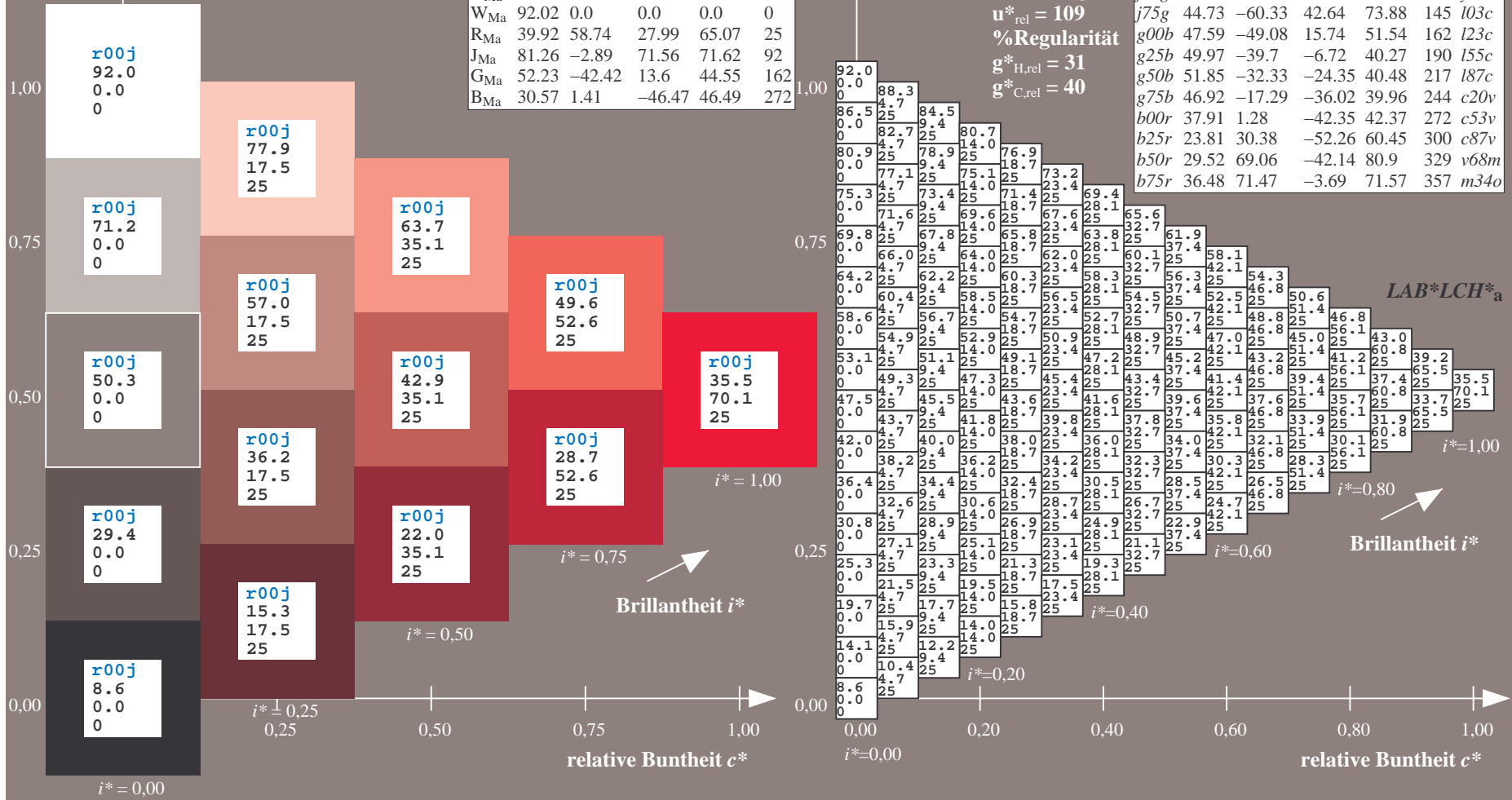
$lab \cdot rgb^*_Ma: 1.0 \ 0.0 \ 0.0$

$lab \cdot olv^*_Ma: 1.0 \ 0.0 \ 0.18$

Dreiecks-Helligkeit t^*

FRS09_92a; adaptierte CIELAB-Daten

	u^*_e	$L^*=L^*_a$	a^*_a	b^*_a	$C^*_{ab,a}$	$h^*_{ab,a}$	u^*_d
r00j	35.47	63.32	30.17	70.15	25	m81o	
r25j	39.12	54.56	49.45	73.64	42	o10y	
r50j	50.64	39.15	64.89	75.79	59	o40y	
r75j	64.01	21.26	82.83	85.52	76	o69y	
j00g	83.18	-4.38	108.53	108.62	92	o98y	
j25g	66.73	-29.89	83.06	88.28	110	y34l	
j50g	54.03	-48.31	63.49	79.78	127	y69l	
j75g	44.73	-60.33	42.64	73.88	145	103c	
g00b	47.59	-49.08	15.74	51.54	162	l23c	
g25b	49.97	-39.7	-6.72	40.27	190	l55c	
g50b	51.85	-32.33	-24.35	40.48	217	l87c	
g75b	46.92	-17.29	-36.02	39.96	244	c20v	
b00r	37.91	1.28	-42.35	42.37	272	c53v	
b25r	23.81	30.38	-52.26	60.45	300	c87v	
b50r	29.52	69.06	-42.14	80.9	329	v68m	
b75r	36.48	71.47	-3.69	71.57	357	m34o	



Ein und Ausgabe: Farbmatisches Drucker-Reflektiv-System FRS09_92a für relativen CIELAB-Bunton $h^* = lab^*h^* = h_{ab}/360 = 0.117$

$u^*_e = r25j$
 $LAB^*LCH^*_a$

Daten für jede Farbe:

lab^*ch^* und lab^*icu^*

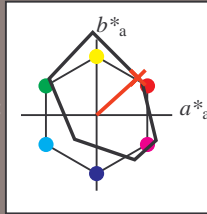
Buntontexte:

$u^*_e = r25j$ $u^*_d = o10y$

Kontrastreduzierungsfaktor:

$c_R = 1.0$

Dreiecks-Helligkeit t^*



FRS09_92a; adaptierte CIELAB-Daten

u^*_e	$L^*=L^*_a$	a^*_a	b^*_a	$C^*_{ab,a}$	$h^*_{ab,a}$
O _{Ma}	35.06	60.0	44.0	74.4	36
Y _{Ma}	83.77	-5.17	109.32	109.44	93
L _{Ma}	44.13	-62.67	48.24	79.09	142
C _{Ma}	52.66	-29.14	-31.99	43.27	228
V _{Ma}	14.15	50.3	-59.04	77.57	310
M _{Ma}	37.37	78.64	-33.5	85.48	337
N _{Ma}	8.58	0.0	0.0	0.0	0
W _{Ma}	92.02	0.0	0.0	0.0	0
R _{Ma}	39.92	58.74	27.99	65.07	25
J _{Ma}	81.26	-2.89	71.56	71.62	92
G _{Ma}	52.23	-42.42	13.6	44.55	162
B _{Ma}	30.57	1.41	-46.47	46.49	272

Daten für Maximalfarbe (Ma):

$LAB^*LAB^*_Ma: 39\ 55\ 49$

$LAB^*LCH^*_Ma: 39\ 74\ 42$

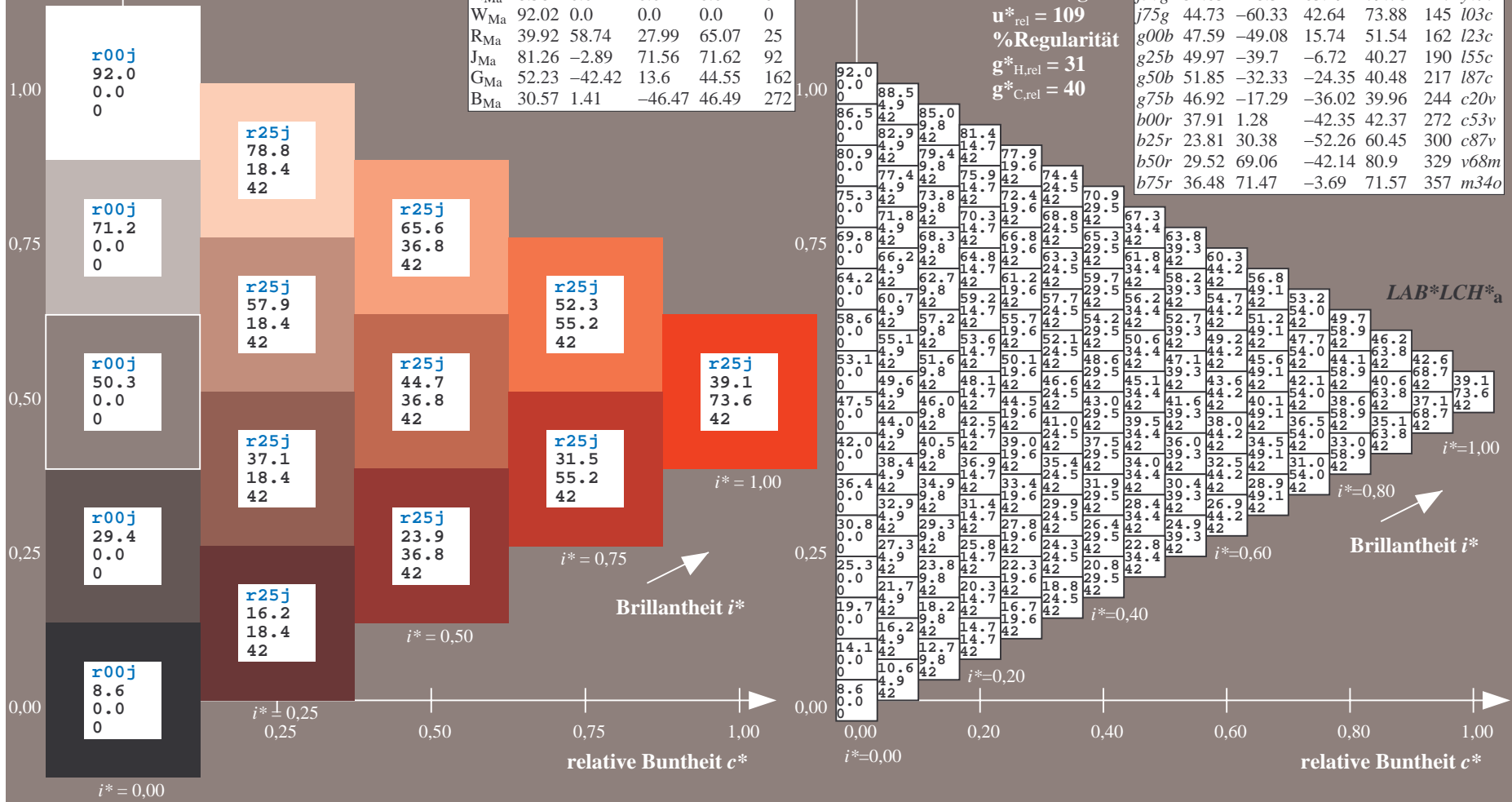
$lab^*rgb^*_Ma: 1.0\ 0.25\ 0.0$

$lab^*olv^*_Ma: 1.0\ 0.11\ 0.0$

Dreiecks-Helligkeit t^*

FRS09_92a; adaptierte CIELAB-Daten

u^*_e	$L^*=L^*_a$	a^*_a	b^*_a	$C^*_{ab,a}$	$h^*_{ab,a}$	u^*_d
r00j	35.47	63.32	30.17	70.15	25	m81o
r25j	39.12	54.56	49.45	73.64	42	o10y
r50j	50.64	39.15	64.89	75.79	59	o40y
r75j	64.01	21.26	82.83	85.52	76	o69y
j00g	83.18	-4.38	108.53	108.62	92	o98y
j25g	66.73	-29.89	83.06	88.28	110	y34l
j50g	54.03	-48.31	63.49	79.78	127	y69l
j75g	44.73	-60.33	42.64	73.88	145	103c
g00b	47.59	-49.08	15.74	51.54	162	l23c
g25b	49.97	-39.7	-6.72	40.27	190	l55c
g50b	51.85	-32.33	-24.35	40.48	217	l87c
g75b	46.92	-17.29	-36.02	39.96	244	c20v
b00r	37.91	1.28	-42.35	42.37	272	c53v
b25r	23.81	30.38	-52.26	60.45	300	c87v
b50r	29.52	69.06	-42.14	80.9	329	v68m
b75r	36.48	71.47	-3.69	71.57	357	m34o



Ein und Ausgabe: Farbmatisches Drucker-Reflektiv-System FRS09_92a für relativen CIELAB-Bunton $h^* = lab^*h^* = h_{ab}/360 = 0.164$

$u^*_e = r50j$
 $LAB^*LCH^*_a$

Daten für jede Farbe:

lab^*tch^* und lab^*icu^*

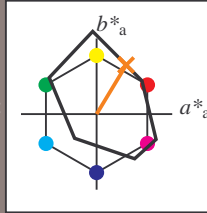
Buntontexte:

$u^*_e = r50j$ $u^*_d = o40y$

Kontrastreduzierungsfaktor:

$c_R = 1.0$

Dreiecks-Helligkeit t^*



FRS09_92a; adaptierte CIELAB-Daten

u^*_e	$L^*=L^*_a$	a^*_a	b^*_a	$C^*_{ab,a}$	$h^*_{ab,a}$
O _{Ma}	35.06	60.0	44.0	74.4	36
Y _{Ma}	83.77	-5.17	109.32	109.44	93
L _{Ma}	44.13	-62.67	48.24	79.09	142
C _{Ma}	52.66	-29.14	-31.99	43.27	228
V _{Ma}	14.15	50.3	-59.04	77.57	310
M _{Ma}	37.37	78.64	-33.5	85.48	337
N _{Ma}	8.58	0.0	0.0	0.0	0
W _{Ma}	92.02	0.0	0.0	0.0	0
R _{Ma}	39.92	58.74	27.99	65.07	25
J _{Ma}	81.26	-2.89	71.56	71.62	92
G _{Ma}	52.23	-42.42	13.6	44.55	162
B _{Ma}	30.57	1.41	-46.47	46.49	272

Daten für Maximalfarbe (Ma):

$LAB^*LAB^*_Ma: 51\ 39\ 65$

$LAB^*LCH^*_Ma: 51\ 76\ 58$

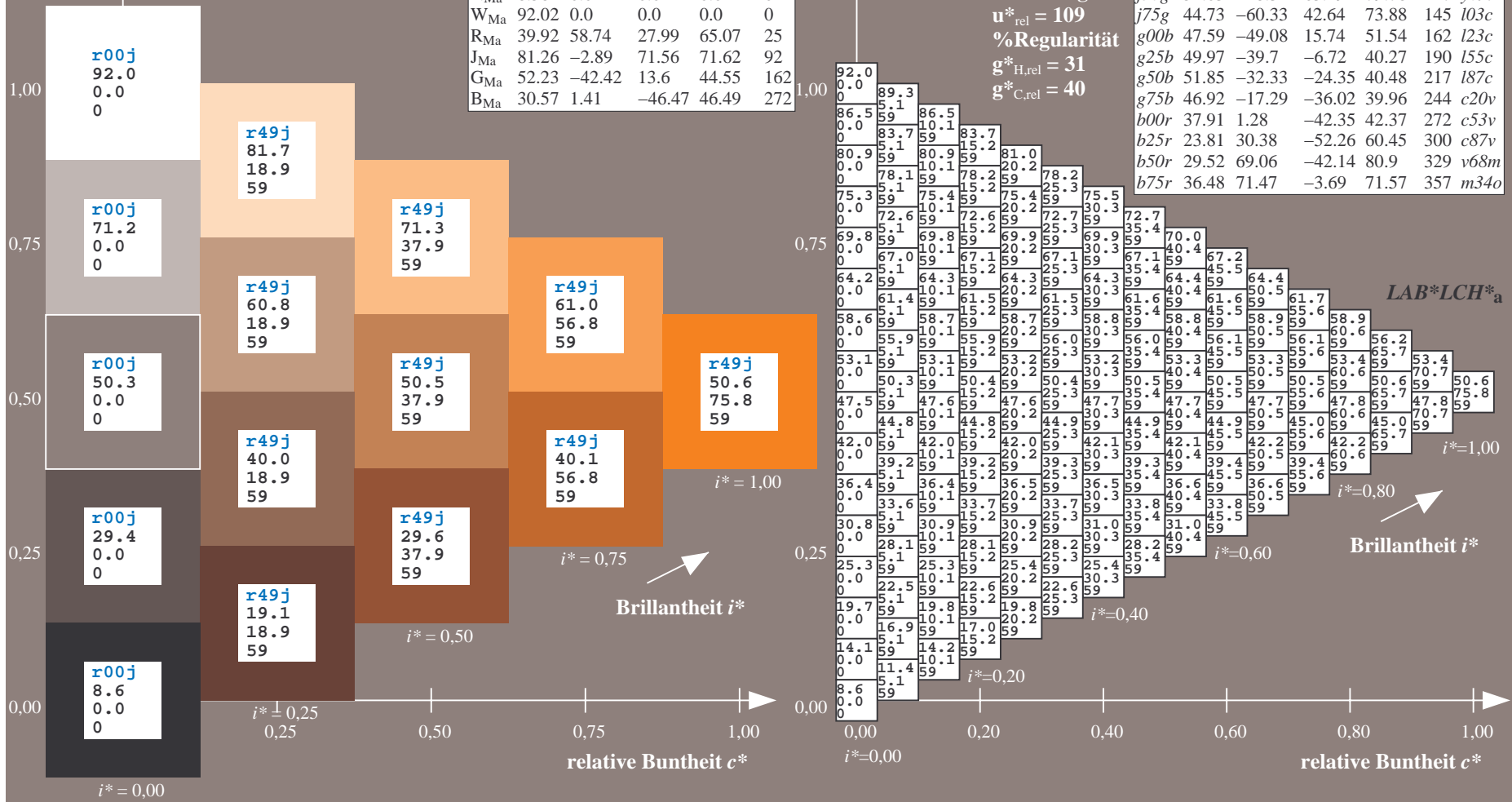
$lab^*rgb^*_Ma: 1.0\ 0.5\ 0.0$

$lab^*olv^*_Ma: 1.0\ 0.4\ 0.0$

Dreiecks-Helligkeit t^*

FRS09_92a; adaptierte CIELAB-Daten

u^*_e	$L^*=L^*_a$	a^*_a	b^*_a	$C^*_{ab,a}$	$h^*_{ab,a}$	u^*_d
r00j	35.47	63.32	30.17	70.15	25	m81o
r25j	39.12	54.56	49.45	73.64	42	o10y
r50j	50.64	39.15	64.89	75.79	59	o40y
r75j	64.01	21.26	82.83	85.52	76	o69y
j00g	83.18	-4.38	108.53	108.62	92	o98y
j25g	66.73	-29.89	83.06	88.28	110	y34l
j50g	54.03	-48.31	63.49	79.78	127	y69l
j75g	44.73	-60.33	42.64	73.88	145	103c
g00b	47.59	-49.08	15.74	51.54	162	l23c
g25b	49.97	-39.7	-6.72	40.27	190	l55c
g50b	51.85	-32.33	-24.35	40.48	217	l87c
g75b	46.92	-17.29	-36.02	39.96	244	c20v
b00r	37.91	1.28	-42.35	42.37	272	c53v
b25r	23.81	30.38	-52.26	60.45	300	c87v
b50r	29.52	69.06	-42.14	80.9	329	v68m
b75r	36.48	71.47	-3.69	71.57	357	m34o



Ein und Ausgabe: Farbmatisches Drucker-Reflektiv-System FRS09_92a für relativen CIELAB-Bunton $h^* = lab^*h^* = h_{ab}/360 = 0.21$

Daten für jede Farbe:

lab^*ch^* und lab^*icu^*

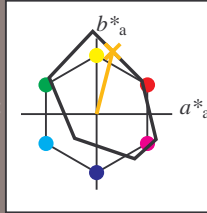
Buntontexte:

$u^*_e = r75j$ $u^*_d = o69y$

Kontrastreduzierungsfaktor:

$c_R = 1.0$

Dreiecks-Helligkeit t^*



FRS09_92a; adaptierte CIELAB-Daten

u^*_e	$L^*=L^*_a$	a^*_a	b^*_a	$C^*_{ab,a}$	$h^*_{ab,a}$
O _{Ma}	35.06	60.0	44.0	74.4	36
Y _{Ma}	83.77	-5.17	109.32	109.44	93
L _{Ma}	44.13	-62.67	48.24	79.09	142
C _{Ma}	52.66	-29.14	-31.99	43.27	228
V _{Ma}	14.15	50.3	-59.04	77.57	310
M _{Ma}	37.37	78.64	-33.5	85.48	337
N _{Ma}	8.58	0.0	0.0	0.0	0
W _{Ma}	92.02	0.0	0.0	0.0	0
R _{Ma}	39.92	58.74	27.99	65.07	25
J _{Ma}	81.26	-2.89	71.56	71.62	92
G _{Ma}	52.23	-42.42	13.6	44.55	162
B _{Ma}	30.57	1.41	-46.47	46.49	272

Daten für Maximalfarbe (Ma):

$LAB^*LAB^*_{Ma}$: 64 21 83

$LAB^*LCH^*_{Ma}$: 64 86 75

$lab^*rgb^*_{Ma}$: 1.0 0.75 0.0

$lab^*olv^*_{Ma}$: 1.0 0.7 0.0

Dreiecks-Helligkeit t^*

%Umfang

$u^*_{rel} = 109$

%Regularität

$g^*_{H,rel} = 31$

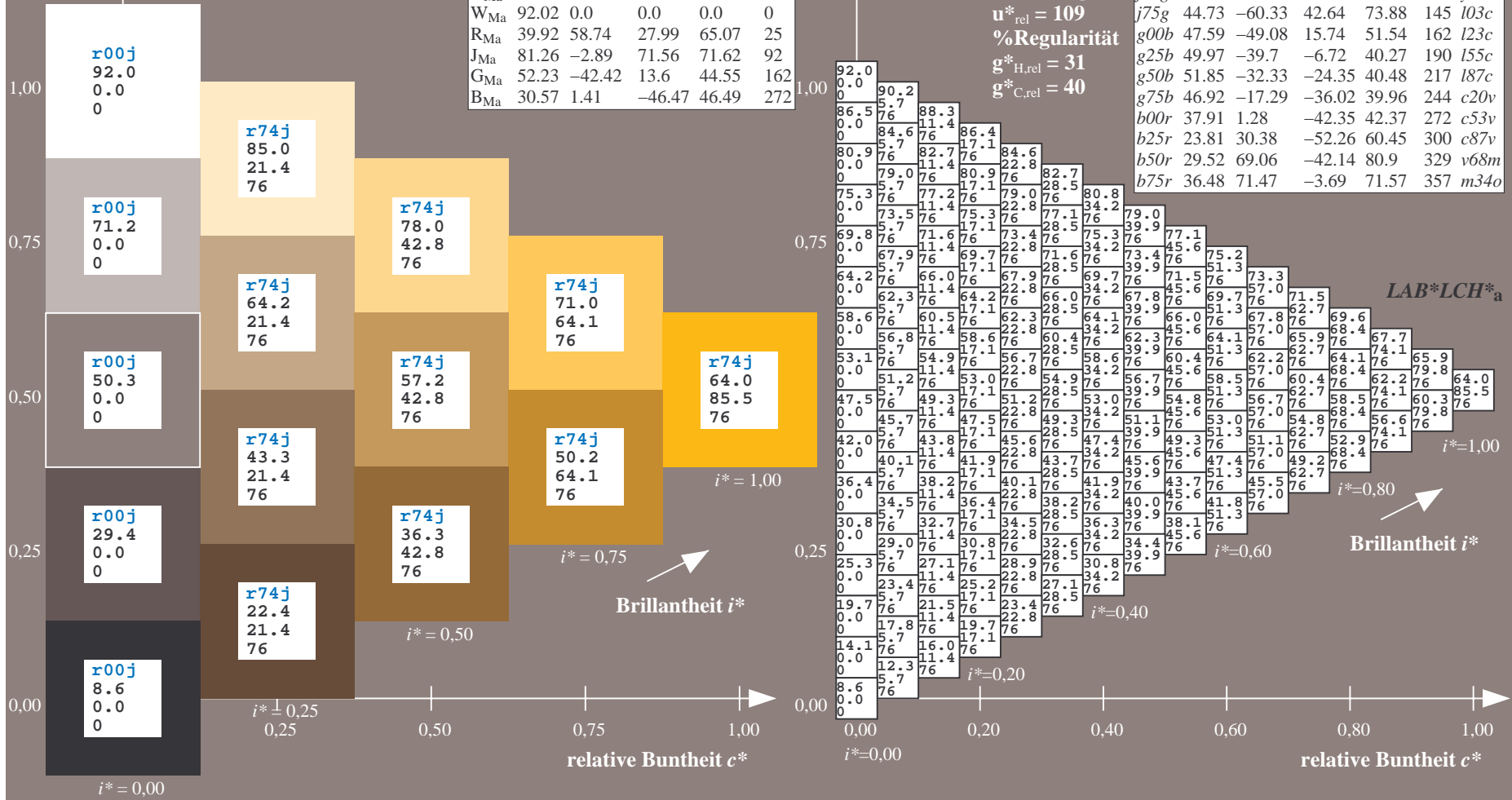
$g^*_{C,rel} = 40$

$u^*_e = r75j$
 $LAB^*LCH^*_{a}$

FRS09_92a; adaptierte CIELAB-Daten

u^*_e	$L^*=L^*_a$	a^*_a	b^*_a	$C^*_{ab,a}$	$h^*_{ab,a}$	u^*_d
r00j	35.47	63.32	30.17	70.15	25	m81o
r25j	39.12	54.56	49.45	73.64	42	o10y
r50j	50.64	39.15	64.89	75.79	59	o40y
r75j	64.01	21.26	82.83	85.52	76	o69y
j00g	83.18	-4.38	108.53	108.62	92	o98y
j25g	66.73	-29.89	83.06	88.28	110	y34l
j50g	54.03	-48.31	63.49	79.78	127	y69l
j75g	44.73	-60.33	42.64	73.88	145	103c
g00b	47.59	-49.08	15.74	51.54	162	i23c
g25b	49.97	-39.7	-6.72	40.27	190	i55c
g50b	51.85	-32.33	-24.35	40.48	217	i87c
g75b	46.92	-17.29	-36.02	39.96	244	c20v
b00r	37.91	1.28	-42.35	42.37	272	c53v
b25r	23.81	30.38	-52.26	60.45	300	c87v
b50r	29.52	69.06	-42.14	80.9	329	v68m
b75r	36.48	71.47	-3.69	71.57	357	m34o

$LAB^*LCH^*_{a}$



Ein und Ausgabe: Farbmatisches Drucker-Reflektiv-System FRS09_92a für relativen CIELAB-Bunton $h^* = lab^*h^* = h_{ab}/360 = 0.256$

$u^*_e = j00g$
 $LAB^*LCH^*_a$

Daten für jede Farbe:

lab^*tch^* und lab^*icu^*

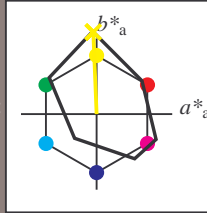
Buntontexte:

$u^*_e = j00g$ $u^*_d = o98y$

Kontrastreduzierungsfaktor:

$c_R = 1.0$

Dreiecks-Helligkeit t^*



FRS09_92a; adaptierte CIELAB-Daten

u^*_e	$L^*=L^*_a$	a^*_a	b^*_a	$C^*_{ab,a}$	$h^*_{ab,a}$
O _{Ma}	35.06	60.0	44.0	74.4	36
Y _{Ma}	83.77	-5.17	109.32	109.44	93
L _{Ma}	44.13	-62.67	48.24	79.09	142
C _{Ma}	52.66	-29.14	-31.99	43.27	228
V _{Ma}	14.15	50.3	-59.04	77.57	310
M _{Ma}	37.37	78.64	-33.5	85.48	337
N _{Ma}	8.58	0.0	0.0	0.0	0
W _{Ma}	92.02	0.0	0.0	0.0	0
R _{Ma}	39.92	58.74	27.99	65.07	25
J _{Ma}	81.26	-2.89	71.56	71.62	92
G _{Ma}	52.23	-42.42	13.6	44.55	162
B _{Ma}	30.57	1.41	-46.47	46.49	272

Daten für Maximalfarbe (Ma):

$LAB^*LAB^*_Ma: 83 -4 109$

$LAB^*LCH^*_Ma: 83 109 92$

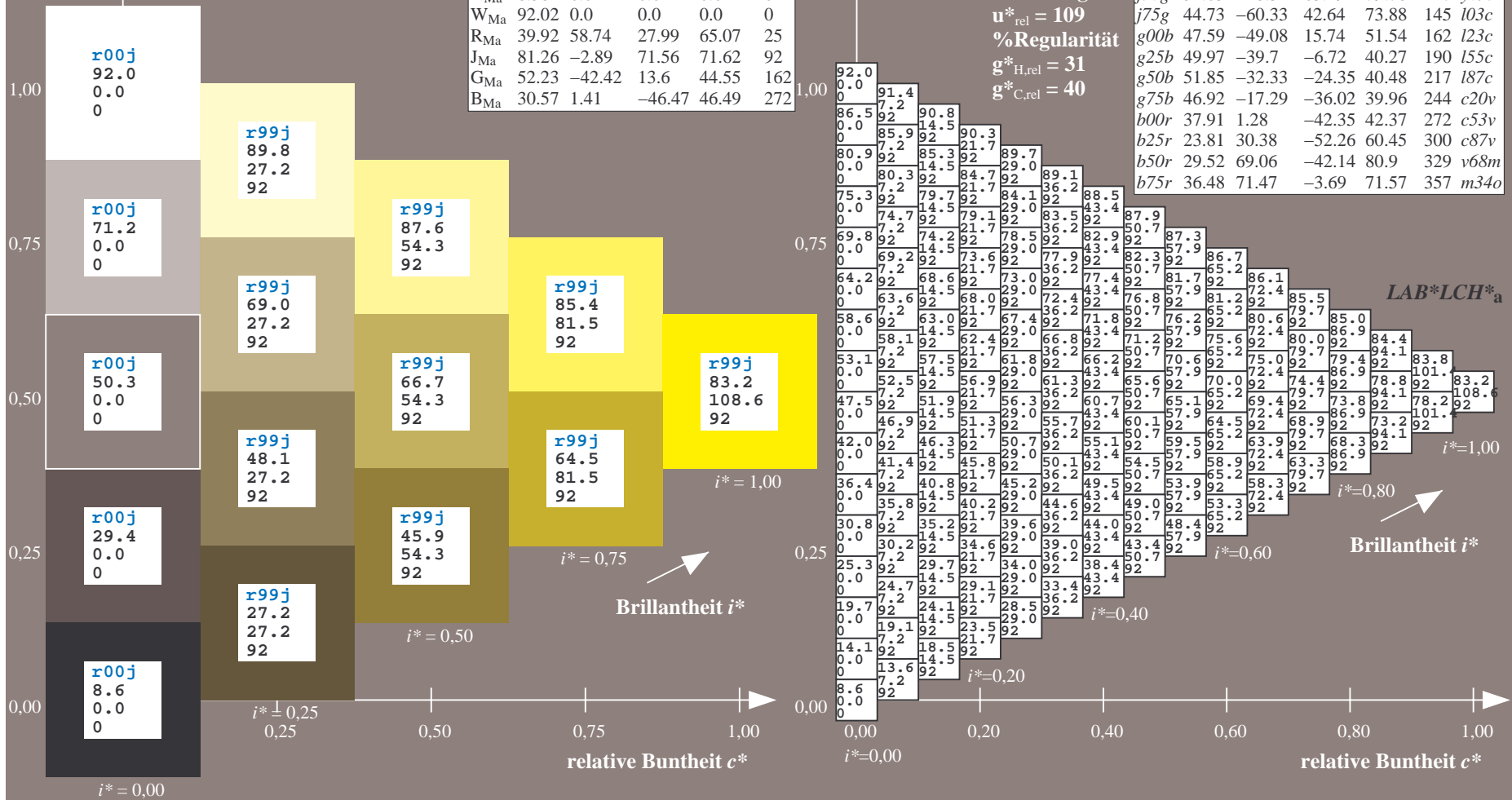
$lab^*rgb^*_Ma: 1.0 1.0 0.0$

$lab^*olv^*_Ma: 1.0 0.99 0.0$

Dreiecks-Helligkeit t^*

FRS09_92a; adaptierte CIELAB-Daten

u^*_e	$L^*=L^*_a$	a^*_a	b^*_a	$C^*_{ab,a}$	$h^*_{ab,a}$	u^*_d
r00j	35.47	63.32	30.17	70.15	25	m81o
r25j	39.12	54.56	49.45	73.64	42	o10y
r50j	50.64	39.15	64.89	75.79	59	o40y
r75j	64.01	21.26	82.83	85.52	76	o69y
j00g	83.18	-4.38	108.53	108.62	92	o98y
j25g	66.73	-29.89	83.06	88.28	110	y34l
j50g	54.03	-48.31	63.49	79.78	127	y69l
j75g	44.73	-60.33	42.64	73.88	145	l03c
g00b	47.59	-49.08	15.74	51.54	162	i23c
g25b	49.97	-39.7	-6.72	40.27	190	i55c
g50b	51.85	-32.33	-24.35	40.48	217	i87c
g75b	46.92	-17.29	-36.02	39.96	244	c20v
b00r	37.91	1.28	-42.35	42.37	272	c53v
b25r	23.81	30.38	-52.26	60.45	300	c87v
b50r	29.52	69.06	-42.14	80.9	329	v68m
b75r	36.48	71.47	-3.69	71.57	357	m34o



Ein und Ausgabe: Farbmatisches Drucker-Reflektiv-System FRS09_92a für relativen CIELAB-Bunton $h^* = lab^*h^* = h_{ab}/360 = 0.305$

$u^*_e = j25g$
LAB*LCH*_a

Daten für jede Farbe:

lab^*ch^* und lab^*icu^*

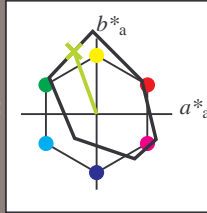
Buntontexte:

$u^*_e = j25g$ $u^*_d = y34l$

Kontrastreduzierungsfaktor:

$c_R = 1.0$

Dreiecks-Helligkeit t^*



FRS09_92a; adaptierte CIELAB-Daten

	u^*_e	$L^*=L^*_a$	a^*_a	b^*_a	$C^*_{ab,a}$	$h^*_{ab,a}$
O _{Ma}	35.06	60.0	44.0	74.4	36	
Y _{Ma}	83.77	-5.17	109.32	109.44	93	
L _{Ma}	44.13	-62.67	48.24	79.09	142	
C _{Ma}	52.66	-29.14	-31.99	43.27	228	
V _{Ma}	14.15	50.3	-59.04	77.57	310	
M _{Ma}	37.37	78.64	-33.5	85.48	337	
N _{Ma}	8.58	0.0	0.0	0.0	0	
W _{Ma}	92.02	0.0	0.0	0.0	0	
R _{Ma}	39.92	58.74	27.99	65.07	25	
J _{Ma}	81.26	-2.89	71.56	71.62	92	
G _{Ma}	52.23	-42.42	13.6	44.55	162	
B _{Ma}	30.57	1.41	-46.47	46.49	272	

Daten für Maximalfarbe (Ma):

LAB*LAB*_Ma: 67 -30 83

LAB*LCH*_Ma: 67 88 109

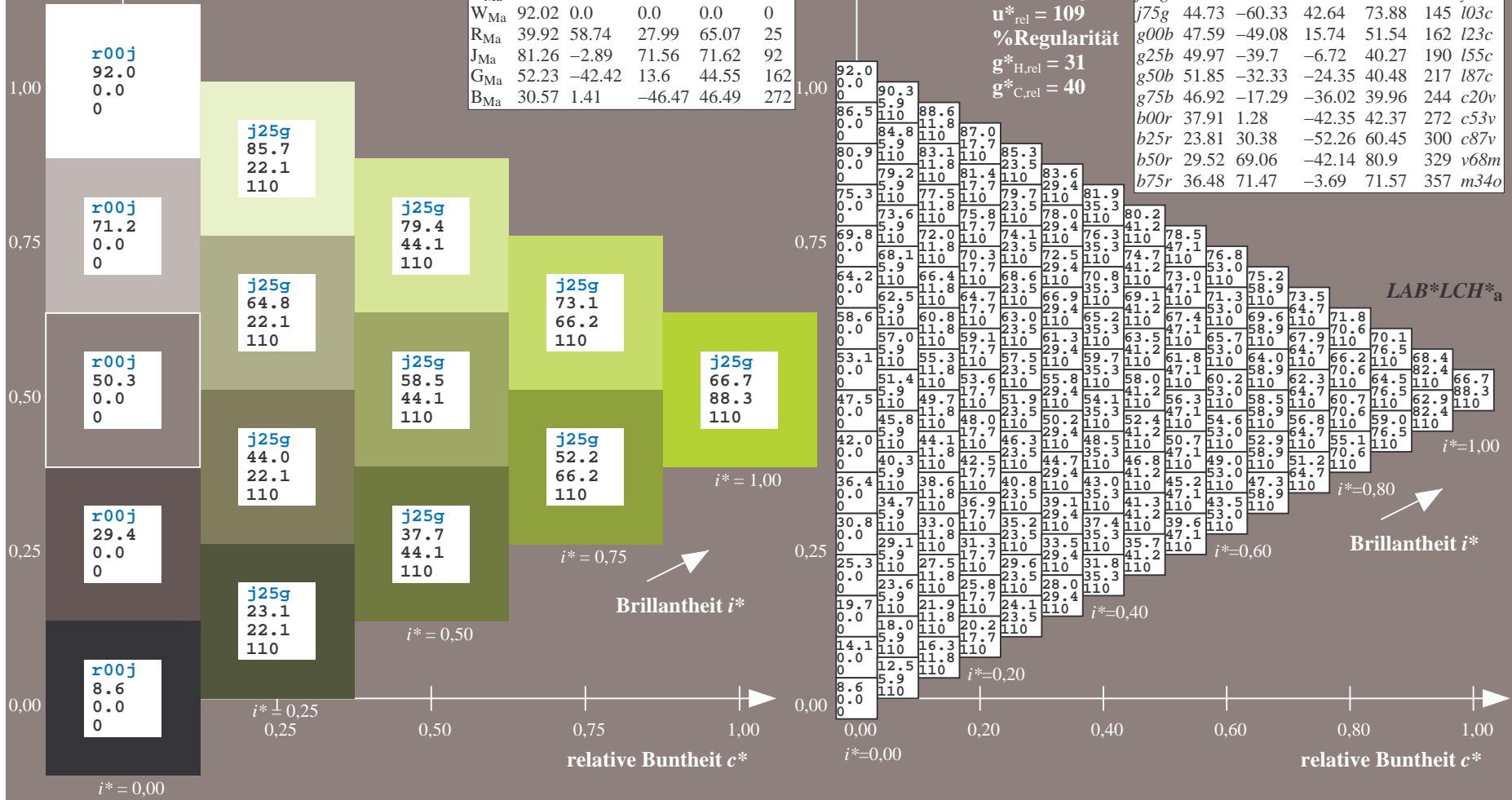
lab*rgb*_Ma: 0.75 1.0 0.0

lab*olv*_Ma: 0.66 1.0 0.0

Dreiecks-Helligkeit t^*

FRS09_92a; adaptierte CIELAB-Daten

	u^*_e	$L^*=L^*_a$	a^*_a	b^*_a	$C^*_{ab,a}$	$h^*_{ab,a}$	u^*_d
r00j	35.47	63.32	30.17	70.15	25	m81o	
r25j	39.12	54.56	49.45	73.64	42	o10y	
r50j	50.64	39.15	64.89	75.79	59	o40y	
r75j	64.01	21.26	82.83	85.52	76	o69y	
j00g	83.18	-4.38	108.53	108.62	92	o98y	
j25g	66.73	-29.89	83.06	88.28	110	y34l	
j50g	54.03	-48.31	63.49	79.78	127	y69l	
j75g	44.73	-60.33	42.64	73.88	145	103c	
g00b	47.59	-49.08	15.74	51.54	162	i23c	
g25b	49.97	-39.7	-6.72	40.27	190	i55c	
g50b	51.85	-32.33	-24.35	40.48	217	i87c	
g75b	46.92	-17.29	-36.02	39.96	244	c20v	
b00r	37.91	1.28	-42.35	42.37	272	c53v	
b25r	23.81	30.38	-52.26	60.45	300	c87v	
b50r	29.52	69.06	-42.14	80.9	329	v68m	
b75r	36.48	71.47	-3.69	71.57	357	m34o	



Ein und Ausgabe: Farbmimetrisches Drucker-Reflektiv-System FRS09_92a für relativen CIELAB-Bunton $h^* = lab^*h^* = h_{ab}/360 = 0.354$

$u^*_e = j50g$
 $LAB^*LCH^*_a$

Daten für jede Farbe:

lab^*ch^* und lab^*icu^*

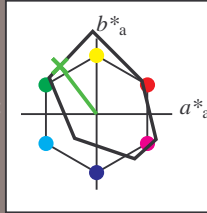
Buntontexte:

$u^*_e = j50g$ $u^*_d = y69l$

Kontrastreduzierungsfaktor:

$c_R = 1.0$

Dreiecks-Helligkeit t^*



FRS09_92a; adaptierte CIELAB-Daten

u^*_e	$L^*=L^*_a$	a^*_a	b^*_a	$C^*_{ab,a}$	$h^*_{ab,a}$
O _{Ma}	35.06	60.0	44.0	74.4	36
Y _{Ma}	83.77	-5.17	109.32	109.44	93
L _{Ma}	44.13	-62.67	48.24	79.09	142
C _{Ma}	52.66	-29.14	-31.99	43.27	228
V _{Ma}	14.15	50.3	-59.04	77.57	310
M _{Ma}	37.37	78.64	-33.5	85.48	337
N _{Ma}	8.58	0.0	0.0	0.0	0
W _{Ma}	92.02	0.0	0.0	0.0	0
R _{Ma}	39.92	58.74	27.99	65.07	25
J _{Ma}	81.26	-2.89	71.56	71.62	92
G _{Ma}	52.23	-42.42	13.6	44.55	162
B _{Ma}	30.57	1.41	-46.47	46.49	272

Daten für Maximalfarbe (Ma):

$LAB^*LAB^*_Ma: 54 -48 63$

$LAB^*LCH^*_Ma: 54 80 127$

$lab^*rgb^*_Ma: 0.5 1.0 0.0$

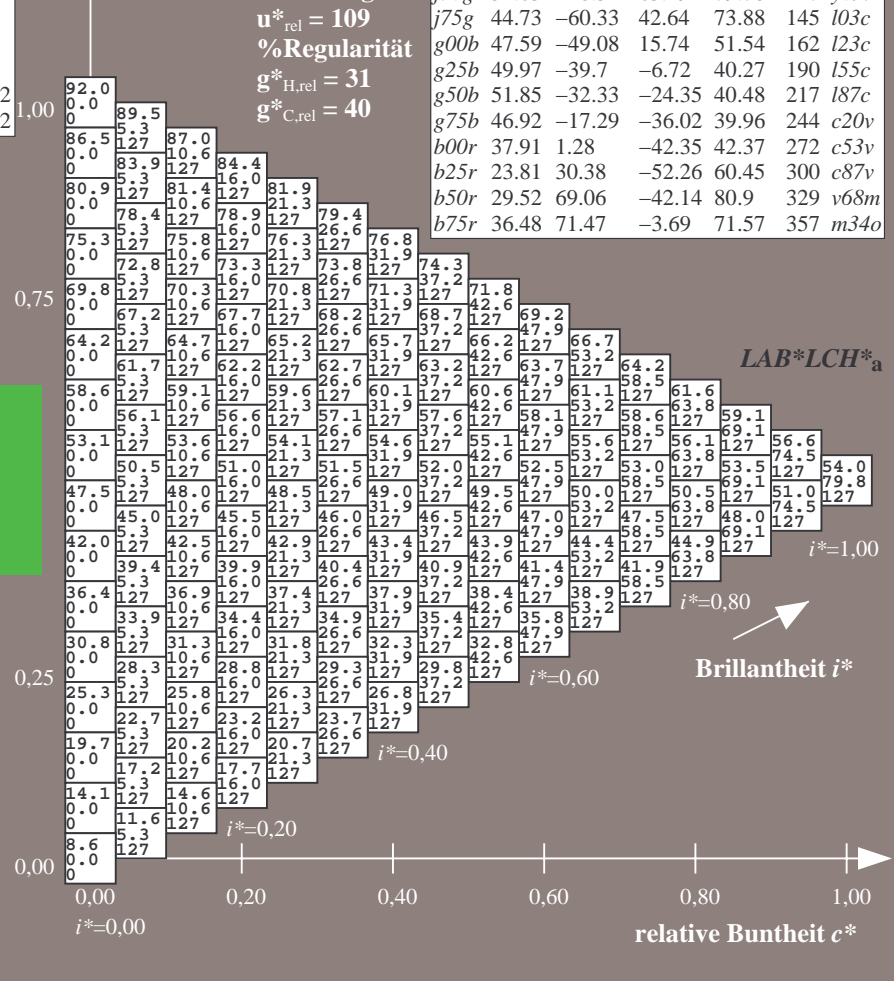
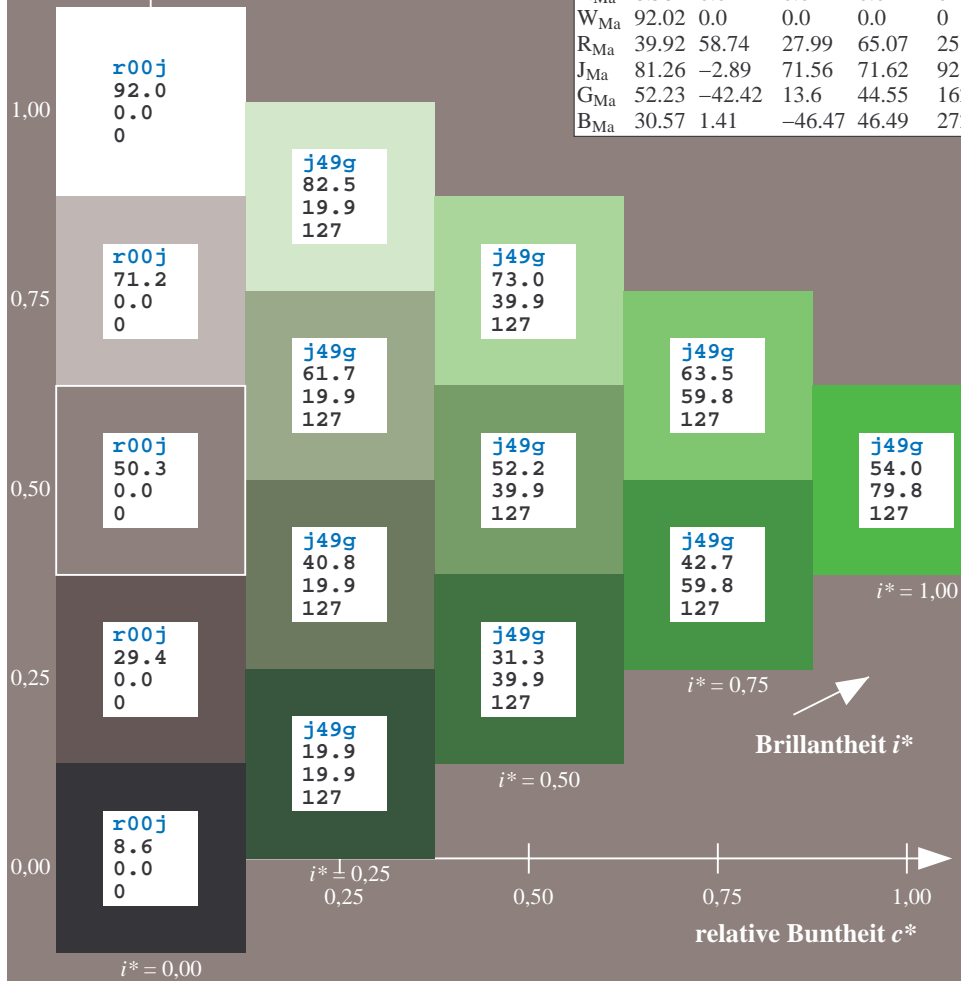
$lab^*olv^*_Ma: 0.3 1.0 0.0$

Dreiecks-Helligkeit t^*

FRS09_92a; adaptierte CIELAB-Daten

u^*_e	$L^*=L^*_a$	a^*_a	b^*_a	$C^*_{ab,a}$	$h^*_{ab,a}$	u^*_d
r00j	35.47	63.32	30.17	70.15	25	m81o
r25j	39.12	54.56	49.45	73.64	42	o10y
r50j	50.64	39.15	64.89	75.79	59	o40y
r75j	64.01	21.26	82.83	85.52	76	o69y
j00g	83.18	-4.38	108.53	108.62	92	o98y
j25g	66.73	-29.89	83.06	88.28	110	y34l
j50g	54.03	-48.31	63.49	79.78	127	y69l
j75g	44.73	-60.33	42.64	73.88	145	l03c
g00b	47.59	-49.08	15.74	51.54	162	i23c
g25b	49.97	-39.7	-6.72	40.27	190	i55c
g50b	51.85	-32.33	-24.35	40.48	217	i87c
g75b	46.92	-17.29	-36.02	39.96	244	c20v
b00r	37.91	1.28	-42.35	42.37	272	c53v
b25r	23.81	30.38	-52.26	60.45	300	c87v
b50r	29.52	69.06	-42.14	80.9	329	v68m
b75r	36.48	71.47	-3.69	71.57	357	m34o

%Umfang
 $u^*_{rel} = 109$
%Regularität
 $g^*_{H,rel} = 31$
 $g^*_{C,rel} = 40$



Ein und Ausgabe: Farbmatisches Drucker-Reflektiv-System FRS09_92a für relativen CIELAB-Bunton $h^* = lab^*h^* = h_{ab}/360 = 0.402$

$u^*_e = j75g$
 $LAB^*LCH^*_a$

Daten für jede Farbe:

lab^*tch^* und lab^*icu^*

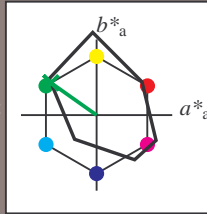
Buntontexte:

$u^*_e = j75g$ $u^*_d = l03c$

Kontrastreduzierungsfaktor:

$c_R = 1.0$

Dreiecks-Helligkeit t^*



FRS09_92a; adaptierte CIELAB-Daten

u^*_e	$L^*=L^*_a$	a^*_a	b^*_a	$C^*_{ab,a}$	$h^*_{ab,a}$
O _{Ma}	35.06	60.0	44.0	74.4	36
Y _{Ma}	83.77	-5.17	109.32	109.44	93
L _{Ma}	44.13	-62.67	48.24	79.09	142
C _{Ma}	52.66	-29.14	-31.99	43.27	228
V _{Ma}	14.15	50.3	-59.04	77.57	310
M _{Ma}	37.37	78.64	-33.5	85.48	337
N _{Ma}	8.58	0.0	0.0	0.0	0
W _{Ma}	92.02	0.0	0.0	0.0	0
R _{Ma}	39.92	58.74	27.99	65.07	25
J _{Ma}	81.26	-2.89	71.56	71.62	92
G _{Ma}	52.23	-42.42	13.6	44.55	162
B _{Ma}	30.57	1.41	-46.47	46.49	272

Daten für Maximalfarbe (Ma):

$LAB^*LAB^*_Ma: 45 -60 43$

$LAB^*LCH^*_Ma: 45 74 144$

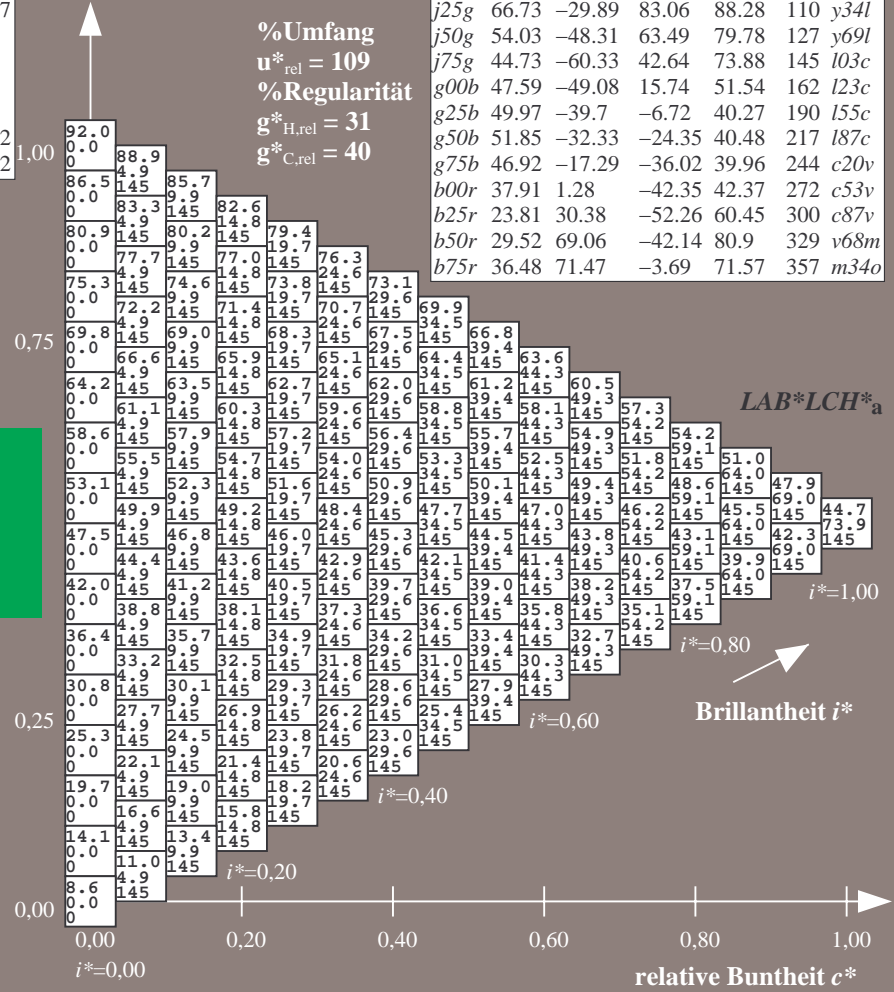
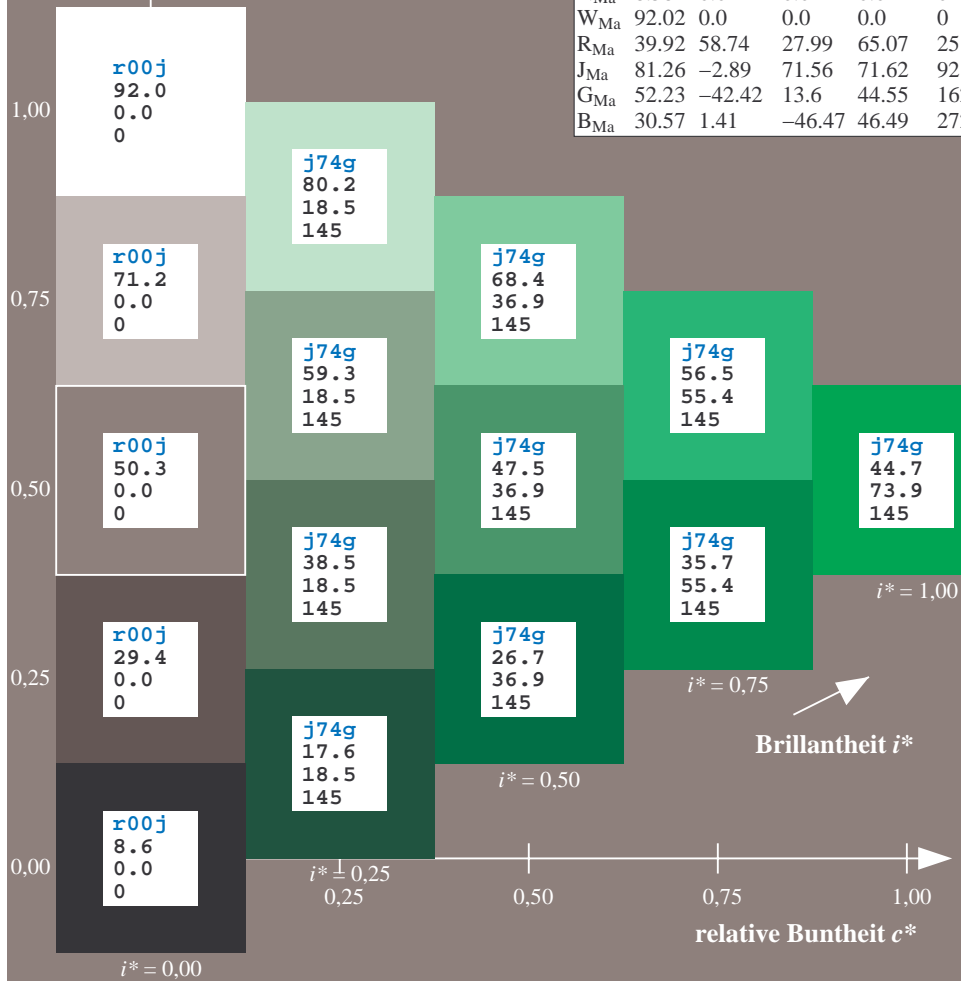
$lab^*rgb^*_Ma: 0.25 1.0 0.0$

$lab^*olv^*_Ma: 0.0 1.0 0.03$

Dreiecks-Helligkeit t^*

FRS09_92a; adaptierte CIELAB-Daten

u^*_e	$L^*=L^*_a$	a^*_a	b^*_a	$C^*_{ab,a}$	$h^*_{ab,a}$	u^*_d
r00j	35.47	63.32	30.17	70.15	25	m81o
r25j	39.12	54.56	49.45	73.64	42	o10y
r50j	50.64	39.15	64.89	75.79	59	o40y
r75j	64.01	21.26	82.83	85.52	76	o69y
j00g	83.18	-4.38	108.53	108.62	92	o98y
j25g	66.73	-29.89	83.06	88.28	110	y34l
j50g	54.03	-48.31	63.49	79.78	127	y69l
j75g	44.73	-60.33	42.64	73.88	145	i03c
g00b	47.59	-49.08	15.74	51.54	162	i23c
g25b	49.97	-39.7	-6.72	40.27	190	i55c
g50b	51.85	-32.33	-24.35	40.48	217	i87c
g75b	46.92	-17.29	-36.02	39.96	244	c20v
b00r	37.91	1.28	-42.35	42.37	272	c53v
b25r	23.81	30.38	-52.26	60.45	300	c87v
b50r	29.52	69.06	-42.14	80.9	329	v68m
b75r	36.48	71.47	-3.69	71.57	357	m34o



Ein und Ausgabe: Farbmatisches Drucker-Reflektiv-System FRS09_92a für relativen CIELAB-Bunton $h^* = lab \cdot h^* = h_{ab}/360 = 0.451$

$u^*_e = g00b$
 $LAB^*LCH^*_a$

Daten für jede Farbe:

lab^*tch^* und lab^*icu^*

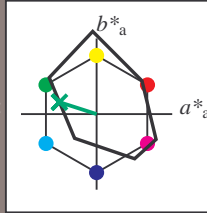
Buntontexte:

$u^*_e = g00b$ $u^*_d = l23c$

Kontrastreduzierungsfaktor:

$c_R = 1.0$

Dreiecks-Helligkeit t^*



FRS09_92a; adaptierte CIELAB-Daten

	u^*_e	$L^*=L^*_a$	a^*_a	b^*_a	$C^*_{ab,a}$	$h^*_{ab,a}$
O _{Ma}	35.06	60.0	44.0	74.4	36	
Y _{Ma}	83.77	-5.17	109.32	109.44	93	
L _{Ma}	44.13	-62.67	48.24	79.09	142	
C _{Ma}	52.66	-29.14	-31.99	43.27	228	
V _{Ma}	14.15	50.3	-59.04	77.57	310	
M _{Ma}	37.37	78.64	-33.5	85.48	337	
N _{Ma}	8.58	0.0	0.0	0.0	0	
W _{Ma}	92.02	0.0	0.0	0.0	0	
R _{Ma}	39.92	58.74	27.99	65.07	25	
J _{Ma}	81.26	-2.89	71.56	71.62	92	
G _{Ma}	52.23	-42.42	13.6	44.55	162	
B _{Ma}	30.57	1.41	-46.47	46.49	272	

Daten für Maximalfarbe (Ma):

$LAB^*LAB^*_Ma: 48 -49 16$

$LAB^*LCH^*_Ma: 48 52 162$

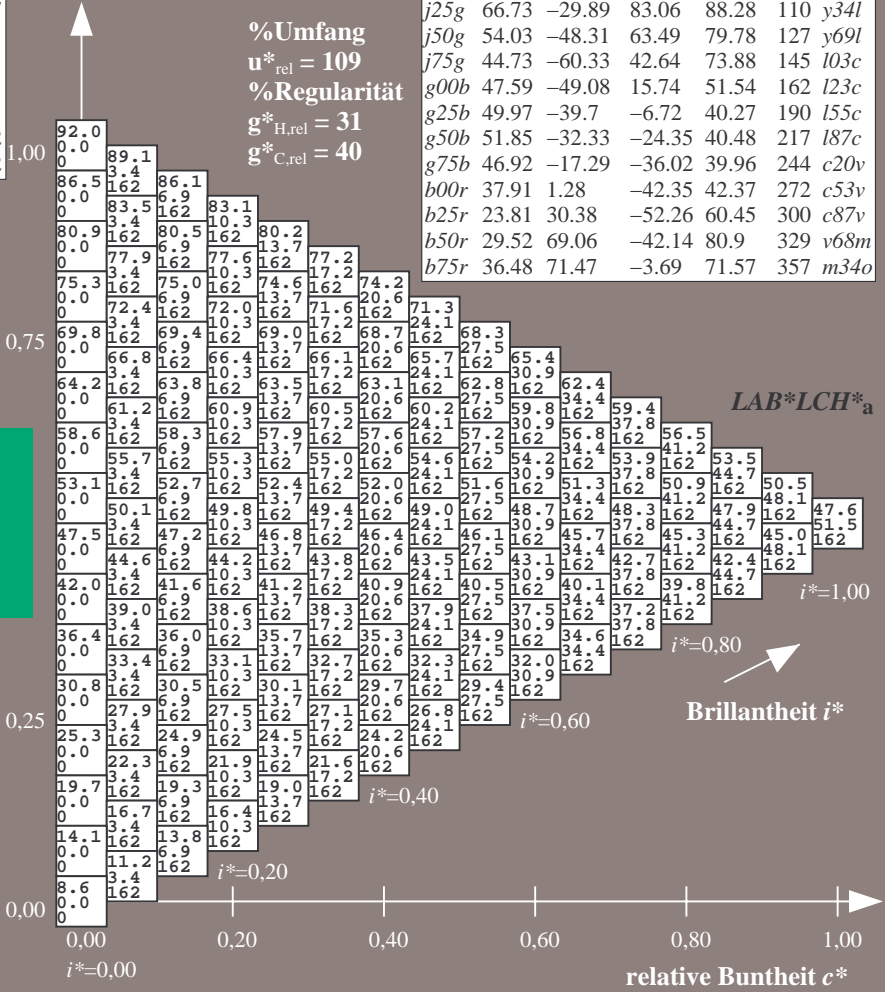
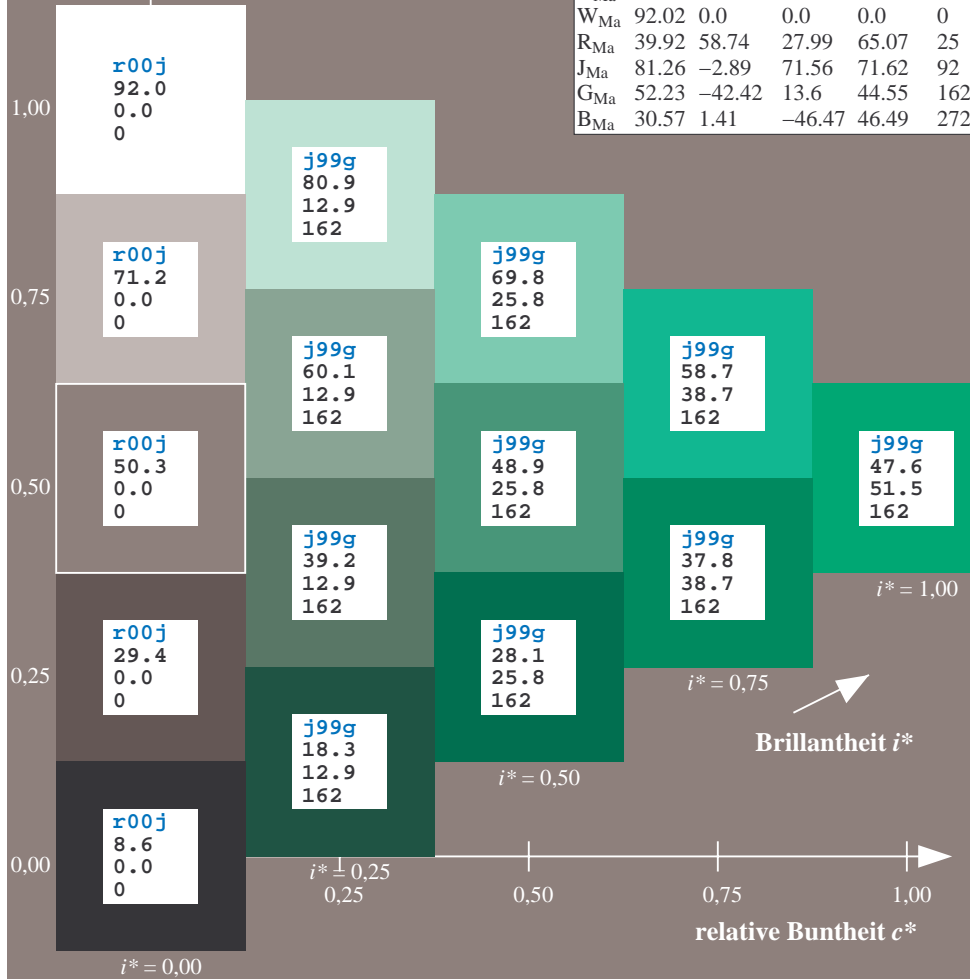
$lab^*rgb^*_Ma: 0.0 1.0 0.0$

$lab^*olv^*_Ma: 0.0 1.0 0.23$

Dreiecks-Helligkeit t^*

FRS09_92a; adaptierte CIELAB-Daten

	u^*_e	$L^*=L^*_a$	a^*_a	b^*_a	$C^*_{ab,a}$	$h^*_{ab,a}$	u^*_d
r00j	35.47	63.32	30.17	70.15	25	m81o	
r25j	39.12	54.56	49.45	73.64	42	o10y	
r50j	50.64	39.15	64.89	75.79	59	o40y	
r75j	64.01	21.26	82.83	85.52	76	o69y	
j00g	83.18	-4.38	108.53	108.62	92	o98y	
j25g	66.73	-29.89	83.06	88.28	110	y34l	
j50g	54.03	-48.31	63.49	79.78	127	y69l	
j75g	44.73	-60.33	42.64	73.88	145	i03c	
g00b	47.59	-49.08	15.74	51.54	162	i23c	
g25b	49.97	-39.7	-6.72	40.27	190	i55c	
g50b	51.85	-32.33	-24.35	40.48	217	i87c	
g75b	46.92	-17.29	-36.02	39.96	244	c20v	
b00r	37.91	1.28	-42.35	42.37	272	c53v	
b25r	23.81	30.38	-52.26	60.45	300	c87v	
b50r	29.52	69.06	-42.14	80.9	329	v68m	
b75r	36.48	71.47	-3.69	71.57	357	m34o	



%Umfang
 $u^*_{rel} = 109$
%Regularität
 $g^*_{H,rel} = 31$
 $g^*_{C,rel} = 40$

$LAB^*LCH^*_a$

$i^* = 1.00$

$i^* = 0.80$

$i^* = 0.60$

$i^* = 0.40$

$i^* = 0.20$

$i^* = 0.00$

Ein und Ausgabe: Farbmatisches Drucker-Reflektiv-System FRS09_92a für relativen CIELAB-Bunton $h^* = lab^*h^* = h_{ab}/360 = 0.527$

$u^*_e = g25b$
 $LAB^*LCH^*_a$

Daten für jede Farbe:

lab^*ch^* und lab^*icu^*

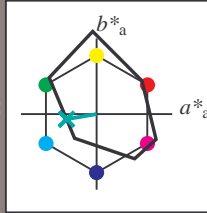
Buntontexte:

$u^*_e = g25b$ $u^*_d = l55c$

Kontrastreduzierungsfaktor:

$c_R = 1.0$

Dreiecks-Helligkeit t^*



FRS09_92a; adaptierte CIELAB-Daten

u^*_e	$L^*=L^*_a$	a^*_a	b^*_a	$C^*_{ab,a}$	$h^*_{ab,a}$
O _{Ma}	35.06	60.0	44.0	74.4	36
Y _{Ma}	83.77	-5.17	109.32	109.44	93
L _{Ma}	44.13	-62.67	48.24	79.09	142
C _{Ma}	52.66	-29.14	-31.99	43.27	228
V _{Ma}	14.15	50.3	-59.04	77.57	310
M _{Ma}	37.37	78.64	-33.5	85.48	337
N _{Ma}	8.58	0.0	0.0	0.0	0
W _{Ma}	92.02	0.0	0.0	0.0	0
R _{Ma}	39.92	58.74	27.99	65.07	25
J _{Ma}	81.26	-2.89	71.56	71.62	92
G _{Ma}	52.23	-42.42	13.6	44.55	162
B _{Ma}	30.57	1.41	-46.47	46.49	272

Daten für Maximalfarbe (Ma):

$LAB^*LAB^*_Ma: 50 -40 -7$

$LAB^*LCH^*_Ma: 50 40 189$

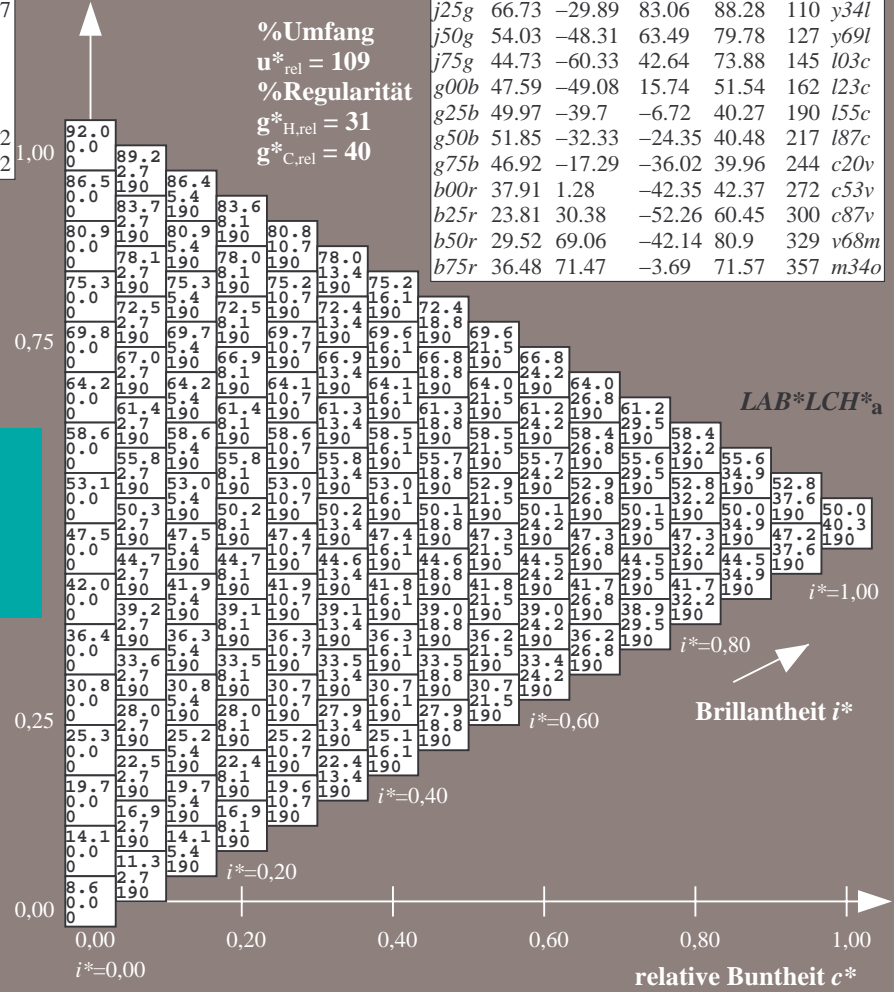
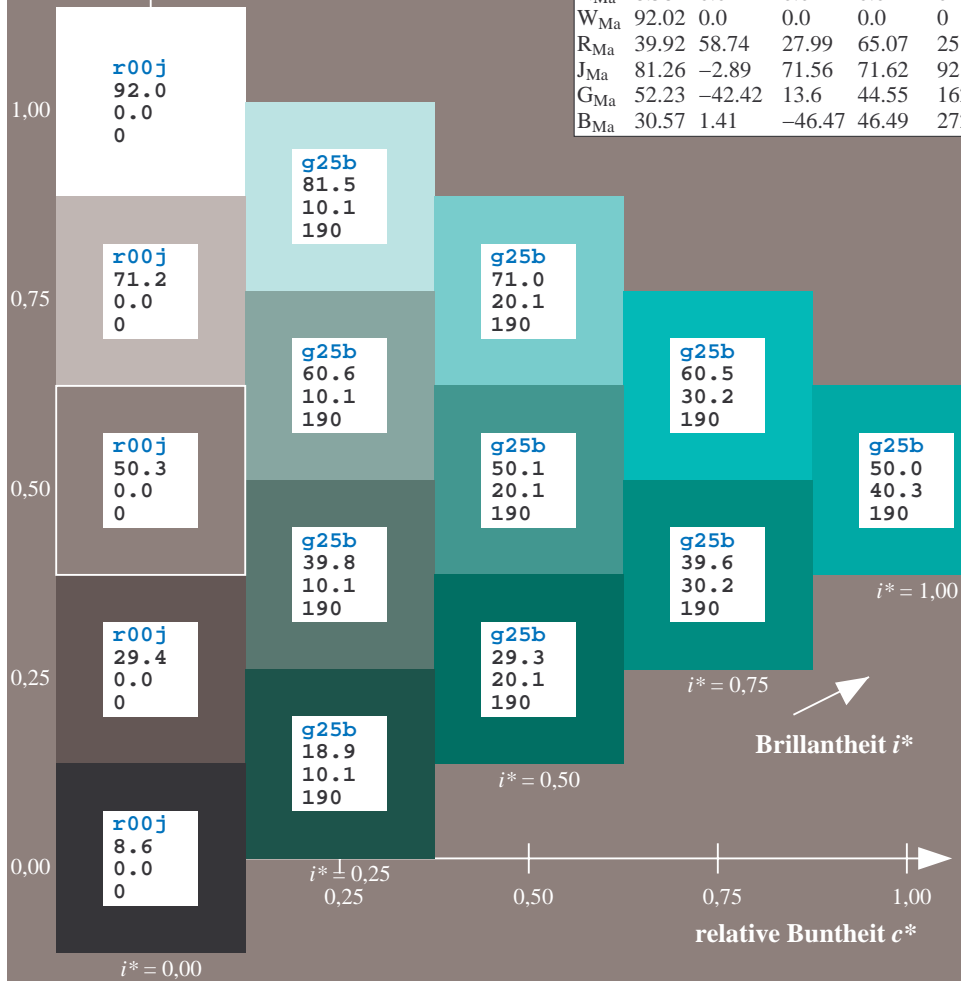
$lab^*rgb^*_Ma: 0.0 1.0 0.5$

$lab^*olv^*_Ma: 0.0 1.0 0.55$

Dreiecks-Helligkeit t^*

FRS09_92a; adaptierte CIELAB-Daten

u^*_e	$L^*=L^*_a$	a^*_a	b^*_a	$C^*_{ab,a}$	$h^*_{ab,a}$	u^*_d
r00j	35.47	63.32	30.17	70.15	25	m81o
r25j	39.12	54.56	49.45	73.64	42	o10y
r50j	50.64	39.15	64.89	75.79	59	o40y
r75j	64.01	21.26	82.83	85.52	76	o69y
j00g	83.18	-4.38	108.53	108.62	92	o98y
j25g	66.73	-29.89	83.06	88.28	110	y34l
j50g	54.03	-48.31	63.49	79.78	127	y69l
j75g	44.73	-60.33	42.64	73.88	145	l03c
g00b	47.59	-49.08	15.74	51.54	162	i23c
g25b	49.97	-39.7	-6.72	40.27	190	i55c
g50b	51.85	-32.33	-24.35	40.48	217	i87c
g75b	46.92	-17.29	-36.02	39.96	244	c20v
b00r	37.91	1.28	-42.35	42.37	272	c53v
b25r	23.81	30.38	-52.26	60.45	300	c87v
b50r	29.52	69.06	-42.14	80.9	329	v68m
b75r	36.48	71.47	-3.69	71.57	357	m34o



%Umfang
 $u^*_{rel} = 109$
%Regularität
 $g^*_{H,rel} = 31$
 $g^*_{C,rel} = 40$

$LAB^*LCH^*_a$

Brillantheit i^*

Ein und Ausgabe: Farbmimetrisches Drucker-Reflektiv-System FRS09_92a für relativen CIELAB-Bunton $h^* = lab \cdot h^* = h_{ab}/360 = 0.603$

Daten für jede Farbe:

$lab \cdot tch^*$ und $lab \cdot icu^*$

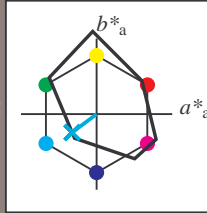
Buntontexte:

$u^*_e = g50b$ $u^*_d = l87c$

Kontrastreduzierungsfaktor:

$c_R = 1.0$

Dreiecks-Helligkeit t^*



FRS09_92a; adaptierte CIELAB-Daten

u^*_e	$L^*=L^*_a$	a^*_a	b^*_a	$C^*_{ab,a}$	$h^*_{ab,a}$
O _{Ma}	35.06	60.0	44.0	74.4	36
Y _{Ma}	83.77	-5.17	109.32	109.44	93
L _{Ma}	44.13	-62.67	48.24	79.09	142
C _{Ma}	52.66	-29.14	-31.99	43.27	228
V _{Ma}	14.15	50.3	-59.04	77.57	310
M _{Ma}	37.37	78.64	-33.5	85.48	337
N _{Ma}	8.58	0.0	0.0	0.0	0
W _{Ma}	92.02	0.0	0.0	0.0	0
R _{Ma}	39.92	58.74	27.99	65.07	25
J _{Ma}	81.26	-2.89	71.56	71.62	92
G _{Ma}	52.23	-42.42	13.6	44.55	162
B _{Ma}	30.57	1.41	-46.47	46.49	272

Daten für Maximalfarbe (Ma):

$LAB \cdot LAB^*_{Ma}$: 52 -32 -24

$LAB \cdot LCH^*_{Ma}$: 52 40 216

$lab \cdot rgb^*_{Ma}$: 0.0 1.0 1.0

$lab \cdot olv^*_{Ma}$: 0.0 1.0 0.87

Dreiecks-Helligkeit t^*

%Umfang

$u^*_{rel} = 109$

%Regularität

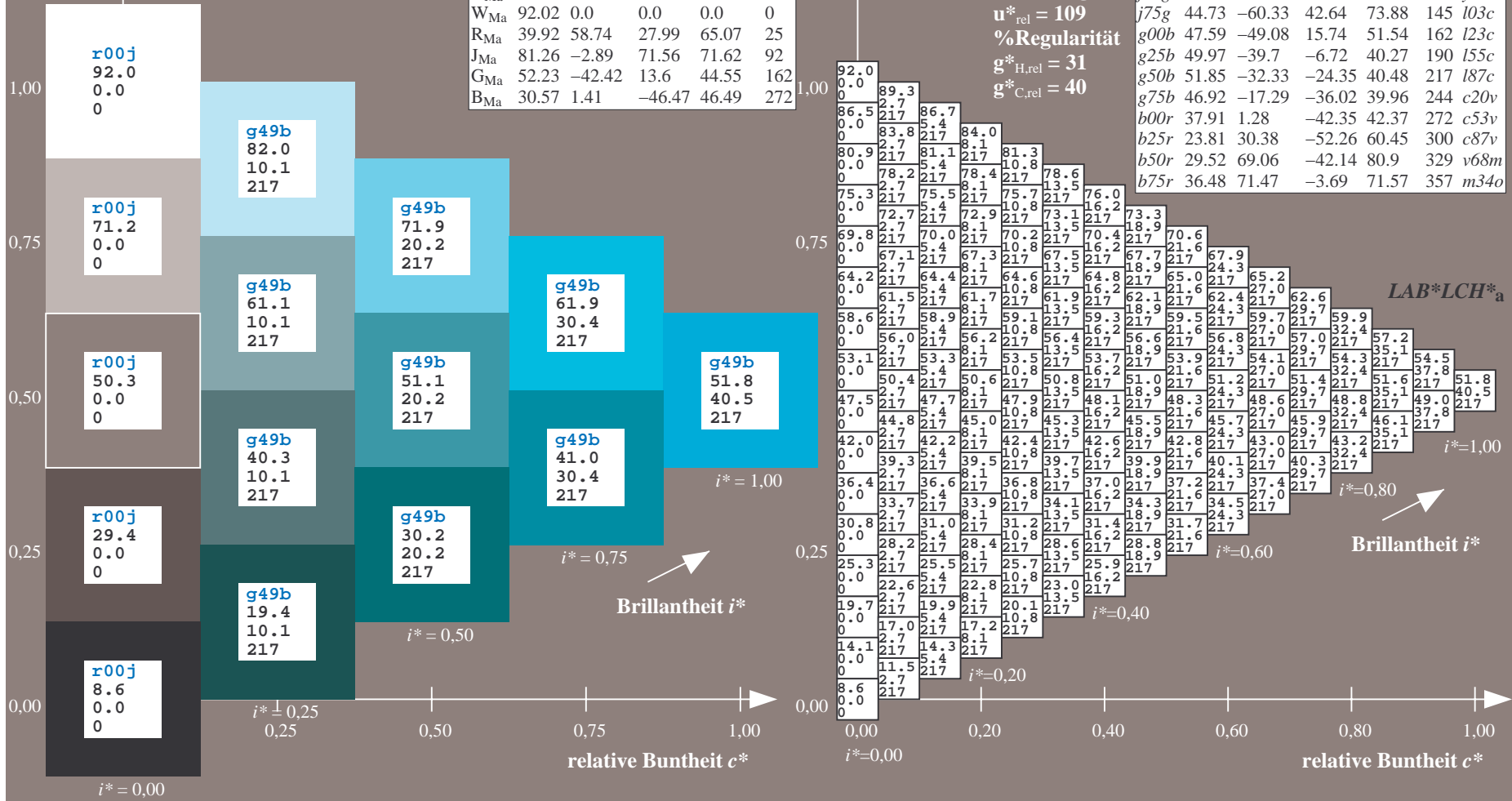
$g^*_{H,rel} = 31$

$g^*_{C,rel} = 40$

$u^*_e = g50b$
 $LAB \cdot LCH^*_a$

FRS09_92a; adaptierte CIELAB-Daten

u^*_e	$L^*=L^*_a$	a^*_a	b^*_a	$C^*_{ab,a}$	$h^*_{ab,a}$	u^*_d
r00j	35.47	63.32	30.17	70.15	25	m81o
r25j	39.12	54.56	49.45	73.64	42	o10y
r50j	50.64	39.15	64.89	75.79	59	o40y
r75j	64.01	21.26	82.83	85.52	76	o69y
j00g	83.18	-4.38	108.53	108.62	92	o98y
j25g	66.73	-29.89	83.06	88.28	110	y34l
j50g	54.03	-48.31	63.49	79.78	127	y69l
j75g	44.73	-60.33	42.64	73.88	145	i03c
g00b	47.59	-49.08	15.74	51.54	162	l23c
g25b	49.97	-39.7	-6.72	40.27	190	i55c
g50b	51.85	-32.33	-24.35	40.48	217	l87c
g75b	46.92	-17.29	-36.02	39.96	244	c20v
b00r	37.91	1.28	-42.35	42.37	272	c53v
b25r	23.81	30.38	-52.26	60.45	300	c87v
b50r	29.52	69.06	-42.14	80.9	329	v68m
b75r	36.48	71.47	-3.69	71.57	357	m34o



Ein und Ausgabe: Farbmatisches Drucker-Reflektiv-System FRS09_92a für relativen CIELAB-Bunton $h^* = lab^*h^* = h_{ab}/360 = 0.679$

$u^*_e = g75b$
 $LAB^*LCH^*_a$

Daten für jede Farbe:

lab^*ch^* und lab^*icu^*

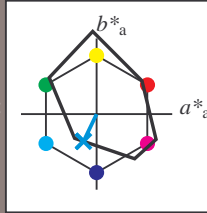
Buntontexte:

$u^*_e = g75b$ $u^*_d = c20v$

Kontrastreduzierungsfaktor:

$c_R = 1.0$

Dreiecks-Helligkeit t^*



FRS09_92a; adaptierte CIELAB-Daten

u^*_e	$L^*=L^*_a$	a^*_a	b^*_a	$C^*_{ab,a}$	$h^*_{ab,a}$
O _{Ma}	35.06	60.0	44.0	74.4	36
Y _{Ma}	83.77	-5.17	109.32	109.44	93
L _{Ma}	44.13	-62.67	48.24	79.09	142
C _{Ma}	52.66	-29.14	-31.99	43.27	228
V _{Ma}	14.15	50.3	-59.04	77.57	310
M _{Ma}	37.37	78.64	-33.5	85.48	337
N _{Ma}	8.58	0.0	0.0	0.0	0
W _{Ma}	92.02	0.0	0.0	0.0	0
R _{Ma}	39.92	58.74	27.99	65.07	25
J _{Ma}	81.26	-2.89	71.56	71.62	92
G _{Ma}	52.23	-42.42	13.6	44.55	162
B _{Ma}	30.57	1.41	-46.47	46.49	272

Daten für Maximalfarbe (Ma):

$LAB^*LAB^*_Ma: 47 -17 -36$

$LAB^*LCH^*_Ma: 47 40 244$

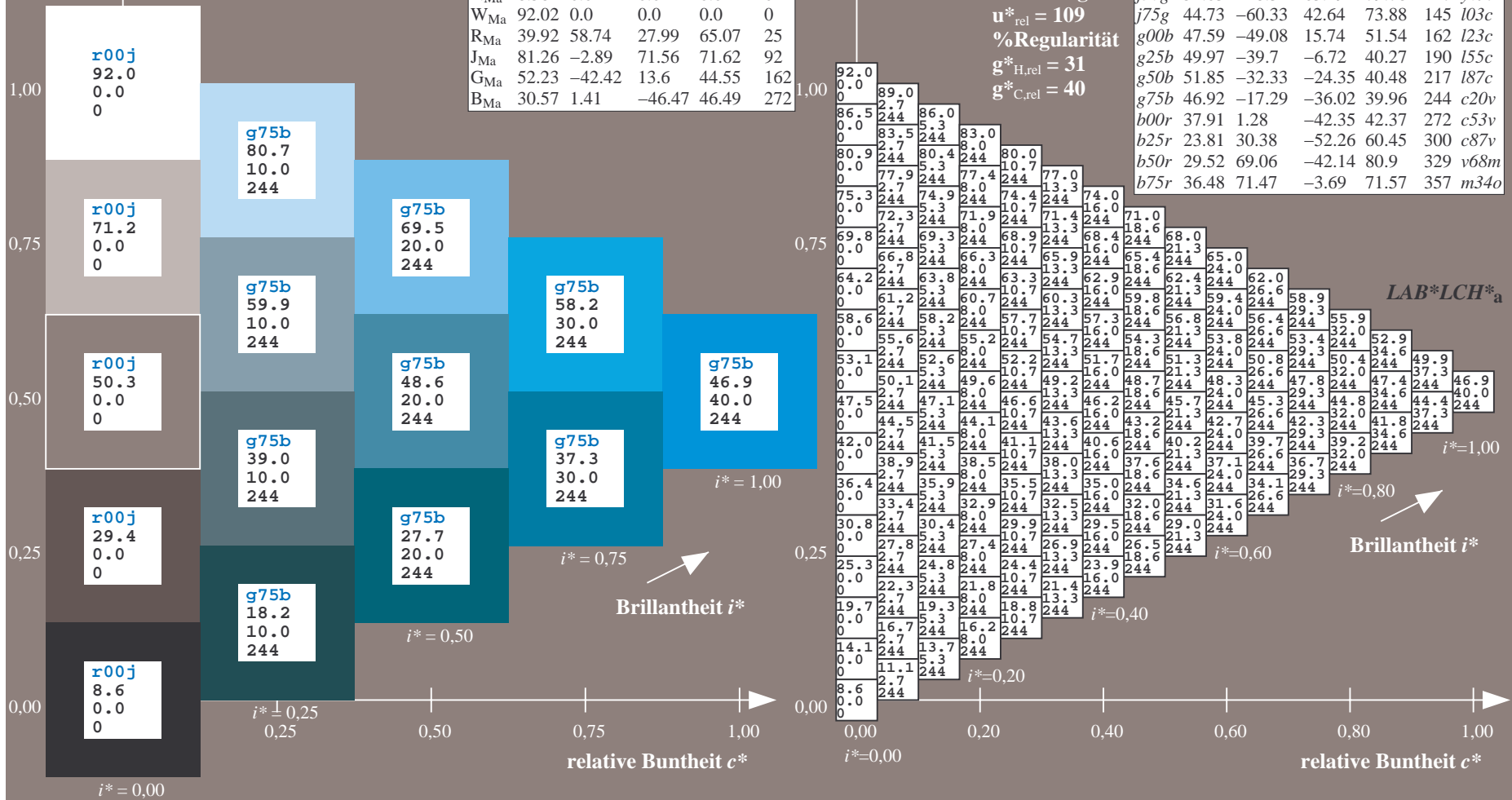
$lab^*rgb^*_Ma: 0.0 0.5 1.0$

$lab^*olv^*_Ma: 0.0 0.8 1.0$

Dreiecks-Helligkeit t^*

FRS09_92a; adaptierte CIELAB-Daten

u^*_e	$L^*=L^*_a$	a^*_a	b^*_a	$C^*_{ab,a}$	$h^*_{ab,a}$	u^*_d
r00j	35.47	63.32	30.17	70.15	25	m81o
r25j	39.12	54.56	49.45	73.64	42	o10y
r50j	50.64	39.15	64.89	75.79	59	o40y
r75j	64.01	21.26	82.83	85.52	76	o69y
j00g	83.18	-4.38	108.53	108.62	92	o98y
j25g	66.73	-29.89	83.06	88.28	110	y34l
j50g	54.03	-48.31	63.49	79.78	127	y69l
j75g	44.73	-60.33	42.64	73.88	145	l03c
g00b	47.59	-49.08	15.74	51.54	162	l23c
g25b	49.97	-39.7	-6.72	40.27	190	l55c
g50b	51.85	-32.33	-24.35	40.48	217	l87c
g75b	46.92	-17.29	-36.02	39.96	244	c20v
b00r	37.91	1.28	-42.35	42.37	272	c53v
b25r	23.81	30.38	-52.26	60.45	300	c87v
b50r	29.52	69.06	-42.14	80.9	329	v68m
b75r	36.48	71.47	-3.69	71.57	357	m34o



Ein und Ausgabe: Farbmatisches Drucker-Reflektiv-System FRS09_92a für relativen CIELAB-Bunton $h^* = lab^*h^* = h_{ab}/360 = 0.755$

$u^*_e = b00r$
 $LAB^*LCH^*_a$

Daten für jede Farbe:

lab^*ch^* und lab^*icu^*

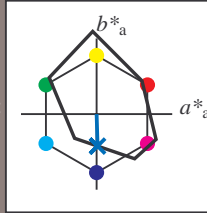
Buntontexte:

$u^*_e = b00r$ $u^*_d = c53v$

Kontrastreduzierungsfaktor:

$c_R = 1.0$

Dreiecks-Helligkeit t^*



FRS09_92a; adaptierte CIELAB-Daten

u^*_e	$L^*=L^*_a$	a^*_a	b^*_a	$C^*_{ab,a}$	$h^*_{ab,a}$
O _{Ma}	35.06	60.0	44.0	74.4	36
Y _{Ma}	83.77	-5.17	109.32	109.44	93
L _{Ma}	44.13	-62.67	48.24	79.09	142
C _{Ma}	52.66	-29.14	-31.99	43.27	228
V _{Ma}	14.15	50.3	-59.04	77.57	310
M _{Ma}	37.37	78.64	-33.5	85.48	337
N _{Ma}	8.58	0.0	0.0	0.0	0
W _{Ma}	92.02	0.0	0.0	0.0	0
R _{Ma}	39.92	58.74	27.99	65.07	25
J _{Ma}	81.26	-2.89	71.56	71.62	92
G _{Ma}	52.23	-42.42	13.6	44.55	162
B _{Ma}	30.57	1.41	-46.47	46.49	272

Daten für Maximalfarbe (Ma):

$LAB^*LAB^*_Ma$: 38 1 -42

$LAB^*LCH^*_Ma$: 38 42 271

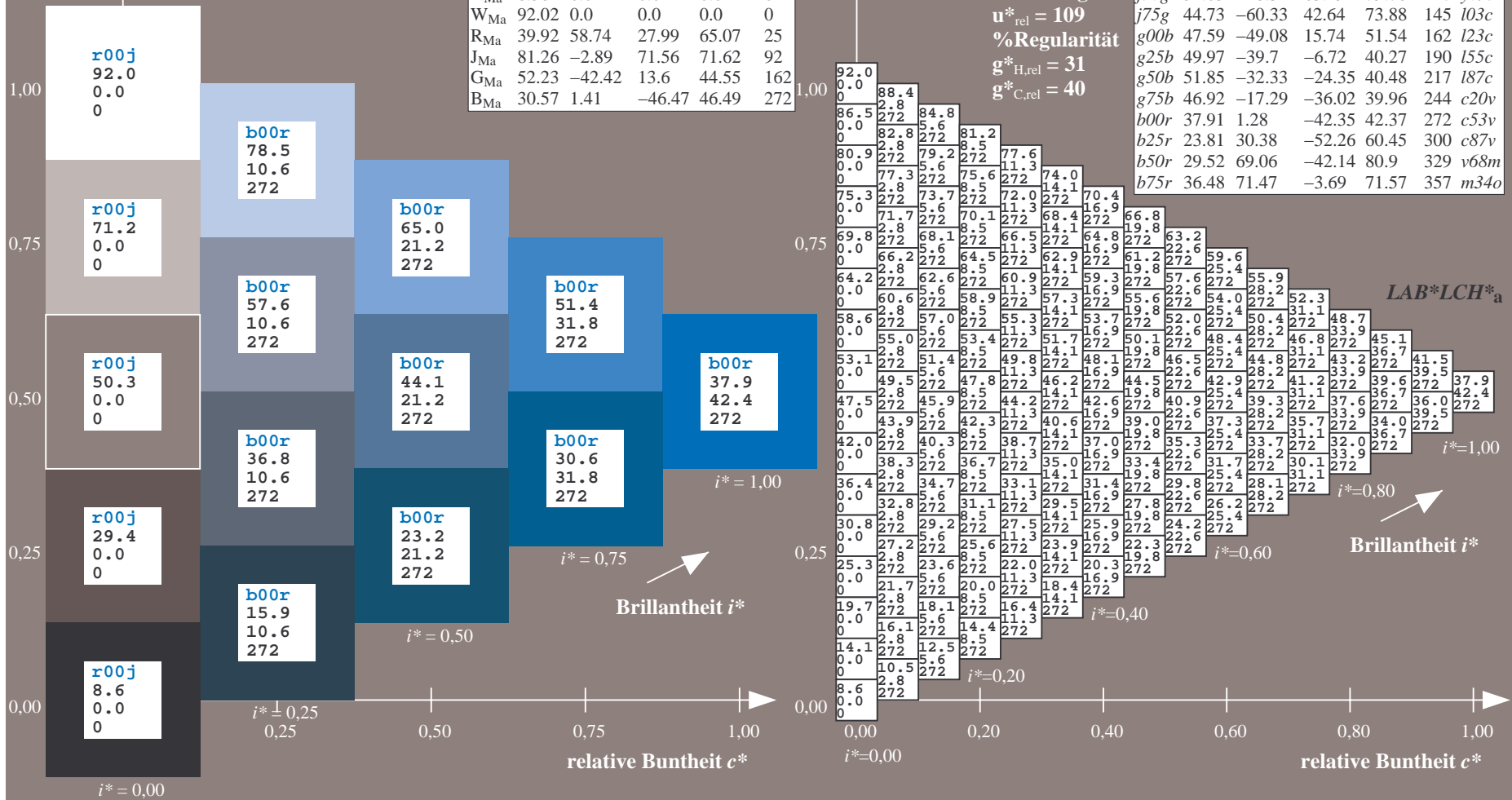
$lab^*rgb^*_Ma$: 0.0 0.0 1.0

$lab^*olv^*_Ma$: 0.0 0.47 1.0

Dreiecks-Helligkeit t^*

FRS09_92a; adaptierte CIELAB-Daten

u^*_e	$L^*=L^*_a$	a^*_a	b^*_a	$C^*_{ab,a}$	$h^*_{ab,a}$	u^*_d
r00j	35.47	63.32	30.17	70.15	25	m81o
r25j	39.12	54.56	49.45	73.64	42	o10y
r50j	50.64	39.15	64.89	75.79	59	o40y
r75j	64.01	21.26	82.83	85.52	76	o69y
j00g	83.18	-4.38	108.53	108.62	92	o98y
j25g	66.73	-29.89	83.06	88.28	110	y34l
j50g	54.03	-48.31	63.49	79.78	127	y69l
j75g	44.73	-60.33	42.64	73.88	145	i03c
g00b	47.59	-49.08	15.74	51.54	162	l23c
g25b	49.97	-39.7	-6.72	40.27	190	i55c
g50b	51.85	-32.33	-24.35	40.48	217	i87c
g75b	46.92	-17.29	-36.02	39.96	244	c20v
b00r	37.91	1.28	-42.35	42.37	272	c53v
b25r	23.81	30.38	-52.26	60.45	300	c87v
b50r	29.52	69.06	-42.14	80.9	329	v68m
b75r	36.48	71.47	-3.69	71.57	357	m34o



Ein und Ausgabe: Farbmatisches Drucker-Reflektiv-System FRS09_92a für relativen CIELAB-Bunton $h^* = lab^*h^* = h_{ab}/360 = 0.834$

$u^*_e = b25r$
 $LAB^*LCH^*_a$

Daten für jede Farbe:

lab^*ch^* und lab^*icu^*

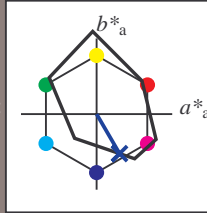
Buntontexte:

$u^*_e = b25r$ $u^*_d = c87v$

Kontrastreduzierungsfaktor:

$c_R = 1.0$

Dreiecks-Helligkeit t^*



FRS09_92a; adaptierte CIELAB-Daten

u^*_e	$L^*=L^*_a$	a^*_a	b^*_a	$C^*_{ab,a}$	$h^*_{ab,a}$
O _{Ma}	35.06	60.0	44.0	74.4	36
Y _{Ma}	83.77	-5.17	109.32	109.44	93
L _{Ma}	44.13	-62.67	48.24	79.09	142
C _{Ma}	52.66	-29.14	-31.99	43.27	228
V _{Ma}	14.15	50.3	-59.04	77.57	310
M _{Ma}	37.37	78.64	-33.5	85.48	337
N _{Ma}	8.58	0.0	0.0	0.0	0
W _{Ma}	92.02	0.0	0.0	0.0	0
R _{Ma}	39.92	58.74	27.99	65.07	25
J _{Ma}	81.26	-2.89	71.56	71.62	92
G _{Ma}	52.23	-42.42	13.6	44.55	162
B _{Ma}	30.57	1.41	-46.47	46.49	272

Daten für Maximalfarbe (Ma):

$LAB^*LAB^*_Ma: 24\ 30\ -52$

$LAB^*LCH^*_Ma: 24\ 60\ 300$

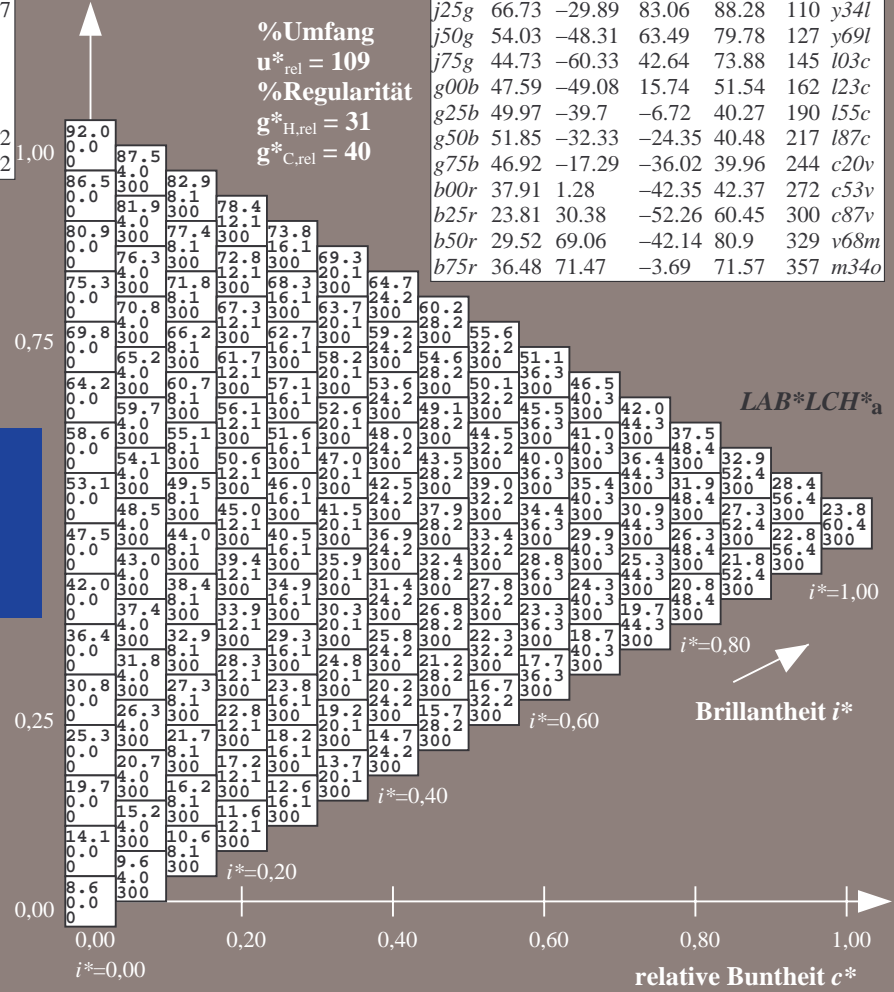
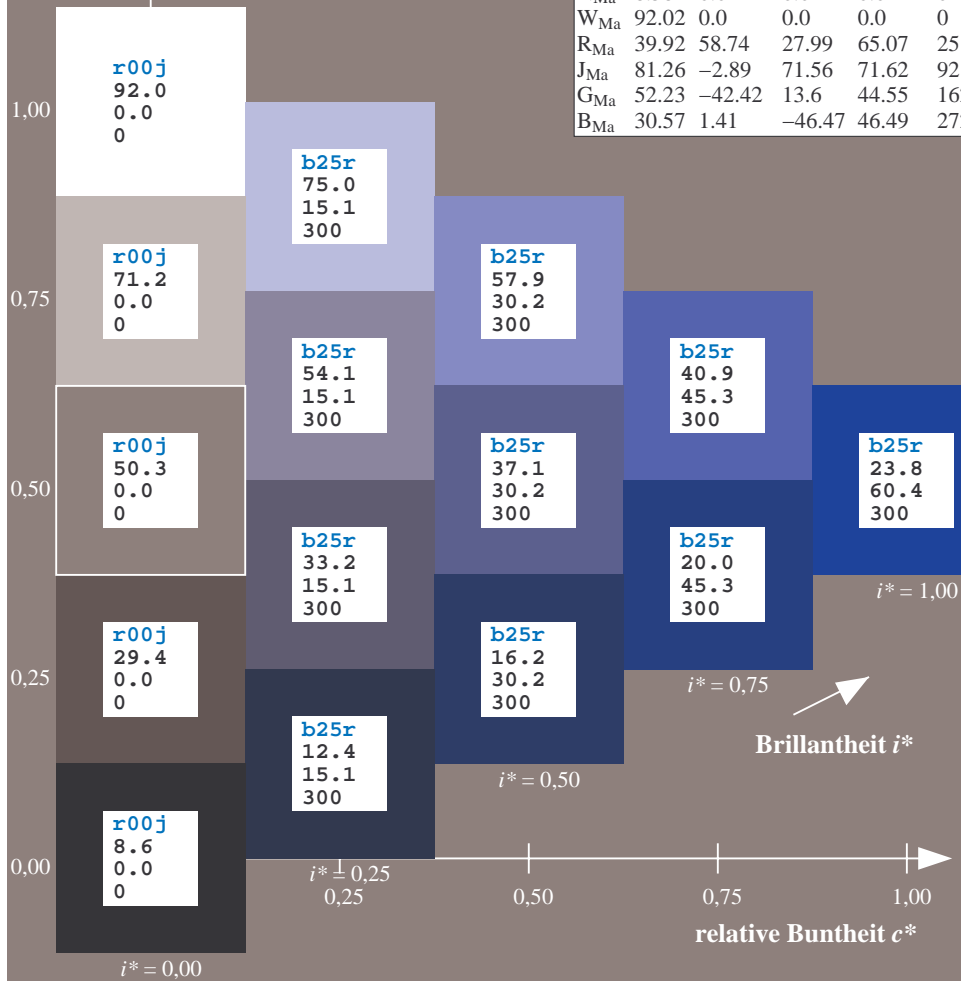
$lab^*rgb^*_Ma: 0.5\ 0.0\ 1.0$

$lab^*olv^*_Ma: 0.0\ 0.12\ 1.0$

Dreiecks-Helligkeit t^*

FRS09_92a; adaptierte CIELAB-Daten

u^*_e	$L^*=L^*_a$	a^*_a	b^*_a	$C^*_{ab,a}$	$h^*_{ab,a}$	u^*_d
r00j	35.47	63.32	30.17	70.15	25	m81o
r25j	39.12	54.56	49.45	73.64	42	o10y
r50j	50.64	39.15	64.89	75.79	59	o40y
r75j	64.01	21.26	82.83	85.52	76	o69y
j00g	83.18	-4.38	108.53	108.62	92	o98y
j25g	66.73	-29.89	83.06	88.28	110	y34l
j50g	54.03	-48.31	63.49	79.78	127	y69l
j75g	44.73	-60.33	42.64	73.88	145	i03c
g00b	47.59	-49.08	15.74	51.54	162	i23c
g25b	49.97	-39.7	-6.72	40.27	190	i55c
g50b	51.85	-32.33	-24.35	40.48	217	i87c
g75b	46.92	-17.29	-36.02	39.96	244	c20v
b00r	37.91	1.28	-42.35	42.37	272	c53v
b25r	23.81	30.38	-52.26	60.45	300	c87v
b50r	29.52	69.06	-42.14	80.9	329	v68m
b75r	36.48	71.47	-3.69	71.57	357	m34o



%Umfang
 $u^*_{rel} = 109$
%Regularität
 $g^*_{H,rel} = 31$
 $g^*_{C,rel} = 40$

$LAB^*LCH^*_a$

Brillantheit i^*

Ein und Ausgabe: Farbmatisches Drucker-Reflektiv-System FRS09_92a für relativen CIELAB-Bunton $h^* = lab^*h^* = h_{ab}/360 = 0.913$

$u^*_e = b50r$
LAB*LCH*_a

Daten für jede Farbe:

lab^*ch^* und lab^*icu^*

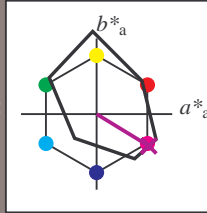
Buntontexte:

$u^*_e = b50r$ $u^*_d = v68m$

Kontrastreduzierungsfaktor:

$c_R = 1.0$

Dreiecks-Helligkeit t^*



FRS09_92a; adaptierte CIELAB-Daten

u^*_e	$L^*=L^*_a$	a^*_a	b^*_a	$C^*_{ab,a}$	$h^*_{ab,a}$
O _{Ma}	35.06	60.0	44.0	74.4	36
Y _{Ma}	83.77	-5.17	109.32	109.44	93
L _{Ma}	44.13	-62.67	48.24	79.09	142
C _{Ma}	52.66	-29.14	-31.99	43.27	228
V _{Ma}	14.15	50.3	-59.04	77.57	310
M _{Ma}	37.37	78.64	-33.5	85.48	337
N _{Ma}	8.58	0.0	0.0	0.0	0
W _{Ma}	92.02	0.0	0.0	0.0	0
R _{Ma}	39.92	58.74	27.99	65.07	25
J _{Ma}	81.26	-2.89	71.56	71.62	92
G _{Ma}	52.23	-42.42	13.6	44.55	162
B _{Ma}	30.57	1.41	-46.47	46.49	272

Daten für Maximalfarbe (Ma):

LAB*LAB*_Ma: 30 69 -42

LAB*LCH*_Ma: 30 81 328

lab*rgb*_Ma: 1.0 0.0 1.0

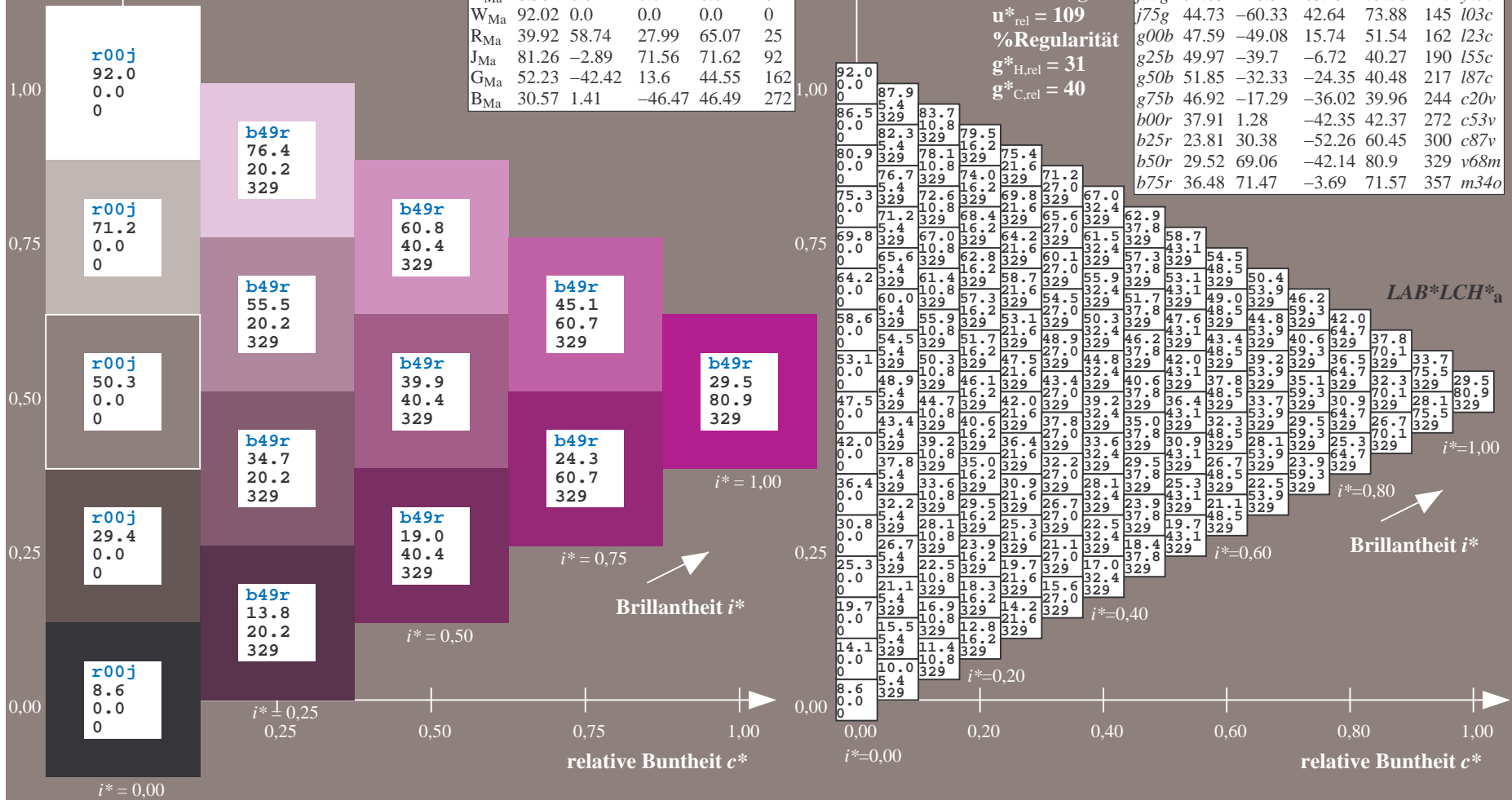
lab*olv*_Ma: 0.69 0.0 1.0

Dreiecks-Helligkeit t^*

FRS09_92a; adaptierte CIELAB-Daten

u^*_e	$L^*=L^*_a$	a^*_a	b^*_a	$C^*_{ab,a}$	$h^*_{ab,a}$	u^*_d
r00j	35.47	63.32	30.17	70.15	25	m81o
r25j	39.12	54.56	49.45	73.64	42	o10y
r50j	50.64	39.15	64.89	75.79	59	o40y
r75j	64.01	21.26	82.83	85.52	76	o69y
j00g	83.18	-4.38	108.53	108.62	92	o98y
j25g	66.73	-29.89	83.06	88.28	110	y34l
j50g	54.03	-48.31	63.49	79.78	127	y69l
j75g	44.73	-60.33	42.64	73.88	145	l03c
g00b	47.59	-49.08	15.74	51.54	162	l23c
g25b	49.97	-39.7	-6.72	40.27	190	l55c
g50b	51.85	-32.33	-24.35	40.48	217	l87c
g75b	46.92	-17.29	-36.02	39.96	244	c20v
b00r	37.91	1.28	-42.35	42.37	272	c53v
b25r	23.81	30.38	-52.26	60.45	300	c87v
b50r	29.52	69.06	-42.14	80.9	329	v68m
b75r	36.48	71.47	-3.69	71.57	357	m34o

%Umfang
 $u^*_{rel} = 109$
%Regularität
 $g^*_{H,rel} = 31$
 $g^*_{C,rel} = 40$



Ein und Ausgabe: Farbmatisches Drucker-Reflektiv-System FRS09_92a für relativen CIELAB-Bunton $h^* = lab \cdot h^* = h_{ab}/360 = 0.992$

$u^*_e = b75r$
 $LAB^*LCH^*_a$

Daten für jede Farbe:

lab^*tch^* und lab^*icu^*

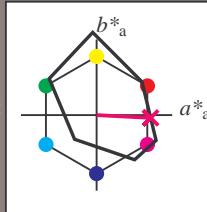
Buntontexte:

$u^*_e = b75r$ $u^*_d = m34o$

Kontrastreduzierungsfaktor:

$c_R = 1.0$

Dreiecks-Helligkeit t^*



FRS09_92a; adaptierte CIELAB-Daten

u^*_e	$L^*=L^*_a$	a^*_a	b^*_a	$C^*_{ab,a}$	$h^*_{ab,a}$
O _{Ma}	35.06	60.0	44.0	74.4	36
Y _{Ma}	83.77	-5.17	109.32	109.44	93
L _{Ma}	44.13	-62.67	48.24	79.09	142
C _{Ma}	52.66	-29.14	-31.99	43.27	228
V _{Ma}	14.15	50.3	-59.04	77.57	310
M _{Ma}	37.37	78.64	-33.5	85.48	337
N _{Ma}	8.58	0.0	0.0	0.0	0
W _{Ma}	92.02	0.0	0.0	0.0	0
R _{Ma}	39.92	58.74	27.99	65.07	25
J _{Ma}	81.26	-2.89	71.56	71.62	92
G _{Ma}	52.23	-42.42	13.6	44.55	162
B _{Ma}	30.57	1.41	-46.47	46.49	272

Daten für Maximalfarbe (Ma):

$LAB^*LAB^*_Ma: 36\ 71\ -4$

$LAB^*LCH^*_Ma: 36\ 72\ 357$

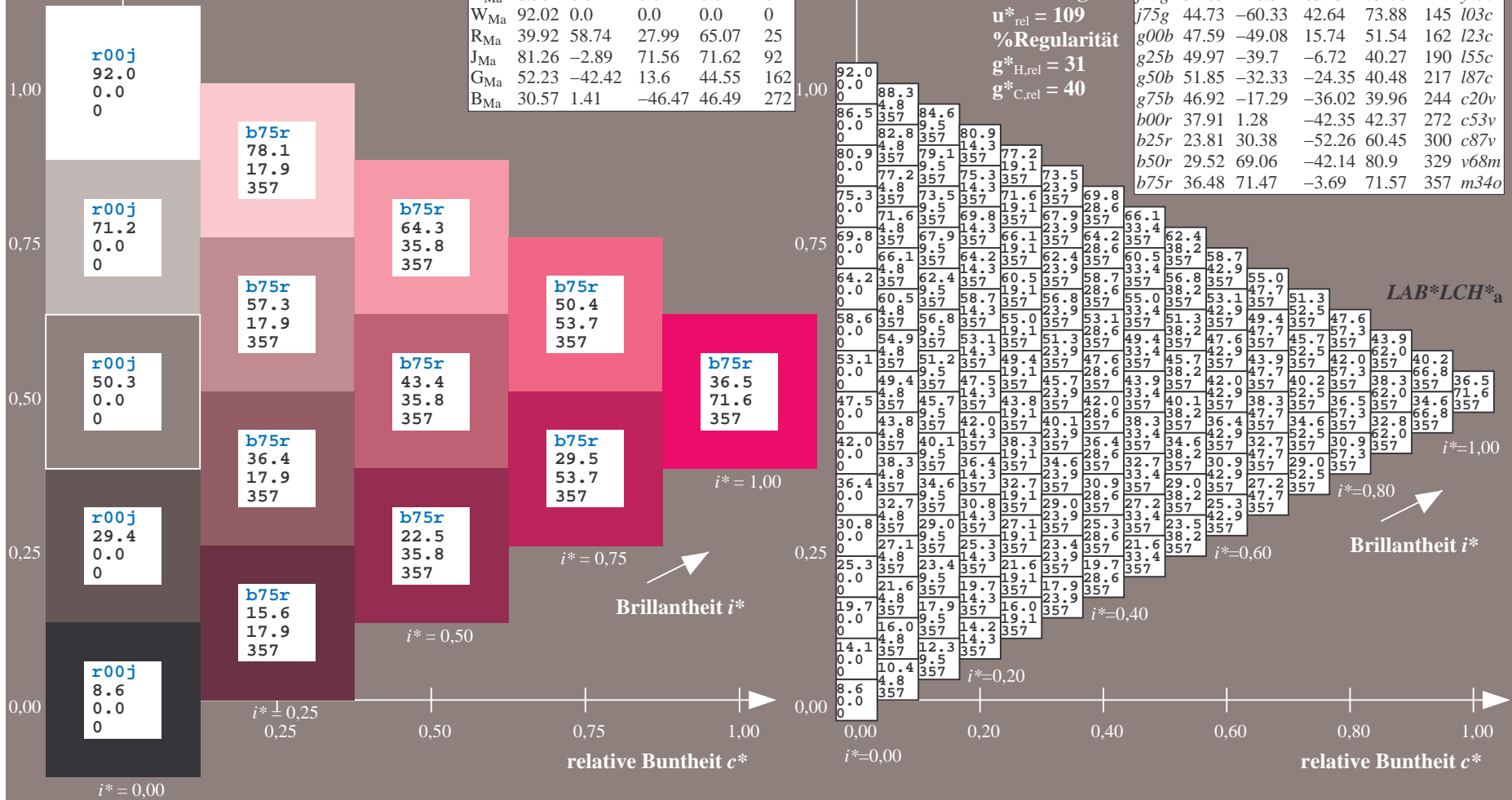
$lab^*rgb^*_Ma: 1.0\ 0.0\ 0.5$

$lab^*olv^*_Ma: 1.0\ 0.0\ 0.66$

Dreiecks-Helligkeit t^*

FRS09_92a; adaptierte CIELAB-Daten

u^*_e	$L^*=L^*_a$	a^*_a	b^*_a	$C^*_{ab,a}$	$h^*_{ab,a}$	u^*_d
r00j	35.47	63.32	30.17	70.15	25	m81o
r25j	39.12	54.56	49.45	73.64	42	o10y
r50j	50.64	39.15	64.89	75.79	59	o40y
r75j	64.01	21.26	82.83	85.52	76	o69y
j00g	83.18	-4.38	108.53	108.62	92	o98y
j25g	66.73	-29.89	83.06	88.28	110	y34l
j50g	54.03	-48.31	63.49	79.78	127	y69l
j75g	44.73	-60.33	42.64	73.88	145	l03c
g00b	47.59	-49.08	15.74	51.54	162	l23c
g25b	49.97	-39.7	-6.72	40.27	190	l55c
g50b	51.85	-32.33	-24.35	40.48	217	l87c
g75b	46.92	-17.29	-36.02	39.96	244	c20v
b00r	37.91	1.28	-42.35	42.37	272	c53v
b25r	23.81	30.38	-52.26	60.45	300	c87v
b50r	29.52	69.06	-42.14	80.9	329	v68m
b75r	36.48	71.47	-3.69	71.57	357	m34o



	A	B	C	D	E	F	G	H	I	J	K	L	M	N	O	P	Q	R	S	T	U	V	W	X	Y	Z	a	b	c	d	e	f	g	h	i	j	k	LAB*LCH*a																																																																																																																																																																																																																																																																																																																																																																																																																																																																																																																																																																																																																																																																																																																																																																																																																																																																																																																																																																																																																																																																																																																														
01	8.6	13.0	17.5	21.9	26.4	30.8	35.2	39.7	44.1	48.5	52.9	57.3	61.7	66.1	70.5	74.9	79.3	83.7	88.1	92.5	96.9	101.3	105.7	110.1	114.5	118.9	123.3	127.7	132.1	136.5	140.9	145.3	149.7	154.1	158.5	162.9	167.3	171.7	176.1	180.5	184.9	189.3	193.7	198.1	202.5	206.9	211.3	215.7	220.1	224.5	228.9	233.3	237.7	242.1	246.5	250.9	255.3	259.7	264.1	268.5	272.9	277.3	281.7	286.1	290.5	294.9	299.3	303.7	308.1	312.5	316.9	321.3	325.7	330.1	334.5	338.9	343.3	347.7	352.1	356.5	360.9	365.3	369.7	374.1	378.5	382.9	387.3	391.7	396.1	400.5	404.9	409.3	413.7	418.1	422.5	426.9	431.3	435.7	440.1	444.5	448.9	453.3	457.7	462.1	466.5	470.9	475.3	479.7	484.1	488.5	492.9	497.3	501.7	506.1	510.5	514.9	519.3	523.7	528.1	532.5	536.9	541.3	545.7	550.1	554.5	558.9	563.3	567.7	572.1	576.5	580.9	585.3	589.7	594.1	598.5	602.9	607.3	611.7	616.1	620.5	624.9	629.3	633.7	638.1	642.5	646.9	651.3	655.7	660.1	664.5	668.9	673.3	677.7	682.1	686.5	690.9	695.3	699.7	704.1	708.5	712.9	717.3	721.7	726.1	730.5	734.9	739.3	743.7	748.1	752.5	756.9	761.3	765.7	770.1	774.5	778.9	783.3	787.7	792.1	796.5	800.9	805.3	809.7	814.1	818.5	822.9	827.3	831.7	836.1	840.5	844.9	849.3	853.7	858.1	862.5	866.9	871.3	875.7	880.1	884.5	888.9	893.3	897.7	902.1	906.5	910.9	915.3	919.7	924.1	928.5	932.9	937.3	941.7	946.1	950.5	954.9	959.3	963.7	968.1	972.5	976.9	981.3	985.7	990.1	994.5	998.9	1003.3	1007.7	1012.1	1016.5	1020.9	1025.3	1029.7	1034.1	1038.5	1042.9	1047.3	1051.7	1056.1	1060.5	1064.9	1069.3	1073.7	1078.1	1082.5	1086.9	1091.3	1095.7	1100.1	1104.5	1108.9	1113.3	1117.7	1122.1	1126.5	1130.9	1135.3	1139.7	1144.1	1148.5	1152.9	1157.3	1161.7	1166.1	1170.5	1174.9	1179.3	1183.7	1188.1	1192.5	1196.9	1201.3	1205.7	1210.1	1214.5	1218.9	1223.3	1227.7	1232.1	1236.5	1240.9	1245.3	1249.7	1254.1	1258.5	1262.9	1267.3	1271.7	1276.1	1280.5	1284.9	1289.3	1293.7	1298.1	1302.5	1306.9	1311.3	1315.7	1320.1	1324.5	1328.9	1333.3	1337.7	1342.1	1346.5	1350.9	1355.3	1359.7	1364.1	1368.5	1372.9	1377.3	1381.7	1386.1	1390.5	1394.9	1399.3	1403.7	1408.1	1412.5	1416.9	1421.3	1425.7	1430.1	1434.5	1438.9	1443.3	1447.7	1452.1	1456.5	1460.9	1465.3	1469.7	1474.1	1478.5	1482.9	1487.3	1491.7	1496.1	1500.5	1504.9	1509.3	1513.7	1518.1	1522.5	1526.9	1531.3	1535.7	1540.1	1544.5	1548.9	1553.3	1557.7	1562.1	1566.5	1570.9	1575.3	1579.7	1584.1	1588.5	1592.9	1597.3	1601.7	1606.1	1610.5	1614.9	1619.3	1623.7	1628.1	1632.5	1636.9	1641.3	1645.7	1650.1	1654.5	1658.9	1663.3	1667.7	1672.1	1676.5	1680.9	1685.3	1689.7	1694.1	1698.5	1702.9	1707.3	1711.7	1716.1	1720.5	1724.9	1729.3	1733.7	1738.1	1742.5	1746.9	1751.3	1755.7	1760.1	1764.5	1768.9	1773.3	1777.7	1782.1	1786.5	1790.9	1795.3	1799.7	1804.1	1808.5	1812.9	1817.3	1821.7	1826.1	1830.5	1834.9	1839.3	1843.7	1848.1	1852.5	1856.9	1861.3	1865.7	1870.1	1874.5	1878.9	1883.3	1887.7	1892.1	1896.5	1900.9	1905.3	1909.7	1914.1	1918.5	1922.9	1927.3	1931.7	1936.1	1940.5	1944.9	1949.3	1953.7	1958.1	1962.5	1966.9	1971.3	1975.7	1980.1	1984.5	1988.9	1993.3	1997.7	2002.1	2006.5	2010.9	2015.3	2019.7	2024.1	2028.5	2032.9	2037.3	2041.7	2046.1	2050.5	2054.9	2059.3	2063.7	2068.1	2072.5	2076.9	2081.3	2085.7	2090.1	2094.5	2098.9	2103.3	2107.7	2112.1	2116.5	2120.9	2125.3	2129.7	2134.1	2138.5	2142.9	2147.3	2151.7	2156.1	2160.5	2164.9	2169.3	2173.7	2178.1	2182.5	2186.9	2191.3	2195.7	2200.1	2204.5	2208.9	2213.3	2217.7	2222.1	2226.5	2230.9	2235.3	2239.7	2244.1	2248.5	2252.9	2257.3	2261.7	2266.1	2270.5	2274.9	2279.3	2283.7	2288.1	2292.5	2296.9	2301.3	2305.7	2310.1	2314.5	2318.9	2323.3	2327.7	2332.1	2336.5	2340.9	2345.3	2349.7	2354.1	2358.5	2362.9	2367.3	2371.7	2376.1	2380.5	2384.9	2389.3	2393.7	2398.1	2402.5	2406.9	2411.3	2415.7	2420.1	2424.5	2428.9	2433.3	2437.7	2442.1	2446.5	2450.9	2455.3	2459.7	2464.1	2468.5	2472.9	2477.3	2481.7	2486.1	2490.5	2494.9	2499.3	2503.7	2508.1	2512.5	2516.9	2521.3	2525.7	2530.1	2534.5	2538.9	2543.3	2547.7	2552.1	2556.5	2560.9	2565.3	2569.7	2574.1	2578.5	2582.9	2587.3	2591.7	2596.1	2600.5	2604.9	2609.3	2613.7	2618.1	2622.5	2626.9	2631.3	2635.7	2640.1	2644.5	2648.9	2653.3	2657.7	2662.1	2666.5	2670.9	2675.3	2679.7	2684.1	2688.5	2692.9	2697.3	2701.7	2706.1	2710.5	2714.9	2719.3	2723.7	2728.1	2732.5	2736.9	2741.3	2745.7	2750.1	2754.5	2758.9	2763.3	2767.7	2772.1	2776.5	2780.9	2785.3	2789.7	2794.1	2798.5	2802.9	2807.3	2811.7	2816.1	2820.5	2824.9	2829.3	2833.7	2838.1	2842.5	2846.9	2851.3	2855.7	2860.1	2864.5	2868.9	2873.3	2877.7	2882.1	2886.5	2890.9	2895.3	2899.7	2904.1	2908.5	2912.9	2917.3	2921.7	2926.1	2930.5	2934.9	2939.3	2943.7	2948.1	2952.5	2956.9	2961.3	2965.7	2970.1	2974.5	2978.9	2983.3	2987.7	2992.1	2996.5	3000.9	3005.3	3009.7	3014.1	3018.5	3022.9	3027.3	3031.7	3036.1	3040.5	3044.9	3049.3	3053.7	3058.1	3062.5	3066.9	3071.3	3075.7	3080.1	3084.5	3088.9	3093.3	3097.7	3102.1	3106.5	3110.9	3115.3	3119.7	3124.1	3128.5	3132.9	3137.3	3141.7	3146.1	3150.5	3154.9	3159.3	3163.7	3168.1	3172.5	3176.9	3181.3	3185.7	3190.1	3194.5	3198.9	3203.3	3207.7	3212.1	3216.5	3220.9	3225.3	3229.7	3234.1	3238.5	3242.9	3247.3	3251.7	3256.1	3260.5	3264.9	3269.3	3273.7	3278.1	3282.5	3286.9	3291.3	3295.7	3300.1	3304.5	3308.9	3313.3	3317.7	3322.1	3326.5	3330.9	3335.3	3339.7	3344.1	3348.5	3352.9	3357.3	3361.7	3366.1	3370.5	3374.9	3379.3	3383.7	3388.1	3392.5	3396.9	3401.3	3405.7	3410.1	3414.5	3418.9	3423.3	3427.7	3432.1	3436.5	3440.9	3445.3	3449.7	3454.1	3458.5	3462.9	3467.3	3471.7	3476.1	3480.5	3484.9	3489.3	3493.7	3498.1	3502.5	3506.9	3511.3	3515.7	3520.1	3524.5	3528.9	3533.3	3537.7	3542.1	3546.5	3550.9	3555.3	3559.7	3564.1	3568.5	3572.9	3577.3	3581.7	3586.1	3590.5	3594.9	3599.3	3603.7	3608.1	3612.5	3616.9	3621.3	3625.7	3630.1	3634.5	3638.9	3643.3	3647.7	3652.1	3656.5	3660.9	3665.3	3669.7	3674.1	3678.5	3682.9	3687.3	3691.7	3696.1	3700.5	3704.9	3709.3	3713.7	3718.1	3722.5	3726.9	3731.3	3735.7	3740.1	3744.5	3748.9	3753.3	3757.7	3762.1	3766.5	3770.9	3775.3	3779.7	3784.1	3788.5	3792.9	3797.3	3801.7	3806.1	3810.5	3814.9	3819.3	3823.7	3828.1	3832.5	3836.9	3841.3	3845.7	3850.1	3854.5	3858.9	3863.3	3867.7	3872.1	3876.5	3880.9	3885.3	3889.7	3894.1	3898.5	3902.9	3907.3	3911.7	3916.1	3920.5	3924.9	3929.3	3933.7	3938.1	3942.5	3946.9	3951.3	3955.7	3960.1	3964.5	3968.9	3973.3	3977.7	3982.1	3986.5	3990.9	3995.3	3999.7	4004.1	4008.5	4012.9	4017.3	4021.7	4026.1	4030.5	4034.9	4039.3	4043.7	4048.1	4052.5	4056.9	4061.3	4065.7	4070.1	4074.5	4078.9	4083.3	4087.7	4092.1	4096.5	4100.9	4105.3	4109.7	4114.1	4118.5	4122.9	4127.3	4131.7	4136.1	4140.5	4144.9	4149.3	4153.7	4158.1	4162.5	4166.9	4171.3	4175.7	4180.1	4184.5	4188.9	4193.3	4197.7	4202.1	4206.5	4210.9	4215.3	4219.7	4224.1	4228.5	4232.9	4237.3	4241.7	4246.1	4250.5	4254.9	4259.3	4263.7	4268.1	4272.5	4276.9	4281.3	4285.7	4290.1	4294.5	4298.9	4303.3	4307.7	4312.1	4316.5	4320.9	4325.3	4329.7	4334.1	4338.5	4342.9	4347.3	4351.7	4356.1	4360.5	4364.9	4369.3	4373.7	4378.1	4382.5	4386.9	4391.3	4395.7	4400.1	4404.5	4408.9	4413.3	4417.7	4422.1	4426.5	4430.9	4435.3	4439.7	4444.1	4448.5	4452.9	4457.3	4461.7	4466.1	4470.5	4474.9	4479.3	4483.7	4488.1	4492.5	4496.9	4501.3	4505.7	4510.1	4514.5	4518.9	4523.3	4527.7	4532.1	4536.5	4540.9	4545.3	4549.7	4554.1	4558.5	4562.9	4567.3	4571.7	4576.1	4580.5	4584.9	4589.3	4593.7	4598.1	4602.5	4606.9	4611.3	4615.7	4620.1	4624.5	4628.9	4633.3	4637.7	4642.1	4646.5	4650.9	4655.3	4659.7	4664.1	4668.5	4672.9	4677.3	4681.7	4686.1	4690.5	4694.9	4699.3	4703.7	4708.1	4712.5	4716.9	4721.3	4725.7	4730.1	4734.5	4738.9	4743.3	4747.7	4752.1	4756.5	4760.9	4765.3	4769.7	4774.1	4778.5	4782.9	4787.3	4791.7	4796.1	4800.5	4804.9	4809.3	4813.7	4818.1	4822.5	4826.9	4831.3	4835.7	4840.1	4844.5	4848.9	4853.3	4857.7	4862.1	4866.5	4870.9	4875.3	4879.7	4884.1	4888.5	4892.9	4897.3	4901.7	4906.1	4910.5	4914.9	4919.3	4923.7	4928.1	4932.5	4936.9	4941.3	4945.7	4950.1

Ein und Ausgabe:
 Farbmetrisches Drucker-Reflektiv-System FRS09_92a

Daten für jede Farbe:

u^*_e und Nummer $Nr. = 00 \dots 15$

Elementar-Bunttextext:

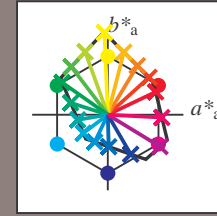
$u^*_e = 16$ Bunttoene $r00j, r25j, \dots, b75r$

Kontrastreduzierungsfaktor:

$c_R = 1.0$

FRS09_92a; adaptierte CIELAB-Daten

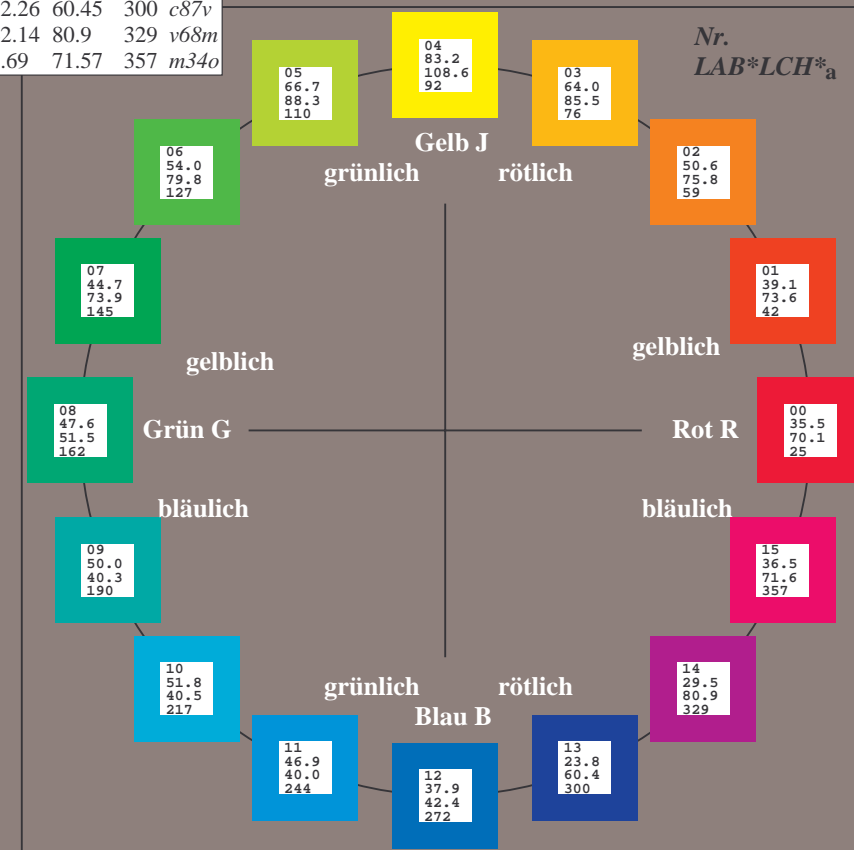
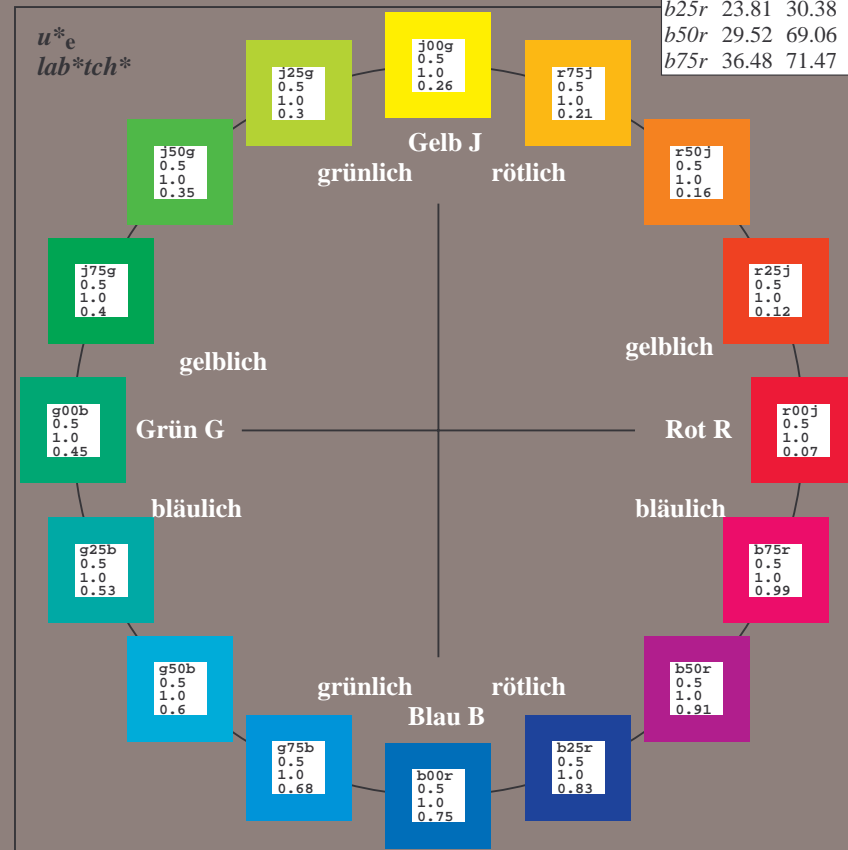
u^*_e	$L^*=L^*_a$	a^*_a	b^*_a	$C^*_{ab,a}$	$h^*_{ab,a}$	u^*_d
r00j	35.47	63.32	30.17	70.15	25	m81o
r25j	39.12	54.56	49.45	73.64	42	o10y
r50j	50.64	39.15	64.89	75.79	59	o40y
r75j	64.01	21.26	82.83	85.52	76	o69y
j00g	83.18	-4.38	108.53	108.62	92	o98y
j25g	66.73	-29.89	83.06	88.28	110	y34l
j50g	54.03	-48.31	63.49	79.78	127	y69l
j75g	44.73	-60.33	42.64	73.88	145	l03c
g00b	47.59	-49.08	15.74	51.54	162	l23c
g25b	49.97	-39.7	-6.72	40.27	190	l55c
g50b	51.85	-32.33	-24.35	40.48	217	l87c
g75b	46.92	-17.29	-36.02	39.96	244	c20v
b00r	37.91	1.28	-42.35	42.37	272	c53v
b25r	23.81	30.38	-52.26	60.45	300	c87v
b50r	29.52	69.06	-42.14	80.9	329	v68m
b75r	36.48	71.47	-3.69	71.57	357	m34o



%Umfang
 $u^*_{rel} = 109$
 %Regularität
 $g^*_{H,rel} = 31$
 $g^*_{C,rel} = 40$

FRS09_92a; adaptierte CIELAB-Daten

Name	$L^*=L^*_a$	a^*_a	b^*_a	$C^*_{ab,a}$	$h^*_{ab,a}$
OMa	35.06	60.0	44.0	74.4	36
YMa	83.77	-5.17	109.32	109.44	93
LMa	44.13	-62.67	48.24	79.09	142
CMa	52.66	-29.14	-31.99	43.27	228
VMa	14.15	50.3	-59.04	77.57	310
MMa	37.37	78.64	-33.5	85.48	337
NMa	8.58	0.0	0.0	0.0	0
WMa	92.02	0.0	0.0	0.0	0
RCIE	39.92	58.74	27.99	65.07	25
JCIE	81.26	-2.89	71.56	71.62	92
GCIE	52.23	-42.42	13.6	44.55	162
BCIE	30.57	1.41	-46.47	46.49	272



Ein und Ausgabe: Farbmatisches Drucker-Reflektiv-System FRS09_92a für relativen CIELAB-Bunton $h^* = lab^*h^* = h_{ab}/360 = 0.071$

$u^*_e = r00j$
 lab^*tch^*

Daten für jede Farbe:

lab^*tch^* und lab^*icu^*

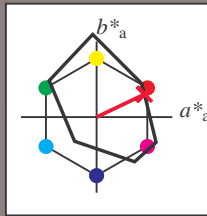
Buntontexte:

$u^*_e = r00j$ $u^*_d = m81o$

Kontrastreduzierungsfaktor:

$c_R = 1.0$

Dreiecks-Helligkeit t^*



FRS09_92a; adaptierte CIELAB-Daten

u^*_e	$L^*=L^*_a$	a^*_a	b^*_a	$C^*_{ab,a}$	$h^*_{ab,a}$
O _{Ma}	35.06	60.0	44.0	74.4	36
Y _{Ma}	83.77	-5.17	109.32	109.44	93
L _{Ma}	44.13	-62.67	48.24	79.09	142
C _{Ma}	52.66	-29.14	-31.99	43.27	228
V _{Ma}	14.15	50.3	-59.04	77.57	310
M _{Ma}	37.37	78.64	-33.5	85.48	337
N _{Ma}	8.58	0.0	0.0	0.0	0
W _{Ma}	92.02	0.0	0.0	0.0	0
R _{Ma}	39.92	58.74	27.99	65.07	25
J _{Ma}	81.26	-2.89	71.56	71.62	92
G _{Ma}	52.23	-42.42	13.6	44.55	162
B _{Ma}	30.57	1.41	-46.47	46.49	272

Daten für Maximalfarbe (Ma):

$LAB^*LAB^*_{Ma}$: 35 63 30

$LAB^*LCH^*_{Ma}$: 35 70 25

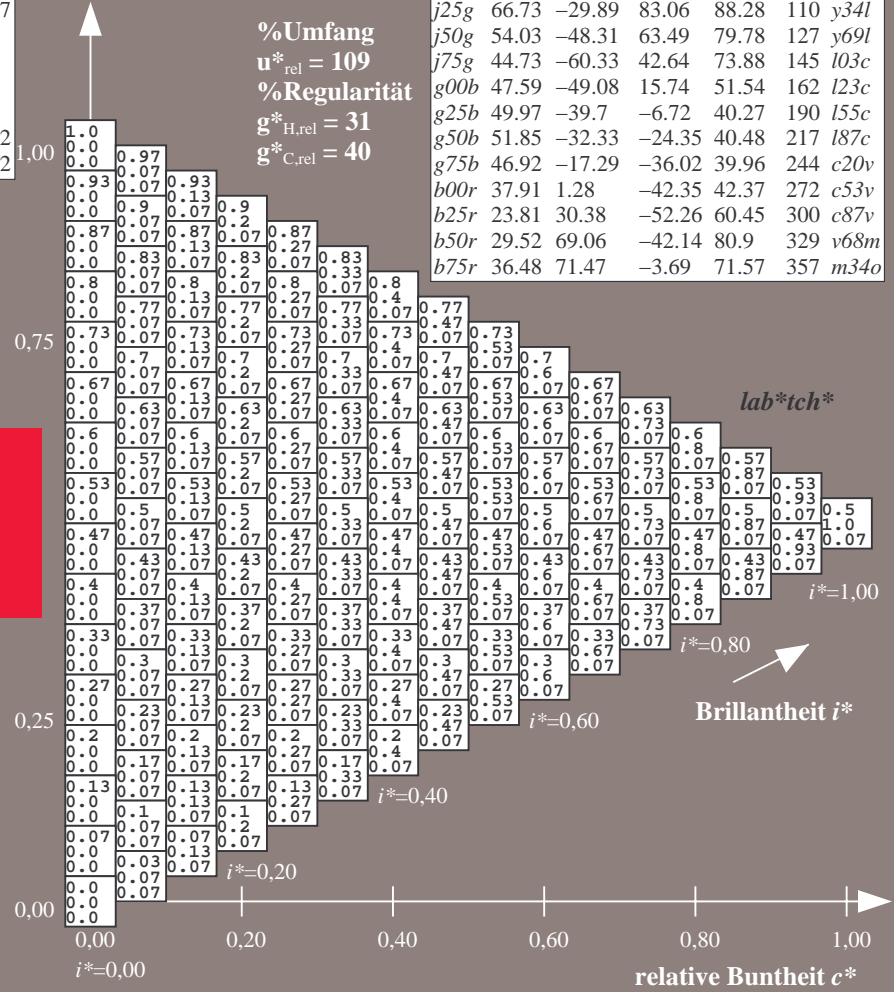
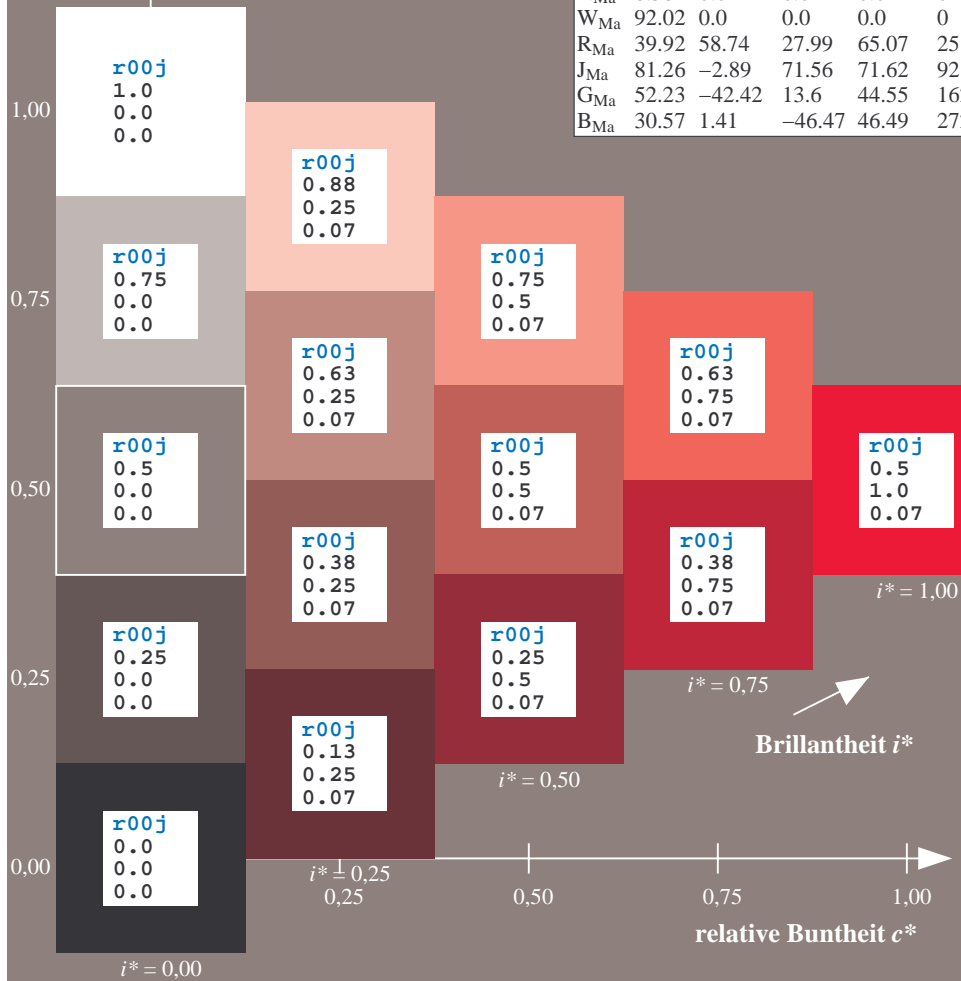
$lab^*rgb^*_{Ma}$: 1.0 0.0 0.0

$lab^*olv^*_{Ma}$: 1.0 0.0 0.18

Dreiecks-Helligkeit t^*

FRS09_92a; adaptierte CIELAB-Daten

u^*_e	$L^*=L^*_a$	a^*_a	b^*_a	$C^*_{ab,a}$	$h^*_{ab,a}$	u^*_d
r00j	35.47	63.32	30.17	70.15	25	m81o
r25j	39.12	54.56	49.45	73.64	42	o10y
r50j	50.64	39.15	64.89	75.79	59	o40y
r75j	64.01	21.26	82.83	85.52	76	o69y
j00g	83.18	-4.38	108.53	108.62	92	o98y
j25g	66.73	-29.89	83.06	88.28	110	y34l
j50g	54.03	-48.31	63.49	79.78	127	y69l
j75g	44.73	-60.33	42.64	73.88	145	103c
g00b	47.59	-49.08	15.74	51.54	162	l23c
g25b	49.97	-39.7	-6.72	40.27	190	l55c
g50b	51.85	-32.33	-24.35	40.48	217	l87c
g75b	46.92	-17.29	-36.02	39.96	244	c20v
b00r	37.91	1.28	-42.35	42.37	272	c53v
b25r	23.81	30.38	-52.26	60.45	300	c87v
b50r	29.52	69.06	-42.14	80.9	329	v68m
b75r	36.48	71.47	-3.69	71.57	357	m34o



Ein und Ausgabe: Farbmatisches Drucker-Reflektiv-System FRS09_92a für relativen CIELAB-Bunton $h^* = lab^*h^* = h_{ab}/360 = 0.117$

$u^*_e = r25j$
 lab^*tch^*

Daten für jede Farbe:

lab^*tch^* und lab^*icu^*

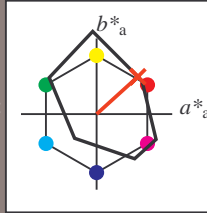
Buntontexte:

$u^*_e = r25j$ $u^*_d = o10y$

Kontrastreduzierungsfaktor:

$c_R = 1.0$

Dreiecks-Helligkeit t^*



FRS09_92a; adaptierte CIELAB-Daten

u^*_e	$L^*=L^*_a$	a^*_a	b^*_a	$C^*_{ab,a}$	$h^*_{ab,a}$
O _{Ma}	35.06	60.0	44.0	74.4	36
Y _{Ma}	83.77	-5.17	109.32	109.44	93
L _{Ma}	44.13	-62.67	48.24	79.09	142
C _{Ma}	52.66	-29.14	-31.99	43.27	228
V _{Ma}	14.15	50.3	-59.04	77.57	310
M _{Ma}	37.37	78.64	-33.5	85.48	337
N _{Ma}	8.58	0.0	0.0	0.0	0
W _{Ma}	92.02	0.0	0.0	0.0	0
R _{Ma}	39.92	58.74	27.99	65.07	25
J _{Ma}	81.26	-2.89	71.56	71.62	92
G _{Ma}	52.23	-42.42	13.6	44.55	162
B _{Ma}	30.57	1.41	-46.47	46.49	272

Daten für Maximalfarbe (Ma):

$LAB^*LAB^*_{Ma}$: 39 55 49

$LAB^*LCH^*_{Ma}$: 39 74 42

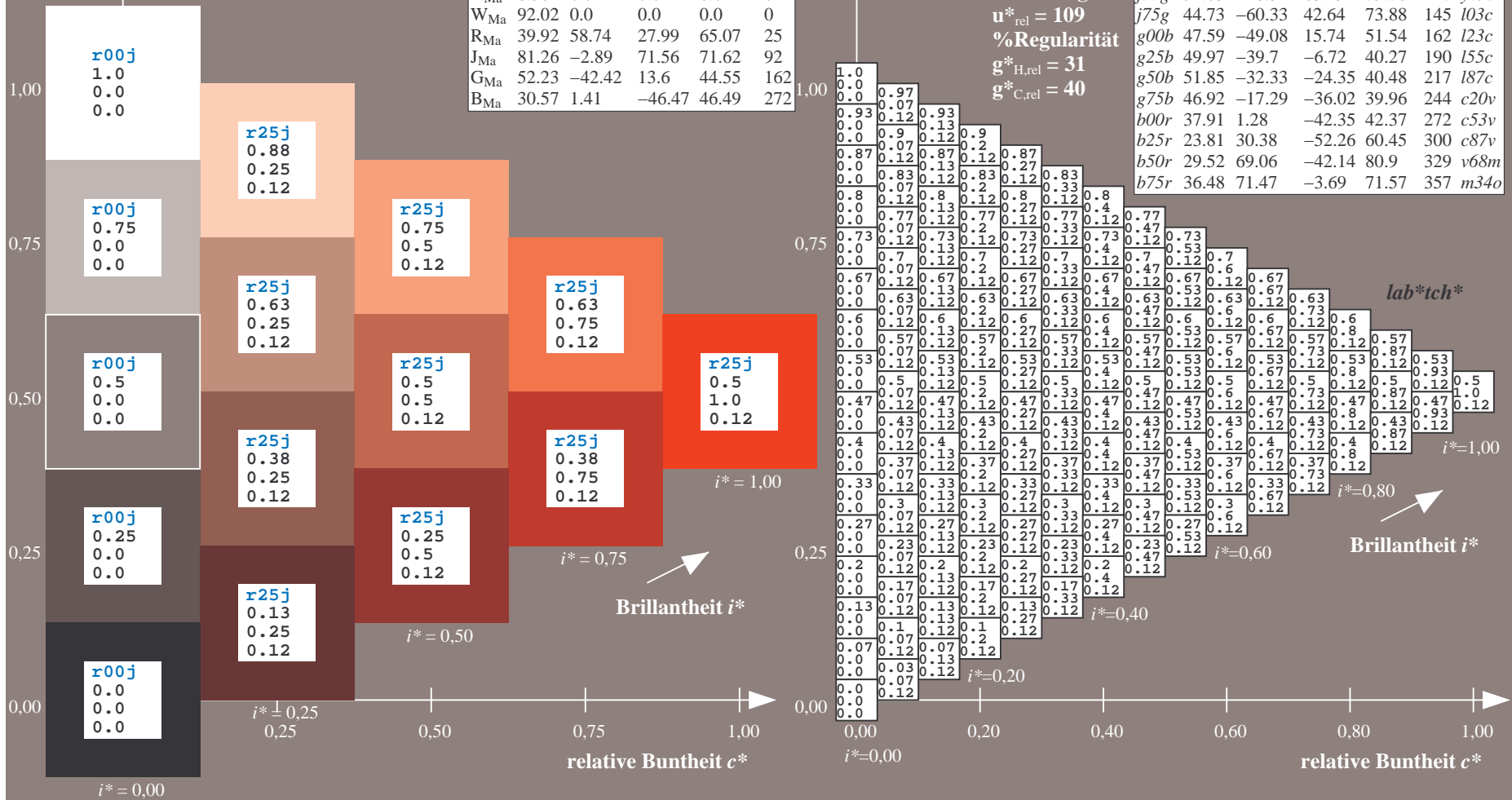
$lab^*rgb^*_{Ma}$: 1.0 0.25 0.0

$lab^*olv^*_{Ma}$: 1.0 0.11 0.0

Dreiecks-Helligkeit t^*

FRS09_92a; adaptierte CIELAB-Daten

u^*_e	$L^*=L^*_a$	a^*_a	b^*_a	$C^*_{ab,a}$	$h^*_{ab,a}$	u^*_d
r00j	35.47	63.32	30.17	70.15	25	m81o
r25j	39.12	54.56	49.45	73.64	42	o10y
r50j	50.64	39.15	64.89	75.79	59	o40y
r75j	64.01	21.26	82.83	85.52	76	o69y
j00g	83.18	-4.38	108.53	108.62	92	o98y
j25g	66.73	-29.89	83.06	88.28	110	y34l
j50g	54.03	-48.31	63.49	79.78	127	y69l
j75g	44.73	-60.33	42.64	73.88	145	103c
g00b	47.59	-49.08	15.74	51.54	162	l23c
g25b	49.97	-39.7	-6.72	40.27	190	l55c
g50b	51.85	-32.33	-24.35	40.48	217	l87c
g75b	46.92	-17.29	-36.02	39.96	244	c20v
b00r	37.91	1.28	-42.35	42.37	272	c53v
b25r	23.81	30.38	-52.26	60.45	300	c87v
b50r	29.52	69.06	-42.14	80.9	329	v68m
b75r	36.48	71.47	-3.69	71.57	357	m34o



Ein und Ausgabe: Farbmatisches Drucker-Reflektiv-System FRS09_92a für relativen CIELAB-Bunton $h^* = lab^*h^* = h_{ab}/360 = 0.164$

$u^*_e = r50j$

Daten für jede Farbe:

lab^*tch^* und lab^*icu^*

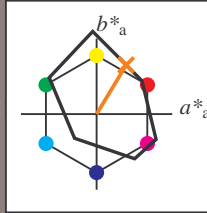
Buntontexte:

$u^*_e = r50j$ $u^*_d = o40y$

Kontrastreduzierungsfaktor:

$c_R = 1.0$

Dreiecks-Helligkeit t^*



FRS09_92a; adaptierte CIELAB-Daten

u^*_e	$L^*=L^*_a$	a^*_a	b^*_a	$C^*_{ab,a}$	$h^*_{ab,a}$
O _{Ma}	35.06	60.0	44.0	74.4	36
Y _{Ma}	83.77	-5.17	109.32	109.44	93
L _{Ma}	44.13	-62.67	48.24	79.09	142
C _{Ma}	52.66	-29.14	-31.99	43.27	228
V _{Ma}	14.15	50.3	-59.04	77.57	310
M _{Ma}	37.37	78.64	-33.5	85.48	337
N _{Ma}	8.58	0.0	0.0	0.0	0
W _{Ma}	92.02	0.0	0.0	0.0	0
R _{Ma}	39.92	58.74	27.99	65.07	25
J _{Ma}	81.26	-2.89	71.56	71.62	92
G _{Ma}	52.23	-42.42	13.6	44.55	162
B _{Ma}	30.57	1.41	-46.47	46.49	272

Daten für Maximalfarbe (Ma):

$LAB^*LAB^*_{Ma}: 51\ 39\ 65$

$LAB^*LCH^*_{Ma}: 51\ 76\ 58$

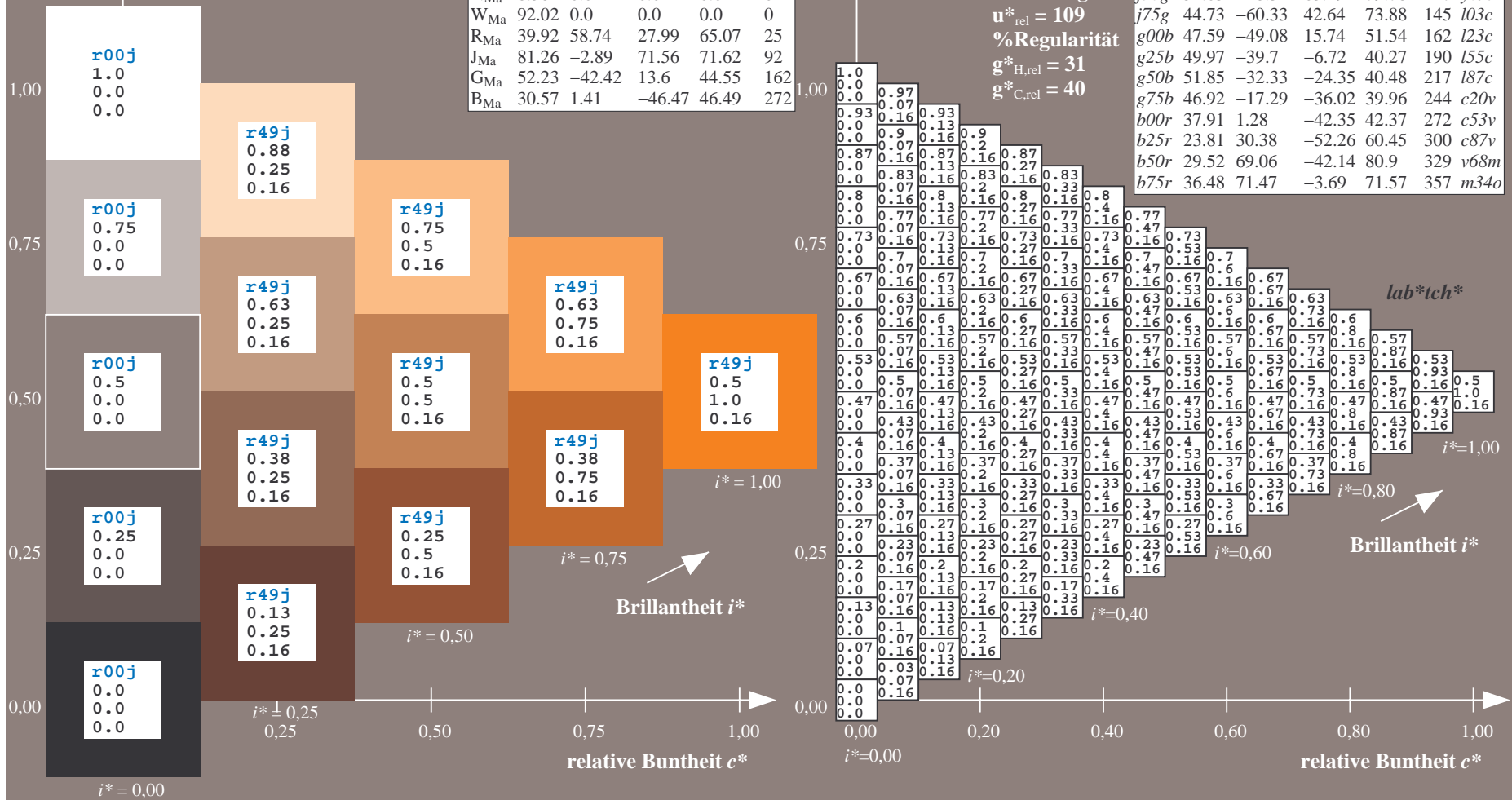
$lab^*rgb^*_{Ma}: 1.0\ 0.5\ 0.0$

$lab^*olv^*_{Ma}: 1.0\ 0.4\ 0.0$

Dreiecks-Helligkeit t^*

FRS09_92a; adaptierte CIELAB-Daten

u^*_e	$L^*=L^*_a$	a^*_a	b^*_a	$C^*_{ab,a}$	$h^*_{ab,a}$	u^*_d
r00j	35.47	63.32	30.17	70.15	25	m81o
r25j	39.12	54.56	49.45	73.64	42	o10y
r50j	50.64	39.15	64.89	75.79	59	o40y
r75j	64.01	21.26	82.83	85.52	76	o69y
j00g	83.18	-4.38	108.53	108.62	92	o98y
j25g	66.73	-29.89	83.06	88.28	110	y34l
j50g	54.03	-48.31	63.49	79.78	127	y69l
j75g	44.73	-60.33	42.64	73.88	145	103c
g00b	47.59	-49.08	15.74	51.54	162	l23c
g25b	49.97	-39.7	-6.72	40.27	190	l55c
g50b	51.85	-32.33	-24.35	40.48	217	l87c
g75b	46.92	-17.29	-36.02	39.96	244	c20v
b00r	37.91	1.28	-42.35	42.37	272	c53v
b25r	23.81	30.38	-52.26	60.45	300	c87v
b50r	29.52	69.06	-42.14	80.9	329	v68m
b75r	36.48	71.47	-3.69	71.57	357	m34o



Ein und Ausgabe: Farbmatisches Drucker-Reflektiv-System FRS09_92a für relativen CIELAB-Bunton $h^* = lab^*h^* = h_{ab}/360 = 0.21$

$u^*_e = r75j$
 lab^*tch^*

Daten für jede Farbe:

lab^*tch^* und lab^*icu^*

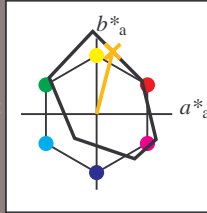
Buntontexte:

$u^*_e = r75j$ $u^*_d = o69y$

Kontrastreduzierungsfaktor:

$c_R = 1.0$

Dreiecks-Helligkeit t^*



FRS09_92a; adaptierte CIELAB-Daten

u^*_e	$L^*=L^*_a$	a^*_a	b^*_a	$C^*_{ab,a}$	$h^*_{ab,a}$
O _{Ma}	35.06	60.0	44.0	74.4	36
Y _{Ma}	83.77	-5.17	109.32	109.44	93
L _{Ma}	44.13	-62.67	48.24	79.09	142
C _{Ma}	52.66	-29.14	-31.99	43.27	228
V _{Ma}	14.15	50.3	-59.04	77.57	310
M _{Ma}	37.37	78.64	-33.5	85.48	337
N _{Ma}	8.58	0.0	0.0	0.0	0
W _{Ma}	92.02	0.0	0.0	0.0	0
R _{Ma}	39.92	58.74	27.99	65.07	25
J _{Ma}	81.26	-2.89	71.56	71.62	92
G _{Ma}	52.23	-42.42	13.6	44.55	162
B _{Ma}	30.57	1.41	-46.47	46.49	272

Daten für Maximalfarbe (Ma):

$LAB^*LAB^*_{Ma}$: 64 21 83

$LAB^*LCH^*_{Ma}$: 64 86 75

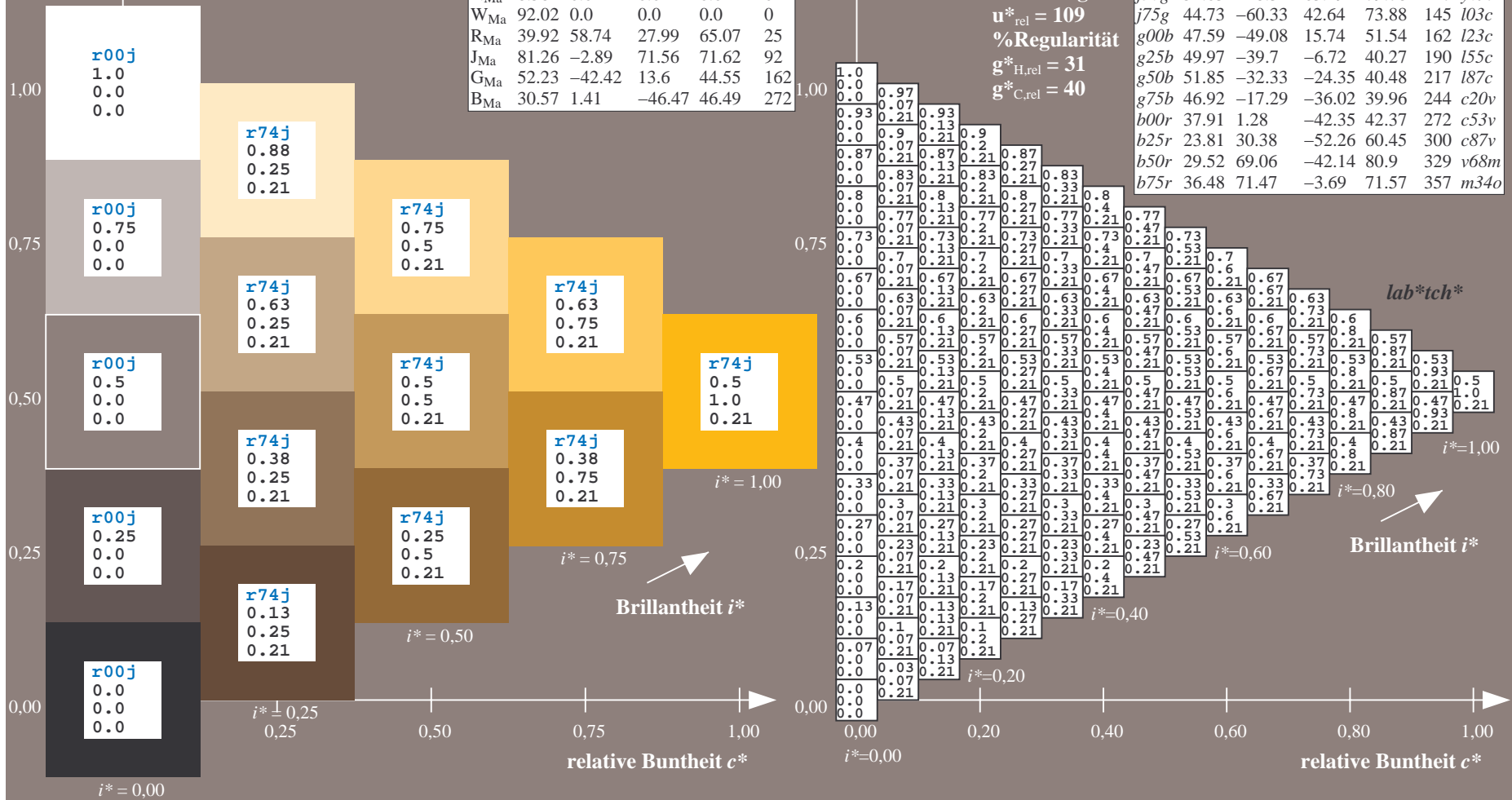
$lab^*rgb^*_{Ma}$: 1.0 0.75 0.0

$lab^*olv^*_{Ma}$: 1.0 0.7 0.0

Dreiecks-Helligkeit t^*

FRS09_92a; adaptierte CIELAB-Daten

u^*_e	$L^*=L^*_a$	a^*_a	b^*_a	$C^*_{ab,a}$	$h^*_{ab,a}$	u^*_d
r00j	35.47	63.32	30.17	70.15	25	m81o
r25j	39.12	54.56	49.45	73.64	42	o10y
r50j	50.64	39.15	64.89	75.79	59	o40y
r75j	64.01	21.26	82.83	85.52	76	o69y
j00g	83.18	-4.38	108.53	108.62	92	o98y
j25g	66.73	-29.89	83.06	88.28	110	y34l
j50g	54.03	-48.31	63.49	79.78	127	y69l
j75g	44.73	-60.33	42.64	73.88	145	103c
g00b	47.59	-49.08	15.74	51.54	162	l23c
g25b	49.97	-39.7	-6.72	40.27	190	l55c
g50b	51.85	-32.33	-24.35	40.48	217	l87c
g75b	46.92	-17.29	-36.02	39.96	244	c20v
b00r	37.91	1.28	-42.35	42.37	272	c53v
b25r	23.81	30.38	-52.26	60.45	300	c87v
b50r	29.52	69.06	-42.14	80.9	329	v68m
b75r	36.48	71.47	-3.69	71.57	357	m34o



Ein und Ausgabe: Farbmatisches Drucker-Reflektiv-System FRS09_92a für relativen CIELAB-Bunton $h^* = lab^*h^* = h_{ab}/360 = 0.256$

$u^*_e = j00g$
 lab^*tch^*

Daten für jede Farbe:

lab^*tch^* und lab^*icu^*

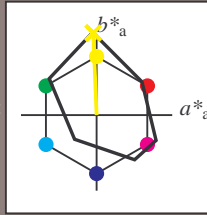
Buntontexte:

$u^*_e = j00g$ $u^*_d = o98y$

Kontrastreduzierungsfaktor:

$c_R = 1.0$

Dreiecks-Helligkeit t^*



FRS09_92a; adaptierte CIELAB-Daten

u^*_e	$L^*=L^*_a$	a^*_a	b^*_a	$C^*_{ab,a}$	$h^*_{ab,a}$
O _{Ma}	35.06	60.0	44.0	74.4	36
Y _{Ma}	83.77	-5.17	109.32	109.44	93
L _{Ma}	44.13	-62.67	48.24	79.09	142
C _{Ma}	52.66	-29.14	-31.99	43.27	228
V _{Ma}	14.15	50.3	-59.04	77.57	310
M _{Ma}	37.37	78.64	-33.5	85.48	337
N _{Ma}	8.58	0.0	0.0	0.0	0
W _{Ma}	92.02	0.0	0.0	0.0	0
R _{Ma}	39.92	58.74	27.99	65.07	25
J _{Ma}	81.26	-2.89	71.56	71.62	92
G _{Ma}	52.23	-42.42	13.6	44.55	162
B _{Ma}	30.57	1.41	-46.47	46.49	272

Daten für Maximalfarbe (Ma):

$LAB^*LAB^*_{Ma}$: 83 -4 109

$LAB^*LCH^*_{Ma}$: 83 109 92

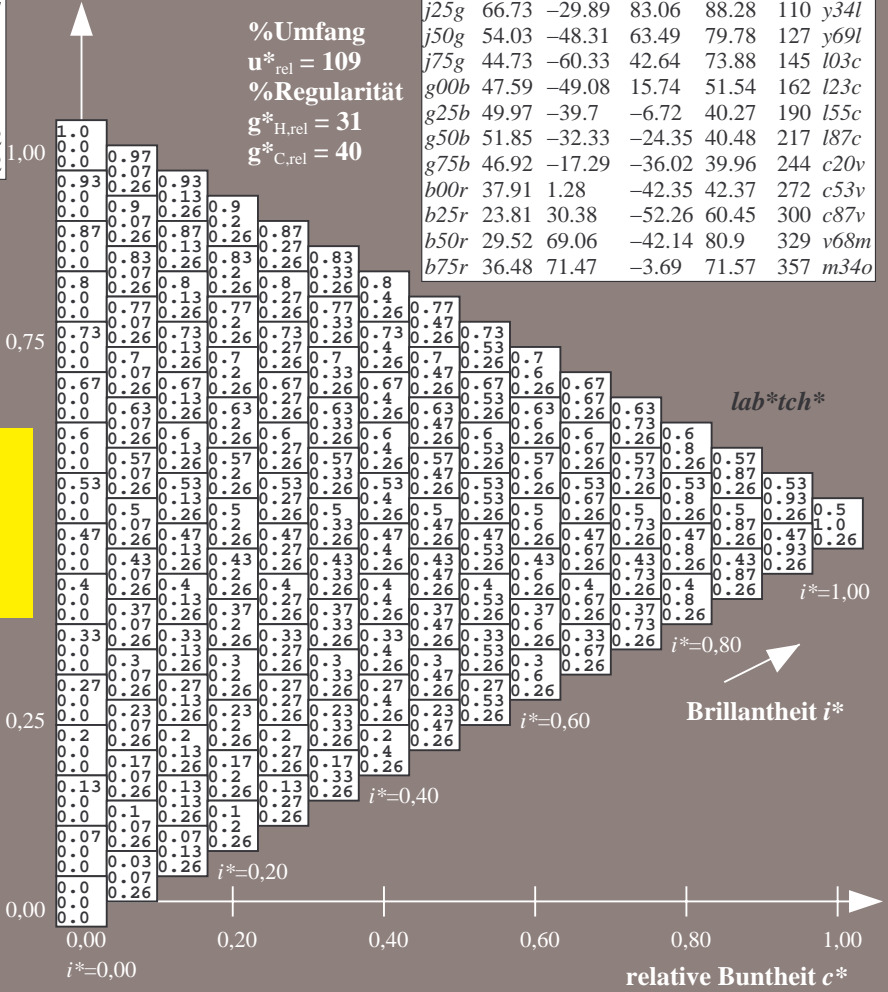
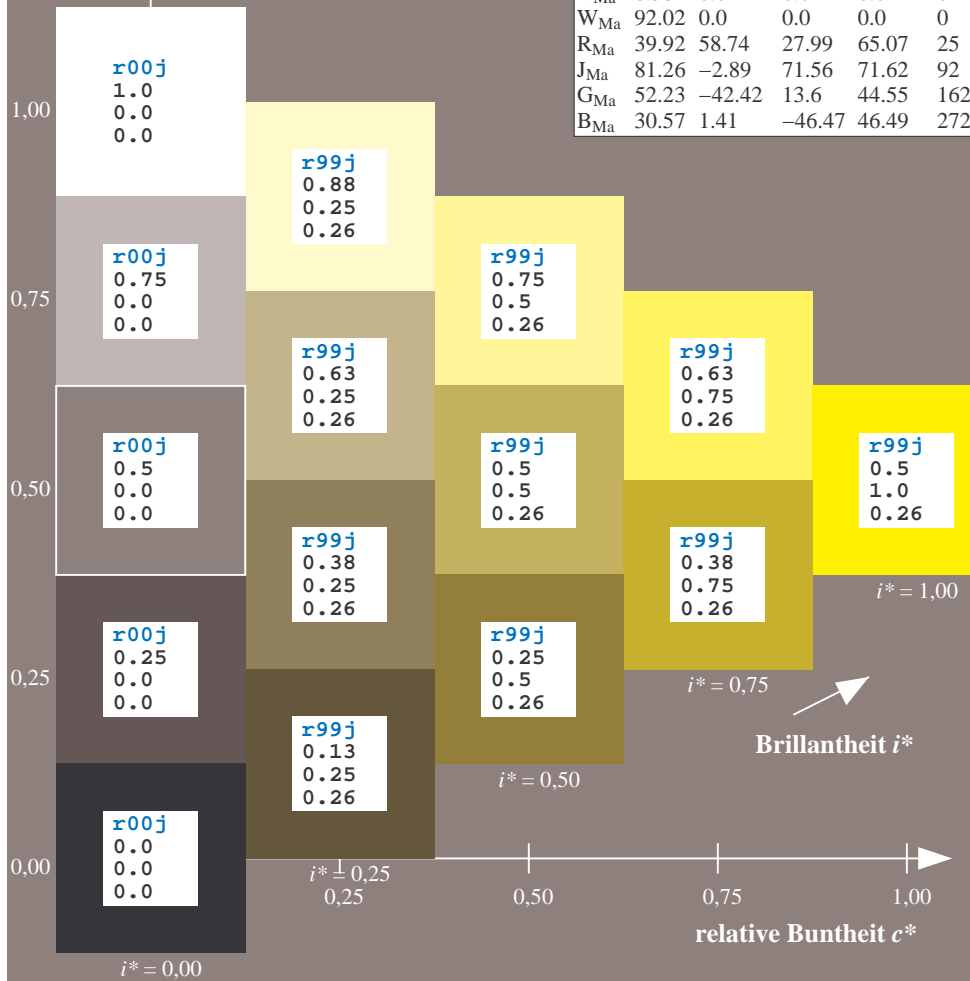
$lab^*rgb^*_{Ma}$: 1.0 1.0 0.0

$lab^*olv^*_{Ma}$: 1.0 0.99 0.0

Dreiecks-Helligkeit t^*

FRS09_92a; adaptierte CIELAB-Daten

u^*_e	$L^*=L^*_a$	a^*_a	b^*_a	$C^*_{ab,a}$	$h^*_{ab,a}$	u^*_d
r00j	35.47	63.32	30.17	70.15	25	m81o
r25j	39.12	54.56	49.45	73.64	42	o10y
r50j	50.64	39.15	64.89	75.79	59	o40y
r75j	64.01	21.26	82.83	85.52	76	o69y
j00g	83.18	-4.38	108.53	108.62	92	o98y
j25g	66.73	-29.89	83.06	88.28	110	y34l
j50g	54.03	-48.31	63.49	79.78	127	y69l
j75g	44.73	-60.33	42.64	73.88	145	l03c
g00b	47.59	-49.08	15.74	51.54	162	i23c
g25b	49.97	-39.7	-6.72	40.27	190	i55c
g50b	51.85	-32.33	-24.35	40.48	217	i87c
g75b	46.92	-17.29	-36.02	39.96	244	c20v
b00r	37.91	1.28	-42.35	42.37	272	c53v
b25r	23.81	30.38	-52.26	60.45	300	c87v
b50r	29.52	69.06	-42.14	80.9	329	v68m
b75r	36.48	71.47	-3.69	71.57	357	m34o



%Umfang
 $u^*_{rel} = 109$
%Regularität
 $g^*_{H,rel} = 31$
 $g^*_{C,rel} = 40$

Brillantheit i^*

lab^*tch^*

Ein und Ausgabe: Farbmetrisches Drucker-Reflektiv-System FRS09_92a für relativen CIELAB-Bunton $h^* = lab^*h^* = h_{ab}/360 = 0.305$

$u^*_e = j25g$
 lab^*tch^*

Daten für jede Farbe:

lab^*tch^* und lab^*icu^*

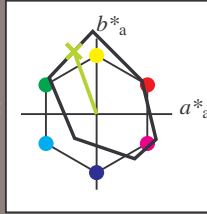
Buntontexte:

$u^*_e = j25g$ $u^*_d = y34l$

Kontrastreduzierungsfaktor:

$c_R = 1.0$

Dreiecks-Helligkeit t^*



FRS09_92a; adaptierte CIELAB-Daten

u^*_e	$L^*=L^*_a$	a^*_a	b^*_a	$C^*_{ab,a}$	$h^*_{ab,a}$
O _{Ma}	35.06	60.0	44.0	74.4	36
Y _{Ma}	83.77	-5.17	109.32	109.44	93
L _{Ma}	44.13	-62.67	48.24	79.09	142
C _{Ma}	52.66	-29.14	-31.99	43.27	228
V _{Ma}	14.15	50.3	-59.04	77.57	310
M _{Ma}	37.37	78.64	-33.5	85.48	337
N _{Ma}	8.58	0.0	0.0	0.0	0
W _{Ma}	92.02	0.0	0.0	0.0	0
R _{Ma}	39.92	58.74	27.99	65.07	25
J _{Ma}	81.26	-2.89	71.56	71.62	92
G _{Ma}	52.23	-42.42	13.6	44.55	162
B _{Ma}	30.57	1.41	-46.47	46.49	272

Daten für Maximalfarbe (Ma):

$LAB^*LAB^*_{Ma}: 67 -30 83$

$LAB^*LCH^*_{Ma}: 67 88 109$

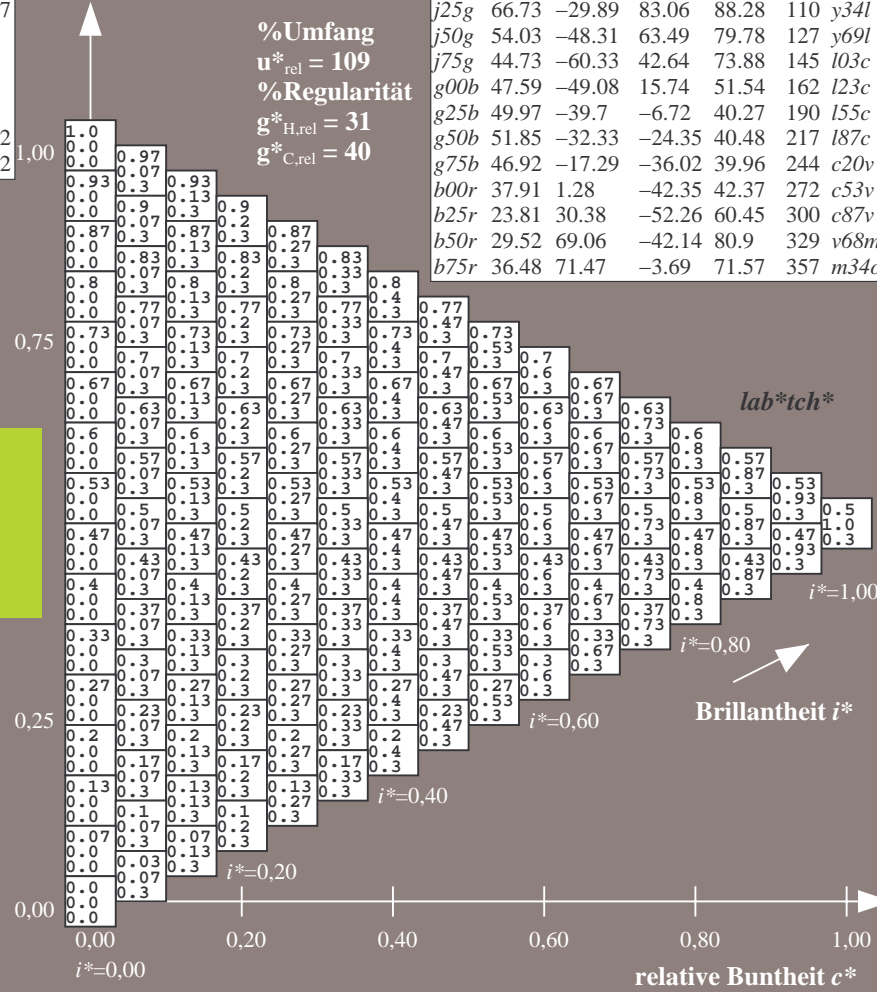
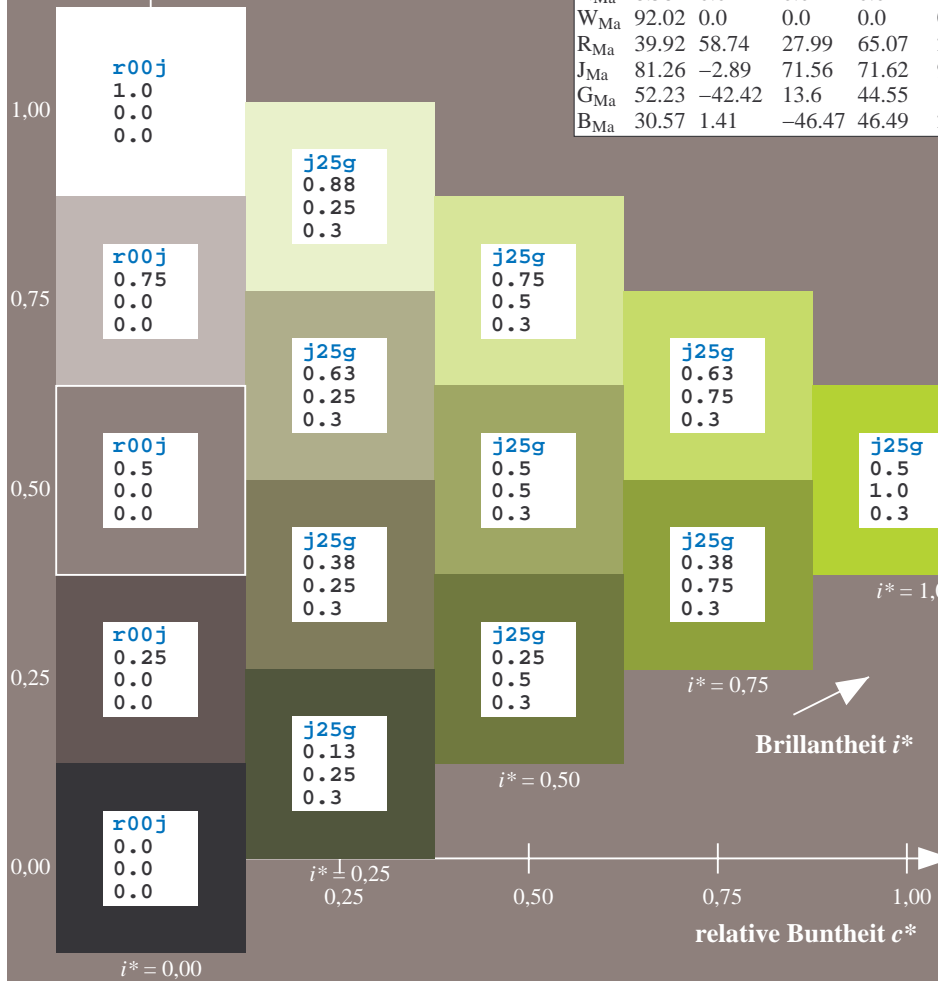
$lab^*rgb^*_{Ma}: 0.75 1.0 0.0$

$lab^*olv^*_{Ma}: 0.66 1.0 0.0$

Dreiecks-Helligkeit t^*

FRS09_92a; adaptierte CIELAB-Daten

u^*_e	$L^*=L^*_a$	a^*_a	b^*_a	$C^*_{ab,a}$	$h^*_{ab,a}$	u^*_d
r00j	35.47	63.32	30.17	70.15	25	m81o
r25j	39.12	54.56	49.45	73.64	42	o10y
r50j	50.64	39.15	64.89	75.79	59	o40y
r75j	64.01	21.26	82.83	85.52	76	o69y
j00g	83.18	-4.38	108.53	108.62	92	o98y
j25g	66.73	-29.89	83.06	88.28	110	y34l
j50g	54.03	-48.31	63.49	79.78	127	y69l
j75g	44.73	-60.33	42.64	73.88	145	103c
g00b	47.59	-49.08	15.74	51.54	162	l23c
g25b	49.97	-39.7	-6.72	40.27	190	l55c
g50b	51.85	-32.33	-24.35	40.48	217	l87c
g75b	46.92	-17.29	-36.02	39.96	244	c20v
b00r	37.91	1.28	-42.35	42.37	272	c53v
b25r	23.81	30.38	-52.26	60.45	300	c87v
b50r	29.52	69.06	-42.14	80.9	329	v68m
b75r	36.48	71.47	-3.69	71.57	357	m34o



Ein und Ausgabe: Farbmatisches Drucker-Reflektiv-System FRS09_92a für relativen CIELAB-Bunton $h^* = lab^*h^* = h_{ab}/360 = 0.354$

$u^*_e = j50g$
 lab^*tch^*

Daten für jede Farbe:

lab^*tch^* und lab^*icu^*

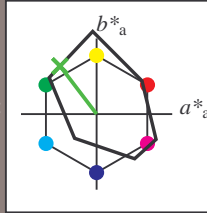
Buntontexte:

$u^*_e = j50g$ $u^*_d = y69l$

Kontrastreduzierungsfaktor:

$c_R = 1.0$

Dreiecks-Helligkeit t^*



FRS09_92a; adaptierte CIELAB-Daten

u^*_e	$L^*=L^*_a$	a^*_a	b^*_a	$C^*_{ab,a}$	$h^*_{ab,a}$
O _{Ma}	35.06	60.0	44.0	74.4	36
Y _{Ma}	83.77	-5.17	109.32	109.44	93
L _{Ma}	44.13	-62.67	48.24	79.09	142
C _{Ma}	52.66	-29.14	-31.99	43.27	228
V _{Ma}	14.15	50.3	-59.04	77.57	310
M _{Ma}	37.37	78.64	-33.5	85.48	337
N _{Ma}	8.58	0.0	0.0	0.0	0
W _{Ma}	92.02	0.0	0.0	0.0	0
R _{Ma}	39.92	58.74	27.99	65.07	25
J _{Ma}	81.26	-2.89	71.56	71.62	92
G _{Ma}	52.23	-42.42	13.6	44.55	162
B _{Ma}	30.57	1.41	-46.47	46.49	272

Daten für Maximalfarbe (Ma):

$LAB^*LAB^*_{Ma}$: 54 -48 63

$LAB^*LCH^*_{Ma}$: 54 80 127

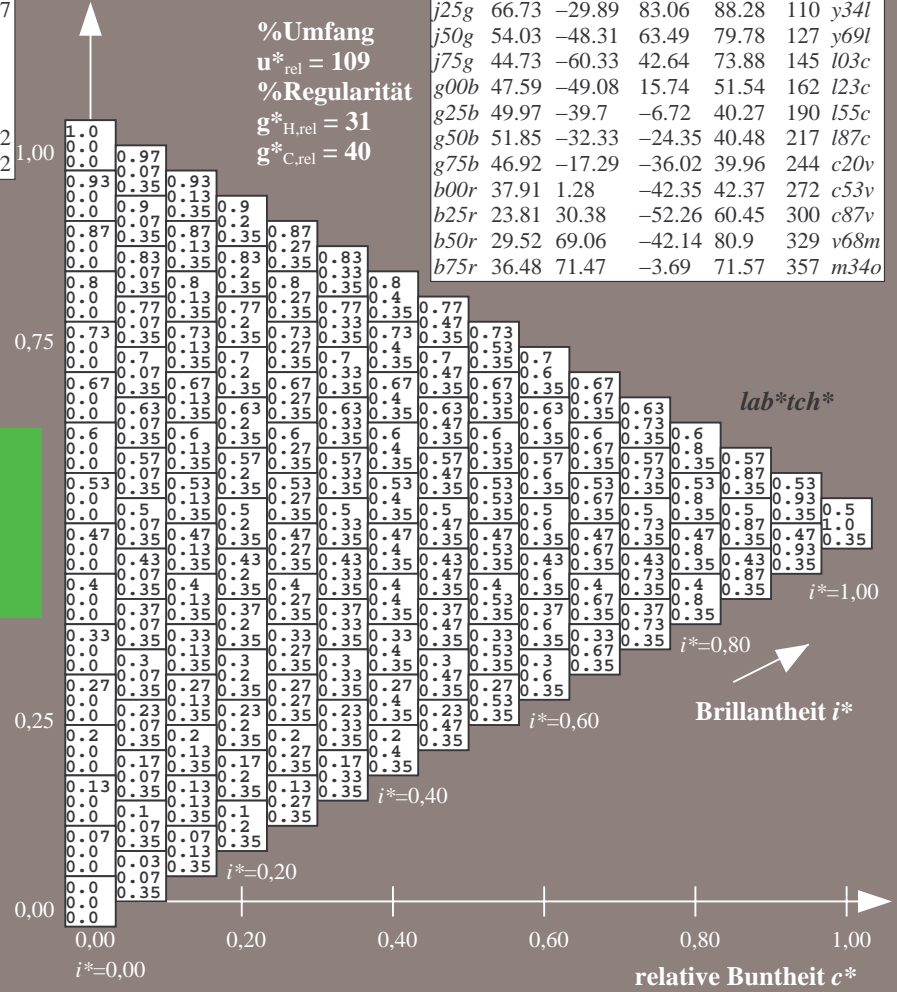
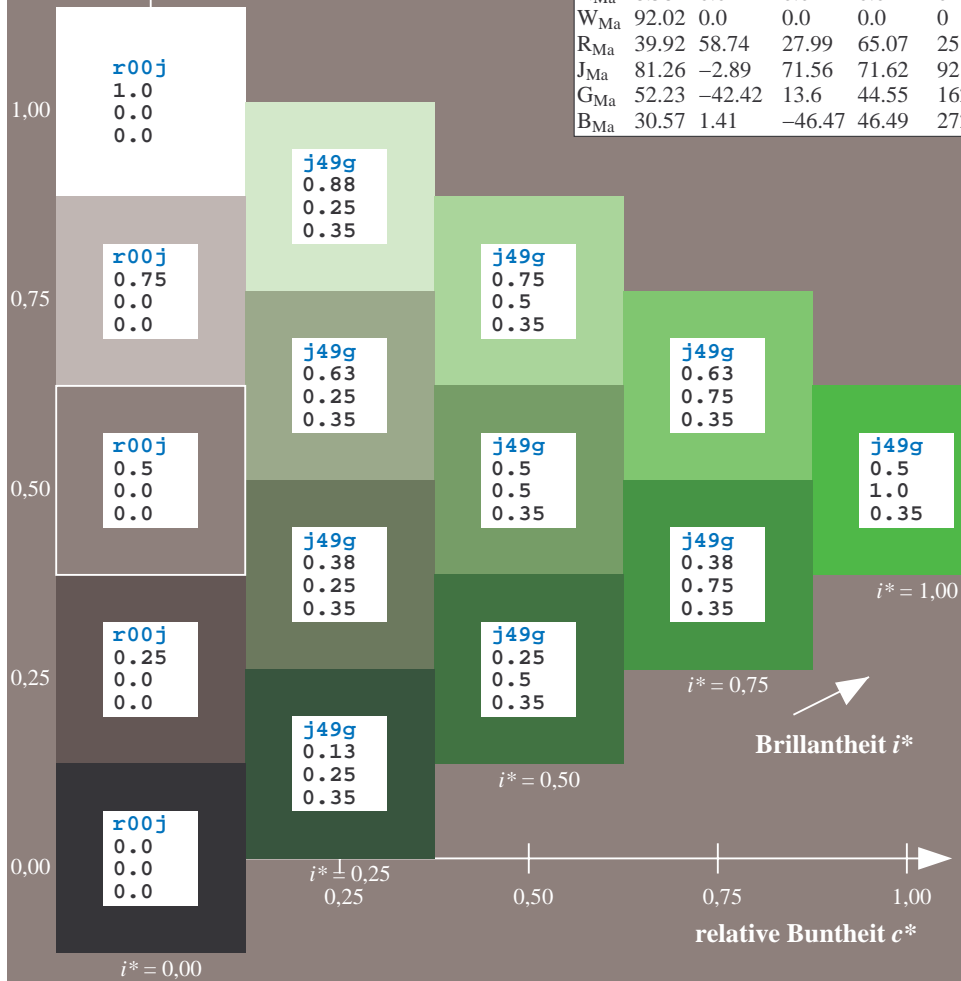
$lab^*rgb^*_{Ma}$: 0.5 1.0 0.0

$lab^*olv^*_{Ma}$: 0.3 1.0 0.0

Dreiecks-Helligkeit t^*

FRS09_92a; adaptierte CIELAB-Daten

u^*_e	$L^*=L^*_a$	a^*_a	b^*_a	$C^*_{ab,a}$	$h^*_{ab,a}$	u^*_d
r00j	35.47	63.32	30.17	70.15	25	m81o
r25j	39.12	54.56	49.45	73.64	42	o10y
r50j	50.64	39.15	64.89	75.79	59	o40y
r75j	64.01	21.26	82.83	85.52	76	o69y
j00g	83.18	-4.38	108.53	108.62	92	o98y
j25g	66.73	-29.89	83.06	88.28	110	y34l
j50g	54.03	-48.31	63.49	79.78	127	y69l
j75g	44.73	-60.33	42.64	73.88	145	l03c
g00b	47.59	-49.08	15.74	51.54	162	i23c
g25b	49.97	-39.7	-6.72	40.27	190	i55c
g50b	51.85	-32.33	-24.35	40.48	217	i87c
g75b	46.92	-17.29	-36.02	39.96	244	c20v
b00r	37.91	1.28	-42.35	42.37	272	c53v
b25r	23.81	30.38	-52.26	60.45	300	c87v
b50r	29.52	69.06	-42.14	80.9	329	v68m
b75r	36.48	71.47	-3.69	71.57	357	m34o



%Umfang
 $u^*_{rel} = 109$
%Regularität
 $g^*_{H,rel} = 31$
 $g^*_{C,rel} = 40$

lab^*tch^*

$i^* = 1.00$

$i^* = 0.80$

Brillantheit i^*

$i^* = 0.60$

$i^* = 0.40$

$i^* = 0.20$

$i^* = 0.00$

Ein und Ausgabe: Farbmatisches Drucker-Reflektiv-System FRS09_92a für relativen CIELAB-Bunton $h^* = lab^*h^* = h_{ab}/360 = 0.402$

$u^*_e = j75g$
 lab^*tch^*

Daten für jede Farbe:

lab^*tch^* und lab^*icu^*

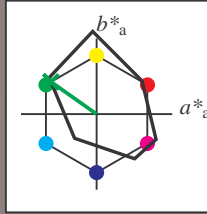
Buntontexte:

$u^*_e = j75g$ $u^*_d = l03c$

Kontrastreduzierungsfaktor:

$c_R = 1.0$

Dreiecks-Helligkeit t^*



FRS09_92a; adaptierte CIELAB-Daten

u^*_e	$L^*=L^*_a$	a^*_a	b^*_a	$C^*_{ab,a}$	$h^*_{ab,a}$
O _{Ma}	35.06	60.0	44.0	74.4	36
Y _{Ma}	83.77	-5.17	109.32	109.44	93
L _{Ma}	44.13	-62.67	48.24	79.09	142
C _{Ma}	52.66	-29.14	-31.99	43.27	228
V _{Ma}	14.15	50.3	-59.04	77.57	310
M _{Ma}	37.37	78.64	-33.5	85.48	337
N _{Ma}	8.58	0.0	0.0	0.0	0
W _{Ma}	92.02	0.0	0.0	0.0	0
R _{Ma}	39.92	58.74	27.99	65.07	25
J _{Ma}	81.26	-2.89	71.56	71.62	92
G _{Ma}	52.23	-42.42	13.6	44.55	162
B _{Ma}	30.57	1.41	-46.47	46.49	272

Daten für Maximalfarbe (Ma):

$LAB^*LAB^*_{Ma}$: 45 -60 43

$LAB^*LCH^*_{Ma}$: 45 74 144

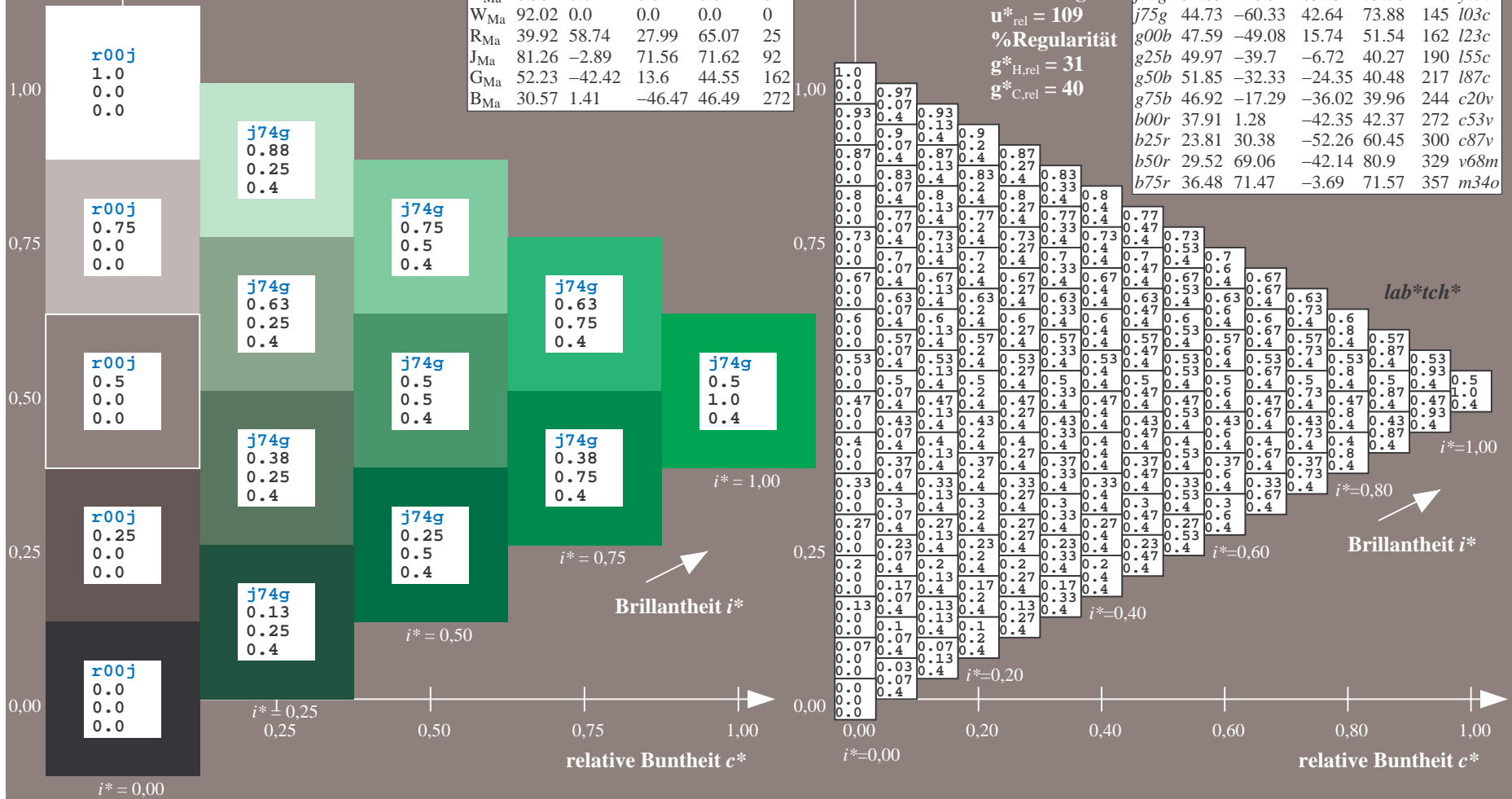
$lab^*rgb^*_{Ma}$: 0.25 1.0 0.0

$lab^*olv^*_{Ma}$: 0.0 1.0 0.03

Dreiecks-Helligkeit t^*

FRS09_92a; adaptierte CIELAB-Daten

u^*_e	$L^*=L^*_a$	a^*_a	b^*_a	$C^*_{ab,a}$	$h^*_{ab,a}$	u^*_d
r00j	35.47	63.32	30.17	70.15	25	m81o
r25j	39.12	54.56	49.45	73.64	42	o10y
r50j	50.64	39.15	64.89	75.79	59	o40y
r75j	64.01	21.26	82.83	85.52	76	o69y
j00g	83.18	-4.38	108.53	108.62	92	o98y
j25g	66.73	-29.89	83.06	88.28	110	y34l
j50g	54.03	-48.31	63.49	79.78	127	y69l
j75g	44.73	-60.33	42.64	73.88	145	l03c
g00b	47.59	-49.08	15.74	51.54	162	l23c
g25b	49.97	-39.7	-6.72	40.27	190	l55c
g50b	51.85	-32.33	-24.35	40.48	217	l87c
g75b	46.92	-17.29	-36.02	39.96	244	c20v
b00r	37.91	1.28	-42.35	42.37	272	c53v
b25r	23.81	30.38	-52.26	60.45	300	c87v
b50r	29.52	69.06	-42.14	80.9	329	v68m
b75r	36.48	71.47	-3.69	71.57	357	m34o



Ein und Ausgabe: Farbmatisches Drucker-Reflektiv-System FRS09_92a für relativen CIELAB-Bunton $h^* = lab^*h^* = h_{ab}/360 = 0.451$

$u^*_e = g00b$
 lab^*tch^*

Daten für jede Farbe:

lab^*tch^* und lab^*icu^*

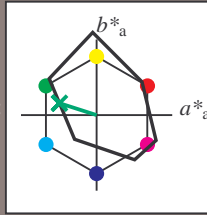
Buntontexte:

$u^*_e = g00b$ $u^*_d = l23c$

Kontrastreduzierungsfaktor:

$c_R = 1.0$

Dreiecks-Helligkeit t^*



FRS09_92a; adaptierte CIELAB-Daten

u^*_e	$L^*=L^*_a$	a^*_a	b^*_a	$C^*_{ab,a}$	$h^*_{ab,a}$
O _{Ma}	35.06	60.0	44.0	74.4	36
Y _{Ma}	83.77	-5.17	109.32	109.44	93
L _{Ma}	44.13	-62.67	48.24	79.09	142
C _{Ma}	52.66	-29.14	-31.99	43.27	228
V _{Ma}	14.15	50.3	-59.04	77.57	310
M _{Ma}	37.37	78.64	-33.5	85.48	337
N _{Ma}	8.58	0.0	0.0	0.0	0
W _{Ma}	92.02	0.0	0.0	0.0	0
R _{Ma}	39.92	58.74	27.99	65.07	25
J _{Ma}	81.26	-2.89	71.56	71.62	92
G _{Ma}	52.23	-42.42	13.6	44.55	162
B _{Ma}	30.57	1.41	-46.47	46.49	272

Daten für Maximalfarbe (Ma):

$LAB^*LAB^*_{Ma}$: 48 -49 16

$LAB^*LCH^*_{Ma}$: 48 52 162

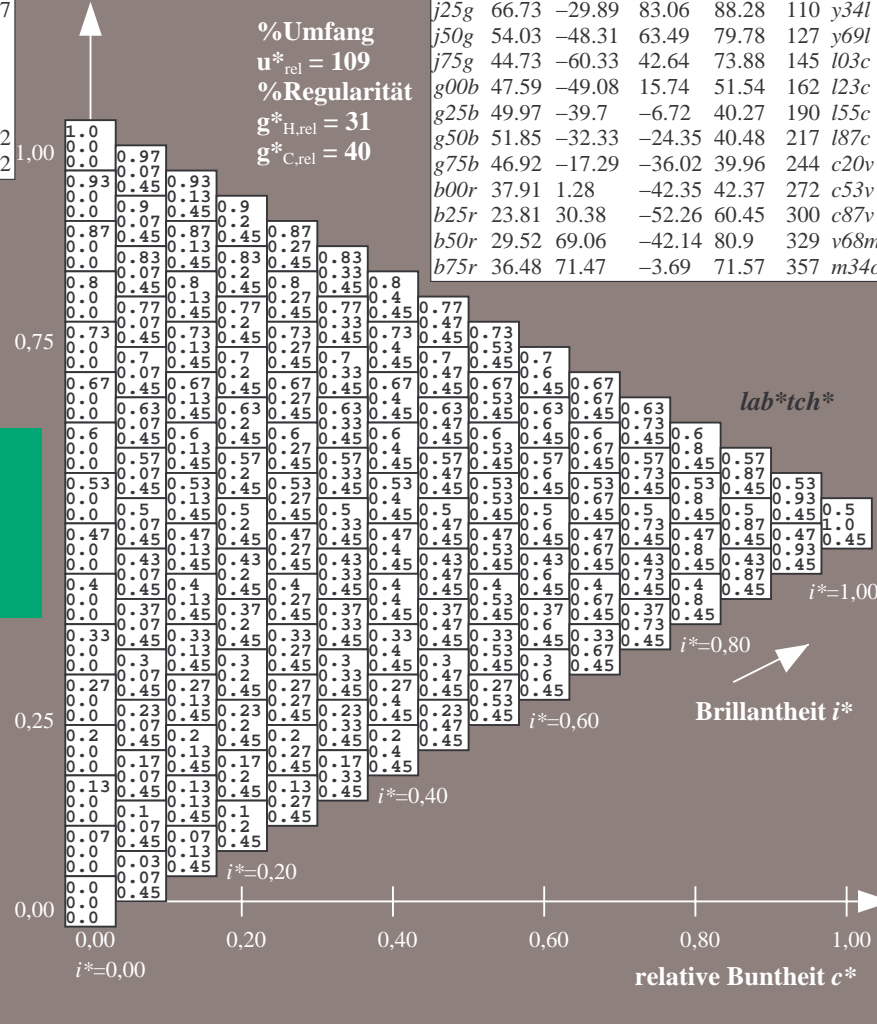
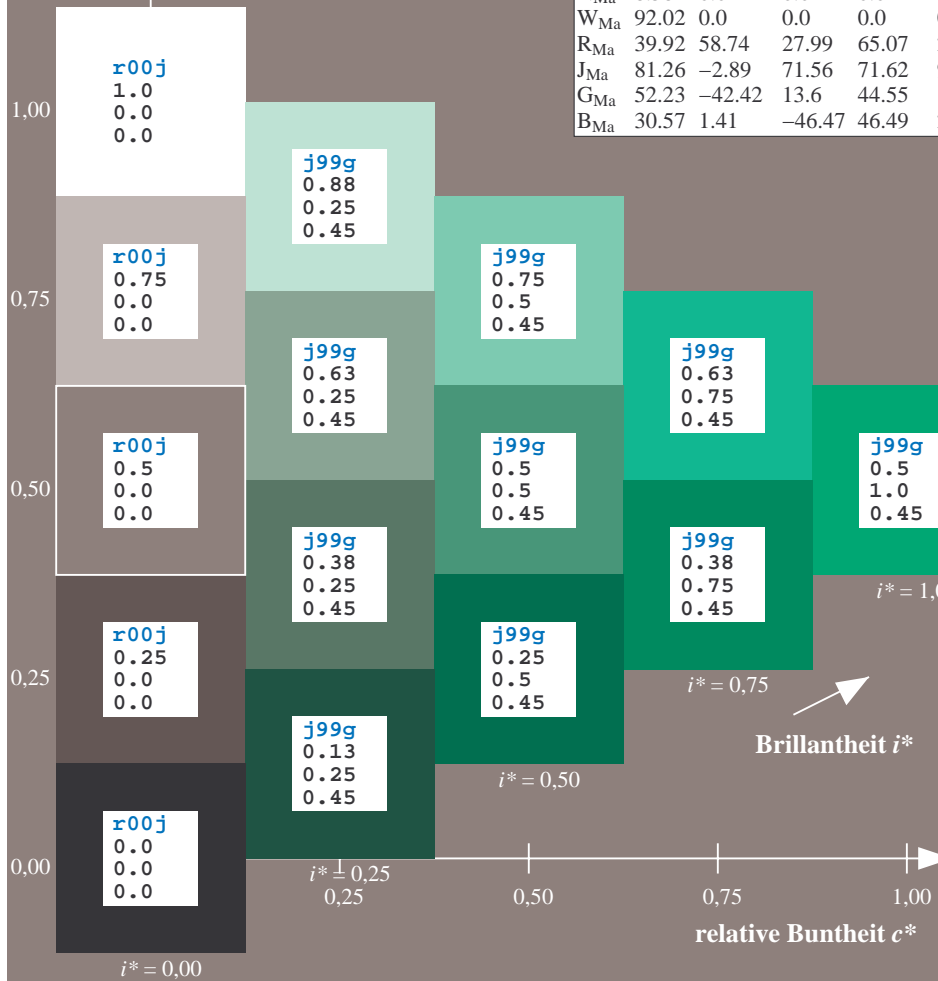
$lab^*rgb^*_{Ma}$: 0.0 1.0 0.0

$lab^*olv^*_{Ma}$: 0.0 1.0 0.23

Dreiecks-Helligkeit t^*

FRS09_92a; adaptierte CIELAB-Daten

u^*_e	$L^*=L^*_a$	a^*_a	b^*_a	$C^*_{ab,a}$	$h^*_{ab,a}$	u^*_d
r00j	35.47	63.32	30.17	70.15	25	m81o
r25j	39.12	54.56	49.45	73.64	42	o10y
r50j	50.64	39.15	64.89	75.79	59	o40y
r75j	64.01	21.26	82.83	85.52	76	o69y
j00g	83.18	-4.38	108.53	108.62	92	o98y
j25g	66.73	-29.89	83.06	88.28	110	y34l
j50g	54.03	-48.31	63.49	79.78	127	y69l
j75g	44.73	-60.33	42.64	73.88	145	l03c
g00b	47.59	-49.08	15.74	51.54	162	i23c
g25b	49.97	-39.7	-6.72	40.27	190	i55c
g50b	51.85	-32.33	-24.35	40.48	217	i87c
g75b	46.92	-17.29	-36.02	39.96	244	c20v
b00r	37.91	1.28	-42.35	42.37	272	c53v
b25r	23.81	30.38	-52.26	60.45	300	c87v
b50r	29.52	69.06	-42.14	80.9	329	v68m
b75r	36.48	71.47	-3.69	71.57	357	m34o



%Umfang
 $u^*_{rel} = 109$
%Regularität
 $g^*_{H,rel} = 31$
 $g^*_{C,rel} = 40$

Brillanzheit i^*

lab^*tch^*

$i^* = 1.00$

$i^* = 0.80$

$i^* = 0.60$

$i^* = 0.40$

$i^* = 0.20$

$i^* = 0.00$

Ein und Ausgabe: Farbmatisches Drucker-Reflektiv-System FRS09_92a für relativen CIELAB-Bunton $h^* = lab^*h^* = h_{ab}/360 = 0.527$

$u^*_e = g25b$

Daten für jede Farbe:

lab^*tch^* und lab^*icu^*

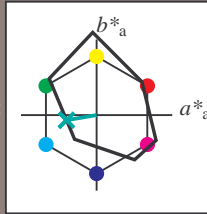
Buntontexte:

$u^*_e = g25b$ $u^*_d = l55c$

Kontrastreduzierungsfaktor:

$c_R = 1.0$

Dreiecks-Helligkeit t^*



FRS09_92a; adaptierte CIELAB-Daten

u^*_e	$L^*=L^*_a$	a^*_a	b^*_a	$C^*_{ab,a}$	$h^*_{ab,a}$
O _{Ma}	35.06	60.0	44.0	74.4	36
Y _{Ma}	83.77	-5.17	109.32	109.44	93
L _{Ma}	44.13	-62.67	48.24	79.09	142
C _{Ma}	52.66	-29.14	-31.99	43.27	228
V _{Ma}	14.15	50.3	-59.04	77.57	310
M _{Ma}	37.37	78.64	-33.5	85.48	337
N _{Ma}	8.58	0.0	0.0	0.0	0
W _{Ma}	92.02	0.0	0.0	0.0	0
R _{Ma}	39.92	58.74	27.99	65.07	25
J _{Ma}	81.26	-2.89	71.56	71.62	92
G _{Ma}	52.23	-42.42	13.6	44.55	162
B _{Ma}	30.57	1.41	-46.47	46.49	272

Daten für Maximalfarbe (Ma):

$LAB^*LAB^*_{Ma}: 50 -40 -7$

$LAB^*LCH^*_{Ma}: 50 40 189$

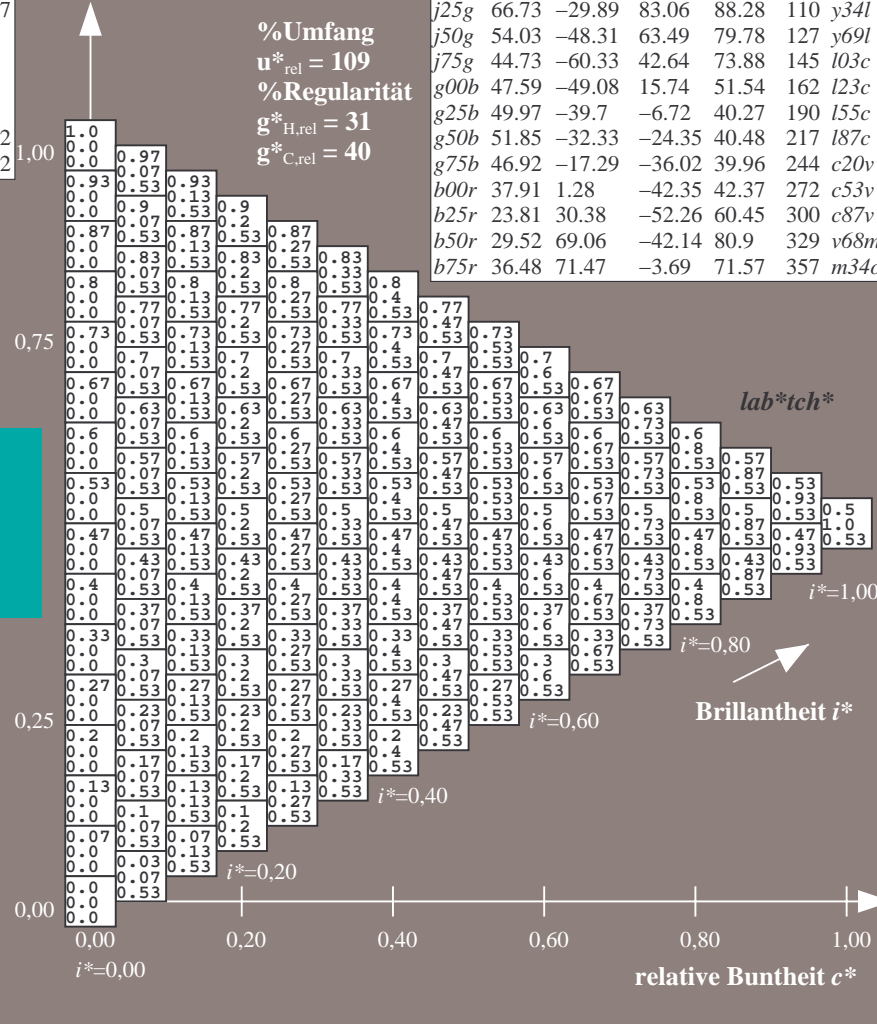
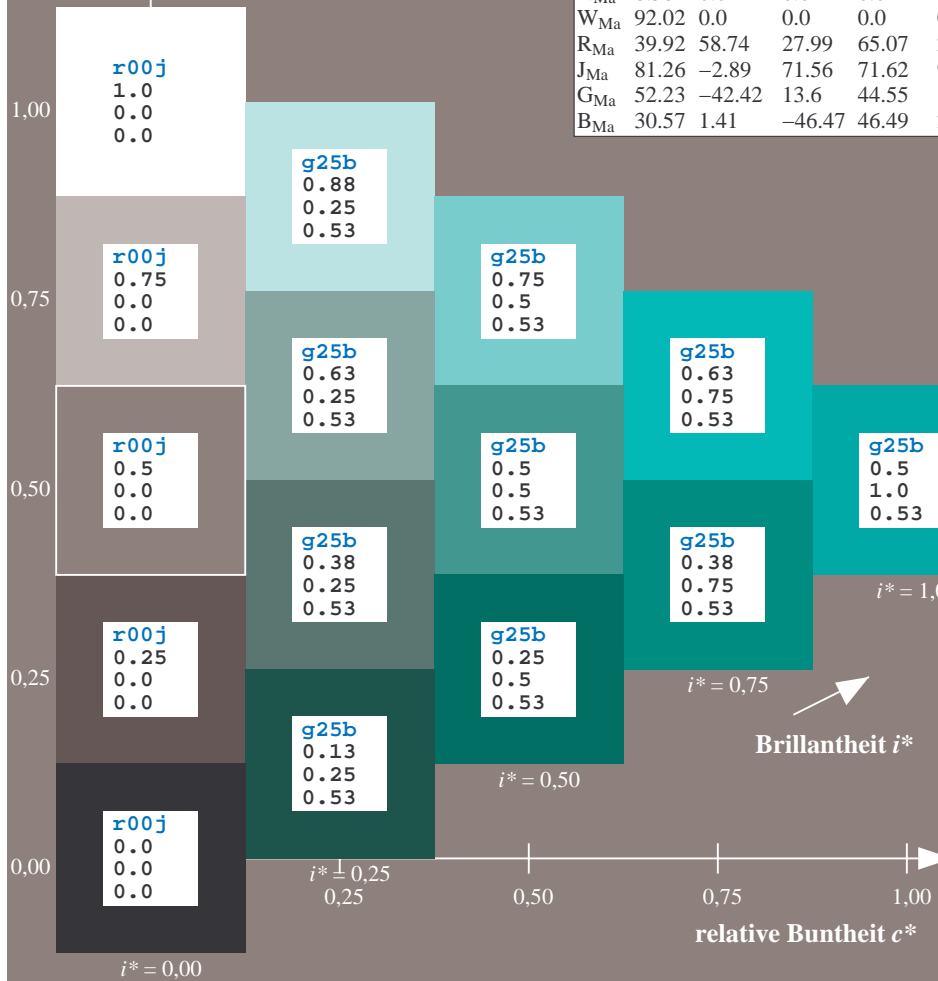
$lab^*rgb^*_{Ma}: 0.0 1.0 0.5$

$lab^*olv^*_{Ma}: 0.0 1.0 0.55$

Dreiecks-Helligkeit t^*

FRS09_92a; adaptierte CIELAB-Daten

u^*_e	$L^*=L^*_a$	a^*_a	b^*_a	$C^*_{ab,a}$	$h^*_{ab,a}$	u^*_d
r00j	35.47	63.32	30.17	70.15	25	m81o
r25j	39.12	54.56	49.45	73.64	42	o10y
r50j	50.64	39.15	64.89	75.79	59	o40y
r75j	64.01	21.26	82.83	85.52	76	o69y
j00g	83.18	-4.38	108.53	108.62	92	o98y
j25g	66.73	-29.89	83.06	88.28	110	y34l
j50g	54.03	-48.31	63.49	79.78	127	y69l
j75g	44.73	-60.33	42.64	73.88	145	l03c
g00b	47.59	-49.08	15.74	51.54	162	i23c
g25b	49.97	-39.7	-6.72	40.27	190	i55c
g50b	51.85	-32.33	-24.35	40.48	217	i87c
g75b	46.92	-17.29	-36.02	39.96	244	c20v
b00r	37.91	1.28	-42.35	42.37	272	c53v
b25r	23.81	30.38	-52.26	60.45	300	c87v
b50r	29.52	69.06	-42.14	80.9	329	v68m
b75r	36.48	71.47	-3.69	71.57	357	m34o



%Umfang
 $u^*_{rel} = 109$
 %Regularität
 $g^*_{H,rel} = 31$
 $g^*_{C,rel} = 40$

lab^*tch^*

$i^* = 1.00$

$i^* = 0.80$

$i^* = 0.60$

$i^* = 0.40$

$i^* = 0.20$

Ein und Ausgabe: Farbmatisches Drucker-Reflektiv-System FRS09_92a für relativen CIELAB-Bunton $h^* = lab^*h^* = h_{ab}/360 = 0.603$

$u^*_e = g50b$
 lab^*tch^*

Daten für jede Farbe:

lab^*tch^* und lab^*icu^*

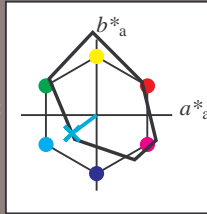
Buntontexte:

$u^*_e = g50b$ $u^*_d = l87c$

Kontrastreduzierungsfaktor:

$c_R = 1.0$

Dreiecks-Helligkeit t^*



FRS09_92a; adaptierte CIELAB-Daten

u^*_e	$L^*=L^*_a$	a^*_a	b^*_a	$C^*_{ab,a}$	$h^*_{ab,a}$
O _{Ma}	35.06	60.0	44.0	74.4	36
Y _{Ma}	83.77	-5.17	109.32	109.44	93
L _{Ma}	44.13	-62.67	48.24	79.09	142
C _{Ma}	52.66	-29.14	-31.99	43.27	228
V _{Ma}	14.15	50.3	-59.04	77.57	310
M _{Ma}	37.37	78.64	-33.5	85.48	337
N _{Ma}	8.58	0.0	0.0	0.0	0
W _{Ma}	92.02	0.0	0.0	0.0	0
R _{Ma}	39.92	58.74	27.99	65.07	25
J _{Ma}	81.26	-2.89	71.56	71.62	92
G _{Ma}	52.23	-42.42	13.6	44.55	162
B _{Ma}	30.57	1.41	-46.47	46.49	272

Daten für Maximalfarbe (Ma):

$LAB^*LAB^*_{Ma}: 52 -32 -24$

$LAB^*LCH^*_{Ma}: 52 40 216$

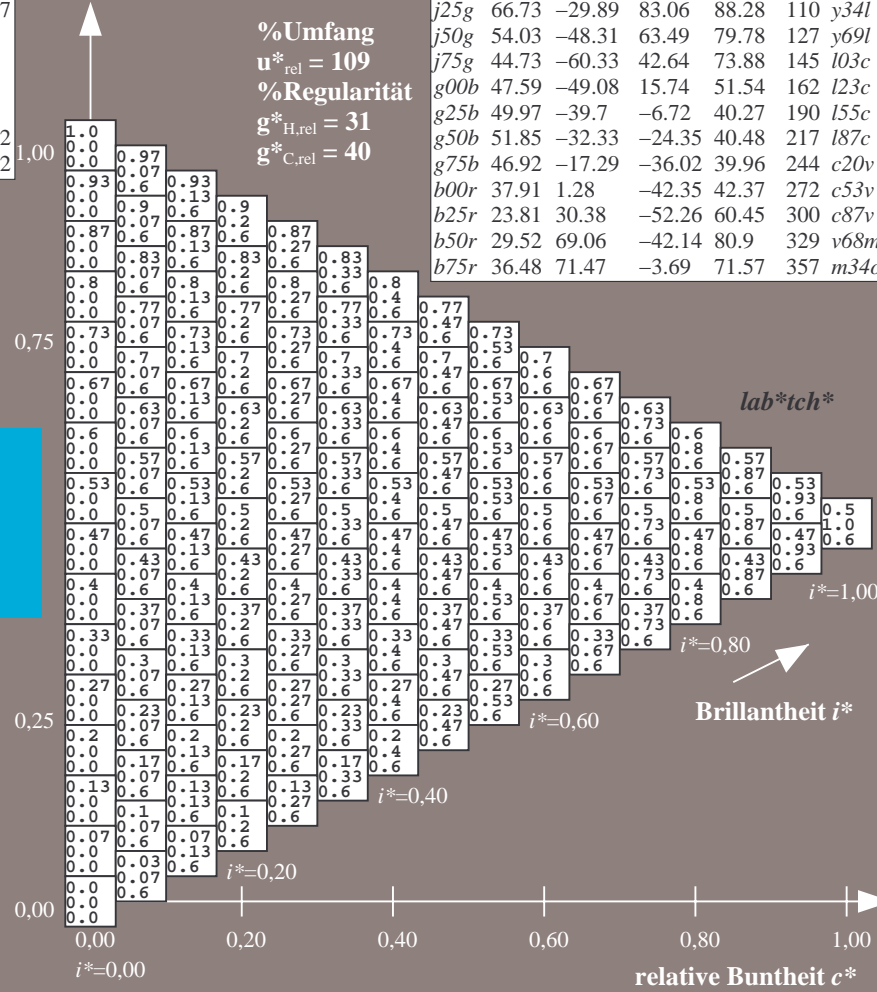
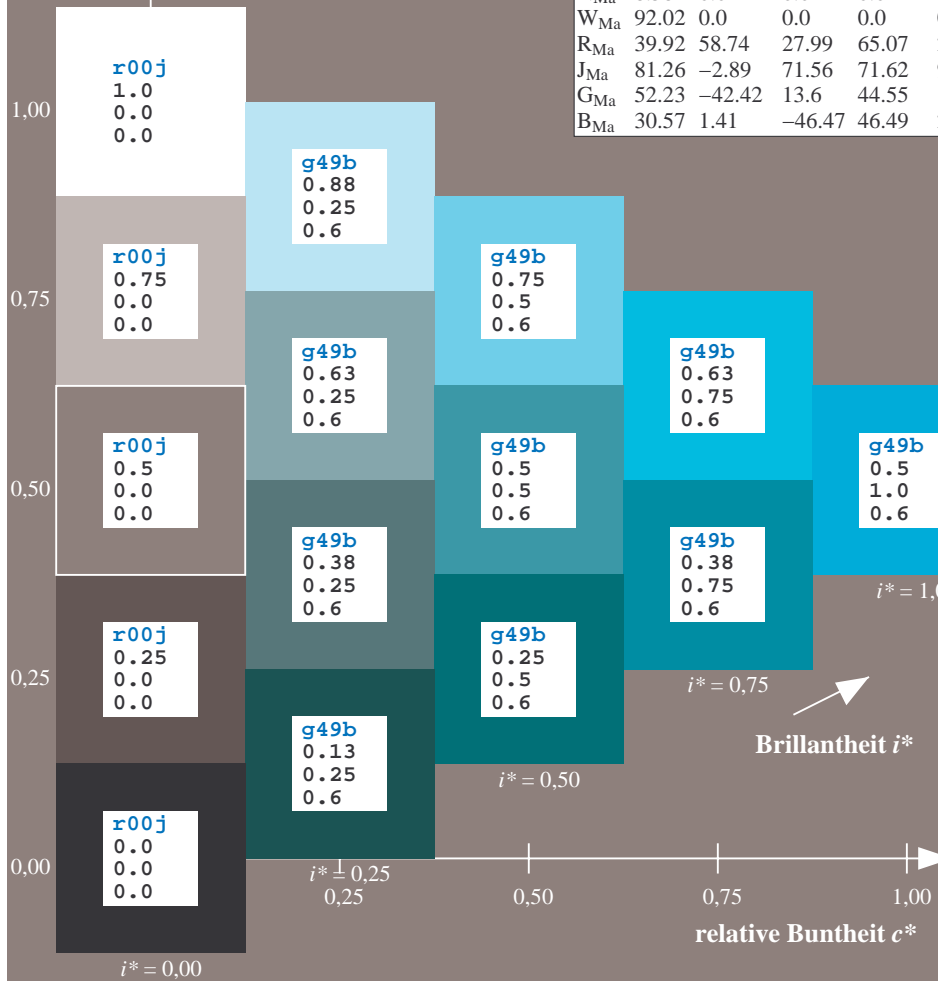
$lab^*rgb^*_{Ma}: 0.0 1.0 1.0$

$lab^*olv^*_{Ma}: 0.0 1.0 0.87$

Dreiecks-Helligkeit t^*

FRS09_92a; adaptierte CIELAB-Daten

u^*_e	$L^*=L^*_a$	a^*_a	b^*_a	$C^*_{ab,a}$	$h^*_{ab,a}$	u^*_d
r00j	35.47	63.32	30.17	70.15	25	m81o
r25j	39.12	54.56	49.45	73.64	42	o10y
r50j	50.64	39.15	64.89	75.79	59	o40y
r75j	64.01	21.26	82.83	85.52	76	o69y
j00g	83.18	-4.38	108.53	108.62	92	o98y
j25g	66.73	-29.89	83.06	88.28	110	y34l
j50g	54.03	-48.31	63.49	79.78	127	y69l
j75g	44.73	-60.33	42.64	73.88	145	103c
g00b	47.59	-49.08	15.74	51.54	162	l23c
g25b	49.97	-39.7	-6.72	40.27	190	l55c
g50b	51.85	-32.33	-24.35	40.48	217	l87c
g75b	46.92	-17.29	-36.02	39.96	244	c20v
b00r	37.91	1.28	-42.35	42.37	272	c53v
b25r	23.81	30.38	-52.26	60.45	300	c87v
b50r	29.52	69.06	-42.14	80.9	329	v68m
b75r	36.48	71.47	-3.69	71.57	357	m34o



%Umfang
 $u^*_{rel} = 109$
%Regularität
 $g^*_{H,rel} = 31$
 $g^*_{C,rel} = 40$

lab^*tch^*

$i^* = 1.00$

$i^* = 0.80$

Brillantheit i^*

$i^* = 0.40$

$i^* = 0.20$

Ein und Ausgabe: Farbmatisches Drucker-Reflektiv-System FRS09_92a für relativen CIELAB-Bunton $h^* = lab^*h^* = h_{ab}/360 = 0.679$

$u^*_e = g75b$
 lab^*tch^*

Daten für jede Farbe:

lab^*tch^* und lab^*icu^*

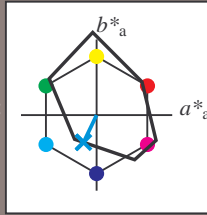
Buntontexte:

$u^*_e = g75b$ $u^*_d = c20v$

Kontrastreduzierungsfaktor:

$c_R = 1.0$

Dreiecks-Helligkeit t^*



FRS09_92a; adaptierte CIELAB-Daten						
u^*_e	$L^*=L^*_a$	a^*_a	b^*_a	$C^*_{ab,a}$	$h^*_{ab,a}$	
O _{Ma}	35.06	60.0	44.0	74.4	36	
Y _{Ma}	83.77	-5.17	109.32	109.44	93	
L _{Ma}	44.13	-62.67	48.24	79.09	142	
C _{Ma}	52.66	-29.14	-31.99	43.27	228	
V _{Ma}	14.15	50.3	-59.04	77.57	310	
M _{Ma}	37.37	78.64	-33.5	85.48	337	
N _{Ma}	8.58	0.0	0.0	0.0	0	
W _{Ma}	92.02	0.0	0.0	0.0	0	
R _{Ma}	39.92	58.74	27.99	65.07	25	
J _{Ma}	81.26	-2.89	71.56	71.62	92	
G _{Ma}	52.23	-42.42	13.6	44.55	162	
B _{Ma}	30.57	1.41	-46.47	46.49	272	

Daten für Maximalfarbe (Ma):

$LAB^*LAB^*_{Ma}$: 47 -17 -36

$LAB^*LCH^*_{Ma}$: 47 40 244

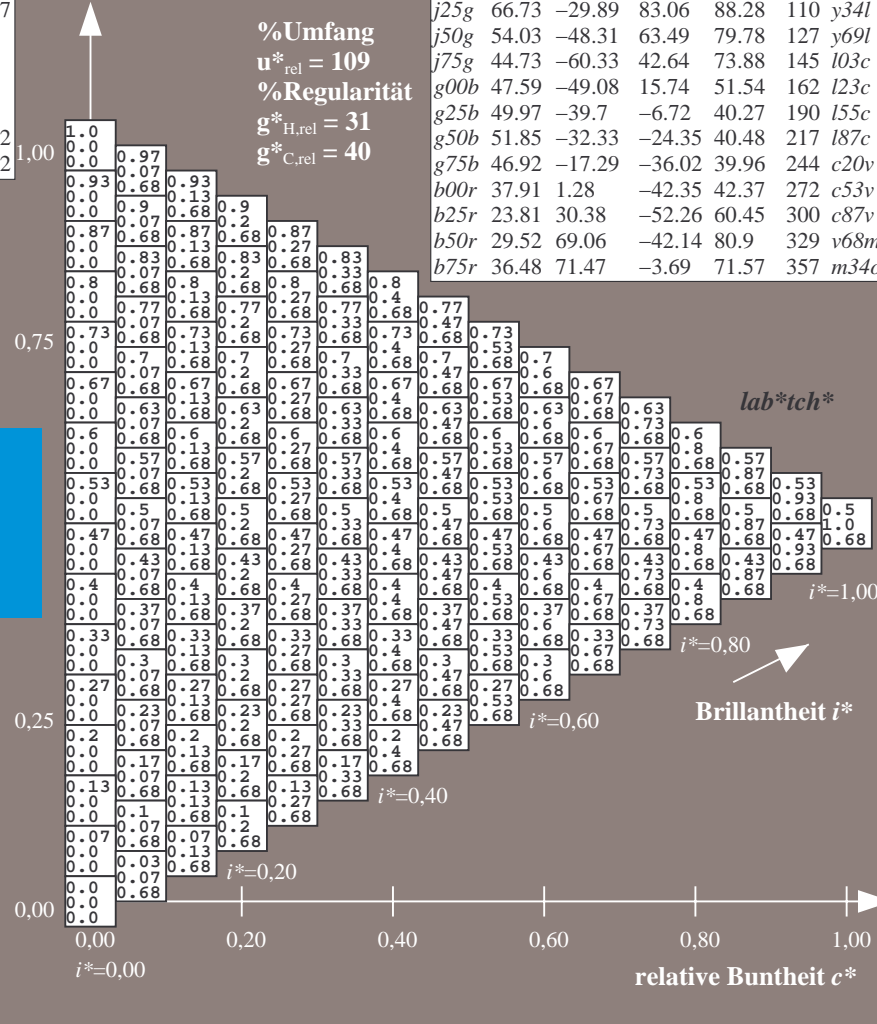
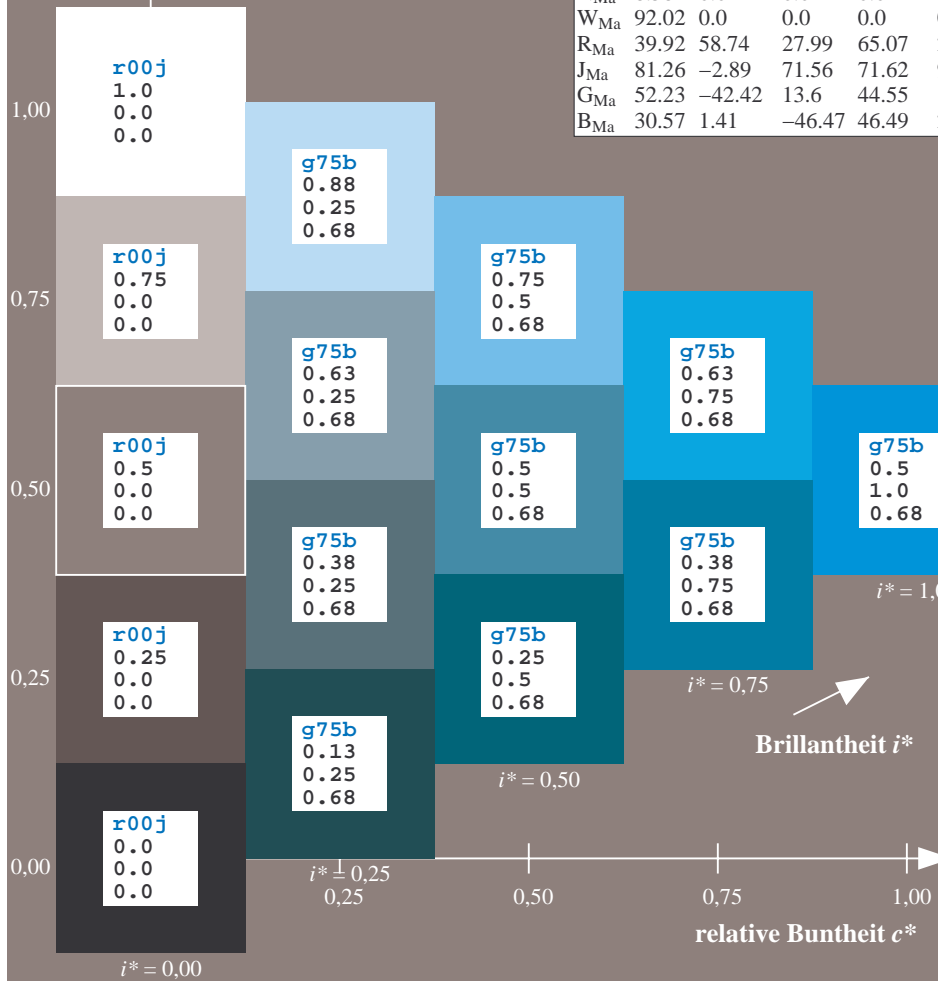
$lab^*rgb^*_{Ma}$: 0.0 0.5 1.0

$lab^*olv^*_{Ma}$: 0.0 0.8 1.0

Dreiecks-Helligkeit t^*

FRS09_92a; adaptierte CIELAB-Daten

u^*_e	$L^*=L^*_a$	a^*_a	b^*_a	$C^*_{ab,a}$	$h^*_{ab,a}$	u^*_d
r00j	35.47	63.32	30.17	70.15	25	m81o
r25j	39.12	54.56	49.45	73.64	42	o10y
r50j	50.64	39.15	64.89	75.79	59	o40y
r75j	64.01	21.26	82.83	85.52	76	o69y
j00g	83.18	-4.38	108.53	108.62	92	o98y
j25g	66.73	-29.89	83.06	88.28	110	y34l
j50g	54.03	-48.31	63.49	79.78	127	y69l
j75g	44.73	-60.33	42.64	73.88	145	103c
g00b	47.59	-49.08	15.74	51.54	162	l23c
g25b	49.97	-39.7	-6.72	40.27	190	l55c
g50b	51.85	-32.33	-24.35	40.48	217	l87c
g75b	46.92	-17.29	-36.02	39.96	244	c20v
b00r	37.91	1.28	-42.35	42.37	272	c53v
b25r	23.81	30.38	-52.26	60.45	300	c87v
b50r	29.52	69.06	-42.14	80.9	329	v68m
b75r	36.48	71.47	-3.69	71.57	357	m34o



%Umfang
 $u^*_{rel} = 109$
%Regularität
 $g^*_{H,rel} = 31$
 $g^*_{C,rel} = 40$

lab^*tch^*

$i^* = 1.00$

$i^* = 0.80$

Brillantheit i^*

$i^* = 0.60$

$i^* = 0.40$

$i^* = 0.20$

Ein und Ausgabe: Farbmatisches Drucker-Reflektiv-System FRS09_92a für relativen CIELAB-Bunton $h^* = \text{lab}^*h^* = h_{ab}/360 = 0.755$

$u^*_e = b00r$

Daten für jede Farbe:

lab^*tch^* und lab^*icu^*

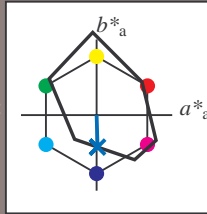
Buntontexte:

$u^*_e = b00r$ $u^*_d = c53v$

Kontrastreduzierungsfaktor:

$c_R = 1.0$

Dreiecks-Helligkeit t^*



FRS09_92a; adaptierte CIELAB-Daten

u^*_e	$L^*=L^*_a$	a^*_a	b^*_a	$C^*_{ab,a}$	$h^*_{ab,a}$
O _{Ma}	35.06	60.0	44.0	74.4	36
Y _{Ma}	83.77	-5.17	109.32	109.44	93
L _{Ma}	44.13	-62.67	48.24	79.09	142
C _{Ma}	52.66	-29.14	-31.99	43.27	228
V _{Ma}	14.15	50.3	-59.04	77.57	310
M _{Ma}	37.37	78.64	-33.5	85.48	337
N _{Ma}	8.58	0.0	0.0	0.0	0
W _{Ma}	92.02	0.0	0.0	0.0	0
R _{Ma}	39.92	58.74	27.99	65.07	25
J _{Ma}	81.26	-2.89	71.56	71.62	92
G _{Ma}	52.23	-42.42	13.6	44.55	162
B _{Ma}	30.57	1.41	-46.47	46.49	272

Daten für Maximalfarbe (Ma):

$\text{LAB}^*\text{LAB}^*_{Ma}$: 38 1 -42

$\text{LAB}^*\text{LCH}^*_{Ma}$: 38 42 271

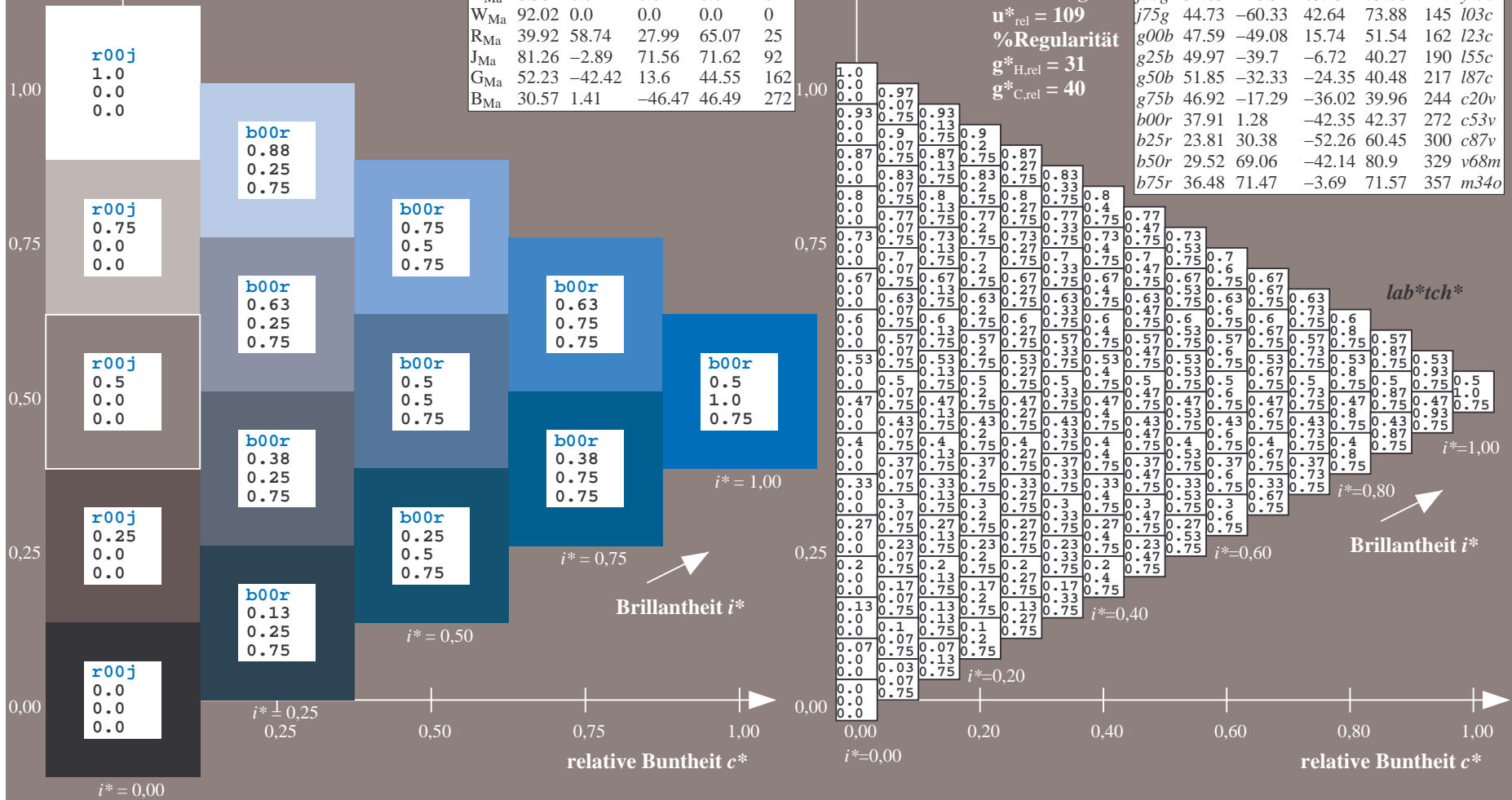
$\text{lab}^*rgb^*_{Ma}$: 0.0 0.0 1.0

$\text{lab}^*olv^*_{Ma}$: 0.0 0.47 1.0

Dreiecks-Helligkeit t^*

FRS09_92a; adaptierte CIELAB-Daten

u^*_e	$L^*=L^*_a$	a^*_a	b^*_a	$C^*_{ab,a}$	$h^*_{ab,a}$	u^*_d
r00j	35.47	63.32	30.17	70.15	25	m81o
r25j	39.12	54.56	49.45	73.64	42	o10y
r50j	50.64	39.15	64.89	75.79	59	o40y
r75j	64.01	21.26	82.83	85.52	76	o69y
j00g	83.18	-4.38	108.53	108.62	92	o98y
j25g	66.73	-29.89	83.06	88.28	110	y34l
j50g	54.03	-48.31	63.49	79.78	127	y69l
j75g	44.73	-60.33	42.64	73.88	145	103c
g00b	47.59	-49.08	15.74	51.54	162	l23c
g25b	49.97	-39.7	-6.72	40.27	190	l55c
g50b	51.85	-32.33	-24.35	40.48	217	l87c
g75b	46.92	-17.29	-36.02	39.96	244	c20v
b00r	37.91	1.28	-42.35	42.37	272	c53v
b25r	23.81	30.38	-52.26	60.45	300	c87v
b50r	29.52	69.06	-42.14	80.9	329	v68m
b75r	36.48	71.47	-3.69	71.57	357	m34o



Ein und Ausgabe: Farbmatisches Drucker-Reflektiv-System FRS09_92a für relativen CIELAB-Bunton $h^* = lab^*h^* = h_{ab}/360 = 0.834$

$u^*_e = b25r$

Daten für jede Farbe:

lab^*tch^* und lab^*icu^*

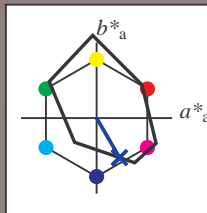
Buntontexte:

$u^*_e = b25r$ $u^*_d = c87v$

Kontrastreduzierungsfaktor:

$c_R = 1.0$

Dreiecks-Helligkeit t^*



FRS09_92a; adaptierte CIELAB-Daten

u^*_e	$L^*=L^*_a$	a^*_a	b^*_a	$C^*_{ab,a}$	$h^*_{ab,a}$
O _{Ma}	35.06	60.0	44.0	74.4	36
Y _{Ma}	83.77	-5.17	109.32	109.44	93
L _{Ma}	44.13	-62.67	48.24	79.09	142
C _{Ma}	52.66	-29.14	-31.99	43.27	228
V _{Ma}	14.15	50.3	-59.04	77.57	310
M _{Ma}	37.37	78.64	-33.5	85.48	337
N _{Ma}	8.58	0.0	0.0	0.0	0
W _{Ma}	92.02	0.0	0.0	0.0	0
R _{Ma}	39.92	58.74	27.99	65.07	25
J _{Ma}	81.26	-2.89	71.56	71.62	92
G _{Ma}	52.23	-42.42	13.6	44.55	162
B _{Ma}	30.57	1.41	-46.47	46.49	272

Daten für Maximalfarbe (Ma):

$LAB^*LAB^*_{Ma}$: 24 30 -52

$LAB^*LCH^*_{Ma}$: 24 60 300

$lab^*rgb^*_{Ma}$: 0.5 0.0 1.0

$lab^*olv^*_{Ma}$: 0.0 0.12 1.0

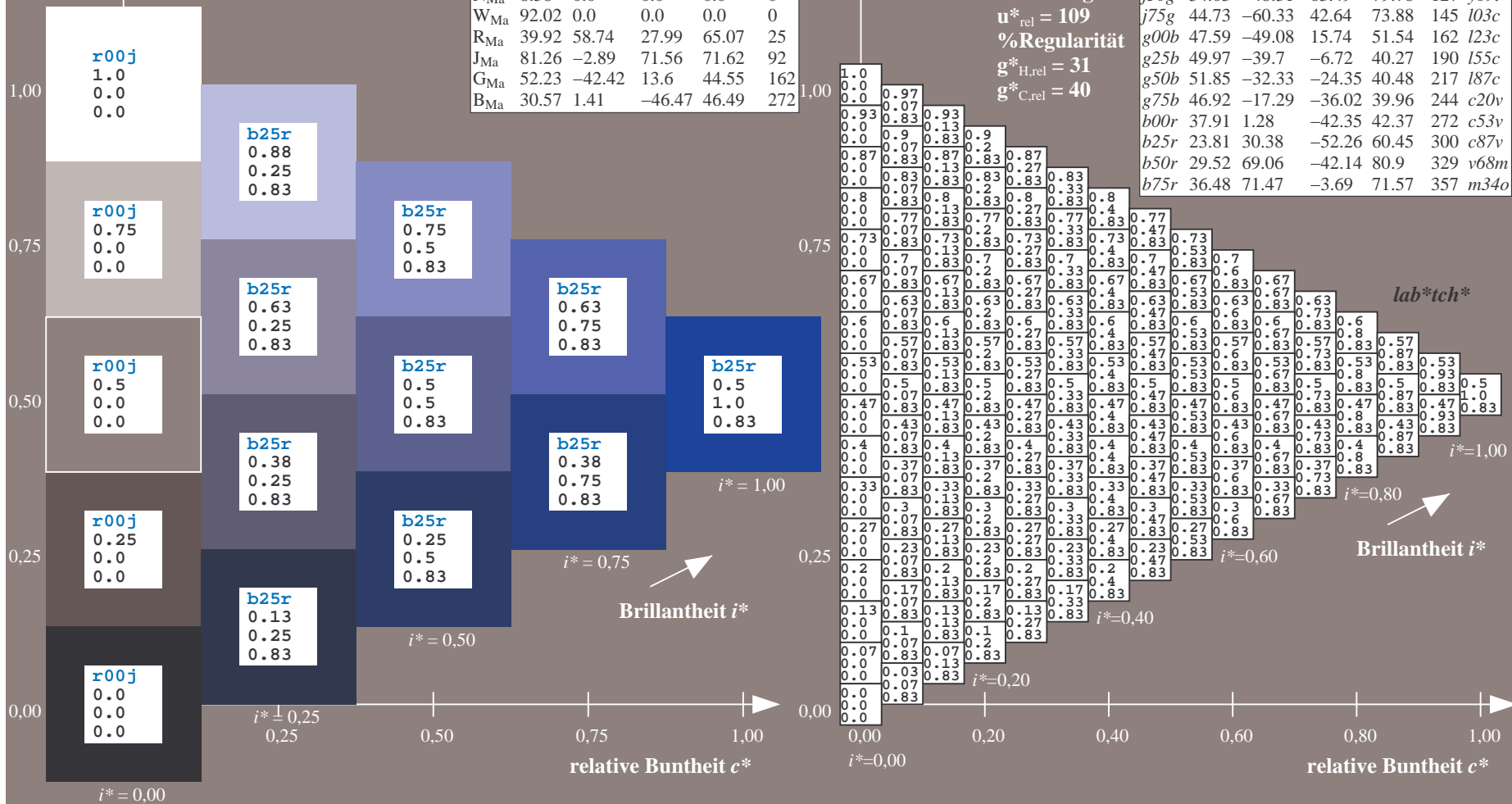
Dreiecks-Helligkeit t^*

FRS09_92a; adaptierte CIELAB-Daten

u^*_e	$L^*=L^*_a$	a^*_a	b^*_a	$C^*_{ab,a}$	$h^*_{ab,a}$	u^*_d
r00j	35.47	63.32	30.17	70.15	25	m81o
r25j	39.12	54.56	49.45	73.64	42	o10y
r50j	50.64	39.15	64.89	75.79	59	o40y
r75j	64.01	21.26	82.83	85.52	76	o69y
j00g	83.18	-4.38	108.53	108.62	92	o98y
j25g	66.73	-29.89	83.06	88.28	110	y34l
j50g	54.03	-48.31	63.49	79.78	127	y69l
j75g	44.73	-60.33	42.64	73.88	145	103c
g00b	47.59	-49.08	15.74	51.54	162	l23c
g25b	49.97	-39.7	-6.72	40.27	190	l55c
g50b	51.85	-32.33	-24.35	40.48	217	l87c
g75b	46.92	-17.29	-36.02	39.96	244	c20v
b00r	37.91	1.28	-42.35	42.37	272	c53v
b25r	23.81	30.38	-52.26	60.45	300	c87v
b50r	29.52	69.06	-42.14	80.9	329	v68m
b75r	36.48	71.47	-3.69	71.57	357	m34o

lab^*tch^*

Brillantheit i^*



Ein und Ausgabe: Farbmatisches Drucker-Reflektiv-System FRS09_92a für relativen CIELAB-Bunton $h^* = lab^*h^* = h_{ab}/360 = 0.913$

$u^*_e = b50r$

Daten für jede Farbe:

lab^*tch^* und lab^*icu^*

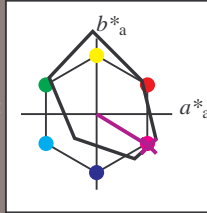
Buntontexte:

$u^*_e = b50r$ $u^*_d = v68m$

Kontrastreduzierungsfaktor:

$c_R = 1.0$

Dreiecks-Helligkeit t^*



FRS09_92a; adaptierte CIELAB-Daten

u^*_e	$L^*=L^*_a$	a^*_a	b^*_a	$C^*_{ab,a}$	$h^*_{ab,a}$
O _{Ma}	35.06	60.0	44.0	74.4	36
Y _{Ma}	83.77	-5.17	109.32	109.44	93
L _{Ma}	44.13	-62.67	48.24	79.09	142
C _{Ma}	52.66	-29.14	-31.99	43.27	228
V _{Ma}	14.15	50.3	-59.04	77.57	310
M _{Ma}	37.37	78.64	-33.5	85.48	337
N _{Ma}	8.58	0.0	0.0	0.0	0
W _{Ma}	92.02	0.0	0.0	0.0	0
R _{Ma}	39.92	58.74	27.99	65.07	25
J _{Ma}	81.26	-2.89	71.56	71.62	92
G _{Ma}	52.23	-42.42	13.6	44.55	162
B _{Ma}	30.57	1.41	-46.47	46.49	272

Daten für Maximalfarbe (Ma):

$LAB^*LAB^*_{Ma}$: 30 69 -42

$LAB^*LCH^*_{Ma}$: 30 81 328

$lab^*rgb^*_{Ma}$: 1.0 0.0 1.0

$lab^*olv^*_{Ma}$: 0.69 0.0 1.0

Dreiecks-Helligkeit t^*

FRS09_92a; adaptierte CIELAB-Daten

u^*_e	$L^*=L^*_a$	a^*_a	b^*_a	$C^*_{ab,a}$	$h^*_{ab,a}$	u^*_d
r00j	35.47	63.32	30.17	70.15	25	m81o
r25j	39.12	54.56	49.45	73.64	42	o10y
r50j	50.64	39.15	64.89	75.79	59	o40y
r75j	64.01	21.26	82.83	85.52	76	o69y
j00g	83.18	-4.38	108.53	108.62	92	o98y
j25g	66.73	-29.89	83.06	88.28	110	y34l
j50g	54.03	-48.31	63.49	79.78	127	y69l
j75g	44.73	-60.33	42.64	73.88	145	103c
g00b	47.59	-49.08	15.74	51.54	162	l23c
g25b	49.97	-39.7	-6.72	40.27	190	l55c
g50b	51.85	-32.33	-24.35	40.48	217	l87c
g75b	46.92	-17.29	-36.02	39.96	244	c20v
b00r	37.91	1.28	-42.35	42.37	272	c53v
b25r	23.81	30.38	-52.26	60.45	300	c87v
b50r	29.52	69.06	-42.14	80.9	329	v68m
b75r	36.48	71.47	-3.69	71.57	357	m34o

lab^*tch^*

Brillantheit i^*



Ein und Ausgabe: Farbmatisches Drucker-Reflektiv-System FRS09_92a für relativen CIELAB-Bunton $h^* = lab^*h^* = h_{ab}/360 = 0.992$

$u^*_e = b75r$

Daten für jede Farbe:

lab^*tch^* und lab^*icu^*

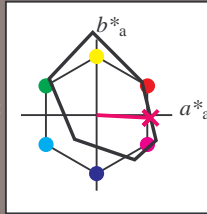
Buntontexte:

$u^*_e = b75r$ $u^*_d = m34o$

Kontrastreduzierungsfaktor:

$c_R = 1.0$

Dreiecks-Helligkeit t^*



FRS09_92a; adaptierte CIELAB-Daten

u^*_e	$L^*=L^*_a$	a^*_a	b^*_a	$C^*_{ab,a}$	$h^*_{ab,a}$
O _{Ma}	35.06	60.0	44.0	74.4	36
Y _{Ma}	83.77	-5.17	109.32	109.44	93
L _{Ma}	44.13	-62.67	48.24	79.09	142
C _{Ma}	52.66	-29.14	-31.99	43.27	228
V _{Ma}	14.15	50.3	-59.04	77.57	310
M _{Ma}	37.37	78.64	-33.5	85.48	337
N _{Ma}	8.58	0.0	0.0	0.0	0
W _{Ma}	92.02	0.0	0.0	0.0	0
R _{Ma}	39.92	58.74	27.99	65.07	25
J _{Ma}	81.26	-2.89	71.56	71.62	92
G _{Ma}	52.23	-42.42	13.6	44.55	162
B _{Ma}	30.57	1.41	-46.47	46.49	272

Daten für Maximalfarbe (Ma):

$LAB^*LAB^*_{Ma}$: 36 71 -4

$LAB^*LCH^*_{Ma}$: 36 72 357

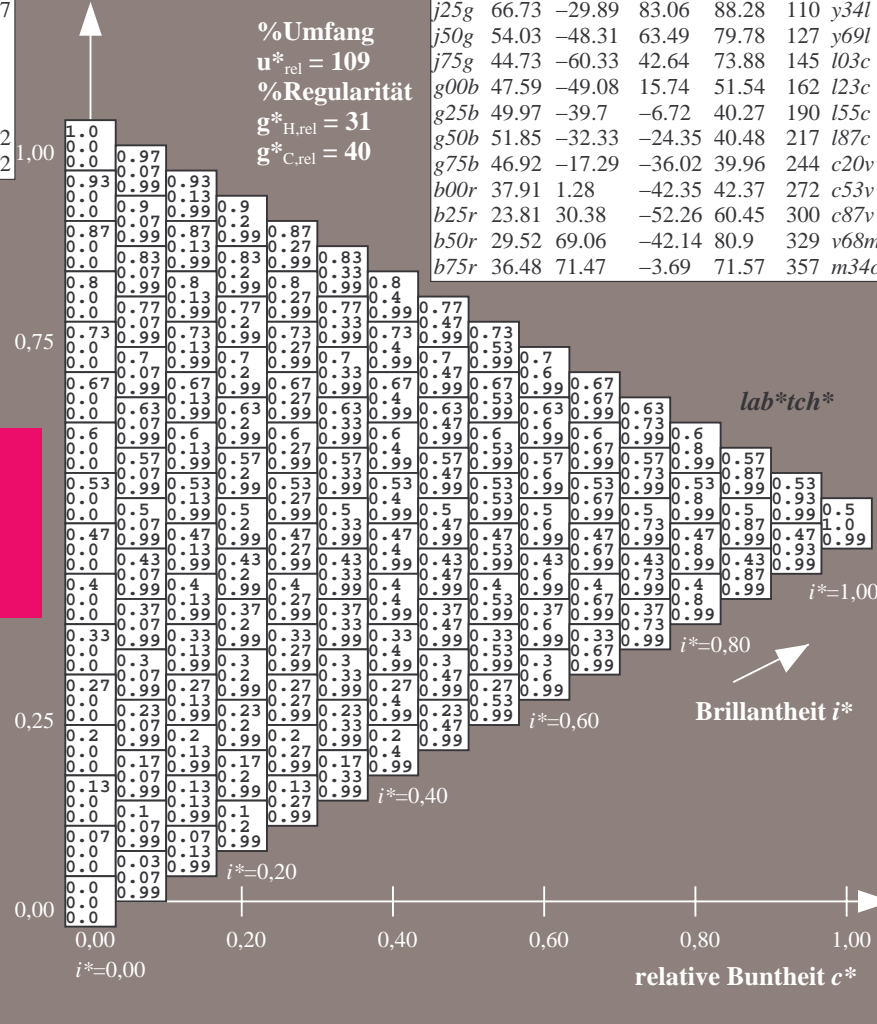
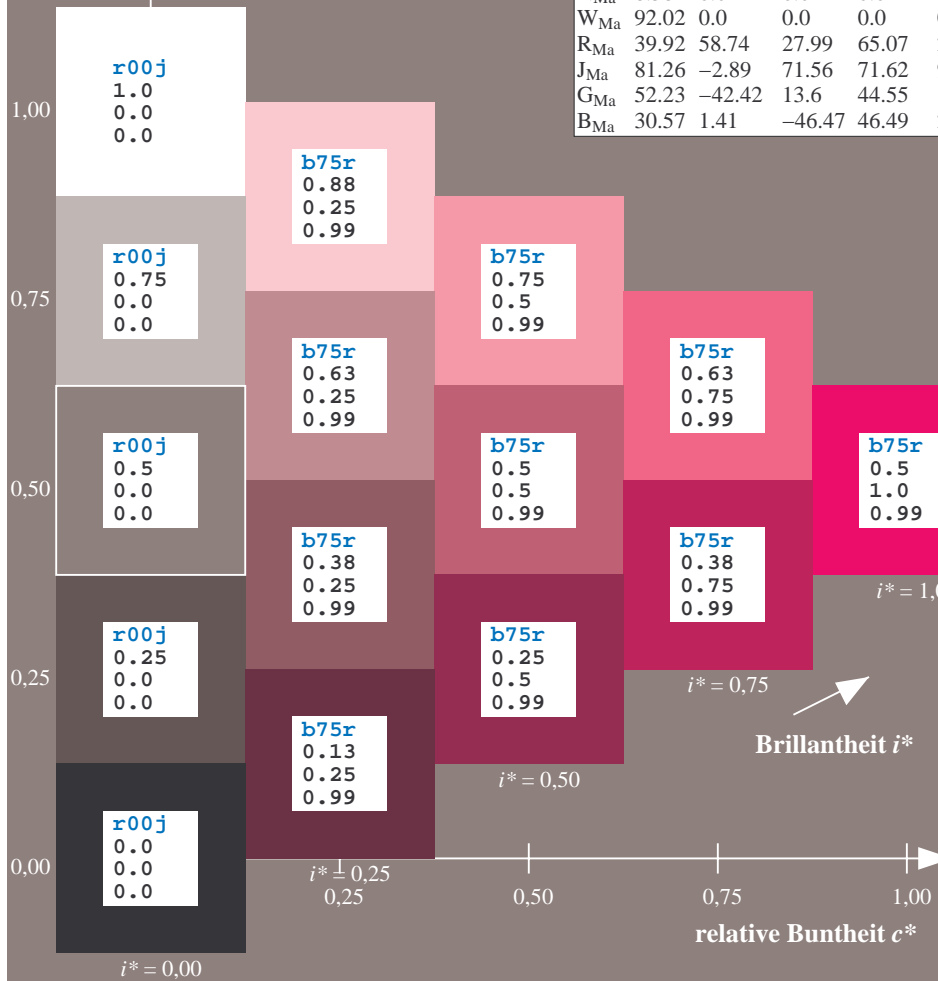
$lab^*rgb^*_{Ma}$: 1.0 0.0 0.5

$lab^*olv^*_{Ma}$: 1.0 0.0 0.66

Dreiecks-Helligkeit t^*

FRS09_92a; adaptierte CIELAB-Daten

u^*_e	$L^*=L^*_a$	a^*_a	b^*_a	$C^*_{ab,a}$	$h^*_{ab,a}$	u^*_d
r00j	35.47	63.32	30.17	70.15	25	m81o
r25j	39.12	54.56	49.45	73.64	42	o10y
r50j	50.64	39.15	64.89	75.79	59	o40y
r75j	64.01	21.26	82.83	85.52	76	o69y
j00g	83.18	-4.38	108.53	108.62	92	o98y
j25g	66.73	-29.89	83.06	88.28	110	y34l
j50g	54.03	-48.31	63.49	79.78	127	y69l
j75g	44.73	-60.33	42.64	73.88	145	l03c
g00b	47.59	-49.08	15.74	51.54	162	l23c
g25b	49.97	-39.7	-6.72	40.27	190	l55c
g50b	51.85	-32.33	-24.35	40.48	217	l87c
g75b	46.92	-17.29	-36.02	39.96	244	c20v
b00r	37.91	1.28	-42.35	42.37	272	c53v
b25r	23.81	30.38	-52.26	60.45	300	c87v
b50r	29.52	69.06	-42.14	80.9	329	v68m
b75r	36.48	71.47	-3.69	71.57	357	m34o



%Umfang
 $u^*_{rel} = 109$
 %Regularität
 $g^*_{H,rel} = 31$
 $g^*_{C,rel} = 40$

lab^*tch^*

$i^* = 1.00$

$i^* = 0.80$

$i^* = 0.60$

$i^* = 0.40$

$i^* = 0.20$

	A	B	C	D	E	F	G	H	I	J	K	L	M	N	O	P	Q	R	S	T	U	V	W	X	Y	Z	a	b	c	d	e	f	g	h	i	j	k	lab*tch*									
01	0.0	0.06	0.13	0.19	0.25	0.31	0.38	0.44	0.5	0.06	0.06	0.13	0.19	0.25	0.31	0.38	0.44	0.5	0.13	0.13	0.13	0.19	0.25	0.31	0.38	0.44	0.5	1.0	0.94	0.88	0.81	0.75	0.69	0.63	0.56	0.5	0.0	0.0	0.0	0.0							
02	0.06	0.06	0.13	0.19	0.25	0.31	0.38	0.44	0.5	0.06	0.13	0.13	0.19	0.25	0.31	0.38	0.44	0.5	0.13	0.19	0.19	0.25	0.31	0.38	0.44	0.5	0.56	0.94	0.88	0.81	0.75	0.69	0.63	0.56	0.5	0.44	0.38	0.31	0.25	0.13	0.13						
03	0.13	0.13	0.13	0.19	0.25	0.31	0.38	0.44	0.5	0.13	0.13	0.13	0.19	0.25	0.31	0.38	0.44	0.5	0.13	0.13	0.13	0.19	0.25	0.31	0.38	0.44	0.5	0.56	0.63	0.88	0.81	0.75	0.69	0.63	0.56	0.5	0.44	0.38	0.25	0.25	0.25						
04	0.19	0.19	0.19	0.25	0.31	0.38	0.44	0.5	0.19	0.19	0.25	0.25	0.31	0.38	0.44	0.5	0.56	0.56	0.31	0.38	0.38	0.44	0.5	0.56	0.56	0.56	0.56	0.56	0.63	0.81	0.75	0.69	0.63	0.56	0.5	0.44	0.38	0.31	0.25	0.13	0.13						
05	0.25	0.25	0.25	0.25	0.25	0.31	0.38	0.44	0.5	0.25	0.25	0.25	0.25	0.25	0.31	0.38	0.44	0.5	0.25	0.31	0.38	0.38	0.44	0.5	0.56	0.56	0.56	0.56	0.63	0.75	0.69	0.63	0.56	0.5	0.44	0.38	0.31	0.25	0.5	0.5	0.5	0.5					
06	0.31	0.31	0.31	0.31	0.31	0.31	0.38	0.44	0.5	0.31	0.31	0.38	0.38	0.38	0.38	0.38	0.44	0.5	0.31	0.38	0.44	0.44	0.44	0.44	0.5	0.56	0.56	0.56	0.56	0.63	0.69	0.63	0.56	0.5	0.44	0.38	0.31	0.25	0.19	0.13	0.13	0.13					
07	0.38	0.38	0.38	0.38	0.38	0.38	0.38	0.44	0.5	0.38	0.44	0.44	0.44	0.44	0.44	0.44	0.44	0.5	0.38	0.44	0.5	0.5	0.5	0.5	0.5	0.56	0.56	0.56	0.56	0.63	0.63	0.56	0.5	0.44	0.38	0.31	0.25	0.19	0.13	0.13	0.13	0.13					
08	0.44	0.44	0.44	0.44	0.44	0.44	0.44	0.44	0.5	0.44	0.5	0.5	0.5	0.5	0.5	0.5	0.56	0.56	0.5	0.56	0.56	0.56	0.56	0.56	0.56	0.56	0.56	0.56	0.56	0.56	0.56	0.5	0.44	0.38	0.31	0.25	0.19	0.13	0.06	0.88	0.88	0.88	0.88				
09	0.5	0.5	0.5	0.5	0.5	0.5	0.5	0.5	0.5	0.5	0.5	0.5	0.5	0.5	0.5	0.5	0.56	0.56	0.5	0.56	0.56	0.56	0.56	0.56	0.56	0.56	0.56	0.56	0.56	0.56	0.56	0.5	0.44	0.38	0.31	0.25	0.19	0.13	0.06	0.88	0.88	0.88	0.88				
10	1.0	1.0	1.0	1.0	1.0	1.0	1.0	1.0	1.0	1.0	1.0	1.0	1.0	1.0	1.0	1.0	1.0	1.0	1.0	1.0	1.0	1.0	1.0	1.0	1.0	1.0	1.0	1.0	1.0	1.0	1.0	1.0	1.0	1.0	1.0	1.0	1.0	1.0	1.0	1.0	1.0	1.0	1.0	1.0			
11	0.19	0.19	0.19	0.25	0.31	0.38	0.44	0.5	0.25	0.25	0.25	0.25	0.25	0.25	0.31	0.38	0.44	0.5	0.31	0.31	0.31	0.31	0.31	0.38	0.44	0.5	1.0	0.94	0.88	0.81	0.75	0.69	0.63	0.56	0.5	0.0	0.0	0.0	0.0	0.0	0.0	0.0	0.0				
12	0.19	0.25	0.25	0.25	0.31	0.38	0.44	0.5	0.56	0.25	0.31	0.31	0.31	0.31	0.31	0.38	0.44	0.5	0.56	0.31	0.38	0.38	0.38	0.38	0.44	0.5	0.56	0.94	0.88	0.81	0.75	0.69	0.63	0.56	0.5	0.44	0.38	0.31	0.25	0.13	0.07	0.07	0.07	0.07			
13	0.38	0.25	0.25	0.25	0.31	0.38	0.44	0.5	0.63	0.5	0.38	0.38	0.38	0.38	0.38	0.44	0.5	0.63	0.75	0.88	0.63	0.5	0.5	0.5	0.5	0.63	0.75	0.88	0.13	0.0	0.13	0.25	0.38	0.5	0.63	0.75	0.88	0.0	0.0	0.0	0.0	0.0	0.0	0.0	0.0		
14	0.5	0.5	0.5	0.5	0.5	0.5	0.5	0.5	0.5	0.5	0.5	0.5	0.5	0.5	0.5	0.5	0.56	0.56	0.5	0.56	0.56	0.56	0.56	0.56	0.56	0.56	0.56	0.56	0.56	0.56	0.56	0.5	0.44	0.38	0.31	0.25	0.19	0.13	0.06	0.88	0.88	0.88	0.88				
15	0.94	0.94	0.94	0.94	0.94	0.94	0.94	0.94	0.94	0.94	0.94	0.94	0.94	0.94	0.94	0.94	0.94	0.94	0.94	0.94	0.94	0.94	0.94	0.94	0.94	0.94	0.94	0.94	0.94	0.94	0.94	0.94	0.94	0.94	0.94	0.94	0.94	0.94	0.94	0.94	0.94	0.94	0.94	0.94	0.94		
16	0.38	0.44	0.5	0.56	0.56	0.56	0.63	0.69	0.38	0.44	0.5	0.56	0.63	0.63	0.63	0.69	0.75	0.38	0.44	0.5	0.56	0.63	0.69	0.69	0.69	0.75	0.75	0.81	0.63	0.56	0.5	0.44	0.38	0.31	0.25	0.19	0.13	0.4	0.4	0.4	0.4	0.4	0.4	0.4			
17	0.38	0.44	0.5	0.56	0.56	0.56	0.63	0.69	0.38	0.44	0.5	0.56	0.63	0.63	0.63	0.69	0.75	0.38	0.44	0.5	0.56	0.63	0.69	0.69	0.69	0.75	0.75	0.81	0.63	0.56	0.5	0.44	0.38	0.31	0.25	0.19	0.13	0.4	0.4	0.4	0.4	0.4	0.4	0.4	0.4		
18	0.5	0.56	0.63	0.69	0.69	0.69	0.69	0.69	0.69	0.69	0.69	0.69	0.69	0.69	0.69	0.69	0.69	0.69	0.69	0.69	0.69	0.69	0.69	0.69	0.69	0.69	0.69	0.69	0.69	0.69	0.69	0.69	0.69	0.69	0.69	0.69	0.69	0.69	0.69	0.69	0.69	0.69	0.69	0.69	0.69		
19	0.89	0.88	0.88	0.88	0.88	0.88	0.88	0.88	0.88	0.88	0.88	0.88	0.88	0.88	0.88	0.88	0.88	0.88	0.88	0.88	0.88	0.88	0.88	0.88	0.88	0.88	0.88	0.88	0.88	0.88	0.88	0.88	0.88	0.88	0.88	0.88	0.88	0.88	0.88	0.88	0.88	0.88	0.88	0.88	0.88		
20	0.38	0.38	0.38	0.38	0.38	0.38	0.38	0.44	0.5	0.44	0.44	0.44	0.44	0.44	0.44	0.44	0.44	0.5	0.5	0.5	0.5	0.5	0.5	0.5	0.5	0.5	0.5	0.5	0.5	0.5	0.5	0.5	0.5	0.5	0.5	0.5	0.5	0.5	0.5	0.5	0.5	0.5	0.5	0.5	0.5	0.5	
21	0.38	0.44	0.5	0.56	0.56	0.56	0.63	0.69	0.38	0.44	0.5	0.56	0.63	0.63	0.63	0.69	0.75	0.38	0.44	0.5	0.56	0.63	0.69	0.69	0.69	0.75	0.75	0.81	0.63	0.56	0.5	0.44	0.38	0.31	0.25	0.19	0.13	0.4	0.4	0.4	0.4	0.4	0.4	0.4	0.4	0.4	0.4
22	0.38	0.44	0.5	0.56	0.56	0.56	0.63	0.69	0.38	0.44	0.5	0.56	0.63	0.63	0.63	0.69	0.75	0.38	0.44	0.5	0.56	0.63	0.69	0.69	0.69	0.75	0.75	0.81	0.63	0.56	0.5	0.44	0.38	0.31	0.25	0.19	0.13	0.4	0.4	0.4	0.4	0.4	0.4	0.4	0.4	0.4	0.4
23	0.75	0.63	0.5	0.38	0.25	0.25	0.38	0.5	0.38	0.88	0.75	0.63	0.5	0.38	0.38	0.38	0.38	0.5	1.0	0.88	0.75	0.63	0.5	0.38	0.38	0.38	0.38	0.38	0.38	0.38	0.38	0.38	0.38	0.38	0.38	0.38	0.38	0.38	0.38	0.38	0.38	0.38	0.38	0.38	0.38		
24	0.99	0.0	0.2	0.05	0.1	0.18	0.26	0.3	0.33	0.01	0.02	0.03	0.06	0.1	0.15	0.21	0.26	0.29	0.02	0.03	0.05	0.07	0.1	0.14	0.18	0.22	0.26	0.3	0.33	0.33	0.33	0.33	0.33	0.33	0.33	0.33	0.33	0.33	0.33	0.33	0.33	0.33	0.33	0.33	0.33	0.33	
25	0.38	0.44	0.5	0.56	0.63	0.69	0.69	0.75	0.81	0.44	0.5	0.56	0.63	0.69	0.75	0.75	0.81	0.5	0.56	0.63	0.69	0.75	0.81	0.81	0.81	0.81	0.81	0.81	0.81	0.81	0.81	0.81	0.81	0.81	0.81	0.81	0.81	0.81	0.81	0.81	0.81	0.81	0.81	0.81	0.81	0.81	
26	0.38	0.44	0.5	0.56	0.63	0.69	0.69	0.75	0.81	0.44	0.5	0.56	0.63	0.69	0.75	0.75	0.81	0.5	0.56	0.63	0.69	0.75	0.81	0.81	0.81	0.81	0.81	0.81	0.81	0.81	0.81	0.81	0.81	0.81	0.81	0.81	0.81	0.81	0.81	0.81	0.81	0.81	0.81	0.81	0.81	0.81	0.81
27	0.5	0.56	0.63	0.69	0.75	0.81	0.88	0.88	0.88	0.5	0.56	0.63	0.69	0.75	0.81	0.88	0.88	0.88	0.88	0.88	0.88	0.88	0.88	0.88	0.88	0.88	0.88	0.88	0.88	0.88	0.88	0.88	0.88	0.88	0.88	0.88	0.88	0.88	0.88	0.88	0.88	0.88	0.88	0.88	0.88	0.88	0.88
28	1.0	0.88	0.75	0.63	0.5	0.38	0.25	0.25	0.1	0.0	0.88	0.75	0.63	0.5	0.38	0.25	0.13	0.13	0.25	0.1	0.0	0.88	0.75	0.63	0.5	0.38	0.25	0.13	0.0	0.13	0.25	0.38	0.5	0.63	0.75	0.88	1.0	1.0	1.0	1.0	1.0	1.0	1.0	1.0	1.0	1.0	
29	0.92	0.91	0.91	0.91	0.91	0.91	0.91	0.91	0.91	0.91	0.91	0.91	0.91	0.91	0.91	0.91	0.91	0.91	0.91	0.91	0.91	0.91	0.91	0.91	0.91	0.91	0.91	0.91	0.91	0.91	0.91	0.91	0.91	0.91	0.91	0.91	0.91	0.91	0.91	0.91	0.91	0.91	0.91	0.91	0.91	0.91	0.91

Ein und Ausgabe:
 Farbmetrisches Drucker-Reflektiv-System FRS09_92a

Daten für jede Farbe:

u^*_e und Nummer *Nr.* = 00 .. 15

Elementar-Bunttextext:

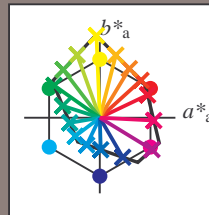
$u^*_e = 16$ Bunttoene *r00j, r25j, ..., b75r*

Kontrastreduzierungsfaktor:

$c_R = 1.0$

FRS09_92a; adaptierte CIELAB-Daten

u^*_e	$L^*=L^*_a$	a^*_a	b^*_a	$C^*_{ab,a}$	$h^*_{ab,a}$	u^*_d
r00j	35.47	63.32	30.17	70.15	25	m81o
r25j	39.12	54.56	49.45	73.64	42	o10y
r50j	50.64	39.15	64.89	75.79	59	o40y
r75j	64.01	21.26	82.83	85.52	76	o69y
j00g	83.18	-4.38	108.53	108.62	92	o98y
j25g	66.73	-29.89	83.06	88.28	110	y34l
j50g	54.03	-48.31	63.49	79.78	127	y69l
j75g	44.73	-60.33	42.64	73.88	145	l03c
g00b	47.59	-49.08	15.74	51.54	162	l23c
g25b	49.97	-39.7	-6.72	40.27	190	l55c
g50b	51.85	-32.33	-24.35	40.48	217	l87c
g75b	46.92	-17.29	-36.02	39.96	244	c20v
b00r	37.91	1.28	-42.35	42.37	272	c53v
b25r	23.81	30.38	-52.26	60.45	300	c87v
b50r	29.52	69.06	-42.14	80.9	329	v68m
b75r	36.48	71.47	-3.69	71.57	357	m34o



%Umfang

$u^*_{rel} = 109$

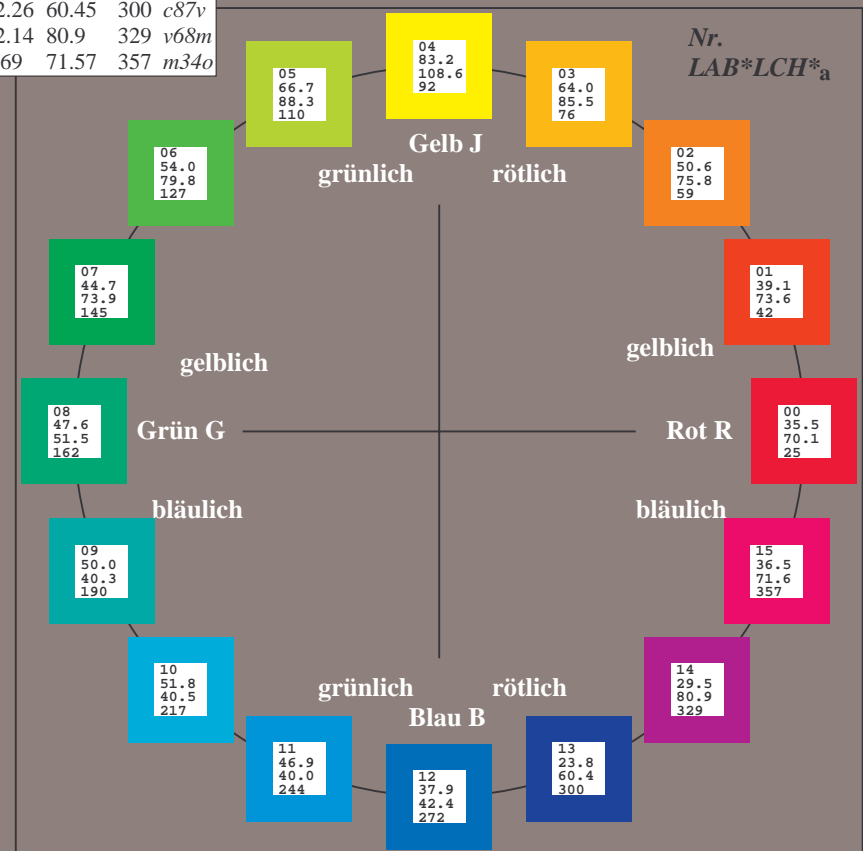
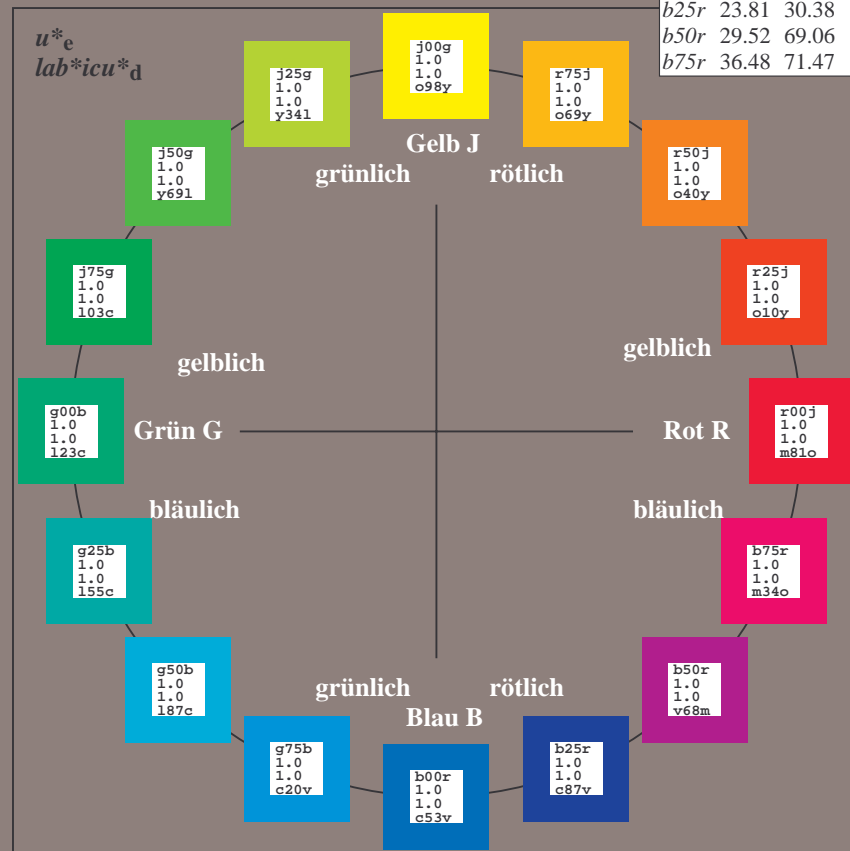
%Regularität

$g^*_{H,rel} = 31$

$g^*_{C,rel} = 40$

FRS09_92a; adaptierte CIELAB-Daten

Name	$L^*=L^*_a$	a^*_a	b^*_a	$C^*_{ab,a}$	$h^*_{ab,a}$
OMa	35.06	60.0	44.0	74.4	36
YMa	83.77	-5.17	109.32	109.44	93
LMa	44.13	-62.67	48.24	79.09	142
CMa	52.66	-29.14	-31.99	43.27	228
VMa	14.15	50.3	-59.04	77.57	310
MMa	37.37	78.64	-33.5	85.48	337
NMa	8.58	0.0	0.0	0.0	0
WMa	92.02	0.0	0.0	0.0	0
RCIE	39.92	58.74	27.99	65.07	25
JCIE	81.26	-2.89	71.56	71.62	92
GCIE	52.23	-42.42	13.6	44.55	162
BCIE	30.57	1.41	-46.47	46.49	272



Ein und Ausgabe: Farbmatisches Drucker-Reflektiv-System FRS09_92a für relativen CIELAB-Bunton $h^* = lab^*h^* = h_{ab}/360 = 0.071$

$u^*_e = r00j$
 $lab^*icu^*_d$

Daten für jede Farbe:

lab^*ch^* und lab^*icu^*

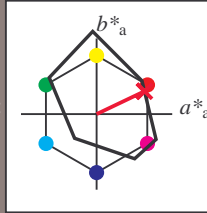
Buntontexte:

$u^*_e = r00j$ $u^*_d = m81o$

Kontrastreduzierungsfaktor:

$c_R = 1.0$

Dreiecks-Helligkeit t^*



FRS09_92a; adaptierte CIELAB-Daten

u^*_e	$L^*=L^*_a$	a^*_a	b^*_a	$C^*_{ab,a}$	$h^*_{ab,a}$
O _{Ma}	35.06	60.0	44.0	74.4	36
Y _{Ma}	83.77	-5.17	109.32	109.44	93
L _{Ma}	44.13	-62.67	48.24	79.09	142
C _{Ma}	52.66	-29.14	-31.99	43.27	228
V _{Ma}	14.15	50.3	-59.04	77.57	310
M _{Ma}	37.37	78.64	-33.5	85.48	337
N _{Ma}	8.58	0.0	0.0	0.0	0
W _{Ma}	92.02	0.0	0.0	0.0	0
R _{Ma}	39.92	58.74	27.99	65.07	25
J _{Ma}	81.26	-2.89	71.56	71.62	92
G _{Ma}	52.23	-42.42	13.6	44.55	162
B _{Ma}	30.57	1.41	-46.47	46.49	272

Daten für Maximalfarbe (Ma):

$LAB^*LAB^*_{Ma}$: 35 63 30

$LAB^*LCH^*_{Ma}$: 35 70 25

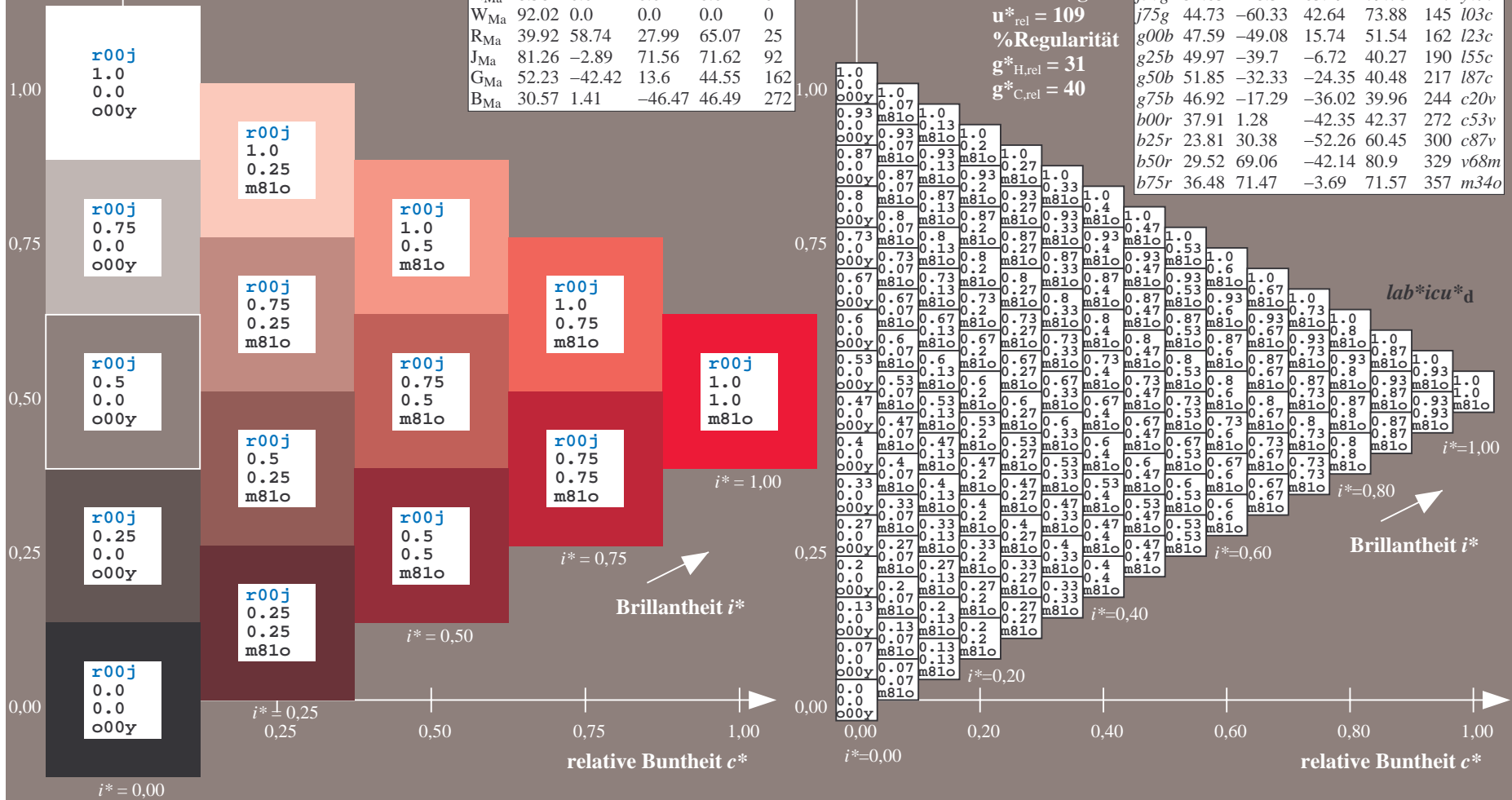
$lab^*rgb^*_{Ma}$: 1.0 0.0 0.0

$lab^*olv^*_{Ma}$: 1.0 0.0 0.18

Dreiecks-Helligkeit t^*

FRS09_92a; adaptierte CIELAB-Daten

u^*_e	$L^*=L^*_a$	a^*_a	b^*_a	$C^*_{ab,a}$	$h^*_{ab,a}$	u^*_d
r00j	35.47	63.32	30.17	70.15	25	m81o
r25j	39.12	54.56	49.45	73.64	42	o10y
r50j	50.64	39.15	64.89	75.79	59	o40y
r75j	64.01	21.26	82.83	85.52	76	o69y
j00g	83.18	-4.38	108.53	108.62	92	o98y
j25g	66.73	-29.89	83.06	88.28	110	y34l
j50g	54.03	-48.31	63.49	79.78	127	y69l
j75g	44.73	-60.33	42.64	73.88	145	l03c
g00b	47.59	-49.08	15.74	51.54	162	l23c
g25b	49.97	-39.7	-6.72	40.27	190	l55c
g50b	51.85	-32.33	-24.35	40.48	217	l87c
g75b	46.92	-17.29	-36.02	39.96	244	c20v
b00r	37.91	1.28	-42.35	42.37	272	c53v
b25r	23.81	30.38	-52.26	60.45	300	c87v
b50r	29.52	69.06	-42.14	80.9	329	v68m
b75r	36.48	71.47	-3.69	71.57	357	m34o



Ein und Ausgabe: Farbmatisches Drucker-Reflektiv-System FRS09_92a für relativen CIELAB-Bunton $h^* = lab^*h^* = h_{ab}/360 = 0.117$

$u^*_e = r25j$
 $lab^*icu^*_d$

Daten für jede Farbe:

lab^*ch^* und lab^*icu^*

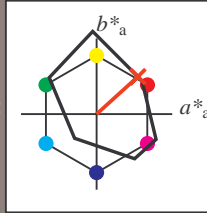
Buntontexte:

$u^*_e = r25j$ $u^*_d = o10y$

Kontrastreduzierungsfaktor:

$c_R = 1.0$

Dreiecks-Helligkeit t^*



FRS09_92a; adaptierte CIELAB-Daten

u^*_e	$L^*=L^*_a$	a^*_a	b^*_a	$C^*_{ab,a}$	$h^*_{ab,a}$
O _{Ma}	35.06	60.0	44.0	74.4	36
Y _{Ma}	83.77	-5.17	109.32	109.44	93
L _{Ma}	44.13	-62.67	48.24	79.09	142
C _{Ma}	52.66	-29.14	-31.99	43.27	228
V _{Ma}	14.15	50.3	-59.04	77.57	310
M _{Ma}	37.37	78.64	-33.5	85.48	337
N _{Ma}	8.58	0.0	0.0	0.0	0
W _{Ma}	92.02	0.0	0.0	0.0	0
R _{Ma}	39.92	58.74	27.99	65.07	25
J _{Ma}	81.26	-2.89	71.56	71.62	92
G _{Ma}	52.23	-42.42	13.6	44.55	162
B _{Ma}	30.57	1.41	-46.47	46.49	272

Daten für Maximalfarbe (Ma):

$LAB^*LAB^*_{Ma}$: 39 55 49

$LAB^*LCH^*_{Ma}$: 39 74 42

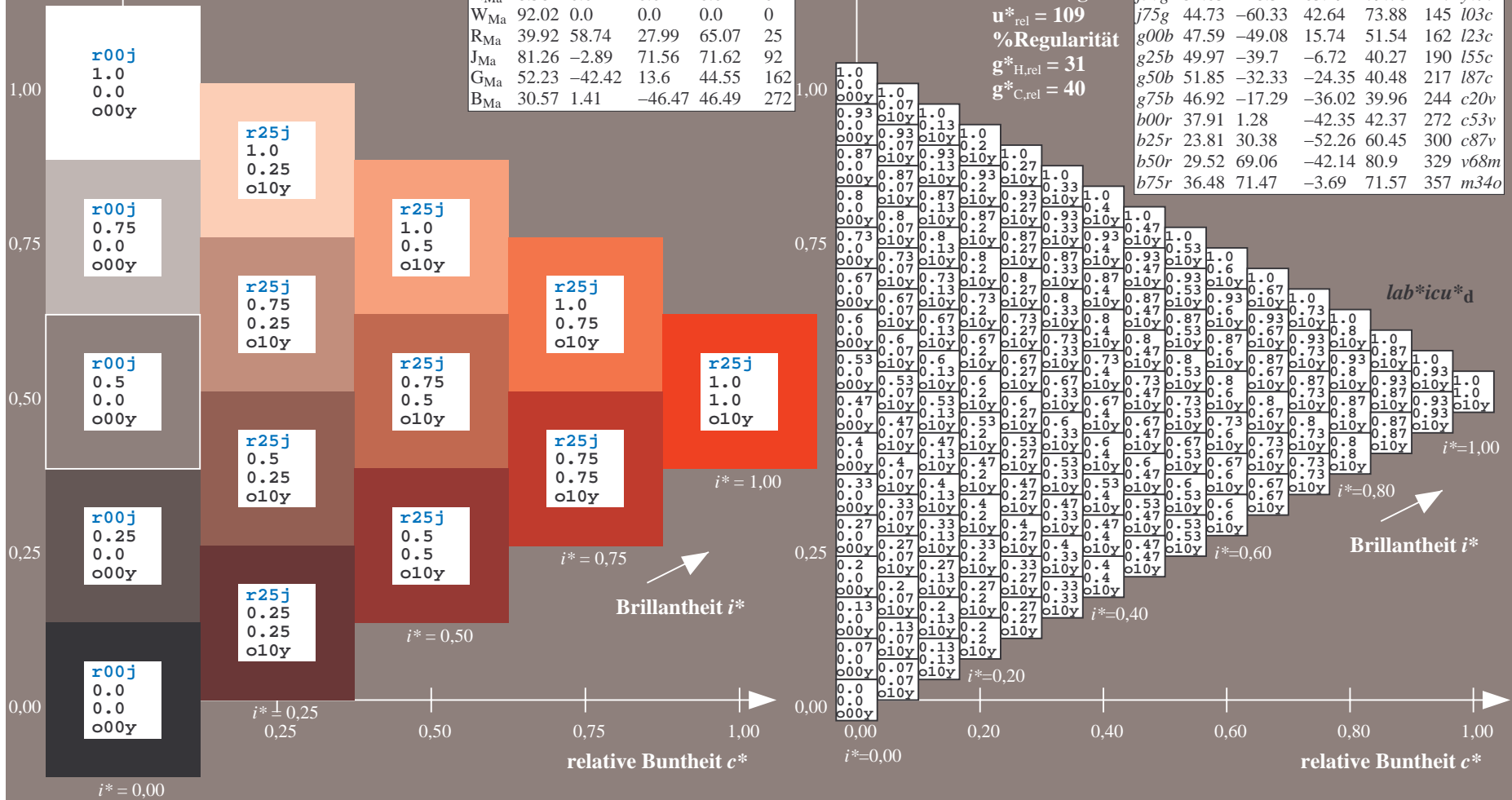
$lab^*rgb^*_{Ma}$: 1.0 0.25 0.0

$lab^*olv^*_{Ma}$: 1.0 0.11 0.0

Dreiecks-Helligkeit t^*

FRS09_92a; adaptierte CIELAB-Daten

u^*_e	$L^*=L^*_a$	a^*_a	b^*_a	$C^*_{ab,a}$	$h^*_{ab,a}$	u^*_d
r00j	35.47	63.32	30.17	70.15	25	m81o
r25j	39.12	54.56	49.45	73.64	42	o10y
r50j	50.64	39.15	64.89	75.79	59	o40y
r75j	64.01	21.26	82.83	85.52	76	o69y
j00g	83.18	-4.38	108.53	108.62	92	o98y
j25g	66.73	-29.89	83.06	88.28	110	y34l
j50g	54.03	-48.31	63.49	79.78	127	y69l
j75g	44.73	-60.33	42.64	73.88	145	l03c
g00b	47.59	-49.08	15.74	51.54	162	l23c
g25b	49.97	-39.7	-6.72	40.27	190	l55c
g50b	51.85	-32.33	-24.35	40.48	217	l87c
g75b	46.92	-17.29	-36.02	39.96	244	c20v
b00r	37.91	1.28	-42.35	42.37	272	c53v
b25r	23.81	30.38	-52.26	60.45	300	c87v
b50r	29.52	69.06	-42.14	80.9	329	v68m
b75r	36.48	71.47	-3.69	71.57	357	m34o



Ein und Ausgabe: Farbmatisches Drucker-Reflektiv-System FRS09_92a für relativen CIELAB-Bunton $h^* = lab^*h^* = h_{ab}/360 = 0.164$

$u^*_e = r50j$
 $lab^*icu^*_d$

Daten für jede Farbe:

lab^*tch^* und lab^*icu^*

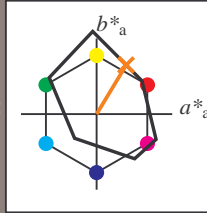
Buntontexte:

$u^*_e = r50j$ $u^*_d = o40y$

Kontrastreduzierungsfaktor:

$c_R = 1.0$

Dreiecks-Helligkeit t^*



FRS09_92a; adaptierte CIELAB-Daten

u^*_e	$L^*=L^*_a$	a^*_a	b^*_a	$C^*_{ab,a}$	$h^*_{ab,a}$
O _{Ma}	35.06	60.0	44.0	74.4	36
Y _{Ma}	83.77	-5.17	109.32	109.44	93
L _{Ma}	44.13	-62.67	48.24	79.09	142
C _{Ma}	52.66	-29.14	-31.99	43.27	228
V _{Ma}	14.15	50.3	-59.04	77.57	310
M _{Ma}	37.37	78.64	-33.5	85.48	337
N _{Ma}	8.58	0.0	0.0	0.0	0
W _{Ma}	92.02	0.0	0.0	0.0	0
R _{Ma}	39.92	58.74	27.99	65.07	25
J _{Ma}	81.26	-2.89	71.56	71.62	92
G _{Ma}	52.23	-42.42	13.6	44.55	162
B _{Ma}	30.57	1.41	-46.47	46.49	272

Daten für Maximalfarbe (Ma):

$LAB^*LAB^*_{Ma}$: 51 39 65

$LAB^*LCH^*_{Ma}$: 51 76 58

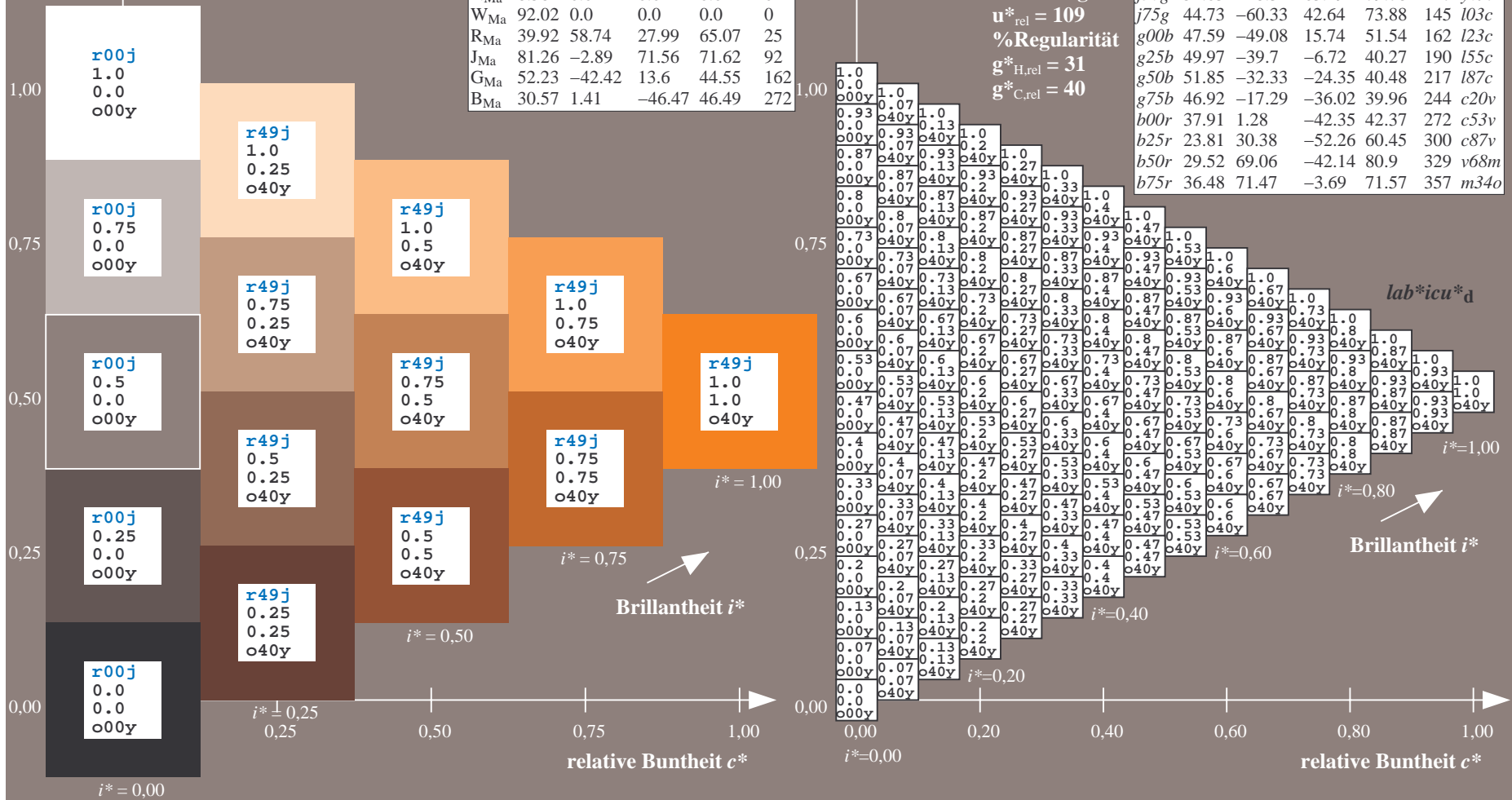
$lab^*rgb^*_{Ma}$: 1.0 0.5 0.0

$lab^*olv^*_{Ma}$: 1.0 0.4 0.0

Dreiecks-Helligkeit t^*

FRS09_92a; adaptierte CIELAB-Daten

u^*_e	$L^*=L^*_a$	a^*_a	b^*_a	$C^*_{ab,a}$	$h^*_{ab,a}$	u^*_d
r00j	35.47	63.32	30.17	70.15	25	m81o
r25j	39.12	54.56	49.45	73.64	42	o10y
r50j	50.64	39.15	64.89	75.79	59	o40y
r75j	64.01	21.26	82.83	85.52	76	o69y
j00g	83.18	-4.38	108.53	108.62	92	o98y
j25g	66.73	-29.89	83.06	88.28	110	y34l
j50g	54.03	-48.31	63.49	79.78	127	y69l
j75g	44.73	-60.33	42.64	73.88	145	l03c
g00b	47.59	-49.08	15.74	51.54	162	l23c
g25b	49.97	-39.7	-6.72	40.27	190	l55c
g50b	51.85	-32.33	-24.35	40.48	217	l87c
g75b	46.92	-17.29	-36.02	39.96	244	c20v
b00r	37.91	1.28	-42.35	42.37	272	c53v
b25r	23.81	30.38	-52.26	60.45	300	c87v
b50r	29.52	69.06	-42.14	80.9	329	v68m
b75r	36.48	71.47	-3.69	71.57	357	m34o



Ein und Ausgabe: Farbmatisches Drucker-Reflektiv-System FRS09_92a für relativen CIELAB-Bunton $h^* = lab^*h^* = h_{ab}/360 = 0.21$

$u^*_e = r75j$
 $lab^*icu^*_d$

Daten für jede Farbe:

lab^*tch^* und lab^*icu^*

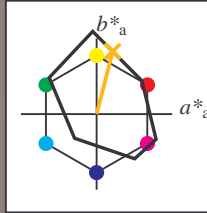
Buntontexte:

$u^*_e = r75j$ $u^*_d = o69y$

Kontrastreduzierungsfaktor:

$c_R = 1.0$

Dreiecks-Helligkeit t^*



FRS09_92a; adaptierte CIELAB-Daten

u^*_e	$L^*=L^*_a$	a^*_a	b^*_a	$C^*_{ab,a}$	$h^*_{ab,a}$
O _{Ma}	35.06	60.0	44.0	74.4	36
Y _{Ma}	83.77	-5.17	109.32	109.44	93
L _{Ma}	44.13	-62.67	48.24	79.09	142
C _{Ma}	52.66	-29.14	-31.99	43.27	228
V _{Ma}	14.15	50.3	-59.04	77.57	310
M _{Ma}	37.37	78.64	-33.5	85.48	337
N _{Ma}	8.58	0.0	0.0	0.0	0
W _{Ma}	92.02	0.0	0.0	0.0	0
R _{Ma}	39.92	58.74	27.99	65.07	25
J _{Ma}	81.26	-2.89	71.56	71.62	92
G _{Ma}	52.23	-42.42	13.6	44.55	162
B _{Ma}	30.57	1.41	-46.47	46.49	272

Daten für Maximalfarbe (Ma):

$LAB^*LAB^*_{Ma}$: 64 21 83

$LAB^*LCH^*_{Ma}$: 64 86 75

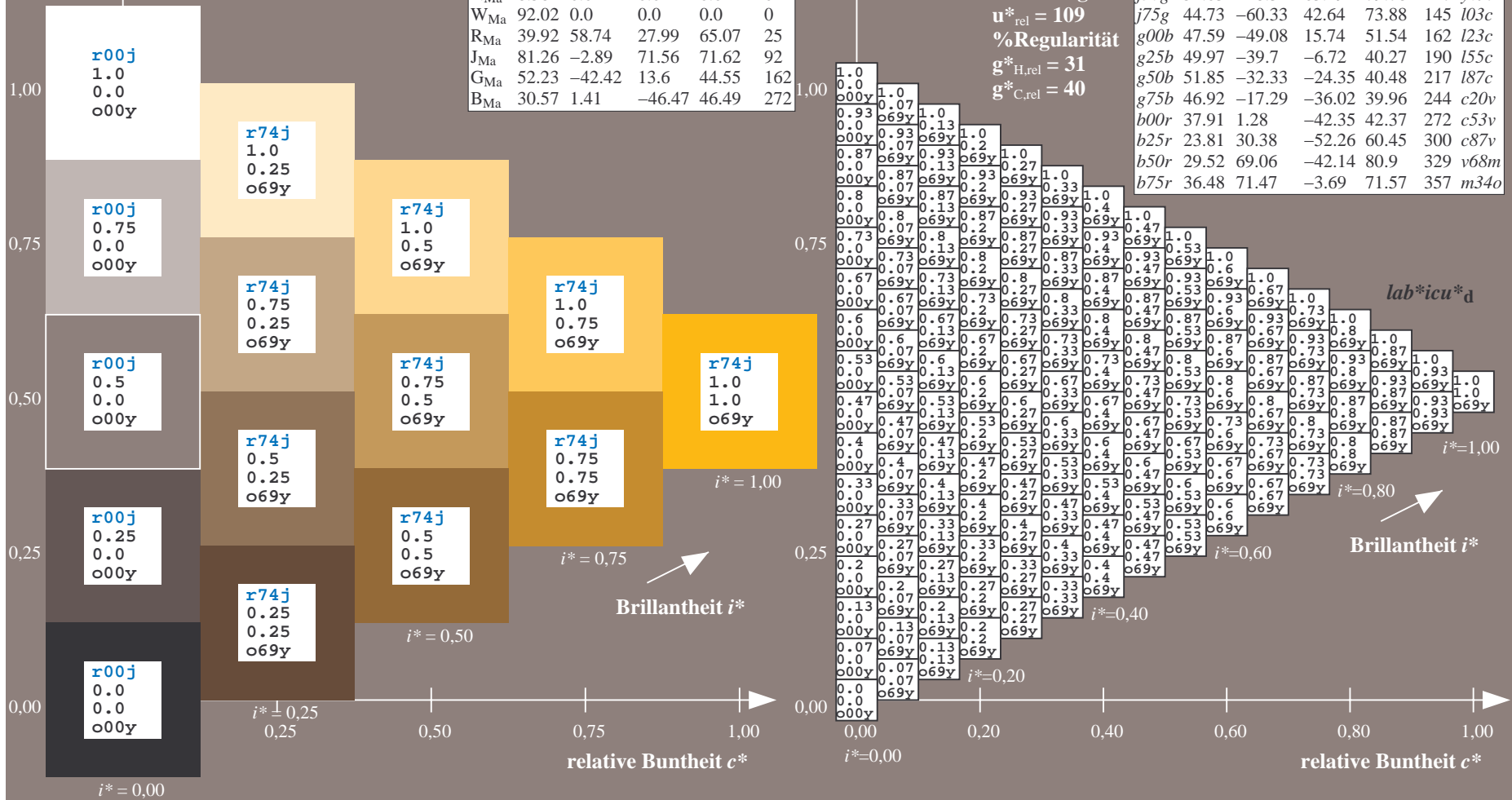
$lab^*rgb^*_{Ma}$: 1.0 0.75 0.0

$lab^*olv^*_{Ma}$: 1.0 0.7 0.0

Dreiecks-Helligkeit t^*

FRS09_92a; adaptierte CIELAB-Daten

u^*_e	$L^*=L^*_a$	a^*_a	b^*_a	$C^*_{ab,a}$	$h^*_{ab,a}$	u^*_d
r00j	35.47	63.32	30.17	70.15	25	m81o
r25j	39.12	54.56	49.45	73.64	42	o10y
r50j	50.64	39.15	64.89	75.79	59	o40y
r75j	64.01	21.26	82.83	85.52	76	o69y
j00g	83.18	-4.38	108.53	108.62	92	o98y
j25g	66.73	-29.89	83.06	88.28	110	y34l
j50g	54.03	-48.31	63.49	79.78	127	y69l
j75g	44.73	-60.33	42.64	73.88	145	l03c
g00b	47.59	-49.08	15.74	51.54	162	l23c
g25b	49.97	-39.7	-6.72	40.27	190	l55c
g50b	51.85	-32.33	-24.35	40.48	217	l87c
g75b	46.92	-17.29	-36.02	39.96	244	c20v
b00r	37.91	1.28	-42.35	42.37	272	c53v
b25r	23.81	30.38	-52.26	60.45	300	c87v
b50r	29.52	69.06	-42.14	80.9	329	v68m
b75r	36.48	71.47	-3.69	71.57	357	m34o



Ein und Ausgabe: Farbmatisches Drucker-Reflektiv-System FRS09_92a für relativen CIELAB-Bunton $h^* = lab^*h^* = h_{ab}/360 = 0.256$

$u^*_e = j00g$
 $lab^*icu^*_d$

Daten für jede Farbe:

lab^*tch^* und lab^*icu^*

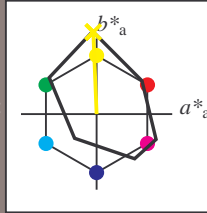
Buntontexte:

$u^*_e = j00g$ $u^*_d = o98y$

Kontrastreduzierungsfaktor:

$c_R = 1.0$

Dreiecks-Helligkeit t^*



FRS09_92a; adaptierte CIELAB-Daten

u^*_e	$L^*=L^*_a$	a^*_a	b^*_a	$C^*_{ab,a}$	$h^*_{ab,a}$
O _{Ma}	35.06	60.0	44.0	74.4	36
Y _{Ma}	83.77	-5.17	109.32	109.44	93
L _{Ma}	44.13	-62.67	48.24	79.09	142
C _{Ma}	52.66	-29.14	-31.99	43.27	228
V _{Ma}	14.15	50.3	-59.04	77.57	310
M _{Ma}	37.37	78.64	-33.5	85.48	337
N _{Ma}	8.58	0.0	0.0	0.0	0
W _{Ma}	92.02	0.0	0.0	0.0	0
R _{Ma}	39.92	58.74	27.99	65.07	25
J _{Ma}	81.26	-2.89	71.56	71.62	92
G _{Ma}	52.23	-42.42	13.6	44.55	162
B _{Ma}	30.57	1.41	-46.47	46.49	272

Daten für Maximalfarbe (Ma):

$LAB^*LAB^*_{Ma}$: 83 -4 109

$LAB^*LCH^*_{Ma}$: 83 109 92

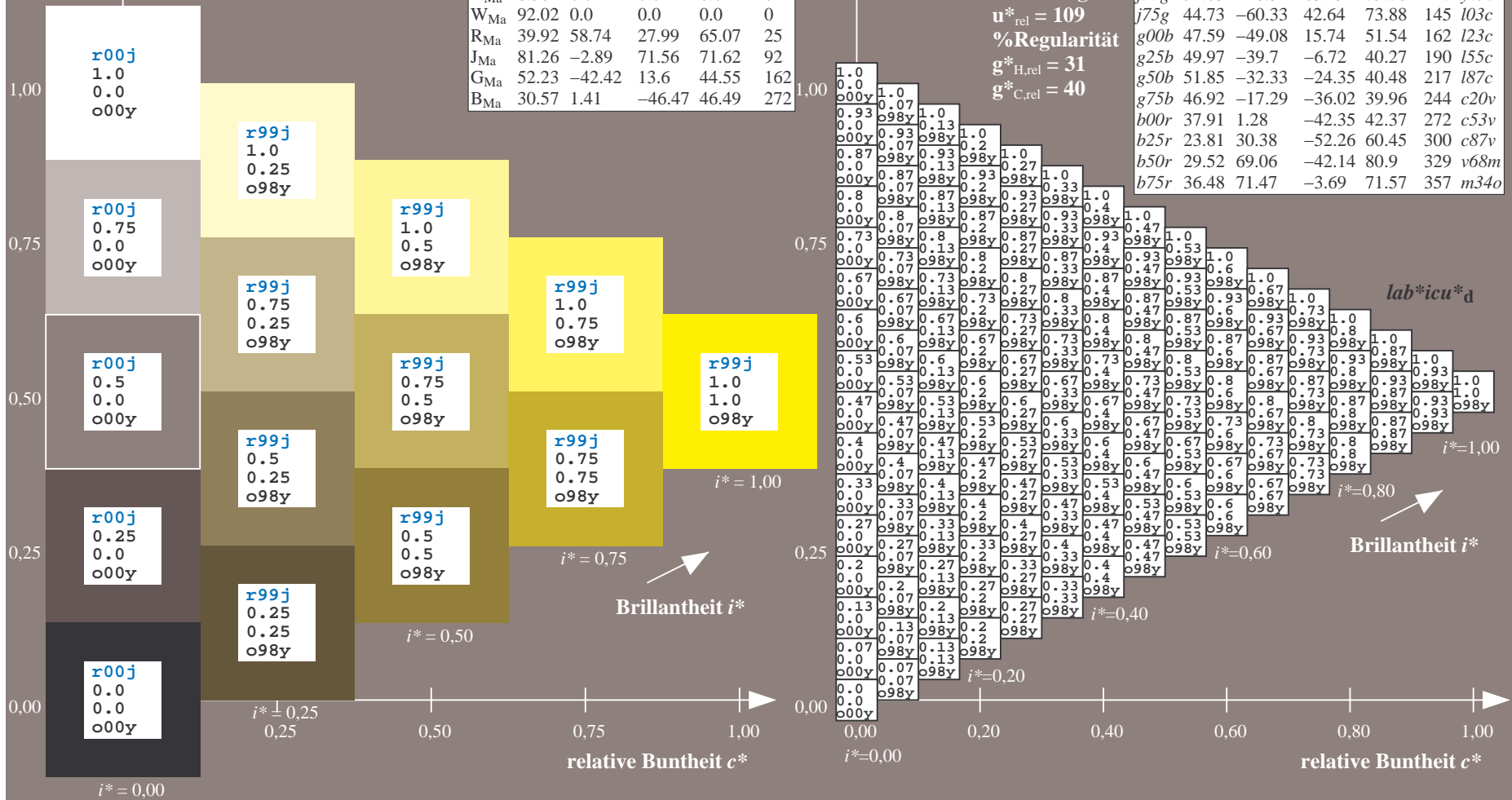
$lab^*rgb^*_{Ma}$: 1.0 1.0 0.0

$lab^*olv^*_{Ma}$: 1.0 0.99 0.0

Dreiecks-Helligkeit t^*

FRS09_92a; adaptierte CIELAB-Daten

u^*_e	$L^*=L^*_a$	a^*_a	b^*_a	$C^*_{ab,a}$	$h^*_{ab,a}$	u^*_d
r00j	35.47	63.32	30.17	70.15	25	m81o
r25j	39.12	54.56	49.45	73.64	42	o10y
r50j	50.64	39.15	64.89	75.79	59	o40y
r75j	64.01	21.26	82.83	85.52	76	o69y
j00g	83.18	-4.38	108.53	108.62	92	o98y
j25g	66.73	-29.89	83.06	88.28	110	y34l
j50g	54.03	-48.31	63.49	79.78	127	y69l
j75g	44.73	-60.33	42.64	73.88	145	l03c
g00b	47.59	-49.08	15.74	51.54	162	i23c
g25b	49.97	-39.7	-6.72	40.27	190	i55c
g50b	51.85	-32.33	-24.35	40.48	217	i87c
g75b	46.92	-17.29	-36.02	39.96	244	c20v
b00r	37.91	1.28	-42.35	42.37	272	c53v
b25r	23.81	30.38	-52.26	60.45	300	c87v
b50r	29.52	69.06	-42.14	80.9	329	v68m
b75r	36.48	71.47	-3.69	71.57	357	m34o



Ein und Ausgabe: Farbmatisches Drucker-Reflektiv-System FRS09_92a für relativen CIELAB-Bunton $h^* = lab^*h^* = h_{ab}/360 = 0.305$

$u^*_e = j25g$
 $lab^*icu^*_d$

Daten für jede Farbe:

lab^*tch^* und lab^*icu^*

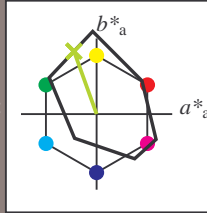
Buntontexte:

$u^*_e = j25g$ $u^*_d = y34l$

Kontrastreduzierungsfaktor:

$c_R = 1.0$

Dreiecks-Helligkeit t^*



FRS09_92a; adaptierte CIELAB-Daten

u^*_e	$L^*=L^*_a$	a^*_a	b^*_a	$C^*_{ab,a}$	$h^*_{ab,a}$
O _{Ma}	35.06	60.0	44.0	74.4	36
Y _{Ma}	83.77	-5.17	109.32	109.44	93
L _{Ma}	44.13	-62.67	48.24	79.09	142
C _{Ma}	52.66	-29.14	-31.99	43.27	228
V _{Ma}	14.15	50.3	-59.04	77.57	310
M _{Ma}	37.37	78.64	-33.5	85.48	337
N _{Ma}	8.58	0.0	0.0	0.0	0
W _{Ma}	92.02	0.0	0.0	0.0	0
R _{Ma}	39.92	58.74	27.99	65.07	25
J _{Ma}	81.26	-2.89	71.56	71.62	92
G _{Ma}	52.23	-42.42	13.6	44.55	162
B _{Ma}	30.57	1.41	-46.47	46.49	272

Daten für Maximalfarbe (Ma):

$LAB^*LAB^*_{Ma}: 67 -30 83$

$LAB^*LCH^*_{Ma}: 67 88 109$

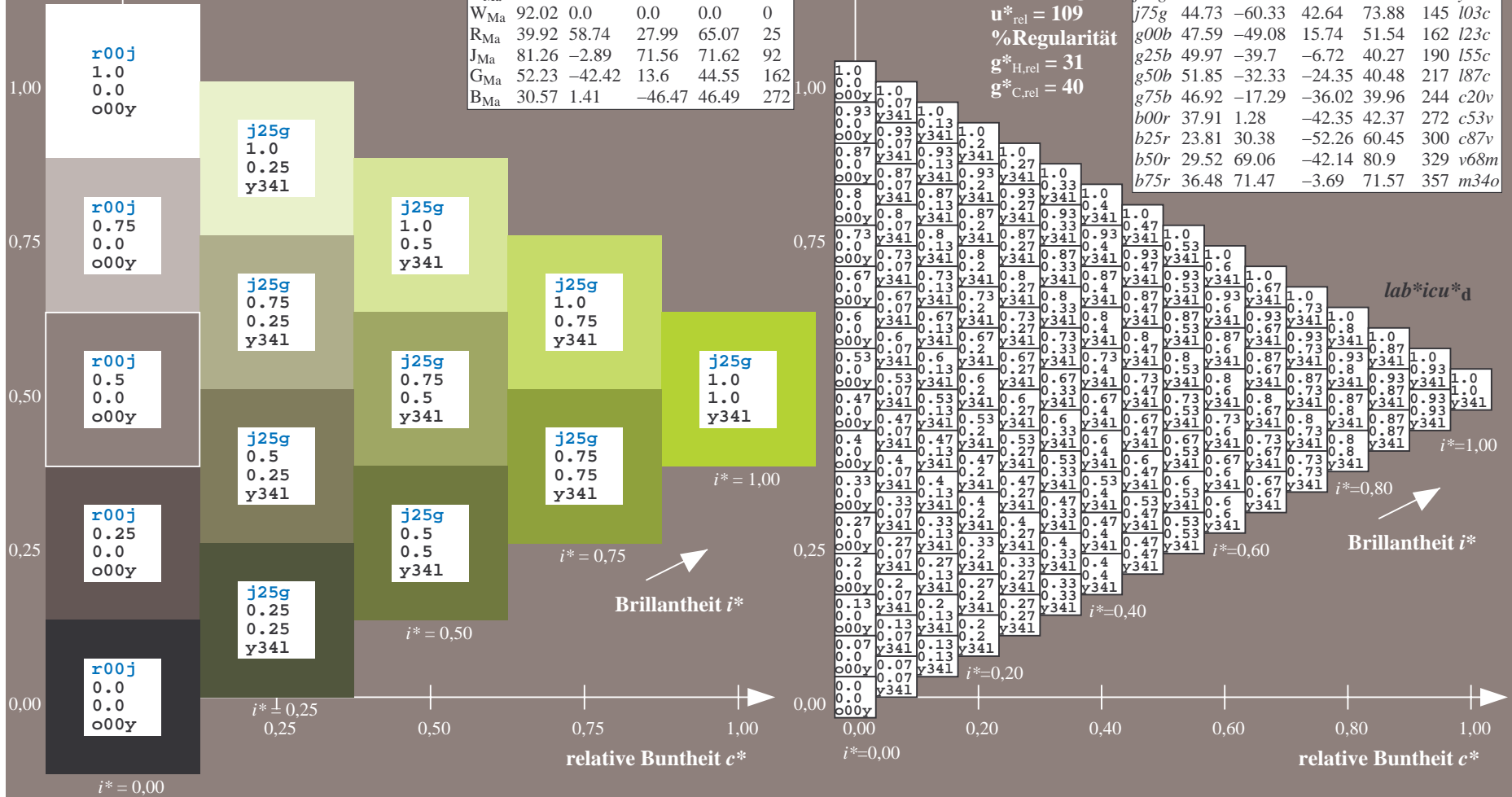
$lab^*rgb^*_{Ma}: 0.75 1.0 0.0$

$lab^*olv^*_{Ma}: 0.66 1.0 0.0$

Dreiecks-Helligkeit t^*

FRS09_92a; adaptierte CIELAB-Daten

u^*_e	$L^*=L^*_a$	a^*_a	b^*_a	$C^*_{ab,a}$	$h^*_{ab,a}$	u^*_d
r00j	35.47	63.32	30.17	70.15	25	m81o
r25j	39.12	54.56	49.45	73.64	42	o10y
r50j	50.64	39.15	64.89	75.79	59	o40y
r75j	64.01	21.26	82.83	85.52	76	o69y
j00g	83.18	-4.38	108.53	108.62	92	o98y
j25g	66.73	-29.89	83.06	88.28	110	y34l
j50g	54.03	-48.31	63.49	79.78	127	y69l
j75g	44.73	-60.33	42.64	73.88	145	l03c
g00b	47.59	-49.08	15.74	51.54	162	l23c
g25b	49.97	-39.7	-6.72	40.27	190	l55c
g50b	51.85	-32.33	-24.35	40.48	217	l87c
g75b	46.92	-17.29	-36.02	39.96	244	c20v
b00r	37.91	1.28	-42.35	42.37	272	c53v
b25r	23.81	30.38	-52.26	60.45	300	c87v
b50r	29.52	69.06	-42.14	80.9	329	v68m
b75r	36.48	71.47	-3.69	71.57	357	m34o



Ein und Ausgabe: Farbmatisches Drucker-Reflektiv-System FRS09_92a für relativen CIELAB-Bunton $h^* = lab^*h^* = h_{ab}/360 = 0.354$

$u^*_e = j50g$
 $lab^*icu^*_d$

Daten für jede Farbe:

lab^*tch^* und lab^*icu^*

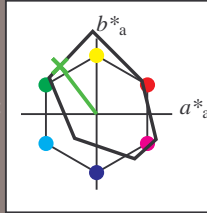
Buntontexte:

$u^*_e = j50g$ $u^*_d = y69l$

Kontrastreduzierungsfaktor:

$c_R = 1.0$

Dreiecks-Helligkeit t^*



FRS09_92a; adaptierte CIELAB-Daten

u^*_e	$L^*=L^*_a$	a^*_a	b^*_a	$C^*_{ab,a}$	$h^*_{ab,a}$
O _{Ma}	35.06	60.0	44.0	74.4	36
Y _{Ma}	83.77	-5.17	109.32	109.44	93
L _{Ma}	44.13	-62.67	48.24	79.09	142
C _{Ma}	52.66	-29.14	-31.99	43.27	228
V _{Ma}	14.15	50.3	-59.04	77.57	310
M _{Ma}	37.37	78.64	-33.5	85.48	337
N _{Ma}	8.58	0.0	0.0	0.0	0
W _{Ma}	92.02	0.0	0.0	0.0	0
R _{Ma}	39.92	58.74	27.99	65.07	25
J _{Ma}	81.26	-2.89	71.56	71.62	92
G _{Ma}	52.23	-42.42	13.6	44.55	162
B _{Ma}	30.57	1.41	-46.47	46.49	272

Daten für Maximalfarbe (Ma):

$LAB^*LAB^*_{Ma}$: 54 -48 63

$LAB^*LCH^*_{Ma}$: 54 80 127

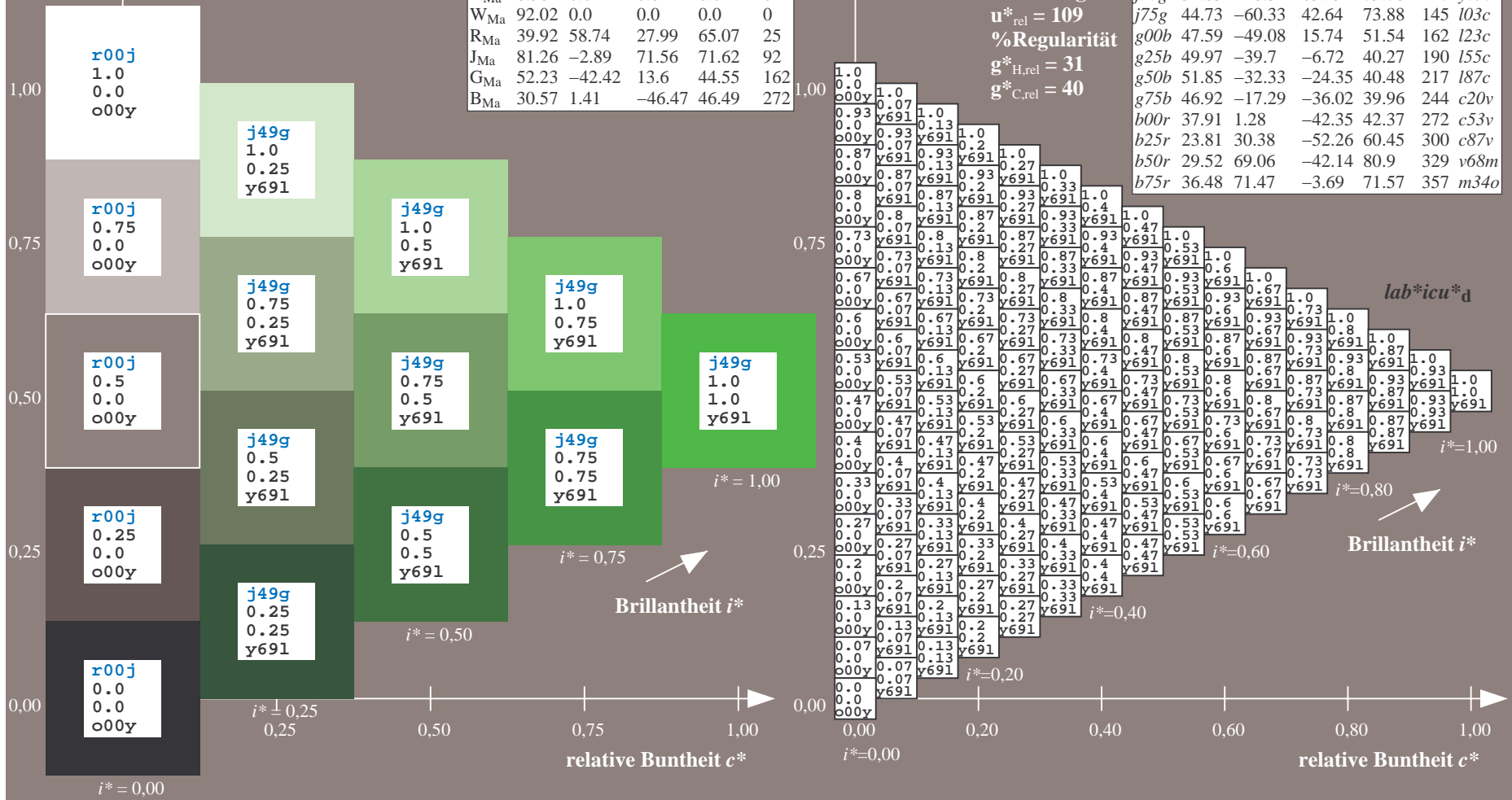
$lab^*rgb^*_{Ma}$: 0.5 1.0 0.0

$lab^*olv^*_{Ma}$: 0.3 1.0 0.0

Dreiecks-Helligkeit t^*

FRS09_92a; adaptierte CIELAB-Daten

u^*_e	$L^*=L^*_a$	a^*_a	b^*_a	$C^*_{ab,a}$	$h^*_{ab,a}$	u^*_d
r00j	35.47	63.32	30.17	70.15	25	m81o
r25j	39.12	54.56	49.45	73.64	42	o10y
r50j	50.64	39.15	64.89	75.79	59	o40y
r75j	64.01	21.26	82.83	85.52	76	o69y
j00g	83.18	-4.38	108.53	108.62	92	o98y
j25g	66.73	-29.89	83.06	88.28	110	y34l
j50g	54.03	-48.31	63.49	79.78	127	y69l
j75g	44.73	-60.33	42.64	73.88	145	l03c
g00b	47.59	-49.08	15.74	51.54	162	l23c
g25b	49.97	-39.7	-6.72	40.27	190	l55c
g50b	51.85	-32.33	-24.35	40.48	217	l87c
g75b	46.92	-17.29	-36.02	39.96	244	c20v
b00r	37.91	1.28	-42.35	42.37	272	c53v
b25r	23.81	30.38	-52.26	60.45	300	c87v
b50r	29.52	69.06	-42.14	80.9	329	v68m
b75r	36.48	71.47	-3.69	71.57	357	m34o



Ein und Ausgabe: Farbmatisches Drucker-Reflektiv-System FRS09_92a für relativen CIELAB-Bunton $h^* = lab^*h^* = h_{ab}/360 = 0.402$

$u^*_e = j75g$
 $lab^*icu^*_d$

Daten für jede Farbe:

lab^*tch^* und lab^*icu^*

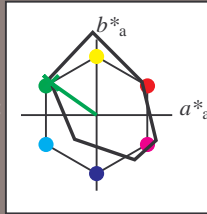
Buntontexte:

$u^*_e = j75g$ $u^*_d = l03c$

Kontrastreduzierungsfaktor:

$c_R = 1.0$

Dreiecks-Helligkeit t^*



FRS09_92a; adaptierte CIELAB-Daten

u^*_e	$L^*=L^*_a$	a^*_a	b^*_a	$C^*_{ab,a}$	$h^*_{ab,a}$
O _{Ma}	35.06	60.0	44.0	74.4	36
Y _{Ma}	83.77	-5.17	109.32	109.44	93
L _{Ma}	44.13	-62.67	48.24	79.09	142
C _{Ma}	52.66	-29.14	-31.99	43.27	228
V _{Ma}	14.15	50.3	-59.04	77.57	310
M _{Ma}	37.37	78.64	-33.5	85.48	337
N _{Ma}	8.58	0.0	0.0	0.0	0
W _{Ma}	92.02	0.0	0.0	0.0	0
R _{Ma}	39.92	58.74	27.99	65.07	25
J _{Ma}	81.26	-2.89	71.56	71.62	92
G _{Ma}	52.23	-42.42	13.6	44.55	162
B _{Ma}	30.57	1.41	-46.47	46.49	272

Daten für Maximalfarbe (Ma):

$LAB^*LAB^*_{Ma}$: 45 -60 43

$LAB^*LCH^*_{Ma}$: 45 74 144

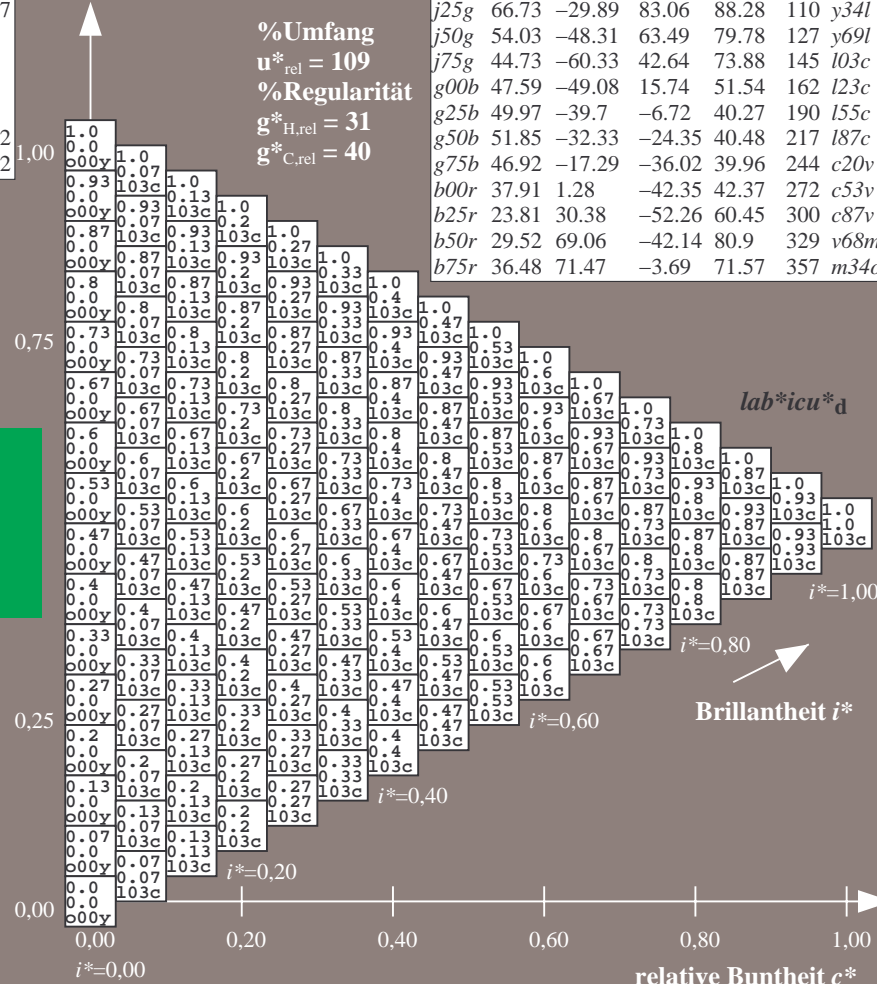
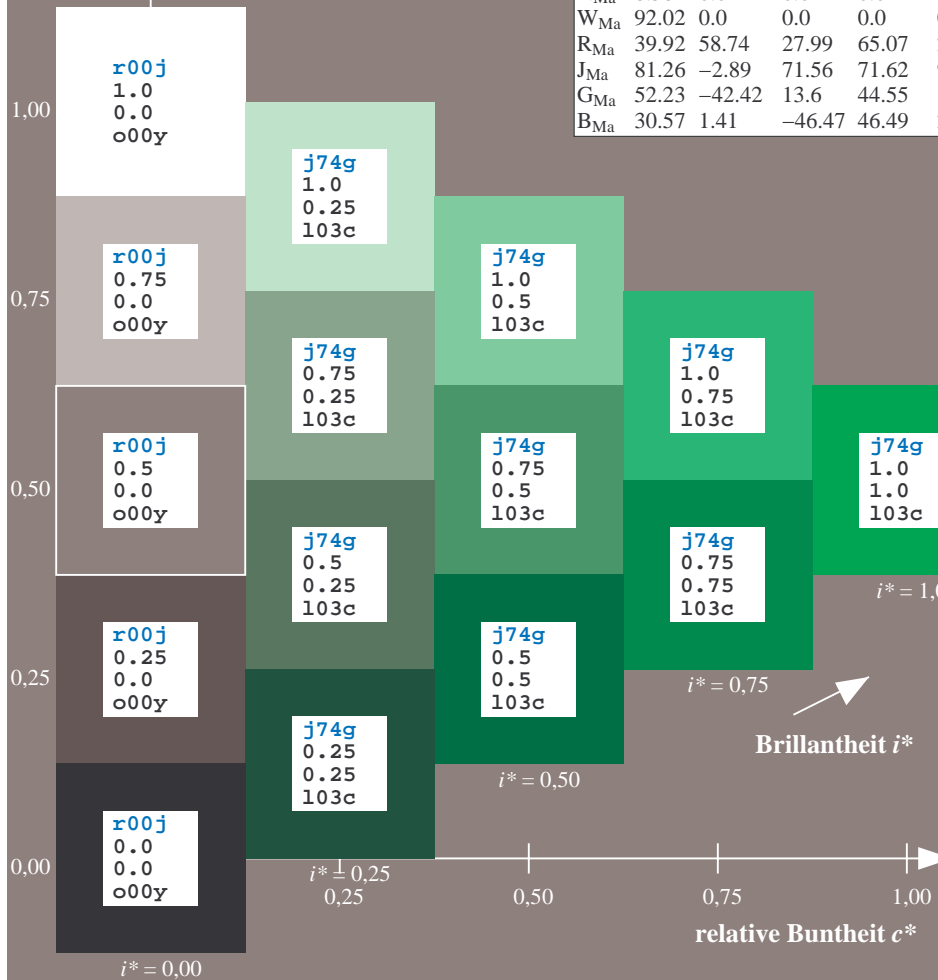
$lab^*rgb^*_{Ma}$: 0.25 1.0 0.0

$lab^*olv^*_{Ma}$: 0.0 1.0 0.03

Dreiecks-Helligkeit t^*

FRS09_92a; adaptierte CIELAB-Daten

u^*_e	$L^*=L^*_a$	a^*_a	b^*_a	$C^*_{ab,a}$	$h^*_{ab,a}$	u^*_d
r00j	35.47	63.32	30.17	70.15	25	m81o
r25j	39.12	54.56	49.45	73.64	42	o10y
r50j	50.64	39.15	64.89	75.79	59	o40y
r75j	64.01	21.26	82.83	85.52	76	o69y
j00g	83.18	-4.38	108.53	108.62	92	o98y
j25g	66.73	-29.89	83.06	88.28	110	y34l
j50g	54.03	-48.31	63.49	79.78	127	y69l
j75g	44.73	-60.33	42.64	73.88	145	l03c
g00b	47.59	-49.08	15.74	51.54	162	l23c
g25b	49.97	-39.7	-6.72	40.27	190	l55c
g50b	51.85	-32.33	-24.35	40.48	217	l87c
g75b	46.92	-17.29	-36.02	39.96	244	c20v
b00r	37.91	1.28	-42.35	42.37	272	c53v
b25r	23.81	30.38	-52.26	60.45	300	c87v
b50r	29.52	69.06	-42.14	80.9	329	v68m
b75r	36.48	71.47	-3.69	71.57	357	m34o



%Umfang
 $u^*_{rel} = 109$
%Regularität
 $g^*_{H,rel} = 31$
 $g^*_{C,rel} = 40$

$lab^*icu^*_d$
 $i^* = 1.00$
 $i^* = 0.80$
 $i^* = 0.60$
 $i^* = 0.40$
 $i^* = 0.20$
 $i^* = 0.00$

Ein und Ausgabe: Farbmatisches Drucker-Reflektiv-System FRS09_92a für relativen CIELAB-Bunton $h^* = lab^*h^* = h_{ab}/360 = 0.451$

$u^*_e = g00b$
 $lab^*icu^*_d$

Daten für jede Farbe:

lab^*ch^* und lab^*icu^*

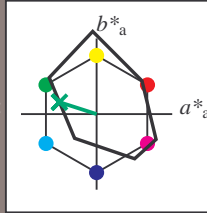
Buntontexte:

$u^*_e = g00b$ $u^*_d = l23c$

Kontrastreduzierungsfaktor:

$c_R = 1.0$

Dreiecks-Helligkeit t^*



FRS09_92a; adaptierte CIELAB-Daten

u^*_e	$L^*=L^*_a$	a^*_a	b^*_a	$C^*_{ab,a}$	$h^*_{ab,a}$
O _{Ma}	35.06	60.0	44.0	74.4	36
Y _{Ma}	83.77	-5.17	109.32	109.44	93
L _{Ma}	44.13	-62.67	48.24	79.09	142
C _{Ma}	52.66	-29.14	-31.99	43.27	228
V _{Ma}	14.15	50.3	-59.04	77.57	310
M _{Ma}	37.37	78.64	-33.5	85.48	337
N _{Ma}	8.58	0.0	0.0	0.0	0
W _{Ma}	92.02	0.0	0.0	0.0	0
R _{Ma}	39.92	58.74	27.99	65.07	25
J _{Ma}	81.26	-2.89	71.56	71.62	92
G _{Ma}	52.23	-42.42	13.6	44.55	162
B _{Ma}	30.57	1.41	-46.47	46.49	272

Daten für Maximalfarbe (Ma):

$LAB^*LAB^*_{Ma}$: 48 -49 16

$LAB^*LCH^*_{Ma}$: 48 52 162

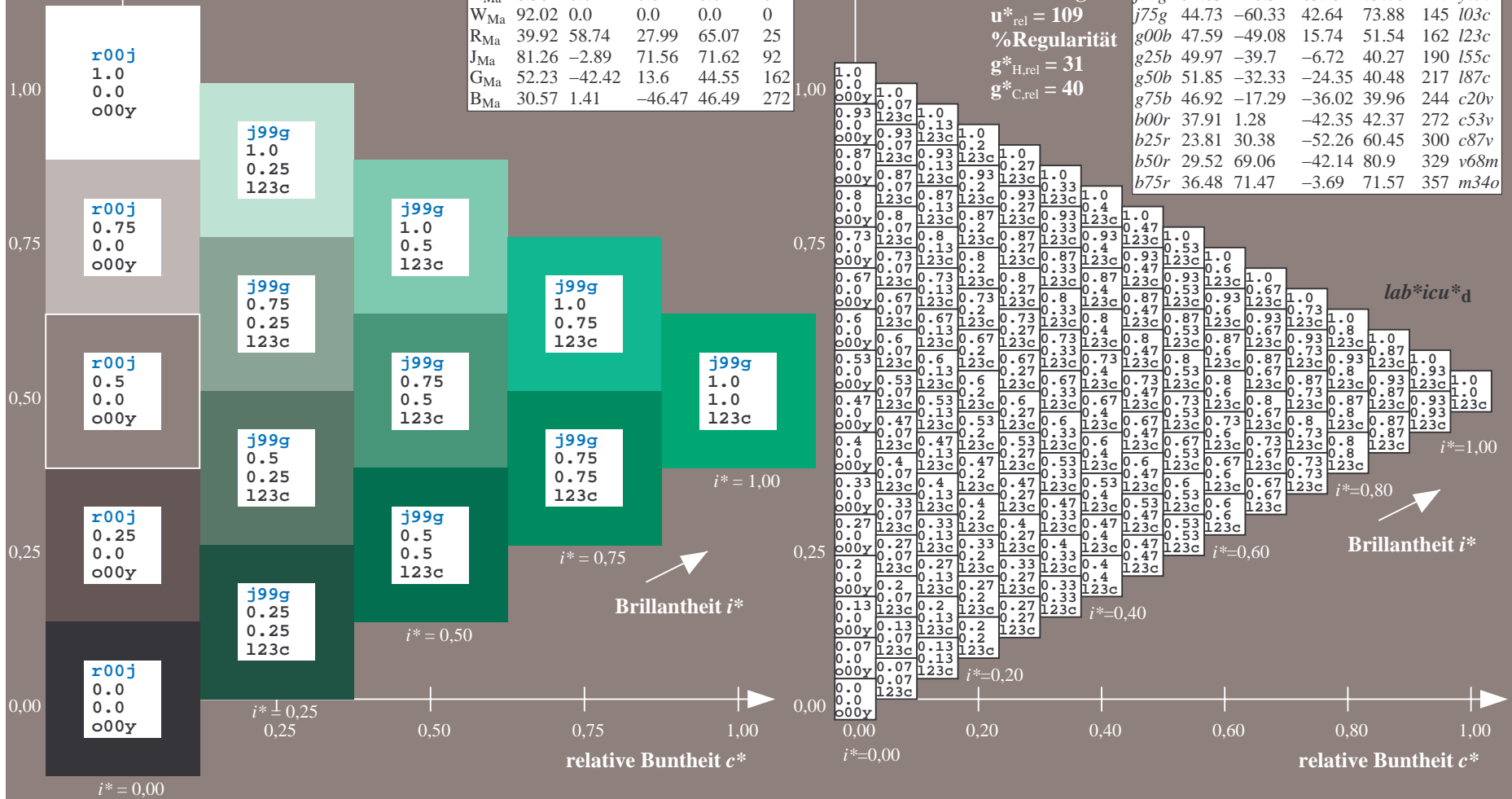
$lab^*rgb^*_{Ma}$: 0.0 1.0 0.0

$lab^*olv^*_{Ma}$: 0.0 1.0 0.23

Dreiecks-Helligkeit t^*

FRS09_92a; adaptierte CIELAB-Daten

u^*_e	$L^*=L^*_a$	a^*_a	b^*_a	$C^*_{ab,a}$	$h^*_{ab,a}$	u^*_d
r00j	35.47	63.32	30.17	70.15	25	m81o
r25j	39.12	54.56	49.45	73.64	42	o10y
r50j	50.64	39.15	64.89	75.79	59	o40y
r75j	64.01	21.26	82.83	85.52	76	o69y
j00g	83.18	-4.38	108.53	108.62	92	o98y
j25g	66.73	-29.89	83.06	88.28	110	y34l
j50g	54.03	-48.31	63.49	79.78	127	y69l
j75g	44.73	-60.33	42.64	73.88	145	l03c
g00b	47.59	-49.08	15.74	51.54	162	l23c
g25b	49.97	-39.7	-6.72	40.27	190	l55c
g50b	51.85	-32.33	-24.35	40.48	217	l87c
g75b	46.92	-17.29	-36.02	39.96	244	c20v
b00r	37.91	1.28	-42.35	42.37	272	c53v
b25r	23.81	30.38	-52.26	60.45	300	c87v
b50r	29.52	69.06	-42.14	80.9	329	v68m
b75r	36.48	71.47	-3.69	71.57	357	m34o



Ein und Ausgabe: Farbmatisches Drucker-Reflektiv-System FRS09_92a für relativen CIELAB-Bunton $h^* = lab \cdot h^* = h_{ab}/360 = 0.527$

$u^*_e = g25b$
 $lab \cdot icu^*_d$

Daten für jede Farbe:

$lab \cdot tch^*$ und $lab \cdot icu^*$

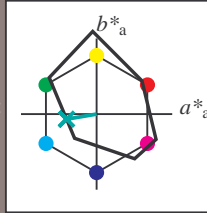
Buntontexte:

$u^*_e = g25b$ $u^*_d = l55c$

Kontrastreduzierungsfaktor:

$c_R = 1.0$

Dreiecks-Helligkeit t^*



FRS09_92a; adaptierte CIELAB-Daten

u^*_e	$L^*=L^*_a$	a^*_a	b^*_a	$C^*_{ab,a}$	$h^*_{ab,a}$
O _{Ma}	35.06	60.0	44.0	74.4	36
Y _{Ma}	83.77	-5.17	109.32	109.44	93
L _{Ma}	44.13	-62.67	48.24	79.09	142
C _{Ma}	52.66	-29.14	-31.99	43.27	228
V _{Ma}	14.15	50.3	-59.04	77.57	310
M _{Ma}	37.37	78.64	-33.5	85.48	337
N _{Ma}	8.58	0.0	0.0	0.0	0
W _{Ma}	92.02	0.0	0.0	0.0	0
R _{Ma}	39.92	58.74	27.99	65.07	25
J _{Ma}	81.26	-2.89	71.56	71.62	92
G _{Ma}	52.23	-42.42	13.6	44.55	162
B _{Ma}	30.57	1.41	-46.47	46.49	272

Daten für Maximalfarbe (Ma):

$LAB \cdot LAB \cdot Ma: 50 -40 -7$

$LAB \cdot LCH \cdot Ma: 50 40 189$

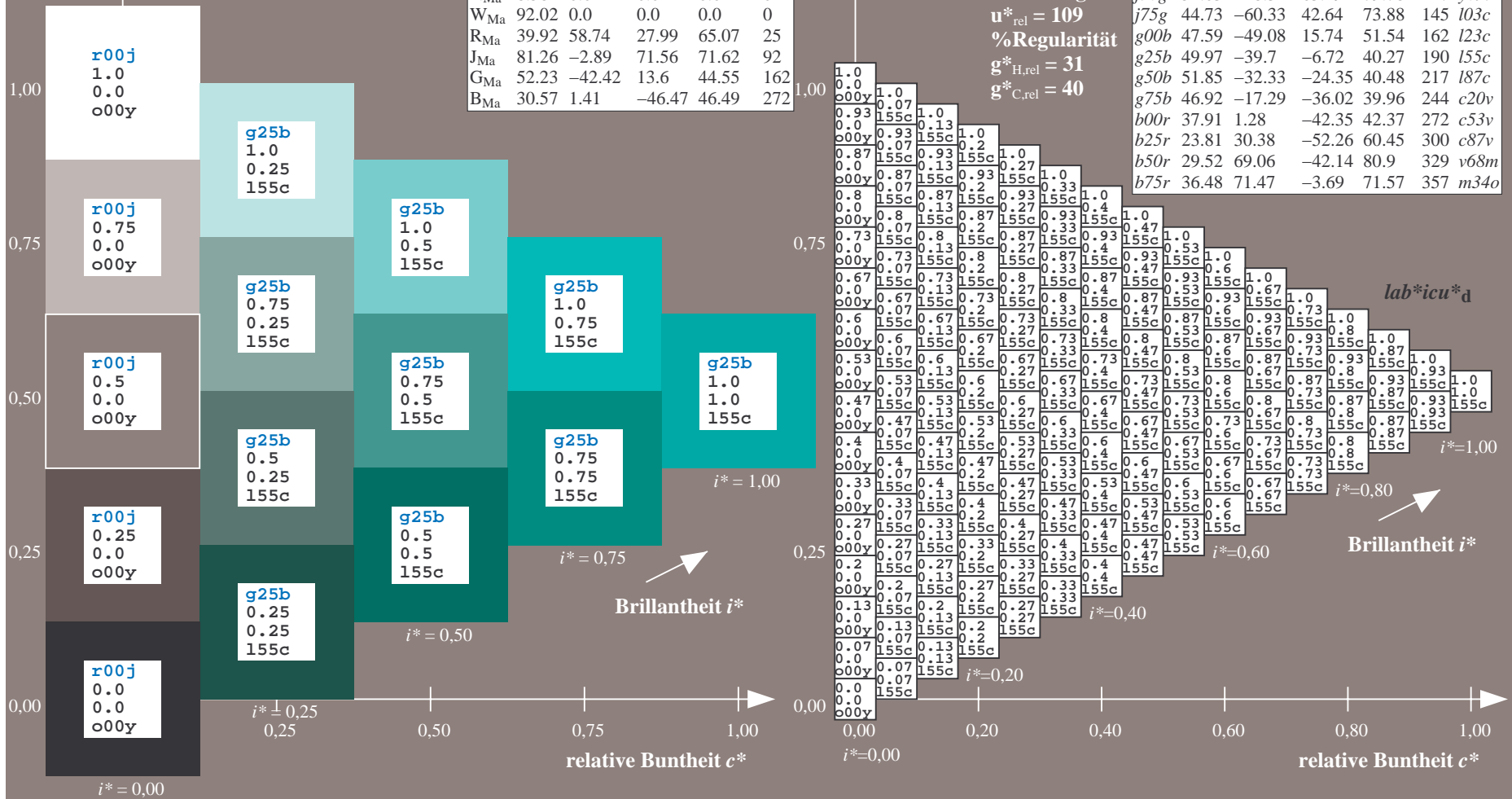
$lab \cdot rgb \cdot Ma: 0.0 1.0 0.5$

$lab \cdot olv \cdot Ma: 0.0 1.0 0.55$

Dreiecks-Helligkeit t^*

FRS09_92a; adaptierte CIELAB-Daten

u^*_e	$L^*=L^*_a$	a^*_a	b^*_a	$C^*_{ab,a}$	$h^*_{ab,a}$	u^*_d
r00j	35.47	63.32	30.17	70.15	25	m81o
r25j	39.12	54.56	49.45	73.64	42	o10y
r50j	50.64	39.15	64.89	75.79	59	o40y
r75j	64.01	21.26	82.83	85.52	76	o69y
j00g	83.18	-4.38	108.53	108.62	92	o98y
j25g	66.73	-29.89	83.06	88.28	110	y34l
j50g	54.03	-48.31	63.49	79.78	127	y69l
j75g	44.73	-60.33	42.64	73.88	145	l03c
g00b	47.59	-49.08	15.74	51.54	162	l23c
g25b	49.97	-39.7	-6.72	40.27	190	l55c
g50b	51.85	-32.33	-24.35	40.48	217	l87c
g75b	46.92	-17.29	-36.02	39.96	244	c20v
b00r	37.91	1.28	-42.35	42.37	272	c53v
b25r	23.81	30.38	-52.26	60.45	300	c87v
b50r	29.52	69.06	-42.14	80.9	329	v68m
b75r	36.48	71.47	-3.69	71.57	357	m34o



Ein und Ausgabe: Farbmatisches Drucker-Reflektiv-System FRS09_92a für relativen CIELAB-Bunton $h^* = lab^*h^* = h_{ab}/360 = 0.603$

$u^*_e = g50b$
 $lab^*icu^*_d$

Daten für jede Farbe:

lab^*tch^* und lab^*icu^*

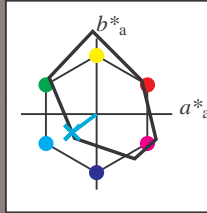
Buntontexte:

$u^*_e = g50b$ $u^*_d = l87c$

Kontrastreduzierungsfaktor:

$c_R = 1.0$

Dreiecks-Helligkeit t^*



FRS09_92a; adaptierte CIELAB-Daten

u^*_e	$L^*=L^*_a$	a^*_a	b^*_a	$C^*_{ab,a}$	$h^*_{ab,a}$
O _{Ma}	35.06	60.0	44.0	74.4	36
Y _{Ma}	83.77	-5.17	109.32	109.44	93
L _{Ma}	44.13	-62.67	48.24	79.09	142
C _{Ma}	52.66	-29.14	-31.99	43.27	228
V _{Ma}	14.15	50.3	-59.04	77.57	310
M _{Ma}	37.37	78.64	-33.5	85.48	337
N _{Ma}	8.58	0.0	0.0	0.0	0
W _{Ma}	92.02	0.0	0.0	0.0	0
R _{Ma}	39.92	58.74	27.99	65.07	25
J _{Ma}	81.26	-2.89	71.56	71.62	92
G _{Ma}	52.23	-42.42	13.6	44.55	162
B _{Ma}	30.57	1.41	-46.47	46.49	272

Daten für Maximalfarbe (Ma):

$LAB^*LAB^*_{Ma}$: 52 -32 -24

$LAB^*LCH^*_{Ma}$: 52 40 216

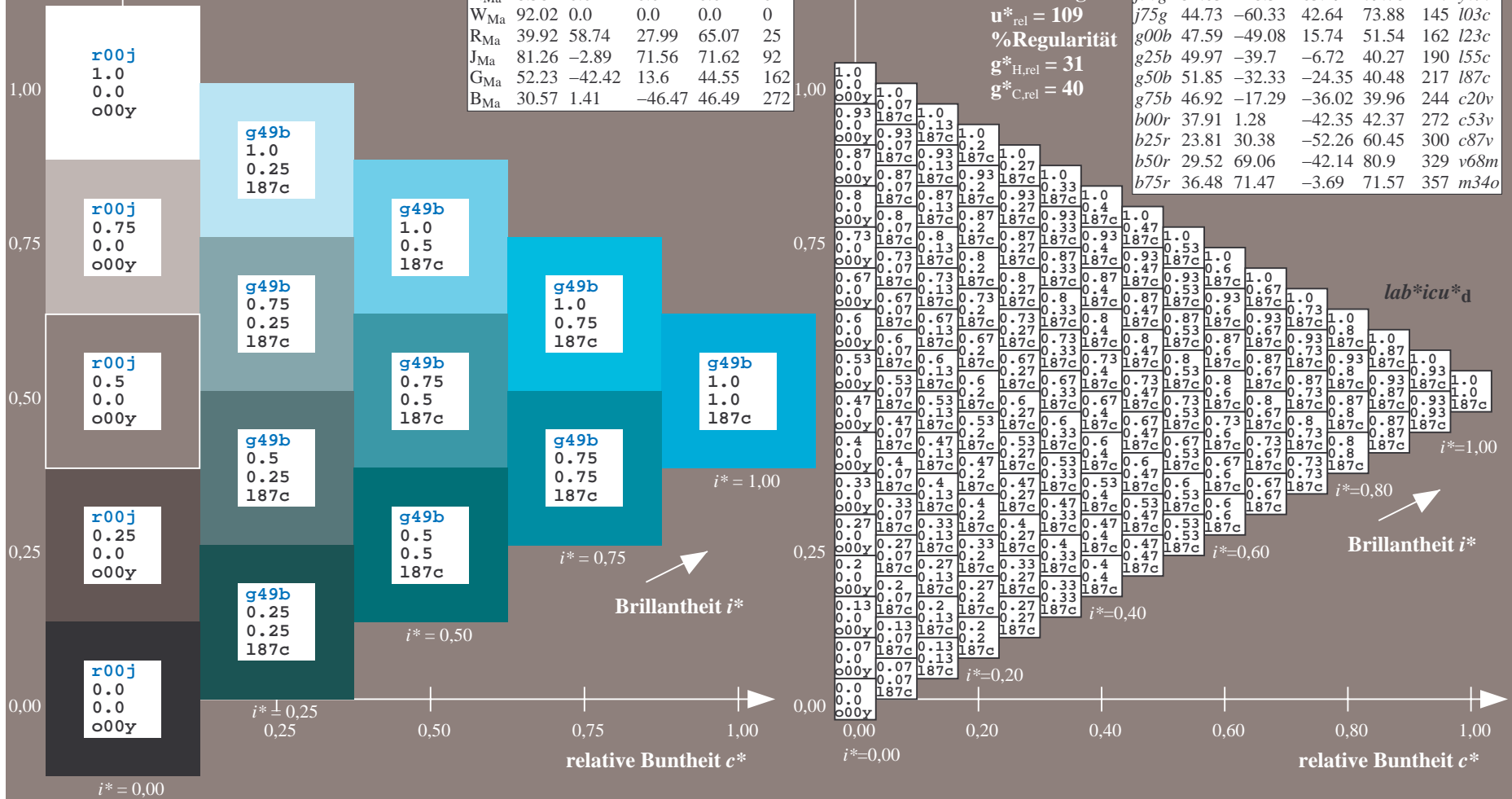
$lab^*rgb^*_{Ma}$: 0.0 1.0 1.0

$lab^*olv^*_{Ma}$: 0.0 1.0 0.87

Dreiecks-Helligkeit t^*

FRS09_92a; adaptierte CIELAB-Daten

u^*_e	$L^*=L^*_a$	a^*_a	b^*_a	$C^*_{ab,a}$	$h^*_{ab,a}$	u^*_d
r00j	35.47	63.32	30.17	70.15	25	m81o
r25j	39.12	54.56	49.45	73.64	42	o10y
r50j	50.64	39.15	64.89	75.79	59	o40y
r75j	64.01	21.26	82.83	85.52	76	o69y
j00g	83.18	-4.38	108.53	108.62	92	o98y
j25g	66.73	-29.89	83.06	88.28	110	y34l
j50g	54.03	-48.31	63.49	79.78	127	y69l
j75g	44.73	-60.33	42.64	73.88	145	l03c
g00b	47.59	-49.08	15.74	51.54	162	l23c
g25b	49.97	-39.7	-6.72	40.27	190	l55c
g50b	51.85	-32.33	-24.35	40.48	217	l87c
g75b	46.92	-17.29	-36.02	39.96	244	c20v
b00r	37.91	1.28	-42.35	42.37	272	c53v
b25r	23.81	30.38	-52.26	60.45	300	c87v
b50r	29.52	69.06	-42.14	80.9	329	v68m
b75r	36.48	71.47	-3.69	71.57	357	m34o



%Umfang
 $u^*_{rel} = 109$
%Regularität
 $g^*_{H,rel} = 31$
 $g^*_{C,rel} = 40$

Ein und Ausgabe: Farbmatisches Drucker-Reflektiv-System FRS09_92a für relativen CIELAB-Bunton $h^* = lab^*h^* = h_{ab}/360 = 0.679$

$u^*_e = g75b$
 $lab^*icu^*_d$

Daten für jede Farbe:

lab^*tch^* und lab^*icu^*

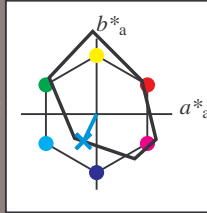
Buntontexte:

$u^*_e = g75b$ $u^*_d = c20v$

Kontrastreduzierungsfaktor:

$c_R = 1.0$

Dreiecks-Helligkeit t^*



FRS09_92a; adaptierte CIELAB-Daten

u^*_e	$L^*=L^*_a$	a^*_a	b^*_a	$C^*_{ab,a}$	$h^*_{ab,a}$
O _{Ma}	35.06	60.0	44.0	74.4	36
Y _{Ma}	83.77	-5.17	109.32	109.44	93
L _{Ma}	44.13	-62.67	48.24	79.09	142
C _{Ma}	52.66	-29.14	-31.99	43.27	228
V _{Ma}	14.15	50.3	-59.04	77.57	310
M _{Ma}	37.37	78.64	-33.5	85.48	337
N _{Ma}	8.58	0.0	0.0	0.0	0
W _{Ma}	92.02	0.0	0.0	0.0	0
R _{Ma}	39.92	58.74	27.99	65.07	25
J _{Ma}	81.26	-2.89	71.56	71.62	92
G _{Ma}	52.23	-42.42	13.6	44.55	162
B _{Ma}	30.57	1.41	-46.47	46.49	272

Daten für Maximalfarbe (Ma):

$LAB^*LAB^*_{Ma}$: 47 -17 -36

$LAB^*LCH^*_{Ma}$: 47 40 244

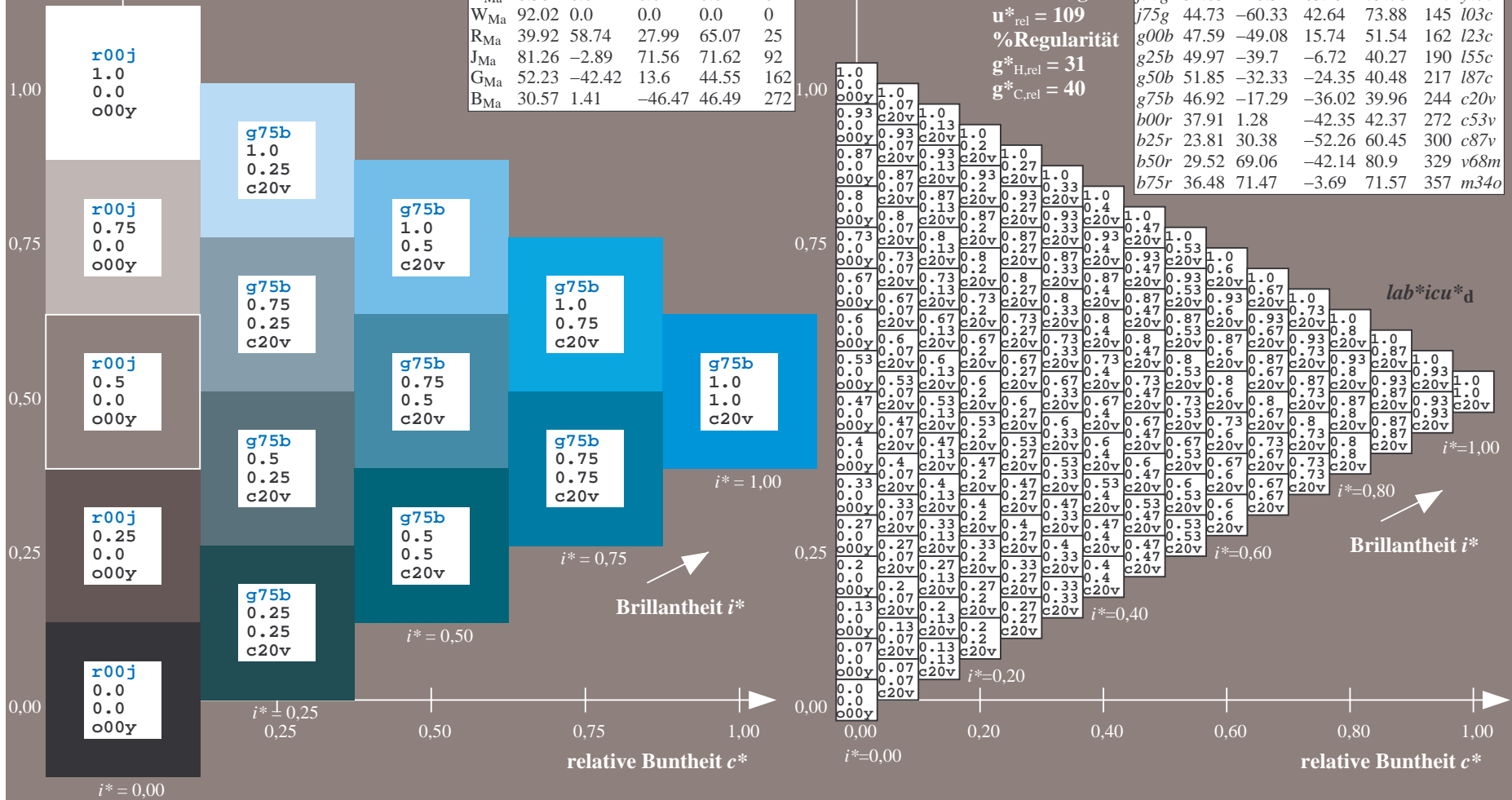
$lab^*rgb^*_{Ma}$: 0.0 0.5 1.0

$lab^*olv^*_{Ma}$: 0.0 0.8 1.0

Dreiecks-Helligkeit t^*

FRS09_92a; adaptierte CIELAB-Daten

u^*_e	$L^*=L^*_a$	a^*_a	b^*_a	$C^*_{ab,a}$	$h^*_{ab,a}$	u^*_d
r00j	35.47	63.32	30.17	70.15	25	m81o
r25j	39.12	54.56	49.45	73.64	42	o10y
r50j	50.64	39.15	64.89	75.79	59	o40y
r75j	64.01	21.26	82.83	85.52	76	o69y
j00g	83.18	-4.38	108.53	108.62	92	o98y
j25g	66.73	-29.89	83.06	88.28	110	y34l
j50g	54.03	-48.31	63.49	79.78	127	y69l
j75g	44.73	-60.33	42.64	73.88	145	l03c
g00b	47.59	-49.08	15.74	51.54	162	l23c
g25b	49.97	-39.7	-6.72	40.27	190	l55c
g50b	51.85	-32.33	-24.35	40.48	217	l87c
g75b	46.92	-17.29	-36.02	39.96	244	c20v
b00r	37.91	1.28	-42.35	42.37	272	c53v
b25r	23.81	30.38	-52.26	60.45	300	c87v
b50r	29.52	69.06	-42.14	80.9	329	v68m
b75r	36.48	71.47	-3.69	71.57	357	m34o



Ein und Ausgabe: Farbmatisches Drucker-Reflektiv-System FRS09_92a für relativen CIELAB-Bunton $h^* = lab^*h^* = h_{ab}/360 = 0.755$

$u^*_e = b00r$
 $lab^*icu^*_d$

Daten für jede Farbe:

lab^*tch^* und lab^*icu^*

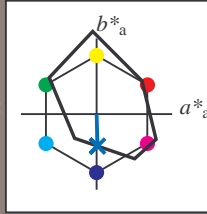
Buntontexte:

$u^*_e = b00r$ $u^*_d = c53v$

Kontrastreduzierungsfaktor:

$c_R = 1.0$

Dreiecks-Helligkeit t^*



FRS09_92a; adaptierte CIELAB-Daten

u^*_e	$L^*=L^*_a$	a^*_a	b^*_a	$C^*_{ab,a}$	$h^*_{ab,a}$
O _{Ma}	35.06	60.0	44.0	74.4	36
Y _{Ma}	83.77	-5.17	109.32	109.44	93
L _{Ma}	44.13	-62.67	48.24	79.09	142
C _{Ma}	52.66	-29.14	-31.99	43.27	228
V _{Ma}	14.15	50.3	-59.04	77.57	310
M _{Ma}	37.37	78.64	-33.5	85.48	337
N _{Ma}	8.58	0.0	0.0	0.0	0
W _{Ma}	92.02	0.0	0.0	0.0	0
R _{Ma}	39.92	58.74	27.99	65.07	25
J _{Ma}	81.26	-2.89	71.56	71.62	92
G _{Ma}	52.23	-42.42	13.6	44.55	162
B _{Ma}	30.57	1.41	-46.47	46.49	272

Daten für Maximalfarbe (Ma):

$LAB^*LAB^*_{Ma}$: 38 1 -42

$LAB^*LCH^*_{Ma}$: 38 42 271

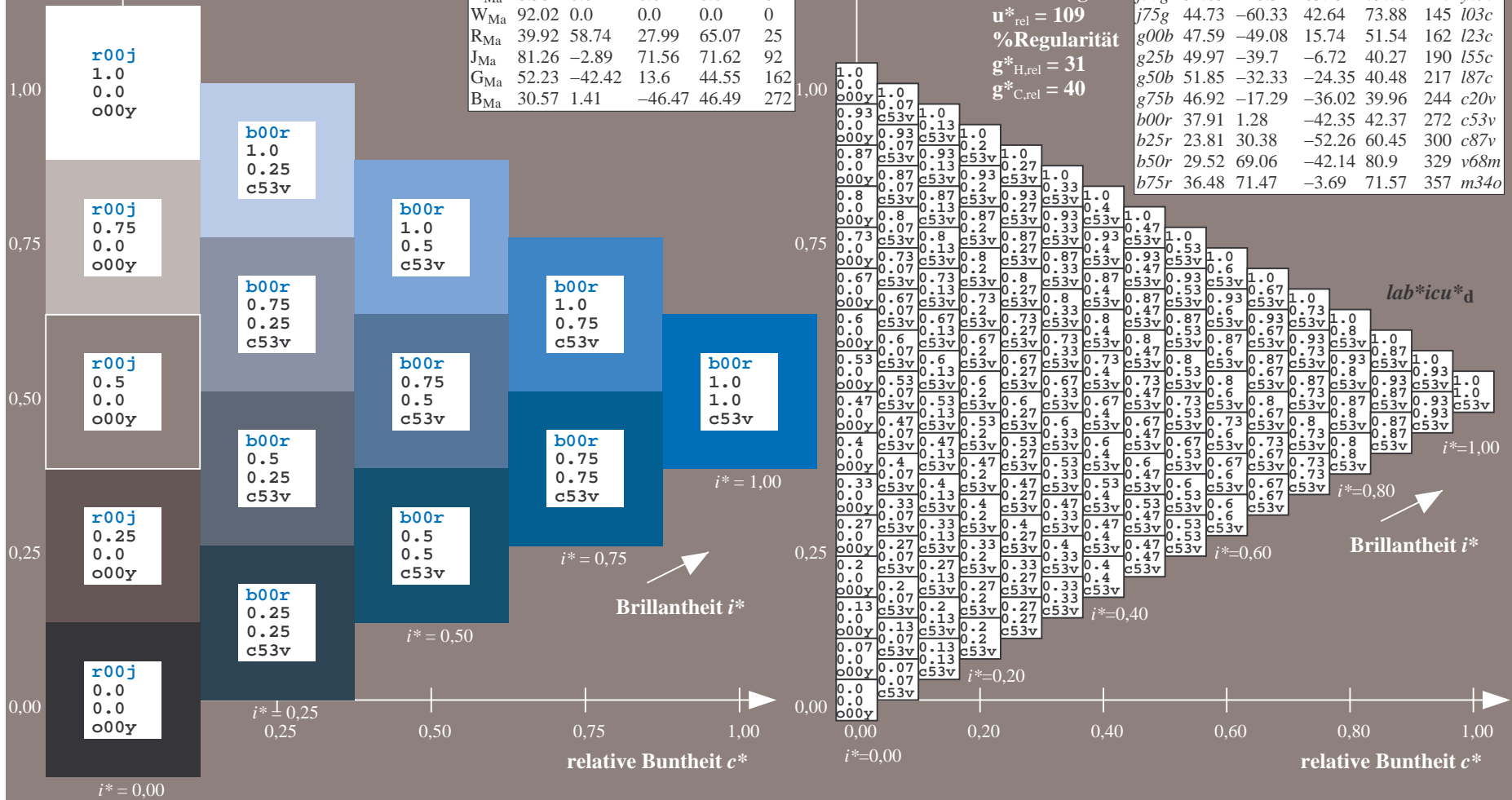
$lab^*rgb^*_{Ma}$: 0.0 0.0 1.0

$lab^*olv^*_{Ma}$: 0.0 0.47 1.0

Dreiecks-Helligkeit t^*

FRS09_92a; adaptierte CIELAB-Daten

u^*_e	$L^*=L^*_a$	a^*_a	b^*_a	$C^*_{ab,a}$	$h^*_{ab,a}$	u^*_d
r00j	35.47	63.32	30.17	70.15	25	m81o
r25j	39.12	54.56	49.45	73.64	42	o10y
r50j	50.64	39.15	64.89	75.79	59	o40y
r75j	64.01	21.26	82.83	85.52	76	o69y
j00g	83.18	-4.38	108.53	108.62	92	o98y
j25g	66.73	-29.89	83.06	88.28	110	y34l
j50g	54.03	-48.31	63.49	79.78	127	y69l
j75g	44.73	-60.33	42.64	73.88	145	l03c
g00b	47.59	-49.08	15.74	51.54	162	l23c
g25b	49.97	-39.7	-6.72	40.27	190	l55c
g50b	51.85	-32.33	-24.35	40.48	217	l87c
g75b	46.92	-17.29	-36.02	39.96	244	c20v
b00r	37.91	1.28	-42.35	42.37	272	c53v
b25r	23.81	30.38	-52.26	60.45	300	c87v
b50r	29.52	69.06	-42.14	80.9	329	v68m
b75r	36.48	71.47	-3.69	71.57	357	m34o



Ein und Ausgabe: Farbmatisches Drucker-Reflektiv-System FRS09_92a für relativen CIELAB-Bunton $h^* = lab^*h^* = h_{ab}/360 = 0.834$

$u^*_e = b25r$
 $lab^*icu^*_d$

Daten für jede Farbe:

lab^*tch^* und lab^*icu^*

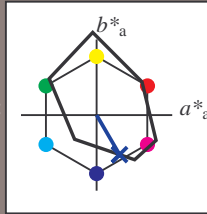
Buntontexte:

$u^*_e = b25r$ $u^*_d = c87v$

Kontrastreduzierungsfaktor:

$c_R = 1.0$

Dreiecks-Helligkeit t^*



FRS09_92a; adaptierte CIELAB-Daten

u^*_e	$L^*=L^*_a$	a^*_a	b^*_a	$C^*_{ab,a}$	$h^*_{ab,a}$
O _{Ma}	35.06	60.0	44.0	74.4	36
Y _{Ma}	83.77	-5.17	109.32	109.44	93
L _{Ma}	44.13	-62.67	48.24	79.09	142
C _{Ma}	52.66	-29.14	-31.99	43.27	228
V _{Ma}	14.15	50.3	-59.04	77.57	310
M _{Ma}	37.37	78.64	-33.5	85.48	337
N _{Ma}	8.58	0.0	0.0	0.0	0
W _{Ma}	92.02	0.0	0.0	0.0	0
R _{Ma}	39.92	58.74	27.99	65.07	25
J _{Ma}	81.26	-2.89	71.56	71.62	92
G _{Ma}	52.23	-42.42	13.6	44.55	162
B _{Ma}	30.57	1.41	-46.47	46.49	272

Daten für Maximalfarbe (Ma):

$LAB^*LAB^*_{Ma}$: 24 30 -52

$LAB^*LCH^*_{Ma}$: 24 60 300

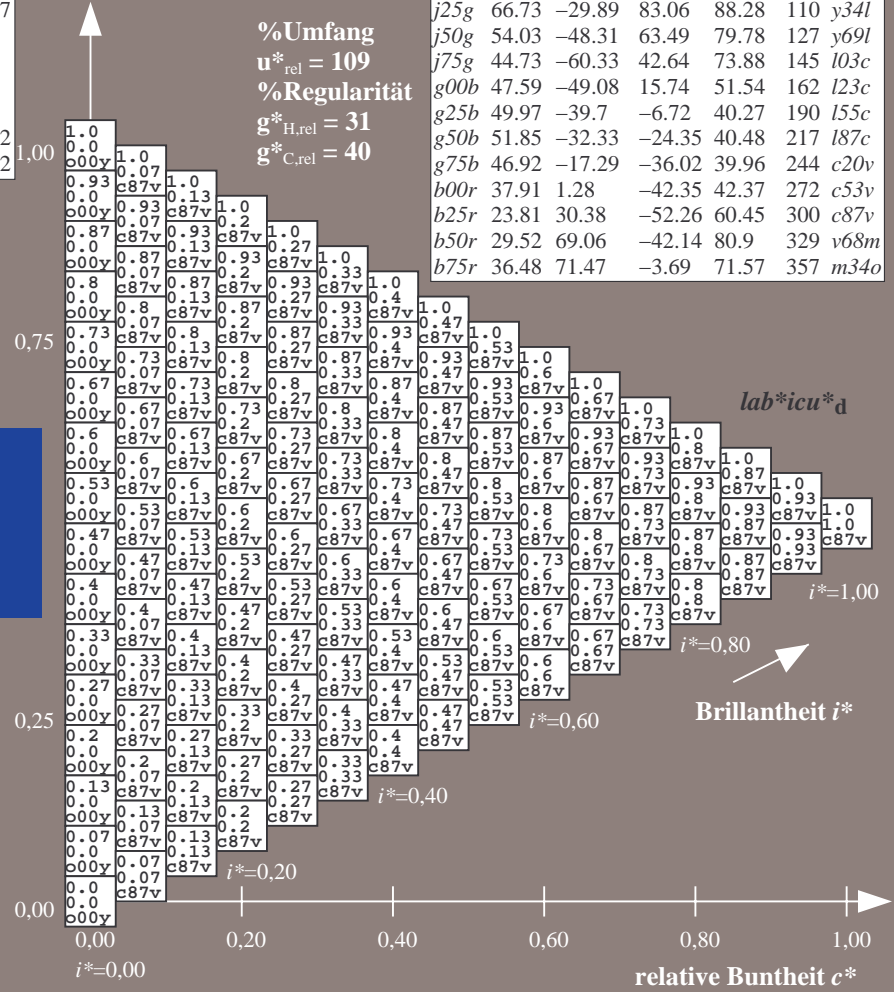
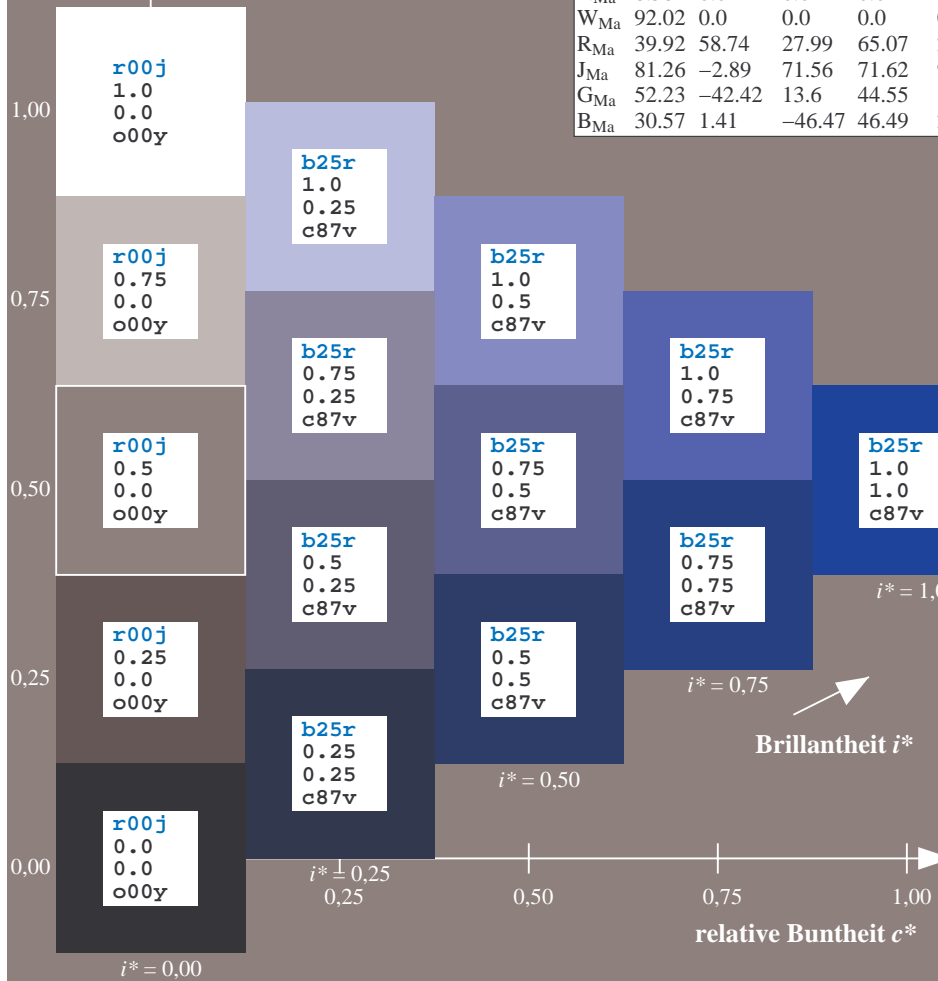
$lab^*rgb^*_{Ma}$: 0.5 0.0 1.0

$lab^*olv^*_{Ma}$: 0.0 0.12 1.0

Dreiecks-Helligkeit t^*

FRS09_92a; adaptierte CIELAB-Daten

u^*_e	$L^*=L^*_a$	a^*_a	b^*_a	$C^*_{ab,a}$	$h^*_{ab,a}$	u^*_d
r00j	35.47	63.32	30.17	70.15	25	m81o
r25j	39.12	54.56	49.45	73.64	42	o10y
r50j	50.64	39.15	64.89	75.79	59	o40y
r75j	64.01	21.26	82.83	85.52	76	o69y
j00g	83.18	-4.38	108.53	108.62	92	o98y
j25g	66.73	-29.89	83.06	88.28	110	y34l
j50g	54.03	-48.31	63.49	79.78	127	y69l
j75g	44.73	-60.33	42.64	73.88	145	103c
g00b	47.59	-49.08	15.74	51.54	162	l23c
g25b	49.97	-39.7	-6.72	40.27	190	l55c
g50b	51.85	-32.33	-24.35	40.48	217	l87c
g75b	46.92	-17.29	-36.02	39.96	244	c20v
b00r	37.91	1.28	-42.35	42.37	272	c53v
b25r	23.81	30.38	-52.26	60.45	300	c87v
b50r	29.52	69.06	-42.14	80.9	329	v68m
b75r	36.48	71.47	-3.69	71.57	357	m34o



Ein und Ausgabe: Farbmimetrisches Drucker-Reflektiv-System FRS09_92a für relativen CIELAB-Bunton $h^* = lab^*h^* = h_{ab}/360 = 0.913$

$u^*_e = b50r$
 $lab^*icu^*_d$

Daten für jede Farbe:

lab^*tch^* und lab^*icu^*

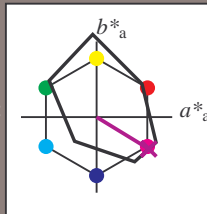
Buntontexte:

$u^*_e = b50r$ $u^*_d = v68m$

Kontrastreduzierungsfaktor:

$c_R = 1.0$

Dreiecks-Helligkeit t^*



FRS09_92a; adaptierte CIELAB-Daten

u^*_e	$L^*=L^*_a$	a^*_a	b^*_a	$C^*_{ab,a}$	$h^*_{ab,a}$
O _{Ma}	35.06	60.0	44.0	74.4	36
Y _{Ma}	83.77	-5.17	109.32	109.44	93
L _{Ma}	44.13	-62.67	48.24	79.09	142
C _{Ma}	52.66	-29.14	-31.99	43.27	228
V _{Ma}	14.15	50.3	-59.04	77.57	310
M _{Ma}	37.37	78.64	-33.5	85.48	337
N _{Ma}	8.58	0.0	0.0	0.0	0
W _{Ma}	92.02	0.0	0.0	0.0	0
R _{Ma}	39.92	58.74	27.99	65.07	25
J _{Ma}	81.26	-2.89	71.56	71.62	92
G _{Ma}	52.23	-42.42	13.6	44.55	162
B _{Ma}	30.57	1.41	-46.47	46.49	272

Daten für Maximalfarbe (Ma):

$LAB^*LAB^*_{Ma}$: 30 69 -42

$LAB^*LCH^*_{Ma}$: 30 81 328

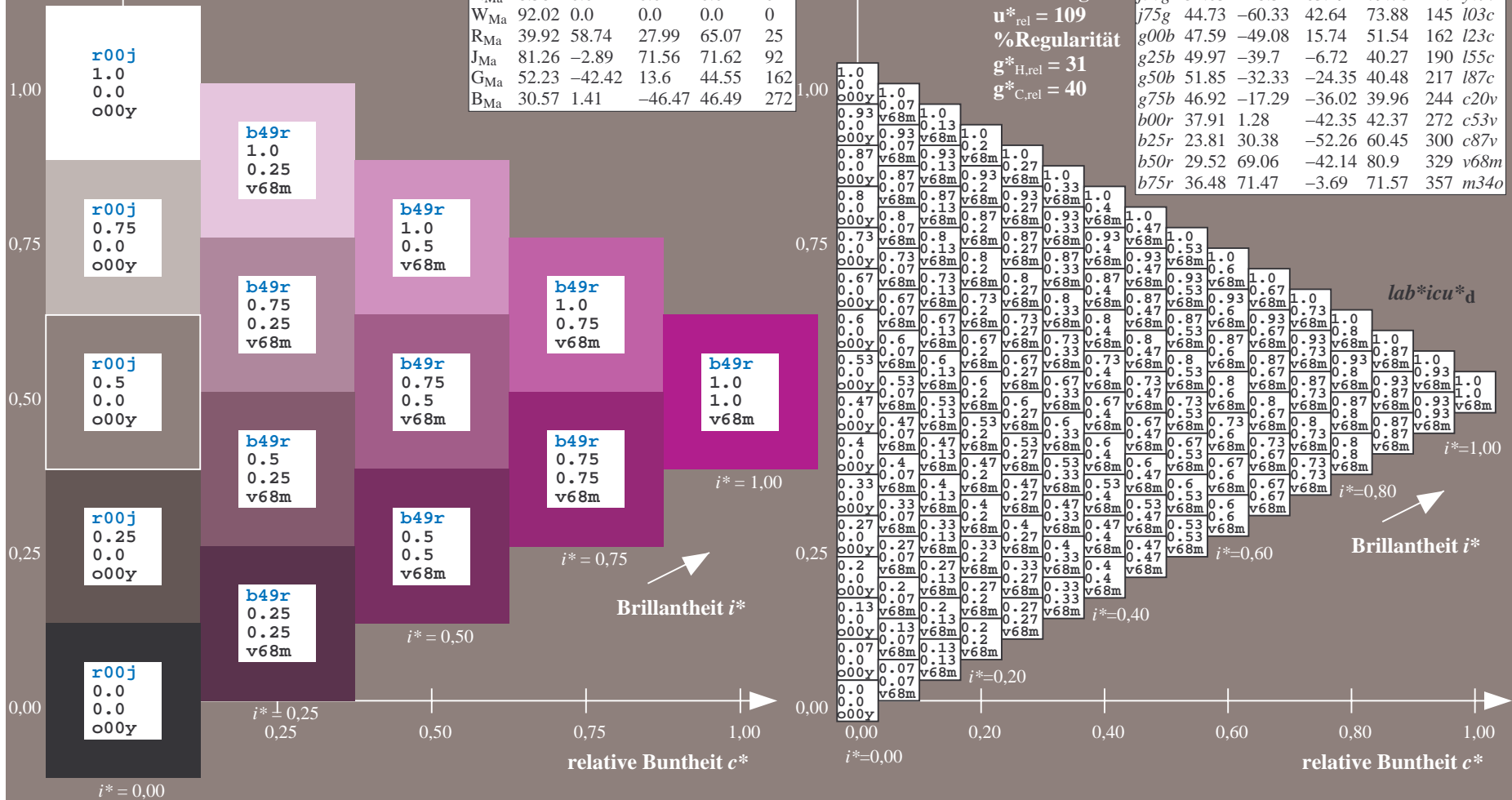
$lab^*rgb^*_{Ma}$: 1.0 0.0 1.0

$lab^*olv^*_{Ma}$: 0.69 0.0 1.0

Dreiecks-Helligkeit t^*

FRS09_92a; adaptierte CIELAB-Daten

u^*_e	$L^*=L^*_a$	a^*_a	b^*_a	$C^*_{ab,a}$	$h^*_{ab,a}$	u^*_d
r00j	35.47	63.32	30.17	70.15	25	m81o
r25j	39.12	54.56	49.45	73.64	42	o10y
r50j	50.64	39.15	64.89	75.79	59	o40y
r75j	64.01	21.26	82.83	85.52	76	o69y
j00g	83.18	-4.38	108.53	108.62	92	o98y
j25g	66.73	-29.89	83.06	88.28	110	y34l
j50g	54.03	-48.31	63.49	79.78	127	y69l
j75g	44.73	-60.33	42.64	73.88	145	l03c
g00b	47.59	-49.08	15.74	51.54	162	l23c
g25b	49.97	-39.7	-6.72	40.27	190	l55c
g50b	51.85	-32.33	-24.35	40.48	217	l87c
g75b	46.92	-17.29	-36.02	39.96	244	c20v
b00r	37.91	1.28	-42.35	42.37	272	c53v
b25r	23.81	30.38	-52.26	60.45	300	c87v
b50r	29.52	69.06	-42.14	80.9	329	v68m
b75r	36.48	71.47	-3.69	71.57	357	m34o



Ein und Ausgabe: Farbmatisches Drucker-Reflektiv-System FRS09_92a für relativen CIELAB-Bunton $h^* = lab^*h^* = h_{ab}/360 = 0.992$

$u^*_e = b75r$

Daten für jede Farbe:

lab^*ch^* und lab^*icu^*

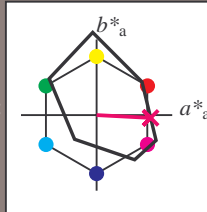
Buntontexte:

$u^*_e = b75r$ $u^*_d = m34o$

Kontrastreduzierungsfaktor:

$c_R = 1.0$

Dreiecks-Helligkeit t^*



FRS09_92a; adaptierte CIELAB-Daten

u^*_e	$L^*=L^*_a$	a^*_a	b^*_a	$C^*_{ab,a}$	$h^*_{ab,a}$
O _{Ma}	35.06	60.0	44.0	74.4	36
Y _{Ma}	83.77	-5.17	109.32	109.44	93
L _{Ma}	44.13	-62.67	48.24	79.09	142
C _{Ma}	52.66	-29.14	-31.99	43.27	228
V _{Ma}	14.15	50.3	-59.04	77.57	310
M _{Ma}	37.37	78.64	-33.5	85.48	337
N _{Ma}	8.58	0.0	0.0	0.0	0
W _{Ma}	92.02	0.0	0.0	0.0	0
R _{Ma}	39.92	58.74	27.99	65.07	25
J _{Ma}	81.26	-2.89	71.56	71.62	92
G _{Ma}	52.23	-42.42	13.6	44.55	162
B _{Ma}	30.57	1.41	-46.47	46.49	272

Daten für Maximalfarbe (Ma):

$LAB^*LAB^*_{Ma}: 36\ 71\ -4$

$LAB^*LCH^*_{Ma}: 36\ 72\ 357$

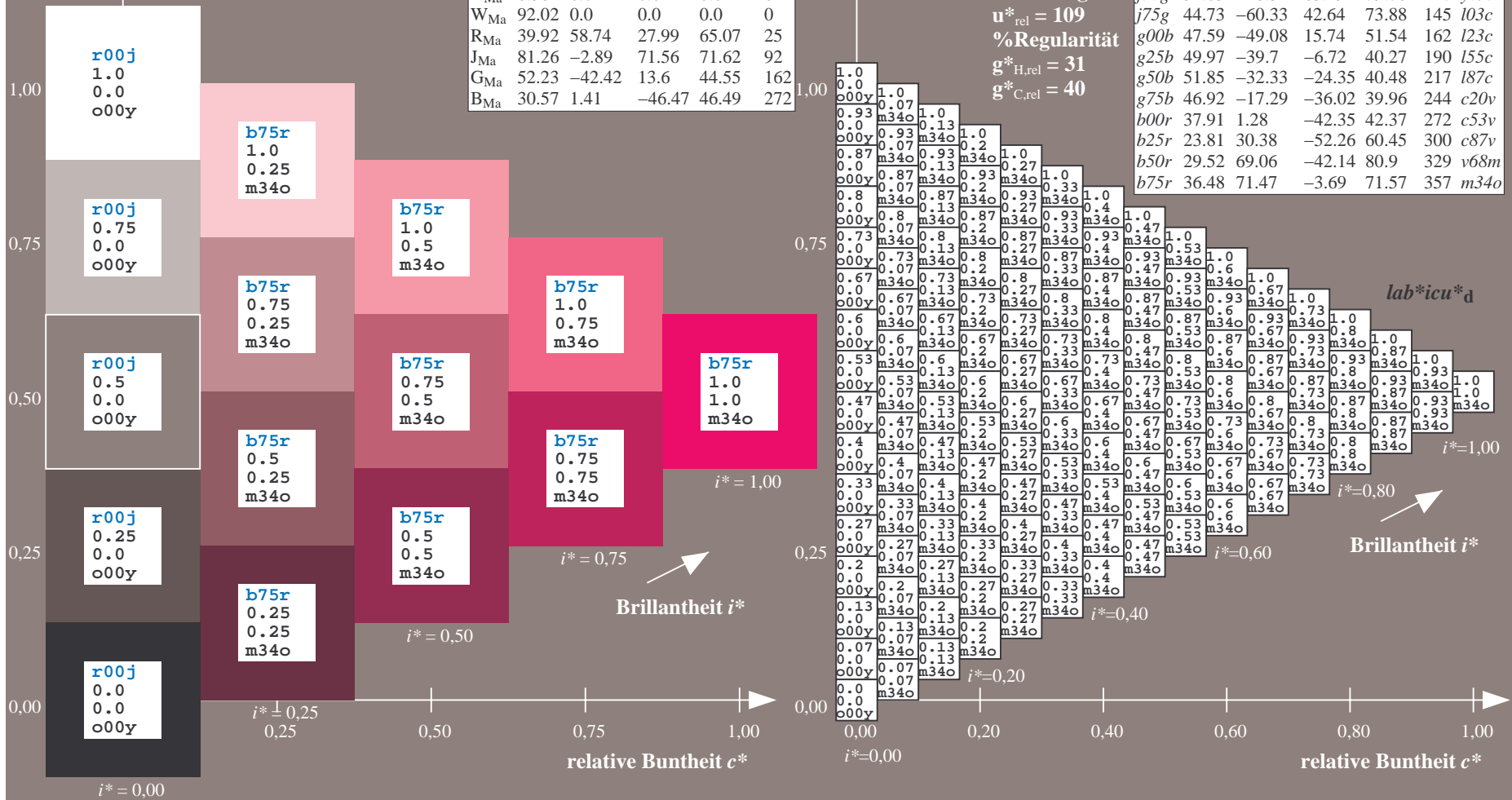
$lab^*rgb^*_{Ma}: 1.0\ 0.0\ 0.5$

$lab^*olv^*_{Ma}: 1.0\ 0.0\ 0.66$

Dreiecks-Helligkeit t^*

FRS09_92a; adaptierte CIELAB-Daten

u^*_e	$L^*=L^*_a$	a^*_a	b^*_a	$C^*_{ab,a}$	$h^*_{ab,a}$	u^*_d
r00j	35.47	63.32	30.17	70.15	25	m81o
r25j	39.12	54.56	49.45	73.64	42	o10y
r50j	50.64	39.15	64.89	75.79	59	o40y
r75j	64.01	21.26	82.83	85.52	76	o69y
j00g	83.18	-4.38	108.53	108.62	92	o98y
j25g	66.73	-29.89	83.06	88.28	110	y34l
j50g	54.03	-48.31	63.49	79.78	127	y69l
j75g	44.73	-60.33	42.64	73.88	145	l03c
g00b	47.59	-49.08	15.74	51.54	162	l23c
g25b	49.97	-39.7	-6.72	40.27	190	l55c
g50b	51.85	-32.33	-24.35	40.48	217	l87c
g75b	46.92	-17.29	-36.02	39.96	244	c20v
b00r	37.91	1.28	-42.35	42.37	272	c53v
b25r	23.81	30.38	-52.26	60.45	300	c87v
b50r	29.52	69.06	-42.14	80.9	329	v68m
b75r	36.48	71.47	-3.69	71.57	357	m34o



Ein und Ausgabe:
Farbmetrisches Drucker-Reflektiv-System FRS09_92a

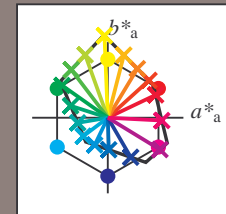
Daten für jede Farbe:
 u^*_e und Nummer $Nr. = 00 \dots 15$

Elementar-Bunttontext:
 $u^*_e = 16$ Bunttoene $r00j, r25j, \dots, b75r$

Kontrastreduzierungsfaktor:
 $c_R = 1.0$

FRS09_92a; adaptierte CIELAB-Daten

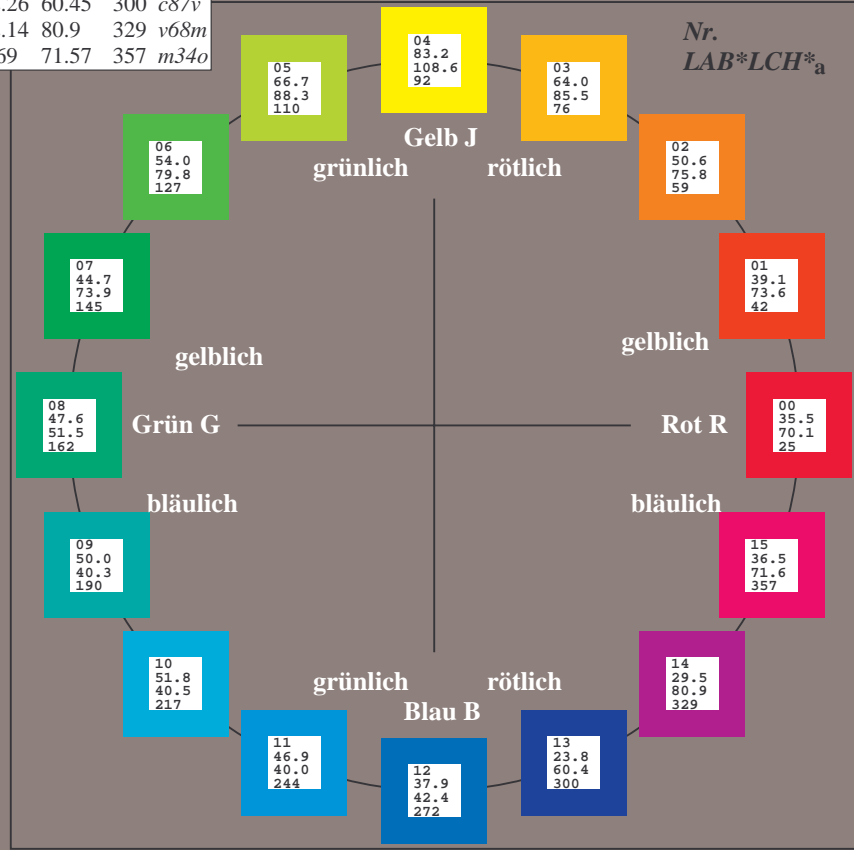
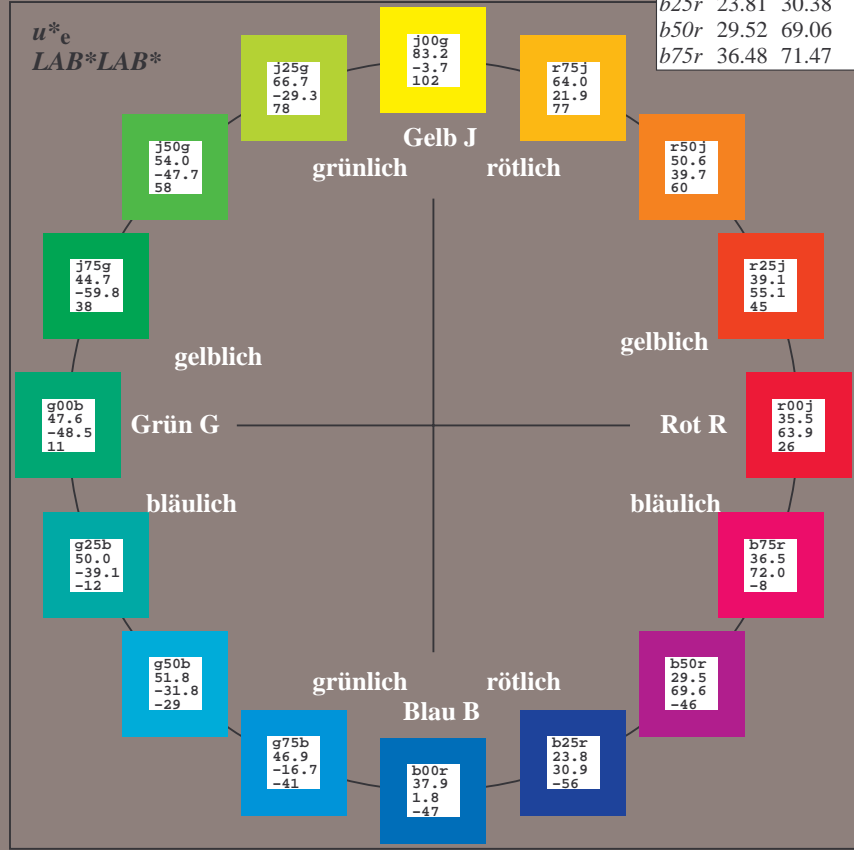
u^*_e	$L^*=L^*_a$	a^*_a	b^*_a	$C^*_{ab,a}$	$h^*_{ab,a}$	u^*_d
r00j	35.47	63.32	30.17	70.15	25	m81o
r25j	39.12	54.56	49.45	73.64	42	o10y
r50j	50.64	39.15	64.89	75.79	59	o40y
r75j	64.01	21.26	82.83	85.52	76	o69y
j00g	83.18	-4.38	108.53	108.62	92	o98y
j25g	66.73	-29.89	83.06	88.28	110	y34l
j50g	54.03	-48.31	63.49	79.78	127	y69l
j75g	44.73	-60.33	42.64	73.88	145	l03c
g00b	47.59	-49.08	15.74	51.54	162	l23c
g25b	49.97	-39.7	-6.72	40.27	190	l55c
g50b	51.85	-32.33	-24.35	40.48	217	l87c
g75b	46.92	-17.29	-36.02	39.96	244	c20v
b00r	37.91	1.28	-42.35	42.37	272	c53v
b25r	23.81	30.38	-52.26	60.45	300	c87v
b50r	29.52	69.06	-42.14	80.9	329	v68m
b75r	36.48	71.47	-3.69	71.57	357	m34o



%Umfang
 $u^*_{rel} = 109$
%Regularität
 $g^*_{H,rel} = 31$
 $g^*_{C,rel} = 40$

FRS09_92; CIELAB-Daten

Name	$L^*=L^*_a$	a^*_a	b^*_a	C^*_{ab}	h^*_{ab}
O _M	35.06	60.53	39.66	72.37	33
Y _M	83.77	-4.5	103.15	103.25	92
L _M	44.13	-62.11	43.56	75.86	145
C _M	52.66	-28.56	-36.99	46.73	232
V _M	14.15	50.78	-62.6	80.61	309
M _M	37.37	79.18	-37.93	87.8	334
N _M	8.58	0.46	-3.35	3.38	278
W _M	92.02	0.69	-6.48	6.52	276
R _{CIE}	39.92	58.74	27.99	65.07	25
J _{CIE}	81.26	-2.89	71.56	71.62	92
G _{CIE}	52.23	-42.42	13.6	44.55	162
B _{CIE}	30.57	1.41	-46.47	46.49	272



Ein und Ausgabe: Farbmatisches Drucker-Reflektiv-System FRS09_92a für relativen CIELAB-Bunton $h^* = lab^*h^* = h_{ab}/360 = 0.071$

$u^*_e = r00j$
 LAB^*LAB^*

Daten für jede Farbe:

lab^*ch^* und lab^*icu^*

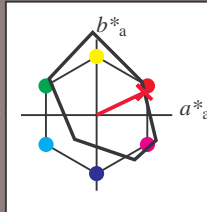
Buntontexte:

$u^*_e = r00j$ $u^*_d = m81o$

Kontrastreduzierungsfaktor:

$c_R = 1.0$

Dreiecks-Helligkeit t^*



FRS09_92; CIELAB-Daten

u^*_e	$L^*=L^*$	a^*	b^*	C^*_{ab}	h^*_{ab}
O _M	35.06	60.53	39.66	72.37	33
Y _M	83.77	-4.5	103.15	103.25	92
L _M	44.13	-62.11	43.56	75.86	145
C _M	52.66	-28.56	-36.99	46.73	232
V _M	14.15	50.78	-62.6	80.61	309
M _M	37.37	79.18	-37.93	87.8	334
N _M	8.58	0.46	-3.35	3.38	278
W _M	92.02	0.69	-6.48	6.52	276
R _M	39.92	58.74	27.99	65.07	25
J _M	81.26	-2.89	71.56	71.62	92
G _M	52.23	-42.42	13.6	44.55	162
B _M	30.57	1.41	-46.47	46.49	272

Daten für Maximalfarbe (Ma):

$LAB^*LAB^*_{Ma}$: 35 63 30

$LAB^*LCH^*_{Ma}$: 35 70 25

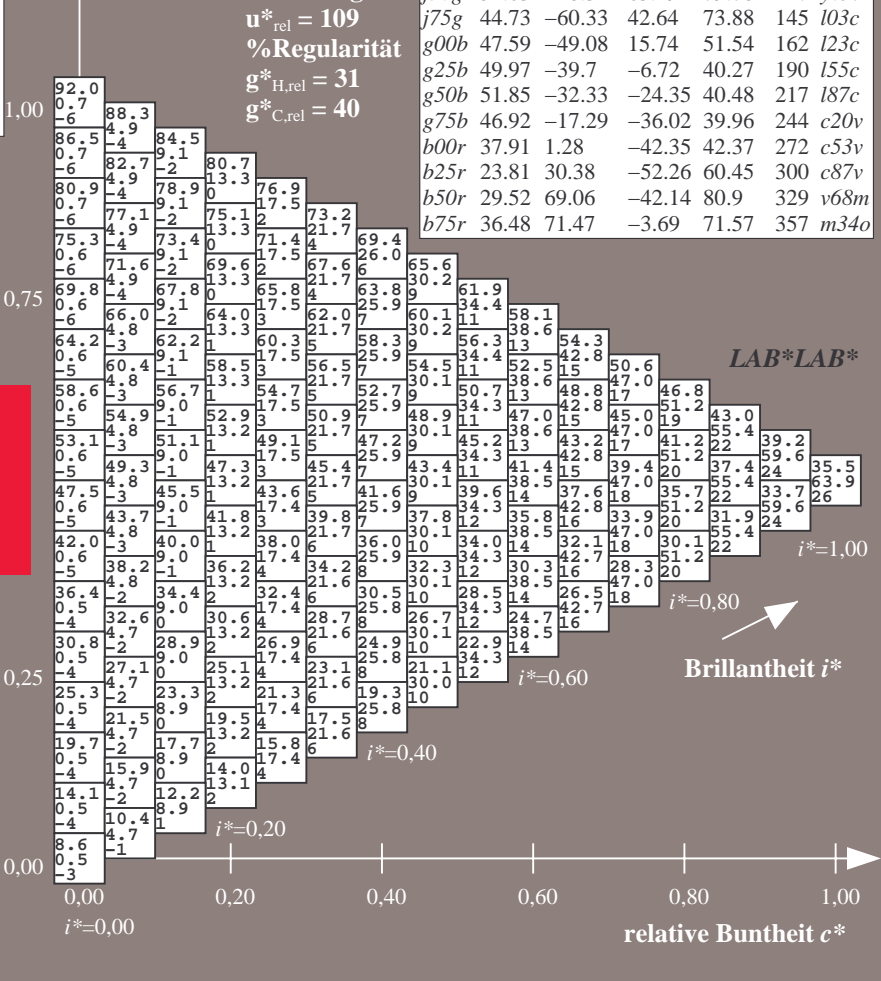
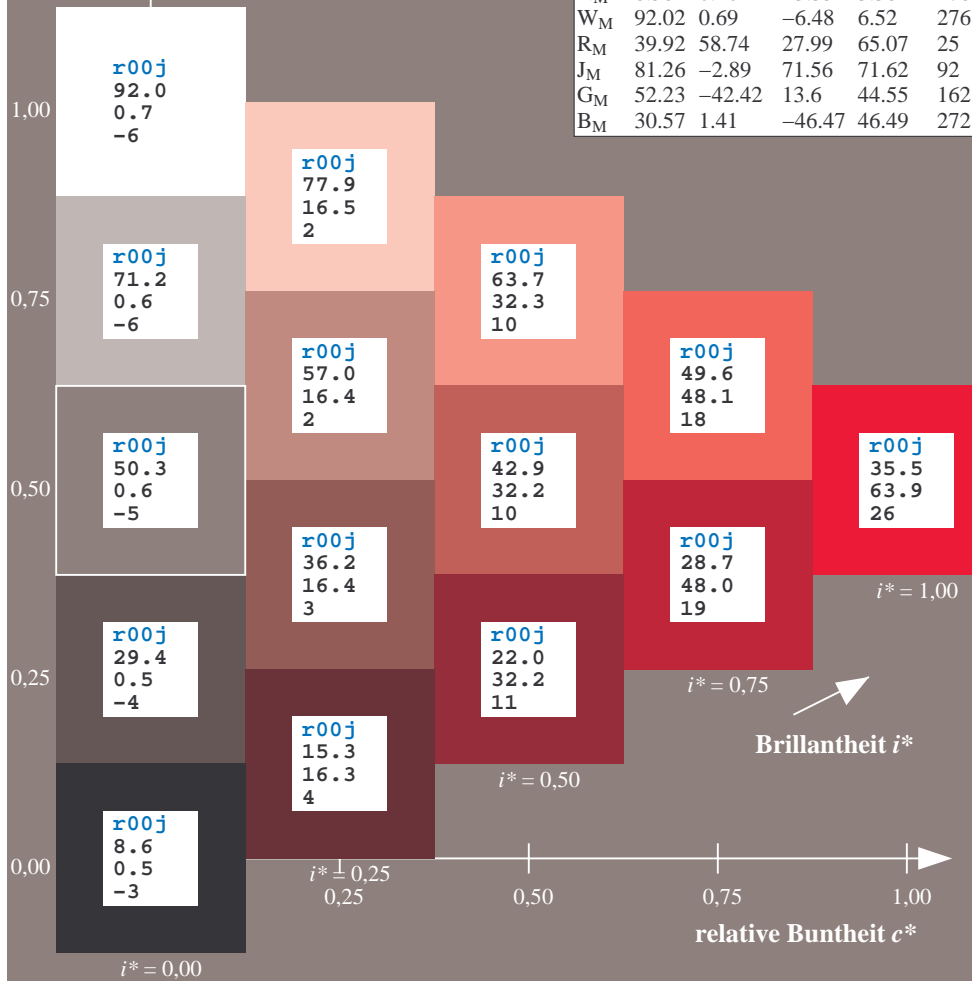
$lab^*rgb^*_{Ma}$: 1.0 0.0 0.0

$lab^*olv^*_{Ma}$: 1.0 0.0 0.18

Dreiecks-Helligkeit t^*

FRS09_92a; adaptierte CIELAB-Daten

u^*_e	$L^*=L^*_a$	a^*_a	b^*_a	$C^*_{ab,a}$	$h^*_{ab,a}$	u^*_d
r00j	35.47	63.32	30.17	70.15	25	m81o
r25j	39.12	54.56	49.45	73.64	42	o10y
r50j	50.64	39.15	64.89	75.79	59	o40y
r75j	64.01	21.26	82.83	85.52	76	o69y
j00g	83.18	-4.38	108.53	108.62	92	o98y
j25g	66.73	-29.89	83.06	88.28	110	y34l
j50g	54.03	-48.31	63.49	79.78	127	y69l
j75g	44.73	-60.33	42.64	73.88	145	i03c
g00b	47.59	-49.08	15.74	51.54	162	i23c
g25b	49.97	-39.7	-6.72	40.27	190	i55c
g50b	51.85	-32.33	-24.35	40.48	217	i87c
g75b	46.92	-17.29	-36.02	39.96	244	c20v
b00r	37.91	1.28	-42.35	42.37	272	c53v
b25r	23.81	30.38	-52.26	60.45	300	c87v
b50r	29.52	69.06	-42.14	80.9	329	v68m
b75r	36.48	71.47	-3.69	71.57	357	m34o



Ein und Ausgabe: Farbmatisches Drucker-Reflektiv-System FRS09_92a für relativen CIELAB-Bunton $h^* = lab^*h^* = h_{ab}/360 = 0.117$

$u^*_e = r25j$
 LAB^*LAB^*

Daten für jede Farbe:

lab^*ch^* und lab^*icu^*

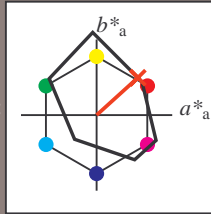
Bunntexte:

$u^*_e = r25j$ $u^*_d = o10y$

Kontrastreduzierungsfaktor:

$c_R = 1.0$

Dreiecks-Helligkeit t^*



FRS09_92; CIELAB-Daten

	u^*_e	$L^*=L^*$	a^*	b^*	C^*_{ab}	h^*_{ab}
O _M	35.06	60.53	39.66	72.37	33	
Y _M	83.77	-4.5	103.15	103.25	92	
L _M	44.13	-62.11	43.56	75.86	145	
C _M	52.66	-28.56	-36.99	46.73	232	
V _M	14.15	50.78	-62.6	80.61	309	
M _M	37.37	79.18	-37.93	87.8	334	
N _M	8.58	0.46	-3.35	3.38	278	
W _M	92.02	0.69	-6.48	6.52	276	
R _M	39.92	58.74	27.99	65.07	25	
J _M	81.26	-2.89	71.56	71.62	92	
G _M	52.23	-42.42	13.6	44.55	162	
B _M	30.57	1.41	-46.47	46.49	272	

Daten für Maximalfarbe (Ma):

$LAB^*LAB^*_{Ma}: 39\ 55\ 49$

$LAB^*LCH^*_{Ma}: 39\ 74\ 42$

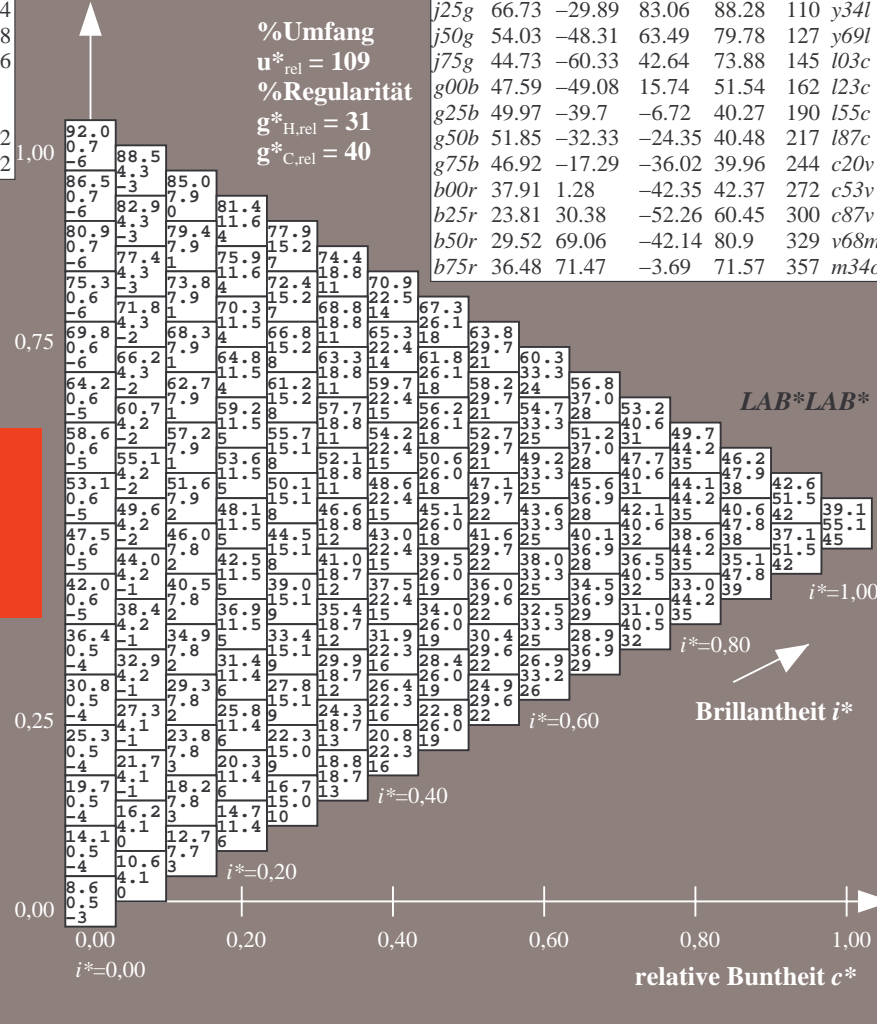
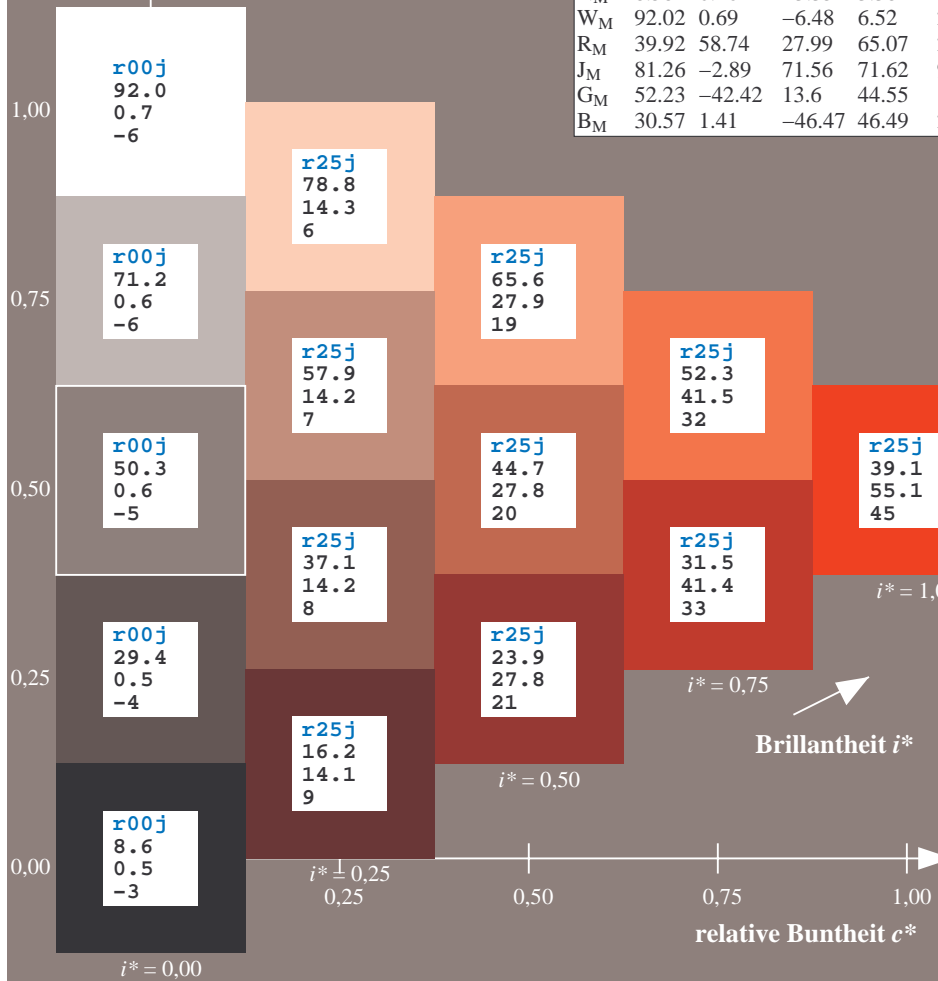
$lab^*rgb^*_{Ma}: 1.0\ 0.25\ 0.0$

$lab^*olv^*_{Ma}: 1.0\ 0.11\ 0.0$

Dreiecks-Helligkeit t^*

FRS09_92a; adaptierte CIELAB-Daten

	u^*_e	$L^*=L^*_a$	a^*_a	b^*_a	$C^*_{ab,a}$	$h^*_{ab,a}$	u^*_d
r00j	35.47	63.32	30.17	70.15	25	m81o	
r25j	39.12	54.56	49.45	73.64	42	o10y	
r50j	50.64	39.15	64.89	75.79	59	o40y	
r75j	64.01	21.26	82.83	85.52	76	o69y	
j00g	83.18	-4.38	108.53	108.62	92	o98y	
j25g	66.73	-29.89	83.06	88.28	110	y34l	
j50g	54.03	-48.31	63.49	79.78	127	y69l	
j75g	44.73	-60.33	42.64	73.88	145	i03c	
g00b	47.59	-49.08	15.74	51.54	162	i23c	
g25b	49.97	-39.7	-6.72	40.27	190	i55c	
g50b	51.85	-32.33	-24.35	40.48	217	i87c	
g75b	46.92	-17.29	-36.02	39.96	244	c20v	
b00r	37.91	1.28	-42.35	42.37	272	c53v	
b25r	23.81	30.38	-52.26	60.45	300	c87v	
b50r	29.52	69.06	-42.14	80.9	329	v68m	
b75r	36.48	71.47	-3.69	71.57	357	m34o	



%Umfang
 $u^*_{rel} = 109$
%Regularität
 $g^*_{H,rel} = 31$
 $g^*_{C,rel} = 40$

LAB^*LAB^*
 $i^* = 1,00$
 $i^* = 0,80$
 $i^* = 0,60$
 $i^* = 0,40$
 $i^* = 0,20$

Ein und Ausgabe: Farbmatisches Drucker-Reflektiv-System FRS09_92a für relativen CIELAB-Bunton $h^* = lab^*h^* = h_{ab}/360 = 0.164$

$u^*_e = r50j$
 LAB^*LAB^*

Daten für jede Farbe:

lab^*ch^* und lab^*icu^*

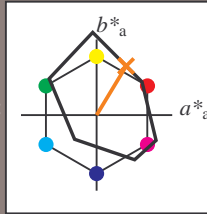
Buntontexte:

$u^*_e = r50j$ $u^*_d = o40y$

Kontrastreduzierungsfaktor:

$c_R = 1.0$

Dreiecks-Helligkeit t^*



FRS09_92; CIELAB-Daten

	u^*_e	$L^*=L^*_a$	a^*	b^*	C^*_{ab}	h^*_{ab}
O _M	35.06	60.53	39.66	72.37	33	
Y _M	83.77	-4.5	103.15	103.25	92	
L _M	44.13	-62.11	43.56	75.86	145	
C _M	52.66	-28.56	-36.99	46.73	232	
V _M	14.15	50.78	-62.6	80.61	309	
M _M	37.37	79.18	-37.93	87.8	334	
N _M	8.58	0.46	-3.35	3.38	278	
W _M	92.02	0.69	-6.48	6.52	276	
R _M	39.92	58.74	27.99	65.07	25	
J _M	81.26	-2.89	71.56	71.62	92	
G _M	52.23	-42.42	13.6	44.55	162	
B _M	30.57	1.41	-46.47	46.49	272	

Daten für Maximalfarbe (Ma):

$LAB^*LAB^*_{Ma}: 51\ 39\ 65$

$LAB^*LCH^*_{Ma}: 51\ 76\ 58$

$lab^*rgb^*_{Ma}: 1.0\ 0.5\ 0.0$

$lab^*olv^*_{Ma}: 1.0\ 0.4\ 0.0$

Dreiecks-Helligkeit t^*

%Umfang

$u^*_{rel} = 109$

%Regularität

$g^*_{H,rel} = 31$

$g^*_{C,rel} = 40$

FRS09_92a; adaptierte CIELAB-Daten

	u^*_e	$L^*=L^*_a$	a^*_a	b^*_a	$C^*_{ab,a}$	$h^*_{ab,a}$	u^*_d
r00j	35.47	63.32	30.17	70.15	25	m81o	
r25j	39.12	54.56	49.45	73.64	42	o10y	
r50j	50.64	39.15	64.89	75.79	59	o40y	
r75j	64.01	21.26	82.83	85.52	76	o69y	
j00g	83.18	-4.38	108.53	108.62	92	o98y	
j25g	66.73	-29.89	83.06	88.28	110	y34l	
j50g	54.03	-48.31	63.49	79.78	127	y69l	
j75g	44.73	-60.33	42.64	73.88	145	i03c	
g00b	47.59	-49.08	15.74	51.54	162	l23c	
g25b	49.97	-39.7	-6.72	40.27	190	i55c	
g50b	51.85	-32.33	-24.35	40.48	217	i87c	
g75b	46.92	-17.29	-36.02	39.96	244	c20v	
b00r	37.91	1.28	-42.35	42.37	272	c53v	
b25r	23.81	30.38	-52.26	60.45	300	c87v	
b50r	29.52	69.06	-42.14	80.9	329	v68m	
b75r	36.48	71.47	-3.69	71.57	357	m34o	

LAB^*LAB^*

$i^* = 1.00$

$i^* = 0.80$

Brillantheit i^*

$i^* = 0.60$

$i^* = 0.40$

$i^* = 0.20$

$i^* = 0.00$

relative Buntheit c^*

relative Buntheit c^*

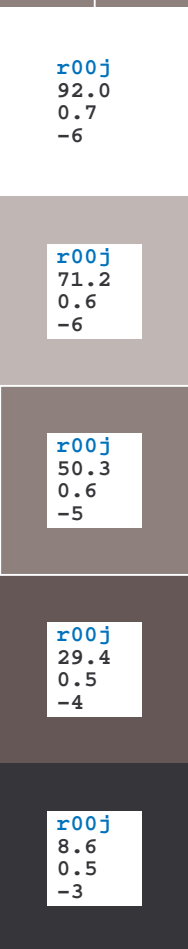
relative Buntheit c^*

relative Buntheit c^*

relative Buntheit c^*

relative Buntheit c^*

1,00
0,75
0,50
0,25
0,00



$i^* = 0,00$

$i^* \perp 0,25$

0,50

0,75

1,00

relative Buntheit c^*

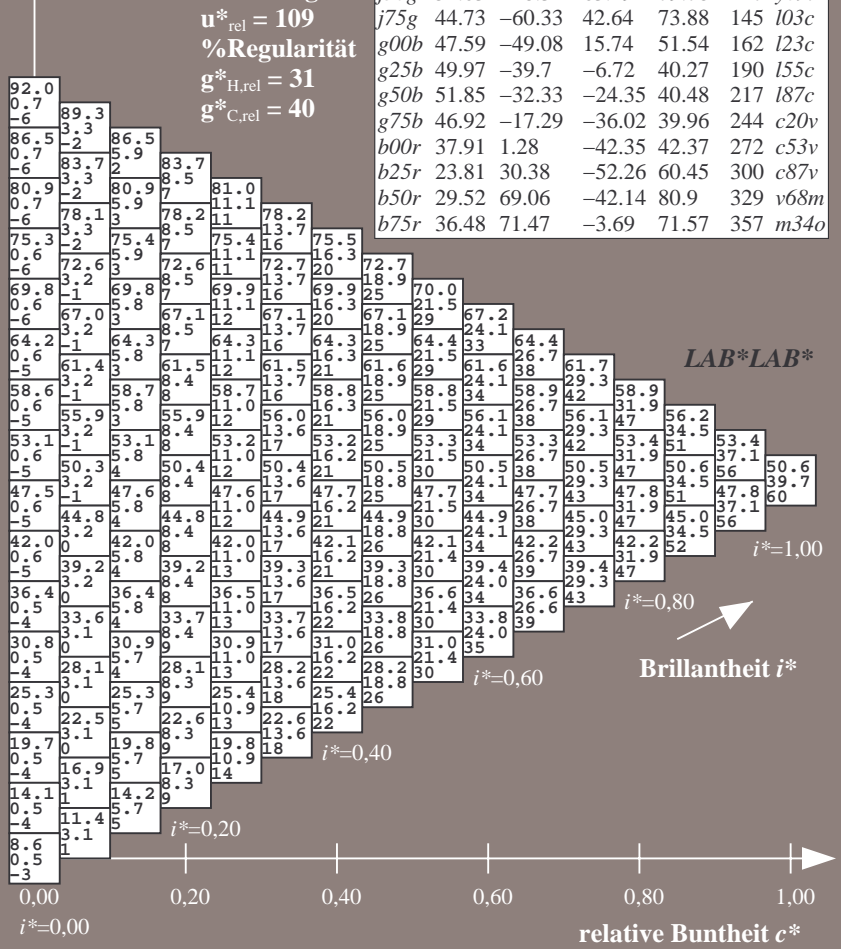
Brillantheit i^*

$i^* = 0,75$

$i^* = 0,50$

$i^* \perp 0,25$

1,00
0,75
0,50
0,25
0,00



$i^* = 0,00$

$i^* = 0,20$

$i^* = 0,40$

$i^* = 0,60$

$i^* = 0,80$

$i^* = 1,00$

relative Buntheit c^*

relative Buntheit c^*

Ein und Ausgabe: Farbmatisches Drucker-Reflektiv-System FRS09_92a für relativen CIELAB-Bunton $h^* = lab^*h^* = h_{ab}/360 = 0.21$

$u^*_e = r75j$
 LAB^*LAB^*

Daten für jede Farbe:

lab^*ch^* und lab^*icu^*

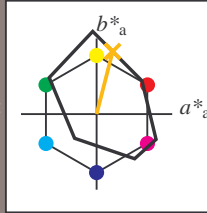
Buntontexte:

$u^*_e = r75j$ $u^*_d = o69y$

Kontrastreduzierungsfaktor:

$c_R = 1.0$

Dreiecks-Helligkeit t^*



FRS09_92; CIELAB-Daten						
	u^*_e	$L^*=L^*$	a^*	b^*	C^*_{ab}	h^*_{ab}
O _M	35.06	60.53	39.66	72.37	33	
Y _M	83.77	-4.5	103.15	103.25	92	
L _M	44.13	-62.11	43.56	75.86	145	
C _M	52.66	-28.56	-36.99	46.73	232	
V _M	14.15	50.78	-62.6	80.61	309	
M _M	37.37	79.18	-37.93	87.8	334	
N _M	8.58	0.46	-3.35	3.38	278	
W _M	92.02	0.69	-6.48	6.52	276	
R _M	39.92	58.74	27.99	65.07	25	
J _M	81.26	-2.89	71.56	71.62	92	
G _M	52.23	-42.42	13.6	44.55	162	
B _M	30.57	1.41	-46.47	46.49	272	

Daten für Maximalfarbe (Ma):

$LAB^*LAB^*_{Ma}: 64\ 21\ 83$

$LAB^*LCH^*_{Ma}: 64\ 86\ 75$

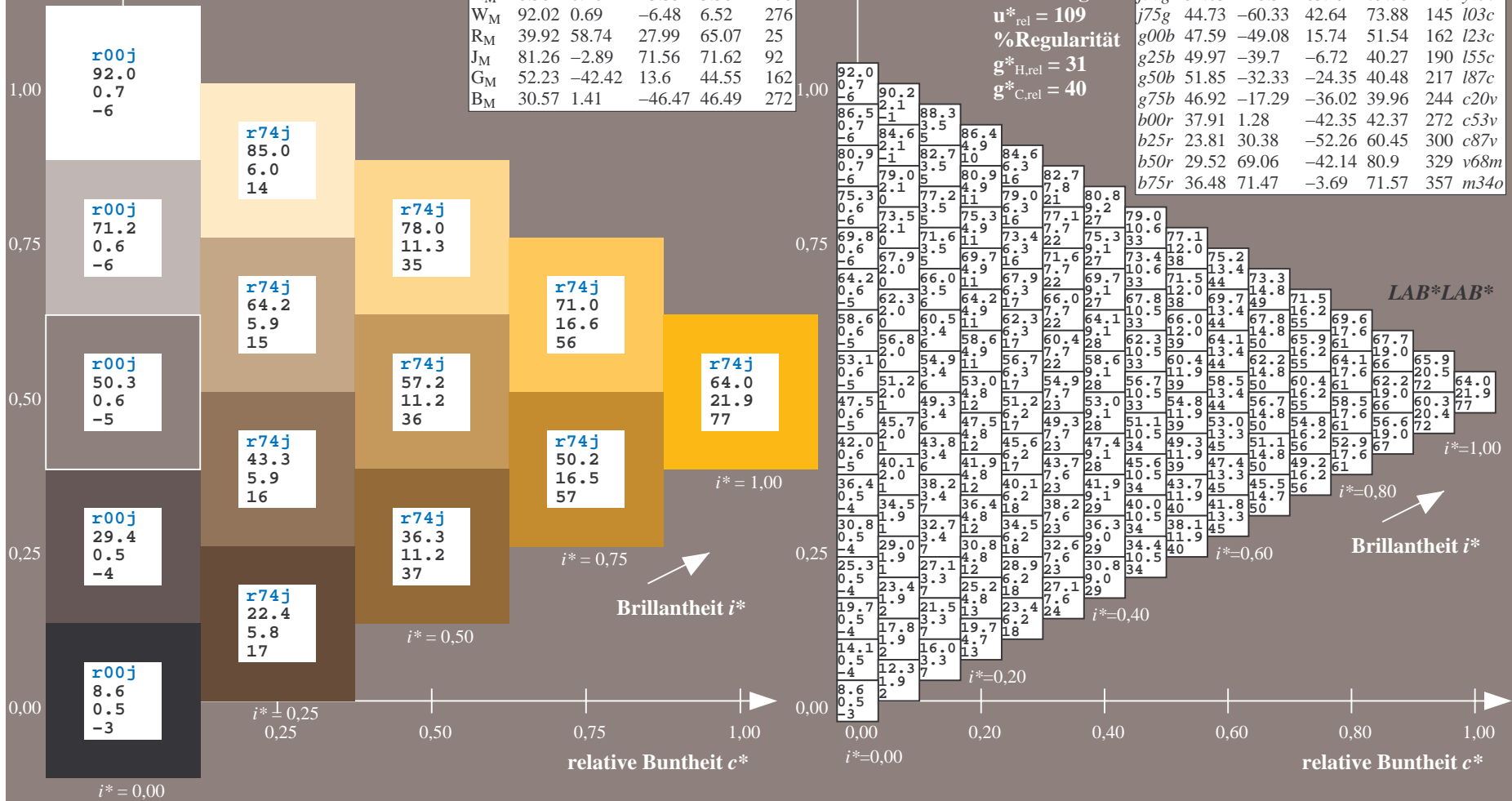
$lab^*rgb^*_{Ma}: 1.0\ 0.75\ 0.0$

$lab^*olv^*_{Ma}: 1.0\ 0.7\ 0.0$

Dreiecks-Helligkeit t^*

FRS09_92a; adaptierte CIELAB-Daten

	u^*_e	$L^*=L^*_a$	a^*_a	b^*_a	$C^*_{ab,a}$	$h^*_{ab,a}$	u^*_d
r00j	35.47	63.32	30.17	70.15	25	m81o	
r25j	39.12	54.56	49.45	73.64	42	o10y	
r50j	50.64	39.15	64.89	75.79	59	o40y	
r75j	64.01	21.26	82.83	85.52	76	o69y	
j00g	83.18	-4.38	108.53	108.62	92	o98y	
j25g	66.73	-29.89	83.06	88.28	110	y34l	
j50g	54.03	-48.31	63.49	79.78	127	y69l	
j75g	44.73	-60.33	42.64	73.88	145	i03c	
g00b	47.59	-49.08	15.74	51.54	162	i23c	
g25b	49.97	-39.7	-6.72	40.27	190	i55c	
g50b	51.85	-32.33	-24.35	40.48	217	i87c	
g75b	46.92	-17.29	-36.02	39.96	244	c20v	
b00r	37.91	1.28	-42.35	42.37	272	c53v	
b25r	23.81	30.38	-52.26	60.45	300	c87v	
b50r	29.52	69.06	-42.14	80.9	329	v68m	
b75r	36.48	71.47	-3.69	71.57	357	m34o	



Ein und Ausgabe: Farbmatisches Drucker-Reflektiv-System FRS09_92a für relativen CIELAB-Bunton $h^* = lab^*h^* = h_{ab}/360 = 0.256$

$u^*_e = j00g$
 LAB^*LAB^*

Daten für jede Farbe:

lab^*ch^* und lab^*icu^*

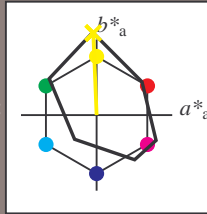
Buntontexte:

$u^*_e = j00g$ $u^*_d = o98y$

Kontrastreduzierungsfaktor:

$c_R = 1.0$

Dreiecks-Helligkeit t^*



FRS09_92; CIELAB-Daten						
	u^*_e	$L^*=L^*$	a^*	b^*	C^*_{ab}	h^*_{ab}
O _M	35.06	60.53	39.66	72.37	33	
Y _M	83.77	-4.5	103.15	103.25	92	
L _M	44.13	-62.11	43.56	75.86	145	
C _M	52.66	-28.56	-36.99	46.73	232	
V _M	14.15	50.78	-62.6	80.61	309	
M _M	37.37	79.18	-37.93	87.8	334	
N _M	8.58	0.46	-3.35	3.38	278	
W _M	92.02	0.69	-6.48	6.52	276	
R _M	39.92	58.74	27.99	65.07	25	
J _M	81.26	-2.89	71.56	71.62	92	
G _M	52.23	-42.42	13.6	44.55	162	
B _M	30.57	1.41	-46.47	46.49	272	

Daten für Maximalfarbe (Ma):

$LAB^*LAB^*_{Ma}$: 83 -4 109

$LAB^*LCH^*_{Ma}$: 83 109 92

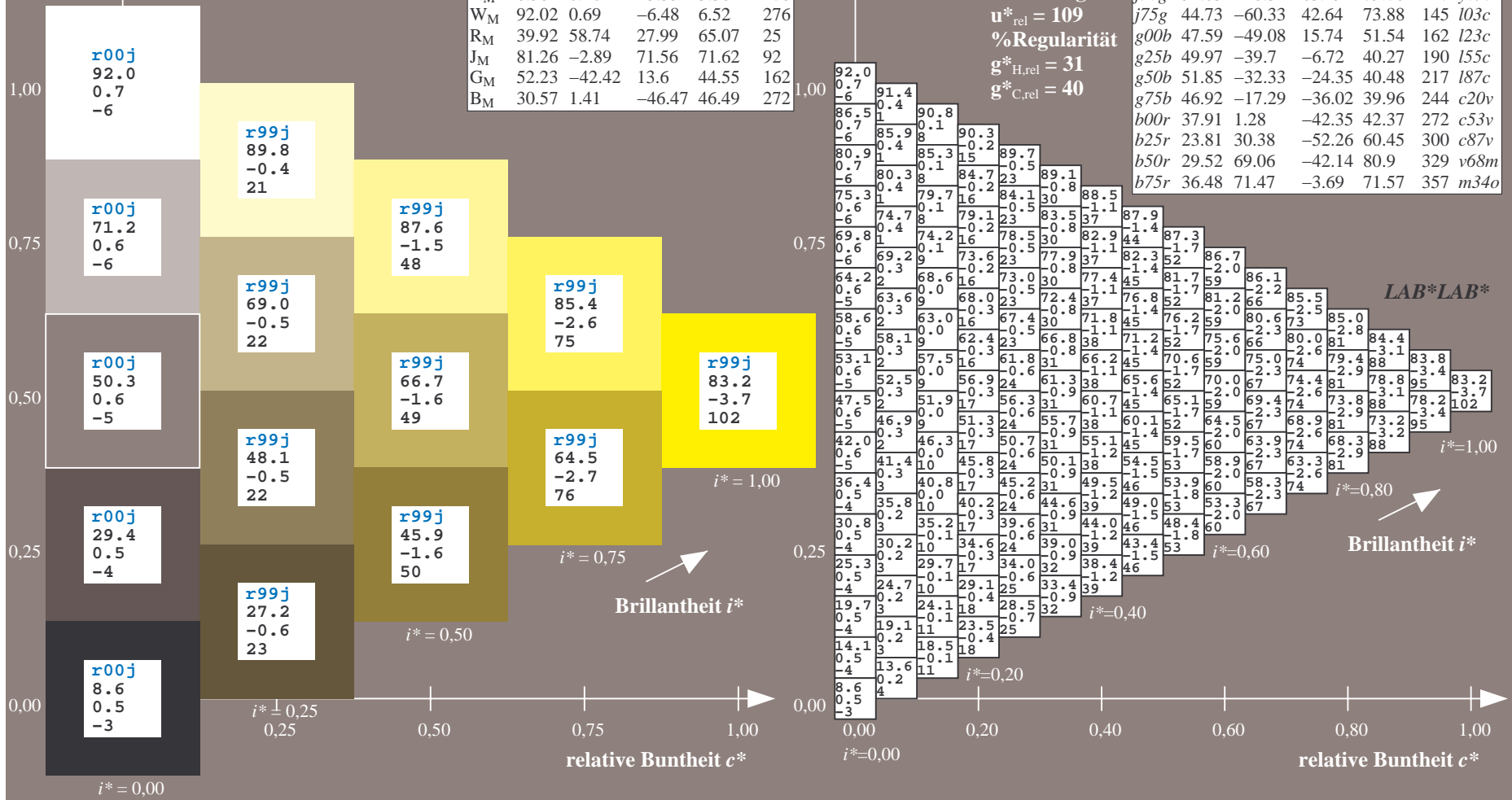
$lab^*rgb^*_{Ma}$: 1.0 1.0 0.0

$lab^*olv^*_{Ma}$: 1.0 0.99 0.0

Dreiecks-Helligkeit t^*

FRS09_92a; adaptierte CIELAB-Daten

	u^*_e	$L^*=L^*_a$	a^*_a	b^*_a	$C^*_{ab,a}$	$h^*_{ab,a}$	u^*_d
r00j	35.47	63.32	30.17	70.15	25	m81o	
r25j	39.12	54.56	49.45	73.64	42	o10y	
r50j	50.64	39.15	64.89	75.79	59	o40y	
r75j	64.01	21.26	82.83	85.52	76	o69y	
j00g	83.18	-4.38	108.53	108.62	92	o98y	
j25g	66.73	-29.89	83.06	88.28	110	y34l	
j50g	54.03	-48.31	63.49	79.78	127	y69l	
j75g	44.73	-60.33	42.64	73.88	145	i03c	
g00b	47.59	-49.08	15.74	51.54	162	l23c	
g25b	49.97	-39.7	-6.72	40.27	190	i55c	
g50b	51.85	-32.33	-24.35	40.48	217	i87c	
g75b	46.92	-17.29	-36.02	39.96	244	c20v	
b00r	37.91	1.28	-42.35	42.37	272	c53v	
b25r	23.81	30.38	-52.26	60.45	300	c87v	
b50r	29.52	69.06	-42.14	80.9	329	v68m	
b75r	36.48	71.47	-3.69	71.57	357	m34o	



Ein und Ausgabe: Farbmatisches Drucker-Reflektiv-System FRS09_92a für relativen CIELAB-Bunton $h^* = lab^*h^* = h_{ab}/360 = 0.305$

$u^*_e = j25g$
LAB*LAB*

Daten für jede Farbe:

lab^*ch^* und lab^*icu^*

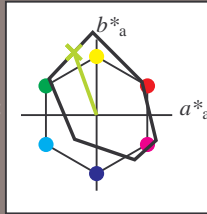
Buntontexte:

$u^*_e = j25g$ $u^*_d = y34l$

Kontrastreduzierungsfaktor:

$c_R = 1.0$

Dreiecks-Helligkeit t^*



FRS09_92; CIELAB-Daten

	u^*_e	$L^*=L^*_a$	a^*_a	b^*_a	C^*_{ab}	h^*_{ab}
O _M	35.06	60.53	39.66	72.37	33	
Y _M	83.77	-4.5	103.15	103.25	92	
L _M	44.13	-62.11	43.56	75.86	145	
C _M	52.66	-28.56	-36.99	46.73	232	
V _M	14.15	50.78	-62.6	80.61	309	
M _M	37.37	79.18	-37.93	87.8	334	
N _M	8.58	0.46	-3.35	3.38	278	
W _M	92.02	0.69	-6.48	6.52	276	
R _M	39.92	58.74	27.99	65.07	25	
J _M	81.26	-2.89	71.56	71.62	92	
G _M	52.23	-42.42	13.6	44.55	162	
B _M	30.57	1.41	-46.47	46.49	272	

Daten für Maximalfarbe (Ma):

LAB*LAB*_{Ma}: 67 -30 83

LAB*LCH*_{Ma}: 67 88 109

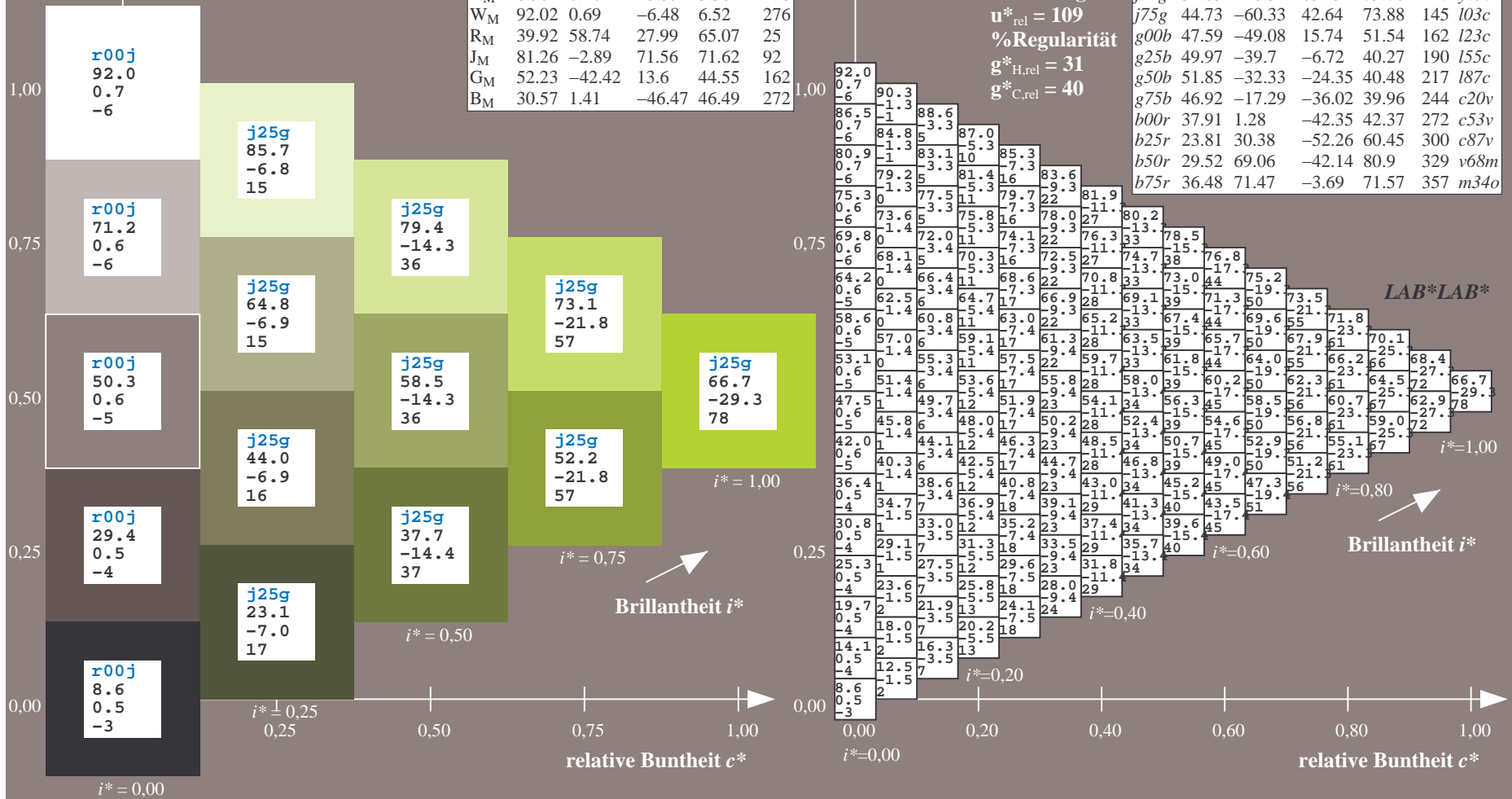
lab*rgb*_{Ma}: 0.75 1.0 0.0

lab*olv*_{Ma}: 0.66 1.0 0.0

Dreiecks-Helligkeit t^*

FRS09_92a; adaptierte CIELAB-Daten

	u^*_e	$L^*=L^*_a$	a^*_a	b^*_a	$C^*_{ab,a}$	$h^*_{ab,a}$	u^*_d
r00j	35.47	63.32	30.17	70.15	25	m81o	
r25j	39.12	54.56	49.45	73.64	42	o10y	
r50j	50.64	39.15	64.89	75.79	59	o40y	
r75j	64.01	21.26	82.83	85.52	76	o69y	
j00g	83.18	-4.38	108.53	108.62	92	o98y	
j25g	66.73	-29.89	83.06	88.28	110	y34l	
j50g	54.03	-48.31	63.49	79.78	127	y69l	
j75g	44.73	-60.33	42.64	73.88	145	i03c	
g00b	47.59	-49.08	15.74	51.54	162	i23c	
g25b	49.97	-39.7	-6.72	40.27	190	i55c	
g50b	51.85	-32.33	-24.35	40.48	217	i87c	
g75b	46.92	-17.29	-36.02	39.96	244	c20v	
b00r	37.91	1.28	-42.35	42.37	272	c53v	
b25r	23.81	30.38	-52.26	60.45	300	c87v	
b50r	29.52	69.06	-42.14	80.9	329	v68m	
b75r	36.48	71.47	-3.69	71.57	357	m34o	



Ein und Ausgabe: Farbmatisches Drucker-Reflektiv-System FRS09_92a für relativen CIELAB-Bunton $h^* = lab \cdot h^* = h_{ab}/360 = 0.354$

$u^*_e = j50g$
LAB*LAB*

Daten für jede Farbe:

$lab \cdot tch^*$ und $lab \cdot icu^*$

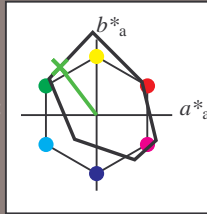
Buntontexte:

$u^*_e = j50g$ $u^*_d = y69l$

Kontrastreduzierungsfaktor:

$c_R = 1.0$

Dreiecks-Helligkeit t^*



FRS09_92; CIELAB-Daten						
	u^*_e	$L^*=L^*$	a^*	b^*	C^*_{ab}	h^*_{ab}
O _M	35.06	60.53	39.66	72.37	33	
Y _M	83.77	-4.5	103.15	103.25	92	
L _M	44.13	-62.11	43.56	75.86	145	
C _M	52.66	-28.56	-36.99	46.73	232	
V _M	14.15	50.78	-62.6	80.61	309	
M _M	37.37	79.18	-37.93	87.8	334	
N _M	8.58	0.46	-3.35	3.38	278	
W _M	92.02	0.69	-6.48	6.52	276	
R _M	39.92	58.74	27.99	65.07	25	
J _M	81.26	-2.89	71.56	71.62	92	
G _M	52.23	-42.42	13.6	44.55	162	
B _M	30.57	1.41	-46.47	46.49	272	

Daten für Maximalfarbe (Ma):

LAB*LAB*_{Ma}: 54 -48 63

LAB*LCH*_{Ma}: 54 80 127

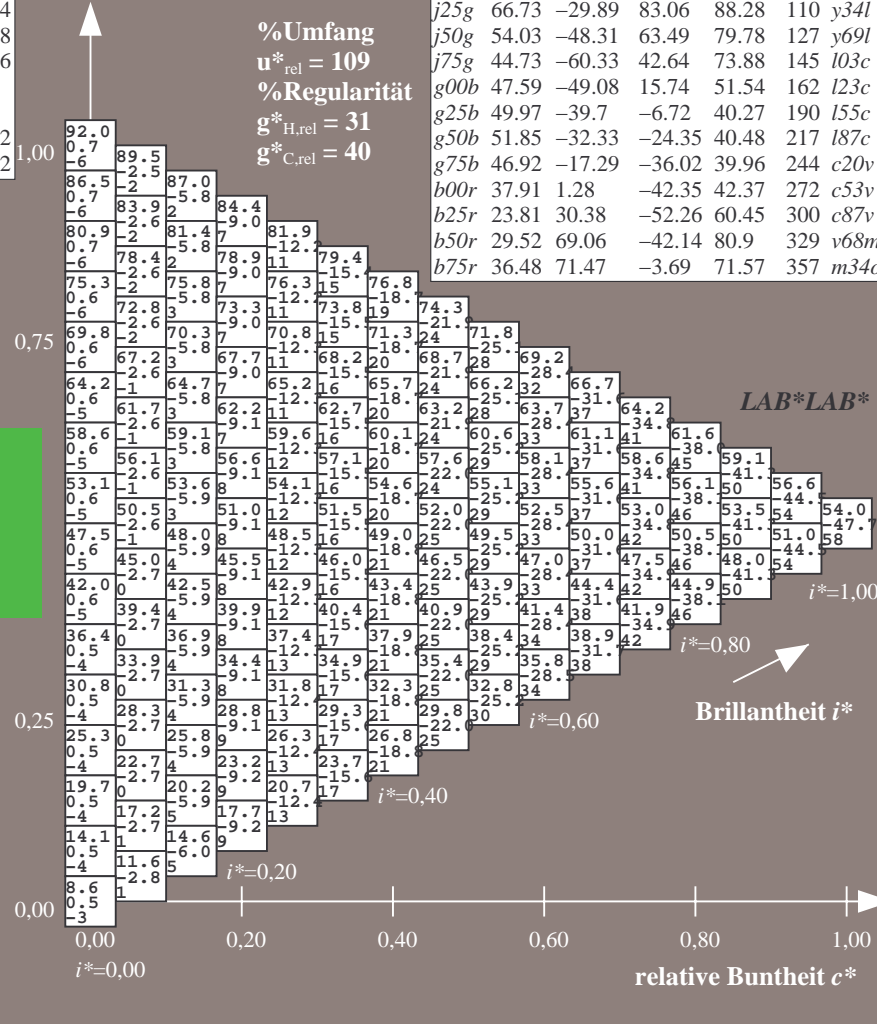
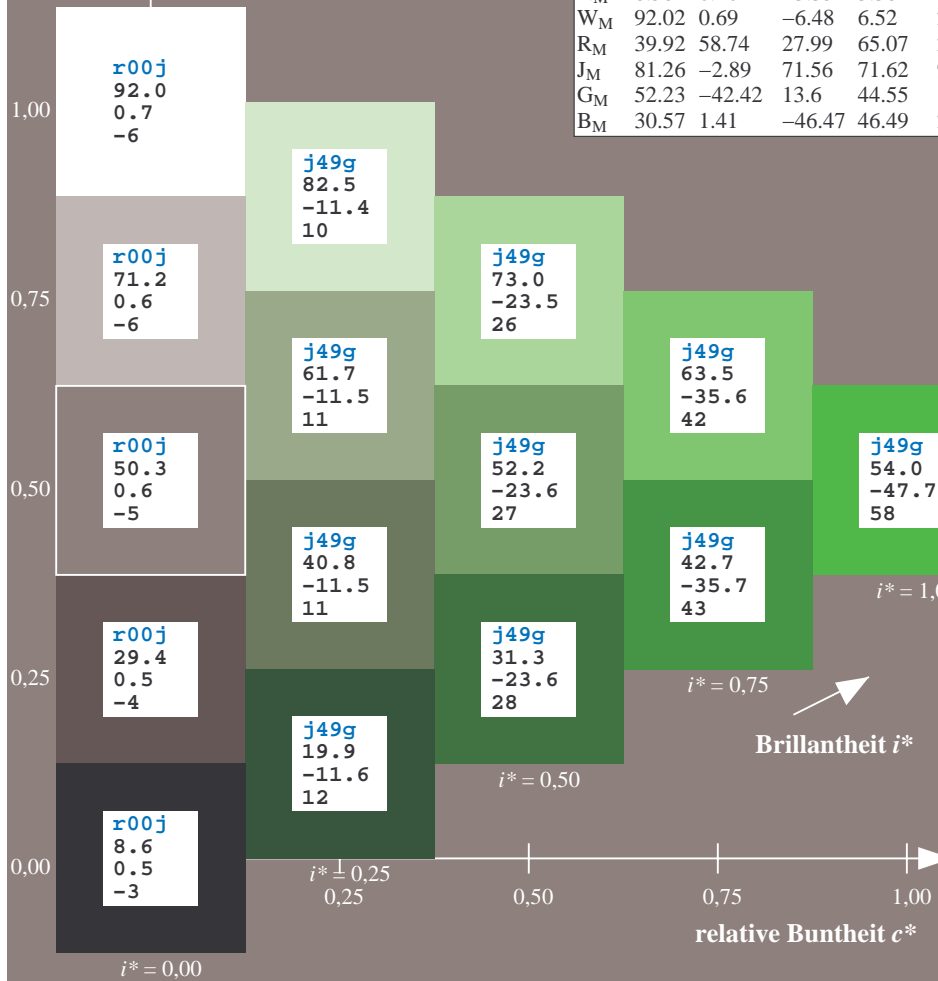
lab*rgb*_{Ma}: 0.5 1.0 0.0

lab*olv*_{Ma}: 0.3 1.0 0.0

Dreiecks-Helligkeit t^*

FRS09_92a; adaptierte CIELAB-Daten

	u^*_e	$L^*=L^*_a$	a^*_a	b^*_a	$C^*_{ab,a}$	$h^*_{ab,a}$	u^*_d
r00j	35.47	63.32	30.17	70.15	25	m81o	
r25j	39.12	54.56	49.45	73.64	42	o10y	
r50j	50.64	39.15	64.89	75.79	59	o40y	
r75j	64.01	21.26	82.83	85.52	76	o69y	
j00g	83.18	-4.38	108.53	108.62	92	o98y	
j25g	66.73	-29.89	83.06	88.28	110	y34l	
j50g	54.03	-48.31	63.49	79.78	127	y69l	
j75g	44.73	-60.33	42.64	73.88	145	i03c	
g00b	47.59	-49.08	15.74	51.54	162	l23c	
g25b	49.97	-39.7	-6.72	40.27	190	i55c	
g50b	51.85	-32.33	-24.35	40.48	217	i87c	
g75b	46.92	-17.29	-36.02	39.96	244	c20v	
b00r	37.91	1.28	-42.35	42.37	272	c53v	
b25r	23.81	30.38	-52.26	60.45	300	c87v	
b50r	29.52	69.06	-42.14	80.9	329	v68m	
b75r	36.48	71.47	-3.69	71.57	357	m34o	



%Umfang
 $u^*_{rel} = 109$
%Regularität
 $g^*_{H,rel} = 31$
 $g^*_{C,rel} = 40$

LAB*LAB*

Brillantheit i^*

Ein und Ausgabe: Farbmatisches Drucker-Reflektiv-System FRS09_92a für relativen CIELAB-Bunton $h^* = lab^*h^* = h_{ab}/360 = 0.402$

$u^*_e = j75g$
LAB*LAB*

Daten für jede Farbe:

lab^*ch^* und lab^*icu^*

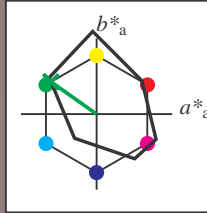
Buntontexte:

$u^*_e = j75g$ $u^*_d = l03c$

Kontrastreduzierungsfaktor:

$c_R = 1.0$

Dreiecks-Helligkeit t^*



FRS09_92; CIELAB-Daten

	u^*_e	$L^*=L^*$	a^*	b^*	C^*_{ab}	h^*_{ab}
O _M	35.06	60.53	39.66	72.37	33	
Y _M	83.77	-4.5	103.15	103.25	92	
L _M	44.13	-62.11	43.56	75.86	145	
C _M	52.66	-28.56	-36.99	46.73	232	
V _M	14.15	50.78	-62.6	80.61	309	
M _M	37.37	79.18	-37.93	87.8	334	
N _M	8.58	0.46	-3.35	3.38	278	
W _M	92.02	0.69	-6.48	6.52	276	
R _M	39.92	58.74	27.99	65.07	25	
J _M	81.26	-2.89	71.56	71.62	92	
G _M	52.23	-42.42	13.6	44.55	162	
B _M	30.57	1.41	-46.47	46.49	272	

Daten für Maximalfarbe (Ma):

LAB*LAB*_{Ma}: 45 -60 43

LAB*LCH*_{Ma}: 45 74 144

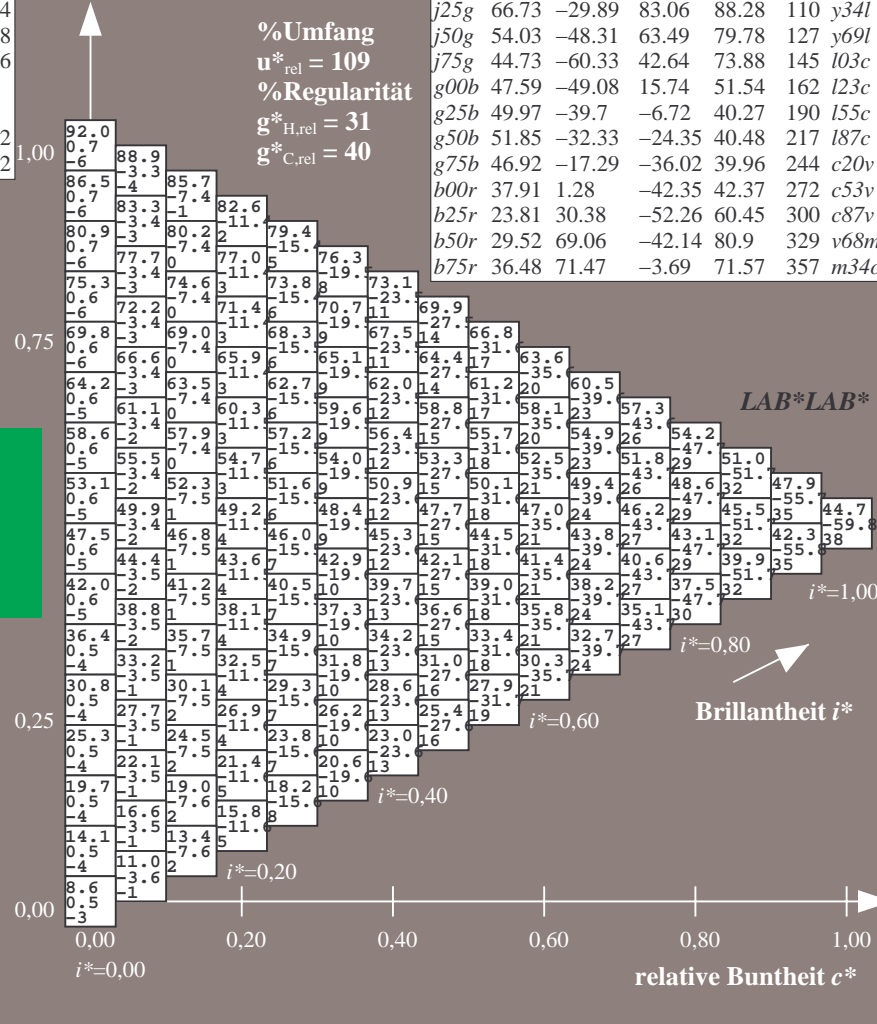
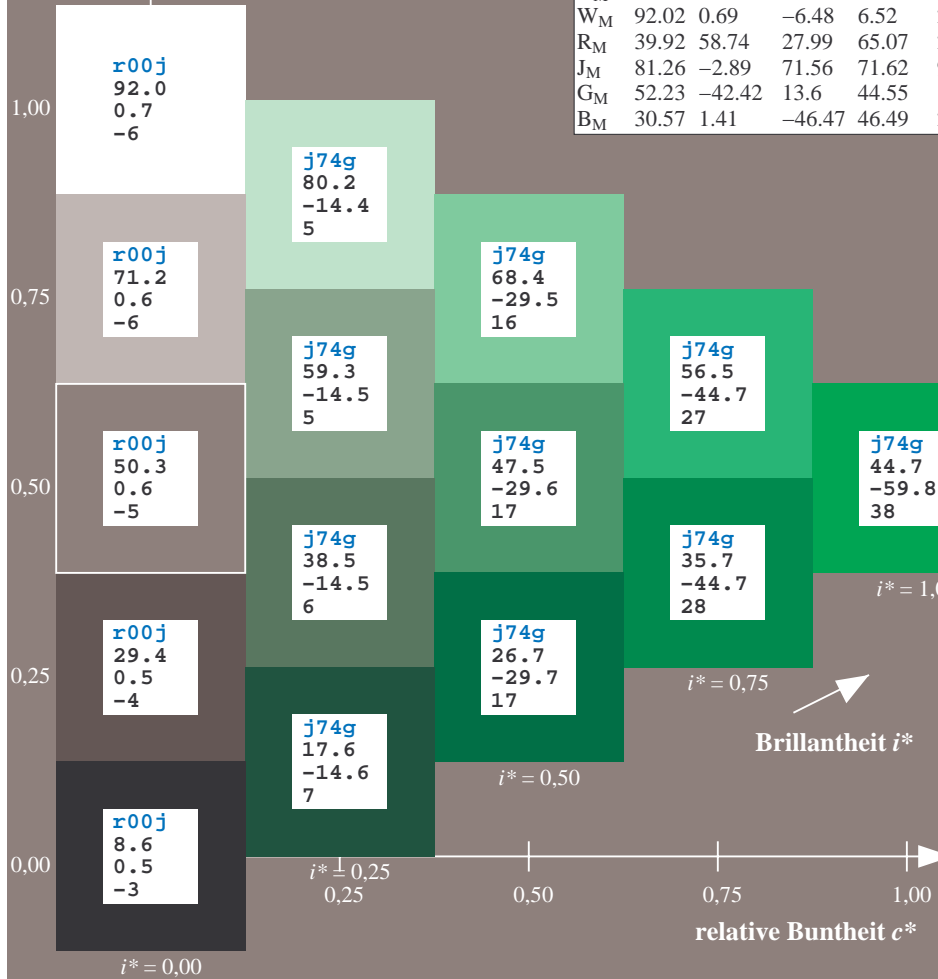
lab*rgb*_{Ma}: 0.25 1.0 0.0

lab*olv*_{Ma}: 0.0 1.0 0.03

Dreiecks-Helligkeit t^*

FRS09_92a; adaptierte CIELAB-Daten

	u^*_e	$L^*=L^*_a$	a^*_a	b^*_a	$C^*_{ab,a}$	$h^*_{ab,a}$	u^*_d
r00j	35.47	63.32	30.17	70.15	25	m81o	
r25j	39.12	54.56	49.45	73.64	42	o10y	
r50j	50.64	39.15	64.89	75.79	59	o40y	
r75j	64.01	21.26	82.83	85.52	76	o69y	
j00g	83.18	-4.38	108.53	108.62	92	o98y	
j25g	66.73	-29.89	83.06	88.28	110	y34l	
j50g	54.03	-48.31	63.49	79.78	127	y69l	
j75g	44.73	-60.33	42.64	73.88	145	i03c	
g00b	47.59	-49.08	15.74	51.54	162	i23c	
g25b	49.97	-39.7	-6.72	40.27	190	i55c	
g50b	51.85	-32.33	-24.35	40.48	217	i87c	
g75b	46.92	-17.29	-36.02	39.96	244	c20v	
b00r	37.91	1.28	-42.35	42.37	272	c53v	
b25r	23.81	30.38	-52.26	60.45	300	c87v	
b50r	29.52	69.06	-42.14	80.9	329	v68m	
b75r	36.48	71.47	-3.69	71.57	357	m34o	



Ein und Ausgabe: Farbmatisches Drucker-Reflektiv-System FRS09_92a für relativen CIELAB-Bunton $h^* = lab^*h^* = h_{ab}/360 = 0.451$

$u^*_e = g00b$
 LAB^*LAB^*

Daten für jede Farbe:

lab^*ch^* und lab^*icu^*

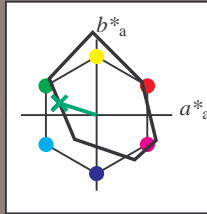
Buntontexte:

$u^*_e = g00b$ $u^*_d = l23c$

Kontrastreduzierungsfaktor:

$c_R = 1.0$

Dreiecks-Helligkeit t^*



FRS09_92; CIELAB-Daten

u^*_e	$L^*=L^*$	a^*	b^*	C^*_{ab}	h^*_{ab}
O _M	35.06	60.53	39.66	72.37	33
Y _M	83.77	-4.5	103.15	103.25	92
L _M	44.13	-62.11	43.56	75.86	145
C _M	52.66	-28.56	-36.99	46.73	232
V _M	14.15	50.78	-62.6	80.61	309
M _M	37.37	79.18	-37.93	87.8	334
N _M	8.58	0.46	-3.35	3.38	278
W _M	92.02	0.69	-6.48	6.52	276
R _M	39.92	58.74	27.99	65.07	25
J _M	81.26	-2.89	71.56	71.62	92
G _M	52.23	-42.42	13.6	44.55	162
B _M	30.57	1.41	-46.47	46.49	272

Daten für Maximalfarbe (Ma):

$LAB^*LAB^*_{Ma}$: 48 -49 16

$LAB^*LCH^*_{Ma}$: 48 52 162

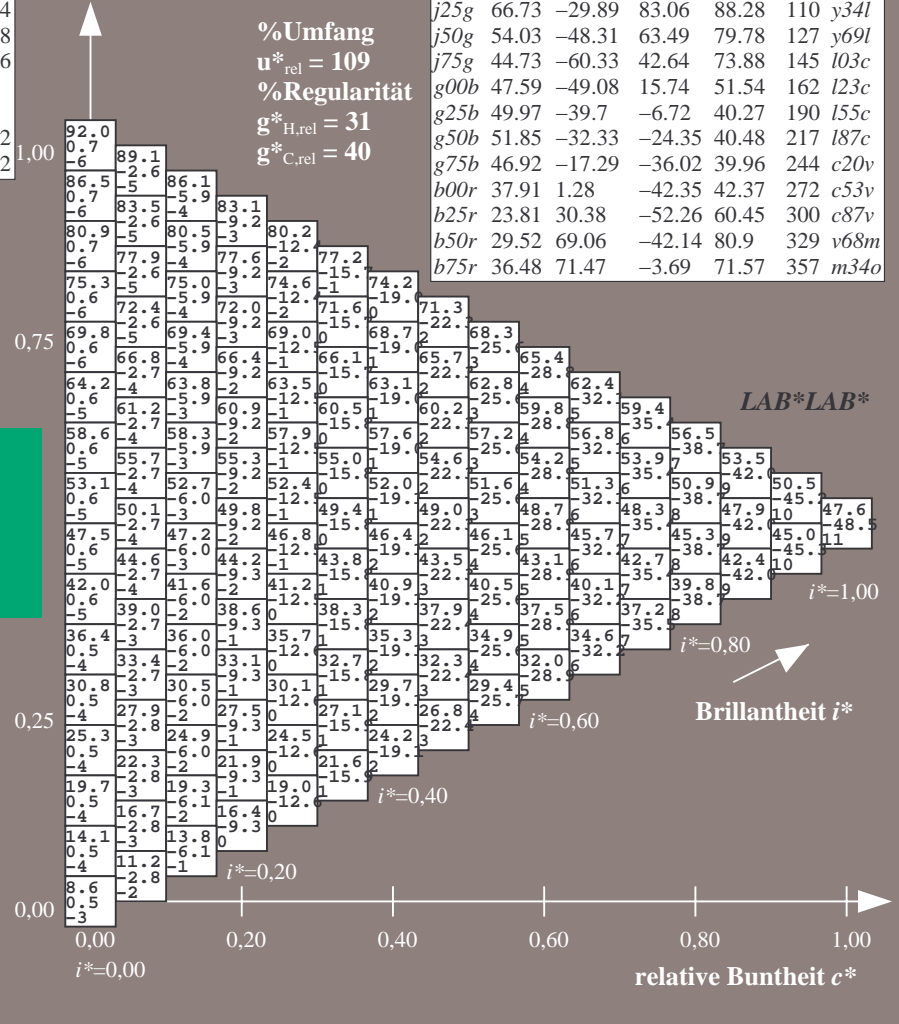
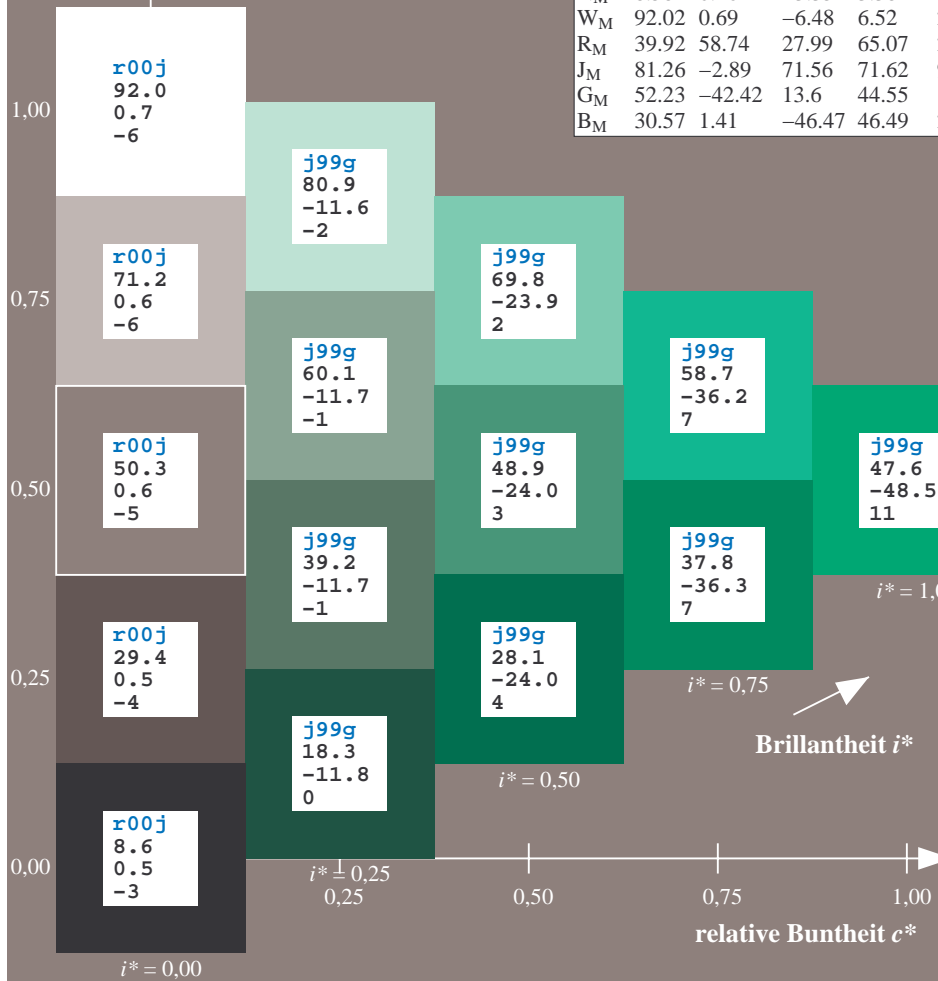
$lab^*rgb^*_{Ma}$: 0.0 1.0 0.0

$lab^*olv^*_{Ma}$: 0.0 1.0 0.23

Dreiecks-Helligkeit t^*

FRS09_92a; adaptierte CIELAB-Daten

u^*_e	$L^*=L^*_a$	a^*_a	b^*_a	$C^*_{ab,a}$	$h^*_{ab,a}$	u^*_d
r00j	35.47	63.32	30.17	70.15	25	m81o
r25j	39.12	54.56	49.45	73.64	42	o10y
r50j	50.64	39.15	64.89	75.79	59	o40y
r75j	64.01	21.26	82.83	85.52	76	o69y
j00g	83.18	-4.38	108.53	108.62	92	o98y
j25g	66.73	-29.89	83.06	88.28	110	y34l
j50g	54.03	-48.31	63.49	79.78	127	y69l
j75g	44.73	-60.33	42.64	73.88	145	l03c
g00b	47.59	-49.08	15.74	51.54	162	l23c
g25b	49.97	-39.7	-6.72	40.27	190	l55c
g50b	51.85	-32.33	-24.35	40.48	217	l87c
g75b	46.92	-17.29	-36.02	39.96	244	c20v
b00r	37.91	1.28	-42.35	42.37	272	c53v
b25r	23.81	30.38	-52.26	60.45	300	c87v
b50r	29.52	69.06	-42.14	80.9	329	v68m
b75r	36.48	71.47	-3.69	71.57	357	m34o



%Umfang
 $u^*_{rel} = 109$
%Regularität
 $g^*_{H,rel} = 31$
 $g^*_{C,rel} = 40$

LAB^*LAB^*

Brillantheit i^*

Ein und Ausgabe: Farbmimetrisches Drucker-Reflektiv-System FRS09_92a für relativen CIELAB-Bunton $h^* = lab^*h^* = h_{ab}/360 = 0.527$

$u^*_e = g25b$
 LAB^*LAB^*

Daten für jede Farbe:

lab^*ch^* und lab^*icu^*

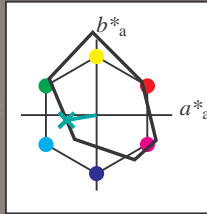
Buntontexte:

$u^*_e = g25b$ $u^*_d = l55c$

Kontrastreduzierungsfaktor:

$c_R = 1.0$

Dreiecks-Helligkeit t^*



FRS09_92; CIELAB-Daten

	u^*_e	$L^*=L^*$	a^*	b^*	C^*_{ab}	h^*_{ab}
O _M	35.06	60.53	39.66	72.37	33	
Y _M	83.77	-4.5	103.15	103.25	92	
L _M	44.13	-62.11	43.56	75.86	145	
C _M	52.66	-28.56	-36.99	46.73	232	
V _M	14.15	50.78	-62.6	80.61	309	
M _M	37.37	79.18	-37.93	87.8	334	
N _M	8.58	0.46	-3.35	3.38	278	
W _M	92.02	0.69	-6.48	6.52	276	
R _M	39.92	58.74	27.99	65.07	25	
J _M	81.26	-2.89	71.56	71.62	92	
G _M	52.23	-42.42	13.6	44.55	162	
B _M	30.57	1.41	-46.47	46.49	272	

Daten für Maximalfarbe (Ma):

$LAB^*LAB^*_{Ma}: 50 -40 -7$

$LAB^*LCH^*_{Ma}: 50 40 189$

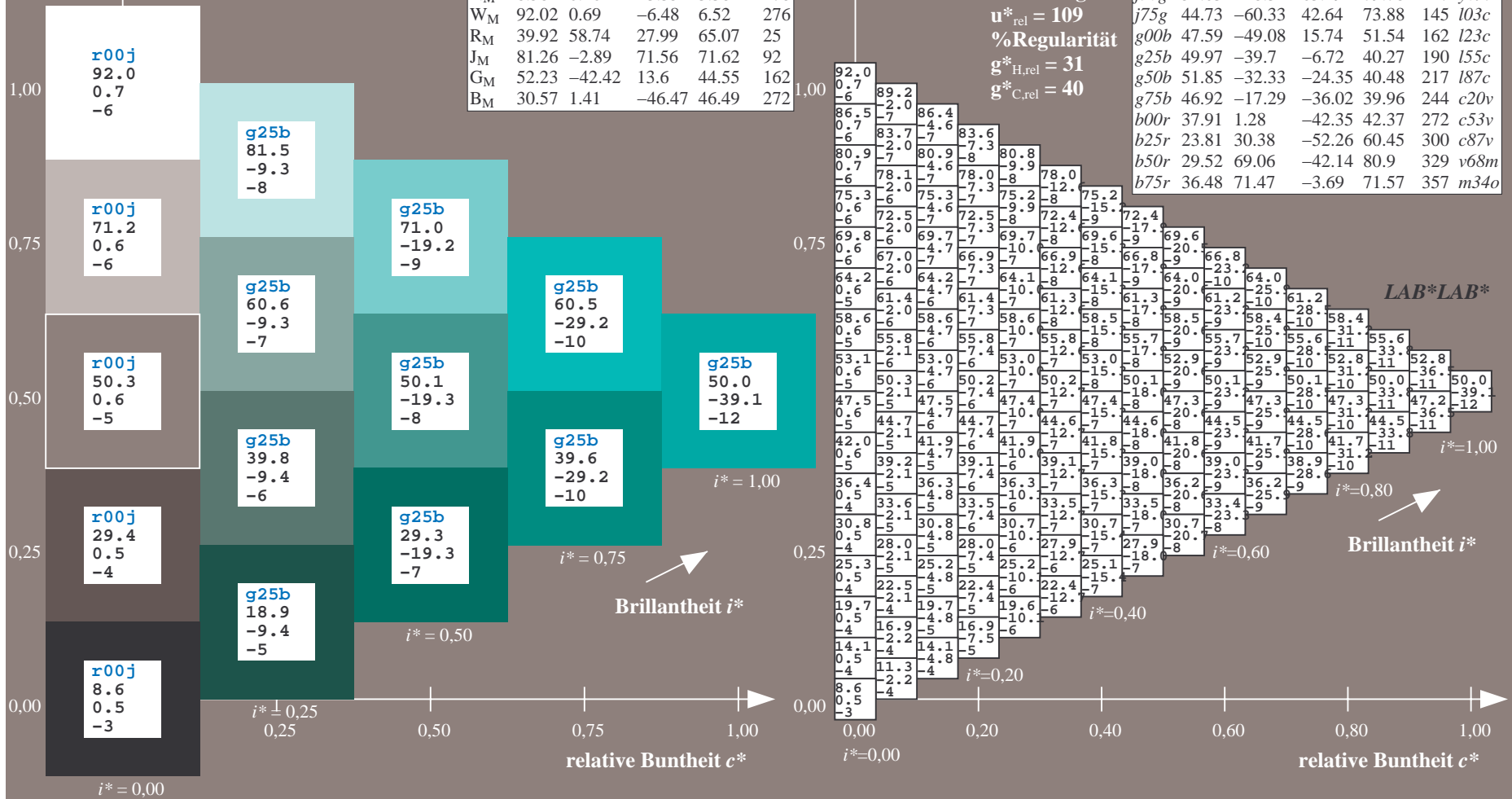
$lab^*rgb^*_{Ma}: 0.0 1.0 0.5$

$lab^*olv^*_{Ma}: 0.0 1.0 0.55$

Dreiecks-Helligkeit t^*

FRS09_92a; adaptierte CIELAB-Daten

	u^*_e	$L^*=L^*_a$	a^*_a	b^*_a	$C^*_{ab,a}$	$h^*_{ab,a}$	u^*_d
r00j	35.47	63.32	30.17	70.15	25	m81o	
r25j	39.12	54.56	49.45	73.64	42	o10y	
r50j	50.64	39.15	64.89	75.79	59	o40y	
r75j	64.01	21.26	82.83	85.52	76	o69y	
j00g	83.18	-4.38	108.53	108.62	92	o98y	
j25g	66.73	-29.89	83.06	88.28	110	y34l	
j50g	54.03	-48.31	63.49	79.78	127	y69l	
j75g	44.73	-60.33	42.64	73.88	145	l03c	
g00b	47.59	-49.08	15.74	51.54	162	l23c	
g25b	49.97	-39.7	-6.72	40.27	190	l55c	
g50b	51.85	-32.33	-24.35	40.48	217	l87c	
g75b	46.92	-17.29	-36.02	39.96	244	c20v	
b00r	37.91	1.28	-42.35	42.37	272	c53v	
b25r	23.81	30.38	-52.26	60.45	300	c87v	
b50r	29.52	69.06	-42.14	80.9	329	v68m	
b75r	36.48	71.47	-3.69	71.57	357	m34o	



Ein und Ausgabe: Farbmatisches Drucker-Reflektiv-System FRS09_92a für relativen CIELAB-Bunton $h^* = lab \cdot h^* = h_{ab}/360 = 0.603$

$u^*_e = g50b$
 LAB^*LAB^*

Daten für jede Farbe:

lab^*tch^* und lab^*icu^*

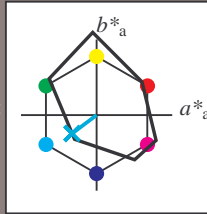
Buntontexte:

$u^*_e = g50b$ $u^*_d = l87c$

Kontrastreduzierungsfaktor:

$c_R = 1.0$

Dreiecks-Helligkeit t^*



FRS09_92; CIELAB-Daten

u^*_e	$L^*=L^*$	a^*	b^*	C^*_{ab}	h^*_{ab}
O _M	35.06	60.53	39.66	72.37	33
Y _M	83.77	-4.5	103.15	103.25	92
L _M	44.13	-62.11	43.56	75.86	145
C _M	52.66	-28.56	-36.99	46.73	232
V _M	14.15	50.78	-62.6	80.61	309
M _M	37.37	79.18	-37.93	87.8	334
N _M	8.58	0.46	-3.35	3.38	278
W _M	92.02	0.69	-6.48	6.52	276
R _M	39.92	58.74	27.99	65.07	25
J _M	81.26	-2.89	71.56	71.62	92
G _M	52.23	-42.42	13.6	44.55	162
B _M	30.57	1.41	-46.47	46.49	272

Daten für Maximalfarbe (Ma):

$LAB^*LAB^*_{Ma}: 52 -32 -24$

$LAB^*LCH^*_{Ma}: 52 40 216$

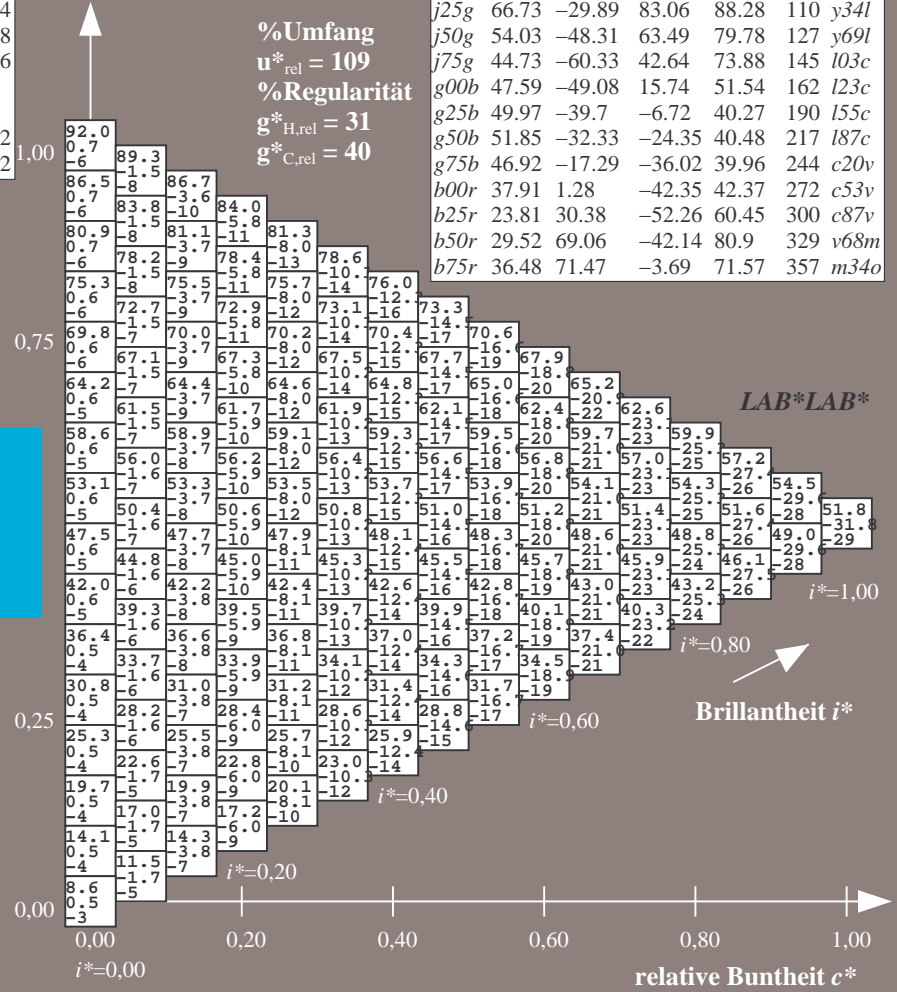
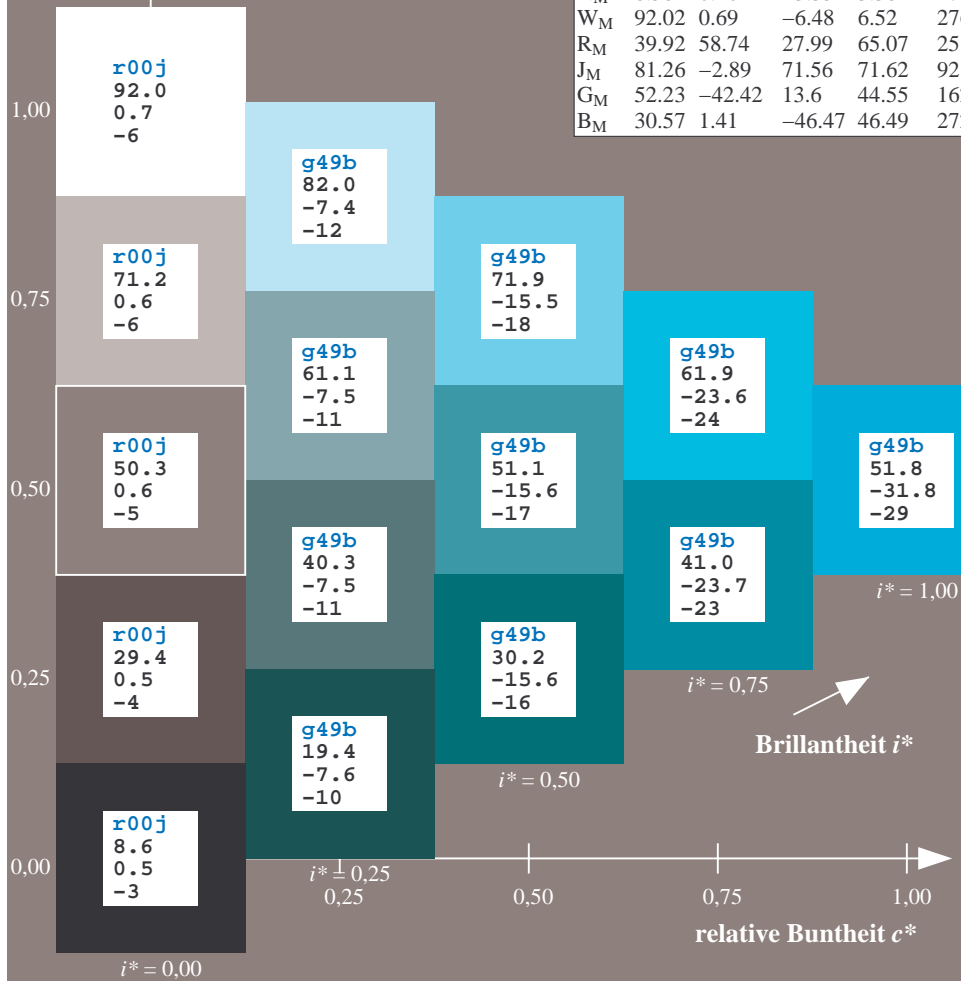
$lab^*rgb^*_{Ma}: 0.0 1.0 1.0$

$lab^*olv^*_{Ma}: 0.0 1.0 0.87$

Dreiecks-Helligkeit t^*

FRS09_92a; adaptierte CIELAB-Daten

u^*_e	$L^*=L^*_a$	a^*_a	b^*_a	$C^*_{ab,a}$	$h^*_{ab,a}$	u^*_d
r00j	35.47	63.32	30.17	70.15	25	m81o
r25j	39.12	54.56	49.45	73.64	42	o10y
r50j	50.64	39.15	64.89	75.79	59	o40y
r75j	64.01	21.26	82.83	85.52	76	o69y
j00g	83.18	-4.38	108.53	108.62	92	o98y
j25g	66.73	-29.89	83.06	88.28	110	y34l
j50g	54.03	-48.31	63.49	79.78	127	y69l
j75g	44.73	-60.33	42.64	73.88	145	l03c
g00b	47.59	-49.08	15.74	51.54	162	l23c
g25b	49.97	-39.7	-6.72	40.27	190	l55c
g50b	51.85	-32.33	-24.35	40.48	217	l87c
g75b	46.92	-17.29	-36.02	39.96	244	c20v
b00r	37.91	1.28	-42.35	42.37	272	c53v
b25r	23.81	30.38	-52.26	60.45	300	c87v
b50r	29.52	69.06	-42.14	80.9	329	v68m
b75r	36.48	71.47	-3.69	71.57	357	m34o



Ein und Ausgabe: Farbmatisches Drucker-Reflektiv-System FRS09_92a für relativen CIELAB-Bunton $h^* = lab \cdot h^* = h_{ab}/360 = 0.679$

$u^*_e = g75b$
LAB*LAB*

Daten für jede Farbe:

$lab \cdot tch^*$ und $lab \cdot icu^*$

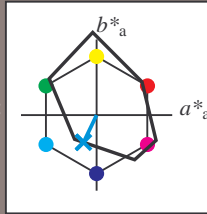
Buntontexte:

$u^*_e = g75b$ $u^*_d = c20v$

Kontrastreduzierungsfaktor:

$c_R = 1.0$

Dreiecks-Helligkeit t^*



FRS09_92; CIELAB-Daten						
u^*_e	$L^*=L^*$	a^*	b^*	C^*_{ab}	h^*_{ab}	
O _M	35.06	60.53	39.66	72.37	33	
Y _M	83.77	-4.5	103.15	103.25	92	
L _M	44.13	-62.11	43.56	75.86	145	
C _M	52.66	-28.56	-36.99	46.73	232	
V _M	14.15	50.78	-62.6	80.61	309	
M _M	37.37	79.18	-37.93	87.8	334	
N _M	8.58	0.46	-3.35	3.38	278	
W _M	92.02	0.69	-6.48	6.52	276	
R _M	39.92	58.74	27.99	65.07	25	
J _M	81.26	-2.89	71.56	71.62	92	
G _M	52.23	-42.42	13.6	44.55	162	
B _M	30.57	1.41	-46.47	46.49	272	

Daten für Maximalfarbe (Ma):

LAB*LAB*_{Ma}: 47 -17 -36

LAB*LCH*_{Ma}: 47 40 244

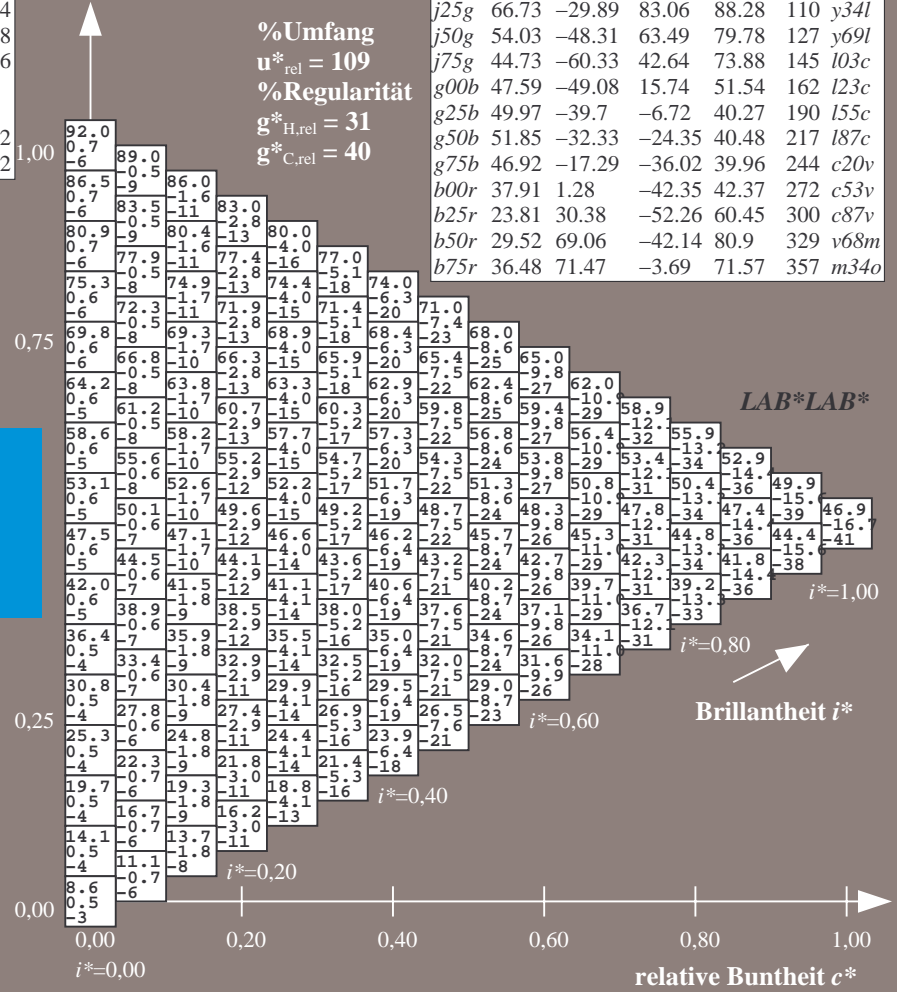
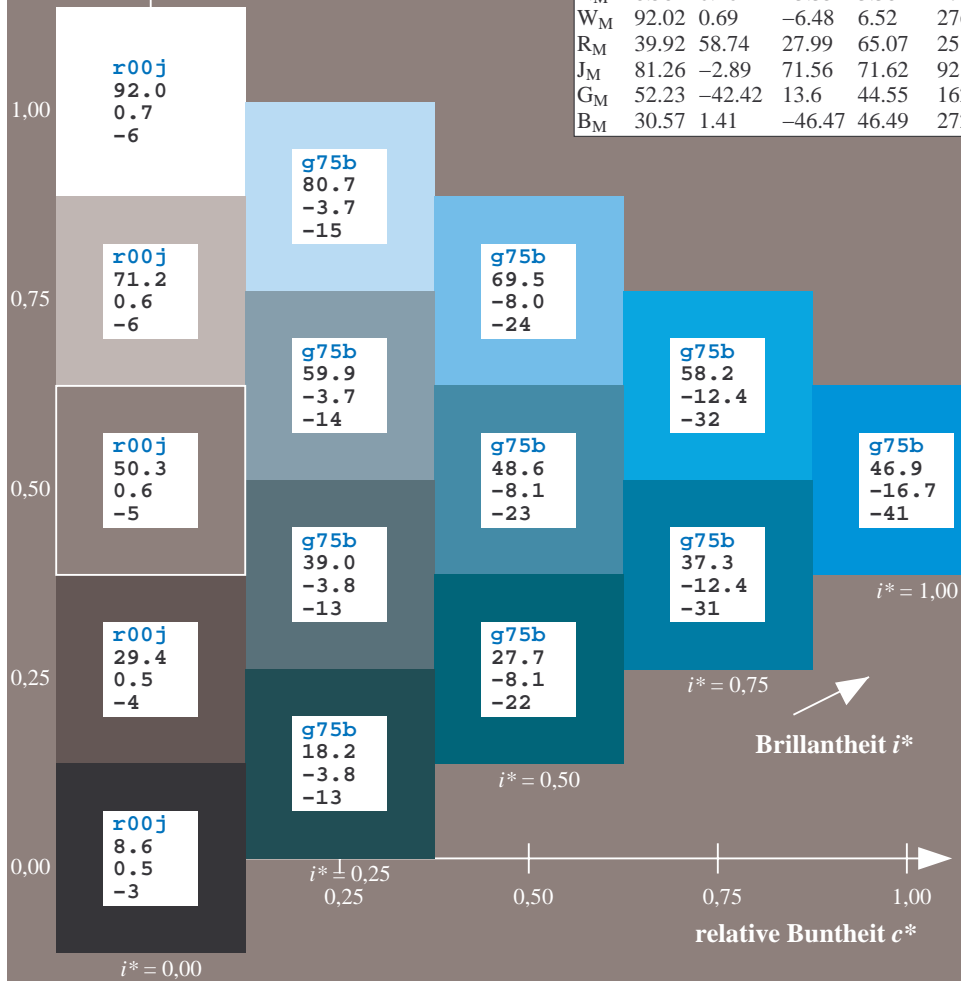
lab*rgb*_{Ma}: 0.0 0.5 1.0

lab*olv*_{Ma}: 0.0 0.8 1.0

Dreiecks-Helligkeit t^*

FRS09_92a; adaptierte CIELAB-Daten

u^*_e	$L^*=L^*_a$	a^*_a	b^*_a	$C^*_{ab,a}$	$h^*_{ab,a}$	u^*_d
r00j	35.47	63.32	30.17	70.15	25	m81o
r25j	39.12	54.56	49.45	73.64	42	o10y
r50j	50.64	39.15	64.89	75.79	59	o40y
r75j	64.01	21.26	82.83	85.52	76	o69y
j00g	83.18	-4.38	108.53	108.62	92	o98y
j25g	66.73	-29.89	83.06	88.28	110	y34l
j50g	54.03	-48.31	63.49	79.78	127	y69l
j75g	44.73	-60.33	42.64	73.88	145	l03c
g00b	47.59	-49.08	15.74	51.54	162	l23c
g25b	49.97	-39.7	-6.72	40.27	190	l55c
g50b	51.85	-32.33	-24.35	40.48	217	l87c
g75b	46.92	-17.29	-36.02	39.96	244	c20v
b00r	37.91	1.28	-42.35	42.37	272	c53v
b25r	23.81	30.38	-52.26	60.45	300	c87v
b50r	29.52	69.06	-42.14	80.9	329	v68m
b75r	36.48	71.47	-3.69	71.57	357	m34o



%Umfang
 $u^*_{rel} = 109$
%Regularität
 $g^*_{H,rel} = 31$
 $g^*_{C,rel} = 40$

LAB*LAB*

Brillantheit i^*

Ein und Ausgabe: Farbmatisches Drucker-Reflektiv-System FRS09_92a für relativen CIELAB-Bunton $h^* = lab^*h^* = h_{ab}/360 = 0.755$

$u^*_e = b00r$
 LAB^*LAB^*

Daten für jede Farbe:

lab^*ch^* und lab^*icu^*

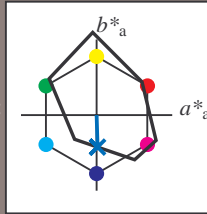
Buntontexte:

$u^*_e = b00r$ $u^*_d = c53v$

Kontrastreduzierungsfaktor:

$c_R = 1.0$

Dreiecks-Helligkeit t^*



FRS09_92; CIELAB-Daten

	u^*_e	$L^*=L^*$	a^*	b^*	C^*_{ab}	h^*_{ab}
O _M	35.06	60.53	39.66	72.37	33	
Y _M	83.77	-4.5	103.15	103.25	92	
L _M	44.13	-62.11	43.56	75.86	145	
C _M	52.66	-28.56	-36.99	46.73	232	
V _M	14.15	50.78	-62.6	80.61	309	
M _M	37.37	79.18	-37.93	87.8	334	
N _M	8.58	0.46	-3.35	3.38	278	
W _M	92.02	0.69	-6.48	6.52	276	
R _M	39.92	58.74	27.99	65.07	25	
J _M	81.26	-2.89	71.56	71.62	92	
G _M	52.23	-42.42	13.6	44.55	162	
B _M	30.57	1.41	-46.47	46.49	272	

Daten für Maximalfarbe (Ma):

$LAB^*LAB^*_{Ma}: 38 \ 1 \ -42$

$LAB^*LCH^*_{Ma}: 38 \ 42 \ 271$

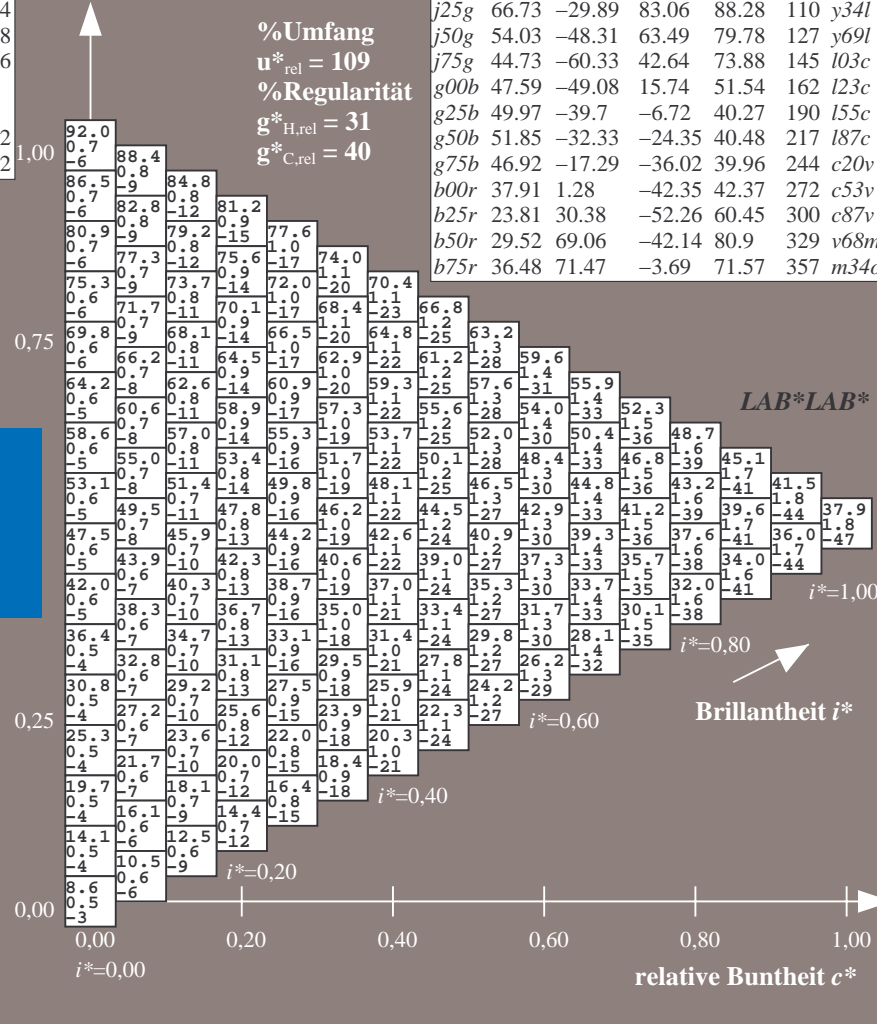
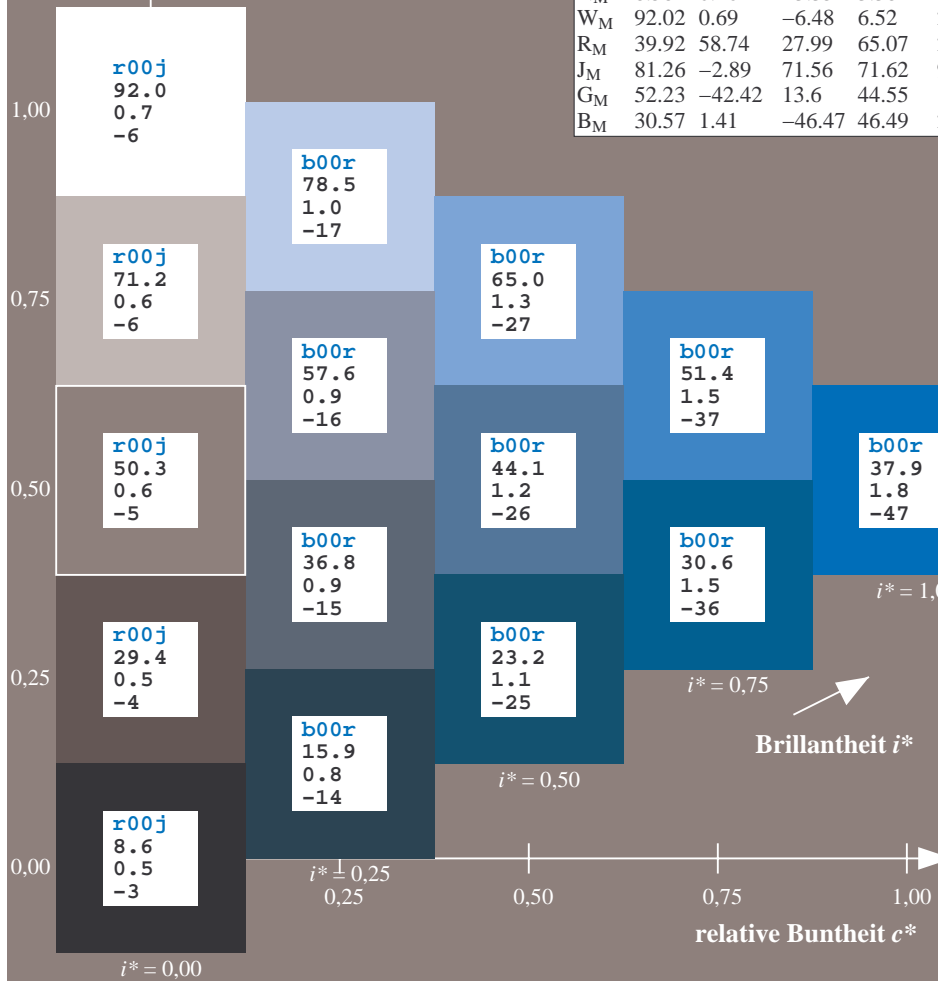
$lab^*rgb^*_{Ma}: 0.0 \ 0.0 \ 1.0$

$lab^*olv^*_{Ma}: 0.0 \ 0.47 \ 1.0$

Dreiecks-Helligkeit t^*

FRS09_92a; adaptierte CIELAB-Daten

	u^*_e	$L^*=L^*_a$	a^*_a	b^*_a	$C^*_{ab,a}$	$h^*_{ab,a}$	u^*_d
r00j	35.47	63.32	30.17	70.15	25	m81o	
r25j	39.12	54.56	49.45	73.64	42	o10y	
r50j	50.64	39.15	64.89	75.79	59	o40y	
r75j	64.01	21.26	82.83	85.52	76	o69y	
j00g	83.18	-4.38	108.53	108.62	92	o98y	
j25g	66.73	-29.89	83.06	88.28	110	y34l	
j50g	54.03	-48.31	63.49	79.78	127	y69l	
j75g	44.73	-60.33	42.64	73.88	145	l03c	
g00b	47.59	-49.08	15.74	51.54	162	l23c	
g25b	49.97	-39.7	-6.72	40.27	190	l55c	
g50b	51.85	-32.33	-24.35	40.48	217	l87c	
g75b	46.92	-17.29	-36.02	39.96	244	c20v	
b00r	37.91	1.28	-42.35	42.37	272	c53v	
b25r	23.81	30.38	-52.26	60.45	300	c87v	
b50r	29.52	69.06	-42.14	80.9	329	v68m	
b75r	36.48	71.47	-3.69	71.57	357	m34o	



%Umfang
 $u^*_{rel} = 109$
%Regularität
 $g^*_{H,rel} = 31$
 $g^*_{C,rel} = 40$

LAB^*LAB^*

Brillantheit i^*

Ein und Ausgabe: Farbmatisches Drucker-Reflektiv-System FRS09_92a für relativen CIELAB-Bunton $h^* = lab^*h^* = h_{ab}/360 = 0.834$

$u^*_e = b25r$
 LAB^*LAB^*

Daten für jede Farbe:

lab^*ch^* und lab^*icu^*

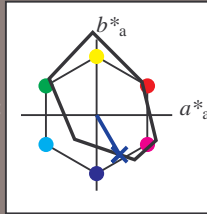
Buntontexte:

$u^*_e = b25r$ $u^*_d = c87v$

Kontrastreduzierungsfaktor:

$c_R = 1.0$

Dreiecks-Helligkeit t^*



FRS09_92; CIELAB-Daten

u^*_e	$L^*=L^*$	a^*	b^*	C^*_{ab}	h^*_{ab}
O _M	35.06	60.53	39.66	72.37	33
Y _M	83.77	-4.5	103.15	103.25	92
L _M	44.13	-62.11	43.56	75.86	145
C _M	52.66	-28.56	-36.99	46.73	232
V _M	14.15	50.78	-62.6	80.61	309
M _M	37.37	79.18	-37.93	87.8	334
N _M	8.58	0.46	-3.35	3.38	278
W _M	92.02	0.69	-6.48	6.52	276
R _M	39.92	58.74	27.99	65.07	25
J _M	81.26	-2.89	71.56	71.62	92
G _M	52.23	-42.42	13.6	44.55	162
B _M	30.57	1.41	-46.47	46.49	272

Daten für Maximalfarbe (Ma):

$LAB^*LAB^*_{Ma}: 24 \ 30 \ -52$

$LAB^*LCH^*_{Ma}: 24 \ 60 \ 300$

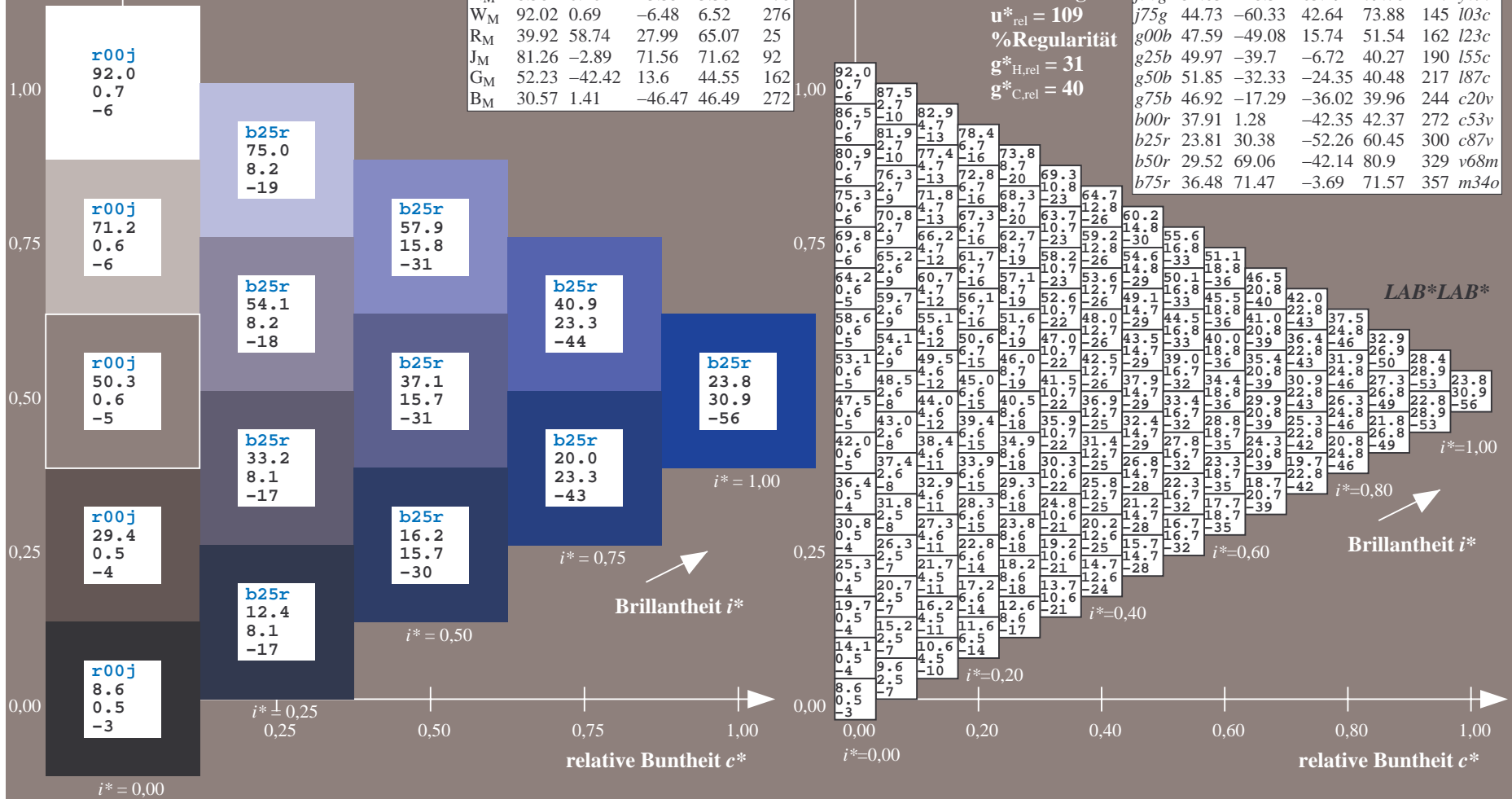
$lab^*rgb^*_{Ma}: 0.5 \ 0.0 \ 1.0$

$lab^*olv^*_{Ma}: 0.0 \ 0.12 \ 1.0$

Dreiecks-Helligkeit t^*

FRS09_92a; adaptierte CIELAB-Daten

u^*_e	$L^*=L^*_a$	a^*_a	b^*_a	$C^*_{ab,a}$	$h^*_{ab,a}$	u^*_d
r00j	35.47	63.32	30.17	70.15	25	m81o
r25j	39.12	54.56	49.45	73.64	42	o10y
r50j	50.64	39.15	64.89	75.79	59	o40y
r75j	64.01	21.26	82.83	85.52	76	o69y
j00g	83.18	-4.38	108.53	108.62	92	o98y
j25g	66.73	-29.89	83.06	88.28	110	y34l
j50g	54.03	-48.31	63.49	79.78	127	y69l
j75g	44.73	-60.33	42.64	73.88	145	i03c
g00b	47.59	-49.08	15.74	51.54	162	i23c
g25b	49.97	-39.7	-6.72	40.27	190	i55c
g50b	51.85	-32.33	-24.35	40.48	217	i87c
g75b	46.92	-17.29	-36.02	39.96	244	c20v
b00r	37.91	1.28	-42.35	42.37	272	c53v
b25r	23.81	30.38	-52.26	60.45	300	c87v
b50r	29.52	69.06	-42.14	80.9	329	v68m
b75r	36.48	71.47	-3.69	71.57	357	m34o



Ein und Ausgabe: Farbmatisches Drucker-Reflektiv-System FRS09_92a für relativen CIELAB-Bunton $h^* = lab^*h^* = h_{ab}/360 = 0.913$

$u^*_e = b50r$
 LAB^*LAB^*

Daten für jede Farbe:

lab^*ch^* und lab^*icu^*

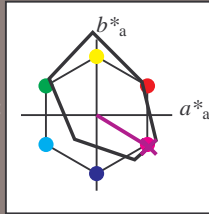
Buntontexte:

$u^*_e = b50r$ $u^*_d = v68m$

Kontrastreduzierungsfaktor:

$c_R = 1.0$

Dreiecks-Helligkeit t^*



FRS09_92; CIELAB-Daten

	u^*_e	$L^*=L^*$	a^*	b^*	C^*_{ab}	h^*_{ab}
O _M	35.06	60.53	39.66	72.37	33	
Y _M	83.77	-4.5	103.15	103.25	92	
L _M	44.13	-62.11	43.56	75.86	145	
C _M	52.66	-28.56	-36.99	46.73	232	
V _M	14.15	50.78	-62.6	80.61	309	
M _M	37.37	79.18	-37.93	87.8	334	
N _M	8.58	0.46	-3.35	3.38	278	
W _M	92.02	0.69	-6.48	6.52	276	
R _M	39.92	58.74	27.99	65.07	25	
J _M	81.26	-2.89	71.56	71.62	92	
G _M	52.23	-42.42	13.6	44.55	162	
B _M	30.57	1.41	-46.47	46.49	272	

Daten für Maximalfarbe (Ma):

$LAB^*LAB^*_{Ma}: 30\ 69\ -42$

$LAB^*LCH^*_{Ma}: 30\ 81\ 328$

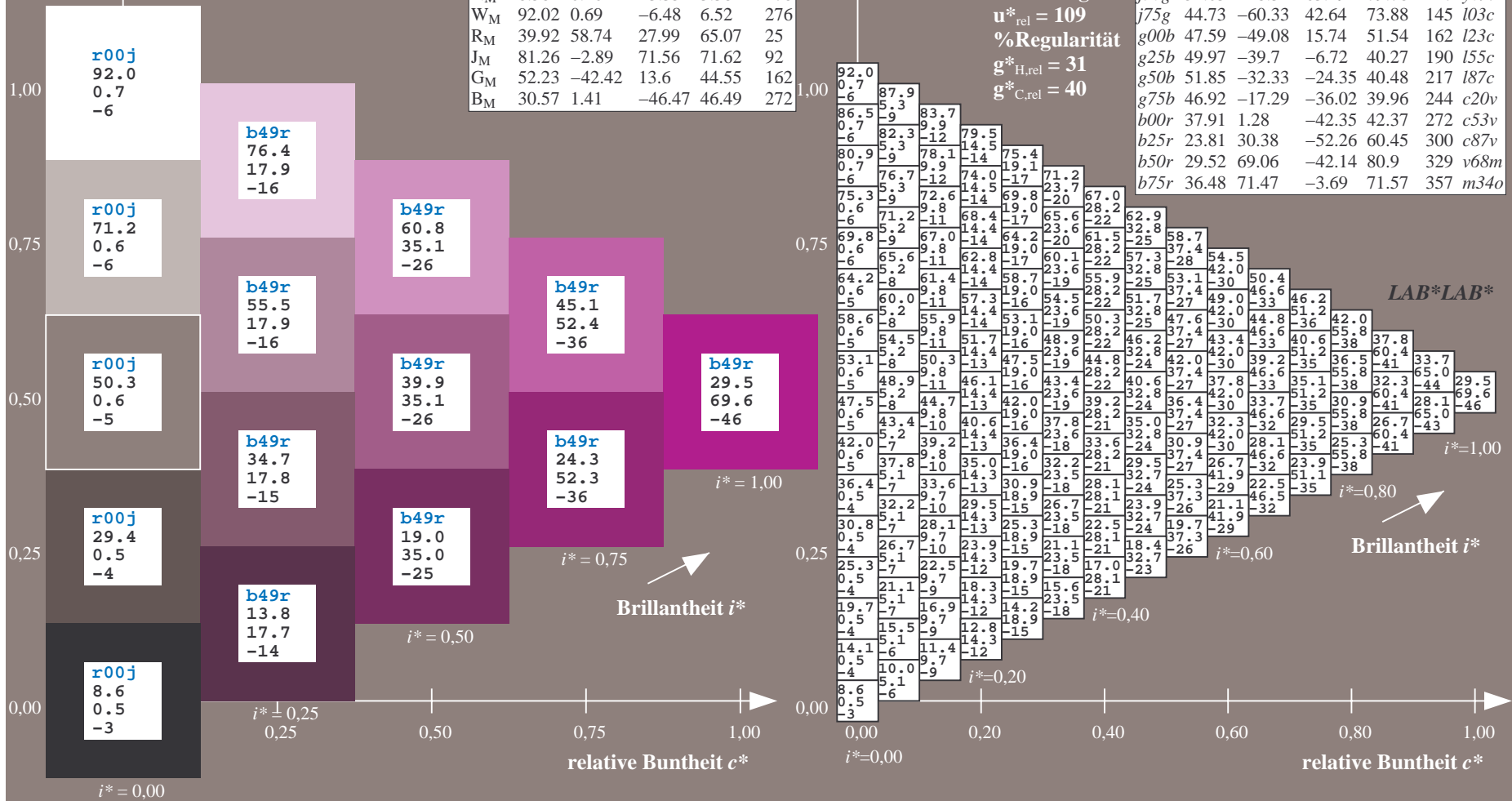
$lab^*rgb^*_{Ma}: 1.0\ 0.0\ 1.0$

$lab^*olv^*_{Ma}: 0.69\ 0.0\ 1.0$

Dreiecks-Helligkeit t^*

FRS09_92a; adaptierte CIELAB-Daten

	u^*_e	$L^*=L^*_a$	a^*_a	b^*_a	$C^*_{ab,a}$	$h^*_{ab,a}$	u^*_d
r00j	35.47	63.32	30.17	70.15	25	m81o	
r25j	39.12	54.56	49.45	73.64	42	o10y	
r50j	50.64	39.15	64.89	75.79	59	o40y	
r75j	64.01	21.26	82.83	85.52	76	o69y	
j00g	83.18	-4.38	108.53	108.62	92	o98y	
j25g	66.73	-29.89	83.06	88.28	110	y34l	
j50g	54.03	-48.31	63.49	79.78	127	y69l	
j75g	44.73	-60.33	42.64	73.88	145	i03c	
g00b	47.59	-49.08	15.74	51.54	162	i23c	
g25b	49.97	-39.7	-6.72	40.27	190	i55c	
g50b	51.85	-32.33	-24.35	40.48	217	i87c	
g75b	46.92	-17.29	-36.02	39.96	244	c20v	
b00r	37.91	1.28	-42.35	42.37	272	c53v	
b25r	23.81	30.38	-52.26	60.45	300	c87v	
b50r	29.52	69.06	-42.14	80.9	329	v68m	
b75r	36.48	71.47	-3.69	71.57	357	m34o	



Ein und Ausgabe: Farbmatisches Drucker-Reflektiv-System FRS09_92a für relativen CIELAB-Bunton $h^* = lab^*h^* = h_{ab}/360 = 0.992$

$u^*_e = b75r$
 LAB^*LAB^*

Daten für jede Farbe:

lab^*tch^* und lab^*icu^*

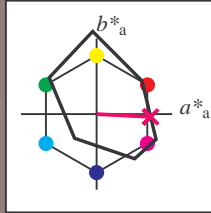
Buntontexte:

$u^*_e = b75r$ $u^*_d = m34o$

Kontrastreduzierungsfaktor:

$c_R = 1.0$

Dreiecks-Helligkeit t^*



FRS09_92; CIELAB-Daten

u^*_e	$L^*=L^*_a$	a^*	b^*	C^*_{ab}	h^*_{ab}
O _M	35.06	60.53	39.66	72.37	33
Y _M	83.77	-4.5	103.15	103.25	92
L _M	44.13	-62.11	43.56	75.86	145
C _M	52.66	-28.56	-36.99	46.73	232
V _M	14.15	50.78	-62.6	80.61	309
M _M	37.37	79.18	-37.93	87.8	334
N _M	8.58	0.46	-3.35	3.38	278
W _M	92.02	0.69	-6.48	6.52	276
R _M	39.92	58.74	27.99	65.07	25
J _M	81.26	-2.89	71.56	71.62	92
G _M	52.23	-42.42	13.6	44.55	162
B _M	30.57	1.41	-46.47	46.49	272

Daten für Maximalfarbe (Ma):

$LAB^*LAB^*_{Ma}: 36\ 71\ -4$

$LAB^*LCH^*_{Ma}: 36\ 72\ 357$

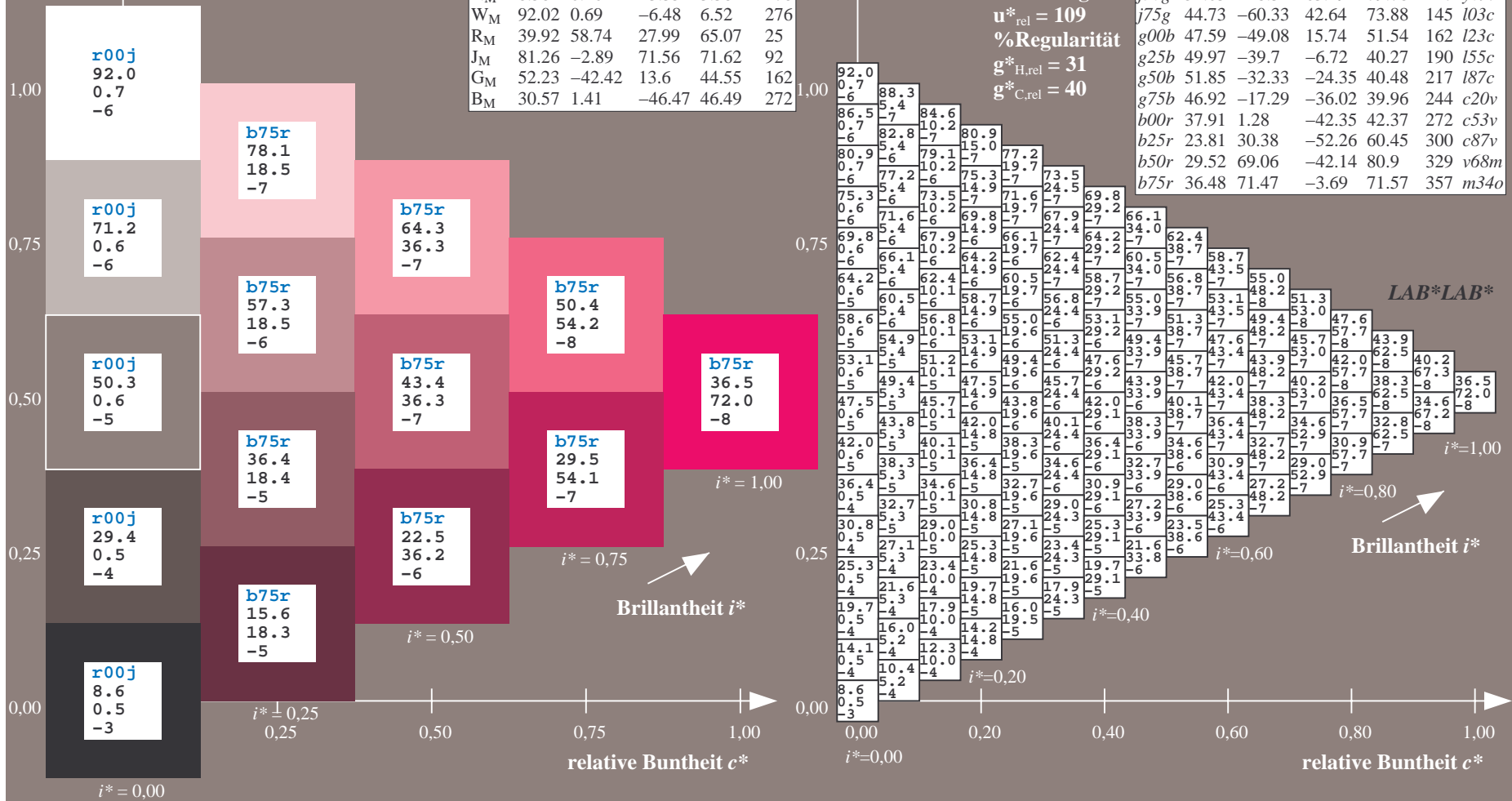
$lab^*rgb^*_{Ma}: 1.0\ 0.0\ 0.5$

$lab^*olv^*_{Ma}: 1.0\ 0.0\ 0.66$

Dreiecks-Helligkeit t^*

FRS09_92a; adaptierte CIELAB-Daten

u^*_e	$L^*=L^*_a$	a^*_a	b^*_a	$C^*_{ab,a}$	$h^*_{ab,a}$	u^*_d
r00j	35.47	63.32	30.17	70.15	25	m81o
r25j	39.12	54.56	49.45	73.64	42	o10y
r50j	50.64	39.15	64.89	75.79	59	o40y
r75j	64.01	21.26	82.83	85.52	76	o69y
j00g	83.18	-4.38	108.53	108.62	92	o98y
j25g	66.73	-29.89	83.06	88.28	110	y34l
j50g	54.03	-48.31	63.49	79.78	127	y69l
j75g	44.73	-60.33	42.64	73.88	145	i03c
g00b	47.59	-49.08	15.74	51.54	162	i23c
g25b	49.97	-39.7	-6.72	40.27	190	i55c
g50b	51.85	-32.33	-24.35	40.48	217	i87c
g75b	46.92	-17.29	-36.02	39.96	244	c20v
b00r	37.91	1.28	-42.35	42.37	272	c53v
b25r	23.81	30.38	-52.26	60.45	300	c87v
b50r	29.52	69.06	-42.14	80.9	329	v68m
b75r	36.48	71.47	-3.69	71.57	357	m34o



Ein und Ausgabe:
 Farbmetrisches Drucker-Reflektiv-System FRS09_92a

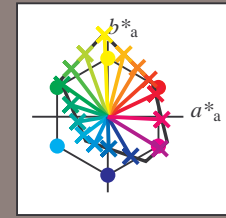
Daten für jede Farbe:
 u^*_e und Nummer $Nr. = 00 \dots 15$

Elementar-Bunttextext:
 $u^*_e = 16$ Bunttoene $r00j, r25j, \dots, b75r$

Kontrastreduzierungsfaktor:
 $c_R = 1.0$

FRS09_92a; adaptierte CIELAB-Daten

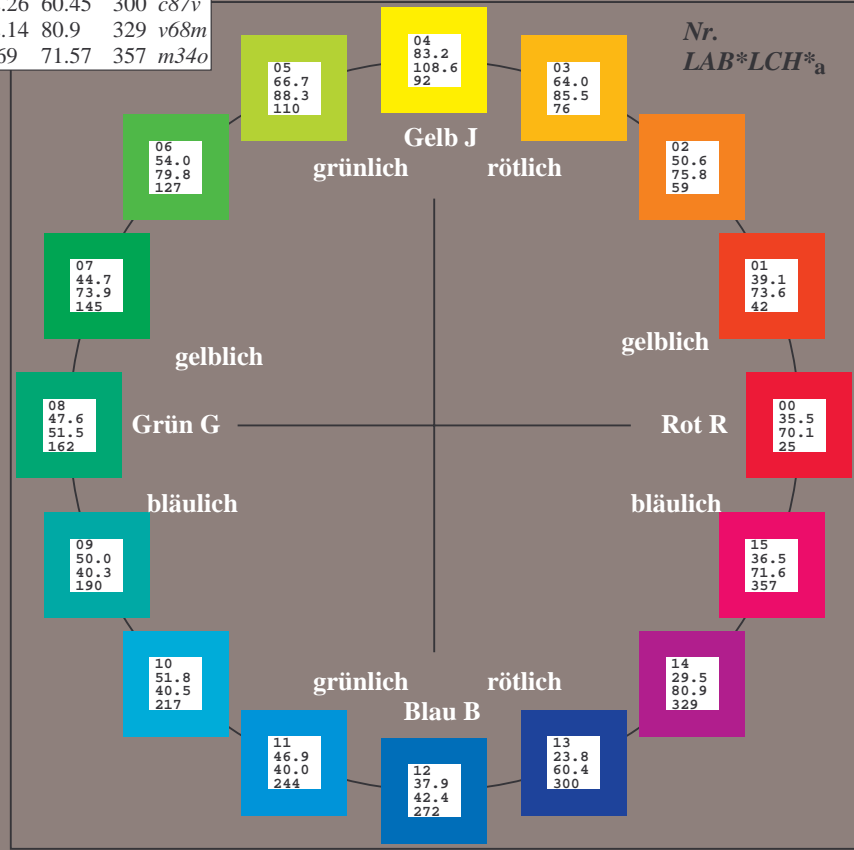
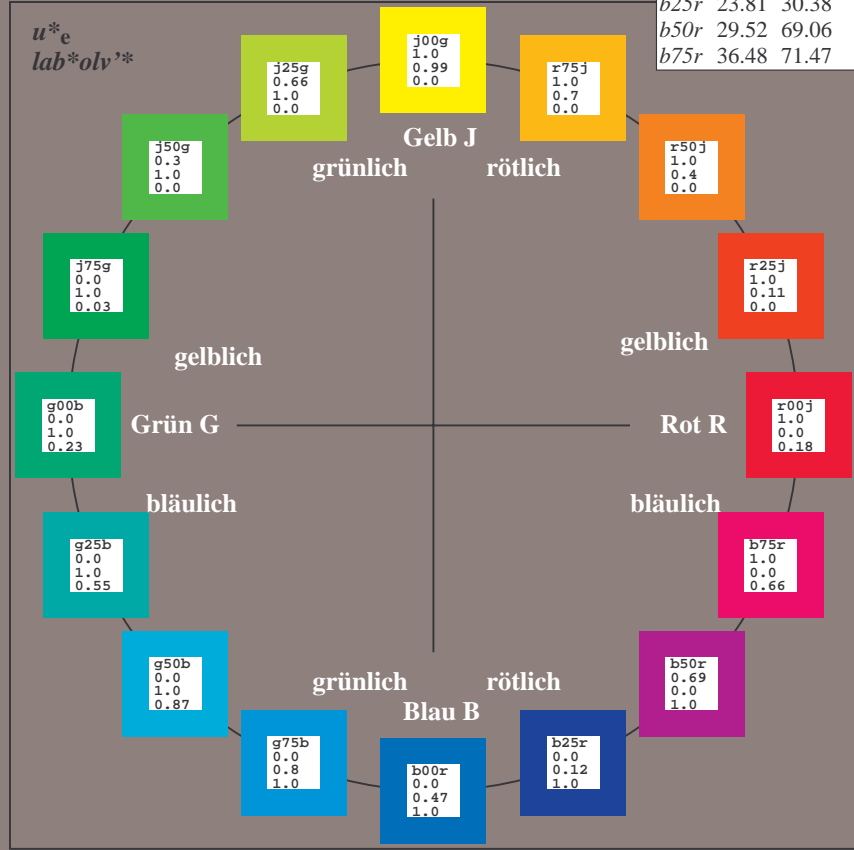
u^*_e	$L^*=L^*_a$	a^*_a	b^*_a	$C^*_{ab,a}$	$h^*_{ab,a}$	u^*_d
r00j	35.47	63.32	30.17	70.15	25	m81o
r25j	39.12	54.56	49.45	73.64	42	o10y
r50j	50.64	39.15	64.89	75.79	59	o40y
r75j	64.01	21.26	82.83	85.52	76	o69y
j00g	83.18	-4.38	108.53	108.62	92	o98y
j25g	66.73	-29.89	83.06	88.28	110	y34l
j50g	54.03	-48.31	63.49	79.78	127	y69l
j75g	44.73	-60.33	42.64	73.88	145	l03c
g00b	47.59	-49.08	15.74	51.54	162	l23c
g25b	49.97	-39.7	-6.72	40.27	190	l55c
g50b	51.85	-32.33	-24.35	40.48	217	l87c
g75b	46.92	-17.29	-36.02	39.96	244	c20v
b00r	37.91	1.28	-42.35	42.37	272	c53v
b25r	23.81	30.38	-52.26	60.45	300	c87v
b50r	29.52	69.06	-42.14	80.9	329	v68m
b75r	36.48	71.47	-3.69	71.57	357	m34o



%Umfang
 $u^*_{rel} = 109$
 %Regularität
 $g^*_{H,rel} = 31$
 $g^*_{C,rel} = 40$

FRS09_92a; CIELAB-Daten

Name	$L^*=L^*$	a^*	b^*	C^*_{ab}	h^*_{ab}
O _M	35.06	60.53	39.66	72.37	33
Y _M	83.77	-4.5	103.15	103.25	92
L _M	44.13	-62.11	43.56	75.86	145
C _M	52.66	-28.56	-36.99	46.73	232
V _M	14.15	50.78	-62.6	80.61	309
M _M	37.37	79.18	-37.93	87.8	334
N _M	8.58	0.46	-3.35	3.38	278
W _M	92.02	0.69	-6.48	6.52	276
R _{CIE}	39.92	58.74	27.99	65.07	25
J _{CIE}	81.26	-2.89	71.56	71.62	92
G _{CIE}	52.23	-42.42	13.6	44.55	162
B _{CIE}	30.57	1.41	-46.47	46.49	272



Ein und Ausgabe: Farbmatisches Drucker-Reflektiv-System FRS09_92a für relativen CIELAB-Bunton $h^* = lab^*h^* = h_{ab}/360 = 0.071$

$u^*_e = r00j$
 lab^*olv^*

Daten für jede Farbe:

lab^*tch^* und lab^*icu^*

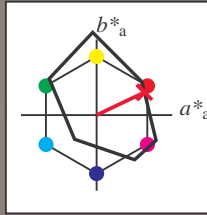
Buntontexte:

$u^*_e = r00j$ $u^*_d = m81o$

Kontrastreduzierungsfaktor:

$c_R = 1.0$

Dreiecks-Helligkeit t^*



FRS09_92a; CIELAB-Daten

u^*_e	$L^*=L^*_a$	a^*	b^*	C^*_{ab}	h^*_{ab}
O _M	35.06	60.53	39.66	72.37	33
Y _M	83.77	-4.5	103.15	103.25	92
L _M	44.13	-62.11	43.56	75.86	145
C _M	52.66	-28.56	-36.99	46.73	232
V _M	14.15	50.78	-62.6	80.61	309
M _M	37.37	79.18	-37.93	87.8	334
N _M	8.58	0.46	-3.35	3.38	278
W _M	92.02	0.69	-6.48	6.52	276
R _M	39.92	58.74	27.99	65.07	25
J _M	81.26	-2.89	71.56	71.62	92
G _M	52.23	-42.42	13.6	44.55	162
B _M	30.57	1.41	-46.47	46.49	272

Daten für Maximalfarbe (Ma):

$LAB^*LAB^*_Ma: 35\ 63\ 30$

$LAB^*LCH^*_Ma: 35\ 70\ 25$

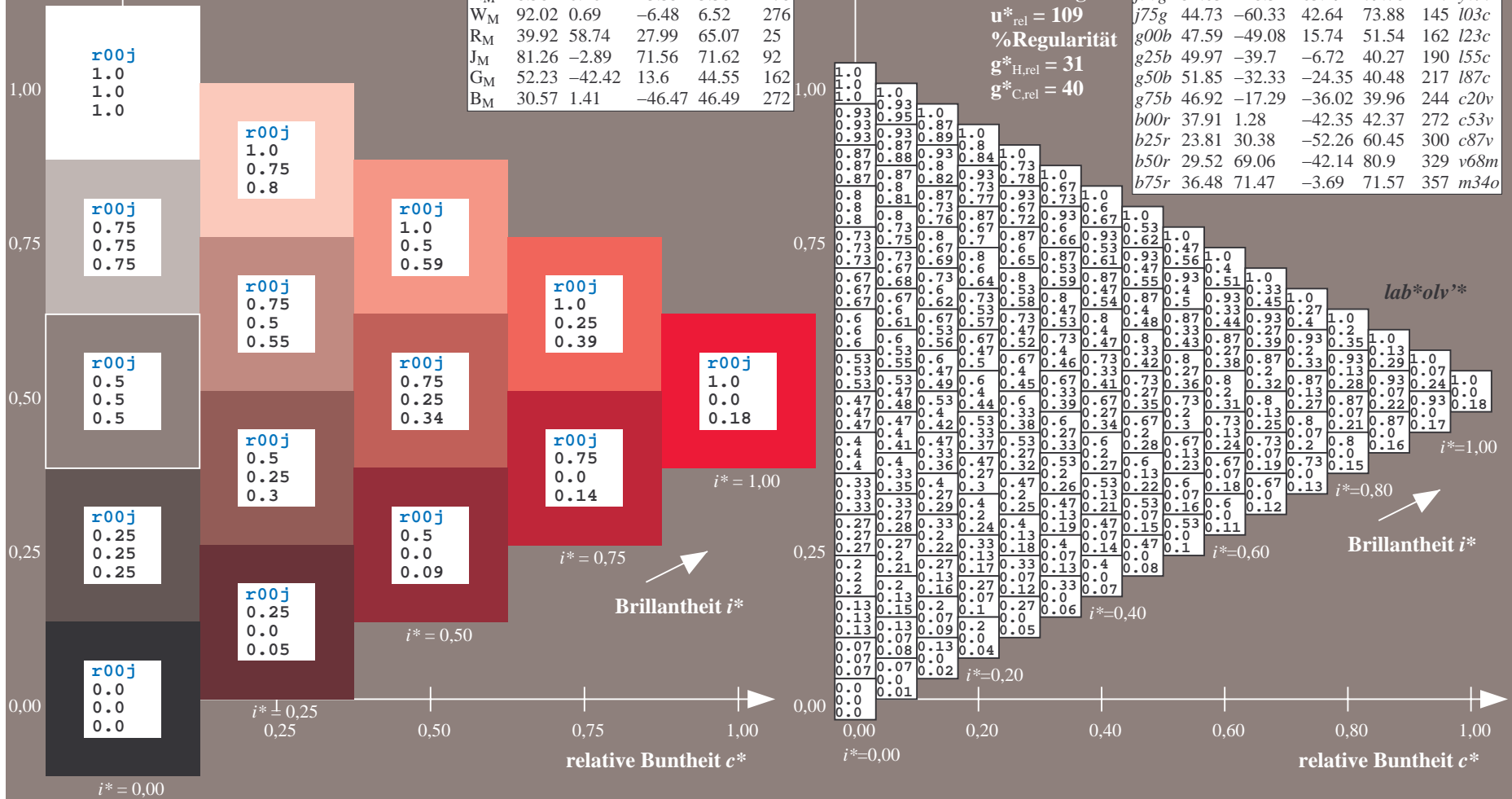
$lab^*rgb^*_Ma: 1.0\ 0.0\ 0.0$

$lab^*olv^*_Ma: 1.0\ 0.0\ 0.18$

Dreiecks-Helligkeit t^*

FRS09_92a; adaptierte CIELAB-Daten

u^*_e	$L^*=L^*_a$	a^*_a	b^*_a	$C^*_{ab,a}$	$h^*_{ab,a}$	u^*_d
r00j	35.47	63.32	30.17	70.15	25	m81o
r25j	39.12	54.56	49.45	73.64	42	o10y
r50j	50.64	39.15	64.89	75.79	59	o40y
r75j	64.01	21.26	82.83	85.52	76	o69y
j00g	83.18	-4.38	108.53	108.62	92	o98y
j25g	66.73	-29.89	83.06	88.28	110	y34l
j50g	54.03	-48.31	63.49	79.78	127	y69l
j75g	44.73	-60.33	42.64	73.88	145	103c
g00b	47.59	-49.08	15.74	51.54	162	i23c
g25b	49.97	-39.7	-6.72	40.27	190	i55c
g50b	51.85	-32.33	-24.35	40.48	217	i87c
g75b	46.92	-17.29	-36.02	39.96	244	c20v
b00r	37.91	1.28	-42.35	42.37	272	c53v
b25r	23.81	30.38	-52.26	60.45	300	c87v
b50r	29.52	69.06	-42.14	80.9	329	v68m
b75r	36.48	71.47	-3.69	71.57	357	m34o



Ein und Ausgabe: Farbmatisches Drucker-Reflektiv-System FRS09_92a für relativen CIELAB-Bunton $h^* = lab^*h^* = h_{ab}/360 = 0.117$

$u^*_e = r25j$
 lab^*olv^*

Daten für jede Farbe:

lab^*tch^* und lab^*icu^*

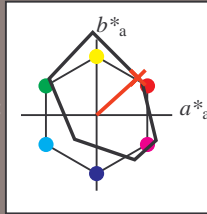
Buntontexte:

$u^*_e = r25j$ $u^*_d = o10y$

Kontrastreduzierungsfaktor:

$c_R = 1.0$

Dreiecks-Helligkeit t^*



FRS09_92a; CIELAB-Daten

	u^*_e	$L^*=L^*_a$	a^*	b^*	C^*_{ab}	h^*_{ab}
O _M	35.06	60.53	39.66	72.37	33	
Y _M	83.77	-4.5	103.15	103.25	92	
L _M	44.13	-62.11	43.56	75.86	145	
C _M	52.66	-28.56	-36.99	46.73	232	
V _M	14.15	50.78	-62.6	80.61	309	
M _M	37.37	79.18	-37.93	87.8	334	
N _M	8.58	0.46	-3.35	3.38	278	
W _M	92.02	0.69	-6.48	6.52	276	
R _M	39.92	58.74	27.99	65.07	25	
J _M	81.26	-2.89	71.56	71.62	92	
G _M	52.23	-42.42	13.6	44.55	162	
B _M	30.57	1.41	-46.47	46.49	272	

Daten für Maximalfarbe (Ma):

$LAB^*LAB^*_{Ma}$: 39 55 49

$LAB^*LCH^*_{Ma}$: 39 74 42

$lab^*rgb^*_{Ma}$: 1.0 0.25 0.0

$lab^*olv^*_{Ma}$: 1.0 0.11 0.0

Dreiecks-Helligkeit t^*

%Umfang

$u^*_{rel} = 109$

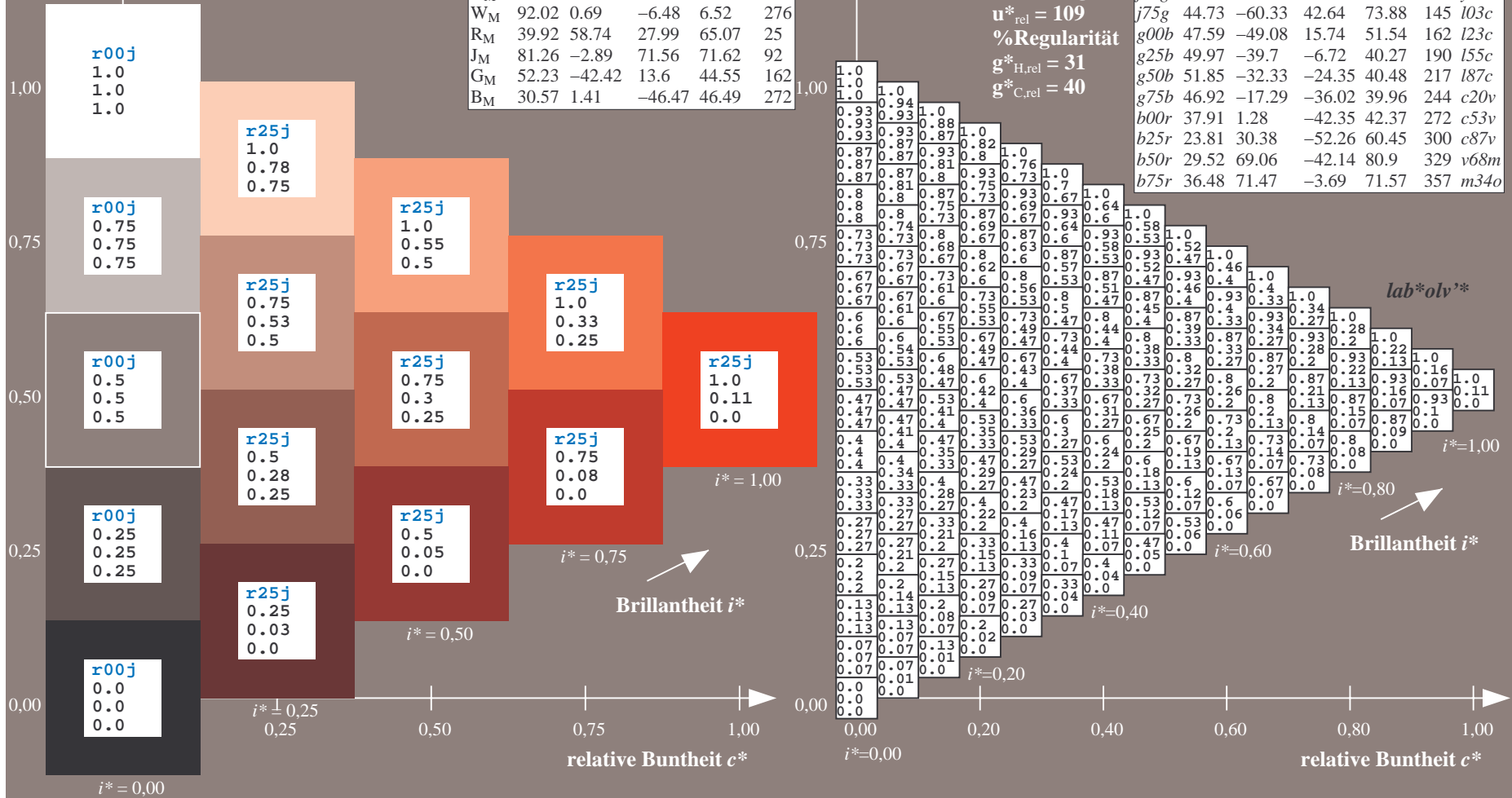
%Regularität

$g^*_{H,rel} = 31$

$g^*_{C,rel} = 40$

FRS09_92a; adaptierte CIELAB-Daten

	u^*_e	$L^*=L^*_a$	a^*_a	b^*_a	$C^*_{ab,a}$	$h^*_{ab,a}$	u^*_d
r00j	35.47	63.32	30.17	70.15	25	m81o	
r25j	39.12	54.56	49.45	73.64	42	o10y	
r50j	50.64	39.15	64.89	75.79	59	o40y	
r75j	64.01	21.26	82.83	85.52	76	o69y	
j00g	83.18	-4.38	108.53	108.62	92	o98y	
j25g	66.73	-29.89	83.06	88.28	110	y34l	
j50g	54.03	-48.31	63.49	79.78	127	y69l	
j75g	44.73	-60.33	42.64	73.88	145	i03c	
g00b	47.59	-49.08	15.74	51.54	162	l23c	
g25b	49.97	-39.7	-6.72	40.27	190	i55c	
g50b	51.85	-32.33	-24.35	40.48	217	i87c	
g75b	46.92	-17.29	-36.02	39.96	244	c20v	
b00r	37.91	1.28	-42.35	42.37	272	c53v	
b25r	23.81	30.38	-52.26	60.45	300	c87v	
b50r	29.52	69.06	-42.14	80.9	329	v68m	
b75r	36.48	71.47	-3.69	71.57	357	m34o	



Ein und Ausgabe: Farbmatisches Drucker-Reflektiv-System FRS09_92a für relativen CIELAB-Bunton $h^* = lab^*h^* = h_{ab}/360 = 0.164$

$u^*_e = r50j$
 lab^*olv^*

Daten für jede Farbe:

lab^*tch^* und lab^*icu^*

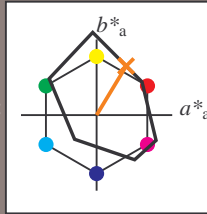
Buntontexte:

$u^*_e = r50j$ $u^*_d = o40y$

Kontrastreduzierungsfaktor:

$c_R = 1.0$

Dreiecks-Helligkeit t^*



FRS09_92a; CIELAB-Daten

	u^*_e	$L^*=L^*_a$	a^*	b^*	C^*_{ab}	h^*_{ab}
O _M	35.06	60.53	39.66	72.37	33	
Y _M	83.77	-4.5	103.15	103.25	92	
L _M	44.13	-62.11	43.56	75.86	145	
C _M	52.66	-28.56	-36.99	46.73	232	
V _M	14.15	50.78	-62.6	80.61	309	
M _M	37.37	79.18	-37.93	87.8	334	
N _M	8.58	0.46	-3.35	3.38	278	
W _M	92.02	0.69	-6.48	6.52	276	
R _M	39.92	58.74	27.99	65.07	25	
J _M	81.26	-2.89	71.56	71.62	92	
G _M	52.23	-42.42	13.6	44.55	162	
B _M	30.57	1.41	-46.47	46.49	272	

Daten für Maximalfarbe (Ma):

$LAB^*LAB^*_Ma: 51\ 39\ 65$

$LAB^*LCH^*_Ma: 51\ 76\ 58$

$lab^*rgb^*_Ma: 1.0\ 0.5\ 0.0$

$lab^*olv^*_Ma: 1.0\ 0.4\ 0.0$

Dreiecks-Helligkeit t^*

%Umfang

$u^*_{rel} = 109$

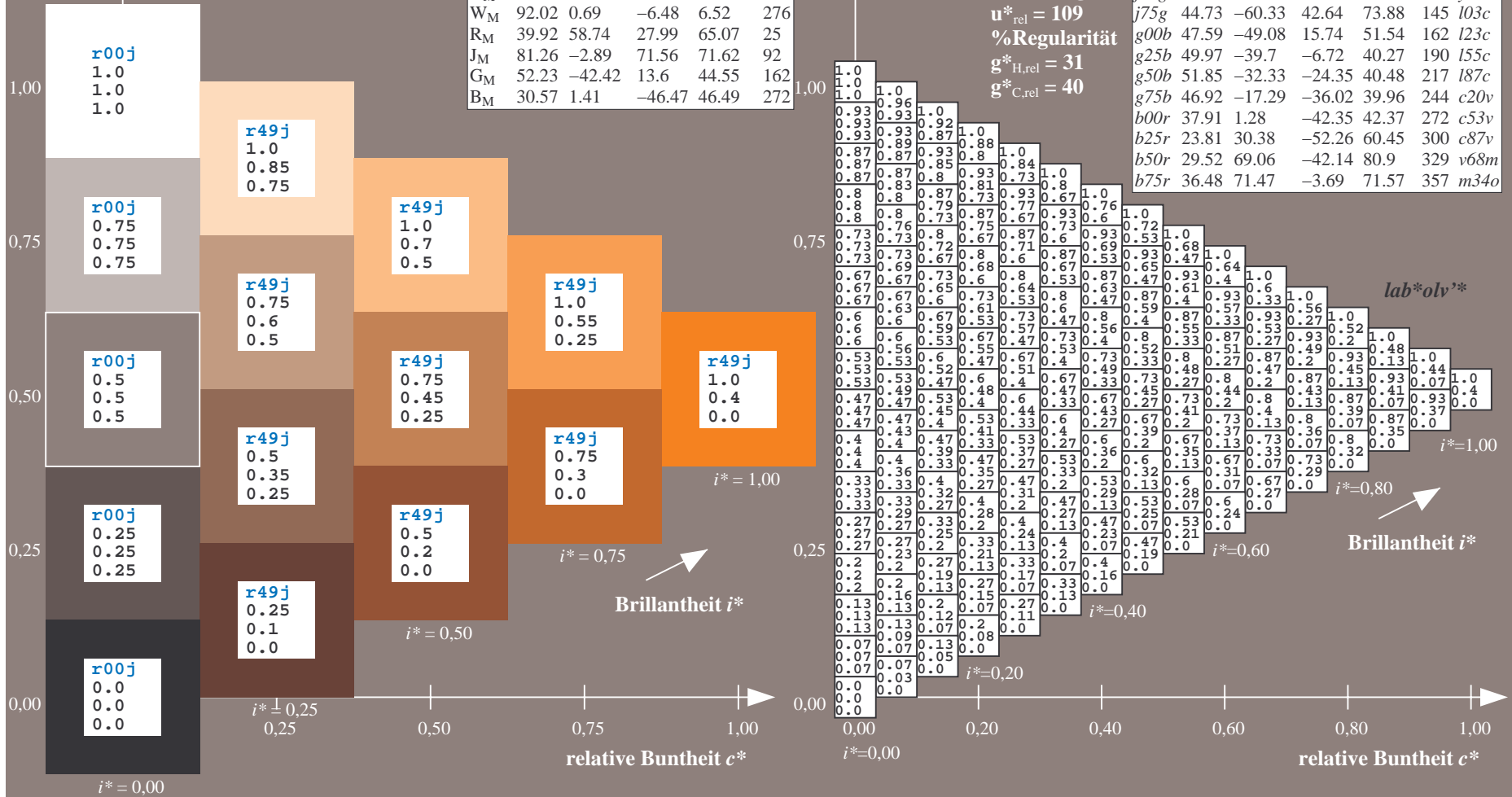
%Regularität

$g^*_{H,rel} = 31$

$g^*_{C,rel} = 40$

FRS09_92a; adaptierte CIELAB-Daten

	u^*_e	$L^*=L^*_a$	a^*_a	b^*_a	$C^*_{ab,a}$	$h^*_{ab,a}$	u^*_d
r00j	35.47	63.32	30.17	70.15	25	m81o	
r25j	39.12	54.56	49.45	73.64	42	o10y	
r50j	50.64	39.15	64.89	75.79	59	o40y	
r75j	64.01	21.26	82.83	85.52	76	o69y	
j00g	83.18	-4.38	108.53	108.62	92	o98y	
j25g	66.73	-29.89	83.06	88.28	110	y34l	
j50g	54.03	-48.31	63.49	79.78	127	y69l	
j75g	44.73	-60.33	42.64	73.88	145	l23c	
g00b	47.59	-49.08	15.74	51.54	162	l03c	
g25b	49.97	-39.7	-6.72	40.27	190	l55c	
g50b	51.85	-32.33	-24.35	40.48	217	l87c	
g75b	46.92	-17.29	-36.02	39.96	244	c20v	
b00r	37.91	1.28	-42.35	42.37	272	c53v	
b25r	23.81	30.38	-52.26	60.45	300	c87v	
b50r	29.52	69.06	-42.14	80.9	329	v68m	
b75r	36.48	71.47	-3.69	71.57	357	m34o	



Ein und Ausgabe: Farbmetrisches Drucker-Reflektiv-System FRS09_92a für relativen CIELAB-Bunton $h^* = lab^*h^* = h_{ab}/360 = 0.21$

$u^*_e = r75j$
 lab^*olv^*

Daten für jede Farbe:

lab^*tch^* und lab^*icu^*

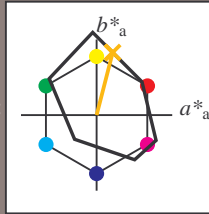
Buntontexte:

$u^*_e = r75j$ $u^*_d = o69y$

Kontrastreduzierungsfaktor:

$c_R = 1.0$

Dreiecks-Helligkeit t^*



FRS09_92a; CIELAB-Daten

	u^*_e	$L^*=L^*$	a^*	b^*	C^*_{ab}	h^*_{ab}
O _M	35.06	60.53	39.66	72.37	33	
Y _M	83.77	-4.5	103.15	103.25	92	
L _M	44.13	-62.11	43.56	75.86	145	
C _M	52.66	-28.56	-36.99	46.73	232	
V _M	14.15	50.78	-62.6	80.61	309	
M _M	37.37	79.18	-37.93	87.8	334	
N _M	8.58	0.46	-3.35	3.38	278	
W _M	92.02	0.69	-6.48	6.52	276	
R _M	39.92	58.74	27.99	65.07	25	
J _M	81.26	-2.89	71.56	71.62	92	
G _M	52.23	-42.42	13.6	44.55	162	
B _M	30.57	1.41	-46.47	46.49	272	

Daten für Maximalfarbe (Ma):

$LAB^*LAB^*_{Ma}$: 64 21 83

$LAB^*LCH^*_{Ma}$: 64 86 75

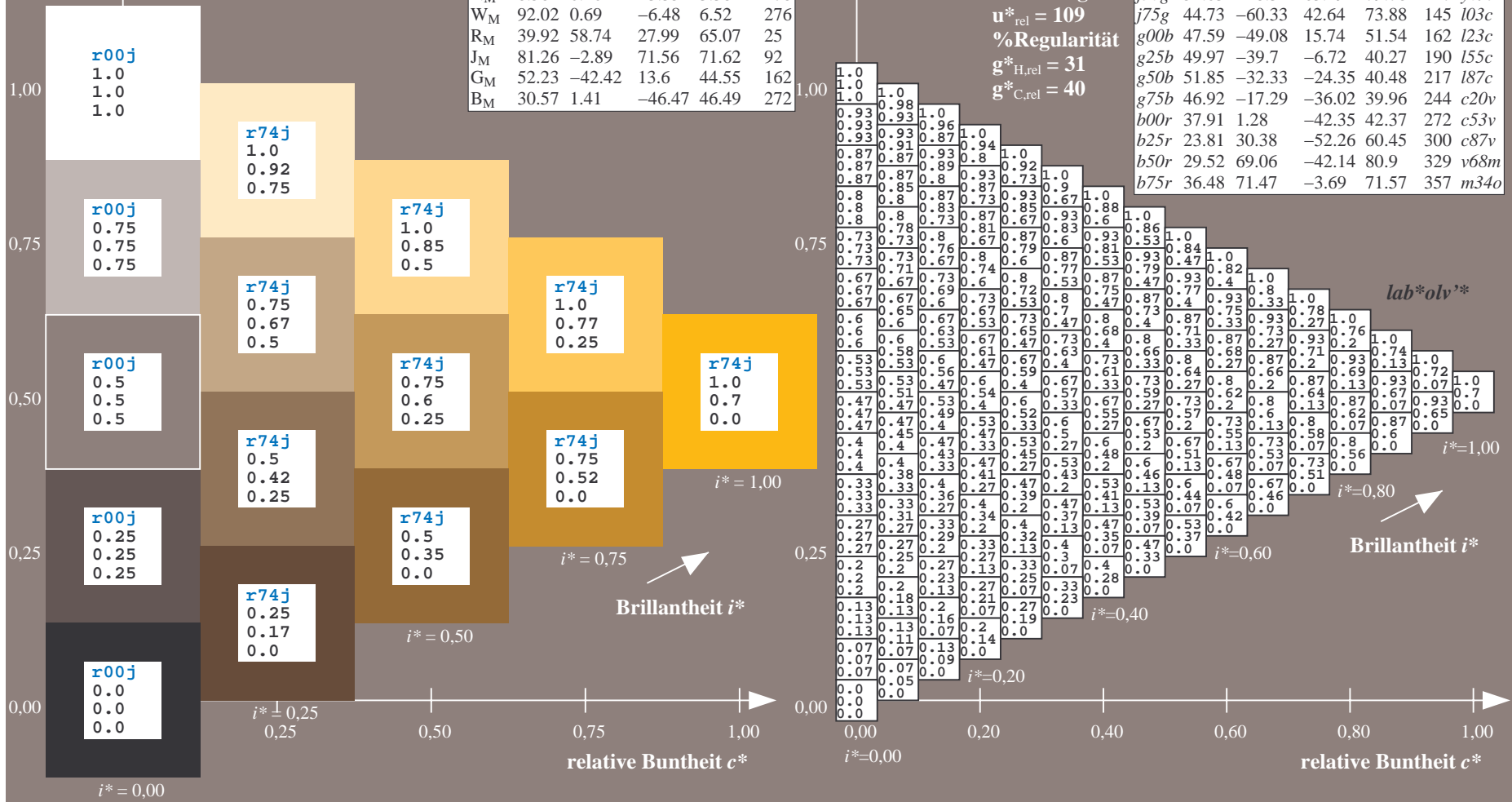
$lab^*rgb^*_{Ma}$: 1.0 0.75 0.0

$lab^*olv^*_{Ma}$: 1.0 0.7 0.0

Dreiecks-Helligkeit t^*

FRS09_92a; adaptierte CIELAB-Daten

	u^*_e	$L^*=L^*_a$	a^*_a	b^*_a	$C^*_{ab,a}$	$h^*_{ab,a}$	u^*_d
r00j	35.47	63.32	30.17	70.15	25	m81o	
r25j	39.12	54.56	49.45	73.64	42	o10y	
r50j	50.64	39.15	64.89	75.79	59	o40y	
r75j	64.01	21.26	82.83	85.52	76	o69y	
j00g	83.18	-4.38	108.53	108.62	92	o98y	
j25g	66.73	-29.89	83.06	88.28	110	y34l	
j50g	54.03	-48.31	63.49	79.78	127	y69l	
j75g	44.73	-60.33	42.64	73.88	145	162 i03c	
g00b	47.59	-49.08	15.74	51.54	162	123c	
g25b	49.97	-39.7	-6.72	40.27	190	i55c	
g50b	51.85	-32.33	-24.35	40.48	217	i87c	
g75b	46.92	-17.29	-36.02	39.96	244	c20v	
b00r	37.91	1.28	-42.35	42.37	272	c53v	
b25r	23.81	30.38	-52.26	60.45	300	c87v	
b50r	29.52	69.06	-42.14	80.9	329	v68m	
b75r	36.48	71.47	-3.69	71.57	357	m34o	



Ein und Ausgabe: Farbmatisches Drucker-Reflektiv-System FRS09_92a für relativen CIELAB-Bunton $h^* = lab^*h^* = h_{ab}/360 = 0.256$

$u^*_e = j00g$

Daten für jede Farbe:

lab^*ch^* und lab^*icu^*

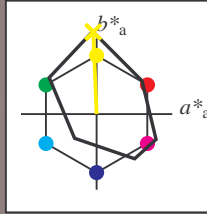
Buntontexte:

$u^*_e = j00g$ $u^*_d = o98y$

Kontrastreduzierungsfaktor:

$c_R = 1.0$

Dreiecks-Helligkeit t^*



FRS09_92a; CIELAB-Daten

u^*_e	$L^*=L^*_a$	a^*_a	b^*_a	C^*_{ab}	h^*_{ab}
O _M	35.06	60.53	39.66	72.37	33
Y _M	83.77	-4.5	103.15	103.25	92
L _M	44.13	-62.11	43.56	75.86	145
C _M	52.66	-28.56	-36.99	46.73	232
V _M	14.15	50.78	-62.6	80.61	309
M _M	37.37	79.18	-37.93	87.8	334
N _M	8.58	0.46	-3.35	3.38	278
W _M	92.02	0.69	-6.48	6.52	276
R _M	39.92	58.74	27.99	65.07	25
J _M	81.26	-2.89	71.56	71.62	92
G _M	52.23	-42.42	13.6	44.55	162
B _M	30.57	1.41	-46.47	46.49	272

Daten für Maximalfarbe (Ma):

$LAB^*LAB^*_Ma: 83 -4 109$

$LAB^*LCH^*_Ma: 83 109 92$

$lab^*rgb^*_Ma: 1.0 1.0 0.0$

$lab^*olv^*_Ma: 1.0 0.99 0.0$

Dreiecks-Helligkeit t^*

%Umfang

$u^*_{rel} = 109$

%Regularität

$g^*_{H,rel} = 31$

$g^*_{C,rel} = 40$

FRS09_92a; adaptierte CIELAB-Daten

u^*_e	$L^*=L^*_a$	a^*_a	b^*_a	$C^*_{ab,a}$	$h^*_{ab,a}$	u^*_d
r00j	35.47	63.32	30.17	70.15	25	m81o
r25j	39.12	54.56	49.45	73.64	42	o10y
r50j	50.64	39.15	64.89	75.79	59	o40y
r75j	64.01	21.26	82.83	85.52	76	o69y
j00g	83.18	-4.38	108.53	108.62	92	o98y
j25g	66.73	-29.89	83.06	88.28	110	y34l
j50g	54.03	-48.31	63.49	79.78	127	y69l
j75g	44.73	-60.33	42.64	73.88	145	103c
g00b	47.59	-49.08	15.74	51.54	162	i23c
g25b	49.97	-39.7	-6.72	40.27	190	i55c
g50b	51.85	-32.33	-24.35	40.48	217	i87c
g75b	46.92	-17.29	-36.02	39.96	244	c20v
b00r	37.91	1.28	-42.35	42.37	272	c53v
b25r	23.81	30.38	-52.26	60.45	300	c87v
b50r	29.52	69.06	-42.14	80.9	329	v68m
b75r	36.48	71.47	-3.69	71.57	357	m34o

lab^*olv^*

Brillantheit i^*

$i^* = 1.00$

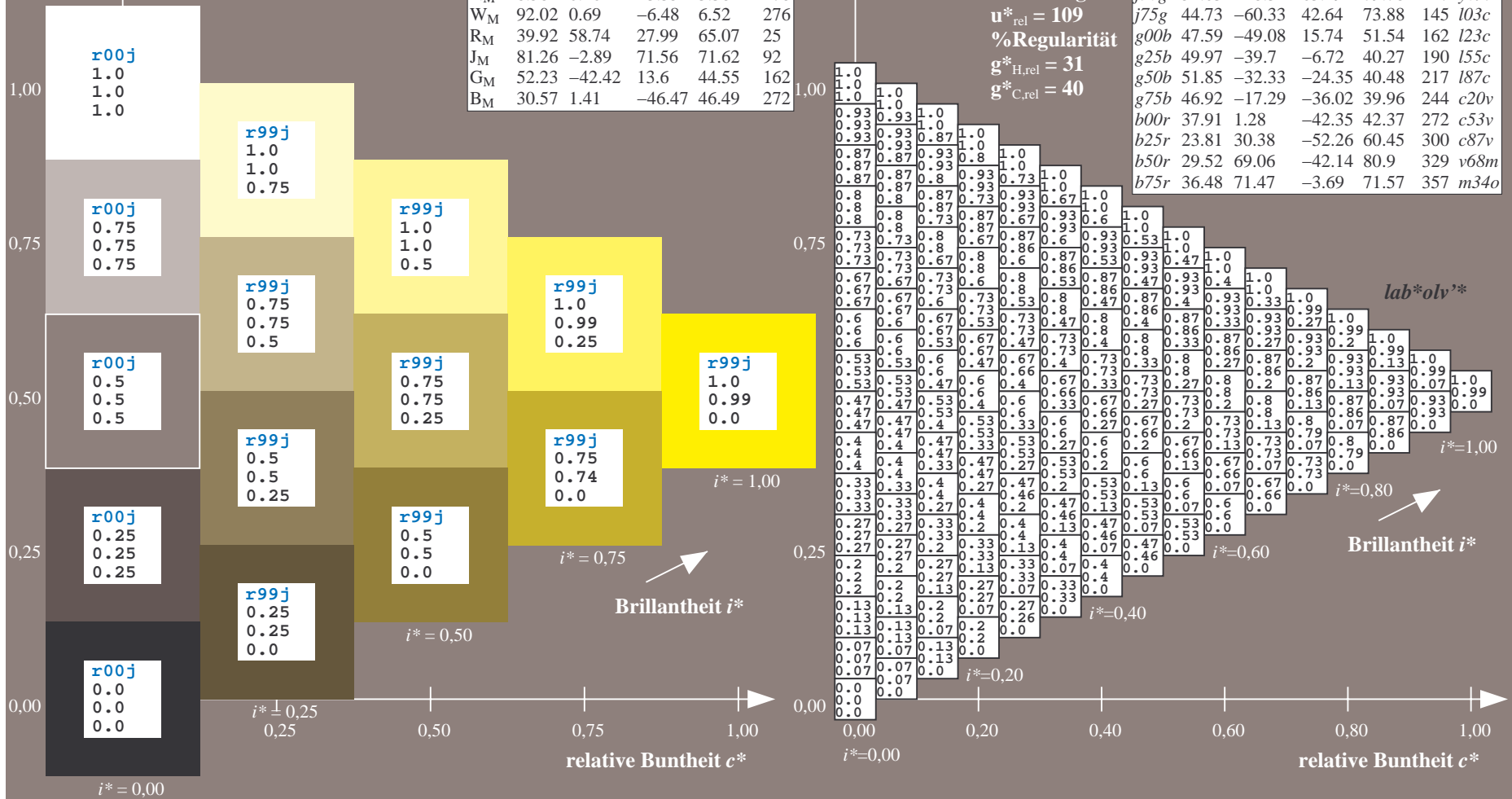
$i^* = 0.80$

$i^* = 0.60$

$i^* = 0.40$

$i^* = 0.20$

$i^* = 0.00$



Ein und Ausgabe: Farbmatisches Drucker-Reflektiv-System FRS09_92a für relativen CIELAB-Bunton $h^* = lab^*h^* = h_{ab}/360 = 0.305$

$u^*_e = j25g$
 lab^*olv^*

Daten für jede Farbe:

lab^*tch^* und lab^*icu^*

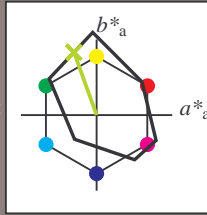
Buntontexte:

$u^*_e = j25g$ $u^*_d = y34l$

Kontrastreduzierungsfaktor:

$c_R = 1.0$

Dreiecks-Helligkeit t^*



FRS09_92a; CIELAB-Daten

u^*_e	$L^*=L^*$	a^*	b^*	C^*_{ab}	h^*_{ab}
O _M	35.06	60.53	39.66	72.37	33
Y _M	83.77	-4.5	103.15	103.25	92
L _M	44.13	-62.11	43.56	75.86	145
C _M	52.66	-28.56	-36.99	46.73	232
V _M	14.15	50.78	-62.6	80.61	309
M _M	37.37	79.18	-37.93	87.8	334
N _M	8.58	0.46	-3.35	3.38	278
W _M	92.02	0.69	-6.48	6.52	276
R _M	39.92	58.74	27.99	65.07	25
J _M	81.26	-2.89	71.56	71.62	92
G _M	52.23	-42.42	13.6	44.55	162
B _M	30.57	1.41	-46.47	46.49	272

Daten für Maximalfarbe (Ma):

$LAB^*LAB^*_{Ma}: 67 -30 83$

$LAB^*LCH^*_{Ma}: 67 88 109$

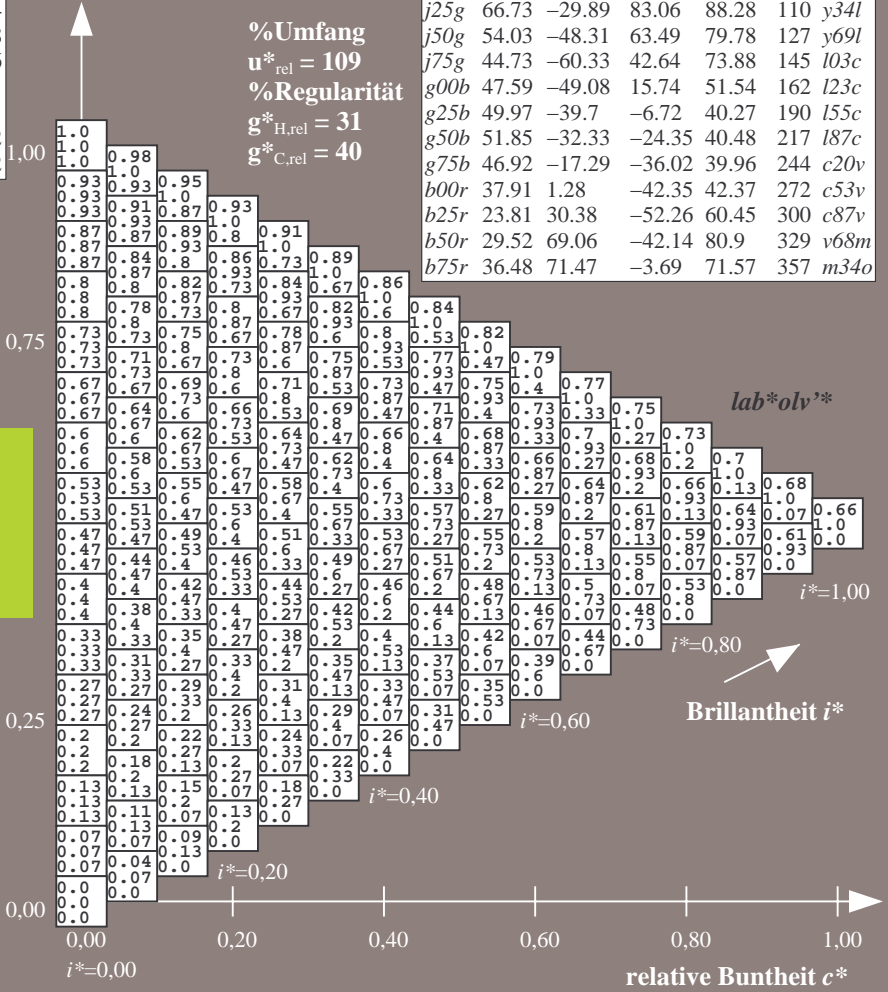
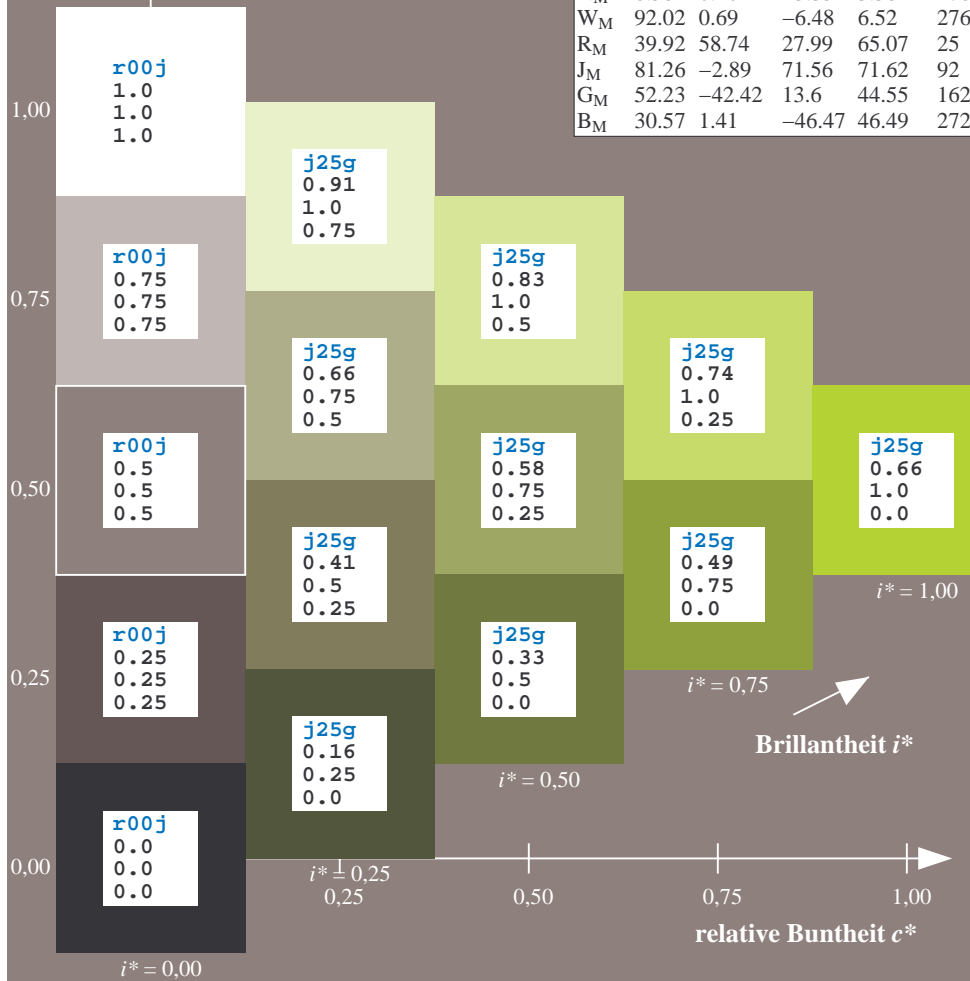
$lab^*rgb^*_{Ma}: 0.75 1.0 0.0$

$lab^*olv^*_{Ma}: 0.66 1.0 0.0$

Dreiecks-Helligkeit t^*

FRS09_92a; adaptierte CIELAB-Daten

u^*_e	$L^*=L^*_a$	a^*_a	b^*_a	$C^*_{ab,a}$	$h^*_{ab,a}$	u^*_d
r00j	35.47	63.32	30.17	70.15	25	m81o
r25j	39.12	54.56	49.45	73.64	42	o10y
r50j	50.64	39.15	64.89	75.79	59	o40y
r75j	64.01	21.26	82.83	85.52	76	o69y
j00g	83.18	-4.38	108.53	108.62	92	o98y
j25g	66.73	-29.89	83.06	88.28	110	y34l
j50g	54.03	-48.31	63.49	79.78	127	y69l
j75g	44.73	-60.33	42.64	73.88	145	i03c
g00b	47.59	-49.08	15.74	51.54	162	i23c
g25b	49.97	-39.7	-6.72	40.27	190	i55c
g50b	51.85	-32.33	-24.35	40.48	217	i87c
g75b	46.92	-17.29	-36.02	39.96	244	c20v
b00r	37.91	1.28	-42.35	42.37	272	c53v
b25r	23.81	30.38	-52.26	60.45	300	c87v
b50r	29.52	69.06	-42.14	80.9	329	v68m
b75r	36.48	71.47	-3.69	71.57	357	m34o



%Umfang
 $u^*_{rel} = 109$
%Regularität
 $g^*_{H,rel} = 31$
 $g^*_{C,rel} = 40$

Ein und Ausgabe: Farbmatisches Drucker-Reflektiv-System FRS09_92a für relativen CIELAB-Bunton $h^* = lab^*h^* = h_{ab}/360 = 0.354$

$u^*_e = j50g$
 lab^*olv^*

Daten für jede Farbe:

lab^*tch^* und lab^*icu^*

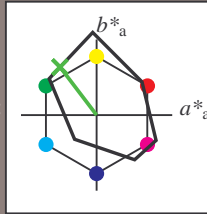
Buntontexte:

$u^*_e = j50g$ $u^*_d = y69l$

Kontrastreduzierungsfaktor:

$c_R = 1.0$

Dreiecks-Helligkeit t^*



FRS09_92a; CIELAB-Daten

u^*_e	$L^*=L^*$	a^*	b^*	C^*_{ab}	h^*_{ab}
O _M	35.06	60.53	39.66	72.37	33
Y _M	83.77	-4.5	103.15	103.25	92
L _M	44.13	-62.11	43.56	75.86	145
C _M	52.66	-28.56	-36.99	46.73	232
V _M	14.15	50.78	-62.6	80.61	309
M _M	37.37	79.18	-37.93	87.8	334
N _M	8.58	0.46	-3.35	3.38	278
W _M	92.02	0.69	-6.48	6.52	276
R _M	39.92	58.74	27.99	65.07	25
J _M	81.26	-2.89	71.56	71.62	92
G _M	52.23	-42.42	13.6	44.55	162
B _M	30.57	1.41	-46.47	46.49	272

Daten für Maximalfarbe (Ma):

$LAB^*LAB^*_{Ma}: 54 -48 63$

$LAB^*LCH^*_{Ma}: 54 80 127$

$lab^*rgb^*_{Ma}: 0.5 1.0 0.0$

$lab^*olv^*_{Ma}: 0.3 1.0 0.0$

Dreiecks-Helligkeit t^*

%Umfang

$u^*_{rel} = 109$

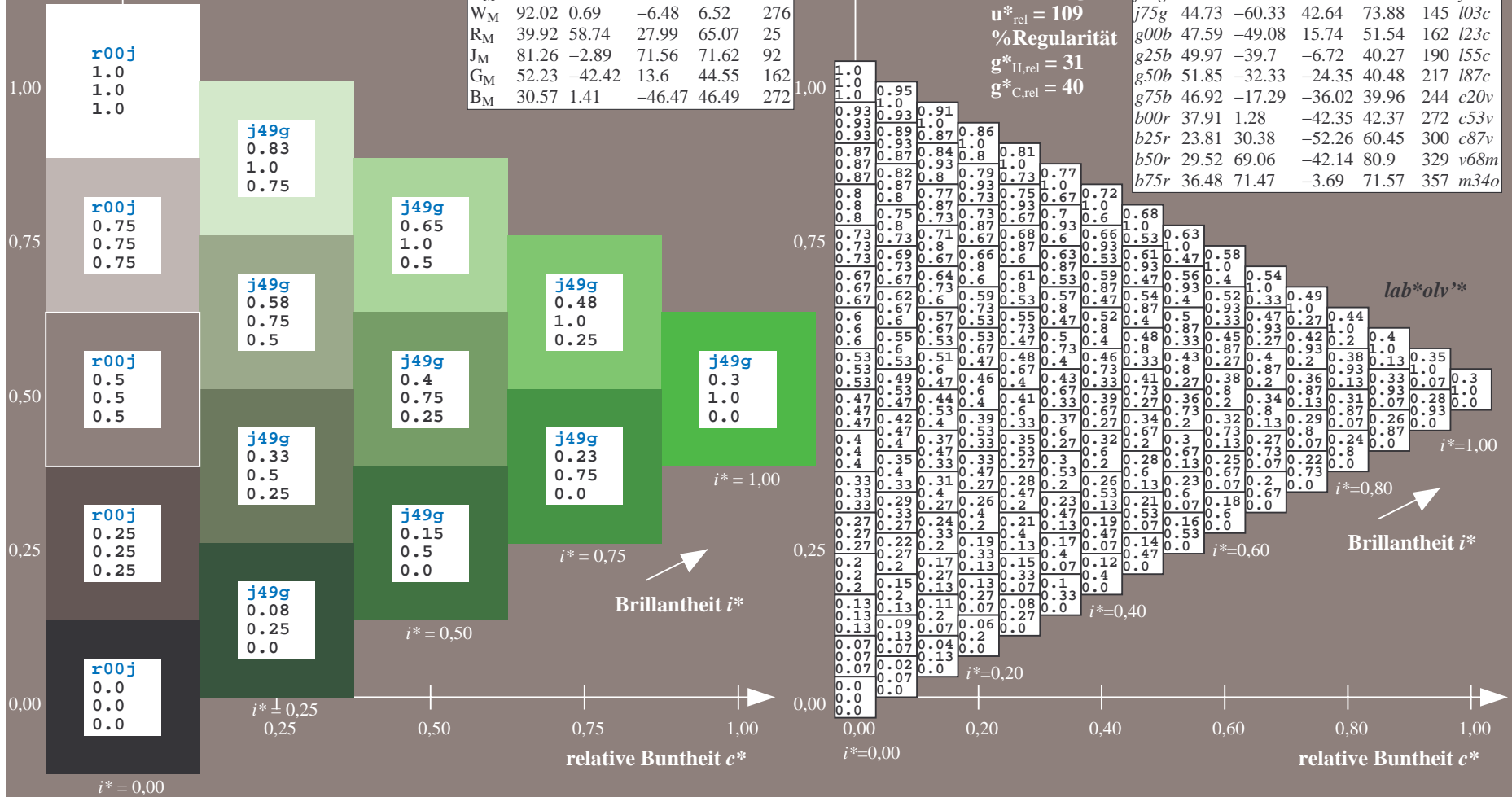
%Regularität

$g^*_{H,rel} = 31$

$g^*_{C,rel} = 40$

FRS09_92a; adaptierte CIELAB-Daten

u^*_e	$L^*=L^*_a$	a^*_a	b^*_a	$C^*_{ab,a}$	$h^*_{ab,a}$	u^*_d
r00j	35.47	63.32	30.17	70.15	25	m81o
r25j	39.12	54.56	49.45	73.64	42	o10y
r50j	50.64	39.15	64.89	75.79	59	o40y
r75j	64.01	21.26	82.83	85.52	76	o69y
j00g	83.18	-4.38	108.53	108.62	92	o98y
j25g	66.73	-29.89	83.06	88.28	110	y34l
j50g	54.03	-48.31	63.49	79.78	127	y69l
j75g	44.73	-60.33	42.64	73.88	145	i03c
g00b	47.59	-49.08	15.74	51.54	162	l23c
g25b	49.97	-39.7	-6.72	40.27	190	i55c
g50b	51.85	-32.33	-24.35	40.48	217	i87c
g75b	46.92	-17.29	-36.02	39.96	244	c20v
b00r	37.91	1.28	-42.35	42.37	272	c53v
b25r	23.81	30.38	-52.26	60.45	300	c87v
b50r	29.52	69.06	-42.14	80.9	329	v68m
b75r	36.48	71.47	-3.69	71.57	357	m34o



Ein und Ausgabe: Farbmatisches Drucker-Reflektiv-System FRS09_92a für relativen CIELAB-Bunton $h^* = lab^*h^* = h_{ab}/360 = 0.402$

$u^*_e = j75g$
 lab^*olv^*

Daten für jede Farbe:

lab^*tch^* und lab^*icu^*

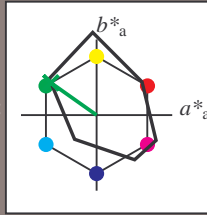
Buntontexte:

$u^*_e = j75g$ $u^*_d = l03c$

Kontrastreduzierungsfaktor:

$c_R = 1.0$

Dreiecks-Helligkeit t^*



FRS09_92a; CIELAB-Daten

u^*_e	$L^*=L^*$	a^*	b^*	C^*_{ab}	h^*_{ab}
O _M	35.06	60.53	39.66	72.37	33
Y _M	83.77	-4.5	103.15	103.25	92
L _M	44.13	-62.11	43.56	75.86	145
C _M	52.66	-28.56	-36.99	46.73	232
V _M	14.15	50.78	-62.6	80.61	309
M _M	37.37	79.18	-37.93	87.8	334
N _M	8.58	0.46	-3.35	3.38	278
W _M	92.02	0.69	-6.48	6.52	276
R _M	39.92	58.74	27.99	65.07	25
J _M	81.26	-2.89	71.56	71.62	92
G _M	52.23	-42.42	13.6	44.55	162
B _M	30.57	1.41	-46.47	46.49	272

Daten für Maximalfarbe (Ma):

$LAB^*LAB^*_{Ma}: 45 -60 43$

$LAB^*LCH^*_{Ma}: 45 74 144$

$lab^*rgb^*_{Ma}: 0.25 1.0 0.0$

$lab^*olv^*_{Ma}: 0.0 1.0 0.03$

Dreiecks-Helligkeit t^*

%Umfang

$u^*_{rel} = 109$

%Regularität

$g^*_{H,rel} = 31$

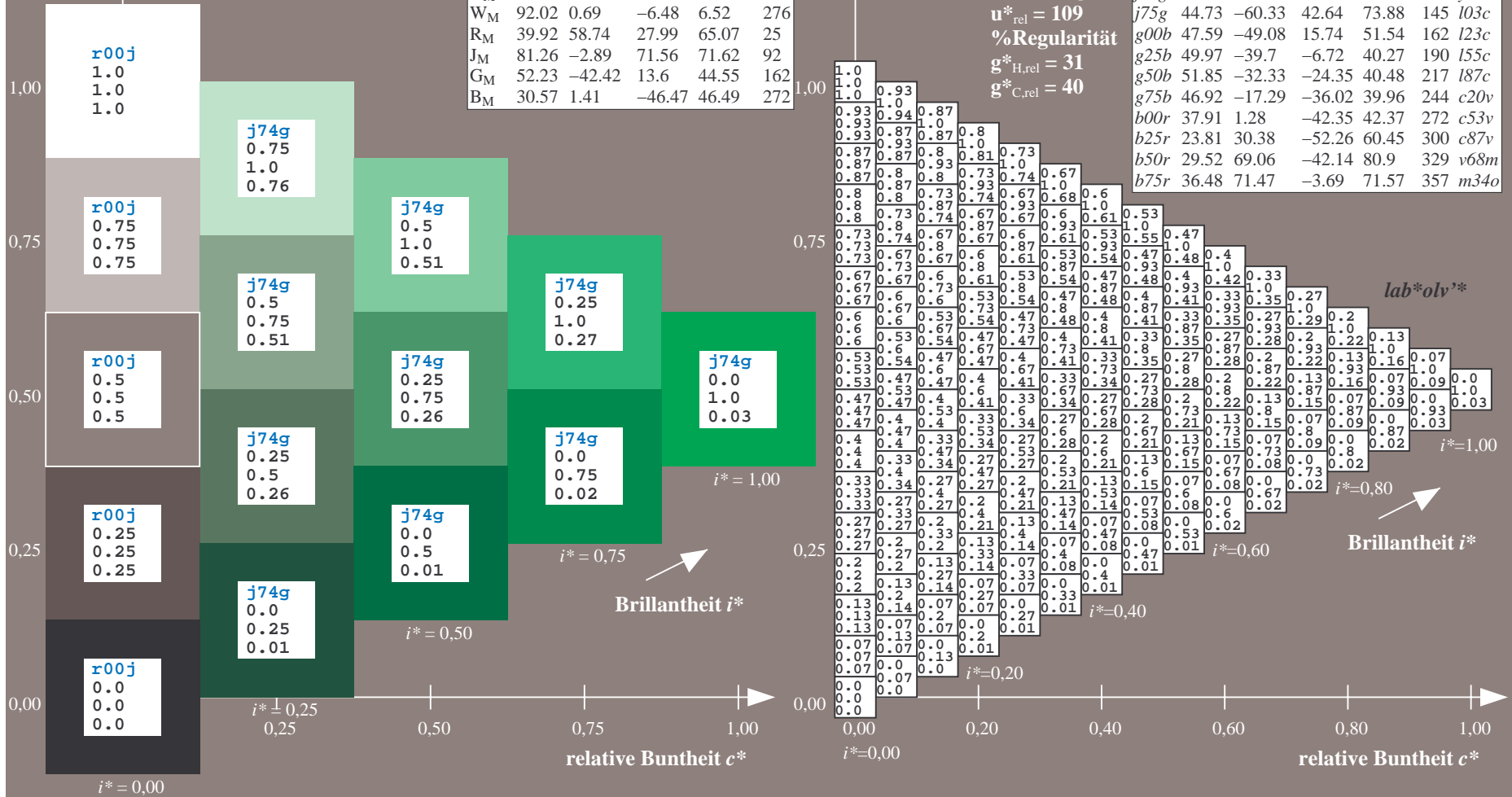
$g^*_{C,rel} = 40$

FRS09_92a; adaptierte CIELAB-Daten

u^*_e	$L^*=L^*_a$	a^*_a	b^*_a	$C^*_{ab,a}$	$h^*_{ab,a}$	u^*_d
r00j	35.47	63.32	30.17	70.15	25	m81o
r25j	39.12	54.56	49.45	73.64	42	o10y
r50j	50.64	39.15	64.89	75.79	59	o40y
r75j	64.01	21.26	82.83	85.52	76	o69y
j00g	83.18	-4.38	108.53	108.62	92	o98y
j25g	66.73	-29.89	83.06	88.28	110	y34l
j50g	54.03	-48.31	63.49	79.78	127	y69l
j75g	44.73	-60.33	42.64	73.88	145	l23c
g00b	47.59	-49.08	15.74	51.54	162	l03c
g25b	49.97	-39.7	-6.72	40.27	190	l55c
g50b	51.85	-32.33	-24.35	40.48	217	l87c
g75b	46.92	-17.29	-36.02	39.96	244	c20v
b00r	37.91	1.28	-42.35	42.37	272	c53v
b25r	23.81	30.38	-52.26	60.45	300	c87v
b50r	29.52	69.06	-42.14	80.9	329	v68m
b75r	36.48	71.47	-3.69	71.57	357	m34o

lab^*olv^*

Brillantheit i^*



Ein und Ausgabe: Farbmatisches Drucker-Reflektiv-System FRS09_92a für relativen CIELAB-Bunton $h^* = lab^*h^* = h_{ab}/360 = 0.451$

$u^*_e = g00b$
 lab^*olv^*

Daten für jede Farbe:

lab^*tch^* und lab^*icu^*

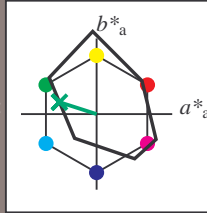
Buntontexte:

$u^*_e = g00b$ $u^*_d = l23c$

Kontrastreduzierungsfaktor:

$c_R = 1.0$

Dreiecks-Helligkeit t^*



FRS09_92a; CIELAB-Daten

u^*_e	$L^*=L^*$	a^*	b^*	C^*_{ab}	h^*_{ab}
O _M	35.06	60.53	39.66	72.37	33
Y _M	83.77	-4.5	103.15	103.25	92
L _M	44.13	-62.11	43.56	75.86	145
C _M	52.66	-28.56	-36.99	46.73	232
V _M	14.15	50.78	-62.6	80.61	309
M _M	37.37	79.18	-37.93	87.8	334
N _M	8.58	0.46	-3.35	3.38	278
W _M	92.02	0.69	-6.48	6.52	276
R _M	39.92	58.74	27.99	65.07	25
J _M	81.26	-2.89	71.56	71.62	92
G _M	52.23	-42.42	13.6	44.55	162
B _M	30.57	1.41	-46.47	46.49	272

Daten für Maximalfarbe (Ma):

$LAB^*LAB^*_{Ma}: 48 -49 16$

$LAB^*LCH^*_{Ma}: 48 52 162$

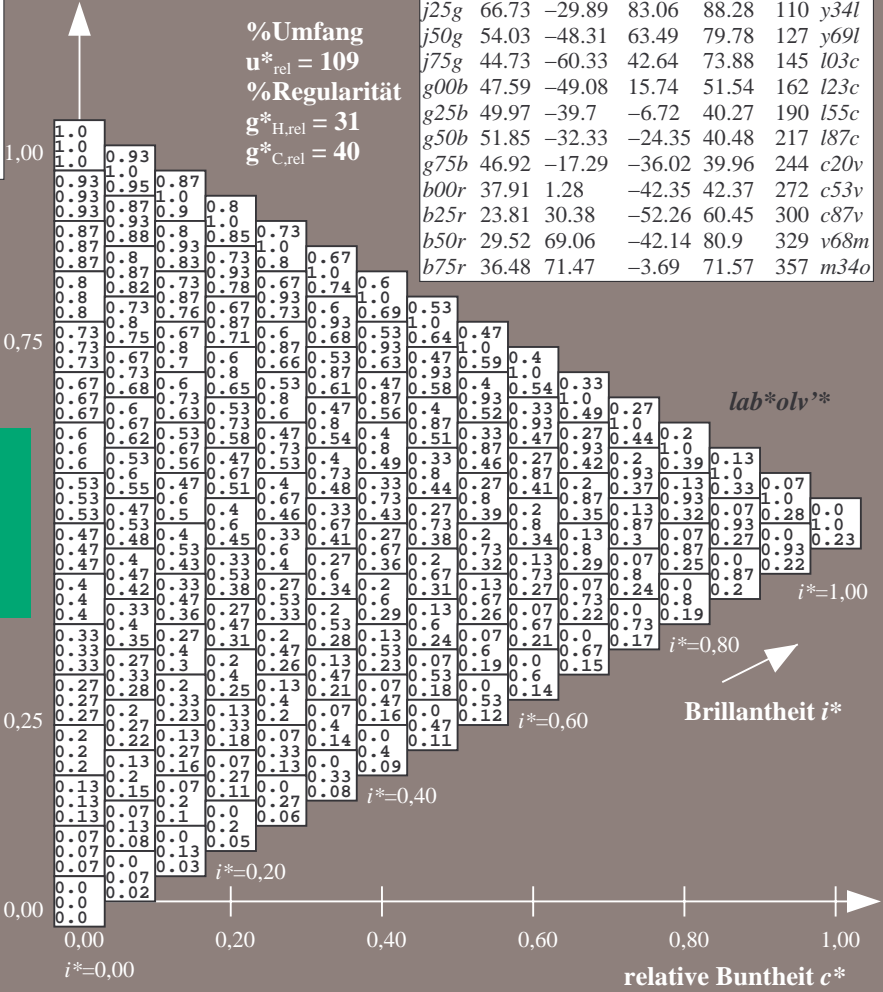
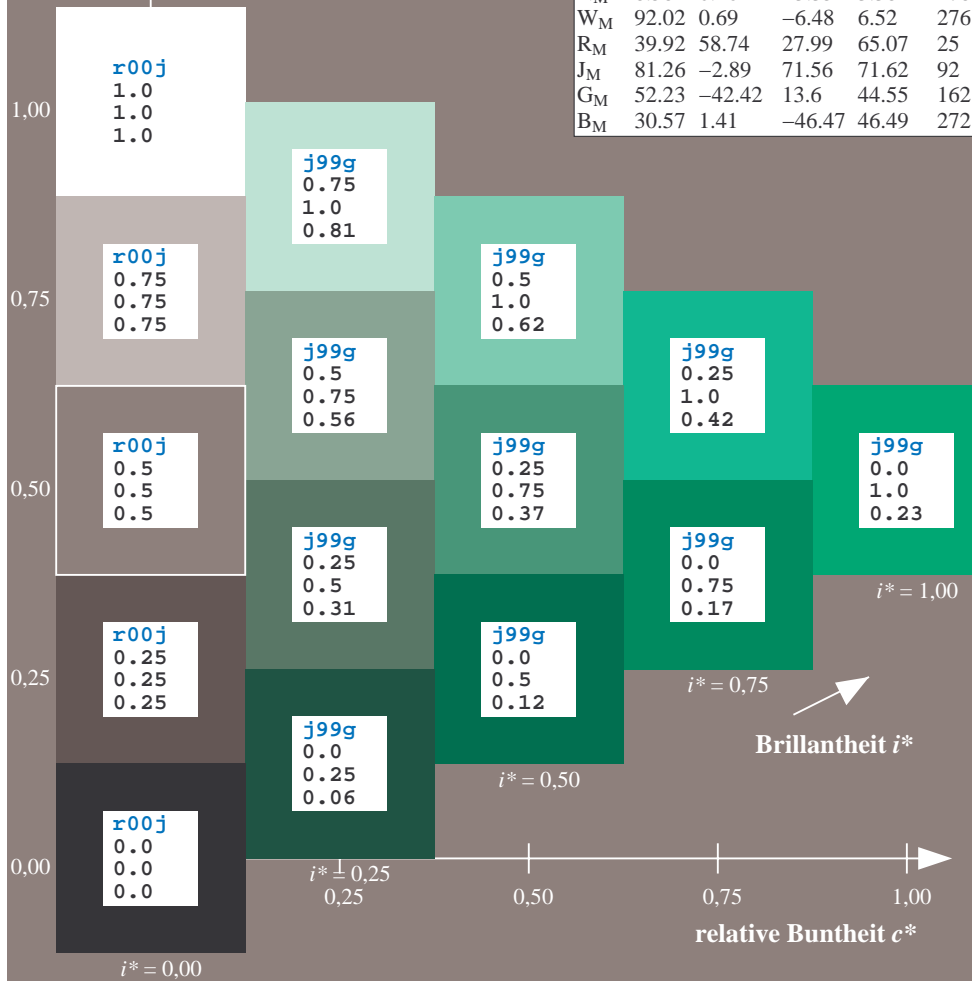
$lab^*rgb^*_{Ma}: 0.0 1.0 0.0$

$lab^*olv^*_{Ma}: 0.0 1.0 0.23$

Dreiecks-Helligkeit t^*

FRS09_92a; adaptierte CIELAB-Daten

u^*_e	$L^*=L^*_a$	a^*_a	b^*_a	$C^*_{ab,a}$	$h^*_{ab,a}$	u^*_d
r00j	35.47	63.32	30.17	70.15	25	m81o
r25j	39.12	54.56	49.45	73.64	42	o10y
r50j	50.64	39.15	64.89	75.79	59	o40y
r75j	64.01	21.26	82.83	85.52	76	o69y
j00g	83.18	-4.38	108.53	108.62	92	o98y
j25g	66.73	-29.89	83.06	88.28	110	y34l
j50g	54.03	-48.31	63.49	79.78	127	y69l
j75g	44.73	-60.33	42.64	73.88	145	l03c
g00b	47.59	-49.08	15.74	51.54	162	l23c
g25b	49.97	-39.7	-6.72	40.27	190	l55c
g50b	51.85	-32.33	-24.35	40.48	217	l87c
g75b	46.92	-17.29	-36.02	39.96	244	c20v
b00r	37.91	1.28	-42.35	42.37	272	c53v
b25r	23.81	30.38	-52.26	60.45	300	c87v
b50r	29.52	69.06	-42.14	80.9	329	v68m
b75r	36.48	71.47	-3.69	71.57	357	m34o



%Umfang
 $u^*_{rel} = 109$
%Regularität
 $g^*_{H,rel} = 31$
 $g^*_{C,rel} = 40$

Ein und Ausgabe: Farbmatisches Drucker-Reflektiv-System FRS09_92a für relativen CIELAB-Bunton $h^* = lab^*h^* = h_{ab}/360 = 0.527$

$u^*_e = g25b$
 lab^*olv^*

Daten für jede Farbe:

lab^*tch^* und lab^*icu^*

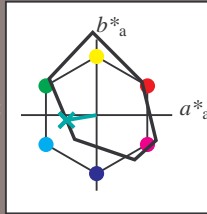
Buntontexte:

$u^*_e = g25b$ $u^*_d = l55c$

Kontrastreduzierungsfaktor:

$c_R = 1.0$

Dreiecks-Helligkeit t^*



FRS09_92a; CIELAB-Daten

u^*_e	$L^*=L^*_a$	a^*_a	b^*_a	C^*_{ab}	h^*_{ab}
O _M	35.06	60.53	39.66	72.37	33
Y _M	83.77	-4.5	103.15	103.25	92
L _M	44.13	-62.11	43.56	75.86	145
C _M	52.66	-28.56	-36.99	46.73	232
V _M	14.15	50.78	-62.6	80.61	309
M _M	37.37	79.18	-37.93	87.8	334
N _M	8.58	0.46	-3.35	3.38	278
W _M	92.02	0.69	-6.48	6.52	276
R _M	39.92	58.74	27.99	65.07	25
J _M	81.26	-2.89	71.56	71.62	92
G _M	52.23	-42.42	13.6	44.55	162
B _M	30.57	1.41	-46.47	46.49	272

Daten für Maximalfarbe (Ma):

$LAB^*LAB^*_Ma: 50 -40 -7$

$LAB^*LCH^*_Ma: 50 40 189$

$lab^*rgb^*_Ma: 0.0 1.0 0.5$

$lab^*olv^*_Ma: 0.0 1.0 0.55$

Dreiecks-Helligkeit t^*

%Umfang

$u^*_{rel} = 109$

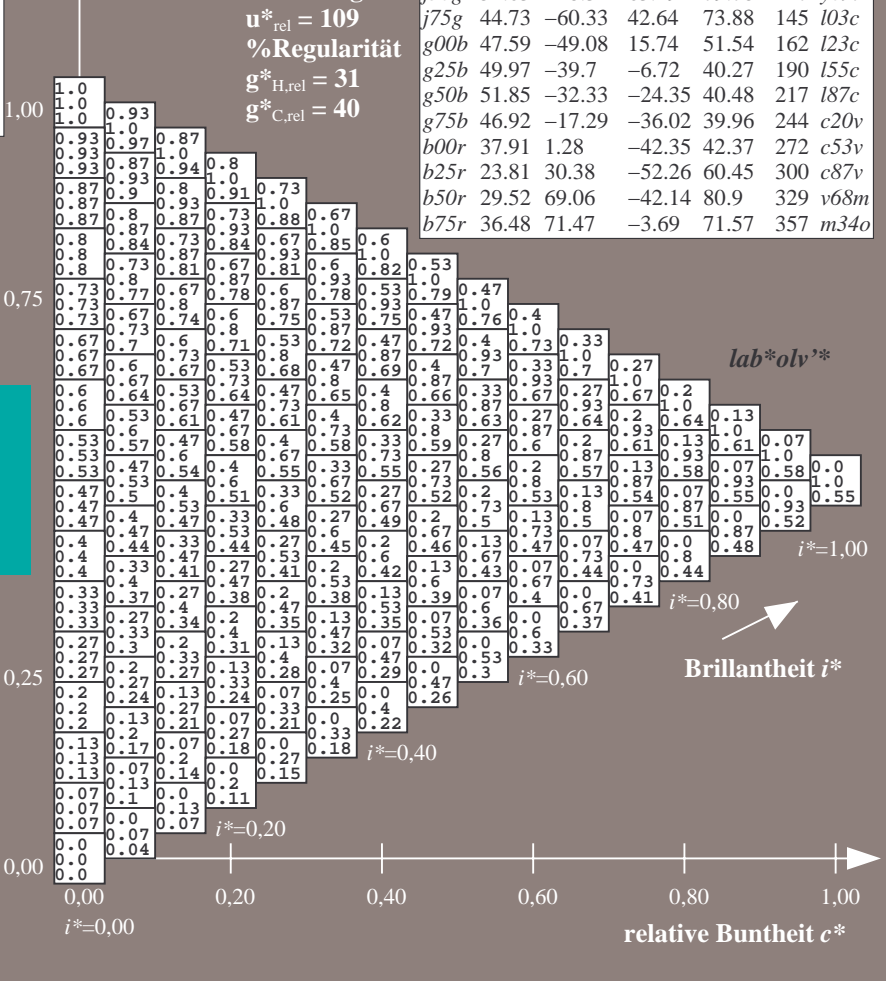
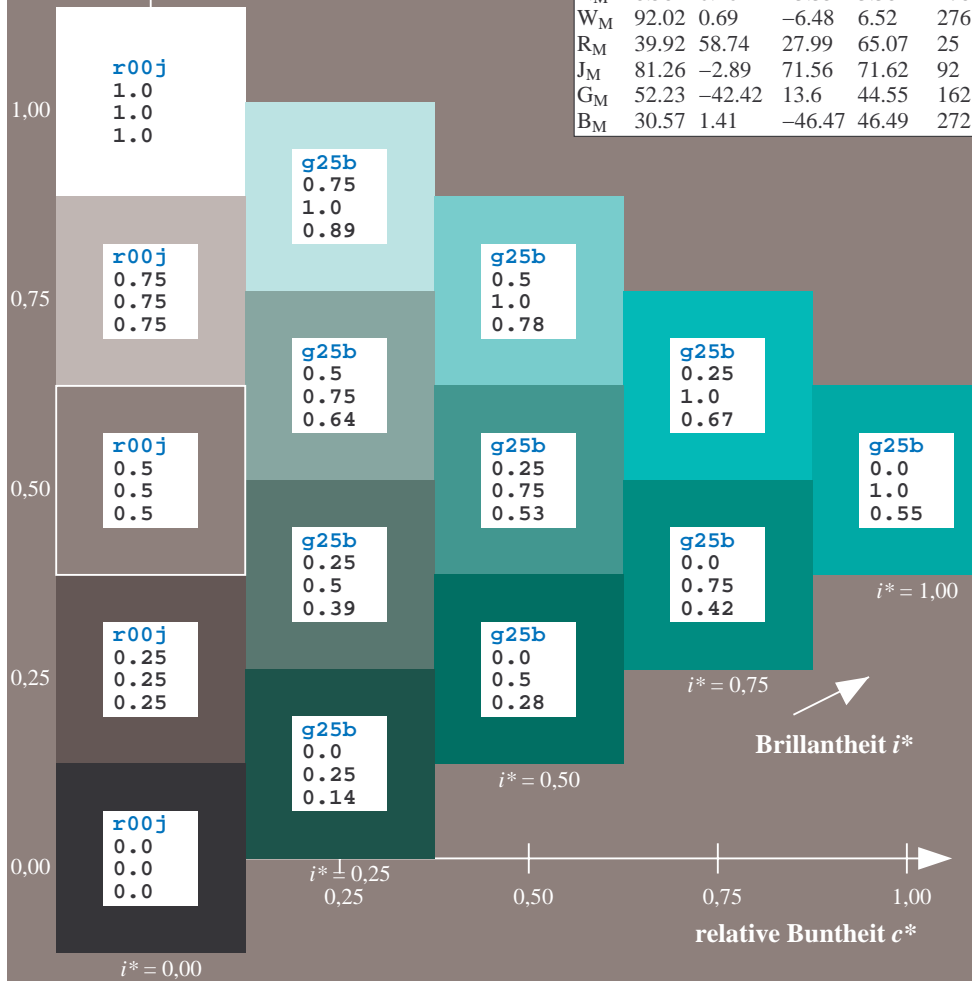
%Regularität

$g^*_{H,rel} = 31$

$g^*_{C,rel} = 40$

FRS09_92a; adaptierte CIELAB-Daten

u^*_e	$L^*=L^*_a$	a^*_a	b^*_a	$C^*_{ab,a}$	$h^*_{ab,a}$	u^*_d
r00j	35.47	63.32	30.17	70.15	25	m81o
r25j	39.12	54.56	49.45	73.64	42	o10y
r50j	50.64	39.15	64.89	75.79	59	o40y
r75j	64.01	21.26	82.83	85.52	76	o69y
j00g	83.18	-4.38	108.53	108.62	92	o98y
j25g	66.73	-29.89	83.06	88.28	110	y34l
j50g	54.03	-48.31	63.49	79.78	127	y69l
j75g	44.73	-60.33	42.64	73.88	145	l03c
g00b	47.59	-49.08	15.74	51.54	162	l23c
g25b	49.97	-39.7	-6.72	40.27	190	l55c
g50b	51.85	-32.33	-24.35	40.48	217	l87c
g75b	46.92	-17.29	-36.02	39.96	244	c20v
b00r	37.91	1.28	-42.35	42.37	272	c53v
b25r	23.81	30.38	-52.26	60.45	300	c87v
b50r	29.52	69.06	-42.14	80.9	329	v68m
b75r	36.48	71.47	-3.69	71.57	357	m34o



Ein und Ausgabe: Farbmatisches Drucker-Reflektiv-System FRS09_92a für relativen CIELAB-Bunton $h^* = lab^*h^* = h_{ab}/360 = 0.603$

$u^*_e = g50b$
 lab^*olv^*

Daten für jede Farbe:

lab^*tch^* und lab^*icu^*

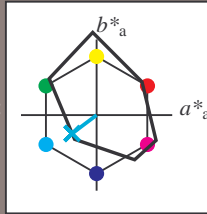
Buntontexte:

$u^*_e = g50b$ $u^*_d = l87c$

Kontrastreduzierungsfaktor:

$c_R = 1.0$

Dreiecks-Helligkeit t^*



FRS09_92a; CIELAB-Daten

u^*_e	$L^*=L^*$	a^*	b^*	C^*_{ab}	h^*_{ab}
O _M	35.06	60.53	39.66	72.37	33
Y _M	83.77	-4.5	103.15	103.25	92
L _M	44.13	-62.11	43.56	75.86	145
C _M	52.66	-28.56	-36.99	46.73	232
V _M	14.15	50.78	-62.6	80.61	309
M _M	37.37	79.18	-37.93	87.8	334
N _M	8.58	0.46	-3.35	3.38	278
W _M	92.02	0.69	-6.48	6.52	276
R _M	39.92	58.74	27.99	65.07	25
J _M	81.26	-2.89	71.56	71.62	92
G _M	52.23	-42.42	13.6	44.55	162
B _M	30.57	1.41	-46.47	46.49	272

Daten für Maximalfarbe (Ma):

$LAB^*LAB^*_{Ma}: 52 -32 -24$

$LAB^*LCH^*_{Ma}: 52 40 216$

$lab^*rgb^*_{Ma}: 0.0 1.0 1.0$

$lab^*olv^*_{Ma}: 0.0 1.0 0.87$

Dreiecks-Helligkeit t^*

%Umfang

$u^*_{rel} = 109$

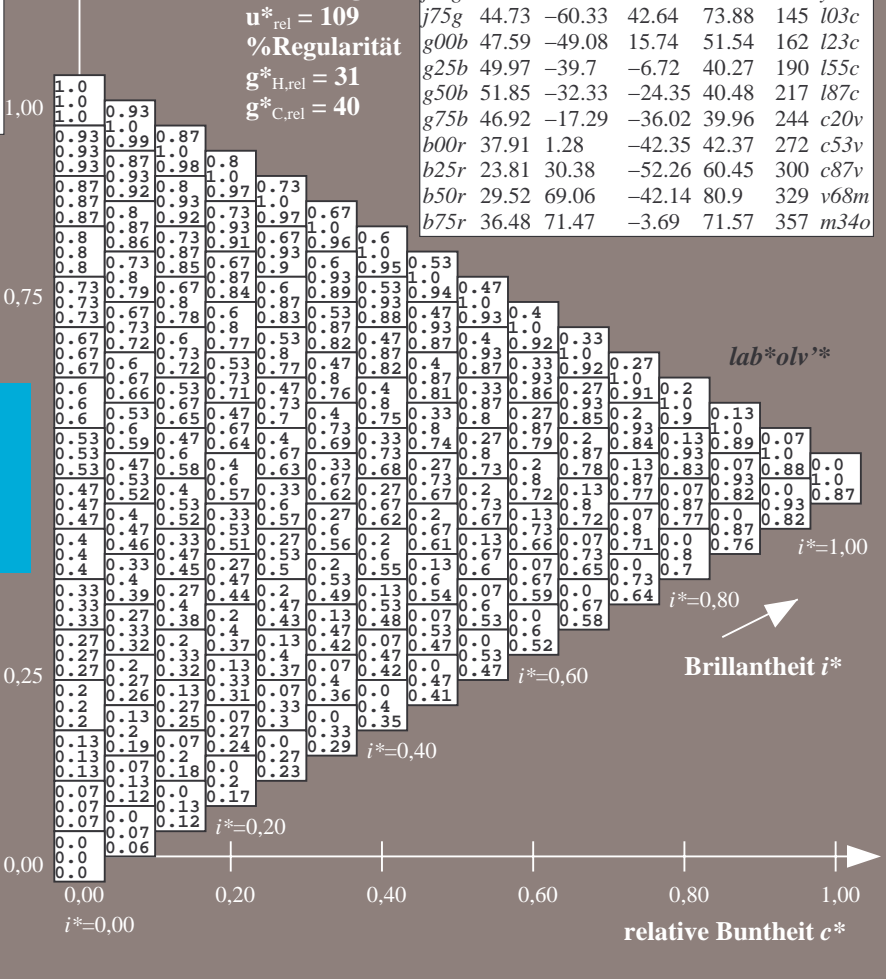
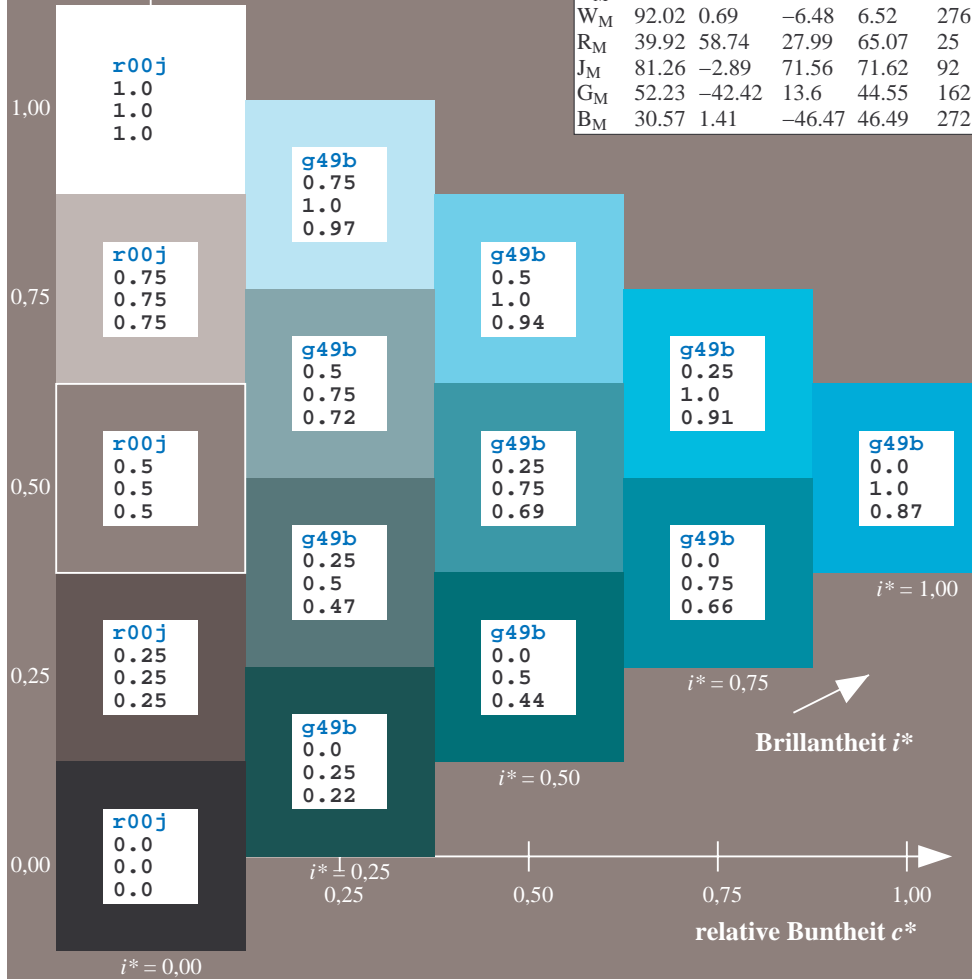
%Regularität

$g^*_{H,rel} = 31$

$g^*_{C,rel} = 40$

FRS09_92a; adaptierte CIELAB-Daten

u^*_e	$L^*=L^*_a$	a^*_a	b^*_a	$C^*_{ab,a}$	$h^*_{ab,a}$	u^*_d
r00j	35.47	63.32	30.17	70.15	25	m81o
r25j	39.12	54.56	49.45	73.64	42	o10y
r50j	50.64	39.15	64.89	75.79	59	o40y
r75j	64.01	21.26	82.83	85.52	76	o69y
j00g	83.18	-4.38	108.53	108.62	92	o98y
j25g	66.73	-29.89	83.06	88.28	110	y34l
j50g	54.03	-48.31	63.49	79.78	127	y69l
j75g	44.73	-60.33	42.64	73.88	145	l03c
g00b	47.59	-49.08	15.74	51.54	162	l23c
g25b	49.97	-39.7	-6.72	40.27	190	l55c
g50b	51.85	-32.33	-24.35	40.48	217	l87c
g75b	46.92	-17.29	-36.02	39.96	244	c20v
b00r	37.91	1.28	-42.35	42.37	272	c53v
b25r	23.81	30.38	-52.26	60.45	300	c87v
b50r	29.52	69.06	-42.14	80.9	329	v68m
b75r	36.48	71.47	-3.69	71.57	357	m34o



Ein und Ausgabe: Farbmatisches Drucker-Reflektiv-System FRS09_92a für relativen CIELAB-Bunton $h^* = lab^*h^* = h_{ab}/360 = 0.679$

$u^*_e = g75b$
 lab^*olv^*

Daten für jede Farbe:

lab^*tch^* und lab^*icu^*

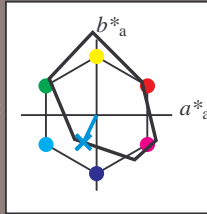
Buntontexte:

$u^*_e = g75b$ $u^*_d = c20v$

Kontrastreduzierungsfaktor:

$c_R = 1.0$

Dreiecks-Helligkeit t^*



FRS09_92a; CIELAB-Daten

u^*_e	$L^*=L^*$	a^*	b^*	C^*_{ab}	h^*_{ab}
O _M	35.06	60.53	39.66	72.37	33
Y _M	83.77	-4.5	103.15	103.25	92
L _M	44.13	-62.11	43.56	75.86	145
C _M	52.66	-28.56	-36.99	46.73	232
V _M	14.15	50.78	-62.6	80.61	309
M _M	37.37	79.18	-37.93	87.8	334
N _M	8.58	0.46	-3.35	3.38	278
W _M	92.02	0.69	-6.48	6.52	276
R _M	39.92	58.74	27.99	65.07	25
J _M	81.26	-2.89	71.56	71.62	92
G _M	52.23	-42.42	13.6	44.55	162
B _M	30.57	1.41	-46.47	46.49	272

Daten für Maximalfarbe (Ma):

$LAB^*LAB^*_{Ma}$: 47 -17 -36

$LAB^*LCH^*_{Ma}$: 47 40 244

$lab^*rgb^*_{Ma}$: 0.0 0.5 1.0

$lab^*olv^*_{Ma}$: 0.0 0.8 1.0

Dreiecks-Helligkeit t^*

%Umfang

$u^*_{rel} = 109$

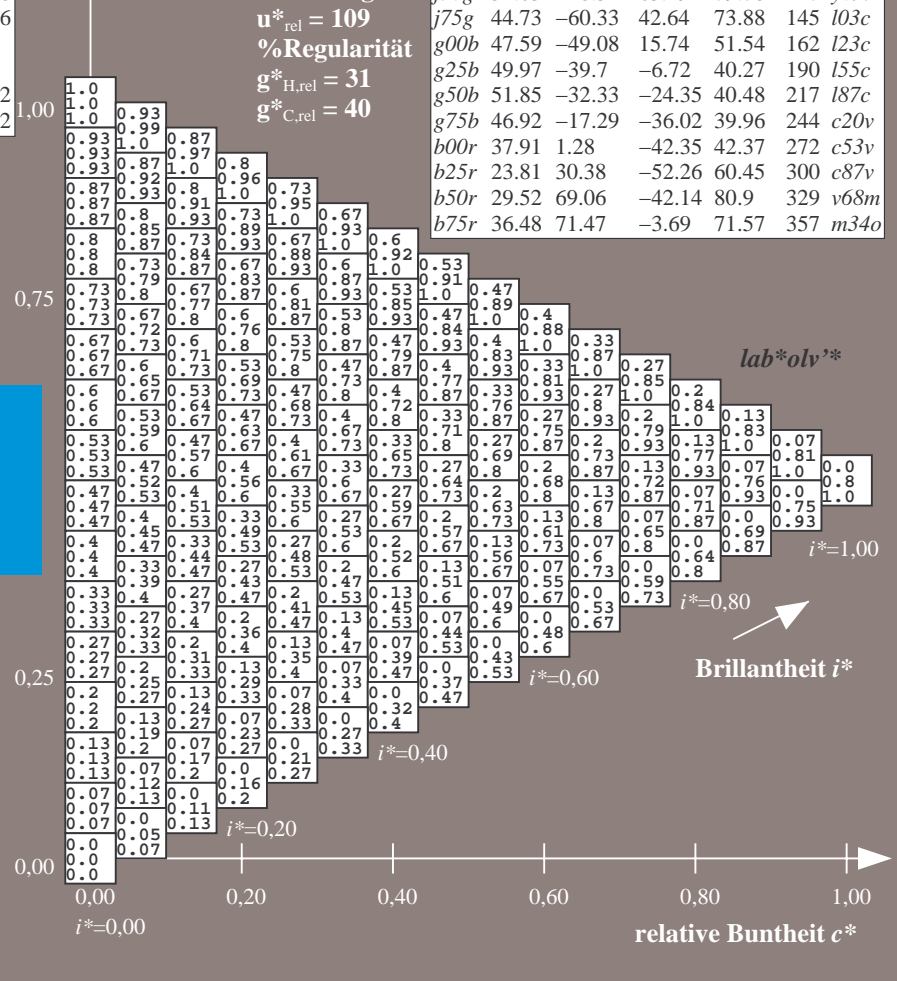
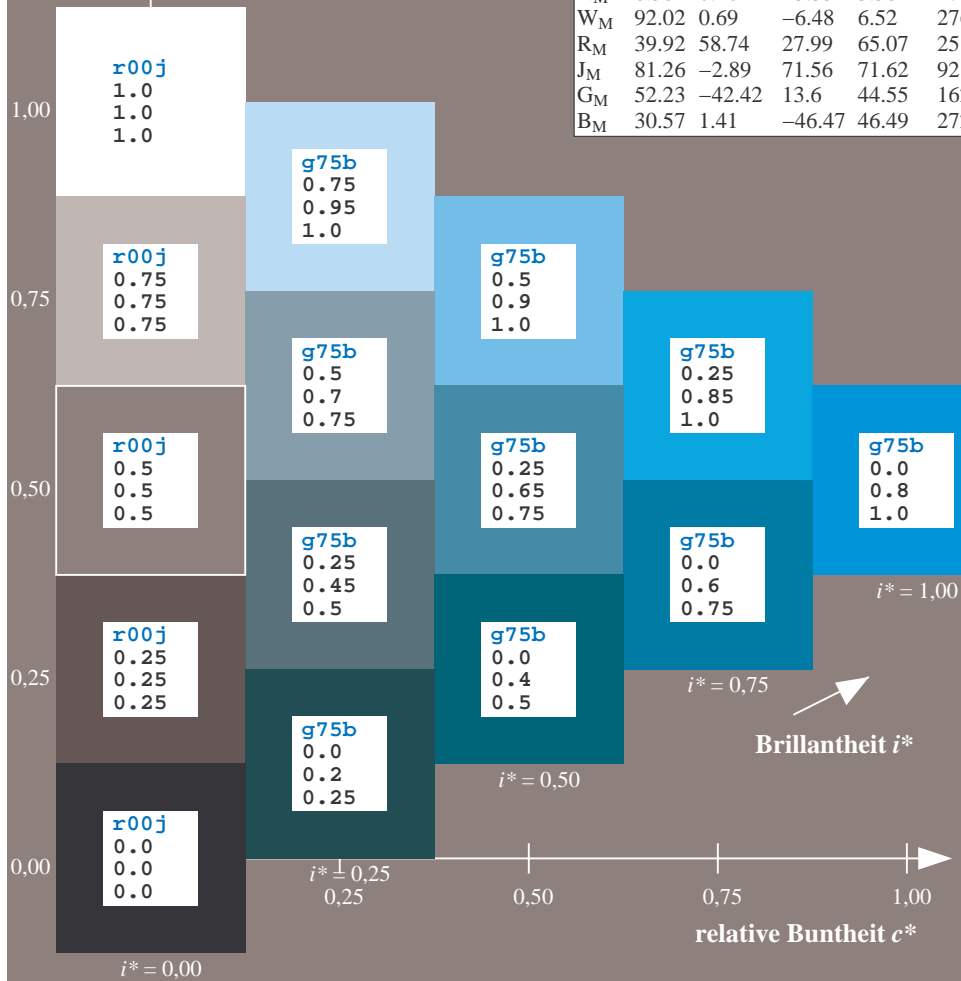
%Regularität

$g^*_{H,rel} = 31$

$g^*_{C,rel} = 40$

FRS09_92a; adaptierte CIELAB-Daten

u^*_e	$L^*=L^*_a$	a^*_a	b^*_a	$C^*_{ab,a}$	$h^*_{ab,a}$	u^*_d
r00j	35.47	63.32	30.17	70.15	25	m81o
r25j	39.12	54.56	49.45	73.64	42	o10y
r50j	50.64	39.15	64.89	75.79	59	o40y
r75j	64.01	21.26	82.83	85.52	76	o69y
j00g	83.18	-4.38	108.53	108.62	92	o98y
j25g	66.73	-29.89	83.06	88.28	110	y34l
j50g	54.03	-48.31	63.49	79.78	127	y69l
j75g	44.73	-60.33	42.64	73.88	145	103c
g00b	47.59	-49.08	15.74	51.54	162	l23c
g25b	49.97	-39.7	-6.72	40.27	190	l55c
g50b	51.85	-32.33	-24.35	40.48	217	l87c
g75b	46.92	-17.29	-36.02	39.96	244	c20v
b00r	37.91	1.28	-42.35	42.37	272	c53v
b25r	23.81	30.38	-52.26	60.45	300	c87v
b50r	29.52	69.06	-42.14	80.9	329	v68m
b75r	36.48	71.47	-3.69	71.57	357	m34o



Ein und Ausgabe: Farbmatisches Drucker-Reflektiv-System FRS09_92a für relativen CIELAB-Bunton $h^* = lab^*h^* = h_{ab}/360 = 0.755$

$u^*_e = b00r$

Daten für jede Farbe:

lab^*ch^* und lab^*icu^*

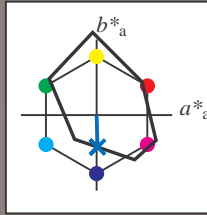
Buntontexte:

$u^*_e = b00r$ $u^*_d = c53v$

Kontrastreduzierungsfaktor:

$c_R = 1.0$

Dreiecks-Helligkeit t^*



FRS09_92a; CIELAB-Daten

	u^*_e	$L^*=L^*_a$	a^*_a	b^*_a	C^*_{ab}	h^*_{ab}
O _M	35.06	60.53	39.66	72.37	33	
Y _M	83.77	-4.5	103.15	103.25	92	
L _M	44.13	-62.11	43.56	75.86	145	
C _M	52.66	-28.56	-36.99	46.73	232	
V _M	14.15	50.78	-62.6	80.61	309	
M _M	37.37	79.18	-37.93	87.8	334	
N _M	8.58	0.46	-3.35	3.38	278	
W _M	92.02	0.69	-6.48	6.52	276	
R _M	39.92	58.74	27.99	65.07	25	
J _M	81.26	-2.89	71.56	71.62	92	
G _M	52.23	-42.42	13.6	44.55	162	
B _M	30.57	1.41	-46.47	46.49	272	

Daten für Maximalfarbe (Ma):

$LAB^*LAB^*_Ma: 38 \ 1 \ -42$

$LAB^*LCH^*_Ma: 38 \ 42 \ 271$

$lab^*rgb^*_Ma: 0.0 \ 0.0 \ 1.0$

$lab^*olv^*_Ma: 0.0 \ 0.47 \ 1.0$

Dreiecks-Helligkeit t^*

%Umfang

$u^*_{rel} = 109$

%Regularität

$g^*_{H,rel} = 31$

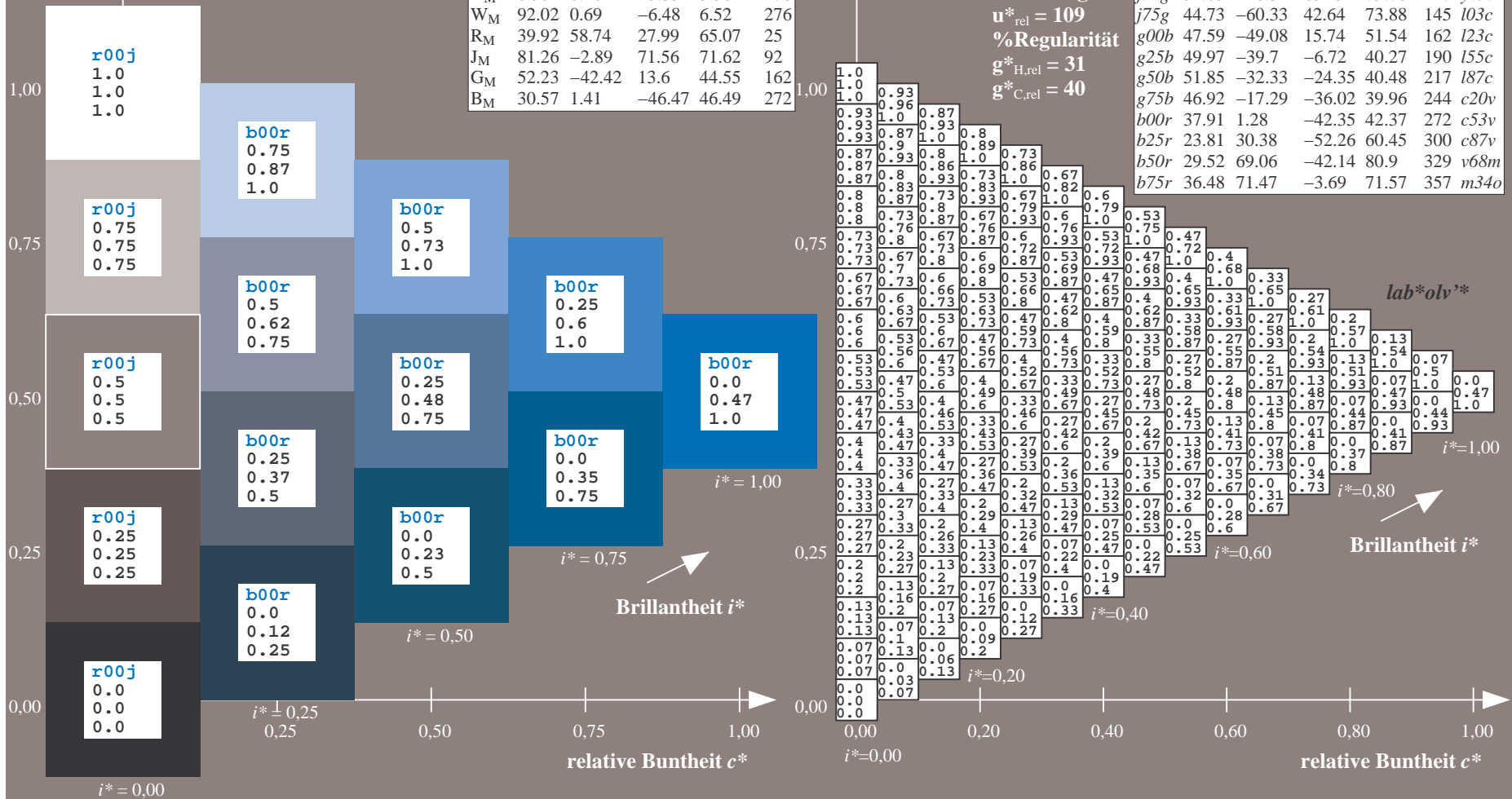
$g^*_{C,rel} = 40$

FRS09_92a; adaptierte CIELAB-Daten

	u^*_e	$L^*=L^*_a$	a^*_a	b^*_a	$C^*_{ab,a}$	$h^*_{ab,a}$	u^*_d
r00j	35.47	63.32	30.17	70.15	25	m81o	
r25j	39.12	54.56	49.45	73.64	42	o10y	
r50j	50.64	39.15	64.89	75.79	59	o40y	
r75j	64.01	21.26	82.83	85.52	76	o69y	
j00g	83.18	-4.38	108.53	108.62	92	o98y	
j25g	66.73	-29.89	83.06	88.28	110	y34l	
j50g	54.03	-48.31	63.49	79.78	127	y69l	
j75g	44.73	-60.33	42.64	73.88	145	162 i03c	
g00b	47.59	-49.08	15.74	51.54	162	123c	
g25b	49.97	-39.7	-6.72	40.27	190	i55c	
g50b	51.85	-32.33	-24.35	40.48	217	i87c	
g75b	46.92	-17.29	-36.02	39.96	244	c20v	
b00r	37.91	1.28	-42.35	42.37	272	c53v	
b25r	23.81	30.38	-52.26	60.45	300	c87v	
b50r	29.52	69.06	-42.14	80.9	329	v68m	
b75r	36.48	71.47	-3.69	71.57	357	m34o	

lab^*olv^*

Brillantheit i^*



Ein und Ausgabe: Farbmatisches Drucker-Reflektiv-System FRS09_92a für relativen CIELAB-Bunton $h^* = lab^*h^* = h_{ab}/360 = 0.834$

$u^*_e = b25r$
 lab^*olv^*

Daten für jede Farbe:

lab^*tch^* und lab^*icu^*

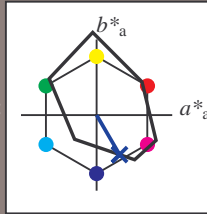
Buntontexte:

$u^*_e = b25r$ $u^*_d = c87v$

Kontrastreduzierungsfaktor:

$c_R = 1.0$

Dreiecks-Helligkeit t^*



FRS09_92a; CIELAB-Daten

u^*_e	$L^*=L^*$	a^*	b^*	C^*_{ab}	h^*_{ab}
O _M	35.06	60.53	39.66	72.37	33
Y _M	83.77	-4.5	103.15	103.25	92
L _M	44.13	-62.11	43.56	75.86	145
C _M	52.66	-28.56	-36.99	46.73	232
V _M	14.15	50.78	-62.6	80.61	309
M _M	37.37	79.18	-37.93	87.8	334
N _M	8.58	0.46	-3.35	3.38	278
W _M	92.02	0.69	-6.48	6.52	276
R _M	39.92	58.74	27.99	65.07	25
J _M	81.26	-2.89	71.56	71.62	92
G _M	52.23	-42.42	13.6	44.55	162
B _M	30.57	1.41	-46.47	46.49	272

Daten für Maximalfarbe (Ma):

$LAB^*LAB^*_{Ma}: 24 \ 30 \ -52$

$LAB^*LCH^*_{Ma}: 24 \ 60 \ 300$

$lab^*rgb^*_{Ma}: 0.5 \ 0.0 \ 1.0$

$lab^*olv^*_{Ma}: 0.0 \ 0.12 \ 1.0$

Dreiecks-Helligkeit t^*

%Umfang

$u^*_{rel} = 109$

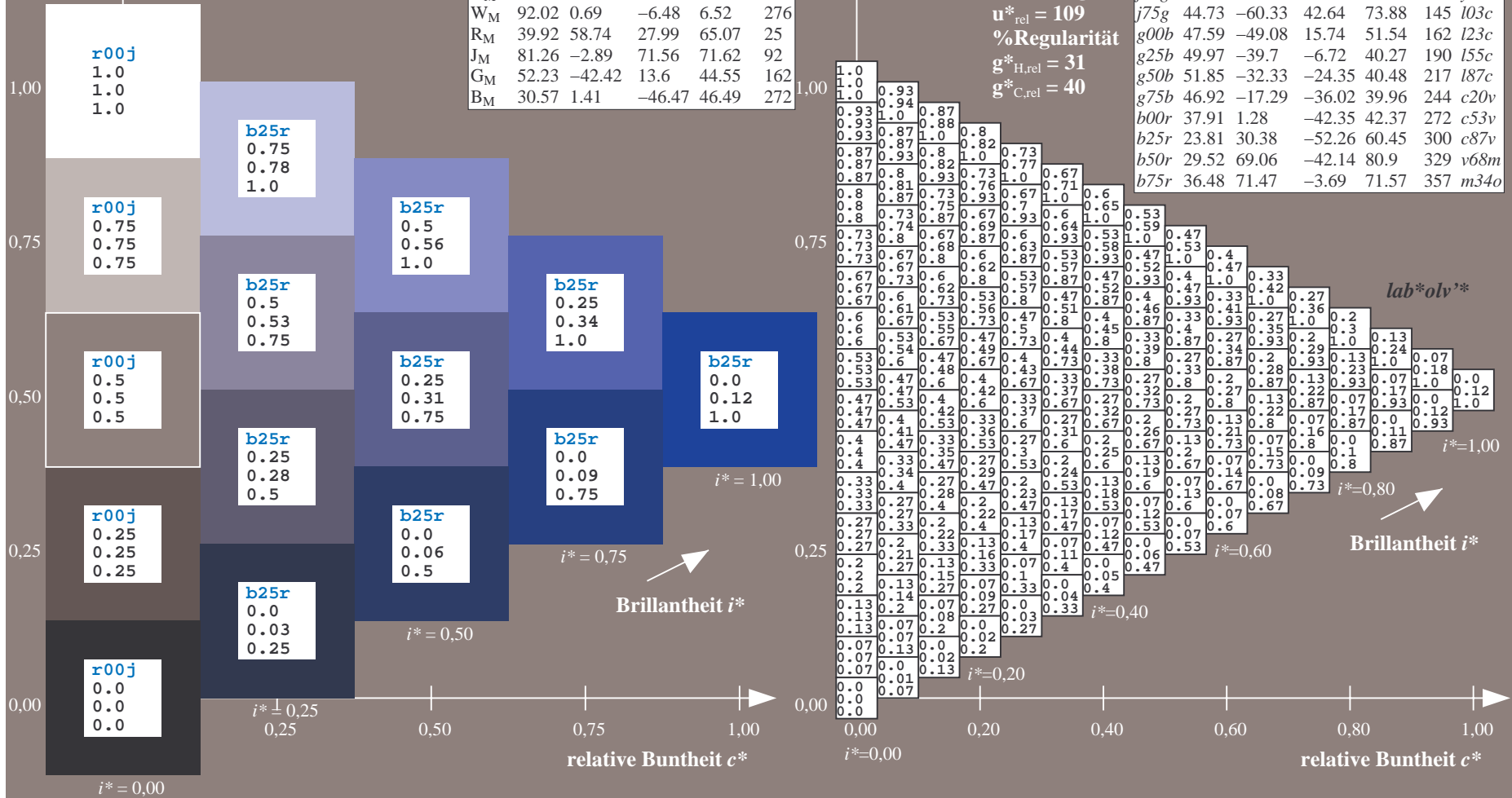
%Regularität

$g^*_{H,rel} = 31$

$g^*_{C,rel} = 40$

FRS09_92a; adaptierte CIELAB-Daten

u^*_e	$L^*=L^*_a$	a^*_a	b^*_a	$C^*_{ab,a}$	$h^*_{ab,a}$	u^*_d
r00j	35.47	63.32	30.17	70.15	25	m81o
r25j	39.12	54.56	49.45	73.64	42	o10y
r50j	50.64	39.15	64.89	75.79	59	o40y
r75j	64.01	21.26	82.83	85.52	76	o69y
j00g	83.18	-4.38	108.53	108.62	92	o98y
j25g	66.73	-29.89	83.06	88.28	110	y34l
j50g	54.03	-48.31	63.49	79.78	127	y69l
j75g	44.73	-60.33	42.64	73.88	145	103c
g00b	47.59	-49.08	15.74	51.54	162	l23c
g25b	49.97	-39.7	-6.72	40.27	190	l55c
g50b	51.85	-32.33	-24.35	40.48	217	l87c
g75b	46.92	-17.29	-36.02	39.96	244	c20v
b00r	37.91	1.28	-42.35	42.37	272	c53v
b25r	23.81	30.38	-52.26	60.45	300	c87v
b50r	29.52	69.06	-42.14	80.9	329	v68m
b75r	36.48	71.47	-3.69	71.57	357	m34o



Ein und Ausgabe: Farbmatisches Drucker-Reflektiv-System FRS09_92a für relativen CIELAB-Bunton $h^* = lab^*h^* = h_{ab}/360 = 0.913$

$u^*_e = b50r$
 lab^*olv^*

Daten für jede Farbe:

lab^*tch^* und lab^*icu^*

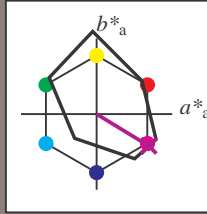
Buntontexte:

$u^*_e = b50r$ $u^*_d = v68m$

Kontrastreduzierungsfaktor:

$c_R = 1.0$

Dreiecks-Helligkeit t^*



FRS09_92a; CIELAB-Daten

u^*_e	$L^*=L^*$	a^*	b^*	C^*_{ab}	h^*_{ab}
O _M	35.06	60.53	39.66	72.37	33
Y _M	83.77	-4.5	103.15	103.25	92
L _M	44.13	-62.11	43.56	75.86	145
C _M	52.66	-28.56	-36.99	46.73	232
V _M	14.15	50.78	-62.6	80.61	309
M _M	37.37	79.18	-37.93	87.8	334
N _M	8.58	0.46	-3.35	3.38	278
W _M	92.02	0.69	-6.48	6.52	276
R _M	39.92	58.74	27.99	65.07	25
J _M	81.26	-2.89	71.56	71.62	92
G _M	52.23	-42.42	13.6	44.55	162
B _M	30.57	1.41	-46.47	46.49	272

Daten für Maximalfarbe (Ma):

$LAB^*LAB^*_{Ma}: 30 \ 69 \ -42$

$LAB^*LCH^*_{Ma}: 30 \ 81 \ 328$

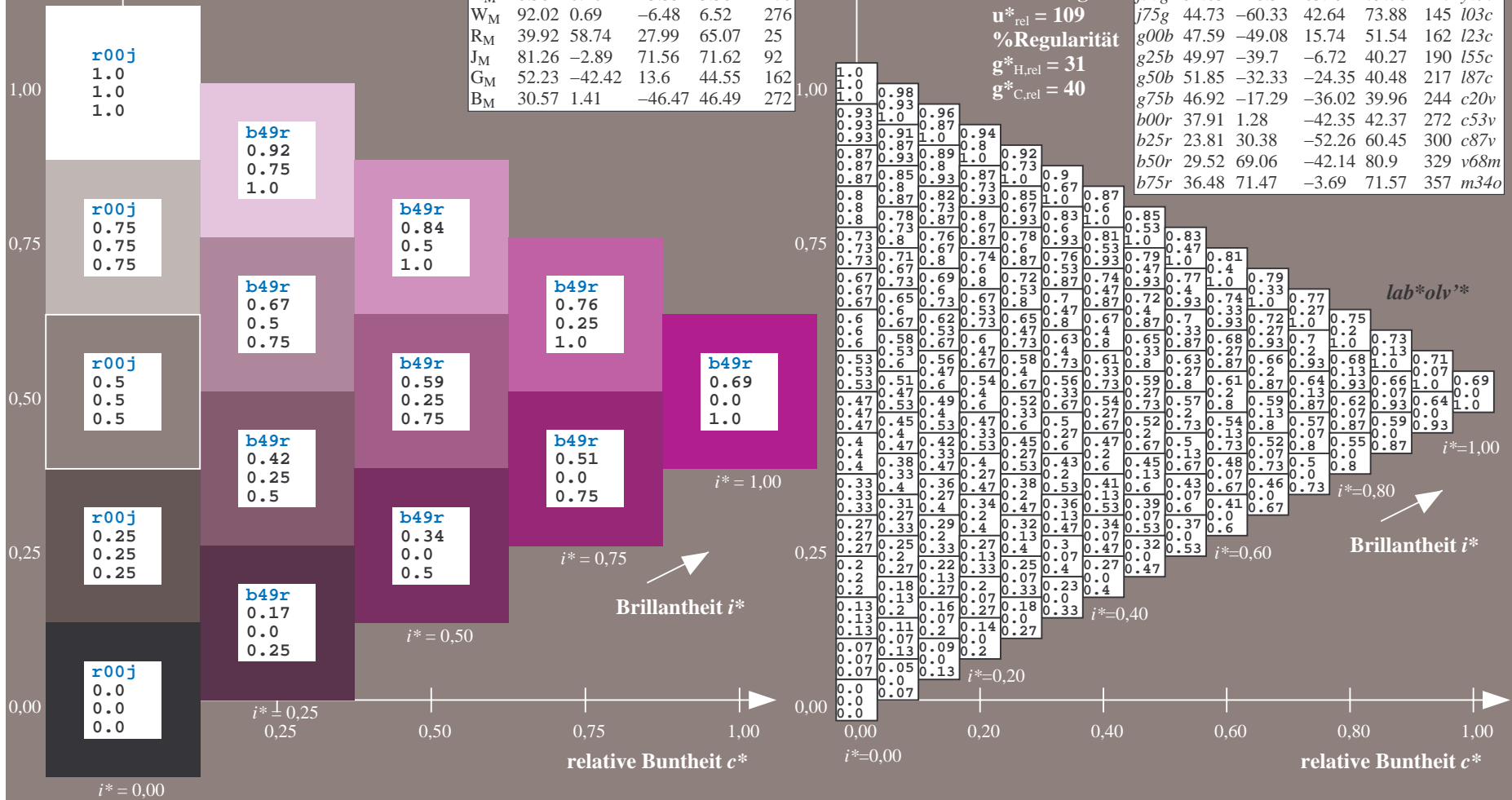
$lab^*rgb^*_{Ma}: 1.0 \ 0.0 \ 1.0$

$lab^*olv^*_{Ma}: 0.69 \ 0.0 \ 1.0$

Dreiecks-Helligkeit t^*

FRS09_92a; adaptierte CIELAB-Daten

u^*_e	$L^*=L^*_a$	a^*_a	b^*_a	$C^*_{ab,a}$	$h^*_{ab,a}$	u^*_d
r00j	35.47	63.32	30.17	70.15	25	m81o
r25j	39.12	54.56	49.45	73.64	42	o10y
r50j	50.64	39.15	64.89	75.79	59	o40y
r75j	64.01	21.26	82.83	85.52	76	o69y
j00g	83.18	-4.38	108.53	108.62	92	o98y
j25g	66.73	-29.89	83.06	88.28	110	y34l
j50g	54.03	-48.31	63.49	79.78	127	y69l
j75g	44.73	-60.33	42.64	73.88	145	103c
g00b	47.59	-49.08	15.74	51.54	162	l23c
g25b	49.97	-39.7	-6.72	40.27	190	l55c
g50b	51.85	-32.33	-24.35	40.48	217	l87c
g75b	46.92	-17.29	-36.02	39.96	244	c20v
b00r	37.91	1.28	-42.35	42.37	272	c53v
b25r	23.81	30.38	-52.26	60.45	300	c87v
b50r	29.52	69.06	-42.14	80.9	329	v68m
b75r	36.48	71.47	-3.69	71.57	357	m34o



%Umfang
 $u^*_{rel} = 109$
%Regularität
 $g^*_{H,rel} = 31$
 $g^*_{C,rel} = 40$

Ein und Ausgabe: Farbmatisches Drucker-Reflektiv-System FRS09_92a für relativen CIELAB-Bunton $h^* = lab^*h^* = h_{ab}/360 = 0.992$

$u^*_e = b75r$

Daten für jede Farbe:

lab^*ch^* und lab^*icu^*

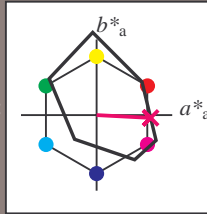
Buntontexte:

$u^*_e = b75r$ $u^*_d = m34o$

Kontrastreduzierungsfaktor:

$c_R = 1.0$

Dreiecks-Helligkeit t^*



FRS09_92a; CIELAB-Daten

u^*_e	$L^*=L^*_a$	a^*	b^*	C^*_{ab}	h^*_{ab}
O _M	35.06	60.53	39.66	72.37	33
Y _M	83.77	-4.5	103.15	103.25	92
L _M	44.13	-62.11	43.56	75.86	145
C _M	52.66	-28.56	-36.99	46.73	232
V _M	14.15	50.78	-62.6	80.61	309
M _M	37.37	79.18	-37.93	87.8	334
N _M	8.58	0.46	-3.35	3.38	278
W _M	92.02	0.69	-6.48	6.52	276
R _M	39.92	58.74	27.99	65.07	25
J _M	81.26	-2.89	71.56	71.62	92
G _M	52.23	-42.42	13.6	44.55	162
B _M	30.57	1.41	-46.47	46.49	272

Daten für Maximalfarbe (Ma):

$LAB^*LAB^*_{Ma}: 36\ 71\ -4$

$LAB^*LCH^*_{Ma}: 36\ 72\ 357$

$lab^*rgb^*_{Ma}: 1.0\ 0.0\ 0.5$

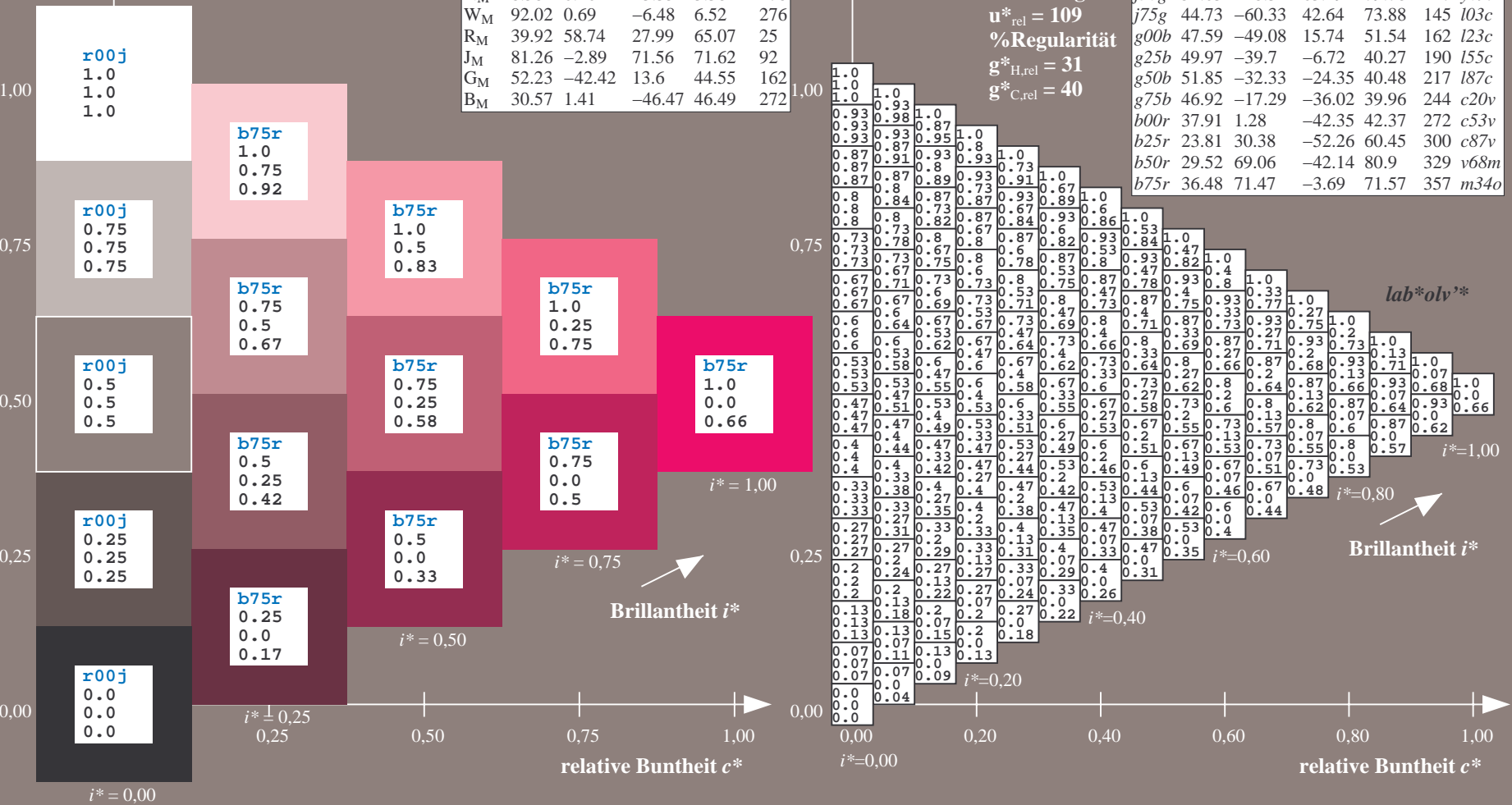
$lab^*olv^*_{Ma}: 1.0\ 0.0\ 0.66$

Dreiecks-Helligkeit t^*

FRS09_92a; adaptierte CIELAB-Daten

u^*_e	$L^*=L^*_a$	a^*_a	b^*_a	$C^*_{ab,a}$	$h^*_{ab,a}$	u^*_d
r00j	35.47	63.32	30.17	70.15	25	m81o
r25j	39.12	54.56	49.45	73.64	42	o10y
r50j	50.64	39.15	64.89	75.79	59	o40y
r75j	64.01	21.26	82.83	85.52	76	o69y
j00g	83.18	-4.38	108.53	108.62	92	o98y
j25g	66.73	-29.89	83.06	88.28	110	y34l
j50g	54.03	-48.31	63.49	79.78	127	y69l
j75g	44.73	-60.33	42.64	73.88	145	162 i03c
g00b	47.59	-49.08	15.74	51.54	162	123c
g25b	49.97	-39.7	-6.72	40.27	190	155c
g50b	51.85	-32.33	-24.35	40.48	217	187c
g75b	46.92	-17.29	-36.02	39.96	244	c20v
b00r	37.91	1.28	-42.35	42.37	272	c53v
b25r	23.81	30.38	-52.26	60.45	300	c87v
b50r	29.52	69.06	-42.14	80.9	329	v68m
b75r	36.48	71.47	-3.69	71.57	357	m34o

lab^*olv^*



Ein und Ausgabe:
 Farbmatisches Drucker-Reflektiv-System FRS09_92a

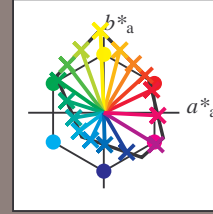
Daten für jede Farbe:
 u^*_e und Nummer $Nr. = 00 \dots 15$

Elementar-Bunttextext:
 $u^*_e = 16$ Bunttoene $r00j, r25j, \dots, b75r$

Kontrastreduzierungsfaktor:
 $c_R = 1.0$

FRS09_92a; adaptierte CIELAB-Daten

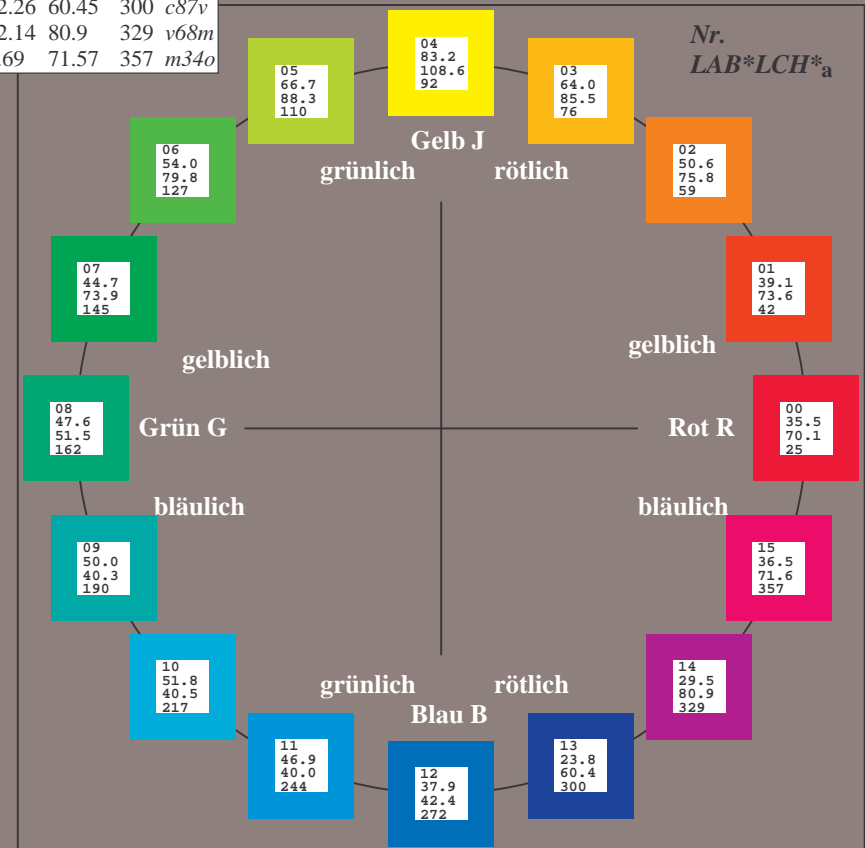
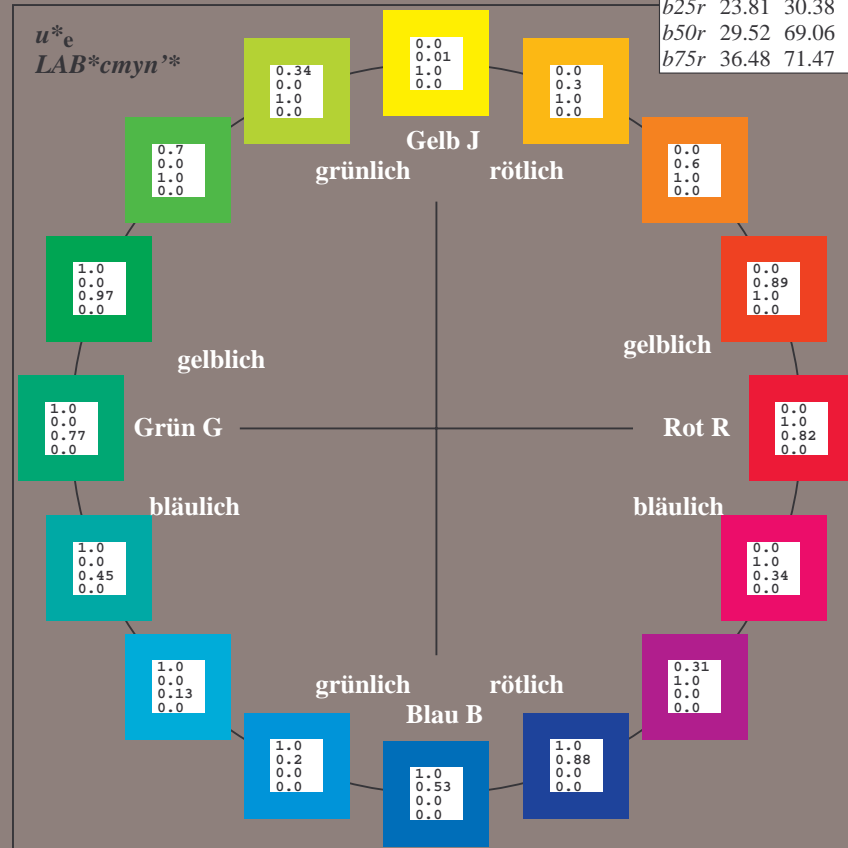
u^*_e	$L^*=L^*_a$	a^*_a	b^*_a	$C^*_{ab,a}$	$h^*_{ab,a}$	u^*_d
r00j	35.47	63.32	30.17	70.15	25	m81o
r25j	39.12	54.56	49.45	73.64	42	o10y
r50j	50.64	39.15	64.89	75.79	59	o40y
r75j	64.01	21.26	82.83	85.52	76	o69y
j00g	83.18	-4.38	108.53	108.62	92	o98y
j25g	66.73	-29.89	83.06	88.28	110	y34l
j50g	54.03	-48.31	63.49	79.78	127	y69l
j75g	44.73	-60.33	42.64	73.88	145	l03c
g00b	47.59	-49.08	15.74	51.54	162	l23c
g25b	49.97	-39.7	-6.72	40.27	190	l55c
g50b	51.85	-32.33	-24.35	40.48	217	l87c
g75b	46.92	-17.29	-36.02	39.96	244	c20v
b00r	37.91	1.28	-42.35	42.37	272	c53v
b25r	23.81	30.38	-52.26	60.45	300	c87v
b50r	29.52	69.06	-42.14	80.9	329	v68m
b75r	36.48	71.47	-3.69	71.57	357	m34o



%Umfang
 $u^*_{rel} = 109$
 %Regularität
 $g^*_{H,rel} = 31$
 $g^*_{C,rel} = 40$

FRS09_92a; CIELAB-Daten

Name	$L^*=L^*$	a^*	b^*	C^*_{ab}	h^*_{ab}
O _M	35.06	60.53	39.66	72.37	33
Y _M	83.77	-4.5	103.15	103.25	92
L _M	44.13	-62.11	43.56	75.86	145
C _M	52.66	-28.56	-36.99	46.73	232
V _M	14.15	50.78	-62.6	80.61	309
M _M	37.37	79.18	-37.93	87.8	334
N _M	8.58	0.46	-3.35	3.38	278
W _M	92.02	0.69	-6.48	6.52	276
R _{CIE}	39.92	58.74	27.99	65.07	25
J _{CIE}	81.26	-2.89	71.56	71.62	92
G _{CIE}	52.23	-42.42	13.6	44.55	162
B _{CIE}	30.57	1.41	-46.47	46.49	272



Ein und Ausgabe: Farbmatisches Drucker-Reflektiv-System FRS09_92a für relativen CIELAB-Bunton $h^* = lab^*h^* = h_{ab}/360 = 0.071$

$u^*_e = r00j$
 $LAB^*cmy^n'^*$

Daten für jede Farbe:

lab^*tch^* und lab^*icu^*

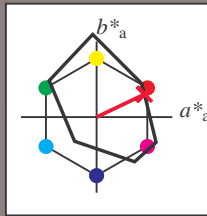
Buntontexte:

$u^*_e = r00j$ $u^*_d = m81o$

Kontrastreduzierungsfaktor:

$c_R = 1.0$

Dreiecks-Helligkeit t^*



FRS09_92a; CIELAB-Daten

	u^*_e	$L^*=L^*$	a^*	b^*	C^*_{ab}	h^*_{ab}
O _M	35.06	60.53	39.66	72.37	33	
Y _M	83.77	-4.5	103.15	103.25	92	
L _M	44.13	-62.11	43.56	75.86	145	
C _M	52.66	-28.56	-36.99	46.73	232	
V _M	14.15	50.78	-62.6	80.61	309	
M _M	37.37	79.18	-37.93	87.8	334	
N _M	8.58	0.46	-3.35	3.38	278	
W _M	92.02	0.69	-6.48	6.52	276	
R _M	39.92	58.74	27.99	65.07	25	
J _M	81.26	-2.89	71.56	71.62	92	
G _M	52.23	-42.42	13.6	44.55	162	
B _M	30.57	1.41	-46.47	46.49	272	

Daten für Maximalfarbe (Ma):

$LAB^*LAB^*_{Ma}$: 35 63 30

$LAB^*LCH^*_{Ma}$: 35 70 25

$lab^*rgb^*_{Ma}$: 1.0 0.0 0.0

$lab^*olv^*_{Ma}$: 1.0 0.0 0.18

Dreiecks-Helligkeit t^*

%Umfang

$u^*_{rel} = 109$

%Regularität

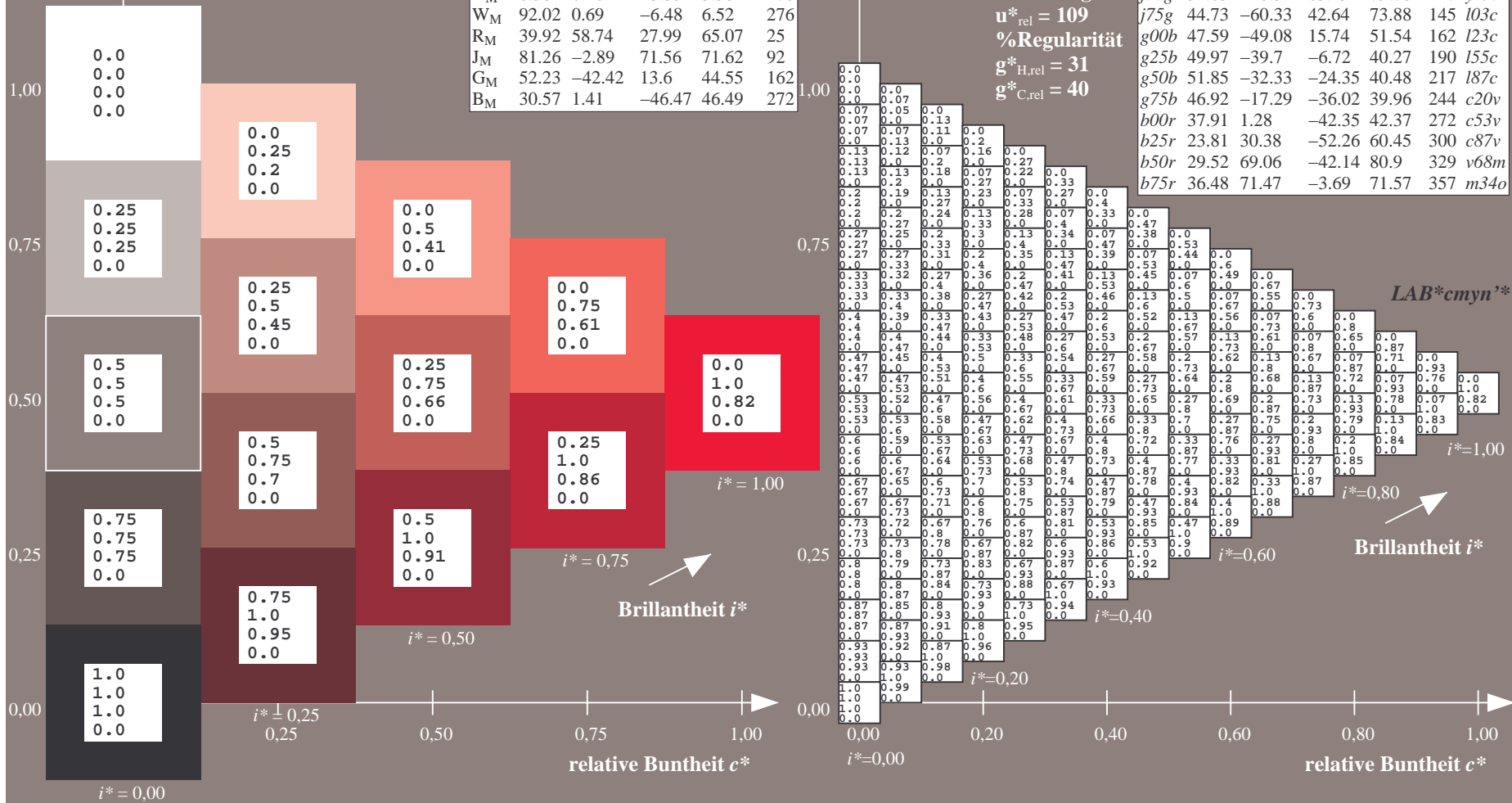
$g^*_{H,rel} = 31$

$g^*_{C,rel} = 40$

FRS09_92a; adaptierte CIELAB-Daten

	u^*_e	$L^*=L^*_a$	a^*_a	b^*_a	$C^*_{ab,a}$	$h^*_{ab,a}$	u^*_d
r00j	35.47	63.32	30.17	70.15	25	m81o	
r25j	39.12	54.56	49.45	73.64	42	o10y	
r50j	50.64	39.15	64.89	75.79	59	o40y	
r75j	64.01	21.26	82.83	85.52	76	o69y	
j00g	83.18	-4.38	108.53	108.62	92	o98y	
j25g	66.73	-29.89	83.06	88.28	110	y34l	
j50g	54.03	-48.31	63.49	79.78	127	y69l	
j75g	44.73	-60.33	42.64	73.88	145	l03c	
g00b	47.59	-49.08	15.74	51.54	162	l23c	
g25b	49.97	-39.7	-6.72	40.27	190	l55c	
g50b	51.85	-32.33	-24.35	40.48	217	l87c	
g75b	46.92	-17.29	-36.02	39.96	244	c20v	
b00r	37.91	1.28	-42.35	42.37	272	c53v	
b25r	23.81	30.38	-52.26	60.45	300	c87v	
b50r	29.52	69.06	-42.14	80.9	329	v68m	
b75r	36.48	71.47	-3.69	71.57	357	m34o	

$LAB^*cmy^n'^*$



Ein und Ausgabe: Farbmatisches Drucker-Reflektiv-System FRS09_92a für relativen CIELAB-Bunton $h^* = lab^*h^* = h_{ab}/360 = 0.117$

$u^*_e = r25j$
 LAB^*cmy^n '*

Daten für jede Farbe:

lab^*tch^* und lab^*icu^*

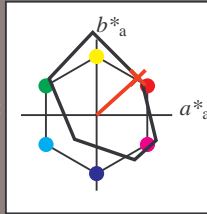
Buntontexte:

$u^*_e = r25j$ $u^*_d = o10y$

Kontrastreduzierungsfaktor:

$c_R = 1.0$

Dreiecks-Helligkeit t^*



FRS09_92a; CIELAB-Daten

u^*_e	$L^*=L^*$	a^*	b^*	C^*_{ab}	h^*_{ab}
O _M	35.06	60.53	39.66	72.37	33
Y _M	83.77	-4.5	103.15	103.25	92
L _M	44.13	-62.11	43.56	75.86	145
C _M	52.66	-28.56	-36.99	46.73	232
V _M	14.15	50.78	-62.6	80.61	309
M _M	37.37	79.18	-37.93	87.8	334
N _M	8.58	0.46	-3.35	3.38	278
W _M	92.02	0.69	-6.48	6.52	276
R _M	39.92	58.74	27.99	65.07	25
J _M	81.26	-2.89	71.56	71.62	92
G _M	52.23	-42.42	13.6	44.55	162
B _M	30.57	1.41	-46.47	46.49	272

Daten für Maximalfarbe (Ma):

$LAB^*LAB^*_{Ma}$: 39 55 49

$LAB^*LCH^*_{Ma}$: 39 74 42

$lab^*rgb^*_{Ma}$: 1.0 0.25 0.0

$lab^*olv^*_{Ma}$: 1.0 0.11 0.0

Dreiecks-Helligkeit t^*

%Umfang

$u^*_{rel} = 109$

%Regularität

$g^*_{H,rel} = 31$

$g^*_{C,rel} = 40$

FRS09_92a; adaptierte CIELAB-Daten

u^*_e	$L^*=L^*_a$	a^*_a	b^*_a	$C^*_{ab,a}$	$h^*_{ab,a}$	u^*_d
r00j	35.47	63.32	30.17	70.15	25	m81o
r25j	39.12	54.56	49.45	73.64	42	o10y
r50j	50.64	39.15	64.89	75.79	59	o40y
r75j	64.01	21.26	82.83	85.52	76	o69y
j00g	83.18	-4.38	108.53	108.62	92	o98y
j25g	66.73	-29.89	83.06	88.28	110	y34l
j50g	54.03	-48.31	63.49	79.78	127	y69l
j75g	44.73	-60.33	42.64	73.88	145	l03c
g00b	47.59	-49.08	15.74	51.54	162	i23c
g25b	49.97	-39.7	-6.72	40.27	190	i55c
g50b	51.85	-32.33	-24.35	40.48	217	i87c
g75b	46.92	-17.29	-36.02	39.96	244	c20v
b00r	37.91	1.28	-42.35	42.37	272	c53v
b25r	23.81	30.38	-52.26	60.45	300	c87v
b50r	29.52	69.06	-42.14	80.9	329	v68m
b75r	36.48	71.47	-3.69	71.57	357	m34o

LAB^*cmy^n '*

$i^* = 1.00$

$i^* = 0.80$

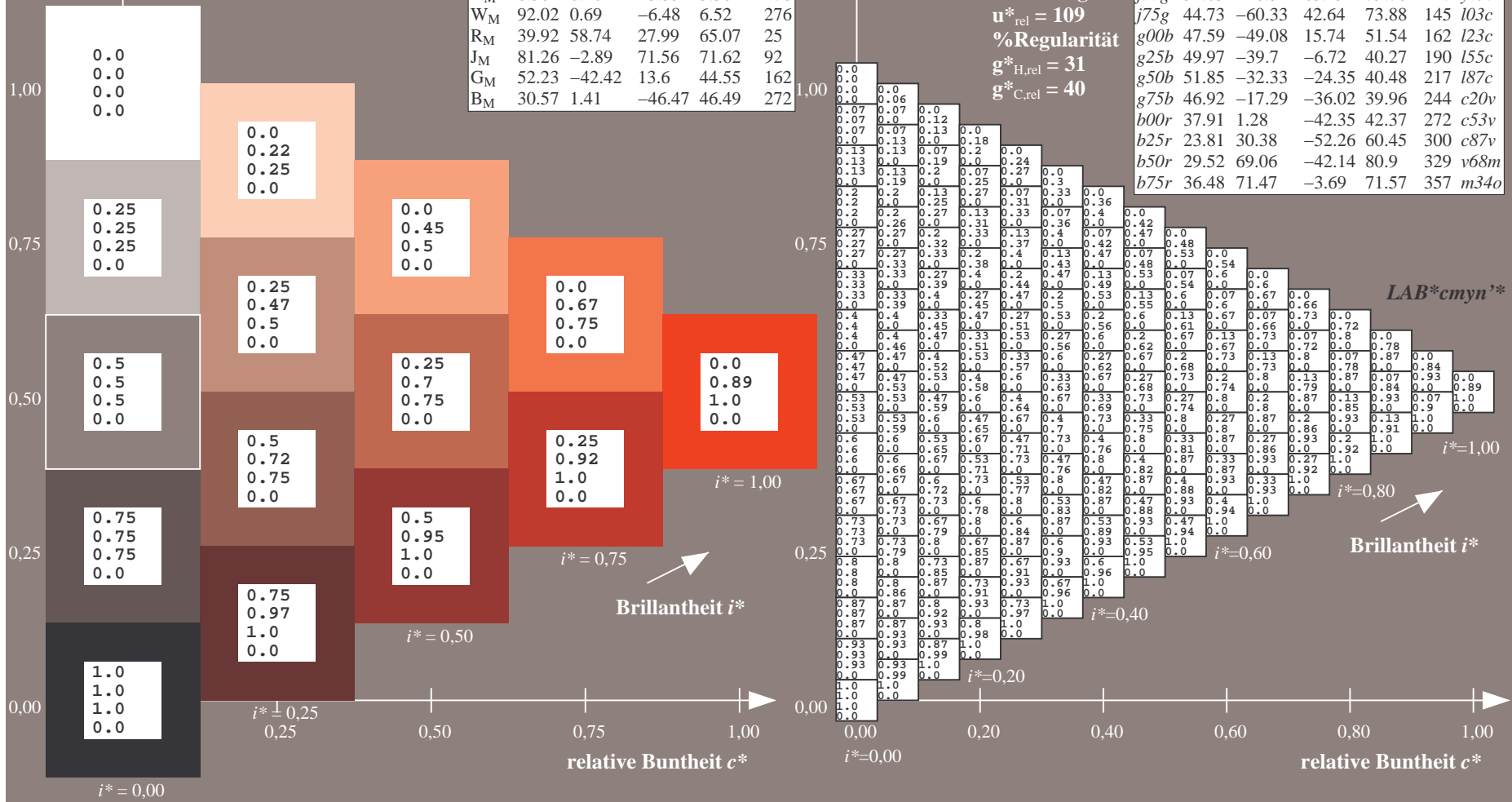
Brillantheit i^*

$i^* = 0.60$

$i^* = 0.40$

$i^* = 0.20$

$i^* = 0.00$



Ein und Ausgabe: Farbmatisches Drucker-Reflektiv-System FRS09_92a für relativen CIELAB-Bunton $h^* = lab^*h^* = h_{ab}/360 = 0.164$

$u^*_e = r50j$
 LAB^*cmy^n '*

Daten für jede Farbe:

lab^*tch^* und lab^*icu^*

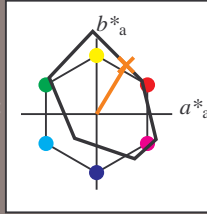
Buntontexte:

$u^*_e = r50j$ $u^*_d = o40y$

Kontrastreduzierungsfaktor:

$c_R = 1.0$

Dreiecks-Helligkeit t^*



FRS09_92a; CIELAB-Daten

	u^*_e	$L^*=L^*$	a^*	b^*	C^*_{ab}	h^*_{ab}
O _M	35.06	60.53	39.66	72.37	33	
Y _M	83.77	-4.5	103.15	103.25	92	
L _M	44.13	-62.11	43.56	75.86	145	
C _M	52.66	-28.56	-36.99	46.73	232	
V _M	14.15	50.78	-62.6	80.61	309	
M _M	37.37	79.18	-37.93	87.8	334	
N _M	8.58	0.46	-3.35	3.38	278	
W _M	92.02	0.69	-6.48	6.52	276	
R _M	39.92	58.74	27.99	65.07	25	
J _M	81.26	-2.89	71.56	71.62	92	
G _M	52.23	-42.42	13.6	44.55	162	
B _M	30.57	1.41	-46.47	46.49	272	

Daten für Maximalfarbe (Ma):

$LAB^*LAB^*_{Ma}$: 51 39 65

$LAB^*LCH^*_{Ma}$: 51 76 58

$lab^*rgb^*_{Ma}$: 1.0 0.5 0.0

$lab^*olv^*_{Ma}$: 1.0 0.4 0.0

Dreiecks-Helligkeit t^*

%Umfang

$u^*_{rel} = 109$

%Regularität

$g^*_{H,rel} = 31$

$g^*_{C,rel} = 40$

FRS09_92a; adaptierte CIELAB-Daten

	u^*_e	$L^*=L^*_a$	a^*_a	b^*_a	$C^*_{ab,a}$	$h^*_{ab,a}$	u^*_d
r00j	35.47	63.32	30.17	70.15	25	m81o	
r25j	39.12	54.56	49.45	73.64	42	o10y	
r50j	50.64	39.15	64.89	75.79	59	o40y	
r75j	64.01	21.26	82.83	85.52	76	o69y	
j00g	83.18	-4.38	108.53	108.62	92	o98y	
j25g	66.73	-29.89	83.06	88.28	110	y34l	
j50g	54.03	-48.31	63.49	79.78	127	y69l	
j75g	44.73	-60.33	42.64	73.88	145	l03c	
g00b	47.59	-49.08	15.74	51.54	162	l23c	
g25b	49.97	-39.7	-6.72	40.27	190	l55c	
g50b	51.85	-32.33	-24.35	40.48	217	l87c	
g75b	46.92	-17.29	-36.02	39.96	244	c20v	
b00r	37.91	1.28	-42.35	42.37	272	c53v	
b25r	23.81	30.38	-52.26	60.45	300	c87v	
b50r	29.52	69.06	-42.14	80.9	329	v68m	
b75r	36.48	71.47	-3.69	71.57	357	m34o	

LAB^*cmy^n '*

$i^* = 1.00$

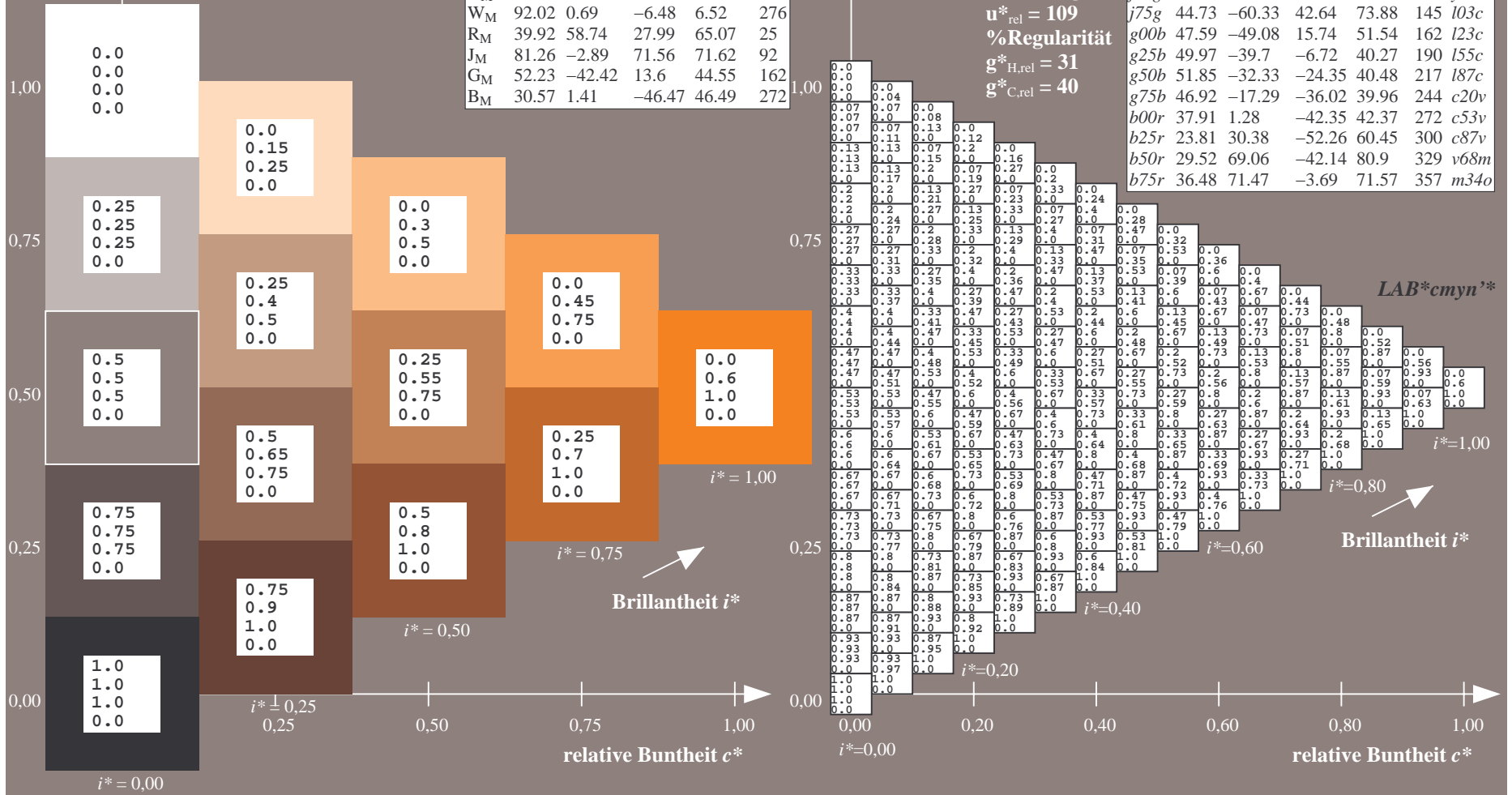
$i^* = 0.80$

$i^* = 0.60$

$i^* = 0.40$

$i^* = 0.20$

$i^* = 0.00$



Ein und Ausgabe: Farbmatisches Drucker-Reflektiv-System FRS09_92a für relativen CIELAB-Bunton $h^* = lab^*h^* = h_{ab}/360 = 0.21$

$u^*_e = r75j$
 $LAB^*cmy^n'^*$

Daten für jede Farbe:

lab^*tch^* und lab^*icu^*

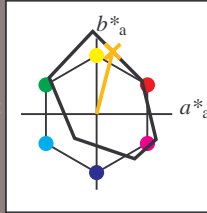
Buntontexte:

$u^*_e = r75j$ $u^*_d = o69y$

Kontrastreduzierungsfaktor:

$c_R = 1.0$

Dreiecks-Helligkeit t^*



FRS09_92a; CIELAB-Daten

	u^*_e	$L^*=L^*$	a^*	b^*	C^*_{ab}	h^*_{ab}
O _M	35.06	60.53	39.66	72.37	33	
Y _M	83.77	-4.5	103.15	103.25	92	
L _M	44.13	-62.11	43.56	75.86	145	
C _M	52.66	-28.56	-36.99	46.73	232	
V _M	14.15	50.78	-62.6	80.61	309	
M _M	37.37	79.18	-37.93	87.8	334	
N _M	8.58	0.46	-3.35	3.38	278	
W _M	92.02	0.69	-6.48	6.52	276	
R _M	39.92	58.74	27.99	65.07	25	
J _M	81.26	-2.89	71.56	71.62	92	
G _M	52.23	-42.42	13.6	44.55	162	
B _M	30.57	1.41	-46.47	46.49	272	

Daten für Maximalfarbe (Ma):

$LAB^*LAB^*_{Ma}$: 64 21 83

$LAB^*LCH^*_{Ma}$: 64 86 75

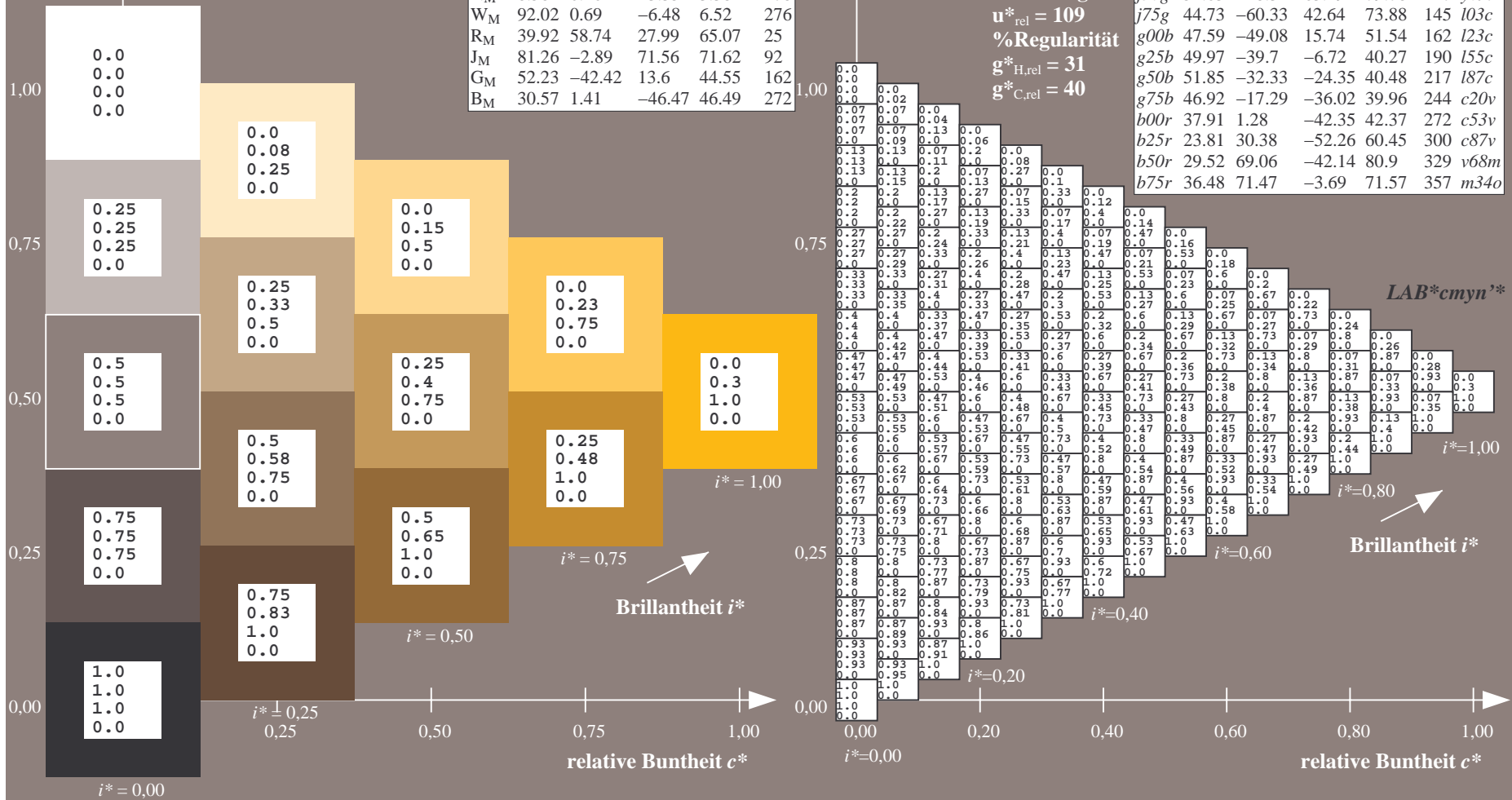
$lab^*rgb^*_{Ma}$: 1.0 0.75 0.0

$lab^*olv^*_{Ma}$: 1.0 0.7 0.0

Dreiecks-Helligkeit t^*

FRS09_92a; adaptierte CIELAB-Daten

	u^*_e	$L^*=L^*_a$	a^*_a	b^*_a	$C^*_{ab,a}$	$h^*_{ab,a}$	u^*_d
r00j	35.47	63.32	30.17	70.15	25	m81o	
r25j	39.12	54.56	49.45	73.64	42	o10y	
r50j	50.64	39.15	64.89	75.79	59	o40y	
r75j	64.01	21.26	82.83	85.52	76	o69y	
j00g	83.18	-4.38	108.53	108.62	92	o98y	
j25g	66.73	-29.89	83.06	88.28	110	y34l	
j50g	54.03	-48.31	63.49	79.78	127	y69l	
j75g	44.73	-60.33	42.64	73.88	145	i03c	
g00b	47.59	-49.08	15.74	51.54	162	l23c	
g25b	49.97	-39.7	-6.72	40.27	190	i55c	
g50b	51.85	-32.33	-24.35	40.48	217	i87c	
g75b	46.92	-17.29	-36.02	39.96	244	c20v	
b00r	37.91	1.28	-42.35	42.37	272	c53v	
b25r	23.81	30.38	-52.26	60.45	300	c87v	
b50r	29.52	69.06	-42.14	80.9	329	v68m	
b75r	36.48	71.47	-3.69	71.57	357	m34o	



Ein und Ausgabe: Farbmatisches Drucker-Reflektiv-System FRS09_92a für relativen CIELAB-Bunton $h^* = lab^*h^* = h_{ab}/360 = 0.256$

$u^*_e = j00g$
 $LAB^*cmy^n'^*$

Daten für jede Farbe:

lab^*tch^* und lab^*icu^*

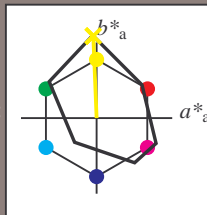
Buntontexte:

$u^*_e = j00g$ $u^*_d = o98y$

Kontrastreduzierungsfaktor:

$c_R = 1.0$

Dreiecks-Helligkeit t^*



FRS09_92a; CIELAB-Daten

	u^*_e	$L^*=L^*$	a^*	b^*	C^*_{ab}	h^*_{ab}
O _M	35.06	60.53	39.66	72.37	33	
Y _M	83.77	-4.5	103.15	103.25	92	
L _M	44.13	-62.11	43.56	75.86	145	
C _M	52.66	-28.56	-36.99	46.73	232	
V _M	14.15	50.78	-62.6	80.61	309	
M _M	37.37	79.18	-37.93	87.8	334	
N _M	8.58	0.46	-3.35	3.38	278	
W _M	92.02	0.69	-6.48	6.52	276	
R _M	39.92	58.74	27.99	65.07	25	
J _M	81.26	-2.89	71.56	71.62	92	
G _M	52.23	-42.42	13.6	44.55	162	
B _M	30.57	1.41	-46.47	46.49	272	

Daten für Maximalfarbe (Ma):

$LAB^*LAB^*_{Ma}$: 83 -4 109

$LAB^*LCH^*_{Ma}$: 83 109 92

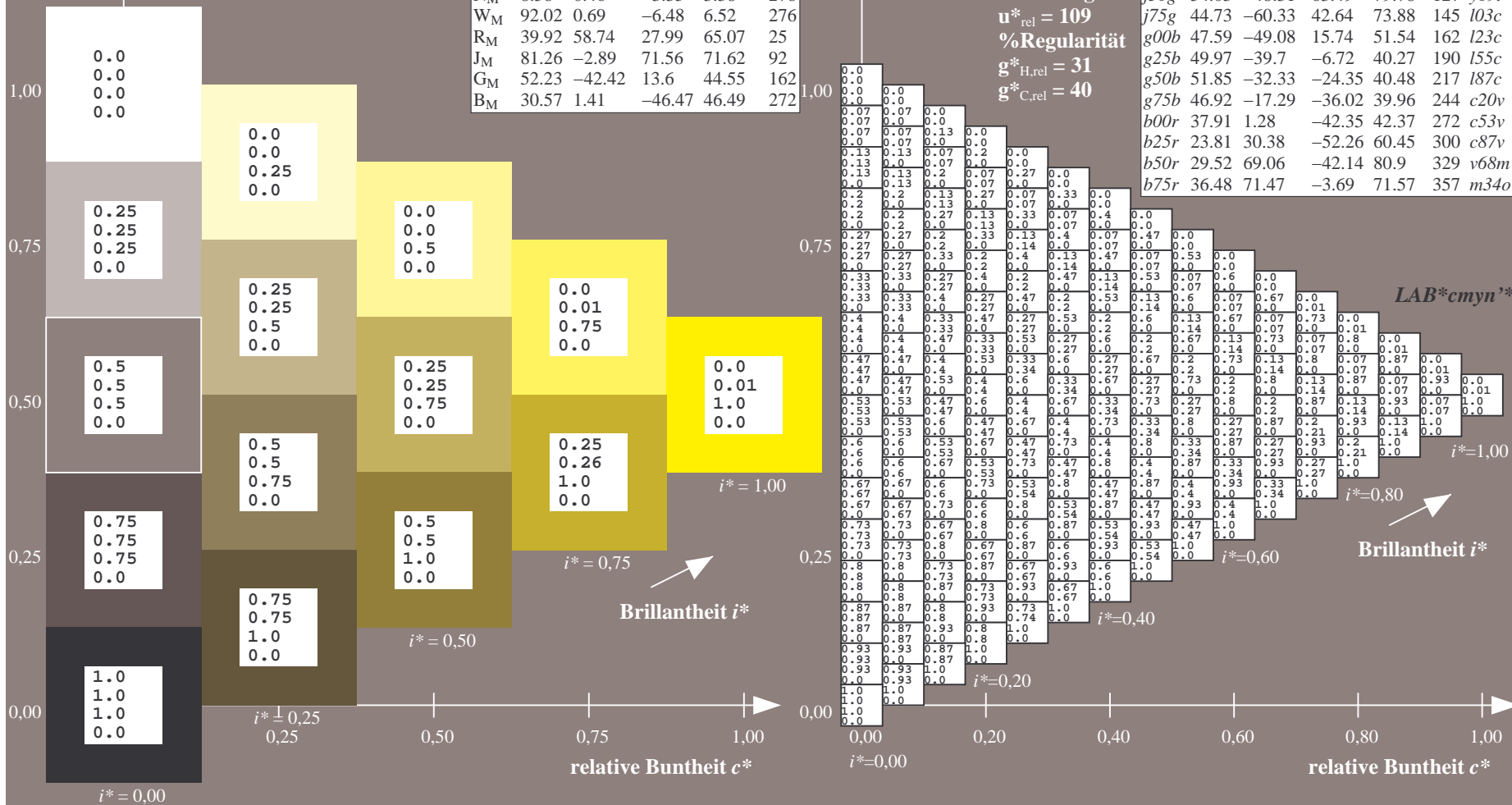
$lab^*rgb^*_{Ma}$: 1.0 1.0 0.0

$lab^*olv^*_{Ma}$: 1.0 0.99 0.0

Dreiecks-Helligkeit t^*

FRS09_92a; adaptierte CIELAB-Daten

	u^*_e	$L^*=L^*_a$	a^*_a	b^*_a	$C^*_{ab,a}$	$h^*_{ab,a}$	u^*_d
r00j	35.47	63.32	30.17	70.15	25	m81o	
r25j	39.12	54.56	49.45	73.64	42	o10y	
r50j	50.64	39.15	64.89	75.79	59	o40y	
r75j	64.01	21.26	82.83	85.52	76	o69y	
j00g	83.18	-4.38	108.53	108.62	92	o98y	
j25g	66.73	-29.89	83.06	88.28	110	y34l	
j50g	54.03	-48.31	63.49	79.78	127	y69l	
j75g	44.73	-60.33	42.64	73.88	145	i03c	
g00b	47.59	-49.08	15.74	51.54	162	i23c	
g25b	49.97	-39.7	-6.72	40.27	190	i55c	
g50b	51.85	-32.33	-24.35	40.48	217	i87c	
g75b	46.92	-17.29	-36.02	39.96	244	c20v	
b00r	37.91	1.28	-42.35	42.37	272	c53v	
b25r	23.81	30.38	-52.26	60.45	300	c87v	
b50r	29.52	69.06	-42.14	80.9	329	v68m	
b75r	36.48	71.47	-3.69	71.57	357	m34o	



Ein und Ausgabe: Farbmatisches Drucker-Reflektiv-System FRS09_92a für relativen CIELAB-Bunton $h^* = lab \cdot h^* = h_{ab}/360 = 0.305$

$u^*_e = j25g$
LAB*cmyn**

Daten für jede Farbe:

$lab \cdot tch^*$ und $lab \cdot icu^*$

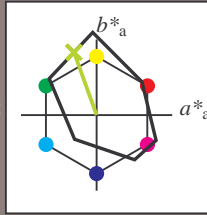
Buntontexte:

$u^*_e = j25g$ $u^*_d = y34l$

Kontrastreduzierungsfaktor:

$c_R = 1.0$

Dreiecks-Helligkeit t^*



FRS09_92a; CIELAB-Daten

	u^*_e	$L^*=L^*$	a^*	b^*	C^*_{ab}	h^*_{ab}
O _M	35.06	60.53	39.66	72.37	33	
Y _M	83.77	-4.5	103.15	103.25	92	
L _M	44.13	-62.11	43.56	75.86	145	
C _M	52.66	-28.56	-36.99	46.73	232	
V _M	14.15	50.78	-62.6	80.61	309	
M _M	37.37	79.18	-37.93	87.8	334	
N _M	8.58	0.46	-3.35	3.38	278	
W _M	92.02	0.69	-6.48	6.52	276	
R _M	39.92	58.74	27.99	65.07	25	
J _M	81.26	-2.89	71.56	71.62	92	
G _M	52.23	-42.42	13.6	44.55	162	
B _M	30.57	1.41	-46.47	46.49	272	

Daten für Maximalfarbe (Ma):

LAB*LAB*Ma: 67 -30 83

LAB*LCH*Ma: 67 88 109

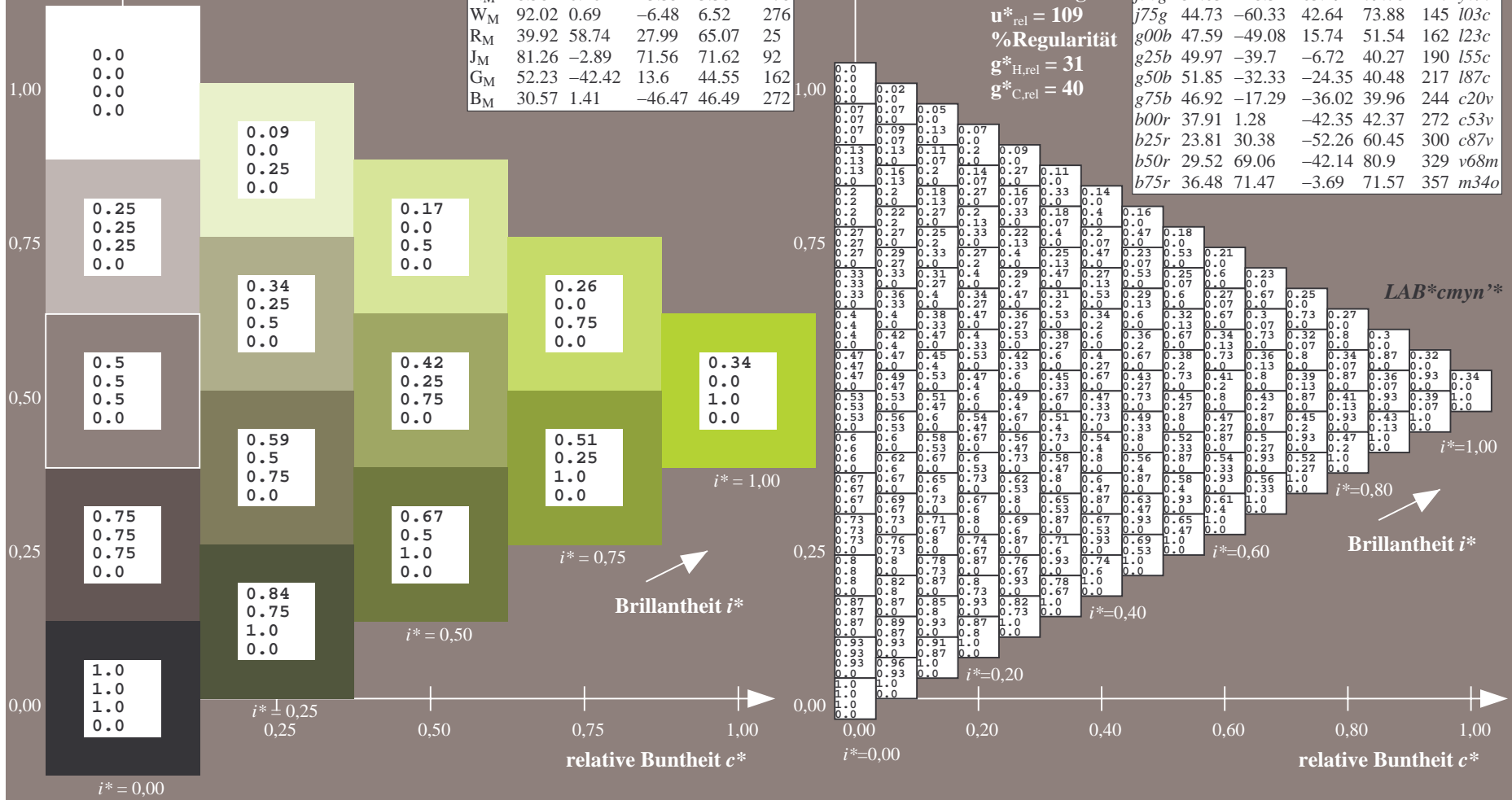
lab*rgb*Ma: 0.75 1.0 0.0

lab*olv*Ma: 0.66 1.0 0.0

Dreiecks-Helligkeit t^*

FRS09_92a; adaptierte CIELAB-Daten

	u^*_e	$L^*=L^*_a$	a^*_a	b^*_a	$C^*_{ab,a}$	$h^*_{ab,a}$	u^*_d
r00j	35.47	63.32	30.17	70.15	25	m81o	
r25j	39.12	54.56	49.45	73.64	42	o10y	
r50j	50.64	39.15	64.89	75.79	59	o40y	
r75j	64.01	21.26	82.83	85.52	76	o69y	
j00g	83.18	-4.38	108.53	108.62	92	o98y	
j25g	66.73	-29.89	83.06	88.28	110	y34l	
j50g	54.03	-48.31	63.49	79.78	127	y69l	
j75g	44.73	-60.33	42.64	73.88	145	i03c	
g00b	47.59	-49.08	15.74	51.54	162	i23c	
g25b	49.97	-39.7	-6.72	40.27	190	i55c	
g50b	51.85	-32.33	-24.35	40.48	217	i87c	
g75b	46.92	-17.29	-36.02	39.96	244	c20v	
b00r	37.91	1.28	-42.35	42.37	272	c53v	
b25r	23.81	30.38	-52.26	60.45	300	c87v	
b50r	29.52	69.06	-42.14	80.9	329	v68m	
b75r	36.48	71.47	-3.69	71.57	357	m34o	



Ein und Ausgabe: Farbmatisches Drucker-Reflektiv-System FRS09_92a für relativen CIELAB-Bunton $h^* = lab^*h^* = h_{ab}/360 = 0.354$

$u^*_e = j50g$
LAB**cmy*n**

Daten für jede Farbe:

lab^*tch^* und lab^*icu^*

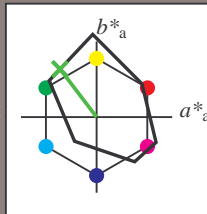
Buntontexte:

$u^*_e = j50g$ $u^*_d = y69l$

Kontrastreduzierungsfaktor:

$c_R = 1.0$

Dreiecks-Helligkeit t^*



FRS09_92a; CIELAB-Daten

u^*_e	$L^*=L^*$	a^*	b^*	C^*_{ab}	h^*_{ab}
O _M	35.06	60.53	39.66	72.37	33
Y _M	83.77	-4.5	103.15	103.25	92
L _M	44.13	-62.11	43.56	75.86	145
C _M	52.66	-28.56	-36.99	46.73	232
V _M	14.15	50.78	-62.6	80.61	309
M _M	37.37	79.18	-37.93	87.8	334
N _M	8.58	0.46	-3.35	3.38	278
W _M	92.02	0.69	-6.48	6.52	276
R _M	39.92	58.74	27.99	65.07	25
J _M	81.26	-2.89	71.56	71.62	92
G _M	52.23	-42.42	13.6	44.55	162
B _M	30.57	1.41	-46.47	46.49	272

Daten für Maximalfarbe (Ma):

LAB*LAB*_{Ma}: 54 -48 63

LAB*LCH*_{Ma}: 54 80 127

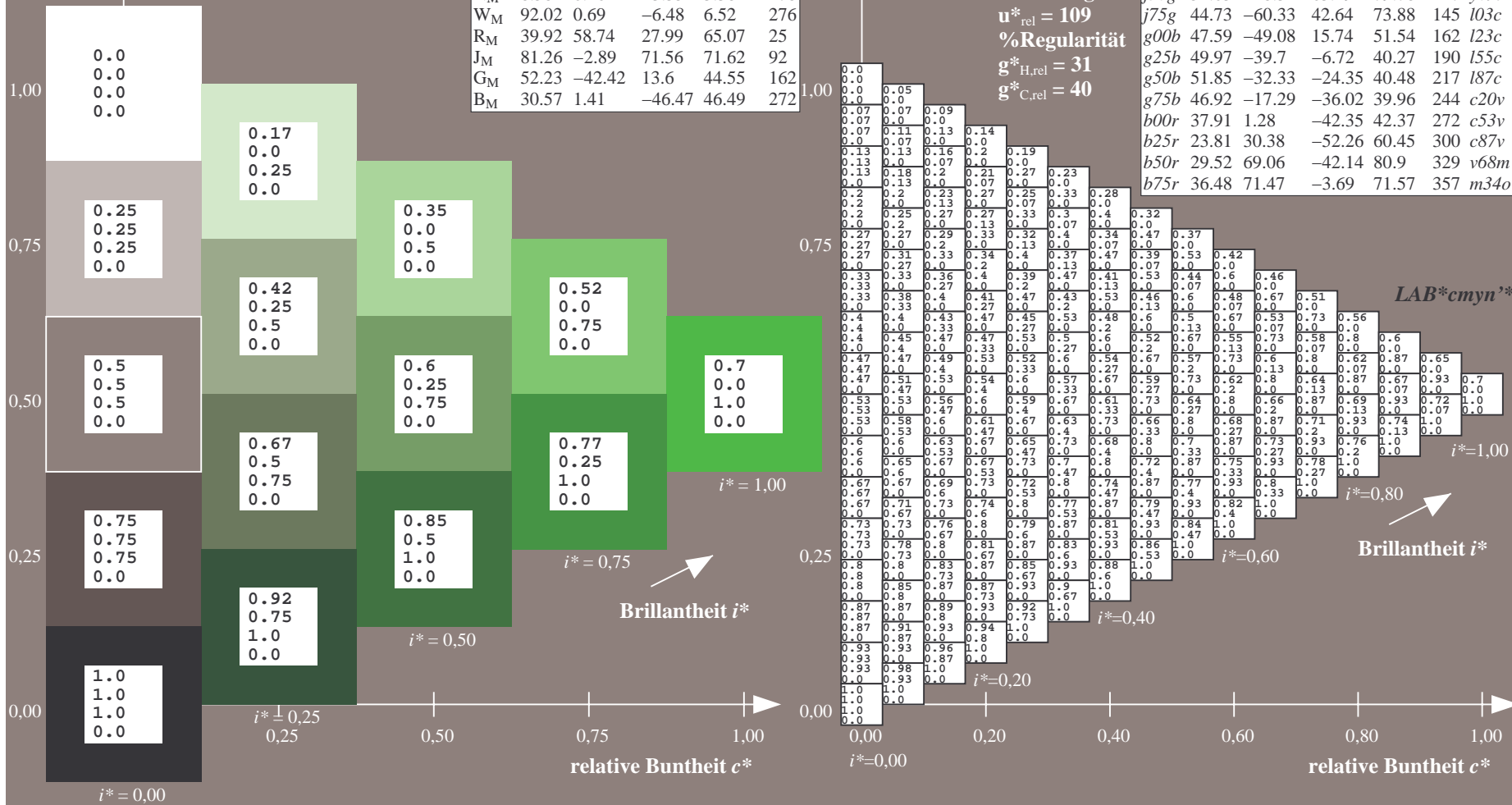
lab*rgb*_{Ma}: 0.5 1.0 0.0

lab*olv*_{Ma}: 0.3 1.0 0.0

Dreiecks-Helligkeit t^*

FRS09_92a; adaptierte CIELAB-Daten

u^*_e	$L^*=L^*_a$	a^*_a	b^*_a	$C^*_{ab,a}$	$h^*_{ab,a}$	u^*_d
r00j	35.47	63.32	30.17	70.15	25	m81o
r25j	39.12	54.56	49.45	73.64	42	o10y
r50j	50.64	39.15	64.89	75.79	59	o40y
r75j	64.01	21.26	82.83	85.52	76	o69y
j00g	83.18	-4.38	108.53	108.62	92	o98y
j25g	66.73	-29.89	83.06	88.28	110	y34l
j50g	54.03	-48.31	63.49	79.78	127	y69l
j75g	44.73	-60.33	42.64	73.88	145	i03c
g00b	47.59	-49.08	15.74	51.54	162	i23c
g25b	49.97	-39.7	-6.72	40.27	190	i55c
g50b	51.85	-32.33	-24.35	40.48	217	i87c
g75b	46.92	-17.29	-36.02	39.96	244	c20v
b00r	37.91	1.28	-42.35	42.37	272	c53v
b25r	23.81	30.38	-52.26	60.45	300	c87v
b50r	29.52	69.06	-42.14	80.9	329	v68m
b75r	36.48	71.47	-3.69	71.57	357	m34o



Ein und Ausgabe: Farbmatisches Drucker-Reflektiv-System FRS09_92a für relativen CIELAB-Bunton $h^* = lab^*h^* = h_{ab}/360 = 0.402$

$u^*_e = j75g$
LAB*cmyn**

Daten für jede Farbe:

lab^*ch^* und lab^*icu^*

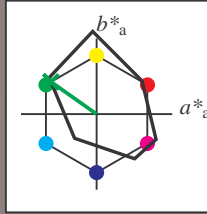
Buntontexte:

$u^*_e = j75g$ $u^*_d = l03c$

Kontrastreduzierungsfaktor:

$c_R = 1.0$

Dreiecks-Helligkeit t^*



FRS09_92a; CIELAB-Daten

	u^*_e	$L^*=L^*$	a^*	b^*	C^*_{ab}	h^*_{ab}
O _M	35.06	60.53	39.66	72.37	33	
Y _M	83.77	-4.5	103.15	103.25	92	
L _M	44.13	-62.11	43.56	75.86	145	
C _M	52.66	-28.56	-36.99	46.73	232	
V _M	14.15	50.78	-62.6	80.61	309	
M _M	37.37	79.18	-37.93	87.8	334	
N _M	8.58	0.46	-3.35	3.38	278	
W _M	92.02	0.69	-6.48	6.52	276	
R _M	39.92	58.74	27.99	65.07	25	
J _M	81.26	-2.89	71.56	71.62	92	
G _M	52.23	-42.42	13.6	44.55	162	
B _M	30.57	1.41	-46.47	46.49	272	

Daten für Maximalfarbe (Ma):

LAB*LAB*Ma: 45 -60 43

LAB*LCH*Ma: 45 74 144

lab*rgb*Ma: 0.25 1.0 0.0

lab*olv*Ma: 0.0 1.0 0.03

Dreiecks-Helligkeit t^*

%Umfang

$u^*_{rel} = 109$

%Regularität

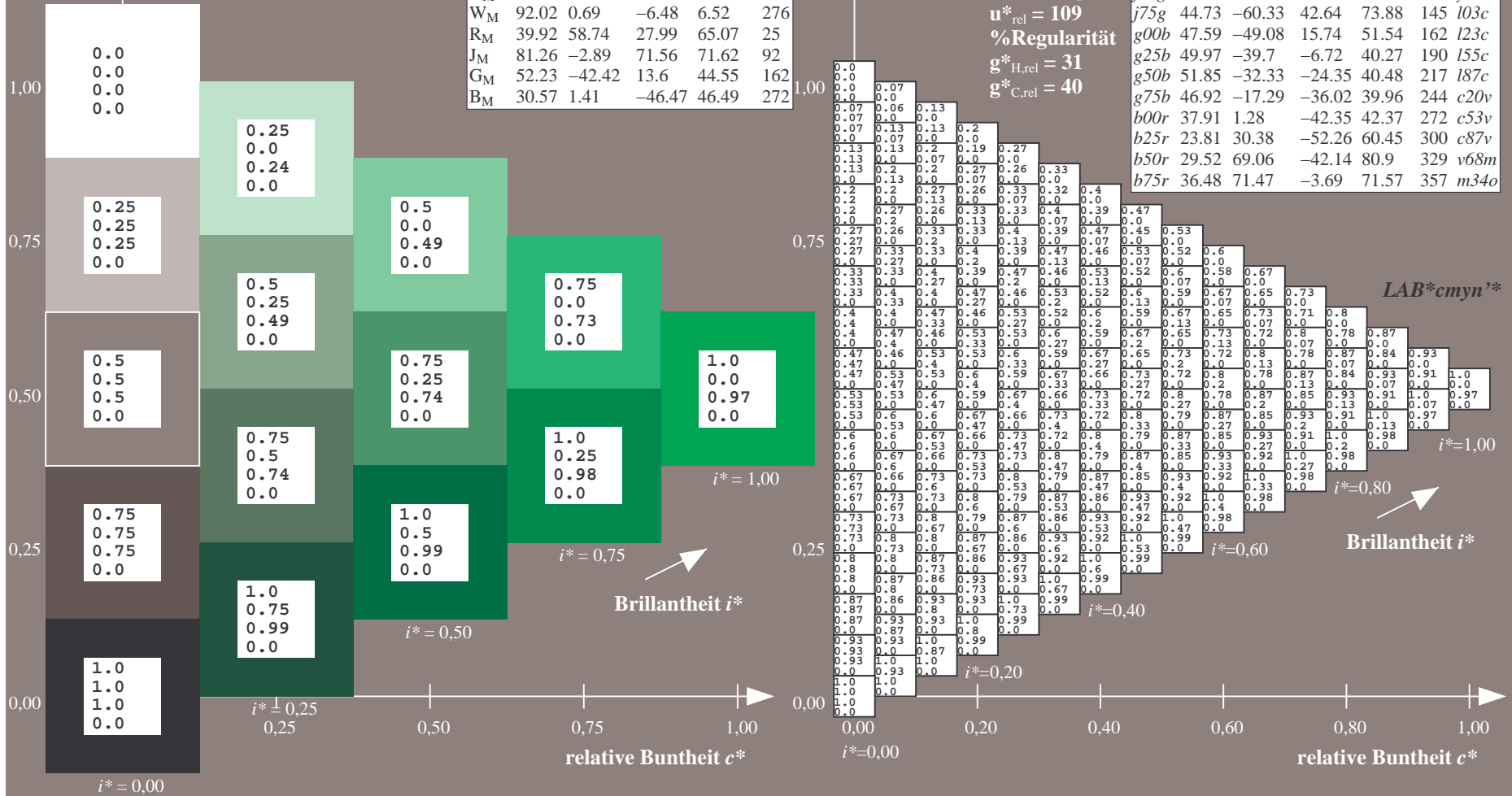
$g^*_{H,rel} = 31$

$g^*_{C,rel} = 40$

FRS09_92a; adaptierte CIELAB-Daten

	u^*_e	$L^*=L^*_a$	a^*_a	b^*_a	$C^*_{ab,a}$	$h^*_{ab,a}$	u^*_d
r00j	35.47	63.32	30.17	70.15	25	m81o	
r25j	39.12	54.56	49.45	73.64	42	o10y	
r50j	50.64	39.15	64.89	75.79	59	o40y	
r75j	64.01	21.26	82.83	85.52	76	o69y	
j00g	83.18	-4.38	108.53	108.62	92	o98y	
j25g	66.73	-29.89	83.06	88.28	110	y34l	
j50g	54.03	-48.31	63.49	79.78	127	y69l	
j75g	44.73	-60.33	42.64	73.88	145	l03c	
g00b	47.59	-49.08	15.74	51.54	162	l23c	
g25b	49.97	-39.7	-6.72	40.27	190	l55c	
g50b	51.85	-32.33	-24.35	40.48	217	l87c	
g75b	46.92	-17.29	-36.02	39.96	244	c20v	
b00r	37.91	1.28	-42.35	42.37	272	c53v	
b25r	23.81	30.38	-52.26	60.45	300	c87v	
b50r	29.52	69.06	-42.14	80.9	329	v68m	
b75r	36.48	71.47	-3.69	71.57	357	m34o	

LAB*cmyn**



Ein und Ausgabe: Farbmatisches Drucker-Reflektiv-System FRS09_92a für relativen CIELAB-Bunton $h^* = lab^*h^* = h_{ab}/360 = 0.451$

$u^*_e = g00b$
 LAB^*cmy^n '*

Daten für jede Farbe:

lab^*ch^* und lab^*icu^*

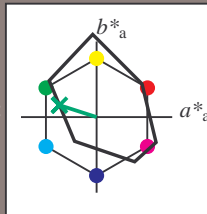
Buntontexte:

$u^*_e = g00b$ $u^*_d = l23c$

Kontrastreduzierungsfaktor:

$c_R = 1.0$

Dreiecks-Helligkeit t^*



FRS09_92a; CIELAB-Daten

	u^*_e	$L^*=L^*$	a^*	b^*	C^*_{ab}	h^*_{ab}
O _M	35.06	60.53	39.66	72.37	33	
Y _M	83.77	-4.5	103.15	103.25	92	
L _M	44.13	-62.11	43.56	75.86	145	
C _M	52.66	-28.56	-36.99	46.73	232	
V _M	14.15	50.78	-62.6	80.61	309	
M _M	37.37	79.18	-37.93	87.8	334	
N _M	8.58	0.46	-3.35	3.38	278	
W _M	92.02	0.69	-6.48	6.52	276	
R _M	39.92	58.74	27.99	65.07	25	
J _M	81.26	-2.89	71.56	71.62	92	
G _M	52.23	-42.42	13.6	44.55	162	
B _M	30.57	1.41	-46.47	46.49	272	

Daten für Maximalfarbe (Ma):

$LAB^*LAB^*_{Ma}: 48 -49 16$

$LAB^*LCH^*_{Ma}: 48 52 162$

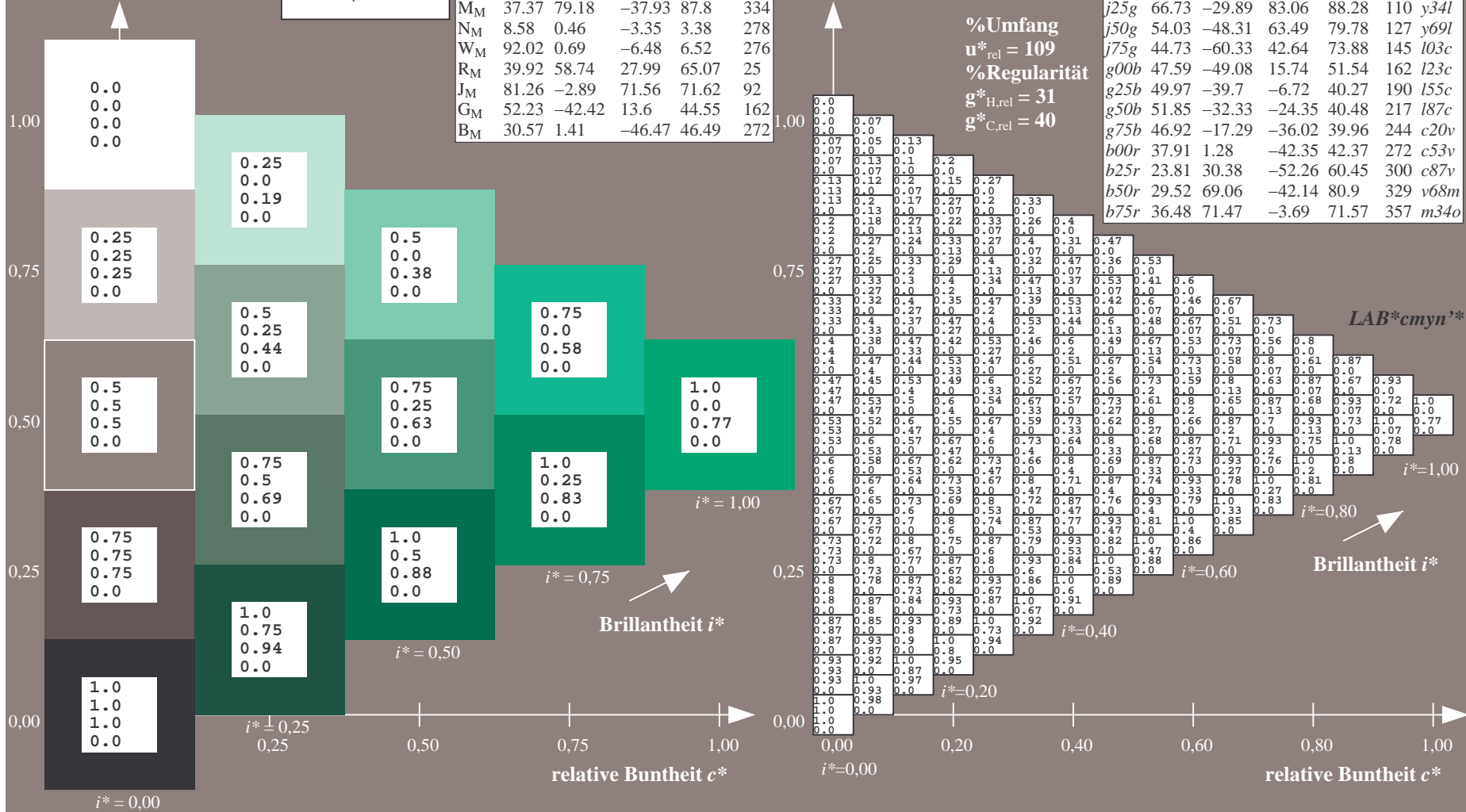
$lab^*rgb^*_{Ma}: 0.0 1.0 0.0$

$lab^*olv^*_{Ma}: 0.0 1.0 0.23$

Dreiecks-Helligkeit t^*

FRS09_92a; adaptierte CIELAB-Daten

	u^*_e	$L^*=L^*_a$	a^*_a	b^*_a	$C^*_{ab,a}$	$h^*_{ab,a}$	u^*_d
r00j	35.47	63.32	30.17	70.15	25	m81o	
r25j	39.12	54.56	49.45	73.64	42	o10y	
r50j	50.64	39.15	64.89	75.79	59	o40y	
r75j	64.01	21.26	82.83	85.52	76	o69y	
j00g	83.18	-4.38	108.53	108.62	92	o98y	
j25g	66.73	-29.89	83.06	88.28	110	y34l	
j50g	54.03	-48.31	63.49	79.78	127	y69l	
j75g	44.73	-60.33	42.64	73.88	145	l03c	
g00b	47.59	-49.08	15.74	51.54	162	l23c	
g25b	49.97	-39.7	-6.72	40.27	190	l55c	
g50b	51.85	-32.33	-24.35	40.48	217	l87c	
g75b	46.92	-17.29	-36.02	39.96	244	c20v	
b00r	37.91	1.28	-42.35	42.37	272	c53v	
b25r	23.81	30.38	-52.26	60.45	300	c87v	
b50r	29.52	69.06	-42.14	80.9	329	v68m	
b75r	36.48	71.47	-3.69	71.57	357	m34o	



Ein und Ausgabe: Farbmatisches Drucker-Reflektiv-System FRS09_92a für relativen CIELAB-Bunton $h^* = lab^*h^* = h_{ab}/360 = 0.527$

$u^*_e = g25b$
 $LAB^*cmy^n'^*$

Daten für jede Farbe:

lab^*ch^* und lab^*icu^*

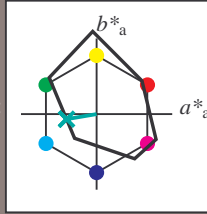
Buntontexte:

$u^*_e = g25b$ $u^*_d = l55c$

Kontrastreduzierungsfaktor:

$c_R = 1.0$

Dreiecks-Helligkeit t^*



FRS09_92a; CIELAB-Daten

	u^*_e	$L^*=L^*$	a^*	b^*	C^*_{ab}	h^*_{ab}
O _M	35.06	60.53	39.66	72.37	33	
Y _M	83.77	-4.5	103.15	103.25	92	
L _M	44.13	-62.11	43.56	75.86	145	
C _M	52.66	-28.56	-36.99	46.73	232	
V _M	14.15	50.78	-62.6	80.61	309	
M _M	37.37	79.18	-37.93	87.8	334	
N _M	8.58	0.46	-3.35	3.38	278	
W _M	92.02	0.69	-6.48	6.52	276	
R _M	39.92	58.74	27.99	65.07	25	
J _M	81.26	-2.89	71.56	71.62	92	
G _M	52.23	-42.42	13.6	44.55	162	
B _M	30.57	1.41	-46.47	46.49	272	

Daten für Maximalfarbe (Ma):

$LAB^*LAB^*_{Ma}: 50 -40 -7$

$LAB^*LCH^*_{Ma}: 50 40 189$

$lab^*rgb^*_{Ma}: 0.0 1.0 0.5$

$lab^*olv^*_{Ma}: 0.0 1.0 0.55$

Dreiecks-Helligkeit t^*

%Umfang

$u^*_{rel} = 109$

%Regularität

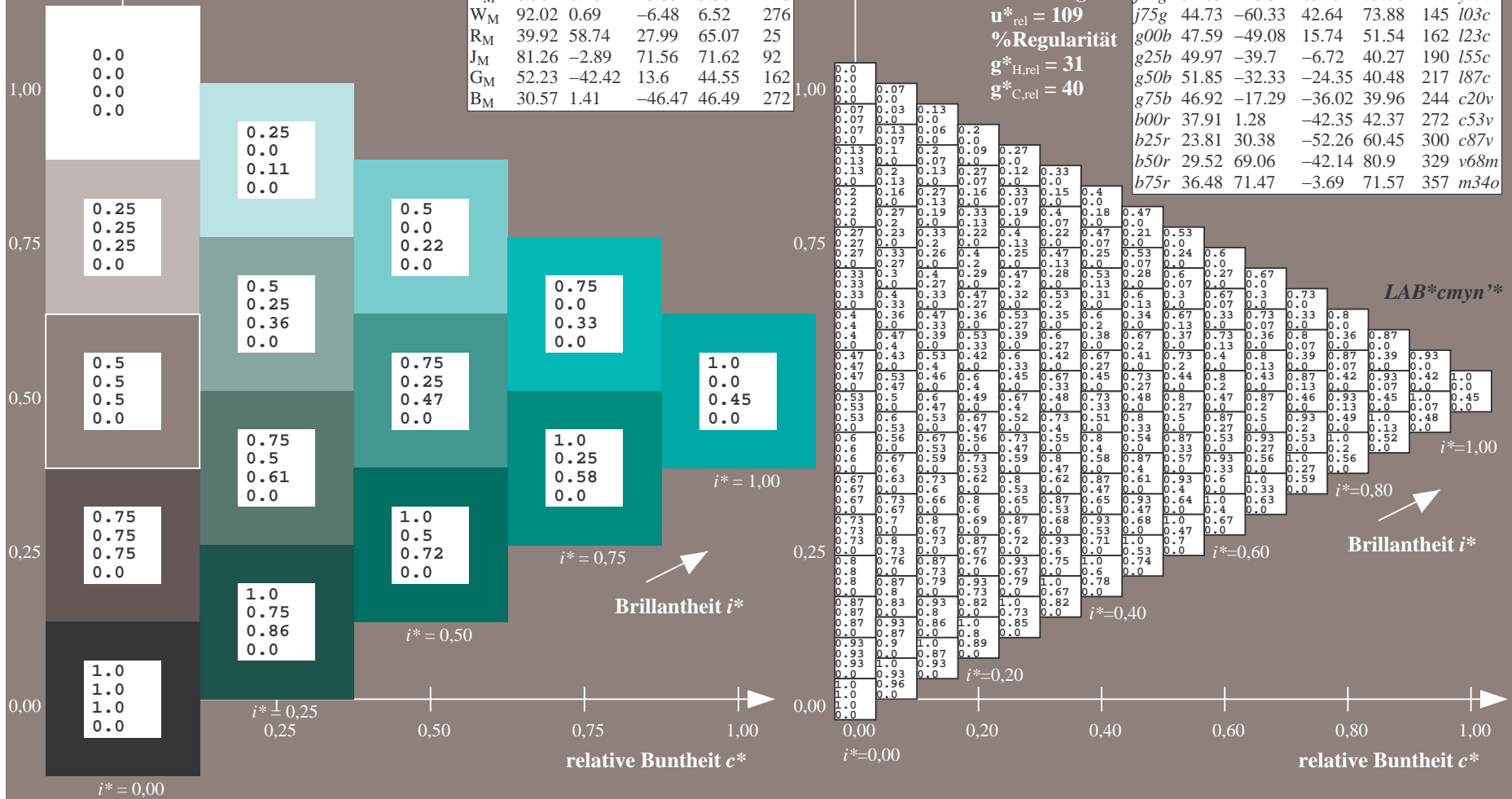
$g^*_{H,rel} = 31$

$g^*_{C,rel} = 40$

FRS09_92a; adaptierte CIELAB-Daten

	u^*_e	$L^*=L^*_a$	a^*_a	b^*_a	$C^*_{ab,a}$	$h^*_{ab,a}$	u^*_d
r00j	35.47	63.32	30.17	70.15	25	m81o	
r25j	39.12	54.56	49.45	73.64	42	o10y	
r50j	50.64	39.15	64.89	75.79	59	o40y	
r75j	64.01	21.26	82.83	85.52	76	o69y	
j00g	83.18	-4.38	108.53	108.62	92	o98y	
j25g	66.73	-29.89	83.06	88.28	110	y34l	
j50g	54.03	-48.31	63.49	79.78	127	y69l	
j75g	44.73	-60.33	42.64	73.88	145	l03c	
g00b	47.59	-49.08	15.74	51.54	162	l23c	
g25b	49.97	-39.7	-6.72	40.27	190	l55c	
g50b	51.85	-32.33	-24.35	40.48	217	l87c	
g75b	46.92	-17.29	-36.02	39.96	244	c20v	
b00r	37.91	1.28	-42.35	42.37	272	c53v	
b25r	23.81	30.38	-52.26	60.45	300	c87v	
b50r	29.52	69.06	-42.14	80.9	329	v68m	
b75r	36.48	71.47	-3.69	71.57	357	m34o	

$LAB^*cmy^n'^*$



Ein und Ausgabe: Farbmatisches Drucker-Reflektiv-System FRS09_92a für relativen CIELAB-Bunton $h^* = lab^*h^* = h_{ab}/360 = 0.603$

$u^*_e = g50b$
 LAB^*cmy^n '*

Daten für jede Farbe:

lab^*ch^* und lab^*icu^*

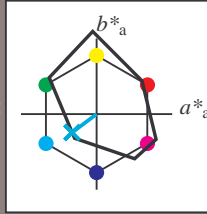
Buntontexte:

$u^*_e = g50b$ $u^*_d = l87c$

Kontrastreduzierungsfaktor:

$c_R = 1.0$

Dreiecks-Helligkeit t^*



FRS09_92a; CIELAB-Daten

	u^*_e	$L^*=L^*$	a^*	b^*	C^*_{ab}	h^*_{ab}
O _M	35.06	60.53	39.66	72.37	33	
Y _M	83.77	-4.5	103.15	103.25	92	
L _M	44.13	-62.11	43.56	75.86	145	
C _M	52.66	-28.56	-36.99	46.73	232	
V _M	14.15	50.78	-62.6	80.61	309	
M _M	37.37	79.18	-37.93	87.8	334	
N _M	8.58	0.46	-3.35	3.38	278	
W _M	92.02	0.69	-6.48	6.52	276	
R _M	39.92	58.74	27.99	65.07	25	
J _M	81.26	-2.89	71.56	71.62	92	
G _M	52.23	-42.42	13.6	44.55	162	
B _M	30.57	1.41	-46.47	46.49	272	

Daten für Maximalfarbe (Ma):

$LAB^*LAB^*_{Ma}$: 52 -32 -24

$LAB^*LCH^*_{Ma}$: 52 40 216

$lab^*rgb^*_{Ma}$: 0.0 1.0 1.0

$lab^*olv^*_{Ma}$: 0.0 1.0 0.87

Dreiecks-Helligkeit t^*

%Umfang

$u^*_{rel} = 109$

%Regularität

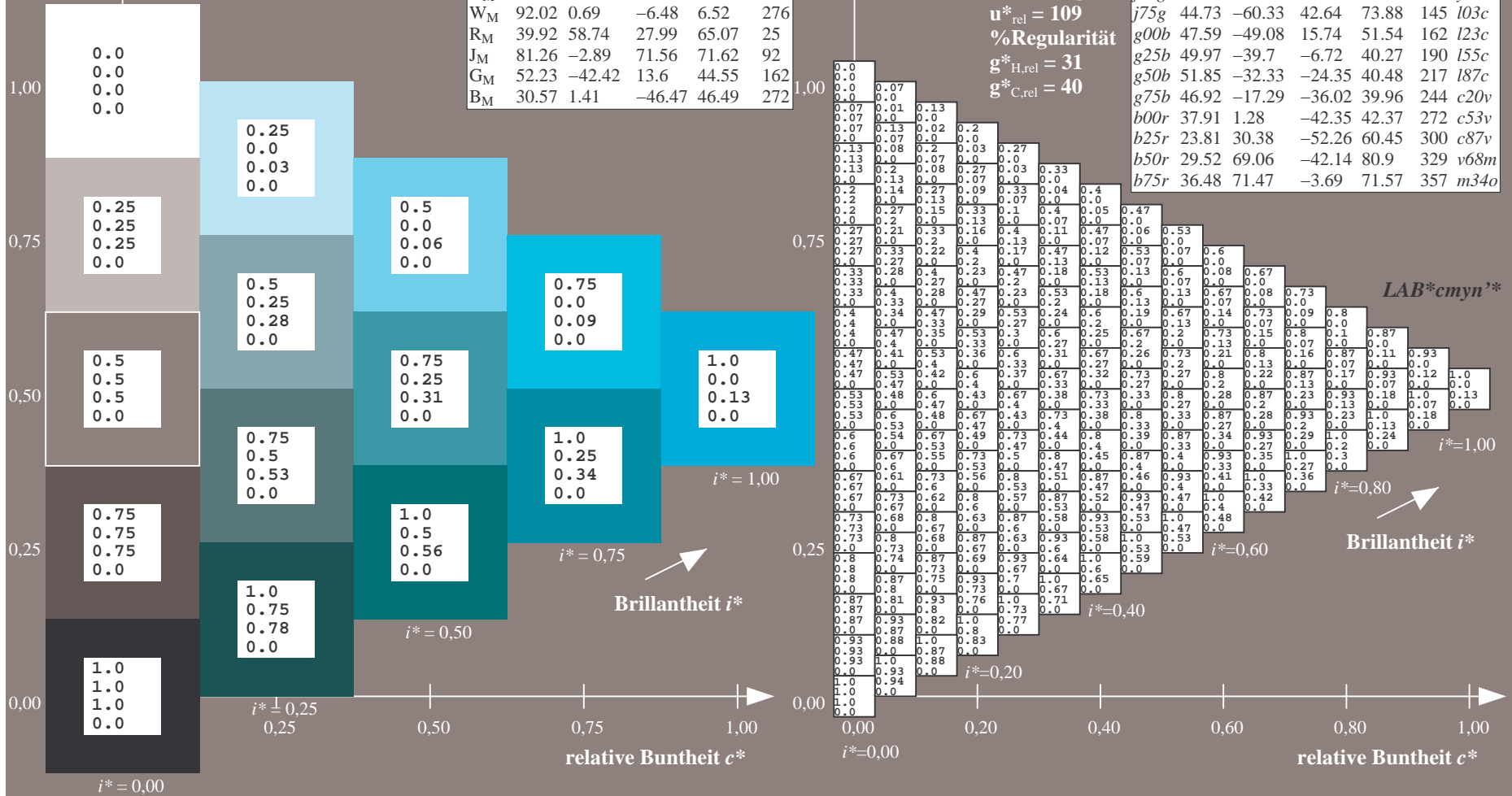
$g^*_{H,rel} = 31$

$g^*_{C,rel} = 40$

FRS09_92a; adaptierte CIELAB-Daten

	u^*_e	$L^*=L^*_a$	a^*_a	b^*_a	$C^*_{ab,a}$	$h^*_{ab,a}$	u^*_d
r00j	35.47	63.32	30.17	70.15	25	m81o	
r25j	39.12	54.56	49.45	73.64	42	o10y	
r50j	50.64	39.15	64.89	75.79	59	o40y	
r75j	64.01	21.26	82.83	85.52	76	o69y	
j00g	83.18	-4.38	108.53	108.62	92	o98y	
j25g	66.73	-29.89	83.06	88.28	110	y34l	
j50g	54.03	-48.31	63.49	79.78	127	y69l	
j75g	44.73	-60.33	42.64	73.88	145	l03c	
g00b	47.59	-49.08	15.74	51.54	162	l23c	
g25b	49.97	-39.7	-6.72	40.27	190	l55c	
g50b	51.85	-32.33	-24.35	40.48	217	l87c	
g75b	46.92	-17.29	-36.02	39.96	244	c20v	
b00r	37.91	1.28	-42.35	42.37	272	c53v	
b25r	23.81	30.38	-52.26	60.45	300	c87v	
b50r	29.52	69.06	-42.14	80.9	329	v68m	
b75r	36.48	71.47	-3.69	71.57	357	m34o	

LAB^*cmy^n '*



Ein und Ausgabe: Farbmatisches Drucker-Reflektiv-System FRS09_92a für relativen CIELAB-Bunton $h^* = lab^*h^* = h_{ab}/360 = 0.679$

$u^*_e = g75b$
 LAB^*cmy^n '*

Daten für jede Farbe:

lab^*tch^* und lab^*icu^*

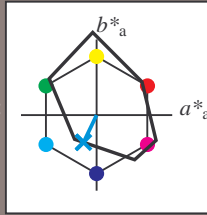
Buntontexte:

$u^*_e = g75b$ $u^*_d = c20v$

Kontrastreduzierungsfaktor:

$c_R = 1.0$

Dreiecks-Helligkeit t^*



FRS09_92a; CIELAB-Daten

	u^*_e	$L^*=L^*$	a^*	b^*	C^*_{ab}	h^*_{ab}
O _M	35.06	60.53	39.66	72.37	33	
Y _M	83.77	-4.5	103.15	103.25	92	
L _M	44.13	-62.11	43.56	75.86	145	
C _M	52.66	-28.56	-36.99	46.73	232	
V _M	14.15	50.78	-62.6	80.61	309	
M _M	37.37	79.18	-37.93	87.8	334	
N _M	8.58	0.46	-3.35	3.38	278	
W _M	92.02	0.69	-6.48	6.52	276	
R _M	39.92	58.74	27.99	65.07	25	
J _M	81.26	-2.89	71.56	71.62	92	
G _M	52.23	-42.42	13.6	44.55	162	
B _M	30.57	1.41	-46.47	46.49	272	

Daten für Maximalfarbe (Ma):

$LAB^*LAB^*_{Ma}$: 47 -17 -36

$LAB^*LCH^*_{Ma}$: 47 40 244

$lab^*rgb^*_{Ma}$: 0.0 0.5 1.0

$lab^*olv^*_{Ma}$: 0.0 0.8 1.0

Dreiecks-Helligkeit t^*

%Umfang

$u^*_{rel} = 109$

%Regularität

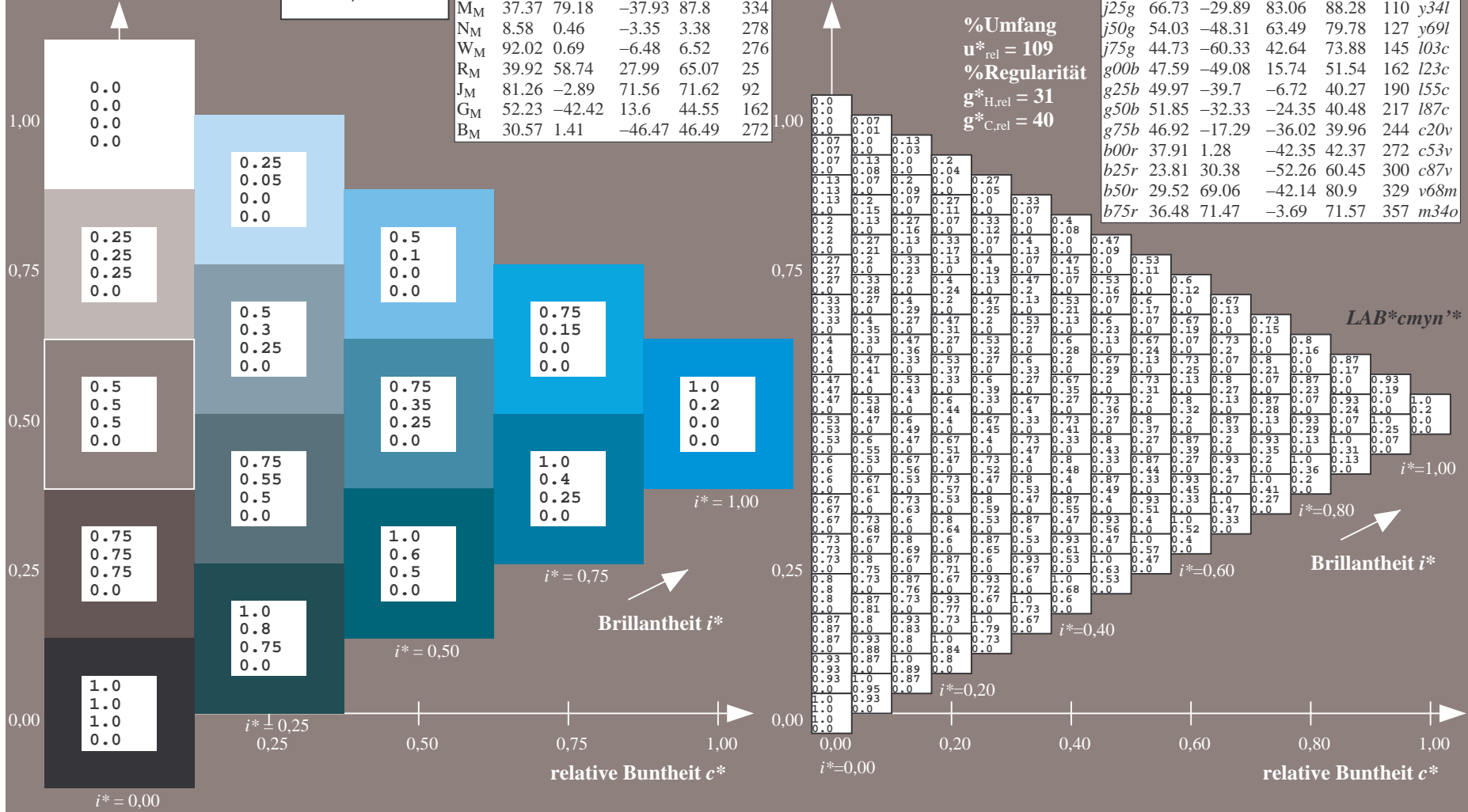
$g^*_{H,rel} = 31$

$g^*_{C,rel} = 40$

FRS09_92a; adaptierte CIELAB-Daten

	u^*_e	$L^*=L^*_a$	a^*_a	b^*_a	$C^*_{ab,a}$	$h^*_{ab,a}$	u^*_d
r00j	35.47	63.32	30.17	70.15	25	m81o	
r25j	39.12	54.56	49.45	73.64	42	o10y	
r50j	50.64	39.15	64.89	75.79	59	o40y	
r75j	64.01	21.26	82.83	85.52	76	o69y	
j00g	83.18	-4.38	108.53	108.62	92	o98y	
j25g	66.73	-29.89	83.06	88.28	110	y34l	
j50g	54.03	-48.31	63.49	79.78	127	y69l	
j75g	44.73	-60.33	42.64	73.88	145	l03c	
g00b	47.59	-49.08	15.74	51.54	162	l23c	
g25b	49.97	-39.7	-6.72	40.27	190	l55c	
g50b	51.85	-32.33	-24.35	40.48	217	l87c	
g75b	46.92	-17.29	-36.02	39.96	244	c20v	
b00r	37.91	1.28	-42.35	42.37	272	c53v	
b25r	23.81	30.38	-52.26	60.45	300	c87v	
b50r	29.52	69.06	-42.14	80.9	329	v68m	
b75r	36.48	71.47	-3.69	71.57	357	m34o	

LAB^*cmy^n '*



Ein und Ausgabe: Farbmatisches Drucker-Reflektiv-System FRS09_92a für relativen CIELAB-Bunton $h^* = lab^*h^* = h_{ab}/360 = 0.755$

$u^*_e = b00r$
 $LAB^*cmy^n'^*$

Daten für jede Farbe:

lab^*tch^* und lab^*icu^*

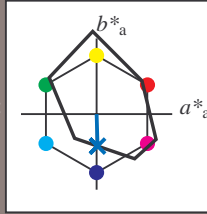
Buntontexte:

$u^*_e = b00r$ $u^*_d = c53v$

Kontrastreduzierungsfaktor:

$c_R = 1.0$

Dreiecks-Helligkeit t^*



FRS09_92a; CIELAB-Daten

	u^*_e	$L^*=L^*$	a^*	b^*	C^*_{ab}	h^*_{ab}
O _M	35.06	60.53	39.66	72.37	33	
Y _M	83.77	-4.5	103.15	103.25	92	
L _M	44.13	-62.11	43.56	75.86	145	
C _M	52.66	-28.56	-36.99	46.73	232	
V _M	14.15	50.78	-62.6	80.61	309	
M _M	37.37	79.18	-37.93	87.8	334	
N _M	8.58	0.46	-3.35	3.38	278	
W _M	92.02	0.69	-6.48	6.52	276	
R _M	39.92	58.74	27.99	65.07	25	
J _M	81.26	-2.89	71.56	71.62	92	
G _M	52.23	-42.42	13.6	44.55	162	
B _M	30.57	1.41	-46.47	46.49	272	

Daten für Maximalfarbe (Ma):

$LAB^*LAB^*_{Ma}: 38 \ 1 \ -42$

$LAB^*LCH^*_{Ma}: 38 \ 42 \ 271$

$lab^*rgb^*_{Ma}: 0.0 \ 0.0 \ 1.0$

$lab^*olv^*_{Ma}: 0.0 \ 0.47 \ 1.0$

Dreiecks-Helligkeit t^*

%Umfang

$u^*_{rel} = 109$

%Regularität

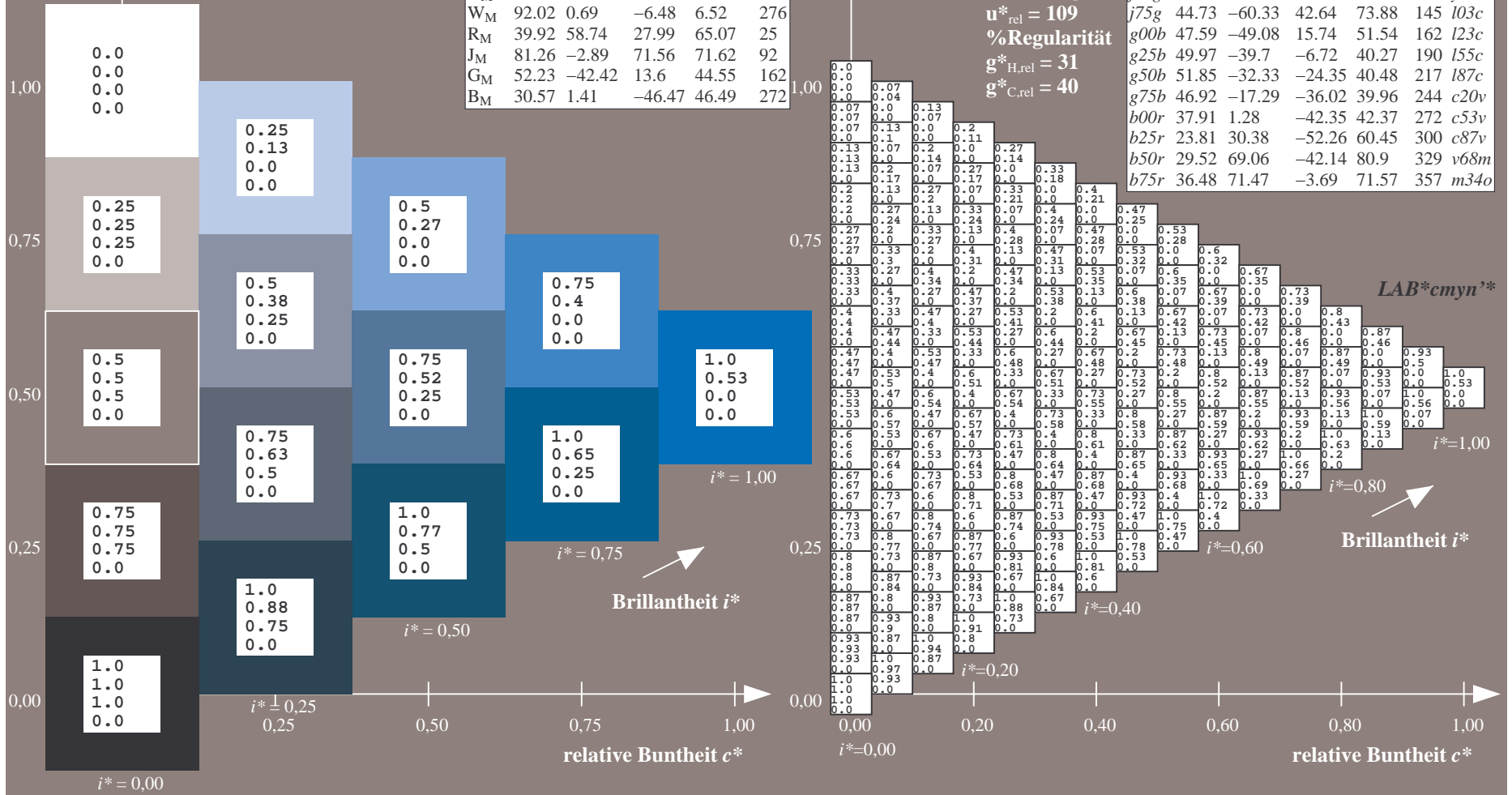
$g^*_{H,rel} = 31$

$g^*_{C,rel} = 40$

FRS09_92a; adaptierte CIELAB-Daten

	u^*_e	$L^*=L^*_a$	a^*_a	b^*_a	$C^*_{ab,a}$	$h^*_{ab,a}$	u^*_d
r00j	35.47	63.32	30.17	70.15	25	m81o	
r25j	39.12	54.56	49.45	73.64	42	o10y	
r50j	50.64	39.15	64.89	75.79	59	o40y	
r75j	64.01	21.26	82.83	85.52	76	o69y	
j00g	83.18	-4.38	108.53	108.62	92	o98y	
j25g	66.73	-29.89	83.06	88.28	110	y34l	
j50g	54.03	-48.31	63.49	79.78	127	y69l	
j75g	44.73	-60.33	42.64	73.88	145	l03c	
g00b	47.59	-49.08	15.74	51.54	162	l23c	
g25b	49.97	-39.7	-6.72	40.27	190	l55c	
g50b	51.85	-32.33	-24.35	40.48	217	l87c	
g75b	46.92	-17.29	-36.02	39.96	244	c20v	
b00r	37.91	1.28	-42.35	42.37	272	c53v	
b25r	23.81	30.38	-52.26	60.45	300	c87v	
b50r	29.52	69.06	-42.14	80.9	329	v68m	
b75r	36.48	71.47	-3.69	71.57	357	m34o	

$LAB^*cmy^n'^*$



Ein und Ausgabe: Farbmatisches Drucker-Reflektiv-System FRS09_92a für relativen CIELAB-Bunton $h^* = lab^*h^* = h_{ab}/360 = 0.834$

$u^*_e = b25r$
 $LAB^*cmy^n'^*$

Daten für jede Farbe:

lab^*tch^* und lab^*icu^*

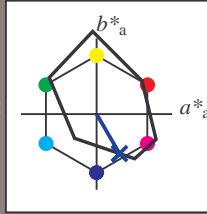
Buntontexte:

$u^*_e = b25r$ $u^*_d = c87v$

Kontrastreduzierungsfaktor:

$c_R = 1.0$

Dreiecks-Helligkeit t^*



FRS09_92a; CIELAB-Daten

	u^*_e	$L^*=L^*_a$	a^*_a	b^*_a	C^*_{ab}	h^*_{ab}
O _M	35.06	60.53	39.66	72.37	33	
Y _M	83.77	-4.5	103.15	103.25	92	
L _M	44.13	-62.11	43.56	75.86	145	
C _M	52.66	-28.56	-36.99	46.73	232	
V _M	14.15	50.78	-62.6	80.61	309	
M _M	37.37	79.18	-37.93	87.8	334	
N _M	8.58	0.46	-3.35	3.38	278	
W _M	92.02	0.69	-6.48	6.52	276	
R _M	39.92	58.74	27.99	65.07	25	
J _M	81.26	-2.89	71.56	71.62	92	
G _M	52.23	-42.42	13.6	44.55	162	
B _M	30.57	1.41	-46.47	46.49	272	

Daten für Maximalfarbe (Ma):

$LAB^*LAB^*_Ma: 24\ 30\ -52$

$LAB^*LCH^*_Ma: 24\ 60\ 300$

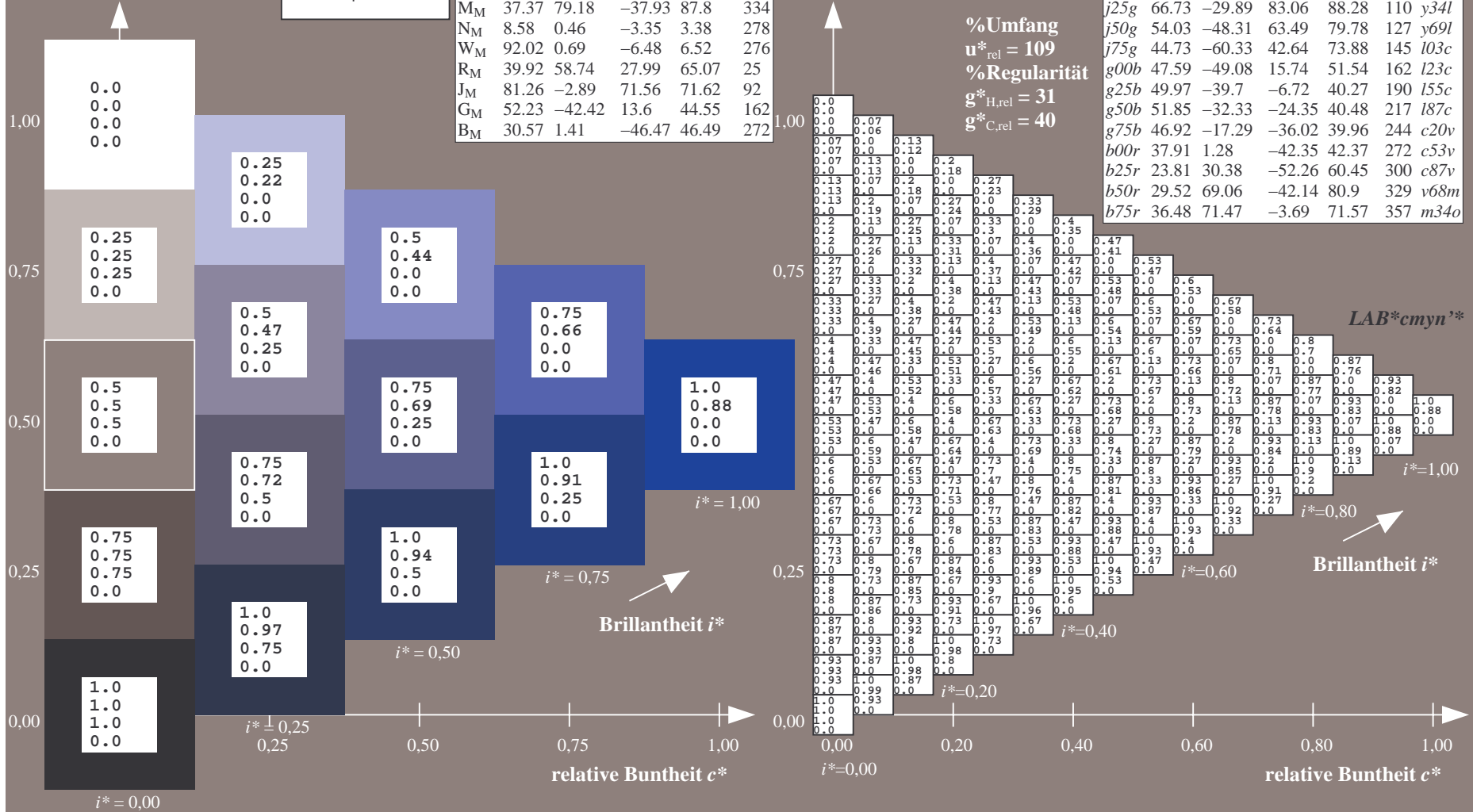
$lab^*rgb^*_Ma: 0.5\ 0.0\ 1.0$

$lab^*olv^*_Ma: 0.0\ 0.12\ 1.0$

Dreiecks-Helligkeit t^*

FRS09_92a; adaptierte CIELAB-Daten

	u^*_e	$L^*=L^*_a$	a^*_a	b^*_a	$C^*_{ab,a}$	$h^*_{ab,a}$	u^*_d
r00j	35.47	63.32	30.17	70.15	25	m81o	
r25j	39.12	54.56	49.45	73.64	42	o10y	
r50j	50.64	39.15	64.89	75.79	59	o40y	
r75j	64.01	21.26	82.83	85.52	76	o69y	
j00g	83.18	-4.38	108.53	108.62	92	o98y	
j25g	66.73	-29.89	83.06	88.28	110	y34l	
j50g	54.03	-48.31	63.49	79.78	127	y69l	
j75g	44.73	-60.33	42.64	73.88	145	l03c	
g00b	47.59	-49.08	15.74	51.54	162	l23c	
g25b	49.97	-39.7	-6.72	40.27	190	l55c	
g50b	51.85	-32.33	-24.35	40.48	217	l87c	
g75b	46.92	-17.29	-36.02	39.96	244	c20v	
b00r	37.91	1.28	-42.35	42.37	272	c53v	
b25r	23.81	30.38	-52.26	60.45	300	c87v	
b50r	29.52	69.06	-42.14	80.9	329	v68m	
b75r	36.48	71.47	-3.69	71.57	357	m34o	



Ein und Ausgabe: Farbmatisches Drucker-Reflektiv-System FRS09_92a für relativen CIELAB-Bunton $h^* = lab^*h^* = h_{ab}/360 = 0.913$

$u^*_e = b50r$
 $LAB^*c_{myn}''^*$

Daten für jede Farbe:

lab^*tch^* und lab^*icu^*

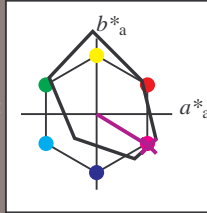
Buntontexte:

$u^*_e = b50r$ $u^*_d = v68m$

Kontrastreduzierungsfaktor:

$c_R = 1.0$

Dreiecks-Helligkeit t^*



FRS09_92a; CIELAB-Daten

u^*_e	$L^*=L^*$	a^*	b^*	C^*_{ab}	h^*_{ab}
O _M	35.06	60.53	39.66	72.37	33
Y _M	83.77	-4.5	103.15	103.25	92
L _M	44.13	-62.11	43.56	75.86	145
C _M	52.66	-28.56	-36.99	46.73	232
V _M	14.15	50.78	-62.6	80.61	309
M _M	37.37	79.18	-37.93	87.8	334
N _M	8.58	0.46	-3.35	3.38	278
W _M	92.02	0.69	-6.48	6.52	276
R _M	39.92	58.74	27.99	65.07	25
J _M	81.26	-2.89	71.56	71.62	92
G _M	52.23	-42.42	13.6	44.55	162
B _M	30.57	1.41	-46.47	46.49	272

Daten für Maximalfarbe (Ma):

$LAB^*LAB^*_{Ma}$: 30 69 -42

$LAB^*LCH^*_{Ma}$: 30 81 328

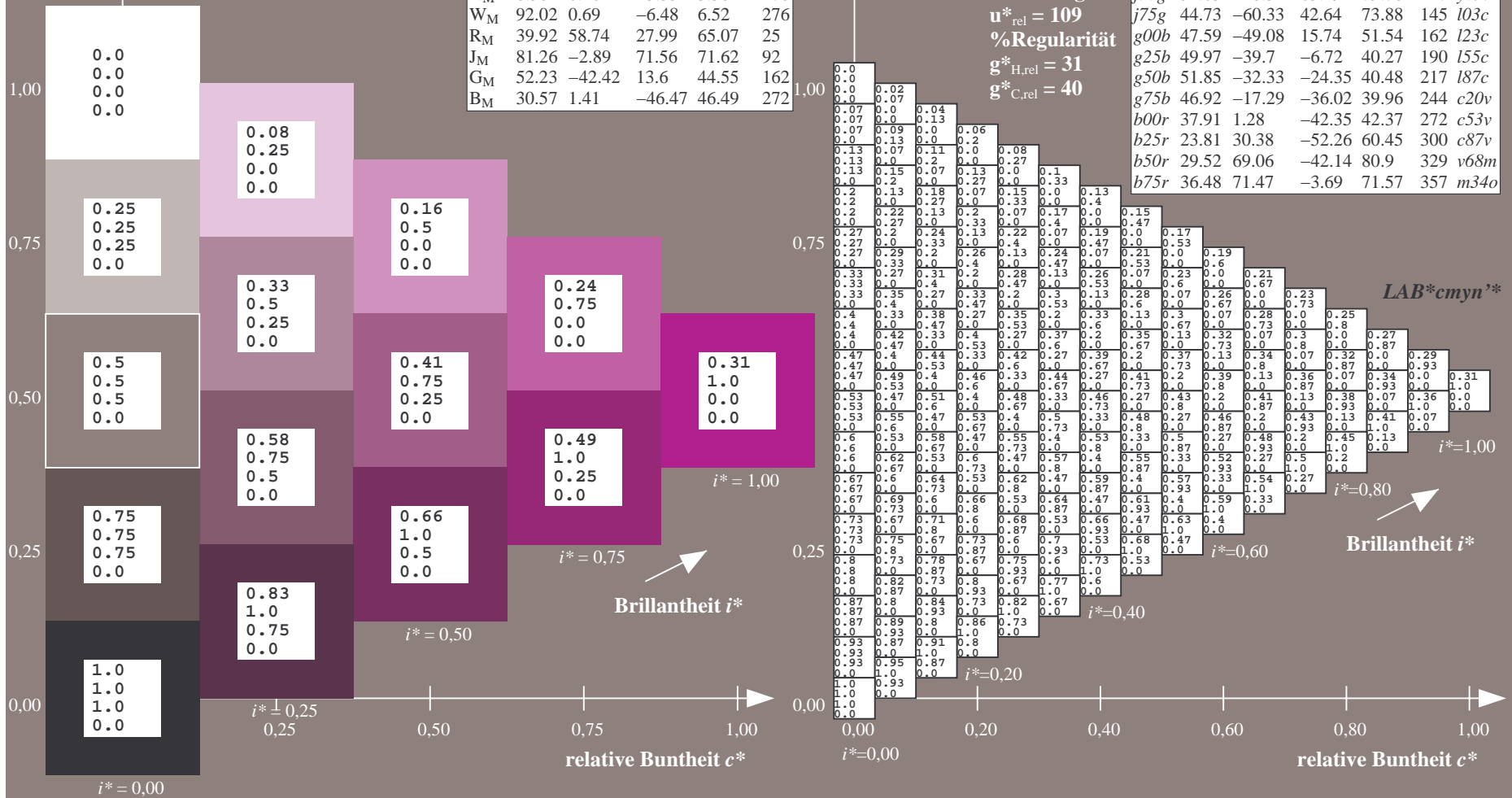
$lab^*rgb^*_{Ma}$: 1.0 0.0 1.0

$lab^*olv^*_{Ma}$: 0.69 0.0 1.0

Dreiecks-Helligkeit t^*

FRS09_92a; adaptierte CIELAB-Daten

u^*_e	$L^*=L^*_a$	a^*_a	b^*_a	$C^*_{ab,a}$	$h^*_{ab,a}$	u^*_d
r00j	35.47	63.32	30.17	70.15	25	m81o
r25j	39.12	54.56	49.45	73.64	42	o10y
r50j	50.64	39.15	64.89	75.79	59	o40y
r75j	64.01	21.26	82.83	85.52	76	o69y
j00g	83.18	-4.38	108.53	108.62	92	o98y
j25g	66.73	-29.89	83.06	88.28	110	y34l
j50g	54.03	-48.31	63.49	79.78	127	y69l
j75g	44.73	-60.33	42.64	73.88	145	l03c
g00b	47.59	-49.08	15.74	51.54	162	l23c
g25b	49.97	-39.7	-6.72	40.27	190	l55c
g50b	51.85	-32.33	-24.35	40.48	217	l87c
g75b	46.92	-17.29	-36.02	39.96	244	c20v
b00r	37.91	1.28	-42.35	42.37	272	c53v
b25r	23.81	30.38	-52.26	60.45	300	c87v
b50r	29.52	69.06	-42.14	80.9	329	v68m
b75r	36.48	71.47	-3.69	71.57	357	m34o



Ein und Ausgabe: Farbmatisches Drucker-Reflektiv-System FRS09_92a für relativen CIELAB-Bunton $h^* = lab^*h^* = h_{ab}/360 = 0.992$

$u^*_e = b75r$
 $LAB^*cmy^n'^*$

Daten für jede Farbe:

lab^*tch^* und lab^*icu^*

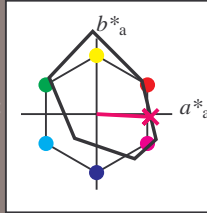
Buntontexte:

$u^*_e = b75r$ $u^*_d = m34o$

Kontrastreduzierungsfaktor:

$c_R = 1.0$

Dreiecks-Helligkeit t^*



FRS09_92a; CIELAB-Daten

u^*_e	$L^*=L^*$	a^*	b^*	C^*_{ab}	h^*_{ab}
O _M	35.06	60.53	39.66	72.37	33
Y _M	83.77	-4.5	103.15	103.25	92
L _M	44.13	-62.11	43.56	75.86	145
C _M	52.66	-28.56	-36.99	46.73	232
V _M	14.15	50.78	-62.6	80.61	309
M _M	37.37	79.18	-37.93	87.8	334
N _M	8.58	0.46	-3.35	3.38	278
W _M	92.02	0.69	-6.48	6.52	276
R _M	39.92	58.74	27.99	65.07	25
J _M	81.26	-2.89	71.56	71.62	92
G _M	52.23	-42.42	13.6	44.55	162
B _M	30.57	1.41	-46.47	46.49	272

Daten für Maximalfarbe (Ma):

$LAB^*LAB^*_{Ma}: 36\ 71\ -4$

$LAB^*LCH^*_{Ma}: 36\ 72\ 357$

$lab^*rgb^*_{Ma}: 1.0\ 0.0\ 0.5$

$lab^*olv^*_{Ma}: 1.0\ 0.0\ 0.66$

Dreiecks-Helligkeit t^*

%Umfang

$u^*_{rel} = 109$

%Regularität

$g^*_{H,rel} = 31$

$g^*_{C,rel} = 40$

FRS09_92a; adaptierte CIELAB-Daten

u^*_e	$L^*=L^*_a$	a^*_a	b^*_a	$C^*_{ab,a}$	$h^*_{ab,a}$	u^*_d
r00j	35.47	63.32	30.17	70.15	25	m81o
r25j	39.12	54.56	49.45	73.64	42	o10y
r50j	50.64	39.15	64.89	75.79	59	o40y
r75j	64.01	21.26	82.83	85.52	76	o69y
j00g	83.18	-4.38	108.53	108.62	92	o98y
j25g	66.73	-29.89	83.06	88.28	110	y34l
j50g	54.03	-48.31	63.49	79.78	127	y69l
j75g	44.73	-60.33	42.64	73.88	145	l03c
g00b	47.59	-49.08	15.74	51.54	162	l23c
g25b	49.97	-39.7	-6.72	40.27	190	l55c
g50b	51.85	-32.33	-24.35	40.48	217	l87c
g75b	46.92	-17.29	-36.02	39.96	244	c20v
b00r	37.91	1.28	-42.35	42.37	272	c53v
b25r	23.81	30.38	-52.26	60.45	300	c87v
b50r	29.52	69.06	-42.14	80.9	329	v68m
b75r	36.48	71.47	-3.69	71.57	357	m34o

$LAB^*cmy^n'^*$

